



This is a digital copy of a book that was preserved for generations on library shelves before it was carefully scanned by Google as part of a project to make the world's books discoverable online.

It has survived long enough for the copyright to expire and the book to enter the public domain. A public domain book is one that was never subject to copyright or whose legal copyright term has expired. Whether a book is in the public domain may vary country to country. Public domain books are our gateways to the past, representing a wealth of history, culture and knowledge that's often difficult to discover.

Marks, notations and other marginalia present in the original volume will appear in this file - a reminder of this book's long journey from the publisher to a library and finally to you.

Usage guidelines

Google is proud to partner with libraries to digitize public domain materials and make them widely accessible. Public domain books belong to the public and we are merely their custodians. Nevertheless, this work is expensive, so in order to keep providing this resource, we have taken steps to prevent abuse by commercial parties, including placing technical restrictions on automated querying.

We also ask that you:

- + *Make non-commercial use of the files* We designed Google Book Search for use by individuals, and we request that you use these files for personal, non-commercial purposes.
- + *Refrain from automated querying* Do not send automated queries of any sort to Google's system: If you are conducting research on machine translation, optical character recognition or other areas where access to a large amount of text is helpful, please contact us. We encourage the use of public domain materials for these purposes and may be able to help.
- + *Maintain attribution* The Google "watermark" you see on each file is essential for informing people about this project and helping them find additional materials through Google Book Search. Please do not remove it.
- + *Keep it legal* Whatever your use, remember that you are responsible for ensuring that what you are doing is legal. Do not assume that just because we believe a book is in the public domain for users in the United States, that the work is also in the public domain for users in other countries. Whether a book is still in copyright varies from country to country, and we can't offer guidance on whether any specific use of any specific book is allowed. Please do not assume that a book's appearance in Google Book Search means it can be used in any manner anywhere in the world. Copyright infringement liability can be quite severe.

About Google Book Search

Google's mission is to organize the world's information and to make it universally accessible and useful. Google Book Search helps readers discover the world's books while helping authors and publishers reach new audiences. You can search through the full text of this book on the web at <http://books.google.com/>



Über dieses Buch

Dies ist ein digitales Exemplar eines Buches, das seit Generationen in den Regalen der Bibliotheken aufbewahrt wurde, bevor es von Google im Rahmen eines Projekts, mit dem die Bücher dieser Welt online verfügbar gemacht werden sollen, sorgfältig gescannt wurde.

Das Buch hat das Urheberrecht überdauert und kann nun öffentlich zugänglich gemacht werden. Ein öffentlich zugängliches Buch ist ein Buch, das niemals Urheberrechten unterlag oder bei dem die Schutzfrist des Urheberrechts abgelaufen ist. Ob ein Buch öffentlich zugänglich ist, kann von Land zu Land unterschiedlich sein. Öffentlich zugängliche Bücher sind unser Tor zur Vergangenheit und stellen ein geschichtliches, kulturelles und wissenschaftliches Vermögen dar, das häufig nur schwierig zu entdecken ist.

Gebrauchsspuren, Anmerkungen und andere Randbemerkungen, die im Originalband enthalten sind, finden sich auch in dieser Datei – eine Erinnerung an die lange Reise, die das Buch vom Verleger zu einer Bibliothek und weiter zu Ihnen hinter sich gebracht hat.

Nutzungsrichtlinien

Google ist stolz, mit Bibliotheken in partnerschaftlicher Zusammenarbeit öffentlich zugängliches Material zu digitalisieren und einer breiten Masse zugänglich zu machen. Öffentlich zugängliche Bücher gehören der Öffentlichkeit, und wir sind nur ihre Hüter. Nichtsdestotrotz ist diese Arbeit kostspielig. Um diese Ressource weiterhin zur Verfügung stellen zu können, haben wir Schritte unternommen, um den Missbrauch durch kommerzielle Parteien zu verhindern. Dazu gehören technische Einschränkungen für automatisierte Abfragen.

Wir bitten Sie um Einhaltung folgender Richtlinien:

- + *Nutzung der Dateien zu nichtkommerziellen Zwecken* Wir haben Google Buchsuche für Endanwender konzipiert und möchten, dass Sie diese Dateien nur für persönliche, nichtkommerzielle Zwecke verwenden.
- + *Keine automatisierten Abfragen* Senden Sie keine automatisierten Abfragen irgendwelcher Art an das Google-System. Wenn Sie Recherchen über maschinelle Übersetzung, optische Zeichenerkennung oder andere Bereiche durchführen, in denen der Zugang zu Text in großen Mengen nützlich ist, wenden Sie sich bitte an uns. Wir fördern die Nutzung des öffentlich zugänglichen Materials für diese Zwecke und können Ihnen unter Umständen helfen.
- + *Beibehaltung von Google-Markenelementen* Das "Wasserzeichen" von Google, das Sie in jeder Datei finden, ist wichtig zur Information über dieses Projekt und hilft den Anwendern weiteres Material über Google Buchsuche zu finden. Bitte entfernen Sie das Wasserzeichen nicht.
- + *Bewegen Sie sich innerhalb der Legalität* Unabhängig von Ihrem Verwendungszweck müssen Sie sich Ihrer Verantwortung bewusst sein, sicherzustellen, dass Ihre Nutzung legal ist. Gehen Sie nicht davon aus, dass ein Buch, das nach unserem Dafürhalten für Nutzer in den USA öffentlich zugänglich ist, auch für Nutzer in anderen Ländern öffentlich zugänglich ist. Ob ein Buch noch dem Urheberrecht unterliegt, ist von Land zu Land verschieden. Wir können keine Beratung leisten, ob eine bestimmte Nutzung eines bestimmten Buches gesetzlich zulässig ist. Gehen Sie nicht davon aus, dass das Erscheinen eines Buchs in Google Buchsuche bedeutet, dass es in jeder Form und überall auf der Welt verwendet werden kann. Eine Urheberrechtsverletzung kann schwerwiegende Folgen haben.

Über Google Buchsuche

Das Ziel von Google besteht darin, die weltweiten Informationen zu organisieren und allgemein nutzbar und zugänglich zu machen. Google Buchsuche hilft Lesern dabei, die Bücher dieser Welt zu entdecken, und unterstützt Autoren und Verleger dabei, neue Zielgruppen zu erreichen. Den gesamten Buchtext können Sie im Internet unter <http://books.google.com> durchsuchen.

NYPL RESEARCH LIBRARIES



3 3433 06275543 8

VDA
Civilingenieur



Die Cöllingener

von H. v. ...

H. v. ...

...



Der
Civilingenieur.

Zeitschrift für das Ingenieurwesen.

Herausgegeben

von

A. R. Bornemann,
Kunstmeister zu Freiberg.

20
Neue Folge. Zwanzigster Band.

Mit vielen in den Text eingedruckten Holzschnitten und 35 Tafeln Abbildungen.

Leipzig,
Verlag von Arthur Felix.
1874.

THE NEW YORK
PUBLIC LIBRARY
958274
ASTOR, LENOX AND
TILDEN FOUNDATIONS
R 1923 L

NEW YORK
PUBLIC LIBRARY
ASTOR, LENOX AND
TILDEN FOUNDATIONS

Inhaltsverzeichnis des zwanzigsten Bandes.

I. Sachregister.

[Die Zahlen zeigen die Seitenzahlen an; — (m. A.) bedeutet mit Abbildungen auf den lithographirten Tafeln; — (m. F.) mit eingedruckten Holzschnitten.]

Ausflußgeschwindigkeit von Flüssigkeiten aus beliebig gestalteten Gefäßen, graphische Bestimmung (m. A.) . . .	279	Graphische Berechnung der Dachstuhl (m. A.)	205
Ausströmen der Luft bei starkem Ueberdruck (m. A.) . . .	1. 13	Graphische Berechnung des Parallelträgers (m. A.)	457
Brückengewölbe, Theorie, Berechnung und Construction der schiefen — (m. A.)	167	Graphische Bestimmung der Ausflußgeschwindigkeit (m. A.) .	279
Centrifugalregulatoren, graphische Bestimmung der Kugel- und Hüllengewichte (m. A.)	389	Graphische Construction der Schieberdiagramme (m. A.) . . .	155
Coulissensteuerungen, graphische Construction der Schieberdiagramme bei — (m. A.)	155	Graphisch-mechanische Bestimmung des äquatorialen Trägheitsmomentes (m. A.)	295
Coulissensteuerung, neue, mit gerader Coulisse und constantem Voreilen (m. A.)	165	Graphisch-mechanisches Integriren (m. A.)	71
Coulissensteuerungen, Voreinströmung und Vorausströmung (m. A.)	193	Hyperbolische Räder, Theorie der — (m. F.)	311
Dachstuhl, graphische Berechnung (m. A.)	205	Integriren, graphisch-mechanisches mit Polarplanimeter (m. A.)	85
Dachstuhl, Inanspruchnahme der Horizontalstange beim französischen — (m. F.)	215	Luft, Ausströmen bei starkem Ueberdruck (m. A.)	1. 13
Dächer, vortheilhafte Construction eiserner — (m. A.) . . .	125	Parallelträger, graphische Berechnung (m. A.)	457
Dampf, Zustandsänderungen im Dampfcylinder	231. 255	Polarplanimeter und graphisch-mechanisches Integriren (m. A.)	71
Dämpfe, Tabelle über gesättigte — auf die neue Atmosphäre berechnet	441	Schieberdiagramme bei Coulissensteuerungen, graphische Construction (m. A.)	155
Dampfhemd, Versuche über den Nutzen des — (m. A.) 227. 255. 339.		Schiebersteuerungen, Voreinströmung und Vorausströmung (m. A.)	193
Dampfmaschine von 100 ^{mm} Durchmesser mit directwirkendem Regulator (Langhe's System) (m. A.)	275	Schiefe gewölbte Brücken, Theorie, Berechnung und Construction (m. A.)	167
Entwässerungsanlage für die Caymen-Labladter Niederung (m. A.)	49	Schiffsdampfmaschinen, über	303
Fördermaschinen für Kohlengruben	327	Schiffsschraube, Theorie der — (m. A.)	403
Gewölbe, das Princip der Bruchfuge (m. A.)	349	Träger, gebogene eiserne	138
		Trägheitsmoment, graphisch-mechanische Bestimmung (m. A.)	295
		Versuche an Dampfmaschinen mit Dampfhemden	227. 255. 339
		Wasserdämpfe, Tabelle über	441
		Wasserhebungswerk zu Julienshöhe (m. A.)	49
		Zahnräder, Theorie der hyperbolischen — (m. F.)	311

II. Namenregister.

Amsler's Polar-Planimeter (m. A. u. m. H.)	71. 101	Kopka, Eindeichung und Trockenlegung der Caymen-Labläder Niederung (m. A.)	49
Bissinger, Versuche über den Nutzen des Dampfmantels (m. A.)	389	Nehls, graphisch-mechanische Bestimmung des äquatorialen Träg- heitsmomentes (m. A.)	295
v. Borries, die Voreinströmung und Vorausrömung bei Schieber- steuerungen, besonders bei Coulissensteuerungen (m. A.)	193	Padelletti, graphische Bestimmung der Kugel- und Hüllengewichte an Centrifugalregulatoren (m. A.)	389
v. Borries, graphische Construction der Schieberdiagramme bei Coulissensteuerungen (m. A.)	155	Prüll, graphische Bestimmung der hydraulischen Druckhöhe, Aus- flußgeschwindigkeit u. f. w. (m. A.)	279
Clericetti, das Princip der Bruchfuge bei den Gewölben (m. A.)	349	v. Quisow, liegende Dampfmaschine nach Tangye's System mit direct wirkendem Regulator (m. A.)	275
Fliegner, Tabelle für gesättigte Wasserdämpfe (m. H.)	441	v. Ritgen, über eine vortheilhafte Construction eiserner Dächer (m. A.)	125
Fliegner, Versuche über das Ausströmen der atmosphärischen Luft (m. A.)	13	Schmidt, Inanspruchnahme der Horizontalstange des französischen Dachstuhl's (m. H.)	215
Hallauer, Versuche an drei Dampfmaschinen mit Dampfhemden	227	Spieß, graphische Berechnung der Dachstuhl's (m. A.)	205
Hallauer, Versuche an zwei Corlißmaschinen nebst Untersuchungen über die Wirkung des Dampfhemdes	255	Spieß, graphische Berechnung des Parallelträgers (m. A.)	457
Heinzerling, Theorie, Berechnung und Construction schiefgewölbter Brücken (m. A.)	167	Tangye'sche Dampfmaschine mit direct wirkendem Regulator (m. A.)	275
Ramp, über Fördermaschinen für Kohlengruben	327	Zeuner, Versuche über das Ausströmen der Luft bei starkem Ueberdruck (m. A.)	1
Rapp, über Schiffs-Dampfmaschinen	303		
Rapp, über die Theorie der Schiffschraube (m. A.)	403		
Rirch, Theorie der hyperbolischen Räder (m. H.)	311		

III. Register über die Abbildungen.

Tafel 1. Apparat zu Zeuner's Versuchen über den Ausfluß der Luft bei starkem Ueberdruck.	Tafel 15, 16 und 17. Figuren zu Heinzerling's Theorie und Construction der schiefgewölbten Brücken.
„ 2. Figuren zu Fliegner's Versuchen über das Ausströmen der atmosphärischen Luft.	„ 18 und 19. Graphische Berechnung der Dachstuhl's von Spieß.
„ 3. Wasserhebungswerk auf Julienhöhe von Kopka. Längen- schnitt.	„ 20—21. Zweipferdige Dampfmaschine nach Tangye's System.
„ 4. desgl. Grundriß.	„ 22—23. Tangye's directwirkender Centrifugalregulator.
„ 5. Kreiselumpen des Wasserhebungswerkes auf Julienhöhe.	„ 24, Fig. 1—3. Graphische Bestimmung der hydraulischen Druck- höhe, Ausflußgeschwindigkeit u. f. w. von Prüll.
„ 6—7. Auslaßschleuße am Wasserhebungswerke der Caymen-Labläder Niederung von Kopka.	„ 1—4. Graphisch-mechanische Bestimmung des äquato- rialen Trägheitsmomentes v. Nehls.
„ 8 und 9. Figuren zu der Abhandlung von Nehls über den Amsler'schen Polarplanimeter und graphisch-	„ 25—26. Maschinenanordnung und Indicatorgramme von Bissinger's Versuchen über den Nutzen des
„ 10, 11 und 12. Figuren zu den Vorschlägen von v. Ritgen, über vortheilhafte Construction eiserner Dächer.	„ 27 und 28. Figuren zu Clericetti's Untersuchungen über die Bruchfuge bei Gewölben.
„ 13. Figuren zur graphischen Construction der Schieberdiagramme bei Coulissensteuerungen nach v. Borries.	„ 29. Padelletti's graphische Bestimmung der Kugel- und Hüllengewichte der Centrifugalregulatoren.
„ 14, Fig. 13 bis 17. desgl.	„ 30. Figuren zu Rapp's Theorie der Schiffschraube.
„ 18 bis 21. Figuren zu den Untersuchungen von v. Borries über Voreinströmung und Vor-	„ 31 bis 35. Spieß, graphische Berechnung des Parallelträgers.
„ 22 bis 25. desgl.	

Resultate experimenteller Untersuchungen über das Ausströmen der Luft bei starkem Heberdruck. *)

Von

Geh. Bergrath Dr. **Gustav Zeuner** in Dresden.

(Hierzu Tafel 1.)

Die Versuche, welche ich im Anfange dieses Jahres**) an einem größeren Apparate der Maschinenmodellsammlung des eidgenössischen Polytechnikums in Zürich über den Ausfluß der atmosphärischen Luft mit einfachen Mündungen angestellt habe und über deren Resultate ich berichten will, hatten einen doppelten Zweck. Einmal sollten sie eine, sogleich näher zu bezeichnende Streitfrage zur Lösung bringen und dann kam es mir darauf an, eine neue Methode über die Einführung der beim Ausströmen auftretenden Widerstände in die Rechnungen der Prüfung zu unterwerfen, eine Methode, auf welche ich durch theoretische Betrachtungen gelangt war (Civilingenieur Bd. 17, S. 1).

Bevor ich aber auf das Referat selbst eintrete, mögen erst einige theoretische Fragen und die älteren Versuchsmethoden kurz besprochen werden, weil mir dadurch am Besten eine deutliche Darlegung der genannten Streitfrage und meiner Versuchsmethode ermöglicht wird.

Strömt Luft unter constantem Drucke aus einem Gefäße nach einem anderen, in welchem der Druck ebenfalls auf constanter Höhe erhalten wird, und ist p_2 der spezifische Druck (in Kilogrammen pro Quadratmeter) im Ausflußgefäße und p_1 derjenige in der Vorlage, so dehnt sich die Luft während

des Hinströmens nach der Mündung infolge der allmäligen Druckabnahme aus. Je nach der Annahme, die man nun bezüglich des Gesetzes macht, nach welchem die Druckabnahme mit der Volumenzunahme des in Bewegung befindlichen Gases stattfindet, erhält man verschiedene Ausflußformeln.

Nimmt man an, die Temperatur des Gases sei dabei unveränderlich, so erhält man die Formeln von Navier (1827). Die Geschwindigkeit w , mit welcher die Luft die Mündung passirt, berechnet sich dann nach der Formel:

$$w = \sqrt{2gRT_2 \log \frac{p_2}{p_1}} \quad . \quad . \quad . \quad (1)$$

und das Luftvolumen V bei innerem Drucke gemessen, welches pro Secunde durch ein Quadratmeter Mündungsfläche ausströmt, berechnet sich durch:

$$V = \frac{p_1}{p_2} \sqrt{2gRT_2 \log \frac{p_2}{p_1}} \quad , \quad . \quad . \quad . \quad (1)$$

wobei von den Reibungswiderständen abgesehen wird und in den Formeln R eine constante Größe bedeutet, die für Luft in Metermaß 29,272 beträgt; g ist die Acceleration des freien Falles und T_2 die absolute Temperatur der Luft im Ausflußgefäße, d. h. die Temperatur nach hunderttheiliger Scala, bei welcher der Nullpunkt 273° unter dem Gefrierpunkte des Wassers liegt.

Nimmt man dagegen an, die gegen die Mündung strömende Luft expandire nach der adiabatischen Curve, d. h. der

*) Abriß eines Vortrages. Mit Erlaubniß des Herrn Verfassers abgedruckt aus dem Protokolle der 75. Hauptversammlung des Sächsischen Ingenieur- und Architekten-Vereins (1871).

**) 1871.

D. H.

Civilingenieur XX.

Art, wie ihre Ausdehnung erfolgt, wenn weder eine Zuleitung noch Entziehung von Wärme stattfindet, so erhält man die Formeln von Weisbach (1855) nämlich für die Ausflußgeschwindigkeit:

$$w = \sqrt{2g \cdot \frac{\kappa}{\kappa - 1} R T_2 \left(1 - \left(\frac{p_1}{p_2} \right)^{\frac{\kappa - 1}{\kappa}} \right)}. \quad (2)$$

wobei κ eine Constante bedeutet, die für Luft 1,41 ist, und für das ausströmende Luftvolumen im oben angegebenen Sinn folgt:

$$V = \sqrt{2g \cdot \frac{\kappa}{\kappa - 1} R T_2 \left[\left(\frac{p_1}{p_2} \right)^{\frac{2}{\kappa}} - \left(\frac{p_1}{p_2} \right)^{\frac{\kappa + 1}{\kappa}} \right]}. \quad (II)$$

Bemerkenswerth ist, daß vorstehende Formel schon von de Saint-Venant und Wangel (1839) gegeben worden ist, ohne daß dieselben sie allerdings bei ihren Versuchen, auf die ich noch zu sprechen komme, benutzten. Vorstehende Gleichungen gelten ebenfalls nur unter Vernachlässigung der Widerstände. Will man letztere zum Ausdruck bringen, so kann es dadurch geschehen, daß man das rechte Glied der Gleichung II mit einem Correctionsfactor, dem Ausflußcoefficienten, multiplicirt, der durch Versuche zu ermitteln wäre, oder man geht von der Voraussetzung aus, daß durch die Widerstände einfach nur die Expansionscurve verändert wird; aus theoretischen Gründen wurde ich dann (a. a. O.) auf folgende Formeln geführt:

$$w = \sqrt{2g \cdot \frac{\kappa}{\kappa - 1} R T_2 \left[1 - \left(\frac{p_1}{p_2} \right)^{\frac{\kappa - 1}{n}} \right]}. \quad (3)$$

$$V = \sqrt{2g \cdot \frac{\kappa}{\kappa - 1} R T_2 \left[\left(\frac{p_1}{p_2} \right)^{\frac{2}{n}} - \left(\frac{p_1}{p_2} \right)^{\frac{n + 1}{n}} \right]}. \quad (III)$$

Darin bedeutet n einen constanten Werth, der durch Versuche zu bestimmen und kleiner als κ ist, und den ich den „Ausflußexponenten“ genannt habe, wobei allerdings die Contraction des Strahles, wie sie bei gewissen Mündungen stattfindet, noch eine besondere Correction erfordern würde.

Nimmt man an, daß nur eine sehr geringe Druckdifferenz vorliegt, also p_1 von p_2 nur wenig verschieden ist, dann geben vorstehende Formeln I und II näherungsweise das gleiche Resultat für das Ausflußquantum, nämlich:

$$V = \sqrt{2g R T_2 \cdot \frac{p_2 - p_1}{p_2}},$$

eine Gleichung, die schon von Daniel und Johann Bernoulli, Euler, d'Alembert gegeben und benutzt wurde und noch jetzt bei Berechnung von Gebläsen, Ventilatoren, Wettermaschinen u. s. w. Verwendung findet.

Eine genaue Betrachtung der oben gegebenen Formeln I,

II und III führt nun auf die in der Einleitung bezeichnete Frage. Denkt man sich nämlich den inneren Druck p_2 und die innere Temperatur T_2 unveränderlich, und setzt man bei verschiedenen Versuchen verschiedenen äußeren Druck p_1 voraus, so zeigen alle drei Formeln, daß ein gewisser äußerer Druck p_1 existirt, bei welchem das auf die Quadrateinheit Mündungsfläche kommende Luftquantum pro Secunde und bei innerem Druck gemessen ein Maximum wird.

Gleichung I giebt, wie schon Coriolis (1838) hervorhob, dieses Maximum, wie man sich durch Differentiation leicht überzeugt, für

$$\frac{p_1}{p_2} = 0,60653 \text{ und daher } V_{\max} = 10,278 \cdot \sqrt{T_2},$$

wenn man die angegebenen Constanten einführt.

Gleichung II giebt es für:

$$\frac{p_1}{p_2} = \left(\frac{2}{\kappa + 1} \right)^{\frac{\kappa}{\kappa - 1}} = 0,52660 \text{ und daher } V_{\max} = 11,6318 \sqrt{T_2}.$$

Gleichung III giebt es für:

$$\frac{p_1}{p_2} = \left(\frac{2}{n + 1} \right)^{\frac{n}{n - 1}} \text{ und zwar:}$$

$$V_{\max} = \sqrt{\kappa g R \frac{n - 1}{\kappa - 1} \left(\frac{2}{n + 1} \right)^{\frac{n + 1}{n - 1}} \cdot T_2},$$

wobei je nach der Art der Mündung noch der Ausflußexponent n bekannt sein mußte; setze ich beispielsweise voraus, für eine nach Innen gut abgerundete Mündung sei $n = 1,380$, so folgt aus den letzten Formeln:

$$\frac{p_1}{p_2} = 0,53167 \text{ und } V_{\max} = 11,2354 \cdot \sqrt{T_2}.$$

Nimmt man im Weiteren an, die Temperatur im Ausflußgefäße sei 0°C. , also $T_2 = 273^\circ$, so folgt für vorstehende drei Fälle das Maximum der Luftmenge resp.:

$$169,822, 192,189 \text{ und } 185,639 \text{ Kubik-Meter}$$

bei innerem Drucke gemessen auf 1^{qm} Mündungsfläche und die drei Formeln 1, 2 und 3 geben für die zugehörige Ausflußgeschwindigkeit resp.

$$279,99, 302,87, 293,41 \text{ Meter.}$$

Der Umstand, daß die drei Formeln, von denen Nr. I nur noch geschichtliches Interesse hat, bei einem gewissen äußeren Druck p_1 , der ungefähr die Hälfte des inneren Druckes beträgt, ein Maximum der Ausflußmenge liefern, deutet nun darauf hin, daß von dieser Grenze an die Ausflußmenge abnimmt, wenn sich der äußere Druck noch weiter vermindert, und die Formeln zeigen sogar, daß sie mit dem

äußeren Drucke gleichzeitig Null wird; es fände sonach nach einem luftleeren Raume hin gar kein Ausströmen mehr statt. Dieses widersinnige Resultat deutet darauf hin, daß entweder alle Formeln falsch sind, oder daß bei ihrer Benutzung eine unzulässige Annahme gemacht wurde. Man hat nun behauptet, daß das Letztere der Fall sei, und zwar haben zuerst de Saint-Venant und Wangel (1839)*) ausgesprochen, daß in den Formeln der Druck p_1 nicht als der Druck in der Vorlage, sondern als derjenige in der Ebene der Mündung anzusehen sei, und daß beide Pressungen nur so lange identisch seien, als $p_1 : p_2$ größer, als ungefähr 0,4 sei, sobald aber dieses Verhältniß kleiner sei, so bleibe von da an die Ausflußmenge, selbst wenn die Vorlage luftleer sei, constant, also auch $p_1 : p_2$, unter p_1 aber nun den Druck in der Mündungsebene verstanden. Den Verhältnißwerth 0,4 leiten sie aus ihren Versuchen ab, die überhaupt zum Nachweis der Richtigkeit vorstehenden Satzes angestellt wurden. Die Arbeiten von de Saint-Venant und Wangel sind sehr lange Zeit unbeachtet geblieben. So weit ich die Literatur verfolgen konnte, kam zuerst Max Herrmann (Zeitschrift des österreichischen Ingenieur-Vereins) 1860 auf die Frage zurück, nachdem Weissbach, offenbar ohne die Arbeit von de Saint-Venant und Wangel zu kennen, 1855 obige Gleichung II von Neuem aufgestellt hatte; Herrmann zieht dieselben Schlüsse, wie de Saint-Venant und Wangel und kann sich, wie später (1867) auch Kolster (Zeitschrift des Vereins deutscher Ingenieure) bezüglich der Entscheidung der Frage nur auf die genannten älteren französischen Versuche stützen. Inzwischen hatte nur Holzmann (Lehrbuch der theoretischen Mechanik 1861) gelegentlich die Bemerkung gemacht, daß die Geschwindigkeit ausströmender Luft nie größer, als die Schallgeschwindigkeit sein könne, mit der die äußere Luft, wie klein auch ihr Druck sei, zurückweichen könne.

Erst in diesem Jahre (1871) hat nun Rankine die Frage von Neuem angeregt, veranlaßt durch die Versuche, welche Rapiet im größeren Maßstabe über das Ausströmen des Wasserdampfes angestellt hat, in Folge dessen ich dann meine Formel (obige Gleichung III) in der gleichen Richtung der Discussion unterwarf (Eivilingenieur Bd. 17).

Der Umstand, daß die theoretischen Betrachtungen, sowie die Versuche von de Saint-Venant und Wangel bis jetzt nur wenig Beachtung fanden, ist zum großen Theil wohl darin zu suchen, daß Poncelet es war, der sofort nach dem Erscheinen der betreffenden Abhandlung als Gegner auftrat und die genannten Versuche als unbrauchbar zur Ent-

scheidung der obigen Frage erklärte, weil dieselben in viel zu kleinem Maßstabe ausgeführt worden seien. Beim näheren Studium der Versuchsmethode von de Saint-Venant und Wangel muß man sich unbedingt den Bedenken Poncelet's anschließen, ja es treten sogar, wenn man sich bei der Beurtheilung auf die Grundsätze der mechanischen Wärmetheorie stützt, noch weitere Bedenken hinzu, so daß man geneigt wird, die sämmtlichen Resultate dieser Versuche als höchst zweifelhafte zu bezeichnen. Wendet man sich aber nun, um Aufklärung zu finden, zu den Versuchen, die bis jetzt von Anderen über das Ausströmen der Luft angestellt worden sind, so findet man noch viel weniger oder, richtiger gesagt, gar kein Anhalten; denn entscheidend können offenbar nur solche Versuche sein, bei denen der innere Druck mehr als das Doppelte des äußeren beträgt; in allen anderen Versuchsreihen fand aber das Ausströmen der Luft in die freie Atmosphäre statt, es hätte also der Druck im Ausflußgefäße wenigstens mehr als zwei Atmosphären betragen müssen.

Bei den bekannten Versuchen von Schmidt (1820), Lagerhjelm (1822), Koch (1824), D'Aubuisson (1826) betrug aber der Ueberdruck nur wenige Zolle, resp. Fuß Wasserhöhe und nur Weissbach ging bei seinen schönen und großartigen Versuchen (1856) bis zu einer Atmosphäre Ueberdruck, also ungefähr bis zur Grenze, von wo an nun bei weiterer Druckerhöhung eine Entscheidung der wichtigen und interessanten Frage hätte erfolgen können. Unter solchen Umständen blieb den oben genannten Schriftstellern nichts übrig, als bezüglich des Ausflusses der Luft immer wieder auf die Versuchsreihe von de Saint-Venant und Wangel zurückzugreifen, so sehr deren Resultate nach Poncelet auch mit Mißtrauen aufgenommen werden sollten; die Versuche erfüllten aber wenigstens die eine Bedingung, daß das Druckverhältniß $p_1 : p_2$ weit kleiner als 0,5 war; denn de Saint-Venant und Wangel verdünnten die Luft unter dem Recipienten einer Luftpumpe und ließen die äußere atmosphärische Luft durch Mündungen in der Wand des Recipienten einströmen.

Aus der vorstehenden Darstellung geht hervor, wie wünschenswerth es sein mußte, die Frage um die sich's handelt, endlich einmal durch Versuche in größerem Maßstabe und mit möglichster Sorgfalt ausgeführt, zu entscheiden. Ich selbst bin schon seit vielen Jahren von der Richtigkeit der Hypothese von de Saint-Venant und Wangel überzeugt, habe aber nie gewagt, in meinen verschiedenen Schriften über den Ausfluß der Gase und Dämpfe von derselben Gebrauch zu machen; ich entschloß mich aber schon im Jahre 1863 als ich in meinem Buche, das Locomotiven-Dampfrohr, den Zusammenhang der hydrodynamischen Gleichungen mit den Gleichungen der mechanischen Wärmetheorie darlegte, selbst den Versuch zu machen, durch Experimente die Frage zur Lösung zu bringen.

*) Mémoire et expériences sur l'écoulement de l'air, déterminé par des différences de pressions considérables. Journal de l'Ecole polytechnique. 1839.

Ich ließ schon damals den nöthigen Versuchapparat herstellen, den ich aber erst im Anfange dieses Jahres verwenden konnte, nachdem es mir gelang, alle Schwierigkeiten zu überwinden, die sich der Ausführung der Versuche entgegenstellten. Der Apparat besteht aus einem cylindrischen Kessel aus Eisenblech von ungefähr 4,2^m Länge und 0,5^m Durchmesser, dessen Cubikinhalte durch vorher mit größter Sorgfalt ausgeführte Eichungen mit Wasser sich zu 0,81088 Cubikmeter ergab; der Kessel ist auf 10 Atmosphären probirt, mit einer Pumpe versehen, um mittelst derselben die Luft im Innern zu comprimiren, und trägt einen Aufsatz mit weiten Hälsen, von denen der eine nahe am offenen Ende, in das die Ausflußmündungen eingesetzt werden können, einen dicht abschließenden, weit durchbohrten Hahnen einschließt. Mit dem Innern des Kessels steht ein gut getheiltes offenes Quecksilbermanometer in Verbindung, an dem ich bis 4 Atmosphären Druck (höher konnte ich bei meinen Versuchen nicht gehen) abzulesen vermochte.*)

*) Zusatz 1). Auf Tafel 1 ist in Fig. 1 der Haupttheil des Apparates abgebildet. Auf der obern Wand des Kessels KK befindet sich der in der Abbildung angegebene gußeiserne Aufsatz aufgeschraubt, welcher in sechs Hälse oder Röhren ausmündet, deren Inneres mit dem Innern des Kessels in Verbindung steht, und deren obere Mündungen für gewöhnlich durch Deckel luftdicht verschlossen sind. Bei den in Rede stehenden Versuchen war der Deckel des einen Ansaßrohrs abgenommen und ein starkes Rohr (Messingguß) CC aufgeschraubt, dessen oberes Ende die Ausflußmündung D enthielt; in der Mitte dieses Rohres befindet sich ein gut und luftdicht eingeschliffrer Hahnen E mit dem Handgriffe F. In der Figur erscheint das Messingrohr sammt Mündung und Hahnen, sowie ein Theil des gußeisernen Halses aufgeschnitten und der Hahnen, bei verticaler Stellung des Handgriffes F erscheint offen. Beim Schließen des Hahmens wurde der Griff F nach links hin in horizontale Stellung gebracht; bei dieser Bewegung tauchte der Metallzeiger a, der am anderen Ende der Hahnenaxe befestigt ist, mit seiner Spitze bei mittlerer Hahnenstellung in Quecksilber ein, das sich in einem kleinen Troge b befand. Auf solche Weise wurde beim Öffnen und Schließen durch Vermittlung des Quecksilbers ein elektrischer Strom geschlossen und momentan ein Elektro-Magnet in Bewegung gesetzt, welcher den Zeitpunkt des Beginnes und des Endes jeden Versuches markirte, wie das im Texte, weiter unten, erwähnt wird.

In Figur 1 ist überdies bei MM ein Theil der Scala des offenen Quecksilbermanometers sichtbar, dessen Gefäßinneres durch das Bleirohr cc mit dem Kesselinneren communicirte. Für die gewöhnlichen Versuche hätte natürlich ein einziges Aufsatzrohr genügt; ich ließ den gußeisernen Aufsatz

Der ganze Apparat ist ähnlich dem, den Weisbach anwandte und den er im Civilingenieur Bd. 12, S. 3 beschrieb; ich war auch Willens, dieselbe Versuchsmethode anzuwenden, weil ich anfänglich glaubte, eine einfache Wiederholung der Weisbach'schen Versuche, nur unter höherem Drucke ausgeführt, müßte zum Ziele führen. Eine Reihe von Vorversuchen überzeugte mich aber bald, daß hier ein Umstand noch in Betracht zu ziehen ist, den Weisbach über sah, und der die Endresultate wesentlich beeinflusst. Ich ließ nämlich, wie Weisbach, nachdem die Luft im Kessel comprimirt war und das Manometer, als Beweis der Temperaturengleichung, sich stationär hielt, die Luft durch die Mündung während 1 bis 2 Minuten ausströmen, schloß rasch den Hahnen und beobachtete hierbei den Manometerstand, wartete dann bis der Manometerstand wieder stationär war, und notirte auch diesen Stand. Im ersten Theile des Versuches, während des Ausströmens, findet im Innern des Kessels starke Temperaturenkung statt; im zweiten Theile, nach dem Schluß der Mündung, tritt dann von außen her durch die Kesselwandung so lange Wärme ein, bis die Temperatur im Innern mit derjenigen außerhalb wieder übereinstimmt; während dieses letzteren Vorganges steigt der Druck und wird erst nach einer gewissen Zeit stationär. Diese drei Pressungswerthe, beim Öffnen, beim Schließen der Mündung und am Ende nach der Temperaturengleichung, sollten nun, wie Weisbach durch Rechnung zeigte, genügen, wenn man gleichzeitig Temperatur und Barometerstand der äußeren Luft, den Inhalt

mit sechs Ansätzen ausführen, weil mehrere derselben mit Messingansätzen der beschriebenen Art versehen werden sollten, um vor den Augen meiner Zuhörer rasch hintereinander mit Mündungen verschiedener Art experimentiren zu können.

Bemerkenswerth ist vielleicht noch Folgendes. Unter den zahlreichen Schwierigkeiten, die sich Anfangs der Ausführung der Versuche entgegenstellten, trat besonders die Schwierigkeit hervor, den ganzen Apparat luftdicht zu machen, trotzdem, daß alle Fugen gut verkittet und die inneren Wandflächen des Kessels und des gußeisernen Aufsatzes gefirnißt waren; bis sich endlich herausstellte, daß das Entweichen der Luft durch die zolldicken Wandungen der Messingansätze erfolgte. Die atmosphärische Luft verhält sich bei hohem Drucke eben ganz anders, als Wasserdampf, der beim Eindringen in die Poren der Gefäßwandungen condensirt und dadurch abdichtet. Erst nachdem ich alle Messingtheile in kochendes Leinöl einige Zeit hatte eintauchen und dann trocknen lassen, war das Uebel gehoben; im Apparate befand sich oft tagelang comprimirt Luft von 3–4 Atmosphären Spannung eingeschlossen, ohne daß im Verhältniß zur Länge der Zeit ein wesentlicher Druck resp. Luftverlust hervortrat; eine vollständige, bleibende Abspernung ist unmöglich.

des Kessels und den Querschnitt der Mündung kennt, die Richtigkeit der Ausflußformeln durch die Beobachtungsergebnisse zu prüfen. Das ist aber, wie ich mich überzeugen mußte, nicht richtig, wenn man bei der Aufstellung der Formeln für die Beurtheilung des ganzen Vorganges, wie es von Weissbach geschah, annimmt, daß während des Ausströmens die Luft im Innern des Kessels sich so ausdehne, wie wenn ihr Wärme weder zugeführt, noch entzogen wird. Ich fand wenigstens bei meinem Apparate, dessen Kessel kleiner war als der Weissbach'sche, daß während des Ausströmens in der verhältnißmäßig langen Zeit von 1 bis 2 Minuten die Druckänderungen der Luft im Kessel ein ganz anderes Gesetz befolgen, weil nämlich die Kesselwandungen während der Expansion und Abkühlung der Luft fortwährend Wärme an dieselbe abgeben, und dieses Gesetz der Expansion unter Wärmeaufnahme mußte bekannt sein, wenn man die Versuche in richtiger Weise verwerthen will. Ich versuchte dann zunächst für meinen Kessel festzustellen, nach welchem Gesetze sich während des Ausströmens der Luft der Druck im Kessel ändert; das gelang mir zwar, es stellten sich mir aber schließlich bei der Berechnung der Versuche derartige unüberwindliche Schwierigkeiten entgegen, daß ich die Weissbach'sche Versuchsmethode gänzlich aufgab und zu der folgenden überging, die mich dann auch zum Ziele führte.

Ich ließ nämlich von nun an die Luft in Intervallen ausströmen in folgender Art:

Nachdem die Luft im Kessel auf etwa 4 Atmosphären comprimirt war und das Manometer nach der Temperaturausgleichung ruhigen Stand zeigte, öffnete ich rasch den Hahn, ließ die Luft ungefähr 10 Secunden lang ausströmen und schlug am Ende dieser Zeit den Hahn rasch zu und notirte den Manometerstand sowohl für diesen Moment, wie nach Verfluß von etwa 10 bis 15 Minuten, nach welchen der Quecksilberpiegel im Manometer wieder ruhigen Stand zeigte. Dieser Versuch wurde so lange wiederholt, bis der Druck im Kessel bis nahe auf den Druck der äußeren Atmosphäre herabgegangen war, das Ausströmen also aufhörte. Auf diese Weise erhielt ich für eine Reihe verschiedener Mündungen eben so viele Versuchsreihen und durch die Kürze der Ausflußzeit bei jedem einzelnen Versuche wurde der oben erwähnte störende Einfluß der Wärmeabgabe von Seiten der Kesselwandung an die Luft im Innern so sehr gemildert, daß ich bei der Aufstellung der Theorie dieser Versuchsmethode bezüglich des Gesetzes dieser Wärmeabgabe eine einfache Näherungsformel anwenden konnte. Es ist nun hier weder der Ort, die Theorie der Vorgänge bei meiner Versuchsweise zu entwickeln, noch die Versuchsergebnisse selbst einzeln aufzuführen; es handelt sich nur um die Frage, ob die Versuchsergebnisse auf die Richtigkeit der Hypothese von de Saint-Venant und Wanzel hindeuten.

Ist bei einem einzelnen Versuche der Anfangsdruck in

Millimeter Quecksilbersäule h_2 und der Enddruck nach dem Schließen der Mündung und nach der Temperaturausgleichung h_1 und die Ausflußzeit t , so giebt die Rechnung, daß (als erste Näherung) der Ausdruck

$$\frac{1}{t} \log \frac{h_2}{h_1}$$

beim Versuch als eine constante Größe erscheinen mußte, so lange der innere Druck mehr als ungefähr das Doppelte des äußeren beträgt und wenn die genannte Hypothese sich bestätigen sollte; daß dagegen der Werth dieses Ausdruckes abnehmen mußte, je kleiner der Innendruck ist, sobald dieser kleiner, als etwa die Hälfte des äußeren Druckes ist.

Dieser Satz wird nun für gewisse Mündungen durch die Versuche bestätigt. Ich habe mit dreierlei Mündungen experimentirt und zwar:

1. mit kurzen, nach Innen gut abgerundeten Mündungen, deren Durchmesser resp. 4,10, 5,78 und 7,00^{mm} betrug;
2. mit kurzen, cylindrischen Ansaßröhren, ohne Abrundung im Innern, mit Durchmessern von resp. 5,78 und 7,00^{mm};
3. mit Mündungen in dünner Wand, deren Durchmesser resp. 4,09, 5,79, 7,00 und 10,00^{mm} betrug.*)

*) Zusatz 2). Die sämtlichen im Texte angegebenen Mündungen sind auf Taf. 1 in Fig. 2 bis 10 in natürlicher Größe im Querschnitt dargestellt. Die Versuchsergebnisse, welche die Tabelle des Anhanges enthält, wurden mit dem cylindrischen Ansaßrohr ohne Abrundung, welches Fig. 3 darstellt, gewonnen.

Außer den im Text besprochenen Versuchen wurden auch Versuche mit dem zusammengesetzten Rohre angestellt, das in Fig. 11 abgebildet ist. Die Luft strömte aus dem Kessel durch die im Innern gut abgerundete Mündung a aus, nach dem Rohre cc hin und, von diesem aus, erst ins Freie. Beim Austritt aus der Mündung a ins Rohr c findet eine plötzliche Querschnittsänderung statt und in Folge dessen stellt sich im Anfange des Rohres c , rings um die Mündung a ein Druck heraus, der kleiner als der atmosphärische ist. Die Druckdifferenz wurde durch ein Vacuummeter gemessen, dessen Rohr durch einen Guttapercha-Schlauch mit dem Röhrchen b (Fig. 11) verbunden war. Die Druckdifferenz variiert mit dem Druck der Luft im Kessel und steht in gewisser Beziehung zur Weite der Mündung a und der des Rohres c . Die Versuche führten auf Ergebnisse, die im Einklang stehen mit denen meiner älteren Versuche, die ich in ähnlicher Weise mit Wasser und Wasserdampf durchführte und die ich in meinem Buche „das Locomotiven-Blasrohr“ (Leipzig 1863) beschrieben und theoretisch erläutert habe.



Der
Civilingenieur.

Zeitschrift für das Ingenieurwesen.

Herausgegeben

von

A. R. Bornemann,
Kunstmeister zu Freiberg.

20
Neue Folge. Zwanzigster Band.

Mit vielen in den Text eingedruckten Holzschnitten und 35 Tafeln Abbildungen.

Leipzig,
Verlag von Arthur Felix.
1874.

THE NEW YORK
PUBLIC LIBRARY
958271
ASTOR, LENOX AND
TILDEN FOUNDATIONS
R 1923 L

NEW YORK
PUBLIC LIBRARY
ASTOR, LENOX AND
TILDEN FOUNDATIONS

Inhaltsverzeichnis des zwanzigsten Bandes.

I. Sachregister.

[Die Zahlen zeigen die Seitenzahlen an; — (m. A.) bedeutet mit Abbildungen auf den lithographirten Tafeln; — (m. F.) mit eingedruckten Holzschnitten.]

Ausflußgeschwindigkeit von Flüssigkeiten aus beliebig gestalteten Gefäßen, graphische Bestimmung (m. A.)	279	Graphische Berechnung der Dachstühle (m. A.)	205
Ausströmen der Luft bei starkem Ueberdruck (m. A.)	1. 13	Graphische Berechnung des Parallelträgers (m. A.)	457
Brückengewölbe, Theorie, Berechnung und Construction der schiefen — (m. A.)	167	Graphische Bestimmung der Ausflußgeschwindigkeit (m. A.)	279
Centrifugalregulatoren, graphische Bestimmung der Kugel- und Hüllengewichte (m. A.)	389	Graphische Construction der Schieberdiagramme (m. A.)	155
Coulissensteuerungen, graphische Construction der Schieberdiagramme bei — (m. A.)	155	Graphisch-mechanische Bestimmung des äquatorialen Trägheitsmomentes (m. A.)	295
Coulissensteuerung, neue, mit gerader Coulisse und constantem Voreilen (m. A.)	165	Graphisch-mechanisches Integriren (m. A.)	71
Coulissensteuerungen, Voreinstromung und Vorausstromung (m. A.)	193	Hyperbolische Räder, Theorie der — (m. F.)	311
Dachstühle, graphische Berechnung (m. A.)	205	Integriren, graphisch-mechanisches mit Polarplanimeter (m. A.)	85
Dachstuhl, Inanspruchnahme der Horizontalstange beim französischen — (m. F.)	215	Luft, Ausströmen bei starkem Ueberdruck (m. A.)	1. 13
Dächer, vortheilhafte Construction eiserner — (m. A.)	125	Parallelträger, graphische Berechnung (m. A.)	457
Dampf, Zustandsänderungen im Dampfcylinder	231. 255	Polarplanimeter und graphisch-mechanisches Integriren (m. A.)	71
Dämpfe, Tabelle über gesättigte — auf die neue Atmosphäre berechnet	441	Schieberdiagramme bei Coulissensteuerungen, graphische Construction (m. A.)	155
Dampfhemd, Versuche über den Nutzen des — (m. A.)	227. 255. 339.	Schiebersteuerungen, Voreinstromung und Vorausstromung (m. A.)	193
Dampfmaschine von 100 ^{mm} Durchmesser mit directwirkendem Regulator (Langhe's System) (m. A.)	275	Schiefe gewölbte Brücken, Theorie, Berechnung und Construction (m. A.)	167
Entwässerungsanlage für die Caymen-Ablander Niederung (m. A.)	49	Schiffsdampfmaschinen, über	303
Fördermaschinen für Kohlengruben	327	Schiffsschraube, Theorie der — (m. A.)	403
Gewölbe, das Princip der Bruchfuge (m. A.)	349	Träger, gebogene eiserne	138
		Trägheitsmoment, graphisch-mechanische Bestimmung (m. A.)	295
		Versuche an Dampfmaschinen mit Dampfhemden	227. 255. 339
		Wasserdämpfe, Tabelle über	441
		Wasserhebungswerk zu Julienhöhe (m. A.)	49
		Wahnräder, Theorie der hyperbolischen — (m. F.)	311

p_2 den Druck im Inneren des Ausflußgefäßes,
 p' den Druck in der Mündungsebene, die Pressungen in
 Millimetern Quecksilbersäule gemessen.

Die letzte Columne giebt dann noch das Verhältniß
 $p' : p_2$ dieser beiden Pressungen.

Tabelle I.
 $d = 4,085 \text{ mm.}$

t	p_2	p'	$\frac{p'}{p_2}$	t	p_2	p'	$\frac{p'}{p_2}$	t	p_2	p'	$\frac{p'}{p_2}$
1. $b = 719,3$, $T = 273 + 12,8$				4. $b = 718,9$, $T = 273 + 13,8$				7. $b = 715,8$, $T = 273 + 13,5$			
0,0	3366,4	—	—	0,0	2002,0	—	—	0,0	1216,8	—	—
14,6	3177,9	1846,2	0,5809	10,0	1918,2	1106,8	0,5770	14,6	1145,1	747,5	0,6528
19,4	3114,2	1812,6	0,5820	14,8	1881,6	1086,4	0,5774	19,8	1125,6	745,0	0,6619
24,0	3059,1	1777,0	0,5809	19,8	1849,1	1068,1	0,5776	24,4	1106,0	742,6	0,6714
29,0	3005,0	1740,4	0,5792	24,8	1819,0	1049,8	0,5771	29,4	1089,5	740,5	0,6797
33,6	2952,8	1712,9	0,5801	29,6	1783,9	1029,4	0,5770	34,2	1072,5	740,6	0,6905
38,4	2904,7	1680,3	0,5785	34,4	1757,8	1011,1	0,5752	39,0	1055,9	738,9	0,6998
42,8	2858,1	1655,9	0,5794	39,4	1724,7	994,8	0,5768	44,0	1040,9	737,4	0,7084
47,4	2815,0	1629,4	0,5788	44,2	1696,7	977,5	0,5761	49,2	1025,3	735,6	0,7174
52,0	2770,3	1605,0	0,5794	49,4	1667,6	963,2	0,5776	54,0	1010,8	733,9	0,7261
56,6	2729,2	1579,5	0,5787	54,2	1643,5	948,0	0,5768	8. $b = 715,7$, $T = 273 + 13,7$			
61,0	2697,2	1556,1	0,5769	5. $b = 718,8$, $T = 273 + 14,0$				—	1038,8	—	—
2. $b = 719,3$, $T = 273 + 13,9$				0,0	1695,1	—	—	14,6	982,1	731,1	0,7444
0,0	2790,4	—	—	10,2	1624,4	938,7	0,5779	19,4	966,6	729,8	0,7550
9,6	2681,1	1534,7	0,5724	15,2	1590,8	920,4	0,5786	—	951,5	728,3	0,7654
14,6	2629,0	1526,4	0,5806	20,0	1564,2	904,1	0,5780	29,2	938,5	727,4	0,7751
19,6	2578,4	1487,9	0,5771	25,0	1537,2	889,8	0,5788	34,0	924,5	726,4	0,7857
24,2	2533,2	1461,4	0,5769	30,0	1511,1	874,6	0,5788	38,8	913,4	725,4	0,7942
29,2	2485,6	1435,0	0,5773	35,0	1485,0	860,3	0,5793	44,0	901,9	724,3	0,8081
34,2	2441,0	1408,5	0,5770	39,8	1459,5	847,1	0,5804	48,8	888,4	723,6	0,8145
38,8	2402,9	1384,1	0,5760	44,8	1441,4	833,8	0,5785	53,6	880,4	722,9	0,8211
44,0	2361,8	1360,6	0,5762	49,8	1412,8	822,6	0,5822	9. $b = 715,4$, $T = 273 + 13,8$			
49,0	2324,7	1336,2	0,5748	54,6	1390,8	810,4	0,5827	0,0	902,1	—	—
53,8	2286,1	1315,8	0,5756	6. $b = 718,7$, $T = 273 + 13,9$				10,0	872,5	721,8	0,8273
3. $b = 719,3$, $T = 273 + 13,8$				0,0	1432,8	—	—	15,2	860,5	721,4	0,8383
0,0	2362,8	—	—	5,0	1402,2	815,4	0,5815	20,0	847,0	720,9	0,8511
9,6	2263,0	1306,7	0,5774	10,0	1373,6	806,2	0,5869	25,0	836,4	720,3	0,8612
14,4	2223,9	1282,3	0,5766	14,8	1348,1	792,0	0,5875	29,8	825,9	719,7	0,8714
19,4	2184,3	1259,9	0,5769	19,8	1324,5	780,8	0,5895	35,0	816,4	719,3	0,8811
24,4	2147,2	1237,5	0,5763	24,6	1302,5	773,7	0,5940	39,8	807,9	718,9	0,8898
29,0	2107,6	1217,1	0,5775	29,4	1281,4	766,5	0,5982	45,0	—	718,6	—
34,0	2071,0	1194,7	0,5769	34,4	1257,8	760,4	0,6045	50,0	—	718,3	—
39,0	2037,4	1173,3	0,5759	39,4	1239,8	756,4	0,6101				
43,8	2002,4	1154,0	0,5763	44,4	1216,2	752,3	0,6186				
48,8	1969,3	1134,6	0,5761	49,4	1198,2	750,3	0,6262				
53,8	1937,2	1117,3	0,5768	54,2	1180,1	751,3	0,6366				

Bei Versuch 8 versagte die Schreibuhr einige Male, und sind demnach diese Zeitbestimmungen unsicher, da gerade der Nullpunkt fehlt. Die Eröffnung erfolgte aber immer möglichst mit Beginn einer neuen Minute. Am Schlusse des letzten Versuches konnten die Manometerstände p_2 nicht mehr

abgelesen werden, weil das Quecksilber unter die Fassung des Glasrohrs gesunken war.

Die in Tabelle II aufgeführten Versuche sind mit derselben Mündung angestellt, aber nach der zweiten Versuchsmethode.

Tabelle II.

$$d = 4,085 \text{ mm.}$$

No.	p_2	p'	$\frac{p'}{p_2}$	No.	p_2	p'	$\frac{p'}{p_2}$
1	3189,7	1877,5	0,5886	10	2084,6	1202,6	0,5769
2	3034,8	1769,6	0,5831	11	1989,9	1147,6	0,5767
3	2896,7	1712,6	0,5912	12	1900,8	1094,7	0,5759
4	2763,9	1630,1	0,5898	13	1814,6	1046,8	0,5769
5	2636,6	1546,6	0,5866	14	1732,2	1001,0	0,5779
6	2512,9	1477,4	0,5879	15	1653,5	955,2	0,5777
7	2398,7	1382,7	0,5764	16	1579,8	912,4	0,5777
8	2287,4	1316,6	0,5756	17	1507,6	876,8	0,5816
9	2184,4	1257,5	0,5757				

Von den mit einer anderen Mündung von $7,314 \text{ mm}$ Durchmesser (Fig. 2) gefundenen Resultaten kann ich nur die bei geringeren Pressungen verwerten, bei denen der Druck in der Mündungsebene mit dem Wassermanometer bestimmt wurde. Die früheren mit dem Quecksilbermanometer

angestellten Versuche zeigen nämlich dort einen verhältnismäßig zu niedrigen Druck, weil, wie sich erst später herausstellte, die Verbindung mit dem Manometer nicht ganz luftdicht war. Leider konnte ich die Versuche nicht wiederholen. Ich gebe in Tabelle III nur die zuverlässigen.

Tabelle III.

$$d = 7,314 \text{ mm.}$$

t	p_2	p'	$\frac{p'}{p_2}$	t	p_2	p'	$\frac{p'}{p_2}$
$b = 725,3, T = 273 + 14,8$				$b = 725,3, T = 273 + 14,7$			
0,0	1437,1	—	—	0,0	1097,3	—	—
—*)	1264,2	803,6	0,6357	5,0	1029,1	749,9	0,7287
—	1191,5	785,9	0,6596	10,0	973,4	744,7	0,7651
—	1124,8	769,7	0,6843	14,6	927,3	739,6	0,7976
—	1071,2	758,6	0,7082	19,4	884,2	735,5	0,8318
—	1021,6	750,5	0,7346	24,4	852,6	732,7	0,8594
				29,2	825,1	730,7	0,8856

*) Uhr versagt.

Um die Abhängigkeit des Druckes in der Mündungsebene vom inneren Drucke besser übersehen zu können, habe ich den vollständigsten vorhandenen Versuch aus Tabelle I graphisch dargestellt, indem ich p' als Function von p_2 aufgetragen habe (s. Fig. 3). Es sind die Punkte, welche sich

an der mit p' bezeichneten Curve hinziehen. Um die Figur nicht zu überladen, sind bei den niedrigeren Pressungen einige Werthe übersprungen. Die Curve beginnt danach in dem Punkte, dessen Abscisse und Ordinate gleich dem jedesmaligen Barometerstande b ist, da natürlich, wenn innerer und

äußerer Druck einander gleich sind, auch der Druck in der Mündungsebene dieselbe Größe haben muß. So wie aber bei constantem äußerem Drucke der innere Druck steigt, nimmt auch der in der Mündungsebene sofort zu, wenn auch unbedeutend. Sein Wachsen erfolgt anfangs nahezu nach einer geneigten Geraden. Wenn der innere Druck ungefähr gleich dem doppelten äußeren geworden ist, steigt die Curve in einer scharfen Krümmung, um sich dann jedenfalls asymptotisch an eine durch den Nullpunkt des Coordinatensystems gehende Gerade anzulegen. Dem letzten Theile des Verlaufes scheinen zwar die den höchsten beobachteten Pressungen zugehörigen Punkte zu widersprechen, es scheint da vielmehr die Curve wieder steiler ansteigen zu wollen. Die in Tabelle II dargestellten Werthe verlaufen auch ähnlich. Ich halte aber doch das asymptotische Anlegen für das Richtige. Einmal ist nämlich eine spätere Zunahme des Verhältnisses von $p' : p_2$ an und für sich unwahrscheinlich, da dann bei höheren Pressungen verhältnißmäßig weniger ausströmen würde. Sodann sind gerade bei höheren Pressungen, in Folge der Widerstände des zur Bestimmung von p' benutzten Hebermanometers, zu große Resultate zu erwarten. Bei einigen der nicht mitgetheilten, weil mißglückten, Versuche habe ich auch eine viel geringere Abweichung von der Geraden gefunden. Endlich stimmen die auf die Annahme eines asymptotischen Anlegens gestützten und später noch mitzutheilenden Schlüsse ganz gut mit anderweitigen Beobachtungen über die Ausflußmenge. Ein Gesetz für diese Curve auf theoretischem Wege zu entwickeln, ist mir nicht gelungen. Dagegen wird sie sich annähert durch eine Exponentialgröße oder einen Logarithmus darstellen lassen. Die Aufstellung einer solchen empirischen Gleichung habe ich aber nicht versucht. Es spielt nämlich bei der Bestimmung der Constanten derselben der äußere Druck jedenfalls eine wichtige Rolle, und da sind die Schwankungen des Luftdruckes zu gering, um ihren Einfluß mit einiger Sicherheit constatiren zu können. Zur künstlichen Steigerung oder Verringerung des äußeren Druckes fehlen mir leider noch Apparate.

Die Curve läßt sich aber auf andere Art sehr bequem angenähert darstellen. Das Anlegen an die Asymptote erfolgt nämlich so schnell, daß man schon von einem inneren Drucke gleich etwa dem doppelten äußeren an die Curve durch ihre Asymptote ersetzen kann. Das vordere Stück könnte man etwa durch eine Parabel, oder einfacher, wenn auch ungenauer, durch eine schräge Gerade darstellen. Ich habe ferner noch die in Tabelle III angegebenen, bei einem Barometerstande von 725,3^{mm} angestellten, Versuche graphisch aufgetragen; die betreffenden Punkte sind mit III bezeichnet. Bei den in Tabelle I mitgetheilten Versuchen war der Barometerstand 715,4^{mm} bis 715,8^{mm}, wenigstens bei den hier allein in Betracht kommenden geringeren Pressungen. Nun konnte ich in der

Zeichnung die mit p' bezeichnete Curve für den mittleren Züricher Barometerstand von 720^{mm} eintragen, wobei ich mich aber mehr an die mit kleinerer Mündung gefundenen, sonach sichereren, Resultate der Tabelle I gehalten habe. Die hieraus abgemessenen Coordinaten des ersten Theiles der Curve habe ich später benutzt und theile sie erst dort mit (Tabelle IV). Die Richtung der Asymptote dagegen, die ich als vom Barometerstande oder äußeren Drucke unabhängig voraussetze, ist genauer aus den Tabellenwerthen für $p' : p_2$ berechnet. Wegen der Unsicherheit der bei höherem Drucke angestellten Versuche habe ich dabei die ersten Werthe fortgelassen, und die späteren nur so weit benutzt, als sie noch keine entschiedene Zunahme zeigen. Danach ist der für höhere Pressungen als constant anzusehende Werth des Verhältnisses $p' : p_2$ der Mittelwerth aus:

Tabelle I, Versuch 2—4 mit: 0,57664

„ II, „ 7—16 „ 0,57670

Summe 1,15334.

Das giebt als Mittelwerth für $p > 2b$:

$$\frac{p'}{p_2} = 0,5767. \quad (4)$$

Auf die Temperatur im Inneren des Ausflußgefäßes scheint es dabei fast gar nicht anzukommen, wenigstens schließen die einzelnen Versuche so gut aneinander an, daß daraus ein Einfluß der Temperatur nicht nachgewiesen werden kann. Allerdings nimmt dieselbe auch während eines Versuches nicht bedeutend ab, im Maximum etwa um 10° C.

Vergleicht man mit diesen Resultaten die Napier'sche Hypothese, so zeigt sich dieselbe zwar nicht als richtig, doch kann man sie als die einfachste Annäherung an das wahre Gesetz auffassen, indem sie die Curve durch eine horizontale und eine durch den Nullpunkt gehende Gerade ersetzt (allerdings unter der mir sehr wahrscheinlichen Annahme, daß sich bei Dampf ein analoges Verhalten des Druckes in der Mündungsebene zeigt). Bei seiner Versuchsmethode konnte übrigens Napier jedenfalls nur schwer das genauere Gesetz finden. Seine entscheidendsten Versuche hat er*) bei constantem innerem Drucke von 4 Atm. angestellt, während er den äußeren Druck bei einem Versuche zwischen 2,0667 und 0,7333, bei einem anderen zwischen 1,8000 und 0,4667 Atm. variiren ließ. In diesen Intervallen hat er die Ausflußmenge vom äußeren Drucke unabhängig gefunden. Da man nun für Dämpfe eine ganz analoge Formel für G aufstellen kann, wie sie in den Gleichungen 2 und 3 dieser Abhandlung für permanente Gase angegeben ist (es steht nur statt x der Exponent der adiabatischen Curve der gesättigten Dämpfe), so muß man aus diesen Versuchen schließen, daß für alle die angewandten äußeren Pressungen das Verhältniß

*) Vergl. meine oben citirte Abhandlung über die Napier'schen Ausflußversuche im XVII. Bd. 1871 dieser Zeitschrift, Tabelle II.

$p' : p_2$, also mit p_2 auch p' , constant gewesen sei. Der größte äußere Druck aber, den Papier erzeugte, ist nur wenig größer als die Hälfte des inneren. Nun wird sich die Curve bei einem inneren Drucke gleich etwa dem doppelten äußeren voraussichtlich immer schon nahe genug an die Asymptote angelegt haben, um mit ihr identificirt werden zu können. Bei kleineren äußeren Pressungen ist das dann erst recht der Fall. Demnach müssen bei allen Papier'schen Versuchen die den verschiedenen äußeren Pressungen entsprechenden Curven bei der Abscisse gleich dem constanten inneren Drucke durch nahezu denselben Punkt gegangen sein, d. h. Papier mußte seine Hypothese bestätigt finden. Hätte er denselben Versuch bei noch höheren äußeren Pressungen, mit genügend kleinen Abstufungen derselben, fortgesetzt, so wäre er wohl auf die Ungenauigkeit seiner Annahme aufmerksam geworden. Uebrigens scheint der constante Grenzwert von $p' : p_2$ bei Dampf kleiner zu sein, als bei atmosphärischer Luft; wenigstens folgt aus der einzigen von Papier untersuchten gut abgerundeten Mündung mit ganz kurzer cylindrischer Verlängerung (Tab. V der eben citirten Abhandlung) als Mittelwerth für Dampf ungefähr:

$$\frac{p'}{p_2} = 0,534.$$

Die anfangs erwähnten Hypothesen nehmen also an, daß das Verhältniß $p_1 : p_2$, oder richtiger $p' : p_2$, niemals kleiner werden könne, als derjenige Werth desselben, welcher den in Gleichung 3 enthaltenen Ausdruck

$$\psi = \left(\frac{p_1}{p_2}\right)^{\frac{2}{n}} - \left(\frac{p_1}{p_2}\right)^{\frac{n+1}{n}} \dots \dots \dots (5)$$

zu einem Maximum macht. Durch Differenziation ergibt sich der Grenzwert zu:*)

$$\frac{p_1}{p_2} = \left(\frac{2}{n+1}\right)^{\frac{n}{n-1}}.$$

Wäre diese Hypothese richtig, so müßte man aus dieser Gleichung den einem beobachteten Grenzwert von $p_1 : p_2$ entsprechenden Ausflußexponenten n berechnen können. Für den bei der gut abgerundeten Mündung gefundenen Werth von 0,5767 (Gl. 4) findet sich dann durch Probiren ungefähr $n = 1,14$. Da aber der Widerstandcoefficient

$$\zeta = \frac{\alpha - n}{\alpha(n-1)} \dots \dots \dots (1)$$

ist,**) so ergäbe sich für die gut abgerundete Mündung bei Luft der enorme Werth von angenähert

$$\zeta = 1,4,$$

*) Vergl. Zeuner, „Neue Darstellung der Vorgänge beim Ausströmen der Gase und Dämpfe aus Gefäßmündungen.“ Civiling. Bd. XVII. 1871. Gl. 46.

**) E. Gl. 24 derselben Abhandlung.

während derselbe bei Wasser nur gleich 0,068 ist. Ich schließe daraus, daß der Grenzwert, welchem sich das Verhältniß von $p' : p_2$ jedenfalls asymptotisch nähert, mit dem Maximum von ψ in gar keiner Beziehung stehen kann. Er muß von anderen Umständen abhängig sein.

Darüber existirt auch schon eine Hypothese. Holzmann*) nämlich vermutet die größte erreichbare Ausflußgeschwindigkeit gleich der Fortpflanzungsgeschwindigkeit des Schalles. Er berechnet dann nach dieser Annahme den Grenzwert zu

$$\frac{p'}{p_2} = 0,6065,$$

also zu groß. Es scheint aber diese ganze Anschauung unzulässig zu sein.

Man kann nun noch einen ganz anderen Grenzwert für die Ausflußgeschwindigkeit der Luft angeben, und zwar auf Grund der von Clausius, Krönig, Joule u. A. genauer entwickelten Theorie über den Molekularzustand der permanenten Gase.**). Danach muß man annehmen, daß die Moleküle sich in verhältnißmäßig sehr großen mittleren Entfernungen von einander befinden. Sie bewegen sich aber ununterbrochen geradlinig, bis sie auf ein anderes Molekül oder auf eine feste Wand getroffen sind. Dann prallen sie mit einem vollkommen elastischen Stöße ab. Der Druck p des Gases gegen eine feste Wand (gemessen in Kilogr. auf den Quadrat-Meter) ist eine Folge dieser Stöße und hängt mit der in 1 Cub.-Met. enthaltenen Masse, M , und der mittleren constanten Geschwindigkeit u der einzelnen Moleküle so zusammen, daß

$$p = \frac{1}{3} M u^2$$

ist. Man sagt dann gewöhnlich, es sei, als ob ein Drittel der ganzen Masse mit der Geschwindigkeit u normal gegen die Wand stoßen und von ihr die mechanische Arbeit

$$2 \cdot \frac{M}{3} \cdot \frac{u^2}{2}$$

empfangen würde. Man kann die Größen aber auch anders zusammenfassen und schreiben:

$$p = M \left(\frac{u}{\sqrt{3}}\right)^2.$$

Dann läßt es sich so auffassen, als ob sich die ganze Masse mit der Geschwindigkeit $u : \sqrt{3}$ gegen die Wand bewegen würde. Ist die letztere nun absolut fest, so kehrt die Masse mit derselben Geschwindigkeit um. Kann dagegen, in Folge geringeren äußeren Gegendruckes, die Wand zurück-

*) „Lehrbuch der theoretischen Mechanik.“ S. 375 u. f.

**) Vergl. Clausius, „Abhandlungen aus der mechanischen Wärmetheorie.“ Nro. XIV.

weichen, so ist das nicht mehr der Fall, und wenn, um gleich zur Grenze überzugehen, der äußere Druck gleich Null ist, so wird die Masse ungehindert mit ihrer Geschwindigkeit

$$w = \frac{u}{\sqrt{3}}$$

weiter gehen; und das muß die größte erreichbare Ausflußgeschwindigkeit sein. Der Grenzwert des Druckes p' würde sich dann so einstellen, daß dieses w nie überschritten werden kann.

Nun läßt sich u durch die Temperatur T ausdrücken. Bezeichnet nämlich v das spezifische Volumen des Gases, so ist

$$M = \frac{1}{g v}.$$

Damit schreibt sich

$$p = \frac{u^2}{3 g v},$$

und da für permanente Gase

$$p v = R T$$

ist, so wird

$$w_{\max} = \frac{u}{\sqrt{3}} = \sqrt{g R T}.$$

Setzt man die Constanten $g = 9,81$ und $R = 29,272$ (für atmosph. Luft) ein, und bezeichnet die innere Temperatur mit T_2 , so erhält man

$$w_{\max} = 16,946 \sqrt{T_2}. \quad (7)$$

Man kann nun auch aus Gl. 1 w als Function der Temperatur ausdrücken. Setzt man nämlich $p_2 v_2 = R T_2$ vor die Klammer unter der Wurzel, und nimmt auf Widerstände keine Rücksicht, so daß

$$p_2 v_2^x = p_1 v_1^x$$

wird, so findet man nach einfacher Reduction

$$w = \sqrt{2 g \frac{x}{x-1} R T_2 \left[1 - \left(\frac{p_1}{p_2} \right)^{\frac{x-1}{x}} \right]};$$

und das giebt für den experimentell gefundenen Grenzwert von

$$\frac{p_1}{p_2} = \frac{p'}{p_2} = 0,5767$$

für die größte Ausflußgeschwindigkeit

$$w_{\max} = 17,092 \sqrt{T_2}. \quad (8)$$

Die Werte aus Gl. 7 und 8 stimmen so gut mit einander überein, daß ich diese Anschauung für die richtige halte. Es ist mir aber noch nicht gelungen, auf dieselbe gestützt, den Grenzwert von $p':p_2$ direct zu berechnen. Vielleicht ist es dabei mehr als Zufall, daß der beobachtete Wert von

$$\frac{p'}{p_2} = 0,5767$$

fast genau gleich

$$\frac{1}{\sqrt{3}} = 0,57735$$

ist. Hoffentlich gelingt es noch einmal, diese Uebereinstimmung zu beweisen.

Nachdem das Gesetz der Druckänderung in der Mündungsebene angenähert experimentell ermittelt ist, kann durch andere Versuche der Ausflußexponent n bestimmt werden. Beobachtet man nämlich direct das bei einem gewissen inneren Drucke in einer Secunde ausgeströmte Luftgewicht G , so kann man aus Gleichung (3) n berechnen, da dann alle übrigen darin vorkommenden Größen als bekannt anzusehen sind. Weil aber n doch nur auf dem Wege des Probirens zu finden geht, so will ich lieber eine Hypothese über den Werth des Ausflußexponenten voranschicken, und nachher die sich aus derselben ergebenden Rechnungsergebnisse mit den Ergebnissen von Versuchen vergleichen.

Die Hypothese gründe ich auf die bekannten Vorgänge beim Ausflusse des Wassers, aber nicht durch einfache Uebertragung der dort gefundenen Widerstandscoefficienten auf Luft. Ich schließe vielmehr folgendermaßen: Die beim Ausströmen des Wassers auftretenden Widerstände reduciren nur seine Geschwindigkeit, und es läßt sich bekanntlich der Widerstandscoefficient durch den Geschwindigkeitscoefficienten allein ausdrücken. Auf eine etwaige Contraction kommt es dabei gar nicht an. Bei Wasser haben nun zahlreiche Versuche ergeben, daß bei der gut abgerundeten Mündung und bei der Mündung in dünner Wand die Geschwindigkeits- und also auch die Widerstandscoefficienten fast genau gleich sind. Da aber bei der Mündung in dünner Wand gar keine Mündungswandungen vorhanden sind, die dem austretenden Strahle einen Reibungswiderstand entgegenstellen könnten, so wird der doch vorhandene Widerstand nur dadurch hervorgebracht werden können, daß innere Kräfte, mit denen die Wasserelemente auf einander einwirken, bei der Hinbewegung nach der Mündung überwunden werden müssen. Die Uebereinstimmung des Widerstandscoefficienten bei den beiden Arten von Mündungen zeigt dann, daß bei der gut abgerundeten Mündung der Einfluß der Wandungen verschwindend klein ist, und daß auch bei dieser der Widerstand ausschließlich durch die zu überwindenden inneren Kräfte hervorgebracht wird. Bestätigt wird diese Anschauung auch dadurch, daß das cylindrische Ansatzrohr mit Abrundung, eine durch ein kurzes cylindrisches Rohrstück verlängerte gut abgerundete Mündung, denselben Widerstandscoefficienten zeigt.

Beim Ausströmen von Luft und anderen permanenten Gasen darf man nun ganz analog erwarten, daß die Wandungen einer gut abgerundeten Mündung ohne merk-

baren Einfluß sein werden, so daß also auch nur innere Kräfte zu überwinden bleiben würden. Diese sind aber bei permanenten Gasen bekanntlich als verschwindend klein anzusehen, weil sich die einzelnen Moleküle in, verglichen mit ihrer eigenen Größe, so bedeutenden Entfernungen von einander befinden, daß sie keine merklichen gegenseitigen Kraftwirkungen ausüben können. Wenn nun weder durch die Mündungswandungen, noch durch die inneren Kräfte merkbare Widerstände zu erwarten sind, so werden beim Ausströmen der Luft durch gut abgerundete Mündungen und Mündungen in dünner Wand überhaupt keine Widerstände auftreten können. Es wird sich danach der Ausflußexponent, durch Umkehrung von Gleichung 6, für $\zeta = 0$ zu

$$n = \alpha$$

ergehen, und man kann also zur Berechnung der Ausflußmenge sofort Gl. 2 benutzen.

Diese Gleichung läßt sich aber noch auf eine zur Vergleichung mit den Beobachtungen bequemere Form bringen, indem man das spezifische Volumen v durch die leicht meßbare Temperatur T ersetzt. Aus der bekannten Beziehung bei permanenten Gasen

$$p v = R T$$

erzieht sich nämlich der in Gl. 2 auftretende Quotient

$$\frac{p_2}{v_2} = \frac{p_2^2}{R T_2}$$

Dann kann man p_2 vor das Wurzelzeichen nehmen, und, wenn man noch wie früher

$$\psi = \left(\frac{p'}{p_2} \right)^{\frac{2}{\alpha}} - \left(\frac{p'}{p_2} \right)^{\frac{\alpha+1}{\alpha}} \quad (9)$$

setzt, so wird das in einer Secunde durch jeden Quadratmeter Mündungsquerschnitt ausströmende Luftgewicht:

$$\frac{G}{F} = p_2 \sqrt{\frac{2g}{R} \cdot \frac{\alpha}{\alpha-1} \cdot \frac{\psi}{T_2}}$$

Setzt man die constanten Größen $g = 9,81$, $\alpha = 1,41$, $R = 29,272$ (für atm. Luft) ein, und multipliziert rechts mit 13,595, um direct aus den Tabellen p_2 in Millimetern Quecksilbersäule einführen zu können, so wird

$$\frac{G}{F} = p_2 \sqrt{426,093 \frac{\psi}{T_2}} \quad (10)$$

Aus dieser Gleichung berechnet sich für eine bestimmte innere Temperatur und einen vorhandenen äußeren Druck die Ausflußmenge als Function des inneren Druckes, da mit diesen beiden Pressungen der Druck in der Mündungsebene und daher auch ψ als bekannt anzusehen ist. Die Curve

$$\frac{G}{F} = F(p_2)$$

ist in der Figur 3 angegeben und zwar für die Mittelwerthe

für Zürich von $b = 720$, $T_2 = 273 + 15$. Ihr Verlauf ist folgender:

So lange bei höheren Pressungen das Verhältniß $p':p_2$ und damit auch ψ angenähert constant bleibt, ändert sich bei constanter innerer Temperatur T_2 das Wurzelzeichen ebenfalls nicht, und $G:F$ läßt sich durch eine durch den Nullpunkt gehende Gerade darstellen. Die Gleichung derselben muß dann die Form

$$\frac{G}{F} = m p_2 \quad (11)$$

haben, wobei für den Grenzwert von $p':p_2 = 0,3767$: $\psi = 0,067748$, und damit

$$m = \frac{5,3728}{\sqrt{T_2}} \quad (12)$$

wird. Specieell für eine mittlere Temperatur von $T_2 = 273 + 15$ erhält man

$$m = 0,8166.$$

Für kleinere Pressungen, und zwar beginnend ungefähr bei $p_2 = 2b$, befolgt die Curve ein anderes Gesetz. Man muß dann die Werthe von p' aus der Figur entnehmen und $G:F$ berechnen. In Tabelle IV sind die betreffenden Größen für einige Werthe von p_2 zusammengestellt. Es hat sich dann gezeigt, daß sich dieser Theil der Curve sehr genau durch eine Parabel von der Gleichung

$$\left(\frac{G}{F} \right)^2 = a(p_2 - b) \quad (13)$$

Tabelle IV.

No.	p_2	p'	ψ	$\frac{G}{F}$	a
1	1450	836,0	0,067732	459,1	288,6
2	1400	811,0	0,067668	443,0	288,6
3	1350	792,0	0,067418	426,4	288,5
4	1300	778,0	0,066948	409,1	288,6
5	1250	768,0	0,066178	391,1	288,6
6	1200	760,5	0,065039	372,2	288,7
7	1150	755,0	0,063405	352,2	288,5
8	1100	750,0	0,061217	331,0	288,4
9	1050	745,0	0,058369	308,6	288,5
10	1000	741,0	0,054562	284,1	288,3
11	950	737,0	0,049644	257,5	288,2
12	900	733,0	0,043303	227,8	288,3
13	850	729,5	0,034996	193,4	287,8
14	800	725,5	0,024396	152,0	288,7
15	750	722,0	0,010424	93,1	289,2
16	720	720,0	0	0	0:0

Mittel: 288,5

darstellen läßt, und sind daher die hieraus berechneten Werthe von a für $T_2 = 273 + 15$ auch in der Tabelle IV aufgenommen. Sie zeigen sich wirklich als fast genau constant.

Die Parabel mit dem Mittelwerthe der Tabelle I von $a = 288,5$ würde aber die für höhere Pressungen geltende Gerade $G:F = 0,3166 p_2$ nicht berühren, sondern dicht unter ihr hingehen. Will man doch einen continuirlichen Linienzug haben, so muß man a etwas ändern. Man kann es berechnen, weil eine Berührung bei der Abscisse $p_2 = 2b$ auftreten müßte. Für diesen Werth von p_2 müssen dann die beiden Gleichungen 11 und 13 gleiche Werthe von $G:F$ ergeben, d. h. es muß sein:

$$\left(\frac{G}{F}\right)^2 = (m \cdot 2b)^2 = a(2b - b).$$

Daraus folgt allgemein:

$$a = 4m^2b, \quad \dots \quad (14)$$

und speciell für die der Tabelle zu Grunde liegenden Werthe von $T_2 = 273 + 15$, $m = 0,3166$, $b = 720$:

$$a = 288,678,$$

ein von dem Tabellenwerthe so wenig abweichendes Resultat, daß man unbedingt diese berührende Parabel substituiren kann. Das ist auch in der Figur 3 geschehen. Die so erhaltene Curve für $G:F$ ist natürlich, ebenso wie die Curve der p' , nur als Annäherung an das wahre Gesetz anzusehen; jedenfalls findet auch hier ein asymptotisches Anlegen an die Gerade statt.

Durch einfache Combination der Gleichungen 11 und 12 einerseits und 12 bis 14 andererseits findet man dann folgende Formeln für das Ausströmen der atmosphärischen Luft aus gut abgerundeten Mündungen in die freie Atmosphäre:

für $p_2 > 2b$:

$$\frac{G}{F} = 5,3728 \frac{p_2}{\sqrt{T_2}}, \quad \dots \quad (I)$$

für $p_2 < 2b$:

$$\frac{G}{F} = 10,7456 \sqrt{\frac{b(p_2 - b)}{T_2}}. \quad \dots \quad (II)$$

Dabei ist p_2 und b in Millimetern Quecksilber einzusetzen; — will man dagegen die Pressungen in Atmosphären zu 760^{mm} einführen, so muß man die Werthe mit 760 multipliciren und erhält:

$$\frac{G}{F} = 4083,33 \frac{p_2}{\sqrt{T_2}}, \quad \dots \quad (I^a)$$

und

$$\frac{G}{F} = 8166,66 \sqrt{\frac{b(p_2 - b)}{T_2}}. \quad \dots \quad (II^a)$$

Es ist nun sehr wahrscheinlich, daß die gefundenen Resultate nicht nur für das Ausströmen in die Atmosphäre

gelten, sondern auch in einen Raum mit einer beliebigen anderen, aber constanten Pressung p_1 , und würde dann nur diese anstatt b in die Gleichungen einzusetzen sein.

Die Zulässigkeit der Hypothese, daß man beim Ausströmen der atmosphärischen Luft aus gut abgerundeten Mündungen die Widerstände gänzlich vernachlässigen könne, sowie die genügende Genauigkeit der zuletzt entwickelten Näherungsformeln müssen allerdings erst auf experimentellem Wege nachgewiesen werden. Eine große Anzahl einschlagender Versuche, namentlich auch bei bedeutend höheren Pressungen, als die älteren Experimentatoren erreichten, sind noch in der letzten Zeit seiner hiesigen Wirksamkeit von Hrn. Geh. Bergrath Prof. Zeuner angestellt worden. Art und Zweck dieser Versuche hat Hr. Zeuner in der schon oben herangezogenen Abhandlung entwickelt und auch die Beobachtungsergebnisse von einem cylindrischen Ansaugrohre mitgetheilt. Die übrigen Resultate hat er mir dann mit dankenswerthester Freundlichkeit zur weiteren Verwerthung überlassen. In diesem umfangreichen Material sind auch drei gut abgerundete Mündungen enthalten. Leider konnte ich die Resultate der mittlsten derselben, von 5,827^{mm} Durchmesser, nicht benutzen. Ich habe nämlich nachträglich gefunden, daß dieselbe wegen zu geringer Wanddicke am äußersten Theile (sie ist aus einem auf eine Platte aufgelötheten Rohre gebohrt) bei der Bearbeitung eine zwar geringe, aber doch mit dem Greisirkel deutlich merkbare Divergenz bekommen hatte. Daher strömt durch sie weniger aus, als dem allein genau meßbaren äußeren Durchmesser entspricht. Die beiden anderen Mündungen dagegen konnte ich gut verwerthen.

Gelegentlich meiner Druckbestimmungen habe ich diesen Versuchen noch einige wenige bei höherem Drucke, der mittelst eines inzwischen angeschafften neuen Manometers erreichbar wurde, so wie auch bei ganz geringem Ueberdrucke hinzugefügt. Endlich habe ich noch die Weissbach'schen, im XII. Band. (1866) dieser Zeitschrift veröffentlichten Versuche zur Vergleichung herangezogen, soweit wenigstens, als bei denselben eine gut abgerundete Mündung benutzt worden ist.

Die sämmtlichen Versuche sind in folgender Art angestellt. Der Kessel wurde mit Luft vollgepumpt, die Temperaturausgleichung abgewartet, der Anfangsdruck p_2 im Inneren notirt, und dann die Mündung während einer genau gemessenen Zeit geöffnet. Diese Zeitbestimmungen sind bei den Versuchen von Hrn. Prof. Zeuner und von mir auf electrischem Wege selbstthätig mit der schon oben erwähnten Schreibuhr vorgenommen worden. Der Secundenzeiger derselben springt alle 0,2 Secunden, so daß genauere Beobachtungen nicht möglich sind. Wenn sich doch an einigen Stellen Zehnthelle von Secunden angegeben finden, so hat das seinen Grund darin, daß die Theilung der Uhr nicht genau, und die Bewegung des Zeigers nicht ganz gleichförmig war. Bei

manchen Versuchen blieb es deshalb zweifelhaft, welches Fünstel galt, und es ist bei diesen das mittlere Zehntel genommen worden.

Im Augenblicke des Hahnenschlusses mußte der Druck der Luft p_2 wieder beobachtet werden. Dabei hat sich bei den in Zürich angestellten Versuchen ein eigenthümlicher Einfluß der bewegten Masse des Quecksilbers im Manometer gezeigt, auf den Weissbach bei den geringeren von ihm angewandten Pressungen nicht aufmerksam geworden zu sein scheint. Das Quecksilber hat nämlich im Augenblicke des Hahnenschlusses eine gewisse Geschwindigkeit, wird also etwas weiter sinken, als dem geringsten inneren Drucke entspricht, dann steigt es wieder und oscillirt um eine Mittellage. Diese bleibt aber nicht constant, weil in Folge der Wärmemittheilung seitens der Gefäßwandungen an das beim Ausströmen kälter gewordene Gas, Temperatur und Druck im Inneren sofort zu steigen beginnen. Hr. Prof. Zeuner hat nur den tiefsten Stand (p_{\min}) und das erste Maximum (p_{\max}) beobachten lassen. Ich habe versucht, die Curve der Druckzunahme nach dem Hahnenschlusse durch Beobachtung mehrerer Punkte genauer zu bestimmen, und so p_2 auf graphischem Wege zu ermitteln. Es ist mir aber nicht gelungen, ein brauchbares Resultat zu finden; es lassen sich nicht genügend viele Punkte notiren. Daher habe ich den Druck im Augenblicke des Hahnenschlusses, p_2 , einfach gleich dem arithmetischen Mittel aus dem tiefsten Stande und dem ersten Maximum gesetzt, d. h.

$$p_2 = \frac{1}{2} (p_{\min} + p_{\max}). \quad \dots \quad (15)$$

Bei geringeren Pressungen zeigten sich diese Schwankungen nicht; da blieb das Quecksilber ganz kurze Zeit ruhig, ehe es wieder zu steigen begann; dieser Punkt ist dann als p_2 angenommen.

Es mußte ferner noch die Temperaturlausgleichung abgewartet und der dann vorhandene Druck p_1 notirt werden. Diese Ausgleichung geht aber nicht am Thermometer zu beobachten, ein solches ist zu unempfindlich; sie zeigt sich als eingetreten, wenn der Druck nicht weiter steigt.

Die so gefundenen Werthe lassen sich aber noch nicht direct zur Controle der entwickelten Formeln benutzen, denn diese setzen constante innere Pressung voraus, während die Versuche nur bei abnehmendem Drucke anzustellen gehen. Man muß vielmehr erst für jeden Versuch einen mittleren constanten Druck berechnen, der mit p_m bezeichnet werden möge. Derselbe muß so beschaffen sein, daß bei ihm in der nämlichen Zeit das gleiche Luftgewicht ausströmen würde. Die in jeder Secunde durch 1 ^{qm} Mündungsquerschnitt ausströmende Luftmenge läßt sich nun bei constantem Drucke nach Gl. 10 in der Form

$$\frac{G}{F} = \alpha \cdot p_2 \sqrt{\frac{\psi}{T_2}}$$

Abilingenieur XX.

darstellen, wo α eine absolute Constante ist. Bezeichnet man die sämtlichen veränderlichen Werthe, G , p , T und im Allgemeinen auch ψ , beim Beginne des Versuches mit dem Index 2, die beim Schlusse mit 3, so nehmen die Gleichungen für diese beiden Zeitpunkte die Gestalten

$$\frac{G_2}{F} = \alpha \cdot p_2 \sqrt{\frac{\psi_2}{T_2}}$$

und

$$\frac{G_3}{F} = \alpha \cdot p_3 \sqrt{\frac{\psi_3}{T_3}}$$

an. Sind die Ausflußzeiten nicht zu lang, so kann man mit genügender Annäherung annehmen, der mittlere constante Werth von $G:F$ sei gleich dem arithmetischen Mittel aus diesen beiden, also

$$\frac{G}{F} = \frac{\alpha}{2} \left(p_2 \sqrt{\frac{\psi_2}{T_2}} + p_3 \sqrt{\frac{\psi_3}{T_3}} \right).$$

Es ist nun vortheilhafter, p_m so zu bestimmen, daß man eine Aenderung der inneren Temperatur während des Ausströmens nicht voraussetzt. Man kann zu diesem Zwecke leicht T_3 durch T_2 ausdrücken. Die Erwärmung der Luft im Inneren nach dem Hahnenschlusse erfolgt nämlich bei constantem Volumen von p_3 und T_3 auf p_1 und wieder die äußere Temperatur T_2 , es muß sonach

$$\frac{T_3}{T_2} = \frac{p_3}{p_1}$$

sein, und damit läßt sich die obige Gleichung in die Form bringen:

$$\frac{G}{F} = \frac{\alpha}{\sqrt{T_2}} \frac{1}{2} \left(p_2 \sqrt{\psi_2} + \sqrt{p_1 p_3 \psi_3} \right).$$

Unter Einführung eines Mittelwerthes für p und ψ hätte man dagegen:

$$\frac{G}{F} = \frac{\alpha}{\sqrt{T_2}} p_m \sqrt{\psi_m},$$

sonach müßte sein:

$$p_m \sqrt{\psi_m} = \frac{1}{2} \left(p_2 \sqrt{\psi_2} + \sqrt{p_1 p_3 \psi_3} \right). \quad \dots \quad (16)$$

Für die höheren Pressungen, bei denen das Verhältniß des Druckes in der Mündungsebene zum inneren Drucke mit genügender Genauigkeit als constant angesehen werden kann, ändert sich auch ψ nicht, man kann dieses dann noch wegheben und erhält einfacher:

$$p_m = \frac{1}{2} \left(p_2 + \sqrt{p_1 p_3} \right). \quad \dots \quad (17)$$

Für kleinere innere Pressungen ist p_m aber bei der Berechnung nach der vorigen Gleichung (16) auf graphischem Wege aus der Curve $y = p \sqrt{\psi}$ interpolirt worden.

Diese Bestimmung von p_m wird um so genauer sein, je geringer die Differenz der Pressungen am Anfange und

Ende des Ausströmens ist. Daher sind für mich die bei den kurzen Ausflußzeiten von 10 Secunden angestellten Zeuner'schen Versuche günstiger, als die Weisbach'schen mit 1 Min. Ich habe im Allgemeinen auch längere Ausflußzeiten benutzt, weil mir die Bestimmung des Druckes in der Mündungsebene Hauptzweck meiner Versuche war. Die mit kleineren Mündungen angestellten Versuche werden auch die zuverlässigeren sein, weil bei diesen in der gleichen Zeit die Drucksenkung ebenfalls geringer ist. Da die Curve des inneren Druckes als Function der Zeit nach unten convergirt, so werden die auf diesem Wege gefundenen Werthe von p_m zu groß sein, und zwar um so mehr, je größer bei einem Versuche die Druckänderung war. Würde man das Gesetz dieser Curve kennen, so könnte man p_m , wenn auch auf umständlicherem Wege, genauer bestimmen. Dieses dürfte aber kaum angebar sein. Es ist nämlich wesentlich abhängig von der bei der Abkühlung des eingeschlossenen Gases auftretenden Wärmemittheilung seitens der Gefäßwandungen. In der ersten Zeit des Ausströmens sind es jedenfalls diese allein, die Wärme abgeben. Denn da vor dem Beginne des Versuches die Luft innen und außen, und auch die Gefäßwandungen die nämliche Temperatur haben, so müssen sich die letzteren jedenfalls schon bis zu einem gewissen Grade abgekühlt haben, ehe die äußere Luft anfängt, Wärme abzugeben. Der Vorgang geht also jedenfalls nicht so zu beurtheilen, wie der Wärmeübergang z. B. bei Dampfkesseln. Man muß sich daher bis auf Weiteres wohl mit der benutzten oder einer ähnlichen Annäherung von p_m begnügen, also mit Resultaten, die bei bedeutenden Drucksenkungen nicht unerheblich zu groß ausfallen werden. Sonst ist der Einfluß der Wärmemittheilung bloß der einer Vergrößerung des Gefäßes während des Ausströmens, es wird der Druck nur langsamer sinken, als ohne dieselbe.

Das während eines Versuches ausgeströmte Luftgewicht läßt sich auch leicht bestimmen. Bezeichnet V das Volumen des Ausflußgefäßes, so ist vor dem Eröffnen des Hahnes ein Luftgewicht $V : v_2$ im Kessel enthalten, am Schlusse $V : v_3$, wenn man die v mit demselben Index bezeichnet, wie die p . Ausgeströmt ist sonach

$$G = \frac{V}{v_2} - \frac{V}{v_3}.$$

Nun ist $p_2 v_2 = RT_2$, und, da sich vom Augenblicke des Hahnenschlusses bis zur erfolgten Temperaturlausgleichung das spezifische Volumen v_3 nicht ändert, $p_1 v_3 = RT_2$. Hieraus v_2 und v_3 eingesetzt, giebt:

$$G = \frac{V}{RT_2} (p_2 - p_1).$$

Ist der Mündungsquerschnitt F ^{qm}, die Ausflußzeit t Secunden, so erhält man das wirklich im Mittel in jeder Secunde durch einen Quadratmeter Mündungsfläche ausgeströmte Luftgewicht zu

$$\frac{G}{F} = \frac{V}{RT_2 F} \frac{p_2 - p_1}{t} \quad (18)$$

Da bei den verhältnißmäßig kleinen Mündungen eine genaue Kenntniß ihrer Durchmesser unerlässlich ist, so habe ich dieselben schließlich, nach mehrfachen anderen Versuchen, auf der der physikalischen Sammlung des Polytechnicums gehörenden Theilmaschine, mit Benutzung des Mikroskopes ausgemessen. *) So kann man die Hundertstel von Millimetern direct ablesen, die Tausendstel noch einschätzen. Eine Wiederholung der Messung, auch in verschiedenen Durchmessern, um einer nicht ganz kreisförmigen Gestalt der Mündungen Rechnung zu tragen, liefert dann genügende Genauigkeit. Nur bei meiner kleineren Mündung ist mir eine genaue Bestimmung auf diesem Wege nicht gelungen, weil bei dem harten Material, aus dem sie gebohrt ist, der Rand einen eigenthümlichen Lichtreflex zeigte, der eine scharfe Einstellung des Fadent Kreuzes unmöglich machte. Durch anderweitige Vergleichung mit der von Hrn. Prof. Zeuner benutzten kleinsten Mündung von 4,094 ^{mm} Durchmesser hat sich meine als ungefähr 0,01 ^{mm} kleiner herausgestellt, so daß ich sie rund zu 4,085 ^{mm} angenommen habe. Natürlich sind die mit derselben gefundenen Resultate nicht so zuverlässig.

Die Ergebnisse dieser Versuche sind in den Tabellen V bis X aufgeführt. Die Versuchszeit t ist in Secunden angegeben. Sämmtliche Versuche, mit einziger Ausnahme der Weisbach'schen, sind in der Art angestellt, daß unmittelbar nach erfolgter Temperaturlausgleichung von neuem ausströmen gelassen wurde. Somit ist der Ausgleichungsdruck p_1 eines vorhergehenden Versuches gleichzeitig der Anfangsdruck p_2 des nächstfolgenden. Die Tabellen sind nun im Anschlusse an Hrn. Prof. Zeuner so angeordnet, daß das p_1 für einen Versuch immer aus Columnne 3 der nächsten Zeile zu entnehmen ist.

Es sind ferner die beobachteten Werthe von p_{min} und p_{max} angegeben. Die übrigen Rubriken enthalten dann die berechneten Größen und zwar zunächst p_2 , p_m und $G : F$ nach den Gleichungen 15, 16, 17 und 18. Zur Vergleichung der Versuche mit den theoretischen Resultaten sind die Werthe von $G : F$ nach Gl. 18, der mittlere Barometerstand b und an Stelle von p_2 der mittlere constante innere Druck p_m in die Gl. 11 und 13 eingesetzt und so die in den letzten beiden Columnnen der Tabellen enthaltenen Werthe von m und a berechnet worden. Darnach würde also sein:

$$m = \frac{1}{p_m} \frac{G}{F}, \quad (19)$$

$$a = \frac{1}{p_m - b} \left(\frac{G}{F} \right)^2. \quad (20)$$

*) Dadurch ändern sich die von Hrn. Geh. Bergrath Zeuner angegebenen, mit unvollkommeneren Instrumenten bestimmten Mündungsdurchmesser einigermaßen.

Diese Werthe müßten sich nun einmal als constant ergeben und dann auch gleich den theoretisch nach Gl. 12 und 14 berechneten, wenn die aufgestellten Hypothesen richtig sein sollen. Die theoretischen Werthe sind mit m_0 und a_0 bezeichnet und jeder Versuchreihe vorangestellt. Bei allen Versuchen, bei denen p_2 und p_3 den doppelten Barometerstand 2 b einschließen, sind die Werthe von m und a berechnet, bei den übrigen nur je einer.

Was nun zunächst die Constanz der Werthe betrifft, so ist sie bei m entschieden zu erkennen; es kommen zwar bei derselben Versuchreihe nicht unbedeutende Differenzen vor, aber namentlich nur bei kürzeren Versuchszeiten. Man muß daher diese Abweichungen als durch ungenaue Zeitbestimmung hervorgebracht annehmen. Da mit der Schreibuhr keine kleineren Zeitabschnitte als 0,2 Secunde beobachtet werden können, so wird ein ebenso großer Fehler in der Zeitbestimmung

möglich sein. Das macht aber bei 10 Secunden Ausflußzeit 2 Proc. Berücksichtigt man noch die schon erwähnte nicht besonders genaue Construction der Uhr, so sind die Variationen in den Werthen von m ganz erklärlich. Uebrigens sind sie ganz unregelmäßig und documentiren sich schon dadurch als nicht im Wesen des Ausströmungsprocesses liegend.

Nicht so sicher zeigt sich die Constanz von a , wenigstens lassen drei der Tabellen daran zweifeln. Zunächst scheint a in Tabelle V mit abnehmendem Drucke ebenfalls, wenn auch nur sehr wenig, abzunehmen. Es ist das aber wahrscheinlich Folge der ungenauen, durch graphische Interpolation bestimmten Werth von p_m . Diese Ungenauigkeit wird bei kleinen Pressungen größer, weil man es da mit viel schleifenderen Schnitten zu thun hat. Sie macht sich bei der Berechnung von a auch noch dadurch fühlbarer, daß im Nenner die Dif-

Tabelle V.

$$d = 4,094 \text{ mm.}$$

(Versuche von Hrn. Prof. Zeuner).

1.	2.	3.	4.	5.	6.	7.	8.	9.	10.
No.	t	$\frac{p_2}{p_1}$	p_{\min}	p_{\max}	p_3	p_m	$\frac{G}{F}$	m	a
I. $b = 721,0$. $T_2 = 273 + 17,3$. $m_0 = 0,3153$. $a_0 = 286,4$.									
1	10,0	2991,3	2863,7	2871,2	2867,5	2936,3	946,1	0,3223	
2	10,2	2895,3	2772,7	2777,7	2775,2	2841,5	917,9	0,3231	
3	10,0	2800,3	2686,8	2690,8	2688,8	2750,2	876,2	0,3186	
4	10,2	2711,4	2599,1	2603,9	2601,5	2662,2	839,7	0,3154	
5	10,1	2624,5	2516,4	2519,2	2517,8	2577,1	808,9	0,3139	
6	10,0	2541,6	2438,0	2442,6	2440,3	2496,0	797,3	0,3195	
7	10,0	2460,7	2360,2	2366,2	2363,2	2416,9	764,7	0,3164	
8	10,2	2383,1	2286,3	2288,8	2287,6	2340,3	731,5	0,3126	
9	10,2	2307,4	2213,4	2216,4	2214,9	2265,9	709,1	0,3131	
10	10,0	2234,0	2141,6	2145,1	2143,4	2193,4	707,6	0,3227	
11	10,0	2162,2	2070,7	2074,7	2072,7	2123,3	670,2	0,3157	
12	10,0	2094,2	2004,4	2006,9	2005,6	2055,8	637,6	0,3102	
13	10,0	2029,5	1939,1	1941,6	1940,4	1990,8	646,6	0,3249	
14	10,0	1963,9	1877,8	1880,8	1879,3	1927,3	609,1	0,3161	
15	10,0	1902,1	1819,5	1821,5	1820,5	1866,5	596,2	0,3195	
16	10,2	1841,6	1766,2	1768,2	1767,2	1808,3	566,1	0,3131	
17	10,0	1783,0	1708,1	1711,7	1709,9	1750,9	545,0	0,3113	
18	10,0	1727,7	1652,6	1654,1	1653,4	1695,5	537,1	0,3168	
19	10,0	1673,2	1599,9	1602,4	1601,2	1642,0	519,3	0,3163	
20	10,0	1620,5	1550,3	1551,3	1550,8	1590,3	503,6	0,3167	
21	9,8	1569,4	1502,1	1504,4	1503,3	1540,7	486,8	0,3159	
22	10,0	1521,0	1455,2	1457,0	1456,1	1492,8	470,2	0,3149	
23	10,0	1473,3	1409,4	1410,9	1410,2	1445,9	456,4	0,3156	286,9
		1427,0							
Mittel:								0,3167	286,9

1.	2.	3.	4.	5.	6.	7.	8.	9.	10.
No.	t	$\frac{p_2}{p_1}$	p_{min}	p_{max}	p_s	p_m	$\frac{G}{F}$	m	a
II. $b = 720,6$. $T_2 = 273 + 13,6$. $a_0 = 290,3$.									
1	10,2	1422,6	1362,2	1362,6	1362,4	1396,0	442,5		289,8
2	10,2	1377,4	1319,6	1320,1	1319,9	1351,9	417,9		276,7
3	10,0	1334,7	1276,4	1278,4	1277,4	1309,1	417,2		295,8
4	10,0	1292,9	1239,2	1239,7	1239,5	1268,8	396,4		286,6
5	10,0	1253,2	1201,0	1201,5	1201,3	1229,5	385,4		291,8
6	10,0	1214,6	1165,8	1165,8	1165,8	1192,0	366,4		284,8
7	10,4	1177,9	1128,6	1129,6	1129,1	1155,1	350,4		282,6
8	9,8	1141,4	1096,0	—	1096,0	1119,9	345,4		298,8
9	10,0	1107,5	1063,8	—	1063,8	1086,6	325,5		289,4
10	10,0	1074,9	1035,7	—	1035,7	1055,3	311,6		290,0
11	10,0	1043,7	1009,0	—	1009,0	1025,7	283,6		263,6
12	10,0	1015,3	980,4	—	980,4	997,3	275,6		274,5
13	10,0	987,7	953,8	—	953,8	970,2	263,5		278,2
14	10,0	961,3	925,6	—	925,6	943,3	260,6		305,0
15	10,0	935,2	903,5	—	903,5	919,2	225,7		256,4
16	10,0	912,6	882,9	—	882,9	897,4	221,6		277,7
17	10,0	890,4	863,3	—	863,3	876,4	205,7		271,6
18	10,0	869,8	843,7	—	843,7	856,5	195,7		281,7
19	10,0	850,2	826,1	—	826,1	838,1	179,7		274,7
		832,2					Mittel:		282,6

ferenz $p_m - b$ auftritt, die dann eben sehr klein wird. So erkläre ich mir auch die entschiedene Abnahme von a in Tabelle IX. Der letzte Werth der Tabelle VII, welche die Weisbach'schen Versuche enthält, weicht auch in der Weisbach'schen Berechnung so bedeutend von seinen übrigen ab, daß sich da ein größerer Beobachtungsfehler eingeschlichen zu haben scheint. Die übrigen Tabellen zeigen dagegen eine recht befriedigende Constanz von a , so daß ich die erwähnten Abweichungen nur als Folge von Ungenauigkeiten in der Berechnung ansehe. Ich halte demnach die von mir vorgeschlagene Annäherung der Curve $\frac{G}{F} = F(p_m)$ durch ein Stück einer Parabel und eine dieselbe berührende Gerade, wenigstens bei practischen Rechnungen, für vollkommen zulässig.

Zur Prüfung der Richtigkeit meiner Hypothese über die verschwindende Kleinheit der Widerstände werden, wie schon erwähnt, diejenigen Versuche die geeignetsten sein, bei welchen die Drucksenkung am geringsten war, weil bei diesen die Bestimmung des mittleren constanten Druckes am genauesten möglich ist. Ich habe oben nachgewiesen, daß, wenn in Folge längerer Versuchszeit oder größeren Mündungsquerschnittes die Drucksenkung zunimmt, der Werth von p_m aus den Gleichungen 16 und 17 sich zu groß ergeben muß. Da er

aber in den Ausdrücken für m und a (Gl. 19 und 20) im Nenner vorkommt, so werden diese zu klein ausfallen müssen, und zwar um so kleiner, je größer die Drucksenkung ist. Zur besseren Uebersicht habe ich nun in Tabelle XI, ungefähr nach der Größe der Drucksenkung geordnet, die Werthe von m , m_0 , a , a_0 und ihre Verhältnisse $\frac{m}{m_0}$ und $\frac{a}{a_0}$ zusammengestellt. Als Versuchszeit t ist das ungefähre Mittel der betreffenden Reihe aufgeführt.

Die Abnahme der Werthe von $m : m_0$ und $a : a_0$ mit zunehmender Drucksenkung wird durch die beiden letzten Columnen vollständig bestätigt. Den zu erwartenden numerischen Betrag der Abnahme, wenigstens von $m : m_0$, zeigen die Versuche IX und X, die mit derselben Mündung, aber bei verschiedenen Ausflußzeiten angestellt sind. Es sinkt der Werth von 0,990 und 0,989 bei 15 Secunden auf 0,977 bei 54 Secunden Ausflußzeit. Leider sind sonst diese numerischen Werthe nicht ganz zuverlässig, da d nicht genau auszumessen ging. Die übrigen Werthe von $m : m_0$ liegen sämmtlich innerhalb dieser Grenzen, und der kleinste unter denselben, von 0,979 aus Tabelle VIII, entspricht noch größeren Drucksenkungen, als bei den Versuchen aus Tabelle X vorkamen. Bei den in dieser Hinsicht zuverlässigsten Resultaten der

Tabelle VI.*)

 $d = 7,020 \text{ mm.}$

(Versuche von Hrn. Prof. Zeuner.)

1. No.	2. t	3. $\frac{P_2}{P_1}$	4. P_{\min}	5. P_{\max}	6. P_3	7. P_m	8. $\frac{G}{F}$	9. m	10. a
I. $b = 722,4$. $T_2 = 273 + 15,1$. $m_2 = 0,3165$. $a_0 = 289,5$.									
1	10,0	2977,1	2629,9	2652,5	2641,2	2826,8	897,1	0,3175	
2	10,0	2711,5	2395,7	2418,8	2407,3	2574,9	816,0	0,3170	
3	10,0	2469,9	2183,7	2201,8	2192,8	2346,0	736,9	0,3142	
4	10,0	2251,7	1980,2	1995,7	1988,0	2136,4	665,1	0,3113	
5	10,0	2054,8	1806,8	1820,9	1818,9	1950,8	606,2	0,3108	
6	9,9	1875,3	1647,5	1658,1	1652,8	1778,1	566,0	0,3183	
7	10,0	1709,4	1502,8	1514,3	1508,6	1621,7	504,3	0,3109	
8	9,9	1560,1	1371,6	1380,2	1375,9	1479,3	466,5	0,3154	287,6
		1423,4					Mittel:	0,3144	287,6
II. $b = 722,3$. $T_2 = 273 + 15,1$. $a_0 = 289,5$.									
1	9,9	1423,3	1255,0	1261,0	1258,0	1349,1	419,9		281,3
2	10,0	1300,2	1145,9	1150,4	1153,2	1231,2	380,3		284,2
3	10,0	1187,6	1051,9	1055,0	1053,5	1123,1	337,8		284,7
4	10,0	1087,6	968,5	—	968,5	1028,5	300,2		294,4
5	10,2	998,7	896,7	—	896,7	947,0	253,0		284,8
6	10,0	922,3	837,4	—	837,4	880,3	212,2		284,9
		859,5					Mittel:		285,7

Tabelle VII.**)

 $d = 10,02 \text{ mm.}$

(Versuche von Hrn. Prof. Weissbach.)

1. No.	2. t	3. P_2	4. P_3	5. P_1	6. P_m	7. $\frac{G}{F}$	8. m	9. a
I. $b = 733,0$. $T_2 = 273 + 27,0$. $m_0 = 0,3102$. $a_0 = 282,1$.								
1	60	1756,5	1393,5	1441,0	1585,4	482,3	0,3042	272,9
2	60	1513,0	1205,5	1241,5	1364,7	415,1	0,3042	272,3
3	60	1297,5	1043,0	1071,5	1173,8	345,5		270,8
4	60	1113,0	910,0	929,5	1012,8	280,5		281,2
5	60	993,0	832,0	847,5	912,8	222,4		275,1
						Mittel:	0,3042	274,6
II. $b = 742,1$. $T_2 = 273 + 26,5$. $a_0 = 286,1$.								
1	60	841,6	757,2	768,8	798,8	111,5		188,9

*) Die Werthe von $G : F$ aus dieser Tabelle sind in Fig. 8 eingetragen und habe ich gerade diese gewählt, weil m_0 und a_0 noch am besten mit den der Figur zu Grunde gelegten Werthen übereinstimmen.**) Bei diesen Versuchen war das Volumen des Kessels $V = 4,6720 \text{ Cub.-Meter.}$

Tabelle VIII.

$$d = 7,314 \text{ mm.}$$

(Eigene Versuche.)

1.	2.	3.	4.	5.	6.	7.	8.	9.	10.
No.	t	$\frac{P_2}{P_1}$	P_{\min}	P_{\max}	P_3	P_m	$\frac{G}{F}$	m	a
$b = 725,3. \quad T_2 = 273 + 14,6. \quad m_0 = 0,3167. \quad a_0 = 291,2.$									
1	29,2	3419,3	2394,0	2415,1	2404,5	2951,7	910,3	0,3084	
2	29,2	2566,6	1796,1	1813,6	1804,8	2214,1	690,2	0,3117	
3	29,4	1920,4	1345,9	1356,4	1351,1	1653,4	512,4	0,3099	282,9
4		1437,1	(Uhr versagt.)						
5	29,4	1097,3	821,5	823,6	822,5	939,0	241,3		272,5
		869,7							
Mittel:								0,3100	277,7

Tabelle V hat sich m sogar noch etwas größer als m_0 ergeben.

Zu Tabelle X ist noch zu bemerken, daß dabei eine etwas andere Versuchsmethode angewendet wurde. Es sind das nämlich die schon in Tabelle I dargestellten Versuche. Bei denselben ist p_{\min} und p_{\max} nicht beobachtet worden, sondern es wurde noch unmittelbar vor dem Hahnschlusse eine Drucknotirung vorgenommen, und dieser Druck ist als p_3 aufgeführt. Da aber nachher, wenn auch nur auf Bruchtheile einer Secunde, noch Luft ausgetrömt ist, so wird G dem beobachteten p_3 und t gegenüber zu groß sein. Derselben Abweichung unterliegt dann m, und der diesen Versuchen entsprechende Werth von $m:m_0$ wird eigentlich etwas kleiner sein, als 0,977. Der Einfluß stärkerer Drucksenkung ist dann also noch etwas größer, und die vorhandene Abnahme des Werthes von $m:m_0$ um so eher bei den übrigen Versuchen aus diesem Grunde zu erklären.

Die Werthe von $a:a_0$ zeigen auch eine ganz entsprechende Aenderung, aber in etwas höherem Grade und nicht so regelmäßig, als die von $m:m_0$, weil die Bestimmung der a eine viel schwierigere ist. Die Werthe von a aus Tabelle IX und VII II, sind, als zu unsicher, gar nicht mit aufgenommen, ebenso die aus Tabelle X, wegen Unsicherheit von d. Die ganze Tabelle VII gehört eigentlich auch nicht in diese Zusammenstellung, da Weissbach mit einem bedeutend größeren Kessel gearbeitet hat; trotz größter Mündung und längster Ausflußzeit sind daher die zugehörigen Verhältnißwerthe doch nicht die kleinsten. — Die Versuche stimmen also mit den unter Vernachlässigung der Widerstände erhaltenen Formeln ganz befriedigend überein.

Würde man, wie es gewöhnlich noch geschieht, den Widerstandscoefficienten für atmosphärische Luft gleich dem für Wasser, also

$$\zeta = 0,063$$

setzen, so würde durch Umkehrung von Gleichung 6 der Ausflußexponent

$$n = 1,377$$

werden. Damit ergäbe sich für Tabelle V

$$m_0 = 0,3040$$

und

$$\frac{m}{m_0} = 1,037,$$

eine stärkere Abweichung, als sie sonst in der ganzen Zusammenstellung in Tabelle XI vorkommt. Jedenfalls sind die Widerstände bei Luft also wesentlich geringer, als bei Wasser, und gestützt auf alle bisherigen Erwägungen und Versuchsergebnisse glaube ich mich sogar zu der gemachten Annahme berechtigt, daß man für technische Rechnungen beim Ausströmen der atmosphärischen Luft durch gut abgerundete Mündungen die Widerstände vollständig vernachlässigen darf.*) Man kann dann also

*) Während des Druckes wurde ich durch meinen hiesigen Kollegen, Hrn. Prof. d. Physik Müller, auf eine in den Mémoires de l'Académie des sciences, t. XXXII, 2. Th. veröffentlichte Arbeit Regnault's „Ueber die Ausdehnung der Gase“ aufmerksam gemacht, welche die Zulässigkeit dieser Hypothese vollkommen bestätigt. Versuche über die Wärmeerscheinungen beim Ausströmen von Gasen durch silberne Capillarröhren, führen Regnault zu dem Schlusse (S. 665), „daß, wenn sich ein Gas, sogar mit großer Geschwindigkeit, längs ausgedehnten Wandungen hinbewegt, keine merkbare Wärmezeugung auftritt, welche man der Reibung der Gasmoleküle an diesen Wandungen zuschreiben könnte.“ Und weiter S. 667: „Meiner Meinung nach wird durch die Reibung zweier Körper nur dann Wärme erzeugt, wenn ihre Moleküle nicht frei sind, d. h. wenn sie unter dem Einflusse irgend einer gegenseitigen Anziehungskraft stehen.“ Bei der atm. Luft ist diese Kraft verschwindend klein und daher die doch erzeugte „Wärme“ so gering, daß sie unseren Beobachtungsmitteln entgeht.“

Tabelle IX.

$d = 4,085 \text{ mm}$ (nicht ganz sicher).

(Eigene Versuche.)

1.	2.	3.	4.	5.	6.	7.	8.	9.	10.
No.	t	$\frac{P_2}{P_1}$	P_{\min}	P_{\max}	P_3	P_m	$\frac{G}{F}$	m	a
I. $b = 724,1$. $T_2 = 273 + 12,6$. $m_0 = 0,3179$.									
1	8,4	3414,3	3285,9	3304,0	3295,0	3361,5	1099,9	0,3272	
2	10,2	3322,5	3184,7	3194,7	3189,7	3263,7	1010,3	0,3096	
3	15,0	3220,1	3027,3	3042,3	3034,8	3137,4	974,1	0,3105	
4	14,8	3074,9	2889,9	2903,5	2896,7	2995,4	947,9	0,3165	
5	15,0	2935,5	2759,1	2768,6	2763,9	2859,0	899,6	0,3147	
6	14,8	2801,4	2633,3	2639,8	2636,6	2728,6	858,4	0,3146	
7	15,0	2675,1	2509,9	2515,9	2512,9	2604,0	819,1	0,3146	
8	15,0	2553,0	2394,6	2402,7	2398,7	2485,3	779,9	0,3138	
9	15,0	2436,7	2283,3	2291,4	2287,4	2371,4	748,7	0,3157	
10	15,0	2325,1	2180,1	2188,6	2184,4	2263,6	703,4	0,3107	
		2220,2					Mittel:	0,3148	
II. $b = 723,1$. $T_2 = 273 + 12,8$. $m_0 = 0,3178$.									
1	14,6	2218,2	2081,3	2087,8	2084,6	2159,8	687,8	0,3185	
2	15,0	2118,4	1987,1	1992,6	1989,9	2062,2	644,5	0,3125	
3	14,6	2022,3	1897,8	1903,9	1900,8	1969,1	626,4	0,3181	
4	15,0	1931,4	1812,1	1817,1	1814,6	1880,2	588,2	0,3128	
5	14,8	1843,7	1730,4	1733,9	1732,2	1794,8	569,1	0,3171	
6	15,0	1760,0	1651,2	1655,7	1653,5	1713,4	531,7	0,3103	
7	15,0	1680,3	1577,5	1581,0	1579,3	1636,0	510,8	0,3122	
8	15,0	1604,1	1505,3	1509,8	1507,6	1561,8	487,7	0,3123	
		1531,4					Mittel:	0,3142	
III. $b = 715,0$. $T_2 = 273 + 13,5$. $a_0 = 288,2$.									
1	20,4	807,8	771,9	—	771,9	789,6	141,4		268,0
2	20,6	779,0	749,9	—	749,9	764,3	114,4		265,5
3	20,0	755,6	734,1	—	734,1	744,9	85,3		243,3
4	20,0	738,5	723,3	—	723,3	731,5	60,2		219,6
5	20,0	726,5	717,2	—	717,2	722,0	38,1		207,4
		718,9							

direct nach den mit I und II bezeichneten, oben angegebenen Formeln rechnen.

Wenn man doch durch frühere Versuche erhebliche Widerstände gefunden zu haben glaubte, so liegt der Grund davon darin, daß man bei der Nachrechnung nach Gl. 2 oder anderen Formeln den Druck in der Mündungsebene gleich dem äußeren Drucke gesetzt hat, eine Annahme, die ich,

wenigstens für die gut abgerundete Mündung, als entschieden nicht richtig gefunden habe. Bei anderen Mündungen verhält es sich voraussichtlich ganz analog. Diese Druckzunahme in der Mündungsebene darf man aber nicht etwa als Folge eines Mündungswiderstandes ansehen, sie hängt jedenfalls von ganz anderen Ursachen ab. Sie muß ja auch bei höheren inneren Pressungen angenommen werden, wenn

Tabelle X.

 $d = 4,085 \text{ mm}$ (nicht ganz sicher).

(Eigene Versuche.)

1. No.	2. t	3. $\frac{P_2}{P_1}$	4. P_3	5. P_m	6. $\frac{G}{F}$	7. m	8. a
I. $b = 719,0$. $T_2 = 273 + 13,7$. $m_0 = 0,3178$. $a_0 = 289,6$.							
1	61,0	3366,4	2697,3	3054,8	946,3	0,3098	
2	53,8	2790,4	2286,1	2557,1	796,9	0,3116	
3	53,8	2362,8	1937,3	2166,0	672,6	0,3105	
4	54,2	2002,0	1643,5	1835,5	567,4	0,3091	
5	54,8	1695,1	1390,8	1552,7	481,1	0,3097	277,6
6	54,2	1432,8	1180,1	1310,3	401,0		271,9
		1216,0			Mittel:	0,3101	274,7
II. $b = 715,7$. $T_2 = 273 + 13,6$. $a_0 = 288,3$.							
1	54,0	1216,8	1010,8	1111,5	329,9		275,0
2	53,8	1038,8	880,4	952,0	255,7		276,7
		902,1			Mittel:		275,8

Tabelle XI.

Tabelle		t	d	m	m_0	a	a_0	$\frac{m}{m_0}$	$\frac{a}{a_0}$
No.	Reihe.								
V.	I.	10	4,094	0,3167	0,3153	286,9	286,4	1,004	1,00
"	II.	"	"	—	—	282,6	290,3	—	0,97
VI.	I.	"	7,020	0,3144	0,3165	287,6	289,5	0,993	0,99
"	II.	"	"	—	—	285,7	289,5	—	0,98
VIII.	—	29	7,314	0,3100	0,3167	277,7	291,2	0,979	0,95
IX.	I.	15	4,085	0,3148	0,3179	—	—	0,990	—
"	II.	"	"	0,3142	0,3178	—	—	0,989	—
X.	I.	54	"	0,3101	0,3173	—	—	0,977	—
VII.	I.	60	10,02	0,3042	0,3102	274,6	282,1	0,981	0,97

man aus den Ausflußformeln keine widersinnigen Resultate erhalten will.

Mit diesen Untersuchungen halte ich natürlich die Frage über das Ausströmen der Luft aus gut abgerundeten Mündungen noch durchaus nicht für endgiltig erledigt. Vielmehr beabsichtige ich, sie selbst später wieder aufzunehmen und gleichzeitig mit anderen Mündungen experimentell weiter zu

verfolgen. Vorher muß ich aber noch einige Umstände an den Apparaten vornehmen, so daß bis dahin vor sich längere Zeit vergehen wird. Ich habe aber doch jetzt gefundenen Resultate für wichtig genug gehalten, einstweilen zu veröffentlichen.

Zürich, im Juni 1873.

Die Eindeichung und Trockenlegung der Gaymen-Pablacker Niederung.

Artikel II. Das Wasserhebungswert zu Julienhöhe.

Von

Ropka,

Civilingenieur in Goslau a. S.

(Hierzu Tafel 3, 4, 5, 6—7.)

Es wurde schon im Artikel I, woselbst die Deiche, Canäle und Wehre der Gaymen-Pablacker Niederung beschrieben wurden, darauf hingewiesen, daß das zur Entwässerung und Trockenhaltung der gedachten Niederung erforderliche Wasserhebungswert anderen Bedingungen zu genügen hatte, als dergleichen Werte in sonstigen Fällen zu erfüllen haben.

Namentlich wurde durch den Umstand, daß die Niederung keine ringsum eingedeichten Polder bildet, sondern die Zuflüsse aus einem ziemlich bedeutenden Seitenterrain in sich aufnehmen muß, die Berechnung der zu fördernden Wassermassen schwieriger, als in den gewöhnlichen Fällen, wo der Wasserhebungsmaschine nur die Aufgabe zufällt, einen ringsum geschlossenen Polder trocken zu halten.

Ebenso wurde durch die von den Niederungsbewohnern gestellte Forderung, daß das ganze Terrain den Winter über unter Wasser bleiben, und letzteres von dem Beginn des Grasschnittes in kürzester Frist herausgeschafft werden sollte — die Anordnung des ganzen Werkes wesentlich verschieden von derjenigen anderer, lediglich auf permanente Trockenhaltung der Niederungsländereien berechneter Wasserhebungswerke. Während bei solchen für geschlossene Polder construirten Werken eine mehr regelmäßige, nur bei starkem atmosphärischen Niederschlag etwas steigende Wasserförderungsarbeit zu verrichten ist, war bei dem vorliegenden Werke zur Zeit der Frühjahrsentwässerung, in Folge der von den Grundbesitzern gestellten vorhin erwähnten Bedingungen und ebenso im Sommer zur Zeit starker Regengüsse, in Folge der erwähnten Zuflüsse aus dem Seitenterrain — die schnelle Entwicklung größerer Arbeitskräfte für die schnell heraus zu fördernden sehr bedeutenden Wassermassen als eine Hauptsache zu betrachten.

Civilingenieur XX.

Die Anlage der Werke drehte sich daher vornehmlich um die Frage, wie groß die bei sehr starken Regengüssen in der Gaymer Niederung, mit Einschluß ihres Seitenterrains, zusammenlaufende Wassermasse sei, oder, mit anderen Worten, wie hoch die im Flußgebiete der Beel und des Draßgrabens bei sehr starken Regengüssen niederfallende, in der Niederung sich sammelnde, und von der Schöpfmaschine fortzuschaffende Wassermasse zu veranschlagen wäre. Es bedarf wohl keiner Erwähnung, daß diese Aufgabe unter Berücksichtigung aller Umstände ebenso wichtig wie schwierig war, und daß die Mittel und Wege zu ihrer Lösung keinesweges mannigfaltig, sondern äußerst beschränkt sind.

Im Allgemeinen stehen hierfür nur 4 Wege offen, nämlich:

1. Directe Wassermessung an den Flußmündungen bei starken Regenfluthen und annähernde Berechnung der stärksten, seit Menschengedenken vorgekommenen Fluth aus den gewonnenen Resultaten und den etwa vorhandenen, sich über eine Reihe von Jahren erstreckenden Pegelbeobachtungen.
2. Ermittlung der Wassermasse aus dem höchsten, seit Menschengedenken vorgekommenen, atmosphärischen Niederschlage.
3. Feststellung der in benachbarten, ringsum eingedeichten Niederungen vorgekommenen größten Regenfluth, und annähernde Berechnung auf eine, nach der Landseite offene Niederung.
4. Feststellung der in einer benachbarten offenen Niederung vorgekommenen größten Regenfluth und Annahme einer mit der Fläche proportionalen Wassermasse.

Von diesen Mitteln war jedenfalls das ad 1 angeführte dasjenige, welches die sichersten Resultate versprach, allein seine Anwendung für die Bestimmung der Wassermasse der Caymer-Niederung war von so viel Zufälligkeiten begleitet, daß wenig Hoffnung vorhanden war, es zur Anwendung zu bringen.

Eine directe Wassermessung an den Flußmündungen konnte nur dann Erfolg versprechen, wenn in der Periode von Beschlußfassung des Baues bis zu seinem Angriffe solche Regenfluthen eintraten, die sich der zu erwartenden größten zum mindesten stark näherten. Abgesehen aber davon, daß die Möglichkeit für den Eintritt solcher Fluthen eben nicht groß war, ist zu einer solchen directen Messung unumgänglich erforderlich, daß die Flußmündungen, in denen die Wassermessungen vorgenommen werden sollen, zur Zeit des Eintritts entsprechend starker Regenfluthen, für hydrometrische Operationen zugänglich sind — und daß die Auswässerung der Niederung ganz durch die Flußmündungen, vielleicht auch noch durch einige andere zugängliche Nebenläufe geht.

Ein Blick auf die Karte der Caymer Niederung, und eine Erwägung ihrer Wasserstandsverhältnisse (Artikel I)* zeigt aber sogleich, daß voraussetzlich des Eintritts einer starken Regenfluth, die Möglichkeit — in den Flußmündungen und etwaigen Nebenläufen Wassermessungen anzustellen — sehr gering ist, indem nur bei niedrigem Haffstande die Flußmündungen zugänglich sind, und im Allgemeinen die Auswässerung der Niederung nicht durch einzelne Flußprofile, sondern fast auf der ganzen Südküste des kurischen Haffs von No. 2 bis 29 und von No. 38—54 des Situationsplanes erfolgt, auf welcher lang ausgedehnten Strecke sich begreiflicher Weise, theils wegen Unsicherheit der Beilung, theils wegen des starken Wellenschlages, keine auch nur einigermaßen werthvolle Wassermessungen anstellen ließen.

Somit war keine Aussicht vorhanden, durch directe Messungen diejenige Wassermasse zu bestimmen, welche bei sehr starken Regenfluthen von der Schöpfmaschine zu bewältigen war, denn es gehörten zu solchen Messungen zwei zufällige Ereignisse — starker Regenfall und niedriger Haffstand — deren gleichzeitiger Eintritt in der Periode, in welcher das Project zu den Maschinen ausgearbeitet werden mußte, schwerlich zu erwarten stand — und in Wirklichkeit in der gedachten Zeit auch nicht vorkam.

Gleichwohl wurde Alles bereit gehalten, um, bei gleichzeitigem Eintritt starker Regenfluthen und kleinem Haffstande, sofort mit hydrometrischen Operationen vorzugehen, und die hierdurch ermittelte Wassermasse mit der, auf anderem Wege nothgedrungen berechneten, zu vergleichen resp. die letztere zu corrigiren und die Maschinen danach zu rectificiren.

Letzteres ließ sich leicht dadurch möglich machen, daß mit dem Bau der Kreispumpe und der Dampfessel erst ganz zuletzt vorgegangen wurde, weil man durch Veränderungen im Kreisel Durchmesser und in der Dampfspannung begreiflicherweise es immer noch in der Hand hat, innerhalb gewisser Grenzen die Leistungsfähigkeit der Maschinerie zu vergrößern oder zu verkleinern.

Der Zufall wollte es übrigens, daß im Frühjahr 1857, als bereits die Maschinen, wie auch die Außenwerke im Bau waren, eine günstige Gelegenheit zu solchen directen Wassermessungen eintrat — die auch sofort benutzt wurde — zu Veränderungen in den Maschinen indessen keinen Anlaß gab, weil die gewonnenen Resultate in sehr befriedigender Weise mit der, in anderer Weise berechneten Wassermasse übereinstimmten.

In dem gedachten Frühjahr nämlich, wo wie gewöhnlich die ganze Niederung unter Wasser stand und die projectirte Deichlinie ebenfalls inundirt war, trat ein ziemlich starker Südwind ein, der, in Folge der in Artikel I geschilderten Wasserstandsverhältnisse des kurischen Haffs, die Fluthen desselben nordwärts trieb, und das Wasser an der Südküste abfallen ließ. Nach einigen Tagen lag die ganze projectirte Deichlinie trocken und die beiden Flüßchen Beel und Brastgraben liefen bordsvoll aus, so daß die ganze Niederung sich nebst einigen kleinen Nebenläufen vornehmlich durch die Mündungsprofile der gedachten Flüsse entwässerte. Zu gleicher Zeit nahm das Binnenwasser der Niederung Pegelstände an, die sehr nahe denjenigen gleich kamen, welche nach den langjährig angestellten Beobachtungen der bekannten größten Regenfluth entsprechen. In diesem Zustande blieb das Binnenwasser mehrere Tag lang stehen, und man konnte daher die in dieser Zeit pro Secunde ausfließende Wassermasse als sehr nahe übereinkommend mit der bei starken Regenfluthen durch die Maschinen fortzuschaffenden Wassermasse betrachten. Die directe Wassermessung ergab 130 Cub.-Fuß pro Secunde, während die vorher in anderer — in Nachfolgendem näher erörterter — Art und Weise berechnete Wassermasse sich auf 125 Cub.-Fuß calculirte. Die Differenz von 5 Cub.-Fuß konnte natürlicher Weise keinen Anlaß geben, von den projectirten Dimensionen der bereits in Bau begriffenen Maschinen abzuweichen, wie denn auch überhaupt die erwähnte Messung mehr zur Controлле der bereits früher aufgestellten anderweiten Berechnungen dienen konnte.

Es konnte demnach das ad 1 angeführte Mittel zur Vorherbestimmung der Wassermasse nicht gebraucht werden, und ebenso wenig das ad 2 gedachte, nämlich die Bestimmung der Wassermenge aus der Höhe des atmosphärischen Niederschlages.

Es unterliegt wohl keinem Zweifel, vorausgesetzt, daß in einer Gegend seit Jahren genaue Beobachtungen über die Höhe des atmosphärischen Niederschlages und über die Verdunstung angestellt sind, daß man diese Beobachtungen sehr

*) Civilingenieur, Band XVIII, S. 231, Taf. 15—16.

gut für die Bestimmung der in einer benachbarten Niederung herauszufördernden Wassermasse verwenden kann.

Sämmtliche Regenhöhen des Jahres addirt und davon die Verdunstungshöhe subtrahirt, giebt diejenige Regenhöhe h , welche theils in den Boden einsickert, theils aber abfließen muß. Da man nun bei der Entwässerung von Niederungen mit einem constanten Binnenwasser-Stande (im minimo 1 bis $1\frac{1}{2}$ Fuß unter der Erdoberfläche) zu thun hat, und der darunter liegende Boden also vollkommen mit Wasser gesättigt ist, so bleibt für das Einsickern nur eine verhältnißmäßig dünne Schicht übrig, und man kann die Regenhöhe h entweder geradezu oder doch mit einer kleinen Correctur als diejenige annehmen, welche von den Wasserhebungsmaschinen aus der Niederung heraus geschafft werden muß. Bedeutet F die Fläche des Terrains, welches durch die Maschine beherrscht werden soll, so ist Fh die jährlich zu fördernde durchschnittliche Wassermasse.

Verschieden von dieser durchschnittlichen jährlichen Wassermasse ist jedoch diejenige Wassermasse, welche bei starken Wolkenbrüchen u. s. w. von den Schöpfmaschinen aus der Niederung zu schaffen ist, um dieselbe vor momentanen, partiellen Ueberfluthungen zu schützen — und auf diesen Fall müssen die Maschinen begreiflicher Weise vorbereitet sein.

Um über die erforderliche Maschinenkraft zu einem richtigen Urtheil zu gelangen, ist daher vornehmlich die genaue Kenntniß von derjenigen Regenhöhe h' erforderlich, welche nach langjährigen und zuverlässigen Beobachtungen bei den stärksten Regengüssen oder Wolkenbrüchen beobachtet wurde. Diese mit der Fläche F des betreffenden Terrains multiplicirt, giebt die direct in dasselbe gefallene Regenmasse Fh' . Bedeutet endlich t die Zeitdauer der Wolkenbrüche, so wäre $\frac{Fh'}{t}$ diejenige Wassermasse, welche in der Zeiteinheit von den Maschinen aus der Niederung zu schaffen ist, um den Binnenwasserstand, trotz des Regens, bei seinem normalen Stande festzuhalten. Da indessen in den allermeisten Fällen ein Steigen des Binnenwassers bis auf eine gewisse, der Fertlichkeit gemäß, leicht festzustellende Höhe zulässig ist, so ist es nicht nöthig, daß die Zeit t derjenigen gleich sei, welche die Maschinen zur Herauschauffung der Regenfluth brauchen, und man kann die letztere erheblich größer als t annehmen und sie, unter n eine durch Erfahrung festzustellende Zahl verstehend, $= nt$ setzen.

Hiernach ist das von den Maschinen in der Zeiteinheit zu fördernde Regenwasser $= \frac{Fh'}{nt} + V$, wenn man unter V diejenige Wassermasse sich vorstellt, welche aus dem Seitenterrain durch Flüsse, Bäche und Gräben außerdem noch in die Niederung gelangt. Diese Wassermasse V ist indessen, wenn directe Messungen nicht ausführbar sind, und ihre Bestimmung ebenfalls aus den beobachteten Regenhöhen erfolgen

soll, eine so unsichere Zahl, daß, wenn V gegen $\frac{Fh'}{nt}$ eine erhebliche Größe bildet, die ganze Berechnung nach dem atmosphärischen Niederschlage unzuverlässig wird — so daß man von dieser Berechnungsweise im Grunde nur dann Gebrauch machen kann, wenn V gegen $\frac{Fh'}{nt}$ unerheblich ist.

Um nämlich V in vorgedachter Weise zu bestimmen, hätte man zunächst h' mit der Fläche F' des ganzen Flußgebietes der Zuläufe, oder des nach der Niederung abwärts liegenden Seitenterrains zu multipliciren, um die Wassermasse V' zu erhalten, welche momentan außerhalb der Niederung bei heftigen Wolkenbrüchen u. s. w. niederfiel. Von V' ginge ab die Wassermasse V^2 , welche sofort in den Boden sinkt und je nach der Beschaffenheit desselben außerordentlich verschoben ist, und es bliebe dann als Zufluß in die Niederung die Wassermasse $V^3 = V' - V^2$ übrig. Davon sehr verschieden ist die Wassermasse V , welche in der Zeiteinheit von den Maschinen zu heben ist, um das Binnenwasser auf seinem normalen Stand zu halten, resp. es bis zu seiner äußersten zulässigen Höhe anzuheben zu lassen.

Zunächst nämlich treffen die Gewässer nicht vollkommen gleichzeitig mit der Wassermasse $\frac{Fh'}{nt}$ zusammen, denn sie bedürfen einer größeren, schwer zu berechnenden Zeit, um erst in die Niederung zu gelangen, und treffen daher vor den Schöpfwerken später ein, als die ersten direct in die Niederung gefallenen Regenmassen, so daß die Werke in der ersten Zeit nur dem Andränge der Letzteren, in der darauf folgenden Zeit aber dem vereinten Andränge beider Fluthen zu widerstehen haben.

Wie viel nun aber von V^3 in der Zeiteinheit in dieser Periode vor den Schöpfwerken anlangt, hängt so sehr von der Formation der ganzen Gegend, von der Verzweigung der Binnengräben und Canäle, von deren Reinhaltung, von Stürmen und andern zufälligen Ereignissen ab, daß sich dieser Gegenstand aller Berechnung entzieht.

Da nach den früheren Berichten über die Caymer Niederung, die aus dem Seitenterrain zufließende Wassermasse V einen Hauptfaktor der totalen Wassermasse bildet, überdies zu jenen Zeiten keine zuverlässigen Beobachtungen über die Regenhöhen vorlagen, so konnte von dem ad 2 gedachten Mittel kein Gebrauch gemacht werden, und mußte aus obigen Gründen von der Berechnung der Wassermasse aus dem atmosphärischen Niederschlage Abstand genommen werden.

Aus denselben Gründen — nämlich weil die aus dem Seitenterrain in die Niederung kommende Regenmasse verhältnißmäßig sehr groß gegen die in die Niederung selbst fallende Regenmasse war — konnte auch von dem ad 2 angeführten Mittel kein Gebrauch gemacht werden, obwohl sich

Gelegenheit zur Bestimmung der, in einer ringsum eingedeichten Niederung, oder in einem einzelnen Polder einfallenden, Regenmasse in der nicht allzuweit entfernten Elbinger Niederung darbot.

Wenngleich nicht direct zu dem vorliegenden Thema gehörig, so wird es doch nicht ohne Interesse sein, wenn Verfasser die in der Elbinger Niederung gemachten Erfahrungen über die zur Trockenlegung der Polder erforderliche Maschinenkraft anführt, und einen Vergleich mit der in anderen Niederungen angewendeten Maschinenkraft anstellt.

Bis zur Mitte der fünfziger Jahre unseres Jahrhunderts wurde die Elbinger und Marienwerder Niederung, deren Eindeichung und Einpolderung zum großen Theil schon zur Zeit des deutschen Ordens begonnen war, lediglich durch sogenannte Wasser-Ausmahlmühlen entwässert und trocken gehalten. Diese Ausmahlmühlen wurden durch Windkraft getrieben und kann man sich eine ziemlich genaue Vorstellung davon machen, wenn man sich eine gewöhnliche sogenannte Holländer Windmühle mit drehbarer Haube und vollständigem Rutenzeuge denkt. Die stehende Welle dieser Mühle auch „Kaiserstiel“ genannt, an der sonst die Transmission für die Mahlgänge angeschlossen ist, geht indessen hier durch alle Stockwerke hinab bis in das Niveau der Niederung, und treibt hier durch eine meistens sehr einfache Transmission die eigentliche Wasserförderungsmaschine. Fast ausschließlich (Verfasser fand nur in der Dallstädter Niederung eine Wasser Schnecke) wurde hierzu das Wurfrad benutzt und war dasselbe durchweg nach ein und demselben System construirt und unmittelbar neben der Mühle, meistens ohne alle Bedachung, aufgestellt. Für diesen Zweck wurde der Zuleitungscanal dicht an das Fundament der Mühle herangeführt und zog sich hier bis zur Breite des Wurfrades (14 bis 18 Zoll) in dem sogenannten Wassergange zusammen. Der Wassergang war durch zwei parallele Bohlwerke gebildet, deren sauber gearbeitete Beplankung mit einem Spielraume von circa $\frac{1}{4}$ Zoll sich den Schaufeln des Wurfrades näherte, während die Sohle des Wasserganges gegen den Auslauf hin ganz ähnlich gebildet war, wie ein gewöhnliches Kropfgerinne. Der Wassergang mit dem Kropfgerinne schloß gegen das Vorwasser der Niederung durch die sogenannte „Wachtthüre“ ab, die in nichts anderem bestand, als in einer Klappe — ähnlich wie die hängenden Klappen an Schleusen zc. Da jedoch die Breite dieser Klappe nur 14—18 Zoll (nämlich die gleiche Breite, wie der Wassergang) ihre Höhe aber 6—10 Fuß (nämlich vom höchsten Vorwasser bis zum höchsten Punkte des Kropfes) betrug, so war es allgemein üblich und auch zweckmäßig, daß man die Klappe nicht um die horizontale Oberkante, sondern um eine der verticalen Seitenkanten drehen ließ — wodurch sie ganz und gar die Form einer, nach dem Vorwasser hin aufschlagenden, Thüre bekam. In Verbindung mit dem in dortiger Mundart gebräuchlichen

Ausdruck „Wacht“ für „Woge“ erhielt diese Klappe den oben angeführten Namen „Wachtthüre“.

Die Wurfräder selbst waren zwar nur in Holz, aber in sehr zweckmäßiger Weise construirt. Auf der liegenden Welle war ein doppeltes Armgeviert angebracht, welches durch starke Bohlen in seinen 4 Quadranten versperrt war. In diese Bohlen waren die Fußenden der Schaufeln verzapft, während ihre Enden durch kreisförmige, an den Hauptarmen befestigte Zangen gefaßt wurden. Somit war die Construction durchaus fest und solide — ließ sich indessen nur in dem Falle anwenden, wenn man die Schaufelbreite so klein annahm — daß jede Schaufel aus einem einzigen Stücke, der Breite nach, hergestellt werden konnte. Auf diese Weise war man genöthigt, die Breite der Wurfräder und des Wasserganges nur so hoch anzunehmen, als die Breite der Bohlen betrug, deren man habhaft werden konnte. Diesem Umstande hat das vorhin angeführte Breitenmaß von 14—18 Zoll seine Entstehung zu verdanken.

Dies System war bis zu dem vorhin angeführten Zeitpunkt durchweg in Gebrauch, bekam aber durch einen in jener Zeit eintretenden Bruch der Weichsel-Dämme eine andere Gestalt. Der gedachte Weichsel-Durchbruch war einer der verheerendsten, die je vorgekommen waren, indem außer den Hauptdeichen noch eine große Menge von Nebendeichen durchbrochen wurde, und die meisten Polder unter Wasser kamen. Nachdem die Weichsel einen kleineren Wasserstand eingenommen, ging man sofort an die Schließung der Dämme und an die Fortschaffung der in den Poldern stehengebliebenen Wassermassen. Es zeigte sich aber sehr bald, daß die bisherigen Wasserausmahlmühlen, die bis dahin die permanente Trockenhaltung besorgt hatten, für den vorliegenden Zweck bei Weitem nicht ausreichend waren, und entschloß man sich theilweise, die Windmühlen außer Activität zu setzen und neben den Wurfrädern Dampfmaschinen aufzustellen. Dieselben wurden fast alle von Elbinger Maschinenfabriken und namentlich von der Schirchau'schen geliefert und legten in kurzer Zeit die Ländereien trocken. Zu gleicher Zeit aber fand die Anwendung des Dampfes statt der unzuverlässigen Windkraft einen so großen Anklang unter den Niederungsbewohnern, daß in den folgenden Jahren allmählig alle Windmühlen beseitigt, und fast in allen Poldern Dampfmaschinen aufgestellt wurden.

Die Elbinger Fabriken gingen bei Bemessung der Pferdekraft für diese Maschinen von gewissen Erfahrungszahlen aus, und wurde namentlich dabei angenommen, daß man zur Trockenhaltung eines kulmischen Morgens bei 4—6 Fuß Förderhöhe circa $\frac{1}{2}$ Pferdekraft bedürfe.

Bei dem gegenwärtig vorliegenden Entwässerungsprojecte des Zuyder Zees hat man nach den bei dem Harlemer Meer angestellten Beobachtungen ähnliche Erfahrungszahlen

gefunden, und soll dort 1 Pferdekraft für 67 Hektaren bei circa 1 Meter Hub ausreichend erachtet werden.

Nimmt man die Förderhöhe in den Weichselniederungen im Durchschnitt zu $1\frac{2}{3}$ Meter an, so trifft dort — da die in jener Gegend zu damaliger Zeit landesübliche kullmische Hufe nahezu doppelt so groß, wie die preussische — also ungefähr mit 60 preuß. Morgen zu berechnen ist:

$\frac{1}{2}$ Pferdekraft auf 60 preuß. Morgen, oder

$\frac{1}{4}$ Pferdekraft auf 30 preuß. Morgen.

Der preuß. Morgen ist aber = 0,2553 Hektare, daher

$\frac{1}{4}$ Pferdekraft auf $30 \cdot 0,2553 = 7,659$ Hektaren bei $1\frac{2}{3}$ Meter Förderhöhe trifft. Dieses ist gleichbedeutend mit

1 Pferdekraft auf 30,738 Hektaren bei $1\frac{2}{3}$ Meter Hub, und mit

1 Pferdekraft auf 51,2 Hektaren bei 1 Meter Hub.

Diese große Missetimmung von 15,8 Hektaren mit den Erfahrungen am Harlemer Meer, woselbst — wie angeführt — pro 1 Pferdekraft 67 Hektaren gerechnet werden, hat ohne Zweifel ihren Grund in der Verschiedenheit der Arbeitseinheiten, die man in den verschiedenen Ländern auf eine Pferdekraft rechnet. Wenn Verfasser annehmen darf, daß man bei den Ermittlungen am Harlemer Meer die Pferdekraft zu 75 Kilogramm-Meter angenommen hat, so findet eine bessere Uebereinstimmung in der Anzahl der Hektaren, die auf die Pferdekraft treffen, in beiden Fällen statt.

In den preussischen Ostsee-Provinzen rechnete man nämlich zu jener Zeit, als die erwähnten Ermittlungen angestellt wurden, die Pferdekraft zu 400 Fuß-Pfund, wobei als Gewichtseinheit das Zollpfund = 2 Kilogr. und als Längeneinheit der preuß. Fuß = 0,3139 Meter zu Grunde gelegt war. Hiernach hatte die Pferdekraft nur:

$$400 \text{ Fußpfund} = \frac{400}{2} \cdot 0,3139 = 63,8 \text{ Kilogr.-Meter,}$$

welche für 51,2 Hektaren ausreichend waren, und es müßten demnach 75 Kilogr.-Meter auf 60,2 Hektaren treffen.

Unter diesen Umständen würden beim Harlemer Meer pro 1 Pferdekraft 67 Hektaren, bei den Weichselniederungen „ 1 „ 60,2 „ zu rechnen sein, und mithin eine aus der Dertlichkeit leicht erklärbare Differenz von nur 6,8 Hektaren stattfinden.

Bei der Caymen-Lablader Niederung, bei der — wie bereits erwähnt — der ganze Zufluß aus dem Seitenterrain von der Schöpfmaschine zu bewältigen ist, gestalten sich diese Zahlen begreiflicher Weise erheblich anders, und lassen sich dieselben aus den früheren Berichten leicht herleiten.

Es stellt sich nämlich eine secundliche Wasserförderung von 60 Kub.-Fuß bei 1 Meter Hub in gewöhnlichen Fällen, wo das in das Seitenterrain fallende Regenwasser langsam der Niederung zufließt, und später als das eigentliche Nie-

derungswasser an den Schöpfwerken eintrifft, als genügend heraus und kann man diesen Zustand nahe übereinstimmend mit den Verhältnissen eines ringsum eingedeichten Polders annehmen.

Es sind nun

$$90 \text{ Kub.-Fuß} = 0,0309 \times 90 = 2,781 \text{ Kub.-Meter}$$

und die hierbei verrichtete secundliche Arbeit:

$$= \frac{2,781 \cdot 1000}{75} = 37 \text{ Pferdekraft in runder Zahl.}$$

Die Fläche der Niederung beträgt 11000 preuß. Morgen oder

$$11000 \cdot 0,2553 = 2808,3 \text{ Hektaren}$$

und es treffen mithin

$$\text{auf 1 Pferdekraft à 75 Kilogr. Meter } 75,8 \text{ Hektaren.}$$

Ganz anders gestaltet sich dagegen dies Verhältniß bei starken Regenschluthen, wo das Wasser aus dem Seitenterrain rapide in die Niederung strömt, und sehr bald vereint mit dem eigentlichen Niederungswasser an die Schöpfwerke gelangt.

Hier war nach den früheren Berichten eine secundliche Wasserförderung von 125 Kub.-Fuß bei einer durchschnittlichen Förderhöhe von 1 Meter erforderlich, um das Austreten der Binnengräben und Flüsse zu verhüten.

Es sind aber:

$$125 \text{ Kub.-Fuß preuß.} = 125 \cdot 0,0309 = 3,8625 \text{ Kub.-Meter}$$

und daher die secundliche Arbeit:

$$= \frac{3,8625 \cdot 1000}{75} = 51,5 \text{ Pferdekraft à 75 Kilogr.-Met.}$$

Die Niederungsfläche beträgt nach dem Vorigen 2808,3 Hektaren, daher auf 1 Pferdekraft

$$\frac{2808,3}{51,5} = 54,5 \text{ Hektaren treffen.}$$

Wie in dem Vorhergehenden nachgewiesen, ließ sich also auf dem gewöhnlichen Wege eine Vorherbestimmung der in der Caymen-Lablader Niederung bei stärksten Regenschluthen von den projectirten Wasserhebungswerken zu fördernden Wassermasse nicht ausführen, und es mußte daher in einer etwas außergewöhnlichen Art und Weise hiermit vorgegangen werden.

Die benachbarte Pegelniederung, welche bisher noch nicht eingedeicht war, und in die sich zur Zeit starker Regengüsse die Schluthen aus dem Seitenterrain in ganz derselben Weise ergossen, wie dieses bei der Caymer Niederung der Fall war, befand sich mit dieser außerdem noch in ganz denselben Rückstau- und Sommerfluthverhältnissen, hatte aber für auszuführende hydrometrische Operationen den Vortheil, daß sich bei allen Wasserständen — selbst den höchsten — stets noch Flußprofile vorfinden, die zugänglich waren, und in denen sich daher Wassermessungen vornehmen ließen.

Ganz besonders eigneten sich hierzu gewisse Profile von

Königsberg, nämlich der Lütthauer-Baum und die sogenannte Hohe-Brücke.

Der Pregel theilt sich nämlich vor Königsberg in zwei Arme, von denen der eine sich längs dem Nordabhange des Pregelthales hinzieht, und beim Lütthauer-Baum in die Stadt eintritt, während der andere sich an dem Südbhange des Pregelthales hält und innerhalb der Stadt überbrückt ist.

Der sogenannte Lütthauer-Baum im Nordarm des Pregels besteht in einer Absperrung des Flusses, behufs Einziehung der Steuern von den mit Fracht beladenen Schiffen, welche den Riemen herab in den Pregel, und von da nach Königsberg kommen. Diese Absperrung besteht in quer durch den Strom gerammten, etwa 35 Fuß auseinander stehenden starken Pfählen, zwischen denen Schwimmbalken liegen, welche die Passage absperrten. Durch Ausschwenken derselben wird die Durchfahrt frei, und es können die Schiffe nach Berichtigung ihrer Steuern in Königsberg einfahren.

Es bildete somit der Lütthauer-Baum ein für hydrometrische Arbeiten vollständig zugerichtetes Profil, indem die Pfähle gewisse Sectionen abtheilten und die Schwimmbäume die gerade durch das Profil gehende Linie markirten.

Ganz ähnlich wurde durch die Joche der in Holz gebauten Hohen-Brücke ein für hydrometrische Arbeiten gut vorgeordnetes Profil gewonnen, und somit war Verfasser im Stande, fast bei allen Pegelständen Wassermessungen vorzunehmen, und die hier durchgehenden Wassermassen zu beobachten.

Da nun, wie gesagt, die Niederung an den Landseiten offen ist, und nach den früheren Berichten Perioden vorkommen, in denen sich der Pegel ausschließlich nach dem frischen Haff entwässert und die Deime-Mündung nicht benutzt, so lag die Möglichkeit vor, durch Benutzung solcher günstiger Perioden die Wassermasse des ganzen Pregelflußgebietes oberhalb Königsberg, bei gewissen Pegelständen, in den gedachten beiden Flußprofilen zu messen.

Solche Perioden aber waren gerade nicht schwierig zu finden, denn nach den früheren Berichten wässert der Pregel bei starkem Süd Sturm durch die Deime ins kurische Haff — bei starkem Nordsturm in das frische Haff — aus, indem im ersten Falle der Rückstau im frischen Haff, im zweiten der Rückstau im kurischen Haff den Abfluß verhindert.

Es wurde auch angeführt, daß dieser Rückstau bei sehr heftigem Sturm so stark wird, daß die Gewässer des frischen Haffs rückwärts durch Pregel und Deime nach dem kurischen Haff und umgekehrt gehen.

Um nun möglichst genau die Wassermassen des ganzen Pregelflußgebietes in den gedachten beiden Profilen zu beobachten, mußten die Messungen zur Zeit des Nordwindes angestellt werden und womöglich in solchen Momenten, bei denen in der Deime weder eine Vor-, noch Rückwärtsströmung zu bemerken war.

Die Operationen wurden dadurch begünstigt, daß solche Momente bei der Frühjahrsauswässerung sehr oft eintreten, und daß sich die Beobachtung des Deimewasser sehr bequem an den über dieselbe gehenden Brücken, durch einfache Schwimmer, bewerkstelligen ließ.

Verfasser hatte nun, da, wie nachgewiesen, von den andern Hilfsmitteln kein Gebrauch gemacht werden konnte, den Plan, die Wassermasse des ganzen Pregelflußgebietes oberhalb Königsberg bei einem Pegelstande zu beobachten, welcher der höchsten bekannten Sommerfluth gleich kam, so dann möglichst genau den Flächen-Inhalt des gedachten Flußgebietes zu ermitteln und für die größten Sommerfluthmassen der Caymer Niederung einen, dem Flußgebiet der Beek und des Brastrabens proportionalen, Theil von den Fluthen des Pregelflußgebietes anzunehmen.

Da nun aber keine Aussicht dafür vorhanden war, daß in der Zeit, welche zur Aufstellung des Bauprojectes disponibel war — eine der höchsten Sommerfluthen eintreten würde — so blieb nichts übrig, als für diese einen entsprechenden Pegelstand während der Frühjahrsauswässerung zu substituiren, und die bei demselben gefundenen Resultate für diejenigen der höchsten Sommerfluth einzusetzen.

Nach den seit etwa 30 Jahren durch die Strombaubehörden angestellten Pegelbeobachtungen lag die höchste Sommerfluth

bei 9' 6" Königsberger Pegel (Lütthauer-Baum) und bei 12' 5" Tapaner Pegel

und entsprechen allemal auch bei der Frühjahrsentwässerung einem Wasserstand von 9' 6" am Pegel bei Königsberg, einem solchen von 12' 5" am Pegel zu Tapan.

Gefälle und Fluthprofil der höchsten Sommerfluth war daher vollkommen gleich mit einem Frühjahrswasserstande von 9' 6" Königsberger Pegel, und man war daher berechtigt, auch die Wassermassen beider nahezu gleich anzunehmen, d. h. die hydrometrischen Operationen bei 9' 6" Frühjahrswasser vorzunehmen, und die hierbei ermittelte Wassermasse als diejenige zu betrachten, welche bei den größten Sommerfluthen im Flußgebiete des Pegels zusammenliefe.

Die Messungen wurden mit dem Woltmann'schen Flügel in der Art ausgeführt, daß das Flußprofil in Sectionen, sowohl der Breite als auch der Tiefe nach, zerlegt und in jeder Section die mittlere Geschwindigkeit gemessen wurde. Diese mit dem Querschnitte der betreffenden Section multiplicirt gab die Wassermasse einer Section, und die Summe der Wassermassen aus allen Sectionen gab die ganze durch das Profil gehende Wassermasse.

Die Messungen ergaben pro Secunde:

im nördlichen Pregelarm 5116 Kub.-Fuß

im südlichen Pregelarm 4524 „

in Summa 9640 Kub.-Fuß.

Die etwas weitläufige Ermittlung des Flußgebietes des

Pregels schloß mit 240 Quadratmeilen, die der Beel und des Braßgrabens mit 3 Quadratmeilen in runden Zahlen ab, und es war daher die bei den größten Regensfluthen in der Caymen-Lablader Niederung zusammenlaufende Wassermasse auf $\frac{9640}{240} \cdot 3 = 120$ Kub.-Fuß pro Secunde zu veranschlagen, wofür bei der Berechnung der Maschinen 125 Kub.-Fuß angenommen wurden, weil das Flußgebiet des Pregels an einzelnen Stellen sich doch nicht mit so großer Schärfe feststellen ließ, als daß man unbedingt auf die Zahl 120 sich verlassen konnte, dieselbe vielmehr als das Minimum der fortzuschaffenden Wassermasse betrachtet werden mußte.

Ueberhaupt kann man bei solchen Berechnungen immer nur auf Näherungswerthe hoffen, auch wenn die Durchführung mit der größten Sorgfalt geschieht, und war namentlich der Proportional-schluß von 9640 Kub.-Fuß bei 240 Quadratmeilen, auf 120 bei 3 Quadratmeilen immer ein gewagter Uebergang, der namentlich in den Fällen, wo das obere Flußgebiet im Gebirgsterrein liegt, ganz unzulässig gewesen wäre. In dem vorliegenden Falle jedoch, wo der in Betracht gezogene Strom ganz in der Ebene liegt, und wo selbst die äußersten Quellen nur in einem unbedeutenden Höhenzuge ihren Ursprung haben, erschien der vorerwähnte Proportional-schluß für eine ohnehin nur annähernde Berechnung gerade nicht verwerflich.

Immerhin aber war es erforderlich, in der darauf folgenden Zeit, und selbst während des Baues, jede Gelegenheit wahrzunehmen, durch die eine Controle der vorstehenden Berechnung herbeigeführt wurde.

Aus diesem Grunde wurde auch fortwährend auf die Mündungen der Beel und des Braßgrabens geachtet, und die schon erwähnte Wassermessung in denselben in dem geeigneten Zeitpunkte vorgenommen.

Dieselbe schloß, wie bereits erwähnt, mit 130 Kub.-Fuß pro Secunde ab und differirte also mit der Berechnung aus dem Flußgebiete des Pregels nicht erheblich.

Weniger Schwierigkeiten hatte die Vorherbestimmung derjenigen Wassermasse, welche bei der Frühjahrseutwässerung von den Werken gefördert werden mußte.

Wie schon früher berichtet, war von den Grundbesitzern die Bedingung gestellt, daß die ganze, hauptsächlich aus Wiesen bestehende, Niederungsfläche zur Frühjahrszeit bis kurz vor dem beginnenden Graswuche unter Wasser gehalten werde, um die Sinkstoffe des letzteren zur Düngung der Wiesen zu verwenden.

Hierdurch wurde es nun aber nöthig, zu einer gewissen Zeit die Wassermassen schnell fort zu schaffen, und es entstand nun die Frage, wie groß für diesen Zweck die secundlich zu fördernde Wassermasse anzunehmen sei.

Es mußte natürlich zunächst seitens der Grundbesitzer eine Zeitangabe über die Dauer dieser Entwässerungsperiode

gemacht werden, und wurden dieselben darüber schlüssig, daß die Frühjahrseutwässerung einen Zeitraum von circa 8 Tagen umfassen sollte.

Da nun die Maschinenkraft der Werke auf eine secundliche Wasserförderung von 125 Kub.-Fuß bei 3 Fuß Förderhöhe dem Vorhergegangenen gemäß berechnet werden mußte, die durchschnittliche Förderhöhe im Frühjahr aber nur zu 1 Fuß anzunehmen war, so konnte man mit der angenommenen Maschinenstärke auf eine Frühjahrswasserförderung von $125 \cdot 3 = 375$ Kub.-Fuß rechnen.

Ebenso war, wie schon früher berichtet, in den meisten Fällen darauf zu rechnen, daß ein Theil der Niederungsgewässer von selbst durch die beweglichen Wehre abließ, und es war daher nur eine Proberrechnung nöthig, ob die obigen 375 Kub.-Fuß pro Secunde ausreichen würden, im ungünstigsten Falle — wenn nämlich ein Ausfluß durch die Wehre nicht stattfand — die Niederung von dem ganzen Wasser zu befreien.

Es ließ sich aber aus der Grundfläche und aus den verschiedenen Ueberfluthungstiefen der Niederung, mit Hilfe der Karten und Pläne, die ganze in der Niederung zur Frühjahrszeit angehäuften Wassermasse hinlänglich genau berechnen und stellte sich dabei heraus, daß ein secundlicher Abfluß von 375 Kub.-Fuß hinreichen werde die Niederung in etwa acht Tagen trocken zu legen.

Zur Controle für diese Berechnung wurde die mehrfach erwähnte Wassermessung im Frühjahr 1857 in den Mündungen des Beel und des Braßgrabens benutzt. Nach den Beobachtungen nämlich betrug die ausfließende Wassermasse 130 Kub.-Fuß pro Secunde und wäre, wenn man die Zeitdauer des Ausflusses hätte direct beobachten können, die Berechnung sehr einfach und sicher gewesen.

Hierzu war indessen keine Aussicht vorhanden, vielmehr war anzunehmen, — wie es auch wirklich geschah — daß sich durch Veränderung der Windrichtung schon in einigen Tagen ein anderer Ausfluß einstellen werde.

Es wurden daher einige der mit den Wasserverhältnissen genau bekannten und bei obigen Messungen gegenwärtigen Niederungsbesitzer mit möglichst genauer Beantwortung der Frage beauftragt: „in wie viel Tagen die Niederung trocken laufen würde, falls jene sehr lebhaftes Auswässerung anhaltend fortduere?“

Diese Zeit-Lage lief auf 3 Wochen oder 21 Tage hinaus und mußten daher, um die Niederung in 8 Tagen trocken zu legen, $140 \cdot \frac{21}{8} = 341$ Kub.-Fuß pro Secunde durch die Werke herausgeschafft werden.

Da die auf die Sommerfluthen normirte Maschinenkraft, wie nachgewiesen, aber im Stande war, 375 Kub.-Fuß zu fördern, so ließ sich annehmen, daß sie auch für die Früh-

jahrsentwässerung bei ungünstigen Ausflußverhältnissen völlig ausreichend sein werde.

Die Verschiedenheit in der Wassermasse, welche einerseits im Sommer und andererseits im Frühjahr zu fördern war, gab nun besonders Veranlassung dazu, daß Verfasser, statt der sonst üblichen Wasserförderungs-Maschinen, Kreiselpumpen zur Anwendung brachte.

Da man nämlich bei Kasten- oder Kolbenpumpen die Anzahl der Kolbenstiele nicht wesentlich bei der Frühjahrsentwässerung, behufs Fortschaffung der 3 Mal größeren Wassermasse, vermehren konnte, so waren für diesen Zweck eine Anzahl Reserve-Pumpen anzuordnen, wodurch die Baukosten erheblich gesteigert worden wären. Ebenso wenig sind Wurfäder — selbst mit stellbaren Lagern — im Stande, dieser Unregelmäßigkeit zu folgen, ohne daß besondere Reserveräder für die Frühjahrsentwässerung angeordnet werden.

Dagegen liegt es in der Natur der Kreiselpumpen, daß sie bei einerlei Umdrehungszahl um so mehr Wasser fördern, je kleiner die Förderhöhe ist, und daß die zu ihrer Bewegung dienende Dampfmaschine, sowohl bei kleiner, wie auch bei größerer Hubhöhe, immer nahezu gleiche mechanische Arbeit zu verrichten hat.

Die durch die Centrifugalkraft dem Wasser mitgetheilte Ausflußgeschwindigkeit V an der Austrittsöffnung der Maschine entspricht nämlich einer gewissen Geschwindigkeitshöhe h , und es ist einleuchtend, daß, wenn die Differenz zwischen Vorwasser und Binnenwasser ebenfalls $= h$ ist, die Geschwindigkeit, mit der das Vorwasser in die Oeffnung der Kreiselpumpe einzudringen sucht, ebenfalls $= V$ ist und die Wasserförderung $=$ Null sein muß. Es kann eine solche daher immer nur dann stattfinden, wenn die Niveau-Differenz h_1 zwischen Vor- und Binnenwasser kleiner als h ist, und es ist dann immer $h - h_1$ die Geschwindigkeitshöhe des Ausflusses.

Da die zugehörige Geschwindigkeit

$$V = \sqrt{2g(h - h_1)}$$

ist, so wird V und damit zugleich das geförderte Wassergut um so größer, je kleiner bei constantem h die Förderhöhe h_1 wird. Der Umstand, daß sich die Verschiedenheit in dem zu fördernden Wassergut durch die Förderhöhe nahezu ausgleicht, ist ein wesentlicher Vorzug der Kreiselpumpe vor den anderen Niederungsentwässerungs-Maschinen, und wurde sie vornehmlich dieserhalb, sodann aber auch wegen der sehr einfachen Maschinen-Combination, die sie gestattet, für die Caymer Niederung zur Anwendung gebracht.

Die Anordnung der Maschinen und des ganzen Werkes ist aus Tafel 3 und 4 ersichtlich. kk sind die Kreiselpumpen, welche durch die gekuppelte Welle w mit um 90 Grad versetzten Krummzapfen und die ange deuteten conischen Räderpaare in Bewegung gesetzt werden. Diese Welle erhält ihre Bewegung durch eine Zwillingmaschine, deren Cy-

linder bei n liegen. Die Vertiefung n im Mauerwerke nimmt den Condensir-Apparat auf, der durch die am Hinterende des Cylinders durchgehenden Kolbenstangen in Bewegung gesetzt wird. Der Dampferzeugungsapparat besteht in 2 Cornwallen Kesseln, und liegt in einem besonderen Kesselhause neben dem Maschinengebäude. Die ganze Anlage vereinfachte sich auch noch dadurch, daß wegen der bedeutenden Schwungmasse der Kreisel ein besonderes Schwungrad für die Zwilling-Maschinen nicht erforderlich war.

Die specielle Zeichnung der Kreiselpumpen ist auf Tafel 5 gegeben und zerfällt die Anlage des ganzen Werkes in folgende Haupttheile:

- a 1 Dampfmaschine von 60 Pferdekraft,
- b 2 Kreiselpumpen von $6\frac{1}{4}$ Fuß Durchmesser,
- c 2 Dampfessel,
- d 1 Maschinenhaus,
- e 1 Kesselhaus,
- f 1 Esse,
- g 2 Einlaßschleusen,
- h 1 mit den Kreiselpumpen combinirte, gemeinschaftlich mit denselben manövrirende Auslaß-Schleuse

Von diesen Haupttheilen des Wasserhebungswerkes ist die Auslaßschleuse auf Tafel 6—7 im Grundriß und in zwei Profilen dargestellt, und dienen zum Verständniß der Zeichnungen die folgenden Bemerkungen. Die beiden aus starkem Mauerwerk gebildeten Schleusenammern A Tafel 6—7, Fig. 1, beherbergen die beiden großen Kreiselpumpen und sind durch den Boden b , den in der Oeffnung m liegenden Kreisel, und durch die Wand c in zwei übereinander liegende Räume getrennt, die nur durch die Kreiselpumpen mit einander communiciren.

Der untere Theil B steht mit dem Binnenwasser der Niederung in Verbindung, und münden hier die beiden Haupt Canäle, der Beek- und Brast-Canal, ein. Der obere Theil A steht mit dem Vorwasser — d. h. mit dem Kurischen Haff — in Verbindung und beginnt hier der Abfluß-Canal. Die Klappen K , welche in dem Grieswerk g angebracht sind, trennen, wenn sie geschlossen sind, den Raum A von dem Abfluß-Canal resp. dem Kurischen Haff, und stellen, wenn sie geöffnet sind, die Verbindung des Raumes A mit dem Vorwasser wieder her.

Die Klappen K sind um den Punkt X drehbar und hängen für gewöhnlich lothrecht herab. Wenn die ganze Maschinerie des Werkes still steht, so drückt das Vorwasser diese Klappen fest an die Griesäulen, weil zwischen diesen und dem Binnenwasser eine Niveaudifferenz von 3—4 Fuß besteht, und die Auslaßschleuse übernimmt dann die Functionen eines Rückstauwehres, indem sie das Haff und alle etwa eintretenden Rückstaufluthen von der Niederung vollständig abschließt.

Wenn hingegen die Maschinen und folglich auch die

Fig. 2.



Fig. 3.



Fig. 4.



Fig. 5.

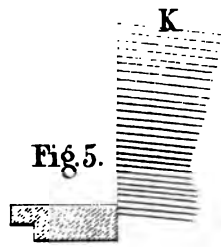


Fig. 6.

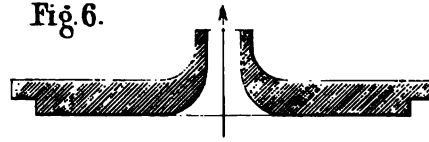


Fig. 7.

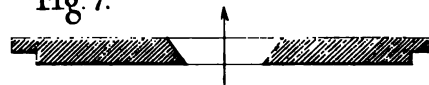


Fig. 8.

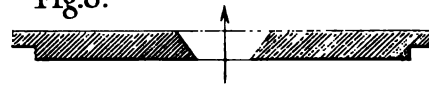


Fig. 9.

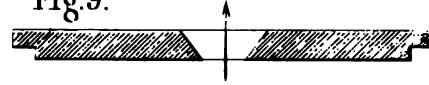
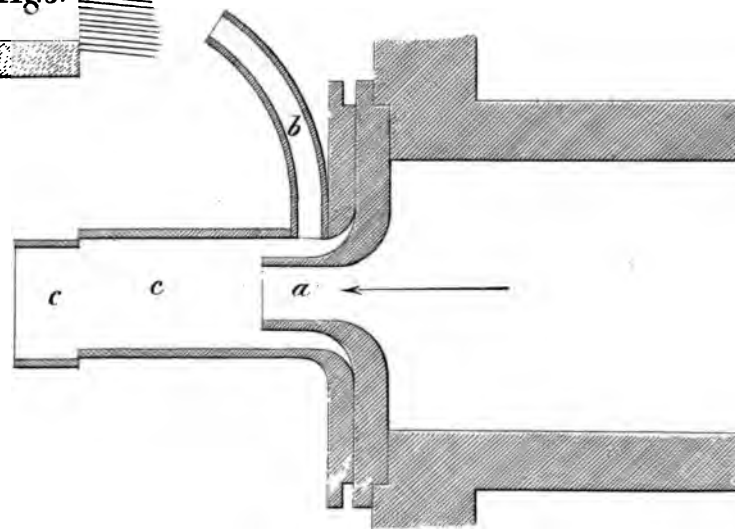
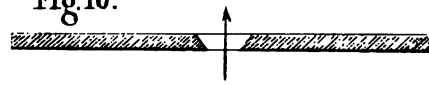
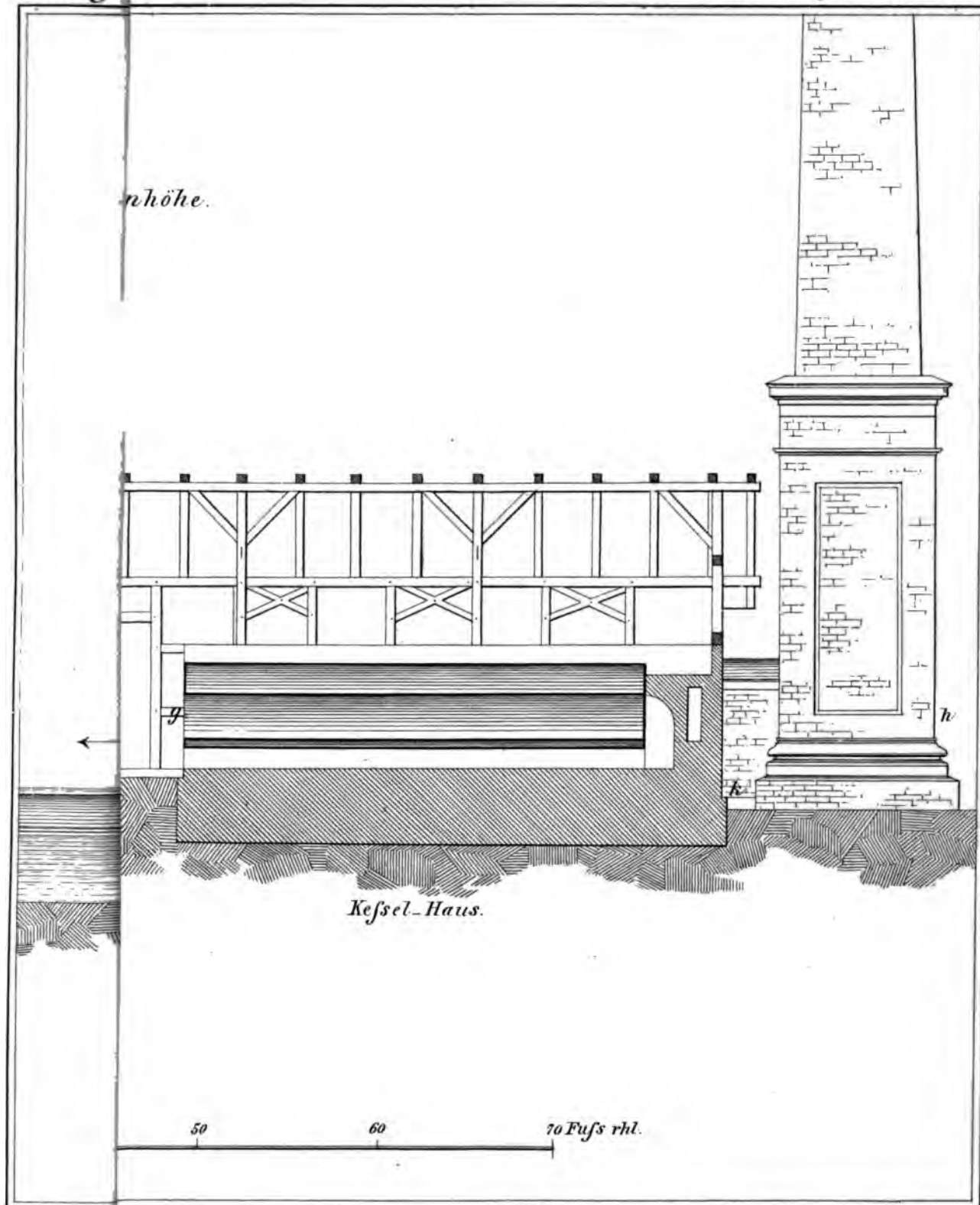


Fig. 10.

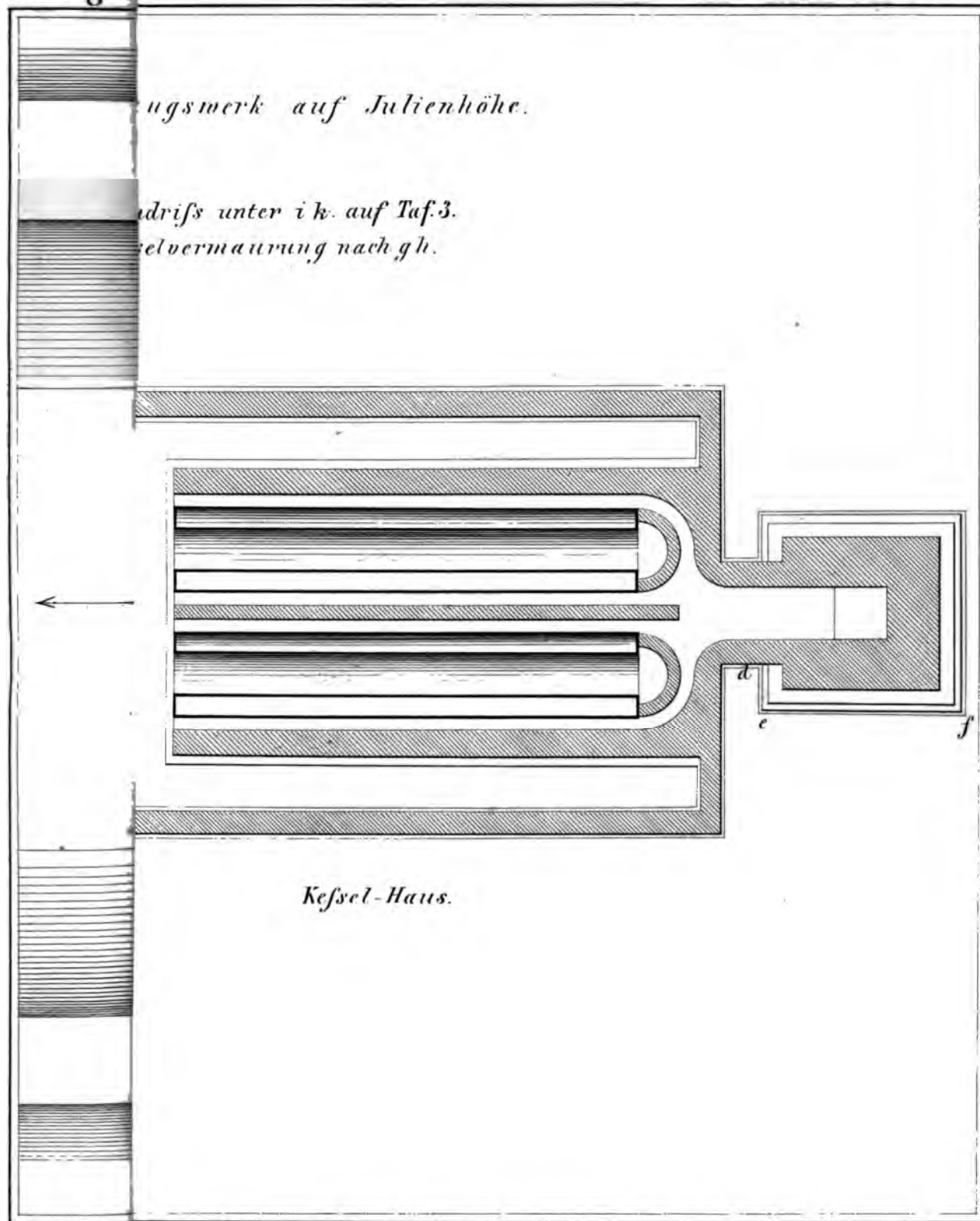


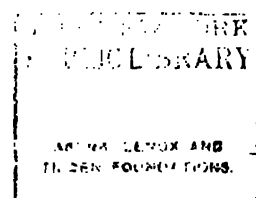
TILBEN COUNTY
PUBLIC LIBRARY
AS OF JAN 1 1966
TILBEN COUNTY, ILL.

THE LIFE OF
JAMES M. LADD
BY
JAMES M. LADD AND
JILLIAN LADD



THE NEW YORK
PUBLIC LIBRARY
ASTOR LENOX TILDEN FOUNDATION
1942





beiden großen Kreiselpumpen in Thätigkeit sind, so fördern letztere das Binnenwasser aus der Abtheilung B nach Abtheilung A, und es nimmt das erstere schon nach einigen Kreiseldrehungen in A einen größeren Stand als im Haß ein.

In Folge dessen entsteht an der Klappe K ein Ueberdruck von innen nach außen; sie drehen sich um x, schlagen auf und lassen das geförderte Wasser durch den Abfluß-Canal nach dem Haß abfließen, so lange die Maschinerie im Gang bleibt.

Soll die Wasserförderung eingestellt werden, so läßt man die Maschinen abstellen; es schließen sich dann die Klappen K von selbst und bilden, wie früher einen wasserdichten Abschluß zwischen Vor- und Binnen-Wasser.

Es wird aus dem eben Gesagten der Zweck und das Manövriren der Auslaß-Schleuße klar geworden sein, und es bleibt noch übrig, die Constructionen zu erläutern.

Der erste Haupttheil dieser Auslaßschleuße ist das bei den meisten Schleußen oder Freiarchen gebräuchliche Grieswerk g, mit der darunter liegenden Spundwand s, Tafel 6—7, Fig. 1.

Diese Spundwand ist mit einem starken Holze, dem **Fachbaum** r, verholmt und darin verzapft. Vor derselben befinden sich die sogenannten **Blattpfähle** p, welche mit dem **Fachbaum** r verbolzt sind und der ganzen Spundwand eine **größte** Steifigkeit geben. Die einzelnen Pfähle der Spundwand sind mit vollem Spunde und Nuth gearbeitet und **mußten** am Fuße, wegen der zu durchfahrenden Schichten **von** scharfem Kies, mit einem eisernen Schuß versehen werden. Der **Fachbaum** r ist zweimal gefalzt, und zwar einmal **für** die Abschlußdecke z des Vorherdes und einmal **für** den **Boden** v, welcher die Kammer der Kreiselpumpen theilt.

Auf den **Fachbaum** setzen sich in gewöhnlicher Weise mittelst guter Zapfen die Gries Säulen h, welche für das Einlegen der Klappen k mit Falzen versehen sind, und mit dem **Griesholme** y verholmt sind. Im Ganzen sind sechs solcher **Gries Säulen** vorhanden, wovon vier in den Ecken stehen und jede der zwei Abflußöffnungen begrenzen, während, um **schmäleren** Klappen k zu erhalten und deren Breite zu beschränken, zwischen je zweien dieser Hauptgries Säulen je eine **Zwischensäule** von schwächeren Dimensionen eingestellt wurde.

Da die zwei mittleren Haupt-Gries Säulen fest und dicht gegen das Mauerwerk schließen mußten, um die erforderliche totale Wasserabsperrung zwischen dem Haß und Binnenwasser zu erreichen, so war es nöthig, diese Gries Säulen in ihrer unerrückbaren Lage gehörig zu sichern, und wurden deshalb die Doppeltstreben O angeordnet. Dieselben stemmen oben in die Gries Säulen und unten in die Längsschwellen l, welche zugleich den Längenverband der vier Reihen von Grundpfählen, aus denen der Vorherd besteht, bilden.

Außer einer gut gearbeiteten Verriegelung sind diese Streben

Civilingenieur XX.

gegen das Ausheben durch Eis noch mit starken Schraubenbolzen auf den gedachten Längsschwellen befestigt.

Die Klappen K sind aus gespundeten, doppelt übereinander gelegten Planken verfertigt. Auf der Rückseite befinden sich hölzerne, starke Keisten, denen gegenüber auf der Vorderseite die in Fig. 2, Tafel 6—7, verzeichneten Eisenschienen liegen. Beide sind durch Schraubenbolzen, welche durch die Plankenlage hindurch gehen, verbunden, wodurch den Klappen die erforderliche Steifigkeit gegeben wird.

In Punkt x, Fig. 1, Tafel 6—7, befindet sich an den Eisenschienen ein Charnier, um welches die Klappen drehbar sind. Die Schraubenbolzen, welche die Schienen mit den hölzernen Keisten verbinden, haben ihre Köpfe bei den Schienen, die Muttern dagegen bei den Holzleisten. Hierdurch wird erreicht, daß der Schwerpunkt der Klappen nicht in der Plankenlage liegt, sondern aus derselben, nach dem Binnenwasser zu, etwas herausfällt. In Folge dessen hängt die Klappe nicht vollkommen lothrecht, sondern steht — sich selbst überlassen — etwas geöffnet, und gestattet den Ausfluß schon bei der geringsten Erhebung des Binnenwassers über das Vorwasser, wodurch der Gefälle-Verlust vermieden wird, der anderenfalls eintreten würde. Wenn nämlich die Klappen, sich selbst überlassen, fest in ihren Nuthen liegen und dicht anschließen, so ist bei dem bedeutenden Gewichte derselben eine gewisse Druckhöhe nöthig, um die Klappen während der Wasserförderung fortwährend offen zu halten. Um diese Druckhöhe muß das Binnenwasser höher gehoben werden, und es entspringt hieraus ein Arbeitsverlust, der durch die angeführte Verlegung des Klappen-Schwerpunktes vermindert wird.

Andererseits schließt aber auch die Klappe — wie die Erfahrung gelehrt hat — sofort, wenn das Vorwasser um ein ganz Geringes höher, als das Binnenwasser steht. Selbstverständlich muß man sich indessen hierbei hüten, den Schwerpunkt nicht zu weit aus der Planlage heraustreten zu lassen, weil hierdurch das auf der einen Seite Gewonnene auf der andern Seite verloren geht.

In diesem Falle würde der Druckhöhen-Verlust während der Wasserförderung sich auf ein Maximum reduciren, dagegen die Klappe erst dann schließen, wenn das Vorwasser eine bemerkliche Höhe über dem Binnenwasser gewonnen hat.

Der Vorherd V der Auslaß-Schleuße ist gebildet durch die Grundpfähle, welche in 4 Reihen nach der Breite der Schleuße gestellt und mit Querschwellen verholmt sind. Zur größeren Versteifung dieser Grundpfahlreihen sind die bereits erwähnten Längsschwellen l, in die sich die Doppeltstreben der Gries Säulen setzen, über den Querschwellen verlämmt. Zwischen den Längsschwellen l und den Seitenwänden der Schleuße ist die Abschluß-Decke der Schleuße, aus eichenen Bohlen bestehend, eingelegt und auf die Querschwellen vernagelt, wobei das Ende der Bohlen von der in den **Fachbaum** r gestemmen Nuth aufgenommen wird und hier mit Nägeln befestigt ist.

Die beiden Seitenwände der Auslaß-Schleuße sind in der Hauptsache durch starke Futtermauern M gebildet, jedoch ist denselben nach der Wasserseite hin eine Holzwand vorgelegt.

Die Gründe für die Anordnung derselben sind in dem Baumaterial zu suchen, aus denen die massiven Wände M hergestellt werden mußten.

Bei dem vollständigen Mangel an lagerhaften Bruchsteinen in dortiger Gegend ist man daselbst lediglich auf den Backsteinbau und auf den Bau aus gesprengten Feldsteinen von unregelmäßiger Form angewiesen. Für das massenhafte Mauerwerk in den Fundamenten des Wasserhebungswerkes wäre der Backsteinbau viel zu theuer geworden, und mußten daher Feldsteine, welche mit Pulver gesprengt wurden, dazu verwendet werden.

Solche Steine (Granitblöcke) befanden sich in reichlichem Maße an der Küste des Hafes, und lieferten das Material zu den sämtlichen Bauwerken der Niederung. Für solche Mauern, wie die in Rede stehenden, welche der Spülung des Wassers und starkem Wellenschlage ausgesetzt sind, ist indessen der gewöhnliche Verband, den die Maurer bei der Verwendung solcher unregelmäßiger Steinstücke anwenden, nicht genügend, auch wenn die Scheeren mit gut einpassenden Zwickeln ausgeschlagen und mit Portland-Cement verstrichen werden. Der letztere haftet auf den glatten Steinflächen nicht besonders und geht noch viel weniger eine chemische Verbindung mit denselben ein.

Die in der Auslaß-Schleuße zu erwartende heftig strudelnde und wirbelnde Bewegung mußte zuverlässig ein Auswaschen der Cementfugen und ein Auspülen der Zwickeln zu Wege bringen, und es konnte dieser Angriff nur dadurch unschädlich gemacht werden, daß entweder die äußere Schicht der Mauer M aus zugehauenen Granitquadern hergestellt, oder aber eine hölzerne Schutzwand, wie in der Zeichnung angegeben, angeordnet wurde.

Wegen der großen Kosten, welche die Herstellung von Quadern aus hartem Granit verursacht, wurde bei der Bauausführung das letzte Mittel vorgezogen, obwohl das erste projectirt war.

Die in Rede stehenden hölzernen Schutzwände sind durch die Wandstiele w, welche dicht hinter den Querschwellen stehen, gebildet, indem dieselben verholmt und nach der Wasserseite hin mit Planken bekleidet sind. Die Planken sind von Eichenholz und gespundet, während die Holme in dem Griesholme y verzapft und mit eisernen Eibes schlägen verbunden sind. Die in den Ecken der Schleuße stehenden Gries säulen sind genuthet und legen sich hier die Enden der Wandungsböhlen ein.

Um diese Gries säulen, ähnlich wie die mittleren, fest und wasserdicht gegen das Mauerwerk zu pressen, sind ähnliche Streben wie bei O im Innern der Schutzwände angeordnet. Da hier keine Längschwellen l durchgehen, so sind

diese Streben am Fußende mit Verjagung in die W eingelassen und mit Schraubenbolzen befestigt.

Die beiden Mittelwände der Schleuße haben Keilplantung erhalten, und sind aus Wandstielen gebildet, auf die Längschwellen l aufgesetzt, in diese verzapft und den Streben O überschritten sind. Der darüber gehende β ist in den Griesholm verzapft und mit eisernen Bolzen befestigt.

Zur Versteifung der 4 Wände und zur Erhaltung des Parallelismus sind die Spannbalken γ angeordnet. Diese sind mit den 4 Wandholmen überschritten und in den Gelenkpunkten mit Schraubenbolzen befestigt.

Zwischen dem, dem Griesholm y zunächst liegenden Spannbalken und dem letzteren ist durch Ueberlegen der Planken eine Laufbrücke gebildet, die theils zur Communication, theils zur Befichtigung der beweglichen Theile der Schleuße dient.

Der Boden zwischen den Grundpfählen t ist bei 4 Fuß Tiefe ausgebaggert, und dafür eine Betondecke eingebracht; ebenso ist vor der Schleuße eine solide Packung P angeordnet, um das Auspülen der Solen Abfluß-Canals zu verhüten.

Der Holzbau im Innern der Kammern A und B die Kreiselpumpen war ursprünglich beim Entwurf des nicht in Aussicht genommen, vielmehr war nur der Boden v, welcher sich theils auf durchgehende Schwellen theils auf die Ränder der Kreiselpumpen lagert, projectirt, und sollte der ganze Bau der Kammerwände aus Klinkern hergestellt werden, wie in Fig. 1, Tafel 5.

Bei der Bauausführung indessen mußte hiervon der großen Kosten Abstand genommen werden, und es daher die Kammerwände ebenfalls aus gesprengten Gesteinsblöcken hergestellt.

Verfasser war daher genöthigt, aus denselben Gründen, die bei der Schleuße die Anordnung von hölzernen Wänden nothwendig machten, im Innern der Pumpkammern die in der Zeichnung Tafel 6—7 angegebene Ausschürzung mit Holz anzuordnen, besonders da hier die heftige und wirbelnde Bewegung des Wassers noch weit als in der Schleuße und die Gefahr des Auspüls der Fugen viel bedeutender war.

Diese Holzausschürzung besteht aus Kreuzholzstücken im sogenannten Gehrfaß verbunden und in die Gries säulen verzapft sind. Um an den letzteren das nöthige Gewicht einzustemmen einer Ruth zu gewinnen, wurden sie, in dem Grundrisse ersichtlich, gegen das Mauerwerk um vorgelückt.

Die Holzausschürzung, welche schon in Folge der Construction als Gehrfaß eine beträchtliche Steifigkeit wurde außerdem noch durch die Binder δ und die

langen Schraubenbolzen ε gegen den hier sehr heftigen Wasser-Angriff verstärkt.

Außerdem wurden sämtliche Fugen mit Berg kalfatert und die ganze Holzausschürzung mehrmals mit Theer überjogen.

Die Quertwand c wurde nicht dicht an die hintere Kammer-Mauer, sondern in einiger Entfernung von derselben angelegt, so daß hierdurch ein Zwischenraum T entstand.

Dieser Zwischenraum macht es möglich, daß die Maschinen, nach Trockenlegung der Pumpenkammer, leicht an das bei D befindliche Spurlager der Kreispumpen, woran häufige Correcturen und Regulirungen vorkommen, gelangen können.

Die für die Auslaß-Schleuße angenommenen Holzstärken und sonstigen Dimensionen sind folgende

Stärke der Spundwand	8 Zoll,
„ des Fachbaumes	14 u. 16 „
„ der Hauptgriessäulen	14 u. 14 „
„ der Mittलगriessäulen	12 u. 12 „
„ des Griessholmes	14 u. 16 „
„ der Planen der Klappen	2 $\frac{1}{2}$ „
„ der hölzernen Leisten daran	5 „
„ der Streben	9 „
„ der Grundpfähle	10 „
„ der Querschwellen	10 u. 10 $\frac{1}{2}$ „
„ der Längsschwellen	10 u. 11 „
„ der Abschußdecke	3 „
„ der Wandstiele	10 „
„ der Wandholme	11 „
„ der Wandplanen	3 „
„ der Spannballen	10 u. 11 „
„ der Planen der Laufbrücke	2 $\frac{1}{4}$ „
„ der Schürzhölzer	5 „
„ des Kammerbodens	3 „

Länge der Pumpenkammern	13 $\frac{1}{2}$ Fuß
Breite derselben	9 $\frac{1}{2}$ „
Länge der Schleuße	14 „
Breite derselben	25 $\frac{1}{4}$ „
Fundament-Tiefe der Kreispumpen	4 $\frac{1}{2}$ „

Die Ausführung des Baues selbst, nach dem in vorstehenden erläuterten Bauprojecte, machte keine sonderlichen Schwierigkeiten.

Die nöthigen Hölzer, mit Ausnahme des extrastarken Bauholzes, wurden in den benachbarten Forsten ausgesucht und gefällt, und wurde von daher auch alles Holz zu den übrigen, ausgedehnten Bauten in der Niederung beschafft. Das extra Startholz war indessen in den gedachten Forsten nicht aufzutreiben, und mußte hierzu polnisches Holz verwendet werden, wovon reichliche Flöße den Memel-Strom herabkommen.

Nachdem der Abfluß-Canal ausgegraben und in der Nähe des zu erbauenden Wasserhebungswerkes mit einem starken Fängdamm gegen das Haff abgeschlossen, auch der ganze Bauplatz für das Etablissement gegen plötzlichen Einbruch von Rücktaufutthen aus dem Kurischen Haff, mit einer Verwallung und sonstigen Schutzwerken versehen war, wurde die Baugrube für das ganze Werk incl. der Schleuße ausgehoben und in letzterer zuerst mit den Kammarbeiten begonnen.

Nach Fertigstellung derselben wurde der ganze Holzbau der Auslaß-Schleuße, mit Ausschluß der Ausschürzung der Pumpenkammern, vorgenommen und gleichzeitig die Fundamentlager der Maschinerie, der Kessel und der Gebäude vorgetrieben.

Demnächst wurde das aufgehende Mauerwerk, sammt den massiven Schleußenwänden ausgeführt und mit dem Montiren der schweren Maschinen vorgegangen, woraus schließlich nach erfolgter Aufstellung der Kreispumpen, die Holzausschürzung in der Pumpenkammern ausgeführt wurde.

Ueber den Amsler'schen Polar-Planimeter, und über graphi- mechanisches Integriren im Allgemeinen.

Von

Chr. Nebls,

Ingenieur in Hamburg.

(Hierzu Tafel 8 und 9.)

Die vorhandenen zahlreichen Arbeiten über den Amsler'schen Planimeter sind, so weit sie mir bekannt sind, mehr oder weniger mangelhaft, einmal hinsichtlich der Theorie des als völlig richtig angenommenen Instruments selbst, zweitens und hauptsächlich aber auch deshalb, weil sie von einer Correction des fehlerhaften Instruments Nichts wissen. Ich habe die vorliegende Abhandlung geschrieben, um wenigstens einem Theile dieser Mängel abzuheffen; der Leser möge beurtheilen, ob mir dies gelungen ist.

a) Theorie des fehlerfreien Instruments.

Die Theorien von Wittstein, Reitz u. A. machen unbeschränkten Gebrauch von der höhern Mathematik, besonders von dem bestimmten Integral, und werden dadurch für eine oberflächliche Betrachtung allerdings kurz und elegant; ihre Schwäche indessen liegt darin, daß sie in Folge dieses Verfahrens das Instrument nicht genügend analysiren. Ich habe im Folgenden eine Art elementarer Darstellung gewählt; die Theorie büßt dadurch an Kürze ein, sie gewinnt aber an Gründlichkeit und macht es möglich, daß man sich für irgend einen Spezialfall in jedem Augenblick über die Angabe des Instruments und ihre Bedeutung genaue Rechenschaft geben kann. Es scheint mir für das Verständniß des Instruments hierin ein wesentlicher Vortheil zu liegen.

Man denke sich eine gerade Stange AC (Fig. 1, Taf. 8), die an einem Ende eine verticale lose Rolle A hat; die normale Drehachse dieser Rolle fällt mit der geometrischen Achse der Stange in eine Verticalebene, und die Rolle kann sich nur um ihre Achse drehen, sich aber nicht nach der Längsrichtung der Stange verschieben. Wird diese Stange über eine horizontale Ebene fortbewegt, so daß die Rolle (mit Reibung) beständig auf der Ebene läuft und die Stange derselben stets parallel bleibt, so wickelt sich auf dem Rollenumfang ein bestimmter Bogen ab. Es sei AC die ursprüngliche, A_1C_1

eine neue Lage der Stange, und der Weg AA_1 des Berührungspunktes der Rolle auf der Ebene sei gerade. Bei sich die Stange erst parallel nach A_1C_0 , und geht dann dieser Lage durch eine Drehung um die Verticale des P A_1 , d. i. des augenblicklichen Berührungspunktes der auf der Ebene, in die Lage A_1C_1 über, so ist, wie man einsieht, der auf dem Rollenumfang abgewickelte $\mathcal{A}u = A_1M$, wenn $\angle A_1MA = 90^\circ$ ist, d. h. gleich der Projection des Weges AA_1 parallel zur Verticalebeiner Rollennachse; dieser Bogen wickelt sich schon bei der Parallelverschiebung der Stange ab, während bei der Drehung um die Rolle relativ zur Stange stillsteht, und zu jeder beliebigen Größe des Drehungswinkels $C_0A_1C_1 =$ — Dreht sich die Stange erst um die Verticale von der Lage Ac und rückt dann parallel weiter nach A_1 , wickelt sich der Bogen $A_1m = \mathcal{A}u_1$ ab, wenn $\angle A = 90^\circ$ ist. — Geht die Bewegung aus der Lage A in die Lage A_1C_1 gemischt vor sich, d. h. gleichzeitig als schreitende und als Drehbewegung, so liegt jedenfalls abgewickelte Bogen zwischen $\mathcal{A}u$ und $\mathcal{A}u_1$. — Es ist:

$$\mathcal{A}u = AA_1 \cdot \sin a.$$

$$\mathcal{A}u_1 = AA_1 \cdot \sin(a - \mathcal{A}v)$$

$$= AA_1 \cdot \sin a \cdot \cos \mathcal{A}v - AA_1 \cdot \cos a \sin \mathcal{A}v$$

$$= \mathcal{A}u \cdot \cos \mathcal{A}v - AA_1 \cdot \sin \mathcal{A}v \cdot \cos a.$$

Macht man nun AA_1 und damit auch $\mathcal{A}u_1$ und den Winkel $\mathcal{A}v$ zu sogenannten unendlich kleinen Größen, die man sich als solche so klein denken kann, wie man will, so wird $\cos \mathcal{A}v = 1$, $\sin \mathcal{A}v = \mathcal{A}v$ (in Theil Halbmessers ausgedrückt), und man erhält:

$$\mathcal{A}u_1 = \mathcal{A}u - AA_1 \cdot \mathcal{A}v \cdot \cos a.$$

Streicht man nun rechts das zweite Glied als unendlich klein zweiter Ordnung gegen das erste Glied weg, so

$$\mathcal{A}u_1 = \mathcal{A}u.$$

Da für eine beliebige gemischte Bewegung der

der abgewinkelte Rollenbogen stets zwischen Δu und Δu_1 liegt, so muß er mit Δu_1 die Grenze Δu erreichen, d. i. für unendlich kleine Bewegungen. Für solche Bewegungen ist es also einerlei, wie die Stange aus der Lage AC in die Lage $A_1 C_1$ kommt, der abgewinkelte Bogen ist immer gleich der von A_1 auf AC gefällten Normalen $A_1 M$. — Dieses Resultat wird nicht geändert, wenn Δu und Δv ihr Vorzeichen ändern, wenn also $-\Delta u$ statt $+\Delta u$ und $-\Delta v$ statt $+\Delta v$ in den vorstehenden Formeln auftritt.

Eine Stange, wie sie im Vorstehenden betrachtet wurde, bildet den wesentlichsten Theil eines Amöler'schen oder Polar-Planimeters.

$$BCC_1 B_1 = BCC_0 B_0 + B_0 C_0 C_1 B_1 + BB_0 B_1 - CC_0 C_1.$$

Es ist aber:

$$\begin{aligned} BCC_0 B_0 &= \overline{BC} \cdot \overline{A_1 M} = b \cdot \Delta u, \\ B_0 C_0 C_1 B_1 &= A_1 C_0 C_1 - A_1 B_0 B_1 \\ &= \frac{\left(c + \frac{b}{2}\right)^2 \sin \Delta v}{2} - \frac{\left(c - \frac{b}{2}\right)^2 \sin \Delta v}{2} \\ &= b \cdot c \cdot \sin \Delta v. \end{aligned}$$

Also ist:

$$BCC_1 B_1 = b(\Delta u + c \cdot \sin \Delta v) + BB_0 B_1 - CC_0 C_1.$$

Diese Formel gilt für beliebige Längen von BB_1 und CC_1 ; so lange die Längen endlich sind, kann aber hier Δu ein von der wirklichen Rollenabwicklung verschiedener Werth sein. Beide Werthe werden unter allen Umständen erst dann identisch, wenn BB_1 und CC_1 unendlich kleine Größen werden. Für diesen Fall werden in den Dreiecken $BB_0 B_1$ und $CC_0 C_1$, in denen man die Linien $B_0 B_1$ und $C_0 C_1$ auch als

$$BCC_1 B_1 = b(\Delta u + c \cdot \sin \Delta v) = b(\Delta u + c \cdot \Delta v). \quad (1)$$

So dient also die Stange mit der Rolle zur Berechnung eines unendlich kleinen Vierecks. Denkt man sich unendlich viele solcher Vierecke an einander gereiht (Fig. 3), so bilden die sämtlichen unendlich kleinen Graden $BB_1, B_1 B_2, \dots$ und $CC_1, C_1 C_2, \dots$ ununterbrochene Linienzüge, resp. Curven,

$$F = b[(\Delta_1 u + \Delta_2 u + \dots + \Delta_n u) + c(\Delta_1 v + \Delta_2 v + \dots + \Delta_n v)].$$

In diesem Ausdruck ist offenbar der erste Klammerfactor gleich dem ganzen von der Rolle abgewinkelten Bogen u , wenn die Stange aus der Lage AC in die Lage $A_n C_n$ übergeht; der zweite eingeklammerte Factor dagegen bezeichnet den ganzen Winkel v , den $A_n C_n$ mit AC bildet. Kann man u ablesen und v messen, so ist damit

$$F = b(u + c \cdot v). \quad (2)$$

bestimmt; hierin müssen natürlich c und u mit derselben Längeneinheit wie b gemessen, v dagegen muß in Theilen des Halbmessers ausgedrückt werden.

Die vorstehende Formel ist einstweilen noch einseitig, denn in Fig. 2^a und 3 wurde stillschweigend vorausgesetzt,

Es sei wieder (Fig. 2^a) AC die Stange in ihrer ursprünglichen, $A_1 C_1$ dieselbe in ihrer neuen Lage. In den Punkten B und C der Stange, in der Verticalebene des Berührungspunkts und der Drehachse der Rolle, sitzen Fahrstifte, die bei dem Uebergang der Stange aus der einen Lage in die andere stets die geraden Linien BB_1 und CC_1 verfolgen. Bei der Bewegung der Stange bestreicht die Linie BC das Viereck $BCC_1 B_1$, dessen Inhalt man in folgender Weise berechnen kann. Man ziehe $A_1 C_0 \parallel AC$, und $BB_0 \parallel CC_0 \parallel AA_1$, ferner $B_0 B_1$ und $C_0 C_1$, und $A_1 M \perp \Delta u$ normal zu AC. Dann ist:

Kreisbögen mit dem Mittelpunkt A_1 auffassen kann, alle Seiten unendlich klein, also die Inhalte dieser Dreiecke unendlich kleine Größen zweiter Ordnung. Dagegen bleibt der Ausdruck $b(\Delta u + c \cdot \sin \Delta v)$ unendlich klein erster Ordnung, so daß jene beiden Dreiecke gegen denselben verschwinden, und man erhält:

und für die Summe der sämtlichen von der Stange bestrichenen unendlich kleinen Vierecke $BCC_1 B_1, B_1 C_1 C_2 B_2, \dots, B_{n-1} C_{n-1} C_n B_n$, d. i. für den Inhalt der Fläche $BCC_n B_n$ erhält man (siehe Figur)

daß sowohl die Abwicklung der Rolle, wie auch die Aenderung des Winkels beim Uebergang der Stange aus einer Lage in die benachbarte stets in demselben Sinne erfolge, so daß die Linie AC in keiner Lage auf der Strecke AC einen schon einmal von dieser Linie bestrichenen Punkt der Fläche $ACC_n A_n$ zum zweiten Male treffe. Es bleibt also zu untersuchen, was aus der Formel (2) wird, wenn Δu und Δv anders combinirt werden, als es in Fig. 2^a und 3 geschehen ist. Um hierüber klar zu werden, stellen wir Folgendes fest:

Man denke sich in A aufgestellt, mit dem Gesicht nach C gewendet; liegen dann A_1 und C_1 rechts von AC, so ist

$\mathcal{A}u$ positiv und die Bewegung von A, und ebenso die von C relativ zur Stange rechtläufig oder positiv; liegen dagegen A_1 und C_1 links von AC, so sind die Bewegungen von A und C in Bezug auf die Stange rückläufig oder negativ, und ebenso ist $\mathcal{A}u$ negativ. Kommt ferner, für diese Aufstellung,

BC aus der Lage B_0C_0 in die Lage B_1C_1 durch ein Umlag von links nach rechts, so ist $\mathcal{A}v$ positiv; im entgegengesetzten Falle ist $\mathcal{A}v$ negativ. In diesem Sinne ist bar in

Figur 2 ^a und 3: $\mathcal{A}u$ positiv; $\mathcal{A}v$ positiv; Bewegung von C positiv;							
{	"	2 ^{b1} :	"	"	"	negativ;	" " C "
	"	2 ^{b2} :	"	"	"	"	" " C negativ;
	"	2 ^{b3} :	"	"	"	"	" " C "
{	"	2 ^{c1} :	"	negativ;	"	positiv;	" " C "
	"	2 ^{c2} :	"	"	"	"	" " C positiv;
	"	2 ^{c3} :	"	"	"	"	" " C "
"	"	2 ^d :	"	"	"	negativ;	" " C negativ.

Man deute ferner in allen Figur 2^a bis 2^d die Richtung BC durch einen Pfeil an, setze dann neben CC_1 einen der Bewegungsrichtung von C, in Bezug auf BC, entsprechenden Pfeil und markiere weiter die Richtung des Umfangs von C_1 bis B_1 und von B_1 bis B durch nach den Richtungen C_1B_1 und B_1B dirigirte Pfeile. Umgeht man nun das Viereck BCC_1B_1 , bei irgend welcher Form und Lage desselben — die Figur 2^a bis 2^d enthalten alle möglichen

Fälle — nach der Richtung der Pfeile, so heiße das Flächenstück positiv (rechtläufig), resp. negativ (rückläufig) der Stange BC bestrichen, welches bei diesem Umlag der rechten, resp. an der linken Seite liegt. Berechne für die einzelnen Fälle die algebraische Größe des 2 BCC_1B_1 , so erhält man in Rücksicht auf das eben 6 Folgendes:

$$\begin{aligned} \text{Figur 2}^a) \quad BCC_1B_1 &= BCC_0B_0 + B_0C_0C_1B_1; \\ \text{" } 2^{b1} \text{ bis } 2^{b3}) \quad BCC_1B_1 &= BCC_0B_0 - B_0C_0C_1B_1; \\ \text{" } 2^{c1} \text{ " } 2^{c3}) \quad BCC_1B_1 &= -BCC_0B_0 + B_0C_0C_1B_1; \\ \text{" } 2^d) \quad BCC_1B_1 &= -BCC_0B_0 - B_0C_0C_1B_1. \end{aligned}$$

Da es sich um unendlich kleine Bewegungen handelt, so konnten auch hier aus den auf Seite 74 angegebenen Gründen die Dreiecke BB_0B_1 und CC_0C_1 außer Acht gelassen wer-

den. — Vorstehende 4 Formeln lassen sich nach der eingeführten Bezeichnung auch so schreiben:

$$\begin{aligned} \text{Figur 2}^a) \quad BCC_1B_1 &= b(+\mathcal{A}u + c.\mathcal{A}v); \\ \text{" } 2^{b1} \text{ bis } 2^{b3}) \quad BCC_1B_1 &= b(+\mathcal{A}u - c.\mathcal{A}v); \\ \text{" } 2^{c1} \text{ " } 2^{c3}) \quad BCC_1B_1 &= b(-\mathcal{A}u + c.\mathcal{A}v); \\ \text{" } 2^d) \quad BCC_1B_1 &= b(-\mathcal{A}u - c.\mathcal{A}v). \end{aligned}$$

Da b und c gegebene Längen, also absolute Größen sind, so findet man in diesen letzteren Formeln offenbar $\mathcal{A}u$ und $\mathcal{A}v$ mit denselben Vorzeichen, die ihnen, nach Obigem, in den entsprechenden Figuren zukommen. Damit ist aber der Formel (1) allgemeine Gültigkeit nachgewiesen, und man darf sagen: Der durch b und c und durch $\mathcal{A}u$ und $\mathcal{A}v$, mit Berücksichtigung des Vorzeichens der beiden letzteren Größen, bestimmte Inhalt des Vierecks BCC_1B_1 ist gleich dem von BC positiv bestrichenen Flächenheil, weniger dem negativ bestrichenen.

Dieses Resultat, vorläufig nur gültig für unendlich kleine Flächen, läßt sich auf Flächen von endlicher Größe ausdehnen, wenn man für die Stange BC nur die Pfeile der Anfangs- und Endlage berücksichtigt, da die Pfeile für sämtliche Zwischenlagen beziehungsweise einander entgegengesetzt sind und angesehen werden können, als ob sie sich gegenseitig tilgten,

während die für die Punkte C und B geltenden Pfeile Aneinanderreihen der elementaren Vierecke continuirlich laufen. Darnach entspricht für Figur 4 der durch die A und den Winkel $CO C_n$ angegebene Inhalt, der CC_nO minus OB_nB . Für Figuren, in denen nicht welche Elemente mehr als ein Mal bestrichen werden, die Richtigkeit dieser Behauptung sofort ein. Wo Ten Fall ist, beachte man, daß immer ein negatives Best des betreffenden Elementes ein vorhergegangenes oder folgendes positives Bestreichen aufhebt; man wird dann klar darüber, daß alle außerhalb des Linienzuges BC bestrichenen Elemente ebenso oft positiv wie negativ, a gebraucht gar nicht bestrichen werden und daher für da resultat ohne Einfluß sind, während alle Elemente der BB_nO ein Mal mehr negativ als positiv, dagegen Fläche CC_nO ein Mal mehr positiv als negativ be

werden. Beispielsweise wird in Fig. 5^a das von rechts nach links schraffierte Dreieck von BC erst negativ (beim Uebergang von BC nach B_1C_1), und dann positiv (beim Uebergang von B_1C_1 nach B_2C_2) bestrichen, und die Fläche ist für diese Lage der Stange $CC_2O_2 - O_2B_2B$. Beim Weitergehen der Stange wird das von links nach rechts schraffierte, vorher positiv bestrichene Dreieck rückläufig getroffen, also eliminiert, und u und v bestimmen jetzt $CC_3O_3 - O_3B_3B$. Reicht sich nun noch ein Viereck $B_3C_3C_4B_4$ an, Fig. 5^b, so wird das vorher als positiv vorhandene Viereck $C_3aO_4O_3$, da es jetzt ganz in dem negativ bestrichenen neuen Viereck $C_3C_4B_4B_3$ liegt, getilgt, und u und v geben jetzt, wie die Pfeile andeuten, $CC_4O_4 - O_4B_4B = CaO_4 - aC_3C_4 - O_4B_4B$ an. In dieser Weise kann man, wenn man annimmt, daß die obige Behauptung für irgend eine Lage der Stange BC richtig sei, nachweisen, daß sie dann auch für die nächstfolgende, der ersteren unendlich nahe Lage gilt, und damit ist sie allgemein bewiesen. Es ist dabei nicht nöthig, daß die Punkte B und C sich auf ihren Bahnen beständig vorwärts, d. i. in demselben Sinne bewegen; sie dürfen vielmehr auf denselben auch um beliebige Strecken zurückkehren, ohne daß der obige Satz dadurch ungültig, oder geändert wird. Sieht man also noch von verschlungenen Curven, auf die ich später kommen werde, ab, so ist für die auf Seite 73 mitgetheilte Formel (2) ganz allgemeine Gültigkeit nachgewiesen, bei richtiger Auffassung des durch F angedeuteten und durch den Sinn des Bestreichens bestimmten Begriffs.

Die vorstehenden ganz allgemein gehaltenen Sätze bilden die Grundlage der Theorie des Polar-Planimeters.

Es wurden bis jetzt zwei Fahrstifte B und C vorausgesetzt; practisch würde das unzulässig sein, da man so offenbar nicht alle Punkte einer irgendwie geformten Curve erreichen könnte; außerdem würde schon die Forderung, zwei Stifte auf getrennten Curvenzweigen genau zu führen und mit dem Auge zu verfolgen, das Instrument unbrauchbar machen, da man schon mit einem Fahrstift seine Noth hat. Man zwingt daher den Punkt B, eine bestimmte einfache Curve, etwa eine gerade Linie*), oder, wie im vorliegenden Falle, einen Kreis vom Radius $OB = a$ (Fig. 6) zu beschreiben, indem man die Stange AC in B mit einer Stange OB durch ein Charnier verbindet; die Stange OB erhält in O eine Spitze zum Einstechen in die Zeichenebene, so daß sich B in einem Kreise N vom Radius $OB = a$ bewegen muß, während nun mit C als Fahrstift jeder Punkt der Curve zu erreichen ist; ist letzteres wegen der Größe oder Form der zu umfahrenden Fläche noch nicht gleich der Fall, so ändert man die Stellung des Pols O passend, oder theilt die Figur. — Die practische Einrichtung des Planimeters

*) Vergl. in Band 18, Jahrgang 1872 der Hannover'schen Zeitschrift die Abhandlung: „Der Amöler'sche Integrator“.

erklärt sich aus den Figuren I^a und I^b auf Tafel 9, welche denselben im Grund- und Aufriß etwa in natürlicher Größe zeigen. Es bezeichnen die Buchstaben A, B, C dasselbe, wie in den Figuren 1—6, Taf. 8, O dasselbe wie in Figur 6. Die Stange DE ist mit den übrigen Theilen des Instrumentes durch eine verticale Achse B verbunden und enthält am Ende E eine Nadel OO, welche in die Zeichenebene hineingedrückt wird und den sogenannten Pol bildet, um den sich das ganze Instrument dreht. Um den Pol niederzubringen, setzt man auf den Polarm ein kleines Gewicht Q. Die stählerne Rolle A hat eine horizontale Achse, welche, wie auch die Achse B, ihre Lager in dem Rahmen F, resp. an Schrauben findet, die in diesen Rahmen eingesetzt sind. Die horizontale Achse überträgt mittelst einer Schraube ohne Ende die Bewegung der Rolle auf eine horizontale drehbare Scheibe G, welche in 10 gleiche Theile getheilt ist, so daß jedes Intervall zwischen zwei Theilstrichen genau einer ganzen Umdrehung der Rolle A entspricht: Eine Kerbe auf dem aufwärts gebogenen Arm des Lagerbügels für die Achse der horizontalen Scheibe dient als Index für die Ablesung auf der letzteren. Um die Bewegung der Laufrolle A zu messen, ist an derselben eine Trommel befestigt, deren Umfang in 100 gleiche Theile getheilt ist; ein an dem Rahmen F befestigter gekrümmter Nonius dient zum Ablesen von Tausendsteln des Rollenumfanges. Der Rahmen F ist in seiner obern Partie als Hülse ausgebildet, die an den Enden geschliffen ist und mittelst der dadurch gebildeten federnden Klappen die in ihr verschiebbare Stange HJ hält. Letztere trägt den Fahrstift CC und meistens auf ihrer Oberfläche eine Theilung, um eine gewünschte Länge BC (angenähert) herstellen zu können: Einer der Klappen, welcher in der zur Richtung HJ normalen Verticalebene von B endigt, dient hierbei als Index. Der Stab HJ kann von rechts und auch von links her in die Hülse gesteckt werden, obwohl nicht beides gleichzeitig unbedingt nöthig ist. — Die geometrische Achse der Rolle, identisch mit der ihrer Drehachse, liegt mit der verticalen Drehachse des Stabes DE und mit der Spitze des Fahrstifts CC entweder in derselben Verticalebene, oder parallel zu dieser. Um dieser Bedingung genügen zu können, ist in unsern Figuren noch ein Mikrometerwerk zum Corrigiren der Lage des Fahrstifts gezeichnet.

Will man nun mit diesem Instrument irgend eine Figur messen, so stellt man O fest, meistens außerhalb der Figur, setzt C auf einen beliebigen Punkt des Umfangs der letzteren, markirt diesen Punkt, liest den Stand der Scheibe G und der Laufrolle A ab, und notirt die Ablesung; darauf umfährt man die ganze Figur in positivem Sinne oder rückläufig, d. h. so, daß, wenn man mit C die Figur umgeht, das Gesicht stets nach der Richtung von C gewendet, jene stets an der rechten Seite liegt, (wobei sich C relativ zur Stange BC entweder recht- oder rückläufig bewegt, vergl.

Seite 75; ist man am Ausgangspunkt wieder angekommen, so liest man Scheibe und Rolle wieder ab. Die Differenz der Ablesungen nach und vor dem Umfahren ist eine bestimmte Zahl n , meistens eine ganze Zahl mit 3 Decimalstellen; liegt nun O außerhalb der Figur und ist der Rollenhalbmesser $= r$, also der abgewinkelte Bogen $u = 2r\pi.n$, so ist der Inhalt der umfahrenen Figur

$$F = b.u = b.2r\pi.n, \quad \dots \quad (3)$$

denn offenbar ist der Winkel $v = 0$, da Anfangs- und Endlage von BC sich decken, ohne daß eine oder mehrere ganze Umdrehungen stattgefunden haben. (Sollen Anfangs- und Endlage von BC sich immer bestimmt decken, so ist nöthig, daß der Winkel OBC , Fig. 6, Taf. 8, den Werth 180° nicht überschreiten könne; der in Fig. 1^a und 1^b, Tafel 9, gezeichnete Planimeter erfüllt diese Bedingung.) Folgendes diene zur Erläuterung, resp. zum Beweise des Gesagten:

Da es einerlei ist, wo auf dem Umfang einer Figur die Bewegung des Fahrstifts anfängt, weil eine Aenderung des Anfangspunktes bei vollständigem Umfahren der Figur nur eine andere Folge der Rollendrehungen, aber keine wesentliche Aenderung derselben nach sich ziehen kann, so nehmen wir den Punkt C (Fig. 7, Taf. 8) als Anfangspunkt an, in welchem BC die Curve berührt; ebenso werde die Curve in C_n von $B_n C_n$ berührt. Dann liegen — und hierauf kommt es an — C und C_n so, daß sie beim Umfahren der Figur die Grenzen sind, in denen die rückläufige Bewegung

des Fahrstifts relativ zu BC in rechtläufige übergeht umgekehrt. Ist die Curve vorläufig der Art, daß über M nach C_n keine rückläufige, und von C_n über C keine rechtläufige Bewegung von C in Bezug Stange BC eintritt, so wird, wenn C den Weg zurücklegt, offenbar die Fläche $BCM C_n B_n$ von der algebraisch ein Mal positiv bestrichen, wie die mit — neten Pfeile andeuten, während alle außerhalb dieser getroffenen Punkte gleich oft positiv und negativ werden und darum das Resultat nicht beeinflussen. Bei der Bewegung des Fahrstifts von C_n über N wird, wie die Pfeile mit — andeuten, die Figur B_n algebraisch ein Mal negativ bestrichen, während die außerhalb dieser Figur getroffenen Punkte algebraisch bestrichen werden. Da nun die Anfangs- und Endlage BC zusammenfallen, ohne daß letztere eine oder mehrere Umdrehungen gemacht hat, so ist die algebraische Summe aller Winkелеlemente Δv gleich Null, und es entspricht stattgehabte Rollenabwicklung allein dem Flächeninhalt der Curve $CM C_n NC$.

Tritt irgendwo zwischen C und C_n , z. B. bei C_1 , Fig. 8, ein Wechsel in dem Sinn der Bewegung in Bezug auf BC ein, so daß dieselbe von C bis C_1 negativ, und von C_1 bis C_n positiv wird, so ändert das die Sache nicht, denn man erhält die von BC bis $B_n C_n$ bestrichene Fläche:

$$+ BCC_1 B_1 - C_1 C_2 P + PB_2 B_1 + C_2 C_n Q - QB_n B_2 = + BCC_1 C_2 C_n B_n.$$

Ein entsprechendes Resultat erhält man für die Strecke $C_n C$; sind hier C_3 und C_4 die Wechsellpunkte, so ist die von $B_n C_n$ bis BC bestrichene Fläche:

$$- B_n C_n C_2 B_2 + C_3 C_4 R - RB_4 B_3 - C_4 CS + SB_4 B = - B_n C_n C_3 C_4 CB.$$

Man beachte, daß in diesem, wie im vorhergehenden Fall die Bewegung von C in Bezug auf die Curvenfläche stets rechtläufig war.

Ganz dasselbe Beweisverfahren kann man für jede beliebige Form der zu messenden Figur und für jede Lage derselben in Bezug auf den mit OB beschriebenen Kreis, so lange der Pol O außerhalb der Figur liegt, anwenden, wobei zuweilen der Fall eintreten kann, daß der Kreis die Figur schneidet, und daß die Flächen $BCC_n B_n$ und $B_n C_n CB$ verschlungen sind, ähnliche wie in Figur 4: An dem Resultat ändert das aber gar Nichts.

Aus dem Vorhergehenden folgt umgekehrt, daß, wenn eine geschlossene Curve rückläufig von dem Fahrstift umfahren wird, die Rolle im Ganzen eine rückläufige Drehung ausführen und der abgewinkelte Bogen u , der selbst negativ ist, dem negativen Inhalt der Curve entsprechen muß. — Ferner: Wird eine verschlungene Curve theilweise positiv, theilweise negativ umfahren, so entspricht der abgewinkelte Rollenbogen der Differenz zwischen den positiv und den negativ umfahrenen Theilen; beispielsweise würde ein Umfahren 9 nach der Richtung der Pfeile das Resultat (I) — (III) + (IV) geben müssen, wo (I) die Fläche a bezeichnet.

In Figur 10 sei die Grade ab , und, abgeleitet von der kleinen Schlinge bei a , auch die Grade cd die metrische Achse der Curve. Wird dieselbe in der durch angezeichneten Richtung umfahren, so wird der abgeleitet Rollenbogen nur dem Inhalt der kleinen Schlinge dem Vorzeichen + entsprechen: Die verticale Schlinge deutet die positiv, die horizontale die negativ umfahrenen Theile an, und man sieht, daß hier immer ein positiv umfahrbarer Theil von einem gleich großen negativ umfahrbaren Theil getilgt wird, bis dann schließlich nur die Strecke a , da sie zwei Mal positiv umfahren wurde, ein dem Vorzeichen + übrig bleibt.

Für die vorstehenden Untersuchungen verdient noch beachtet zu werden: Die Art und Weise, wie (1) abgeleitet wurde, zeigt, daß in Δu der Ei-

Länge c implicite enthalten ist; dagegen muß die Summe $\Delta u + c \cdot \Delta v$ unabhängig von c sein, da der Inhalt der Vierecke BCC_1B_1 natürlich unabhängig von c sein muß. Ganz dasselbe gilt in Formel (2) von u und von $u + c \cdot v$. In Formel (3) endlich ist v gleich Null, und darum muß u hier unabhängig von c sein, da das Gegentheil absurd wäre.

Es ist nicht schwer, aus den bis jetzt erhaltenen Resultaten den folgenden ganz allgemeinen Satz abzuleiten: Beschreiben die beiden Punkte B und C einer, mit einer Rolle A versehenen Stange BC von constanter Länge, wie wir sie in Figur 2 ff. vorausgesetzt haben, jeder für sich eine geschlossene Curve, und fällt dabei die Endlage von BC mit ihrer Anfangslage zusammen, so entspricht das Product aus dem abgewinkelten Rollenbogen u in die Länge $BC = b$, also die Größe $b \cdot u$, dem algebraischen Ueberschuß der von dem Punkt C positiv umfahrenen Fläche über die von B positiv umfahrene Fläche, unter der allgemeinsten, auch sonst üblichen und bereits für Figur 9 und 10 angewendeten Auffassung dieses letzteren Begriffs, wenn die Stange BC bei diesem Umfahren nicht eine oder algebraisch mehrere volle Umdrehungen macht; allgemein ist bei der Bildung der Differenz beider Flächen diejenige mit dem Vorzeichen — einzuführen, die derjenige Endpunkt B der Stange BC bestreicht, von dem man nach dem andern Endpunkt C sehen muß, um nach der rechten Seite hin Δu mit dem Vorzeichen + zu haben. Macht BC algebraisch k volle positive oder negative Umdrehungen, so daß nicht die Summe der Winkелеlemente Δv gleich Null, sondern gleich $\pm 2\pi \cdot k$ wird, so erhält man die algebraische Differenz der Inhalte jener beiden Curven, die auch einzeln oder durch einander irgendwie verschlungen und über einander gelagert sein können, in dem Ausdruck $b(u \pm c \cdot 2\pi \cdot k)$.*) — Unter der Voraussetzung $k = 0$ basiert auf diesem Satz die folgende Betrachtung: Man denke sich (Fig. 11) ein Polygon von geraden Stangen a_1, a_2, \dots, a_n , lege auf jede Stange irgendwo eine Planimeterrolle und führe irgend zwei der n Punkte a_1, a_2, \dots, a_n , z. B. a_1 und a_2 , auf den geschlossenen Curven I und II , deren Form nur durch die Bedingung der Möglichkeit der Umfahrung beschränkt wird, bis a_1, a_2 in seine Anfangslage zurückgekommen ist. Dabei beschreiben die Endpunkte $a_3, a_4, \dots, a_{n-1}, a_n$ die Curven $III, IV, \dots, N - I, N$, und es wickeln, wenn die Halbmesser sämtlicher Rollen gleich sind, diese letzteren bestimmte Bögen ab; sind diese Bögen successive $u_1, u_2, u_3, \dots, u_{n-1}, u_n$, so hat man das folgende System von Gleichungen:

*) Vergleiche die kleine Schrift von J. Amster: „Ueber die mechanische Bestimmung des Flächeninhalts, der statischen Momente und der Trägheitsmomente ebener Figuren, insbesondere über einen neuen Planimeter. Schaffhausen 1856.“ S. 10.

Fläche II	—	Fläche I	= $a_1 a_2 \cdot u_1$.
" III	—	" II	= $a_2 a_3 \cdot u_2$.
" .	.	"
" N — I	—	" N — II	= $a_{n-2} a_{n-1} \cdot u_{n-2}$.
" N	—	" N — I	= $a_{n-1} a_n \cdot u_{n-1}$.
" I	—	" N	= $a_n a_1 \cdot u_n$.

$$\text{Addirt: } 0 \qquad \qquad \qquad = \sum_1^n (a_n a_{n+1} \cdot u_n). \quad (4)$$

Dieser interessante Satz, der ein vollkommenes Analogon zu dem Gesetze vom Kräftepolygon in der Mechanik bildet, kann füglich das Gesetz vom Polygon der Planimeter genannt werden; er schließt als Specialfall das Gesetz vom Parallelogramm der Planimeter in sich.

Behält man für $n - 1$ der angenommenen Polygonseiten den Sinn der Rollenbewegung bei, kehrt ihn aber für die n^{te} Seite, z. B. für $a_1 a_n$ um, so führen die obigen Gleichungen zu der Schlußgleichung

$$a_n a_1 \cdot u_n = \sum_1^{n-1} (a_n a_{n+1} \cdot u_n). \quad (5)$$

Hieraus erkennt man den Planimeter $a_1 a_n$ als Resultirende der $n - 1$ Componenten: $a_1 a_2, a_2 a_3, \dots, a_{n-1} a_n$. Der Satz findet Anwendung im dritten Theil dieser Abhandlung.

Das auf der vorigen Seite Gesagte kann man benutzen, um das Instrument auch für den Fall zu discutiren, wo der Pol O innerhalb der zu messenden Figur liegt, wie in Figur 12; dabei ist es gleichgültig, ob die Curve, wie in der Figur, den Kreis des Punktes B vollständig einschließt, oder nur ein Stück desselben deckt. Setzt man den Inhalt der Curve gleich F , so erhält man, da BC bei dem Umfahren eine volle Umdrehung, und zwar in positivem Sinne macht, also $k = +1$ wird:

$$F - a^2 \pi = b(u + c \cdot 2\pi \cdot 1), \text{ also}$$

$$F = bu + (a^2 + 2bc)\pi,$$

oder, nach der Bezeichnung in Formel (3):

$$F = b \cdot 2r\pi \cdot n + (a^2 + 2bc)\pi. \quad (6)$$

Diese Formel wird etwas durchsichtiger durch folgende Betrachtung: Setzt man $u = 0$, also auch $n = 0$, und nimmt an, daß beim Umfahren der Figur die Rolle sich weder vor- noch rückwärts, also gar nicht dreht, so erhält man:

$$F = (a^2 + 2bc)\pi. \quad (7)$$

Dies ist der Inhalt eines Kreises vom Radius $= \sqrt{a^2 + 2bc}$. Ist nun in Figur 13 der Winkel $OAB = 90^\circ$, so ist

$$OC^2 = OA^2 + AC^2 = OA^2 + \left(c + \frac{b}{2}\right)^2.$$

$$OA^2 = OB^2 - BA^2 = a^2 - \left(c - \frac{b}{2}\right)^2, \text{ also}$$

$$OC^2 = a^2 + 2bc. \quad (8)$$

Also ist bei $\angle OAB = 90^\circ$ die Linie OC der Radius des Kreises, der bei innerhalb der Curve liegendem Pol O zu dem von der Rolle angegebenen Inhalt $b \cdot u = b \cdot 2r\pi \cdot n$ addirt werden muß. In der That wird sich, wenn man mit dem Fahrstift diesen Kreis umfährt, die Rolle nicht drehen, wie man auf der Stelle einsieht.

Auf Seite 78 wurde bereits erwähnt, daß die Planimeter meistens so eingerichtet sind, daß man den Stab HJ (Fig. 1, Taf. 9) auch von links her in die Hülse F schieben kann. Für diesen Fall, wo dann die Rolle A zwischen den Punkten B und C liegt und das Instrument die in Fig. 14 (Taf. 8)

angedeutete Form bekommt, gelten die Resultate der mitgetheilten Theorie offenbar unverändert, so lange der Pol C außerhalb der umfahrenen Figur liegt. Liegt dagegen C innerhalb der Figur, so bleibt zwar (siehe Figur 14) die Länge $OC = \sqrt{a^2 + 2bc}$, aber es hat hier, bei gleicher Länge b, die Länge c einen andern Werth als in Figur 13. Immer ist c der Abstand der Mitte von BC von der zur Richtung BC normalen Verticalebene des Berührungspunkts der Rolle. — Um den erwähnten Unterschied durch eine einfache Vorzeichen-Änderung zu markiren, kann man auch [sagen:

$$\text{Figur 13: } \overline{OC^2} = \overline{OA^2} + \overline{AC^2} = \overline{OB^2} - \overline{BA^2} + (\overline{AB} + \overline{BC})^2 \\ = \overline{OB^2} + \overline{BC^2} + 2 \cdot \overline{AB} \cdot \overline{BC}.$$

$$\text{Figur 14: } \overline{OC^2} = \overline{OA^2} + \overline{AC^2} = \overline{OB^2} - \overline{BA^2} + (-\overline{AB} + \overline{BC})^2 \\ = \overline{OB^2} + \overline{BC^2} - 2 \cdot \overline{AB} \cdot \overline{BC}.$$

Setzt man $\overline{AB} = d$, so ist, wenn in Figur 13 die Größe d positiv ist, dieselbe in Figur 14 negativ; hier liegt A rechts von B auf der Richtung BC, dort links von B auf der (verlängerten) Richtung CB. Dem entsprechend geben auch vorstehende Formeln:

$$\text{Figur } \left. \begin{matrix} 13 \\ 14 \end{matrix} \right\} \overline{OC^2} = a^2 + b^2 + 2b(\pm d) = a^2 + b^2 \pm 2bd. \quad (9)$$

Es ist bislang hinsichtlich der zu messenden Figuren immer von „Curven“ die Rede gewesen, Kürze halber; doch ist, und das muß ausdrücklich bemerkt werden, nirgends der in einer continuirlichen Curve ausgesprochene Begriff der Stetigkeit in die Untersuchung eingeführt, selbst nicht auf Seite 79 u. 80, wo in Bezug auf Fig. 7 und 8, indessen auch nur Kürze halber, der Ausdruck „berühren“ gebraucht wurde; die Theorie gilt also auch dann, wenn man statt der Curven Polygone, oder theils geradlinig, theils gekrümmt begrenzte Flächen annimmt, mit andern Worten, für alle irgendwie begrenzten Flächen.*)

*) Noch verdient die folgende Modification des Planimeters Erwähnung: Man denke sich (siehe Figur 15) an dem Planimeter O, ABC mittelst eines in E befindlichen Scharniers eine Stange EC₁ befestigt, welche für alle Stellungen des Instruments durch eine Schiene DD₁, die in D und D₁ ebenfalls mit Scharnieren versehen ist, in einer zu der Richtung des Polarmes OB parallelen Lage erhalten wird. Wenn man nun mit dem Fahrstift C irgend eine Curve verfolgt, so bewegt sich der Punkt C₁ auf einer andern Curve, die durch Form und Lage der ersteren bestimmt ist. Zieht man die Gerade OX beliebig und bezeichnet die Winkel COX und C₁OX resp. mit φ und φ_1 , dagegen die Linien OC und OC₁ resp. mit ϱ und ϱ_1 , so erhält man für die Flächen F und F₁ der von C und C₁ verfolgten Curven die Gleichungen

$$F = \int \frac{\varrho^2}{2} \cdot d\varphi; \quad F_1 = \int \frac{\varrho_1^2}{2} \cdot d\varphi_1.$$

Aus den Dreiecken OBC und OB₁C₁ folgt:

$$\varrho^2 = \overline{OB^2} + \overline{BC^2} - 2\overline{OB} \cdot \overline{BC} \cdot \cos \alpha = a^2 + b^2 - 2ab \cos \alpha$$

$$\varrho_1^2 = \overline{OB_1^2} + \overline{B_1C_1^2} - 2\overline{OB_1} \cdot \overline{B_1C_1} \cdot \cos \alpha = (a-f)^2 + e^2 - 2(a-f)e \cos \alpha.$$

Ferner ergibt sich aus der Figur, in der der Winkel COC₁ der beiden Fahrstrahlen ϱ und ϱ_1 mit β bezeichnet ist:

$$\varphi_1 = \varphi + \beta, \text{ also } d\varphi_1 = d\varphi + d\beta.$$

Diese 3 Gleichungen verwandeln jene Integrale in:

$$F = \frac{a^2 + b^2}{2} \int d\varphi - ab \int \cos \alpha d\varphi.$$

$$F_1 = \frac{(a-f)^2 + e^2}{2} \int d\varphi - (a-f)e \int \cos \alpha d\varphi + \\ \frac{(a-f)^2 + e^2}{2} \int d\beta - (a-f)e \int \cos \alpha d\beta.$$

Da diese Integrale sich auf die vollen Umsänge der Curven erstrecken und Anfangs- und Endlage des Instruments sich decken müssen (vergl. Seite 79), so erkennt man sehr leicht, daß stattfinden muß $\int d\varphi = 0$; $\int d\beta = 0$; $\int \cos \alpha d\beta = \int f(\alpha) d\alpha = 0$; so durch erhält man die einfacheren Gleichungen:

$$F = -ab \int \cos \alpha \cdot d\varphi; \quad F_1 = -(a-f)e \int \cos \alpha d\varphi.$$

Dividirt man diese beiden Gleichungen durch einander, so erhält man

$$F_1 = \frac{(a-f)e}{ab} F,$$

b) Ueber graphisch-mechanisches Integriren im Allgemeinen.

Außer zur Ausmessung gegebener Figuren kann man den Planimeter auch benutzen, um bestimmte Integrale, die man nicht allgemein analytisch lösen kann, für bestimmte Zahlen- oder Linien-Werthe der unter dem Integralzeichen etwa vorhandenen Parameter, auszuwerthen; zu dem Ende muß man das Integral auf eine der Formen $\int y dx$ (für orthogonale Coordinaten) und $\int \frac{r^2}{2} d\varphi$ (für polare Coordinaten) oder auf eine andere Grundform für die Quadratur von Flächen bringen. Durch Auftragen der correspondirenden Werthe von x und y , resp. von φ und r gelangt man dann zu Curven, deren Flächen man mit dem Instrument bestimmen kann, und damit ist die Aufgabe ge-

und da $F = b \cdot u$ ist, so folgt weiter:

$$F_1 = \left(\frac{a-f}{a \cdot b} \right) e \cdot b \cdot u = \left(1 - \frac{f}{a} \right) e \cdot u.$$

Damit ist F_1 aus den Constanten des Instrumentes und aus der der Fläche F entsprechenden Rollenabwicklung bestimmt. Bei einer Anordnung ähnlich derjenigen, die in der Figur gezeichnet ist, ist immer F_1 viel kleiner als F ; setzt man beispielsweise $a = 15$, $b = 18$, $e = 5$ und $f = 12$, so ist $F_1 = \frac{1}{18} F$. — Denkt man sich in C_1 einen zweiten Zahnrast angebracht und die kleinere Curve F_1 gegeben, so ist es, ohne daß die größere Curve wirklich gezeichnet ist, sehr leicht, den Zahnrast C so zu führen, daß C_1 genau auf dem Umfang der Curve F_1 bleibt. Unter der Voraussetzung, daß die Combination $\left(1 - \frac{f}{a} \right) e \cdot 2r\pi$ der Constanten des Instrumentes bekannt ist, giebt dieses dann bei exacter Ausführung wegen der relativ großen Rollenabwicklung u die Fläche F_1 viel genauer, als wenn dieselbe mit dem einfachen Planimeter gemessen wird. Den Ausgangspunkt der Bewegung muß man natürlich für den Punkt C festlegen.

Planimeter nach diesem Princip zum Messen sehr kleiner Figuren werden in dem mechanischen Institut des Herrn Amsler-Laffon, der meines Wissens Erfinder auch dieses Instrumentes ist, zum Preise von 20 bis 25 Thaler wirklich angefertigt. — Die Bestimmung der Constanten $\left(1 - \frac{f}{a} \right) e \cdot 2r\pi$ kann hier in ähnlicher Weise wie es weiter unten für den einfachen Planimeter angegeben werden wird, oder durch directe Messung der Größen f , a , e und r erfolgen; vermittlest einer Einrichtung, durch welche man f vergrößern oder verkleinern kann, wird es ermöglicht, das Instrument für verschiedene Maßstäbe und Maßverhältnisse bequem herzurichten. — Eine Untersuchung der möglichen Fehlerquellen auch dieses Instrumentes, um aus der Natur der analytischen Ausdrücke für die aus jenen Quellen resultirenden Fehler Corrections-Regeln für das Instrument herzuleiten, liegt nicht in der Absicht dieser Abhandlung; übrigens ist der Gang dieser Untersuchung einfach, und die etwaigen Schwierigkeiten derselben sind rein analytischer Art.

löst. — Durch Rechnung kann man immer Specialwerthe der unter dem Integralzeichen stehenden Function, und damit die oben mit y und r bezeichneten Größen für bestimmte Werthe der x und φ ermitteln; oft ist dies Verfahren aber recht zeitraubend, und da man außerdem doch wieder zur Zeichnung übergehen muß, so ist es besser, daß man da, wo es angeht, construirt, also graphisch rechnet. Das letztere Verfahren ist sogar das einzig mögliche, wenn die Function der beiden von einander abhängigen Größen analytisch gar nicht existirt und zusammengehörige Specialwerthe derselben nur aus gezeichneten Figuren entnommen werden können. — Einige Beispiele werden die Praxis des Verfahrens erläutern:

Es sei zu lösen: $J = \int_{\alpha_1}^{\alpha_2} F(x) \cdot f(x) dx$, wo $F(x)$ und

$f(x)$ Linien sind, die man entweder direct abgreifen oder leicht construiren kann; dann ist $F(x) \cdot f(x)$ ein Rechteck, das man auf die (beliebige) constante Basis k reduciren muß,

so daß $F(x)f(x) = k \cdot y$; man erhält dann $J = k \int_{\alpha_1}^{\alpha_2} y \cdot dx$.

Nun ist aber $\int_{\alpha_1}^{\alpha_2} y \cdot dx$ die Fläche der zu verzeichnenden Curve,

für die man nach Formel (3) erhält: $F = b \cdot u$, so daß endlich $J = k \cdot b \cdot u$. — Will man Polar-Coordinaten einführen, so setze man: $F(x)f(x) = r^2$, und construire r ; ferner setze man $dx = k \cdot d\varphi$, also $x = k\varphi$ und $\varphi = \frac{x}{k}$;

man erhält dann: $J = 2k \int_{\frac{\alpha_1}{k}}^{\frac{\alpha_2}{k}} \frac{r^2}{2} \cdot d\varphi$; der Integral-Aus-

druck ist die Fläche der zu verzeichnenden Curve, also gleich $F = b \cdot u$, und daher $J = 2k \cdot b \cdot u$.

Es sei ferner zu lösen: $J = \int_{\alpha_1}^{\alpha_2} F(\varphi) f(\varphi) d\varphi$, und es

seien wieder $F(\varphi)$ und $f(\varphi)$ bestimmte Linien; man setze $F(\varphi)f(\varphi) = r^2$ und construire r , und hat dann $J =$

$2 \int_{\alpha_1}^{\alpha_2} \frac{r^2}{2} \cdot d\varphi = 2 \cdot b \cdot u$. — Will man Orthogonal-Coordinaten einführen, so setze man: $F(\varphi) \cdot f(\varphi) = k \cdot y$ und construire y ; ferner mache man $\varphi = \frac{x}{k}$, also $d\varphi = \frac{dx}{k}$,

und hat dann einfach: $J = \int_{k\alpha_1}^{k\alpha_2} k y \cdot \frac{dx}{k} = \int_{k\alpha_1}^{k\alpha_2} y \cdot dx = b \cdot u$.

Ganz vorzüglich eignet sich dieses Verfahren zur Bestimmung von Ausdrücken von der Form: $\iint y^n \cdot dy \cdot dx = \frac{1}{n+1} \int y^{n+1} \cdot dx$, also zur rein mathematischen Bestimmung der äquatorialen Momente n^{ten} Grades in Bezug auf die X-Achse, für die Flächen von beliebigen gezeichneten Figuren; man mache einfach: $x^{n+1} = k^n \cdot y_n$, wozu man successive durch folgende Gleichungen gelangt:

$$y^2 = k \cdot y_1,$$

$$y^3 = k^2 \cdot \frac{y_1 y_2}{k} = k^2 \cdot y_2,$$

$$y^4 = k^3 \cdot \frac{y_2 y_3}{k} = k^3 \cdot y_3.$$

$$M_0 = \iint y^0 \cdot dy \cdot dx = \int y \cdot dx = F_0 = b \cdot u_0 = b \cdot 2r\pi \cdot \omega_0; \text{ ferner}$$

$$M_1 = \iint y^1 \cdot dy \cdot dx = \frac{1}{2} \int y^2 \cdot dx = \frac{k}{2} \int y_2 \cdot dx = \frac{k}{2} \cdot F_1 = \frac{k}{2} \cdot b \cdot u_1 = \frac{k}{2} \cdot b \cdot 2r\pi \cdot \omega_1,$$

$$M_2 = \iint y^2 \cdot dy \cdot dx = \frac{1}{3} \int y^3 \cdot dx = \frac{k^2}{3} \int y_3 \cdot dx = \frac{k^2}{3} \cdot F_2 = \frac{k^2}{3} \cdot b \cdot u_2 = \frac{k^2}{3} \cdot b \cdot 2r\pi \cdot \omega_2,$$

$$M_n = \iint y^n \cdot dy \cdot dx = \frac{1}{n+1} \int y^{n+1} \cdot dx = \frac{k^n}{n+1} \int y_n \cdot dx = \frac{k^n}{n+1} \cdot F_n = \frac{k^n}{n+1} \cdot b \cdot u_n = \frac{k^n}{n+1} \cdot b \cdot 2r\pi \cdot \omega_n.$$

Für den Mittelpunkt des Moments n^{ten} Grades, dessen Abstand von der X-Achse $= e_n$ sei, hat man

$$e_n^n \cdot F_0 = M_n, \text{ oder:}$$

$$e_n^n \cdot F_0 = e_n^n \cdot b \cdot u_0 = e_n^n \cdot b \cdot 2r\pi \cdot \omega_0 = \frac{k^n}{n+1} \cdot F_n = \frac{k^n}{n+1} \cdot b \cdot u_n = \frac{k^n}{n+1} \cdot b \cdot 2r\pi \cdot \omega_n,$$

und hieraus:

$$e_n^n = \frac{k^n}{n+1} \cdot \frac{F_n}{F_0} = \frac{k^n}{n+1} \cdot \frac{u_n}{u_0} = \frac{k^n}{n+1} \cdot \frac{\omega_n}{\omega_0}.$$

Wollte man, was übrigens practisch wohl nicht vor kommt, direct das Moment n^{ten} Grades erhalten, so hätte man das y_n der Gleichung $y^{n+1} = k^n \cdot y_n$ mit Hilfe der logarithmischen Spirale oder direct aus der parabolischen Linie dieser Gleichung, für rechtwinkelige Coordinaten, zu construiren. — Setzt man $n = 1$ und $n = 2$, so bietet das Vorstehende ein Mittel zur Bestimmung von statischen Momenten (M_1) und Trägheitsmomenten (M_2), wie es wohl ohne Anwendung des Amsler'schen Integrators einfacher kaum zu denken ist. In Figur 17^a (Tafel 8), die jetzt ohne Weiteres verständlich sein wird, sind die betreffenden Curven für einen speciellen Fall gezeichnet und es ist die Construction für einen Punkt angedeutet. — Diejenigen Punkte, welche die im Abstände k zur Abscissen-Achse parallel gezogene Grade mit dem Umfang der Figur gemeinschaftlich hat, sind ebenfalls gemeinschaftliche Punkte für sämtliche

$$y^5 = k^4 \cdot \frac{y_3 y_4}{k} = k^4 \cdot y_4, \text{ u. s. w. u.}$$

Die Construction dieser Gleichungen erfolgt in beliebiger Weise und ist in Fig. 16^a angedeutet; statt dessen man auch ähnlich wie in Fig. 16^b, oder mit Hilfe von parallelen construiren. Man gelangt auf diesem offenbar zuerst zu den Curven-Ordinaten für die $M_1, 2., 3.$ Grades u. s. w., und schließlich zu denjenigen das Moment n^{ten} Grades. Nennt man das letztere M_n , und den Inhalt der zugehörigen Curve $F_n = b \cdot 2r\pi \cdot \omega_n$, wo b, u und r für den Planimeter ihre Bedeutung haben, ω aber die Differenz der aufgerollten abgelesenen Zahlen ist, so hat man zunächst gegebene Fläche:

andern Curven; auch die Schnittpunkte der X-Achse n. Umfang der gegebenen Figur sind gemeinschaftliche sämtlicher Curven. — Für den Schwerpunktsabstand von der Momenten-Achse findet man:

$$e_1^1 = \frac{k}{2} \cdot \frac{F_1}{F_0} = \frac{k}{2} \cdot \frac{u_1}{u_0} = \frac{k}{2} \cdot \frac{\omega_1}{\omega_0};$$

für den Trägheitsradius

$$e_2^2 = \frac{k^2}{3} \cdot \frac{F_2}{F_0} = \frac{k^2}{3} \cdot \frac{u_2}{u_0} = \frac{k^2}{3} \cdot \frac{\omega_2}{\omega_0}.$$

Sehr gut construirt sich auch: $\iint x^n \cdot dy \cdot dx$

$\int y^n \cdot x \cdot dy = k^n \int x_n \cdot dy$, indem man also x integrirt und dann ähnlich, wie es vorhin beschrieben verfährt.

Die Bestimmung des statischen Moments allein wird noch einfacher, wenn man von $\iint y \cdot dy dx = \int \frac{y^2}{2} dx$ zu dem Ausdruck $k \int \frac{r^2}{2} \cdot d\varphi$ übergeht. Dazu ist nur nöthig, daß man $y = r$ und $dx = k \cdot d\varphi$, also $x = k \cdot \varphi$ setzt. Die zu zeichnende Curve ist demnach eine Spirale der gegebenen Curve. Dadurch, daß man k groß genug wählt, erreicht man hier, daß der, beim Auftragen der kleinen Sehnen auf dem Kreise vom Radius k aus der Differenz dieser Sehnen gegen die zugehörigen Bögen resultirende Fehler praktisch unmerklich wird. Die Construction ist in Fig. 17^b angedeutet. Man erhält hier offenbar:

$$M_1 = \int \frac{y^2}{2} \cdot dx = \int \frac{r^2}{2} \cdot k \cdot d\varphi = k \int \frac{r^2}{2} d\varphi = k F_1 = k \cdot b \cdot u_1 = k \cdot b \cdot 2r\pi \cdot \omega_1,$$

so daß hier F_1 , u_1 und ω_1 nur halb so groß sind, wie bei orthogonalen Coordinaten.*) — Für das Trägheitsmoment hätte man bei Anwendung von polaren Coordinaten $y^3 = k \cdot r^2$, also $\frac{k}{y} = \frac{r}{y}$ zu construiren, was weniger einfach ist, als die Methode für orthogonale Coordinaten; die parabolische Hilfscurve würde hier offenbar die semicubische Parabel sein.**)

Recht gut ist auch die folgende, aus dem Princip des

*) Genau so, wie hier das Moment 1^{ten} Grades aus dem Moment 2^{ten} Grades abgeleitet wurde, kann man ganz allgemein von der in orthogonalen Coordinaten gefundenen Curve für das Moment n^{ten} Grades übergehen zu der Curve für das Moment vom Grade $2(n+1)-1$, in Polar-Coordinationen. Von der Curve vom Grade $2(n+1)-1$ gelangt man, einerlei, ob sie in Orthogonal- oder Polar-Coordinationen gezeichnet ist, durch eine einzige Transformation: $y^2 = kz$ oder $r^2 = k\varphi$ zum Moment vom Grade $2^2(n+1)-1$, von diesem eben so zum Moment vom Grade $2^3(n+1)-1$, u. s. w. Theoretisch interessant sind auch die Resultate, wenn man die Ordinaten oder Halbstrahlen mehrerer Curven verschiedenen Grades, ohne an den Werthen von x und φ zu rühren, durch irgend welche algebraische Operationen combinirt. — Die bekannten Sätze über graphisches Rechnen oder specielle Hilfscurven führen auch sehr leicht zu Momenten mit gebrochenen Exponenten.

**) Eigenthümlich gestaltet sich die Construction der Curven F_n , wenn die gegebene Figur von der X-Achse, in Bezug auf welche die Momente der Fläche der Figur bestimmt werden sollen, geschnitten wird; folgende Ueberlegung hilft hier ohne Weiteres über alle Schwierigkeiten hinweg: In dem Ausdruck $\iint y^n dy dx$ ist dy absolut wie dx ; das Vorzeichen, mit welchem die einzelnen Flächentheile in die Rechnung eintreten, hängt also bei negativen Ordinaten $-y$ von dem Vorzeichen von $(-y)^n$, nicht von dem von $(-y)^{n+1}$, wie es nach der ersten Integration in $\frac{1}{n+1} \int y^{n+1} \cdot dx$ auftritt, ab; bezeichnet man also die positiven Ordinaten mit $+y$, so hat man: $M_n = \frac{1}{n+1} \left\{ \int y^{n+1} dx - \int y^{n+1} dx \int \right\}$ und in diese Formel haben

Integrators leicht abzuleitende Construction: Man schneide aus einem Punkt N des Umfangs einer gegebenen Figur mit dem Halbmesser k auf der Momenten-Achse (X-Achse) den Punkt A ein; ist nun $\angle XAN = \varphi$, so mache man $\angle XAN_1 = 90 - 2\varphi$ (oder $90 + 2\varphi$) und $\angle XAN_2 = 3\varphi$. Liegen dann N_1 und N_2 auf dem aus A mit dem Radius k beschriebenen Kreise, so entsprechen die Flächen f_1 und f_2 der geometrischen Werthe von N_1 und N_2 den folgenden Gleichungen: $M_1 = \frac{k}{4} \cdot f_1$; $M_2 = \frac{k^2}{4} \left(F - \frac{f_2}{3} \right)$. Alle correspondirenden Sehnen parallel der Momenten-Achse sind in den 3 Figuren gleich.

Wäre n negativ, hätte man also für eine gegebene Figur $\iint y^{-n} dy dx = -\frac{1}{n-1} \int \frac{dx}{y^{n-1}}$ (für jedes $n > 1$), zu bestimmen, so setze man successive $n = 2, 3, 4$ u. s. w., und erhält dann das folgende System von Gleichungen zur Lösung der Aufgabe:

$$\begin{aligned} \frac{1}{y} &= \frac{1}{k^2} \frac{k^2}{y} = \frac{1}{k^2} y^{-2}, \\ \frac{1}{y^2} &= \frac{1}{k^2} \frac{y^{-2}}{y} = \frac{1}{k^3} \frac{ky^{-2}}{y} = \frac{1}{k^3} y^{-3}, \\ \frac{1}{y^3} &= \frac{1}{k^3} \frac{y^{-3}}{y} = \frac{1}{k^4} \frac{ky^{-3}}{y} = \frac{1}{k^4} y^{-4}, \text{ u. s. w.} \end{aligned}$$

Fig. 16^b zeigt die successive Construction dieser Ausdrücke; man könnte hier auch so wie in Fig. 16^a, oder auch mit Antiparallelen arbeiten. — Für $n = 1$ könnte man so operiren: $\iint y^{-1} dy dx = \int \frac{x}{y} \cdot dy = \frac{1}{k} \int \frac{kx}{y} dy = \frac{1}{k} \int z \cdot dy$. — Direct könnte man $\frac{k^{n+1}}{y^n}$ wieder mit Hilfe der logarithmischen Spirale oder einer speciellen Hilfscurve construiren; ohne eine solche kommt man für ungrade n am schnellsten mit Polar-Coordinationen zum Ziele.

Das polare Trägheitsmoment einer Figur ist ein Ausdruck von der Form: $\iint r^2 \cdot r d\varphi \cdot dr = \frac{1}{4} \int r^4 d\varphi$. Setzt man hier $r^4 = k^2 \varphi^2$, also $r^2 = k\varphi$, so ist φ sehr

y und y , mit ihren Vorzeichen versehen, einzutreten; führt man beiderlei Ordinaten in dieselbe mit $+$ oder absolut ein, so hat man demnach für $\left\{ \begin{array}{l} \text{grade} \\ \text{ungrade} \end{array} \right\} n: M_n = \frac{1}{n+1} \left\{ \int y^{n+1} dx \pm \int y^{n+1} dx \right\}$. Daraus folgt, daß man für grade n , wenn man die Curve F_n in rechtwinkligen Coordinaten zeichnet, die Curvenfläche mit dem Planimeter ganz rechtläufig zu umfahren hat, während man für ungrade n die den negativen Ordinaten entsprechenden Theile negativ oder rückläufig umfahren muß. — Arbeitet man mit polaren Coordinaten, wie in Figur 17^b, so gelangt man, wenn die X-Achse die Figur schneidet, zu schleifenartigen und übereinander gelagerten Curven; hier gilt eine dem eben Gesagten analoge Regel. — Ähnliche Rücksichten gelten für die allgemeine Anwendung dieser mechanischen Integrationsmethode.

leicht zu construiren, da außerdem $\varphi = \varphi$ bleiben kann, so hat man in dem Ausdruck $\frac{1}{4} \int k^2 \cdot \varphi^2 \cdot d\varphi = \frac{k^2}{2} \int \frac{\varphi^2}{2} d\varphi$ schon die gesuchte Lösung. Sie bietet ein Mittel, um das Trägheitsmoment eines homogenen Körpers, dessen Form durch ein System von zur Achse normalen Quersprofilen gegeben ist, zu bestimmen, indem man dasselbe in rechtwinkligen Coordinaten als Fläche darstellt, deren Ordinaten den für die einzelnen Profile gefundenen Momenten proportional sind; die Abstände dieser Ordinaten sind den Abständen der Profile gleich zu machen, und die Fläche selbst mißt man natürlich wieder mit dem Planimeter. Nähme die Dichtigkeit des Körpers von der Achse aus und von Profil zu Profil ab oder zu, so würde man, wenn das Gesetz für diese Aenderung nicht zu complicirt wäre, auch diesen Fall noch durch Construction behandeln können. — Zur Bestimmung des Trägheitsmomentes eines Körpers aus Meridianprofilen müßte man, wenn die X-Achse die Momenten-Achse ist, einen Ausdruck von der Form $\iiint (dx \cdot dy \cdot y d\varphi) y^2$, worin φ den von der Ebene des ersten Profils aus gezählten variablen Winkel der einzelnen Profilebenen gegen jene Ebene bezeichnet, lösen. Integriert man zunächst nach y , so erhält man $\int d\varphi \int \frac{y^4}{4} dx$; setzt man $\frac{y^4}{4} = \frac{k^2}{2} \cdot \frac{\varphi^2}{2}$, und $dx = k \cdot d\psi$, so erhält man weiter: $\int d\varphi \int \frac{k^2}{2} \cdot \frac{\varphi^2}{2} \cdot k \cdot d\psi = \frac{k^3}{2} \int d\varphi \int \frac{\varphi^2}{2} d\psi$. Jetzt ist das zweite Integral ein Flächen-Integral; setzt man dieses $= r^2$, so läßt sich für jedes Profil r durch Ausziehen der Quadratwurzel ermitteln, und man erhält so das Endresultat: $k^3 \int \frac{r^2}{2} d\varphi$. — Ist der Körper kein Rotationskörper mit der gegebenen Momenten-Achse als Achse, so ist es indessen vortheilhafter, nicht mit den Meridian-Profilen zu arbeiten, sondern aus denselben ein System von Normalprofilen abzuleiten. — Das polare Trägheitsmoment einer Figur ist gleich der Summe der Trägheitsmomente in Bezug auf zwei zu einander normale äquatoriale Achsen; hat man von den letzteren Momenten schon eins gefunden, so findet man das zweite wohl am schnellsten mit Hilfe des polaren Moments (vergl. indeß den Nachtrag Seite 95 ff.).

Das bis jetzt Gesagte läßt sich noch verallgemeinern und dadurch für manche Fälle bequemer machen, indem man nicht das Differential unter dem Integralzeichen allein, sondern in Verbindung mit einer reinen Function der unabhängigen Variablen transformirt, wie folgende Beispiele zeigen:

Das Integral des äquatorialen Trägheitsmoments ist: $\iint y^2 \cdot dy \cdot dx = \int xy^2 \cdot dy = \int xy \cdot y dy$; man setze

$xy = kz$, also $\frac{k}{y} = \frac{x}{z}$; ferner $y \cdot dy = \frac{k}{2}$. also $y^2 = ku$, also $\frac{k}{y} = \frac{y}{u}$, und hat dann die $\int kz \cdot \frac{k}{2} du = \frac{k^2}{2} \int z \cdot du$, nämlich $\frac{k^2}{2}$, multipl. mit dem Inhalt der Curve, deren Abscissen die u , d. Ordinaten die z sind.

In der Festigkeitslehre kommt auch der Ausdruck $\iint xy dy dx = \int \frac{y^2}{2} \cdot x dx$ vor; man löst denselben schnellsten durch die Substitution: $x dx = \frac{k^2}{2} d\varphi$, $x^2 = k^2 \cdot \varphi$, also $\frac{k}{x} = \frac{x}{k\varphi}$; dies ergibt die Lösung $\int \frac{y^2}{2} \cdot \frac{k^2}{2} d\varphi = \frac{k^2}{2} \int \frac{y^2}{2} d\varphi$.

In $\iint x^3 y^3 \cdot dy dx = \int \frac{y^4}{4} x^3 dx$ setze man $y^4 = k^2 z^2$, also $\frac{k}{y} = \frac{y}{z}$; ferner $x^3 dx = \frac{k^2}{2} \cdot u$ also $x^4 = k^2 u^2$, also $\frac{k}{x} = \frac{x}{u}$; nun hat man $\int z^2 \cdot u du$; $u du = \frac{k^2}{2} d\varphi$ gesetzt, giebt: $u^2 = 1$ also $\frac{k}{u} = \frac{u}{k\varphi}$, und damit die Lösung $\frac{k^6}{8} \int \frac{z^2}{2} d\varphi$.

Den Ausdruck $\iint \frac{x^3}{(x^2 + y^2)(k^2 + x^2)} dy dx$ br. man zunächst auf die Form: $\int x^2 \frac{d\left(\frac{y}{x}\right)}{1 + \left(\frac{y}{x}\right)^2} \frac{dx}{k^2 + x^2}$ und führe die Integration nach y aus; dann erhält man $\int x^2 \cdot \arctan\left(\frac{y}{x}\right) \frac{dx}{k^2 + x^2} = \frac{1}{k} \int x^2 \arctan\left(\frac{y}{x}\right) \frac{d\left(\frac{x}{k}\right)}{1 + \left(\frac{x}{k}\right)^2}$; nun setze man $\frac{d\left(\frac{x}{k}\right)}{1 + \left(\frac{x}{k}\right)^2} = d\varphi$, also $\left(\arctan\left(\frac{x}{k}\right) = \varphi\right)$, also $\frac{x}{k} = \tan \varphi$, wonach φ unabh. zu construiren ist; der gegebene Ausdruck geht nun in $\frac{1}{k} \int x^2 \arctan\left(\frac{y}{x}\right) d\varphi$, den man weiter auf Endform $\frac{2}{k} \int \frac{\left(x \sqrt{\arctan\left(\frac{y}{x}\right)^2}\right)^2}{2} d\varphi = \frac{2}{k} \int \frac{r^2}{2} d\varphi$ bringt.

Hätte man das auf den ganzen Umfang einer gegeb.

Curve bezügliche Integral $\int \frac{xy}{\sqrt{x^2 + y^2}} (x dy + y dx)$ zu ermitteln, so bringe man diesen Ausdruck zunächst auf die Form: $\int \frac{xy}{\sqrt{x^2 + y^2}} d(xy)$ und setze $xy = kz$, so daß man erhält $\int \frac{xy}{\sqrt{x^2 + y^2}} k \cdot dz = k \int \frac{xy}{\sqrt{x^2 + y^2}} dz$; bringt man nun $\frac{xy}{\sqrt{x^2 + y^2}}$ auf lineare Form und setzt dieselbe etwa gleich u , so erhält man das Resultat: $k \int u \cdot dz$.
 Wäre statt dessen die Aufgabe gegeben: $\int \frac{xy}{\sqrt{x^2 + y^2}} (x dy - y dx)$, so führe man zunächst Polar-Coordinationen ein, nämlich $x = r \cos \varphi$, $y = r \sin \varphi$; dadurch geht das Integral auf die Form $\int r^3 \sin \varphi \cos \varphi d\varphi = \frac{1}{4} \int r^3 \cdot 2 \sin \varphi \cos \varphi \cdot 2 d\varphi = \frac{1}{4} \int r^3 \cdot \sin 2\varphi \cdot d(2\varphi)$ über; dieser Ausdruck ist nun leicht graphisch zu behandeln. Es ist nämlich $\iint r \sin \varphi \cdot r d\varphi \cdot dr = \frac{1}{3} \int r^3 \sin \varphi \cdot d\varphi$ das statische Moment der ganzen Curvenfläche in Bezug auf die X-Achse. Demnach ist der fragliche Ausdruck drei Viertel des statischen Moments einer neuen Curve, die aus der gegebenen dadurch abgeleitet werden kann, daß man, mit Beibehaltung der gegebenen Fahrstrahlen, alle Amplituden verdoppelt. Zeichnet man nun die Spirale dieser neuen Curve mit der Constanten k , so ist die Fläche dieser Spirale multiplicirt mit $\frac{3}{4} k$ die Lösung der gegebenen Aufgabe (vergl. Seite 89).

Den Ausdruck $\int r^3 \sin \varphi \cos \varphi d\varphi = \int xy r d\varphi$ kann man auch direct behandeln, indem man ihn auf die Form $k \int \frac{\varphi^2}{2} d\varphi$ bringt. Zu dieser Form kommt man entweder durch directe Construction, oder durch partielles Integriren, am besten aber auf folgende Weise: Dadurch, daß man das Integral $\int r^3 \sin \varphi \cos \varphi d\varphi$ erst nach r differentiirt und dann wieder nach r integrirt, kommt man zu der Form: $3 \iint r^2 dr \cdot \sin \varphi \cos \varphi d\varphi$. Da es nun für das Resultat gleichgültig ist, nach welcher Variablen man zuerst integrirt, so darf dies in Bezug auf φ geschehen; man erhält dadurch: $3 \int r^2 \cdot dr \cdot \frac{\sin^2 \varphi}{2} = 3 \int \frac{(r \sin \varphi)^2}{2} d\varphi = 3 \int \frac{y^2}{2} dr$. Setzt man nun $dr = k d\psi$ — also $r = k\psi$ — so kommt man zu dem Resultat $3k \int \frac{y^2}{2} d\psi$. Das Integral dieses

Ausdrucks kann durch Zeichnen als Fläche dargestellt werden. — Controle: Verschiebt man die Y-Achse immer weiter nach links, so convergirt der Ausdruck $3 \int \frac{y^2}{2} dr$ gegen die Grenze $3 \int \frac{y^2}{2} dx$, der Ausdruck $\int r^3 \sin \varphi \cos \varphi d\varphi$ gegen die Grenze $\int r^3 \sin \varphi d\varphi$, d. i. in beiden Fällen das dreifache statische Moment der gegebenen Curve in Bezug auf die X-Achse.

Um für eine beliebige gegebene Curve (ohne Gleichung) ein Integral von der Form:

$$\int f_n (f_{n-1} (f_{n-2} \dots f_3 (f_2 (f_1 (g))) \dots)) dx,$$

wo $f_n, f_{n-1}, f_{n-2} \dots f_3, f_2, f_1$ verschiedene Functionen bezeichnen, zu lösen, ist es sehr bequem, mit Hilfscurven zu arbeiten, in folgender Weise: Die Constante k werde Einfachheit halber gleich der Längeneinheit und n zunächst als grade Zahl angenommen. Man zeichne in einem Coordinaten-System UZ, dessen U-Achse mit der X-Achse in dieselbe Gerade fällt, und dessen Z-Achse mit der Y-Achse parallel und gleich gerichtet ist, die Hilfscurven der Gleichungen: $u = f_1(z)$, $z = f_2(u)$, $u = f_3(z) \dots z = f_{n-2}(u)$, $u = f_{n-1}(z)$, $z = f_n(u)$, falls die f -Functionen nicht von vornherein durch gezeichnete Curven, sondern durch analytische Ausdrücke gegeben sind. Ist M ein beliebiger Punkt der gegebenen Curve, für welche obiges Integral zu lösen ist, und ist $PM = y$ die Ordinate dieses Punktes, so ziehe man die Graden $M M_1, M_1 M_2, M_2 M_3 \dots M_{n-3} M_{n-2}, M_{n-2} M_{n-1}, M_{n-1} M_n, M_n N$ abwechselnd normal und parallel zur Y-Achse, so daß die Punkte $M_1, M_2, M_3 \dots M_{n-2}, M_{n-1}, M_n$ und N successive auf der 1^{ten}, 2^{ten}, 3^{ten} ... n ^{ten} Hilfscurve und auf der (verlängerten) Ordinate PM liegen: Nun kann man aus der Zeichnung direct ablesen, daß der geometrische Ort des Punktes N die gesuchte Curve, ihre Fläche die Lösung des vorgelegten Integrals ist. — Ist n eine ungrade Zahl, so ist die Sache dieselbe, als wenn im Vorstehenden mit $n - 1$ abgebrochen wäre; man führe dann als n ^{te} Curve die Gerade $z = u$ ein und verfähre nun genau so wie vorher; man könnte auch mit der Graden $u = z$ als erster Curve beginnen, müßte dann aber in den obigen Gleichungen die Buchstaben u und z vertauschen, und es müßte allgemein die e ^{te} Function der $e + 1$ ^{ten} Curve, also schließlich die $n - 1$ ^{te} Function der n ^{ten} Curve entsprechen. Hätte man $\int f_n (f_{n-1} \dots f_2 (f_1 (f(x, y))) \dots) dx$ zu ermitteln, so müßte man zunächst $f(x, y)$ auf lineare Form bringen, also etwa gleich ψ machen, und hätte nun für eine Curve mit den Coordinaten x und y das Integral $\int f_n (f_{n-1} \dots f_2 (f_1(\psi)) \dots) dx$ wie vorher zu lösen.

Schon für die Bestimmung von statischen und Trägheits-Momenten, namentlich wenn man mehrere Profile nach einander zu bearbeiten hat, ist dies Verfahren sehr brauchbar; hier hat man, bei Anwendung einer Constanten k , als erste Curve $u = \frac{z^2}{k}$, respectiv $\frac{z^3}{k^2}$, als zweite Curve die Gerade $z = u$.

Da man die Länge s eines Curvenbogens zwischen zwei beliebigen Punkten desselben mit dem Circel abgreifen kann, so kann man für eine gegebene Curve auch Ausdrücke von der Form $\int y^n \cdot ds$, also das Moment n^{ten} Grades des Curvenbogens in Bezug auf die X-Achse finden; man hat dabei nur $y^n = k^{n-1} \cdot z$ und $ds = dx$, also $s = x$, oder $y^n = k^{n-2} \cdot r^2$ und $ds = k \cdot d\varphi$, also $s = k\varphi$ zu setzen.

Sehr leicht löst man hiernach die Ausdrücke $\int y \cdot ds$, $\int y^2 \cdot ds$ und $\int r^2 \cdot ds$, welche beziehungsweise das statische und das äquatoriale Trägheitsmoment eines Curvenbogens in Bezug auf die X-Achse, und das polare Trägheitsmoment des Bogens darstellen. In ähnlicher Weise, wie oben für das Trägheitsmoment eines Körpers angegeben wurde, kann man von diesen Ausdrücken zu dem statischen Moment und zum Trägheitsmoment gegebener Oberflächen gelangen, während man andererseits, von $\iint y \cdot dy \cdot dx$ ebenso zum statischen Moment eines Körpers gelangt.

Man erkennt aus dem Vorstehenden die Leistungsfähigkeit dieser Methode, die z. B. für das allgemeine Momentenpro-

blem die Seilpolygon-Methode der graphischen Statik weit überholt; sie unterscheidet sich von den sonst für ähnliche Zwecke üblichen Methoden dadurch wesentlich, daß diese meistens mit kleinen Flächen-Elementen, die man angenähert als Dreiecke, Parallelogramme, Paralleltrapeze u. dergl. ansehen kann, arbeiten, während bei dem hier gegebenen Verfahren keine derartigen Elemente benutzt, sondern allgemein in die Integral-Ausdrücke der Aufgabe durch Construction neue Variable substituirt werden — wobei sich die Transformation der Integral-Grenzen von selbst macht — so daß dem Begriff der Continuität der Functionen vollständig Rechnung getragen wird. Durch diese allgemeinere Auffassung kommt man dazu, selbst noch Ausdrücke von so complicirter Form wie z. B. $\int \frac{x^{3/4}}{y^{1/2}} \cdot \frac{x+y}{x-y} \cdot \frac{s^2}{\sqrt{x^2+y^2}} \cdot \arcsin\left(\frac{y}{x}\right) ds$ und ähnliche lösen zu können, und zwar mit ziemlich großer Genauigkeit. Kann man, was wenigstens angenähert immer möglich ist, für irgend welche Punkte Tangenten an die gegebene Curve ziehen, so dürfen unter dem Integralzeichen sogar Differential-Quotienten der gegebenen Curve stehen, ohne daß das Verfahren den Dienst verläßt; auch ist dasselbe ohne Weiteres auf den Fall zu übertragen, wo für eine gegebene Curve ohne Gleichung ein Doppelintegral gegeben ist, bei dem man rein analytisch weder nach der einen, noch nach der anderen Variablen zu integrieren im Stande ist.

Die Einfachheit der Bestimmung des statischen Moments einer Fläche, mit Hilfe von Polar-Coordinationen, würde sich unmittelbar auf das Trägheitsmoment übertragen lassen, wenn man dasselbe direct auf die Form eines Flächen-Integrals in Polar-Coordinationen transformiren könnte*); dabei müßte gleichzeitig das statische Moment, da es eine Dimension we-

*) Nachtrag: Die einfachste und darum für die praktische Anwendung die beste Lösung für das äquatoriale Trägheitsmoment ist die folgende: Das fragliche Moment

$$M_2 = \iint (r \sin \varphi)^2 r \, d\varphi \cdot dr = \frac{1}{4} \int r^4 \sin^2 \varphi \, d\varphi = \frac{1}{4} \int (r \cdot r \sin \varphi)^2 d\varphi.$$

Setzt man nun einfach: $r \cdot r \sin \varphi = k \cdot \varrho$, so ergibt sich schon die Lösung:

$$M_2 = \frac{1}{4} \int k^2 \varrho^2 d\varphi = \frac{k^2}{2} \int \frac{\varrho^2}{2} d\varphi.$$

Diese, vom statischen Moment völlig unabhängige Lösung, beruht auf strenger Theorie, nicht auf Annäherung, und bildet ein vollständiges Analogon zu der weiter oben bereits angeführten Lösung für das polare Trägheitsmoment; sie erfordert für irgend einen Punkt in dem Umfang der gegebenen

in Bezug auf die X-Achse, in Polar-Coordinationen ausgedrückt, ist, wenn die veränderlichen Winkel von der X-Achse ausgezählt werden, folgendes:

Fläche nur die Construction von ϱ aus der Proportion $\frac{k}{r} = \frac{r \sin \varphi}{\varrho}$, und diese Construction kann ohne Circel und ohne daß man, außer den Fahrstrahlen, die übrigen Constructionslinien wirklich zu ziehen brauchte, durchgeführt werden, und bietet nicht die allergeringste Schwierigkeit. Wegen des praktischen Werths dieser Lösung mag hier noch kurz untersucht werden, welche Curve dem Regelschnitt der Gleichung

$$\alpha y_1^2 + \beta x_1 y_1 + \gamma x_1^2 + \alpha y_1 + \beta x_1 + c^2 = 0$$

entspricht. Bezeichnet man die Coordinaten der neuen Curve mit x und y , so gelten die Beziehungen:

nach Augenmaß finden; aus ihr findet man dann $\Delta z = k \cdot \Delta \varphi$, während natürlich als Ordinaten und Fahrstrahlen die Ordinaten der eigentlichen Curve beizubehalten sind. Ueberschlägt man mehrere bereits bearbeitete Punkte und wendet dasselbe Verfahren auf ein größeres Stück der Figur an, so hat man ein Mittel, die Genauigkeit der Zeichnung zu controliren. — Wollte man durch dieselbe Transformation außer den Momenten vom 1. und 2. Grade gleichzeitig auch noch das vom 3. Grade erhalten, so müßte man setzen:

$$\int_{x_0}^{x_2} y^2 \cdot dx = k^2 \cdot \Delta z = k^2 \cdot k \cdot \Delta \varphi, \text{ ersteres für die beiden}$$

ersten Momente, letzteres für das Moment vom dritten Grade. Das vorstehende Integral ist das doppelte statische Moment für das Flächenstück zwischen den Ordinaten y_0 und y_2 , und es ist dasselbe für geradlinige Begrenzung der Figur nach den Regeln der Schwerpunktsbestimmung eines Parallelogramms

3. B. statt der beiden Graden: $y_1 \mp a = 0$ die Graden: $y \mp \frac{a^2}{k} = 0$; statt der Graden: $\alpha y_1 - \beta x_1 - a = 0$ die Parabeln: $\alpha y^2 - 2\alpha\beta xy + \beta^2 x^2 \mp \frac{a^2}{k} y = 0$; statt der Graden: $y_1 - \alpha x_1 = 0$ dieselbe Graden: $y - \alpha x = 0$; statt des Kreises: $x_1^2 + y_1^2 - r^2 = 0$ die beiden Kreise $(y \pm \frac{r}{2})^2 + x^2 - \frac{r^2}{4} = 0$; statt der Hyperbel: $\alpha y^2 + \beta xy + c^2 = 0$ die beiden Graden: $\alpha y + \beta x \pm \frac{c^2}{k} = 0$; u. f. w.

Auch für das statische Moment führt die Anwendung von Polar-Coordinationen zu einer sehr brauchbaren Lösung, nämlich: $M_1 = \iint r \sin \varphi \cdot r \, d\varphi \cdot dr = - \int r^2 \cos \varphi \cdot dr$

$$\alpha y_1^2 + \beta x_1 y_1 + \gamma x_1^2 + a y_1 + b x_1 + c^2 = 0$$

die Gleichung:

$$\alpha x^4 + (\pm a x + \beta k y) \sqrt{x^4 - k^2 y^2} + c^2 x^2 \pm b k x y + (\gamma - \alpha) k^2 y^2 = 0,$$

und zwar mit Hilfe der leicht zu entwickelnden Beziehungen: $x_1 = \frac{\pm k y}{x}$ und $y_1 = \pm \frac{1}{x} \sqrt{x^4 - k^2 y^2}$: Das obere Vorzeichen gilt für den ersten und dritten, das untere für den zweiten und vierten Quadranten. Darnach erhält man 3. B. statt der Graden: $x_1 = 0$ (Y-Achse) die Graden $x = \pm x$ (X-Achse); statt der Graden: $y_1 = 0$ (X-Achse) die Parabeln $x^2 = \pm k y$; statt der Graden: $x_1 = + a$

durch Construction streng zu finden, während man dasselbe für wirkliche Curven entweder nach Augenmaß, oder mittelst Annäherungsconstructionen, oder in der oben angegebenen Weise mechanisch auswerten müßte. Die Anfangs- und End-Ordinaten, resp. Fahrstrahlen, für die Curve des Moments zweiten resp. dritten Grades schneiden auf der X-Achse, resp. auf dem Kreise vom Radius k eine Länge l ab, welche der Gleichung: $\frac{1}{2} k^2 \cdot l = \text{Moment ersten Grades der gegebenen Figur, entspricht.}$

Zwei Hauptvorteile der im Vorstehenden beschriebenen Integrationsmethoden, die im Gebiete des graphischen Rechnens dem bestimmten Integral seinen Platz anweisen, und die ersichtlich nur bei Anwendung des Planimeters*) ihre volle Kraft entwickeln können, dürften ferner noch darin liegen, daß bei allen Methoden, die theoretisch nicht auf Annäherung beruhen, die Formen der gegebenen Curven, das Verfahren

$= - \int k \cdot y \cdot dr = - k \int y \cdot dr$, so daß man nur die Proportion $\frac{k}{r} = \frac{r \cos \varphi}{y}$ zu realisiren hat. Bei der Ausführung braucht man auch hier von den für irgend einen Punkt des Umfangs der gegebenen Curve nöthigen Hilfslinien nur eine einzige wirklich auszuzeichnen. Das Minus-Zeichen deutet an, daß die zu zeichnende Curve in rückläufiger Bewegung erzeugt wird, wenn die Construction auf der gegebenen Curve rechtwinklig vorwärts schreitet, und umgekehrt. — Bleibt man für irgend einen Punkt mit der Construction in dem Quadranten, in dem der Punkt selbst liegt — nöthig ist dies nicht — und nennt die rechtwinkligen Coordinaten der gegebenen Curve x_1 und y_1 , die der neuen Curve x und y , so erhält man hier statt der Gleichung zweiten Grades:

und $-a$ die Graden: $y = \pm \frac{a}{k} x$ oder $\mp \frac{a}{k} x$; statt der Graden: $y_1 = \pm a$ die Curve: $x^4 - a^2 x^2 = k^2 y^2$; statt der Graden: $y_1 = \tan \omega \cdot x$ die Parabeln: $x^2 = \pm \frac{k}{\cos \omega} y$; statt des Kreises: $x^2 + y^2 = r^2$ die Graden: $x = \pm r$, mit $x = \pm \frac{r^2}{k}$ als } Maximum
Minimum; u. f. w.

*) Bei Anwendung des Momenten-Planimeters würde man die gegebenen Integrale nur auf Momenten-Integrale zu transformiren brauchen und käme dadurch häufig einfacher und schneller zum Ziel.

höchstens vereinfachen, nie complicirter machen können, und daß die Endcurven meistens sehr deutlich das zur Anschauung bringen, was man die „Dichtigkeit“ der Function unter dem Integralzeichen für die gegebene Curve nennen könnte, so daß man den Einfluß einzelner Theile der Curve, resp. Fläche auf das Resultat klar erkennt. Uebrigens sind die Methoden nur mit den Mängeln behaftet, die allen graphischen Methoden als solchen überhaupt anhängen; ein Forttragen von Fehlern findet nur bei den Näherungsmethoden Statt, aber auch hier kommen alle Fehler nur rein additiv oder subtraktiv zur Wirkung; endlich erkennt man beim Zeichnen unmittelbar, in welchen Gegenden der gegebenen Figuren u. s. w. man am sorgfältigsten zu construiren hat und wo dies am wenigsten nöthig ist, und jeder etwa vorgekommene Zeichenfehler macht sich durch die abnorme Lage des betreffenden resultirenden Punktes sofort bemerkbar.

c) Justirung und Correction des Planimeters und sonstige Bemerkungen.

Die in der Abtheilung a) dieser Abhandlung vorkommenden Dimensionen eines Planimeters, also die Längen a, b, c, d und r, sind meistens von vornherein für ein gegebenes Instrument nicht genau bekannt und können auch, mit gewöhnlichen Mitteln, nicht so scharf gemessen werden, daß man auf Grund dieser Messungen die in den Formeln (3) und (6), resp. (9) vorkommenden Combinationen dieser Constanten mit genügender Schärfe bestimmen könnte. Dies ist indessen nöthig, um zu wissen, welcher absolute Flächeninhalt einer Rollenumdrehung entspricht, wenn der Pol außerhalb der zu messenden Figur liegt, und welche Constante man zu dem gemessenen Resultat hinzuzuaddiren hat bei innen liegendem Pol. Ueber die directe Messung jener Längen, deren Werth nicht zu verkennen ist, die aber für den Ingenieur meistens zu viel Umstände machen wird, vergleiche man die Abhandlung von Professor Chereff: „Ueber Amster's Polarplanimeter“, im Civilingenieur, Jahrgang 1866. Ohne eine solche directe Messung führt, immer noch unter Voraussetzung eines fehlerfreien Instruments, das folgende Verfahren zum Ziel:

Die Mechaniker liefern zu jedem Planimeter ein kleines dünnes Blechstückchen*), welches in genau bestimmten Abständen von einander sehr feine runde Löcher enthält. Legt man dieses Blech auf die Zeichenebene, steckt durch eins derselben eine feine Nadel in das Reißbrett, und setzt in ein

anderes den Fahrstift, so kann man mit diesem leicht und sicher einen Kreis umschreiben, dessen Radius gleich dem Abstand der beiden Löcher ist. Dieser Abstand sei nun beispielsweise gleich q^{cm} ; beiläufig bemerkt, wählen die Mechaniker zuweilen q , zuweilen $q^2 \cdot \pi$ als runde Zahl, was übrigens für das Princip der Methode gleichgiltig ist, wenn in beiden Fällen q (durch die Theilmachine) genau den beabsichtigten Werth bekommt. Umfährt man nun den Kreis von q^{cm} Radius m Mal hinter einander (um einen Fehler, den man beim Aufhören etwa dadurch macht, daß man nicht ganz scharf auf den Ausgangspunkt zurückkommt, und einen etwaigen Romius-, Theilungs- und Ableisungsfehler möglichst zu eliminiren), und gelangt man dabei zu einer Ableisungsdifferenz n, so hat man nach Formel (3):

$$b \cdot 2r\pi \cdot n = m \cdot q^2 \cdot \pi,$$

und demnach ist der Absolutwerth einer Rollenumdrehung

$$b \cdot 2r\pi = \frac{m \cdot q^2 \cdot \pi}{n}, \quad \dots \quad (10)$$

und zwar in Quadratcentimetern. — Dadurch, daß der Stab HJ (Figur 1, Taf. 9) in der Hülse F verschiebbar ist, kann man es erreichen, daß diese Zahl eine runde Ganzzahl i wird. Setzt man nämlich

$$\frac{m \cdot q^2 \cdot \pi}{n} = i,$$

so wird

$$n = \frac{m \cdot q^2 \cdot \pi}{i}. \quad \dots \quad (11)$$

Man muß also den Stab HJ in seiner Hülse F so lange verschieben, bis man nach m-maligem Umfahren des Kreises zu einer Ableisungsdifferenz $\frac{m \cdot q^2 \cdot \pi}{i}$ kommt. Aus den Gleichungen (10) und (11) folgt direct: $b \cdot 2r\pi = i$; hiernach kann man, da man r leicht (angenähert) messen kann, b angenähert berechnen und dann mit Hilfe der schon auf Seite 78 erwähnten, von der zu BC normalen Vertical-ebene des Punktes C ab zählenden Theilung auf dem Stab HJ diesen letzteren ungefähr richtig einstellen, und spart sich dadurch zeitraubendes Probiren. Für die letzte Justirung der Stablänge bringt man passend an Stab und Hülse eine Mikrometerschraube an, wie es in Fig. 1, Taf. 9 gezeichnet ist. Ich halte dieses Verfahren für correcter, als ein anderes auch wohl übliches, wonach für verschiedene i und verschiedenartige Maßeinheiten Marken auf dem Stab eingravirt sind, die man mit dem auf Seite 78 erwähnten Index an der Hülse F zur Coincidenz bringen muß; es laufen hierbei leicht Ungenauigkeiten unter, außerdem muß man sich dabei ohne Weiteres auf die Richtigkeit der Marken verlassen. — Theoretisch würde es am besten sein, m möglichst groß zu nehmen; practisch nimmt man am besten $m = 2$ oder 3, weil die

*) Control-lineal genannt.

Rolle bei häufigerem Verfolgen derselben Bahn das Papier polirt, wodurch die Drehung der Rolle um ein Geringes beeinflusst werden kann: man lese hierüber die citirte Abhandlung von Professor Chereff und die Abhandlung von Professor Junge: „Eine Versuchsreihe mit dem Amster'schen Polarplanimeter“, im Civilingenieur, Jahrgang 1866, nach. Durch den erwähnten Grund ist es auch motivirt, die Polstellung immer um ein Geringes zu ändern, wenn man es so weit gebracht hat, daß nur noch sehr geringe Verschiebungen von HJ nöthig sind. Weitere Regeln ergeben sich später, wenn nicht mehr von der Justirung, sondern von der Correction des Instruments die Rede ist.

Ist der Längenmaßstab der zu messenden Figur $\frac{1}{l}$, der Höhenmaßstab $\frac{1}{h}$, so entspricht für den vorliegenden Fall eine Rollenumdrehung i. l. h \square^{zm} der wirklichen Fläche in natürlicher Größe, und i. l.² \square^{zm} , wenn $h = 1$ ist.

Setzt man statt einer Nähnadel den Polstift in das eine Loch des Hilfsblechs und verfährt wie vorhin, erhält nun aber eine Ablegungsdifferenz $= n_1$, wo nach Formel (8) die Zahl n_1 negativ sein muß, sobald $\sqrt{a^2 + 2bc} > e$, so ist nach Formel (6):

$$b \cdot 2r\pi \cdot n_1 + m(a^2 + 2bc)\pi = m \cdot e^2 \pi,$$

und da nach Formel (10):

$$b \cdot 2r\pi \cdot n_1 = \frac{m \cdot e^2 \cdot \pi}{n} n_1,$$

so wird

$$(a^2 + 2bc)\pi = e^2 \cdot \pi \left(1 - \frac{n_1}{n}\right), \quad (12^a)$$

oder, wenn man für n seinen Werth aus (11) einsetzt:

$$(a^2 + 2bc)\pi = e^2 \pi - \frac{n_1}{m} i. \quad (12)$$

Dieses ist also der Werth der Constanten, die bei innenliegendem Pol zu dem direct von dem Instrument angegebenen Werth $b \cdot u$ hinzuaddirt werden muß. Professor Chereff verwirft die angegebene Methode der Bestimmung dieser Constanten, als ungenau wegen des unrichtigen Spiels der Rolle, was hier seinen Einfluß in sehr nachtheiliger Weise ausüben soll; er fordert directe Messung der Dimensionen des Planimeters und bestimmt daraus die Constante. Ich bin der Ansicht, daß man dieselbe sehr wohl auf dem angegebenen Wege bestimmen kann, wenn man nur e nicht viel von $\sqrt{a^2 + 2bc}$ verschieden macht, was leicht möglich ist; reicht dann das Hilfsblech nicht aus, so zeichne man so genau wie irgend möglich den Kreis und umfahre ihn sorgfältig aus freier Hand. Die angebliche Ungenauigkeit des Messens mit innenliegendem Pol dürfte in der Regel davon kommen, daß die fraglichen Figuren für diese Art des Messens zu klein sind; auch bei außenliegendem Pol arbeitet man, procentisch gerechnet,

um so genauer, je größer die Figur ist, d. h. im Allgemeinen. Uebrigens kann man durch Theilung großer Figuren den innenliegenden Pol und die „berückichtigte Constante“ immer umgehen, und arbeitet dann bei den immer noch großen Theilen der Figur um so genauer.

Es läßt sich nicht verkennen, daß dem im Princip so vorzüglichen Amster'schen Planimeter in seiner practischen Anwendung einige, theils wesentliche, theils nur unbequeme Mängel anhaften.*) Dazu gehören besonders die aus einem ungenauen Spiel der Rolle A auf dem Papier resultirenden Fehler; die veränderliche Größe der an dem Umfang der Rolle wirkenden Kraft, welche das Drehen der Rolle bewirkt; die wechselnde Größe des Widerstandes, der dem Drehen der Rolle entgegengesetzt wird; die veränderliche Größe des Widerstandes, den das Instrument einer Drehung um den Pol und um die Achse BB (Fig. 1, Taf. 9) entgegengesetzt, und der, da auch das Moment, das diese Drehungen bewirken muß, veränderlich ist, leicht ein Abweichen des Fahrstifts zur Folge haben kann; die oft unbequeme Stellung der Trommel relativ zum Beobachter, wenn derselbe ablesen will; das oft ungünstige Auffallen des Lichts auf Trommel und Nonius. — Diese Mängel haben es indessen nicht verhindern können, daß der Polar-Planimeter, trotz anderen und besseren, aber auch sehr viel kostspieligeren und complicirteren Instrumenten, eine enorme Verbreitung unter Technikern, Geometern u. s. w. gefunden hat, ja, in Deutschland wohl der einzige Planimeter ist, von dem man wenigstens in Wahrheit sagen kann, daß er Eingang in die Praxis gefunden hat; dies ist der beste Beweis für seine Brauchbarkeit und gegen die Vorwürfe Derer, die das Instrument verwerfen. — Was das Drehen der Rolle betrifft, so hat es sich als practisch herausgestellt, dem laufenden Rande nur wenig Fläche zu geben und dieselbe parallel der Rollennachse sehr fein, nur mit der Loupe erkennbar, zu streifen. Ferner muß die Rolle so leicht beweglich sein, daß die geringste an ihrem Umfang wirkende Kraft, welche nicht normal zur Tangente des Berührungspunktes steht, im Stande ist, sie um ihre Achse zu drehen. Diese Drehung aber, sowie auch die Drehung um die Achse BB müssen stets so erfolgen, daß auch nicht das geringste Schlottern, weder normal noch parallel zu der betreffenden Achse möglich ist. Die Art des Einflusses eines derartigen Schlotterns auf die Angabe des Instruments ist ohne Schwierig-

*) Zur Erlangung eines klaren Urtheils über diese Mängel empfehle ich das Lesen der bereits citirten Abhandlungen von Amster, Chereff und Junge; ferner einer Polemik zwischen Prof. Amster und Prof. Decher über den Planimeter, in Dingler's Polytechnischem Journal, Band CXL und CXLI; ferner das Werk: „Die Planimeter“, vom Ingenieur Chr. Trunk; und sonstige Arbeiten. Auch in der Spielberger'schen Bayrischen „Zeitschrift für Geometrie“, Jahrgang 1861, soll eine mit dem Planimeter angestellte Versuchsreihe mitgetheilt sein.

nigkeit aus der gegebenen Theorie zu ersehen*); ob das Schlottern eintritt oder nicht, erkennt man direct und auch daran, daß man bei dem später zu erwähnenden Correctionsverfahren zu keinem befriedigenden Resultat kommt, wenn das Schlottern stattfindet. Man vermeidet dasselbe dadurch, daß man beide Achsen mit conischen Spitzen in conisch ausgetiefen, versstellbaren Spurlagern laufen läßt; Achsen und Lager müssen aus hartem Stahl hergestellt und gut rein und geölt erhalten werden.

Weiter ist nöthig, daß die Ebene des Rollkreises genau normal zur Rollachse stehe; wenn die Rolle auf ihrer Achse nicht festgeleitet, sondern vor dem Abdrehen mit derselben verlötet wird, so ist, bei guten Mechanikern, hier ein Fehler kaum zu erwarten; wäre er vorhanden, so würde das Instrument, resp. die Rolle vollständig unbrauchbar sein.

Die nächstfolgende, an das Instrument zu stellende Forderung ist die, daß die Achse B normal zur Ebene AOC, d. i. zur Zeichenebene stehe; ist dies nicht der Fall, so kann man nicht mit sicherem Erfolge die weiter unten erwähnten Correctionen durchführen, auch kippt das Instrument beim Arbeiten um die veränderliche Achse OA und liefert dadurch ein fehlerhaftes Resultat. Ohne diesen Fehler weiter durch Rechnung zu bestimmen, gebe ich nur an, wie der Mechaniker obiger Forderung genügen kann. Er stellt das Instrument auf eine genau eben geschliffene Platte und schraubt den Theil HJF desselben so auf dieser Platte fest, daß derselbe in seiner Stellung unbeweglich erhalten wird, ohne sich einerseits auf den Pol O, aus dem jetzt die Nadel entfernt sein muß, zu stützen, aber auch ohne daß sich der Pol von der Zeichenebene abhebt. Darauf corrigirt der Mechaniker an den Correctionschrauben der Achse B so lange, bis der Pol O bei der Drehbewegung des Polarmes stets eben über der Platte hinstreift, ohne auf dieselbe irgendwo stark aufzudrücken und ohne sich von ihr zu entfernen. Ist dieser Zustand erreicht,

so steht die Achse B normal zur Platte, wie es verlangt wurde. — Bei dieser Operation kann möglicherweise ein Auf- oder Abwärtschieben des Polarmes auf der Achse B nöthig werden, und es muß durch die Construction des Instruments für die Möglichkeit desselben gesorgt werden.

Die nun folgende Untersuchung bezieht sich auf die Stellung der Rollachse relativ zu der Linie BC und zu der Ebene OBC. Es wurde bislang vorausgesetzt, daß die Verticalebene der Achse durch BC gehe, und daß die Achse der Ebene OBC parallel sei. Es fragt sich jetzt: Welchen Einfluß hat es, wenn die Verticalebene der Achse mit BC einen Winkel δ , und wenn die Achse selbst mit der Ebene OBC einen Winkel ε bildet, und wie corrigirt man das Instrument in Bezug auf die hieraus hervorgehenden Fehler? — Setzt man zunächst $\varepsilon = 0$, so gelangt man durch das auf Seite 71 2c. (vergl. Fig. 1 und 2, Taf. 8) angewendete Verfahren zu Fig. 2, Taf. 9, indem man zunächst wieder die Stange parallel verschiebt aus der Lage ABC in die Lage $A_1 B_0 C_0$, und dann dieselbe um die Verticale des Punktes A_1 aus der Lage $A_1 B_0 C_0$ in die Lage $A_1 B_1 C_1$ dreht. Bei Voraussetzung unendlich kleiner Bewegungen hat man wieder:

$$BCC_1 B_1 = BCC_0 B_0 + B_0 C_0 C_1 B_1.$$

Hierin ist, wenn jetzt statt des Zeichens Δ das d der Differential-Rechnung eingeführt wird:

$$BCC_0 B_0 = \overline{BC} \cdot d u_0 = b \cdot d u_0, \text{ wo } d u_0 = \overline{AA_1} \cdot \sin x.$$

Es wäre $d u_0$ der abgewinkelte Rollenbogen, wenn $\delta = 0$ wäre; da das nicht der Fall ist, so erhält man jetzt statt $d u_0$ einen Bogen $d u_\delta = \overline{AA_1} \cdot \sin(x - \delta)$, so daß

$$d u_\delta = d u_0 \cdot \frac{\sin(x - \delta)}{\sin x} \quad (13)$$

Man würde also, wenn man $d u_\delta$ als den das Parallelogramm $BCC_0 B_0$ messenden Rollenbogen nähme, dieses um eine Größe

$$b(d u_0 - d u_\delta) = b \cdot d u_0 \left(1 - \frac{\sin(x - \delta)}{\sin x}\right) = b \cdot d u_\delta \left(\frac{\sin x}{\sin(x - \delta)} - 1\right) \quad (14)$$

zu klein erhalten. — Für die Drehung um die Verticale des Punktes A_1 , um den Winkel $d v$, hat der Winkel δ keinen Fehler zur Folge; denn verlängert man die Linie $B_0 a_0$ bis zu ihrem Schnittpunkt o mit $B_1 a_1$, so ist:

$$\overline{B_0 o} = c - \frac{b}{2} + m \cdot \operatorname{tg} \frac{d v}{2}; \quad \overline{B_1 o} = c - \frac{b}{2} - m \cdot \operatorname{tg} \frac{d v}{2};$$

$$\overline{C_0 o} = c + \frac{b}{2} + m \cdot \operatorname{tg} \frac{d v}{2}; \quad \overline{C_1 o} = c + \frac{b}{2} - m \cdot \operatorname{tg} \frac{d v}{2};$$

ferner ist nun:

$$B_0 C_0 C_1 B_1 = \frac{\overline{C_0 o} \cdot \overline{C_1 o} \cdot \sin d v}{2} - \frac{\overline{B_0 o} \cdot \overline{B_1 o} \cdot \sin d v}{2},$$

und wenn man die vorstehenden Werthe einsetzt:

$$B_0 C_0 C_1 B_1 = b \cdot c \cdot \sin d v = b \cdot c \cdot d v.$$

Man gelangt für alle in Fig. 2, Taf. 8, gezeichnet

*) Vergl. auch Amster a. a. O. in Betreff dieser Fehlerquellen des Instruments.

zu demselben Resultat, wie es hier für den Fall: $+ du$ und $+ dv$, abgeleitet ist; das mit einem Fehlerwinkel δ besetzte Instrument giebt also für das Viereck BCC_1B_1 den durch Formel (14) bestimmten Fehler; derselbe ist abhängig von δ , unabhängig von m , d. h. wenn $\delta = 0$, $m \geq 0$, so verschwindet der Fehler. „Darum giebt ein Planimeter, dessen Rollachse in irgend welchem Abstände von der Verticalebene von BC parallel zu dieser und der Zeichenebene ist, theoretisch ebenso richtige Resultate, wie wenn die Achse in jene Verticalebene fällt.“ Dies gilt selbst dann, wenn der Pol O innerhalb der zu messenden Figur liegt, nur ist hier c die Länge von der Mitte von BC bis zur Verticalebene des Rollkreises. Practisch ist es gut, dafür Sorge zu tragen, daß m nicht zu groß werde, weil das Instrument bei kleinem m besser balancirt wird.

Der Winkel ε ändert, wenn er vorhanden ist, das soeben abgeleitete Resultat nicht, ist also theoretisch kein Fehlerwinkel, wie sich in folgender Weise zeigen läßt: Soll ε keinen Einfluß haben, so muß (siehe Fig. 3, Tafel 9), wenn ABC in die Lage $A_1B_1C_1$ kommt — A und A_1 sind wie früher die Berührungspunkte der Rolle — die von BC bestrichene Fläche

$$BCC_1B_1 = b \cdot du \frac{\sin x}{\sin(x - \delta)} + b \cdot c \cdot dv \quad (15)$$

sein, wo wieder du den abgewinkelten Bogen, dv den Winkel, den B_1C_1 mit BC bildet, bezeichnet. Um die Richtigkeit dieser Gleichung nachzuweisen, bemerke man zunächst, daß bei vorhandenem ε die (verlängerte) Rollachse in irgend einem Punkte S die Zeichenebene schneidet, und daß dieser Punkt

$$1) \quad BCC_0B_0 = b \cdot c \cdot d\varphi.$$

$$2) \quad B_0C_0C_0'B_0' = -b \left(\overline{B_0S_0} + \frac{b}{2} \right) d\psi = -b(c - k \cos \delta) d\psi.$$

$$3) \quad B_0'C_0'C_1B_1 = \overline{B_0'B_1} \cdot \sin \delta \cdot b = \overline{A_0'A_1} \cdot \sin \delta \cdot b \\ = (\overline{A_0'S_0'} - \overline{A_1S_0'}) \sin \delta \cdot b = (k - \overline{A_1S_0'}) \sin \delta \cdot b.$$

Nun folgt aus Dreieck $AS_0'A_1$:

$$\overline{A_1S_0'} = \overline{AS_0'} \cdot \frac{\sin A_1AS_0'}{\sin A_1S_0'} = k \frac{\sin(x - \delta - d\varphi)}{\sin(x - \delta - d\varphi + d\psi)}, \text{ also}$$

$$B_0'C_0'C_1B_1 = k \left(1 - \frac{\sin(x - \delta - d\varphi)}{\sin(x - \delta - d\varphi + d\psi)} \right) \sin \delta \cdot b.$$

Soll ε kein Fehlerwinkel sein, so muß demnach folgende Gleichung richtig sein:

$$b \cdot du \frac{\sin x}{\sin(x - \delta)} + b \cdot c \cdot dv = b \cdot c \cdot d\varphi - b(c - k \cos \delta) d\psi + k \left(1 - \frac{\sin(x - \delta - d\varphi)}{\sin(x - \delta - d\varphi + d\psi)} \right) \sin \delta \cdot b. \quad (16)$$

Offenbar ist hierin: $du = k \cdot d\psi$, $dv = d\varphi - d\psi$. Setzt man diese Werthe ein und dividirt durch b , so erhält man leicht:

$$\left(\frac{\sin x}{\sin(x - \delta)} - \cos \delta \right) d\psi = \left(1 - \frac{\sin(x - \delta - d\varphi)}{\sin(x - \delta - d\varphi + d\psi)} \right) \sin \delta,$$

und hieraus:

relativ zu ABC eine feste Lage hat und als Spitze eines normalen Kegels aufgefaßt werden kann, dessen kreisförmige Basis der Rollkreis ist. Man zerlege dann die Bewegung der Stange, von BC nach B_1C_1 , in folgende drei Einzelbewegungen:

- 1) Eine Drehung um eine durch A gehende Verticalachse, um einen Winkel $d\varphi$, wobei S nach S_0 auf A_1S_1 komme; dabei dreht sich die Rolle nicht um ihre Achse.
- 2) Eine Drehung um eine durch S_0 gehende Verticalachse, um einen Winkel $d\psi$, wobei A , jetzt A_0 , nach A_0' auf der (verlängerten) S_1A_1 rückt; dabei widelt sich ein Bogen $k \cdot d\psi$ ab, wenn $AS = k$ ist.
- 3) Eine Parallelverschiebung der Linie $B_0'C_0'$ nach B_1C_1 , entsprechend einer Verschiebung von A_0' längs $A_0'S_1$ nach A_1 ; dabei dreht sich die Rolle nicht um ihre Achse.

Man kann das System dieser Bewegungen in ihrer Aufeinanderfolge beliebig variiren, immer ist die algebraische Summe der von BC bestrichenen Flächen, nämlich $BCC_0B_0 + B_0C_0C_0'B_0' + B_0'C_0'C_1B_1$, bei richtiger Berücksichtigung des Sinnes, in dem sie bestrichen werden, gleich der Fläche BCC_1B_1 , d. h. im Sinne der Differentialrechnung; denn in der wirklich vorhandenen Differenz jener Flächensummen gegen die Fläche BCC_1B_1 kommen nur Producte von Differentialen vor, die somit gegen einfache Differentiale verschwinden; man kann dies leicht durch Rechnung nachweisen, indessen auch ohne diese wohl übersehen. — Die bei den drei Einzelbewegungen von BC bestrichenen Flächen sind folgende:

$$\delta - d\varphi + d\psi \left(\frac{\sin x}{\sin(x - \delta)} - \cos \delta \right) d\psi = \left(\sin(x - \delta - d\varphi + d\psi) - \sin(x - \delta - d\varphi) \right) \sin \delta.$$

man nun die Factoren, die unter dem Sinus-Zeichen Differentiale enthalten, in folgender Weise auf:

$$\begin{aligned} \sin(x - \delta - d\varphi + d\psi) &= \sin(x - \delta) \cos(d\psi - d\varphi) + \cos(x - \delta) \sin(d\psi - d\varphi) \\ &= \sin(x - \delta) + \cos(x - \delta) \cdot (d\psi - d\varphi), \\ \sin(x - \delta - d\varphi) &= \sin(x - \delta) \cos d\varphi - \cos(x - \delta) \sin d\varphi \\ &= \sin(x - \delta) - \cos(x - \delta) \cdot d\varphi, \end{aligned}$$

man durch $d\psi$ und streicht endlich noch die mit Differentialen multiplicirten Glieder weg; so kommt man zu der Gleichung:

$$\sin x = \sin(x - \delta) \cos \delta + \cos(x - \delta) \sin \delta = \sin(x - \delta + \delta) = \sin x.$$

Gleichung, die man in derselben Weise, wie hier all: $+ du$ und $+ dv$ geschehen ist, auch für jeden r unter Fig. 2, Taf. 8, enthaltenen Fälle ableitet, δ ohne allen Einfluß ist auf das Endresultat, δ \neq Null sein oder nicht. Nur hat man zu beachten, beiden Verticalebenen durch den Berührungspunkt den Mittelpunkt des Rollkreises, beide normal zur Achse der Rollachse gelegt, jetzt nicht mehr zusammen, daß es auf die erstere, nicht auf die letztere jener ankommt. Practisch ist es selbstverständlich möglichst nahe an Null zu bringen, aber es bedarf Correctionsvorrichtung.

ehende Untersuchungen über die Winkel φ und ϵ r den störenden Einfluß des Winkels δ für ein δ Viereck BCC_1B_1 , nicht seinen Totaleinfluß für umfahrene Figur nach. Um hierüber Urtheil zu könnte man mit Formel (13) weiter arbeiten. r und eleganter jedoch ist die folgende Methode, δ weist, daß man bei vorhandenem δ zu Zahlen e nicht den mit dem Federstift wirklich umfahrenen, stimmten andern Curven entsprechen, die man bei δ wenigstens zeichnen kann, und welche daraus r zur Correction des Instruments ableitet. Da $e = 0$ gesetzt werden. — Es sei (Fig. 4, Taf. 9) der Planimeter, $Oo = e$, und $r = f(\varphi)$ mit dem r o und der Anfangsrichtung Oo , die Gleichung der Federstift C umfahrenen Curve MN . Man lege an BC $t BCC_1$, mit einem Winkel $CBC_1 = \delta$, so daß t $el AD$ ist. Es liege, wie gezeichnet, O außerhalb MN . Umfährt nun der Punkt C die Curve MN ,

so beschreibt C_1 eine Curve M_1N_1 , und da BC_1 parallel der Rollachse AD ist, so giebt der abgewinkelte Bogen $u\delta$, multiplicirt mit $BC_1 = b_1$, die Fläche der Curve M_1N_1 richtig an, da man sich O, ABC_1 als neuen Planimeter denken kann, der von dem Fehlerwinkel δ frei ist. Es sei nun die Fläche der Curve MN gleich F_0 , die der Curve M_1N_1 gleich $F_{\delta'}$, so ist $F_{\delta'} = b_1 \cdot u\delta$, aber $F_0 > b \cdot u\delta$, wenn nicht zufällig $F_0 = b \cdot u\delta$. Die Werthe von F_0 und $F_{\delta'}$ findet man so:

$$F_0 = \frac{1}{2} \int_0^{2\pi} r^2 \cdot d\varphi. \quad (17)$$

Umfährt C die Curve MN , so bezeichne allgemein $u\omega$ die dabei erfolgte Abwicklung einer Rolle, deren Achse mit BC den Winkel ω bildet; dem entsprechend sei der Inhalt der von C_1 beschriebenen Curve, wenn $\angle CBC_1 = \omega$ ist, gleich $F_{\omega'}$, speciell gleich F_{ω} , wenn $BC_1 = BC$ wird. Zerlegt man nun den Planimeter BC_1 nach dem Satz vom Parallelogramm der Planimeter, Seite 81 und 82, in die beiden Planimeter BC und CC_1 , so hat man:

$$F_{\delta'} = BC \cdot u_0 + CC_1 \cdot u_{\pi-\gamma} = F_0 + CC_1 \cdot u_{\pi-\gamma}. \quad (18)$$

Setzt man speciell $BC_1 = b_1 = BC = b$, so wird hieraus:

$$F_{\delta} - F_0 = CC_1 \cdot \frac{u_{\pi+\delta}}{2}. \quad (18^a)$$

Hieraus erkennt man, daß der von δ herrührende Gesamtfehler direct der Abweichung CC_1 proportional ist. — Zerlegt man dagegen den Planimeter BC_1 in $BC_2 = b_1 \cdot \cos \delta$ und $C_2C_1 = b_1 \cdot \sin \delta$, so hat man:

$$b_1 \cdot \cos \delta \cdot u_0 + b_1 \cdot \sin \delta \cdot u_{\frac{\pi}{2}} = \frac{b_1}{b} (b \cdot u_0 \cdot \cos \delta + b \cdot u_{\frac{\pi}{2}} \cdot \sin \delta) = \frac{b_1}{b} (F_0 \cdot \cos \delta + F_{\frac{\pi}{2}} \cdot \sin \delta). \quad (19)$$

man $b_1 = b$, so wird:

$$F_{\delta} = b \cdot u_0 \cdot \cos \delta + b \cdot u_{\frac{\pi}{2}} \cdot \sin \delta = F_0 \cdot \cos \delta + F_{\frac{\pi}{2}} \cdot \sin \delta. \quad (19^a)$$

Formel (13) wird: $F_{\delta} = b \int \frac{\sin(x - \delta)}{\sin x} du_0 + bc \int dv$, oder, nach Einsetzung der Grenzen:

Für ein kleines δ ist angenähert $\cos \delta = 1$, $\sin \delta = \delta$, daher

$$F_{\delta} - F_0 = F_{\frac{\pi}{2}} \cdot \delta, \dots (19^b)$$

d. h. der Gesamtfehler ist für ein kleines δ direct proportional δ .

Sehr klar wird die Gleichung (19^a) durch graphische Darstellung. Betrachtet man (Fig. I im Text) die Fahrarme BC_0 und $BC_{\frac{\pi}{2}}$, für $\delta = 0$ und $= \frac{\pi}{2}$, als Achsen, δ als veränderlichen Winkel und F_{δ} als Radiusvector, so ist Gleichung

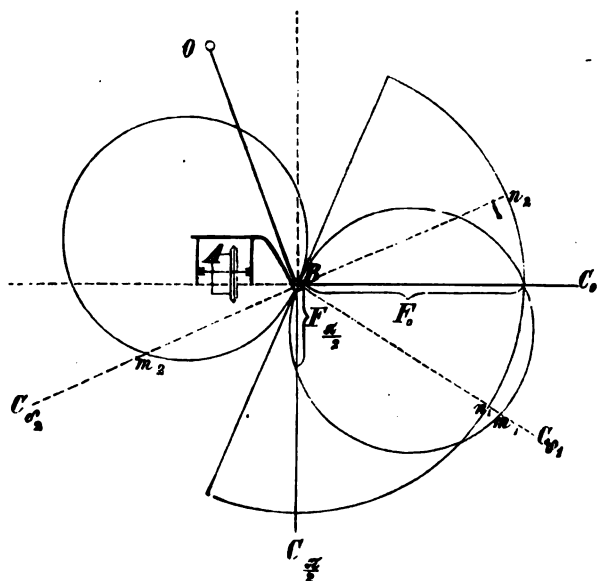


Fig. I.

(19^a) die Polargleichung eines Kreises, dessen Mittelpunktscordinaten im orthogonalen System $\frac{F_0}{2}$ und $-\frac{F_{\frac{\pi}{2}}}{2}$ sind,

und dessen Radius $= \frac{1}{2} \sqrt{(F_0)^2 + (F_{\frac{\pi}{2}})^2}$ ist. Die durch B geführte Tangente an diesen Kreis bildet mit BC_0 einen Winkel $\frac{\pi}{2} + \arctg \frac{F_{\frac{\pi}{2}}}{F_0}$. Zeichnet man nun

diesen ersten Kreis, den zu der verzeichneten Tangente symmetrisch gelegenen Gegenkreis, und über der Tangente mit dem Radius F_0 einen Halbkreis, so erkennt man Folgendes: Für $\delta = \delta_1$ ist $Bm_1 = F_{\delta_1}$ und $Bm_1 - Bu_1 = n_1 m_1 = F_{\delta_1} - F_0 =$ gleich dem positiven Fehler; für $\delta = \delta_2$ ist $Bm_2 = F_{\delta_2}$ und $m_2 n_2 = F_{\delta_2} - F_0$ gleich dem gemachten Fehler, wobei zu beachten ist, daß Bm positiv im ersten, negativ im zweiten Kreise ist, und daß $m n$ positiv oder negativ ist, je nachdem n zwischen B und m oder B

zwischen m und n liegt. — Für $\delta = \arctg \frac{F_{\frac{\pi}{2}}}{F_0} \pm \frac{\pi}{2}$ ist

$F_{\delta} = 0$ und $F_{\delta} - F_0 = -F_0$; für $\delta = 2 \arctg \frac{F_{\frac{\pi}{2}}}{F_0}$

ist $F_{\delta} = F_0$ und $F_{\delta} - F_0 = 0$; der letztere Fall zeigt, daß es für ein mit einem Fehlerwinkel δ behaftetes Instrument eine Polstellung geben kann, für welche der Fehler δ einflußlos ist, und daß diese Polstellung diejenige ist, für welche $F_{\frac{\pi}{2}} = F_0 \cdot \tg \frac{\delta}{2}$ ist; es mag sein, daß bei

gegebenen Dimensionen des Instruments diese Gleichung indes nicht immer realisiert werden kann.

Mit diesen theoretisch interessanten Betrachtungen ist aber für die Praxis noch Nichts gewonnen: Sie zeigen nur den Einfluß des Fehlerwinkels δ mit Hilfe der noch unentwickelten Ausdrücke $u_{\frac{\pi}{2} + \delta}$, resp. $u_{\frac{\pi}{2}}$; sie geben aber durch-

aus kein Mittel, um ein vorhandenes δ aus Messungsergebnissen zu erkennen und das Instrument zu corrigieren. Der Weg, um dieses Ziel zu erreichen, würde offenbar folgender sein: Man ermittelt, für welchen Polabstand $Oo = e$, (Fig. 4, Taf. 9) die Fläche F_{δ} der fehlerhaften Curve $M_1 N_1$ zum Maximum oder Minimum wird, und corrigiert nun an dem Instrument auf Entfernung von δ so lange, bis dasselbe in den dem Maximum und Minimum entsprechenden Stellungen keine Differenz in den Rollenabwickelungen mehr giebt; hat man das erreicht, so ist das Instrument richtig. Als Grundcurve MN nimmt man dabei wohl am passendsten einen Kreis, weil für ihn $r = f(\rho)$ constant ist, und weil man ihn mit Hilfe des erwähnten Hilfsblechs sehr leicht und sicher umfahren kann.

$$\begin{aligned} F_{\delta} &= b \int \frac{\sin(x - \delta)}{\sin x} du_0 = b \int \frac{\sin x \cos \delta - \cos x \sin \delta}{\sin x} du_0 \\ &= b \cos \delta \int du_0 + b \sin \delta \int -\cotg x \cdot du_0. \end{aligned}$$

Man erkennt aus Fig. 2, Taf. 9, leicht, daß $\int -\cotg x \cdot du_0 = u_{\frac{\pi}{2}}$ ist, und erhält demnach wie oben:

$$F_{\delta} = b \cdot u_0 \cdot \cos \delta + b \cdot u_{\frac{\pi}{2}} \sin \delta = F_0 \cdot \cos \delta + F_{\frac{\pi}{2}} \cdot \sin \delta.$$

Dieser Weg soll im Nachstehenden versucht werden, und handelt es sich nach Formel (19^a) also darum, $u_{\frac{\pi}{2}}$ zu ermitteln: Da es nach Früherem einerlei ist, wo die Rolle eines Planimeters sitzt, so denke man sich beide Rollen, für

F_0 und für $F_{\frac{\pi}{2}}$, nach C verlegt, so daß also MN die Bahn des Berührungspunktes beider Rollen ist. Man erhält dann offenbar das abgewinkelte Element einer Rolle, wenn man das Bogenelement $Cc = ds$ parallel zur Rollennachse projicirt. Demnach ergibt Fig. 4:

$$u_0 = \int_0^{2\pi} \sin BCc \cdot \frac{ds}{d\varphi} \cdot d\varphi. \quad u_{\frac{\pi}{2}} = \int_0^{2\pi} \cos BCc \cdot \frac{ds}{d\varphi} \cdot d\varphi.$$

Nun ist: $BCc = oCc - \psi$; $\sin oCc = r \frac{d\varphi}{ds}$; $\cos oCc = -\frac{dr}{ds}$; daher allgemein für jede Gleichung $r = f(\varphi)$:

$$u_0 = \int_0^{2\pi} r \cos \psi \cdot d\varphi + \int \sin \psi \cdot dr; \quad u_{\frac{\pi}{2}} = \int_0^{2\pi} r \sin \psi \cdot d\varphi - \int \cos \psi \cdot dr. \quad (20)$$

Für r sind zwar die untere und obere Grenze gleich; indessen darf man darum nicht in diesen Gleichungen die zweiten Integrale wegstreichen, denn es ändert sich innerhalb der Grenzen das Abhängigkeitsgesetz zwischen ψ und r der-

artig, daß eine Zerlegung der Integrale in mehrere Theile nöthig wird, deren Summen nicht Null sind. — Für den Kreis ist r constant, also $dr = 0$, daher:

$$u_0 = r \int_0^{2\pi} \cos \psi \cdot d\varphi; \quad u_{\frac{\pi}{2}} = r \int_0^{2\pi} \sin \psi \cdot d\varphi. \quad (20^a)$$

Demnach in Rücksicht auf (19^a):

$$F_0 = br \int_0^{2\pi} \cos \psi \cdot d\varphi. \quad F_{\frac{\pi}{2}} = b \cdot r \int_0^{2\pi} \sin \psi \cdot d\varphi. \quad (21)$$

Da F_0 , der Inhalt des Kreises, gleich $r^2\pi$ ist, so muß $\int_0^{2\pi} \cos \psi \cdot d\varphi = \frac{r\pi}{b}$ sein; man kann also die Lösung dieses Integrals, die der des zweiten ähnlich ist, als gute Controlrechnung benutzen; dieselbe darf indeß hier wohl übergangen werden. — Um $u_{\frac{\pi}{2}}$ zu bestimmen, d. h. um das Integral

$\int_0^{2\pi} \sin \psi \cdot d\varphi$ zu lösen, ist zunächst ψ als Function von φ darzustellen. Man hat aus der Figur:

$$\psi = oCB = oCO + OCB = \psi_1 + \psi_2, \text{ also } \sin \psi = \sin \psi_1 \cdot \cos \psi_2 + \cos \psi_1 \cdot \sin \psi_2.$$

Ferner ist:

$$\begin{aligned} \overline{OC} &= \sqrt{e^2 + r^2 + 2er \cdot \cos \varphi} = \sqrt{a^2 + b^2 - 2ab \cos \eta}, \text{ also} \\ \sin \psi_1 &= \frac{\overline{Oo}}{\overline{OC}} \sin \varphi = \frac{e \sin \varphi}{\sqrt{e^2 + r^2 + 2er \cdot \cos \varphi}}, \text{ also } \cos \psi_1 = \frac{r + e \cos \varphi}{\sqrt{e^2 + r^2 + 2er \cdot \cos \varphi}}, \\ \sin \psi_2 &= \frac{\overline{OB}}{\overline{OC}} \sin \eta = \frac{a \sin \eta}{\sqrt{a^2 + b^2 - 2ab \cos \eta}}, \text{ also } \cos \psi_2 = \frac{b - a \cos \eta}{\sqrt{a^2 + b^2 - 2ab \cos \eta}}. \end{aligned}$$

Um aus den letzten beiden Gleichungen noch η zu eliminiren, findet man aus den obigen Gleichungen für \overline{OC} , wenn man abgekürzt $\frac{a^2 + b^2 - (e^2 + r^2)}{2} = k^2$ setzt, womit aber nicht gesagt sein soll, daß der Ausdruck immer positiv sein muß:

$$\cos \eta = \frac{k^2 - er \cos \varphi}{ab}; \quad \sin \eta = \frac{1}{ab} \sqrt{a^2 b^2 - (k^2 - er \cos \varphi)^2}.$$

Diese Werthe eingesetzt, erhält man leicht:

$$\sin \psi_2 = \frac{\sqrt{a^2 b^2 - (k^2 - e \cos \varphi)^2}}{b \sqrt{e^2 + r^2 + 2e \cos \varphi}}; \quad \cos \psi_2 = \frac{b^2 - k^2 + e \cos \varphi}{b \sqrt{e^2 + r^2 + 2e \cos \varphi}}.$$

Durch Substitution der für $\sin \psi_1$, $\cos \psi_1$, $\sin \psi_2$ und $\cos \psi_2$ gefundenen Werthe erhält man nun aus Gl.

$$F_{\frac{\pi}{2}} = br \int_0^{2\pi} \sin \psi \cdot d\varphi = br \int_0^{2\pi} \frac{(e \sin \varphi)(b^2 - k^2 + e \cos \varphi) + (r + e \cos \varphi) \sqrt{a^2 b^2 - (k^2 - e \cos \varphi)^2}}{b(e^2 + r^2 + 2e \cos \varphi)} d\varphi.$$

Dieses Integral wird einfacher, wenn man es in zwei Integrale, beziehungsweise zwischen den Grenzen 0 und π und zwischen π und 2π , theilt und das letzte Integral durch Einführung einer neuen Variablen ω , die der Gleichung $\varphi = 2\pi - \omega$ genügt, transformirt. Man hat dann:

$d\varphi = -d\omega$, $\sin \varphi = -\sin \omega$, $\cos \varphi = \cos \omega$. $\varphi = \pi$ ist $\omega = \pi$, für $\varphi = 2\pi$ ist $\omega = 0$. man diese Werthe ein und kehrt dann die Grenzen u Vorzeichen des Integrals um, so erkennt man sogleich einfacher:

$$F_{\frac{\pi}{2}} = 2r \int_0^{\pi} \frac{(r + e \cos \varphi) \sqrt{a^2 b^2 - (k^2 - e \cos \varphi)^2}}{e^2 + r^2 + 2e \cos \varphi} d\varphi. \dots \dots \dots$$

Dieses Integral läßt sich nun zwar weiter verfolgen; man gelangt dabei aber zu elliptischen und transcendenten Integralen der complicirtesten Art, und das Resultat wird so wenig übersichtlich, daß man sich genöthigt sieht, für den vorliegenden Zweck die Rechnung in dieser Weise aufzugeben. — Da es sich um die Werthe von e handelt, welche $F_{\frac{\pi}{2}}$

zum Maximum Minimum machen, so könnte man noch in Formel (23) unter dem Integralzeichen nach e differentiiren, dann integriren, das gelöste Integral gleich Null setzen und diese Gleichung nach e auflösen: Aber auch dann wird das zu lösende Integral nicht einfacher. — Es wird sich weiter zeigen, daß allgemein $F_{\frac{\pi}{2}}$ mit wachsendem e abnimmt; dies

würde schon nachgewiesen sein, wenn man zufällig beweisen könnte, daß für irgend einen Werth von φ zwischen 0 und π die Function unter dem Integralzeichen unter allen Umständen mit wachsendem e abnimmt; ich sage „zufällig“, denn diese Bedingung genügt und würde, wenn sie erfüllt wäre, die Integration überflüssig machen, aber sie muß nicht unbedingt erfüllt sein. Leider versagt auch dieses Mittel, und man kann hier also mit den gewöhnlichen Mitteln der Analysis Nichts ausrichten.

Es bliebe nun noch übrig, für einen Specialfall die Gleichung (23) oder die einfachere Gleichung (21), für verschiedene Werthe von e , vermittelt der auf Seite 85 bis 101 erörterten Integrationsmethode mit Hilfe eines (richtigen) Planimeters zu behandeln, eventuell aus den erhaltenen Curven, wenn sie charakteristisch genug wären, nach directer Anschauung Schlüsse zu ziehen. Dieses Mittel führt zum Ziele. Einfacher jedoch ist es, wenn es sich um $F_{\frac{\pi}{2}}$ handelt,

direct die betreffenden Curven $M_1 N_1$ für $\delta = \frac{\pi}{2}$ (vergl.

Fig. 4, Taf. 9) für verschiedene Werthe von e zu construiren und dann wie vorhin zu verfahren; auch dieser Weg führt

zum Ziele. Indes giebt es für den vorliegenden Zweck sich nach Gleichung (19^a) nur indirect um $F_{\frac{\pi}{2}}$,

aber um F_δ handelt, noch ein einfacheres Mittel, und besteht darin, daß man das zuletzt für $\delta = \frac{\pi}{2}$ ange-

Verfahren direct für $\delta = \delta$ anwendet. Man der (Fig. 5, Taf. 9) in B aufgestellt, mit dem Rücken gewendet, und ziehe durch B eine Parallele zur Rolle. Liegt dann δ rechts von BC, so sei es positiv (wie 2, 3 und 4); liegt δ links von BC, so sei es negativ. Fig. 5 sind dann die Curven $M_1 N_1$ für $+\delta$ und für e_{\max} , e_{\min} und für ein mittleres e gezeichnet. erkennt, daß für $+\delta$ bei e_{\max} die Fläche $F_\delta < F_0$ aber F_δ mit abnehmendem e wächst, und daß bei e_{\min} Fläche $F_\delta > F_0$; umgekehrt ist es bei $-\delta$. Zu dem Resultat gelangt man für andere Werthe der Constanten b und r , und daraus leitet man nun endlich die Regel zur Correction des Instruments ab:

„Man umfahre einen und denselben Kreis, indem man das Instrument möglichst wenig, dann, man es möglichst weit öffnet; erhält man im ersten Fa-

kleinere }
größere } Rollenabwicklung, als im letzteren Falle, stelle man, indem man sich in B aufgestellt denkt und C sieht, den Punkt C nach $\left\{ \begin{array}{l} \text{links} \\ \text{rechts} \end{array} \right\}$ hinüber, bis man

Wiederholung des Verfahrens, schließlich für beide Mentöffnungen dasselbe Resultat erhält. Hierbei ist genommen, daß das Instrument so gebaut ist, daß man, man von B aus nach C sieht und BC festhält, den δ am weitesten nach links hin öffnen kann; steckt man Stange HJ vom andern Ende her in die Hülse F (Taf. 9), so daß A zwischen B und C liegt, so kehrt

die Wörter $\left\{ \begin{smallmatrix} \text{links} \\ \text{rechts} \end{smallmatrix} \right\}$ in $\left\{ \begin{smallmatrix} \text{rechts} \\ \text{links} \end{smallmatrix} \right\}$ um (Fig. 6, Taf. 9).

Bei der umgekehrten Bauart muß es im ersteren Falle $\left\{ \begin{smallmatrix} \text{rechts} \\ \text{links} \end{smallmatrix} \right\}$, im zweiten dagegen $\left\{ \begin{smallmatrix} \text{links} \\ \text{rechts} \end{smallmatrix} \right\}$ heißen. — Dieser Correctionsmethode liegt allerdings stillschweigend die Voraussetzung zu Grunde, daß die Rolle sich stets mathematisch richtig drehe, was nie vollkommen der Fall ist; es werden daher auch bei verschiedenen Werthen von ϵ , d. i. bei verschiedenen Bahnen des Berührungspunktes der Rolle, die Abweichungen von der richtigen Rollendrehung das Resultat in verschiedener Weise beeinflussen; man wird daher am sichersten corrigirt haben, wenn man nicht nur für ein möglichst großes und für ein möglichst kleines, sondern auch für ein mittleres ϵ eine genügende Uebereinstimmung erzielt hat."

Die vorstehend beschriebene Correction, welche von den in Fig. 2, Taf. 9, mit δ und m bezeichneten Größen die Fehlergröße δ entfernt — ob auch m entfernt wird oder nicht, ist gleichgültig, vergl. Seite 107 — muß bei jedem Justiren des Instruments für einen andern Maßstab, überhaupt nach jeder Verschiebung des Stabes HJ in seiner Hülse F (Fig. 1, Taf. 9) erfolgen, da bei einer solchen Verschiebung leicht ein seitliches Abweichen des Punktes C von der Achse HJ, und damit ein Fehlerwinkel δ auftritt. Das Verstellen von C kann durch verschiedene Vorrichtungen ermöglicht werden, z. B. durch eine gelenkartige Construction des letzten Theils von BC, den man von Hand oder an seitlich angebrachten Schrauben mittelst eines Schraubenziehers verstellt und schließlich mittelst einer Klemmschraube festklemmt, oder durch eine gut construirte Justirvorrichtung, wie sie in Fig. 1, Taf. 9, gezeichnet ist; dies ist Sache des Mechanikers, der, um bei der Montirung des Instruments mit C keine zu große Bewegung machen zu müssen, passend das hintere Rollenlager so einrichtet, daß er es seitlich verschieben und dann festschrauben kann.*)

Interessant ist in Bezug auf den Einfluß des Fehlerwinkels δ noch die folgende Bemerkung: Zerlegt man, nach dem Satz vom Parallelogramm der Planimeter, den Planimeter BC_1 in BB_1 und B_1C_1 (Fig. 7, Taf. 9), so daß B_1C_1 parallel zu BC und BB_1 parallel zu CC_1 ist, so erhält man:

$$F_\delta = \overline{B_1C_1} \cdot u_0 + \overline{BB_1} \cdot u_{\pi+\delta} = \overline{BC} \cdot u_0 + \overline{BB_1} \cdot u_{\pi+\delta} \\ = F_0 + \overline{BB_1} \cdot u_{\pi+\delta}, \text{ also}$$

*) In vorzüglicher Ausführung wird der Planimeter, mit Mikrometerschraube zum Justiren und mit Vorrichtung zum Corrigiren, in dem „Mechanisch-mathematischen Institut von Dennert und Pape in Altona“ angefertigt.

$$F_\delta - F_0 = \overline{BB_1} \cdot u_{\pi+\delta} \dots \dots \dots (24)$$

Es beschreibt also B_1 eine Curve, die man passend die fehlerzeigende Curve nennen kann, da ihre Fläche dem bei einem bestimmten Winkel δ in der Instrumentangabe enthaltenen Fehler gleich ist. Für einen concreten Fall und ein bestimmtes δ ist diese Curve leicht zu construiren.

Selbstverständlich kann bei einer Verschiebung des Stabes HJ in der Hülse F (Fig. 1, Taf. 9) auch ein Verschieben der Spitze des Federstifts C in verticaler Richtung vorkommen, und diese würde die Stellung der Achse B relativ zur Zeichenebene, die Länge b, die Länge $c - \frac{b}{2}$ u. s. w. ändern;

doch beeinflussen bei gut gearbeiteten Instrumenten diese Aenderungen das Endresultat nur unmerklich und brauchen deshalb nicht weiter untersucht zu werden. — Der Einfluß der Unebenheit des Papiers und etwaiger Windschiefen des Zeichenbretts ließe sich unter bestimmten Annahmen wohl theoretisch untersuchen, doch würde man zu keinen für die Praxis nutzbaren Resultaten kommen. Die Ansicht, daß der Grad der Rauigkeit des Papiers bei ziemlich gleichförmigem Korn, welches letztere natürlich nicht zu grob sein darf, von unwesentlichem Einfluß sei, scheint mir für die allermeisten Fälle, in denen das Instrument von Ingenieuren und Geometern gebraucht wird, zutreffend zu sein. — Ueber die Genauigkeit der mit dem Instrument erzielten Resultate vergleiche man die auf Seite 104, Anmerkung, citirten Abhandlungen. Nach meiner Ansicht haben übrigens derartige Versuchsreihen, wie sie von Professor Chereff und Professor Junge vorliegen, keinen absoluten, nur relativen Werth für die eigentliche Praxis, obwohl man mancherlei rationelle Regeln aus denselben ableiten kann; von einem procentischen Fehler kann hier, glaube ich, im Allgemeinen überhaupt nicht die Rede sein; die vorstehende Theorie verlangt zunächst eine möglichst scharfe Correction des Instruments in Bezug auf den mit δ bezeichneten Fehlerwinkel, von der aber in jenen Abhandlungen nicht die Rede ist; außerdem müssen bei Versuchen stets die früher mit a, b, c, d, m, e und r bezeichneten Größen notirt werden, damit man im Stande sei, für den einzelnen Versuch nöthigenfalls die Bahn des Berührungspunktes der Rolle und das ganze Instrument mit der Rolle in verschiedenen Stellungen zu zeichnen; die Messung jener Größen dürfte, hier genau genug, direct erfolgen können. Endlich darf nicht außer Acht gelassen werden, daß man, wenn man Versuche anstellt an Figuren, die Kreise, Quadrate, regelmäßige Dreiecke u. s. w. sind, für das Instrument Bedingungen einführt, die im Allgemeinen in der Praxis, mit ihren mehr oder weniger unregelmäßigen Figuren und mit ihren langgestreckten Querprofilen, nicht zutreffen, während gerade für solche unregelmäßige Figuren das Instrument am meisten gebraucht wird. Man kommt hierdurch

zu dem Schluß, daß über den Werth des in Rede stehenden Instruments und über das Gewicht der auf Seite 104 erwähnten Mängel desselben am besten die allgemeine Praxis entscheidet; diese Entscheidung liegt in den hohen Instrumentnummern, die man auf den neueren Instrumenten fast aller Mechaniker, die sich mit deren Bau beschäftigen, findet, und zwar zu Gunsten des Instruments. Die besten Versuchsreihen aber dürften in den Berechnungsheften der Geometer zu finden sein, in denen neben den mit dem Planimeter bestimmten Inhalten irgend welcher unregelmäßigen Einzelparcellen die sogen. Massenberechnungen, d. h. die Berechnungen ganzer Complexe solcher Parcellen, ebenfalls mit dem Planimeter ausgeführt, verzeichnet sind.

Zu einem vollständigen Verständniß des Planimeters gehört endlich noch eine Uebersicht über die Aufeinanderfolge der Rollenbewegungen, die man in folgender Weise gewinnt. Die beiden Punkte B und C des Planimeters (Fig. 8, Taf. 9) bewegen sich in irgend einem Augenblick nach den Richtungen der Tangenten ihrer Bahnen $m_1 n_1$ und $m_2 n_2$ resp. in den Punkten B und C; daraus folgt, daß man den augenblicklichen Drehpunkt D der Stange BC findet, wenn man die Normalen der beiden Curven für die Punkte B und C bis zu ihrem Schnittpunkt D verlängert. Da die Rolle A mit BC ein Ganzes bildet, so ist D gleichzeitig auch für sie der augenblickliche Drehpunkt, so wie $DA = \rho$ der augenblickliche Krümmungshalbmesser der Rollenbahn, und der geometrische Ort von D die Evolute der letzteren. Beide, Rollenbahn und Evolute, kann man für einen gegebenen Fall aus einer Reihe von einzelnen Punkten verzeichnen, wobei die Evolute um so genauer ausfällt, je besser man die Normalen BD und CD zu ziehen im Stande ist. Durchläuft C auf $m_2 n_2$ einen Bogen ds_2 , und dem entsprechend B einen Bogen ds_1 , so durchläuft der Berührungspunkt der Rolle einen Bogen $d\sigma = \rho \cdot dv$, und es sind ρ und dv aus den

Abmessungen des Instruments, dem Verlauf der Curven bei B und C und der Länge von ds_2 oder ds_1 zu bestimmen. Auch ist der Winkel β , den DA im Berührungspunkt A der Rolle mit der Verticalebene der Rollenachse bildet, durch jene Größen bestimmt, und man hat in

$$du = d\sigma \cdot \cos \beta = \rho \cdot dv \cdot \cos \beta = \rho \cdot \cos \beta \cdot dv \quad (25)$$

das Element des Rollenumfangs, welches sich abwickelt, während C den Weg ds_2 zurücklegt. — Der Punkt D existirt nur dann nicht, oder ist vielmehr von dem Instrument unendlich weit entfernt, wenn ds_1 und ds_2 parallel sind, und in diesem Falle geht die Drehbewegung in eine Parallelverschiebung über.

Es ist klar, daß man das Vorstehende als Grundlage einer Theorie des Planimeters benutzen kann, ohne, wie es früher geschehen ist, die elementare Bewegung desselben in eine Parallelverschiebung und eine Drehung um die Verticale des Berührungspunktes der Rolle zerlegen zu müssen; dies kann so geschehen:

Es drehe sich (Fig. II im Text) BC um einen beliebigen Punkt D um einen endlichen Winkel v ; es ist die dabei beschriebene Fläche $BCC_1B_1 = F$ zu bestimmen:

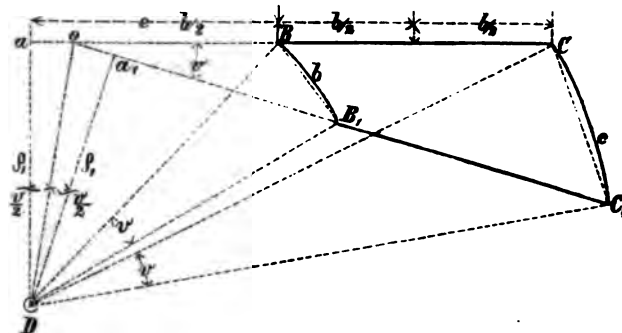


Fig. II.

Zunächst ist:

$$\text{Viereck } BCC_1B_1 = \text{Dreieck } oCC_1 - \text{Dreieck } oBB_1 = (\overline{oC} \cdot \overline{oC_1} - \overline{oB} \cdot \overline{oB_1}) \frac{\sin v}{2}.$$

Hierin ist:

$$\left\{ \frac{\overline{oC}}{\overline{oC_1}} \right\} = \frac{b}{2} + o \mp e_1 \operatorname{tg} \frac{v}{2}; \quad \left\{ \frac{\overline{oB}}{\overline{oB_1}} \right\} = -\frac{b}{2} + o \mp e_1 \operatorname{tg} \frac{v}{2}.$$

Setzt man diese Werthe in vorstehende Formel ein und multiplicirt aus, so erhält man einfach:

$$\text{Viereck } BCC_1B_1 = b \cdot e \cdot \sin v.$$

Nun kommen die Segmente CcC_1 und BbB_1 ; es ist

$$CcC_1 = \overline{DC}^2 \left(\frac{v}{2} - \frac{\sin v}{2} \right); \quad BbB_1 = \overline{DB}^2 \left(\frac{v}{2} - \frac{\sin v}{2} \right);$$

Hierin ist

$$\left\{ \frac{\overline{DC}^2}{\overline{DB}^2} \right\} = e_1^2 + \left(o \pm \frac{b}{2} \right)^2.$$

Diese Werte substituirt und beachtet, daß die bestrichene Fläche $F = \text{Biereck } BCC_1B_1 + \text{Sgm. } CcC_1 - \text{Sgm. } BbB_1$ ist, so findet man leicht

$$F = b \cdot e \cdot v. \quad (26)$$

Dieser Ausdruck ist derselbe, als wenn D auf der (verlängerten) BC läge, also $e_1 = 0$ wäre. Auch ist

$$F = \overline{DC}^2 \cdot \frac{v}{2} - \overline{DB}^2 \cdot \frac{v}{2} = \text{Sector } CDC_1 - \text{Sector } BDB_1 =$$

der Differenz der von den Radien DC und DB bestrichenen Flächen. — Um nun die Abwicklung einer Laufrolle A einzuführen (Fig. 8, Taf. 9), setze man statt des endlichen Winkels v das Differential dv . Aus Gleichung (26) folgt durch Differentiiren:

$$dF = b \cdot e \cdot dv = b \cdot c \cdot dv + b(e - c)dv.$$

Aus der Figur ergibt sich: $e - c = \rho \cos \beta$; nach Formel (25) ist $du = \rho \cdot \cos \beta \cdot dv$, also

$$(e - c)dv = \rho \cdot \cos \beta \cdot \frac{du}{\rho \cdot \cos \beta} = du, \text{ also}$$

$$dF = b \cdot du + b \cdot c \cdot dv. \quad (27)$$

Diese Formel ist identisch mit Formel (1). Außer e_1 ist auch e aus der Rechnung verschwunden, doch ist letzteres implicite in du enthalten; m kommt gar nicht vor. Die verschiedenen Lagen von D und das Vorzeichen von dv ergeben die verschiedenen Einzelfälle der Fig. 2, Taf. 8.

Setzt man, wie hier geschehen, der Theorie des Plani-

mers die Theorie vom augenblicklichen Drehpunkt zu Grunde, so hat es noch Interesse, nachzuweisen, daß ein beliebiges geschlossenes Polygon $a_1 a_2 a_3 \dots a_n$ (Fig. III im Text) stets eine

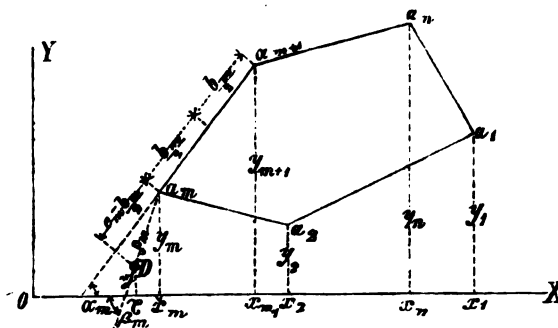


Fig. III.

Fläche gleich Null beschreibt, wenn es sich um einen beliebig gelegenen Drehpunkt D um einen beliebigen Winkel v dreht. Mit Beziehung auf ein rechtwinkliges Coordinatensystem seien die Coordinaten von D: x und y ; die eines Eckpunktes a_m : x_m und y_m ; die Länge $a_m a_{m+1} = b_m$, der Winkel der Seite $a_m a_{m+1}$ mit OX gleich α_m ; der Winkel der Linie $a_m D$ mit OX gleich β_m ; ferner sei die von der Seite $a_m a_{m+1}$ bestrichene Fläche gleich F_m . Dann ist nach Formel (26):

$$\begin{aligned} F_m &= b_m \cdot e_m \cdot v = b_m \left(\frac{b_m^2}{2} + \rho_m \cos(\beta_m - \alpha_m) \right) v = \left(\frac{b_m^2}{2} + b_m \rho_m \cos(\beta_m - \alpha_m) \right) v, \\ &= \left\{ \frac{b_m^2}{2} + (b_m \cdot \cos \alpha_m) (\rho_m \cdot \cos \beta_m) + (b_m \cdot \sin \alpha_m) (\rho_m \cdot \sin \beta_m) \right\} v, \\ &= \left\{ \frac{b_m^2}{2} + (x_{m+1} - x_m)(x_m - x) + (y_{m+1} - y_m)(y_m - y) \right\} v. \end{aligned}$$

Summirt man nun alle Werte von F_m , für $m = 1$ bis $m = n$, und setzt gleich von vornherein das constante v vor die Summenzeichen, so erhält man die Gleichung:

$$\sum_1^n (F_m) = v \sum_1^n \left(\frac{b_m^2}{2} \right) + v \sum_1^n (x_{m+1} - x_m)(x_m - x) + v \sum_1^n (y_{m+1} - y_m)(y_m - y).$$

In dieser Gleichung haben x und y constante Werte und können vor die Summenzeichen gesetzt werden; beachtet man dies und die folgenden Gleichungen:

$$\sum_1^n (x_{m+1} - x_m) = 0; \quad \sum_1^n (y_{m+1} - y_m) = 0,$$

so verschwinden die Coordinaten des Drehpunktes D, und man erhält

$$\sum_1^n (F_m) = v \cdot \sum_1^n \left(\frac{b_m^2}{2} \right) + v \cdot \sum_1^n (x_{m+1} - x_m) x_m + v \cdot \sum_1^n (y_{m+1} - y_m) y_m.$$

Nun ist:

$$\begin{aligned} \frac{b_m^2}{2} &= \frac{(x_{m+1} - x_m)^2 + (y_{m+1} - y_m)^2}{2} \\ &= (x_{m+1} + x_m) \frac{(x_{m+1} - x_m)}{2} + (y_{m+1} + y_m) \frac{(y_{m+1} - y_m)}{2}. \end{aligned}$$

Dies eingesetzt, giebt:

$$\begin{aligned}
\sum_1^n (F_m) &= v \sum_1^n (x_{m+1} - x_m) \left(x_m + \frac{x_{m+1} - x_m}{2} \right) + v \sum_1^n (y_{m+1} - y_m) \left(y_m + \frac{y_{m+1} - y_m}{2} \right), \\
&= \frac{v}{2} \sum_1^n (x_{m+1} - x_m) (x_{m+1} + x_m) + \frac{v}{2} \sum_1^n (y_{m+1} - y_m) (y_{m+1} + y_m), \\
&= \frac{v}{2} \sum_1^n (x_{m+1}^2 - x_m^2) + \frac{v}{2} \sum_1^n (y_{m+1}^2 - y_m^2) = \frac{v}{2} \cdot 0 + \frac{v}{2} \cdot 0 = 0.
\end{aligned}$$

Da dieses Resultat an keine Bedingungen für die Coordinaten von D gebunden ist, so gilt es für jede beliebige Lage dieses Drehpunktes, also auch dann, wenn die Werthe von ϱ_m , nach irgend welcher Richtung hin, unendlich groß werden, d. i. für die Parallelverschiebung des Polygons.

Dieser Fall ist übrigens sehr leicht direct zu behandeln. Bewegt sich das Polygon nach irgend einer Richtung, d. i. mit der X-Achse den Winkel β bildet, um eine Länge s rechtsläufig, so hat man:

$$F_m = b_m \cdot s \cdot \sin(\beta - \alpha_m) = \sin \beta \cdot s \cdot b_m \cdot \cos \alpha_m - \cos \beta \cdot s \cdot b_m \sin \alpha_m,$$

also:

$$\begin{aligned}
\sum_1^n (F_m) &= \sin \beta \cdot s \sum_1^n (b_m \cdot \cos \alpha_m) - \cos \beta \cdot s \sum_1^n (b_m \cdot \sin \alpha_m) \\
&= \sin \beta \cdot s \sum_1^n (x_{m+1} - x_m) - \cos \beta \cdot s \sum_1^n (y_{m+1} - y_m) \\
&= \sin \beta \cdot s \cdot 0 - \cos \beta \cdot s \cdot 0 = 0,
\end{aligned}$$

was zu beweisen war.

In den erhaltenen Resultaten liegt, mit Rücksicht auf Formel (27), der Beweis der Gleichung:

$$\int_0^v \sum_1^n (dF_m) = \int_0^v \sum_1^n (b_m \cdot du_m) + \int_0^v \sum_1^n (b_m \cdot c_m \cdot dv) = 0, \quad \dots \dots \dots (28)$$

wenn man das Polygon sich irgendwie um einen endlichen Winkel v drehen läßt. Damit wird diese Gleichung zu einem directen Beweis und zu einer Erweiterung des auf Seite 81 und 82 gegebenen Satzes vom Polygon der Planimeter.

Aus Gleichung (25) kann man noch folgende Schlüsse ziehen: Von den drei Größen ϱ , $\cos \beta$ und dv bewegt sich ϱ zwischen den Grenzen $+\infty$ und $-\infty$, $\cos \beta$ zwischen $+1$ und -1 , und dv kann ≥ 0 sein; aus der Natur

der Aufgabe leiten sich diejenigen Combinationen ab, welche jedes Mal Größe und Vorzeichen des abgewickelten Rollenelements bestimmen. Dieses Element wird gleich Null in dem speciellen Fall, wo $dv = 0$ ist, wenn also die Tangenten an die correspondirenden Punkte B und C (Fig. 8, Taf. 9) in eine einzige Gerade fallen; dieser Fall tritt sehr selten ein und hat keine weitere Bedeutung. Wichtiger ist der Fall $\varrho \cdot \cos \beta = 0$, der ebenfalls du zu Null macht; er tritt ein, wenn entweder $\varrho = 0$, oder $\beta = 90^\circ$ oder 270° ist; in allen diesen drei Fällen liegt der augenblickliche Drehpunkt D auf der Geraden EAE_1 , welche normal zur Verticalebene der Rollennachse steht und durch den Berührungspunkt der Rolle geht. Demnach sind, unter übrigens gleichen Um-

ständen, die abgewickelten Rollenbögen im Allgemeinen am kleinsten, wenn D in der Nähe von EAE_1 liegt, dagegen am größten, wenn D sich in der Gegend der Horizontalprojection der Rollennachse bewegt. Diesen Umstand kann man sich praktisch zu Nutzen machen: Stellt man nämlich beim Beginn des Umfahrens einer Figur das Instrument so auf, daß D auf oder nahe bei EAE_1 liegt, so sind am Anfang und Ende der Arbeit die abgewickelten Bögen sehr klein, und es entsteht kein erheblicher Fehler, wenn man mit dem Fahrstift nicht absolut genau auf den Ausgangspunkt zurückkommt. Auch kann man insofern davon profitieren, als man bei nicht zu unregelmäßigen Figuren das Instrument meistens so stellen kann, daß in den Gegenden, die beim Umfahren für die Hand am unbequemsten liegen, D sich in der Gegend von EAE_1 hält; dies hat zur Folge, daß der Einfluß der kleinen Abweichungen des Fahrstifts von dem Umfang der umfahrenen Figur, welche man nie ganz vermeiden kann, und welche natürlich an den am unbequemsten gelegenen Stellen ihren größten Werth erreichen, unter übrigens gleichen Umständen auf das mögliche Minimum reducirt wird.

Hamburg, Sept. 1873.

Ueber vortheilhafte Construction eiserner Dächer.

Von

Dr. Ch. von Ritgen in Gießen.

(Hierzu Tafel 10, 11, 12.)

Uebersicht.

Es ist ein im Bauwesen sehr häufig vorkommender Fall, daß Constructionsglieder bei einer Hauptanspruchnahme durch Zug oder Druck ihrer Länge nach, außerdem noch durch Normalbelastungen auf Biegung beansprucht sind. Andererseits sind häufig Glieder, welche hauptsächlich in Absicht auf den Widerstand gegen Biegung construirt sind, nebenbei noch auf Zug und Druck nach der Längsrichtung beansprucht.

In welchem Grade in gegebenem Falle die eine oder die andere Anspruchnahme vorwiegt, und besonders welche Totalanspruchnahme durch die gleichzeitige Wirkung beider Arten von Kräften in den gespanntesten Fasern hervorgerufen wird, wird häufig nicht genau untersucht, da man sich darüber im Unklaren befindet, wie diese Untersuchung auszuführen ist. Denn die Lehrbücher über Bauconstructionslehre geben hierüber keinen Aufschluß.

Es ergibt sich nun aus der folgenden Entwicklung das sehr einfache Resultat, daß für den Fall, wo (Fig. 1, Taf. 10) die Längskraft L in der Schwerpunktslinie ab des Trägers angreift, man die Gesamt-Spannungen in den äußersten Fasern findet, wenn man die durch beide Arten von Kräften einzeln genommen — als ob normale und Biegungskräfte nach einander für sich allein auf den Träger wirkten — hervorgerufenen Spannungen einfach addirt.

Die Untersuchung wird jedoch verwickelter, wenn die Längskräfte nicht mehr nach der Schwerpunktslinie angreifen, sondern oberhalb oder unterhalb derselben, also wenn die Längskräfte excentrisch werden. Wir sehen dann, daß in Angreifen der Längskräfte oberhalb der Schwerpunktslinie die Wirkung der Biegungslasten noch verstärkt, also höchst ungünstig ist; ein Angreifen jener unterhalb den Biegungslasten aber theilweise entgegenwirkt. Die sorgfältige Berücksichtigung dieser Verhältnisse ist für die Construction der Verbindungsstücke eiserner Dachconstruktionen, auf welche Dachconstruktionen wir es hier hauptsächlich abgesehen haben, von großer Wichtigkeit.

Freilich kann die Untersuchung nur auf Träger beschränkt bleiben, welche auf nur 2 Stützpunkten aufliegen, also auf Dachconstruktionen, wo die Sparren außer am Fuße und an der First auf ihre Länge nicht weiter unterstützt sind. Denn das Einwirken von Längskräften auf den vorher nur den Biegungskräften unterworfenen Träger alterirt natürlich die Größe der Auflagerbrücke; das heißt: es giebt ganz andere Auflagerbrücke; diese lassen sich jedoch nicht mehr bestimmen, da die Differentialgleichung für die Bestimmung der elastischen Linie sich nicht mehr integrieren läßt.

Geht man jedoch weiter, wie es sehr nahe liegt, zur Ausbeutung des vorhin ange deuteten Verhältnisses über, wo Biegungs- und Längskräfte einander theilweise entgegenwirken, so wird die Untersuchung wieder werthvoller und wir gelangen zu einer Betrachtung der mit Spannung versehenen, also gebogenen eisernen Träger bezw. Dachsparren. — Es sei hier in Bezug auf diesen letzteren Fall noch gleich das Folgende bemerkt. Für uns ist die nach der Sehne des Bogens wirkende Kraft L (Fig. 2 u. 2*, Taf. 10) stets gegeben. — Die Behandlung elastischer gebogener Träger findet sich mehrfach in Lehrbüchern, d. h. meist die Angabe der Theorie von Navier darüber; aus den angreifenden Gewichten wird hier der Horizontalschub des Trägers berechnet und darauf alles Uebrige gegründet. Man ist über die vollständige Unbrauchbarkeit*) aller derartigen Berechnungen des Horizontalschubes gebogener elastischer Träger vollständig einig, zumal Temperatureinflüsse und innere Defor-

*) Es verdient erwähnt zu werden, daß Navier in seiner Entwicklung von der Annahme ausgeht, als liege die neutrale Linie in der Schwerpunktslinie des Trägers, was jedenfalls irrig ist.

mationen des Trägers, die von größter Wichtigkeit sind, nicht mit in Rechnung gezogen werden können. Man hat deshalb den Horizontalschub zu einem bestimmt gegebenen gemacht, indem man ein Scharnier im Scheitel des Trägers anbrachte. — Hier also ist der Horizontalschub oder vielmehr allgemein der Sehnenschub L (Fig. 2 und 2*) stets gegeben, indem die Verbindung der Sparren in der First scharnierartig oder doch von hinreichender Nachgiebigkeit gedacht wird, um die Sehnendrucke L genau bestimmt zu machen. Die Formeln für die Gestalt und Lage der neutralen Linie und für die größten Spannungen in jedem Radialschnitte lassen sich dann ohne Schwierigkeit aufstellen. Beiläufig liefern uns diese Formeln auch Elasticitätsformeln für geschlossene Kreistränge, indem man den Centriwinkel $= 180^\circ$ werden läßt.

Entwicklung der Formeln.

Wir gehen im Folgenden von der gewöhnlichen Elasticitätslehre, wie sie z. B. in dem Werke von Laissle und Schübler sich findet, aus und behalten deren Grundannahmen bei.

Ist ein Träger (Fig. 5^b, Taf. 10) durch eine Kraft normal zu seiner Längsrichtung allein auf Biegung angegriffen und ist das Material desselben von gleichem Widerstande gegen Zug und Druck (Schmiedeeisen), was im Folgenden immer vorausgesetzt ist, so liegt die „neutrale Faser“ in der Schwerpunktslinie des Trägers. Alle Fasern oberhalb der Schwerpunktslinie sind gedrückt, die unteren sind gezogen. Treten hierzu von beiden Seiten gleich große und entgegengesetzte Längskräfte L , welche in der Schwerpunktslinie angreifen, so wird der Druck im oberen Theile vermehrt, der Zug im unteren vermindert werden. — Grundannahme der gewöhnlichen Elasticitätslehre ist nun, daß ein vor der Biegung gerader Normalschnitt auch nach der Biegung gerade bleibt. Zwei vor der Biegung parallele Schnitte schneiden sich nach der Biegung in irgend einem Punkte, in welchem die Ausdehnung Null stattfinden muß. Ausdehnung und Zusammendrückung wachsen von da proportional der Entfernung von diesem neutralen Punkte (eigentlich der neutralen Aze des Querschnitts). Da ferner innerhalb der Elasticitätsgrenze Zug und Druck proportional der Ausdehnung und Zusammenpressung sind, so wachsen Zug und Druck ebenfalls proportional der Entfernung vom neutralen Punkte des Schnitts. — Nehmen wir an, daß diese Verhältnisse auch in dem betrachteten zusammengesetzten beanspruchten Träger in gleicher Weise stattfinden, insbesondere, daß auch bei Hinzutritt einer Längskraft nach der Biegung die Schnittlinie eine Gerade bleibe: Dann muß der neutrale Punkt in Folge der Einwirkung von L aus dem Schwerpunkt herausgehen und muß sich so legen, daß wieder der letzten Bedingung genügt

ist. Verhielten sich zuvor die Spannungen, z. B. nach oben und unten symmetrischen Träger, wie $s:s$ (Taf. 10), so müssen sie sich jetzt verhalten, wie $s + a:s$; dabei geht der neutrale Punkt von n nach n' , es find durch Eintreten der Längskraft ein Abwärtsgehen der neutralen Linie statt.

Die Aufstellung der Momentengleichung für einen bogen Querschnitt kann, da auch L an seinem Hebelar in derselben auftritt, erst stattfinden, nachdem die Lage des neutralen Punktes ermittelt ist. Diese zu bestimmen, ist immer die nächste Aufgabe. Die Ordinate des neutralen Punktes in Bezug auf die Schwerpunktslinie des A sei η . Der geometrische Ort von η bildet die „neutrale Linie“ des Trägers. — Die Bezeichnung „neutrale Linie“ wäre in der Folge widersinnig. — Es sei nun der Fall untersucht, wo (Fig. 4, Taf. 10) der Träger in der Normalkraft N in der Mitte belastet ist; es greift die Betrachtung zu verallgemeinern, die Längskraft Entfernung d über der Schwerpunktslinie an. Es wird offenbar die neutrale Linie noch weiter herabgezogen und wir haben, wenn im Anschluß an die Bezeichnungen des Werke von Laissle und Schübler bedeuten:

Θ das Trägheitsmoment des Querschnitts, bezogen auf die Schwerpunktsachse,

Θ_η das Trägheitsmoment des Querschnitts bezogen auf die Querschnittsachse in der Entfernung η von der Schwerpunktsachse,

ω die Fläche des Querschnitts,

D die Spannung in der oberen äußersten Faser,

U die Spannung in der unteren äußersten Faser
 o und u beziehungsweise die Entfernungen dieser vom neutralen Punkte,

$\cdot M$ das Moment der äußeren Kräfte,

$\cdot M$ das der inneren Kräfte (Widerstandsmoment)
 R_o und R_u die Resultanten der inneren Kräfte oberhalb und unterhalb des neutralen Punktes,

$$\cdot M = \frac{N}{2} x + L(d + \eta),$$

$$\cdot M = \frac{D}{o} \Theta_\eta = \frac{U}{u} \Theta_\eta = \frac{D}{o} (\Theta + \eta^2 \omega) : \frac{U}{u} (\Theta + \eta^2 \omega),$$

$$\text{da } \Theta_\eta = \Theta + \eta^2 \omega.$$

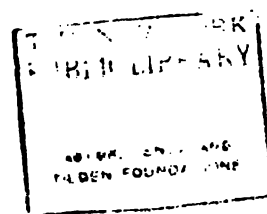
Ferner ist

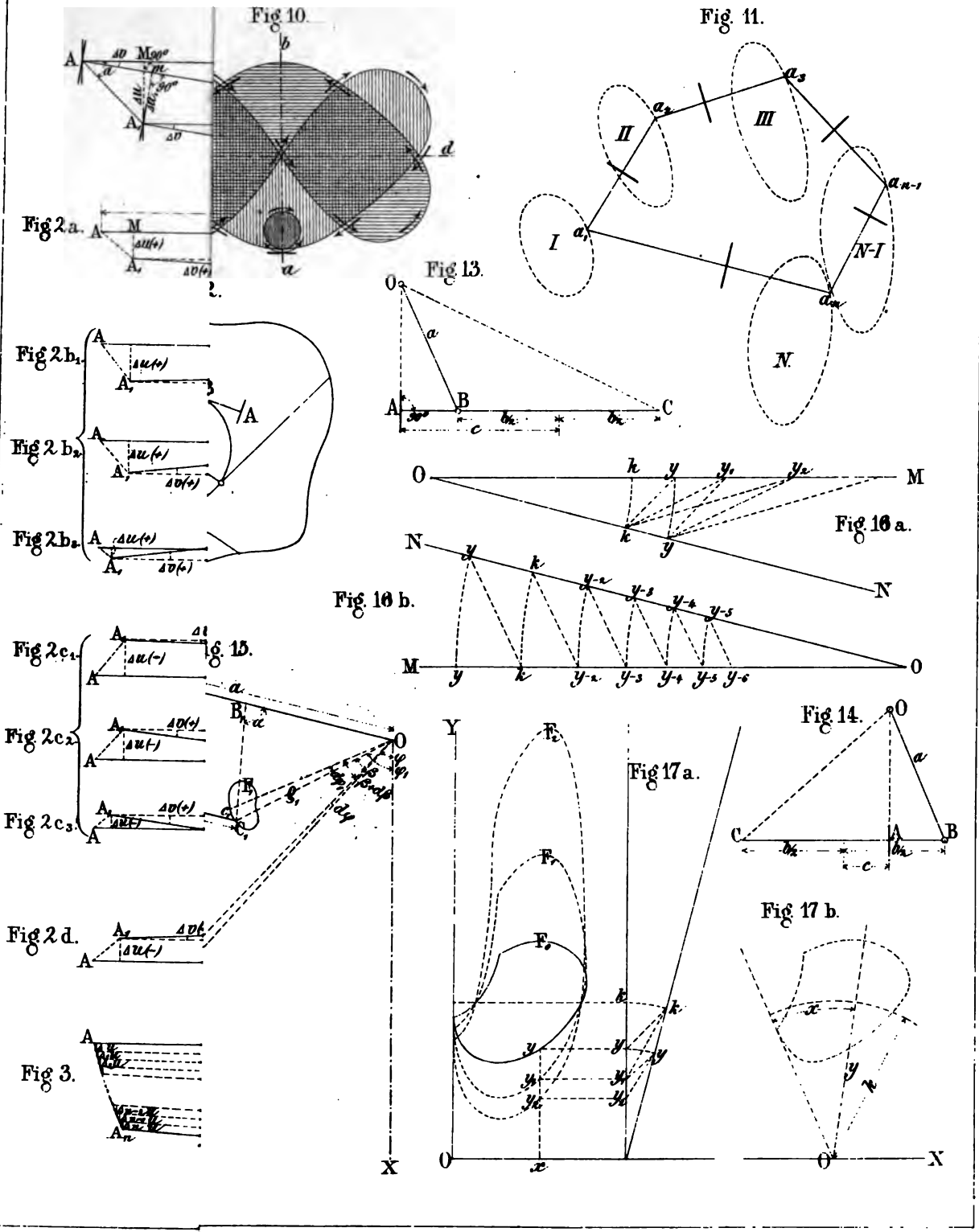
$$R_o - R_u = L,$$

oder wenn S_o und S_u beziehungsweise die statischen M oberhalb und unterhalb der neutralen Querschnittsachse des Querschnitts sind:

$$\frac{D}{o} (S_o - S_u) = \frac{U}{u} (S_o - S_u) = L.$$

Fig. 1. *Profil a b.*





THE NEW YORK
PUBLIC LIBRARY
ASTOR, LENOX AND
TILDEN FOUNDATIONS

Fig. 2.

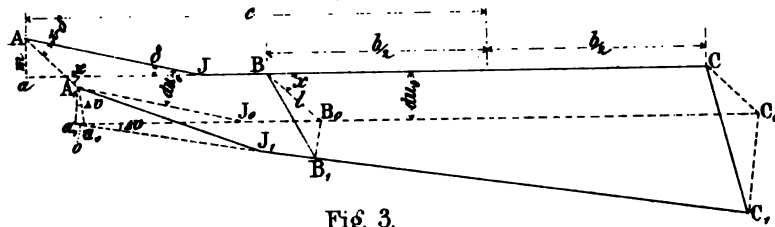


Fig. 3.

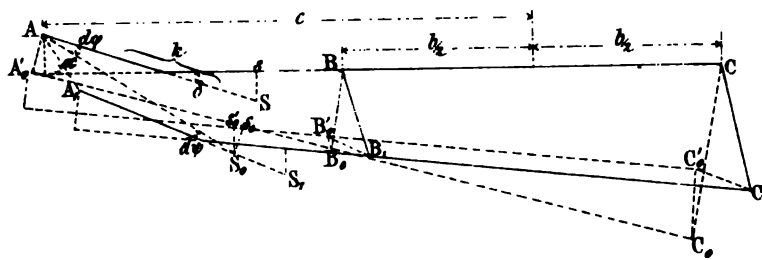


Fig. 4.

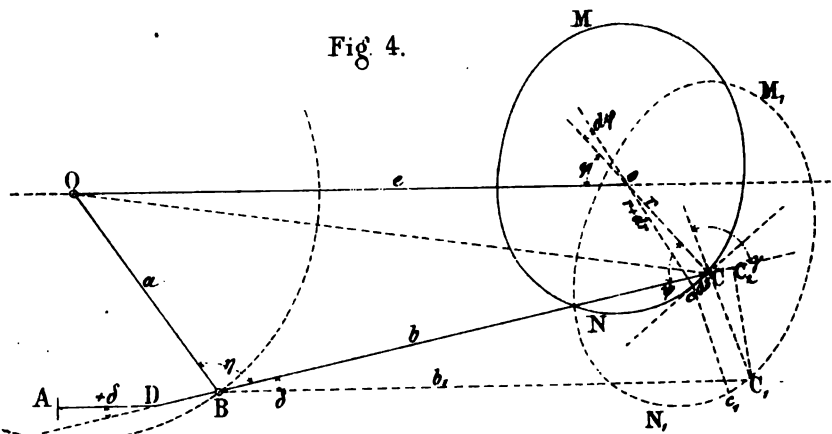
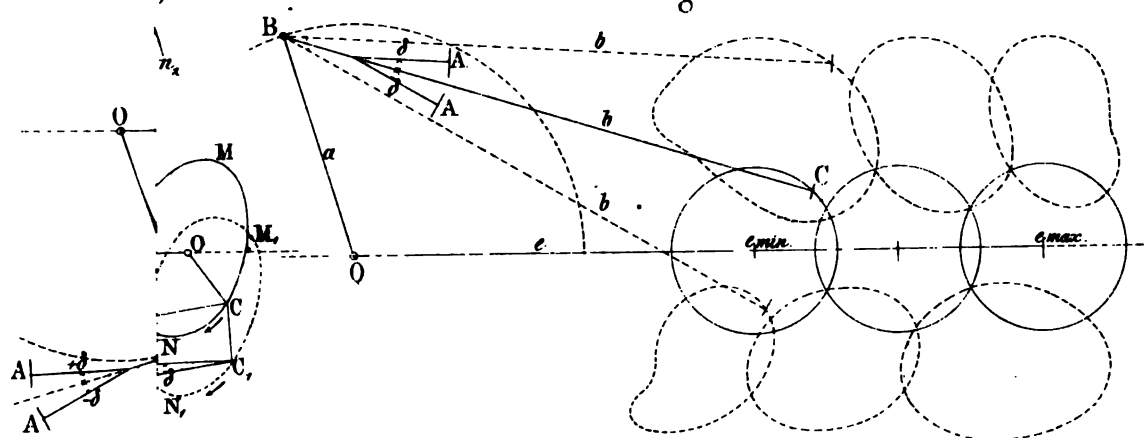


Fig. 6.



THE NEW YORK
PUBLIC LIBRARY
ASTOR LENOX AND
TILDEN FOUNDATIONS

Es ist $S_0 - S_n$ das statische Moment des ganzen Querschnitts, bezogen auf die neutrale Querachse, dieses aber ist $= \eta \omega$, da η die Entfernung dieser Achse von der Schwerpunktsachse ist; und man hat die Gleichungen:

$$\frac{D}{\omega} (\Theta + \eta^2 \omega) = \frac{u}{\omega} (\Theta + \eta^2 \omega) = \frac{N}{2} x + L(d + \eta) \quad (1)$$

und

$$\frac{D}{\omega} \eta \omega = \frac{u}{\omega} \eta \omega = L \quad (2)$$

Die erste durch die zweite dividirt ergibt:

$$\frac{\Theta + \eta^2 \omega}{\eta \omega} = \frac{\frac{N}{2} x + L(d + \eta)}{L}$$

woraus

$$1) \quad \eta = \frac{\Theta}{\omega} \frac{L}{\frac{N}{2} x + Ld} \quad \text{oder} \quad \eta = \frac{\Theta}{\omega} \cdot \frac{L}{\frac{N}{2} x + \frac{L}{N} \cdot d}$$

für $d = 0$ greift L in der Schwerpunktslinie an und wird

$$2) \quad \eta = \frac{\Theta}{\omega} \frac{L}{\frac{N}{2} x} \quad \text{oder} \quad \eta = \frac{\Theta}{\omega} \cdot \frac{L}{\frac{N}{2} x}$$

Dieses ist die Gleichung einer Hyperbel, deren eine, horizontale, Asymptote die Schwerpunktslinie ist, während die andere, verticale, durch das Auflager geht (Fig. 5^b, Taf. 10). Im ersten Falle, wo L oberhalb der Schwerpunktslinie angreift (Fig. 5^a, Taf. 10), ist die neutrale Linie durch dieselbe Hyperbel dargestellt, welche nur die Strecke

$\frac{L}{N} d$ nach dem Auflager zu verschoben ist. Greift L unterhalb der Schwerpunktslinie an, so ist lediglich $-d$ an Stelle von d zu setzen:

$$3) \quad \eta = \frac{\Theta}{\omega} \frac{L}{\frac{N}{2} x - Ld} \quad \text{oder} \quad \eta = \frac{\Theta}{\omega} \cdot \frac{L}{\frac{1}{2} N x - \frac{L}{N} d}$$

Hier ist dieselbe Hyperbel um die Strecke $\frac{L}{N} d$ nach

der Mitte verschoben (Fig. 5^c, Taf. 10) und haben wir jetzt mit den oberen Zweigen der Hyperbeln zu thun, anstatt, wie bisher, mit den unteren.

Den Figuren 5^a bis 5^c liegt ein Doppel-T-Träger der Burbacher Hütte von 10^m Höhe und 100^m Länge zu Grunde, dessen Querschnittsfläche $\omega = 11,5$ und dessen Trägheitsmoment $\Theta = 178$ für Centimeter beträgt. Ferner ist für diese Beispiele angenommen $N = 1000$, $L = 8000$ und $d = 4$. — Wir sehen, in dem in Fig. 5^b, Taf. 10, dargestellten Falle herrscht, mit Ausnahme einer kleinen Stelle in der Mitte unten, nur Druck in dem Träger, ebenso in Fig. 5^c, Taf. 10, wo nur oben zwei kleine Stellen sind, in welchen Zug auftritt; im ersten Falle (Fig. 5^a) dagegen fällt die neutrale Linie durchgehend innerhalb des Trägers, und wir haben oben Druck, unten Zug. Es ist einleuchtend, daß es im Allgemeinen vortheilhaft ist, wenn die neutrale Linie nicht, oder auf möglichst

kleiner Strecke innerhalb des Trägers liegt, denn dieser wird alsdann nur, oder fast nur, von einerlei Art der Spannung (Zug oder Druck) beansprucht, was der inneren Structur des Materials am wenigsten gefährlich ist; ferner vermindern sich die horizontalen Schubspannungen, welche in der Nähe der neutralen Faser immer am größten sind.

Die Spannungen in der äußersten Faser oberhalb und unterhalb finden sich aus Gleichung (2)

$$\sigma = \frac{\sigma L}{\eta \omega}, \quad u = \frac{u L}{\eta \omega}$$

Sind nun für im allgemeinen unsymmetrische Träger s_0 und s_n die Entfernungen der Schwerpunktslinie von dem oberen und unteren Rande des Trägers, so ist:

$$\sigma = s_0 + \eta, \quad u = s_n - \eta$$

und

$$\sigma = \left(\frac{s_0}{\eta} + 1 \right) \frac{L}{\omega}, \quad u = \left(\frac{s_n}{\eta} - 1 \right) \frac{L}{\omega},$$

und führt man für η die verschiedenen Werthe ein, so wird:

$$\begin{aligned}
 1) \quad & \left\{ \begin{aligned} \Delta &= \frac{N}{2} \frac{s_0}{\Theta} \cdot x + L \frac{s_0 d}{\Theta} + \frac{L}{\omega} \\ u &= \frac{N}{3} \frac{s_u}{\Theta} \cdot x + L \frac{s_u d}{\Theta} + \frac{L}{\omega}, \end{aligned} \right. \\
 2) \quad & \left\{ \begin{aligned} \Delta &= \frac{N}{2} \frac{s_0}{\Theta} \cdot x + \frac{L}{\omega} \\ u &= \frac{N}{2} \frac{s_u}{\Theta} \cdot x - \frac{L}{\omega}, \end{aligned} \right. \\
 3) \quad & \left\{ \begin{aligned} \Delta &= \frac{N}{2} \frac{s_0}{\Theta} \cdot x - L \frac{s_0 d}{\Theta} + \frac{L}{\omega} \\ u &= \frac{N}{2} \frac{s_u}{\Theta} \cdot x - L \frac{s_u d}{\Theta} - \frac{L}{\omega}. \end{aligned} \right.
 \end{aligned}$$

Nach der gegebenen Anordnung ist der Einfluß von $\frac{N}{2}$ und L gesondert, und es lassen sich aus den vorstehenden Formeln leicht eine Menge von Folgerungen ziehen,

deren Aufzählung hier zu weit führen würde. Beiläufig scheint jedoch der Fall von Interesse, wo die Norm $N=0$ wird, also nur eine Längskraft auf den δ einwirkt. Hier verschwindet, wie im Fall 2), wo d und

$\Delta = -u = \frac{L}{\omega}$ wird, jede Biegungserscheinung

den Fällen 1) und 3), d. h. wenn die Längskraft ϵ angreift, finden noch Biegunsspannungen statt, wie bei dem Trägheitsmomente Θ versehenen Glieder bewiesen wird:

$$1) \Delta = L \left(\frac{s_0 d}{\Theta} + \frac{1}{\omega} \right), u = L \left(\frac{s_u d}{\Theta} - \frac{1}{\omega} \right),$$

$$3) \Delta = -L \left(\frac{s_0 d}{\Theta} - \frac{1}{\omega} \right), u = -L \left(\frac{s_u d}{\Theta} + \frac{1}{\omega} \right).$$

Für den als Beispiel zu Grunde gelegten Träger man die folgenden Formeln und Zahlen:

Neutrale Linie.

I. Druck und Biegung.

		$x = 0$	$x = \frac{1}{2} = 50$
Fig. 5 ^{a b c} .	1)	$\eta = 248 \cdot \frac{1}{x + 64}$	$\eta = 3,89$
	2)	$\eta = 248 \cdot \frac{1}{x}$	$\eta = \infty$
	3)	$\eta = 248 \cdot \frac{1}{x - 64}$	$\eta = -3,89$

II. Nur Biegung.

Fig. 5^e. $\eta = 0.$

III. Nur Druck.

Fig. 5^{d e f}. 1) $\eta = 3,88.$ 2) $\eta = \infty.$ 3) $\eta = -3,88.$

Größte Spannungen.

I. Druck und Biegung.

		$x = \frac{1}{2} = 50.$
Fig. 5 ^{a b c} .	1)	$\Delta = 14 \cdot x + 696 + 900$
		$u = 14 \cdot x - 696 + 900$
	2)	$\Delta = 14 \cdot x + 696$
		$u = 14 \cdot x - 696$
	3)	$\Delta = 16 \cdot x + 696 - 900$
		$u = 14 \cdot x - 696 - 900$

II. Nur Biegung.

Fig. 5 ^e .	$\Delta = 14 \cdot x$	$\Delta = 702$
	$u = 14 \cdot x$	$u = 702.$

III. Nur Druck.

Fig. 5 ^{d e f} .	5) $\Delta = 696 + 900 = 1496$	2) $\Delta = 696$	3) $\Delta = 696 - 900 = -204$
	$u = -696 + 900 = 204$	$u = -696$	$u = -896 - 900 = -$

Aus der Betrachtung der Gleichungen sub I ergibt sich zunächst, daß die Spannungen σ und μ auch im symmetrischen Träger sehr von einander verschiedene Werthe annehmen können, und daß in jedem Falle σ und μ zu berechnen und der absolut größte der beiden Werthe als maßgebend anzunehmen ist, und daß dies auch in dem Falle 2), wo die Längskraft in der Schwerpunktslinie angreift, stattfindet. Außerdem aber ergibt sich aus den Gleichungen 1), daß beim Angreifen von L über der Schwerpunktslinie sowohl σ wie μ vergrößert werden. Läßt man dagegen die Längskraft unten angreifen und vergrößert man d nach unten — im negativen Sinne —, so zeigen die Gleichungen 3), daß man hierdurch die Spannungen σ und μ beliebig vermindern und also mittelst der Längskraft den Biegungsspannungen entgegenwirken kann. Durch ein Auf- und Abwärtsrücken der Längskräfte um 4^{cm} ergeben sich die sehr bedeutenden Differenzen zwischen den Maximalspannungen: 2298, 1398 und 894. Es soll noch hervorgehoben werden — was auch im Folgenden immer festzuhalten ist —, daß σ und μ stets entgegengesetzte Vorzeichen in sich schließen. In vorstehender Entwicklung ist σ , wenn positiv, stets Druck; dagegen μ , wenn positiv, stets Zug. Hieraus folgt alles Uebrige. So herrscht unter Fall 3), wo μ negativ wird, nur Druck im Querschnitt.

Die Gleichungen sub III zeigen die bedeutende Steigerung der Spannungen in einem nur auf Zug oder Druck in seiner Längsrichtung beanspruchten Constructionsgliede, wenn die Kräfte nicht nach der Schwerpunktslinie angreifen, des excentrischen Drucks und Zugs. Es ergibt sich

$$Ax - N_1(x - n_1) - N_2(x - n_2) - \dots - N(x - n) - L(d - \eta) = \frac{\sigma}{\omega} (\theta + \eta^2 \omega) = \frac{\mu}{\omega} (\theta + \eta^2 \omega), \quad (1)$$

$$L = \frac{\sigma}{\omega} \eta \omega = \frac{\mu}{\omega} \eta \omega, \quad (2)$$

woraus durch Division:

$$\eta \omega [Ax - N_1(x - n_1) - N_2(x - n_2) - \dots - N(x - n) - L(d - \eta)] = L(\theta + \eta^2 \omega).$$

Auf beiden Seiten streicht sich das Glied vom 2. Grade für η , nämlich $L\eta^2 \omega$, und es wird:

$$\eta \omega [Ax - N_1(x - n_1) - N_2(x - n_2) - \dots - N(x - n) - Ld] = L\theta.$$

Der Ausdruck in der Klammer ist aber nichts anderes, als das Angriffsmoment aller äußeren Kräfte an dem links von η liegenden Trägertheil, bezogen auf den Durchschnittpunkt D der Linie η mit der Schwerpunktslinie. Bezeichnen wir dies Moment mit $\cdot M_\eta$ (Angriffsmoment in Bezug auf den Schwerpunkt des Normalschnitts), so ist allgemein:

$$\eta = \frac{\theta}{\omega} \cdot \frac{L}{\cdot M_\eta}.$$

σ und μ werden gefunden aus Gleichung (2); indem noch $\sigma = s_0 + \eta$, $\mu = s_n - \eta$ ist, wird

daraus die Wichtigkeit einer genauen Centrirung aller Druckstreben. Die neutrale Linie ist hier wieder eine Gerade, parallel zur Schwerpunktslinie.

Das vorhergehende einfache Beispiel eines von einer Längskraft und einer einzelnen Normalkraft angegriffenen Trägers ist etwas ausführlicher behandelt, um die Einwirkungen einer Längskraft auf einen solchen Träger, insbesondere deren Einfluß auf die Gestalt der neutralen Linie anschaulich zu machen. Es wird dies zur Unterstützung der Vorstellung bei den folgenden zusammengesetzteren Fällen hinreichen, auch wenn wir keine weiteren Zeichnungen der neutralen Linie geben. Jedenfalls wird aber die Auftragung der neutralen Linie zu empfehlen sein, ganz vorzüglich bei der Projectirung von Bogenträgern, wie wir sie später behandeln. — Nach Vorausschickung also dieses für das Verständnis nothwendigen einfachsten Beispiels wenden wir uns zur Entwicklung der allgemeinen Formeln für Träger, an welchen neben der horizontalen Längskraft mehrere normale Einzellasten angreifen.

Man verfolge die Entwicklung an Fig. 6, Taf. 10. — Wir nehmen L nur noch unterhalb der Schwerpunktslinie angreifend an. Die Auflagerbrücke A und B sind leicht zu berechnen. Die Gleichung für die neutrale Linie wird in den verschiedenen durch die Kräfte N und die Auflager gebildeten Abtheilungen verschieden, ebenso die Gleichungen für die größten Spannungen. Wo die Normalkräfte N einfallen, liegen allemal Brehpunkte der neutralen Linie. Für ein beliebiges Feld n , Schnitt η , gestalten sich die Gleichungen, wie folgt:

$$\sigma = \frac{L}{\omega} \left(\frac{s_0}{\eta} + 1 \right) = \frac{s_0}{\theta} \cdot \cdot M_\eta + \frac{L}{\omega}$$

$$\mu = \frac{L}{\omega} \left(\frac{s_n}{\eta} - 1 \right) = \frac{s_n}{\theta} \cdot \cdot M_\eta + \frac{L}{\omega}$$

Die letzten Formeln:

$$\sigma = \frac{s_0}{\theta} \cdot \cdot M_\eta + \frac{L}{\omega}$$

$$\mu = \frac{s_n}{\theta} \cdot \cdot M_\eta - \frac{L}{\omega}$$

sind uns die wichtigsten. Die Glieder $\frac{s_0}{\theta} \cdot \cdot M_\eta$ und $\frac{s_n}{\theta} \cdot \cdot M_\eta$

umfassen die Biegungsspannungen, die Glieder $\frac{L}{\omega}$ und $-\frac{L}{\omega}$ die durch die Längskräfte hervorgerufenen, gleichförmig über die Querschnittsfläche vertheilten Spannungen. Aus beiden setzen sich die Totalspannungen in den äußersten Fasern zusammen. Es werden also die Biegungsspannungen gefunden, indem man die Momentengleichung der inneren und äußeren Kräfte in Bezug auf den Durchschnittpunkt des Trennungsschnitts „ mit der Schwerpunktslinie aufstellt. Zu der gefundenen Biegungsspannung ist dann noch die zugehörige (positive oder negative) von den Längskräften herrührende gleichförmig vertheilte Spannung zu fügen.

Der obige Satz hat Gültigkeit für alle möglichen Belastungsgeetze, da die Lastvertheilung ganz beliebig war; für gleichförmig vertheilte Last wird zum Beispiel (Fig. 7)

$$M_x = \frac{v l x}{2} - \frac{v x^2}{2} - L d = \frac{v(1-x)x}{2} - L d$$

$$\eta = \frac{\theta}{\omega} \frac{L}{v(1-x)\frac{x}{2} - L d}$$

allgemeine Formeln

$$1) \quad \begin{aligned} \sigma &= \left[\frac{v(1-x)x}{2} + L d \right] \frac{s_0}{\theta} + \frac{L}{\omega} \\ u &= \left[\frac{v(1-x)x}{2} + L d \right] \frac{s_a}{\theta} - \frac{L}{\omega} \end{aligned}$$

$$2) \quad \begin{aligned} \sigma &= \frac{v(1-x)x}{2} \frac{s_0}{\theta} + \frac{L}{\omega} \\ u &= \frac{v(1-x)x}{2} \frac{s_a}{\theta} - \frac{L}{\omega} \end{aligned}$$

$$3) \quad \begin{aligned} \sigma &= \left[\frac{v(1-x)x}{2} - L d \right] \frac{s_0}{\theta} + \frac{L}{\omega} \\ u &= \left[\frac{v(1-x)x}{2} - L d \right] \frac{s_a}{\theta} - \frac{L}{\omega} \end{aligned}$$

Die Verschiebung des Angriffspunktes der längs des Sparrens wirkenden Kraft aus dem Schwerpunkte um nur 3 cm nach oben und unten hat die sehr beträchtlichen Differenzen zwischen den größten Spannungen 1847, 1628 und 1409 zur Folge. Es verlohnt hier jedenfalls der Mühe, die Constructionsachse um 3 cm herabzurücken. Beiläufig zeigt sich hier eine höchst bedeutende und höchst nachtheilige Differenz zwischen der Größe der in der obersten und untersten Faser

$$\sigma = \frac{s_0}{\theta} \left[\frac{v(1-x)x}{2} - L d \right] + \frac{L}{\omega},$$

$$u = \frac{s_a}{\theta} \left[\frac{v(1-x)x}{2} - L d \right] - \frac{L}{\omega}.$$

Um die gefundenen Resultate besser zu beleuchten, wir noch das folgende Beispiel berechnet. Ein eiserne von 6 m Spannweite mit $\frac{1}{2}$ Neigung der Dachfläche Grunde gelegt, die Sparren sind aus T-Eisen in den Taf. 10, gegebenen, Querschnittsdimensionen gebildet. Entfernung der Sparren beträgt 2,5 m. Die Sparren $l = 316$ cm. Als verticale Belastung pro \square^m Da sind angenommen: 140 Kilogr. Daraus folgt eine förmig vertheilte Normalbelastung = 1050 Kilogr. 1 Längsdruck $L = 1750$ Kilogr. Die Querschnittsfläche T-Trägers ist $\omega = 16$ cm^2 , die Lage der Schwerpunkts bestimmt durch $s_0 = 3,3$ cm, $s_a = 6,7$ cm. Das Trägernmoment $\theta = \text{rot. } 160$ für Centimeter. Lassen wir einander L in der Entfernung = 3 cm oberhalb, d der Schwerpunktslinie, darauf 3 cm unterhalb angerei erhalten wir:

	$x = 0$	$x = \frac{1}{2}$
1)	$\sigma = 108 + 109 = 127$	$\sigma = 856 + 108 + 109 =$
	$u = 219 - 109 = 110$	$u = 1737 + 219 - 109 =$
2)	$\sigma = 109$	$\sigma = 856 + 109 = 965$
	$u = -109$	$u = 1737 - 109 = 1628$
3)	$\sigma = -108 + 109 = 1$	$\sigma = 856 - 108 + 109 =$
	$u = -219 - 109 = -328$	$u = 1737 - 219 - 109 =$

austretenden Spannungen. Dies ist eine Eigenschaft der Dachsparren so sehr beliebten einfachen T-Trägers. Man sich statt dessen des entsprechenden Doppel-T von gleichem Gewichte, dessen 4 Flantichen zusammenger so breit sind, wie die 2 des Doppel-T-Trägers, (vergl. Taf. 10) so gestalten sich die Spannungszahlen weit es ist dann $s_0 = s_a = 5$ cm, $\omega = 16$ cm^2 , wie $\theta = 205$

$$x = 0$$

$$1) \quad \begin{aligned} \sigma &= 128 + 109 = 237 \\ u &= 128 - 109 = 19 \end{aligned}$$

$$2) \quad \begin{aligned} \sigma &= 109 \\ u &= -109 \end{aligned}$$

$$x = \frac{1}{2}$$

$$\begin{aligned} \sigma &= 1012 + 128 + 109 = 1249 \\ u &= 1012 + 128 - 109 = 1031 \\ \sigma &= 1012 + 109 = 1121 \\ u &= 1012 - 109 = 903 \end{aligned}$$

$$\begin{array}{lcl}
 x = 0 & & x = \frac{1}{2} \\
 3) \quad \Sigma = -128 + 109 = -19 & & \Sigma = 1012 - 128 + 109 = 993 \\
 \quad \quad u = -128 - 109 = -237 & & u = 1012 - 128 - 109 = 775
 \end{array}$$

Der Vorzug des Doppel-T-Trägers vor dem einfachen T-Träger von gleichem Gewichte ist augenfällig. Auch läßt der Doppel-T-Träger sehr einfache und unserem angegebenen Constructionsprincipe sehr entsprechende Verbindungen zu. So zeigt Fig. 10, Taf. 11, eine Firstverbindung der Sparren, die nur aus einer kleinen schmiedeeisernen, in der Mitte entsprechend eingeknickten Platte besteht, welche beiderseits mit je 4 Nieten an die unteren Flanschen der Sparren befestigt ist. Die Verbindung vereinigt die Sparren mit hinreichender Sicherheit, schützt gegen Verschiebung in Richtung der Firstlinie und ist, da von Schmiedeeisen, hinreichend nachgiebig im Falle einer Bewegung der Sparren in verticaler Ebene in Folge von Temperaturveränderungen; sehr leicht ist dabei die Hängestange anzubringen, welche die horizontale Zugstange AB (Fig. 11, Taf. 11) gegen das Einschlagen zu schützen hat. Der Hauptvortheil unserer Verbindung besteht nun aber darin, daß der Angriff der Längskräfte L (Fig. 10) an die unterste Fläche des Trägers gerichtet ist. Dies entspricht einem Herabrücken der Kräfte L um $d = 5\text{ cm}$; wir erhalten dadurch:

$$\begin{array}{l}
 \Sigma = 1012 - 213 + 109 = 908 \\
 u = 1012 - 213 - 109 = 690.
 \end{array}$$

Vergleicht man diese Resultate mit den Zahlen $\Sigma = 1121$ und $u = 903$, so haben wir hier allein durch geeignete Construction der Verbindungsstücke die größte Spannung im Träger um $\frac{1}{5}$ vermindert; ganz davon zu schweigen, welchen Fehler man hätte begehen können, wenn man nur bis zu 3 cm über die Schwerpunktslinie hinausgegangen wäre, wo $\Sigma = 1249$, $u = 1031$.

Gehen wir zur Verbindung am Sparrenfuß (Fig. 11 und 11^a, Taf. 11) über, so ist hier nach ähnlichem Princip verfahren, wie vorhin. Ein kleiner Schuh von Gußeisen umfaßt die horizontale Zugstange, hat unten eine Standfläche

$$\begin{aligned}
 A \left[\frac{1}{2} - (r - \eta) \sin \varphi \right] - N_1 [n_1 - (r - \eta) \sin \varphi] - N_2 [n_2 - (r - \eta) \sin \varphi] - \dots - N [n - (r - \eta) \sin \varphi] \\
 - L [(r - \eta) \cos \varphi - (r - f)] = \frac{\Sigma}{\Theta} (\Theta + \eta^2 \omega) = \frac{u}{u} (\Theta + \eta^2 \omega). \quad (1)
 \end{aligned}$$

$$A \sin \varphi - N_1 \sin \varphi - N_2 \sin \varphi - \dots - N \sin \varphi + L \cos \varphi = \frac{\Sigma}{\Theta} \eta \omega = \frac{u}{u} \cdot \eta \omega. \quad (2)$$

Gl. (1) durch (2) dividirt und übers Kreuz multiplicirt:

$$\begin{aligned}
 \eta \omega \cdot \left[A \left(\frac{1}{2} - (r - \eta) \sin \varphi \right) - N_1 (n_1 - (r - \eta) \sin \varphi) - \dots - N (n - (r - \eta) \sin \varphi) - L ((r - \eta) \cos \varphi - (r - f)) \right] \\
 = [A \sin \varphi - N_1 \sin \varphi - N_2 \sin \varphi - \dots - N \sin \varphi + L \cos \varphi] (\Theta + \eta^2 \omega).
 \end{aligned}$$

Auf beiden Seiten streichen sich wiederum die mit $\eta^2 \omega$ multiplicirten Glieder und es bleibt:

von geeigneter Breite und oben zwei Flanschen von der Breite der Trägerflanschen zum Aufschrauben oder Aufnieten des Trägers. Hier sind die Verhältnisse für die inneren Spannungen des Trägers noch günstiger, da der Angriff der Längskraft L noch weiter unterhalb des Trägers an den Punkt A fällt, so daß also obige Maximalspannungen noch zu hoch gegriffen sind.

Die letzte Construction (Fig. 11) zeigt uns den Weg, welchen wir gehen können, um Σ und u immer kleiner zu machen. Fig. 12, Taf. 11, zeigt, wie man L immer weiter von der neutralen Linie abrückt und dadurch in den Gleichungen:

$$\begin{aligned}
 \Sigma &= \left[\frac{v(1-x)x}{2} - Ld \right] \frac{s_0}{\Theta} + \frac{L}{\omega} \\
 u &= \left[\frac{v(1-x)x}{2} - Ld \right] \frac{s_u}{\Theta} - \frac{L}{\omega}
 \end{aligned}$$

die Glieder $Ld \frac{s_0}{\Theta}$ und $Ld \frac{s_u}{\Theta}$ immer mehr vergrößern, somit Σ und u immerfort verkleinern kann. Bald werden jedoch die Verbindungen bei a sehr schwache Stellen der Construction werden, und es wird der weitere Schritt nothwendig, die Ecken bei a abzurunden, wodurch man auf die gebogenen Sparren und auf im allgemeinen spitzbogige Dachformen kommt (Fig. 2^a und 2, Taf. 10).

Entwicklung der Formeln für gebogene eiserne Träger.

Wir betrachten hier nur die Biegung nach dem Kreisbogen und bedienen uns der Fig. 13, Taf. 11.

Für jedes der durch die Auflager und durch die Einzellasten gebildeten Felder müssen wieder besondere Gleichungen aufgestellt werden. Für ein beliebiges Feld wird:

$$\left[A \left(\frac{1}{2} - r \sin \varphi \right) - N_1 (n_1 - r \sin \varphi) - \dots - N (n - r \sin \varphi) - L (r \cos \varphi - (r - f)) \right] \eta \omega =$$

$$= [A \sin \varphi - N_1 \sin \varphi - N_2 \sin \varphi - \dots - N \sin \varphi + L \cos \varphi] \Theta.$$

Es sind jetzt wieder alle Momente auf den Durchschnittspunkt D der Schwerpunktslinie mit dem Trennungsschnitt bezogen und wir können wieder $^a M_s$ einführen, wodurch man erhält:

$$^a M_s \eta \omega = [(A - N_1 - N_2 - \dots - N) \sin \varphi + L \cos \varphi] \Theta,$$

$$\eta = \frac{\Theta}{\omega} \cdot \frac{(A - N_1 - N_2 - \dots - N) \sin \varphi + L \cos \varphi}{^a M_s}$$

und

$$\varnothing = \frac{s_0}{\Theta} \cdot ^a M_s + \frac{1}{\omega} [(A - N_1 - N_2 - \dots - N) \sin \varphi + L \cos \varphi]$$

$$u = \frac{s_u}{\Theta} \cdot ^a M_s - \frac{1}{\omega} [(A - N_1 - N_2 - \dots - N) \sin \varphi + L \cos \varphi].$$

Ist die Last gleichförmig über die Projection vertheilt, so wird: $A = \frac{v l}{2}$, $N_1 + N_2 + N_3 + \dots + N = v \cdot \left(\frac{1}{2} - r \sin \varphi \right)$, daher $A - N_1 - N_2 - \dots - N = v r \sin \varphi$, woraus:

$$^a M_s = \frac{v l}{2} \left(\frac{1}{2} - r \sin \varphi \right) - v \frac{\left(\frac{1}{2} - r \sin \varphi \right)^2}{2} - L [r \cos \varphi - (r - f)]$$

$$^a M_s = \frac{v l^2}{8} - \frac{v r^2 \sin^2 \varphi}{2} - L (r \cos \varphi + f - r) = \frac{v l^2}{8} - \frac{v r^2 \sin^2 \varphi}{2} - L \left[r \cos \varphi - \sqrt{r^2 - \frac{l^2}{4}} \right],$$

$$\text{da } f = r - \sqrt{r^2 - \frac{l^2}{4}}$$

$$\varnothing = \frac{s_0}{\Theta} \left[\frac{v l^2}{8} - \frac{v r^2 \sin^2 \varphi}{2} - L \left(r \cos \varphi - \sqrt{r^2 - \frac{l^2}{4}} \right) \right] + \frac{1}{\omega} (v r \sin^2 \varphi + L \cos \varphi),$$

$$u = \frac{s_u}{\Theta} \left[\frac{v l^2}{8} - \frac{v r^2 \sin^2 \varphi}{2} - L \left(r \cos \varphi - \sqrt{r^2 - \frac{l^2}{4}} \right) \right] - \frac{1}{\omega} (v r \sin^2 \varphi + L \cos \varphi).$$

Bezieht man die Constanten auf den Winkel Φ der Auflagerpunkte, so erhält man, da $\sin \Phi = \frac{1}{2r}$, $\cos \Phi = \frac{\sqrt{r^2 - \frac{l^2}{4}}}{r}$,

$$\frac{\sqrt{r^2 - \frac{l^2}{4}}}{r}, \quad r = \frac{f^2 + \left(\frac{1}{2} \right)^2}{2f} \text{ und } f = r - \sqrt{r^2 - \frac{l^2}{4}}, \text{ die Gleichungen:}$$

$$I \quad \left\{ \begin{array}{l} \eta = \frac{\Theta}{\omega} \frac{v r \sin^2 \varphi + L \cos \varphi}{\frac{v r^2}{2} (\sin^2 \Phi - \sin^2 \varphi) + L r (\cos \Phi - \cos \varphi)} \\ \varnothing = \frac{s_0}{\Theta} \left[\frac{v r^2}{2} (\sin^2 \Phi - \sin^2 \varphi) + L r (\cos \Phi - \cos \varphi) \right] + \frac{1}{\omega} (v r \sin^2 \varphi + L \cos \varphi), \\ u = \frac{s_u}{\Theta} \left[\frac{v r^2}{2} (\sin^2 \Phi - \sin^2 \varphi) + L r (\cos \Phi - \cos \varphi) \right] - \frac{1}{\omega} (v r \sin^2 \varphi + L \cos \varphi), \end{array} \right.$$

Diese Formeln sind eleganter und übersichtlicher, die vorhergehenden jedoch häufig besser zu gebrauchen, wir setzen deshalb nochmals vollständig hierher:

$$II \quad \eta = \frac{\Theta}{\omega} \frac{v r \sin^2 \varphi + L \cos \varphi}{v \left(\frac{l^2}{8} - \frac{r^2 \sin^2 \varphi}{2} \right) + L \left(\sqrt{r^2 - \frac{l^2}{4}} - r \cos \varphi \right)}$$

$$\text{II} \quad \left\{ \begin{array}{l} \sigma = \frac{s_0}{\Theta} \left[v \left(\frac{l^2}{8} - \frac{r^2}{2} \sin^2 \varphi \right) + L \left(\sqrt{r^2 - \frac{l^2}{4}} - r \cos \varphi \right) \right] + \frac{1}{\omega} (v r \sin^2 \varphi + L \cos \varphi), \\ u = \frac{s_a}{\Theta} \left[v \left(\frac{l^2}{8} - \frac{r^2}{2} \sin^2 \varphi \right) + L \left(\sqrt{r^2 - \frac{l^2}{4}} - r \cos \varphi \right) \right] - \frac{1}{\omega} (v r \sin^2 \varphi + L \cos \varphi), \end{array} \right.$$

oder wenn der Pfeil f gegeben ist:

$$\text{III.} \quad \left\{ \begin{array}{l} \eta = \frac{\Theta}{\omega} \frac{v r \sin^2 \varphi + L \cos \varphi}{v \left(\frac{l^2}{8} - \frac{r^2}{2} \sin^2 \varphi \right) + L (r - f - r \cos \varphi)} \\ \sigma = \frac{s_0}{\Theta} \left[v \left(\frac{l^2}{8} - \frac{r^2}{2} \sin^2 \varphi \right) + L (r - f - r \cos \varphi) \right] + \frac{1}{\omega} (v r \sin^2 \varphi + L \cos \varphi) \\ u = \frac{s_a}{\Theta} \left[v \left(\frac{l^2}{8} - \frac{r^2}{2} \sin^2 \varphi \right) + L (r - f - r \cos \varphi) \right] - \frac{1}{\omega} (v r \sin^2 \varphi + L \cos \varphi). \end{array} \right.$$

Die Formeln zur Berechnung der größten Spannungen in einem beliebigen Radialschnitte sind hierdurch gegeben. Es handelt sich nun zunächst darum, zu untersuchen, in welchen Radialschnitten diese Spannungen ihr Maximum erreichen, für welchen Winkel φ also die Spannungen σ und u ein Maximum erreichen. Setzt man aus Gleichung III

$$0 = \frac{d\sigma}{d\varphi} = \frac{s_0}{\Theta} \underbrace{(-v r^2 \sin \varphi \cos \varphi + L r \sin \varphi)}_{\text{Biegungsglied}} + \frac{1}{\omega} \underbrace{(2 v r \sin \varphi \cos \varphi - L \sin \varphi)}_{\text{Tangentialdruck}},$$

so genügen dieser Gleichung die Bedingungen:

$$1) \sin \varphi = 0,$$

$$2) \cos \varphi = \frac{L}{rv} \frac{s_0 r \omega - \Theta}{s_0 r \omega - 2\Theta}.$$

ferner genügen der Gleichung $\frac{du}{d\varphi} = 0$ die Bedingungen:

$$3) \sin \varphi = 0,$$

$$\text{und } 4) \cos \varphi = \frac{L}{rv} \frac{s_a r \omega + \Theta}{s_a r \omega + 2\Theta}.$$

Hierdurch sind die interessanten Radialschnitte, welche vorzugsweise zu untersuchen sind, genau bestimmt. Die Bedingungen 2) und 4) ergeben etwas complicirte Werthe, welche sich für allgemeine Untersuchungen nicht eignen. Da jedoch der Radius r immer eine sehr große Zahl im Vergleich mit dem von den kleinen Querschnittsdimensionen des Trägers abhängigen Θ ist, so kann man ohne großen Fehler Θ und 2Θ vernachlässigen und erhält dann die einfachere Beziehung:

$$\cos \varphi = \frac{L}{rv}.$$

Dies bezeichnet zugleich den Radialschnitt, für welchen das Biegungsglied allein seinen Maximalwerth annimmt, während das Glied des Tangentialdruckes allein für $\cos \varphi = \frac{L}{2rv}$ sein Maximum erreicht. $\sin \varphi = 0$ ist für beide Arten von Spannungen ein interessanter Punkt. Da uns also gegenwärtig das Biegungsglied hauptsächlich interessiert und der zu begehende Fehler jedenfalls sehr klein ist, nehmen wir im Folgenden nur:

$$1) \sin \varphi = 0,$$

wobei hier nur $\cos \varphi = +1$ sein kann, und

$$2) \cos \varphi = \frac{L}{rv}$$

als diejenigen Radialschnitte, welche immer zunächst zu untersuchen, kurz als die gefährlichen Radialschnitte an. $\sin \varphi = 0$ bezeichnet nur einen Radialschnitt, nämlich den Verticalschnitt durch den Scheitel. $\cos \varphi = \frac{L}{rv}$ dagegen zeigt bei symmetrischem Belastungsgesetze zwei, symmetrisch zur Scheitelverticalen gelegene, Radialschnitte an. Selbstverständlich kann von solchen letzter Art von vornherein nur die Rede sein, wenn $rv \geq L$, also

$$\frac{L}{rv} = \cos \varphi_{\max} \leq 1$$

ist. Ist dagegen $L > rv$, so kann nur im Scheitelschnitt für $\sin \varphi = 0$ das Maximum zu suchen sein.

Wir gehen nunmehr nach Entwicklung vorstehender ganz allgemein für gebogene Träger, welche von zwei gleichen Sehnenträften und zu diesen normalen Belastungen angegriffen sind, geltenden Elasticitätsformeln zur Anwendung derselben auf gebogene eiserne Dachsparren über. Und es handelt sich dabei immer um Vergleichung der gebogenen mit den entsprechenden geraden Sparren, sowie der gebogenen unter einander, und ist hierbei hauptsächlich die Größe des auf eine gemeinsame Spannweite l und gleiche Verticalbelastung g bezogenen Biegungsgliedes maßgebend.

Zunächst stellen wir fest:

Die Spannweite des Daches = l ,

die Tangente der Dachneigung sei (Fig. 14, Tafel 12)

$$\frac{h}{\frac{1}{2}} = \alpha,$$

also für $\frac{1}{2}$ Dach, $\frac{1}{3}$ Dach, $\frac{1}{4}$ Dach beziehungsweise $\alpha = 1, \frac{2}{3}, \frac{1}{2}$ u. s. w.,

dann ist die Dachhöhe $h = \alpha \frac{1}{2}$,

und die Sparrenlänge $s = \frac{1}{2} \cdot \sqrt{\alpha^2 + 1}$.

Wir nehmen ferner eine verticale Belastung g pro laufende Einheit der Verticalprojection der Sparren, also pro laufende Einheit der Spannweite an. Es ist dann die verticale Belastung eines Sparrens (Fig. 14):

$$P = g \frac{1}{2}.$$

Der Druck normal zu dem Sparren ist sonach:

$$(f) \dots \dots \dots s = \frac{1}{2} \sqrt{\alpha^2 + 1}, \quad v = \frac{g}{\alpha^2 + 1}, \quad S = g l \cdot \frac{\sqrt{\alpha^2 + 1}}{4\alpha}.$$

Berechnen wir die Maximalspannung für den geraden Sparren, dessen Längskraft $L = S$ in der Schwerpunktslinie wirkt, so wird:

$$\Delta = \frac{s_0}{\Theta} \cdot \frac{v s^2}{8} + \frac{S}{w},$$

oder zufolge der Gleichungen (f)

$$(a) \left\{ \begin{array}{l} \Delta = \frac{s_0}{\Theta} \cdot \frac{g l^2}{32} + \frac{1}{w} \cdot g l \cdot \frac{\sqrt{\alpha^2 + 1}}{4\alpha} \text{ und} \\ u = \frac{s_u}{\Theta} \cdot \frac{g l^2}{32} + \frac{1}{w} \cdot g l \cdot \frac{\sqrt{\alpha^2 + 1}}{4\alpha}. \end{array} \right.$$

Das Biegungsglied in Δ und u ist sonach bei unveränderter Belastung von der Dachneigung ganz unabhängig. Das Glied aber für den Längsdruck, beziehungsweise $\frac{\sqrt{\alpha^2 + 1}}{4\alpha} = \lambda$ der folgenden Tabelle I ändert sich

bei den gebräuchlichen Dächern, $\frac{1}{2}$ Dach bis $\frac{1}{10}$ Dach, nur zwischen 0,4 bis 1,3. Nähme man also einen mittleren Werth $\lambda = 1$ an, so würde für dieselbe Spannweite l und gleiche Belastung g dasselbe Sparrensaßoneisen für alle Dachneigungen anwendbar sein. In der folgenden Tabelle I sind für das $\frac{1}{2}$ - bis $\frac{1}{10}$ -Dach, wo beziehungsweise $\alpha = 1$ bis $\frac{1}{6}$ ist, einige beim Projectiren nützliche Daten aufgeführt: (Siehe nebenstehende Tabelle.)

Wir gehen nun dazu über, den Sparren verschiedene Biegungen nach Kreisbögen zu geben.

Zunächst liegt es nahe, die Sparren derart zu biegen, daß beide gegenüberstehende Sparren zusammen in eine Kreislinie fallen, daß also, wie in den Fig. 17, Taf. 12, die ganze Spannung in einem fortlaufenden Kreissegmente überdeckt

$$N = P \cdot \frac{1}{s}.$$

Demnach der gleichmäßig pro Längeneinheit des Sparren vertheilte Normaldruck:

$$v = \frac{N}{s} = P \frac{1}{s^2}$$

und wenn man für P und s die obigen Werthe einführt

$$v = \frac{g}{\alpha^2 + 1}.$$

Die Längskraft im geraden Sparren oder nach der Θ des gebogenen Sparrens ist:

$$S = \frac{P}{2} \cdot \frac{s}{h} = g l \cdot \frac{\sqrt{\alpha^2 + 1}}{4\alpha}.$$

Besonders häufig bedarf man der Formeln:

Tabelle I.

$$\delta = \frac{\sqrt{\alpha^2 + 1}}{2}, \quad \lambda = \frac{\sqrt{\alpha^2 + 1}}{4\alpha}.$$

α	$s = l \cdot \delta$	$v = \frac{g}{\alpha^2 + 1}$	$L = g l \cdot \lambda$
$\frac{1}{1}$	1.0,7071	$g \cdot 0,5000$	$g l \cdot 0,3536$
$\frac{2}{3}$	1.0,6009	$g \cdot 0,6923$	$g l \cdot 0,4507$
$\frac{1}{2}$	1.0,5590	$g \cdot 0,8000$	$g l \cdot 0,5590$
$\frac{2}{5}$	1.0,5385	$g \cdot 0,8621$	$g l \cdot 0,6732$
$\frac{1}{3}$	1.0,5271	$g \cdot 0,9000$	$g l \cdot 0,7908$
$\frac{2}{7}$	1.0,5200	$g \cdot 0,9245$	$g l \cdot 0,9100$
$\frac{1}{4}$	1.0,5154	$g \cdot 0,9412$	$g l \cdot 1,0308$
$\frac{2}{9}$	1.0,5122	$g \cdot 0,9529$	$g l \cdot 1,1524$
$\frac{1}{6}$	1.0,5099	$g \cdot 0,9615$	$g l \cdot 1,2748$

ist. Die Beziehung zu dem entsprechenden geraden Sparren wird wieder durch das Verhältniß α gegeben.

In diesem Falle ergibt sich die Größe des Biegunsradius aus der Beziehung:

$$r^2 = \left(r - \alpha \frac{1}{2}\right)^2 + \frac{l^2}{4},$$

$$r = l \cdot \frac{\alpha^2 + 1}{4\alpha}.$$

Die Gleichung II für Δ muß nun lauten:

$$\Delta = \frac{s_0}{\Theta} \left[v \left(\frac{s^2}{g} - \frac{r^2}{2} \cdot \sin^2 \varphi \right) + L \left(\sqrt{r^2 - \frac{s^2}{4}} - r \cos \varphi \right) \right] + \frac{1}{\omega} (v r \sin^2 \varphi + L \cdot \cos \varphi).$$

Führen wir darin ein:

$$r = l \cdot \frac{\alpha^2 + 1}{4\alpha}, \text{ ferner } s = \frac{l}{2} \cdot \sqrt{\alpha^2 + 1}, \quad v = \frac{g}{\alpha^2 + 1} \text{ und } L = gl \cdot \frac{\sqrt{\alpha^2 + 1}}{4\alpha},$$

so wird $\sqrt{r^2 - \frac{s^2}{4}} = l \cdot \frac{\sqrt{\alpha^2 + 1}}{4\alpha}$ und

$$\Delta = \frac{s_0}{\Theta} \cdot \frac{gl^2}{32} \left[1 - \frac{\alpha^2 + 1}{\alpha^2} \sin^2 \varphi + 2 \frac{\alpha^2 + 1}{\alpha^2} (1 - \sqrt{\alpha^2 + 1} \cdot \cos \varphi) \right] + \frac{1}{\omega} \frac{gl}{4\alpha} (\sin^2 \varphi + \sqrt{\alpha^2 + 1} \cdot \cos \varphi).$$

Um den gefährlichen Radialschnitt zu finden, bilde man

$$\cos \varphi_{\max} = \frac{L}{rv} = \frac{gl \cdot \frac{\sqrt{\alpha^2 + 1}}{4\alpha}}{l \cdot \frac{\alpha^2 + 1}{4\alpha} \cdot \frac{g}{\alpha^2 + 1}} = \sqrt{\alpha^2 + 1}.$$

Dieser Werth $\sqrt{\alpha^2 + 1}$ ist größer als 1, kann daher nicht Cosinus des gesuchten Winkels sein; der gefährliche Radialschnitt kann vielmehr in diesem Falle nur der Verticalschnitt im Scheitel sein, für welchen

$$\sin \varphi = 0 \text{ und } \cos \varphi = +1.$$

Diese Bedingung in die Gleichung für Δ eingeführt, giebt:

$$(b) \quad \left\{ \begin{array}{l} \Delta = - \frac{s_0}{\Theta} \frac{gl^2}{32} \left[2 \frac{\alpha^2 + 1}{\alpha^2} (\sqrt{\alpha^2 + 1} - 1) - 1 \right] + \frac{1}{\omega} gl \frac{\sqrt{\alpha^2 + 1}}{4\alpha} \\ u = - \frac{s_0}{\Theta} \frac{gl^2}{32} \left[2 \frac{\alpha^2 + 1}{\alpha^2} (\sqrt{\alpha^2 + 1} - 1) - 1 \right] + \frac{1}{\omega} gl \frac{\sqrt{\alpha^2 + 1}}{4\alpha} \end{array} \right.$$

Um diese Gleichungen zu verwerthen, gebrauche man Tabelle II. Deren erste Columne dient zur Ermittlung von $r = l\varrho$, die zweite enthält den Biegungspfeil f für den Sparren, welcher sich aus r nach der Beziehung

$$f = r - \sqrt{r^2 - \frac{s^2}{4}},$$

oder

$$f = l \left(\frac{\alpha^2 + 1}{4\alpha} - \frac{\sqrt{\alpha^2 + 1}}{4\alpha} \right) = l(\varrho - \lambda)$$

ergiebt, die dritte Columne enthält den nur von α abhängigen Coefficienten K des Biegungsgliedes — im Vergleich mit dem Coefficienten $\frac{1}{32}$ des geradsparrigen Daches —, die vierte, nochmals aus Tabelle I wiederholt, die Werthe λ .

(Siehe nebenstehende Tabelle).

Vergleichen wir unter Zuhilfenahme der dritten Columne (K) der Tabelle II die Biegungsglieder der Gleichungen (b) mit denen in den Gleichungen (a) für den geraden Sparren, so zeigt sich für die Dachneigung von 45° , also wo $\alpha = 1$, allerdings noch kein großer Vorsprung für den gebogenen Sparren, aber schon bei $\alpha = 2/3$ zeigt sich eine Verkleinerung des Biegungsgliedes auf weniger als den dritten Theil; bei dem sehr brauchbaren und üblichen Neigungsverhältniß $\alpha = 1/2$ wird das Biegungsglied für den gebogenen Sparren weniger, als $1/12$ desjenigen für den geraden. Für die flacheren Dachneigungen gestaltet sich dies Verhältniß noch günstiger.

Stillingenieur XX.

Tabelle II.

$$K = 2 \frac{\alpha^2 + 1}{\alpha^2} (\sqrt{\alpha^2 + 1} - 1). \quad \varrho = \frac{\alpha^2 + 1}{4\alpha}.$$

α	$r = l \cdot \varrho$	$f = l(\varrho - \lambda)$	K	$\lambda = \frac{\sqrt{\alpha^2 + 1}}{4\alpha}$
$1/1$	1.0,5000	1.0,1464	0,6568	0,3536
$2/3$	1.0,5417	1.0,0910	0,3118	0,4507
$1/2$	1.0,6250	1.0,0660	0,1800	0,5590
$2/5$	1.0,7250	1.0,0528	0,1166	0,6732
$1/3$	1.0,8333	1.0,0427	0,0840	0,7906
$3/7$	1.0,9464	1.0,0364	0,0600	0,9100
$1/4$	1.1,0625	1.0,0317	0,0472	1,0308
$2/9$	1.1,1806	1.0,0282	0,0370	1,1524
$1/5$	1.1,3000	1.0,0252	0,0296	1,2748

Es ist also ersichtlich, daß die Anwendung solcher im ungebrochenen Kreissegmente gebogenen Dächer, welche im Scheitel eine scharnirartig nachgiebige Verbindung haben, schon einen großen Vortheil vor den geraden Dachformen aufweist, was besonders bei den gegenwärtig fast nur üblichen flacheren Dachneigungen stattfindet; andererseits werden diese Formen auch in schönheitlicher Hinsicht gewiß nicht nur keinem Anstand begegnen, sondern noch besonders bevorzugt erscheinen.

Mit Rücksicht auf allervortheilhafteste Construction

stellt sich jedoch ein anderes Princip für die Biegung der Sparren auf. Es liegt nämlich nahe, denjenigen Biegungspfeil aufzusuchen, für welchen im verticalen Scheitelschnitt, also wo $\varphi = 0$, $\sin \varphi = 0$ und $\cos \varphi = +1$ ist, das ganze Biegungsglied verschwindet. Setzen wir aus den Gleichungen III für die Bedingung $\sin \varphi = 0$ und $\cos \varphi = 1$ das Glied:

$$\left[v \left(\frac{s^2}{8} - \frac{r^2}{2} \sin^2 \varphi \right) + L(r - f - r \cos \varphi) \right]$$

gleich Null, so erhalten wir die Beziehung:

$$\frac{v s^2}{8} = Lf \text{ oder } f = \frac{v s^2}{8L}.$$

Es ist dies die Formel, welche auch für Gewölbe bestehen muß, wenn die Belastung gleichförmig über die Projection vertheilt ist; die Stützlinie, d. h. eine Linie, welche eine solche Richtung für die Fortpflanzung der Kräfte im Gewölbe angiebt, daß keine Biegungsspannungen entstehen, ist

$$\Delta = \frac{s_0}{\Theta} \left[Lr(1 - \cos \varphi) - \frac{v r^2}{2} \sin^2 \varphi \right] + \frac{1}{\omega} (L \cos \varphi + v r \sin^2 \varphi),$$

$$u = \frac{s_u}{\Theta} \left[Lr(1 - \cos \varphi) - \frac{v r^2}{2} \sin^2 \varphi \right] - \frac{1}{\omega} (L \cos \varphi + r v \sin^2 \varphi).$$

Diese Gleichungen enthalten jedoch noch r , welches direct von f abhängig ist. Man setze in

$$f = \frac{v s^2}{8L}$$

die Werthe der Gleichung (f) ein, wodurch

$$f = 1 \cdot \frac{\alpha}{8\sqrt{\alpha^2 + 1}}.$$

Es ist $r = \frac{s^2}{8f} + \frac{f}{2}$ und mit Hilfe des vorigen

$$r = \frac{1}{4} \left[\frac{(\alpha^2 + 1)\sqrt{\alpha^2 + 1}}{\alpha^4} + \frac{\alpha}{4\sqrt{\alpha^2 + 1}} \right].$$

Da die Bedingung $\sin \varphi = 0$ im vorliegenden Falle einem Minimum des Biegungsgliedes entspricht, so wird das Maximum dieses Gliedes sich ergeben für

$$\cos \varphi_{\max} = \cos \psi = \frac{L}{rv},$$

oder durch Einführung der bekannten Werthe für L , r und v aus der Gleichung (f)

$$\cos \psi = \frac{4(\alpha^2 + 1)^2}{4(\alpha^2 + 1)^2 + \alpha^2}.$$

$$(c) \quad \left\{ \begin{array}{l} \Delta = - \frac{s_0}{\Theta} \frac{gl^2}{32} \cdot \frac{\alpha^2}{16(\alpha^2 + 1)^2} + \frac{gl}{\omega} \cdot \frac{\sqrt{\alpha^2 + 1}}{4\alpha} \cdot \frac{1}{\cos \psi} \\ u = - \frac{s_u}{\Theta} \frac{gl^2}{32} \cdot \frac{\alpha^2}{16(\alpha^2 + 1)^2} - \frac{gl}{\omega} \cdot \frac{\sqrt{\alpha^2 + 1}}{4\alpha} \cdot \frac{1}{\cos \psi} \\ \cos \psi = \frac{4(\alpha^2 + 1)^2}{4(\alpha^2 + 1)^2 + \alpha^2} \end{array} \right.$$

in diesem Falle bekanntlich die Parabel. Wäre also jeder Sparren parabolisch — jeder mit dem Parabelscheitel über der Mitte, anstatt kreisförmig — gekrümmt bei Einhalten des soeben ermittelten Pfeils, so würde sich jener genau in ein Gewölbe verhalten, es würden keine Biegungsspannungen auftreten und man hätte die denkbar günstigste Inanspruchnahme. Da sich nun die Parabel in der Umgebung des Scheitels an den Kreis ziemlich gut anschließt, so werden die noch auftretenden Biegungsspannungen nicht allzu bedeuten sein, und die aus andern Gründen vorzuziehende kreisförmige Biegung wird annähernd die gleichen Dienste thun — Den Beweis dafür liefert die folgende Entwicklung.

Die Bedingung

$$f = \frac{v s^2}{8L}$$

kann man theilweise direct in die Gleichungen III einführen und erhält:

Die rechte Seite dieser Gleichung ist jederzeit ein ächter Bruch, nur für $\alpha = 0$ wird derselbe = 1; diese Gleichung ist also möglich und sie kennzeichnet die beiden zur Verticalen im Scheitel symmetrischen Radialschnitte, in welchen das Maximum der Biegungsspannungen zu suchen ist.

Aus der vorletzten Gleichung ergibt sich für r die bequeme Form:

$$r = \frac{L}{v \cdot \cos \psi}.$$

Führt man nunmehr diesen letzten Werth für r in die obigen Gleichungen für Δ und u ein, nachdem man dort den Winkel φ durch ψ ersetzt hat, so erhalten wir die Formeln:

$$\Delta = - \frac{s_0}{\Theta} \frac{L^2}{2v} \left(\frac{1}{\cos \psi} - 1 \right)^2 + \frac{L}{\omega} \frac{1}{\cos \psi}$$

$$u = - \frac{s_u}{\Theta} \frac{L^2}{2v} \left(\frac{1}{\cos \psi} - 1 \right)^2 - \frac{L}{\omega} \frac{1}{\cos \psi}.$$

Für L und v die Werthe aus den Gleichungen (f) und für $\cos \psi$ seinen obigen Ausdruck in α eingesetzt, jedoch in Belastung von $\cos \psi$ in den Sehnendruckgliedern der Uebersichtlichkeit wegen, erhalten wir endlich:

Dies sind nun die definitiven Gleichungen zur Bestimmung der Maximalspannungen in den nach der Bedingung $f = \frac{vs^2}{8L}$ gebogenen Trägern, insbesondere Dachsparren. Die folgenden Tabellen III^a und III^b mögen zum Verständniß und beim Projectiren solcher Träger dienlich sein.

Tabelle III^a.

$$\gamma = \frac{\alpha}{8\sqrt{\alpha^2 + 1}}, \quad \rho' = \frac{(\alpha^2 + 1)\sqrt{\alpha^2 + 1}}{4\alpha} \cdot \frac{1}{\cos \psi}, \quad \cos \psi = \frac{4(\alpha^2 + 1)^2}{4(\alpha^2 + 1)^2 + \alpha^2}$$

α	1 $f = 1.\gamma$	2 $r = 1.\rho'$	3 $\cos \psi$	4 $\frac{1}{\cos \psi}$	5 ψ	6 $\frac{f}{s}$
$\frac{1}{1}$	1.0,0884	1.0,7513	0,94118	1,0625	19° 45'	0,125
$\frac{2}{3}$	1.0,0693	1.0,6857	0,94944	1,0533	18° 19'	0,115
$\frac{1}{2}$	1.0,0559	1.0,7267	0,96154	1,0400	15° 57'	0,100
$\frac{2}{5}$	1.0,0465	1.0,8041	0,97113	1,0297	13° 48'	0,086
$\frac{1}{3}$	1.0,0395	1.0,8982	0,97800	1,0225	12° 3'	0,075
$\frac{2}{7}$	1.0,0344	1.1,0015	0,98285	1,0174	10° 38'	0,066
$\frac{1}{4}$	1.0,0303	1.1,1105	0,98635	1,0138	9° 29'	0,059
$\frac{2}{9}$	1.0,0271	1.1,2229	0,98891	1,0112	8° 32'	0,053
$\frac{1}{5}$	1.0,0245	1.1,3380	0,99084	1,0093	7° 45'	0,048

Tabelle III^b.

α	$\frac{\alpha^2}{(\alpha^2 + 1)^2}$	$\frac{\alpha^2}{16 \cdot (\alpha^2 + 1)^2}$	$\frac{\alpha^2}{32 \cdot 16 \cdot (\alpha^2 + 1)^2}$	$\frac{1}{4\alpha} \cdot \frac{1}{\cos \psi}$
$\frac{1}{1}$	0,2500	0,01563	0,000487	0,3757
$\frac{2}{3}$	0,2130	0,01331	0,000413	0,4747
$\frac{1}{2}$	0,1600	0,01000	0,000312	0,5814
$\frac{2}{5}$	0,1189	0,00743	0,000232	0,6932
$\frac{1}{3}$	0,0900	0,00563	0,000176	0,8084
$\frac{2}{7}$	0,0697	0,00436	0,000136	0,9259
$\frac{1}{4}$	0,0554	0,00346	0,000108	1,0451
$\frac{2}{9}$	0,0448	0,00280	0,0000875	1,1654
$\frac{1}{5}$	0,0370	0,00231	0,0000723	1,2865

Wir entnehmen aus der Vergleichung der Gleichungen (c) mit den Gleichungen (a), daß das Bieungsglied im gebogenen Sparren sich zu dem im geraden verhält wie

$$\frac{\alpha^2}{16(\alpha^2 + 1)^2} \text{ zu } 1,$$

aus der Columnne 2 der Tabelle III^b aber entnehmen wir, daß für die gewöhnlichen Dachformen der Werth von

$$\frac{\alpha^2}{16(\alpha^2 + 1)^2} \text{ zwischen } 0,01 \text{ und } 0,002 \text{ sich bewegt, daß das}$$

Bieungsglied im gebogenen Sparren somit nur den $\frac{1}{100}$ ten

bis $\frac{1}{500}$ ten Theil desjenigen beim geraden Sparren beträgt.

Die im voraus naheliegende Vermuthung, daß das Bieungsglied nur einen sehr kleinen Werth annehmen werde, findet sich sonach vollkommen bestätigt. Ferner zeigt der Vergleich der Glieder für die Tangentialdruckspannungen in denselben Gleichungen unter Zuhilfenahme der vierten Columnne der Tabelle III^a, daß diese Druckspannungen in beiden Fällen nahezu vollständig gleich sind; denn die Werthe in jener Columnne weichen außerordentlich wenig von 1 ab. — Die dargestellten Verhältnisse sprechen wohl entschieden genug für die nach dem Pfeile:

$$f = \frac{vs^2}{8L} = 1 \cdot \frac{\alpha}{8\sqrt{\alpha^2 + 1}},$$

oder dem Radius

$$r = \frac{1}{4} \left[\frac{(\alpha^2 + 1)\sqrt{\alpha^2 + 1}}{\alpha} + \frac{\alpha}{4\sqrt{\alpha^2 + 1}} \right]$$

gebogenen Dächer. Die Figg. 16 (Taf. 11) zeigen die verschiedenen hieraus resultirenden Dachformen vom $\frac{1}{2}$ Dach bis $\frac{1}{10}$ Dach; die durch den Winkel $\varphi_{\max} = \psi$ gekennzeichneten gefährlichen Radialschnitte sind überall durch kleine Querstriche vorgemerkt.

Diese Dachformen sind sämmtlich in der First gebrochene, spitzbogige, welche schönheitlich durchaus nichts anstößiges haben; im Gegentheile wirkt diese Form beim $\frac{1}{3}$ Dach ganz ansprechend; bei dem $\frac{1}{4}$ Dach und den flacheren Formen wird jedoch die Spitze schon nicht mehr bemerkt.

Die Vergleichung der Größe der Bieugungslieder beim ungebrochen kreisförmig gebildeten Dache mit dem nach unferem letzten Princip gebogenen wird am besten durch die folgende Nebeneinanderstellung der entsprechenden Coefficienten aus Tabelle II und III^b gegeben.

$$K = 2 \frac{\alpha^2 + 1}{\alpha} (\sqrt{\alpha^2 + 1} - 1).$$

	ungebrochen kreisförmig	nach $f = \frac{vs^2}{8L}$ gebogen
α	K	$\frac{\alpha^2}{16(\alpha^2 + 1)^2}$
$\frac{1}{1}$	0,6568	0,01563
$\frac{2}{3}$	0,3118	0,01831
$\frac{1}{2}$	0,1800	0,01000
$\frac{2}{5}$	0,1166	0,00743
$\frac{1}{3}$	0,0840	0,00563
$\frac{2}{7}$	0,0600	0,00436
$\frac{1}{4}$	0,0472	0,00346
$\frac{2}{9}$	0,0370	0,00280
$\frac{1}{5}$	0,0296	0,00231

Das Verhältniß bewegt sich zwischen rund 40:1 beim $\frac{1}{2}$ Dach bis 15:1 beim $\frac{1}{10}$ Dach. Die nach dem Gesetze $f = \frac{vs^2}{8L}$ gebogenen Sparrenformen sind also constructiv allen andern Formen entschieden vorzuziehen.

Die Biegung der eisernen, am besten I-förmigen Sparren im Walzwerke, sobald der Träger die letzte Walze verläßt, wird sich bei größerer Bestellung ohne alle Schwierigkeiten und Kosten exact herstellen lassen. Der Wegfall jeder weiteren Unterstüßungsconstruction gestattet jedoch eine außerordentliche Kostenersparniß, sowie die allergrößte Leichtigkeit für die Projectirung. Zu den Sparren tritt im Vinder von weiteren Constructionsgliedern nur die horizontale Zugstange, welche von Sparrenfuß zu Sparrenfuß geht, und die kurze und schwache verticale Hängestange, welche das Einschlagen jener verhindert. Auch in Rücksicht auf Schönheit wird der Anblick des gebogenen Daches von Innen mit seinen wenigen und gleichförmig gebogenen Linien günstiger wirken, als das Stangen- und Bändergewirre etwa eines Dachstuhl nach Polonceau u. s. w.

Als eine Hauptsache aber bleibt immer bei diesen Constructionen zu berücksichtigen, daß die Verbindung in der First ein wirkliches Scharnier oder scharnierartig sei, damit die Längsbrücke L wirklich die theoretisch berechneten

Größen annehmen. Die Verbindung am Sparrenfuße u leicht und wohlfeil durch einen gußeisernen Schuß herstellen sein.

Zur Vollständigkeit soll hier noch durch ein Beispiel Falls gedacht werden, wo man den Bieugungspfeil f verhältnißmäßig sehr groß werden läßt. Zum Beispiel sei

$$f = \frac{s}{3}, \text{ dann ist } r = \frac{f}{2} + \frac{s^2}{8f} = \frac{13}{24} s.$$

Man suche die gefährlichen Radialschnitte auf:

$$\cos \varphi_{\max} = \frac{L}{rv},$$

wobei zufolge den Gleichungen (f)

$$L = gl \cdot \frac{\sqrt{\alpha^2 + 1}}{4\alpha}, \quad v = \frac{g}{\alpha^2 + 1}, \quad s = l \cdot \frac{\sqrt{\alpha^2 + 1}}{2}$$

und hierdurch

$$\cos \varphi_{\max} = \frac{\alpha^2 + 1}{\alpha} \cdot \frac{12}{13} = \left(\alpha + \frac{1}{\alpha} \right) \frac{12}{13}.$$

Für alle Werthe von α zwischen $\frac{1}{1}$ und $\frac{1}{5}$ wird je die rechte Seite dieser Gleichung immer größer als 1, Gleichung ist also unmöglich. Das Maximum der Spannungen kann daher in vorliegendem Falle nur bei $\sin \varphi =$ also $\cos \varphi = +1$ gefunden werden. Die Gleichungen nehmen dann die Form an:

$$\sigma = \frac{s_0}{\Theta} \left(\frac{vs^2}{\Theta} - Lf \right) + \frac{L}{\omega},$$

$$u = \frac{s_u}{\Theta} \left(\frac{vs^2}{\Theta} - Lf \right) - \frac{L}{\omega},$$

oder:

$$\sigma = - \frac{s_0}{\Theta} \frac{gl^2}{32} \left(\frac{4}{3} \left(\alpha + \frac{1}{\alpha} \right) - 1 \right) + \frac{gl}{\omega} \cdot \frac{\sqrt{\alpha^2 + 1}}{4\alpha}$$

$$u = - \frac{s_u}{\Theta} \frac{gl^2}{32} \left(\frac{4}{3} \left(\alpha + \frac{1}{\alpha} \right) - 1 \right) - \frac{gl}{\omega} \cdot \frac{\sqrt{\alpha^2 + 1}}{4\alpha}$$

Die zweite Columnne der Tabelle IV zeigt, welche We

Tabelle IV.

α	$\left(\alpha + \frac{1}{\alpha} \right)$	$\frac{4}{3} \left(\alpha + \frac{1}{\alpha} \right) - 1$	$\frac{\sqrt{\alpha^2 + 1}}{4\alpha}$
$\frac{1}{1}$	2,0000	1,6666	0,3536
$\frac{2}{3}$	2,1666	1,8888	0,4507
$\frac{1}{2}$	2,5000	2,3333	0,5590
$\frac{2}{5}$	2,9000	2,8666	0,6732
$\frac{1}{3}$	3,3333	3,4444	0,7906
$\frac{2}{7}$	3,7857	4,0476	0,9100
$\frac{1}{4}$	4,2500	4,6666	1,0308
$\frac{2}{9}$	4,7222	5,2963	1,1524
$\frac{1}{5}$	5,2000	5,8333	1,2748

der nur von α abhängige Coefficient des Biegungsgliedes bei den verschiedenen Dächern annimmt; die letzte Columne giebt wieder den schon mehrfach gebrachten Werth λ .

Hiernach nimmt das Biegungsglied die 2 bis 6 fache Größe, wie bei dem geraden Sparren an. Bei dem $\frac{1}{3}$ Dache ($\alpha = \frac{2}{3}$, Fig. 18, Taf. 12), welches vielleicht eine in Rücksicht auf Schönheit recht gut verwendbare Form hat, beträgt das Biegungsglied noch nicht das doppelte, beim $\frac{1}{4}$ Dache ($\alpha = \frac{1}{2}$, Fig. 19, Taf. 12) erst das $2\frac{1}{2}$ fache desjenigen beim geraden Sparren. Ohne diese Formen für Sattel- oder Kuppeldächer gerade empfehlen zu wollen, bieten dieselben vielleicht unter gewissen Umständen eine geeignete und gefällige Lösung; und es hat deren constructive Ausführung, wie auch Berechnung keine weitere Schwierigkeit. Ueber dem Scheitel müßte zur Vermeidung von Schneeanstammungen noch ein besonderes kleines Dach (Fig. 19, Taf. 12) errichtet werden, dessen gesammttes Gewicht aber vertical im Scheitel-

punkte aufzunehmen ist; Aufruhpunkte nach den Seiten sollen dieses mittlere kleine Dach nur balanciren.

Constructiv sind diese Dächer im Vergleich mit den oben angegebenen rundbogigen und spitzbogigen Formen, wie gezeigt, nicht vortheilhaft, im Vergleich mit dem geradsparrigen Dache aber immerhin doch nicht so unvortheilhaft, daß deren Anwendung aus Schönheitsrücksichten nicht ausnahmsweise gestattet sein könnte.

Zum Schlusse sei noch bemerkt, daß die für die gebogenen Träger angegebenen Formeln auch leicht noch die Elasticitätsformeln für geschlossene Kreisringe ergeben, wenn man setzt $\Phi = 180^\circ$. Nehmen wir z. B. den Fall, wo ein gebogener Träger nur von einer einzigen Last N im Scheitel belastet ist, so lauten hierfür entsprechend den Bezeichnungen in Fig. 13, Taf. 11, und den Fundamentalformeln Seite 139 flgd. die Gleichungen:

$$\eta = \frac{\Theta}{\omega r} \cdot \frac{\frac{N}{2} \sin \varphi + L \cos \varphi}{\frac{N}{2} (\sin \Phi - \sin \varphi) + L (\cos \Phi - \cos \varphi)},$$

$$\Delta = \frac{s_o r}{\Theta} \left[\frac{N}{2} (\sin \Phi - \sin \varphi) + L (\cos \Phi - \cos \varphi) \right] + \frac{1}{\omega} \left(\frac{N}{2} \sin \varphi + L \cos \varphi \right),$$

$$u = \frac{s_u r}{\Theta} \left[\frac{N}{2} (\sin \Phi - \sin \varphi) + L (\cos \Phi - \cos \varphi) \right] - \frac{1}{\omega} \left(\frac{N}{2} \sin \varphi + L \cos \varphi \right),$$

und setzen wir $\Phi = 180^\circ$, sonach $\sin \Phi = 0$, $\cos \Phi = -1$, außerdem $L = 0$, so wird

$$\eta = - \frac{\Theta}{\omega r},$$

$$\Delta = - \left(\frac{s_o r}{\Theta} - \frac{1}{\omega} \right) \frac{N}{2} \sin \varphi,$$

$$u = - \left(\frac{s_u r}{\Theta} + \frac{1}{\omega} \right) \frac{N}{2} \sin \varphi.$$

In diesem Falle ist also die neutrale Linie ein zum Schwerpunktskreis concentrischer Kreis, dessen Radius um $\frac{\Theta}{\omega r}$ größer ist, als der Radius des Schwerpunktskreises. Für die Spannungen tritt das Maximum ein im horizontalen Radialschnitte, wo $\sin \varphi = 1$, also:

$$\Delta = - \left(\frac{s_o r}{\Theta} - \frac{1}{\omega} \right) \frac{N}{2},$$

$$u = - \left(\frac{s_u r}{\Theta} + \frac{1}{\omega} \right) \frac{N}{2}.$$

Den absolut größten Werth für $s_o = s_u$ erreicht die innere Druckspannung u , wie vorstehend ersichtlich. In ähnlicher Weise lassen sich auch für mehrere Kräfte oder für

gleichförmig vertheilte Last leicht die Formeln aufstellen. Wir wollen nur noch den letzten Fall behandeln. Aus den Gleichungen I, Seite 139, ergibt sich für uns sofort:

$$\eta = - 2 \frac{\Theta}{\omega r},$$

$$\Delta = - v r \sin^2 \varphi \left(\frac{1}{2} \frac{s_o r}{\Theta} - \frac{1}{\omega} \right),$$

$$u = - v r \sin^2 \varphi \left(\frac{1}{2} \frac{s_u r}{\Theta} + \frac{1}{\omega} \right).$$

Aus den Seite 139 flgd. gegebenen Hauptformeln lassen sich in dieser Weise bei Anwendung auf den geschlossenen Kreisring noch die verschiedensten interessanten Specialfälle ableiten, worauf wir jedoch hier verzichten.

Als wichtigstes Resultat vorstehender Untersuchung erlauben wir uns jedoch nochmals den Vorschlag, für eiserne Dächer in ausgedehntem Maße passend gebogene Sparren anstatt gerader in Anwendung zu bringen, hervorzuheben. Die Ausführung solcher Dächer bietet durchaus keine Schwierigkeiten, wird im Gegentheile eine außerordentlich einfache Construction an die Stelle complicirter setzen und endlich eine sehr ansehnliche Kostenersparniß ermöglichen.

Graphische Konstruktion der Schieberdiagramme bei Coulissensteuerungen.

Von

A. von Borries, Ingenieur in Berlin.

(Hierzu Tafel 13 und Fig. 14 bis 17 auf Taf. 14).

Bei der großen Verbreitung, welche die Coulissensteuerungen in Folge ihrer vorzüglichen Eigenschaften bei den Dampfmaschinen, besonders den Locomotiven, gefunden haben, erscheint es wünschenswerth, sich über die durch eine Coulisse hervorgebrachte Bewegung nicht nur möglichst ins Klare zu setzen, sondern auch den Einblick in die Sache auf möglichst einfachem Wege zu erlangen. Nachdem nun Herr Professor Zeuner durch sein ausgezeichnetes Werk „die Schiebersteuerungen“ Licht in die Sache gebracht, erübrigt es nur noch, durch einfachere Darstellung zu demselben Resultat zu gelangen.

Deshalb werde ich im Nachstehenden versuchen, die Coulissensteuerungen unter Vermeidung aller Rechnungen auf graphischem Wege zu untersuchen, wobei es sich besonders um die Konstruktion der Linie handelt, welche der geometrische Ort der Mittelpunkte der Schieberkreise ist, der sogen. Centracurve.

Um systematisch zu verfahren, lasse ich die von Herrn Professor Wiebe herrührende Ableitung des Zeuner'schen Diagrammes folgen.

I. Der Zeuner'sche Schieberkreis.

Im Folgenden wird vorausgesetzt, daß die Excenterstange AB (Fig. 1, Taf. 13) im Verhältniß zur Excentricität (Schieberturbel) OA sehr lang sei, so daß man die Bewegung des Endpunktes B derselben als eine reine Sinusbewegung auffassen kann, wie sie z. B. durch eine Kurbelschleife hervorgebracht werden würde. Dann ist die Entfernung des Punktes B aus seiner Mittelstellung, wenn sich die Kurbel OA um den Winkel α aus dem todtten Punkte gedreht hat:

$$x = \overline{OD} = \overline{OA} \cdot \cos \alpha.$$

Ist nun in Fig. 2, Taf. 13, BB₁ die Richtung der Schie-

berturbel für die todtten Punkte, $\overline{OB} = \overline{OB}_1 = r$ 1 Schieberturbelradius (Excentricität), so ist für eine beliebige Richtung OD der Schieberturbel die Ausweichung des Schiebers aus seiner Mittelstellung nach der obigen Gleichung:

$$x = \overline{OD} = \overline{OB} \cdot \cos \alpha,$$

mithin liegen die Punkte D, da der Winkel BDO stets 1 Rechter ist, auf einem über OB, resp. für den anderen To- punkt über OB₁ als Durchmesser beschriebenen Kreise. Den- man sich nun die Schieberturbel gedreht, so geben die in 1 Kurbelrichtung liegenden Sehnen OD die Ausweichung 1 Schiebers aus seiner Mittelstellung.

Ist ferner d die äußere, i die innere Deckung des Schiebers, so ist für die Ausweichung x desselben aus seiner Mittelstellung,

$$\text{die äußere Eintrittsöffnung } a_1 = x - d,$$

$$\text{die innere Austrittsöffnung } a_2 = x - i.$$

Beschreibt man also in Fig. 2 mit den Deckungen und i als Radien Kreise um O, so schneiden diese auf 1 Sehnen OD die wirklichen Schieberöffnungen

$$a_1 = \overline{CD} \text{ und } a_2 = \overline{FD} \text{ ab,}$$

deren, durch die Canalbreite a beschränkte Größe man durch zwei Kreise um O mit den Radien $a + d$ und $a + i$ darstellt.

Man will nun aber aus dem Diagramme die Schieberöffnungen für bestimmte Stellungen der Dampfturbel O (Fig. 3, Taf. 13) wissen. Ist δ der Voreilungswinkel 1 Schieberturbel, so hat die Dampfturbel von ihrem todtten Punkte aus einen Winkel $\angle AOA' = 90 - \delta$ zu durchlaufen, ehe die Schieberturbel OB in den Todtpunkt gelangt, die Todtstellung der Dampfturbel in dem Diagramme (Fig. Taf. 13) ist mithin die Richtung OA, wenn Winkel $\angle AOB = 90 - \delta$ gemacht wird. Denkt man sich nun die Damp-

kurbel gedreht, so schneiden die Kreise des Diagrammes auf den Richtungen derselben die entsprechenden Schieberöffnungen ab, wie vorher auf der Schieberkurbel. Zieht man in O zu OA die senkrechte Richtung OY, so bildet OB mit dieser einen Winkel ε gleich dem Voreilungswinkel δ . Um aus dem Diagramme direct die Lagen der Dampf- und Schieberkurbel gegen einander zu erhalten, braucht man nur A₁O als Dampfkurbel, OB als Schieberkurbel zu betrachten.

Im Uebrigen ist das Diagramm ja zu bekannt, als daß ich noch Worte darüber verlieren dürfte.

II. Reductionen.

Im Vorigen wurde stillschweigend vorausgesetzt, daß die mittlere Lage der Excenterstange, ebenso wie die des Cylinders, eine horizontale sei, was nicht immer der Fall ist. Bildet die mittlere Lage der Excenterstange (Fig. 5, Taf. 13) mit der Cylindrachse einen Winkel β , welcher der Drehungsrichtung der Kurbel $\left\{ \begin{array}{l} \text{entgegengesetzt} \\ \text{gleichgerichtet} \end{array} \right\}$ ist, so langt die Schieberkurbel um den Winkel β $\left\{ \begin{array}{l} \text{eher} \\ \text{später} \end{array} \right\}$ in ihrem Todtpunkte an.

Man kann also die schiefe Richtung der Excenterstangen dadurch auf die Horizontale reduciren, daß man die Schieberkurbel um den Winkel $\left\{ \begin{array}{l} \text{vorstellt} \\ \text{zurückstellt} \end{array} \right\}$ d. h. im Diagramme (Fig. 4, Taf. 13) den Winkel $\varepsilon = \delta \pm \beta$ macht.

Bewegt sich der Endpunkt b der Excenterstange (Fig. 5, Taf. 13) nicht in der Richtung nach O zu, sondern in einer Geraden unter dem Winkel γ zu dieser Richtung, so macht derselbe Bewegungen, deren Projectionen auf die mittlere Richtung ob die oben angegebenen sind. Um also diese Bewegung des Punktes b auf eine solche in der Stangenrichtung ob zu reduciren, hat man im Diagramme (Fig. 4) nur eine Kurbellänge $\overline{OB} = r \cdot \frac{1}{\cos \gamma}$ als Durchmesser des Schiebertreises zu benutzen. Graphisch findet man diese Kurbellänge als Hypotenuse eines rechtwinkligen Dreiecks, in welchem diese und der effective Kurbelradius r den Winkel γ einschließen.

Greift der Punkt b an einem Hebel an, der mit einem anderen Punkte c die Schieberstange führt und sich um den Punkt c dreht, so sind die Bewegungen der Punkte b und c ähnlich; um also die Bewegung des Punktes c, also des Schiebers direct durch eine Kurbel hervorzubringen, hat man derselben die Länge $r \cdot \frac{ce}{cb}$ zu geben.

III. Bedingungen der Richtigkeit einer Coulissensteuerung.

Damit eine richtige Dampfvertheilung bei jeder Lage der Coulisse (der Ausdruck „Lage“ bezieht sich hier stets auf die Höhenstellung der Coulisse oder des Steines), oder des Steuerhändels, stattfindet, ist nothwendig, daß die Eröffnung der Dampfcanäle zu beiden Seiten des Kolbens genau symmetrisch erfolge. Dazu ist wieder nöthig, daß:

1) Ueberhaupt dem Schieber eine Bewegung erteilt werde, die nach beiden Seiten symmetrisch zu einem festen Punkte erfolgt.

2) Daß dieser Schwingungsmittelpunkt für jede Lage der Coulisse oder des Gleitsteines derselbe sei.

Da sich der Schieber in der Regel ebenso, mindestens aber ähnlich bewegt, wie der ihn führende Punkt der Coulisse, so muß nach der ersten Bedingung jeder der führenden Punkte eine Bewegung erhalten, die nach beiden Seiten symmetrisch zu einem festen Schwingungsmittelpunkte, nämlich der Mittelstellung dieses Punktes ist.

Wenn die ganze Coulisse, also, wie später bewiesen wird, alle führenden Punkte in ihrer Mittelstellung sich befinden, so gilt dies auch vom Schieber. Diese Stellung der Coulisse, die in Wirklichkeit niemals eintritt, kann man, wie später ersichtlich, dadurch hervorbringen, daß man die beiden Excentermittelpunkte nach der Achse O verlegt denkt. Nach der zweiten Bedingung muß man dann die Coulisse, resp. den Stein, heben und senken können, ohne daß eine Verrückung erfolgt. Die zweite Bedingung bezieht sich demnach lediglich auf die Form der Coulisse.

IV. Methode der Untersuchung.

Die Methode, nach der ich die Coulissensteuerungen von Stephenson, Gooch und Allan im Folgenden untersuchen werde, besteht einfach darin, daß man den Mittelpunkt eines Excenters festhält und dann die relative Bewegung des Schiebers gegen die nun ebenfalls bewegte Schieberfläche untersucht, was nach folgendem Satze geschieht:

Sind ob₁ und ob₂, Fig. 6, Taf. 13, zwei Kurbeln, die zwei Flächen 1 und 2 mittelst sehr langer Schubstangen gegen einander bewegen, so erhält man die relative Bewegung der Fläche 1 gegen 2, indem man den Punkt b₂ festgehalten denkt. Diese relative Bewegung ist demnach diejenige, welche eine Kurbel $\overline{b_2b_1}$ hervorbringen würde, die man, der Uebersichtlichkeit halber, nun wieder in derselben Richtung im Drehpunkt o angebracht denken kann.

Die relative Bewegung der Fläche 1 gegen 2 wird demnach auch durch eine Kurbel ob hervorgebracht, die man

durch Construction eines Parallelogramms findet, in welchem ob_2 und ob Seiten, ob_1 Diagonale ist.

Bei der Untersuchung der Coulissenbewegung denkt man sich nun zunächst in jeder Lage die schiefe Richtung der Excenterstangen auf die horizontale reducirt und verfährt dann wie oben gesagt unter Benutzung des Parallelogramms.

V. Betrachtung einer Coulissensteuerung der allgemeinsten Art.

Eine Coulissensteuerung der allgemeinsten Art ist offenbar diejenige, bei welcher der Stein d (Fig. 7, Taf. 13) nach einem bestimmten Gesetze gehoben wird, wenn man die Coulisse gleichförmig senkt und umgekehrt. Es stelle nun Fig. 7 eine solche Steuerung dar und zwar sei der zweiten Bedingung durch die Form der Coulisse Genüge geleistet. Ferner sei die Aufhängung der Coulisse c_1, c_2 derart beschaffen, daß der führende Punkt sich in horizontaler Richtung, ebenso wie der Stein d bewege (was in Wirklichkeit nur in der Mittellage genau zutreffen wird).

Reduction der Kurbellänge. Ist 2γ der Winkel, den die mittleren Richtungen der Excenterstangen mit einander bilden, so sind die mittleren Bewegungsrichtungen der Punkte c_1 und c_2 Gerade, deren Richtungen von den mittleren Stangenrichtungen um den Winkel γ abweichen, wie leicht ersichtlich; demnach hat man für die Bewegung der Endpunkte c_1 und c_2 eine reducirte Kurbellänge $= \frac{r}{\cos \gamma}$ in Anschlag zu bringen. Sind also $ob_1 = ob_2 = r$ (Fig. 8, Taf. 13) die Schieberkurven, deren Voreilungswinkel δ ist, so trägt man in o an ob_1 den Winkel γ an, zieht in b_1 eine Normale zu ob_1 , so erhält man durch den Schnittpunkt b die reducirte Kurbellänge $ob = \frac{r}{\cos \gamma}$.

Reduction der Voreilung. Bei verschiedenen Lagen der Coulisse haben die mittleren Richtungen der Excenterstangen oc_1 und oc_2 verschiedene Neigungswinkel β' und β gegen die Horizontale; reducirt man darnach die Voreilung, wie oben beschrieben, so ist ersichtlich, daß die Winkel β' und β bei offenen Stangen als den Voreilungswinkel δ vermehrend, bei gekreuzten Stangen als denselben vermindernd auftreten.

Nach Vollendung beider Reductionen hat man also für eine bestimmte Lage der Coulisse (Fig. 7, Taf. 13) die Schieberkurven ob_1' und ob_2' (Fig. 8), deren Länge $= \frac{r}{\cos \gamma}$ und deren Voreilungswinkel $\delta \pm \beta'$ und $\delta \pm \beta$ sind, welche die Endpunkte c_1 und c_2 der Coulisse bewegen.

Construction des Diagrammes. Denkt man sich nun den Punkt b_2' festgehalten, so wird jetzt die Schieberfläche durch eine Kurbel OL (Fig. 9, Taf. 13) $= b_2'o$

(Fig. 8) unter dem Voreilungswinkel $LOY = -(\delta - \beta)$ der Schieber dagegen durch den Punkt b_1' also durch ein Kurbel OM (Fig. 9, Taf. 13) $= b_1'o$ (Fig. 8, Taf. 13) unter dem Voreilungswinkel $MOY = -(\beta - \gamma)$ wie aus Fig. 8 ersichtlich, bewegt. Da aber jetzt der Punkt c_2 der Coulisse feststeht, so wirkt dieselbe nur als Hebel und verkleinert die Bewegung der Kurbel OM , ehe dieselbe bis zum Schieber gelangt im Verhältnisse $\frac{c_2 d}{c_1 c_2}$. Um also die

Bewegung des Schiebers (oder des Punktes d) direct durch eine Kurbel ON dargestellt zu erhalten, hat man deren Länge $ON = OM \cdot \frac{c_2 d}{c_1 c_2}$ zu machen.

Die relative Bewegung des Schiebers gegen die Fläche wird dann nach IV durch eine Kurbel OB dargestellt, welche Seite eines Parallelogrammes ist, dessen andere Seite OL und dessen Diagonale ON ist. Die Gerade OB ist somit der Durchmesser des Schiebertreises für die betreffende Lage der Coulisse. Die erste der unter III besprochenen Bedingungen für eine richtige Steuerung ist also erfüllt.

In der Figur 9 ist ferner ersichtlich, daß Winkel $LOM = \delta \pm \gamma$ und daß das Dreieck OLM gleichschenkelig ist. Für die folgenden Anwendungen ist es gut, die Allgemeinheit der betrachteten Steuerung noch dahin zu beschränken, daß in der mittleren Lage der Coulisse sich auch der Stein d in der Mitte der letzteren befinde, und daß die Bewegung des Steines gegen die Coulisse symmetrisch nach oben und unten erfolge. Dann ist die Curve, auf der die Punkte B liegen zu OA symmetrisch, ihre Construction folgende:

1) Vorbereitungsconstruction. Ist δ der Voreilungswinkel, r die Excentricität, so mache man (Fig. 10, Taf. 13) den Winkel $YOC = \delta$, $OC = r$, trage in O an OC den Winkel γ , bei offenen Stangen noch OA_1 zu, bei gekreuzten Stangen nach OY zu, ab, errichte in C ein Normale zu CO , so giebt der Schnittpunkt L_0 beider Richtungen die reducirte Kurbel $OL_0 = OL$ und zwar gleich in ihrer Richtung für die mittlere Lage der Coulisse, d. h. Winkel $L_0 OY = \delta \pm \gamma$ ist. Beschreibt man dann um L_0 einen Bogen mit $L_0 O$ als Radius, so schneidet dieser auf OY die andere Kurbel OM_0 , ebenfalls in ihrer Richtung für die mittlere Lage der Coulisse, ab.

2) Hauptconstruction. Für eine beliebige Coulissenlage (Fig. 7, Taf. 13) trage man dann den Neigungswinkel β in derselben Richtung, wie vorher γ an OC an, mache die Kurbellänge $OL = OL_0$; zu dieser Kurbel findet man die entsprechende Kurbel $OM = OM_0$, indem man von L mit LO als Radius einen Bogen beschreibt, der den Kreis um O mit OM_0 als Radius, in dem Punkte M schneidet. Theilt man dann graphisch OM im Verhältniß

$\frac{ON}{OM} = \frac{c_2 d}{c_1 c_2}$ und zeichnet das Parallelogramm O L N B so ist OB der Durchmesser des Schiebertreises für diese Coulißenlage.

Auf diese Weise kann man die Curve der Punkte B, die wohl als „Durchmessercurve“ der Schiebertreise zu bezeichnen ist, punktweise ermitteln. Die Halbierungspunkte der Geraden OB geben die „Centralcurve“ der Schiebertreise.

Wenn man sich die Durchmessercurve durch das Parallelogramm als Mechanismus erzeugt denkt, so daß sich der Punkt A längs OM bewegt, unter gleichzeitiger Drehung von OM und OL um O, so sieht man leicht aus der Richtung der Drehung, daß die Durchmessercurve nach O hin bei offenen Stangen concav, bei gekreuzten Stangen convex sein muß; denn, wenn keine Drehung stattfände, so wäre es eine Gerade. Für die Mittellage der Couliße fällt der Punkt B nach B₀ in OA; bliebe nun der Winkel β constant = γ , so würde der Punkt N sich bei weiterer Hebung oder Senkung der Couliße auf OM₀ bewegen. Die in diesem Falle als Durchmessercurve auftretende Gerade ist mithin Tangente in B₀ an die wirkliche Durchmessercurve und normal zu OA.

Denkt man sich für irgend eine Coulißenlage das ganze Parallelogramm um O um den Winkel $\beta - \gamma$ gedreht, so daß OM nach OY fällt, so gelangt der Punkt B nach B' in die Tangente der Durchmessercurve in B₀. Will man also rückwärts für einen Punkt B der Durchmessercurve die zugehörige Coulißenlage haben, so beschreibt man um O mit OB als Radius einen Bogen, der die Normale in B₀ auf OA in B' schneidet; dann ist Winkel B'OB = $\beta - \gamma$, mittelst dessen man die Richtungen von OL und OM, sowie durch Vollenbung des Parallelogrammes den Punkt N finden kann. Ist ferner N₀ der Halbierungspunkt von OM, der Mittellage der Couliße entsprechend, so ist ersichtlich, daß auch $N_0 N = B_2 B'$ sein muß, woraus sich ebenfalls der Punkt N, also auch die Lage des Steines in der Couliße ergibt.

Endlich geht aus dem Diagramme noch hervor, daß die Couliße in ihrer gesenkten Lage bei offenen Stangen dem Vorwärtsgange, bei gekreuzten Stangen dem Rückwärtsgange einer Locomotive entspricht.

Die Form der Couliße. Nachdem im Vorigen gezeigt worden, daß der ersten Bedingung Genüge geschehen ist, bleibt nun noch nach der zweiten Bedingung die Form der Couliße so zu bestimmen, daß man dieselbe in ihrer Mittellage heben oder senken kann, ohne daß der Schieber aus seiner Mittellage weicht. Da der Ausdruck Mittellage sich hier insbesondere auf den jeweilig führenden Punkt der Couliße bezieht, so fragt es sich zunächst, ob denn überhaupt alle Punkte der Couliße sich gleichzeitig in der Mittellage befinden können, und wie diese letztere hervorzubringen ist.

Läßt man im Diagramme (Fig. 10, Taf. 13) die Ex-

centricität XX.

centricität r immer kleiner werden, so sieht man leicht, daß die Punkte B immer mehr nach O, dem Punkte welcher dem Schwingungsmittelpunkte, d. h. der Mittellage des betreffenden Punktes der Couliße entspricht, heranrücken. In dem Momente, wo $r = 0$ wird, ist O der Ort aller Punkte B geworden, d. h. sämtliche Punkte der Couliße befinden sich zugleich in ihrer Mittellage. Um also diese Mittellage hervorzubringen, braucht man sich nur die Mittelpunkte b₁ und b₂ der Excenter nach O hin verlegt zu denken.

Die Form der Couliße ist dann so zu bestimmen, daß man in dieser Stellung die Couliße heben und senken kann, ohne daß dadurch der Schieber bewegt werde. Wie dies in den einzelnen Fällen zu machen ist, wird unten gezeigt.

VI. Coulißensteuerung von Stephenson.

Bei der Coulißensteuerung von Stephenson (Fig. 11, Taf. 13) wird, wie bekannt, nur die Couliße gehoben und gesenkt, nicht aber der Stein.

Hinsichtlich der Construction der Durchmessercurve ist genau wie oben in V zu verfahren; da indeß nach Zeuner diese Curve eine Parabel, jedenfalls aber flach gekrümmt ist und durch eine Parabel ersetzt werden kann, so hat man nur die drei Punkte B₁ B₀ B₂ (Fig. 13, Taf. 14) derselben aufzusuchen, für die höchste, mittlere und tiefste Lage der Couliße, von denen der erstere B₁ und letztere B₂ überdies symmetrisch zu OA liegen. Nach diesen drei Punkten ist die Parabel zu zeichnen.

Die Lage der Couliße für irgend einen Punkt B, der Durchmessercurve findet man, indem man in B₀ die Tangente normal zu OA zieht, $OB_1' = OB_1$ macht, wo dann nach dem Vorigen B₀ B_{1'} der Hebung oder Senkung der Couliße aus ihrer Mittellage proportional ist, so daß, wenn d₀ der Mittelpunkt der Couliße ist, sich $\frac{B_1' B_0}{OM} = \frac{d_1 d_0}{c_1 c_2}$ verhält,

welche Proportion leicht graphisch darzustellen ist, da OM und c₁ c₂ constante Größen sind. Hiernach kann man die Coulißenlage für jeden Expansionsgrad ermitteln.

Bei der Construction einer neuen Steuerung sind meistens aus anderen Rücksichten bekannt: die Schiebertreise über OB₁ und OB₂ für die höchste und tiefste Lage der Couliße, die Hebung und Senkung derselben aus ihrer Mittellage für diese Lagen $d_1 d_0$ und $d_2 d_0$, ihre Längen c₁ c₂, der Winkel 2γ , die Werthe des Winkels β für die höchste und tiefste Lage der Couliße β_1 und β_2 , dann ob offene oder gekreuzte Stangen zu verwenden sind. Um dann die Excentricität und den Voreilungswinkel δ zu finden verfährt man wie folgt:

Man trägt den Winkel $\beta_1 - \gamma$, bei offenen Stangen nach OA, bei gekreuzten nach OY hin, in O an OB₁ an,

macht in dieser Richtung $\overline{OB_1'} = \overline{OB_1}$, so ist die Normale aus B_1' auf OA nach dem Vorigen die Tangente der Durchmessercurve in B_0 , mithin auch diese als Parabel gegeben. Derfelbe Winkel $\beta_2 - \gamma$ in entgegengesetzter Drehungsrichtung in O an OY angetragen, giebt die Richtung der Kurbel OM_1 , deren Länge nach der obigen Proportion und da

$$\overline{B_1'B_2'} = 2 \cdot \overline{B_1'B_0}, \quad \overline{OM} = \overline{B_1'B_2'} \cdot \frac{d_1 d_2}{c_1 c_2} \text{ ist.}$$

Macht man dann $\overline{ON_0} = \frac{1}{2} \overline{OM}$ und vollendet das Parallelogramm $B_0 ON_0 L_0$, trägt den Winkel γ in O an OL_0 , bei offenen Stangen nach OY , bei gekreuzten nach OA_1 hin, an, und fällt von L_0 eine Normale $L_0 C$ auf diese Richtung, so ist $OC = r$ die Excentricität, Winkel $COY = \delta$ der Voreilungswinkel. Ebenso gut kann man die Durchmessercurve annehmen, und sich den Winkel $\beta_1 - \gamma$, sowie γ aus den gegebenen Verhältnissen aussuchen.

Was die Form der Coulisse anlangt, so ist leicht zu erkennen, daß dieselbe nach einem Kreisbogen gekrümmt sein muß, dessen Radius gleich der Länge einer Excenterstange ist. Denn, denkt man sich die Mittelpunkte der Excenter nach O verlegt, so kann man alsdann die Coulisse heben und senken, ohne daß sich der Schieber aus seiner Mittelstellung bewegt.

VII. Coulissensteuerung von Gooch.

Bei dieser Steuerung (Fig. 12, Taf. 13) wird nicht die Coulisse, sondern nur die Verbindungsstange de mit dem Steine d gehoben und gesenkt; der Winkel β ist mithin constant, und zwar $\beta = \gamma$. Macht man also die Vorbereitungsconstruction (Fig. 14, Taf. 14) wie oben beschrieben, so fällt die Kurbel OL stets auf OL_0 , OM auf OY , mithin ist, da sich der Punkt N auf der Geraden OY bewegt, auch die Durchmessercurve $B_1 B_0 B_2$ eine Gerade, normal zu OA . Der Schieber hat in dieser Steuerung also für jede Lage der Coulisse constantes lineares Voreilen, eine Eigenschaft, die von Vielen sehr geschätzt wird.

Da für einen Punkt B_1 der Durchmessergeraden die Länge $\overline{B_0 B_1}$ nach dem Vorigen der Hebung oder Senkung des Steines aus seiner Mittellage proportional ist, so kann man leicht die Stellung desselben für jeden Expansionsgrad finden.

Liegt der Punkt L_1' auf der Verlängerung der Durchmessergeraden so, daß $\overline{OL_1'} = \overline{OL}$ ist, so entspräche L_1' der Stellung des Steines in c_1 , dem höchsten Punkte der Coulisse. Da dann $\frac{\overline{B_1 B_0}}{\overline{B_0 L_1'}} = \frac{\overline{N_1 N_0}}{\overline{N_0 M}} = \frac{\overline{d_0 d_1}}{\overline{d_0 c_1}}$ und der

Winkel $YOL_1' = \delta \pm \gamma$, je nachdem offene oder gekreuzte Stangen angewandt sind, so kann man aus dem gegebenen Diagramme Excentricität und Voreilung einer neu zu konstruierenden Steuerung leicht finden, indem man $\overline{B_0 L_1'} =$

$\overline{B_1 B_0} \cdot \frac{c_1 c_2}{d_1 d_2}$ macht, den Winkel γ in O an OL_1' , bei offenen Stangen nach OY zu, bei gekreuzten nach OA zu anträgt, von L_1' eine Normale $L_1' C_1$ zu dieser Richtung zieht und dadurch die Excentricität $\overline{OC'} = r$, den Voreilungswinkel $COY = \delta$ erhält.

Was die Form der Coulisse anlangt, so beschreibt der Stein wenn man den Schieber festgehalten denkt und die Stange hebt und senkt, einen Kreisbogen um den Punkt e ; die Coulisse muß also nach einem Kreisbogen gekrümmt sein, dessen Radius gleich der Länge der Verbindungsstange de ist.

VIII. Coulissensteuerung von Allan.

Bei der Allan'schen Steuerung (Fig. 15, Taf. 14) wird die Coulisse gehoben und gleichzeitig der Stein in der Weise gesenkt, daß die Form der Coulisse eine Gerade sein muß, welcher Umstand bei der Anwendung der zweiten Bedingung auf diese Steuerung näher besprochen werden wird.

Hinsichtlich der Konstruktion des Diagrammes ist genau so zu verfahren, wie oben bei der Stephenson'schen Steuerung beschrieben wurde, wie überhaupt Alles, was dort gesagt wurde, wörtlich auch hier gilt. Die Konstruktion des Diagrammes ist aber nicht möglich, so lange man nicht für jede Stellung des Steines in der Coulisse den entsprechende Winkel $\beta - \gamma$ finden kann, d. h. so lange man nicht weiß, wie tief die Coulisse gesenkt und der Stein gehoben worden ist.

Da die Form der Coulisse als Gerade angenommen wurde, so wird die zweite Bedingung aus III dazu dienen über die Lagenveränderungen der Coulisse und des Steines Licht zu verbreiten. Denkt man sich die Coulisse dadurch in ihre Mittelstellung gebracht, daß man die Excentermittelpunkte nach O verlegt und dann den erhaltenen Mechanismus dahingehend abgeändert, daß die Coulisse festliegt und sich, statt der Senkung derselben, die Mittellinie Oe der Steuerung mit Schieber u. s. w. um O dreht, so kommt es nur darauf an, daß die Entfernung \overline{Oe} (Fig. 16, Taf. 14) constant bleibt, dann der Schieber nicht aus seiner Mittelstellung kommt. Ist also d irgend eine Lage des Steines in der Coulisse, so findet man die Lage des Punktes e für die Steinstellung d als Schnittpunkt zweier Kreisbögen um d und O mit den Radien $\overline{de} = \overline{d_0 e_0}$ und $\overline{Oe} = \overline{Oe_0}$. Dann ist Winkel $d_0 Oe = \beta - \gamma$, also kann man nun das Diagramm zeichnen.

Ist f der Schnittpunkt der Richtungen de und Oe , so würde sich der Punkt d genau längs der Coulisse bewegen, wenn die Stange de gezwungen würde, stets durch denselben Punkt f zu gehen, wo dann \overline{Oe} als Gegenlenker fungirt, denn in diesem Falle hätte man für den Punkt d eine Cuspidal Geradföhrung. Bewegt man also den Stein d der Coulisse, so wird auch umgekehrt der Schnittpunkt f

Oe festliegen, wenigstens innerhalb der vorkommenden praktischen Grenzen. Bei Betrachtung dieses Hebelmechanismus findet sich dann, wenn g der Schnittpunkt der Richtung Oe mit der Coulisse ist, daß die Entfernungen $\overline{d_0 g}$ und $\overline{g d}$, also auch die Abstände der Punkte d_0 und d von der Mittellinie Oe einander proportional sind; diese Abstände sind aber die Höhen, um welche die Coulisse gesenkt, der Stein gehoben werden müßte, um diese Lage der Steuerung bei fester Mittellinie Oe hervorzubringen. Es ergibt sich also, daß, wenn die Coulisse gleichförmig gehoben oder gesenkt wird, der Stein auch gleichförmig gesenkt und gehoben werden muß, daß also die gebräuchliche Aufhängungsmethode der Coulisse und Verbindungsstange richtig ist.

Für jeden Expansionsgrad ergibt sich die Stellung des Steines in der Coulisse aus dem Diagramme, indem die Länge $\overline{B_0 B'}$ in Fig. 10, Taf. 13, der Entfernung des Steines von der Mitte d_0 der Coulisse nach dem Früheren proportional ist. Um dann die wirkliche Stellung von Coulisse und Stein zu finden, zieht man die Gerade df , wo der Punkt f für die Endlage von d in der angegebenen Weise gefunden wurde, erhält dadurch auf df den Punkt e und Oe als Mittellinie der ganzen Steuerung. (Fig. 16.)

Ist ferner h der Punkt der Verbindungsstange, in welchem dieselbe aufgehängt ist, und verbindet man h mit d_0 , so muß die Achse der Steuerwelle jedenfalls normal auf Oe über dem Schnittpunkt m von Oe und $d_0 h$ liegen. Die Hebelarme an der Steuerwelle, an welcher Coulisse und Stange aufgehängt sind, verhalten sich wie die Abstände der Punkte d_0 und h von Oe, oder wie $d_0 m : m h$; ihre Längen wählt man meistens etwas kleiner, als $d_0 m$ und $m h$.

Für vorstehende Konstruktionen wählt man am besten die eine Endlage des Punktes d in der Coulisse, da für alle Lagen zwischen drei genau richtigen Punkten weniger leicht Abweichungen vorkommen, wie für Lagen über diese Punkte hinaus.

IX. Neue Coulissensteuerung mit gerader Coulisse und constantem Voreilen.

Zum Schluß theile ich hier noch eine neue, von mir erfundene Steuerung mit, die sich für Locomotiven mit außen über den Cylindern liegenden Schieberkästen, sowie in umgekehrter Anordnung für eine gewisse Gattung englischer Güterzugmaschinen mit inneren Cylindern eignet.

Maschinen mit äußerer, schrägliegender Steuerung zeigen mitunter einen äußerst unregelmäßigen Dampfschlag, was ganz einfach daher rührt, daß die mittlere Stellung des Schiebers, bei verschiedener Durchbiegung der Triebachse, eine verschiedene ist. Erfahrungsmäßig ist aber ein unregelmäßiger Dampfschlag, besonders bei geringeren Füllungsgraden ökonomisch nachtheilig. Es kam mir also darauf an, eine Steuer-

ung zu construiren, bei der der Mittelpunkt der Coulisse in der Höhe der Triebachse läge, und die nebenbei eine gerade Coulisse hätte, um die Allan'sche Steuerung zu erzeugen. Diese Bedingungen führten mich auf folgende Lösung:

Die gerade Coulisse c, c_2 (Fig. 17, Taf. 14) wird weder gehoben, noch gesenkt, sondern nur der Stein d . Denkt man sich also die Coulisse in ihre mittlere Stellung gebracht, indem man die Excentermittelpunkte nach O verlegt, so steht dieselbe vertical; wenn man nun den Stein hebt und senkt, so muß der Mechanismus so beschaffen sein, daß der Stein, bei in der Mittelstellung festgehaltenem Schieber, genau der Coulisse folgt; denn dann kann der Schieber nicht aus seiner Mittelstellung heraus, man mag den Stein heben oder senken. Der Mechanismus braucht also nur eine Gelenkgeradföhrung zu sein, von denen ich die Lemniscoidenföhrung benutze.

An der Steuerwelle f befindet sich ein Hebel fg , der im Gelenk g einen Balancierarm gh trägt, welcher in dem Gelenk d den Stein hält, und dessen oberes Ende h mit der Schieberstange durch die Verbindungsstange he verbunden ist. Die Bewegung des Steines d , welche genau wie bei der Gooch'schen Steuerung erfolgt, da die Coulisse weder gehoben noch gesenkt wird, vergrößert dann der Arm gh noch

im Verhältnisse $\frac{gh}{gd}$. Um das Diagramm zu erhalten, hat man also nur die Durchmesser OB (Fig. 14, Taf. 14) der Gooch'schen Steuerung mit $\frac{gh}{gd}$ zu multipliciren, so daß die erhaltene Durchmessercurve eine Gerade im Abstand $\overline{OB_0} \cdot \frac{gh}{gd}$ von OY wird.

Will man eine neue Steuerung aus den gegebenen Schieberfreisen construiren, so multiplicirt man die Durchmesser OB derselben mit dem Verhältnisse $\frac{gd}{gh}$ und verfährt dann wie bei der Gooch'schen Steuerung.

Damit auch die zweite Bedingung erfüllt sei, ist nöthig, daß sich der Punkt d für die Mittelstellung des Schiebers auf einer verticalen Geraden bewege; dies geschieht, wenn die Längen fg, he, hd, dg in einem bestimmten Verhältnisse stehen, welches näherungsweise $\frac{fg}{he} = \frac{hd}{dg}$ ist, und wenn

bei Hebung und Senkung des Steines d die Stangen fg und he gleichzeitig in die horizontale Lage gelangen. Daß die horizontale Lage dieser Stangen der Mittelstellung des Steines in der Coulisse entspreche, ist nicht erforderlich, vielmehr würde ich rathen, die Anordnung so zu treffen, daß die Stangen bei $\frac{3}{4}$ Füllung vorwärts horizontal zu liegen kommen.

Zu näheren Mittheilungen über diese Steuerung bin ich jederzeit bereit.

Theorie, Berechnung und Construction der schiefgewölbten Brücken

Fortsetzung der Abhandlungen im Band XIV, XVI, XVIII und XIX.

Von

Dr. F. Heinzerling,

Kgl. Bau Rath und Professor a. d. Kgl. polytechnischen Schule zu Aachen.

Mit zwei durchgeführten Beispielen und Tafel 15, 16 und 17.

Einleitung.

Bildet die Achse des schiefen Gewölbes den Winkel β , s. Taf. 15, Fig. 1, mit seiner Stirnfläche, so schließt dieselbe mit einer zur Stirnfläche Normalen den Complementwinkel $\alpha = 90^\circ - \beta$ ein, welchen man den Schrägungswinkel des schiefen Gewölbes nennt. Ist dieser Schrägungswinkel sehr klein, so läßt sich das schiefe Gewölbe wie ein gerades ausführen, dessen Stirnstücke man nach dem Neigungswinkel β der Stirnfläche mit der Gewölbachse abschrägt, s. Fig. 2, ein Verfahren, welches man am einfachsten erst nach der Schließung und Ausrüstung des Gewölbes vornimmt. Ist der Schrägungswinkel größer, so wird der Winkel β für den Steinschnitt zu spitz und das Gewölbe muß anders angeordnet werden. Zerlegt man nämlich das ganze Gewölbe in eine hinreichende Anzahl dünner, zu seiner Stirnfläche paralleler Gewölbstreifen, so läßt sich jeder dieser Streifen wie ein gerades Gewölbe behandeln, dessen Lagerflächen senkrecht zu seiner Stirnfläche und Laibungsfläche stehen. Trägt man, wie in Figur 3 und 4 geschehen, diese Gewölbstreifen im Grund- und Aufriß auf, so erhält man an einer beliebigen Stelle M, M₁ des Gewölbes für einen durch mehrere solcher Streifen reichenden Gewölbstein die gebrochene Lagerfuge 1 2 3 4 5, deren einzelne Polygonstücke auf den zugehörigen Bogen senkrecht stehen, s. Fig. 3. Dieser gebrochenen Lagerfuge entspricht eine aus ebenso vielen Theilen bestehende Lagerfläche, deren einzelne Theilflächen die gleiche, jenen Polygonstücken entsprechende Neigung haben. Wird jeder Absatz, z. B. 2 2, 3 des in einzelne Streifen zerlegten Gewölbes bis zur geraden Linie 2 3 ausgefüllt, so ändert sich hierdurch die Verticalpro-

jection der Lagerfugen nicht, da z. B. der Schenkel 2 hierbei als Punkt projectirt, mithin der Schenkel 2, Fig. 4 den Schenkel 2 3 in Fig. 3 deckt.

Wählt man nun diese Absätze unendlich klein, so jene gebrochene Lagerfuge in eine stetige und die ihrhörige gebrochene Lagerfläche in eine windschiefe über jede dieser stetig gekrümmten Lagerfugen die auf einander kommenden, unendlich dünnen Gewölbelemente unter rechter behufs einfacherer Ausführung unter gleichen, nur annähernden Winkeln schneidet, so bilden diese Fugen Curven, sich wie Schraubenlinien um die Gewölbsfläche windernd, hierbei dessen Cylinderelemente beziehungsweise unter veränderlichen oder constanten Winkeln schneiden. Sind die schiefen Gewölbe mit veränderlichem Fugenwinkel und die schiefen Gewölbe mit constantem Fugenwinkel zu unterscheiden.

I. Die schiefen Brückengewölbe mit veränderlichem Fugenwinkel.

1) Theorie der schiefen Brückengewölbe mit veränderlichem Fugenwinkel.

In der Praxis bilden die Stirnbogen der meisten schiefen Gewölbe Halbkreise, mithin die zu ihren Achsen normalen Schnitte halbe Ellipsen oder Theile von halben Ellipsen. Unter dieser Voraussetzung ist zu bestimmen

- a) die Vertical- und Horizontalprojection der schiefen Brückengewölbe mit veränderlichem Fugenwinkel.

Die Verticalprojection dieser Gewölbe erhält man am einfachsten durch Construction, indem die Lagerfuge

der Laibung des Gewölbes dargestellten Stoßfugen nicht nur im Raum, sondern auch im Aufriß senkrecht schneidet. Da nämlich jede Stoßfuge zur Stirnebene, mithin zur verticalen Projectionsebene parallel ist, so steht jede, zu ihr normale Linie, wie die Lagerfuge auch in der Verticalprojection zu ihr senkrecht. Verbindet man daher, wie in Fig. 3, Taf. 15, gesehen, die Punkte 1, 2, 3, 4, 5 der halbkreisförmigen Stoßfugen mit den ihnen zugehörigen Mittelpunkten, so erhält man die Verticalprojection 1 2 3 4 5 der Lagerfuge.

Die auf diese Weise construirte Lagerfuge ist gebrochen und nähert sich der wahren, stetig verlaufenden um so mehr, je dünner die Gewölbstreifen sind, in welche man sich das Gewölbe zerlegt denkt. Da aber die letzteren immer noch eine meßbare Breite haben müssen, so ist die construirte Lagerfuge immer nur annähernd richtig und für den Fall, daß die Genauigkeit der letzteren nicht ausreicht, der analytische Weg einzuschlagen.

Bezeichnet man mit x und y , s. Fig. 5, Taf. 15, die Coordinaten des kreisförmigen Stirnbogens, mit r dessen Radius, mit w den Winkel, welchen eine Lagerfuge desselben mit dem Horizonte einschließt, so ist

$$x = -r \int \frac{\cos^2 w \, dw}{\sin w} = -r \int \frac{(1 - \sin^2 w) \, dw}{\sin w} = -r \int \frac{dw}{\sin w} + r \int \sin^2 w \, dw \dots (6)$$

mithin, wenn dieselbe ausgeführt wird,

$$x = -r \log \operatorname{tg} \frac{w}{2} - r \cos w + \text{Const.} \dots (7)$$

$$\text{Da } \operatorname{tg} \frac{w}{2} = \frac{1}{\cotg \frac{w}{2}}, \text{ mithin } \log \operatorname{tg} \frac{w}{2} = -\log \cotg \frac{w}{2}$$

gesetzt werden kann, so erhält man durch dessen Einführung in Gleichung (7)

$$x = r \log \cotg \frac{w}{2} - r \cos w + \text{Const.} \dots (8)$$

Setzt man, um die Constante zu bestimmen, $w = \frac{\pi}{2} = 90^\circ$ und $x = r$, so folgt aus Gleichung (8)

$$r = \text{Const.}, \dots (9)$$

mithin aus Gleichung (8) die Abscisse der zu dem Winkel w gehörigen Verticalprojection der orthogonalen Trajectorie:

$$x = r \log \cotg \frac{w}{2} + r(1 - \cos w) \dots (10)$$

Hierin stellt nach Gleichung (1) das letzte Glied die Abscisse x_s des Stirnbogens dar, mithin sind die Abscissen der projectirten Lagerfugen, wenn dieselben vom Stirnbogen ab aufgetragen werden,

$$t = r \log \cotg \frac{w}{2} \dots (11)$$

Die Discussion dieser Gleichung ergibt für die Gestalt der projectirten orthogonalen Trajectorie folgende Anhaltspunkte:

$$x = r(1 - \cos w) \text{ und } y = r \sin w, \dots (1)$$

woraus durch Differentiation

$$dx = r \sin w \, dw \text{ und } dy = r \cos w \, dw \dots (2)$$

erhalten wird. Werden beide Werthe dividirt, so ergibt sich die Differentialgleichung des Stirnbogens

$$\frac{dy}{dx} = \frac{\cos w}{\sin w} = \cotg w = \operatorname{tg}(90 - w) \dots (3)$$

Da nun die Verticalprojection der Lagerfuge senkrecht auf dem Stirnbogen steht, so erhält man aus der Relation (3) die Differentialgleichung der orthogonalen Trajectorie

$$\frac{dy}{dx} = -\frac{1}{\operatorname{tg}(90 - w)} = -\operatorname{tg} w \dots (4)$$

und hieraus, wenn der Werth von dy aus Gleichung (2)

$$\text{und } \operatorname{tg} w = \frac{\sin w}{\cos w} \text{ gesetzt wird,}$$

$$dx = -\frac{dy}{\operatorname{tg} w} = -\frac{r \cos^2 w \, dw}{\sin w} \dots (5)$$

Durch Integration ergibt sich

$$\text{Für } w = 0 \text{ wird } \frac{w}{2} = 0 \text{ und } x = \infty,$$

$$'' \quad w = \frac{\pi}{2} = 90^\circ \text{ wird } \frac{w}{2} = \frac{\pi}{4} = 45^\circ \text{ und } x = 0,$$

$$'' \quad w > \frac{\pi}{2} \text{ wird } \frac{w}{2} > \frac{\pi}{4}, \text{ daher } x \text{ negativ,}$$

$$'' \quad w = \pi = 180^\circ \text{ wird } \frac{w}{2} = \frac{\pi}{2} = 90^\circ, \text{ daher } x = -\infty.$$

Diese in Fig. 6, Taf. 15, dargestellte Curve besitzt daher zwei, zu einer durch den Mittelpunkt des halbkreisförmigen Stirnbogens gelegten Lotkrechten symmetrische Zweige, hat in dessen Scheitel einen Rückkehrpunkt und schneidet auf beiden Seiten jener Lotkrechten die Abscissenachse in der Unendlichkeit.

Für Briggs'sche Logarithmen, wovon der Neper'sche Logarithmus der Basis $\log 10 = 2,302585$ beträgt, erhält man aus Gleichung (11)

$$t = r \operatorname{Log} \cotg \frac{w}{2} \cdot \log 10, \dots (13)$$

aus Gleichung (10)

$$x = t + x_s = r \operatorname{Log} \cotg \frac{w}{2} \log 10 + r(1 - \cos w) \dots (12)$$

und hieraus, wenn man zu den Logarithmen übergeht,

$$\operatorname{Log} t = \operatorname{Log} \operatorname{Log} \cotg \frac{w}{2} + \operatorname{Log} r \log 10, \dots (14)$$

worin das letzte Glied eine Constante darstellt.

Die Lagerfugen, sowie deren Verticalprojectionen haben

nach dem Vorstehenden zwischen denselben wagrechten Cylinderelementen den gleichen Verlauf. Hat man daher die durch den Scheitel des Stirnbogens gehende Lagerfuge construiert, oder mittels der Coordinaten aufgetragen, so findet man daraus alle übrigen Lagerfugen, wenn man durch deren höchsten und tiefsten Punkt Horizontale zieht und dieselben so weit verlängert, bis sie jene erstere Lagerfuge schneiden. Der durch die so erhaltenen Schnittpunkte begrenzte Theil derselben bildet die gesuchte Lagerfuge und ist nur wagrecht, soweit als nöthig, zu verschieben. Diese Verschiebung wird, insbesondere bei dem Auftragen vieler Lagerfugen, wesentlich durch die Anfertigung einer nach der Form jener durch den Scheitel des Stirnbogens gehenden Lagerfuge ausgeschnittenen Schablone erleichtert, welche man auf der Basis des Gewölbes wagrecht so lange zu verschieben hat, bis der in dem Stirnbogen gelegene Anfangspunkt jeder Lagerfuge berührt wird. Da für die linke Hälfte des Gewölbes der rechte und für die rechte Hälfte des Gewölbes der linke Zweig der projecirten Lagerfuge in Anwendung kommt, beide Zweige aber vollkommen symmetrisch sind, so genügt es, die Schablone nur für den einen derselben anzufertigen und für den anderen wagrecht umzulegen.

Die zu einer Lagerfuge der inneren Wölbfläche gehörige Lagerfuge der äußeren Wölbfläche bildet die Durchschnittslinie der windschiefen Lagerfläche mit der äußeren Fläche des Gewölbes. Man erhält daher einen beliebigen Punkt derselben durch Verlängerung des zugehörigen Radius bis zur äußeren Wölbfläche. Da alle diese Radien der Stirnfläche parallel sind, so sind alle diese Verlängerungen genau der Wölbfläche gleich. Zusammengehörige, in der innern und äußern Wölbfläche liegende Punkte einer Lagerfuge haben mithin gleiche, zur Gewölbachse parallele Abstände von einer und derselben Stirnebene und die ihnen zugehörigen Bogen der Stoßfugen verhalten sich wie die ihnen zugehörigen Radien. Selbstverständlich schneidet die so erzeugte Lagerfuge der äußeren Wölbfläche die zur Gewölbfuge parallelen Stoßfugen nicht mehr unter rechten Winkeln.

Sind sämtliche Lagerfugen der Verticalprojection in der einen oder andern Weise aufgetragen, mithin deren Schnittpunkte mit den halbkreisförmigen Stoßfugen bekannt, so erhält man deren Horizontalprojection, wenn jene Schnittpunkte auf die entsprechenden parallelen und geraden Horizontalprojectionen der Stoßfugen übertragen und hierauf die so erhaltenen, zueinandergehörigen Schnittpunkte des Grundrisses miteinander verbunden werden. Ist dieses geschehen, so laufen die Lagerfugen von Stirn zu Stirn und theilen im Grund- und Aufriß die innere Wölbfläche in durchlaufende Streifen ab, während die Stoßfugen innerhalb dieser letzteren abwechseln und sie in Theile zerlegen, welche die Laibungsflächen der einzelnen Wölbsteine darstellen.

Construction der Wölbsteine der schiefen Brückengewölbe mit variablem Fugenwinkel.

Da letztere Flächen von den bekannten Lager- und Fugen der einzelnen Wölbsteine begrenzt werden, so ist der Grund- und Aufriß alle zur Darstellung dieser erforderlichen Abmessungen. Zieht man im letzteren die Endpunkte der beiden Stoßfugen radiale Linien b₁ a₁ c₁ d₁ und e₁ f₁ g₁ h₁ jedes Steins in ihrer wahren Gestalt gegenseitigen Lage dar. Die sich an dieselben anschließenden Lagerflächen a e c g und b f d h denkt man sich dann Gerade erzeugt, welche stets parallel zur Stirnfläche un- recht zur inneren Wölbfläche sich längs der Lagerfuge und c g fortbewegen. Man erhält dieselben, wenn man Laibungsfläche e d g h, Fig. 16 und 17, Taf. 15, jedes Steins zwischen den Stoßfugen durch eine hinreichend zahl zur Stirnfläche paralleler Ebenen schneidet, durch Schnittpunkte dieser Ebenen mit den inneren Lagerfugen zugehörigen Radien zieht und dieselben so weit verlängert bis sie die entsprechenden Durchschnittslinien der äußeren Wölbfläche schneiden. Durch Verbindung der so erhaltenen äußeren Schnittpunkte erhält man die Lagerfugen a b f k in der äußeren Wölbfläche und hiermit die vollständige Begrenzung eines Wölbsteins.

Die Horizontal- und Verticalprojection der inneren Wölbfläche zeigt, daß die Breiten der zwischen je zwei Lagerfugen befindlichen Wölbstreifen sich fortwährend ändern und wenn dieselben in der vorderen Stirn einander gleich und ohne Unterbrechung bis zur hinteren Stirnfläche laufen, an dieser die Wölbsteine auf der einen Seite schmal und auf der anderen Seite so dick werden müßten, daß Herstellung practisch unausführbar wäre. Da hiernach die Anordnung gleich starker Wölbsteine in den Stirnen unterbrochen von Stirn zu Stirn durchlaufender Lagerfugen unvereinbar ist, so behält man meist die Eintheilung der inneren Wölbfläche in eine Anzahl gleich starker Wölbsteine bei und theilt die zugehörigen Lagerfugen da ab, wo sie sich einander nähern, daß die dazwischen befindlichen Wölbsteine eine geringe, practisch unausführbare Stärke erhalten müssen.

An diesen Stellen sind also einzelne Wölbsteine erforderlich, die durch mehrere Wölbsteine reichen, und gegen sich die von den entgegengesetzten Stirnen ausgehenden Lagerfugen absetzen.

Obwohl sich auf diese Weise der Steinschnitt des Gewölbes vollkommen bestimmen und jeder Wölbstein herausgetragen und bearbeiten läßt, so erleichtert doch die Entwicklung der Wölbflächen nicht nur die Anordnung des erwähnten Steinschnitts, sondern sie führt uns auch

Bereinfachung desselben bei Gewölben, welche keinen vollen Halbkreis zum Stirnbogen, also auch keine so große Verschiedenheit in den veränderlichen Winkeln haben, unter welchen deren Lagerfugen die zur Gewölbachse parallelen Cylinderelemente schneiden.

c) Die Abwicklung der schiefen Brückengewölbe mit variablen Fugenwinkeln.

α) Die Abwicklung der Gewölbsflächen.

Die Abwicklung der inneren Wölbfläche bietet keine Schwierigkeit, wenn man mit Hilfe der gleichweitentfernten Theilpunkte des Stirnbogens den zur Gewölbachse senkrechten elliptischen Schnitt konstruirt und mittels der einzelnen, so erhaltenen ungleichen Bogenlängen die zur Gewölbachse parallelen Cylinderelemente aneinander reißt. Die Summe dieser Bogenlängen ergibt den Umfang der halben Ellipse, welche durch die Annäherungsformel,

$$\frac{U}{2} = 1,6467 \cdot a + 1,4949 \cdot b \quad (15)$$

worin

$$a = r \quad (16)$$

die halbe große Achse und

$$b = r \cdot \cos \alpha \quad (17)$$

die halbe kleine Achse der Ellipse bezeichnet, controlirt werden kann. Werden die Enden der so erhaltenen, abgewickelten Cylinderelemente durch die zur Gewölbachse senkrechten, durch die Horizontalprojection jener im Stirnbogen enthaltenen Theilungspunkte der Gewölbesteine geführten Linie geschnitten, so ergeben sich die abgewickelten Stirnbogen und mit ihnen sämtliche, zu ihnen parallele, abgewickelte Stoßfugen. Ist diese Construction richtig ausgeführt, so sind die auf den Stirnbogen durch die Cylinderelemente abgeschnittenen Bogenstücke untereinander und jenen Bogenstücken gleich, in welche der Stirnbogen getheilt ist. Auch das Uebertragen der Lagerfugen in die Abwicklung auf constructivem Wege hat keine Schwierigkeit, sobald man die Länge des zugehörigen Kreis- oder elliptischen Bogens kennt und diese von der Kämpferlinie ab, beziehungsweise auf einem der beiden Stirnbogen oder auf einer abgewickelten Stoßfuge abträgt oder normal zu jener Kämpferlinie aufträgt. Obwohl dies Verfahren bei einer zur Bestimmung jeder abgewickelten Lagerfuge hinreichenden Zahl von Punkten ohne Weiteres und mit aller wünschenswerthen Genauigkeit ausgeführt werden kann, so ist es doch gerade in diesem Falle sehr zeitraubend und wird besser durch das Auftragen der algebraisch ermittelten, abgewickelten Lagerfuge ersetzt.

β) Analytische Bestimmung der abgewickelten Lagerfuge.

Bezeichnet man mit φ den Winkel, welchen die Tangente an einen beliebigen Punkt x, y des abgewickelten Stirnbogens, i. Fig. 7, Taf. 15, mit einer zur Kämpferlinie AX Normalen einschließt, so folgt mit Bezug auf die Bezeichnungen jener Figur

$$\frac{dx}{dy} = \operatorname{tg} \varphi \quad (18)$$

Behalten α, w und r ihre frühere Bedeutung, so ergibt sich aus der Figur

$$x = r \sin \alpha - r \cos w \sin \alpha = r \sin \alpha (1 - \cos w) \quad (19)$$

und der zu dem Winkel w gehörige Bogen für den Radius r

$$s = r \cdot w \quad (20)$$

Durch Differentiation erhält man aus Gleichung (19), worin das erste Glied constant ist,

$$dx = r \sin \alpha \sin w \, dw \quad (21)$$

und aus Gleichung (20)

$$ds = r \, dw \quad (22)$$

mithin, wenn man

$$dy = \sqrt{ds^2 - dx^2}$$

setzt und die Werthe von dx und ds aus Gleichung (21) und (22) einführt,

$$dy = r \, dw \sqrt{1 - \sin^2 \alpha \cdot \sin^2 w} \quad (23)$$

Führt man den Werth von dx aus Gleichung (21) und von dy aus Gleichung (23) in Gleichung (18) ein, so ergibt sich die Differentialgleichung des abgewickelten Stirnbogens

$$\frac{dx}{dy} = \operatorname{tg} \varphi = \frac{\sin \alpha \cdot \sin w}{\sqrt{1 - \sin^2 \alpha \cdot \sin^2 w}} \quad (24)$$

Auf dem abgewickelten Stirnbogen steht die abgewickelte Lagerfuge senkrecht: eine Bedingung, welche sich aus Gleichung (18) ergibt, wenn man setzt

$$\frac{dx}{dy} = -\frac{1}{\operatorname{tg} \varphi} \quad (25)$$

Wird der Werth von dy aus Gleichung (23) und von $\operatorname{tg} \varphi$ aus Gleichung (24) eingeführt, so ergibt sich die Differentialgleichung der abgewickelten Lagerfuge

$$dx = -\frac{dy}{\operatorname{tg} \varphi} = -\frac{r(1 - \sin^2 \alpha \cdot \sin^2 w) \, dw}{\sin \alpha \cdot \sin w} \quad (26)$$

oder, wenn man deren Glieder trennt,

$$dx = -\frac{r}{\sin \alpha} \cdot \frac{dw}{\sin w} + r \sin \alpha \cdot \sin w \cdot dw \quad (27)$$

Hieraus ergibt sich durch Integration

$$x = -\frac{r}{\sin \alpha} \cdot \log \operatorname{tg} \frac{w}{2} - r \sin \alpha \cdot \cos w + \text{Const.} \quad (28)$$

Setzt man, um die Constante zu bestimmen, $w = 90^\circ$, in welchem Falle $x = r \cdot \sin \alpha$ wird, so ergibt sich aus Gleichung (28)

$$r \sin \alpha = - \frac{r}{\sin \alpha} \cdot \log 1 - r \cdot \sin \alpha \cdot 0 + \text{Const.},$$

mithin

$$\text{Const.} = r \sin \alpha$$

und wenn dieser Werth in Gleichung (28) eingeführt wird, die dem beliebigen Lagerfugenwinkel w entsprechende Abscisse der abgewinkelten Lagerfuge

Wird hierin

$$- \log \cdot \text{tg} \frac{w}{2} = \log 1 - \log \cdot \text{tg} \frac{w}{2} = \log \cdot \frac{1}{\text{tg} \frac{w}{2}} = \log \cdot \text{cotg} \frac{w}{2}$$

gesetzt, so ist, wenn dieser Werth in Gleichung (31) eingeführt wird,

$$t_s = \frac{r}{\sin \alpha} \log \cdot \text{cotg} \frac{w}{2}, \quad (31)$$

mithin für Brigg'sche Logarithmen, worin der Neper'sche Logarithmus der Basis $\log 10 = 2,302585$ beträgt, die Abscisse:

$$t = \frac{r \log 10}{\sin \alpha} \cdot \text{Log} \text{cotg} \frac{w}{2} \quad (32)$$

$$w = 0 \text{ die zusammengehörigen Werthe } s = 0 \text{ und } x = \infty \quad (34)$$

$$w = 90 \quad " \quad " \quad " \quad s = \frac{\pi}{2} \quad " \quad x = 0, \quad (35)$$

$$w = 180 \quad " \quad " \quad " \quad s = \pi \quad " \quad x = -\infty \quad (36)$$

$$x = t + x_s, \quad (37)$$

In der Abwicklung wächst mithin die Abscisse der Lagerfuge vom Scheitel des Stirnbogens ab, wo sie Null ist, auf der positiven und negativen Seite bis ins Unendliche, ist auf beiden Seiten zum Stirnbogen symmetrisch und hat die beiden Kämpferlinien zu Asymptoten, wie die in Fig. 8, Taf. 15, enthaltene Darstellung zeigt.

Die Abscisse x der abgewinkelten Lagerfuge der äußeren Gewölbfläche setzt sich zusammen aus derjenigen x_s , ihres abgewinkelten Stirnbogens und dem parallel zur Gewölbachse gemessenen, bekannten Abstände t der Lagerfuge der inneren Gewölbfläche von ihrem abgewinkelten Stirnbogen. Für den Radius r_1 der äußeren Gewölbfläche ergibt sich aus Gleichung (19) analog die Abscisse ihres abgewinkelten Stirnbogens

$$x_s' = r_1 \sin \alpha (1 - \cos w), \quad (37)$$

mithin, da bei dem nämlichen Gewölbe α und bei den nämlichen Lagerflächenwinkeln w desselben der Factor von r_1 derselbe bleibt wie bei der durch Gleichung (19) gegebenen Abscisse x_s des abgewinkelten inneren Stirnbogens, durch Division von Gleichung (19) in Gleichung (37)

$$x_s' = x_s \cdot \frac{r_1}{r} \quad (38)$$

Man erhält mithin die Abscisse der abgewinkelten, äußeren Lagerfuge

$$x = r \sin \alpha (1 - \cos w) - \frac{r}{\sin \alpha} \cdot \log \cdot \text{tg} \frac{w}{2} \quad (29)$$

Hierin bezeichnet nach Gleichung (19) das erste Glied die auf die Kämpferlinie AX als Coordinatenachse bezogene Abscisse x_s des Stirnbogens, man erhält mithin für den beliebigen, durch Gleichung (20) bestimmten Bogen s den Abstand eines Punktes der abgewinkelten Lagerfuge von jenem Stirnbogen aus

$$t = - \frac{r}{\sin \alpha} \log \cdot \text{tg} \frac{w}{2} \quad (30)$$

und deren Brigg'scher Logarithmus

$$\text{Log} t = \text{Log} \cdot \frac{r \log 10}{\sin \alpha} + \text{Log} \cdot \text{Log} \text{cotg} \frac{w}{2} \quad (33)$$

Discutirt man, um ein Bild von der abgewinkelten Lagerfuge zu erhalten, die zusammengehörigen Gleichungen (3) und (31), so erhält man für

welche successive von den entsprechenden Theilungspunkten des abgewinkelten Stirnbogens aus parallel zur Gewölbachse anzutragen sind. Ist dies geschehen, so lassen sich nunmehr von dem rechten Winkel abweichenden Winkel erkennen, unter welchen die abgewinkelten Lagerfugen der äußeren Gewölbfläche die Stoßfugen schneiden.

Die Abscisse der abgewinkelten Lagerfuge einer zweiten Gewölbfläche mit dem Radius r_1 ergibt sich durch analoge Ableitung für den Schrägungswinkel α und Lagerfugenwinkel w aus Gleichung (32)

$$t' = \frac{r_1 \log 10}{\sin \alpha} \cdot \text{Log} \cdot \text{cotg} \frac{w}{2} \quad (40)$$

mithin für denselben Schrägungswinkel und für die gleichen Lagerfugenwinkel der abgewinkelten inneren und äußeren Wölbfläche durch Division der Gleichung (32) in (40)

$$\frac{t'}{t} = \frac{r_1}{r},$$

woraus folgt, daß

$$t' = \frac{r_1}{r} t \quad (41)$$

t übertrifft, aber demselben proportional ist. Hat man also für die innere Wölbfläche irgend eines schiefen Gewölbes t

den Winkeln α und w entsprechenden Werthe von x , berechnet, so ergeben sich die Abscissen x , der Lagerfuge jenes zweiten Gewölbes durch Multiplication mit dem Quotienten $\frac{r_1}{r}$ des Radius der ersteren in den Radius der zweiten Wölbfläche.

Da die Stofffugen sowohl der inneren als der äußeren Wölbfläche dem zugehörigen Stirnbogen derselben innerhalb der gleichen, zu den Kämpferlinien parallelen Cylinderelementen parallel sind, so sind auch die denselben entsprechenden Theile der abgewinkelten Lagerfugen parallel. Man erhält mithin aus der in Bezug auf einen Stirnbogen construirten abgewinkelten Lagerfuge der inneren oder äußeren Wölbfläche, ähnlich wie bei der Verticalprojection der Lagerfugen, einfach durch eine zu den Kämpferlinien parallele Verschiebung jener abgewinkelten Lagerfuge alle übrigen Lagerfugen und empfiehlt sich auch hier die Anfertigung einer zum Auftragen sämtlicher abgewinkelter Lagerfugen dienenden Schablone, wie sie z. B. in Fig. 5 und 6 dargestellt ist.

γ) Construction der abgewinkelten Lagerfuge.

Sind jene, zu den Kämpferlinien parallelen Cylinderelemente hinreichend schmal gewählt, so läßt sich die abgewinkelte Lagerfuge auch aus den einzelnen Schenkeln jener verschiedenen Winkel zusammensetzen, unter welchen diese Cylinderelemente

$$\cos BAC = \frac{\cos(90 - \gamma) - \cos(90 - w) \cos(90 - \alpha)}{\sin(90 - w) \sin(90 - \alpha)} = \frac{\sin \gamma - \sin w \cdot \sin \alpha}{\cos w \cdot \cos \alpha}, \quad (42)$$

woraus sich, da Winkel BAC ein rechter ist,

$$0 = \frac{\sin \gamma - \sin w \cdot \sin \alpha}{\cos w \cdot \cos \alpha},$$

mithin

$$\sin \gamma = \sin \alpha \cdot \sin w \quad (43)$$

ergibt. Hieraus folgt, daß an der Kämpferbasis, für welche $w = 0$, $\sin \gamma = 0$ und mithin auch der Fugenwinkel $\gamma = 0$ und in dem Scheitel, für welchen $w = 90$, also $\sin w = 1$ ist, $\sin \gamma = \sin \alpha$ und $\gamma = \alpha$, also der Fugenwinkel dem Schrägungswinkel des Gewölbes gleich wird. Aus Gleichung (43) läßt sich der veränderliche Fugenwinkel γ entweder durch Rechnung oder durch die in Fig. 11, Taf. 15, dargestellte Construction finden. Beschreibt man nämlich mit dem Radius r den Quadranten AB und trägt in denselben den constanten Schrägungswinkel α und den veränderlichen Lagerfugenwinkel w mit der in der Figur angegebenen Lage ein, so erhält man sofort $r \cdot \sin w$ und, indem man mit diesem als Radius einen dem Centriwinkel α entsprechenden Kreisbogen beschreibt, den Werth $r \cdot \sin w \cdot \sin \alpha$, welcher dem Sinus des veränderlichen Fugenwinkels $r \cdot \sin \gamma$ gleich ist, zu welchem sich der letztere auf die in der Figur angegebene Weise leicht construiren läßt. Construiert man diesen veränderlichen Fu-

Civilingenieur XX.

elemente von der Lagerfuge geschnitten werden. Betrachtet man, um diesen veränderlichen Schnittwinkel γ , den sogenannten Fugenwinkel zu bestimmen, die dreikantige Ecke ABCM, s. Fig. 9, Taf. 15, welche, in einem beliebigen Punkt M des Stirnbogens, die Tangente MB des Stirnbogens, die zur Ebene des Stirnbogens parallele Linie AM und die zur Kämpferlinie parallele Linie MC bilden, so schließen, wie die Darstellung in Fig. 9, Taf. 15, zeigt, die Kanten

AM und BM den Winkel $90 - w$,

BM " MC " " $90 - \gamma$,

AM " CM " " $90 - \alpha$

ein. Beschreibt man von dem Punkte M, s. Fig. 10, Taf. 15, als Mittelpunkt einer Kugel, aus mit dem Radius 1 die jenen Winkeln entsprechenden Bogen eines sphärischen Dreiecks, so liegt der Kantenwinkel $90 - \gamma$ dem Flächenwinkel BAC gegenüber, welchen die Ebene BMA des Stirnbogens mit der zur Ebene der beiden Kämpferlinien parallelen Ebene AMC einschließt, während die Kantenwinkel $90 - w$ und $90 - \alpha$ diesem Winkel anliegen. Da nun die Stirnbogenebene lothrecht und die Ebene der Kämpferlinien wagrecht ist, so ist der Flächenwinkel BAC ein Rechter. Es findet aber nach den Entwicklungen der sphärischen Trigonometrie*) zwischen jenen 3 Kantenwinkeln $90 - w$, $90 - \gamma$, $90 - \alpha$ und diesem Flächenwinkel BAC, welchen die Seiten BA und AC des sphärischen Dreiecks miteinander einschließen, allgemein die Beziehung statt

genwinkel für sämtliche, jenen einzelnen Lagerfugenwinkeln w entsprechende Cylinderelemente, so läßt sich auf die in Fig. 5 der Taf. 16 durchgeführte Weise von dem Stirnbogen ab eine abgewinkelte Lagerfuge zusammensetzen, welche gebrochen ist und jener exacten, durch Berechnung gefundenen, abgewinkelten Lagerfuge um so näher kommt, je schmaler man die Cylinderelemente wählt.

d) Bestimmung der kleinsten parallelepipedischen Umschließungskörper und Bearbeitung der Wölbsteine des schiefen Brückengewölbes mit variablem Fugenwinkel.

Stellt abcd efgh, s. Taf. 16, Fig. 9, wieder die in Fig. 16, Taf. 15, bereits entwickelte Verticalprojection eines Wölbsteins dar, so erhält man den kleinsten parallelepipedischen Umschließungskörper, wenn man um jene Verticalprojection das kleinste, umschließende Rechteck legt und den Abstand der vorderen und hinteren, lothrechten Stofffläche des

*) Vgl. u. A. Francoeur, übersetzt von Kulp, Sphär. Trig. II. 2. S. 6. Formel 4.

Wölbsteins jenem Prisma zur Tiefe giebt. Verbindet man zu diesem Zweck die äußersten Punkte e, b der Rückenfläche a b e f mit dem Mittelpunkte O, halbirt den durch die Schenkel b O und e O gebildeten Winkel und zieht zu dessen Mittellinie O M parallel durch e und b die Seiten i l und k m und zu denselben normal durch a und g oder h die Seiten i k und l m, so ist jenes kleinste Rechteck und damit der ganze Umschließungskörper bestimmt, welcher sich jetzt auch auf die in Fig. 10 enthaltene Horizontalprojection übertragen läßt.

Die Bearbeitung des Gewölbsteins beginnt mit derjenigen der Vorderfläche i m und Hinterfläche n q, Fig. 10, Taf. 16, auf welche die beiden Stoßflächen a b e d und e f g h nach Form und gegenseitiger Lage aufgetragen werden. Von den unteren Bogen c d und g h derselben (Fig. 9 und 10) lassen sich mit Hilfe des Schrägungswinkels $\alpha = 30^\circ$ des Gewölbes die im Grundriß unverkürzten Längen r s... und t u..., Fig. 10, Taf. 16, welche den verkürzten Längen r s... und t u... im Aufriß, Fig. 9, Taf. 16, entsprechen, beziehungsweise von vorn nach hinten und von hinten nach vorn auftragen, wodurch sich die Lagerfugen c g und d h der Laibungsfläche ergeben und damit auch diese letztere sammt ihrer cylindrischen Krümmung bestimmt ist. Schlägt man an diese letztere eine Schmiege, Fig. 11, Taf. 16, deren untrer Schenkel nach der Wölbfläche gekrümmt und deren oberer Schenkel gerade ist und auf dem ersteren senkrecht steht, in verschiedenen Lagen, parallel zu den Stoßflächen an, so zeigt ihr gerader Schenkel die jeder dieser Lagen entsprechende Richtung der windschiefen Lagerfläche b f d h oder a m c g, Fig. 11, Taf. 16, an. Die Rückenfläche a b e f des Gewölbsteins wird entweder

der inneren Laibungsfläche ähnlich, oder, wie bei den schiefgewölbten Brücken, gar nicht bearbeitet, sondern rauh. Die in Fig. 11 enthaltene, aus den Figuren 10 abgeleitete perspectivische Darstellung des Gewölbes und seines kleinsten parallelepipedischen Umschließungskörpers dient dazu, die Bearbeitung sämmtlicher Begrenzungsflächen des Gewölbsteins in ihrem Zusammenhange darzustellen, welchem Zwecke darin die entsprechenden Punkte mit gleichen Buchstaben bezeichnet sind.

2) Berechnung und Construction eines aus Quadern bestehenden schiefen Brückengewölbes mit halbkreisförmigen Stirnbogen und variablem Fugewinkel.

(Siehe Taf. 15, Fig. 12 bis 17 und Taf. 16, Fig. 1 bis 11)

Beträgt dessen

zur Stirn parallele Spannweite $l = 15,5$ Met.,
Normalabstand der Stirnen 20 Met.,
Schnittwinkel der Straßen- und Brückenachse 60° ,
Gewölbstärke 2,5 Met.*),
Zahl der Wölbsteine 19,

so wird der

Radius des inneren Stirnbogens

$$r = \frac{14,5}{2} = 7,25 \text{ Met.},$$

Radius des äußeren Stirnbogens

$$r_1 = 7,25 + 2,5 = 9,75 \text{ Met.},$$

Schrägungswinkel des Gewölbes $\alpha = 90 - 60 =$

Tabelle zur Berechnung der Abscissen der Verticalprojection der Lagerfugen des schiefen Gewölbes

No. der Lagerfläche.	Werthe von		Log cotg $\frac{w}{2}$	t	x ₁	x
	w	$\frac{w}{2}$				
0	0	0	∞	∞	0,000	∞
1	9° 28' 25"	4° 44' 12"	1,0816588	18,057	0,099	18,156
2	18° 56' 50"	9° 28' 25"	0,7776239	12,981	0,393	13,374
3	28° 25' 14"	14° 12' 37"	0,5964764	9,957	0,874	10,831
4	37° 53' 41"	18° 56' 50"	0,4643293	7,751	1,529	9,280
5	47° 22' 04"	23° 41' 02"	0,3578920	5,974	2,340	8,314
6	56° 50' 28"	28° 25' 14"	0,2666679	4,452	3,285	7,737
7	66° 18' 52"	33° 9' 26"	0,1848676	3,086	4,338	7,424
8	75° 47' 22"	37° 53' 51"	0,1088357	1,817	5,470	7,287
9	85° 15' 46"	42° 37' 53"	0,0359485	0,600	6,651	7,251
9½	90°	45°	0,0000000	0,000	7,250	7,250

*) Die Gewölbstärke ist absichtlich stärker als nöthig gewählt worden, um den Unterschied in dem Verlaufe der Lagerfugen der inneren und äußeren Gewölbfläche deutlicher zu zeigen.

a) Die Vertical- und Horizontalprojection.

Die Verticalprojection der Lagerfuge der inneren Wölbfläche ergibt sich aus den Gleichungen (13) und (12) ihrer

$$t = r \text{Log} \cdot \cotg \frac{w}{2} \log 10 = 7,25 \cdot \text{Log} \cdot \cotg \frac{w}{2} \cdot \log 10, \text{ ferner } x_s = r(1 - \cos w) = 7,25(1 - \cos w)$$

und

$$x = t + x_s = 7,25 \cdot \text{Log} \cdot \cotg \frac{w}{2} \cdot \log 10 + 7,25(1 - \cos w).$$

Werden in diese Gleichungen nach und nach die den aufeinanderfolgenden Lagerfugen entsprechenden Winkel w eingeführt, so ergibt sich vorstehende Tabelle.

Werden die in dieser Tabelle enthaltenen Abscissen aufgetragen, so ergibt sich die in Fig. 12, Taf. 15, dargestellte Verticalprojection der Lagerfugencurve, unter welcher die construirte gebrochene Lagerfuge um die, aus der Figur ersichtliche, Differenz zurückbleibt. Mit Hilfe dieser Lagerfugencurve und einer nach ihr angefertigten Schablone erhält man hierauf den in Fig. 14, Taf. 15, angegebenen Fugenschnitt, woraus die Horizontalprojectionen in der früher angegebenen, aus Fig. 13 und 15 ersichtlichen Weise abgeleitet sind.

b) Die Abwicklung.

Die vom abgewickelten Stirnbogen aus aufzutragenden Abscissen x_s der abgewickelten Lagerfuge ergeben sich aus der Gleichung (33), welche nach Einführung der numerischen Werthe übergeht in:

$$\text{Log } t = \text{Log} \cdot \text{Log} \cdot \cotg \frac{w}{2} + \text{Log} \cdot \frac{7,25 \cdot 2,302585}{\sin 30^\circ}.$$

Werden die den aufeinanderfolgenden 9 Lagerfugen entsprechenden Winkel w nach und nach in diese Gleichungen eingeführt und den so erhaltenen Abscissen diejenigen des abgewickelten Stirnbogens

$$x_s = r \sin \alpha (1 - \cos w) = 7,25 \cdot \sin 30^\circ (1 - \cos w)$$

hinzugefügt, so ergibt sich nachstehende

Tabelle der Abscissen der abgewickelten Lagerfugen der inneren Wölbfläche des schiefen Brückengewölbes.

Nr. der Gewölbfst.	w	$\frac{w}{2}$	$\text{Log} \cotg \frac{w}{2}$	$\cdot \text{Log} \cdot \text{Log} \cotg \frac{w}{2}$	$\text{Log} \cdot \frac{r \log 10}{\sin \alpha}$	$\text{Log } t$	t	x_s	x
0	0°	0°	∞	∞	1,52358	∞	∞	0,000	∞
1	$9^\circ 28' 25''$	$4^\circ 44' 12''$	1,0817	0,0341	"	1,5577	36,12	0,049	36,169
2	$18^\circ 56' 50''$	$9^\circ 28' 25''$	0,7783	0,8911—1	"	1,4147	25,98	0,198	26,178
3	$28^\circ 25' 14''$	$14^\circ 12' 37''$	0,5965	0,7755—1	"	1,2990	19,92	0,437	20,357
4	$37^\circ 53' 41''$	$18^\circ 56' 50''$	0,4643	0,6668—1	"	1,1903	15,50	0,765	16,265
5	$47^\circ 22' 04''$	$23^\circ 41' 02''$	0,3579	0,5387—1	"	1,0772	11,95	1,170	13,120
6	$56^\circ 50' 28''$	$28^\circ 25' 14''$	0,2665	0,4259—1	"	0,9494	8,90	1,643	10,543
7	$66^\circ 18' 52''$	$33^\circ 09' 26''$	0,1848	0,2668—1	"	0,7904	6,16	2,169	8,329
8	$75^\circ 47' 22''$	$37^\circ 53' 41''$	0,1088	0,0367—1	"	0,5600	3,63	2,735	6,365
9	$85^\circ 15' 46''$	$42^\circ 37' 53''$	0,0359	0,5556—2	"	0,0792	1,20	3,325	4,525
$9\frac{1}{2}$	90°	45°	0,0000	∞	"	$-\infty$	0,00	3,625	3,625

Werden den hieraus gefundenen Abscissen t diejenigen des abgewickelten Stirnbogens

$$x_s' = r' \sin \alpha (1 - \cos w) = 9,75 \cdot \sin 30^\circ (1 - \cos w),$$

welche, mit Hilfe der zuvor ermittelten Abscissen x_s des Stirnbogens der inneren Wölbfläche, einfacher aus der Gleichung

$$x_s' = \frac{r'}{r} \cdot x_s = \frac{9,75}{7,25} \cdot x_s$$

erhalten werden, hinzugefügt, so ergibt sich umstehende Tabelle.

Werden die in den beiden letzten Tabellen enthaltenen Abscissen in der früher erwähnten Weise aufgetragen, so ergibt sich die in Fig. 5 und 8, Taf. 16, dargestellte, abgewinkelte Lagerfuge der inneren und äußeren Wölbfläche, nach welcher alle übrigen Lagerfugen dieser beiden abgewinkelten Gewölbflächen aufgetragen worden sind.

Tabelle der Abscissen der abgewinkelten Lagerfuge der äußeren Wölbfläche des schiefen Brückengewölbes.

Nr. des Gewölbssteins.	w	t	x_1'	x
0	0°	∞	0,000	∞
1	9° 28' 25"	36,18	0,067	36,187
2	18° 56' 50"	25,98	0,264	26,244
3	28° 25' 14"	19,92	0,587	20,507
4	37° 53' 41"	15,50	1,028	16,528
5	47° 22' 04"	11,95	1,577	13,527
6	56° 50' 28"	8,90	2,209	11,109
7	66° 18' 52"	6,16	2,916	9,076
8	75° 47' 22"	3,63	3,878	7,808
9	85° 15' 46"	1,20	4,472	5,672
9 1/2	90°	0,00	4,875	4,875

Um die Fugenwinkel der aufeinanderfolgenden Cylinderelemente durch Rechnung zu finden, benutzt man Gleichung (43), welche nach Einführung des bekannten Wertes übergeht in

$$\sin \gamma = \sin 30 \cdot \sin w.$$

Werden wieder dieselben aufeinanderfolgenden Winkel w eingeführt, so ergibt sich folgende

Tabelle der Fugenwinkel des schiefen Brückengewölbes.

Nr. des Gewölbssteins.	w	sin w	$\sin 30 \cdot \sin w = \sin \gamma$	γ
0	0°	0,00000	0,00000	0°
1	9° 28' 25"	0,16453	0,08226	4° 43' 10"
2	18° 56' 50"	0,32467	0,16233	9° 20' 32"
3	28° 25' 14"	0,47597	0,23798	13° 46' 02"
4	37° 53' 41"	0,61434	0,30717	17° 53' 20"
5	47° 22' 04"	0,73568	0,36784	21° 34' 03"
6	56° 50' 28"	0,83717	0,41858	24° 44' 42"
7	66° 18' 52"	0,91574	0,45787	27° 14' 59"
8	75° 47' 22"	0,96940	0,48470	28° 59' 34"
9	85° 15' 46"	0,94657	0,49828	29° 53' 10"
9 1/2	90°	1,00000	0,50000	30°

Die Ermittlung der hier durch Rechnung gefundenen Fugenwinkel durch Construction ist in Fig. 6 auf Taf. 16 und deren Zusammensetzung zu der angenäherten, gebrochenen Lagerfuge in Fig. 7 und 5, Taf. 16, bewirkt, welche, wie sich

aus derselben Figur ergibt, von der durch Rechnung denen, stetig verlaufenden Lagerfuge um so weniger als je größer die Zahl der Cylinderelemente, in welche die Wölbfläche zerlegt war und je genauer die Constructive Zusammensetzung der Fugenwinkel bewirkt wurde.

Die Figuren 16 und 17 der Tafel 15 stellen in M in Fig. 14 durch Schraffirung hervorgehobenen, früher angegebenen Weise herausgetragenen Gewölbeste wonach nicht nur die Größe des dazu erforderlichen blocks bestimmt, sondern auch jeder erforderliche Anhalt zu seiner Bearbeitung gewonnen werden kann.

II. Die schiefen Brückengewölbe mit mittlerem constantem Fugenwinkel.

1) Theorie und Construction der schiefen Brückengewölbe mit mittlerem constantem Fugenwinkel.

Die Ausführung der schiefen Gewölbe mit verändertem Fugenwinkel wird durch das Heraustragen und die eine Bearbeitung jedes einzelnen Wölbsteins so sehr erleichtert, daß der Ingenieur in den meisten Fällen, wo von Rechten abweichende Schnittwinkel der Tracen vorkommen, entweder durch Verlegung einer Achse oder durch einen rechten Schnittwinkel und somit ein gleiches Gewölbe zu erhalten oder, wo die örtlichen Verhältnisse nicht gestatten oder zu sehr erschweren, durch Einfügen eines unveränderlichen Fugenwinkels, wodurch die Fugen an der Laibung des Gewölbes Schraubenlinien in deren Abwicklung parallele Gerade werden, den Schnitt des schiefen Gewölbes möglichst zu vereinfachen

a) Ermittlung des mittleren constanten Fugenwinkels.

Zu diesem constanten Fugenwinkel empfiehlt sich das arithmetische Mittel zwischen dem größten und kleinsten Fugenwinkel γ_{\max} und γ_{\min} bildende, mittlere Fugenwinkel, welcher mithin, da der größte veränderliche Winkel im Scheitel dem Schrägungswinkel α des Gewölbes gleich wird, durch den Ausdruck

$$\gamma_0 = \frac{\gamma_{\max} + \gamma_{\min}}{2} = \frac{\alpha + \gamma_{\min}}{2}$$

bestimmt ist.

Die Einführung dieses mittleren, constanten Fugenwinkels und die damit verbundene Abweichung von dem theoretischen begründeten Steinschnitt bewirkt, daß

- 1) die Richtung des Drucks auf die Lagerfläche des Gewölbes nicht mehr eine normale, sondern eine schiefe ist
- 2) dieser schiefe Druck, indem er sich in eine zur Lagerfläche des Gewölbes normale und eine zu derselben parallele zerlegt, die normale Komponente den Druck bewirkt, während die parallele Komponente die Neigung bewirkt.

nach der Gewölbstirn hin gerichtete Seitentkraft zerlegen läßt, eine Verschiebung der Gewölbsteine auf ihren Lagerflächen gegen die Stirnfläche des Gewölbes zu bewirken sucht,

3) diese Verschiebung entweder wirklich eintritt und dann, wenn nicht den Einsturz des Gewölbes, doch mindestens dessen Ausbauchung an den Gewölbstirnen zur Folge hat, oder

4) diese Verschiebung, durch Reibungswiderstände verhindert, nicht eintritt und dann unschädlich ist.

Um daher, ohne Gefahr für die Sicherheit des Gewölbes, einen mittleren constanten Fugenwinkel einführen zu können, ist zu ermitteln, um wieviel derselbe von dem wahren Fugenwinkel abweichen darf, ohne ein Gleiten der Wölbsteine auf ihren Lagerfugen zu veranlassen. Bezeichnet man die größte zulässige Abweichung des veränderlichen Fugenwinkels am Scheitel und am Kämpfer des Gewölbes mit β , so ergibt sich aus

$$\gamma_0 = \frac{\alpha + (\alpha - \beta)}{2} = \alpha - \frac{\beta}{2}. \quad (45)$$

Nimmt man, da sich an Gewölben, bei welchen jene Abweichung $\beta = 16^\circ$ betrug, schon Ausbauchungen zeigten, mit E. Heider*) zu 10° an, so ergibt sich, wenn α gegeben ist, der mittlere constante Fugenwinkel

$$\gamma_0 = \alpha - 5^\circ. \quad (46)$$

Dieser durch Rechnung bestimmte, mittlere, constante Fugenwinkel bedarf in den meisten und zwar in allen den Fällen, wo er nicht mit der gewählten Einteilung der Gewölbschichten übereinstimmt, einer durch die practische Ausführung bedingten Modification. Da die Lagerfugen mit constantem Fugenwinkel in der Laibungsfläche des Gewölbes Schraubenlinien und in deren Abwicklung Gerade bilden, welche durch Theilungspunkte der beiden Stirnbogen des Gewölbes gehn müssen, s. Taf. 17, Fig. 1, 2 und 3, so ist, wenn der Schenkel bc des berechneten kleinsten, mittleren, constanten Fugenwinkels abc nicht durch je 2 solche gegenüberliegende Theilpunkte geht, der demselben am nächsten kommende, kleinere Fugenwinkel, welcher durch die soeben angegebene Construction hinreichend genau bestimmt werden kann, der Ausführung zu Grunde zu legen.

b) Ermittlung des kleinsten zulässigen Lagerfugenwinkels und des demselben entsprechenden, größten zulässigen Pfeilverhältnisses bei gegebenem Schrägungswinkel des Gewölbes.

Ist der Schrägungswinkel und kleinste Lagerfugenwinkel des Gewölbes bestimmt, so ergibt sich nach Gleichung (43) der dem letzteren entsprechende, größte Lagerflächenwinkel aus

$$\sin w = \frac{\sin \gamma}{\sin \alpha}, \quad (47)$$

mithin, wenn $\gamma = \alpha - \beta$ gesetzt wird,

$$\sin w = \frac{\sin(\alpha - \beta)}{\sin \alpha} \quad (48)$$

und, wenn $\beta = 10^\circ$ angenommen wird,

$$\sin w = \frac{\sin(\alpha - 10^\circ)}{\sin \alpha}, \quad (49)$$

woraus der kleinste Lagerflächenwinkel

$$w_{\min} = \arcsin \left(\frac{\sin(\alpha - 10^\circ)}{\sin \alpha} \right) \quad (50)$$

gefunden wird. Aus dem Winkel w_{\min} läßt sich das zugehörige, größte Pfeilverhältniß $\frac{f}{l}$ des Stirnbogens des schiefen Gewölbes bestimmen. Bezeichnet r dessen Radius, so ist

$$\sin w = \frac{r - f}{r}, \quad (51)$$

und da $r = \frac{f^2 + \left(\frac{l}{2}\right)^2}{2f}$, mithin $r - f = \frac{\left(\frac{l}{2}\right)^2 - f^2}{2f}$ beträgt

$$\sin w = \frac{1 - \left(\frac{2f}{l}\right)^2}{1 + \left(\frac{2f}{l}\right)^2} \quad (52)$$

Wird diese Gleichung nach $\frac{f}{l}$ aufgelöst, so erhält man, wenn der durch Gleichung (49) gegebene Werth von $\sin w$ eingeführt wird, das größte gesuchte Pfeilverhältniß

$$\frac{f}{l} = \frac{1}{2} \sqrt{\frac{1 - \sin w}{1 + \sin w}} \quad (53)$$

Setzt man dem Schrägungswinkel α nacheinander die Werthe $10^\circ, 20^\circ, \dots, 90^\circ$ bei, so ergeben sich nach dem Vorhergehenden die in umstehender Tabelle berechneten Werthe von $\alpha, \gamma_0, \sin w, w$ und $\frac{f}{l}$.

Aus dieser Tabelle folgt, daß mit der Zunahme des Schrägungswinkels oder mit der Abnahme des Schnittwinkels der Achsen das Pfeilverhältniß abnimmt und daß das dem größten und kleinsten Schnittwinkel der Achsen von 80° und 20° entsprechende größte zulässige Pfeilverhältniß bezw. $\frac{1}{2}$

und $\frac{1}{10}$ beträgt. Für zwischenliegende Werthe der Schrägungs- und Schnittwinkel können die ihnen zugehörigen Werthe der größten zulässigen Pfeilverhältnisse durch Interpolation gefunden werden. Zu einem Schrägungswinkel von z. B. $52^\circ 30'$ würde sich hiernach ein größtes Pfeilverhältniß von $\frac{1}{7,1}$ ergeben.

*) Bgl. Heider, Theorie schiefer Gewölbe. Wien 1846.

α	α'	γ_0	$\sin w$	w	$\frac{f}{l}$	
					berechnet.	rund
10	80	5	0,000	0° 00'	0,500	$\frac{1}{2}$
15	75	10	0,336	19° 37'	0,352	$\frac{1}{3}$
20	70	15	0,509	30° 36'	0,285	$\frac{1}{3,5}$
25	65	20	0,612	37° 44'	0,245	$\frac{1}{4}$
30	60	25	0,684	43° 09'	0,216	$\frac{1}{4,6}$
35	55	30	0,737	47° 30'	0,195	$\frac{1}{5}$
40	50	35	0,777	51° 00'	0,177	$\frac{1}{5,6}$
45	45	40	0,812	54° 18'	0,158	$\frac{1}{6,4}$
50	40	45	0,839	57° 00'	0,147	$\frac{1}{6,8}$
55	35	50	0,863	59° 40'	0,135	$\frac{1}{7,4}$
60	30	55	0,884	62° 08'	0,121	$\frac{1}{8,2}$
65	25	60	0,904	64° 41'	0,112	$\frac{1}{9}$
70	20	65	0,921	67° 00'	0,101	$\frac{1}{10}$

c) Ermittlung des größten zulässigen Schrägungswinkels des Gewölbes und des davon abhängigen kleinsten zulässigen Schnittwinkels der Bahn- und Gewölbachse, wenn das Pfeilverhältniß und der kleinste Lagerflächenwinkel des Gewölbes gegeben ist.

Ist der Lagerfugenwinkel γ und der Lagerflächenwinkel w bekannt, so läßt sich hieraus der entsprechende größte Schrägungswinkel α und kleinste Schnittwinkel α' der Achsen beider Tragen finden.

Aus der Relation (47) ergibt sich, wenn für γ der kleinste zulässige Fugenwinkel $\gamma = \alpha - \beta$ eingeführt wird,

$$\sin \alpha = \frac{\sin(\alpha - \beta)}{\sin w} \dots (54)$$

Wird für $\sin(\alpha - \beta)$ sein Werth gesetzt, so ergibt sich

$$\sin \alpha = \frac{\sin \alpha \cos \beta - \cos \alpha \sin \beta}{\sin w},$$

woraus

$$\sin \alpha (\cos \beta - \sin w) = \cos \alpha \sin \beta,$$

oder

$$\tan \alpha = \frac{\sin \beta}{\cos \beta - \sin w} \dots$$

Wird hierin wie früher $\beta = 10^\circ$ gesetzt, so erg $\sin \beta = 0,174$ und $\cos \beta = 0,985$, mithin die Rel

$$\tan \alpha = \frac{0,174}{0,985 - \sin w} \dots$$

in welche der in Gleichung (52) erhaltene Werth von einzuführen ist.

Nimmt man hierin das Verhältniß $\frac{f}{l} =$

das absolut kleinste zulässige Pfeilverhältniß ist nach Gleichung (52)

$$\sin w = \frac{1 - \left(\frac{2}{10}\right)^2}{1 + \left(\frac{2}{10}\right)^2} = 0,923,$$

und wenn dieser Werth in Gleichung (57) eingefü

$$\tan \alpha = \frac{0,174}{0,985 - 0,923} = 2,806.$$

Nun ist

$$\text{Log } 2,806 = 0,4480877 = \text{Log } \tan \alpha,$$

mithin der überhaupt bei einem schiefen Segmentbogen größte zulässige Schrägungswinkel

$$\alpha = 70^\circ 23',$$

welchem der kleinste überhaupt zulässige Schnittwi: Bahn- und Gewölbachse

$$\alpha' = 90 - \alpha = 19^\circ 37', \text{ rot. } 20^\circ$$

entspricht.

$$\text{Setzt man noch successive } \frac{f}{l} = \frac{1}{10}, \frac{1}{8}, \frac{1}{7} \dots$$

welches letztere dem vollen Halbkreisgewölbe entspricht giebt sich umstehende Tabelle für die demselben entspr Schrägungs- und Schnittwinkel schiefer Segmentbogen

Aus dieser Tabelle folgt wieder, daß der Zun Pfeilverhältnisses auch eine Zunahme des Schnittwi: Achsen entspricht und daß die den Pfeilverhältnissen -

$\frac{1}{2}$ entsprechenden Schnittwinkel von 20° und 80°

deren Grenzen für Segmentbogengewölbe mit mittlen stantem Fugenwinkel bilden. Für zwischenliegende der Pfeilverhältnisse lassen sich die zugehörigen Schn auch hier durch Interpolation ermitteln, wonach z.

Pfeilverhältniß von $\frac{1}{7,5}$ der Schnittwinkel von na: entspricht.

$\frac{f}{l}$	$\sin w$	w	$\operatorname{tg} \alpha$	α	α_1	
					berechnet.	abgerundet.
$\frac{1}{10}$	0,923	67° 20'	2,806	70° 23'	19° 37'	20°
$\frac{1}{8}$	0,882	62° 05'	1,694	59° 27'	30° 33'	30°
$\frac{1}{7}$	0,849	58° 07'	1,278	51° 58'	38° 02'	38°
$\frac{1}{6}$	0,800	53° 06'	0,941	43° 15'	45° 45'	46°
$\frac{1}{5}$	0,724	46° 25'	0,667	33° 42'	56° 18'	56°
$\frac{1}{4}$	0,600	36° 52'	0,452	24° 20'	65° 40'	66°
$\frac{1}{3}$	0,385	22° 37'	0,289	16° 06'	73° 54'	74°
$\frac{1}{2}$	0	0° 00'	0,177	10° 03'	79° 57'	80°

In vielen Fällen der Praxis wird weder der Schnittwinkel, noch das Pfeilverhältniß des Gewölbes genau gegeben, vielmehr ein passendes, den örtlichen Umständen entsprechendes Verhältniß zwischen beiden aufzusuchen sein, wobei es, falls Tabellen, wie die oben berechneten, nicht zur Hand sind, wünschenswerth erscheint, aus dem Pfeilverhältniß den entsprechenden Schrägungswinkel oder aus dem Schrägungswinkel das entsprechende Pfeilverhältniß ableiten zu können. Im ersten Falle ergibt sich aus Gleichung (57), wenn für $\sin w$ aus Gleichung (52) sein Werth und der Kürze halber das Pfeilverhältniß

$$\frac{f}{l} = \varphi$$

gesetzt wird,

$$\varphi = \frac{1}{2} \sqrt{\frac{0,015 \cdot 0,577 + 0,174}{1,985 \cdot 0,577 + 0,174}} = \frac{1}{2} \sqrt{0,185} = 0,215 = \frac{1}{4,6}$$

und

$$\varphi'' = \frac{1}{2} \sqrt{\frac{0,015 \cdot 0,839 + 0,174}{1,985 \cdot 0,839 - 0,174}} = \frac{1}{2} \sqrt{0,125} = 0,177 = \frac{1}{5,6},$$

woraus man das geeignetste mittlere Verhältniß ableitet.

2) Berechnung und Construction eines aus Quadern oder aus Quadern und Ziegeln bestehenden schiefen Brückengewölbes mit Kreissegmentförmigem Stirnbogen und constantem Fugenwinkel.

Siehe Taf. 17, Fig. 4 bis 16.

Beträgt dessen
zur Stirn parallele Spannweite $l = 8,55$ Met.,

$$\operatorname{tg} \alpha = \frac{0,174}{0,985 - \left(\frac{1 - 4\varphi^2}{1 + 4\varphi^2} \right)}, \quad (59)$$

im letzteren Falle erhält man, wenn dieser Ausdruck in Bezug auf φ aufgelöst wird,

$$\varphi = \frac{1}{2} \sqrt{\frac{0,015 \operatorname{tg} \alpha + 0,174}{1,985 \operatorname{tg} \alpha - 0,174}}, \quad (60)$$

Gleichungen, aus welchen durch einige Versuchsrechnungen das den örtlichen Bedingungen entsprechendste Verhältniß zwischen φ und α zu ermitteln ist.

Hat man beispielsweise für den Schrägungswinkel des Gewölbes die Wahl zwischen den Grenzwertthen $\alpha_1 = 30^\circ$ und $\alpha'' = 40^\circ$, so ergibt sich für beide Fälle beziehungsweise das Pfeilverhältniß

Normalabstand der Stirnen 10 Met.,
Schnittwinkel der Straßen- und Brückenachse 60° ,
Centriwinkel des Stichbogens 70° ,
Gewölbstärke $d = 1,15$ Met.,
Zahl der Gewölbsteine 17,
so erhält man den
Radius der inneren Wölblinie

$$r = \frac{\frac{1}{2}}{\sin \frac{70}{2}} = \frac{1}{2 \sin 35^\circ} = \frac{8,55}{2 \cdot 0,574} = 7,45 \text{ Met.},$$

Radius der äußeren Wölblinie

$$R = r + d = 7,45 + 1,15 = 8,6 \text{ Met.},$$

Schrägungswinkel des Gewölbes

$$\alpha = 90^\circ - 60^\circ = 30^\circ.$$

a) Berechnung und Construction des schiefen Brückengewölbes.

Der mittlere constante Fugenwinkel ergibt sich aus Gleichung (44)

$$\gamma_c = \frac{\alpha + \gamma_{\min}}{2} = \frac{30 + \gamma_{\min}}{2},$$

der kleinste variable Fugenwinkel γ_{\min} für den kleinsten Lagerfugenwinkel

$$w_{\min} = \frac{180 - 70}{2} = 55^\circ,$$

nach Gleichung (43)

$$\sin \gamma_{\min} = \sin \alpha \cdot \sin w_{\min} = \sin 30^\circ \cdot \sin 55^\circ.$$

Hieraus erhält man

$$\gamma_{\min} = 24^\circ 10' 40'',$$

mithin den berechneten, mittleren constanten Fugenwinkel

$$\gamma_c = \frac{30 + 24^\circ 10' 40''}{2} = 27^\circ 5' 20'',$$

ein Werth, welcher von dem größten und kleinsten variablen Fugenwinkel nur um

$$30^\circ - 27^\circ 5' 20'' = 27^\circ 5' 20'' - 24^\circ 10' 40'' = 2^\circ 54' 40''$$

abweicht, also keine nachtheiligen Verschiebungen der Gewölbesteine nach den Gewölbstirnen veranlassen kann. Wird derselbe in die Abwicklung eingetragen, wie dies in Fig. 6 geschehen ist, so ergibt sich der corrigirte, mittlere constante Fugenwinkel.

Die Abscissen des abgewickelten Stirnbogens ergeben sich aus Gleichung (19), worin für r und α ihr Werth zu setzen und w zwischen den Grenzen 55 und $180 - 55 = 125^\circ$ zu nehmen ist. Hiernach erhält man aus Gleichung (19)

$$x = r \cdot \sin \alpha (1 - \cos w) = 7,45 \cdot \sin 30^\circ (1 - \cos w) = 3,725 (1 - \cos w)$$

und für

$$w = 55^\circ; x = 3,725 (1 - \cos 55^\circ) = 1,5875,$$

$$w = 90^\circ; x = 3,725 (1 - \cos 90^\circ) = 3,7250,$$

$$w = 125^\circ; x = 3,725 (1 - \cos 125^\circ) = 5,8625.$$

Wird, um diese, auf den vollen Halbkreis bezogenen Abscissen nicht vollständig auftragen zu müssen, die Abscisse $1,5875$ des Anfangspunktes von ihnen abgezogen, so ergibt sich für

$$w = 55^\circ; x = 1,5875 - 1,5875 = 0,0000,$$

$$w = 90^\circ; x = 3,7250 - 1,5875 = 2,1375,$$

$$w = 125^\circ; x = 5,8625 - 1,5875 = 4,2750,$$

wie dies in Fig. 6 der Taf. 18 eingetragen ist.

Da die in Fig. 4 und 5, Taf. 17, eingetragenen Stoßfugen des Gewölbes parallel zur Stirnfläche, mithin in der Abwicklung, Fig. 6, parallel zu dem darin dargestellten, abgewickelten Stirnbogen sind, so ist der Steinschnitt in die Abwicklung bestimmt und kann mit Hilfe der zur Gewölbachse parallelen Cylinderelemente, welche in der Horizontalprojection, Fig. 5, und in der Abwicklung, Fig. 6, dieselbe Länge besitzen, sowohl in der Horizontalprojection als auch sobald die Lagerfugen in diese letztere eingetragen sind, in der Verticalprojection dargestellt werden, wie dies beziehungsweise in Fig. 5 und 4 geschehen ist. Ist der Steinschnitt der inneren Gewölbsfläche in der Verticalprojection bestimmt, so erhält man den in der letzteren Figur gleichfalls dargestellten Steinschnitt der äußeren Gewölbsfläche, wenn man den zu irgend einem Fugenpunkte der inneren Gewölbsfläche gehörigen Radius um die Dicke des Gewölbes verlängert.

b) Steinschnitt des schiefen Brückengewölbes.

Auf diese Weise ist der Steinschnitt in Auf- und Grundriß vollkommen bestimmt und jeder wünschenswerthe Anhaltspunkt für das Heraustragen und Bearbeiten der Gewölbesteine gegeben. So giebt Fig. 8, Taf. 17, die Verticalprojection eines Stirnstückes und einiger Kämpfer, Fig. 9 und 13 deren Horizontalprojection, Fig. 12 die aus Fig. 13 entwickelte Ansicht der Kämpfer von der Gewölbelaibung. Aus den in Fig. 8 und 12 eingetragenen Fugen qrs und tIv geht zugleich die Anordnung der gebrochenen Stoßflächen der Kämpfer deutlich hervor, welche unterhalb einer durch die Linie $O I II III \dots$ des Gewölbanfangs gelegten Horizontalebene durchweg lothrecht, oberhalb derselben unter dem Winkel tIO (Fig. 12) zur Horizontalen geneigt, mithin aus einer unten befindlichen, lothrechten Fläche von der Tiefe Iw (Fig. 13) und der Höhe Iv (Fig. 13) sowie aus einer darüber befindlichen geneigten, paralleltreapezförmigen Fläche mit den in Fig. 13 dargestellten, wagrechten Seiten wl unten, zx oben und der hinteren, zu beiden Seiten normalen dritten Seite tI (Fig. 12) zusammenge setzt sind.

Nur im Scheitel des Gewölbes, wo die Lagerfuge wagrecht und die Stoßfläche lothrecht ist, schließen beide einen rechten Winkel ein, während sie an allen übrigen Stellen des Gewölbes einen um so spitzeren Winkel miteinander bilden, je weiter sie von dem Gewölbscheitel entfernt sind.

Um nun bei Anwendung von Ziegelschichten diese da, wo sie die Stirnstücke unter spitzen Winkeln treffen, nicht verhauen zu müssen, zieht man vor, die aus Quadern bestehenden Stirnstücke so „abzuwinkeln“, daß die Stoßfugen derselben normal zur Richtung jener Ziegelschichten sind. Alsdann müssen ihre in der Laibung sichtbaren Stoßflächen sowohl senkrecht auf den geraden Lagerfugen der Abwicklung, (siehe die in doppeltem Maßstabe gegebene Figur 7) als auch

ASTORIA JUNIOR HIGH SCHOOL
FOUNDED 1902

Fig. 18. $\frac{1}{3}$ Dach
 $\alpha = \frac{2}{3}$

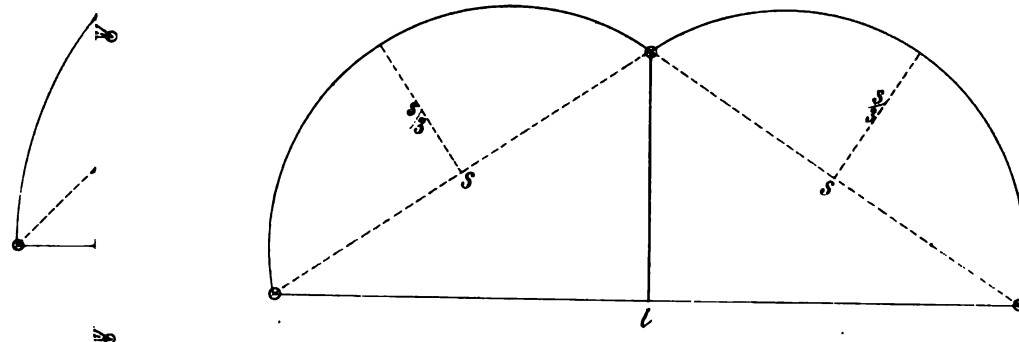


Fig. 19. $\frac{1}{4}$ Dach
 $\alpha = \frac{1}{2}$

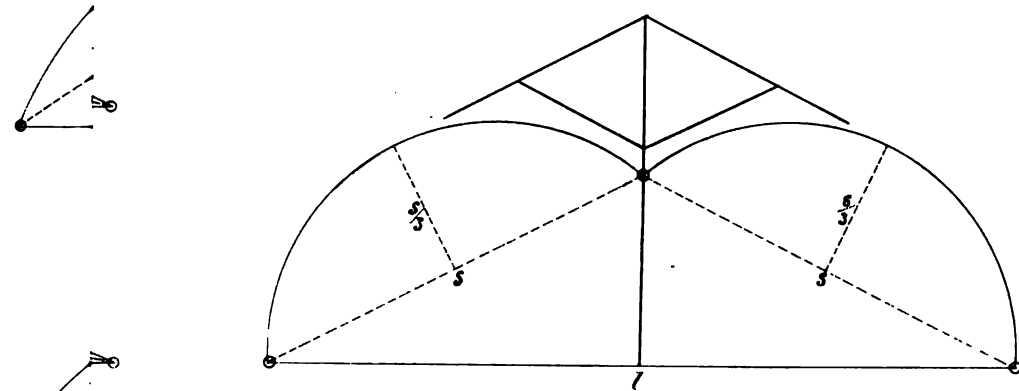


Fig. 14.

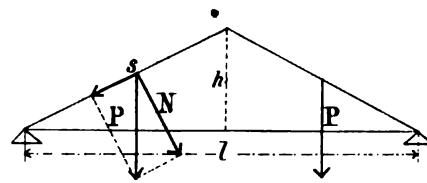
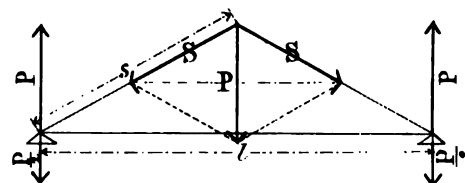
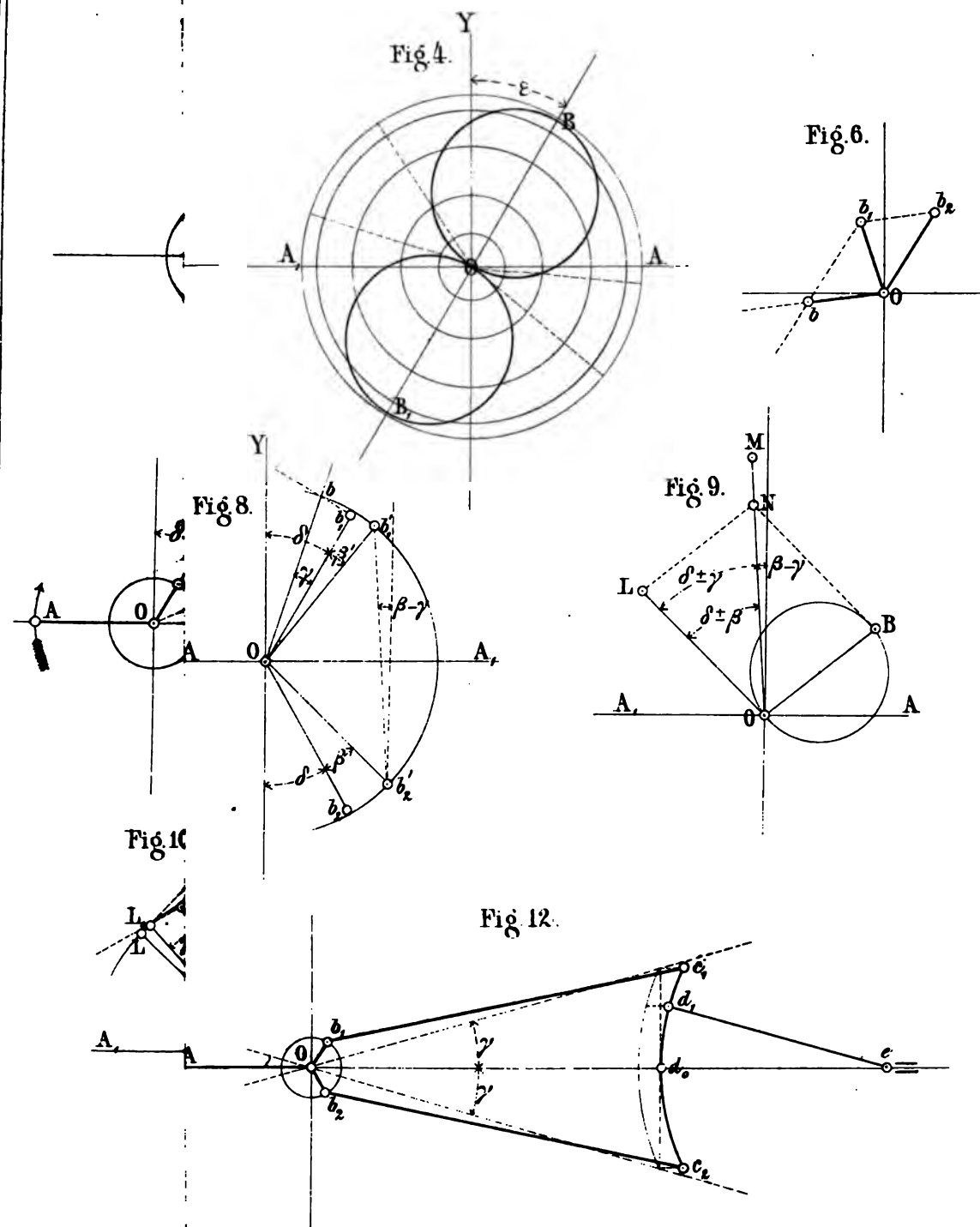


Fig. 15.



the 1990s, the number of people in the world who are illiterate has increased from 1.1 billion to 1.5 billion. The number of illiterate people in the world is projected to reach 1.7 billion by the year 2015. The number of illiterate people in the world is projected to reach 1.7 billion by the year 2015. The number of illiterate people in the world is projected to reach 1.7 billion by the year 2015.



THE NEW YORK
PUBLIC LIBRARY
ASTOR LENOX
TILDEN FOUNDATION

Fig. 19.

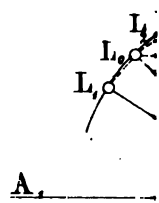


Fig. 21.

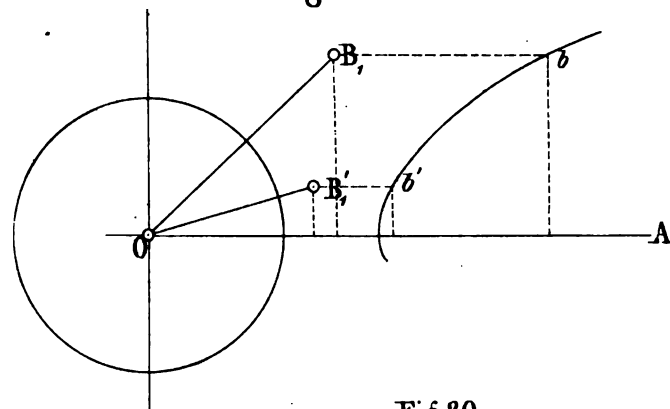
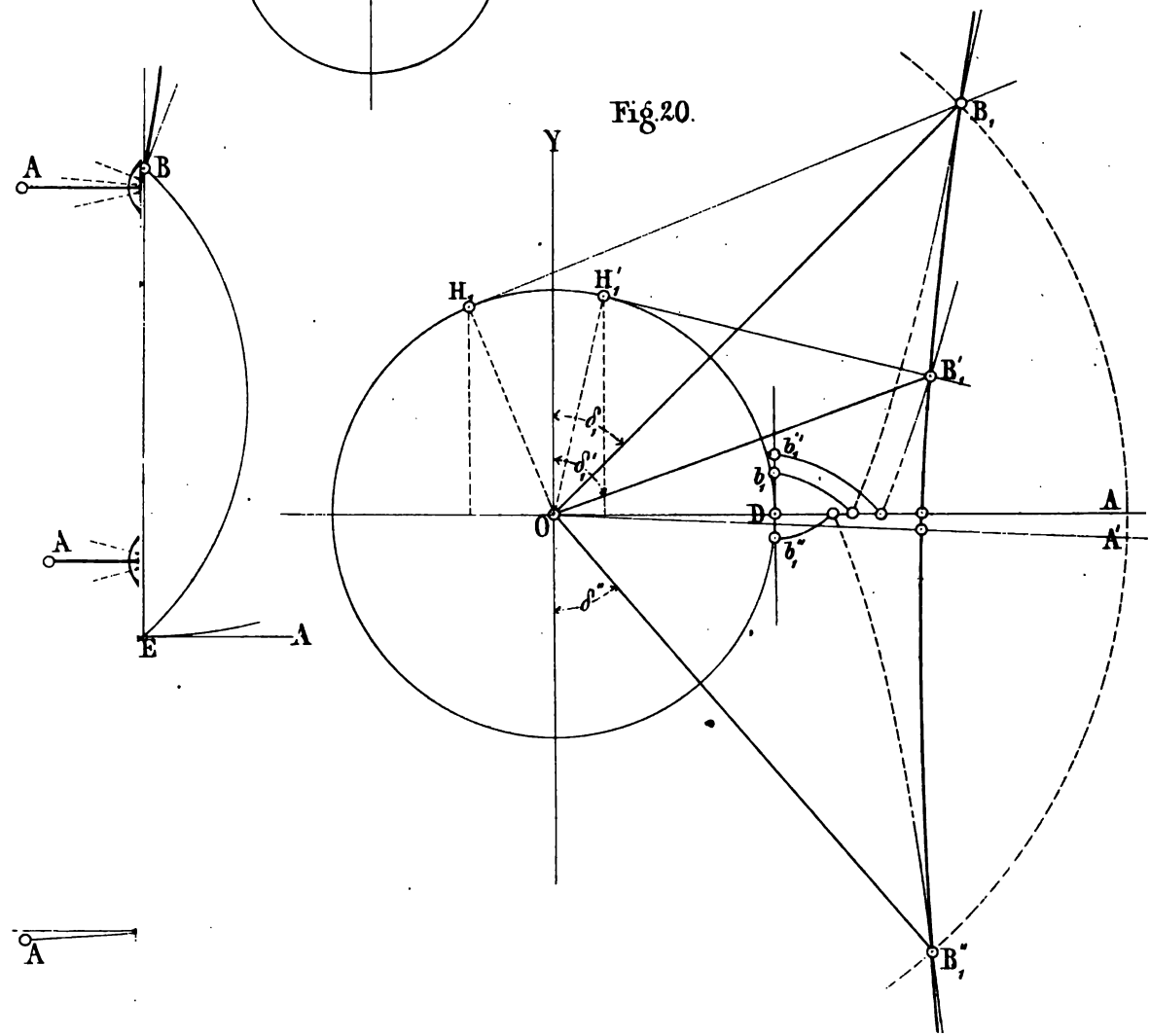
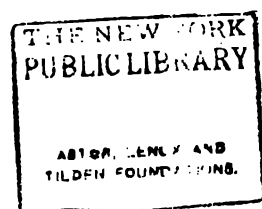


Fig. 20.





auf der geneigten Lagerfuge stehen. Um dies Verhalten der Abwinkelung an einem Kämpfer, also da zu zeigen, wo am bedeutendsten wird, ist die Projection Xa

Taf. 17) der Lagerfuge in Fig. 10 derselben Tafel zu sehen und in dem Punkte a diejenige Lothrechte ac zu ermitteln, welche dem gleichnamigen lothrechten Abstände des Punktes der Lagerfuge von deren tiefstgelegenen Punkte t wird zu der, auf diese angenäherte Weise erhaltenen, cX (Fig. 10) der Lagerfuge in X eine zu male von der Länge der Gewölbböschung errichtet, so entsteht Projection bX der Horizontalprojection (Fig. 11) und inneren Begrenzungslinie jener zu den äußeren Ziegelschichten normalen Stoßflächen. Wird der Abstand X nach ef in Fig. 11 übertragen, welche in allen Theilen aus der Verticalprojection, Fig. 8, Taf. 17, entnommen ist, so ergibt sich hierdurch der nur an deren etwas veränderte Steinschnitt der Kämpfer, welcher Kämpfer, mit Ausnahme jener an den beiden Stirnen, lothrechte Stirnfläche behalten, der nämliche bleibt.

(übertragen der End- und Zwischenkämpfer und Laibungskämpfer) des schiefen Brückenbogens sammt Bestimmung ihres kleinsten parallelpipedschen Umschließungskörpers.

α) End- oder Stirnkämpfer.

Wie in Fig. 8 und 9, Taf. 17, enthaltenen Auf- und Abstrichen des vorderen linken Stirnkämpfers liefert nicht Vertical- und Horizontal-Abmessungen der in Fig. 14,

Taf. 17, enthaltenen perspectivischen Darstellung desselben, sondern auch die kleinste rechtwinkelige Basis $ghik$ (Fig. 9) und die größte lothrechte Höhe ll' (Fig. 8) des gleichfalls in Fig. 14 construirten Umschließungskörpers $gg'h'h'ii'kk'$, dessen Vorderfläche mit der lothrechten Stirnfläche dieses Quaders zusammenfällt, während seine lothrechten Seitenflächen $ii'gg'kk'h'h'$ und $gg'h'h'$ seine durch I und I' (Fig. 9) gehenden lothrechten Kanten enthalten und seine obere wagrechte Begrenzungsfläche $g'i'h'k'$, durch jenen höchsten Punkt l (Fig. 8) geht.

β) Zwischen- oder Laibungskämpfer.

Auch für die in Fig. 15 und 16, Taf. 17, enthaltene perspectivische Darstellung des dritten linken Zwischenkämpfers von dessen Rück- und Stirnseite liefern die Figuren 8 und 9 alle nöthigen Vertical- und Horizontal-Abmessungen. Die kleinste, in Fig. 9 eingetragene, rechteckige Basis mnp des parallelpipedschen Umschließungskörpers $mm'nn'oo'pp'$ (Fig. 15 und 16, Taf. 17), sammt der ihm zukommenden Höhe $ll' = ll'$ (Fig. 8) bestimmen hierauf dessen sämtliche Abmessungen. Die lothrechte Fläche $mm'oo'$ desselben fällt hiernach mit der Rückenfläche des Kämpfers zusammen, während dessen lothrechte Begrenzungsflächen $mm'nn'$, $oo'pp'$ und $nn'pp'$ (Fig. 15 und 16), beziehungsweise durch die Kanten mn , op und den Punkt y der Figur 9 festgelegt sind und die obere wagrechte Begrenzungsfläche $m'n'o'p'$ (Fig. 15 und 16) durch den höchsten Punkt l (Fig. 8) des Quaders hindurch geht.

Voreinstromung und Vorausströmung bei Schiebersteuerungen, besonders den Coulissensteuerungen.

Von

A. von Borries, Ingenieur in Berlin.

(Hierzu Fig. 18 bis 21 auf Taf. 14).

Einleitung.

Für die Bestimmung der linearen Voreilung und Öffnungswinkels des Schiebers einer Dampfmaschine ionelle Regel zu gewinnen, wird man sich offenbar an die Gestaltung des Indicatorgrammes halten, genteur XX.

welches über die Wirkung des Dampfes den genauesten Aufschluß giebt. Aus der Ueberlegung und praktischen Versuchen geht dann hinsichtlich der Voreilung die Bestimmung hervor, daß dieselbe so gewählt sein solle, daß bei der Einstromung der volle Druck hinter dem Kolben in dem Momente eintrete,

wo sich die Kurbel im tohten Punkte befindet, sowie, daß bei der Ausströmung in eben dem Momente die Spannung vor dem Kolben auf ihr niedrigstes Maaß, die normale Blasrohrpressung, gesunken sein soll. Tritt nämlich bei der Einströmung dieser volle Druck eher ein, so entsteht ein Arbeitsverlust; ist derselbe im tohten Punkte noch nicht vorhanden, so erreicht er, wenn der Kolben erst einmal in Bewegung ist, nie mehr dieselbe Höhe wie sonst, es entsteht also wieder ein Arbeitsverlust. Ganz ähnlich steht es mit der Ausströmung, wo entweder der Dampf nicht lange genug expandirt, oder der schädliche Vorderdruck zu bedeutend wird. Die Indicatorversuche an Locomotiven von Bauschinger geben für die Wahrheit des Besprochenen die deutlichsten Beweise und haben mich überhaupt erst auf diese Bedingungen geführt; wie denselben gerecht zu werden ist, werde ich nachstehend zu entwickeln versuchen. Es wird sich ergeben, daß die abgeleiteten Resultate geeignet sind, für einen vorgelegten Fall eine Entscheidung der Frage, ob offene oder gekreuzte Excenterstangen bei den Coulissensteuerungen der Locomotiven anzuwenden seien, herbeizuführen, eine Frage, die auf dem Wege der Versuche nie zu lösen gewesen wäre, da es sich um äußerst geringe Abweichungen an einem so complicirten und unübersichtbaren Versuchsapparate, wie die Locomotive handelt.

I. Gesetz der Einströmung.

Der Dampf ströme in einen Cylinder, Fig. 18, Taf. 14, vom Querschnitte O ein, dessen Kolben sich im Abstände s vom Deckel befindet. Durch die Einströmungsöffnung vom Querschnitte F strömt in der Zeit dt das Dampfsgewicht

$$\mu \cdot w \cdot \delta \cdot F \cdot dt$$

ein, wo w die Geschwindigkeit, δ die Dichtigkeit, dem inneren Drucke p entsprechend, ist. Soll nun der Kolben den Weg ds zurücklegen, um den Druck p constant zu erhalten, so muß sich der Raum um das zugeströmte Volumen vergrößern, also sein:

$$\mu \cdot w \cdot \delta \cdot F \cdot dt = O \cdot \delta \cdot ds \text{ oder}$$

$$\mu \cdot w \cdot F \cdot dt = O \cdot ds.$$

Bewegt sich nun der Kolben, bei abgesperrter Deffnung F, wieder in seine vorige Position, so wird der Dampf von dem Volumen O.(s + ds) auf O.s comprimirt, mithin ist nach dem Mariotte'schen Gesetze, das man hier wohl anwenden kann, die Druckzunahme dp:

$$\frac{p + dp}{p} = \frac{O \cdot (s + ds)}{O \cdot s} \text{ oder}$$

$$\frac{dp}{p} = \frac{ds}{s}, \quad ds = \frac{s \cdot dp}{p},$$

$$\pm \frac{1}{\sqrt{p_e}} \left[\arcsin 1 - \arcsin \left(2 \frac{p_1}{p_e} - 1 \right) \right] = \frac{u}{O \cdot s} \sqrt{\frac{2g}{\gamma_e}} \int_0^1 F \, dt,$$

wodurch sich aus der ersten Formel ergibt:

$$\mu \cdot w \cdot p \cdot F \, dt = O \cdot s \cdot dp \quad (I)$$

Die Zuflußgeschwindigkeit w ist nun nach Reutenbacher:

$$w = \sqrt{\frac{2g}{\beta} \ln \frac{a + p_e}{a + p}},$$

wo p_e der äußere Druck, β und a aber Constanten sind. Setzt man noch

$$\ln \frac{a + p_e}{a + p} = \ln \left(1 + \frac{p_e - p}{a + p} \right) = \text{circa } \frac{p_e - p}{a + p}$$

was hier, da p_e selten $> 2p$ ist, zulässig erscheint, und $\beta(a + p) = \gamma_e$, so ist wegen der Kleinheit von a gegen p,

$$\gamma = \frac{p \cdot \gamma_e}{p_e}, \text{ mithin:}$$

$$w = \sqrt{2g \frac{p_e^2 - p \cdot p_e}{p \cdot \gamma_e}} \quad (II)$$

Aus den Gleichungen (I) und (II) folgt nun:

$$\mu \cdot F \sqrt{2g \frac{p_e^2 p - p^2 \cdot p_e}{\gamma_e}} \, dt = O \cdot s \cdot dp, \text{ oder:}$$

$$\sqrt{\frac{\gamma_e}{2g(p_e^2 p - p^2 \cdot p_e)}} \, dp = \frac{\mu \cdot F}{O \cdot s} \, dt, \text{ oder:}$$

$$\frac{dp}{\sqrt{p_e^2 p - p^2 \cdot p_e}} = \frac{\mu \cdot F}{O \cdot s} \sqrt{\frac{2g}{\gamma_e}} \, dt.$$

Da der äußere Druck p_e (im Schieberkasten) als constant anzusehen ist, so stehen auf der rechten Seite der Gleichung außer F nur Constanten; das Integral des Ausdrucks

$\frac{dp}{\sqrt{p_e^2 p - p^2 \cdot p_e}}$ findet sich durch die Reduction auf die Form $\frac{dx}{\sqrt{1 - x^2}}$ als

$$\int \frac{dp}{\sqrt{p_e^2 p - p^2 \cdot p_e}} = \left| \pm \frac{1}{\sqrt{p_e}} \arcsin \left(2 \frac{p}{p_e} - 1 \right) \right|.$$

Es ergibt sich mithin:

$$\left| \pm \frac{1}{\sqrt{p_e}} \arcsin \left(2 \frac{p}{p_e} - 1 \right) \right| = \frac{\mu}{O \cdot s} \sqrt{\frac{2g}{\gamma_e}} \int_0^1 F \, dt.$$

Denn der Abstand s, welcher in dem Falle der Einströmung die Größe des schädlichen Raumes bezeichnet, kann hier wohl als constant betrachtet werden, da der Weg des Kolbens während der Voreinstromung verschwindend klein ist. Die Grenzen des Integrales sind für p der Compressionsdruck p_1 zu Beginn der Voreinstromung und, dem oben Erörterten zufolge, der Druck p_e im Momente der Todstellung. Daher ist:

hier nur das + Zeichen gelten kann:

$$\frac{\pi}{2} - \arcsin \left(2 \frac{p_1}{p_0} - 1 \right) = \frac{\mu}{O \cdot s} \sqrt{2g \frac{p_0}{\gamma_a}} \int_0^t F dt. \quad (III)$$

II. Gesetz der Ausströmung.

Ist die Sache ziemlich dieselbe wie oben, nur ist p und der Druck p nimmt ab; daher lauten die Differenzialgleichungen hier:

$$\mu \cdot w \cdot \delta_a F dt = - O \cdot \delta \cdot ds',$$

Dichtigkeit des Dampfes im Austrittscanale, dem daselbst entsprechend, ist, und

$$\frac{p - dp}{p} = \frac{s' - ds'}{s'}, \text{ oder}$$

$$\frac{dp}{p} = \frac{ds'}{s'}, \quad ds' = \frac{s' \cdot dp}{p}.$$

Es folgt, da $\delta_a p = \delta p_a$ ist:

$$\mu \cdot p_a \cdot w \cdot F dt = - O \cdot s' \cdot dp$$

da s' , der in diesem Falle ebenfalls als constant werden kann, weil die Ausströmung erst gegen Ende beginnt, ist, wenn s den schädlichen Raum wie

oben bezeichnet und l der Kolbenhub ist:

$$s' = s + l$$

zu setzen, mithin:

$$\mu p_a w \cdot F dt = - O (s + l) dp.$$

Setzt man die Ausströmungsgeschwindigkeit wie vorhin in Formel (II)

$$w = \sqrt{2g \left(\frac{p - p_a}{\gamma_a} \right)},$$

so folgt nach einiger Umformung:

$$\frac{dp}{\sqrt{p - p_a}} = - \frac{\mu p_a}{O \cdot (s + l)} \cdot \sqrt{\frac{2g}{\gamma_a}} \cdot F dt.$$

Die Integration dieser Gleichung ergibt:

$$\sqrt{p - p_a} = - \frac{\mu p_a}{2 \cdot O (s + l)} \cdot \sqrt{\frac{2g}{\gamma_a}} \int_0^t F \cdot dt.$$

Die Grenzen der Integration sind nach dem Obigen für p der Enddruck p_0 der Expansion und der Druck p_a im Austrittscanale im Moment der Todstellung. Daher ist:

$$\sqrt{p_0 - p_a} - \sqrt{p_a - p_a} = - \frac{\mu p_a}{2 \cdot O (s + l)} \cdot \sqrt{\frac{2g}{\gamma_a}} \int_0^t F dt \text{ oder}$$

$$\sqrt{p_0 - p_a} = \frac{\mu \cdot p_a}{2 \cdot O (s + l)} \cdot \sqrt{\frac{2g}{\gamma_a}} \int_0^t F \cdot dt. \quad (IV)$$

III. Das Integral $\int_0^t F dt$.

nimmt in diesem Falle derjenige Werth dieses Integrals an, der zwischen den Grenzen des Beginnes resp. Ausströmung und dem folgenden todtten Punkte anzuwenden ist; hierher gelten alle Formeln ganz allgemein, für alle Steuerungen; nun erst kommt die Bewegung des betrachteten Schieber mittels Excentern oder

bei der Berechnung des Integrales $\int_0^t F \cdot dt$ in

δ der Voreilungswinkel, r der Kurbelradius der Kurbel, d die Deckung des Schiebers, so ist die Deckung des Dampfcanales, wenn die Kurbel vom todtten δ einen Winkel ω durchlaufen hat:

$$F = b[r \sin(\omega + \delta) - d],$$

wo b die Canalsbreite ist. Nennt man die Winkelgeschwindigkeit der Kurbel c , so ist noch $c \cdot dt = d\omega$, mithin:

$$\int_0^t F dt = \frac{b}{c} \int_{-\omega'}^0 [r \sin(\delta + \omega) - d] d\omega,$$

wo $-\omega'$ der resp. Voröffnungs Winkel ist, bei dem die Ein- resp. Ausströmung beginnt. Die Integration giebt:

$$\int_0^t F dt = \frac{b}{c} [r(\cos[\delta - \omega'] - \cos \delta) - \omega' d]. \quad (V)$$

Bezeichnet man den Ausdruck in der Klammer mit E , so erhält man mittelst Gleichung (V) aus den Gleichungen (III) und (IV) wenn $-\omega_1$ und $-\omega_2$ die der Ein- und Ausströmung entsprechenden Voröffnungs Winkel, d_1 und d_2 die entsprechenden Deckungen sind:

$$\frac{\pi}{2} - \arcsin \left(2 \frac{p_1}{p_0} - 1 \right) = \frac{\mu \cdot \sqrt{p_0}}{O \cdot s} \cdot \sqrt{\frac{2g}{\gamma_a}} \cdot \frac{b \cdot E_1}{c} \left\{ \begin{array}{l} \text{.} \\ \text{wo } E_1 = r[\cos(\delta - \omega_1) - \cos \delta] - \omega_1 d_1 \end{array} \right\} \quad (VI)$$

und

$$\left. \begin{aligned} \sqrt{p_a - p_s} &= \frac{\mu \cdot p_a}{2 \cdot O(1+s)} \cdot \sqrt{\frac{2g}{\gamma_a} \cdot \frac{b \cdot E_2}{c}} \\ E_2 &= r[\cos(\delta - \omega_2) - \cos \delta] - \omega_2 d_2 \end{aligned} \right\} \dots \dots \dots (VII)$$

wo

Diese Gleichungen sind die Bedingungsgleichungen dafür, daß die Ein- und Ausströmung in der oben besprochenen Weise erfolge. Dabei ist es principiell gleichgültig, ob die oben benutzte Formel für die Ausströmungsgeschwindigkeit des Dampfes richtig ist oder nicht, jedenfalls ist der Ausdruck

$$\frac{b \cdot E}{O \cdot s \cdot c}$$

gleich einer Function von den Spannungen p_a und p_1 resp. p_a und p_2 , die unter sonst gleichen Umständen dieselbe ist. Das Kriterium für die Dimensionen der Steuerung r , d , δ , ω' ist demnach die Größe:

$$E = r[\cos(\delta - \omega') - \cos \delta] - \omega' d,$$

welche ich daher die effective Voreilung nenne, im Gegensatz zu der linearen Voreilung und dem Voröffnungs- winkel, die man sonst wohl als maßgebend für die richtige

Wirkung der Steuerung betrachtet hat. Die effective Voreilung ist, wie man sieht, eine lineare Größe und keine Fläche.

Bei dem Trid'schen Canalschieber ist die Einströmungsöffnung F in der ersten Periode der Eröffnung doppelt so groß, als beim gewöhnlichen Schieber, daher hat man hier statt E_1 den Werth $2E_1$ in die Formel (VI) einzuführen. Bei dieser Gelegenheit sei übrigens bemerkt, daß sich das Princip dieses Schiebers durch Anbringung eines zweiten Canales leicht auf die Ausströmung übertragen läßt.

IV. Anwendung auf die Coulissensteuerungen insbesondere der Locomotiven.

Die Gleichungen (VI) und (VII), die man auch schreiben kann:

$$E_1 = \frac{c \cdot O \cdot s}{\mu \cdot b \cdot \sqrt{p_a}} \cdot \sqrt{\frac{\gamma_a}{2g}} \cdot \left[\frac{\pi}{2} - \arcsin \left(2 \frac{p_1}{p_a} - 1 \right) \right] \dots \dots \dots (VI)$$

$$E_2 = \frac{2 \cdot c \cdot O \cdot (s+1)}{\mu \cdot b \cdot p_a} \cdot \sqrt{\frac{\gamma_a}{2g}} \cdot [\sqrt{p_a - p_s}] \dots \dots \dots (VII)$$

geben mir das Mittel an die Hand, die Frage der linearen Voreilung bei den Coulissensteuerungen der Locomotiven für jeden einzelnen Fall zu lösen, mit anderen Worten, zu entscheiden, ob man offene oder gekreuzte Stangen anzuwenden habe, und ob die Steuerungen mit constanter linearer Voreilung wirklich den viel gerühmten Werth besitzen.

Aus den beiden Formeln folgt zunächst, daß bei constanter Geschwindigkeit c und unter sonst gleichen Umständen die effective Voreilung für die Einströmung constant sein soll für jeden Expansionsgrad, daß mithin die Durchmessercurve des Diagrammes (Siehe auch Heft III dieser Zeitschrift) eine Curve constanter effectiver Voreilung, deren Gestalt sich am besten aus der graphischen Darstellung der effectiven Voreilung ergibt, sein muß.

Graphische Darstellung der effectiven Voreilung. Es sei $\overline{OB} = r$ (Fig. 19) der Durchmesser eines Schieberkreises, dem der Voreilungswinkel $\angle YOB = \delta$ entspricht; die Deckung des Schiebers sei $\overline{OD} = d$, der Voröffnungs- winkel $\angle DOG = \omega'$; es handelt sich dann um die Darstellung der Größe:

$$E = r \cos(\delta - \omega') - r \cos \delta - \omega' d.$$

Verbindet man B mit dem Anfangspunkte G der Ein- resp. Ausströmung, so ist Winkel $\angle OBG = \delta - \omega'$, Winkel $\angle OBE = \delta$, also: $\overline{BG} = r \cos(\delta - \omega')$ und $\overline{BE} = r \cos \delta$.

Beschreibt man also um B mit dem Radius $= \overline{BE}$ einen Bogen, so schneidet derselbe auf BG das Stück $\overline{bG} = r \cos(\delta - \omega') - r \cos \delta$ ab, von welchem nur noch das Bogenstück $\overline{DG} = \omega' d$ abziehen ist. Zu diesem Zweck verzeichnet man von D aus die Evolvente des Deckungskreises, die dann auf BG in a die effective Voreilung:

$$\overline{ab} = r \cos(\delta - \omega') - r \cos \delta - \omega' d$$

abscneidet. Der geometrische Ort aller Punkte b , welche dieselbe effective Voreilung besitzen, ist offenbar die durch b gehende Evolvente des Deckungskreises, welche der ersteren parallel ist. Um dann für eine beliebige Tangente Gb des Deckungskreises die dieser Voreilung entsprechenden Durchmesser des Schieberkreises zu finden, ziehe man in b die Tangente bf an die Evolvente, mache $\overline{bf} = \overline{fE}$, so ist der Schnittpunkt B der Normalen in E auf OA und der Tangente Gb , der Endpunkt des gesuchten Durchmessers. Der geometrische Ort der Punkte B für eine constante effective Voreilung ist überhaupt die Curve, deren einzelne Punkte von der Evolvente aus b und der Spiegelrichtung OA gleich weit entfernt sind. Wollte man also eine Steuerung mit constanter effectiver Voreilung herstellen, so müßte diese Curve die Durchmessercurve des Diagrammes sein. Die Curve hat für die eine Drehungsrichtung den in der Figur 19 gezeichneten Verlauf und schneidet die Evolvente und die Richtung

OA im Punkte B_0 ; für die andere Drehungsrichtung würde ihr eine symmetrisch zu OA gelegene Curve entsprechen, die nur punktiert angegeben ist. Man sieht aus der Gestalt der Curven, daß der Bedingung der constanten effectiven Voreilung für beide Drehungsrichtungen nicht durch eine Coulissensteuerung entsprochen werden kann, da deren Durchmessercurven Parabeln sind; am besten wird man sich derselben durch eine Steuerung mit gekreuzten Stangen nähern.

Da die verschiedenen Umstände, insbesondere die Enddrucke der Expansion und Compression bei verschiedenen Füllungsgraden, doch niemals dieselben sind, so würde auch eine Steuerung mit constanter effectiver Voreilung den Bedingungsgleichungen (VI) und (VII) gar nicht entsprechen; zudem würde man auch für die Einstromung und Ausströmung verschiedene Durchmessercurven erhalten, was nicht realisierbar ist. Die Größe der für einen bestimmten Füllungsgrad anzuwendenden effectiven Voreilung hängt vielmehr von der Construction und Benutzungsweise der betreffenden Maschine ab, wie weiter unten gezeigt werden wird. Dazu ist aber nothwendig, daß man die Größe E für einen gegebenen Fall wirklich berechnen könne, wobei es sich besonders um die numerischen Werthe der Größen μ und γ handelt.

Den Ausflußcoefficienten μ wird man in Anbetracht der langen schmalen Oeffnung, die der Schieber dem Dampf bietet, wohl $\mu = 0,80$ annehmen können, während für den Werth $\gamma = \beta(a + p)$ zur Zeit wohl die Redtenbacher'schen Zahlen $\beta = 0,00004713$ und $a = 0,3017$ (wenn p in Kilo pr. \square^{cm} gegeben) anzunehmen sein dürften, die ja auch für niedere Drücke, also auch für den Austritt des Dampfes, ganz gut stimmen. Leider steht mir zu einer Correction derselben für höhere Drücke von 6—12^k Ueberdruck pr. \square^{cm} das erforderliche Material nicht zu Gebote.

Darnach kann man nun unter vorläufiger Annahme der Spannungen p_1 und p_2 den numerischen Werth der effectiven Voreilung

$$E = r[\cos(\delta - \omega') - \cos \delta] - \omega' d,$$

der einem bestimmten Füllungsgrade entsprechen soll, sowohl für die Ein- als Ausströmung berechnen; zur Bestimmung der Dimensionen der Steuerung muß aber noch eine Größe, am besten r , aus dem Ausdruck eliminirt werden. Es ist nun, wie bekannt:

$$d = r \sin(\delta - \omega'),$$

mithin folgt:

$$E = d \left[\frac{\cos(\delta - \omega') - \cos \delta}{\sin(\delta - \omega')} - \omega' \right]. \quad (\text{VIII})$$

Wegen der transcendenten Form dieser Gleichung kann man den Werth von ω' nur durch Probiren ermitteln. Indem man so für verschiedene Füllungen die Werthe von E und aus Gl. (VIII) und anderen Beziehungen die Werthe von r und δ berechnete, könnte man die Durchmessercurve

Punkt für Punkt berechnen. Dies würde aber wenig nützen, da die Durchmessercurve der Coulissensteuerungen ihrer Natur nach eine Parabel ist, man sich also begnügen muß, zwei Punkte derselben bestimmen zu dürfen. Man wird dazu zweckmäßig einmal denjenigen Punkt wählen, welcher der größtmöglichen Füllung des Cylinders, und dann denjenigen, der der Füllung bei normaler Leistung der Maschine entspricht. Für beide wird dann unter Berücksichtigung der stattfindenden Verhältnisse die entsprechende effective Voreilung berechnet und daraus werden entweder durch Rechnung oder durch graphische Construction, die beiden Punkte der Durchmessercurve bestimmt. Durch diese Construction würde man aber jedenfalls für die Ein- und Ausströmung verschiedene Durchmessercurven erhalten; da eine richtige Einstromung indeß jedenfalls von vorwiegender Wichtigkeit ist, so wird man die Durchmessercurve für die Einstromung feststellen und dann die innere Deckung d_2 so bestimmen, daß die Ausströmung möglichst richtig für alle Füllungsgrade wird.

Bei Anwendung der graphischen Construction zeichnet man nach Annahme der Deckung d_1 die Evolventen des Deckungskreises (siehe Fig. 19), welche den aus Formel (VI) berechneten effectiven Voreilungen E_1, E_1' entsprechen, indem man im Punkte D (Fig. 20) normal zu OD die Längen $\overline{Db_1} = E_1$ und $\overline{Db_1'} = E_2$ aufträgt und durch b_1 und b_1' die Evolventen legt. Construirt man sich nun Stücke der „Curven constanter effectiver Voreilung“ für beide Evolventen, so kann man auf diesen, mittelst der Tangente an den Deckungskreis in den Abschnittspunkten H_1 und H_1' , die beiden Punkte B_1 und B_1' auffinden, welche den, bei Berechnung von E_1 und E_1' angenommenen Füllungen entsprechen. Will man beide Excenter unter gleichen Voreilungswinkeln aufteilen, so gelten für den Rückwärtsgang zwei zu OA symmetrisch liegende Punkte, im anderen Falle kann man für den Rückwärtsgang nur noch einen Punkt bestimmen, über dessen Lage unten noch Näheres folgt. Da die effective Voreilung an sich eine sehr kleine Dimension ist, so müssen derartige Constructionen in 2—3 facher natürlicher Größe ausgeführt werden.

Bei der Berechnung mittelst der Formel (VIII) bleibt, weil ω' noch nicht bekannt ist, nichts Anderes übrig, als nach Annahme der Deckung d die Compressionsspannungen p_1 und p_2 sowie die, den angenommenen Füllungen entsprechenden Voreilungswinkel δ , aus einem bereits bestehenden, ohngefähr passenden Diagramme zu entnehmen. Nachdem man so aus Gleichung (VIII) die Winkel ω' gefunden, berechnen sich die entsprechenden Durchmesser der Schieberkreise aus der Formel:

$$r = \frac{d}{\sin(\delta - \omega')}, \quad \dots \quad (\text{IX})$$

womit die beiden Punkte B_1 und B_1' der Figur 20 ebenfalls gegeben sind.

Hat man in der angegebenen Weise die beiden Punkte B_1 und B_1' (Fig. 21) bestimmt, so handelt es sich durch beide eine Parabel als Durchmessercurve zu legen, deren Axe OA ist. Zu dem Ende zeichne man eine beliebige Parabel über dieser Axe, deren Punkte b und b' dieselben Ordinaten wie B_1 und B_1' haben mögen. Dann verhält sich, wie leicht zu beweisen, die Differenz der Abscissen von B_1 und B_1' von den Scheitelpunkten ab gerechnet, zur Abscisse von B_1' , wie die Differenz der Abscissen von b und b' zur Abscisse von b , womit die Abscisse des Punktes B_1' , also die Parabel gegeben ist. Wegen der Flachheit der Parabel wird es indes meist genügen, durch B_1 und B_1' einen Kreisbogen zu legen, dessen Mittelpunkt auf der Axe OA liegt.

Was den Rückwärtsgang der Maschine betrifft, so hat man bei Tendermaschinen immer zwei zu B_1 und B_1' in Bezug auf OA symmetrisch liegende Punkte zu benutzen, für welchen Fall die obige Auffindung der Parabel zunächst nur gilt. Bei den Eursmaschinen kommen aber andere Rücksichten zur Sprache; bei denselben wird der Rückwärtsgang eigentlich nur auf Bahnhöfen und unter Anwendung der größtmöglichen Füllung benutzt, welchen Bedingungen offenbar eine kleinere effective Voreilung als dem Vorwärtsgange entspricht. Will man gleiche Excentricitäten und eine symmetrische Coullisse anwenden, so muß der Durchmesser OB_1'' (Fig. 20) des Schieberkreises für den Rückwärtsgang gleich OB_1 sein; den Punkt B_1'' findet man also als Schnittpunkt der „Curve constanter effectiver Voreilung und eines Bogens, mit dem Radius $= OB_1$ um O beschrieben“.

Um für diesen Fall die als Durchmessercurve dienende Parabel aufzufinden, verfährt man wie vorhin, indem man nur als Axe derselben die Richtung OA' nimmt, welche den Winkel B_1OB_1'' halbt.

Nun handelt es sich noch darum die innere Deckung d_2 so zu berechnen, daß den vortheilhaftesten Ausströmungsverhältnissen thunlichst Genüge geschieht. Zu dem Zwecke berechnet man aus der Gleichung (VII) die effectiven Voreilungen E_2 und E_2' , welche den Punkten B_1 und B_1' der Durchmessercurve entsprechen. Da nun

$$d = r \sin(\delta - \omega'), \text{ so folgt:}$$

$$E = r [\cos(\delta - \omega') - \cos \delta - \omega' \sin(\delta - \omega')], \quad (X)$$

aus welcher Gleichung sich die, den Voreilungen E_2 und E_2' entsprechenden Winkel ω_2 und ω_2' ergeben, mittels deren man, da r und δ für beide Punkte B_1 und B_1' bekannt sind, aus der Gleichung (IX) die entsprechenden Deckungen berechnen kann, zwischen welchen man die wirkliche Deckung annimmt. Die Auffindung einer graphischen Construction für diesen Fall ist mir leider nicht gelungen, allein man kann ja auch auf graphischem Wege probiren, da doch schließlich eine mittlere innere Deckung angenommen wird.

In Kürze zusammengefaßt sind die Operationen bei der Construction einer Steuerung also folgende:

1) Annahme der äußeren Deckung etwa $= 0,55$ bis $0,60$ der Canalbreite.

2) Berechnung der effectiven Voreilungen für zwei Füllungsgrade des Vorwärtsganges, eventuell noch für den größeren derselben und Rückwärtsgang, nach der Formel (VI).

3) Construction oder Berechnung der zwei, eventuell drei entsprechenden Punkte der Durchmessercurve.

4) Construction oder Berechnung der inneren Deckung aus den nach Gleichung (VII) berechneten effectiven Voreilungen für die beiden Punkte des Vorwärtsganges.

Wie aus der gegebenen Durchmessercurve die Steuerung construirt werden kann, habe ich in dem oben citirten Aufsatz in dieser Zeitschrift bereits näher beschrieben.

Für die erste Anwendung dürfte es sich übrigens empfehlen die ganze Berechnung der Durchmessercurve zweimal zu machen, da die Werthe der Compressionsspannungen p_2 bei der ersten Berechnung abgeschätzt werden müssen. Ob die Steuerung offene oder gekreuzte Stangen erhalten muß, ergibt sich daraus, ob die Durchmessercurve nach O zu concav oder convex ist.

Die oben erwähnten Verhältnisse, welche bei Berechnung der effectiven Voreilung insbesondere hinsichtlich der Einstromung stattfinden und sich auf den Dienst der betreffenden Maschine beziehen, möchte ich noch an einigen Beispielen erläutern.

1) Schnellzugmaschine für Bahnen im flachen und Hügellande. Bei der an sich bedeutenden Geschwindigkeit dieser Maschinen, den kürzeren und geringeren Neigungen der Bahn, ist es nicht zulässig, daß die Geschwindigkeit auf den Steigungen abnehme, vielmehr muß man bei abnehmendem Dampfdruck im Kessel dieselbe durch Vergrößerung der Füllung aufrecht erhalten; den Druck kann man ja später auf den Horizontalen oder Gefällen wieder heben. Es ergibt sich also, daß die Geschwindigkeit bei allen Expansionsgraden nahezu dieselbe ist, so daß die effective Voreilung nach der Formel (VI) bei geringeren Füllungen (wegen der stärkeren Compressionspannungen) noch kleiner als bei höheren Füllungen ist. Bei diesen Maschinen ergeben sich mithin jederzeit Steuerungen mit gekreuzten Stangen.

2) Güterzugmaschinen für Gebirgsbahnen. Bei diesen Maschinen werden die bedeutenden und langen Steigungen langsam erstiegen, da man ein bedeutendes Sinken des Dampfdruckes aus Sicherheitsgründen nicht dulden kann, während auf den Horizontalen und Gefällen rascher gefahren wird. Da nun nach Formel (VI) die effective Voreilung der Geschwindigkeit der Maschine proportional ist, so erhält man für die geringen Füllungsgrade eine weit größere Voreilung als für die größeren, was einer Steuerung mit con-

stanter linearer Voreilung oder gar mit offenen Stangen entsprechen dürfte.

Man kann überhaupt als Regel aufstellen, daß Maschinen mit großer Geschwindigkeit und gleichförmigerem Widerstande Steuerungen mit gekreuzten Stangen, Maschinen mit geringer Geschwindigkeit und sehr ungleichförmigem Widerstande offene Stangen erhalten sollen. Nach genauer Prüfung mittelst der Formel (VI) wird man diesen Satz bestätigt finden.

3) Rangiermaschinen. Wenn diese Maschinen nur dem Rangierzweck dienen, so ist die Anordnung der Steuerung gleichgültig, da auf den Bahnhöfen doch nur die höchsten Füllungsgrade benutzt werden, denen wegen der geringen Geschwindigkeit eine sehr kleine effective Voreilung entspricht.

Befördert man aber mit diesen Maschinen zugleich Züge auf Nebenbahnen oder Verbindungsstrecken, so wird für die geringeren Füllungen eine größere effective Voreilung nöthig; es wird sich hier also meistens die Anordnung mit offenen Stangen herausstellen.

Zum Schluß sei noch bemerkt, daß sich die Formeln (VI) und (VII) ebenso gut zur Construction der Steuerungen stationärer Dampfmaschinen benutzen lassen, und daß es nicht schwer fallen dürfte eine Anwendung auf die Coulissensteuerungen der Förder- und Walzenzugmaschinen davon zu machen.

Graphische Berechnung der Dachstühle.

Von

Otto Spieß, Ingenieur in Basel.

(Hierzu Tafel 18 und 19.)

Einleitung.

In dem vorliegenden Aufsatze betrachten wir Constructionen, welche so angeordnet sind, daß die einzelnen Glieder nur in Bezug auf Druck und Zug beansprucht werden, und bei welchen wenigstens ein Paar von Constructionsgliedern vorkommt, die, unter sich in directer Verbindung stehend, von einem Auflager zum Andern reichen.

Constructionen, deren Grundfigur ein Trapez bildet, wie bei den Gitterträgern, oder solche, bei welchen kein durchlaufendes Dreieck, sondern kleinere aneinandergereihte Dreiecke vorkommen, werden in einer zweiten Abhandlung unter der Rubrik „Brücken“ behandelt werden.

Wir denken uns alle vorliegenden Constructionen entweder als Gelenke, oder als Seilpolygone; nennen die gedrückten Theile Balken, die gezogenen Seile — die Balken bezeichnen wir mit dicken Strichen —, die Seile mit dünnen.

Von den äußeren Kräften bezeichnen wir die Lasten durchweg mit den Buchstaben P_1, P_2 u. s. f., die entsprechenden Auflagerdrücke mit A_1 und B_1 , oder A_2 und B_2 , wobei

wir gleichzeitig unter A stets das linke und unter B stets das rechte Auflager verstehen. Eine beliebige Kraft P zerlegt sich in die Kräfte a, b, c u. s. f., und es sind sowohl in den Constructionen, als auch in den Schemata, welche die Zerlegungen andeuten, resp. in den Kräftepolygonen für die gleichen Kräfte die gleichen Buchstaben gewählt. —

Die Richtung der von der Belastung herrührenden Kräfte ist durch Pfeile angedeutet und wurden den auf Zug beanspruchten Constructionsgliedern zwei auseinandergehende Pfeile $\langle a \rangle$ gegeben, welche die Kraft einschließen. In den Kräftepolygonen kann man die Kräfte der Größe nach direct abgreifen. Abweichend von den üblichen Methoden, welche zuerst den Auflagerdruck bestimmen und aus diesem, von Außen nach Innen fortschreitend, die Beanspruchung der einzelnen Constructionsglieder ableiten, verfolgen wir jede einzelne Kraft von Innen nach Außen und erhalten somit den Auflagerdruck erst als letztes Resultat.

Die Kräfte in den einzelnen Constructionsgliedern sind als Summen dargestellt, in welchen sich der Einfluß einer jeden einzelnen Last mit Leichtigkeit erkennen läßt, und es dient demnach diese graphische Methode nicht nur zur Auflösung eines speciellen Zahlenbeispiels, sondern auch zur Auf-

findung des einer jeden Construction zu Grunde liegenden Gesetzes der Kräftevertheilung.

Schließlich benütze ich noch die Gelegenheit, Herrn Prof. Kargl in Zürich meinen besten Dank auszusprechen für die wirkungsvolle Unterstützung, die er mir beim Entstehen dieser Arbeit angedeihen ließ.

Einfache Dachstühle.

S. 1. Erste Methode.

Ein Gelenk MNO wird mit P belastet und horizontal verbunden, damit es sich weder öffnen, noch die Auflager auseinander treiben kann. Die Kraft P_1 zerlegt sich in a_1 und b_1 und diese wiederum in A_1 und B_1 und H . In Figur 1^a, Taf. 18, sind die Zerlegungen vollkommen nach dem Parallelogramm der Kräfte ausgeführt, in Fig. 1^b ist der Kürze halber von jedem Parallelogramm nur die eine Hälfte gezeichnet. Man sieht aus beiden Figuren, daß der Auflagerdruck A_1 mit dem Strebendruck a_1 und dem Horizontalschub H ein Kräfte-dreieck bildet —, das gleiche gilt von B_1 und b_1 und H . Die gleichen Kräfte-dreiecke können auch rückwärts erhalten werden aus den Auflagerdrücken, wenn man dieselben zum Voraus kennt.

In Fig. 2^a hängt eine Last P_2 an zwei Seilstücken, — diese suchen die Widerlager nach innen zu ziehen und sind deshalb durch einen Balken versteift, welcher die Horizontalcomponente in sich aufnimmt. Die Kraft P_2 wurde so gewählt, daß der Druck H im Balken eben so groß wurde, wie im vorigen Beispiele die Zugkraft H im Seile. Deshalb wurde die Kraft H aus dem vorigen Beispiele genommen und in die Richtungen a_2 und b_2 und A_2 und B_2 zerlegt Fig. 2^b.

Stellt man die beiden Constructionen auf die gleichen Auflager und vereinigt die sich deckenden Theile, so nehmen die Auflager die Drücke $A_1 + A_2$ und $B_1 + B_2$ auf, die Kräfte a_1 und b_1 , sowie a_2 und b_2 bleiben unverändert. Hingegen treten in dem horizontalen Stücke gleich große, aber entgegengesetzte Kräfte auf, die sich aufheben, wodurch das horizontale Stück als unnütz erkannt werden kann; da die Widerlager von dem Seile ebenso stark nach Innen gezogen, als durch die Balken nach Außen geschoben werden. Wir erhalten für diesen Fall die Kräftezerlegung, indem wir die Fig. 1^b und 2^b an einander rücken zu Fig. 3^b. Diese Fig. 3^b können wir nun umbilden, indem wir die Kräfte so an einander setzen, daß sich A_1 und A_2 und sodann B_2 und B_1 folgen Fig. 3^a; es wird hierdurch weder an der Größe, noch an der Richtung der Kräfte etwas verändert, hingegen erkennt man, daß die Auflagerdrücke $A = A_1 + A_2$ und $B = B_1 + B_2$ aus den Kräften a_1 und a_2 und b_1 und b_2 entstanden sind, oder umgekehrt die Kräfte a_1 und a_2 zc.

aus den Auflagerdrücken. Bis jetzt wirken die Kräfte P_1 und P_2 getrennt, die eine am oberen, die andere am unteren Knotenpunkte. Will man dieselben gemeinschaftlich von oben wirken lassen, als $P_1 + P_2 = P$, so muß für ein Verbindungsstück gesorgt werden, welches den Antheil P_2 nach abwärts überträgt — Fig. 4^a. Sollen beide Kräfte als $P_1 + P_2 = P$ vom unteren Knotenpunkte herwirken, so muß ein Seil eingeschaltet werden, welches einen Antheil P_1 nach oben überträgt — Fig. 4^b —, also je nachdem die ganze Kraft P oben, oder unten befestigt ist, wird das verticale Verbindungsstück entweder mit P_2 gedrückt, oder mit P_1 gezogen, währenddem die seitlichen Kräfte stets unverändert bleiben.

Wir gingen hier von einer beliebigen Kraft P_1 aus — suchten eine Kraft P_2 , welche von unten wirkend mit der ersteren einen gleichen Horizontalschub erzeugt — vereinigten dann die beiden Kräfte zu einer einzigen Kraft P und erhielten hierdurch nach und nach die Kräftezerlegung für die Kraft P . Nun sind wir im Stande, wenn die Kraft P gegeben ist, direct deren Zerlegung vorzunehmen. Man macht $M'R' = P$, siehe Fig. 3^a, ziehe $M'N'$ und $N'R'$ parallel zu MN und NO ; hierauf $N'T$ senkrecht zu $M'R'$ und dann aus T die Linien VT und WT parallel zu MF und FO . Hieraus erhält man dann die Kräfte $M'V = a_1$, $VT = a_2$; $WT = b_2$ und $WR_1 = b_1$; ferner $M'T = A_1 + A_2 = A$ gleich dem Auflagerdruck nach links und $TR_1 = B_1 + B_2 = B$ gleich dem Auflagerdruck nach rechts. In Fig. 4^a sind a_1 und b_1 und P_2 Druckkräfte, a_2 und b_2 Zugkräfte; wobei $P_2 = A_2 + B_2$. In Fig. 4^b sind a_1 und b_1 Druckkräfte, a_2 , b_2 und P_1 Zugkräfte, wobei $P_1 = A_1 + B_1$.

Der einfache Polonceau-Dachstuhl.

Wir belasten ein einfaches Gelenk, Fig. 5^a, Taf. 18, wieder mit einer Kraft P_1 , die nach abwärts wirkt, und machen die zugehörige Zerlegung, Fig. 5^b; das Horizontalseil mit einer Kraft H' aus einander gezogen, die Streben mit a_1 und b_1 gedrückt und die Auflager mit A_1 und B_1 belastet, wie Fig. 5^b angiebt.

Ferner ziehen wir mit einer gleich großen Kraft P_1 an einem Seile nach aufwärts, Fig. 6^a, und machen die Zerlegung, Fig. 6^b. In diesem Falle, Fig. 6^a, erleiden die Seile die Zugkräfte a_2 und b_2 , die Horizontalverspannung wird mit H'' zusammengepreßt und die Auflager werden in die Höhe gezogen mit den Kräften A_2 und B_2 , siehe Fig. 6^b. Wir haben die Absicht, die beiden Constructionen zusammen zu fügen, um Fig. 8^a entstehen zu lassen, in welcher die Horizontalverbindung fehlt. Da aber der Horizontaldruck H'' in Fig. 6^a größer ist, als der Horizontalzug H' in Fig. 5^a, so suchen wir noch eine dritte Kraft P_3 , deren Horizontalzug H''' so groß ist, daß $H' + H'''$ zusammen H'' ergeben. Es wurde

- $H' = H''$ gebildet und dazu a_3, b_3, A_3, B_3 sucht, wie Fig. 7^b zeigt. Stellt man nun die drei men Fig. 5^a, Fig. 6^a und Fig. 7^a zusammen zu nd vereinigt die sich deckenden Glieder, so herrschen rizontalen Glieder gleich große, aber entgegengesetzt kräfte H'' als Druck und $H' + H'' = H''$ als sich kann dieser Theil entfernt werden, und es den Streben die Kräfte $a_1 + a_3; b_1 + b_3$, in ungen die Kräfte a_2, b_2 und P_1 und die Auflager- $= A_1 + A_3 - A_2 = A_3$ und $B = B_1 + = B_3$; da A_1 und A_2 , sowie B_1 und B_2 gleich entgegengesetzt sind, so bleiben als wirkliche Auf- nur die von P_3 herrührenden Componenten A_3

findet die Zerlegung für die vereinigte Construc- m man die Fig. 5^b, 6^b und 7^b zur Fig. 8^b ver-

die äußere Belastung P_3 gegeben ist, wie es in vorkommt, so können wir nun die Zerlegung auch nehmen. Man mache $FG = P_3$, siehe Fig. 8^b FR und RG parallel zu MN und NQ und be- n Punkt E , indem man RE senkrecht auf FG s E zieht man die Linien EN und EK parallel nd NQ , sowie aus Punkt R die Linien RN und el zu MO und OQ .

nur erhält man $RF = a_3; RG = b_3; RN$ $K = b_2; EN = a_1, EK = b_1$ und $NK = P_1$. aber auch im Stande, die Summen $a_1 + a_3$ und direct darzustellen, indem wir RN' und $K'R$ pa- EN und EK ziehen, dann wird $FN_1 = a_1 + a_3 = b_1 + b_3$. Verbindet man K' mit E und , so wird $N'E = RN = a_2$ und $K'E = RK$ Somit erhalten wir endlich folgendes einfache Ver-

je $FG = P_3$, ziehe die Strahlen FRN' und arallel zu MN und NQ , bestimme den Schnitt- dann RE senkrecht auf FG , aus E ziehe nun len EK' und EN' parallel zu OQ und MO und K_1 mit N' .

Fig. 10^a und 10^b ist derselbe Dachstuhl symmetrisch so wie er in der Praxis vorkommt, und dürfte ung ohne weitere Erklärung nun verständlich sein. dem einfachen Polonceau-Dachstuhle kann man Zugstangen durchschneiden und ein neues Dreieck i Fig. 9^a, das heißt: anstatt a_2 kann man nehmen , anstatt b_2 die Kräfte d_2 und f_2 , anstatt P_1 die , und d_2 wie Fig. 9^b zeigt. Nimmt man aus as Dreieck RNK heraus als Fig. 9^b, so zerfällt a_2 in $RW = f_2$ und $NW = c_2$; ebenfalls b_2 in $RW = f_2$ und $WK = d_2$. Beim sym- Dachstuhle werden natürlich c_2 und d_2 gleich groß. mieur XX.

§. 2. Die einfachen Dachstühle.

Zweite Methode.

Zwei gleich große Kräfte, die in einer geraden Linie liegen und entgegengesetzte Richtungen haben, heben sich voll- ständig auf, d. h. sie sind im Gleichgewicht. Schaltet man zwischen zweien solcher Kräfte irgend welche Verbindung ein, wie z. B. die Figuren 12^a bis 15^a, so treten in denselben wohl Druck- und Zugkräfte auf, hingegen äußern dieselben nach gar keiner Richtung eine Tendenz zum Drehen, oder Fortbewegen, d. h. sie bleiben in jeder gegebenen Lage in Ruhe.

Es erzeugt die horizontal gedachte Kraft H in den Fi- guren 12^a und 13^a die Zugkräfte a_2 und a_3, b_2 und b_3 , sowie die Druckkräfte c_2 , wie aus den Fig. 12^b und 13^b zu entnehmen ist. Ebenso erzeugt H in Fig. 14^a die Druck- kräfte a_2 und b_2 und die Zugkräfte a_3, b_3 und c_2 , siehe Fig. 14^b. In Fig. 15^a erzeugt H die Druckkräfte a_2 und b_2 und die Zugkräfte a_3, b_3, c_2, d_2 und e_2 , siehe Fig. 14^b und 15^b.

Belastet man nun eine einfache Gelenkverbindung, Fig. 11^a, mit einer Kraft P , so erzeugt dieselbe in dem horizon- talen Zugbände zwei nach entgegengesetzten Richtungen wir- tende Kräfte H , welche in einer geraden Linie liegen und gleich groß sind. Anstatt dieses Zugbandes MN setzen wir nach einander die Figg. 12^a bis 15^a ein und erhalten die Figuren 17^a bis 20^a. Gleichzeitig tragen wir in den Kräfte- zug Fig. 11^b die Kräftezüge Fig. 12^b bis Fig. 15^b ein und erhalten die Figuren 17^b bis 20^b. In allen vier Fällen sind stets A_1 und B_1 die Auflagerbrücke, die einzig von P herrühren.

Figur 17 stellt einen ganz allgemeinen Fall dar, der nur aufgenommen wurde, weil er das Princip dieses Ver- fahrens deutlich vorführt. Er entsteht, wenn man das Seil MN in Fig. 11^a durch die Fig. 12^a ersetzt.

In Fig. 18^a, welche aus 11^a und 13^a entstanden ist, vereinige man die sich deckenden Constructionstheile; in MO und NO decken sich Druck und Zug resp. Seil und Balken; folglich herrscht darin die Differenz zwischen Druck- und Zug- kraft d. h. $a_1 - a_2$ und $b_1 - b_2$, während in den anderen einfachen Constructionsgliedern die einfachen Kräfte a_3, b_3 und c_2 herrschen. Vergleicht man die Figur 18^b mit Fig. 3^c, so erkennt man leicht die Uebereinstimmung. Durch Deckung von Fig. 11^a mit 14^a entsteht 19^a. Da in den zusammen- fallenden Theilen beiderseits Druck herrscht, so haben wir in den vereinigten Theilen die Summe der Drücke, oder $a_1 + a_2$ und $b_1 + b_2$. Die zugehörige Kräftezerlegung, Fig. 19^b, welche durch Deckung von 11^b und 14^b entstanden ist, zeigt

vollkommen Uebereinstimmung mit Fig. 8^b. Ebenso entsteht Fig. 20^a durch Deckung von Fig. 11 und Fig. 15.

Nach diesen allgemeinen Fällen, welche nur einen theoretischen Werth haben, folgen die symmetrischen Dachstühle, Fig. 16^a und Fig. 21^a, bei welchen wir die Substitutionsfiguren dieses Mal nicht extra gezeichnet haben, und es dürften deren Kräftepolygone 16^b und 21^b ohne Weiteres verständlich sein, da sie sich von der vorhergehenden nur durch ihre Symmetrie unterscheiden.

§. 3. Die zusammengesetzten Dachstühle.

Wir nehmen zwei einfache Dachstühle mit horizontaler Zugstange, belasten den ersten, Taf. 19, Fig. 1^c mit P_1 , den zweiten Fig. 1^b mit P_2 und erhalten in denselben die Kräfte a_1 und b_1 nebst A_1 und B_1 , sowie a_2 und b_2 nebst A_2 und B_2 . Wir belasten einen dritten symmetrischen Dachstuhl Fig. 1^a mit den Kräften $P_3 + B_1 + A_2$, so entstehen in ihm die Kräfte a_3 und b_3 und die Auflagerdrücke A_3 und B_3 .

Nun stellen wir auf ein und dieselben Widerlager die Dachstühle Fig. 1^a, 1^b und 1^c. Indem wir die aneinanderstoßenden Enden der kleinen Dachstühle an dem Knotenpunkte des großen aufhängen und diesen hierdurch mit $B_1 + A_2$ belasten, so entstehen in den vereinigten Stücken die Kräfte $a_1 + a_3$, $b_1 + b_3$, $a_2 + a_3$ und $b_2 + b_3$; ferner in den einfachen Gliedern die Kräfte a_1 und a_2 und in der verticalen Hängestange der Zug $B_1 + A_2$ und über den Auflagern die Drücke $A_1 + A_3$ und $B_2 + B_3$, die horizontale Kraft im unteren Knotenpunkte selbst ist b_3 , wie man aus Fig. 1^a leicht ersehen kann.

Wie man die einzelnen Kräfte findet, ist nach dem Früheren zur Genüge bekannt.

Der deutsche Dachstuhl.

Wir nehmen zwei kleine Dachstühle, Fig. 2^c und Fig. 2^b, belasten dieselben mit P_1 und P_2 und erhalten die inneren Kräfte a_1 , d_1 , c_1 , a_2 , d_2 , c_2 , sowie die Auflagerdrücke A_1 und B_1 , sowie B_2 und A_2 . Darauf belasten wir den einfachen Polonceau-Dachstuhl, Fig. 2^a, mit den Lasten $P_3 + B_1 + A_2$, dann entstehen in demselben die inneren Kräfte a_3 , b_3 und c_3 nebst den Auflagerdrücken A_3 und B_3 . Vereinigen wir die drei Constructionen zu Fig. 2^a, indem wir die aneinander stoßenden Enden der kleinen Dreiecke am Giebel des großen aufhängen, — und verbinden die sich deckenden Stücke untereinander, so erhalten wir in der linken Strebe oben die Kraft a_3 , unten $a_1 + a_3$, in der rechten Strebe oben a_3 , unten $a_2 + a_3$, in den unteren Zugstangen links $c_1 + c_3$ und rechts $c_2 + c_3$, in der verticalen Zugstange $b_3 + B_1 + A_2$, in dem horizontalen Druckbalken die Kräfte d_1 links und d_2 rechts. Im Knotenpunkte, wo

d_1 und d_2 zusammenstoßen, herrscht gar keine horizontale Kraft, was aus der Art der Zusammenhängung verständlich wird. Die Auflagerdrücke sind $A_1 + A_3$ und $B_2 + B_3$.

Wenn die drei Kräfte gleich werden, nämlich $P_1 = P_2 = P_3$, so wird $A_1 = B_2 = A_2 = B_1$ und $a_1 = a_2 = d_1 = d_2$.

Die Fig. 2^c giebt die Zerlegung für jedes der kleinen Dreiecke. Die specielle Zerlegung für Fig. 2^c wurde für dieses Mal nicht gezeichnet.

Der englische Dachstuhl mit verticalen Hängestangen.

Das Dreieck DEF steht links auf einem Auflager, Fig. 3^a, und ist rechts vertical aufgehängt. Auf demselben ruht die Kraft P_3 , in demselben hängt das mit Kraft P_2 belastete Dreieck DGH, welches mit seiner linken Seite ebenfalls auf dem Auflager ruht. Endlich hängt in diesem das noch kleinere Dreieck DJK; dieses ist mit der Kraft P_1 belastet und steht links ebenfalls auf.

Die Kraft P_1 zerlegt sich in a_1 und b_1 als Druck und c_1 als Zug und in die Auflagerdrücke A_1 und B_1 . Diese zeigt Fig. 3^c. Die Last $B_1 + P_2$, siehe Fig. 3^a, zerlegt sich in a_2 , b_2 , c_2 ; A_2 und B_2 . Die neue Last $B_2 + P_3$, siehe Fig. 3^c, zerlegt sich in a_3 , b_3 , c_3 und A_3 und B_3 ; an das Auflager drückt demnach $A_1 + A_2 + A_3$; am letzten Seile hängt B_3 . Macht man eine der Kräfte, etwa P_1 , oder P_2 , oder P_3 gleich Null, oder hängt man nur die Last P_2 ein, so kann man leicht die Veränderungen beurtheilen.

Um den Verlauf einer einzelnen Kraft zu verfolgen, z. B. von P_1 , macht man erst die Zerlegung, Fig. 3^c, entnimmt hieraus die Größe B_1 und zerlegt solche weiter.

Macht man die inneren Dreiecke derart, daß sie mit den äußeren zur Deckung gelangen, so entsteht Fig. 3^b, für welchen Fall speciell die Figuren c bis e gelten, indem Fig. 3^a nur den Zweck hat, den Verlauf einer jeden Kraft vor Augen zu führen.

Vereinigt man die sich deckenden Theile, so summiren sich auch die darin herrschenden Kräfte, sowie sie in der Figur eingeschrieben sind. Der Kürze halber wurden für die Kräfte summen einzelne Buchstaben gesetzt, wie z. B. $C = a_1 + a_2 + a_3$ oder $D = a_2 + a_3$, und es sind in Fig. 4 zwei vertical aufgehängte Träger dargestellt, die mit P_1 , P_2 und P_3 , sowie mit P_5 , P_6 , P_7 belastet sind und worin die inneren Kräfte in der abgekürzten Weise eingeschrieben sind.

In Fig. 3^f wurden die Fig. 3^c, 3^d und 3^e aneinander angereiht und man kann daselbst die Größen $C = a_1 + a_2 + a_3$, oder $F = c_1 + c_2 + c_3$ u. s. f. unmittelbar abgreifen, oder auch leicht berechnen. Belastet man nun einen einfachen Polonceau-Dachstuhl, Fig. 4^c, mit den Kräften $P_4 + B_3 + A_5$, so entstehen in demselben die in

neren Kräfte a_1 , b_1 und c_1 nebst den Auflagerdrücken A_1 und B_1 .

Hängt man nun die Figg. 4^a und 4^b in 4^c, so wirken auf denselben von außen her P_1 , von innen $B_2 + A_2$, und es entstehen in dem vollständigen Dachstuhl Fig. 4^d die eingeschriebenen Kräfte. Für Fig. 4^c wurde dieses Mal die Zerlegung nicht speciell gezeichnet, sondern die Kräfte direct angeschrieben.

Für den Fall, daß die rechte Seite ebenso belastet ist, wie die linke, wenn nämlich $P_1 = P_7$; $P_2 = P_6$ und $P_3 = P_5$, so wird auch $B_2 = A_5$ und folglich $P_4 = B_3 + A_5 = P_4 + 2B_3$.

In Figur 3^f ist für diesen letzteren Fall auch noch die Zerlegung für Fig. 4^c angehängt, so daß man darin die Summen wie $C + a_4 = a_1 + a_2 + a_3 + a_4$ oder wie $F + c_4 = c_1 + c_2 + c_3 + c_4$ auf einmal abgreifen kann. Wegen Platzmangel konnte die untere Hälfte der Zerlegung nicht eingezeichnet werden.

Man erkennt erstens, daß das Maximum aller Kräfte eintritt, wenn alle Knotenpunkte belastet sind, und zweitens, was geschieht, wenn nur einzelne Theile belastet werden. In einer der folgenden Aufgaben, Fig. 8, ist die einseitige Belastung eines complicirten Dachstuhles durchgeführt.

Der französische Dachstuhl.

In Fig. 5^a stützen wir einen geneigten Balken links auf ein Auflager und hängen ihn am rechten Ende auf. An den Balken hängen wir ein Seil, in welches wir ein belastetes Gelenk stellen; links ruht dieses Gelenk auf dem Auflager. Das Seil ist zu gleicher Zeit im Knotenpunkte O an der Strebe befestigt, so daß sich das Gelenk nicht öffnen kann. Die Last P_1 zerlegt sich direct in a_1 und b_1 , hierauf b_1 in c_1 und d_1 , ferner zerfällt d_1 in den rechten Auflagerdruck B_1 und in den Strebenbruch f_1 , der Zug c_1 zerlegt sich in den Auflagerdruck A_1 und den Strebenbruch $r_1 = a_1 + f_1$, demnach erhalten wir in Fig. 5^b die eingeschriebenen Kräfte. Da wir in der Folge Combinationen mit dieser Figur vornehmen werden, so sei ein für allemal voraus bemerkt, daß wenn P_n die angreifende Last ist, wir folgende Bezeichnung consequent durchführen werden:

Die Kraft im oberen Strebenstücke sei F_n als
im unteren " " $a_n + f_n$ Druck-
in der Zwischenstrebe " b_n Kräfte,
ferner in den Zugstangen seien c_n und d_n die Kräfte und
endlich A_n der linke und B_n der rechte Auflagerdruck.

Nun belasten wir die beiden schiefen Träger, Fig. 6^a und Fig. 6^b, mit den Lasten P_2 und P_1 und schreiben die inneren Kräfte an, die wir aus den Polygonen, Fig. 6^c und Fig. 6^f, finden. Dann entnehmen wir aus den obengenannten Figuren die Größen B_1 und A_2 und bilden mit der

neuen Kraft P_3 die Summen $P_2 + B_1 + A_2$. Diese neue Last bringen wir auf den schiefen Träger, Fig. 6^c, machen die Zerlegung, Fig. 6^e, und schreiben die Kräfte f_2 , c_2 , b_2 u. s. w. ein.

Wenn man nun anstatt der Lasten B_1 und A_2 die zwei kleinen Träger in den größeren einhänget, so wird an dem Sachverhalte nichts geändert. Vernietet man die sich bedeckenden Theile unter einander, so vereinigen sich auch die darin herrschenden Kräfte und man ist im Stande, sämtliche Kräfte einzuschreiben. Es wird dann unter Anderem der linke Auflagerdruck gleich $A_1 + A_2$, der rechte $B_2 + B_3$.

Wenn man die Strebe b_2 nun senkrecht auf die Mitte des schiefen Balkens stellt — den schiefen Träger also symmetrisch baut, so werden die Kräfte c_1 und d_1 gleich groß; ebenso wird $A_1 = B_1 = \frac{P}{2}$ und $P_2 + B_1 + A_2 = 2P$.

Demnach erhalten wir in beiden kleinen Trägern die Kräfte $a_1 + f_1$, f_1 , b_1 und c_1 , sowie in dem großen Träger die Kräfte $a_2 + f_2 = 2(a_1 + f_1)$, $c_2 = 2c_1$, $b_2 = 2b_1$; $d_2 = 2c_1$ —, endlich in der Zusammenstellung, Fig. 7^a und Fig. 7^b die eingeschriebenen Größen. Die Auflagerdrücke links und rechts werden für jeden Träger $= \frac{3}{2} P$.

Belastet man endlich den Dachstuhl, Fig. 7, mit einer Last $P + 2 \times \left(\frac{3}{2} P\right) = 4P$, so entstehen in demselben die bereits wiederholt vorgeführten Kräfte g , h , m und n . Stellt man die drei Figuren 7^a, 7^b und 7^c so zusammen, daß in der Figur 7^c anstatt dem Kraftantheil $3P$ die beiden Träger eingehängt sind, so entsteht Fig. 7^d, welche nun ohne weitere Erklärung verständlich sein dürfte.

Es sei nun zum Schlusse dieses Capitels der gleiche Dachstuhl nur einseitig belastet, so wie Fig. 8^a zeigt.

Man denke sich denselben aufgelöst in die Figuren 8^b, 8^c und 8^d und lasse P auf Fig. 8^b einwirken. Es treten darin die Kräfte $a_1 + f_1$; f_1 ; b_1 und c_1 auf nebst $A_1 + B_1$, siehe Fig. 8^f. Man entnehme aus Fig. 8^f die Kraft A_1 und belaste damit Fig. 8^c, zerlege A_1 nach Fig. 8^e und schreibe die Kräfte $a_2 + f_2$ u. s. f. ein.

Ferner belaste man Fig. 8^d mit $B_1 + B_2$ (in diesem Falle ist $B_1 + B_2 = \frac{P}{2} + \frac{P}{4} = \frac{3}{4} P$) und bestimme die Kräfte g , m und n . Hängt man nun die drei Figuren in der bekannten Weise zusammen, so erhält man sämtliche inneren Kräfte. Dabei wird man bemerken, wenn man Fig. 8^a mit Fig. 7^a vergleicht, in welchen Gliedern eine Abnahme an Belastung stattgefunden hat. Die Glieder EF ; $J'K'$, $J'G'$, $H'G'$, $G'E'$ und $E'F'$ werden gar nicht in Anspruch genommen und können unbeschadet des Gleichgewichtes gänzlich herausgenommen werden; und auf der ganzen rechten Seite herrschen nur die einfachen Kräfte aus Fig. 8^d

als m_1, g_1 . Man ist also mit Hilfe dieser Methode bei einiger Uebung im Stande, den Verlauf einer einzelnen Kraft durch die ganze Construction sofort zu erkennen und mit Hilfe zweier kleinen Zerlegungen auch die Beanspruchungen ihrer Größe nach anzugeben.

Bestimmt man mit Hilfe der Trigonometrie die Gr a, b, f u. s. w. aus den sehr einfachen Kräftepolygone findet man auf spielende Weise auch die mathematischen Brücke für jede Kraft, was wir hier der Kürze halber u lassen haben.

Ueber die Inanspruchnahme der die beiden Dachbinderhälften eines französischen Dachstuhles v bindenden Horizontalstangen bei Nichtanhängung derselben durch eine verticale am First befestigte Hängestange mit Rücksicht auf das Eigengewicht der Horizontalstange.

Von

J. Schmidt,

Assistent an der höheren Gewerbschule in Chemnitz.

Bei dem Auftriebe $2G$ eines Dachbinders ist die Horizontalkraft H gegeben durch die Momentengleichung in Bezug auf die Firstlinie als Drehaxe bei den Bezeichnungen der nebenstehenden Skizze 1:

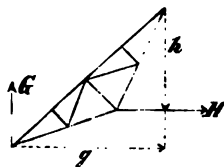


Fig. 1.

$$Hh = Gg, \text{ daher}$$

$$H = G \left(\frac{g}{h} \right). \quad (1)$$

Diese Kraft beansprucht indeß die horizontale Spann- stange nicht allein, sondern wird solche auch durch ihr Eigenge- wicht angespannt. Zur Beur-

theilung der auf diese Weise erzeugten Vergrößerung der Querschnittsspannungen hat man zunächst die Durchbiegungs- weise dieser Stange zu erörtern. Nun ist aber allgemein, wenn man vorläufig die Durchbiegungskurve als eine Pa- rabel zweiten Grades ansieht (Kettenlinie mit constanter Be- lastung der Horizontalprojection), das biegende Moment M , bei dem Eigengewicht q der Längeneinheit der Stange und bei den Bezeichnungen der Fig. 2,

$$M = ql \cdot x - qx \cdot \frac{x}{2} - Hy,$$

wenn man die Drehungsrichtung des Uhrzeigers als die sitive ansieht, oder da bei einer Parabel ist:

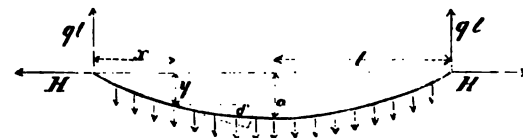


Fig. 2.

$$a - y = a \left(\frac{1 - x}{l} \right)^2$$

also

$$y = a \left(1 - \frac{(1 - x)^2}{l^2} \right)$$

$$= \frac{a}{l^2} (2lx - x^2),$$

$$M = \frac{q}{2} (2lx - x^2) - H \frac{a}{l^2} (2lx - x^2)$$

$$M = \left(\frac{q}{2} - H \frac{a}{l^2} \right) (2lx - x^2).$$

Bezeichnet man nun mit W das Trägheitsmoment

Stangenquerschnittes für die neutrale Ase desselben, mit E den Elasticitätsmodul des Stangenmaterials und mit δ den Neigungswinkel der Durchbiegungscurve gegen die Horizontale an der Stelle x , so hat man nach den Gesetzen der Mechanik:

$$-\cos \delta \cdot d\delta = \frac{M dx}{WE}$$

und demnach, da hier für $x = l$, $\delta = 0$ ist, für einen constanten Stangenquerschnitt

$$\sin \delta = \frac{1}{WE} \int_{x=0}^{x=l} M \cdot dx,$$

und setzt man in dieser Gleichung für $\sin \delta$, $\operatorname{tg} \delta = \frac{dy}{dx}$,

$$y = \frac{1}{WE} \left(\frac{q}{2} - \frac{Ha}{l^2} \right) \left\{ l \left(l^2 - \frac{x^2}{3} \right) - \frac{1}{3} \left(l^3 - \frac{x^3}{4} \right) \right\} \quad (3^*)$$

und für $x = l$ geht y in a über

$$\begin{aligned} a &= \frac{1}{WE} \left(\frac{q}{2} - \frac{Ha}{l^2} \right) \left\{ \frac{2}{3} l^3 - \frac{1}{4} l^3 \right\} l \\ &= \frac{5}{24} \frac{ql^4}{WE} - \frac{5Hl^2}{12WE} a, \\ a \left(1 + \frac{5}{12} \frac{Hl^2}{WE} \right) &= \frac{5}{24} \frac{ql^4}{WE}. \end{aligned}$$

Daher

$$\begin{aligned} y &= \frac{1}{WE} \int_{x=0}^{x=x} \int_{x=x}^{x=l} \left[\frac{q}{2} (2lx - x^2) - \frac{H}{WE} \left(\frac{q}{2} - \frac{Ha}{l^2} \right) \left(l \left(l^2 x - \frac{x^3}{3} \right) - \frac{1}{3} \left(l^3 x - \frac{x^4}{4} \right) \right) \right] dx \{ dx, \\ &= \frac{1}{WE} \int_{x=0}^{x=x} \left\{ \frac{q}{2} \left(2l \frac{l^2 - x^2}{2} - \frac{l^3 - x^3}{3} \right) - \frac{H}{WE} \left(\frac{q}{2} - \frac{Ha}{l^2} \right) \left(l \left(l^2 \frac{l^2 - x^2}{2} - \frac{l^4 - x^4}{12} \right) - \frac{1}{3} \left(l^3 \frac{l^2 - x^2}{2} - \frac{l^5 - x^5}{20} \right) \right) \right\} dx, \\ &= \frac{1}{WE} \left\{ \frac{q}{2} \left(l \left(l^2 - \frac{x^2}{3} \right) - \frac{1}{3} \left(l^3 - \frac{x^3}{4} \right) \right) - \frac{H}{WE} \left(\frac{q}{2} - \frac{Ha}{l^2} \right) \left(\frac{1}{2} \left(l^2 \left(l^2 - \frac{x^2}{3} \right) - \frac{1}{6} \left(l^4 - \frac{x^4}{5} \right) \right) - \frac{1}{6} \left(l^3 \left(l^2 - \frac{x^2}{3} \right) - \frac{1}{10} \left(l^5 - \frac{x^5}{6} \right) \right) \right) \right\} x, \end{aligned}$$

also für $x = l$

$$\begin{aligned} a &= \frac{1}{WE} \left\{ \frac{q}{2} \left(\frac{2}{3} l^3 - \frac{l^3}{4} \right) - \frac{H}{WE} \left(\frac{q}{2} - \frac{Ha}{l^2} \right) \left(l \left(\frac{l^4}{3} - \frac{l^4}{15} \right) - \frac{1}{3} \left(\frac{l^5}{3} - \frac{l^5}{24} \right) \right) \right\} l \\ &= \frac{1}{WE} \left\{ \frac{5}{24} ql^4 - \frac{H}{WE} \left(\frac{q}{2} - \frac{Ha}{l^2} \right) l^5 \left(\frac{4}{15} - \frac{7}{72} \right) \right\} l \\ &= \frac{5}{24} \frac{ql^4}{WE} - \frac{61}{360} \frac{Hl^6}{(WE)^2} \left(\frac{q}{2} - \frac{Ha}{l^2} \right) \\ &= \frac{5}{24} \frac{ql^4}{WE} - \frac{61}{720} \frac{Hql^6}{(WE)^2} + \frac{61}{360} \left(\frac{Hl^2}{WE} \right)^2 a, \text{ daher} \\ a \left(1 - \frac{61}{360} \left(\frac{Hl^2}{WE} \right)^2 \right) &= \frac{5ql^4}{24WE} \left(1 - \frac{61}{150} \left(\frac{Hl^2}{WE} \right) \right), \text{ und} \end{aligned}$$

so hat man auch, da für $x = 0$, $y = 0$ ist,

$$y = \frac{1}{WE} \cdot \int_{x=0}^{x=x} \int_{x=x}^{x=l} [M \cdot dx] \{ \dots \quad (3)$$

Setzt man nun in diese Gleichung obigen Werth für M ein, so ist weiter

$$\begin{aligned} y &= \frac{1}{WE} \left(\frac{q}{2} - \frac{Ha}{l^2} \right) \cdot \int_{x=0}^{x=x} \int_{x=x}^{x=l} [(2lx - x^2) dx] \{ dx \\ &= \frac{1}{WE} \left(\frac{q}{2} - \frac{Ha}{l^2} \right) \cdot \int_{x=0}^{x=x} \left\{ 2l \frac{l^2 - x^2}{2} - \frac{l^3 - x^3}{3} \right\} dx. \end{aligned}$$

$$a = \frac{\frac{5}{24} \frac{ql^4}{WE}}{1 + \frac{5}{12} \frac{Hl^2}{WE}} = \frac{\frac{5}{24} \frac{ql^4}{WE}}{1 + 0,417 \frac{Hl^2}{WE}} \quad (4^*)$$

Es läßt sich indeß noch eine Correctur dieses Werthes vornehmen, wenn man den Werth $3^*)$ von y in die zuerst für M aufgestellte Gleichung und den auf diese Weise erhaltenen neuen Momentenwerth in Gleichung (3) einführt. Man hat so auch

$$a = \frac{5ql^4}{24WE} \left[\frac{1 - \frac{61}{150} \left(\frac{Hl^2}{WE} \right)}{1 - \frac{61}{360} \left(\frac{Hl^2}{WE} \right)^2} \right].$$

Nun läßt sich aber setzen

$$1 - \frac{61}{360} \left(\frac{Hl^2}{WE} \right)^2 = \left(1 - \sqrt{\frac{61}{360} \left(\frac{Hl^2}{WE} \right)} \right) \cdot \left(1 + \sqrt{\frac{61}{360} \left(\frac{Hl^2}{WE} \right)} \right) = \left(1 - 0,408 \left(\frac{Hl^2}{WE} \right) \right) \cdot \left(1 + 0,408 \left(\frac{Hl^2}{WE} \right) \right)$$

und $1 - \frac{61}{150} \left(\frac{Hl^2}{WE} \right) = 1 - 0,407 \left(\frac{Hl^2}{WE} \right)$ annähernd $= 1 - 0,408 \left(\frac{Hl^2}{WE} \right)$, daher auch

$$a = \frac{\frac{5ql^4}{24WE}}{1 + 0,408 \left(\frac{Hl^2}{WE} \right)} \quad \dots \dots \dots (5)$$

Durch Vergleichung dieses Wertes mit dem (4*) erkennt man leicht die durch letzte Entwicklung erreichte Correctur der Formel. Jetzt läßt sich auch mit Leichtigkeit das größte Moment feststellen. Denn es ist offenbar

$$\begin{aligned} \frac{d(M)}{dx} &= \frac{d \left\{ \frac{q}{2} (2lx - x^2) - \frac{H}{WE} \left(\frac{q}{2} - \frac{Ha}{l^2} \right) \left(l(l^2x - \frac{x^3}{3}) - \frac{1}{3} (l^3x - \frac{x^4}{4}) \right) \right\}}{dx} \\ &= \frac{q}{2} (2l - 2x) - \frac{H}{WE} \left(\frac{q}{2} - \frac{Ha}{l^2} \right) \left(l(l^2 - x^2) - \frac{1}{3} (l^3 - x^3) \right) \\ &= (l - x) \left\{ q - \frac{H}{WE} \left(\frac{q}{2} - \frac{Ha}{l^2} \right) \left(l^2 + lx - \frac{l^2}{3} - \frac{lx}{3} - \frac{x^2}{3} \right) \right\} \\ &= (l - x) \left\{ q - \frac{H}{3WE} \left(\frac{q}{2} - \frac{Ha}{l^2} \right) (2l^2 - 2lx - x^2) \right\} \end{aligned}$$

und dieser Wert ist = 0, wenn $x = l$ oder wenn

$$q = \frac{H}{3WE} \left(\frac{q}{2} - \frac{Ha}{l^2} \right) (2l^2 - 2lx - x^2).$$

Daß dieses letztere aber nicht der Fall sein kann, überzeugt man sich leicht, wenn man diese Gleichung nach x wie folgt auflöst. Zunächst ist

$$\begin{aligned} \frac{H}{3WE} \left(\frac{q}{2} - \frac{Ha}{l^2} \right) &= \frac{H}{3WE} \left(\frac{q}{2} - \frac{\frac{5}{24} \frac{qHl^2}{WE}}{1 + \frac{5}{12} \frac{Hl^2}{WE}} \right) = \frac{H}{3WE} \frac{\frac{q}{2} + \frac{5}{24} \frac{qHl^2}{WE} - \frac{5}{24} \frac{qHl^2}{WE}}{1 + \frac{5}{12} \frac{Hl^2}{WE}} \\ &= \frac{\frac{Hq}{6WE}}{1 + \frac{5}{12} \frac{Hl^2}{WE}}, \text{ daher die Gleichung übergeht in} \end{aligned}$$

$$q = \frac{Hq}{6WE + \frac{5}{2} Hl^2} (2l^2 - 2lx - x^2) \text{ oder}$$

$$12WE + 5Hl^2 = 4Hl^2 - 2H(x^2 + 2lx)$$

$$2H(x^2 + 2lx) + 12WE + Hl^2 = 0,$$

$$x^2 + 2lx + \frac{12WE + Hl^2}{2H} = 0.$$

In dieser Gleichung sind aber nur positive Größen, selbst für $x = 0$, und da ferner x nicht negativ sein kann, so

kann diese Gleichung nie erfüllt sein. Man hat daher $M = (M)_{\text{Max}}$ und zwar für $x = l$

$$\begin{aligned} M_{\text{Max}} &= \frac{ql^2}{2} - \frac{\frac{5}{24} \frac{ql^4}{WE} H}{1 + 0,408 \frac{Hl^2}{WE}} \\ &= \frac{0,5ql^2 + 0,204 \frac{ql^4}{WE} H - 0,208 \frac{ql^4}{WE} H}{1 + 0,408 \frac{Hl^2}{WE}} \end{aligned}$$

Setzt man jetzt $F = \frac{H}{S}$ also

$$d = 2 \sqrt{\frac{F}{\pi}} = 2 \sqrt{\frac{H}{\pi S}} \text{ und}$$

$$\frac{H}{F^2} = \frac{HS^2}{H^2} = \frac{S^2}{H}, \text{ so hat man}$$

$$\frac{F \gamma l^2 e}{2W \left(1 + 0,408 \frac{H l^2}{WE}\right)} = \frac{2 \sqrt{\pi} \gamma l^2}{\sqrt{\frac{H}{S}} \left(1 + 5,129 \frac{S^2}{E} \cdot \frac{l^2}{H}\right)}$$

und sonach

$$F = \frac{H}{S - \frac{2 \sqrt{\pi} \gamma l^2}{\sqrt{\frac{H}{S}} \left(1 + 5,129 \frac{S^2}{E} \cdot \frac{l^2}{H}\right)}} = \frac{d^2 \pi}{4},$$

daher

$$d = 2 \sqrt{\frac{H}{\pi \left[S - \frac{2 \sqrt{\pi} \gamma l^2}{\sqrt{\frac{H}{S}} \left(1 + 5,129 \frac{S^2}{E} \cdot \frac{l^2}{H}\right)} \right]}} \quad (9)$$

Für Schmiedeeisen gehen nun diese Gleichungen über in

$$c = \frac{\sqrt{\mu H}}{\sqrt{7 \left[1 - \frac{0,0000088 l^2}{\sqrt{\mu H} + 0,012 \frac{l^2}{\sqrt{\mu H}}} \right]}} \text{ mm}, \quad (8^*)$$

wo H in Kilogr. und l in Millim. einzuführen ist, und für den kreisförmigen Querschnitt:

$$d = \frac{2 \sqrt{H}}{\sqrt{22 - \frac{0,0002289 l^2}{\sqrt{H} + 0,0125 \frac{l^2}{\sqrt{H}}}}} \text{ mm}. \quad (9^*)$$

$$c = \frac{400}{\sqrt{7 \left[1 - \frac{0,0000088 \cdot 4000000}{400 + 0,012 \frac{4000000}{400}} \right]}} = \frac{400}{\sqrt{7 [1 - 0,0677]}} = 156,4 \text{ mm und } b = 39,1 \text{ mm},$$

während man ohne Rücksicht auf Eigengewicht erhalten hätte: $c = \frac{400}{\sqrt{7}} = 151,2 \text{ mm}$ und $b = 37,8 \text{ mm}$. Bei Wahl runden Querschnittes hätte man dagegen

$$d = \frac{2 \cdot 200}{\sqrt{22 - \frac{0,0002289 \cdot 4000000}{200 + 0,0125 \frac{4000000}{200}}}} = \frac{400}{\sqrt{22 - 2,0347}} = 89,6 \text{ mm},$$

während man ohne Rücksicht auf die Wirkung des Eigengewichtes erhalten hätte:

$$d = \frac{400}{\sqrt{22}} = 85,2 \text{ mm}.$$

Im ersten Falle hätte man eine Querschnittsdifferenz von $39,1 \cdot 4 \cdot 39,1 - 37,8 \cdot 4 \cdot 37,8 = 4(39,1^2 - 37,8^2) = 400$

Es lassen sich auch diese Formeln für geneigte Stangen anwenden, wenn man die drückende Wirkung des Eigengewichtes hierbei vernachlässigt. Bedeutet in diesem Fall den Neigungswinkel der Stange gegen den Horizont, so kann man für γ offenbar $\gamma \cos \alpha$ einzuführen, wodurch dann beiden letzten Formeln übergehen in

$$c = \frac{\sqrt{\mu H}}{\sqrt{7 \left[1 - \frac{0,0000088 \cos \alpha l^2}{\sqrt{\mu H} + 0,012 \frac{l^2}{\sqrt{\mu H}}} \right]}} \quad (8)$$

und

$$d = \frac{2 \sqrt{H}}{\sqrt{22 - \frac{0,0002289 \cos \alpha l^2}{\sqrt{H} + 0,0125 \frac{l^2}{\sqrt{H}}}}} \quad (9)$$

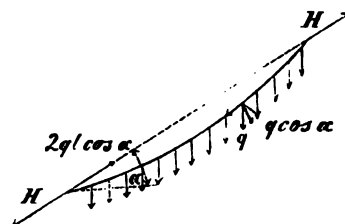


Fig. 3.

Ein Beispiel wird die Anwendung der aufgestellten Formeln deutlicher machen und zeigen, wie klein der Einfluss Eigengewichtes solcher Stangen auf die Querschnittsdimensionen derselben ist.

Es sei $H = 40000$ Kilogr., $\mu = 4$, $l = 200$ und $\alpha = 0$. Dann ist $\sqrt{\mu H} = 400$, daher

$$\frac{400}{\sqrt{7 [1 - 0,0677]}} = 156,4 \text{ mm und } b = 39,1 \text{ mm},$$

und demnach eine Gewichts-differenz der Stangen von $21 \cdot 4 \cdot 0,00000778 = 12,4$ Kilogr.

Im zweiten Falle dagegen eine Querschnittsdifferenz

$$\frac{22}{7} (44,8^2 - 42,6^2) = 604 \text{ qmm}$$

und eine Gewichts-differenz der Stangen = $14,2$ Kilogr.

Daß der Einfluß des Eigengewichtes auf die runde Stange ein größerer ist, als auf die rechteckige, ist nicht zu verwundern, da die erstere ein geringeres Widerstandsmoment hat als letztere, man sieht auch aus diesem Beispiele, wie gering überhaupt dieser Einfluß ist. Weiter von Interesse ist das H , für welches S seinen kleinsten Werth erreicht. Bezeichnen wir dieses mit H_0 , so existirt für dasselbe die Bestimmungsgleichung

$$0 = \frac{1}{F} - \frac{F \gamma l^2 e}{2W} \cdot \frac{0,408 \frac{l^2}{WE}}{\left(1 + 0,408 \frac{H_0 l^2}{WE}\right)^2},$$

welche durch Differentiation des Werthes (7) von S nach H und Nullsetzen desselben folgt. Man hat so

$$\begin{aligned} \left(1 + 0,408 \frac{H_0 l^2}{WE}\right)^2 &= \frac{F^2 l^4 e}{W^2} \cdot \frac{\gamma}{E} \cdot 0,204, \\ 0,408 \frac{H_0 l^2}{WE} &= \sqrt{0,204} \sqrt{\frac{\gamma}{E} \cdot \frac{F l^2 \sqrt{e}}{W}} - 1 \\ H_0 &= \frac{W}{l^2} \frac{E}{0,408} \left(0,451 \sqrt{\frac{\gamma}{E} \cdot \frac{F l^2 \sqrt{e}}{W}} - 1\right) = \\ &= 2,45 E \frac{W}{l^2} \left(0,451 \sqrt{\frac{\gamma}{E} \cdot \frac{F l^2 \sqrt{e}}{W}} - 1\right), \quad (10) \end{aligned}$$

daher für Schmiedeeisen

$$H_0 = 49000 \frac{W}{l^2} \left(0,00000888 \frac{F l^2 \sqrt{e}}{W} - 1\right) \text{ Kgr., } (10^*)$$

wo alle Maaße in Millim. einzuführen sind.

So für den rechteckigen Querschnitt

$$H_0 = 4083 \frac{\mu^3 b^4}{l^2} \left(0,00007534 \frac{l^2}{\mu b \sqrt{\mu b}} - 1\right) \text{ Kilogr. } (10_1^*)$$

und für den runden Querschnitt

$$H_0 = 2406 \frac{d^4}{l^2} \left(0,00010045 \frac{l^2}{d \sqrt{d}} - 1\right) \text{ Kilogr. } (10_2^*)$$

Für kleinere H wird die größte Querschnittsspannung wieder größer. Man erhält daher einen zweiten größten Werth des S für $H = 0$, welcher aus Gleichung (7) folgt zu

$$S_0 = \frac{F \gamma l^2 e}{2W}, \quad (11)$$

also für Schmiedeeisen und Millimeter-Maaß und Kilogr.-Gewicht

$$S_0 = \frac{F l^2 e}{W} 0,00000389 \text{ Kilogr. pr. } \square^{\text{mm}} \quad (11^*)$$

und für den rechteckigen Querschnitt

$$S_0 = 0,00002334 \frac{l^2}{\mu b} \text{ Kilogr. pr. } \square^{\text{mm}} \quad (11_1^*)$$

und den runden Querschnitt

$$S_0 = 0,00003112 \frac{l^2}{d} \text{ Kilogr. pr. } \square^{\text{mm}} \quad (11_2^*)$$

Für unser Beispiel würde folgen

$$S_0 = 0,00002334 \frac{4000000}{156,4} = 0,6 \text{ Kilogr. } (11_1^*)$$

und

$$S_0 = 0,00003112 \frac{4000000}{89,6} = 1,4 \text{ Kilogr. } (11_2^*)$$

Es ist also nicht zu befürchten, daß durch das Eigengewicht allein eine zu große Spannung hervorgerufen werden könnte.

Untersuchen wir jetzt noch die Spannungserhöhung, welche in dem nach der Zugkraft H allein berechneten Querschnitte eintreten würde durch die Wirkung des Eigengewichtes. Nennen wir dieselbe ΔS , so hätte man nach Gleichung (7)

$$\Delta S = \frac{\gamma}{2} e \cdot \frac{\frac{F l^2}{W}}{\left(1 + 0,408 \frac{S}{E} \frac{F l^2}{W}\right)}, \quad (12)$$

also für Schmiedeeisen und Kilogr.-Gewicht und Millim.-Maaß

$$\Delta S = 0,00000389 \cdot e \cdot \frac{\frac{F l^2}{W}}{\left(1 + 0,0001428 \frac{F l^2}{W}\right)}, \quad (12^*)$$

also für den rechteckigen Querschnitt

$$\Delta S = 0,00002334 \cdot \mu b \frac{\left(\frac{1}{\mu b}\right)^2}{\left(1 + 0,0017136 \left(\frac{1}{\mu b}\right)^2\right)} \quad (12_1^*)$$

Kilogr. pr. \square^{mm} und für den runden Querschnitt,

$$\Delta S = 0,00003112 \cdot d \frac{\left(\frac{1}{d}\right)^2}{\left(1 + 0,0022848 \left(\frac{1}{d}\right)^2\right)} \quad (12_2^*)$$

Kilogr. pr. \square^{mm} .

So hätte man für unseren Fall

$$\Delta S = 0,00002334 \cdot 151,2 \frac{\left(\frac{2000}{151,2}\right)^2}{\left(1 + 0,0017136 \left(\frac{2000}{151,2}\right)^2\right)} = 0,48 \text{ Kilogr. pr. } \square^{\text{mm}} \quad (12_1^*)$$

und beziehentlich

$$\Delta S = 0,00003112 \cdot 85,2 \frac{\left(\frac{2000}{85,2}\right)^2}{\left(1 + 0,0022848 \left(\frac{2000}{85,2}\right)^2\right)} = 0,84 \text{ Kilogr. pr. } \square^{\text{mm}} \quad (12_2^*)$$

Aus diesen letzten Werthen sieht man, wie klein die Spannungszunahme durch das Eigengewicht ist, und daß man durchaus keine Sorge zu tragen braucht, dieselbe etwa durch Aufhängung der Stange in ihrer Mitte herabzuziehen. Im Gegentheil erachte ich dieses Mittel in so fern nur als schädlich, als durch ungenaue Ausführung diese Aufhängung bisweilen dazu dienen kann, die Spannung der aufgehängten Stange

zu vergrößern, man lasse daher solche Aufhängung ganz fort, wenn sie nicht etwa einen anderen Zweck erreichen soll, wie etwa in Walzwerken die Last der Zangen und der an ihnen hängenden Eisenmassen direct auf den Dachstuhl zu übertragen, oder wie beim Montiren des Daches, um Gerüste auf den horizontalen Stangen auflagern zu können, ohne dadurch diese Stangen über das zulässige Maas anzuspannen.

Versuche an drei Dampfmaschinen mit Dampfhemden.

Von

O. Hallauer,

Mitglied der Société industrielle zu Mülhausen im Elsaß.

Erster Abschnitt.

Einführung.

In dieser Abhandlung erlaube ich mir der Société industrielle in Beispielen die Anwendung der Anschauungs- und Versuchsmethode vorzulegen, welche Herrn G. Deloutre und mir zur Begründung unserer gegenwärtig unter der Presse befindlichen rationellen und praktischen Theorie der Dampfmaschinen gebient hat. Zum Verständniß dieser Abhandlung ist es nöthig, Einiges über die Entstehung dieser Arbeiten, sowie über die Entwicklung der dabei zu Grunde gelegten Versuchs- und Auslegungsmethoden anzuführen, auch erlaube ich mir, auf eine Reihe gänzlich neuer Thatsachen aufmerksam zu machen, wie die Zustandsänderungen des Dampfes und die Verteilung der Calorien im Innern des Cylinders, die wir, Dank den uns von Hrn. G. A. Hirn gewordenen ausgezeichneten Rathschlägen, bis auf etliche Zehntelprocente, genau zu berechnen gelernt haben.

Sobald die Theorie vom mechanischen Aequivalent der Wärme aufgestellt war, machte man auch sofort die Anwendung auf die Dampfmaschine; unglücklicherweise betrachteten aber die meisten Gelehrten, welche sich mit dieser Frage beschäftigten, diese Maschinen als reine geometrische Cylinder und vernachlässigten den Einfluß der Wände auf das darin arbeitende Gas, so daß die aufgestellten Gleichungen werthlos waren.

Die ersten richtigen Anschauungen über diesen Gegenstand verdanken wir Hirn, der auf Grund wenig zahlreicher, aber genauer Versuchsdata die Aufeinanderfolge der Vorgänge

im Cylinder einer mit gesättigten Dämpfen arbeitenden Dampfmaschine in folgenden der Exposition analytique et expérimentale de la théorie mécanique de la chaleur (Auf-
lage vom J. 1865) entlehnten Worten klar dargelegt hat.

„Denken wir uns eine Maschine mit einem Cylinder ohne Dampfhemd, mit Condensation und variabler Expansion, gespeist mit gesättigten Dämpfen; der Cylinder möge durch eine Verpackung gegen Abkühlung geschützt sein, was jederzeit in ziemlich vollkommenem Grade zu erreichen ist. Die Dampfspannung im Kessel betrage 5 Atmosphären (Temperatur 152,2°), die Maschine sei in Gang und die Expansion beginne bei $\frac{1}{6}$ des Hubes: Unter diesen Umständen erfolgt an beiden Enden des Cylinders während $\frac{1}{6}$ des Hubes Dampfzutritt, wobei nothwendig der untere oder obere Cylinderboden, die untere oder obere Kolbenfläche und die entsprechende Wandung des Cylinders die Temperatur des Dampfes annehmen müssen, dieser also so lange condensirt wird, bis dies erfüllt ist. Sobald der Dampfzutritt aus dem Kessel abgesperret ist und die Expansion beginnt, kühlt sich der Dampf allmähig ab und entzieht den Cylinderwandungen, innerhalb welchen die Arbeit mit frischem Dampfe stattgefunden hat, Wärme. Je weiter aber der Kolben vorrückt, um so mehr tritt er an die nach und nach damit in Berührung kommende und von Kesseldampf nicht direct erwärmte Wand Wärme ab und deshalb muß die ursprünglich erwärmte Cylinderfläche immer mehr Wärme hergeben. Nach Ueberschreitung der Mitte des Hubes berührt der Dampfkolben dasjenige Ende des Cylinders, welches beim vorausgegangenen Hube erwärmt worden ist, und wenn der Kolben am Ende des Hubes anlangt, so strömt der Dampf, welcher ihn bis dahin geschoben hat, nach dem Condensator ab, wobei er expandirt und der ganzen be-

rührten Wandfläche Wärme entzieht, deren Menge von der Geschwindigkeit des Austritts abhängig ist und um so beträchtlicher sein wird, je langsamer der Austritt erfolgt."

Diese Schilderung der Vorgänge ist vollkommen richtig; in Folge der genaueren Kenntniß über den Wassergehalt des Dampfes in jeder Stellung des Kolbens ist es uns aber gelungen, dieselben noch bestimmter auszudrücken. Der Dampf, welcher während der Einströmung condensirt wird, schlägt sich in Thauform am Cylinderboden, Kolben und bloßgelegten Cylindermantel nieder. Sobald die Expansion beginnt, verdunstet ein Theil dieses Wassers auf der vorher erhitzten Fläche, wogegen sich an der beim Fortrücken des Kolbens nach und nach entblößt werdenden Cylinderwandung Dampf nieder schlägt. Je nachdem nun mehr oder weniger Dampf zugelassen worden ist, wird sich am Ende des Kolbenhubes mehr Condensationswasser vorfinden, als beim Beginn der Expansion, oder die Condensationswassermenge wird unverändert bleiben, oder endlich, und dies tritt bei Dampfmaschinen mit starker Expansion am gewöhnlichsten ein, die Verdampfung wird stärker sein, als die Condensirung, so daß es uns z. B. vorgekommen ist, daß am Ende des Hubes im Dampfe nur 1 bis 2 Proc. Wasser enthalten war, während der Wassergehalt bei Beginn der Expansionsperiode 50 Procent betrug.

Nach neueren Versuchen, die wir mit Herrn Hirn gemacht haben, und nach einer von ihm aufgestellten Formel ergibt sich übrigens, daß es nicht der Dampf ist, welcher den Cylinderwänden die Wärme entzieht, sondern daß dies durch die Verdampfung des wässerigen Niederschlages geschieht, mit welchem im Moment des Dampfaustrittes die Cylinderwände und die Kolbenflächen bedeckt sind, und daß die hierzu gebrauchte Wärme im Condensator wieder aufgefangen wird.

Wenn endlich Herr Hirn angenommen hatte, daß überhitzter Dampf von 225° im Innern des Cylinders überhitzt oder doch mindestens trocken verbleibe, so haben unsere Analysen gezeigt, daß dieser Dampf, je nach dem Füllungsgrade, beim Beginn der Expansion 15 bis 50 Procent Wasser enthalten könne, was Herr Hirn in folgender Weise erklärt. Sobald der überhitzte Dampf in den Cylinder eintritt, so verwandelt sich der in unmittelbare Berührung mit der kälteren Cylinderwand tretende Dampf in Wasser und schlägt sich in Thauform an den Wänden nieder. Da nun überhitzter Dampf im Zustande der vollkommenen Gase befindlich und ein schlechter Wärmeleiter ist, so findet zwischen diesem und dem wässerigen Ueberzug der Wände kein Wärmeaustausch statt, er behält also seine Wärme bis in die Mitte der Masse hinein und es existirt im Cylinder gleichzeitig: an den Wänden ein feuchter Niederschlag, daneben bis auf geringe Entfernung gesättigter Dampf und nach der Mitte zu mehr und mehr überhitzter Dampf. Diese, auf experimentellem Wege kaum nachweisbare Hypothese ändert übrigens Nichts an unsern

Rechnungsergebnissen, welche unter der Hypothese aufgestellt sind, daß der Dampf vom Beginn bis zum Ende der Expansion in gesättigtem Zustande befindlich sei, was nur für das Ende wirklich nachgewiesen ist.

Bei unsern Studien über die Dampfmaschine betrachten wir

1. das Expansionsgesetz und die Arbeit des Dampfes,
2. die Zustandsänderungen des Dampfes und die Vertheilung der Wärme.

I.

Vom Expansionsgesetz, von der Arbeit des Dampfes und den verschiedenen Verlusten.

Das Mariotte'sche Gesetz, das bisher in den meisten Werken zu Grunde gelegt worden ist, hat nur für einen Ausnahmefall der Expansion Gültigkeit; wir haben aber bei der Prüfung einer großen Zahl von Indicator diagrammen, die unter den verschiedensten Umständen erhalten worden sind, gefunden, daß der Ausbruch

$$\frac{p}{p_1} = \left(\frac{V_1}{V}\right)^\alpha,$$

in welchem, je nach dem Grade der Expansion, α zwischen 0,5 und 1,50 variirt, sehr wohl als Expansionsgesetz angenommen werden kann, und daß sich darnach die nützliche Arbeit und die Arbeit der Widerstände leicht und mit Sicherheit berechnen läßt.

Bei einer ein cylindrigen Dampfmaschine erfährt der Dampf bei seiner Bewegung vom Kessel bis zum Cylinder in Folge der Widerstände in den Röhren, Ventilen, Dampfwegen u. s. w. einen Druckverlust, dem ein Arbeitsverlust entspricht. Nun füllt er die schädlichen Räume aus, ohne Arbeit zu verrichten, und obwohl das in den schädlichen Räumen befindliche Dampfvolument bei der Expansion Arbeit verrichtet, so entsteht hierdurch doch ein Verlust, der sich in folgender Weise ermitteln läßt. Besitzt eine Dampfmaschine z. B. 1, 2 oder 3 Proc. des dem Hube entsprechenden Cylinderraumes an schädlichen Räumen, so wird nach der Arbeitsformel die nützliche Arbeit des mit der Spannung p_0 zutretenden und nach obigem Gesetze bis auf das Volumen $V_n + V_p$ expandirenden Dampfes zu berechnen sein. Denkt man sich aber den Cylinder ohne schädlichen Raum, so muß, um dasselbe Expansionsgesetz α zu erhalten, dasselbe Dampfvolument V eingelassen werden, welches sich ausdehnt bis auf V_n . Die Differenz der berechneten Arbeitsmengen giebt den dem schädlichen Raume zuzuschreibenden Verlust, welcher 1,5 bis 8 Proc. betragen kann.

Nach Vollenbung des Hubes entweicht der Dampf in den Condensator, wobei in Folge der engen Dampfwege und der constanten Bildung von Dampf an den Wänden des Cylinders ein Gegenbruch auf den Kolben entsteht, welcher einen weitem Arbeitsverlust verursacht.

Endlich wird durch die Reibung der verschiedenen Maschinentheile Kraft verzehrt, und obwohl nicht bestimmt behauptet werden kann, daß dieser Verlust ein constanter sei, weil die Reibung mit dem Drucke zwischen den sich berührenden Theilen wächst, so sind diese Schwankungen doch lange nicht so verschieden, als die Coefficienten, welche man angenommen hat, um die unter Zugrundelegung des Mariotte'schen Gesetzes berechnete theoretische Leistung mit der von der Maschine wirklich ausgegebenen Arbeit in Einklang zu bringen, dieser Kraftverlust schwankt vielmehr durchschnittlich zwischen 10 und 15 Procent der vom Kolben verrichteten Arbeit, so daß ein Wirkungsgrad von 85 bis 90 Procent anzunehmen ist.

Bei Woolf'schen Maschinen treten noch die Verluste zwischen dem großen und kleinen Cylinder hinzu, welche aus zwei gleichzeitig wirksamen Ursachen entspringen, nämlich erstens ein Verlust an Druck in Folge der schädlichen Räume und zweitens der Verlust in Folge der bei Beginn des Hubes fast momentan im großen Cylinder stattfindenden Condensation. Letzterer findet auch bei Woolf'schen Maschinen ohne schädliche Räume statt, wir haben nämlich constatirt, daß von 27 Procent Verlust zwischen dem großen und kleinen Cylinder nur 17 Procent auf Rechnung der schädlichen Räume kommen, während die übrigen 10 Procent auf die Condensation zu rechnen sind. Der Druckverlust in Folge der während des ganzen Hubes stattfindenden Ausströmung ist gering und verursacht nur einen unbedeutenden Verlust von Arbeit.

Bei dieser Gattung von Maschinen ist der einem gleich großen Gegendrucke auf den Kolben entsprechende Verlust verhältnißmäßig etwas größer als bei eincylindrigen Maschinen, da der große Kolben bei gleichstarken Maschinen einen verhältnißmäßig größeren Durchmesser erhält, auch werden durch den zweiten Kolben die Reibungswiderstände vermehrt.

II.

Von den Zustandsänderungen des Dampfes bei seinem Wege in die Cylinder und von der Vertheilung der Wärmeeinheiten.

Dieser Theil unserer Untersuchungen, welcher nicht minder wichtig ist, als der erste Abschnitt, kann das Verdienst beanspruchen, etwas Neues zu bringen, indem selbst Herr Hirn, welcher wie oben angeführt worden ist, die Vorgänge im Innern des Cylinders schon klar angezeigt hat, nur wenige Zahldata hierüber beibringen konnte. Die bemerkenswerthen Resultate, zu denen Herr Deloutre und ich gelangt sind, berechtigen uns aber zu der Behauptung, daß nunmehr eine rationelle und practische Theorie der Dampfmaschine gewonnen worden ist. Wir haben auch den Einfluß der Expansion auf den Kohlenverbrauch nachweisen und den günstigsten Expan-

sionsgrad für Cincylindermaschinen auffuchen können, so daß alles unsichere Taster in dieser Beziehung aufgehört hat.

Um die aufeinanderfolgenden Zustandsänderungen des Dampfes studiren zu können, bedurften wir einer Einheit, welche uns die Zusammenfassung sämtlicher Data in einigen einfachen Formeln gestattete und ebenso gut auf überhitzte, als auf gesättigte Dämpfe mit verschiedenem Wassergehalte anwendbar war. Die Natur der zu analysirenden Erscheinungen hat uns auf die Calorie als Einheit hingewiesen, weshalb wir mit der Zahl der dem Cylinder zugeführten und sich darin vertheilenden Calorien rechnen werden. Diese Einheit besitzt überdies den Vorzug, „recht eigentlich eine industrielle Einheit zu sein“, denn man wird noch lange die Maschinen nach ihrem Verbrauch an Calorien, d. h. an Kohle schätzen; man muß indessen hierbei den Dampferzeuger vom Motor trennen, um nicht der Maschine Verluste beizumessen, welche beim Dampferzeugen entstehen.

Die Brauchbarkeit dieser Methode ist an mehr als 15 Fällen nachgewiesen worden und ich werde hier einen Ueberblick über die erzielten Resultate geben, wobei wir uns zuerst mit den Cincylindermaschinen, dann mit Woolf'schen Maschinen beschäftigen wollen.

Die Dampfmaschinen mit einem Cylinder können mit überhitzten oder mit feuchten Dämpfen betrieben, und mit oder ohne Dampfhemde versehen sein. Als erstes Beispiel führe ich eine Cincylindermaschine für überhitzten Dampf von 225° ohne Dampfhemde und mit $\frac{1}{4}$ Füllung vor.

Wenn der überhitzte Dampf mit den relativ kalten Cylinderwänden in Berührung tritt, so verliert er seine Ueberhitze, wird condensirt und im Moment, wo die Expansion beginnt, bedecken 14,7 Proc. Wasser die Wände. Wenn der Kolben weiter geht, so bewirkt die von den Wänden aufgenommene Wärme eine Dampferwicklung, welche in Verbindung mit der gleichzeitig an der durch den vorrückenden Kolben bloß gelegten Cylinderwand stattfindenden Condensation bewirkt, daß am Ende des Hubes noch 11 Proc. Wasser und zwar größtentheils in Form eines an der Cylinderwand haftenden Thaues vorhanden sind. Berechnen wir die Wärmemenge, welche das Gemisch von Wasser und Dampf in diesem Momente enthält, und addiren wir diejenige Wärme dazu, welche in Folge der verrichteten Arbeit und äußeren Abkühlung (was wir zusammen als äußere Verluste bezeichnen) verschwunden ist, so sehen wir, daß dieselbe um 16,64 Calorien kleiner geworden ist, als die zu Beginn der Expansion vorhandene Wärmemenge; diese Calorien sind also in die Wände übergegangen. Wird hierauf die Ausströmung eröffnet und zieht der Dampf nach dem Condensator ab, so verdampft das an den Wänden niedergegeschlagene Wasser allmählig und entzieht ihnen dadurch die Wärme, wir finden denn auch wirklich im Condensationswasser jene 16 Calorien, die anfänglich fehlten. Man könnte diese erst verschwundene

Er wieder aufgefundenen Wärmemenge durch Un-
 3 Kolbens erklären wollen, aber eine Reihe von
 an ein und derselben Maschine mit verschiedenen
 hat uns bewiesen, daß diese Größe (welche ich R.
 durch den Condensator nenne) mit der Wasser-
 irt, welche am Ende des Hubes an den Wänden
 ist. Bei ein Zehntel Füllung und einer Tempe-
 225° ist z. B. die Wärme am Anfang der Ex-
 mindert um die äußern Verluste, gleich derjenigen,
 zu Ende der Expansion und im Condensations-
 endet; auch in diesem Falle ist der Wassergehalt am
 c, die Abkühlung durch den Condensator R. gleich
 , da der Versuch mit derselben Maschine gemacht
 Hypothese des Verlustes durch Undichtigkeit des
 ist zulässig.

Er treibende Dampf feucht, so treten ganz ähn-
 lungen auf, nur findet beim Eintritt des wasser-
 ampfes in den Cylinder eine stärkere Condensation
 es bleibt auch am Ende des Hubes mehr Wasser
 r, folglich ist die Abkühlung im Condensator be-

Dies ist auch der Hauptgrund, warum eine
 hine ohne Dampfhemd, je nachdem sie durch über-
 pfe von 225° oder durch gesättigte Dämpfe gespeist
 um 35 Proc. niedrigere Leistung geben kann.

Anwendung eines Dampfhemdes erhöht die Leistung
 achteten beiden Motoren sehr wesentlich, indem
 derselbe Erfolg erzielt wird, wie durch stärkere
 z. Indem von außen Wärme zugeführt wird,
 ndensation geringer aus, und erhöht sich die Wie-
 sung während der Arbeit; es wächst also die Arbeit,
 e Abkühlung durch den Condensator geringer wird,
 nde des Hubes weniger Wasser an den Cylinder-
 niedergeschlagen ist. Diese Wärme kommt übri-
 ch billig zu stehen, weil der Dampf bei der Con-
 en größten Theil der darin enthaltenen Wärme
 irt und es möglich ist, das Wasser der Ablasshähne
 gen, daß es mit dem Speisewasser gemeinsam in
 gedrückt werden kann.

ohl construirter Mantel kann also bei Maschinen,
 nassen Dämpfe arbeiten, eine Brennmaterial-
 on 25 Proc. realisiren, bei Maschinen für über-
 npf ist sein Nutzen minder hervortretend. Die
 1 muß aber mit richtigem Verständniß gemacht
 is der Dampf für den Dampfmantel, wie für den
 is der allgemeinen Dampfleitung direct entnommen
 mit derselbe möglichst wenig feucht und möglichst
 Cylinder gelangt. Uebrigens hängt die Wirkung
 smantels nicht bloß von der Größe der umhüllten
 he, sondern auch davon ab, ob der Mantel an
 oder am obern oder am untern Cylinderende
 jen Mitte angebracht ist.

Ein zweites bemerkenswerthes Factum besteht darin, daß
 von einem gewissen Füllungsgrade an die Wirkung des
 Dampfmantels abnimmt, was man sofort an dem Verhältniß
 des sich condensirenden Dampfes erkennt. Ja es kann sogar
 der Fall eintreten, daß ein Dampfhemd ganz nutzlos wird,
 was wir z. B. gemeinsam mit Herrn Hirn an einer mit
 ringförmigem Dampfmantel versehenen Dampfmaschine mit
 1/4 Füllung beobachtet haben. Selbst in diesem Falle läßt
 sich durch Ueberhitzung der Dämpfe ein merklicher Vortheil
 erzielen.

In einer Woolf'schen Maschine sind die Zustands-
 änderungen zwar complicirter, aber doch von gleicher Natur.
 Der kleine Cylinder verliert während des Abflusses des
 Dampfes nach dem großen Cylinder Wärme und in letzterem
 findet zu Anfang des Hubes eine beträchtliche Condensation
 statt, indem sich beispielsweise 38 Proc. Wasser vorfinden, wäh-
 rend die Dämpfe den kleinen Cylinder mit 24,5 Proc. Was-
 sergehalt verlassen haben. Dagegen verdampft während der
 ganzen Expansionsperiode anhaftendes Wasser sowohl im
 kleinen, als im großen Cylinder und diese Wiederverdampfung
 ist beträchtlicher als die Condensation an der beim Vorrücken
 des großen Kolbens bloßgelegten Cylinderwandung, so daß
 der Dampf am Ende des Hubes nur 11,5 Proc. Wasser
 enthält. Obgleich diese Wassermenge nicht beträchtlich ist, so
 genügt sie doch, um beim Austritt nach dem Condensator
 den Wänden 33 Calorien zu entziehen.

Schließlich wollen wir noch einige Worte über die Me-
 thode beifügen, nach welcher diese Resultate erzielt worden
 sind. Diese Versuchsmethode hat Herr Hirn im J. 1855
 angegeben und sie ist von uns gemeinsam in vervollkomm-
 neter Form in den Jahren 1870 und 1871 angewendet
 worden. Man hält die zu prüfende Maschine einen Tag
 lang in möglichst gleichförmigem Gange, mißt das Speise-
 wasser, verzeichnet die Spannungen, das übergerissene Wasser
 oder bei überhitztem Dampf die Temperatur der Dämpfe
 beim Eintritt in den Cylinder, nimmt an beiden Enden des
 Cylinders möglichst viele Diagramme ab und mißt endlich
 zur Controle die Condensationswassermenge und seine Tem-
 peratur. Letztere Angabe ist gerade nicht unentbehrlich, dient
 aber zu einer schätzbaren Controle. Ebenso mag man wohl
 die Arbeitsleistung der Maschine durch den Brems zu be-
 stimmen suchen, obwohl derartige Versuche im Allgemeinen
 kostspielig und für Ungeübte nicht ungefährlich sind. Wo die
 von Hirn angegebene Methode der Messung mit dem Pan-
 dynamometer möglich ist, wird sich diese am meisten empfehlen.

Zweiter Abschnitt.

Analyse.

Woolf'sche Maschine.

Die bei unsern Untersuchungen befolgte Methode bezieht sich auf zwei Reihen von Gegenständen:

1. Ermittlung der Arbeit und der verschiedenen Verluste vom Eintritt in den Cylinder bis zum Austritt, sowie des Dampfverbrauches pro Stunde und Pferdekraft,

2. Untersuchungen über die Zustandsänderungen des Dampfes im Hemde und im Innern der Cylinder, Ermittlung der Abkühlung durch den Condensator und Nachweis des Dampfverbrauches.

Ermittlung der Arbeit.

Hierbei wird Kenntniß der Gesetze der Expansion im kleinen und großen Cylinder, sowie die genaue Angabe des während der Admissionsperiode eingetretenen Dampfvolomens vorausgesetzt. Aus den Curven und Dimensionen der Maschine ergab sich Folgendes:

Spannung

des Dampfes in dem Dampfhemde . . .	4,973 ^k
im kleinen Cylinder am Ende des Eintritts $p_0 = 4,425$ „	
„ der Expansion $p_n = 3,250$ „	
im großen Cylinder zu Anfang des Hubes $P_0 = 1,568$ „	
„ Ende „ „ $P_n = 0,475$ „	
Gegendruck hinter dem großen Kolben . . $P_c = 0,196$ „	

Volumen

des Kolbenhubes im kleinen Cylinder . .	$v_n = 0,299$ cbm,
des schädlichen Raumes „ „ . .	$v_p = 0,011$ „
des Kolbenhubes im großen Cylinder . .	$V_n = 1,996$ „
des Dampfcanals sammt	
Sicherheitsraum . . .	0,118
des Raumes im Schieberkasten . . .	0,050
des Verbindungsrohres . . .	0,028
des Raumes unter dem kleinen	
Schieber	0,011

$$V_p = 0,205 \text{ „}$$

Bezüglich der Expansion gelten die Formeln*)

$$F_A = \frac{P_0 (v_n + v_p + V_p)}{1 - \alpha'} \left[\left(\frac{v_n + v_p + V_p}{V_n + v_p + V_p} \right)^{\alpha-1} - 1 \right].$$

Substituiert man die numerischen Werthe, so erhält man:

$$\frac{p}{p'} = \left(\frac{v'}{v} \right)^\alpha,$$

$$\alpha = \frac{\log p - \log p'}{\log v' - \log v}.$$

Zur Bestimmung des Exponenten für den kleinen Cylinder bedienen wir uns nachstehender zusammengehöriger Werthe der Diagramme

$$p_{17} = 4,146^k \quad p_{20} = 3,439^k \quad v_{17} = 0,2502 \text{ cbm}$$

$$v_{20} = 0,29505,$$

also

$$\alpha = \frac{\log 4,146 - \log 3,439}{\log 0,29505 - \log 0,2502} = 1,13.$$

Ist nun der Exponent bekannt, so kann man, ausgehend von dem Druck p_7 und dem Volumen v_7 , welche ebenso wie der Druck $p_0 = 4,425$ bekannt sind, das Volumen des eingetretenen Dampfes v_0 berechnen

$$\log v_0 = \log v_7 - \frac{\log p_0 - \log p_7}{\alpha}$$

$$= \log 0,2502 - \frac{\log 4,425 - \log 4,146}{1,13}$$

$$v_0 = 0,2362 \text{ cbm.}$$

Das Volumen des Kolbenhubes im kleinen Cylinder, während der Admissionsperiode ist also nach Abzug des schädlichen Raumes:

$$v_0' = v_0 - v_p = 0,2362 - 0,011 = 0,2252 \text{ cbm.}$$

Für den großen Cylinder kann man sich nachstehender zusammengehöriger Größen bedienen:

$$P_6 = 0,994^k \quad P_{16} = 0,622^k,$$

$$V_6 = 0,93925 \quad V_{16} = 1,78775 \text{ cbm,}$$

woraus folgt:

$$\alpha' = \frac{\log 0,994 - \log 0,622}{\log 1,78775 - \log 0,93925} = 0,73.$$

Man hat nunmehr alle Data, welche zur Berechnung der Arbeit erforderlich sind.

Arbeit während der Einströmung:

$$F_p = p_0 v_0'.$$

Arbeit während der Expansion im kleinen Cylinder:

$$F_s = \frac{p_0 v_0}{1 - \alpha} \left[\left(\frac{v_0}{v_n + v_p} \right)^{\alpha-1} - 1 \right].$$

Arbeit im großen Cylinder:

*) Vergleiche: Etude générale sur les moteurs à vapeur par MM. Leloutre et Hallauer.

$$\begin{aligned}
 1. F_p &= 44250 \cdot 0,2362 = \dots\dots\dots 9965,1 \text{ mk}, \\
 2. F_\delta &= \frac{44250 \cdot 0,2362}{1 - 1,13} \left[\left(\frac{0,2362}{0,310} \right)^{1,31 - 1} - 1 \right] = \dots\dots\dots 2801,1 \text{ ,,} \\
 3. F_\Delta &= \frac{15680 \cdot 0,515}{1 - 0,73} \left[\left(\frac{0,515}{2,212} \right)^{0,75 - 1} - 1 \right] = \dots\dots\dots 14454,6 \text{ ,,} \\
 &F = 27220,8 \text{ mk.}
 \end{aligned}$$

Die hier berechnete totale Arbeit für den ganzen Hub samt schädlichen Räumen wird durch Ausmessen der Indicatorcurven bis auf 1,39 Proc. bestätigt.

Da pro Kolbenspiel ein Gewicht M von $0,7729 \text{ k}$ Dampf und Wasser consumirt wird, so berechnet sich der Bruttoverbrauch an Dampf wie folgt. Die Arbeit F , in Pferdekraften

$$\frac{2Mu \cdot 60}{2Fu} = \frac{270000M}{F} = \frac{270000 \cdot 0,7729}{27220,8} = 7,6663 \text{ k.}$$

Unter den Verlusten sind die beträchtlichsten diejenigen durch die schädlichen Räume und durch den Gegenbruch unter dem großen Kolben; der Uebertritt des Dampfes vom kleinen zum großen Cylinder, welcher nur unter $0,028 \text{ k}$ pro $\square \text{ cm}$ stattfindet, bewirkt nur einen unbedeutenden Verlust.

Da bereits die absolute Arbeit mit Berücksichtigung der schädlichen Räume berechnet ist, so haben wir nun die absolute

ausgedrückt, ist bei u -Umdrehungen pro Minute $\frac{2uF}{60 \cdot 75}$ und der Dampfverbrauch pro Stunde $2Mu \cdot 60 = m$, also erhält man pro absolute Pferdekraft und Stunde einen Dampfverbrauch von

Leistung des neu eingetretenen Dampfvolmens v_0 bei seiner Expansion in dem vom kleinen Kolben beschriebenen Raume und seinem Uebergange in den großen Cylinder unter der Voraussetzung des Nichtvorhandenseins von schädlichen Räumen zu ermitteln. Der Druck am Ende der Expansion, wenn das Volumen $v_0 = 0,2362$ in das Volumen $v_n = 0,299 \text{ cbm}$ übergegangen ist, berechnet sich auf

$$p_n' = p_0 \left(\frac{v_0}{v_n} \right)^\alpha = 4,425 \left(\frac{0,2362}{0,2990} \right)^{1,13} = 3,390 \text{ k.}$$

Dies ist der Druck, welcher zum Anfange unter dem großen Kolben herrschen sollte, aber hier stoßen wir auf ein complicirtes Verhältniß, das wir näher erörtern müssen. Der Dampf besitzt nämlich in Wirklichkeit am Ende der Expansion im kleinen Cylinder $3,250 \text{ k}$ Druck und beim Beginn des Hubes des großen Kolbens nur noch $1,568 \text{ k}$, welcher Spannungsverlust nur durch die schädlichen Räume und die Condensation entstanden sein kann. Hätte keine Condensation stattgefunden, so würde in Folge der schädlichen Räume nach dem Mariotte'schen Gesetze die Spannung $p_n = 3,250 \text{ k}$ übergegangen sein in $p_n \frac{v_n + v_p}{v_n + v_p + V_p}$

$$= 3,250 \cdot \frac{0,310}{0,515} = 1,956 \text{ k, es ist also durch die Condensation ein Spannungsverlust von } \frac{1,956 - 1,568}{1,956} = 0,194$$

eingetreten. Hätte der große Cylinder keinen schädlichen Raum, so würde in Folge der Condensation die ursprüngliche Spannung darin sein $p_0' = p_n'(1 - 0,194) = 3,390 \cdot 0,806 = 2,732 \text{ k}$. Hier ist $p_n' = 3,390$ die Spannung zu Ende des Hubes im kleinen Cylinder, wenn dieser keinen schädlichen Raum hätte.

Wir haben nun die zu Berechnung der absoluten Arbeit F_0 für den Fall, wo kein schädlicher Raum vorhanden wäre, erforderlichen Elemente zusammen und erhalten:

$$\text{Arbeit mit vollem Druck } p_0 v_0 = 44250 \cdot 0,2362 = \dots\dots\dots 10451,9 \text{ mk}$$

$$\begin{aligned}
 \text{Arbeit der Expansion im kleinen Cylinder } &\frac{p_0 v_0}{1 - \alpha} \left[\left(\frac{v_0}{v_n} \right)^{\alpha - 1} - 1 \right] \\
 &= \frac{44250 \cdot 0,2362}{1 - 1,13} \left[\left(\frac{0,2362}{0,2990} \right)^{1,13 - 1} - 1 \right] = \dots\dots\dots 2429,0 \text{ ,,}
 \end{aligned}$$

$$\begin{aligned}
 \text{Arbeit der Expansion im großen Cylinder } &\frac{p_0' v_n}{1 - \alpha'} \left[\left(\frac{v_n}{V_n} \right)^{\alpha' - 1} - 1 \right] \\
 &= \frac{27320 \cdot 0,2990}{1 - 0,73} \left[\left(\frac{0,2990}{0,9960} \right)^{0,73 - 1} - 1 \right] = \dots\dots\dots 20258,3 \text{ ,,}
 \end{aligned}$$

Es ergibt sich daher der Verlust durch die schädlichen Räume

$$\frac{F_0 - F}{F_0} = \frac{33139,2 - 27220,8}{33139,2} = 17,86 \text{ Proc.}$$

Die Arbeit des Gegendruckes auf den großen Kolben ist

$$V_n P_0 = 1960 \cdot 1,996 = 3912,2 \text{ m}^k \text{ pro Spiel}$$

und der entsprechende Verlust

$$\frac{V_n P_0}{F_0} = \frac{3912,2}{33139,2} = 11,81 \text{ Proc.}$$

Wie bereits gesagt, entsteht beim Uebertritt der Dämpfe aus dem einen Cylinder in den andern ein Gegendruck $p_0 = 0,028 \text{ k pro } \square^{\text{cm}}$ auf den kleinen Kolben, welchem die Arbeit

$$v_n P_0 = 280 \cdot 0,299 = 83,72 \text{ m}^k$$

entspricht. Der hierdurch entstehende Verlust von

$$\frac{83,72}{33139,2} = 0,25 \text{ Proc.}$$

ist gänzlich zu vernachlässigen.

Zustandsänderungen des Dampfes.

Zur vollständigen Durchführung dieser Untersuchungen fehlten zwei Angaben, welche während des Versuches nicht erhalten werden konnten, nämlich die Menge des im Dampfhemde abgesetzten Wassers, welche erst nachträglich gemessen und zu $0,0773 \text{ k}$ ermittelt worden ist, und die Menge des übergerissenen Wassers, für welche sich, wie wir sehen werden, annähernd ein Maximalwerth angeben läßt.

In Folge des Schiebermechanismus bleibt beständig bei jedem Hube ein Dampfgewicht von $0,0268 \text{ k}$ im kleinen und von $0,0333 \text{ k}$ im großen Cylinder zurück, indem der vom Kessel eintretende Dampf den Raum, welchen die Schieber einnehmen, nicht ausfüllen kann; auf dieses Volumen muß bei der Berechnung des in den Cylindern befindlichen Dampfes Rücksicht genommen werden. *)

Da der große Schieber bei $\frac{16}{20}$ des Hubes absperrt, so sind die nach der am Ende im großen Cylinder herrschenden Spannung berechneten Gewichte direct mit denen, welche aus dem Kessel abgegeben sind, vergleichbar.

Um das Verständniß der folgenden Rechnungen zu erleichtern, gebe ich zunächst eine Uebersicht aller directen Beobachtungsdata pro Kolbenspiel.

Gewicht des aus dem Kessel entnommenen

$$\text{Dampfes und Wassers } M \dots \dots \dots = 0,7729 \text{ k}$$

Gewicht des im Dampfhemde sich sammelnden

$$\text{Wassers } \dots \dots \dots = 0,0778 \text{ k}$$

*) Bei der Berechnung haben wir uns der Zeuner'schen Tabelle bedient.

Gewicht des in den Cylinder neu eintretenden

$$\text{Dampfes und Wassers } \dots \dots \dots = 0,6956 \text{ k}$$

Kleiner Cylinder.

Dampfgewicht, das am Ende der Einströmung vorhanden ist, $\dots \dots \dots = 0,5617 \text{ k}$

$$\text{desgl., welches im Cylinder zurückbleibt, } \dots \dots \dots = 0,0268 \text{ k}$$

$$\text{desgl., welches bis zum Ende der Einströmung neu eingetreten ist } \dots \dots \dots = 0,5349 \text{ k}$$

$$\text{Gewicht des darin enthaltenen Wassers: } 23,1 \text{ Proc. } \dots \dots \dots = 0,1607 \text{ k}$$

$$\text{do. des am Ende des Hubes vorhandenen Dampfes } \dots \dots \dots = 0,5518 \text{ k}$$

$$\text{do. des im Cylinder zurückbleibenden Dampfes } \dots \dots \dots = 0,0268 \text{ k}$$

$$\text{do. des bis zum Ende des Hubes neu eintretenden Dampfes } \dots \dots \dots = 0,5250 \text{ k}$$

$$\text{do. des darin enthaltenen Wassers: } 24,52\% \dots \dots \dots = 0,1706 \text{ k}$$

Großer Cylinder.

$$\text{Gewicht des zu Beginn des Hubes vorhandenen Dampfes } \dots \dots \dots = 0,4620 \text{ k}$$

$$\text{Gewicht des im Cylinder zurückbleibenden Dampfes } \dots \dots \dots = 0,0333 \text{ k}$$

$$\text{Gewicht des zu Beginn des Hubes neu eingetretenen Dampfes } \dots \dots \dots = 0,4287 \text{ k}$$

$$\text{Gewicht des darin enthaltenen Wassers: } 38,37 \text{ Proc. } \dots \dots \dots = 0,2669 \text{ k}$$

$$\text{Gewicht des bis zum Ende des Hubes eingetretenen Dampfes } \dots \dots \dots = 0,6159 \text{ k}$$

$$\text{Gewicht des darin enthaltenen Wassers: } 11,56 \text{ Proc. } \dots \dots \dots = 0,0804 \text{ k}$$

Man erkennt zunächst, daß im kleinen Cylinder, während der Expansion $1,42 \text{ Proc.}$ des eingetretenen Dampfes und während des Uebertrittes des Dampfes aus dem kleinen nach dem großen Cylinder und ganz zu Anfang des Hubes $13,35 \text{ Proc.}$ Dampf condensirt, dagegen bis zum Ende des Hubes des großen Kolbens $26,81 \text{ Proc.}$ wieder verdampft worden sind. Gehen wir nun zur Vergleichung der verschiedenen in dem Dampf- und Wassergemenge enthaltenen Wärmemengen über, so haben wir, wenn m , das Dampfgewicht, M das Gewicht des Gemenges aus Dampf und Wasser, q und Q die in der Zeuner'schen Tabelle aufgeführten Größen bedeutet,

$$J = m \cdot q + M \cdot Q.$$

Alle Rechnungen sind, mit den neu eingetretenen, nicht mit den im Cylinder vorhandenen Dampfgewichten anzustellen, wobei vorausgesetzt ist, daß die beiden in den Cylindern zurückbleibenden Dampfmenigen von $0,0268$ und $0,0333 \text{ k}$ immer dieselbe Wärmemenge enthalten, was zwar nicht ganz richtig ist, aber eine zu große Complication der Untersuchung verhindert. Die fraglichen Wärmemengen sind nun folgende:

am Ende der Admissionsperiode im kleinen Cylinder:

$$J_0 = m_{v_0} q_0 + M_0 q_0 = 0,5349 \cdot 459,55 + 0,6956 \cdot 147,83 = 348,64 \text{ Calorien,}$$

am Ende der Expansion im kleinen Cylinder:

$$J_1 = m_{v_1} q_1 + M_0 q_1 = 0,5250 \cdot 468,20 + 0,6956 \cdot 136,64 = 340,86 \text{ Calorien,}$$

beim Beginn des Hubes des großen Kolbens:

$$J_2 = m_{v_2} q_2 + M_0 q_2 = 0,4287 \cdot 486,73 + 0,6956 \cdot 112,75 = 287,09 \text{ Calorien,}$$

am Ende des Hubes:

$$J_3 = m_{v_3} q_3 + M_0 q_3 = 0,6152 \cdot 512,50 + 0,6956 \cdot 79,81 = 370,81 \text{ Calorien.}$$

Während der Einströmungsperiode giebt das Dampfhemd keine Wärme ab, da der Unterschied zwischen der Temperatur des äußeren und inneren Dampfes nur $150,79 - 146,46 = 4,33^\circ$ beträgt. Während der Expansion im kleinen Cylinder findet Condensation statt und der Dampf giebt an Wärme ab:

$$J_0 - J_1 = 348,64 - 340,86 = 7,78 \text{ Calorien.}$$

Andererseits hat aber die verrichtete Arbeit an Wärme absorbiert:

$$A F_{\delta} = \frac{2401,1}{424} = 6,61 \text{ Calorien,}$$

es sind also von den Cylinderwänden aufgenommen worden:

$$7,78 - 6,61 = 1,17 \text{ Calorie,}$$

und da der Unterschied zwischen der äußeren und inneren Temperatur von $4,33$ auf $150,79 - 135,53 = 15,26^\circ$ gestiegen ist, so wird auch das Dampfhemd eine noch unbestimmte Wärmemenge an das Innere des Cylinders abgegeben haben.

Wir kommen nun zum großen Cylinder, wo die Wände

$$J_1 - J_2 = 340,86 - 287,09 = 53,77 \text{ Calorien}$$

absorbiert haben. Diese beträchtliche Wärmemenge wird aber sofort wieder zur Verdampfung verwendet, da sich

$$38,37 - 11,56 = 26,81 \text{ Proc. Wasser}$$

in Dampf verwandelt haben und am Ende des Hubes eine Wärmemenge von $J_3 = 370,81$ Calorien vorhanden ist, was einer Vermehrung um

$$J_3 - J_2 = 370,81 - 287,09 = 83,72 \text{ Calorien}$$

entspricht, obgleich die in dieser Periode verrichtete Arbeit

$$A F_{\delta} = \frac{14454,6}{424} = 34,09 \text{ Calorien}$$

absorbiert hat.

Das Gemisch von Dampf und Wasser zieht nun nach dem Condensator ab, wobei dem großen Cylinder eine unbekannte Wärmemenge R_c entzogen wird, ferner tritt noch ein Verlust durch Wärmestrahlung ein, den ich nach früheren Erfahrungen zu $a = 9$ Calorien schätze, und endlich entspricht der Kolbenreibung ein Verlust $b = 1$ Calorie. Es ist also im Ganzen an Wärmeeinheiten erforderlich:

Civilingenieur XX.

zur Verdampfung des Wassers während des

Expandirens 83,72 Calor.

zur Verrichtung der Arbeit F_{δ} 34,09 „

Wärmeverlust durch den Condensator . . . R_c

desgl. durch äußere Abkühlung 9 „

Summe $R_c + 126,81$ Calor.

Andererseits werden folgende Wärmemengen frei:

durch Condensirung von Dampf im Dampfhemd

$$0,0773 (606,5 + 0,305 t - q) =$$

$$0,0773 \cdot 500,23 = 38,67 \text{ Cal.}$$

durch die Condensation während

des Dampfeintritts *)

$$(0,1607 - y) (606,5 + 0,305 t' - q')$$

$$(0,1607 - y) 503,34 = 80,89 - 503,34 y \text{ „}$$

durch Condensation im kleinen

Cylinder nach Abzug der auf

Verrichtung von Arbeit ver-

wendeten Wärme

$$1,17 \text{ „}$$

durch Condensation beim Austritt

vom kleinen zum großen Cylinder

$$53,77 \text{ „}$$

durch die Kolbenreibung

$$1,00 \text{ „}$$

Summa $175,50 - 503,34 y$ Cal.

Die beiden Summen müssen einander gleich sein, also folgt:

$$R_c + 126,81 = 175,50 - 503,34 y$$

$$R_c + 503,34 y = 48,69 \text{ Calor.}$$

Das ist die einzige Beziehung zwischen den Unbekannten R_c und y , wir haben jedoch in Gemeinschaft mit Herrn Deloutre bei einem Cylinder ohne Dampfhemd constatirt, daß die Abkühlung R_c annähernd der Wärmemenge gleich ist, welche zur Verdampfung der 70 Procent im Dampfe am Ende des Hubes enthaltenen Wassers erforderlich ist. Da diese Verdampfung bei dem während des Austritts unter

*) y bedeutet die in das Dampfhemd übergeriffene Wassermenge. Da der Fehler sehr gering ist, welcher begangen wird, wenn man annimmt, daß das übergeriffene Wasser bis in den Cylinder gelange und beim Durchgang durch das Dampfhemd keine Vermehrung erfahre, so erscheint diese Annahme zulässig.

dem Kolben herrschenden mittleren Drucke erfolgt und das Wassergewicht 0,0804 k beträgt, so erhält man

$$R_c = 0,7 \cdot 0,0804 (606,5 + 0,305 t - q) = 0,7 \cdot 0,0804 \cdot 564,35 = 31,76 \text{ Calorien.}$$

Für einen mit Dampfhemde versehenen Cylinder ist dieser Werth von R_c etwas niedrig; das übergerissene Wasserquantum, welches man daraus ableitet, ist ein Maximum, nämlich

$$y = \frac{48,69 - 31,76}{503,84} = 0,0336 \text{ k oder } \frac{0,0336}{0,7729} = 4,35 \text{ Proc.}$$

Nimmt man 4 Proc. oder 0,0309 an, so wird man der Wahrheit sehr nahe kommen; die von uns an Dampfesseln in gleichen Verhältnissen abgeleiteten Ziffern haben zwischen 4 und 6 Proc. geschwankt. Aus der Annahme 0,0309 berechnet sich

$$R_c = 48,69 - 503,84 \cdot 0,0309 = 48,69 - 15,55 = 33,14 \text{ Calorien.}$$

Stehende Dampfmaschine mit einem Cylinder.

Diese Maschine besitzt ein vollständiges Dampfhemd am Umfange wie an dem vordern und hintern Boden. Die in Gemeinschaft mit Herrn Leloutre ausgeführten Untersuchungen, deren bereits oben gedacht wurde, haben mir gestattet, bei dieser Maschine rasch vorzugehen; ich habe in

kurzer Zeit alle erforderlichen Data gesammelt und überdies hinreichende Beobachtungen erhalten, um den Dampfverbrauch controliren zu können, hierbei aber gefunden, daß Verluste durch Undichtheit des Kolbens unmöglich stattfinden können.

Ermittlung der Arbeit.

Aus den Curven und Dimensionen der Maschine erhält man

den Druck am Eintritt in das Dampfhemd = 5,730 k

" " im Cylinder am Ende des

Einstromens . . . $p_0 = 5,368 \text{ „}$

" " im Cylinder am Ende des

Hubes . . . $p_n = 1,033 \text{ „}$

den Gegenruck auf den Kolben . . $p_s = 0,376 \text{ „}$

das Volumen des Kolbenhubes . . . $V_n = 0,0994 \text{ cbm}$

den schädlichen Raum $V_p = 0,0030 \text{ „}$

Zur Bestimmung des Exponenten α der Expansionsformel dienen uns folgende zusammengehörige Werthe

$$p_7 = 2,806 \text{ k} \quad V_7 = 0,03282 \text{ cbm}$$

$$p_{17} = 1,202 \text{ k} \quad V_{17} = 0,08252 \text{ cbm,}$$

und es ergibt sich hieraus:

$$\alpha = \frac{\log 2,806 - \log 1,202}{\log 0,08252 - \log 0,03282} = 0,92.$$

Ferner berechnet sich aus den Spannungen p_0 , p_7 und dem Volumen V_7 das Volumen V_0 des neu zugetretenen Dampfes

$$\log V_0 = \log V_7 - \frac{\log p_0 - \log p_7}{\alpha} = \log 0,03282 - \frac{\log 5,368 - \log 2,806}{0,92}$$

$$V_0 = 0,01622 \text{ cbm,}$$

daher das Volumen des bei der Füllung vom Kolben beschriebenen Raumes

$$V_0' = V_0 - V_p = 0,01622 - 0,0030 = 0,01322 \text{ cbm.}$$

Die Arbeit unter Berücksichtigung der schädlichen Räume zerfällt in zwei Perioden, nämlich

1. die Arbeit mit frischem Dampf:

$$F_p = p_0 V_0' = 53680 \cdot 0,01322 = \dots \dots \dots 709,65 \text{ mk,}$$

2. die Arbeit des expandirenden Dampfes:

$$F_d = \frac{p_0 V_0}{1 - \alpha} \left[\left(\frac{V_0}{V_n + V_p} \right)^{\alpha - 1} - 1 \right] = \frac{53680 \cdot 0,01622}{1 - 0,92} \left[\left(\frac{0,01622}{0,1024} \right)^{0,92 - 1} - 1 \right] = 1728,32 \text{ mk,}$$

zusammen pro Spiel $1728,32 + 709,65 = 2437,97 \text{ mk.}$

Da das Gewicht des pro Spiel verbrauchten Dampfes und Wassers $M = 0,0813 \text{ k}$ beträgt, so berechnet sich der Dampfverbrauch pro Pferdekraft und Stunde auf

$$\frac{0,0813 \cdot 270000}{2437,97} = 9,0085 \text{ k.}$$

Der durch den schädlichen Raum hervorgerufene Verlust berechnet sich wie folgt. Bei der Expansion des zugetretenen Volumens V_0 auf V_n würde

die Arbeit während des Einstromens

$$p_0 V_0 = 53680 \cdot 0,01622 = \dots \dots \dots 870,89 \text{ mk},$$

diejenige während der Expansion

$$\frac{p_0 V_0}{1 - \alpha} \left[\left(\frac{V_0}{V_n} \right)^{\alpha - 1} - 1 \right] = \frac{53680 \cdot 0,01622}{1 - 0,92} \left[\left(\frac{0,01622}{0,0994} \right)^{0,92 - 1} - 1 \right] = \dots \dots 1698,72 \text{ „}$$

zusammen $F_0 = 2569,41 \text{ mk}$

betragen, der Verlust durch den schädlichen Raum ist also

$$\frac{F_0 - F}{F_0} = \frac{2569,41 - 2437,97}{2569,41} = 5,15 \text{ Proc.}$$

Dem Gegendruck auf dem Kolben entspricht eine Widerstandsarbeit $V_n p_c = 3760 \cdot 0,0994 = 373,74 \text{ mk}$ pro Spiel oder ein Verlust von

$$\frac{373,74}{2569,41} = 14,55 \text{ Proc.}$$

Bei einer besseren Einrichtung des Condensators und der Dampfwege hätte dieser Verlust sicher auf 10 Proc. und weniger herabgezogen werden können, denn das Vacuum ist mangelhaft.

Zustandsänderungen des Dampfes.

Bei dieser Maschine habe ich nicht nur den Wassergehalt des in das Dampfhemd eingeführten Dampfes, sondern auch die Vermehrung desselben während des Verweilens des Dampfes in diesem Mantel, sowie die Menge des darin abgesetzten Wassers direct bestimmt*), so daß alle erforderlichen

am Ende der Admissionsperiode:

$$J_0 = m_{v_0} q_0 + M_0 q_0 = 0,0462 \cdot 453,87 + 0,0743 \cdot 155,23 = 32,80 \text{ Calorien,}$$

am Ende des Hubes:

$$J_n = m_{v_n} q_n + M_n q_n = 0,0620 \cdot 496,30 + 0,0743 \cdot 100,50 = 38,24 \text{ „}$$

Während der Expansionsperiode sind also hierzu und zur Verdampfung von $37,82 - 16,55 = 21,27$ Proc. Wasser an Wärmeeinheiten erforderlich gewesen:

$$J_n - J_0 = 38,24 - 32,80 = \dots \dots \dots 5,44 \text{ Calorien}$$

$$\text{zur Verrichtung der Arbeit } F_s: \frac{1728,32}{424} = \dots \dots \dots 4,76 \text{ „}$$

$$\text{Verlust durch den Condensator} \dots \dots \dots R_c$$

$$\text{Verlust durch äußere Abkühlung, abzuschätzen auf } a = \dots \dots \dots 1,00 \text{ „}$$

$$\text{Summe } R_c + 11,40 \text{ Calorien}$$

Diese Wärmemenge ist abgegeben worden durch die Condensation im Dampfhemd und im Innern des Cylinders während der Einstromung, sowie durch die Kolbenreibung, welche letztere Wärmemenge auf $b = 0,25$ Calorien zu

schätzen ist, und zwar entstehen durch das im Dampfhemd niedergeschlagene Wasser ($0,0070^k$) und die Vermehrung des Wassergehaltes ($0,0020^k$)

$$y_1 r_1 = (0,0070 + 0,0020) (606,5 + 0,305 t - q) = 0,0090 \cdot 496,33 = 4,47 \text{ Calorien,}$$

Durch das am Ende der Einstromung im Dampfgehalt enthaltene Wasserquantum $y_2 = 0,0281 - 0,0073 = 0,0208^k$

$$y_2 r_2 = 0,0208 \cdot (606,5 + 0,305 t' - q') = 0,0208 \cdot 498,14 = 10,36 \text{ Calorien,}$$

Durch das aus dem Dampfmantel in den Cylinder übergeführte Wasser

Data vorhanden sind, und zwar

Gewicht des aus dem Kessel abgegebenen

Dampfes und Wassers $\dots \dots \dots = 0,0813^k$

Gewicht des im Dampfhemde sich sammelnden Wassers $\dots \dots \dots = 0,0070 \text{ „}$

Gewicht des in den Cylinder eintretenden

Dampfes und Wassers $\dots \dots \dots = 0,0743 \text{ „}$

Uebergerissenes Wasser in dem Dampfgehalt beim

Eintritt in das Dampfhemd 6,58 Proc. $\dots \dots \dots = 0,0053 \text{ „}$

desgl. beim Eintritt in den Cylinder 9,88 Proc. $\dots \dots \dots = 0,0073 \text{ „}$

Vermehrung des Wassergehaltes 3,82 Proc. $\dots \dots \dots = 0,0020 \text{ „}$

Dampf, welcher am Ende der Admissionsperiode vorhanden ist $\dots \dots \dots = 0,0462 \text{ „}$

Wassergehalt desselben, 37,82 Proc. $\dots \dots \dots = 0,0281 \text{ „}$

Dampf, welcher am Ende des Hubes vorhanden ist, $\dots \dots \dots = 0,0620 \text{ „}$

Wassergehalt desselben 16,55 Proc. $\dots \dots \dots = 0,0123 \text{ „}$

Die in dem Dampfgehalt enthaltenen Wärmemengen betragen:

*) Nach der Hirn'schen Methode. Vergl. Bull. d. l. Société Ind., Juin 1873. (Civilingenieur. Bd. XIX, Notizblatt S. 72.)

$$0,0073 (157,78 - 155,23) = 0,02 \text{ Calorien,}$$

durch die Kolbenreibung $b = 0,25$ Calorien.

Stellt man diese Wärmemengen einander gegenüber, so folgt

$$y_1 r_1 + y_2 r_2 + 0,02 + b = J_n - J_0 + A F_g + R_c + a \text{ und}$$

$$R_c = 4,47 + 10,36 + 0,02 + 0,25 - 11,40 = 3,70 \text{ Calorien.}$$

Wie weiter oben auseinandergelegt worden ist, besteht der Verlust durch den Condensator in der Wärmemenge, welche das an den Wänden des Cylinders niedergeschlagene Wasser bei seiner Verdampfung während der Expansion den Cylinderräumen entzieht, und da nach unsern Versuchen 0,7 des gesamten im Dampfe enthaltenen Wassers wieder verdampft wird, so können wir setzen

$$R_c = 0,7 (M_0 - M_{v_n}) r_c,$$

wenn M_0 das Gewicht des in den Cylinder eingetretenen Dampf- und Wassergemenges, m_{v_n} das Gewicht des am Ende vorhandenen Dampfes, $r_c = 555,38$ die zur Verdampfung von 1^k Wasser bei dem während der Expansion hinter dem Kolben herrschenden Drucke von 0,376^k erforderliche Wärme

$$\text{Nun ist } J_n = m_{v_n} q_n + M_0 q_n = 0,0620 \cdot 496,30 + M_0 \cdot 100,50 = 30,77 + 100,5 M_0 \text{ Calorien,}$$

$$R_c = 0,7 (M_0 - m_{v_n}) \cdot 555,38 = 0,7 \cdot 555,38 (M_0 - 0,0620) = 388,77 M_0 - 24,10 \text{ Calorien,}$$

Hiernach ergibt sich

$$M_0 \cdot 654,12 - 3,62 + 4,47 = 30,77 + 100,5 M_0 + 388,77 M_0 - 24,10 + 5,75 + 1 - 0,25$$

und

$$M_0 = 0,0747^k.$$

Da bei der directen Messung hierfür 0,0743^k gefunden worden ist, so differirt die berechnete Menge nur um 0,54 Proc. und man hat hieraus zu folgern, daß der Verlust durch Undichtigkeit des Kolbens nur sehr gering sein kann.

Vierhundertpferdige Dampfmaschine mit zwei Cylindern.

Im Nachstehenden behandeln wir die von Professor Linde in München am 21. bis 24. März 1871 geprüfte Maschine, welche von derselben Construction ist, wie die vorher besprochene. Die angestellten Versuche betrafen bloß den Brennstoffverbrauch und es ist zu bemerken, daß trotz der zahlreichen erhobenen Daten zweierlei übersehen ist, was für die vollständige Analyse der Maschine unentbehrlich ist, nämlich die Menge des Wassers in dem Dampfe beim Eintritt ins Dampfhemd und die Zunahme des Wassergehaltes beim Durchgange durch dieses Hemd, sowie das mittlere Expansionsgesetz während der Versuche. Meine Versuche an der obigen Maschine gestatten mir die Ergänzung der Beobachtungen, so daß ich die vollständige Analyse bezüglich des einen Cylinders (des rechts liegenden) für den 22. März anstellen kann, für die anderen Tage wäre derselbe Gang zu befolgen.

bedeutet. In dem Dampf- und Wassergemenge wird dem Cylinder eine Wärmemenge

$$(M_0 - 0,0073)(606,5 + 0,305 t) + 0,0073 q$$

zugeführt, wo t und q die dem Drucke $p = 5,730^1$ Dampfhemde entsprechenden Größen sind. Hierzu kommt Wärmemenge, welche die Condensation im Dampfhemde abgibt, $= 4,47$ Calorien. Also hat man im Ga $M_0 \cdot 654,12 - 0,0073 \cdot 496,38 + 4,47$ und dies muß der Condensator wiedergefundenen Wärmemengen $J_n + R_c$ sein, vermehrt um die Verluste $A F + a - b$, nämlich

$$A F = \frac{2437,97}{424} = 5,75$$

$$a = 1,00$$

$$b = 0,25$$

Aus dem Bericht des Herrn Linde entlehne ich folgende Data:

Druck beim Eintritt ins Dampfhemd	
5,060 Atmosphären	= 6,1
Druck am Ende der Admissionsperiode	
4,930 Atmosphären	= 6,1
Arbeit des einen Kolbens nach dem Indicatordiagramme	= 200 Pfer
Verbrauch pro stündliche Pferbekraft	
18,036 Liter	= 9,0
Umdrehungszahl pro Minute	= 39,8
Dampfverbrauch pro Kolbenspiel	= 0,31
Condensirtes Wasser im Dampfhemd pro Spiel 6,38 Proc.	= 0,01

Aus den Curven habe ich durch Ausmessen der das Expansionsgesetz abgeleitet und über die Größe des slichen Raumes ist mir von einem Ingenieur der Maschinenbauanstalt mitgetheilt worden, daß derselbe 2 Proc. des Kolben durchlaufenen Raumes, also 0,0114^{cbm} beträgt.

Ermittelung der Arbeit.

Hierzu dienen nachstehende Beobachtungsdata und genommenen Maße:

Druck beim Eintritt in das Dampfhemb	= 6,260 ^k	Volumen eines Kolbenhubes	$V_n = 0,5679 \text{ cbm}$
" im Cylinder zu Ende der Admifsionsperiode	$p_0 = 6,126 \text{,,}$	" des schädlichen Raumes	$V_p = 0,0114 \text{,,}$
Gegendruck auf den Kolben	$p_c = 0,841 \text{,,}$	Der Exponent α ergibt sich aus dem mittleren Diagramm vorn am Cylinder	

$$\alpha = \frac{\log p - \log p'}{\log v' - \log v} = \frac{\log 3,445 - \log 0,884}{\log 0,5222 - \log 0,1249} = 0,95,$$

und aus dem mittleren Diagramm hinten

$$\alpha = \frac{\log 3,884 - \log 0,934}{\log 0,5222 - \log 0,1249} = 0,99,$$

es läßt sich also im Mittel setzen: $\alpha = 0,97$.

Die indicirte Arbeit betrug bei 39,347 Umdrehungen pro Minute 200 Pferdekkräfte, also pro Spiel $\frac{200 \cdot 60 \cdot 75}{2 \cdot 39,347}$ = 11436,7^{mk} und die Arbeit des Gegendruckes 0,5676 · 3410 = 1935,5^{mk}, so daß die gesammte absolute Arbeit betrug: 13372,2^{mk}.

Zur Berechnung dieser Arbeit haben wir die Formel:

$$F = F_p + F_\delta = p_0 V_0' + \frac{p_0 V_0}{1 - \alpha} \left[\left(\frac{V_0}{V_n + V_p} \right)^{\alpha - 1} - 1 \right].$$

Da nach Abzug des schädlichen Raumes

$$V_0' = V_0 - 0,0114$$

ist, so ist hier nur $V_0 = x$ unbekannt und zu bestimmen aus:

$$13372,2 = 61260(x - 0,0114) + \frac{61260 x}{1 - 0,97} \left[\left(\frac{x}{0,5790} \right)^{0,97 - 1} - 1 \right].$$

Man erhält

$$x = V_0 = 0,0733 \text{ cbm und } V_0' = 0,0733 - 0,0114 = 0,0619 \text{ cbm,}$$

so wie den Druck am Ende des Hubes

$$p_n = p_0 \left(\frac{V_0}{V_n + V_p} \right)^\alpha = 6,126 \left(\frac{0,0733}{0,579} \right)^{0,97} = 0,825 \text{ k.}$$

Es ergibt sich ferner die Arbeit während der Füllungsperiode

$$F_p = 61260 \cdot 0,0619 \dots \dots \dots = 3792,0 \text{ mk}$$

und während der Expansionsperiode

$$F_\delta = \frac{61260 \cdot 0,0733}{1 - 0,97} \left[\left(\frac{0,0733}{0,579} \right)^{0,97 - 1} - 1 \right] \dots \dots \dots = 9573,5 \text{,,}$$

$$\text{Summa } F = 13365,5 \text{ mk.}$$

Die Differenz dieser Ziffer und der beobachteten beträgt nur $\frac{1}{2000}$, es berechnet sich also der Dampfverbrauch pro Pferdekraft und Stunde zu

$$\frac{0,3820 \cdot 270000}{13372,2} = 7,7013 \text{ k.}$$

Um die Arbeit zu bestimmen, welche in Folge der schädlichen Räume verloren geht, lasse man das neu zugetretene Dampfvolumen $V_0 = 0,0733 \text{ cbm}$ in dem einem Kolbenhube entsprechenden Raume $V_n = 0,5676 \text{ cbm}$ expandiren, wobei man erhält:

Arbeit während des Einstromens

$$p_0 V_0 = 61260 \cdot 0,0733 = \dots \dots \dots 4490,4 \text{ mk}$$

Arbeit während der Expansion

$$\frac{p_0 V_0}{1 - \alpha} \left[\left(\frac{V_0}{V_n} \right)^{\alpha - 1} - 1 \right] = \frac{61260 \cdot 0,0733}{1 - 0,97} \left[\left(\frac{0,0733}{0,5676} \right)^{0,97 - 1} - 1 \right] = 9474,7 \text{,,}$$

$$\text{Arbeit bei Abwesenheit schädlicher Räume } F_0 = 13365,1 \text{ mk.}$$

Der Verlust durch die schädlichen Räume beträgt also:

$$\frac{F_0 - F}{F_0} = \frac{13965,1 - 13365,5}{13965,1} = 4,29 \text{ Proc.}$$

Der Gegendruck erzeugt eine Widerstandsarbeit

$$V_n p_c = 3410 \cdot 0,5676 = 1935,5 \text{ mk},$$

was einem Verluste von

$$\frac{1935,5}{13965,5} = 13,86 \text{ Proc.}$$

der absoluten Arbeit entspricht.

Zustandsänderungen des Dampfes.

In Ermangelung experimenteller Data über den Wassergehalt des in das Dampfhemd eintretenden Dampfes und über die Erhöhung desselben beim Durchgange des Dampfes durch das Dampfhemd muß ich versuchen, dafür einen Maximalwerth zu ermitteln.

An Beobachtungsdaten und Rechnungsunterlagen sind folgende auf ein Rollenspiel bezogene Größen gegeben:

Gewicht des Dampf- und Wassergemenges beim Eintritt in den Dampfmantel . $M = 0,3820 \text{ k}$
 Gewicht des im Dampfmantel niedergeschlagenen Wassers 6,38 Proc. $= 0,0244 \text{ „}$
 Dampf und Wasser, welche in den Cylinder eintreten $M_0 = 0,3576 \text{ „}$

Dieser Wärmeverlust wird gedeckt

1. durch die Condensation des Wassers im Dampfhemde

$$0,0244 (606,5 + 0,305 t - q) = 0,0244 \cdot 493,85 = 12,05 \text{ Cal.}$$

2. durch die Condensation während der Einströmung

$$(0,1211 - y) (606,5 + 0,305 t - q) = 59,88 - 494,46 y = - 494,46 y + 59,88 \text{ „}$$

3. durch die von der Kolbenreibung erzeugte Wärme b

$$= 0,60 \text{ „}$$

$$\text{Summa} = - 494,46 y + 72,53 \text{ Cal.}$$

Durch Gleichsetzung der beiden Summen erhält man, da oben gefunden wurde

$$R_c = 0,70 \cdot 0,0733 (606,5 + 0,305 t - q) = 0,7 \cdot 0,0733 \cdot 556,58 = 28,56 \text{ Cal.},$$

was jedoch etwas zu niedrig ist, da das Dampfhemd die Verdampfung während des Austritts jedenfalls verstärken wird, den Wassergehalt

$$y = \frac{72,53 - 66,57}{494,46} = 0,0120 \text{ k}$$

oder

$$\frac{0,0120}{0,3820} = 3,14 \text{ Proc.}$$

von dem Gewicht des Gemenges beim Eintritt in das Dampfhemde.

Vergleichung der drei Dampfmaschinen.

Vorstehende Rechnungen zeigen, daß in diesen Specialfällen die nämliche Methode überall Kenntniß von den verschiedenen Phasen der Arbeit, sowie von den Zustandsänderungen des Dampfes giebt, oder mit andern Worten, für

Dampfgewicht, welches am Ende der Ad-

mission vorhanden ist $= 0,2365 \text{ „}$

darin enthaltenes Wasser, 33,96 Proc. $= 0,1211 \text{ „}$

Dampfgewicht, welches am Ende des Hubes

vorhanden ist $= 0,2843 \text{ „}$

darin enthaltenes Wasser, 25 Proc. $= 0,0733 \text{ „}$

Die im Dampfe enthaltenen Wärmemengen sind am Ende der Einströmung:

$$J_0 = m v_0 q_0 + M_0 q_0 = 0,2365 \cdot 449,832 + 0,3576 \cdot 160,45 = 136,76 \text{ Cal.}$$

am Ende des Hubes

$$J_n = m v_n q_n + M_n q_n = 0,2843 \cdot 501,141 + 0,3576 \cdot 94,804 = 176,19 \text{ „}$$

Zur Verdampfung der 33,96 — 25 = 8,96 Procent Wasser während der Expansion sind also verbraucht worden

$$J_n - J_0 = 176,19 - 136,76 = 12,43 \text{ Cal.}$$

Die währenddem verrichtete Arbeit hat absorbirt

$$A F \delta = \frac{9573,5}{424} = 22,58 \text{ „}$$

die äußere Abkühlung giebt einen Verlust von 3 „

der Verlust durch den Condensator beträgt . . $R_c \text{ „}$

$$\text{Summa } R_c + 38,01 \text{ Cal.}$$

jeden Kolbenstand die erzeugte Arbeit und den inneren thermischen Zustand der Dampfmaschine kennen lehrt.

Die erzielten Resultate werden mir nun noch dazu dienen den relativen Werth der drei Apparate festzustellen, wobei ich mit den beiden liegenden Maschinen beginne.

Die 64 pferdige Maschine (No. I) zeigt einen Dampfverbrauch pro stündliche Pferdekraft von . . . 9,0038^k
 die 200 pferdige (Nr. II) dagegen 7,7013[„]

$$\text{Letztere ist also um } \frac{9,0038 - 7,7013}{9,0038} = 14,46 \text{ Proc.}$$

besser.

Maschine Nr. I hat pro Spiel verbraucht an Wasser 0,0813^k
 die bis zum Ende der Admission neu zugetretene

Dampfmenge ist 0,0463[„]

folglich erhebt sich die Menge des übergerissenen, im Dampfhemde niedergeschlagenen und wäh-

während der Admissionsperiode condensirten Wassers auf 13,17 Proc. = 0,0851^k
 Maschine II hat pro Spiel verbraucht 0,3820 „
 und während der Admission war an Dampf neu zugetreten 0,2865 „
 folglich beträgt hier das niedergeschlagene Wasser 38,09 Proc. = 0,1455 „

Da bei unseren Versuchen mit Maschine I an der Dampfleitung kein Condensationswassertopf angebracht war, wie bei den Eindeutschen Versuchen, so ist letztere Ziffer noch um das darin zurückgehaltene Wasser zu erhöhen, nämlich um $\frac{1383}{86887} = 1,59$ Proc., so daß man 39,68 Proc. zu setzen hat.

Maschine II ist auch mit der Woolf'schen Maschine direct vergleichbar, da wir für beide Motoren das übergerissene Wasser und die Abführungsverluste analog bestimmt haben. Der Dampfverbrauch ist fast genau gleich.

Die Woolf'sche Maschine hat pro stündliche Pferdekraft verbraucht 7,6663^k
 die Maschine Nr. II 7,7013 „
 also 0,45 Proc. mehr als erstere.

Der Verbrauch an Dampf und Wasser pro Kolbenpiel betrug

bei der Woolf'schen Maschine 0,7729^k
 bis Ende der Einströmung war zugetreten . . . 0,5349 „
 also betrug die Menge des übergerissenen, im Dampfhemde abgefeigten und während der Einströmung condensirten Wassers 30,8 Proc. = 0,2380 „

Bei dieser Maschine entziehen aber die ziemlich schwer zu ermittelnden schädlichen Räume 17,86 Proc. und bei Ma-

„ $J = 9,0038(1 - 0,0656)(650 + 0,305 t) + 0,0656 \cdot 9,0038 q = 5596,43$ Calorien,
 Maschine Nr. II aber bei 3,14 Proc. übergerissenem Wasser:

$$J = 7,7013(1 - 0,0314)(650 + 0,305 t) + 0,0314 \cdot 7,7013 q = 4926,32 \quad „$$

die Woolf'sche Maschine endlich mit 4 Proc. übergerissenem Wasser:

$$J = 7,663(1 - 0,04)(650 + 0,305 t) + 0,04 \cdot 7,663 q = 4848,88 \quad „$$

Die Maschine Nr. I braucht daher an Wärmeeinheiten

$$\frac{5596,43 - 4926,32}{5596,43} = 11,98 \text{ Proc. mehr als die Maschine Nr. II,}$$

wogegen die Woolf'sche Maschine

$$\frac{4926,32 - 4848,88}{4926,32} = 1,57 \text{ Proc. weniger verbraucht, als Maschine Nr. II.}$$

Wenn man auf die verschiedenen Arbeitsverluste näher einging, würde man wohl die Differenz von 11,98 Proc., welche zwischen den beiden liegenden Maschinen stattfindet, zu erklären im Stande sein, auch würde sich bezüglich der Woolf'schen Maschine zeigen, daß sie bei gleich großen schädlichen Räumen gegen die einschlädrigen Maschinen 14 Proc. Vortheil bieten, lediglich in Folge der Expansion in einem beson-

der Maschine II bloß 4,29 Proc.; nach meiner Ansicht wäre es indessen möglich, eine liegende Woolf'sche Maschine mit nicht viel größeren schädlichen Räumen zu construiren, als bei gewöhnlichen einschlädrigen liegenden Maschinen, ohne dabei den Ein- und Ausströmungscanälen minder günstige Dimensionen zu geben. Gelänge eine derartige Construction, so würde die Woolf'sche Maschine eine um 14 Proc. bessere Wirkung geben. Diese 14 Proc. repräsentiren den Gewinn, den die Verwendung eines besonderen Expansionscylinders gegen die einschlädrige Maschine zu realisiren im Stande ist. Um denselben zu erzielen, muß man die schädlichen Räume so reduciren, daß sie nicht größer sind, als bei einschlädrigen Maschinen, also bis auf 1 bis 2 Proc. des vom Kolben beschriebenen Raumes, während sie bei Woolf'schen Maschinen meist 10 Proc. betragen.

Bei dieser Vergleichung habe ich absichtlich den Arbeitsverlust durch die Condensation zwischen dem kleinen und großen Cylinder außer Ansatz gelassen; diese Condensation ist unvermeidlich, wenn nicht beide Cylinder in ein Dampfhemd eingeschlossen werden.

Vergleichung nach Wärmeeinheiten.

Vorstehende Vergleichung ist nicht ganz exact, da bei jeder Maschine der Procentgehalt an übergerissenem Wasser variabel ist; man wird daher besser thun, die Wärmemengen zu vergleichen, welche in dem Dampf- und Wassergemenge enthalten sind.

Maschine Nr. I bedarf pro stündliche Pferdekraft bei 6,56 Proc. übergerissenem Wasser

deren Cylinder, ich sehe indessen zur Zeit hiervon ab, da dies wieder mit einer Reihe neuer Erörterungen verbunden ist und mir noch einige Ziffern fehlen, die zur Aufstellung allgemeiner Folgerungen nöthig wären.

Schlußfolgerungen.

Nach Vorstehendem muß man möglichst die Condensation von Dampf im Innern der Cylinder vermeiden und darnach trachten, am Ende der Admissionsperiode einen möglichst geringen Wassergehalt im Dampfe zu bekommen. Dieses Resultat kann man erhalten

1. durch Anwendung trockenen Dampfes von hoher Temperatur,
2. durch Trennung des in den Cylinder eintretenden und des das Dampfhemd füllenden Dampfes, sowie durch Umhüllung des ganzen Cylinders (auch der Böden) mit Dampfhemd.

Sind diese Bedingungen erfüllt, so wird der Dampf des Dampfhemdes so viel Wärme abgeben, als zur Vermeidung von Condensation während der Admissionsperiode nöthig ist, und man wird am Ende dieser Periode einen möglichst trocknen Dampf im Cylinder haben, also auch die Abkühlung durch den Condensator auf das Minimum herabgebracht sein.

Die übrigen Verluste, wie das Sinken des Druckes zwischen dem Dampfmantel und dem Cylinder, sowie dasjenige in Folge der schädlichen Räume haben schon längst die Aufmerksamkeit der Ingenieure erweckt, obgleich diese Einflüsse nicht so genau bestimmt werden konnten, als es uns möglich

war. Es läßt sich diesen Verlusten durch wohl Construction abhelfen, besonders vorthailhaft dürfte Trennung der Schieber sein, da eine derartige Construction des Vertheilungsapparates neben der Isolirung der Dämpfe die Fügigkeit bieten würde, die Dampfweg, sowie das Voreilen beim Austritt zu vergrößern.

Schließlich möchte ich noch ein von Herrn G. entdecktes Verhältniß hervorheben. Derselbe hat in Folge von drei unter anderen Verhältnissen angestellten Versuchen*) durch die Analyse der an seiner Maschine erhaltenen Resultate bewiesen, daß selbst die stärkste Undichtigkeit des fast keinen Verlust verursacht, und dieses Resultat durch die Messung des Condensationswassers bestätigt. Die von Herrn G. aufgestellten Formeln haben mir die Theilung des Dampfverbrauches für die 64pferdige Nr. I ermöglicht und es ergibt sich hierbei, daß ein Kolben so dicht wie möglich ist, obgleich die Maschine horizontalen Cylinder besitzt.

(Nach dem Bulletin de la société industrielle de Mulhouse. Supplément d'Aout. 1871)

*) Diese Versuche sind von mir und Herrn Deloutre 1780 und September 1871 abgeführt worden.

Analyse zweier Corlikmaschinen nebst Untersuchungen über die Wirkung des Dampfhemdes.

Von

O. Hallauer in Mülhausen.

In der letzten Abhandlung, welche ich der Société industrielle vorgelegt habe (Sitzung vom 30. April 1873), ist eine neue Methode analytischer Untersuchungen über Dampfmaschinen dargelegt und an drei Dampfmaschinen verschiedenen Systems mit Dampfhemden durchgeführt. Da der rasche Wärmeaustausch zwischen den Cylinderwänden und dem daran niedergeschlagenen Wasser, sowie der beträchtliche Einfluß, den ein Dampfhemd auf die Leistung und den Dampfverbrauch ausüben kann, mancherlei Zweifel hervorgerufen hat, so will ich im Nachstehenden die Analyse dieser Motoren

von Zehntel zu Zehntel des Hubes mittheilen, worin was ich über die Zustandsänderung der Dämpfe in der Expansionsmethode gesagt habe, bestätigt wird. Ferner die Untersuchungen über den Einfluß des Dampfhemdes, welche schon in meiner ersten Abhandlung angestellt sind, noch eingehender bezüglich ihrer physikalischen Grundlagen wiederholen. Bei der Vergleichung der beiden Maschinen bezüglich des Dampfverbrauches pro absolute Psi

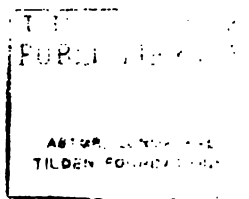
*) Hierunter wird die Arbeit verstanden, welche geleistet wurde, wenn keine schädlichen Räume vorhanden waren.

Abse
in der
fläche.

Zu Fig. 5 und 8.

Abseissen der abgewinkelten Lagerfuge
der inneren Gewölfläche | der äusseren Gewölfläche.

Nr.	t	x_s	x	t	x_s	x
9½	0.00	3.625	3.625	0.00	4.875	4.875



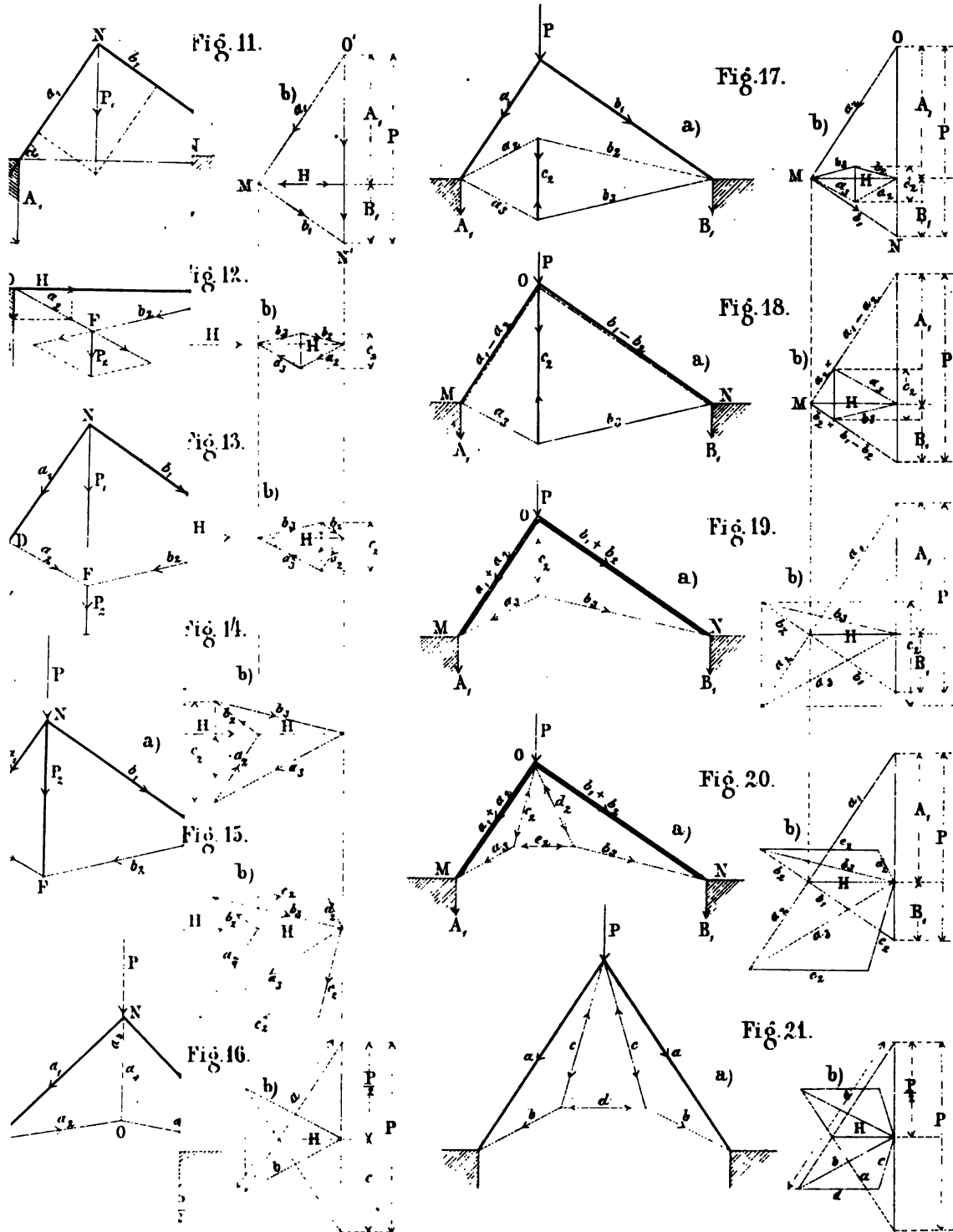
100

100

1

100

100



THE
PUBL
ASTOR
TILDEN

THE
PUBLICATIONS
ASTOR, LENOX AND
TILDEN FOUNDATIONS

Fig. 7.

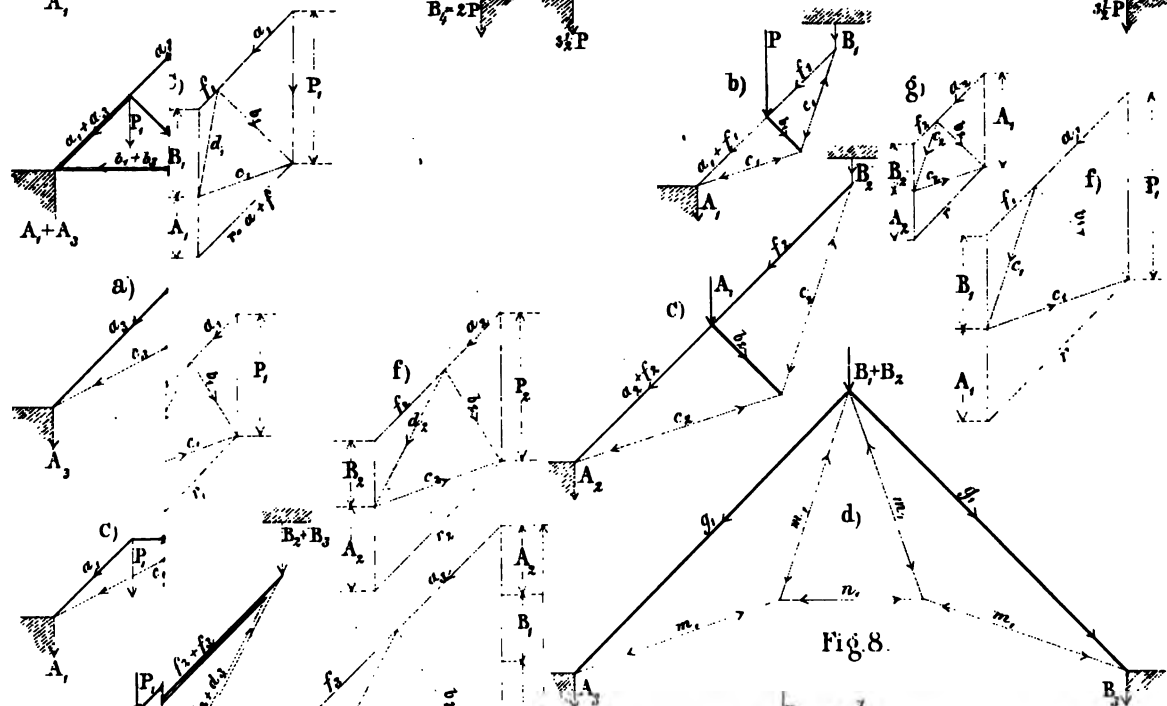
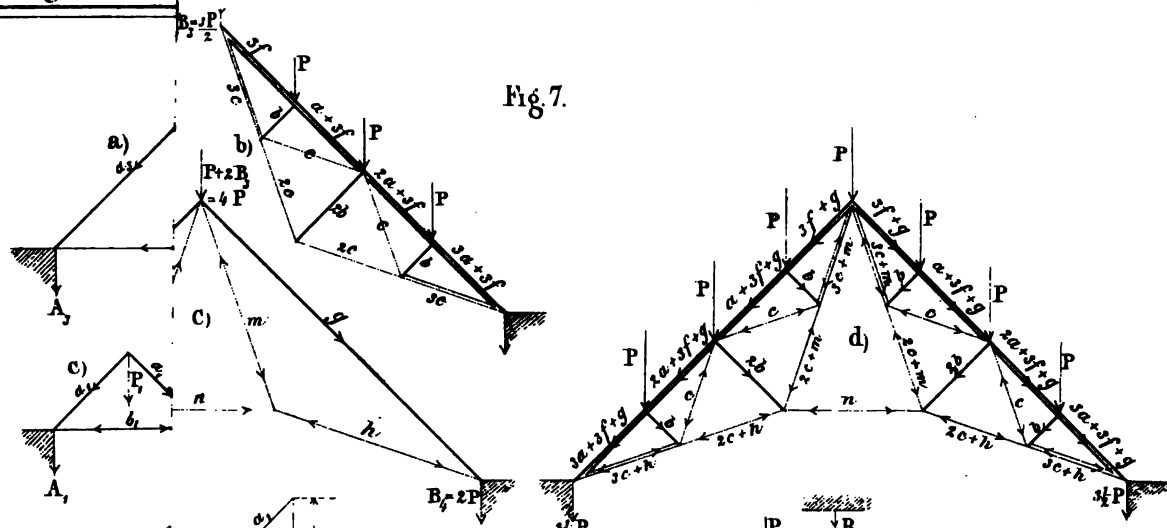
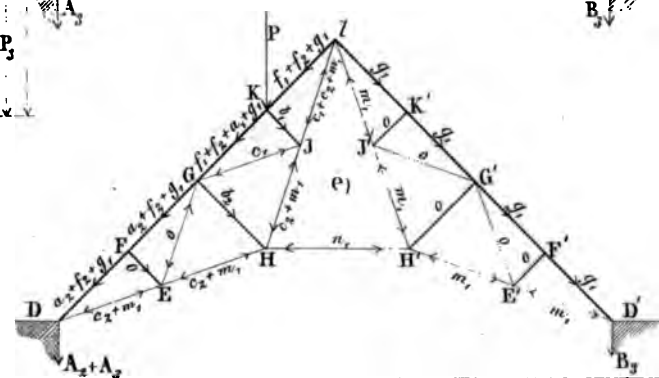


Fig. 8.



THE NEW YORK
PUBLIC LIBRARY
ASTOR LENOX
TILDEN FOUNDATION

THE NEW YORK
PUBLIC LIBRARY
ASTOR LENOX
TILDEN FOUNDATION

diejenige während der Expansion

$$\frac{P_0 V_0}{1 - \alpha} \left[\left(\frac{V_0}{V_n} \right)^{\alpha-1} - 1 \right] = \frac{51550 \cdot 0,01585}{1 - 0,90} \cdot \left[\left(\frac{0,01585}{0,21121} \right)^{-0,1} - 1 \right] = \dots 2415,26 \text{ mk}$$

Uebertrag = 817,07 mk

zusammen $F_0 = 3232,33 \text{ mk}$.

Hiernach beträgt der Verlust durch den schädlichen Raum

$$\frac{F_0 - F}{F_0} = \frac{3232,33 - 2898,36}{3232,33} = 10,33 \text{ Proc.},$$

ist also ziemlich bedeutend, weil die Füllung gering ist.

Der Gegendruck auf den Kolben P_c beträgt $0,1246^k$ und es entspricht demselben eine Widerstandsarbeit

$$V_n P_c = 1246 \cdot 0,21121 = 263,17 \text{ mk},$$

oder in Procenten der absoluten Arbeit:

$$\frac{V_n P_c}{F_0} = \frac{263,17}{3232,33} = 8,14 \text{ Proc.}$$

in der Expansionsperiode:

$$F_p = V_0' P_0 = 52240 \cdot 0,01682 = \dots 878,68 \text{ mk}$$

$$F_\delta = \frac{52240 \cdot 0,02398}{1 - 0,85} \left[\left(\frac{0,02398}{0,21837} \right)^{-0,15} - 1 \right] = 3280,50 \text{ mk}$$

zusammen $F = 4159,18 \text{ mk}$.

Nach dem Diagramm erhält man $4196,5 \text{ mk}$ oder

$$\frac{4196,5 - 4159,18}{4196,5} = 0,89 \text{ Proc. mehr.}$$

und da nach der Messung pro Kolbenhub $0,1253^k$ Dampf und Wasser verbraucht werden, so beträgt der Dampfverbrauch pro stündliche Pferdekraft:

$$\frac{0,1253 \cdot 270000}{4196,5} = 8,0617^k.$$

Wäre kein schädlicher Raum vorhanden, so würde die Arbeit betragen bei der Einstromung

$$P_0 V_0 = 52240 \cdot 0,02398 = \dots 1252,72 \text{ mk},$$

bei der Expansion:

$$\frac{52240 \cdot 0,02398}{1 - 0,85} \left[\left(\frac{0,02398}{0,21121} \right)^{-0,15} - 1 \right] = 3221,99 \text{ mk}$$

zusammen $F_0 = 4474,71 \text{ mk}$,

also beträgt der Verlust durch den schädlichen Raum

$$\frac{F_0 - F}{F_0} = \frac{4474,71 - 4159,18}{4474,71} = 7,05 \text{ Proc.};$$

derselbe ist geringer, als bei der Maschine ohne Dampfhemd.

Wegen des Gegendruckes im Condensator von $0,2327^k$ erhält man die negative Arbeit

$$V_n P_c = 2327 \cdot 0,21121 = 491,48 \text{ mk},$$

welche einen Verlust bewirkt von

$$\frac{491,48}{4474,71} = 10,98 \text{ Proc.}$$

Dieser Verlust ist mithin größer als bei der Maschine ohne Dampfhemd, weil der Gegendruck hier größer ausfällt.

b) Maschine mit Dampfhemd.

Für das Expansionsgesetz erhält man aus den Werten

$$P_3 = 4,542^k, \quad V_3 = 0,02828 \text{ cbm},$$

$$P_{20} = 0,835^k, \quad V_{20} = 0,20780 \text{ cbm}$$

den Exponenten $\alpha = 0,85$.

Hiernach ist bekannt $P_0 = 5,224^k$ und es berechnet sich daher

$$\log V_0 = \log 0,02828 - \frac{\log 5,224 - \log 4,542}{0,85},$$

$$V_0 = 0,02398 \text{ cbm},$$

$$V_0' = V_0 - V_p = 0,02398 - 0,00716 = 0,01682 \text{ cbm}.$$

Die bei Anwesenheit von schädlichen Räumen verrichtete Arbeit beträgt in der Periode der Einstromung

Zustandsänderungen des Dampfes.

Alle directen Beobachtungsdata, sowie die daraus hervorgehenden Resultate sind in beifolgender Tabelle zusammengestellt. Ausgehend von der Spannung in jedem Zehntel des Hubes der Expansionsperiode habe ich nach den Formeln von Regnault, Roche und Zeuner nachstehende Größen berechnet:

1) die Temperatur des Dampfes t nach der Formel

$$\log P^{\text{mm}} = 1,9590414 + \frac{(20 + t) \cdot 0,0383385}{1 + 0,00478821(t + 20)},$$

2) die totale Wärmemenge λ , welche zur Erzeugung des Dampfes von der Temperatur t erforderlich ist,

$$\lambda = 606,5 + 0,305 t,$$

3) die Wärme in der Flüssigkeit

$$q = \int c dt = t + 0,00002 t^2 + 0,0000003 t^3,$$

4) die Verdampfungswärme r

$$r = \lambda - q = 606,5 - 0,695 t - 0,00002 t^2 - 0,0000003 t^3,$$

5) die potentielle Wärme e

$$e = r - A p u = 575,4 - 0,791 t,$$

6) die Dichtigkeit oder das Gewicht von 1 cbm Dampf

$$\gamma = 0,6061 P^{0,8393}, \text{ wo } (P \text{ in Atmosph.}).$$

Hiervon ergibt sich dann die totale innere Wärme

Corlißmaschine ohne Dampfhebel.

	Ende der Einfströ- mung.	Bruchtheil des Hubes.								Ende des Hubes.
		$\frac{2}{10}$	$\frac{3}{10}$	$\frac{4}{10}$	$\frac{5}{10}$	$\frac{6}{10}$	$\frac{7}{10}$	$\frac{8}{10}$	$\frac{9}{10}$	
P ^k	5,155	1,831	1,316	1,017	0,827	0,707	0,618	0,562	0,525	0,501 ^k
t ^o	152,31 ^o	116,89	106,93	99,56	93,86	89,67	86,17	83,74	82,02	80,85 ^o
q Cal.	153,83	117,64	107,52	100,05	94,28	90,05	86,51	84,06	82,32	81,14
λ Cal.	652,95	642,15	639,11	636,86	635,19	633,85	632,78	632,04	631,52	631,16
r Cal.	499,12	524,51	531,59	536,81	540,85	543,80	546,27	547,98	549,20	550,02
ρ Cal.	454,92	482,94	490,82	496,65	501,16	504,47	507,24	509,16	510,52	511,45
γ ^k	2,7373	1,0355	0,7592	0,5959	0,4907	0,4235	0,3732	0,3414	0,3202	0,3065
V Cub.-Met.	0,0159	0,0492	0,0705	0,0916	0,1128	0,1339	0,1550	0,1761	0,1973	0,2184
m _v ^k	0,0423	0,0499	0,0523	0,0534	0,0541	0,0555	0,0566	0,0589	0,0620	0,0657
m _e ^k	0,0699	0,0623	0,0599	0,0588	0,0581	0,0567	0,0556	0,0533	0,0502	0,0465
Verhältniß	62,30%	55,53	53,39	52,40	51,78	50,53	49,55	47,50	44,74	41,44
m _v ρ Cal.	19,24	24,10	25,67	26,52	27,11	28,00	28,71	29,99	31,65	33,59
M ₀ q Cal.	17,26	13,20	12,06	11,22	10,58	10,10	9,71	9,43	9,24	9,10
U Cal.	36,50	37,30	37,73	37,74	37,69	38,10	38,42	39,62	40,89	42,69
F _δ ^{mk}	—	991,4	1307,4	1475,9	1675,9	1851,2	1992,1	2142,9	2273,4	2417,4
AF _δ Cal.	—	2,33	3,22	3,49	3,94	4,35	4,68	5,04	5,35	5,68
U + AF _δ	36,50	39,63	40,95	41,23	41,63	42,45	43,10	44,66	46,24	48,37

Corlißmaschine mit Dampfhebel.

P ^k	5,224	2,790	2,018	1,653	1,367	1,161	1,025	0,929	0,859	0,802
t ^o	152,82	130,48	119,94	113,74	108,05	103,30	99,77	97,03	94,89	93,03
q Cal.	154,36	131,49	120,75	114,44	108,66	103,84	100,27	97,49	95,33	93,44
λ Cal.	653,11	646,30	643,08	641,19	639,46	638,01	636,93	636,09	635,44	634,87
r Cal.	498,75	514,81	522,33	526,75	530,80	534,17	536,66	538,60	540,11	541,43
ρ Cal.	454,52	472,19	480,53	485,43	489,93	493,69	496,48	498,65	500,34	501,81
γ ^k	2,7717	1,5377	1,1343	0,9405	0,7868	0,6749	0,6003	0,5474	0,5085	0,4768
V cub.	0,0240	0,0494	0,0705	0,0916	0,1128	0,1339	0,1550	0,1761	0,1973	0,2184
m _v ^k	0,0645	0,0740	0,0780	0,0841	0,0867	0,0884	0,0910	0,0944	0,0983	0,1021
m _e ^k	0,0560	0,0465	0,0425	0,0364	0,0338	0,0321	0,0295	0,0261	0,0222	0,0184
Verhältniß	46,47%	38,59	35,27	30,20	28,05	26,64	24,48	21,66	18,42	15,27
m _v ρ Cal.	29,32	34,94	37,48	40,82	42,48	43,64	45,18	47,07	49,18	51,23
M ₀ q Cal.	18,60	15,84	14,55	13,79	13,09	12,51	12,08	11,75	11,49	11,26
U Cal.	47,92	50,78	52,03	54,61	55,57	56,15	57,26	58,82	60,67	62,49
F _δ ^{mk}	—	981,8	1515,6	1912,2	2245,9	2526,8	2761,9	2975,0	3158,6	3317,8
AF _δ Cal.	—	2,31	3,56	4,50	5,28	5,99	6,50	7,00	7,43	7,80
U + AF _δ Cal.	47,92	53,09	55,59	59,11	60,85	62,14	63,76	65,82	68,10	70,29

$\Sigma^*) = m_v(\lambda - A p u) + (M_0 - m_v)q = m_v \rho + M_0 q$,
denn m_v das Gewicht des vor dem betrachteten Moment des

*) In dem vorigen Artikel habe ich hierfür den Buchstaben J ge-
setzt. Da aber J gewöhnlich für trocknen gesättigten Dampf genommen
wird und hier ein Dampf- und Wassergemisch betrachtet wird, so habe
ich in diesem Artikel die gewöhnliche Bezeichnung U befolgt.

Hubes neu eingetretenen*, Dampfes, M₀ das Gewicht des

*) Herr Hallauer sagt introduit und nicht présent, um damit
daran zu erinnern, daß in Folge der Compression bei jedem Hube
ein gewisses Gewicht Dampf im Cylinder zurückbleibt, dessen Raum
der während des Einstromens zufließende Dampf nicht einnehmen kann.

Der Uebers.
17*

ganzen Gemisches von Wasser und Dampf nach der directen Messung bedeutet.

Bei der Maschine ohne Dampfhemb betrug der Dampfverbrauch pro Spiel $0,1122^k$, der Wassergehalt der Dämpfe $0,0050^k = 4,5$ Proc., die totale verrichtete Arbeit $2865,4^{mk}$, der Dampfverbrauch pro absolute Pferdekraft und Stunde $10,5728^k$, nach Calorien $6665,09$, der Verlust durch den Condensator $R_c = 19,67$ Cal.

Bei der Maschine mit Dampfhemb betrug der Dampfverbrauch pro Spiel $0,1253^k$, das im Dampfhemb abgejektete Wasser $3,84$ Proc. $= 0,0048^k$, das übergeriffene Wasser 5 Proc. $= 0,0063$, die totale Arbeit $4196,50^{mk}$, der Dampfverbrauch pro stündliche Pferdekraft $8,0617^k$, in Calorien $5063,58$, der Verlust durch den Condensator $R_c = 3,71$ Cal.

Was den Verlust durch den Condensator anlangt, so ist zunächst die Dampfmenge zu bestimmen, welche nach der Ausströmung und in Folge der Compression im Cylinder verbleibt.

Bei der Maschine ohne Dampfhemb beträgt die Spannung am Ende des Hubes $0,103^k$ und dieser entspricht die Dichtigkeit $\gamma = 0,0687^k$. Wenn der Schieber den Austritt

abschließt, bleibt hinter dem Kolben das Volumen oder das Dampfgewicht $0,0012^k$ zurück, was nur oder $1,07$ Proc. des eingeführten Dampf- und Wassers beträgt, so daß durch Vernachlässigung der e vorgehenden Zustandsänderung ein äußerst gerin begangen wird.

Bei Beginn der Expansion beobachtet man $d = 5,155^k$ und das Volumen $0,0159^{cbm}$, also das Da $0,0159 \cdot 2,7378 = 0,0435^k$. Als neu hinzugegetreten duit) Dampf ist also zu rechnen

$$mv_0 = 0,0435 - 0,0012 = 0,0423^k.$$

Bei jedem Kolbenspiele geht durch den Cy Dampf- und Wassergewicht $M_0 = 0,1122^k$ und bloß $0,0423^k$ Dampf, so erhält man das darin Wasserquantum

$$me_0 = M_0 - mv_0 = 0,1122 - 0,0423 = 0$$

es werden somit $\frac{0,0699}{0,1122} = 62,30$ Proc. fast an den Cylinderwandungen niedergeschlagen.

In diesem Moment beträgt die gesammte inn

$$U_0 = mv_0 q + M_0 q_0 = 0,0423 \cdot 454,92 + 0,1122 \cdot 153,83 = 36,50 \text{ Calor.}$$

Am Ende des Hubes ergibt sich in gleicher Weise

$$mv_n = 0,0657^k, me_n = 0,0465^k,$$

also $41,44$ Proc. niedergeschlagenes Wasser an der Wand. Ferner

$$U_n = mv_n q_n + M_0 q_n = 0,0657 \cdot 511,45 + 0,1122 \cdot 81,14 = 42,69 \text{ Calor.}$$

Bei der Expansion werden zur Leistung von Arbeit verwandt

$$AF_\delta = \frac{2417,4}{425} = 5,68 \text{ Calorien.}$$

Runmehr wird durch den Schieber die Communication mit dem Condensator eröffnet und während des Austritts des Dampfes erfolgt auf Kosten der in dem Cylindermantel enthaltenen Wärme die Verdampfung des größten Theiles des daran niedergeschlagenen Wassers. Die hierdurch nach dem Condensator abziehende und verloren gehende Wärme, nenne ich den Verlust durch den Condensator R_c . Sie ist ein Theil der während der Admissionsperiode in den Cylinder getretenen und darin gewissermassen latent gewordenen Wärme, während der Rest dieser Wärme durch die verrichtete Arbeit und die Verdampfung während des Expandirens verzehrt wird. Für die Expansionsperiode wird an Wärme gebraucht der Unterschied zwischen der inneren Wärme beim Beginn und am Ende des Expandirens und die der verrichteten Arbeit entsprechende Wärmemenge, also $U_n + AF_\delta - U_0 = 48,37 - 36,50 = 11,87$ Calorien, ferner die dem Verlust durch Ausstrahlung entsprechende Wärme $a = 1,25$ Cal. und endlich die Wärmemenge R_c , somit $R_c + 13,12$ Calorien.

Weil aber aus dem Kessel keine Wärme zutreten kann,

so muß dieselbe schon vorher, d. h. während der strömungsperiode zugeführt worden sein. Sie ent den condensirten Dampf, dessen Gewicht nach $0,0050^k$ übergeriffenes Wasser $0,1122 - 0,0423 - 0,0649^k$ betrug, und welcher $0,0649 \cdot 499,12 = 3$ rieren lieferte, sowie durch die von der Kolbenreibr Wärme von $0,40$ Calor., so daß man also hat

$$R_c + 13,12 = 32,39 + 0,40,$$

$$R_c = 19,67 \text{ Calorien.}$$

Auch bei der Corlißmaschine mit Dampfhemb l dem Dampfaustritt im Cylinder ein gewisses Dam zurück, dessen Gewicht bei der dem Drucke $0,175$ chenden Dichtigkeit von $0,1152^k$ und bei dem $0,0177^{cbm}$ beträgt: $0,0020^k$.

Am Ende der Einstromung beträgt die Spannu das Volumen $V_0 = 0,0240^{cbm}$, die Dichtigkeit γ das Gewicht des vorhandenen Dampfes $V_0 \gamma_0 = 0, = 0,0665^k$ und das Gewicht des neu hinzugegetrener

$$mv_0 = 0,0665 - 0,0020 = 0,0645^k.$$

Da sich im Dampfhemb $0,0048^k = 3,81$ P

*) Im Vergleich zu dem bei Wolf'schen Maschinen Condensationswasserquantum kann dieser Ansatz zu niedrig

pro Spiel verbrauchten Dampfgewichtes an 0,1253^k niedergeschlagen hat, so ist durch den Cylinder an Dampf gemischt mit Wasser hindurchgegangen:

$$M_0 = 0,1253 - 0,0048 = 0,1205^k.$$

Am Ende der Admissionsperiode befand sich im Dampf an Wasser

$$U_0 = m_{v_0} q_0 + M_0 q_0 = 0,0645 \cdot 454,52 + 0,1205 \cdot 154,36 = 47,92 \text{ Calorien.}$$

Am Ende des Hubes erhält man dagegen:

$$m_{v_n} = 0,1021^k, \quad m_{e_n} = 0,0184^k = 15,27 \text{ Proc. Wasser und}$$

$$U_n = m_{v_n} q_n + M_0 q_0 = 0,1021 \cdot 501,81 + 0,1205 \cdot 93,44 = 62,49 \text{ Calorien.}$$

Während der Expansion ist durch die Arbeit consumirt worden

$$A F_\delta = \frac{3317,8}{424} = 7,80 \text{ Calor.}$$

Während dieser Periode und bis zu Ende des Hubes sind also verbraucht worden an Wärmeeinheiten:

$$U_n + A F_\delta - U_0 = 70,29 - 47,92 = 22,37 \text{ Calor.}$$

Hierzu der Verlust durch den Condensator R_c

$$\text{Verlust durch äußere Abkühlung*)} \quad \dots \quad 1,5 \quad "$$

$$\text{Summe } R_c + 23,87 \text{ Calor.}$$

Diese Wärmemenge kann nur hergegeben worden sein:

1) von den Wänden in Folge der Condensation eines Theiles des bei der Einstromung zugeführten Dampfes, und da in dem niedergeschlagenen Wasserquantum von 0,0560^k 5 Proc. vom ganzen verbrauchten Dampfquantum an 0,1253^k, also 0,0063^k übergerissenes Wasser enthalten ist, so berechnet sich diese Wärmemenge auf:

$$(0,0560 - 0,0063) \cdot 498,75 = 24,79 \text{ Calor.}$$

2) von der bei der Condensation von 0,0048^k Dampf im Dampfhemb entbundenen Wärmemenge, nämlich

$$0,0448 \cdot 498,35 = 2,39 \quad "$$

3) von der durch die Kolbenreibung erzeugten Wärme

$$\dots \dots \dots b = 0,40 \quad "$$

$$\text{zusammen } 27,58 \text{ Calor.}$$

Man erhält also

$$R_c + 23,87 = 27,58 \text{ oder}$$

$$R_c = 3,71 \text{ Calor.}$$

Vorstehende Ziffern genügen, um den Einfluß des Dampfhembes darzutun und seine Wirkungsweise zu erläutern.

Da aber bei der in der ersten Abhandlung betrachteten liegenden 200 pferdigen Dampfmaschine mit Dampfhemb an beiden Böden 6,38 Proc. gefunden wurden, und die hier betrachtete Maschine bloß an einem Boden umhüllt ist, also eine verhältnißmäßig kleinere geheizte Cylindersfläche besitzt, so erklärt sich obige Ziffer.

*) Da die Abkühlungsfläche bei Dampfhemb größer ist, so ist dieser Verlust bedeutender, als bei der ersten Maschine.

$$m_{e_0} = M_0 - m_{v_0} = 0,1205 - 0,0645 = 0,0560^k, \text{ oder}$$

$$\frac{0,0560}{0,1205} = 46,47 \text{ Proc.}$$

Die totale innere Wärme betrug

Das Dampfhemb ist bereits von Watt angewendet worden und die Versuche von Combes, sowie diejenigen von Hirn haben dargethan, daß durch dasselbe nahezu 20 Proc. Ersparniß realisiert werden können, aber trotzdem wird der Nutzen desselben noch heutigen Tages bestritten. Für die Wirkung desselben gab Hirn in seinem traité de la théorie mécanique de la chaleur (1865) folgende Erklärung. Wenn Dampf expandirt, ohne von außen Wärme zugeführt zu erhalten, so wird er theilweise condensirt, während er bei Anwesenheit eines Dampfhembes soviel Wärme aufnimmt, daß er gesättigt bleibt. Seit den verschiedenen Versuchen, die Herr Hirn und der Verfasser in dieser Richtung unternommen haben, ist es möglich, genauer zu bestimmen, wie das Dampfhemb auf den im Cylinder arbeitenden Dampf einwirkt, was denn auch von mir bereits in meiner ersten Abhandlung dargethan worden ist. Wenn ich hier nochmals darauf zurück komme, so geschieht dies, um meine dortige Erklärung auf Grund der Erfahrungen zu bestätigen, welche ich an zwei ganz gleichen Maschinen mit und ohne Dampfhemb gewonnen und in der Tabelle verzeichnet habe, und welche eine Ersparniß von 23,75 Proc. nachweisen.

Wir sehen zunächst, daß bei der Maschine ohne Dampfhemb während der Expansionsperiode unausgesetzt an den Wänden Verdampfung stattfindet, denn sie beginnt mit 62,3 Proc. Wassergehalt und schließt mit 41,44 Proc., so daß 20,86 Proc. Wasser in Dampfform übergegangen sind. Die Wärmemenge, welche zu dieser Zustandsänderung erforderlich ist und welche noch dadurch erhöht wird, daß während der Expansionsarbeit noch Wärme consumirt wird, kann nur von den Cylindervandungen hergegeben werden, die sie gewissermaßen aufgespeichert haben, indem sie während der Dampfeinstromung 62,3 Proc. Dampf*) condensiren.

Bei der Maschine mit Dampfhemb ist die Menge des während der Dampfeinstromung condensirten Dampfes viel geringer, 46,47 Proc. anstatt 62,3 Proc., und trotzdem ver-

*) Hierunter befindet sich auch mit übergerissenes Wasser, dessen Bestimmung oben gezeigt worden ist; ich sehe indeß der Kürze halber hier davon ab, da es sich nur um Differenzen handelt.

ASTORIA
FEBRUARY 1901
ASTORIA
FEBRUARY 1901
ASTORIA
FEBRUARY 1901

ASTORIA
FEBRUARY 1901
ASTORIA
FEBRUARY 1901
ASTORIA
FEBRUARY 1901

diejenige während der Expansion

$$\frac{P_0 V_0}{1 - \alpha} \left[\left(\frac{V_0}{V_n} \right)^{\alpha-1} - 1 \right] = \frac{51550 \cdot 0,01585}{1 - 0,90} \cdot \left[\left(\frac{0,01585}{0,21121} \right)^{-0,1} - 1 \right] = \dots 2415,26 \text{ mk}$$

Uebersrag = 817,07 mk

zusammen $F_0 = 3232,33 \text{ mk}$.

Hiernach beträgt der Verlust durch den schädlichen Raum

$$\frac{F_0 - F}{F_0} = \frac{3232,33 - 2898,36}{3232,33} = 10,33 \text{ Proc.},$$

ist also ziemlich bedeutend, weil die Füllung gering ist.

Der Gegendruck auf den Kolben P_c beträgt 0,1246 k und es entspricht demselben eine Widerstandsarbeit

$$V_n P_c = 1246 \cdot 0,21121 = 263,17 \text{ mk},$$

oder in Procenten der absoluten Arbeit:

$$\frac{V_n P_c}{F_0} = \frac{263,17}{3232,33} = 8,14 \text{ Proc.}$$

in der Expansionsperiode:

$$F_p = V_0' P_0 = 52240 \cdot 0,01682 = \dots 878,68 \text{ mk}$$

$$F_d = \frac{52240 \cdot 0,02398}{1 - 0,85} \left[\left(\frac{0,02398}{0,21837} \right)^{-0,15} - 1 \right] = 3280,50 \text{ mk}$$

zusammen $F = 4159,18 \text{ mk}$.

Nach dem Diagramm erhält man 4196,5 mk oder

$$\frac{4196,5 - 4159,18}{4196,5} = 0,89 \text{ Proc. mehr.}$$

und da nach der Messung pro Kolbenhub 0,1253 k Dampf und Wasser verbraucht werden, so beträgt der Dampfverbrauch pro stündliche Pferdekraft:

$$\frac{0,1253 \cdot 2700000}{4196,5} = 8,0617 \text{ k.}$$

Wäre kein schädlicher Raum vorhanden, so würde die Arbeit betragen bei der Einstromung

$$P_0 V_0 = 52240 \cdot 0,02398 = \dots 1252,72 \text{ mk},$$

bei der Expansion:

$$\frac{52240 \cdot 0,02398}{1 - 0,85} \left[\left(\frac{0,02398}{0,21121} \right)^{-0,15} - 1 \right] = 3221,99 \text{ mk}$$

zusammen $F_0 = 4474,71 \text{ mk}$.

also beträgt der Verlust durch den schädlichen Raum

$$\frac{F_0 - F}{F_0} = \frac{4474,71 - 4159,18}{4474,71} = 7,06 \text{ Proc.};$$

derselbe ist geringer, als bei der Maschine ohne Dampfhemd.

Wegen des Gegendruckes im Condensator von 0,2327 k erhält man die negative Arbeit

$$V_n P = 2327 \cdot 0,21121 = 491,48 \text{ k},$$

welche einen Verlust bewirkt von

$$\frac{491,48}{4474,71} = 10,98 \text{ Proc.}$$

Dieser Verlust ist mithin größer als bei der Maschine ohne Dampfhemd, weil der Gegendruck hier größer ausfällt.

b) Maschine mit Dampfhemd.

Für das Expansionsgesetz erhält man aus den Werten

$$P_3 = 4,542 \text{ k}, \quad V_3 = 0,02828 \text{ cbm},$$

$$P_{20} = 0,835 \text{ k}, \quad V_{20} = 0,20780 \text{ cbm}$$

den Exponenten $\alpha = 0,85$.

Weiter ist bekannt $P_0 = 5,224 \text{ k}$ und es berechnet sich daher

$$\log V_0 = \log 0,02828 - \frac{\log 5,224 - \log 4,542}{0,85},$$

$$V_0 = 0,02398 \text{ cbm},$$

$$V_0' = V_0 - V_p = 0,02398 - 0,00716 = 0,01682 \text{ cbm}.$$

Die bei Anwesenheit von schädlichen Räumen verrichtete Arbeit beträgt in der Periode der Einstromung

Zustandsänderungen des Dampfes.

Alle directen Beobachtungsdata, sowie die daraus hervorgehenden Resultate sind in beifolgender Tabelle zusammengestellt. Ausgehend von der Spannung in jedem Zustand des Hubes der Expansionsperiode habe ich nach den Formeln von Regnault, Reiche und Zeuner nachstehende Größen berechnet:

1) die Temperatur des Dampfes t nach der Formel

$$\log P = 1,9596414 + \frac{(20 + t) \cdot 0,0383385}{1 + 0,00478821(t + 20)},$$

2 die totale Wärmemenge λ , welche zur Erzeugung des Dampfes von der Temperatur t erforderlich ist,

$$\lambda = 606,5 + 0,305 t,$$

3) die Wärme in der Flüssigkeit

$$q = \int c dt = t + 0,00002 t^2 + 0,0000003 t^3,$$

4 die Verdampfungswärme r

$$r = \lambda - q = 606,5 - 0,095 t - 0,00002 t^2 - 0,0000003 t^3,$$

5 die potentielle Wärme ρ

$$\rho = r - A p u = 575,4 - 0,791 t,$$

6 die Dichtigkeit oder das Gewicht von 1 cbm Dampf

$$\gamma = 0,0001 P^{0,75}, \text{ wo } P \text{ in Atmosph.}$$

Hiervon ergibt sich dann die totale innere Wärme

Corlißmaschine ohne Dampfhebel.

	Ende der Einfströ- mung.	Bruchtheil des Hubes.								Ende des Hubes.
		$\frac{2}{10}$	$\frac{3}{10}$	$\frac{4}{10}$	$\frac{5}{10}$	$\frac{6}{10}$	$\frac{7}{10}$	$\frac{8}{10}$	$\frac{9}{10}$	
P ^k	5,155	1,831	1,316	1,017	0,827	0,707	0,618	0,562	0,525	0,501 ^k
t ^o	152,31 ^o	116,89	106,93	99,56	93,86	89,67	86,17	83,74	82,02	80,85 ^o
q Cal.	153,83	117,64	107,52	100,05	94,28	90,05	86,51	84,06	82,32	81,14
λ Cal.	652,95	642,15	639,11	636,86	635,19	633,85	632,78	632,04	631,52	631,16
r Cal.	499,12	524,51	531,59	536,81	540,85	543,80	546,27	547,98	549,20	550,02
q Cal.	454,92	482,94	490,82	496,65	501,16	504,47	507,24	509,16	510,52	511,45
γ ^k	2,7373	1,0355	0,7592	0,5959	0,4907	0,4235	0,3732	0,3414	0,3202	0,3065
V Cub.-Met.	0,0159	0,0492	0,0705	0,0916	0,1128	0,1339	0,1550	0,1761	0,1973	0,2184
m _v ^k	0,0423	0,0499	0,0523	0,0534	0,0541	0,0555	0,0566	0,0589	0,0620	0,0657
m _o ^k	0,0699	0,0623	0,0599	0,0588	0,0581	0,0567	0,0556	0,0533	0,0502	0,0465
Verhältniß	62,30%	55,53	53,39	52,40	51,78	50,53	49,55	47,50	44,74	41,44
m _v q Cal.	19,24	24,10	25,67	26,52	27,11	28,00	28,71	29,99	31,65	33,59
M _o q Cal.	17,26	13,20	12,06	11,22	10,58	10,10	9,71	9,43	9,24	9,10
U Cal.	36,50	37,30	37,73	37,74	37,69	38,10	38,42	39,62	40,89	42,69
F _δ ^{mk}	—	991,4	1307,4	1475,9	1675,9	1851,2	1992,1	2142,9	2273,4	2417,4
AF _δ Cal.	—	2,33	3,22	3,49	3,94	4,35	4,68	5,04	5,35	5,68
U + AF _δ	36,50	39,63	40,95	41,23	41,63	42,45	43,10	44,66	46,24	48,37

Corlißmaschine mit Dampfhebel.

P ^k	5,224	2,790	2,018	1,653	1,367	1,161	1,025	0,929	0,859	0,802
t ^o	152,82	130,48	119,94	113,74	108,05	103,30	99,77	97,03	94,89	93,03
q Cal.	154,36	131,49	120,75	114,44	108,66	103,84	100,27	97,49	95,33	93,44
λ Cal.	653,11	646,30	643,08	641,19	639,46	638,01	636,93	636,09	635,44	634,87
r Cal.	498,75	514,81	522,33	526,75	530,80	534,17	536,66	538,60	540,11	541,43
q Cal.	454,52	472,19	480,53	485,43	489,93	493,69	496,48	498,65	500,34	501,81
γ ^k	2,7117	1,5377	1,1343	0,9405	0,7868	0,6749	0,6003	0,5474	0,5085	0,4768
V Cub.	0,0240	0,0494	0,0705	0,0916	0,1128	0,1339	0,1550	0,1761	0,1973	0,2184
m _v ^k	0,0645	0,0740	0,0780	0,0841	0,0867	0,0884	0,0910	0,0944	0,0983	0,1021
m _o ^k	0,0560	0,0465	0,0425	0,0364	0,0338	0,0321	0,0295	0,0261	0,0222	0,0184
Verhältniß	46,47%	38,59	35,27	30,20	28,05	26,64	24,48	21,66	18,42	15,27
m _v q Cal.	29,32	34,94	37,48	40,82	42,48	43,64	45,18	47,07	49,18	51,23
M _o q Cal.	18,60	15,84	14,55	13,79	13,09	12,51	12,08	11,75	11,49	11,26
U Cal.	47,92	50,78	52,03	54,61	55,57	56,15	57,26	58,82	60,67	62,49
F _δ ^{mk}	—	981,8	1515,6	1912,2	2245,9	2526,6	2761,9	2975,0	3158,6	3317,8
AF _δ Cal.	—	2,31	3,56	4,50	5,28	5,99	6,50	7,00	7,43	7,80
+ AF _δ Cal.	47,92	53,09	55,59	59,11	60,85	62,14	63,76	65,82	68,10	70,29

) = $m_v(\lambda - A_p u) + (M_o - m_v)q = m_v q + M_o q$,
in m, das Gewicht des vor dem betrachteten Moment des

*) In dem vorigen Artikel habe ich hierfür den Buchstaben J ge-
nommen. Da aber J gewöhnlich für trocknen gesättigten Dampf genommen
wird, und hier ein Dampf- und Wassergemisch betrachtet wird, so habe
ich in diesem Artikel die gewöhnliche Bezeichnung U befolgt.

Hubes neu eingetretenen*) Dampfes, M_o das Gewicht des

*) Herr Hallauer sagt introduit und nicht présent, um damit
daran zu erinnern, daß in Folge der Compression bei jedem Hube
ein gewisses Gewicht Dampf im Cylinder zurückbleibt, dessen Raum
der während des Einstromens zufließende Dampf nicht einnehmen kann.

Der Uebers.

Liegende Dampfmaschine von 100 Millim. Durchmesser mit direkt wirkendem Regulator.

(System „Tangye“.)

Von

D. von Quitzow, Ingenieur in Elberfeld.

(Hierzu die Doppeltafeln 20—21 und 22—23.)

Während man früher nur ein mitleidiges Rächeln hatte für die Bemühungen einzelner Fabrikanten, Motoren in ZülpfgröÙe zu bauen, ist heute eine Strömung auch dieser Art in dem so vielgliedrigen Fortschritte des Maschinenbaues erkennbar und von besserem Erfolge begleitet. Der einsichts-voller gewordene Handwerker will ebenfalls Fabrikant werden und findet häufig Maschinenkraft social bequemer als die fragliche Hülfe seiner Arbeiter, selbst wenn er deren nur wenige beschäftigt. Die überall erstrebte Theilung der Arbeit in einzelne klarbemessene Schritte ist für unglaublich viele Zwecke eine zweite Ursache der heute fast überraschend großen Verbreitung der Motoren von wenig Pferdekraften, oft sogar bis $\frac{1}{4}$ Manneskraft herab. Denn überall in der That werden diese sogenannten Zülpf-Motoren am Plage sein, ob durch Wasser, Gas oder Dampf gespeist, wo der Arbeiter, von speciellerer Fachkenntniß geleitet, lieber Kohlen als Muskelkraft erheißt, um seine mehr lohnende Geschicklichkeit und praktischen Scharfblick statt der Zahl der ihm täglich zur Verfügung stehenden Fußpfunde zu verwerthen, und ebenso da, wo diese Tendenz in einer Arbeitsmaschine für speciellen Zweck automatisirt ist.

Wenn es nun auch schwierig bleibt, sowohl für den Constructeur, wie nicht minder für den Maschinenfabrikanten und den Agenten, allen Anforderungen solcher sogenannten kleinen Leute gerecht zu werden, da der gewünschte Motor bald zu theuer, zu schwer, zu lang, bald fast zu wild ausfällt, um ein guter Handels-Artikel sein zu können, so fehlt es doch keineswegs an der Möglichkeit, fast sämtliche bisherige Constructionsarten der Dampfmaschine, welche sich für größere Kräfte bewährt haben, auch für kleinere Zylinderdurchmesser auszuführen, sobald es gelingt, 3 Rippen zu umschiffen und gute Ausführung, geringen Preis und guten Gang ebenso wie im Großen zu erzielen.

Dies ist bei der Realisirung von Tangye's in land patentirter Idee ganz vortrefflich gelungen. Am beweist dies die dem Statistiker wohlbekannte zahlreich Verbreitung dieser Maschine in einzelnen Industrie-Gege- z. B. dem preussischen Rheinlande. Dort sehen wir al- her auf den Markt gebrachten Größen dieser Maschine 3 bis 12 Zoll Zylinderdurchmesser von allen Agenten portirt und zwar mit dem nachhaltigsten Erfolge. Bei wir es zwar, daß der Fabrikant auf so enge Grenze beschränkt, z. B. für westphälische Wünsche, denen eine denjationsmaschine als Betriebskraft oft weniger zusag- die einfache liegende Dampfmaschine mit variabler Expe- so müssen wir doch schon hier auf eine acht englische e- Constructeurgrille an diesen Tangye-Dampfmaschine- weisen, nämlich $\frac{1}{2}$ Füllung lediglich mit äußerer D- des Schiebers erzielen zu wollen. Das fällt allerdings aus, als die abgelebte Meyer'sche Steuerung, ist genug ajustirbar, auch für größeren Füllungsgrad durch kürzen der äußeren Deckung, und klingt gar hochemp- im Munde des für großen Absatz arbeitenden Agenten die nachtheilige Compression fast bis zur Grenze ihre Läßigkeit wird ignorirt. Vielleicht rührt daher des- kanten Entschluß, nicht höher als auf 12 Zoll Durch- diese bei uns unpatentirbare Idee auszudehnen. Es- übrigens dem Constructeur, durch Anwendung eines col- Gelenkzapfens in der Schieberstange und solideste Ausfi- der in alternenden Maschinen mit dünnen Zapfen aus r- Eisen oft so komischen „rechtzeitigen“ Absperrung reichende Dauer zu verschaffen. Daß der Einfall, $\frac{1}{2}$ - lung durchgängig anzuwenden, für 3—12 Zoll Durch- ein etwas wüßter englischer Griff ist neben den de- zwar oft vorgeblichen Rufen nach dem relativ besten Fül- grade, ist ein Einwand an der Grenze unserer Achtun-

uniformer Massenfabrilation — schon im Bureau! war es so schwer, den je besten Füllungsgrad für jeden Durchmesser zu ermitteln.

Die in Completzeichnung hierbei vorliegende Tanghe-

maschine zeigt nach dem modernen Princip, womöglich Stücke zu jedem Motor zu verwenden, nämlich ein ones für sämtliche passiven und ein gußstählernes für die activen Glieder, in gutem Willen wenigstens die igen und das Kurbellager mit der Grundplatte zugegossen. Die absolute Festigkeit des den Dampfcy-

linder bildenden Koppes machte eine Verstärkung der Sicher-

selben durch Hinzufügung des Querschnittes der Grund-

auch noch unter der ganzen Cylindervlänge hindurch,

ig. Sollten unsere braven heimischen Sicherheitscom-
: nicht endlich mal den Cylindersflansch allein ein wenig
len wollen, statt so viel gutes Eisen, als die Grund-

unter dem Cylindervflansch enthält, unnöthig zu verwenden?

Die läßt den vorderen Cylindervflansch unmittelbar auf
eigenthümlichen Querschnitt der Grundplatte festge-

sein. Dieser ist ein hohles \perp mit Schwanenhals für
Aneal, statt des empfehlenswertheren eingeleistigen
mptes. Der Guß dieser nach dem Kurbellager hin

miten Grundplatte, welche der Kurbel seitlich Raum
ht, ist wiederum einer der Vorzüge dieser Dampfma-

nach Tanghe's System, wenn auch das Modell etwas
ausfällt. Bei uns mit einiger Sorgfalt gewiß erreich-

der Güte des englischen Originals ist nämlich der
wohl der Grundplatte wie der des Cylinders, nament-

Bezug auf correctes Verlegen der Kerne von unsym-

hem Querschnitt. Einiger Beachtung werth scheint
abei die Beobachtung, welche wir bei möglichster Er-

mag der Ursachen solcher Güte des Gußes gemacht.
stelle für den Dampfcyylinder zu verwenden dürfte

nur bei solcher Massenproduction lohnend sein! Die
passen dann sofort.

Das Lager ist nur schief gestellt, nicht 3 schaalig, um
elenddruck passend mit aufzunehmen. Die Pfannen

n sind sehr breitbrüstig und kräftig, wie überhaupt
r Kleinlichen Sparsamkeit mancher deutschen Fabrikanten

liputmaschinen die Birminghamer Firma in gut eng-
Art weit entfernt ist.

frei vertheilte Querschnittspartikel in Schwungrädern, die in
einem einzigen Stück gegossen waren, die Nabe mit Guß stark

gegürtet, desgleichen der Kranz, beide dennoch zierlich.
Der Kreuzkopf hat beide abgedrehte gußeiserne Gleitstücke
mitteltst Doppelmutter in senkrechter Richtung ajustirbar.
Die Schrauben dazu sind starke Zapfen und ein Stück mit
dem gußeisernen Kreuzkopf selbst. Durch Ausbohren und
einiges Nachstoßen der inneren Ecken nebst der äußeren Ap-

pretur durchweg ist es möglich geworden, auch diesem bei
Ausführung in Gußeisen oft so gewichtig beliebtem Stück bei
voller Solidität große Zierlichkeit durch tiefen Griff zu wahren.
Um das Heraus schlagen des verspleiterten Kreuzkopfschies zu
ermöglichen, ist die Grundplatte mit einer horizontalen Durch-

brechung an geeigneter Stelle versehen. Sogar der Kreuz-

kopfholzen ist mit außen conischem Kopf und Doppelmutter
versehen.

Die Kolbenstange ist tief genug auf dem Dampfkolben
vernietet, da die Kolbenringe aus Gußeisen excentrisch aus-

gedreht, also selbstfedernd radial eingesetzt werden können.
Durch kleine Bohrungen im hinteren Kolbenboden ist im
Inneren des Kolbens der so wirksame Dichtungsdampf stets
abmittirt.

Die Schieberstange enthält auch bei dieser kleinsten Ma-

schine ein Adjustirschloßchen mit Rechts- und Linksgewinde zur
Bequemlichkeit bei Reparaturen außer den Doppelmuttern
vor und hinter dem Schieber.

Der Pumpkolben, zwischen Excenter und Schieberstange
eingeschaltet, ist ein Hohlkolben mit innerem Charnier auf,

wie erwähnt, starkem Zapfen und ebenso wie die dicke Kolben-

stange der Pumpe in Rothguß ausgeführt, beide Stopfbüchsen
demnach desgleichen.

Den direct wirkenden Regulator, das in England pa-

tentirte Glied dieser Maschine, sahen wir in mehreren Größen,
auch für 4 Zoll Cylindervdurchmesser sehr befriedigend arbeiten.
Derjelbe ermöglicht durch die glückliche Vereinigung eines
cylindrischen Schieberventils, welches innen und außen vom
Dampf umspült, druckfrei läuft, mit einem Schnellläufer-

pendel, dessen Schwungmasse somit gering sein darf, einen
überraschend hohen Empfindlichkeitsgrad. Die hierzu mitwir-

kenden Constructionsorgane sind 1) eine Feder aus cylindri-

scher Drahtspirale, welche die Kugeln hindert, oben stehen zu
bleiben, sobald sie gehoben, sei es durch Reibungswiderstand
oder Trägheit; 2) die von der Feder angegriffenen Gegen-

arme des Pendels, welche eigenthümlich gestaltet sind, um
massirt bleiben zu können. Die Feder, also die Ventilstange

öffnet, wenn gehoben, den Dampfzutritt, indeß das Steigen
des Pendels dieselbe wieder frei zu lassen, also das Ventil zu

schließen Tendenz hat. Das zwischen dem Stirnkopf der
Ventilstange und den Hebelenden des Pendels erforderliche

Organ besteht in 2 horizontal ausweichenden Pfannen unter
dem Hebelende. Diese 2 nach oben als Pfannen, nach unten

als Gleitstücke wirkenden Stahlprismen befinden sich, das eine rechts, das andere links von dem Federborn, dessen Spannmutter das Hütchen des ganzen Regulators ist. Wir verstellten absichtlich einem kaum orientirten Maschinisten solcher Tanghe-Maschine diesen Regulirknopf bis zur Unbrauchbarkeit und hatten die Genugthuung, zu sehen, daß derselbe mit 5 verständigen Regulirungen in ebenso viel Minuten eine völlig brauchbare Gangart der Maschine wiedergewann. Keine der bekannten anderen Regulatorconstructions dürfte dies leisten können für Liliputgröße, während des Ganges. Die Herstellung solcher Regulatoren ist weder in der Formerei noch Schlosserei zu theuer, oder zu fein für solchen Zweck bei 180 Umgängen der Maschine. Das Stangenschloß

des Regulatorventils gestattet ein Abheben des Pendels Ventilgehäuse, behufs Erneuerung der Stopfbüchsenpaare auch während des Ganges der Maschine, ohne Dampfungsfugen zu öffnen.

Die englischen Angaben über Kraft- und Stoffkosten glauben wir passender im Zusammenhange mit anderen gleichenden Controlrechnungen an Tanghe-Dampfmaschine später auf diesen Gegenstand zurückkommend, beleuchten zu sollen.

Die einheimische Industrie wird ebenso schnell für wie Kauf dieser Construction sich bemächtigen, wofür wir selbe lebhaft empfehlen, obgleich importirt.

Graphische Bestimmung der hydraulischen Druckhöhe, Ausfließgeschwindigkeit und Ausflußzeit von Flüssigkeiten aus beliebig gestalteten Gefäßen.

Von

Dr. H. Pröll, Ingenieur in Görlitz.

(Hierzu Tafel 24.)

In meiner im Jahrgang 1873 des „Civilingenieur“ unter dem Titel „Begründung graphischer Methoden zur Lösung dynamischer Probleme“ enthaltenen Abhandlung, welche auch als Separatwerk unter dem Titel „Versuch einer graphischen Dynamik“ bei Arthur Felix in Leipzig erschienen ist, habe ich ein Verfahren begründet, wonach man im Stande ist, zeichnerisch die verflossene Zeit zu ermitteln, sobald die Geschwindigkeit als Function des zurückgelegten Weges durch eine Curve gegeben ist (siehe Heft IV, Jahrg. 1873, Seite 242, des Civilingenieur resp. S. 8 meines Separatwerkes).

Indem ich an dieser Stelle auf eine nochmalige Begründung dieser Methode, deren Fruchtbarkeit an mehreren Beispielen daselbst nachgewiesen ist, verzichte, will ich im Folgenden den Nachweis führen, daß das gedachte Verfahren auch bei der Ermittlung der Ausflußzeit von Flüssigkeiten, aus beliebig gestalteten Gefäßen, treffliche Dienste leistet.

Die graphische Bestimmung der Ausflußzeit setzt die graphische Bestimmung der Ausfließgeschwindigkeit voraus. Um

möglichst verständlich zu sein, wollen wir das allgemeine Problem des Ausflusses von Flüssigkeiten durch mehrere Ausflüsse zunächst specialisiren. Es wird dann die Uebersetzung der Methode von dem einfachen Fall zum mehrfachen, unter Berücksichtigung der Erfahrungscoefficienten sich fast von selbst ergeben.

a) Graphische Bestimmung der bezüglichen Größen für den einfacheren Fall.

Wir denken uns ein beliebig gestaltetes Gefäß b einer gewissen Höhe mit einer leicht beweglichen Flüssigkeit gefüllt (etwa Wasser, Oel), auf welche die Hypothese des Parallelismus der Schichten und das Princip der Continuität Anwendung findet. Das Gefäß habe im Boden eine Ausflußöffnung, durch welche der Ausfluß stattfindet.

Wir machen folgende Voraussetzungen:

1) Der kleinste Querschnitt F des Gefäßes sei noch bedeutend größer als der Querschnitt f der Ausflußmündung.

es soll in dem bekannten Ausdruck für die theoretische Ausfluggeschwindigkeit

$$v = \sqrt{\frac{2gh}{1 - \frac{f^2}{F^2}}}$$

h die hydrostatische Druckhöhe und g die Beschleunigung der Schwere bedeutet, der Bruch $\frac{f^2}{F^2}$ gegen 1 vernachlässigt werden können.

1) Die Flüssigkeit stehe unter demselben Druck an der Mündung wie am Ausfluß.

2) Der Beharrungszustand der Bewegung sei eingetreten.

3) Der Wasserspiegel sinke stetig entsprechend der Aenderung der Ausfluggeschwindigkeit.

4) Die Querschnitte des an sich beliebig gestalteten Gefäßes zeigen nur allmähliche Uebergänge.

Unter diesen Voraussetzungen besteht bekanntlich zwischen theoretischer Ausfluggeschwindigkeit v und der hydrosta-

Druckhöhe h die einfache Beziehung $v = \sqrt{2gh}$, die Flüssigkeit erlangt theoretisch dieselbe Geschwindigkeit, ein schwerer Körper erlangt, wenn er von der Höhe h herabfallen würde. Durch diese Verwandtschaft werden uns die zweckmäßigste, graphische Darstellung der Geschwindigkeit geführt.

Definiren wir in obiger beiderseits auf's Quadrat erhaltene Gleichung $v^2 = 2gh$, h als Abscisse, v als Ordinate eines rechtwinkligen Koordinatensystems, so ist $v^2 = 2gh$ die Gleichung einer Parabel, deren Parameter = g ist, und deren Kenntniß würde uns allein schon in den Stand setzen, die Parabel zu zeichnen, deren Axe vertical (mit der Schwere) und deren Anfangspunkt in der durch die Ausflummündung gelegten Horizontalen sich befindet.

Es bedarf indeß dieser Abstraction nicht. In meiner citirten Abhandlung des „Civilingenieur“ ist Seite 238, V (im Separatwert §. 4) ein Verfahren begründet, um graphisch durch eine Curve dargestellten Gesetzen der beschleunigenden Kraft zeichnerisch das Gesetz der Geschwindigkeit ebenfalls in Gestalt einer Curve zu erhalten. Dieses Verfahren ist so einfach und liefert relativ gute Werthe, daß die Construction der Parabel aus der Beschleunigungsgeraden, welche im vorliegenden Falle die im Bruch g von der Axe der Parabel aufgetragene Verticale von aus diesem Grunde gerechtfertigt erscheint. Hinsichtlich der Art und Weise des Zeichnens verweise ich auf die citirten Stellen und begnüge mich nur, zu wiederholen, daß dieses Verfahren auf dem dort hergeleiteten Satze: „Die Ordinate (beschleunigende Kraft pro Einheitslänge) der Beschleunigungscurve ist die gedrehte Subnormale der Geschwindigkeitscurve.“

In Fig. 1, Taf. 24, ist auf diese Weise über der verticalen Strecke AB, welche gleich der größten hydrostatischen Druckhöhe ist, die Parabel BKEF aus der Beschleunigungsgeraden CD construirt. (Die Construction ist durch die eingetragene Normale der Parabel und den die Drehung der Beschleunigungsordinate in die Abscisse bezeichnenden Viertelkreisbogen angedeutet.)

Demgemäß stellt die Ordinate GE der Parabel, welche in der Verlängerung des beliebig gelegten horizontalen Querschnittes MN liegt, die Ausfluggeschwindigkeit in dem Augenblick dar, wo das Niveau der Flüssigkeit den Querschnitt MN erreicht.

Die zweite Aufgabe, welche für die graphische Ermittelung der Ausflußzeit zuvor gelöst werden muß, ist diejenige, die Geschwindigkeit des sinkenden Wasserspiegels als Function der hydrostatischen Druckhöhe festzustellen. (Wir wollen, der Kürze des Ausdruckes wegen, als Repräsentant der Flüssigkeiten das Wasser einführen.)

Sei f der Querschnitt der Ausflußöffnung, F der Querschnitt MN in der Höhe h, w die Geschwindigkeit des Wassers im Querschnitt MN, v die der Höhe h entsprechende Ausfluggeschwindigkeit, so ist nach dem Princip der Continuität

$$w = \frac{vf}{F}$$

Demnach erhalten wir aus jeder Parabelordinate die Ordinate w der Geschwindigkeitscurve des sinkenden Wasserspiegels, wenn wir jene im Verhältniß von $\frac{f}{F}$ verändern.

Es genügt für das Zeichnen der Curve die Bestimmung nur einiger Werthe von w, da dem continuirlichen Uebergang der Querschnitte des Gefäßes auch ein continuirlicher Verlauf der Curve entspricht. In dieser Weise ist in Fig. 1 die Curve B₁E₁F₁ gezeichnet, die somit das Geschwindigkeitsgesetz des sinkenden Wasserspiegels darstellt.

Nunmehr sind wir im Stande, zeichnerisch die Zeit festzustellen, in welcher der Ausfluß von Statten geht, während der Wasserspiegel um eine bestimmte Höhe herabsinkt.

Nach dem im Anfange dieses Aufsatzes citirten Verfahren construiren wir aus der Geschwindigkeitscurve B₁E₁F₁ die Zeitcurve SPPHL mit Benutzung der passend zu wählenden Geschwindigkeitsstrecke u. Die Zeitcurve hat die in meiner Abhandlung hergeleitete Eigenschaft, daß, während auf der Abscisse der materielle Punkt, gemäß der Geschwindigkeitscurve, sich mit variabler Geschwindigkeit bewegt, der in der Verlängerung der Geschwindigkeitsordinate liegende Punkt der Zeitcurve diese mit constanter Geschwindigkeit u durchläuft, so daß, wenn σ der zurückgelegte Bogen der Zeitcurve ist, die Zeit $t = \frac{\sigma}{u}$ ist.

Im vorliegenden Falle ist an Stelle des materiellen Punktes der sinkende Wasserspiegel getreten. Während der

Wasserspiegel, gemäß der Geschwindigkeitscurve $F_1 E_1$, um die Höhe AG gesunken ist, hat der auf der Verlängerung des obersten Wasserspiegels liegende Punkt L der Zeitcurve den Bogen LH derselben mit der constanten Geschwindigkeit u zurückgelegt. Es ist hiernach $t = \frac{\text{arc } LH}{u}$ gefunden.

Sinkt der Wasserspiegel weiter vom Querschnitt MN bis Null, so ist der Bogen $HPPS$ der Zeitcurve in Rechnung zu ziehen, und wir erhalten die jetzt verflossene Zeit aus der Beziehung $t_1 = \frac{\text{arc } HPPS}{u}$.

Es ist einleuchtend, daß wir auf diese Weise im Stande sind, für jedes beliebig gestaltete Gefäß die Ausflußzeit numerisch zu bestimmen. Ich empfehle, wie ich's bereits für meine graphischen Methoden in der Dynamik angegeben habe, die Construction auf sogenanntem Skizzirpapier (Millimeterpapier), welches eine für diesen Zweck hinreichend genaue Theilung besitzt, vorzunehmen, wodurch man ohne Weiteres in die angenehme Lage versetzt wird, die numerischen Werthe der Ordinaten u. s. w. direct ablesen zu können.

Die graphische Darstellung der Ausflußgeschwindigkeit und Geschwindigkeit des sinkenden Wasserspiegels gestattet ferner, die hydraulische Druckhöhe in jeder Höhe des Gefäßes graphisch als lineare Größe abgreifen zu können.

Bekanntlich ist, wenn der Druck des bewegten Wassers im Querschnitt MN , p ist, der Quotient $\frac{p}{\gamma}$ äquivalent einer gewissen Höhe (γ ist die Gewichtseinheit der Flüssigkeit). Man nennt $\frac{p}{\gamma}$ die hydraulische Druckhöhe und bestimmt dieselbe in der Weise, daß man sagt:

Die hydraulische Druckhöhe ist gleich der hydrostatischen Druckhöhe, vermindert um die Differenz der Druckhöhen, welche den Geschwindigkeiten an der betrachteten Stelle und an der Oberfläche entsprechen.

Sei w die Geschwindigkeit des sinkenden Wasserspiegels in der Höhe h , w_1 diejenige in der Höhe h_1 , so ist

$$\frac{p}{\gamma} = h_1 - \left(\frac{w^2}{2g} - \frac{w_1^2}{2g} \right).$$

Die Größen w und w_1 sind uns in den Ordinaten AF_1 und GE_1 der Geschwindigkeitscurve des sinkenden Wasserspiegels gegeben. Legen wir durch die Endpunkte F_1 und E_1 derselben zwei Verticalen, so schneiden dieselben die Parabel der Ausflußgeschwindigkeiten, in den Punkten K und J . Nun ist aber, von B als Nullpunkt angerechnet, die Abscisse des Punktes $K = \frac{w^2}{2g}$, diejenige des Punktes $J = \frac{w_1^2}{2g}$, demnach die Höhendifferenz JR der beiden Punkte K und J gleich der Differenz $\frac{w^2}{2g} - \frac{w_1^2}{2g}$, mithin ist auch

die hydraulische Druckhöhe, gleich der Differenz $BG - JR$, graphisch gefunden.

b) Graphische Bestimmung der bezüglichen Größen für den allgemeineren Fall.

Wir streichen die Voraussetzung 2) unter a), d. h. auf der Oberfläche der Flüssigkeit lastet der Druck P . In diesem Falle verwandelt man bekanntlich den Druck P in eine Flüssigkeitssäule von der Höhe H , so daß $\frac{P}{\gamma} = H$ ist (γ = Gewichtseinheit der Flüssigkeit) und man erhält die theoretische Ausflußgeschwindigkeit durch die Gleichung

$$v = \sqrt{2g(h + H)}.$$

Hiernach bleibt für unsere graphische Construction die Parabel der theoretischen Ausflußgeschwindigkeit mit dem Parameter g ungeändert bestehen, die einer gewissen Höhe h entsprechende Ausflußgeschwindigkeit v ist aber nicht durch die der Höhe h entsprechende Ordinate der Parabel gegeben, sondern durch eine, welche um H höher liegt. Denken wir uns in der Höhe $h + H$ einen ideellen Wasserspiegel, so haben wir diesen complicirteren Fall auf den unter a) behandelten einfacheren zurückgeführt, vorausgesetzt, daß wir im Stande sind, zu jeder Höhe h die entsprechende Höhe H zu construiren und hinzu zu addiren. Meistentheils ist der Druck P als Function des Weges, welchen der wirkliche Wasserspiegel zurücklegt, zu bestimmen, besonders in dem Falle, daß der Druck, welcher auf der Flüssigkeit lastet, von einem permanenten Gas herrührt (Atmosphärische Luft, Kohlensäure etc.) und dasselbe sich nach dem Mariotte'schen Gesetz umgekehrt proportional dem Volumen ändert (was bekanntlich bei un- geänderter Temperatur des eingeschlossenen Gases stattfindet).

Graphisch kann freilich die Ermittlung des bezüglichen Werthes H aus der gegebenen Anfangsspannung und dem Volumen des gegebenen Gefäßes bei complicirter Gestalt des Letzteren nicht ganz leicht ausfallen. Jedenfalls läßt sich aber voraussehen, daß die graphische Bestimmung der Querschnitte, welche gleiche Volumina des Gefäßes einschließen, mit Hilfe von Multiplications- und Quadrirungstabellen u. s. w. und demzufolge auch eine graphische Bestimmung der bezüglichen Höhen H eine leichtere und sichere sein wird, als solche auf Grund der reinen Rechnung vorgenommen werden kann.

In dem einfachen Falle, daß der Querschnitt des Gefäßes durchweg constant und der Druck des eingeschlossenen Gases durch einen ebenen zur Axe des Gefäßes normalen Boden aufgenommen wird, ist die graphische Ermittlung der Höhen H sehr leicht. Eine gleiche Höhengtheilung des Gefäßes liefert sofort Werthe, welche im Verhältniß von 1 : 1 verändert, also in einem passenden Maßstabe gemessen, die Höhen H geben, also auch die jeder hydrostatischen Höhe h ent-

nahenden Ausflußgeschwindigkeiten v . Zieht man die Endpunkte der bezeichneten Parabelordinaten vertical auf die Verlängerung der wirklichen Wasserlinie, so erhält man in der sinnlichen Verbindung dieser Ordinaten die Curve der Ausflußgeschwindigkeit, bezogen auf den wirklichen Wasserpegel.

Aus den Ordinaten dieser Curve leiten wir nun für mehrere Querschnitte den Werth $w = \frac{vf}{F}$, wie dies unter 1) geschah, her, und erhalten durch Auftragen derselben von allen Geschwindigkeitscurven gemeinschaftlichen verticalen Wisse die Geschwindigkeitscurve des sinkenden Wasserspiegels.

Die graphische Bestimmung der Zeit geschieht nun in der unter a) angegebenen Weise.

Wir streichen außer Voraussetzung 2) noch Voraussetzung 1), d. h. es sei der Bruch $\left(\frac{f}{F}\right)^2$ gegen 1 nicht zu vernachlässigen.

In diesem Falle gelingt die graphische Darstellung der Ausflußgeschwindigkeit u. s. w. nur, wenn der Querschnitt F des Gefäßes constant ist. Dann ist in dem Ausdruck für die theoretische Ausflußgeschwindigkeit

$$v = \sqrt{\frac{2g(h+H)}{1 - \frac{f^2}{F^2}}},$$

als Parameter der Parabel die Strecke $\frac{g}{1 - \frac{f^2}{F^2}}$ zu berechnen

und mit dieser Größe die Parabel der theoretischen Ausflußgeschwindigkeit zu construiren. Die Beschleunigungsgerade AD in Fig. 1 hat also von der verticalen Axe der Parabel den Abstand $\frac{g}{1 - \frac{f^2}{F^2}}$. Die Construction der Geschwindigkeitscurve des sinkenden Wasserspiegels erfolgt nun genau in der angegebenen Weise, wobei zu erwähnen ist, daß in Folge des constanten Werthes $\frac{f}{F}$ die Ordinaten w proportional den Ordinaten v der Curve der Ausflußgeschwindigkeit sind, ebenso erfolgt auch die Construction der Zeitcurve.

Allein die graphische Bestimmung der hydraulischen Druckhöhe verlangt die Verzeichnung einer Geschwindigkeitsparabel mit dem Parameter g , da die Differenz $\frac{w^2}{2g} - \frac{w_1^2}{2g}$ von dem Werthe $\frac{f^2}{F^2}$ insofern unbeeinflusst bleibt, als derselbe bei der Bestimmung der Ordinaten w und w_1 bereits berücksichtigt ist.

Die Differenz $\frac{w^2}{2g} - \frac{w_1^2}{2g}$ findet man als Höhendifferenz zweier Parabelordinaten, welche man erhält, wenn man

die Endpunkte der Ordinaten w und w_1 vertical auf die Parabel vom Parameter g projicirt.

Es darf wohl kaum erwähnt werden, daß hier, wie in dem kurz vorher behandelten Falle, die hydrostatische Druckhöhe im Ausdruck für die hydraulische Druckhöhe gleich $h + H$ ist.

c) Berücksichtigung der hydraulischen Erfahrungscoefficienten bei unsern graphischen Methoden.

Die Erfahrung lehrt, daß die wirkliche Ausflußgeschwindigkeit kleiner ist als die theoretische, und daß die Größe der Verminderung abhängig ist von der Gestalt der Ausflußöffnung, deren Rändern und der Contraction des ausfließenden Strahles.

Man nennt den Bruch, mit welchem man die theoretische Ausflußgeschwindigkeit zu multipliciren hat, um die wirkliche zu finden, Geschwindigkeitscoefficient und bezeichnet ihn mit φ . Der Bruch dagegen, mit dem man die Ausflußöffnung zu multipliciren hat, um den kleinsten Querschnitt des ausgeflossenen Strahles zu finden, heißt Contractionscoefficient und man bezeichnet ihn mit ψ .

Demnach ist für unsern einfachen Fall a) zunächst die wirkliche Ausflußgeschwindigkeit

$$v = \varphi \sqrt{2gh}.$$

Quadrirt giebt

$$v^2 = 2\varphi^2 gh.$$

Definiren wir $\varphi^2 g$ als Parameter der Geschwindigkeitsparabel, so hat das Verzeichnen derselben in der unter a) angegebenen Weise durchaus keine größere Schwierigkeit. Die Beschleunigungsgerade hat nur den Abstand $\varphi^2 g$ statt g von der verticalen Abscisse. Wir sind also im Stande, ebenso leicht wie früher die wirklichen Ausflußgeschwindigkeiten ebenfalls graphisch durch die Ordinaten einer Parabel darzustellen. Bei glatten Rändern der Ausflußöffnung ist nach Weisbach im Mittel $\varphi = 0,97$.

Bei Berücksichtigung der Contraction haben wir in der Gleichung für die Geschwindigkeit des sinkenden Wasserspiegels den Ausdruck rechts mit dem Contractionscoefficienten ψ zu multipliciren, so daß wir also die wirkliche Geschwindigkeit w des sinkenden Wasserspiegels finden, wenn wir die Ordinaten v der Parabel der wirklichen Ausflußgeschwindigkeit mit dem Werth $\frac{\psi f}{F}$ multipliciren, also $w = \frac{v \cdot \psi f}{F}$ bilden. Als Mittelwerth können wir nach Weisbach $\psi = 0,64$ annehmen.

Somit sind wir auch hier im Stande, ebenso leicht wie früher, die Aenderung der wirklichen Geschwindigkeit des sinkenden Wasserspiegels graphisch durch eine Curve darzustellen und aus dieser durch Construction der Zeitcurve die

wirkliche Zeit des Ausflusses für beliebig zurückgelegte Räume graphisch zu bestimmen.

Auf die graphische Bestimmung der hydraulischen Druckhöhe influiren die Erfahrungscoefficienten nicht, da dieselben bereits in den Werthen w und w_1 berücksichtigt sind.

Auch in den vorhin betrachteten complicirteren Fällen, wo einerseits die Gleichung

$$v = \sqrt{2g(h + H)},$$

andererseits die Gleichung

$$v = \sqrt{\frac{2g(h + H)}{1 - \frac{f^2}{F^2}}}$$

(in letzterer sollte F constant sein) Anwendung fand, lassen sich die bezüglichen Curven der wirklichen Geschwindigkeiten construiren, wenn man die Parabel der Ausflußgeschwindigkeit im ersten Falle mit dem Parameter $\varphi^2 g$, im zweiten Falle mit dem Parameter $\frac{\varphi^2 g}{1 - \frac{f^2}{F^2}}$ construirt, und wiederum

in beiden Fällen die Geschwindigkeit des sinkenden Wasserspiegels aus der Gleichung $w = v \cdot \frac{\psi f}{F}$ ermittelt.

Es ist die Möglichkeit, bei unsern graphischen Methoden, ohne die geringste Erschwerung der Construction, die hydraulischen Erfahrungscoefficienten berücksichtigen zu können, von nicht zu unterschätzender Bedeutung, da von diesem Gesichtspunkte aus die analytische Methode in den allermeisten Fällen nicht zuverlässigere Resultate geben wird, als die graphische Methode.

d) Reduction der Constructionsgrößen.

Die practische Anwendung der graphischen Methoden verlangt eine Feststellung der Maßstäbe, in denen die verschiedenen Geschwindigkeiten, Strecken u. s. w. aufzutragen sind, insbesondere unter Berücksichtigung der practischen Durchführbarkeit auf einem beschränkten Raum, wie derselbe z. B. durch die Größe eines Reißbretts, oder die Größe eines Bogens Skizirpapier (Millimeterpapier) gegeben ist.

In meiner Abhandlung „Begründung graphischer Methoden u. s. w.“ habe ich bereits Heft IV, Seite 248, (Separatabdruck „Versuch einer graphischen Dynamik“ §. 10) darauf hingewiesen und die Coefficienten hergeleitet, die sich aus den für die practische Durchführung der Methoden passend gewählten Maßstäben ergeben, und mit denen die graphisch gefundenen Größen zu multipliciren sind, um die wahren zu finden. Indem ich mich auf das dort Gesagte stütze und die Bezeichnungen beibehalte, insbesondere die in einem gewissen Verhältniß zum wahren Werthe reducirten und aus der Zeichnung abgegriffenen Größen mit einem

Strich oben, die wahren Größen dagegen ohne denselben bezeichne, nehme ich an, daß β der Maßstab sei, in welchem das Gefäß aufgezeichnet wird. Dann ist $h' = \beta h$. Ferner sei der Maßstab, in welchem die Beschleunigung der Schwere g aufgetragen wird α , so daß

$$g' = \alpha g \text{ ist.}$$

Ist dann v' die durch Construction der Parabel erhaltene und im Maßstab der Zeichnung gemessene Ausflußgeschwindigkeit, so ist die wahre Geschwindigkeit wie an der citirten Stelle nachgewiesen

$$\frac{v'}{v} = \sqrt{\alpha \beta},$$

$$\text{also } v = \frac{v'}{\sqrt{\alpha \beta}}.$$

Zum Auftragen der Werthe w als Ordinaten der Geschwindigkeitscurve des sinkenden Wasserspiegels sei ebenfalls ein Maßstab γ gewählt, so daß $w' = \gamma w$ ist; dann folgt, wie ebenfalls an jener Stelle gezeigt ist, wenn t' der durch die Zeitcurve gefundene und vom Maßstabe derselben beeinflusste Werth der Zeit ist, die wahre Zeit

$$t = \frac{\gamma}{\beta} t'.$$

Es wird im Allgemeinen, um die verschiedenen Curven recht deutlich und in einem anschaulichen Verhältniß zu einander zu erhalten, geboten sein, den Maßstab γ wesentlich verschieden von dem Werthe $\sqrt{\alpha \beta}$ zu nehmen. Dies hat zur Folge, daß die unter a) hergeleitete graphische Bestimmung der Differenz $\frac{w^2}{2g} - \frac{w_1^2}{2g}$ nicht ohne Weiteres vorzunehmen ist. Man muß für diesen Fall $\gamma = \sqrt{\alpha \beta}$ wählen und erhält dann, wenn man die gedachte und im Maßstab der Zeichnung genommene Differenz d' nennt, zum Unterschied von der wahren, d

$$d' = \alpha \beta \left(\frac{w^2}{2g} - \frac{w_1^2}{2g} \right).$$

$$d = \alpha \beta d'.$$

Nun ist

$$h' = \frac{h_1'}{\beta},$$

also die hydraulische Druckhöhe $\frac{p}{\gamma}$

$$\frac{p}{\gamma} = h_1 - d = \left(\frac{h_1'}{\beta} - \frac{d'}{\alpha \beta} \right),$$

$$\frac{p}{\gamma} = \frac{1}{\beta} \left(h_1' - \frac{d'}{\alpha} \right).$$

) Praktische Anwendung der graphischen Methode auf ein Beispiel.

Aufgabe. Ein horizontal liegender cylindrischer Behälter mit ebenen und normal zu den Wänden eingesetzten, von kreisförmigem Querschnitt und 1,6^m Durchmesser, 5^m Länge beträgt, sei bis zur Höhe von 1,4^m mit Wasser angefüllt. Im Boden des Behälters befindet sich eine kreisförmige Ausflußöffnung von 0,1^m Durchmesser. Die Zeit, die durch eine an der obersten Stelle befindliche Oeffnung hinlänglich freien Zutritt.

Es soll die Zeit der Entleerung bestimmt werden.

Graphische Lösung. Fig. 2, Taf. 24. Wir verzeichnen zunächst den kreisförmigen Querschnitt des Behälters in dem verjüngten Maassstabe $\beta = \frac{1}{20}$ und zwar wählen wir, wie bereits bemerkt wurde, zu den nachfolgenden Constructionen Scizirpapier mit Theilung von 1 zu 1 Millimeter. Von der Horizontalen durch den obersten Wasserspiegel tragen wir vertical nach abwärts die anfängliche Höhe B des Wasserspiegels in demselben Maassstabe β ab, so daß $AB = \frac{1400}{20} = 70^{mm}$ ist. Ueber dieser Strecke als Abscisse sollen alle für die graphische Lösung der vorliegenden Aufgabe notwendigen Curven construirt werden.

Für die Construction der Geschwindigkeitsparabel benutzten wir zunächst die Beschleunigung der Schwere g mit φ zu multipliciren. Setzen wir den Geschwindigkeitscoefficienten $\varphi = 0,97$, so ist $\varphi^2 g = 0,97 \cdot 9810^{mm} = 9231^{mm}$, der Parameter der Geschwindigkeitsparabel. Da wir mit dieser Strecke wegen ihrer Größe nicht arbeiten können, so wählen wir einen verjüngten Maassstab $\alpha = \frac{1}{500}$ und tragen (wir bezeichnen die reducirten Größen mit einem Strich oben) $(\varphi^2 g)' = \frac{9231}{500} = 18,48^{mm}$ als horizontale Strecke von der verticalen Abscisse AB nach links auf, so daß die Parallele CD die Beschleunigungsgerade der Parabel ist. Mit Benutzung der in meiner Abhandlung, Civilingenieur, Bd. IV, Jahrg. 1873, Seite 238 (siehe Separatwerk S. 4) gegebenen Methode ist nun aus der Beschleunigungsgeraden D die Parabel BEF construirt. Die Ordinate AF der Parabel in der Verlängerung des obersten Wasserspiegels beträgt $v' = 50,8^{mm}$, mithin ist, da

$$\sqrt{\alpha \beta} = \sqrt{\frac{1}{20} \cdot \frac{1}{500}} = \frac{1}{100}$$

, nach der unter c) gegebenen Reductionsformel die wahre Ausflußgeschwindigkeit

Civilingenieur XX.

$$v = \frac{v'}{\sqrt{\alpha \beta}} = 50,8 \cdot 100 = 5080^{mm}$$

pro Secunde.

Sinkt beispielsweise der Wasserspiegel in Folge der Entleerung um 660^{mm}, so daß nunmehr die hydrostatische Druckhöhe BG = 1400 — 660 = 740^{mm} beträgt, so ist die entsprechende Ausflußgeschwindigkeit durch die Ordinate GE = 38^{mm} der Parabel gegeben; die wirkliche Ausflußgeschwindigkeit ist mithin $v = 100 \cdot 38 = 3800^{mm}$. Auf diese Weise haben wir sofort für jede Höhe des Wasserspiegels in der Ordinate der Parabel die Ausflußgeschwindigkeit bestimmt.

Für die Construction der Geschwindigkeitscurve des sinkenden Wasserspiegels benutzen wir die unter c) gegebene Beziehung $w = \frac{v \psi f}{F}$.

Es ist für den vorliegenden Fall, da die Oeffnung aus einem runden Loch mit platten Rändern besteht

$$\psi = 0,64, f = 100^2 \frac{\pi}{4} = 7854^{mm^2}$$

Nennen wir d die jeweilige horizontale Sehne des Kreises, l die Länge des Blechcylinders, so ist

$$F = ld = 5000 \cdot d,$$

also

$$w = \frac{v}{d} \cdot \frac{0,64 \cdot 7854}{5000},$$

$$w = \frac{v}{d} \cdot 1,0053.$$

Mit Vernachlässigung der Decimalstellen und Einführung des Maassstabes $\gamma = 5$ für die Ordinaten w' haben wir also zur Berechnung derselben die einfache Gleichung

$$w = 5 \cdot \frac{v}{d}.$$

Hiernach sind nun in Fig. 2, Taf. 24, die Ordinaten w' in Abständen von 10^{mm} berechnet, aufgetragen und auf diese Weise die Geschwindigkeitscurve KE₁F₁ des sinkenden Wasserspiegels construirt.

So ist z. B. die Geschwindigkeit des Wassers im Querschnitt MN = $\frac{GE_1}{\gamma} = \frac{11,5^{mm}}{5} = 2,3^{mm}$ pro Sec.

Die Entleerungszeit ist durch die Zeitcurve bestimmt, welche nach der in meiner Abhandlung, Heft 4, Jahrgang 1873, Seite 242 (§. 8 des Separatwerks) gegebenen Methode construirt ist. In der Zeichnung ist die Geschwindigkeitsstrecke $u = 25^{mm}$, welche zur Construction der Zeitcurve gehört, an zwei Stellen zwischen der Abscisse und Geschwindigkeitscurve des sinkenden Wasserspiegels einpunktirt, sowie tangential an den entsprechenden Punkten der Zeitcurve angetragen. Aus räumlichen Rücksichten ist das obere Ende

der Zeitcurve parallel sich selbst näher an die Abscisse verlegt. In Wirklichkeit ist der Bogen HL der Zeitcurve die Fortsetzung des Bogens KH. Nennen wir die Länge des rectificirten Bogens HL σ , so ist im Maßstab der Zeichnung gemessen $\sigma = 56,5^{\text{mm}}$. Bilden wir den Quotienten $\frac{\sigma}{u}$, so folgt $t' = \frac{\sigma}{u} = \frac{56,5}{25} = 2,26$ und mit Berücksichtigung der unter d) gegebenen Reductionsformel die wahre Entleerungszeit t , bis der Wasserspiegel den Querschnitt MN, (also auch der auf der Zeitcurve mit constanter Geschwindigkeit u sich bewegende Hilfspunkt μ) den Endpunkt H erreicht hat,

$$t = \frac{\gamma}{\beta} t' = \frac{5}{1} \cdot 2,26$$

$$t = 226 \text{ Sekunden.}$$

Ebenso finden wir die der Strecke GB entsprechende Entleerungszeit t_1 , wenn wir die Länge σ_1 des rectificirten Bogens KH durch u dividiren und mit dem Verhältniß $\frac{\gamma}{\beta}$ multipliciren. Es ist $\sigma_1 = 96^{\text{mm}}$ also

$$t_1 = \frac{\gamma}{\beta} \cdot \frac{\sigma_1}{u} = \frac{5}{1} \cdot \frac{96}{25},$$

$$t_1 = 384 \text{ Sekunden.}$$

Die totale Entleerungszeit der gesammten Wassermasse ist somit

$$T = t + t_1 = 610 \text{ Sekunden,}$$

$$T = 10 \text{ Min. } 10 \text{ Sec.}$$

Der kreisförmige Querschnitt gestattet, die Entleerungszeit auf rein analytischem Wege zu berechnen, da das bez. Integral auf einen geschlossenen algebraischen Ausdruck zurückgeführt werden kann. Es ist uns dadurch das Mittel in die Hand gegeben, einen interessanten Vergleich der durch Rechnung und graphische Construction gefundenen Resultate anzustellen und auf diese Weise die Größe der Ungenauigkeit, welche immerhin den graphischen Constructionen anhaftet, im vorliegenden Falle zu bestimmen.

Die analytische Berechnung der Entleerungszeit für einen kreisförmigen Querschnitt wird in Lehrbüchern der Mechanik, wie folgt, vorgenommen:

Ist dQ das im unendlich kleinen Zeitelement dt ausfließende Wasserquantum, so ist mit Beibehaltung der früheren Bezeichnung ($\varphi \cdot \psi = \mu$ gesetzt)

$$dQ = \mu f \sqrt{2gh} dt.$$

In derselben Zeit ist der Wasserspiegel F um dh gesunken, mithin muß $dQ = -F dh$ sein, demnach folgt

$$\mu f \sqrt{2gh} dt = -F dh$$

$$dt = -\frac{1}{\mu f \sqrt{2g}} \frac{F dh}{\sqrt{h}}.$$

Zwischen den Höhen h_1 und h_2 integrirt ($h_1 > h_2$)

$$t = -\frac{1}{\mu f \sqrt{2g}} \int_{h_2}^{h_1} \frac{F dh}{\sqrt{h}}.$$

Sei die der Höhe h zugehörige horizontale Kreis d und D der Durchmesser des Kreises, so ist

$$\frac{d}{2} = \sqrt{h(D-h)}$$

$$F = ld = 2l \sqrt{h(D-h)},$$

demnach wird

$$\int_{h_2}^{h_1} \frac{F dh}{\sqrt{h}} = 2l \int_{h_2}^{h_1} \frac{\sqrt{h(D-h)} dh}{\sqrt{h}},$$

also

$$t = -\frac{2l}{\mu f \sqrt{2g}} \int_{h_2}^{h_1} \sqrt{D-h} dh,$$

woraus durch Ausführung des Integrals

$$t = \left\{ (D-h_2)^{3/2} - (D-h_1)^{3/2} \right\} \frac{4l}{3\mu f \sqrt{2g}}$$

folgt.

Setzen wir nun in vorstehende Gleichung die Werthe

$$l = 5000, \quad \mu = \varphi \cdot \psi = 0,97 \cdot 0,64 = 0,621,$$

$$f = 7854, \quad g = 9810, \quad D = 1600,$$

$$h_2 = 0, \quad h_1 = 1400,$$

so folgt die totale Entleerungszeit $T = 614$. Die physische Methode hatte den Werth $T = 610$ gegeben. durch die Ungenauigkeit der Construction entstandene weichung vom wahren Werthe beträgt demnach im vorliegenden Falle noch nicht 1 Procent.

Es ist dies ein sehr günstiges Resultat, welches allein die Richtigkeit unserer graphischen Methoden haupt bestätigt, sondern auch lehrt, daß dieselben für tische Aufgaben hinreichend genaue Resultate liefern

f) Anwendung der graphischen Methode für den Fall, daß die Ausflußöffnung sich in der Seitenwand des Gefäßes befindet.

Die früheren Untersuchungen hatten zur Voraussetzung, daß sich die Ausflußöffnung im Boden des Gefäßes bef. d. h. daß sämtliche Wassertheilchen, welche momentan Ebene der Ausflußöffnung passiren, eine gleiche hydrostatische Druckhöhe haben. Im Folgenden lassen wir diese Voraussetzung fallen und nehmen an, daß sich die bei

ete Oeffnung in der Seitenwand des Gefäßes. Die letztere wollen wir aus practischen als eben annehmen.

Die Ermittlung der bezüglichen Größen auf graphischem Wege wollen wir in diesem Falle uns an die unter a) und b) angegebenen Methoden zu halten. Denken wir uns nämlich die Fläche der Ausflußöffnung durch horizontale Linien in Streifen Δf zerlegt, so können wir hinsichtlich der Geschwindigkeit des Wassers in diesem Streifen, der jetzt u. s. w. unmittelbar diesen Fall auf Fall a) und b) beziehen. Die mit dem Parameter g construirte Geschwindigkeitsparabel liefert uns auch hier in ihren Ordinaten die verschiedenen Ausflußgeschwindigkeiten, welche den verschiedenen Druckhöhen, unter denen sich die verschiedenen Streifen Δf befinden, entsprechen. Wie bei der rechnerischen Lösung des Problems werden wir auch hier das in Zeiteinheit ausfließende Wasserquantum erhalten, sobald

der Summenausdruck $\Sigma(v \Delta f) = \Sigma(\sqrt{2gh} \Delta f)$ zu erhalten ist.

Fig. 3, Taf. 24, ist der trapezförmige Querschnitt eines Behälters (etwa eines Kanals) gezeichnet, aus dessen unterer, ebenfalls trapezförmigen Oeffnung die Flüssigkeit ausfließen soll. Zur numerischen Bildung des Summenausdrucks empfiehlt es sich, die Verticalprojection der Oeffnung in umgekehrter Lage neben der Geschwindigkeitsparabel zu verzeichnen, der Art, daß die in Wirklichkeit am Rande A der Oeffnung in der Linie des Wasserspiegels zu liegen kommt, und sich von dieser abwärts die Parabel erstreckt. Auf diese Weise haben wir unmittelbar die Verlängerung der Verticalprojection des Streifens Δf zugehörige Geschwindigkeit v und $\Sigma(v \Delta f) = \Sigma(\sqrt{2gh} \Delta f)$ ist offenbar proportional dem Volumen eines

Prismas, den wir erhalten, wenn wir uns die Verticalprojection der Ausflußöffnung (in der Zeichnung schraffirt) umrecht zur Bildfläche gedreht und die von jedem Flächenelement senkrecht aufsteigenden Ordinaten durch eine Parabel begrenzt denken, welche längs der Parabel normal zur Seite geführt ist. Nennen wir dieses Volumen Q den Winkel der ebenen Seitenwand des Gefäßes gegen die horizontale α , so ist

$$\Sigma(v \Delta f) = \frac{Q}{\cos \alpha}.$$

Wir hätten also auf diese Weise das in einem bestimmten Zeitmoment ausfließende Wasserquantum für jede beliebige Lage des Wasserspiegels bestimmt. Ist z. B. der Wasserspiegel zum Querschnitt MN des Behälters herabgesunken,

Görlitz, im Mai 1874.

so ist das in diesem Augenblick ausfließende Wasserquantum proportional einem Körpervolumen, dessen eine Projection durch die links schraffirte Trapezfläche und dessen andere Projection durch die rechts schraffirte Parabelfläche gegeben ist, beide unmittelbar unter der Horizontalen des Querschnitts MN befindlich. Der Quotient aus diesem Körpervolumen und dem Cosinus des Winkels α giebt das theoretische Ausflußquantum für den Wasserspiegel MN.

Die nun folgende Aufgabe, das Gesetz der Geschwindigkeit des sinkenden Wasserspiegels graphisch darzustellen, lösen wir in analoger Weise.

In der unter a) gegebenen Beziehung $w = \frac{vf}{F}$ ist vf das pro Zeiteinheit ausfließende Wasserquantum, F der Flächeninhalt des Wasserspiegels an irgend einer Stelle und w die Geschwindigkeit des Wassers in demselben. In unserm vorliegenden Falle haben wir nun statt vf den Summenausdruck $\Sigma(v \Delta f) = \frac{Q}{\cos \alpha}$ einzuführen und erhalten dann die Geschwindigkeit des sinkenden Wasserspiegels aus der Relation

$$w = \frac{Q}{\cos \alpha \cdot F}.$$

Diese Größe im passenden Maasstab senkrecht zur verticalen Abscisse und in der horizontalen Verlängerung des entsprechenden Wasserspiegels aufgetragen, veranschaulicht in einer Curve das Gesetz, nach welchem der Wasserspiegel in Folge des Ausflusses stetig sinkt.

Nunmehr erfolgt aus der Geschwindigkeitscurve des sinkenden Wasserspiegels die graphische Construction der Zeit mittelst der Zeitcurve genau in der unter Fall a) gegebenen Weise.

Die Verminderung des theoretischen Ausflußquantums durch Geschwindigkeitsverlust und Contraction an der Ausflußöffnung berücksichtigt man bei diesem graphischen Verfahren ebenso, wie in der Rechnung dadurch, daß man den für das Ausflußquantum erhaltenen Werth mit dem Ausflußcoefficienten μ multiplicirt.

Findet der Ausfluß aus rectangulären Oeffnungen, deren Seiten horizontal resp. vertical liegen, statt, so gestaltet sich das Verfahren zur Bestimmung des Ausflußquantums wesentlich einfacher. Dann ist der Inhalt des Streifens Δf für alle Druckhöhen innerhalb eines bestimmten Zeitmomentes constant und wir erhalten das vorhin mit Q bezeichnete Körpervolumen, wenn wir die Fläche der rectangulären Oeffnung mit der zugehörigen Parabelfläche multipliciren.

Graphisch-mechanische Bestimmung des äquatorialen Trägheitsmomentes einer gegebenen Figur in Bezug auf eine Schwerpunkts-Achse derselben.

Von

Chr. Nehls,
Ingenieur in Hamburg.

(Hierzu Tafel 24.)

Auf Seite 85 bis 101 dieser Zeitschrift habe ich gezeigt, wie man auf graphischem Wege, mit schließlicher Benützung des Planimeters, für gegebene Figuren bestimmte Integrale irgend welcher Art lösen kann. Die aus der angegebenen Methode abgeleiteten Constructionen für statische Momente und Trägheitsmomente lassen nach meiner Ansicht an Einfachheit einzeln zwar wenig zu wünschen übrig; da es aber bei Trägheitsmomenten meistens auf solche Achsen ankommt, die durch den Schwerpunkt der betreffenden Figur verlaufen, so will ich nachstehend im Anschluß an die frühere Abhandlung noch ein Verfahren beschreiben, welches diese Doppelaufgabe in möglichst einfacher Weise löst.

Arbeitet man mit orthogonalen Coordinaten x und y und betrachtet die X -Achse derselben als Momentenachse, so werden das statische Moment M_1 und das Trägheitsmoment M_2 der gegebenen Figur durch folgende Gleichungen dargestellt:

$$M_1 = \iint y \cdot dy \, dx,$$

$$M_2 = \iint y^2 \cdot dy \, dx;$$

die Integrale beziehen sich dabei auf die ganze Fläche der Figur. Aus der letzten Gleichung ergibt sich für das Trägheitsmoment M_2 in Bezug auf eine Achse AA (Fig. 1), deren Gleichung $y = +a$ ist, der folgende Ausdruck:

$$M_2 = \iint (y - a)^2 dy \, dx,$$

oder, wenn man das Quadrat auflöst:

$$M_2 = \iint y^2 \cdot dy \, dx - 2a \iint y \cdot dy \, dx + a^2 \iint dy \, dx;$$

und wenn man für die beiden ersten Integrale ihre obigen

Werthe einführt und die Fläche $\iint dy \, dx = F$ setzt:

$$M_2 = M_2 - 2a \cdot M_1 + a^2 \cdot F.$$

Soll die neue Achse AA durch den Schwerpunkt der Figur gehen, so muß a gleich dem Abstände des Schwerpunktes von der X -Achse sein und demnach stattfinden:

$$a \cdot F = M_1, \text{ also } a^2 \cdot F = a \cdot M_1 \text{ und } a = \frac{M_1}{F}.$$

Führt man diese Beziehungen in die Gleichung für M_2 ein, so bezeichnet letzteres das Trägheitsmoment in Bezug auf die zur X -Achse parallele Schwerpunktsachse; man erhält dafür:

$$M_2 = M_2 - \frac{M_1^2}{F}.$$

Man sieht an dieser Gleichung, daß es zur Lösung der vorgelegten Aufgabe darauf ankommt, für die gegebene X -Achse die Größen M_1 und M_2 gleichzeitig zu bestimmen. Es sind zu dem Ende in die Integrale, welche M_1 und M_2 repräsentiren, derartig neue Variable einzuführen, daß man wo möglich durch eine und dieselbe Construction für irgend einen Punkt in dem Umfang der gegebenen Figur je einen Punkt für M_1 und für M_2 erhält. Eine solche, theoretisch nicht auf Näherung beruhende Lösung ist in folgender Weise möglich:

Man behalte für M_1 die orthogonalen Coordinaten x und y bei, nehme für M_2 aber Polar-Coordinaten r und φ und zähle die Winkel φ von der X -Achse ab; dann ist:

$$M_1 = \iint y \cdot dy \, dx = \frac{1}{2} \int y^2 \cdot dx,$$

$$M_2 = \iint (r \cdot \sin \varphi)^2 r \, d\varphi \cdot dr = \frac{1}{2} \int \frac{(r \cdot r \sin \varphi)^2}{2} d\varphi.$$

Natürlich beziehen sich nach der ersten Integration die Werthe y und r auf den Umfang der Figur, sind also beziehungsweise Ordinaten und Fahrstrahlen desselben. Nach Seite 87 und

Ich will diese Gelegenheit noch benutzen, um ein Paar Fehler, die in meiner früheren Abhandlung bei der Correctur leider übersehen sind, zu corrigiren:

Seite 87, Zeile 6 v. o. lies y^{n+1} statt x^{n+1} .

„ 87 u. 88, 4. Vollzeile v. o. lies k^n statt k_n .

„ 88, Zeile 4 v. u. lies y^n statt x^n .

„ 93, „ 3 v. u. lies dr „ $d\varphi$.

„ 94, „ 10 v. o. lies y „ g .

„ 94, „ 2 v. u. lies y „ y .

Seite 97 und 98, Zeile 2 v. u.: In der Gleichung se-

auf der linken Seite das Glied $\pm c^2 \cdot \frac{Y}{k}$.

„ 99, Zeile 18 v. o. lies: $\alpha^2 y^2$ statt αy^2 .

„ 99, „ 21 v. o. lies: $\left(y \pm \frac{r^2}{2k}\right)^2 + x^2 - \frac{r^2}{4}$

$= 0$, statt $\left(y \pm \frac{r}{2}\right)^2 + x^2 - \frac{r^2}{4} = 0$

Hamburg, Mai 1874.

Vereinfachte Formel zur Berechnung hohler Wellen,

nebst einigen Bemerkungen über die Zulässigkeit von Herrn Prof. Kargl's Methode

zur

Bestimmung der Trägheitsmomente dünnwandiger Träger,

Von

J. J. Reifer, Ingenieur in Winterthur.

Die Festigkeitslehre liefert als Grundformel zur Berechnung von durch Torsion beanspruchten Körpern:

$$I. \quad PR = M = \frac{J_p}{a} \cdot \frac{S}{m} = \frac{J_p}{a} \cdot \mathcal{E},$$

wo den einzelnen Bezeichnungen folgende Bedeutung zukommt:

PR = das auf Drehung wirkende Moment,

J_p = polares Trägheitsmoment,

a = Entfernung der äußersten Faser von der neutralen Axe,

S = Schubspannung pro Flächeneinheit,

m = Sicherheitsgrad, daher

$\frac{S}{m} = \mathcal{E}$ = die pro Flächeneinheit zulässige Spannung.

Für den Kreisring ist, wenn r_a den äußeren und r_i den inneren Halbmesser bedeutet:

$$J_p = 2J = 2 \cdot \frac{\pi}{4} (r_a^4 - r_i^4)$$

und, da $a = r_a$, wird

$$\frac{J_p}{a} = \frac{\pi}{2} \left(\frac{r_a^4 - r_i^4}{r_a} \right).$$

Diesen Werth in I eingesetzt giebt:

$$II. \quad M = \frac{\pi}{2} \left(\frac{r_a^4 - r_i^4}{r_a} \right) \mathcal{E}.$$

Daraus bestimmt man nun die Dimensionen hohler Wellen. Diese Formel ist sehr unbequem und muß es um

so wünschenswerther sein, dieselbe zur logarithmischen Berechnung geeigneter umzuformen, als durch die jetzt üblich Oberwasserzapfen auch häufige Anwendung hohler Wellen bedingt ist.

In Band XVIII, Heft 8, des „Eisingenieur“ hat Herr Prof. Kargl gezeigt, wie sich, bei dünnwandigen Trägern, die Trägheitsmomente einfach berechnen lassen durch Anwendung des Satzes:

Das Trägheitsmoment einer Figur, deren Wandstärke gegen die Dimensionen derselben verschwindend klein sind, das Differenzial des Trägheitsmomentes der vollen Fläche bezogen auf dieselbe Achse.

Auf diese Weise erhält man als Trägheitsmoment des Kreisringes

$$J = d \left(\frac{\pi}{4} r^4 \right) = \frac{\pi}{4} \cdot 4 r^3 dr$$

und das polare Trägheitsmoment:

$$J_p = 2 \cdot \frac{\pi}{4} \cdot 4 r^3 dr,$$

oder wenn man für dr die Wandstärke e setzt:

$$J_p = 2\pi r^3 e,$$

daher

$$\frac{J_p}{a} = 2\pi r^2 e$$

eingesetzt in I giebt:

$$III. \quad M = 2\pi r^2 e \mathcal{E};$$

Ueber Schiffs-Dampfmaschinen.

Von

Gisbert Kapp, Ingenieur in Pola.

Bekanntlich hat Rußland unter allen Seemächten die neuesten und originellsten Schiffs-Typen. Ob die dadurch bedingte Verschiedenheit der einzelnen Kriegsschiffe die Wehrkraft der ganzen Flotte in einem zu ihren enormen Kosten entsprechenden Verhältnisse vermehrt, ist eine Frage, welche so lange unentschieden bleiben muß, als nicht die Marine im allgemeinen aus ihrem jetzigen Stadium fortwährender Experimente in das der practischen Erfolge getreten sein wird. Mögen nun die russischen Constructionen (welche übrigens zum großen Theile aus England stammen) als zweckmäßig befunden werden, oder nicht, immerhin bieten sie für den Techniker interessante Details. So die Maschine der neuen Panzerfregatte Groß-Admiral, von welcher in den Januarheften des englischen Blattes „Engineering“ ziemlich ausführliche Zeichnungen nebst einer kurzen Beschreibung erschienen sind.

Ihre enorme Größe, so wie die eigenthümliche, in manchen Punkten von der gewöhnlichen Norm abweichende Construction sind jedenfalls geeignet, das Interesse der Fachmänner zu erwecken. Eine nähere Besprechung dieser Maschine dürfte deshalb gerechtfertigt erscheinen.

Dieselbe ist eine nach dem sogenannten Dampfhammer-System gebaute Woolf'sche Maschine von 900 nominellen Pferdestärken.*) Bei dem beabsichtigten Kesseldrucke von 60 Pfd. pro Quadrat Zoll soll sie jedoch 6300 Pferdestärken indiciren.

Die Cylinder sind über der Propellerwelle so aufgestellt, daß die Triebstangen von oben herab direct auf die unter 90° verstellten Kurbeln wirken. Der Dampf gelangt zuerst in den Hochdruckcylinder, und nachdem er da einen Theil seiner Arbeit abgegeben, unter einem entsprechend geringeren Drucke in den Niederdruckcylinder, wo er vollständig expandirt und schließlich in den Condensator abgeleitet wird. Dieser ist ein Trocken-Condensator mit 8300 Röhren, welche zu-

sammen eine abkühlende Oberfläche von 13304 Quadrat repräsentiren.

Jeder Cylinder hat einen entlasteten Vertheilungs-Header, welcher durch Excenter bewegt wird. Die Umsteuerung so wie die Veränderung des Füllungsgrades geschieht, in Stephenson'scher Coulißen. Begreiflicher Weise ist Letztere ein großer Fehler, indem bekanntlich die Stephenson'sche Couliße für höhere Expansionsgrade eine sehr günstige Dampfvertheilung ergiebt und deshalb zur Ausrückung des Expansionsgrades nur dort angewendet wird, man bessere Vorrichtungen wegen ihrer Complicirtheit anbringen kann. Bei Schiffsmaschinen ist man aber dieser Beziehung nicht beschränkt und ist deshalb die Anwendung der Couliße zum Expandiren schon längst ein wundener Standpunkt.

Zur Bewegung der Coulißen dient eine Hilfsmaschine. Diese besteht aus einem kleinen Dampfzylinder mit Pleistollen, dessen Pleistange mittelst einiger Winkelhebel die Coulißen wirkt. Durch einen von Hand stellt Schieber kann der Maschinist auf die eine oder andere Seite des Pleistollens Dampf geben, wodurch dieser und mit ihm die Coulißen in der gewünschten Richtung bewegt werden. Da die Bewegung nicht zu heftig erfolge, ist eine Art Bremsse angebracht. Der Pleistoll des Dampfpleistollens nämlich mittelst zwei steifer Arme mit einer zweiten parallel Pleistange verbunden, deren Pleistoll sich in einem mit Oel gefüllten Cylinder bewegt. Die Enden dieses Pleistollens sind durch ein Rohr mit einem Hahne verbunden, so daß man durch Regulirung desselben die Bewegung des Pleistollens und gleichzeitig des ganzen Steuermechanismus beliebig langsam und ruhig machen kann. Zwei Handpleistänge mit Zahngetriebe ermöglichen es übrigens auch, jede Pleistange für sich mittelst Handkraft umzusteuern.

Gegenüber den gewöhnlich gebräuchlichen kleinen Pleistoll-Dampfmaschinen hat der eben beschriebene Apparat den Vortheil großer Einfachheit, Solidität und directer, bestimmter Wirkung.

Interessant ist die Anbringung der Cylinder; beide

*) Nach der englischen Admiraltätsformel werden die nominellen Pferdestärken unter der Voraussetzung eines constanten Ueberdruckes auf den Pleistoll von 7 Pfd. pro Quadrat Zoll berechnet.

Die Aufstellung der vier Cylinder ist bei Schiffsmaschinen sehr verschieden. Entweder steht der kleine Cylinder über dem großen, oder er steckt in demselben, oder endlich, er ist daneben angebracht. In letzterem Falle sind die Kolbenstangen durch Traversen verbunden. Während die erste Anordnung wegen der großen Höhe, die der Bau verlangt, unbequem ist, bei der zweiten die Abdichtung der nach Innen zu spannenden Kolbenringe eine große Schwierigkeit bietet, hat die dritte Anordnung den Nachtheil, daß, vorausgesetzt auch, der Druck auf beide Kolben sei für eine bestimmte Kesselspannung und ein bestimmtes Expansionsverhältniß gleich, bei jeder Aenderung derselben auch die Kraftentwicklung beider Kolben verschieden wird, was die Kolbenstangen sowohl, als auch die Traversen auf Biegung in Anspruch nimmt. Noch eine vierte Aufstellungsart ist zu erwähnen; die beiden Kolben bewegen sich gleichzeitig, aber nicht mit, sondern gegen einander, so daß die entsprechenden Kurbeln einen Winkel von 180° einschließen. Durch diese Anordnung erreicht man erstens kurze directe Dampfwege, also einen geringen schädlichen Raum, und zweitens den nicht zu unterschätzenden Vortheil, daß die Lager der Maschinenwelle zum großen Theil entlastet werden.

Wie schon erwähnt wurde, verlangen alle diese Systeme von Schiffsmaschinen die Anwendung von vier Cylindern. Will man zwei davon ersparen, so müssen die Kurbeln nicht unter 180° , sondern unter 90° angebracht werden, eine directe Dampfleitung aus dem Hoch in den Niederdruckcylinder ist nicht mehr zulässig und der Vortheil eines constanten Ueberdruckes in ersterem wird deshalb illusorisch. Wenn der frisch ankommende Dampf eine Spannung von 75 Pfd. hat, (also 60 Pfd. + Atmosphärendruck) und man läßt ihn im kleinen Cylinder bis auf 40 Pfd., im großen bis auf 5 Pfd. expandiren, so arbeitet jeder Cylinder mit einem Ueberdruck von 35 Pfd. und die Wirkungsweise der combinirten Maschine ist die gleiche, als die einer einfachen Zwillingmaschine, welche mit einer Admissionspannung von 40 Pfd. und einem Condensatordruck von 5 Pfd. arbeitet. Ihr Vortheil besteht nun darin, daß man den billigeren Dampf hoher Spannung verwenden kann, während doch gewisse Constructionstheile nur so stark zu sein brauchen, als es die Anwendung eines mittleren Dampfdruckes bei Maschinen gewöhnlichen Systemes bedingen würde.

Dieser auf den ersten Blick enorm erscheinende Vortheil erweist sich bei näherer Betrachtung doch nicht als so bedeutend, da er sich nur auf die wenigen, direct unter dem Einflusse des Ueberdruckes stehenden Maschinentheile bezieht. Diese sind: Kolben, Kolbenstange, Triebstange, Kurbel und Kreuzkopfzapfen. Die Wandstärke der Cylinder und Schieberkästen muß jedenfalls so groß sein, als es der absolute Dampfdruck verlangt, während sich die Dimensionen der übrigen Einzelstücke nicht nach dem Admissions-Ueberdruck,

sondern nach dem mittleren Ueberdruck, resp. nach der gesamten, durch die Maschine zu entwickelnden Arbeitsgrößen richten müssen.

Dazu kommt noch der Umstand, daß bei Schiffsmaschinen die Constructionstheile wegen zufälliger plötzlicher Anstößen (Wellenschlag gegen den Propeller, Rückwärtschlagen desselben, während das Schiff noch volle Fahrt vorwärts hat u. s. w.) doch schon an und für sich etwas stärker gehalten sein müssen, als es ein ruhiger gleichmäßiger Gang erfordern würde, mithin die gesteigerte Beanspruchung am Anfange jeden Kolbenhubes ebenfalls ertragen können. Es ist eine oft gehörte Behauptung, daß das Compound-System gegenüber anderen Maschinen-Systemen einen in ökonomischer Beziehung vortheilhafteren Betrieb gestattet. Man sucht diese Behauptung dadurch zu motiviren, daß in Folge der bei Maschinen einfachen Systemes größeren Spannungs- und Temperaturdifferenzen vor und hinter dem Kolben auch die dabei stattfindenden Dampfverluste größer als bei combinirten Maschinen ausfallen. Trotz dieser gewiß richtigen Folgerung hat man mit den letzteren bei Versuchen keine erhebliche Kohlenersparniß nachweisen können, was wohl hauptsächlich dem Umstande zuzuschreiben ist, daß die oben angegebenen Dampfverluste ihrer Natur nach gering sind, also ein Mehr oder Weniger derselben nicht ins Gewicht fällt. So hat denn das combinirte System bei stabilen Dampfmaschinen, wo doch eine hohe Spannung und ein geringer Füllungsgrad angewendet wird, nicht viel Eingang gefunden. Daß es auch für Schiffsmaschinen keine besonderen Vortheile bietet, beweisen die mehrfach zwischen Compound- und einfachen Maschinen angestellten Versuche. Es möge hier, nach der Naval Science einer derselben angeführt werden. Derselbe wurde mit den beiden englischen Kanonenbooten Goshamk (Compound-Maschine) und Swinger (einfache Maschine) angestellt.

Die Resultate waren folgende:

		Goshamk.	Swinger
Bei voller Maschinenkraft	Kesseldruck	60 Pfd.	60 Pfd.
	Indicirte Pferdekraft .	374,7	363,8
	Kohlenverbrauch pro indicirte Pferdekraft		
	und Stunde	2,60 Pfd.	2,61 Pfd.
Bei sehr geringer Kraftentwicklung	Indicirte Pferdekraft .	82	77
	Kohlenverbrauch pro indicirte Pferdekraft		
	und Stunde	2,14 Pfd.	2,07 Pfd.
	Schiffsgeschwindigkeit pro Stunde	6 Meil.	6 Meil.

an sich also einerseits keine stichhaltigen Gründe für Anwendung des Compound-Systemes auf Schiffen ansetzen, so sprechen doch andererseits einige Gründe dagegen. Diese sind: Complicirter Bau, schwierige Wartung und Instandhaltung, große Anlagelasten in Folge des vergrößerten Gewichtes*) und der unsymmetrischen Anordnung. Ist auch deshalb ein Uebelstand, weil man genöthigt Reservetheile doppelt mitzunehmen.

Wir haben uns bisher immer nur mit der Maschine beschäftigt, ohne gleichzeitig auf die Kessel Rücksicht zu nehmen.

Diese bilden jedoch einen so wichtigen Factor in der Dampfschiffahrt, daß es gerechtfertigt erscheint, in die Betrachtung zu ziehen.

Die höchste Verdampfungsfähigkeit in kleinem Raume bei kleinem Kohlenverbrauche, Zugänglichkeit der einzelnen Theile zur Reinigung und Reparatur, ein großer Dampfraum, Druck bei genügender Sicherheit im Betriebe, tiefe Lage des Kessels und günstige Ausnutzung des Schiffsraumes sind Bedingungen eines guten Kessels. Da sich diese Anforderungen zum Theil widersprechen, so ist begreiflicherweise nach dem besten Typus für Schiffskessel nicht sofort zu entscheiden. Die vielen im Laufe der Zeit aufgetretenen Formen zeigen aber, daß dieses Problem, je nach besonderen localen Verhältnissen, oder der individuellen Ansicht der Constructeure, welche einer oder der anderen Bedingung vornehmlich Rechnung zu tragen auf sehr verschiedene Weise gelöst werden kann.

In Rücksicht auf ökonomischen Betrieb sind cylindrische Kessel sehr anzuzuführen; allein sie haben den Nachtheil, daß sie sich der Schiffsform nicht gut anpassen, viel Raum einnehmen und in der Regel über die Höhe des Schiffes hinausragen, was bei Kriegsschiffen der feindlichen Beobachtung halber vermieden werden soll. Man findet allerdings auch auf Kanonenbooten cylindrische Kessel installiert, welche unter der Wasserlinie liegen. Das geschieht aber zu Lasten ihres Dampfdruckes, der dadurch so klein wird, daß die Art Kessel bei bewegter See oder forcirtem Betriebe leicht überkochen und deshalb, trotz ihrer genügend großen Höhe, doch das Fahren mit voller Kraft selten gestatten. Die meisten der cylindrischen sind heutzutage hauptsächlich als Kasten- oder Kofferförmigen Kessel in Anwendung. Die flache, dem Schiffskörper angepasste Wände, innere Feuerrohre, Siederöhren und neuester Zeit auch besondere Vorrichtungen. Diese sind nach Art der Siederöhren angeordnet, dem Unterschiede, daß sie senkrecht stehen, ganz im

Dampfraum liegen und nicht von der directen Flamme, sondern von den abziehenden Feuergasen erwärmt werden. Bevor der Dampf den Kessel verläßt, muß er bei den Ueberhitzungsrohren vorbeistreichen und wird da getrocknet.

Diese Gattung Kessel nützen durch ihre Form den Schiffsraum sehr gut aus, liegen ganz unter der Wasserlinie, haben aber doch einen hinreichend großen Dampfraum, weshalb sie auch seltener überkochen, und ein sehr bedeutendes Verdampfungsvermögen. Die Kessel der Fregatte Groß-Admiral haben bei einer äußeren Oberfläche von nur 576 □ Fuß eine Heizfläche von 18144 □ Fuß und eine Ueberhitzungsfläche von 1982 □ Fuß. Trotz der vielen Vorzüge dieses Systemes kann es doch nicht unbedingt angerathen werden, da es auch seine bedeutenden Uebelstände hat. Diese sind der geringe Dampfdruck, die flachen Wände und die dadurch nöthig gemachten Verankerungen. Um den Dampfdruck auszuhalten zu können, müssen nämlich gegenüberliegende Kesselwände mittelst Zugstangen, welche in gegenseitigen Abständen von 12 bis 18 Zoll quadratisch angeordnet sind, verankert werden. Abgesehen davon, daß diese Anker selbst sehr bald durch Abrosten schwächer werden und nachlassen, bilden sie eine mittelbare Ursache der Corrosion des eigentlichen Kesselbleches, indem dasselbe in Folge galvanischer Ströme an jenen Stellen zuerst durchrostet, wo die Verankerungen befestigt sind.

Man ist deshalb in der Regel schon nach zwei- bis dreijährigem Gebrauche genöthigt, mit einem etwas geringeren Drucke zu fahren. Größere Reparaturen bedürftig oder ganz dienstuntauglich werden die Kessel bei Kriegsschiffen nach ca. 5 jährigem, bei Handelsschiffen, wo selten eine forcirte Leistung verlangt wird und die Bedienung eine sehr sorgfältige ist, nach ca. 10 jährigem Gebrauche.

Es ist jedem Maschinenisten bekannt, daß die Dauer eines Schiffskessels nicht von der Stärke seiner Construction, also Dicke des Bleches, Anzahl und Stärke der Verankerungen etc., sondern von der Güte des Materiales, Sorgfältigkeit der Ausführung und vornehmlich von einem rationellen Betriebe abhängt. Ein für 60 Pfd. Dampfdruck construirter Kessel dauert deshalb nicht länger als einer für 30 Pfd. Unter übrigens gleichen Umständen werden beide in derselben Zeit zerstört werden. Wenn nun auch einerseits ein hoher Dampfdruck mit Rücksicht auf ökonomischen Betrieb sehr wünschbar ist, so bedingt er wieder bedeutend größere Kosten der ganzen Kessel-Anlage, ohne daß dadurch ihre Dauer wesentlich erhöht wird. Was auf der einen Seite an Kosten erspart wird, geht auf der andern durch die Mehrkosten der Anlage und Reparaturen ganz oder zum Theil wieder verloren. Die Praxis hat zwischen diesen beiden, in ökonomischer Beziehung gleich wichtigen Factoren den richtigen Mittelweg gefunden in der Anwendung einer Dampfspannung von 2 bis 3 Atmosphären. Man nimmt an, daß eine zwischen diesen Grenzen liegende Spannung, sowohl in Bezug auf Kosten der Kessel-

Wie Ledieu zuerst nachgewiesen hat, kann dieselbe Arbeit, die ein Cylinder leisten, mit der gleichen Dampfmenge auch allein ein Hochdruckcylinder entwickelt werden wonach der Hochdruckcylinder überflüssige Zugabe erscheint.

anlage, als auch in Bezug auf Kohlenersparniß die günstigsten Resultate liefere.

Dieser bisherigen Ansicht entgegen, will man die Kessel des Groß-Admiral mit 60 Pfd., d. i. 4 Atm., belasten. Es werden uns durch dieses in großem Maasstabe angelegte Experiment jedenfalls interessante Aufschlüsse über die Zweckmäßigkeit so hoher Dampfspannungen bei viereckigen, flachwandigen Schiffskesseln geboten werden.

So lange die Frage jedoch noch unentschieden bleibt und nicht eine ganze Reihe von Experimenten zu Gunsten einer höheren, als der bisher üblichen Dampfspannung spricht, dürfen wir dieselbe nicht überschreiten. Daraus folgt, daß für hohen Druck, also billigen Betrieb die cylindrischen den flachwandigen Kesseln vorzuziehen seien. Sie sind es aber auch in Bezug auf Sicherheit des Betriebes, wie durch die in jüngster Zeit in Amerika vorgenommenen Experimente über Kesselexplosionen nachgewiesen wurde.

Die aus den obigen Betrachtungen folgenden praktischen

Schlüsse lassen sich in wenig Worten zusammen fassen und stimmen mit dem Programme der modernen Richtung im Schiffsmaschinenbau überein. Nur in Fällen, wo eine gebundene Raumaussnützung Hauptbedingung ist, sind Kessel mit flachen Wänden und Verankerungen zu installieren. Zur Verminderung des Eigengewichtes dieser Kessel empfiehlt es sich (vornehmlich bei Eisenschiffen) die flachen Böden unter den Kasten wegzulassen, was auch in Bezug auf Reinigung ein Vortheil ist. Günstigste Dampfspannung: 2 bis 3 Atm. Ueberdruck.

Wo immer thunlich, sind jedoch cylindrische Hochdruckkessel, und zwar mit großem Dampfdruck, anzuwenden. Die Maschine soll von möglichst compacter, einfacher und symmetrischer Construction sein, besonders aber ein leichtes und schnelles Manövriren zulassen. Das Woolf'sche System bietet keine wesentlichen Vorzüge und sind deshalb einfache Zwillingmaschinen, aber mit guten Expansionssteuerungen, vorzuziehen.

Theorie der hyperbolischen Räder.

Von

Professor Dr. **Rirsch** in Chemnitz.

1) Der Umstand, daß hyperbolische Räder von den ausführenden Ingenieuren so selten angewendet werden, ist wohl hauptsächlich darauf zurückzuführen, daß die Verzeichnung derselben eine ziemlich umständliche und daher nicht in dem erwünschten Grade genaue ist; denn der Hauptnachtheil solcher Räder, das Vorhandensein einer Gleitung in der Richtung der Längsachse des Zahnes, ist in manchen Fällen, besonders bei geringem Abstände der beiden sich kreuzenden Drehachsen, nicht so erheblich, daß das gewöhnliche Auskunftsmittel, die Anordnung von Zwischenrädern, dadurch unbedingt gerechtfertigt würde.

Von der gewöhnlich üblichen Methode der Verzeichnung abgesehen, ist aber im Grunde genommen ein hyperbolisches Rad nicht viel schwerer anzufertigen, als ein conisches, denn wie jenes besteht es, — allerdings nur annäherungsweise, aber für die praktische Ausführung bei einigermaßen großer Zähnezahl genau genug, — aus einem abgestumpften Kegels als Grundkörper und aus conischen Zähnen, welche letztere, anstatt grade, unter einem gewissen Winkel schief auf dem Mantel des

Kegels sitzen. Lassen sich nun der conische Grundkörper des Rades und der Zahn, jeder für sich, auf leichte Weise construiren, so ist nichts einfacher, als auf dem Mantel des fertigen Radkörpers die Richtungslinien der Zähne unter dem berechneten Winkel vorzureißen und die Zähne in dieser Richtung auf den Mantel aufzusetzen, resp. herauszuschneiden.

Im Folgenden soll nun gezeigt werden, wie sich die in Frage kommenden Constructionstheile ziemlich einfach ermitteln lassen, so daß für die Fälle der praktischen Anwendung, außer einer rein mechanischen kleinen numerischen Berechnung, weiter nichts zu thun übrig bleibt, als den conischen Grundkörper und einen Zahn nach den berechneten Dimensionen zu verzeichnen.

2) Das Problem, zwei Rotationskörper zu finden, welche sich als Grundformen für Zahnräder eignen, läuft geometrisch auf folgende Untersuchung hinaus: Eine Linie ABC (Fig. 1) rotire das eine Mal um eine Achse LM, das andre Mal um eine Achse PQ; in Folge der ersten Bewegung gelangt sie in der Zeit dt in eine benachbarte Lage A'B'C',

$$v_x = q \omega \sin \lambda,$$

$$v_y = (x - p) \omega \sin \lambda,$$

$$v_z = -q \omega \cos \lambda \cos \varphi - (x - p) \omega \cos \lambda \sin \varphi.$$

Ebenso liefert die Rotation ω' um die durch D' gehende Achse die Componenten

$$v_x' = q' \omega' \sin \lambda',$$

$$v_y' = (x - p') \omega' \sin \lambda',$$

$$v_z' = -q' \omega' \cos \lambda' \cos \varphi - (x - p') \omega' \cos \lambda' \sin \varphi.$$

Soll nun die gewünschte Uebereinstimmung vorhanden sein, so ist hinreichend und erforderlich, daß für jeden Punkt A, d. h. für jeden Werth von x , die Gleichungen

$$v_y = v_y', \quad v_z = v_z'$$

erfüllt seien, während die Geschwindigkeiten v_x und v_x' längs der erzeugenden Geraden willkürlich sein dürfen.

Aus $v_y = v_y'$ folgt zunächst, weil x willkürlich ist

$$\omega \sin \lambda = \omega' \sin \lambda' \quad \dots \quad (1)$$

und daraus wiederum

$$p = p' \quad \dots \quad (2)$$

Aus $v_z = v_z'$ folgt ebenso wegen des willkürlichen Werthes, den x haben darf,

$$\omega \cos \lambda \sin \varphi = \omega' \cos \lambda' \sin \varphi,$$

oder

$$(\omega \cos \lambda - \omega' \cos \lambda') \sin \varphi = 0,$$

welcher Gleichung entweder durch die Annahme

$$\omega \cos \lambda = \omega' \cos \lambda'$$

oder durch die Annahme $\varphi = 0$ genügt werden kann. Wollten wir die erstere Annahme zulassen, so würde aus $v_z = v_z'$ auch noch

$$q = q'$$

und in Verbindung damit aus (1) und (2) schließlich

$$p = p', \quad q = q', \quad \omega = \omega', \quad \lambda = \lambda'$$

folgen, was nur der analytische Ausdruck des selbstverständlichen Factums ist, daß die Rotation um zwei zusammenfassende Achsen auch eine Lösung liefert. Da wir mit dieser nichts anfangen können, müssen wir die andere Annahme

$$\varphi = 0 \quad \dots \quad (3)$$

treffen, wonach sich die Bedingung $v_z = v_z'$ reducirt auf

$$q \omega \cos \lambda = q' \omega' \cos \lambda'. \quad \dots \quad (4)$$

Die Gleichung (2) drückt aus, daß die Verbindungslinie DD' senkrecht auf der erzeugenden Geraden steht, und da, wegen $\varphi = 0$, die Linie DD' auch senkrecht zu den beiden Rotationsachsen ist, so läßt sich das Ergebnis der bisherigen Untersuchung dahin zusammenfassen:

Damit zwei Hyperboloide als Grundformen zweier verzahnter Räder, welche mit den Winkelgeschwindigkeiten ω und ω' rotiren sollen, brauchbar sind, muß die erzeugende Gerade, d. i. die ge-

rade Verührungslinie beider Hyperboloide senkrecht auf der gemeinsamen Normalen der beiden Rotationsachsen stehen und dieselbe schneiden. Die Abstände q, q' der erzeugenden Geraden von den Achsen, die Winkel λ und λ' derselben mit den Achsen und die Winkelgeschwindigkeiten ω und ω' müssen die Relationen erfüllen:

$$\left. \begin{aligned} \omega \sin \lambda &= \omega' \sin \lambda' \\ q \omega \cos \lambda &= q' \omega' \cos \lambda' \end{aligned} \right\} \quad \dots$$

3) Nachdem diese allgemeinen Bedingungen gefunden sind, können wir unter Berücksichtigung des Umstandes, daß hyperbolische Räder wohl ohne Ausnahme als außen verzahnte Räder construirt werden, von der Annahme eines Coordinatensystems absehen und einfacher die Lage der Rotationsachsen in Bezug auf die Ebene, welche durch die gemeinsame Normale DD' (Fig. 3) der beiden Achsen und durch erzeugende Gerade AB geht, beziehen.

Man erhält dann direct die beiden letzten Gleichungen, denn wenn man ω und ω' in ihre beiden Componen-

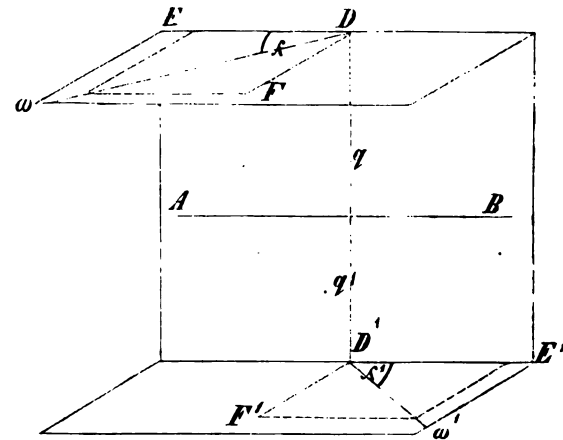


Fig. 3.

längs DE und DF , resp. $D'E'$ und $D'F'$ zerlegt und berücksichtigt, daß diese Componenten resp. $\omega \cos \lambda, \omega \sin \lambda, \omega' \cos \lambda', \omega' \sin \lambda'$ betragen, so findet man, daß die Rotation um DE sowohl, als um $D'E'$ die erzeugende Gerade parallel mit sich selbst in einer zur Ebene DAB senkrechten Richtung nach hinten führt, und zwar mit den Geschwindigkeiten $q \omega \cos \lambda$ resp. $q' \omega' \cos \lambda'$; da beide übereinstimmen müssen, wird wie oben

$$q \omega \cos \lambda = q' \omega' \cos \lambda'.$$

Die andere Componente $\omega \sin \lambda$ um die Achse $DF, D'F'$ bewirkt eine Drehung der Geraden AB in der Ebene ABD mit der Winkelgeschwindigkeit $\omega \sin \lambda$; diese muß übereinstimmen mit der von ω' herrührenden Drehungscomponente in derselben Ebene, also wird

$$\omega \sin \lambda = \omega' \sin \lambda',$$

von weniger als dreißig Zähnen nie anzuwenden, es sei denn, daß man sich durch eine besondere Untersuchung von der Zulässigkeit einer so geringen Zähnezahl überzeugt hätte.

6) Wir berechnen zunächst die mittleren Radien $KM = r$ und $K'M' = r'$ (Fig. 4) der beiden Räder.

Bezeichnen wir die Länge CQ (Fig. 5), um welche der Mittelpunkt C des erzeugenden geraden Elementes AB von

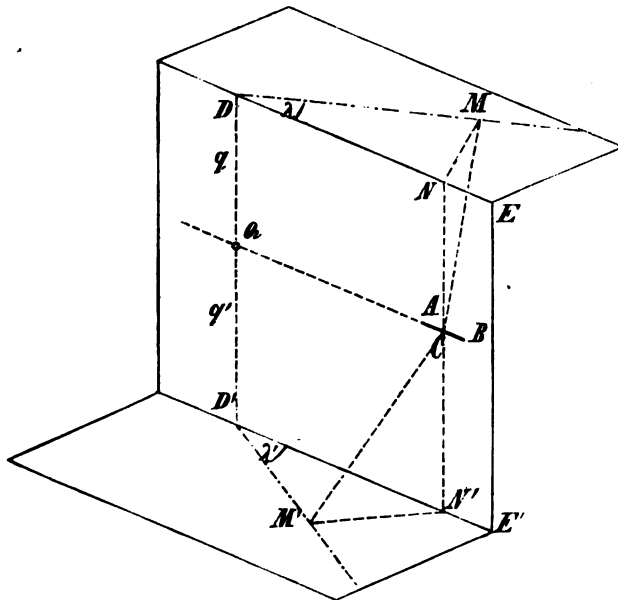


Fig. 5.

der gemeinsamen Achsennormale absteht, mit b , fällen nunmehr von C aus die Normale CN auf DE und von N aus die Normale NM auf die durch D gehende Rotationsachse ω , so steht auch CM senkrecht auf ω , daher ist $CM = r$, folglich

$$\begin{aligned} r^2 &= CN^2 + MN^2 \\ &= q^2 + b^2 \sin^2 \lambda, \\ r &= \sqrt{q^2 + b^2 \sin^2 \lambda}, \text{ ebenso} \\ r' &= \sqrt{q'^2 + b^2 \sin^2 \lambda'} \end{aligned} \quad (10)$$

Die Höhe $OM = h$ (Fig. 4 und 5) desjenigen Kegels, welcher das Hyperboloid an der betreffenden Stelle berührt, wird am einfachsten durch folgende Betrachtung erhalten. Lassen wir den Punkt C in Gedanken um das Stück db längs der Geraden AB vorrücken, so geht der Abstand r über in $r + dr$ und es ist wegen

$$\begin{aligned} r^2 &= q^2 + b^2 \sin^2 \lambda, \\ 2r dr &= 2b db \cdot \sin^2 \lambda, \text{ folglich} \\ dr &= \frac{b \sin^2 \lambda}{r} db. \end{aligned}$$

Hierbei rückt, da $DM = b \cos \lambda$ ist, der Fußpunkt M um $\cos \lambda \cdot db$ vorwärts; dies liefert die Proportion

$$h:r = dh:dr = \cos \lambda db : \frac{b \sin^2 \lambda}{r} db,$$

oder

$$\left. \begin{aligned} h &= \frac{r^2 \cos \lambda}{b \sin^2 \lambda} \\ h' &= \frac{r'^2 \cos \lambda'}{b \sin^2 \lambda'} \end{aligned} \right\} \dots \dots$$

Die Stücke $DM = c$ und $D'M' = c'$, um die Mittelebenen der beiden Räder von den Fußpunkten D und D' der gemeinsamen Achsennormale abstehen, sind

$$\left. \begin{aligned} c &= b \cos \lambda \\ c' &= b \cos \lambda' \end{aligned} \right\} \dots \dots$$

Durch die Größen r, h, c ist der Radkörper dessen Stellung auf der Rotationsachse bestimmt und mittelst der gegebenen Größen a, α, n, n' und b .

7) Es erübrigt nun noch, die Dimensionen eines Zahnes und dessen Stellung auf dem Mantel des Kegels zu ermitteln.

Wir bestimmen zunächst die Querschnittsböden, indem wir durch die Mitte eines Zahnes, normal zur Rotationsachse desselben einen Schnitt legen und untersuchen, welcher Radius R und die Theilung t eines Stirnrades müsse, damit ihm der gleiche Zahnquerschnitt zukomme.

Die Geschwindigkeit, mit welcher der Mittelpunkt O des Zahnes senkrecht zu seiner Längsrichtung fortschreitet, die beiden Componenten

$$q \omega \cos \lambda \text{ und } b \omega \sin \lambda.$$

Die erstere senkrecht zu AB und NN' (Fig. 5), die längs NN' gerichtet. Die absolute Geschwindigkeit, welcher der Zahn seitlich fortschreitet (also von dem in der Längsrichtung abgesehen) ist demnach

$$\omega \sqrt{q^2 \cos^2 \lambda + b^2 \sin^2 \lambda}.$$

Hierbei rotirt der Zahn mit einer Winkelgeschwindigkeit, welche der Componente $\omega \cos \lambda$ von ω gleich ist, um eigene Längsachse und es ist nun das gleichzeitige Fortschreiten und Drehen des Zahnes äquivalent einer kreisförmigen Bewegung desselben um einen in der Entfernung

$$R = \frac{\text{Peripheriegeschwindigkeit}}{\text{Winkelgeschwindigkeit}} = \frac{\omega \sqrt{q^2 \cos^2 \lambda + b^2 \sin^2 \lambda}}{\omega \cos \lambda}$$

liegenden Mittelpunkt. Demnach wird

$$\left. \begin{aligned} R &= \sqrt{q^2 + b^2 \tan^2 \lambda} \\ R' &= \sqrt{q'^2 + b^2 \tan^2 \lambda'} \end{aligned} \right\} \dots \dots (1)$$

zwei Gleichungen, welche man ohne Mühe auf rein geometrischem Wege ableiten kann, indem man durch den Punkt eine zu AB normale Ebene legt und den Abstand desjenigen Punktes ermittelt, in welchem diese Ebene die Rotationsachse schneidet.

Die Theilung t , das ist der mittlere normal zur Längsrichtung des Zahnes gemessene Abstand zweier aufeinander folgenden Zähne ergibt sich aus der Betrachtung, daß

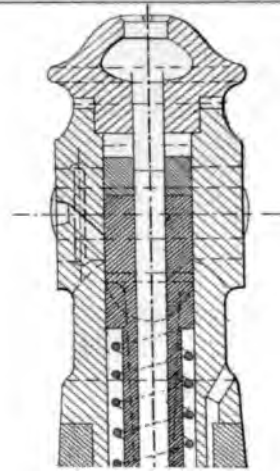
Civ

Neue Folge, Band XX Taf. 20-21.

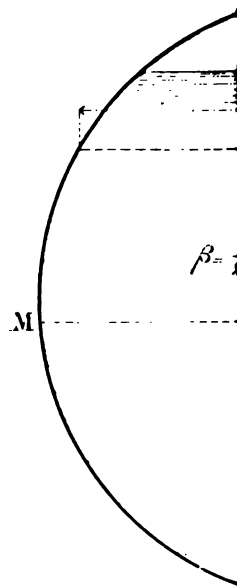
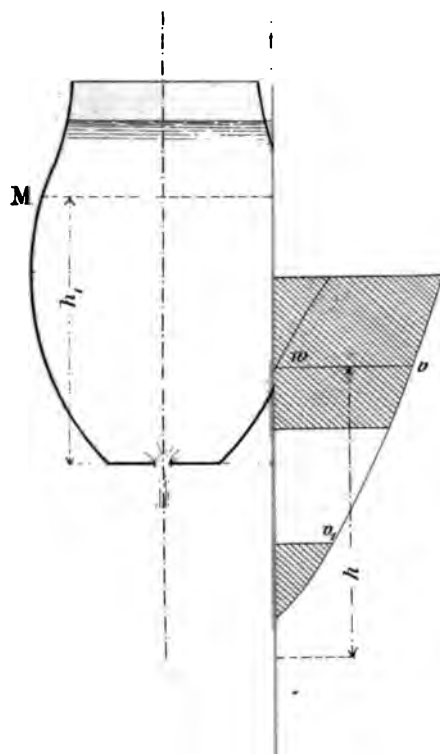


THE NEW YORK
PUBLIC LIBRARY
ASTOR LENOX AND
TILDEN FOUNDATIONS

Regulator
mit 500 Umgängen pro Min.
zur Dampfmaschine
von 100^{mm} Durchm 200^{mm} Hub u.
180 Umgäng. gehörig.



THE NEW YORK
PUBLIC LIBRARY
ASTOR, LENOX AND
TILDEN FOUNDATIONS



Nehls, graph.-mechan. Bestimmung des äquatorialen Trägheitsmomentes.

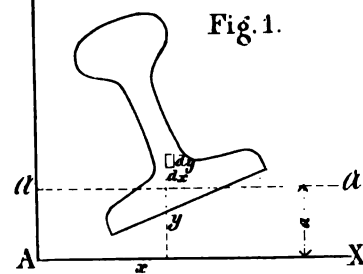


Fig. 1.

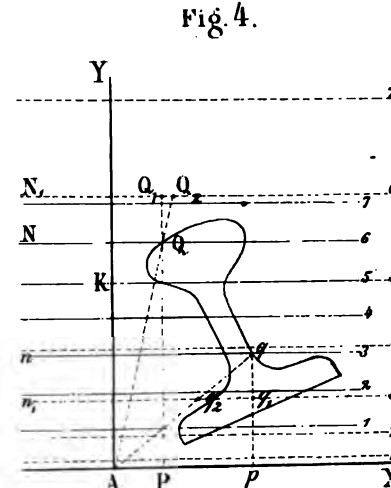


Fig. 4.

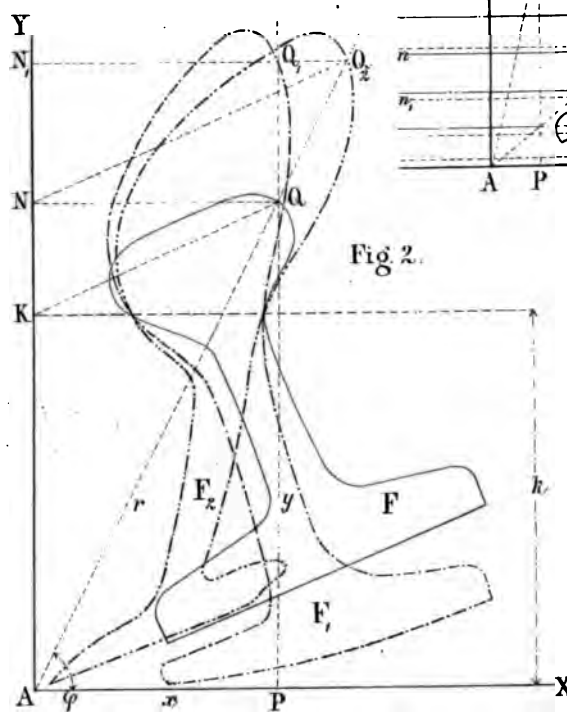


Fig. 2.

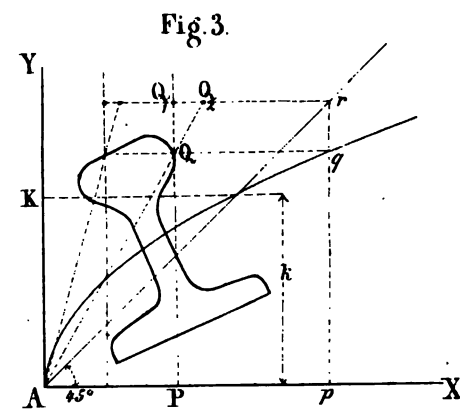


Fig. 3.

THE NEW
PUBLIC
ASTOR, L.
TILDEN &

THE NEW YORK
PUBLIC LIBRARY
ASTOR, L.
TILDEN &

$$\omega \sqrt{q^2 \cos^2 \lambda + b^2 \sin^2 \lambda}$$

Schwindigkeit der Bewegung in dieser Richtung ist; wir nun das fertige Rad grade so schnell gedreht, jeder Zeiteinheit ein neuer Zahn zur Verührung gewas doch zulässig ist, da die absolute Umdrehungsdigkei zweier Zahnräder keinen Einfluß auf die Zahn- it, so wird bei n Zähnen

$$n\omega = 2\pi,$$

$$\text{folglich } \omega = \frac{2\pi}{n}, \text{ und daher}$$

$$\left. \begin{aligned} t &= \frac{2\pi}{n} \sqrt{q^2 \cos^2 \lambda + b^2 \sin^2 \lambda} \\ t' &= \frac{2\pi}{n'} \sqrt{q'^2 \cos^2 \lambda' + b'^2 \sin^2 \lambda'} \end{aligned} \right\} \quad (15)$$

schreiben wir diese Ausdrücke in der Form:

$$t = \frac{2\pi}{nn'} \sqrt{(qn' \cos \lambda)^2 + (bn' \sin \lambda)^2}$$

$$t' = \frac{2\pi}{nn'} \sqrt{(q'n \cos \lambda')^2 + (b'n \sin \lambda')^2}$$

berücksichtigen die Fundamentalgleichungen (8), so er-
h

$$t = t',$$

lation, deren Nothwendigkeit von vorn herein ersicht-

Um den Winkel γ zu finden, welchen die Längsachse
ahnes mit der Kegelseite bildet, berücksichtigen wir,
Theilung t denselben Winkel γ mit der Peripherie
des einschließt; längs der Peripherie gemessen beträgt
 r Bogen zwischen zwei aufeinanderfolgenden Zähnen

$$\frac{2r\pi}{n},$$

wird

$$t = \frac{2r\pi}{n} \cos \gamma, \text{ oder}$$

$$\cos \gamma = \frac{nt}{2r\pi},$$

folgt

$$r \cos \gamma = \sqrt{q^2 \cos^2 \lambda + b^2 \sin^2 \lambda},$$

$$r^2 \cos^2 \gamma = q^2 \cos^2 \lambda + b^2 \sin^2 \lambda,$$

$$r^2 \sin^2 \gamma = r^2 - q^2 \cos^2 \lambda - b^2 \sin^2 \lambda,$$

it Benützung der Gleichung (10)

$$r^2 \sin^2 \gamma = q^2 - q^2 \cos^2 \lambda = q^2 \sin^2 \lambda$$

$$\left. \begin{aligned} \sin \gamma &= \frac{q}{r} \sin \lambda \\ \sin \gamma' &= \frac{q'}{r'} \sin \lambda' \end{aligned} \right\} \quad (17)$$

bleibt hiernach schließlich nur noch der Convergenz-
er Zahnflanken, oder vielmehr dessen Abstand e von
ngénieur XX.

der durch die Mitte des Zahnes gehenden Normalebene FG
(Fig. 6) zu bestimmen.

Denken wir auf dem Regel KM (Fig. 4) zwei aufein-
anderfolgende Seitenlinien gezogen, deren mittlerer Abstand
 dx sein möge, so convergiren dieselben in dem Punkte O ,
also in der Entfernung $\sqrt{r^2 + h^2}$ von der Mitte C des
Zahnes; tragen wir nun an jede dieser beiden unendlich
nahen convergirenden Linien den Winkel γ an, so bilden die

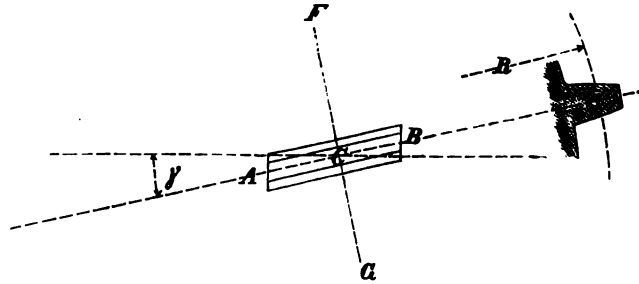


Fig. 6.

beiden Schenkel, welche entstehen, denselben unendlich kleinen
Winkel mit einander, wie jene beiden Kegelseiten; der nor-
male Abstand dieser beiden neuen Schenkel beträgt aber nicht
mehr dx , sondern $dx \cos \gamma$, folglich convergiren diese beiden
Linien nicht nach einem Punkte in der Entfernung $\sqrt{r^2 + h^2}$,
sondern nach einem Punkte, dessen Entfernung gleich ist
 $\cos \gamma \sqrt{r^2 + h^2}$; somit ist

$$e = \sqrt{r^2 + h^2} \cdot \cos \gamma,$$

oder wegen (10), (11) und (17)

$$e^2 = (r^2 + h^2) (1 - \sin^2 \gamma)$$

$$= \left(r^2 + \frac{r^4 \cos^2 \lambda}{b^2 \sin^4 \lambda} \right) \left(1 - \frac{q^2}{r^2} \sin^2 \lambda \right)$$

$$= \frac{b^2 \sin^4 \lambda + q^2 \cos^2 \lambda + b^2 \sin^2 \lambda \cos^2 \lambda}{b^2 \sin^4 \lambda} (q^2 + b^2 \sin^2 \lambda - q^2 \sin^2 \lambda)$$

$$= \frac{(b^2 \sin^2 \lambda + q^2 \cos^2 \lambda)^2}{b^2 \sin^4 \lambda},$$

folglich

$$e = \frac{b^2 \sin^2 \lambda + q^2 \cos^2 \lambda}{b \sin^2 \lambda},$$

oder endlich

$$\left. \begin{aligned} e &= b + \frac{q^2}{b} \cot^2 \lambda \\ e' &= b + \frac{q'^2}{b} \cot^2 \lambda' \end{aligned} \right\} \quad (18)$$

Da aus den Gleichungen (8) sich

$$q \cot \lambda = q' \cot \lambda'$$

ergiebt, so ist hiernach

$$e = e', \quad (19)$$

wie dies von vornherein zu erwarten war.

Bei der Verzeichnung des Rades ist übrigens darauf Rücksicht zu nehmen, daß die Projection S des Punktes, nach welchem die Kopf- und Fuß-Endflächen eines Zahnes convergiren, nicht in dem Abstände q von C liegt; vielmehr wird, weil der Zahn unter dem Winkel γ gegen die Ebene der Zeichnung geneigt ist, das Zusammentreffen der projectirten Flanken bereits in der Entfernung

$$CS = q \cos \gamma$$

(Fig. 7) erfolgen.

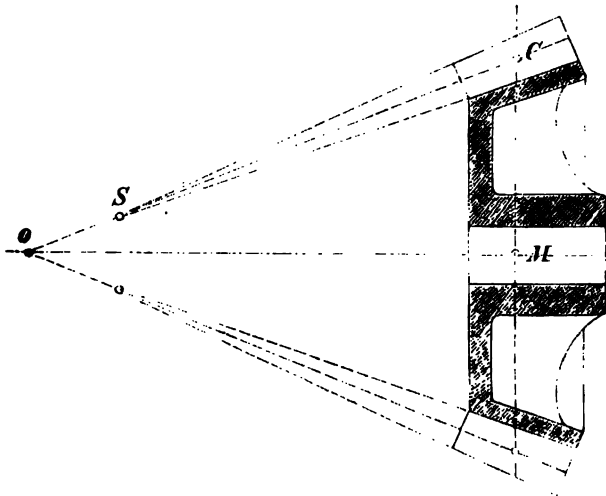


Fig. 7.

9) Nennen wir P den Druck normal zur Zahnflanke, so ist, weil die Geschwindigkeit in dieser Richtung genommen, gleich

$$\omega \sqrt{q^2 \cos^2 \lambda + b^2 \sin^2 \lambda}$$

ist, (13), die übertragene Arbeitsleistung

$$P \omega \sqrt{q^2 \cos^2 \lambda + b^2 \sin^2 \lambda}.$$

Die Gleitungsgeschwindigkeit der Zahnflanken ist nach (6)

$$v = q \omega \sin \lambda + q' \omega' \sin \lambda',$$

oder mit Berücksichtigung von (5)

$$v = q \omega \sin \lambda + q' \omega \sin \lambda = a \omega \sin \lambda,$$

daher der Reibungsverlust pro Secunde

$$\mu P \cdot a \omega \sin \lambda.$$

Der relative Verlust in Folge des Gleitens der Zähne beträgt demnach

$$\eta = \frac{\mu P a \omega \sin \lambda}{P \omega \sqrt{q^2 \cos^2 \lambda + b^2 \sin^2 \lambda}} \quad \text{oder}$$

$$\eta = \frac{a \mu}{\sqrt{b^2 + q^2 \cotg^2 \lambda}} \quad (20)$$

woraus man erkennt, daß er um so kleiner ausfällt, je größer man b wählt. Aus der Form des Ausdruckes η folgt, daß stets

$$\eta < \frac{a}{b} \mu$$

ist, welchem Grenzwerthe es sich um so mehr nähert, je größer b im Verhältniß zu a ist. Nimmt man $\mu = 0,15$ bis $0,20$ so braucht man nur $b > 3a$ bis $4a$ zu nehmen, um zu bewirken, daß die gleitende Reibung weniger als 5 Procent der übertragenen Leistung absorbiert. Bei kleinem a ist dies ganz gut thunlich, folglich der Verlust in diesem Falle kleiner als beim Einschalten eines Hilfsräderpaars.

10) Soll das eine zweier hyperbolischen Räder ein Stirnrad werden, so muß

$$\gamma = 0, \quad h = \infty$$

werden, was nur möglich ist, (11 und 17), wenn $\lambda = 0$, also wegen (9) auch $\alpha = 0$ ist; dann wird aber zugleich $\lambda' = 0$ und

$$\gamma' = 0, \quad h' = \infty,$$

folglich wird auch das zugehörige Rad ein Stirnrad. Niemals kann also ein hyperbolisches Rad mit einem Stirnrad richtig arbeiten.

Soll das eine Rad in ein Regelrad übergehen, so muß

$$\gamma = 0$$

sein, welches eintritt, wenn entweder $\lambda = 0$ oder $q = 0$ wird; der erstere Fall ist unzulässig, weil er $h = \infty$, also ein Stirnrad liefert; der andere Fall $q = 0$ kann aber nur eintreten, (9^a) wenn

$$n^2 + n n' \cos \alpha = 0$$

oder

$$\cos \alpha = -\frac{n}{n'}$$

wird. In diesem Falle wird $\tg \lambda' = \infty$ (9), also $\cos \lambda' = 0$ und in Folge dessen

$$h' = 0,$$

d. h. das zugehörige hyperbolische Rad geht dann in eine Scheibe (Planrad) über; der Querschnitt der Zähne wird wegen $R' = \infty$ gleich demjenigen der Zähne einer Zahnstange.

11) Die im Vorstehenden gewonnenen Resultate lassen sich nun, wie folgt, zusammenfassen.

Es sind gegeben:

- a Abstand der beiden Drehachsen,
- α Winkel der beiden Drehachsen,
- n, n' Zähnezahl der beiden Räder,
- b mittlere Entfernung der Eingriffsstelle von der Achsen-normale a .

Es bedeuten:

- r, r' die Radien der Räder, von Mitte Zahn an gemessen,
- h, h' Höhen der Radfelge,
- c, c' Abstand der Radebene (Ebene, in welcher sämtliche Zahnmittelpunkte liegen) von der Achsen-normale a .

R, R' Radien der Theilkreise für die Construction des mittleren Zahnprofils,

t, t' Theilung,

γ, γ' Winkel zwischen der Längsachse eines Zahnes und der Kegelseite,

e, e' Entfernung des Convergenzpunktes der Zahnflanken von Mitte Zahn,

η relativer Verlust durch die gleitende Reibung der Räderzähne.

Man berechnet zunächst die Hilfsgrößen λ, λ', q, q' mittelst der Gleichungen

$$\operatorname{tg} \lambda = \frac{n \sin \alpha}{n' + n \cos \alpha},$$

$$\operatorname{tg} \lambda' = \frac{n' \sin \alpha}{n + n' \cos \alpha},$$

$$q = a \frac{n^2 + n n' \cos \alpha}{n^2 + 2 n n' \cos \alpha + n'^2},$$

$$q' = a \frac{n'^2 + n n' \cos \alpha}{n^2 + 2 n n' \cos \alpha + n'^2};$$

man ist

$$r = \sqrt{q^2 + b^2 \sin^2 \lambda} \quad r' = \sqrt{q'^2 + b^2 \sin^2 \lambda'}$$

$$h = \frac{r^2 \cos \lambda}{b \sin^2 \lambda} \quad h' = \frac{r'^2 \cos \lambda'}{b \sin^2 \lambda'}$$

$$c = b \cos \lambda \quad c' = b \cos \lambda'$$

$$R = \sqrt{q^2 + b^2 \operatorname{tg}^2 \lambda} \quad R' = \sqrt{q'^2 + b^2 \operatorname{tg}^2 \lambda'}$$

$$t = t' = \frac{2\pi}{n} \sqrt{q^2 \cos^2 \lambda + b^2 \sin^2 \lambda},$$

$$\sin \gamma = \frac{q}{r} \sin \lambda \quad \sin \gamma' = \frac{q'}{r'} \sin \lambda'$$

$$e = e' = b + \frac{q^2}{b} \cotg^2 \lambda,$$

$$\eta = \frac{a\mu}{\sqrt{b^2 + q^2 \cotg^2 \lambda}}$$

12) Beispiele:

1. $\alpha = 0$, Stirnräder.

hier wird $\lambda = \lambda' = 0$

$$q = \frac{a n}{n + n'}, \quad q' = \frac{a n'}{n + n'},$$

folglich

$$r = \frac{a n}{n + n'} \quad r' = \frac{a n'}{n + n'},$$

$$h = \infty$$

$$h' = \infty,$$

$$c = b$$

$$c' = b,$$

$$R = r$$

$$R' = r',$$

$$t = t' = \frac{2 a \pi}{n + n'},$$

$$\gamma = 0$$

$$\gamma' = 0,$$

$$e = \infty$$

$$e' = \infty,$$

$$\eta = 0.$$

2. $a = 0$, Kegerräder.

Hier wird

$$\operatorname{tg} \lambda = \frac{n \sin \alpha}{n' + n \cos \alpha}, \quad \operatorname{tg} \lambda' = \frac{n' \sin \alpha}{n + n' \cos \alpha},$$

$$q = 0,$$

$$q' = 0,$$

folglich

$$r = b \sin \lambda,$$

$$r' = b \sin \lambda',$$

$$h = b \cos \lambda,$$

$$h' = b \cos \lambda',$$

$$c = b \cos \lambda,$$

$$c' = b \cos \lambda',$$

$$R = b \operatorname{tg} \lambda,$$

$$R' = b \operatorname{tg} \lambda',$$

$$t = t' = \frac{2 \pi b \sin \lambda}{n},$$

$$\gamma = 0,$$

$$\gamma' = 0,$$

$$e = b,$$

$$e' = b,$$

$$\eta = 0.$$

3. $a = 120$, $b = 500$, $\alpha = 90^\circ$, $n = 60$, $n' = 40$,
Hyperbolische Räder.

Hier wird

$$\lambda = 56^\circ 18,6',$$

$$\lambda' = 33^\circ 41,4',$$

$$q = 83,08,$$

$$q' = 36,92,$$

folglich

$$r = 424,24,$$

$$r' = 279,80,$$

$$h = 288,41,$$

$$h' = 423,40,$$

$$c = 277,35,$$

$$c' = 416,03,$$

$$R = 754,59,$$

$$R' = 335,37,$$

$$t = 43,83,$$

$$t' = 43,83,$$

$$\gamma = 9^\circ 22,7',$$

$$\gamma' = 4^\circ 11,8',$$

$$e = 506,13,$$

$$e' = 506,13,$$

$$\eta = 0,239 \cdot \mu = 0,038 \text{ für } \mu = 0,16.$$

Heber Fördermaschinen für Kohlengruben.

Von

William Kemp,

Bergdirector auf den Gruben von John Cockerill & Co. zu Seraing.

(Vortrag, gehalten im Iron and Steel-Institute.)

Neben der Versorgung der Kohlengruben mit der gehörigen Maschinerie zur Wasserhaltung, Ventilation und unterirdischen Förderung sind die wichtigsten Betriebsvorrichtungen die Gewinnung der Kohle und die Förderung derselben bis zur Tagesoberfläche. Bei der Gewinnung der Kohle verfolgt man sehr verschiedene Methoden, welche sich den besonderen localen Verhältnissen anzupassen haben, und wobei der Ingenieur die Beschaffenheit und Zusammensetzung der Flöze, die Dichtigkeit und Härte der Kohle, die Neigung der Lagerstätten gegen den Horizont, die Neigung zur Bildung schlagender Wetter und die Natur und Festigkeit des Daches der einzelnen Flöze zu beachten hat.

In dieser Beziehung kann also der Bergingenieur selbster anderweite Erfahrungen benützen, wozu er bezüglich der Maschinerie ein Kohlenbezirk die vortheilhaftesten Einrichtungen anderer Districte nachahmen und ein Bergingenieur seine Erfahrungen durch diejenigen seiner Collegen erweitern kann. Einzelne belgische Kohlenwerksbesitzer haben z. B. die in England übliche Fördermethode mit Kibel und loser Kette angenommen. Was die Fördermaschinen anlangt, so sind die älteren Apparate bei uns beibehalten worden, obgleich die englischen Einrichtungen eingehend studirt worden sind. Und doch ist gerade diese Branche des Bergbaues gegenwärtig von solcher Bedeutung, daß sie die höchste Beachtung der Ingenieure verdient, indem in Folge der bedeutenden Tiefe der Förderlöcher sich durchaus gewisse Abänderungen nöthig machen.

Da ich einen Grubenbetrieb zu leiten habe, dessen Schächte schon beträchtliche Tiefen aufweisen, so habe ich eingehendere Erörterungen darüber angestellt, welche Schwierigkeiten hier vorliegen, und auf welche Weise sie am besten zu überwinden sein dürften, wenn eine ökonomische und regelmäßige Betriebsmethode zu Grunde gelegt wird. Die Ergebnisse, zu denen ich gelangt bin, lege ich hier der Beurtheilung der gewichtigsten Repräsentanten der Bergindustrie vor und ich thue das in der Hoffnung einer freundlichen Aufnahme, da meine

Lütticher Collegen, denen ich bereits meine Ansichten mitzutheilen Gelegenheit hatte, denselben beizupflichten nicht abgeneigt waren.

Mein kurzer Vortrag wird sich zunächst mit den Fördergefäßen und zweitens mit der eigentlichen Fördermaschine und deren gleichförmiger Arbeit beschäftigen.

Es ist kaum nöthig, daran zu erinnern, daß mein Patent bezüglich der Anwendung von Körben oder Tonnen und deren Befestigung vom Monat April 1872 datirt. Die Notiz, welche das System der Regenerirung der Kraft zur Aufgleichung des Seilgewichtes beschreibt, datirt vom October desselben Jahres.

Wenn man die gegenwärtig in Belgien gebräuchlichen Förderseile aufmerksam betrachtet, so erstaunt man über das Mißverhältniß zwischen ihrer Stärke und dem Gewicht der zu hebenden Last. Es liegt dies in dem Gewicht des Hilfsmaterials, welches zum Herausziehen der Kohlen bis zu Tage verwendet wird. Unsere Kohlenlöcher benutzen zu diesem Zwecke keineswegs dasselbe Material, es existiren vielmehr in Wirklichkeit so viel verschiedene Gestelle und Fördergefäße, als Kohlengruben. Nur in dem Punkte stimmt dieses Material unter sich überein, daß sein Gewicht unverhältnißmäßig groß, störend und nutzlos ist. Auch in Frankreich und Deutschland bedient man sich nahezu derselben Apparate. Ob dies in England auch noch der Fall ist, oder ob hier Verbesserungen in dieser Richtung eingeführt worden sind, kann ich nicht sagen, da ich die Kohlenlösser in den letzten Jahren nicht bereist habe. Wie dem aber auch sei, so ist im Allgemeinen nicht wegzuleugnen, daß zwischen dem aufnehmenden Gefäße und der eigentlichen Last in der ganzen Welt kein richtiges Verhältniß stattfindet, und daß dieses Mißverhältniß einen immer störenderen Einfluß erlangt.

Lassen Sie mich zunächst die Gewichte der todten Last auf den hauptsächlichsten belgischen Gruben anführen, wie sie

bei 400 bis 500^m tiefen Schächten herausstellen. Ich hierüber folgende Data gesammelt:

Gestell und Wagen	. 2400 ^k
Gewicht der Kohlen	. 2160 [„]
Summe	4560 ^k .

Auf drei nebeneinanderliegenden Schächten ergab sich

	A	B	C	Summe
ist der todtten Last	1736	1607	1900	5243
„ Kohlen	1440	1080	1500	4020

ist im Mittel 1748^k todtte Last auf 1340^k Nutzlasten.

Auf einem ausgedehnten Kohlenfelde im Pennegau stellen sie Ziffern, wie folgt:

Gestell und Wagen	. 2360 ^k
Kohlen	. 2100 [„]
Summe	4460 ^k .

In Deutschland ist das Gewicht der todtten Last nicht ger; auf einer sächsischen Kohlengrube mit 804^m Tiefe hat man z. B.

Gestell und Wagen	. 3782 ^k
Gewicht der Kohle	. 2000 [„]
Summe	5782 ^k .

überall ist das todtte Gewicht größer als die Nutzlast. Um die Nachteile deutlich zu erkennen, welche mit dem todtten Gewicht der vermittelnden Maschinenteile verbunden wollen wir die einem flachen Korb aus Aloefaser zu einer Dicke und Breite berechnen, wenn dasselbe 24 Hektoliter oder eine Wagenladung Kohle aus 800 Meter Tiefe zuzuschaffen im Stande sein soll. Legt man hierbei die angeführten mittleren Gewichte

des Gestells von	2400 ^k
der Ladung	2160 [„]
zusammen	4560 ^k

und nimmt man an, daß das Seil mit 80^k pro Centimeter belastet werden dürfe, aus vier, je 200^m l. Stücken von abnehmendem Querschnitt zusammengesetzt und aus 6 Lagen bestehe, so ergeben sich nachstehende Querschnitte und Gewichte:

erste Abtheilung	41	× 180 ^{mm}	1324 ^k
zweite	46,6	× 203 [„]	1708 [„]
britte	53,8	× 201 [„]	2204 [„]
vierte	60	× 262 [„]	2844 [„]
zusammen			8080 ^k .

Obige Rechnung zeigt, daß zur Fortbewegung von 2160^k pro Last ein Seil erforderlich ist, dessen oberste Abtheilung 12640^k Last zu tragen hat. Hiervon kommen zwei Drittel auf das Seilgewicht und hierbei ist noch nicht auf den Umstand Rücksicht genommen, daß die Aloefaser Feuchtigkeit ansaugt, da wohl überall und zu jeder Zeit den Schächten

so viel Feuchtigkeit zubringt, daß das untere Ende des Seiles mit Wasser gesättigt wird. Um zu ermitteln, wie groß die Aufsaugungsfähigkeit der Aloefaser sei, ließ ich ein aus diesem Material gefertigtes und nicht getheertes Seil in Wasser legen und habe dabei gefunden, daß es über 30 Proc. seines Eigengewichtes an Wasser aufgenommen hat. Man muß also auch noch die Erhöhung des Gewichtes durch Aufnahme von Feuchtigkeit berücksichtigen. Die großen Nachteile der starken Kabel sind so groß, daß einige Kohlenwerksbesitzer mit dem Plane umgehen, wieder zu dem ehemaligen System geringerer Ladungen zurückzukehren, indem sie den Ausfall an Quantität durch die Schnelligkeit des Förderns zu compensiren hoffen.

Um über die angeregte Frage sich vollends klar zu werden, möchte noch die Frage zu erörtern sein, ob das jetzige System der Heraushebung der Kohlen bis zu Tage, welches für Tiefen von 300 bis 500^m ganz vortheilhaft sein mag, auch noch für größere Tiefen zweckmäßig zu erachten sei. Vielleicht würde man dann zu dem überraschenden Resultate gelangen, daß es zweckmäßig sei, zu dem alten System der Schachtförderung zurückzukehren, welches man als das Tonnen-System (corb or bucket system) bezeichnet, und welches man seinerzeit in dem Streben nach Fortschritt verlassen hat. Es stellt sich nämlich die Hauptfrage so, ob es nicht höchst dringend geboten sei, das todtte Gewicht so weit irgend möglich herabzuziehen, selbst wenn damit das Aufgeben des jetzigen Förder-Systems verbunden wäre, sofern es nur gelänge, an Stelle der jetzigen enorm schweren Gestelle und Wagen eine Art zweckmäßiger gebauter Fördergefäße anzuwenden, deren Solidität und Gewicht in richtigem Verhältniß zu dem eigenen Gewicht der Kohlenladung stünde.

Als Beitrag zur Lösung dieser Frage stelle ich folgende Rechnung an, um dasjenige Gewicht zu finden, welches das Seil erhalten würde, wenn es an Stelle eines 2400^k schweren Gestelles (incl. Wagen) bloß einen Korb oder eine Tonne von gleichem Fassungsraume zur Aufnahme der Nutzlast zu tragen hätte. Am Ende des Seiles hängt in diesem Falle

die Kohlenladung mit	2160 ^k Gewicht
der Korb mit	500 [„]
Summe	2660 ^k .

Für das Seil und seine vier Abtheilungen ergibt sich:

erste Abtheilung	2,31	× 136 ^{mm}	772 ^k
zweite	2,35	× 155 [„]	995 [„]
britte	4,40	× 176 [„]	1285 [„]
vierte	3,45	× 208 [„]	1657 [„]
Summe			4709 ^k .

Wenn also dieselbe Nutzlast von 2160^k gehoben wird, so beträgt die Belastung der obersten Abtheilung nur 7369^k, während nach dem jetzigen System diese Belastung bis zu 12640^k steigt. Auch wiegt im letzteren Falle das Seil allein

3371^k mehr, weil das Fördergefäß (Gestell und Wagen) 1900^k mehr Gewicht besitzt, als ein Korb oder eine Tonne.

Sollten, wie zu erwarten ist, runde Stahlbrathseile angewendet werden, deren Verwendung sich neuerdings in England und Deutschland immer mehr verbreitet, so wird trotzdem auf die Herabziehung des todtten Gewichtes nicht minder Werth zu legen sein, denn diese Seile läßt man sich derartig auf Seiltrommeln aufwickeln, daß die Windungen nur neben, nicht übereinander zu liegen kommen, die Weite der Trommel richtet sich also nach Stärke des Seiles und der Zahl der Umgänge, oder mit andern Worten nach der Tiefe des Schachtes und der Seildicke.

Sehen wir nun, zu welchen Resultaten man in diesem Falle gelangt, wenn man dieselben Annahmen macht, als bei den Aloseilen. Allerdings sind die Seilfabrikanten noch nicht ganz darüber einig, welche Widerstandsfähigkeit man dem Stahlbrath in der Praxis beilegen dürfe, wir möchten auch hervorheben, daß diese Widerstandsfähigkeit mit von der Art der Ausrüstung und besonders von der Form und Größe der Seiltrommeln und Seilscheiben beeinflusst wird. Da nun die maschinellen Einrichtungen nicht überall gleich sind, so können Beobachtungen über die Dauer der Brathseile nicht auf gleiche Resultate führen und man hat sehr verschiedene Querschnitte für gleich starke Belastungen angenommen. Auf der einen Seite haben z. B. englische Fabrikanten 7,7 bis 12^k Belastung pro Quadratmillimeter des Querschnittes gegeben, während deutsche Fabrikanten nur 4^k als zulässig erachten. Legt man die niedrigere Ziffer der englischen Praxis zu Grunde, also 7,7^k pro Quadrat-Millimeter Querschnitt, so erhält man Folgendes:

Bei Gestellförderung

Gewicht des Gestells f. Wagen	2400 ^k
„ der Kohlen	2160 „
„ des Seiles (35 ^{mm} stark, 800 ^m lang)	2912 „
Summe	7472 ^k

Bei Korbförderung

Gewicht des Korbes	500 ^k
„ der Kohlen	2160 „
„ des Seiles (27,4 ^{mm} stark, 800 ^m lang)	1714 „
Summe	4474 ^k

Wenn der Durchmesser der Seiltrommel 7^m beträgt, so wird das Seil im ersteren Falle 1295, im letzteren 1014^{mm} Aufwindbreite beanspruchen, und da eine größere Breite zweierlei Nachtheile herbeiführt, nämlich erstens schiefere Abzug, wodurch das Seil stärker angegriffen und abgenutzt wird, und zweitens eine große Schachtlänge, welche bei jeder Anlage möglichst zu vermeiden ist, so zeigt sich die zweite Art der Förderung als entschieden vortheilhafter.

Es wird hier nicht nöthig sein, auch noch über flache

Eisenbrathseile bezüglich ihres Gewichtes u. s. w. Erörterungen anzustellen, denn die Verhältnisse können nicht wesentlich verschieden sein. Welche Art von Seil man auch benutzen mag, die hauptsächlichste Ursache ihrer Zerstörung bleibt die Anspannung zu Anfange des Anholens des Gefäßes und die Spannung, welche zur Ueberwindung der Trägheit erforderlich ist. Dies wird am deutlichsten dadurch dargethan, daß bei jeder Wiederholung des Anholens eine neue Dehnung stattfindet, und es liegt daher auch hierin Anlaß genug, eine Verminderung der Masse des Seiles anzustreben, da diese Masse bei einigermaßen starkem Betriebe des Tages oft hunderte Mal aus der Ruhe in Bewegung versetzt werden muß.

Wir glauben daher vollkommen zu der Vorhersehung berechtigt zu sein, daß das System der Förderung mit besonders gebauten Körben oder Tonnen in Zukunft immer mehr Eingang gewinnen werde; es wird jedoch nicht überflüssig sein, noch zu erwägen, in welcher Weise sodann die Ladung in der Grube eingefüllt und an der Hängebank wieder abgenommen werden könne, und zu zeigen, daß die Anwendung der Körbe bequemer und ökonomischer sein wird, als die Gestellförderung mit ein- und auszuschiebenden Punkten. Hiermit sind wir bei dem wichtigsten Punkte der ganzen Frage angelangt, wie ich nicht weiter zu beweisen nöthig habe, und dieser Punkt verdient daher die vollste Beachtung der Kohlenwerksbesitzer.

Als das beste Förderstystem hat man selbstverständlich dasjenige zu bezeichnen, welches Schnelligkeit der Manipulation mit geringstem Kraft- und Arbeitsaufwand verbindet und die meiste Sicherheit gegen Unfälle bietet. Diesen Anforderungen entspricht meiner Ueberzeugung nach die Förderung mit Körben am besten. Lassen Sie uns diese Methode mit der jetzt üblichen näher vergleichen. Bei den Gestellen, die auf den meisten Werken mehrere Wagen in verschiedenen Etagen übereinander aufnehmen, erfolgt Füllung und Entleerung nach zwei verschiedenen Methoden. Bei der einen Methode sind doppelte Bühnen vorgerichtet und das Gestell empfängt, ohne seine Stellung zu verändern, auf einmal die Wagen in der untern und obern Etage — aber natürlich mit Aufwand doppelt so vieler Hände. Bekanntlich müssen die für die untere Etage bestimmten Wagen vorher auf eine tiefer liegende Bühne gebracht werden und es sind hierzu Treppen oder Rampen erforderlich, was selbstverständlich die Förderung complicirter macht, einen wesentlich größeren Anschlagraum in der Nähe des Schachtes erfordert und nicht unbedeutend höhere Arbeitslöhne verursacht. Da aber auch an der Hängebank ganz ähnliche Vorrichtungen erforderlich sind, um die gefüllten Wagen abzuheben und durch leere zu ersetzen, so verursacht dieser Apparat auch an der Hängebank Unbequemlichkeiten und erhöhten Aufwand an Arbeitslöhnen.

bei der andern Methode, wo nur eine Anschlag- und Zugsbühne zur Beladung und Entladung der Gestelle ist, bedient man sich der Fördermaschine zum An- und Absetzen des Gestelles, um die verschiedenen Etagen des Förderer- und Bühne in gleiches Niveau zu bringen. Mit dieser Methode ist nicht nur Zeitverlust, sondern auch der Seil verbunden, daß der Maschinist doppelt soviel Arbeit leistet und daß die Seile doppelt so oft angespannt und entspannt werden. Besonders lästig ist diese Fördermethode, wenn sie auf Körben von ungleichem Durchmesser aufzuwickeln. Man darf daher wohl mit Recht behaupten, daß die jetzigen Fördermethoden nicht ohne Mängel sind, und obgleich verschiedene Leute sehr sinnreiche Verbesserungen angegeben haben, doch die soeben angeführten Nachtheile nicht beseitigt.

Ich gehe nun auf eine Beschreibung meiner Fördermethode mittelst Tonnen oder Körben über, erlaube ich mir ein Modell, das ich für meine ersten Versuche anfertigen und benutzte, einige Details zu demonstrieren. Sie sehen, welche Rolle von gleichem Fassungsraume als der Korb und es kann daher auf dem Füllort im Tiefsten des Schachtes die Füllung eines 20 bis 30 Hektoliter Kohlen in den Korb höchst einfach und leicht bewirkt werden, die Ladung in der Rolle befindlich ist und durch Aufsteigen einer Schürze in den Korb abrutscht, sobald Förderer nahe unter der Rolle angelangt ist. Es fehlt nicht an solchen Füllmethoden weder über Tage, noch in der Tiefe, und wir empfehlen somit hier keine neue Erfindung.

Bezüglich der Entleerung über Tage habe ich folgende Erfahrungen vorzulegen. Sobald der Korb hoch genug gehoben ist, wird eine Entleerungsgasse bis zur Axe des Gestelles untergeschoben, welche die Aufschlagcaps erhebt, das Gestell schlaff und hält die Thüre im Boden nicht länger, als daß sich diese unter dem Gewicht der Kohlen öffnet. Die Kohle längs der Gasse nach vorgefahrenen Waggons auf Räder und dergl. herabrutschen können. Es kann zweifel sein, daß diese Methode Zeit und Arbeitslöhne spart, denn das Beladen und das Entladen erfolgt gleichzeitig und mechanisch und es ist an beiden Endpunkten bloss die Bedienung erforderlich, der möglicherweise durch automatische Vorrichtungen noch ersetzt werden kann. Uebrigens stelle ich diese Vorrichtung selbstverständlich nicht als etwas Vollkommenes hin, sondern ich bin der Ueberzeugung, daß es Andern gelingen wird, daran noch mancherlei Verbesserungen anzubringen.

Es wird nun angemessen sein, die Einwürfe zu be-
n, welche etwa gegen dieses System aufgestellt werden
und welche aller Erwartung nach besonders wegen
mit verbundenen Umfüllung der Kohle erhoben werden
s. Man behauptet im Allgemeinen, daß mit dem Um-
eine Zerkleinerung der großen Blöcke verbunden sei,

und ich will darin nicht widersprechen, behaupte aber, daß das befürchtete Uebel von geringem Belang ist, wenn man sich daneben die durch dieses System zu erzielenden Vortheile vergegenwärtigt. In den Kohlenrutschen, welche mit Eisenblech ausgeschlagen sind, wie sie bei vielen Schächten vorkommen, erfährt die grobe Stückkohle nur wenig Zerkleinerung. Uebrigens darf ich daran erinnern, daß im Bassin von Gerain, sowie in allen Kohlenbecken, welche Feinkohle zur Vercoekung liefern, überhaupt soviel Feinkohle fällt, daß die darin enthaltenen Stückkohlen den schädlichen Einflüssen des Stoßes und der Reibung bei ihrem Hinabgleiten nur wenig ausgesetzt sind.

Bezüglich der Dauer des gebrauchten Materiales und der Unterhaltung der verschiedenen Theile der Geräthe habe ich zu erwähnen, daß alle Haupttheile mittelst eines den Korb (stern) umgebenden ringförmigen Schildes und eines die sämtlichen Theile sichernden Querstabes gegen heftige Stöße geschützt sind. Sollte aber mit der Zeit einer oder der andere Theil verletzt und unbrauchbar werden, so ist er leicht auszuwechseln. Meiner Ansicht nach sind weniger Störungen und Schwierigkeiten zu erwarten, als bei Verwendung der Gestelle sammt dahingehörender Maschinerie.

Es ist hier der Ort, noch eines Vortheils zu gedenken, welchen das neu vorgeschlagene Förder-system darbietet, nämlich bezüglich der Anbringung der Fangvorrichtung an dem Aufhängen. Im Fall des Reißens eines Seiles würde es nämlich von sehr günstiger Wirkung sein, daß die Klauen nichts weiter aufzuhalten haben würden, als das Gewicht des Korbes sammt demjenigen Theile des Seiles, welcher abgerissen worden ist. Die Kohle würde durch die sich öffnende Thüre im Boden in den Schacht stürzen, ohne sonderlichen Schaden zu verursachen. Wenn dagegen schwere Gestelle mit Wagen verladen werden, so erzeugt ihr Gewicht, vermehrt um das Gewicht der Ladung, im Fall eines Seilbruches die gefährlichsten Zerstörungen, indem nicht nur die hölzernen Gestänge zerrissen, sondern in schlechtverwahrten Schächten wohl auch die Bühnen durchgeschlagen werden. Diesen Gefahren wird durch die Einführung der Körbe vorgebeugt. Wenn ich auch nicht zuviel Werth darauf legen will, daß die Ladung von selbst herausfällt, obgleich dies sicher erfolgen wird, sobald nur die Kegel der Thüre an irgend einen hervorragenden Gegenstand treffen, so wird doch gewiß Jedermann zugeben, daß im Falle eines derartigen Ereignisses das leichte Gefäß nur wenig Schaden anrichten kann, daß es in Folge seiner Gestalt nur die hölzernen Leitgestänge streifen wird, und daß der Geldverlust beim Sturz eines Gestelles mit Wagen ungleich größer ausfallen muß, als beim Sturze eines Korbes. Allerdings dürfen in wohl beaufsichtigten Gruben Seilbrüche nur selten vorkommen, doch muß auf derartige Unfälle immer Rücksicht genommen und daherhalb solchen Apparaten und Maschinen der Vorzug

eingerräumt werden, welche die schweren Folgen derartiger Unfälle abzuschwächen geeignet sind.

Ich gehe nunmehr zu dem zweiten Theile meines Vortrages über, welcher das Verhältniß des Seilgewichtes zum Widerstandsmomente betrifft. Ein gleichförmiges Widerstandsmoment ist für die vortheilhafte Arbeit der Fördermaschine gerade so wichtig, als große Durchmesser der Seiltrommeln für die Erhaltung der Seile vortheilhaft sind. Und aus beiden Rücksichten macht es sich nöthig, daß mit der Vergrößerung des Halbmessers der Seiltrommel eine Verminderung des Querschnittes und Gewichtes des Seiles stattfinden muß.

Mag man flache Hanf- oder Drahtseile, welche sich auf Bobinen übereinanderwickeln, oder mag man runde Seile anwenden, die sich auf cylindrische oder conische Seiltrommeln aufwickeln, immer wird die Dauer und die Tragfähigkeit dieser Seile durch Vermehrung des kleinsten Radius der Trommeln gewinnen, da hiervon die Biegung des Seiles abhängig ist. Wenn man aber 600 bis 800 Meter Schachttiefe erreicht hat, so ist es außerordentlich schwer, während des Aufganges des vollen Gefäßes ein leidlich gleichförmiges Widerstandsmoment darzustellen, sofern nicht der kleinste Radius der Aufwicklung, also der Kern der Bobine, so angenommen wird, daß dadurch wieder gegen die Bedingungen gefehlt wird, welche eine geringe Abnutzung garantiren. Will man ein 5 Centimeter starkes Seil nöthigen, sich auf eine Trommel von 3 Meter Durchmesser aufzuwickeln und dabei auch noch einen starken Zug auszuüben, so setzt man dasselbe unzweifelhaft einer raschen Zerstörung aus, indem in Folge der seitlichen Verdrehung die äußere Oberfläche des Seiles eine sehr starke Dehnung erfährt. In dem angeführten Falle würden die Dräthe in der äußern Oberfläche um 31 Centimeter gedehnt werden gegen die innen liegenden Dräthe und somit eine Dehnung von 33^{mm} pro laufendes Meter erfahren. Ist nun der Wechsel der Spannungen und Anstrengungen, welcher hierbei stattfindet, schon für hänsene Seile nachtheilig, wie viel mehr muß er dann die Stabilität eiserner Seile gefährden, welche einen geringeren Grad der Dehnbarkeit besitzen.

Für Schachttiefen von 600 Meter oder mehr Teufe muß man daher meist die Idee aufgeben, eine gleichförmige Bewegungsgeschwindigkeit zu erzielen, und da die todte Last nicht ausgeglichen werden kann, so muß die Maschine beim ersten Anholen der Last ein sehr großes Uebermaaß von Arbeit verrichten, während das Moment häufig schon eher negativ wird, ehe das Gefäß oben anlangt, indem nämlich das niedersinkende todte Gewicht für sich hinreichend ist, das volle Gefäß mit der Kohlenladung nach oben zu befördern, und zwar mitunter mit einer so raschen und beschleunigten Bewegung, daß ein künstlicher Widerstand durch Gegendampf gegeben bewirkt werden muß, um die Geschwindigkeit wieder

auf dasjenige Maaß zu beschränken, welches mit der Sicherheit des Betriebes verträglich ist. In diesem Falle ist das Treiben nicht nur gefährlich, sondern es verursacht überdies auch noch erhöhten Dampfsverbrauch und es muß daher unsere Aufmerksamkeit darauf gerichtet sein, Mittel und Wege auszufinden, wie diesen Uebelständen vorgebeugt werden könne.

Ueberdies nöthigt der Uebelstand, daß zum Beginn des Auftreibens eine weit größere Betriebskraft nöthig ist, als zur Verrichtung der mittleren Arbeit erforderlich wäre, zur Annahme stärkerer Dimensionen für die einzelnen Theile der Fördermaschine, Dimensionen, welche nicht in richtigem Verhältniß zu der ganzen während des Treibens zu verrichtenden Arbeit stehen.

Wendet man Rundseile an, so nimmt man zur Aufwicklung des Seiles conische oder cylindrische Trommeln von größerem oder geringerem Durchmesser. Bei conischen Trommeln kann innerhalb gewisser Grenzen ein gewisser Gleichförmigkeitsgrad des Widerstandes erzielt werden, bei beträchtlichen Tiefen würden aber diese Trommeln eine zu große Breite erhalten, um sämtliche Seilumgänge nebeneinander aufnehmen zu können. Hieraus ergibt sich ein sehr schiefes Abziehen des Seiles gegen die Ase der Welle und die Seilscheiben, und manche andere constructive Schwierigkeit. Für schwere Lasten und deren Hebung aus großen Tiefen scheint bei der gegenwärtigen Fördermethode jede Möglichkeit der Ausgleichung aufgegeben werden zu müssen. Ueberdies steht bei conischen Körben auch dadurch eine stärkere Abnutzung zu befürchten, daß beim Anholen der Last das Seil auf demjenigen Ende der Trommel sich aufwickelt, welches den kleinsten Halbmesser besitzt.

Mit cylindrischen Körben ist eine Ausgleichung gar nicht denkbar, denn der Hebelsarm bleibt durchgängig derselbe. Im oberen Theile der aufgehenden Bewegung des Gefäßes wird das Gefäß und die Ladung durch das Gewicht des niedergehenden leeren Gefäßes und des Seiles getrieben und man muß zu einem Brems oder zu Gegendampf greifen, um die Geschwindigkeit zu reguliren, so daß die so eben erst angeführten Nachtheile in erhöhtem Maaße auch hier auftreten. Um die aus dem mangelnden Gleichgewichte sich ergebenden Nachtheile zu bekämpfen und eine vortheilhaftere und ökonomischere Arbeit zu erzielen, hat man an manchen Orten besondere Gegengewichte angewendet, die aus Ketten bestehen, welche sich auf Kettscheiben aufwickelten und in besondere Schächte hinabhängen, u. s. w. Es genügt jedoch, abgesehen von den beträchtlichen Kosten, welche mit diesem Auskunfts-mittel verbunden sind, darauf hinzuweisen, daß die Schwierigkeiten, welche sie an sich hervorrufen, sowie die Gefahren, welche dadurch herbeigeführt werden können, jedenfalls hinreichende Gründe dafür sind, daß die Anwendung solcher Vorrichtungen nur in besonderen Fällen zweckmäßig sein wird, und somit bieten diese Vorrichtungen keine genügende Abhilfe.

Ich habe mich bemüht, zur Lösung der Aufgabe, deren **Hauptsächliche Schwierigkeiten** im Obigen angeführt worden sind, dadurch zu gelangen, daß ich Versuche über die **Wir-
kungsweise gewisser Principien** anstellte, welche mit der Frage über die **Ausgleichung der Gewichte und Momente** nichts zu thun haben. Ich habe nämlich die Herstellung eines **Kraftansammlungsorganes** oder **Kraftmagazines** ins Auge gefaßt, welches das Uebermaaß von Kraft, das in der Periode frei wird, wo das niedergehende Seil die Last aufwärts zieht, ansammeln und diese angesammelte Kraft dann wieder abgeben soll, wenn ein höherer Kraftbedarf vorhanden ist, wie im ersten Moment des Anholens der Last. Dieses Resultat läßt sich mittelst eines hydraulischen Accumulators oder mittelst eines Reservoirs für comprimirte Luft erzielen. Bei jeder Art von Fördermaschinen, sei dieselbe eine liegende oder eine stehende, verbinde ich damit zwei Pumpen, die entweder durch eine besondere Kurbel und Lenkerstange oder durch einfache Verlängerung der Kolbenstange betrieben werden können. Diese Pumpen sind mit einem doppelten Vertheilungsapparat für das Wasser oder die Luft versehen, mittelst dessen es möglich ist, das Wasser nach einem Accumulator, über dessen Einrichtung hier nichts beizufügen nöthig ist, zu drücken, der aber auch dazu dient, das Wasser von dort in einer Weise austreten zu lassen, daß es als **Betriebskraft** auf die Kolben der Pumpen wirksam wird. Unter Umständen mag hierzu auch eine einzige Pumpe oder Kolbenmaschine hinreichend sein, welche mit dem Accumulator verbunden ist, und es wird dann die Einrichtung nur noch einfacher.

Bei diesem Arrangement ist das Wasser auf der einen Seite das Medium, welches einen den Erfordernissen entsprechenden Widerstand leistet und die Maschine bremst, wenn dieselbe durch die Ueberwucht fortgerissen werden würde, auf der andern Seite aber ein Hilfsmotor, welcher die Dampfmaschine unterstützt, wenn sie einen außergewöhnlich hohen Kraftaufwand zu leisten hat. Die Umsteuerung kann augenscheinlich mit größter Schnelligkeit durch entsprechende Verstellung des Steuerhebels durch den Maschinisten, oder durch sonst eine einfache Manipulation bewirkt werden. In der That gewährt die stets verfügbare aufgespeicherte hydraulische Kraft die Fähigkeit, alle die Bewegungen, welche jetzt den Aufwand von außerordentlicher Muskelkraft verlangen, mit großer Leichtigkeit durch mechanische Hilfsvorrichtungen aus-

zuführen; im Uebrigen ist aber an der eigentlichen Fördermaschine nicht das Mindeste verändert.

Die Kraftmagazine oder Accumulatoren müssen so eingerichtet sein, daß sie die ganze Kraft aufzunehmen im Stande sind, welche von dem Moment an, wo beim Aufstreichen der Dampf nicht mehr auf den Kolben zu wirken braucht, in Ueberschuß entwickelt wird, gleichviel in welcher Ausdehnung und mit welcher Geschwindigkeit sich diese Kraft entwickeln mag, was periodenweise verschieden sein wird. Auch ist zu bemerken, daß die beiden Pumpenkolben wirksam genug sein müssen, um mit einem Seile allein treiben zu können, ohne den Dampfscylindern mit Rücksicht hierauf außergewöhnlich große Dimensionen geben zu müssen. Man ist gegenwärtig leider zu letzterem Auskunftsmittel genöthigt, denn mit Rücksicht darauf, daß beispielsweise ein Seil in den Schacht stürzen kann, müssen die Dampfscylinder, um dieses Seil wieder austreiben zu können, einen sehr viel größeren Durchmesser erhalten, als sie zur Verrichtung der gewöhnlichen Arbeit bei der Kohlenförderung nöthig haben.

Sollte einmal die Nothwendigkeit vorliegen, eine ausnahmsweise starke Arbeit zu verrichten, so würde eine mit den beschriebenen Hilfsorganen versehene Fördermaschine so gleich dadurch hierzu bereit zu machen sein, daß der Accumulator mit Hilfe einer besonderen kleinen Pumpe vollständig angefüllt würde; dann würde der Druck des Wassers dem Dampfdrucke zu Hilfe kommen und man würde ausnahmsweise schwere Lasten mit geringer Geschwindigkeit, welche ohnehin bei derartigen Arbeiten geboten ist, im Schachte auszufördern in Stand gesetzt werden. Mit Anwendung dieser Hilfsvorrichtung wird es möglich werden, sehr starke Hansseile und genügend große Bobinen anzuwenden, wodurch die Hansseile eine längere Dauer bekommen und leichter in gutem Stande zu erhalten sein werden, als jetzt, wo sie sich vielfach auf zu niedrige Trommeln aufwickeln. Auch wird man bei Drahtseilen nicht mehr zu dem Auskunftsmittel der conischen Körbe zu greifen genöthigt sein, sondern man wird cylindrische Körbe von einem der Tiefe entsprechenden großen Durchmesser anwenden können, da die durch die Ueberwucht des niedergehenden Seiles verrichtete Arbeit aufgesammelt und nachher wieder zur Unterstützung der Maschine nutzbar gemacht werden kann.

(Engineer, vol. XXXVI, no 923.)

Versuche über die Nützlichkeit des Dampfmantels,

angestellt und mitgetheilt

von

G. Bissinger,

Ingenieur der Maschinenfabrik Augsburg in Augsburg.

(Hierzu Doppeltafel 25—26).

Die verschiedenen Ansichten über die Nützlichkeit des Dampfmantels bei Dampfcylindern veranlaßten mich, im Jahre 1872 Versuche in dieser Beziehung an einer in der Maschinenfabrik Augsburg in Augsburg seit längerer Zeit im Gange befindlichen, mit einer Ventilsteuerung versehenen Dampfmaschine vorzunehmen, bei deren Construction ich, nebenbei bemerkt, durch räumliche Verhältnisse betreffs der Hublänge beschränkt war.

Der Artikel des Herrn Professor Dr. Weiß in Brünn über „die calorischen Einwirkungen der Cylindervandungen unserer Dampfmaschinen auf den Dampfverbrauch“ in Heft 1 des XX. Bandes der Zeitschrift des Architekten- und Ingenieur-Vereins zu Hannover, Jahrgang 1874, giebt mir nunmehr Veranlassung, diese Versuchsergebnisse der Öffentlichkeit zu übergeben, um damit etwas zur praktischen Lösung dieser wichtigen Frage beizutragen.

Das Gebäude, in welchem die zu den Versuchen benutzte Maschine aufgestellt war, liegt nicht in unmittelbarer Länge des Kesselhauses, es war jedoch die ca. 66 Meter lange Dampfleitung gut mit Filzcomposition gegen die Abkühlung verwahrt. Die Dampfrohre besaßen auf 16^m Länge eine Weite von 80^{mm}, im Uebrigen 150^{mm}. Der Kessel, aus welchem die Dampfmaschine gespeist wurde, besaß 2 Sieber und 3 Vorwärmer, im Ganzen aber 76,7 Quadratmeter Heizfläche.

Das Speisewasserquantum wurde direct gewogen und ein geeichter Kasten benutzt.

Das Condensationswasser der Dampfleitung wurde zum Theil im Kesselhaus, zum Theil aus einem zunächst der Dampfmaschine angebrachten Wassersammler durch Hähnen abgelassen, dasjenige des Dampfmantels aber mittelst eines selbstthätigen Condensationswassersammeltopfes abgeführt.

Bei den beiden Versuchsreihen mit Dampfmantel wurde der Dampf von unten bei A in den Mantel eingeführt, bei den Versuchen ohne Dampfmantel wurde dagegen das Zuleitungsrohr A abgenommen und der Dampf mittelst des in Fig. 1 auf Tafel 25—26 punktirt angegebenen Rohres B von oben in den Cylinder eingeführt, nachdem der Mantel oben und unten dicht geschlossen war.

Der Dampfcylinder war überdies mit einer Filzcomposition und Holzverschalung eingehüllt, wie in Fig. 3 näher angegeben ist.

Bei allen drei Versuchen war die Dampfmaschine mit einer Turbine derartig gekuppelt, daß nach Außergangsetzung des Regulators und Einstellung der Steuerung auf eine constante Cylindervollung die Geschwindigkeit der Maschine lediglich durch die Turbine regulirt wurde. Was die Cylindervollung selbst betrifft, so war dieselbe bei den Versuchen im Monat April kleiner, als bei den Versuchen vom August, sie wurde aber während der 3 Versuchstage im April, sowie während der 6 Versuchstage im August ganz constant erhalten. Während der letzteren Versuchsperiode wurde drei Tage mit und drei Tage ohne Dampfmantel gearbeitet, hierbei aber sonst in den Verhältnissen Nichts geändert.

Der schädliche Raum der benutzten Maschine beträgt 3 Proc. des Cylindervolumens.

Die Ergebnisse der Versuche sind in nachstehenden drei Tabellen zusammengestellt worden, auch zeigt Doppeltafel 25—26 eine Anzahl der aufgenommenen Indicatordiagramme. Besondere Erläuterungen sind zu diesen Tabellen nicht beizufügen nöthig und es bedarf nur der Hinweisung auf Rubrik 13, um den Einfluß des Dampfmantels klar zu stellen.

Tabelle I.

Versuche mit Dampfmantel vom 10., 12. und 13. April 1872.

		Mittwoch, den 10. April		Freitag, den 12. April		Samstag den 13. April	
		Vorm.	Nachm.	Vorm.	Nachm.	Vorm.	Nachm.
der Diagramme	vorn	36	28	36	29	36	23
	hinten	36	28	36	29	36	23
	zusammen	72	56	72	58	72	46
: Fläche der Diagramme in □ Millim. . .	vorn	2883,88	2948,57	2570,55	2583,79	2948,3	2955,6
	hinten	2874,16	2853,57	2459,72	2413,1	2699,7	2666,08
	Mittelwerth	2879,02	2901,07	2515,13	2498,4	2824,0	2810,8
: Länge der Diagramme in Millim. . .	vorn	120	121,96	122	121,22	120,43	120,4
	hinten	121,27	122	121,84	121,81	121,8	122,15
	Mittelwerth	120,63	121,98	121,92	121,51	121,11	121,27
: anfänglicher Druck in Atm. aus den Diagrammen	vorn	4,91	4,95	5,82	5,83	6,75	6,87
	hinten	4,88	4,87	5,68	5,82	6,86	6,90
	Mittelwerth	4,89	4,91	5,75	5,82	6,80	6,88
		Instrument		Instrument		Instrument	
: Länge der Indicatorfeder mit Quecksilber- und Controlmanometer verglichen.		Nr. 2458	Nr. 2605	Nr. 2458	Nr. 2605	Nr. 2458	Nr. 2605
: hielt mit der Feder — 15 + 80 bei 5 Atm.		vorn	hinten	vorn	hinten	vorn	hinten
" " " " — 15 + 110 " 6 "		65,8 mm	63,5 mm	58,7 mm	58,0 mm		
" " " " — 15 + 110 " 7 "						67,5 mm	65,0 mm.
: Ordinate aus den Diagrammen in Millim.	vorn	24,03	24,17	21,07	21,31	24,48	24,54
	hinten	23,70	23,38	20,18	19,81	22,16	21,82
	Mittelwerth	23,86	23,77	20,62	20,56	23,32	23,18
: Dampfdruck im Cylinder aus den Dia- grammen in Atm.	vorn	1,825	1,821	2,153	2,178	2,538	2,544
	hinten	1,866	1,840	2,087	2,049	2,386	2,349
	Mittelwerth	1,845	1,830	2,120	2,113	2,462	2,446
: Tourenzahl per Min.		62,38	62,31	62,61	63,64	63,08	63,67
	Mittelwerth	32,54	32,24	37,53	38,02	43,92	44,04
: Anzahl der Indicatorperde		32,39		37,77		43,98	

Cylinderdurchmesser. Diameter der Kolbenstange (nach rückwärts nicht verlängert). Kolbenhub.	Mittelwerthe aus den Versuchen vom		
	10. April.	12. April.	13. April.
ittlere Dampfspannung am Manometer im Kesselhaus .	5,35 Atm.	6,32 Atm.	7,29 Atm.
ittlere Dampfspannung am Controlmanometer im Kesselhaus	5,13 Atm.	6,07 Atm.	7,05 Atm.
ittleres Vacuum im Maschinenhaus	67,5 Centim.	67,0 Centim.	66,5 Centim.
ittlere Dampfspannung im Dampfcylinder am Anfang des Hubes aus den Indicatorcurven entnommen	4,90 Atm.	5,79 Atm.	6,84 Atm.
zahl der abgenommenen Indicatorcurven von 10 zu 10 Mi- nuten, mit 2 Indicatoren von Richard	128	130	11 ^a

	Mittelwerthe aus den Versuchen vom		
	10. April	12. April	13. April
6) Tourenzahl der Dampfmaschine per Tag	39441	40557	36780
7) Arbeitszeit per Tag	632,5 Min. = 10,54 ^h	643 Min. = 10,71 ^h	581 Min. = 9,68 ^h
8) Mittlere Tourenzahl per Minute	62,34	63,12	63,37
9) Mittlerer Dampfdruck auf den Kolben aus den Indicator- curven entnommen	1,837 Atm.	2,116 Atm.	2,454 Atm.
10) Mittlere Dampfarbeit im Cylinder, in Indicatorpferden . .	32,39	37,77	43,38
11) Speisewasser von ca. 6° R. per Tag	8850 Zuspfd.	9555 Zuspfd.	9131 Zuspfd.
12) Condensationswasser aus der gesammten Dampfleitung, excl. Dampfmantel	1410 Zuspfd.	1405 Zuspfd.	1356 Zuspfd.
in Procenten des Speisewassers ausgedrückt	15,8 Proc.	14,7 Proc.	14,8 Proc.
12 ^a) Condensationswasser aus dem Dampfmantel des Cylinders in Procenten des Speisewassers ausgedrückt	729 Zuspfd. 8,2 Proc.	774 Zuspfd. 8,1 Proc.	740 Zuspfd. 8,1 Proc.
12 ^b) Condensationswasser aus Dampfleitung und Dampfmantel zusammen	2139 Zuspfd.	2179 Zuspfd.	2096 Zuspfd.
in Procenten des Speisewassers ausgedrückt	24,1 Proc.	22,8 Proc.	22,9 Proc.
13) Stündlicher Wasser- oder Dampfverbrauch per Indicatorpferd, wenn das gesammte Condensationswasser aus Leitung und Mantel abgezogen wird	19,65 Zuspfd.	18,23 Zuspfd.	16,52 Zuspfd.
13 ^a) Stündlicher Wasser- oder Dampfverbrauch per Indicator- pferd, wenn man nur das Condensationswasser aus der gesammten Dampfleitung abzieht	21,79 Zuspfd.	20,14 Zuspfd.	18,26 Zuspfd.
14) Mittlere Temperatur im Kesselhaus	16° R.	18° R.	22° R.
15) Mittlere Temperatur im Freien	6° R.	9° R.	14° R.

Tabelle II.

Versuch ohne Dampfmantel vom 20., 21. und 22. August 1872.

		Dienstag, den 20. August.		Mittwoch, den 21. August.		Donnerstag, den 22. August.	
		Vorm.	Nachm.	Vorm.	Nachm.	Vorm.	Nachm.
Anzahl der Diagramme	vorn	35	33	35	33	35	
	hinten	35	33	35	33	35	
	zusammen	70	66	70	66	70	
Mittlere Fläche der Diagramme in □ Millim.	vorn	2721,71	2775,15	2485,42	2560,30	2882,28	28
	hinten	2697,42	2746,66	2401,71	2459,39	2791,14	27
	Mittelwerth	2709,56	2760,90	2443,56	2509,84	2836,71	27,5
Mittlere Länge der Diagramme in Millim.	vorn	118,3	117,5	117,47	117,83	117,78	1
	hinten	121	120,87	120,4	120,5	120,4	1
	Mittelwerth	119,65	119,68	118,98	119,16	119,09	1
Mittlerer anfänglicher Druck in Atm. aus den Diagrammen	vorn	4,78	4,7	5,58	5,66	6,44	
	hinten	4,48	4,47	5,45	5,47	6,45	
	Mittelwerth	4,63	4,58	5,51	5,56	6,44	

Tabelle III.

Versuche mit Dampfmantel vom 27., 28. und 29. August 1872.

		Dienstag, den 27. August		Mittwoch, den 28. August		Donnerstag den 29. August	
		Vorm.	Nachm.	Vorm.	Nachm.	Vorm.	Nachm.
Anzahl der Diagramme	<div> <div>vorn</div> <div>hinten</div> <div>zusammen</div> </div>	35	33	35	33	35	33
Mittlere Fläche der Diagramme in □ Millim. .	<div> <div>vorn</div> <div>hinten</div> <div>Mittelwerth</div> </div>	3092,57	3139,09	2822,00	2837,57	3181,42	3089,00
Mittlere Länge der Diagramme in Millim. . .	<div> <div>vorn</div> <div>hinten</div> <div>Mittelwerth</div> </div>	119	119,3	119,47	119	119,5	118,96
Mittlerer anfänglicher Druck in Atm. aus den Diagrammen	<div> <div>vorn</div> <div>hinten</div> <div>Mittelwerth</div> </div>	4,89	4,89	5,95	5,90	6,75	6,71
		Instrument	Instrument	Instrument	Instrument	Instrument	Instrument
Ordnatenlänge der Indicatorfeder, mit Quecksilber- und Controlmanometer verglichen.		Nr. 2956	Nr. 353	Nr. 2956	Nr. 353	Nr. 2956	Nr. 353
Man erhielt mit der Feder — 15 + 80 bei 5 Atm.		vorn	hinten	vorn	hinten	vorn	hinten
" " " " " — 15 + 110 „ 6 "		63,8	62,8	58	57	68,7	67
" " " " " — 15 + 110 „ 7 "						66,5	
Mittlere Ordinate aus den Diagrammen in Millim.	<div> <div>vorn</div> <div>hinten</div> <div>Mittelwerth</div> </div>	25,98	26,31	23,62	23,84	26,9	25,96
Mittlerer Dampfdruck im Cylinder aus den Diagrammen in Atm.	<div> <div>vorn</div> <div>hinten</div> <div>Mittelwerth</div> </div>	2,036	2,061	2,443	2,466	2,73	2,73
Mittlere Tourenzahl per Minute	<div> <div>vorn</div> <div>hinten</div> <div>Mittelwerth</div> </div>	1,969	1,935	2,328	2,349	2,64	2,62
Mittlere Anzahl der Indicatorfederbe	<div> <div>vorn</div> <div>hinten</div> <div>Mittelwerth</div> </div>	2,002	1,998	2,385	2,407	2,685	2,675
Mittlere Anzahl der Indicatorfederbe	<div> <div>vorn</div> <div>hinten</div> <div>Mittelwerth</div> </div>	63,05	63	63,19	62,81	63,57	62,76
Mittlere Anzahl der Indicatorfederbe	<div> <div>vorn</div> <div>hinten</div> <div>Mittelwerth</div> </div>	35,69	35,59	42,62	42,75	48,27	47,47
		35,64		42,68		47,87	

0,3667^m Cylinderdurchmesser.0,055^m Diameter der Kolbenstange (nach rückwärts nicht verlängert).0,590^m Kolbenhub.Mittelwerthe
aus den Versuchen vom

	27. August.	28. August.	29. August.
1) Mittlere Dampfspannung am Manometer im Kesselhaus, in Atm.-Ueberdruck	5,84 Atm.	6,37 Atm.	7,34 Atm.
2) Mittlere Dampfspannung am Controlmanometer, im Kesselhaus, in Atm.-Ueberdruck	5,01 Atm.	6,12 Atm.	7,09 Atm.
3) Mittleres Vacuum im Maschinenhaus	65,5 Centim.	65 Centim.	64,5 Centim.

gänzlich unsicheren Punkte der Gewölbttheorie aufgestellt worden sind. Das Dupuit'sche Princip beruht auf Beobachtungen über die Erscheinungen, welche sich beim Ausrüsten der Gewölbe zeigen, und läßt im Uebrigen die Fundamentalprincipien der Gewölbttheorie unangetastet, modificirt aber wesentlich die früheren Anschauungen über die Kräfte, denen die Steine in den Bruchfugen ausgesetzt sind.

Seitdem sind nahezu drei Jahre verstrichen, ohne daß Jemand aufgestanden wäre, der diese Ansichten vertreten oder bekämpft hätte, was allerdings insofern nicht überraschen kann, als es sich um Erfahrungsergebnisse handelt, welche nur auf Grund directer Versuche oder gesammelter Notizen über ähnliche Fälle als richtig oder irrig erkannt werden können, zumal sich nur selten Gelegenheit findet, derartige Versuche anzustellen.

Da mir die Gelegenheit geboten worden ist, an einem Gewölbebogen von größeren Dimensionen Versuche anzustellen und Notizen über die bei der Ausrüstung eines anderen Brückengewölbes gemachten Beobachtungen zu sammeln, so glaube ich diese Resultate mit Bezugnahme auf die Dupuit'sche Theorie bekannt geben und daran einige allgemeine Folgerungen knüpfen zu müssen. Bevor ich jedoch hierzu schreite, scheint mir ein Rückblick auf den gegenwärtigen Stand der Theorie geboten, um die verschiedenen Hypothesen zu recapituliren, welche bis jetzt versucht worden sind.

2) Da bei einer Construction, Mauer oder Gewölbe, welche einer Belastung ausgesetzt ist, die Gleichgewichtsbedingungen zwischen den äußeren Kräften und den Drucken in der Berührungsebene mit anderen Körpern auf verschiedene Weise erfüllt werden können, so bleibt eine Unbestimmtheit übrig. Derartige Aufgaben kommen auch sonst noch im Baueisen vor; die Statik lehrt z. B., daß, wenn ein Gewicht gegeben und auf drei oder mehr Stützpunkten gelagert ist, dieses Gewicht von den verschiedenen Punkten gemeinschaftlich getragen wird, lehrt aber nicht, wie dasselbe vertheilt ist. Wenn ein Balken schief angelehnt ist an eine horizontale Ebene und eine verticale Wand oder gegen einen zweiten symmetrisch gestellten Balken, so wissen wir, daß die Richtungen der Drucke in den Berührungsstellen und des Gewichtes des Balkens sich in einem Punkte schneiden müssen, wenn Gleichgewicht vorhanden ist, aber die Stärke dieser Drucke und die Art ihrer Vertheilung über die Berührungsstellen bleibt unbestimmt innerhalb mehr oder weniger ausgedehnter Grenzen, was von den Dimensionen der Balken abhängt. Dieselbe Unbestimmtheit ist vorhanden, wenn es sich darum handelt, die wahren Bedingungen des Gleichgewichtes eines Gewölbes anzugeben, da wir nicht hinreichend zu beurtheilen vermögen, welche von den zahlreichen Gruppen von Kräften und Widerständen, die das Baueisen im Gleichgewicht erhalten können, diejenige ist, die in Wahrheit stattfinden muß.

Diese Unbestimmtheit ist übrigens eine rein analytische, denn wenn auch das Gleichgewicht eines Balkens oder Gewölbes auf verschiedene Weise möglich erscheint, so wird doch in der Wirklichkeit nur eine die wahre Lösung sein, und die Unbestimmtheit beruht nur in der Unkenntniß dieser einen Lösung.

Als erstes Auskunftsmittel untersuchte man, in welcher Weise sich die Gewölbefugen bei einem Umsturze verhielten, um diejenigen Fugen aufzufinden, in welchen am leichtesten ein Einsturz erfolgt. Die Coulomb'sche Theorie stimmt mit den Beobachtungen überein und daher sind in dieser Beziehung keine Unklarheiten mehr vorhanden. Das von de la Hire in der Histoire de l'Académie des Sciences 1772 und von Eytelwein in seiner Statik vorgetragene Princip der Keils, welches von den Ingenieuren lange Zeit bei der Berechnung der Gewölbe benutzt worden ist, hat dem Princip des Hebelarms weichen müssen. Die Lage der Bruchfugen ist keine unveränderliche, noch in der Mitte der Höhe zwischen Widerlager und Scheitel zu suchen, wie de la Hire annahm, sondern wechselt nach der Form der Gewölbe nach der Stärke und nach der Vertheilung der Last, und der Bruch erfolgt nicht durch einfaches Gleiten, sondern durch Drehung.

Es ist Coulomb's Verdienst, diese Principien, welche das Fundament der Theorie der Gewölbe bilden, aufgestellt zu haben (Mémoires de l'Académie des Sciences 1773). Er hat zuerst die Bedingungen des Gleichgewichtes für irgend ein Gewölbstück bestimmt und gezeigt, daß die Intensität des horizontalen Schubes in einem gegebenen Angriffspunkte des Schlusssteins zwischen zwei Grenzwerten liegen muß, welche dem Gleichgewicht gegen den Umsturz nach außen und nach innen entsprechen. Indem er auf diese Weise die Bruchfugen der Berechnung unterwarf, faßte er die Frage erst auf die richtige Weise auf, aber die Unbestimmtheit, welche bei Coulomb bezüglich des Angriffspunktes des Schubes im Schlusssteine übrig blieb, war Ursache, daß sich die Ingenieure noch lange Zeit der Formel von de la Hire zur Berechnung der Gewölbe bedienten. Man erhielt stabile Gewölbe und die schienen genug.

Die späteren Untersuchungen von Audoy (Mémoires de l'officier du Génie, 1820), Lamé und Clapeyron (Annales des Mines, 1823), Navier (Résumé des Leçons sur l'Application de la Mécanique, 1833) und Anderer, welche sich alle auf die Coulomb'sche Theorie stützen, sind von unzweifelhaftem wissenschaftlichen Werthe, aber von geringer praktischer Bedeutung wegen der complicirten Formeln, auf welche die analytische Methode führt, wenn sie auf die im Baueisen vorkommenden verschiedenen Fälle angewandt wird. Doch ist es nützlich, hier die hauptsächlichsten Resultate dieser Untersuchungen anzuführen, um den eingeschlagenen Weg und die Fortschritte, welche gemacht worden sind zu demonstrieren. Man hat es z. B. Lamé und Clapeyron

zu danken, daß aus der Coulomb'schen Theorie nachstehende Sätze abgeleitet worden sind:

1) Die Bruchfuge ist bei Stiehbögen volée ribassée), deren Widerlager über der einem vollen Zirkel entsprechenden Bruchfuge liegt, die Widerlagfuge;

2) die Bruchfuge ist diejenige Fuge, für welche die Tangente am inneren Gewölbe die Horizontale durch den höchsten Punkt des Schlußsteins in demselben Punkte schneidet, in welchem die Verticale durch den Schwerpunkt der Masse, welche sich abzutrennen sucht, sie begegnet.

Diese Autoren heben hervor, wie wichtig es sei, sich über das Verhältniß zwischen den in verschiedenen Punkten einer Fuge ausgeübten Drücken und der Festigkeit der Steine klar zu werden; sie setzen voraus, daß im größeren Theile großer Gewölbe der Druck in der äußern Kante des Schlußsteins und in den Bruchfugen ziemlich bedeutend sei, und empfehlen für vorsichtige Construction eine möglichst gleichförmige Vertheilung des Druckes über die ganze Fuge, sind auch der Ansicht, daß die Lösung dieser überaus wichtigen Frage von rationaler Verwendung des Mörtels und vorsichtiger Ausführung des Gewölbes abhängig sei.

Man verdankt übrigens Lamé die erste Idee derjenigen Vereinfachung, welche darin besteht, daß angenommen wird, die Bruchfuge bilde sich in einer verticalen Ebene, was die Lösung aller auf das Gleichgewicht der Gewölbe bezüglichen Fragen wesentlich erleichtert.

Dieselbe Hypothese wurde auch von Carvallo (Annales des ponts et chaussées, 1853), von Hagen (Ueber Form und Stärke gewölbter Bögen, 1844, zu Grunde gelegt. Andere Autoren, wie Scheffler (Theorie der Gewölbe, 1857) verwerfen diese Substitution, da sie der äußeren Gewölblinie allen Einfluß auf die Drucklinie absprecht, indeß beweisen die Thatfachen, daß auch letzterer Einwurf nicht sehr erheblich ist.

Navier fügt, nachdem er gezeigt hat, daß in einem an der Grenze der Stabilität befindlichen Gewölbbogen die Bruchfugen auf der Außenseite des Schlußsteins und auf der Innenseite des Fußes liegen, bei, daß die Drucke, da die Wölbleine nicht vollkommen harte Körper seien, nicht als in einer Kante concentrirt angenommen werden könnten, sondern, daß man der Elasticität des Materials Rechnung tragen müsse, um die Kräfte aufzufinden, denen die Steine ausgesetzt seien. In Ermangelung positiver Kenntnisse über die Vertheilung des Druckes setzt Navier, sich auf die sogenannte Hypothese des Trapezgesetzes stützend, voraus, daß der Druck im Schlußstein in der inneren Wölblfläche und in der unteren Bruchfuge auf der äußeren Wölblfläche Null sei und daß der größte Druck in beiden Fugen das Doppelte des mittleren Druckes betrage. Dieselbe Voraussetzung nahmen auch andere Gelehrte an und unter Anderen Carvallo; es kann dieselbe aber nicht als eine Lösung, sondern nur als eine bloße

Civilingenieur XX.

Annäherung bezeichnet werden, welche in einzelnen Fällen ziemlich richtig sein mag, in anderen aber sicher nicht paßt.

3) Die Anwendung graphischer Methoden zur Aufsuchung der Bedingungen des Gleichgewichtes eines Gewölbes, welche Mery zuerst seit 1827 versuchte (Annales des ponts et chaussées, 1840), konnte in die Dunkelheit des Problems kein Licht bringen, trug aber viel zur Vereinfachung bei der Anwendung der theoretischen Principien bei. Geometrische Constructionen bieten vor der Analyse nicht nur den Vorzug größerer Deutlichkeit und rascherer Lösung, sondern machen auch complicirte Doctrinen verständlicher und populärer, lassen sich mit gleicher Leichtigkeit auf die verschiedensten Fälle anwenden und heben Unbestimmtheiten deutlicher hervor. Die Druckcurve, welche sich aus den Coulomb'schen Untersuchungen direct ergibt, bestimmt die Vertheilung und Intensität der Drücke im ganzen Gewölbe, hängt aber von der Wahl von drei Punkten ab, einer im Schlußsteine, zwei an den Gewölbschenkeln, in welchen eine bestimmte Vertheilung des Druckes angenommen wird. Die Intensität des Schubes und der in den Fugen entstehenden Drücke hängt also von einer neuen Hypothese ab, welche in die Rechnung einzuführen ist. In Rücksicht hierauf sprach Mery die Ansicht aus, daß nur unter Zugrundelegung mehr oder weniger unsicherer Annahmen über die Senkung eines Gewölbes während der Ausrüstung vorausgesehen werden könne, welche Curve in Wirklichkeit entstehen werde, und diese Aeußerung ist hier besonders zu constatiren, da sie den Ausgangspunkt für die Dupuit'schen Untersuchungen bildet.

Vron de Villarceaux, dessen Arbeit (Mémoire sur l'Etablissement des Arches de ponts) von der Academie française prämiirt wurde, faßte die Frage in anderer Weise auf. Da er die Unmöglichkeit zugeben mußte, die wahre Lage der Drucklinie in einem Gewölbe vorauszusagen, so versuchte er die innere Wölblinie derartig zu modificiren, daß die Drucklinie genau durch die Mitte der Gewölbsstärke gehe. Bei dieser Untersuchung, zu welcher er sich der Hilfsmittel der höchsten Analyse bediente, machte er die Annahme, daß in Folge gewisser constructiver Hilfsmittel der Druck der Uebermauerung normal auf die äußere Wölblinie (und nicht vertical, wie gewöhnlich angenommen wird) wirke. Unter dieser Voraussetzung können die Massen der Uebermauerung bezüglich des auf das Gewölbe ausgeübten Druckes mit einer Flüssigkeit von gleicher Dichtigkeit verglichen werden, was kaum zulässig erscheint. Wenn die gewöhnliche Hypothese für manche Theile des Gewölbes als ungenau anerkannt werden muß, so entfernt sich doch gewiß die Villarceaux'sche Hypothese noch weiter von der Wahrheit.

Auf Grund dieser Hypothese modificirt der genannte Autor das Profil einer großen Zahl von Brücken und vermindert ebenso die Stärke

struiren. Er ist auch überzeugt, daß sich dies praktisch ausführen lasse, ohne zu bedenken, daß seine Methode keineswegs alle übrigen Curven unmöglich macht. Seine Lösung, die mit einem enormen Aufwand von Rechnungen und mit Hilfe der elliptischen Integrale gewonnen worden ist, berücksichtigt nur einen speciellen Fall, nämlich denjenigen, wo die Uebermauerung oben horizontal abgeglichen ist. Sie ist die Negation aller üblichen Theorien über den Einsturz der Gewölbe, so daß man nicht begreifen kann, wie ein Einsturz vorkommen könnte, wenn die Villarceau'sche Curve die richtige wäre.

Ich will es unterlassen, auf diejenigen Gewölbetheorien einzugehen, welche auf die Kettenlinie oder eine ähnliche Curve basirt sind, weil sie im Allgemeinen, ob sie gleich in einzelnen Fällen hinreichend befriedigende praktische Resultate liefern, sich allzu hypothetisch halten und überdies den anerkannten Principien über den Bruch der Gewölbe nicht Rechnung tragen. Ich beschränke mich daher darauf, diese Hypothesen, welche sich auf ein mehr oder weniger allgemeines Princip stützen, hier bloß anzuführen.

Es sind drei hierhergehörige Theorien zu besprechen: die erste beruht auf dem Princip des kleinsten Widerstandes, welches man Moseley verdankt (*Philosophical Magazine*, 1833) und das Scheffler weiter entwickelt hat; die zweite auf dem Princip der Maximalstabilität von Drouet (*Ann. des ponts et chauss.* 2. semestre 1865), mit eleganten Constructionen graphisch entwickelt von Durand-Claye (*Ann. ponts et chauss.* 1867), und die dritte von Dupuit (*traité de l'Equilibre des Voutes*, 1870) auf der Annahme, daß im Gewölbe wahre Charniere oder Drehpunkte existiren.

4) Moseley's Princip besteht in der Annahme, daß unter allen Gruppen von Kräften und Widerständen, von denen jede für sich ein System in Gleichgewicht zu setzen im Stande ist, diejenige Gruppierung in Wirklichkeit stattfindet, durch welche die kleinste Resultante erzielt wird. Es ist dies ein metaphysisches Princip, nach welchem die Natur das Gleichgewicht eines Systems mit dem geringsten Aufwand von Kraft herzustellen suchen soll. Der Beweis dieses Principes, wie er von Moseley geliefert wird, ist besonders unklar und unvollkommen, und Scheffler bemerkt in dieser Beziehung, daß bei verticalen äußeren Kräften die verticale Componente der allgemeinen Resultante der Summe der Gewichte gleich sein muß, und daß daher das Minimum bloß die horizontale Componente betreffen kann, also den Gewölbeschub.

Aber bei der Anwendung dieses Principes auf die Gewölbe setzt Scheffler die absolute Unpreßbarkeit des Materiales und eine unendlich große Festigkeit voraus. Alsdann wird die Auffuchung der Drucklinie eines Gewölbes ziemlich einfach, sie besitzt aber nothwendigerweise drei Berührungspunkte in den Gewöblinien, und in solchen Punkten läßt sich unmöglich eine Vertheilung des totalen Druckes annehmen, sodaß ein großer Theil der Brückengewölbe einstürzen müßte,

wenn diese Theorie richtig wäre. Das Princip vom kleinsten Widerstande erklärt die Art der Construction als ganz einflußlos auf die Lage der Druckcurve, die zwischen die steine gegebene Mörtelschicht wäre ohne alle Wirkung das natürliche Gleichgewicht eines Gewölbes nähme sehr instabilen Charakter an.

Drouets geht von folgender Anschauung aus: Natur entwickelt die molecularen Widerstandskräfte in dem Maße, wie sie gerade erforderlich sind, um den äußeren Kräften, welche auf die Moleküle wirken, Gleichgewicht zu halten. Wenn daher solch ein Complex von Widerständen vorhanden ist, daß der größte davon kleiner ist, als der Widerstand jedes andern ebenfalls im Gleichgewicht befindlichen Systems, so ist dies diejenige Gruppierung, welche den speciellen Bedingungen des Problems wirksam wird, jede andere Gruppierung stärkere und daher unnütze Widerstände hervorrufen würde. Auch dies ist ein Princip des kleinsten Widerstandes, jedoch in anderer Form, und es darauf hinaus, daß man fragt: wenn das Gleichgewicht gegebenen Gewölbes mit einer höchsten Anstrengung des Materiales von beispielsweise 30^k pro Quadracentimeter möglich ist, warum soll man da annehmen, daß die größte Anstrengung größer sei? Hieraus folgt, daß unter den endlich großen Zahl von Curven, welche in einem Gewölbe möglich ist, nur diejenige in Wirklichkeit sich bilden wird, welche die größte Anstrengung für die Flächeneinheit erfordert, als die größte Anstrengung, welche jeder andern entspricht, daß also die wirkliche Curve diejenige der größten Stabilität ist.

Dupuit macht, um die Unrichtigkeit des Drouets Principes darzuthun, hiergegen folgenden Einwand. Betrachtet man einen Balken von 600^k Gewicht, welcher auf drei gleich weit von einander entfernten Stützen ruht, versucht man die Drücke in jedem Punkte zu bestimmen, betrachtet die Statik dieses Problem als unbestimmt und für jeden Stützpunkt eine Menge Lösungen zu, wie sie eine Menge Drucklinien für ein Gewölbe von einer bestimmten Form statuirt. Wenn man aber das Drouets Princip annimmt, so wird man sagen, daß der Druck an jedem Stützpunkt 200^k betragen müsse, da jede andere Vertheilung des totalen Druckes Seitens der widerstehenden Kräfte höhere und folglich nutzlose Anstrengungen erfordert würde. Nun weiß aber Jedermann, daß unter Zuglegung der Gesetze der Elasticität dies nicht diejenige Vertheilung ist, welche in Wirklichkeit stattfindet.

Da ich andererseits gefunden hatte, daß die Anwendung des Drouets'schen Principes mittelst der graphischen Methode von Durand-Claye zu einem ziemlich langen und complicirten Proceß führe, so habe ich, um mir eine klare Vorstellung der praktischen Resultate, auf welche dasselbe führt, zu machen, den Versuch gemacht, dasselbe zu vereinfachen, indem ich

für das Gleichgewicht stark genug ist. „Prüfen wir,“ sagt dieser Autor, „die Consequenzen einer Curve, welche in keinem Punkte die innere Laibung berührt, so ergiebt sich, daß derselben im Vergleich zu einer tangirenden Curve ein größerer Schub entspricht. Welche Gestalt auch das Gewölbe haben mag, so muß angenommen werden, daß vor dem Ausrüsten darin kein Schub vorhanden ist, und daß während dieser Operation der Schub durch alle Stärtegrade hindurchgehen wird, welche geringer sind, als der definitive Schub, daß derselbe also, ehe er zu derjenigen Stärke gelangt, welche erforderlich ist, um die innere Curve zu erzeugen, durchgegangen ist durch diejenige Stärke, welche für das Gleichgewicht erforderlich ist. Wenn also das Ausrüsten langsam erfolgte, so müßte in diesem Momente jede Bewegung aufhören und die Curve könnte nicht ins Innere vorrücken. Wenn dagegen die Ausrüstung plötzlich erfolgen sollte, so könnte der Gewölbschub in Folge der vom Gewölbe angenommenen Geschwindigkeit diesen Grenzwert überschreiten, würde aber bald, gegen das Gewölbe selbst reagierend, an Intensität abnehmen und nach einigen Oscillationen bei derjenigen Stärke stehen bleiben, welche für das Gleichgewicht erforderlich ist.“

Dies ist ein richtiges Raisonnement: der Schub kann nicht mehr wachsen und die Curve kann sich nicht von c abtrennen und ins Innere des Bogen vorrücken, so lange nicht die rechte Gewölbhälfte in Folge ihrer Gestalt oder Dichtigkeit einen stärkeren Schub ausübt, als die andere Hälfte. Wäre nämlich q das Gewicht der Cubikeinheit und sind a und b die Hebelarme des Schubes Q in p und der Gewölbsfläche P = c d n m in Bezug auf den Punkt c, so hat man

$$Q = P \frac{b}{a} q. \quad (1)$$

Wächst die rechte Hälfte in der Dichtigkeit auf $q_1 > q$, so müßte auch $Q_1 > Q$ werden, wenn der Durchgangspunkt des Schubes in der Schlusfuge derselbe bliebe. Soll aber die Gewölbhälfte von der Dichtigkeit q einen Widerstand

$$Q_1 > P \frac{b}{a} q$$

leisten, so muß, da P nicht größer wird, das Verhältniß $\frac{b}{a}$ wachsen und also der Mittelpunkt des Druckes in der Fuge c d über c hinausrücken. Hiernach ist bewiesen, daß das Gleichgewicht unmöglich sein würde, wenn in Folge eines derartigen Effectes der Mittelpunkt des Druckes links von d zu liegen käme.

Um die Curve der Pressungen nach dem Dupuit'schen Princip vollkommen zu bestimmen, bleibt nur noch übrig, anzugeben, wie der Mittelpunkt des Druckes in der Scheitelfuge zu finden ist. Ist der Drehpunkt des halben Bogens bestimmt, so sieht man, in welchem Sinne die Drehung erfolgen

wird, und es läßt sich mit einem Kreisbogen die Trajectorie jedes seiner Punkte verzeichnen. Es wird z. B. die Scheitelfuge n m (Fig. 1) in der unendlich kleinen Zeit dt die Lage m' n' annehmen. Die zwischen diesen beiden Lagen befindlichen Bögen lassen sich als Proportionale zu dem von jedem Punkte durchlaufenen Raume $\frac{dv}{dt}$ ansehen und man hat nur den Schwerpunkt des Trapezes m n m' n' zu bestimmen, um die Lage der Resultante zu finden. Nimmt man z. B. einen Stichbogen a b n m (Fig. 2), für welchen die Bruchfuge die Widerlagfuge a b sein wird, und ist $a n = R$, $a m = r$, $\angle o a n = \beta$, $\angle o a m = \alpha$, $o m = b$, $m n = s$, so würden sich bei der Drehung des Gewölbes um a die Winkel α und β um gleichviel vermindern, wenn die Bogenhälften kein Hinderniß fände. Da aber hier m n in der Verticalen zu bleiben genöthigt ist, so folgt, daß die horizontale Zusammendrückung in jedem Punkte des Schlussteins der Abnahme der horizontalen Projectionen der von a nach diesen Punkten gezogenen Strahlen proportional ist. Die Projection von R ist $R \cos \beta$; variirt β um $d\beta$, so vermehrt sich die Projection um $R \sin \beta d\beta$. Aber $R \sin \beta = b + s$, also ist die Compression in a proportional $(b + s) d\beta$. Für Punkt m ergiebt sich auf dieselbe Weise der Druck proportional $b d\alpha$, und da $d\alpha = d\beta$, so verhalten sich die Zusammendrückungen in n und m wie $(b + s)$ zu b. Hiernach kann der Mittelpunkt des Druckes nicht in der Mitte von d m liegen, sondern er liegt näher n als m. Bekanntlich werden aber, wenn die auf eine Fläche $m n = s$ (Fig. 3) im Abstände $p o = u$ von der Mitte wirkende Kraft Q sowohl in m, als n Druck erzeugt, wozu nur $u < \frac{1}{6} s$ zu sein braucht, die Maximalkraft $R = n n'$ und die Minimalkraft $r = m m'$ gefunden durch

$$R = \frac{Q}{s} \left(1 + \frac{6u}{s}\right), \quad r = \frac{Q}{s} \left(1 - \frac{6u}{s}\right). \quad (2)$$

Setzt man $n p = c$, so wird $u = \frac{s}{2} - c$ und

$$\frac{R}{r} = \frac{2s - 3c}{3c - s}$$

und wenn man für $\frac{R}{r}$ substituirt $\frac{b + s}{b}$, so folgt:

$$c = \frac{s}{3} \frac{3b + s}{2b + s}, \quad (3)$$

woraus sich ergiebt, daß c stets kleiner als $\frac{s}{2}$ ist. Für $b = 0$, was bei Scheitrechten Gewölben stattfindet, wird $c = \frac{s}{3}$, für eigentliche Gewölbe fällt es zwischen $\frac{s}{2}$ und $\frac{s}{3}$.

Wenn aber der Drehpunkt und der Durchgangspunkt der Curve durch die Schlusfuge bekannt sind, so ist diese

elbst ganz bekannt, es ist jedoch noch nicht sogleich zugegeben, daß diese Curve den definitiven Widerstand des Gewölbes repräsentire. Da der in der Bruchfuge der Druck gänzlich in einem Punkte concentrirt ist, ist derselbe die Zerdrückung des Gewölbes oder zum mindesten solche Deformationen verursachen, daß hierauf folgen müßte.

Es ist ein Umstand, der Dupuit keineswegs entgangen ist, er sagt: „Bei der vorgetragenen Rechnung ist vorzutsetzen, daß der Punkt a unverändert bleibe, derselbe wird wegen der Zusammenrückbarkeit des Materials sich nur um eine geringe Quantität senken, diese Senkung aber eine Verminderung des Druckes in a und des Widerstandes des Punktes p. Wenn der Druck in a würde, wozu nur eine Senkung von m um b da eine um so kleinere Größe nöthig ist, je kleiner da

ist $c = \frac{s}{3}$. Wenn sich dann a senkte, so würde sich m und n nähern, ohne es jedoch zu erreichen, aber Gleichgewicht eintritt, obschon nicht anzunehmen ist, daß eine Kraft auf eine unendlich kleine Fläche wirksam sein kann, weil sie darin eine unendlich hohe Pressung ausüben würde. Die Biegung der gegeneinandergebrückten Gewölbe giebt der Berührungsstelle eine gewisse Ausdehnung, die Resultante geht durchs Drittel derselben. Es läßt sich die Ausdehnung der Berührungsstelle nicht berechnen, von der Zusammenrückbarkeit des Materials abgesehen. Das Gleiche gilt vom Punkte a. Wenn wir sagten, die Resultante gehe durch einen Punkt, so haben wir das Material gewissermaßen incompressibel angenommen, wie es bei Eisen oder stählernen Keilen ungefähr der Fall sein mag. Aber bei Steinen und besonders Mörtel geben nach, so daß die Berührungsfläche bilden und die Resultante in einem Punkte von a gleich ein Drittel der Höhe dieser Fläche gehen wird.“

Uebrigens versichert Dupuit, daß bei sorgfältiger Ausführung die Berührung nahezu in einem Punkte erfolge, die Fläche, welche sich beim definitiven Gleichgewichte um den Drehpunkt erzeugen möge, stets so klein sein mag, daß sie das Princip nicht umstoßen könne, daß dieser Druck die Pressungen bei großen Brücken weit stärker ist als die von den Erbauern nach einer falschen Theorie berechneten. Doch lasse sich auch unter solchen Verhältnissen der Widerstand der Wölbfeste leicht erklären. „That,“ sagt er, „belasten die Constructeurs die Mauerwerk der Regel nur mit einer permanenten Last gleich dem Druck herbeiführenden Last, und wenn dann eine Veränderung des Mauerwerthes der Druck sich ändert, so ist dafür großer Spielraum vorhanden. Sehen wir beispielsweise zu, was sich ergibt, wenn der Druck in der Bruchfuge zu 450^k auf eine 1^m breite Zone des Ge-

wölbes berechnet wäre. Da der gepresste Stein bei zehnfacher Sicherheit 10^k pro Quadrat-Centimeter zu tragen im Stande ist, so brauchte die Fuge nur 0,45^m lang zu sein, wenn der Druck gleichförmig vertheilt wäre, man giebt aber 0,90^m Länge mit Rücksicht darauf, daß die Resultante im dritten Theil der Länge durchgeht. Ginge dieselbe nun bei 0,05 der Länge durch, so betrüge die Pressung 60^k, ginge sie bei 0,04 durch, so betrüge dieselbe 75^k anstatt 10^k wie angenommen war, es ist also ein Zerdrücken des Steines noch nicht zu befürchten.“

Da nun aber Dupuit den Fall vorgeesehen hat, daß die Resultante bei 0,04 der Länge durch die Bruchfuge hindurchgeht, warum ist er mit seiner Beweisführung nicht noch weiter gegangen und warum hat er nicht angenommen, daß der widerstehende Theil sich auf 9 Centimeter reducire? Weil dann der größte Druck genau 100^k betragen, also dem angenommenen Coefficienten der Bruchfestigkeit gleich werden und das Gewölbe zerdrückt werden würde. Bleibt man aber auch bei der größten Belastung von 75^k und selbst einer geringeren stehen, so läßt sich aus verschiedenen Gründen und Thatsachen schließen, daß eine so starke Belastung mit $\frac{3}{4}$ des Bruchcoefficienten in kurzer Zeit bedenkliche Zusammenrückungen und bleibende Deformationen hervorrufen würde.

Ich will dagegen ein anderes Exempel aufstellen. Betrachtet man das Gewölbe abnm (Fig. 2), dessen Sehne $ao = 10^m$ und dessen Bogenhöhe $om = 2^m$, dessen Stärke im Schlussstein aber 0,9^m betragen möge, und welches mit einer 1^m starken Uebermauerung (incl. der darauf reducirten zufälligen Last) belastet sein möge. Nehmen wir der Kürze halber eine verticale Stellung der Widerlagerfuge an, und ein Mauerungsmaterial von 2200^k Gewicht pro Cubikmeter. Der Schub in der Scheitelfuge berechnet sich nach der Dupuit'schen Formel (3) auf

$$c = \frac{s}{3} \frac{3b + s}{2b + s} = \frac{0,9}{3} \frac{3 \cdot 2 + 0,9}{2 \cdot 2 + 0,9} = 0,4224^m.$$

Setzen wir voraus, daß die Resultante im Widerlager 4^m über Punkt a die Fuge schneide, so betrüge der Abstand des höchsten Punktes der Mittellinie des Druckes

$$2^m + (0,9 - 0,4224) = 0,04 = 2,4376,$$

und wenn die innere Gewölblinie eine Parabel ist, so folgt

$$\text{Fläche } arsm = \frac{2}{3} \cdot 10 \cdot 1,90 = 25,666^m$$

und deren Moment:

$$M = \frac{2}{3 \cdot 4} 10^2 + \frac{1,9}{2} \cdot 10^2 = 111,66,$$

so daß sich der Gewölbeschub pro Quadratmeter berechnet auf:

$$Q = \frac{111,66}{2,4376} \cdot 2200 = 100782^k.$$

Dies beträgt auf eine 1^m breite Zone 1007,82^k und giebt im Widerlager, wenn dessen Fläche auf 12 Quadr-

Centim. reducirt ist, einen mittleren Druck von 84^k , also einen Maximaldruck von 168^k . Betrüge aber auch der Querschnitt 18^{cm} , so erhielt man dennoch einen Schub von $1016,18^k$ pro Centimeter Breite und daher einen mittleren Druck im Widerlager von $\frac{1016,18}{18} = 56,45^k$, so daß der Maximaldruck $112,90^k$ immer noch größer wäre, als die Bruchfestigkeit des Materiales.

Es weiß aber Jedermann, wie viel Brücken namentlich in der letzten Zeit gebaut worden sind, mit noch stärkeren Belastungen als in dem betrachteten Beispiele, und dennoch zeigen sich dieselben hinreichend stabil. Daher muß die Größe der den Druck aufnehmenden Fläche in der Bruchfuge größer sein, als Dupuit findet, und das Princip des Drehpunktes muß bei der Herstellung des definitiven Gleichgewichtes Modifikationen erleiden. Wir wollen daher nunmehr verschiedene Erfahrungsdata durchgehen und besonders die von Dupuit zur Stütze seiner Theorie angeführten Beobachtungen an der Brücke von Nemours.

6) Das Gewölbe der Brücke von Nemours ist nach einem Kreisbogen von $16,13^{\text{m}}$ Sehnenlänge und $1,10^{\text{m}}$ Pfeilhöhe geformt, ist im Schlußstein $0,97^{\text{m}}$ stark und horizontal abgeglichen, so daß die Höhe der Widerlagerfuge $2,10^{\text{m}}$ beträgt. Um beim Ausrüsten des Gewölbes dem Setzen vorzubeugen, hatte der Ingenieur Voistard, welcher die Brücke projectirt und ausgeführt hat, die Vehrbögen im Scheitel um $0,19^{\text{m}}$ überhöht. Die Rüstung war eine polygonale, und zwar ohne Kette, und diesem Umstande ist es zu verdanken, daß folgende, von Herrn Voistard gesammelte Notizen nicht erst nach dem Ausrüsten, sondern schon während des Baues wahrgenommen werden konnten.

„Während der Aufbringung der ersten und zweiten Schicht von Wölbsteinen begab sich nichts Bemerkenswerthes, als man aber die dritte legte, zeigte sich, daß die Ordinate der zweiten kleiner geworden war und diese Abnahme rührte vom Nachgeben der Unterlagen und von der Zusammenbrückung der Steine her. Je weiter der Bau fortschritt, um so beträchtlicher wurde das Nachgeben, jede Lage Steine hatte neben ihrem eigenen Sitzsegen eines, welches dem Nachgeben der vorausgegangenen Lage proportional war. Es ergab sich daraus, daß in Folge der Biegung des Gerüstes die Wölbsteine längs der Fugen aufeinander etwas hinglitten und durch diese Bewegung die Cohäsion des Mörtels zerstört wurde. Das Nachgeben des Gerüstes hatte hauptsächlich nachstehende Folgen.

„Während und nach dem Ausrüsten öffneten sich die Widerlagerfugen in der äußern Wölbfläche und zogen sich innen zusammen, was bei den drei ersten Fugen in bemerkenswerther Weise erfolgte (Fig. 4). Die erste öffnete sich um 27 , die zweite um 18 und die dritte Fuge um $4,5^{\text{mm}}$, während das Zusammengehen resp. $11,3$, $6,8$ und $4,5^{\text{mm}}$

betrug. Die folgenden Fugen haben sich auf die ganz bloß mehr geschlossen, die Schlußsteinfugen desgleichen, aber minder auffällig als beim Widerlager, da man Vorsicht gebraucht hatte, sie mit Keilen von sehr trockenen Eichenholze zu verpeizen.

„Wir müssen hier einer eigenthümlichen und wichtigen bachtung gedenken, nämlich der, daß nach dem Ausrüsten Widerlagerfugen, welche äußerlich $4,5$ und innerlich weit gemacht worden waren, sich, wie bemerkt, äußerlich 27^{mm} geöffnet und innerlich um $11,3^{\text{mm}}$ geschlossen. Die Oeffnung fand über die ganze Ausdehnung der horizontalen Lage Wölbsteine gleichförmig statt von Stirn des Gewölbes bis zur andern, so daß sich sehen ließ, wie die erste Lage Steine auf dem Rämpfer nur in einer 33^{cm} breiten Fläche aufruhte.“

Aus diesen genau beschriebenen Beobachtungen stard's folgt, daß beim Ausrüsten eine wirkliche U der Vogenhälfte um die Widerlagerkante stattfand, und nach eingetretenem Gleichgewicht die Berührungsfläche $0,33^{\text{m}}$ hoch war. Bezüglich des Schlußsteins war das Resultat minder bemerklich, weil die eingetriebenen Keile selbst schwächten, die Fugen schlossen sich indessen äußeren und öffneten sich in der in der inneren Laibung leistete also auch hier bloß ein Theil der Fugenfläche verstand.

7) Weiter will ich über ein anderes ähnliches V berichten, nämlich über die Monabrücke vor den Th von Mailand in der neuen Straße von Porte Genoa. Diese nach einem Kreisbogen geformte Brücke hat 10^{m} und 1^{m} Pfeil, ist im Scheitel $0,6^{\text{m}}$ und im Widerlager stark, und wurde aus Ziegeln gefertigt, nur waren im eine große Platte von Beolasandstein von 8^{cm} Stärke zwei 7^{cm} starke dergleichen rechts und links davon eingesetzt etwa in der Hälfte der Höhe. Das Gewölbe ist an Rücken freisförmig und wurde auf einem im Scheitel 11^{cm} überhöhten Vogengerüst ausgeführt. Bevor es ausgerüstet wurde, brachte man in dem mittleren desselben zwischen den seitlich eingemauerten Sandstein gleichförmig vertheilte Ziegelsteine auf. Die Breite des Wölbkes betrug 15^{m} und die belastete Fläche $15,5$ Quadr.=Meter. Die aufgelegten Ziegel wogen in nassen Zustande $4,4^k$ und es gingen davon 60 auf ein Quadratmeter. Da 5 Schichten Ziegel übereinandergelegt so berechnet sich die aufgebrachte Last auf $4,4 \cdot 60 \cdot 5 =$ pro Quadratmeter.

Das Vogengerüst war von derselben Constructio bei Nemours, also ohne Kette, und in Folge seiner Biegung fand unter der aufgebrachten Last eine Senkung welche von Mani auf der inneren und äußeren Gew

aufgenommen und derart verzeichnet worden sind,*) daß
ern links von den Ordinaten die nach der Berechnung
ometrischen Bogen zukommenden Ordinatenwerthe und
hts danebenstehenden Ziffern die nach der Senkung
eten Werthe bedeuten. Aus der Vergleichung dieser
ten ergibt sich, daß nach dem Sehen die innere Wölb-
ist genau die beabsichtigte geometrische Form ange-
a hatte, der Scheitel hatte sich also fast genau um
ejent, als das Bogengerüst überhöht war (11^{cm}).

n anderer wichtigerer Umstand ist der, daß die Wider-
en sich wie bei der Brücke von Nemours nach außen

haben, jedoch mit dem Unterschiede, daß die Abtren-
c (Fig. 5) nicht längs der Linie a d des Widerlagers,

in fast verticaler Richtung von einem um 11 bis
om Punkte a absteigenden Punkte b stattgefunden hat.
dies ein bemerkenswerther Umstand, dessen anderweite
ung nachher noch besprochen werden wird, und wel-
weist, daß die Hypothese der verticalen Fugen an Stelle
malen recht wohl zulässig ist. Das Aufmachen der
gsfuge war von einer Stirnseite des Gewölbes bis
ern wahrnehmbar.

a ich zu spät benachrichtigt war, konnte ich die vor-
en Thatfachen nicht selbst in Augenschein nehmen; ich
dessen Herrn Ingenieur Nani erjucht, aufs Genaueste
fe der Spalten, ihre Weite und die Ausdehnung der
hen Widerlagerfläche aufzunehmen und habe hierüber
ende Notizen erhalten:

	Stirnseite			
	über dem Strom		unter dem Strom	
	stromauf- wärts	stromab- wärts	aufwärts	abwärts
a b der Spalten von denselben des Gewölbes in Centim.	15	15	11	11
Weite des Spaltes in Centim.	4	4,5	4	5
er Spalten in Centim.	78	81	76	79
ene Berührungslänge d in Centim.	32	29	34	31.

be Gewölbhälfte hatte also eine effective Drehung um
erlager gemacht, wobei auf der äußern Gewölbseite
ffnung von 4 bis 5^{cm} Weite und auf der inneren
eine entsprechende Zusammenbrückung der Mörtelfuge
en war; in der definitiven Gleichgewichtslage betrug
ie eigentliche Widerlagerfläche 29 bis 34^{cm} auf 1,1^m
nung, Ergebnisse, welche denjenigen bei der Nemours-
ang conform sind.

Ein weiteres Beispiel verdanke ich ebenfalls dem
rr Nani, nämlich die Brücke mit 6 Oeffnungen

Diese Tafel ist ihrer Größe wegen hier weggelassen. D. Red.

über den Ticino in der Flucht der Eisenbahn von Mailand
nach Vigevano. Jedes Gewölbe hat Kreishbogenform mit
25,4^m Spannweite, 4,5^m Pfeilhöhe, 0,9^m Stärke im Scheitel
und 1,3^m Stärke im Widerlager. Die das Widerlager bil-
denden Wölbsteine sind aufgerichtet, d. h. die eigentliche Wi-
derlagfuge (a d, Fig. 6) liegt bereits um 20^{cm} im Gewölbc-
bogen. Beim Ausrüsten zeigten sich dieselben Erscheinungen,
doch kann ich darüber keine Specialitäten berichten, da die
numerischen Werthe nicht aufgenommen worden sind. Es
ist indessen constatirt worden, daß sämtliche Bogen in den
Widerlagfugen von der äußeren nach der inneren Wölblinie
hin auflasteten und zwar in fast verticaler Richtung b c wie
bei der Donabrücke und die Beschaffenheit der Oeffnung läßt
sich daraus abnehmen, daß zur Ausfüllung der entstandenen
Klüfte nach Wegnahme von drei zerdrückten Ziegeln, deren
vier eingesetzt werden mußten, was eine Weite des Spaltes
von 5^{cm} giebt.

Die vorgeführten Thatfachen sind nicht zahlreich, bestä-
tigen aber hinreichend die Drehung der Gewölbe bei dem
Ausrüsten.

9) Es entsteht nun die Frage, wie ist es gekommen,
daß so wichtige, so leicht zu constatirende, so in die Augen
fallende und so häufig zu beobachtende Erscheinungen die
Aufmerksamkeit der Techniker und Gelehrten nicht mehr er-
regt haben? Wie kommt es, daß bei der Berechnung der
Gewölbe noch immer eine gleichförmige Vertheilung des
Druckes vorausgesetzt und höchstens auf das Doppelte als
Maximaldruck Rücksicht genommen wird?

Hierfür mag der Grund darin zu suchen sein, daß diese
Erscheinungen sich nicht immer so deutlich zeigen, als in den
geschilderten Fällen. Augenscheinlich wird die Senkung des
Scheitels bei Stichbogengewölben stärker als bei Halbkreis-
gewölben sein. Bei Brücken mit vollem Birkel, bei denen
die Bruchfuge höher als das Widerlager liegt, zeigt sich wohl
eine leichte Neigung eines Wölbsteins gegen den andern in
den Bruchfugen, wodurch die Mörtellage auf der inneren
Wölbfläche zusammengedrückt wird, es wird auch bisweilen
ein Rißchen auf der äußern Wölbfläche bemerkt, aber niemals
in solchen Proportionen wie bei Stichbögen. Trotzdem sind
derartige Indicien hinreichend, um zu folgern, daß sich der
Druck nicht über die ganze Widerlagerfläche vertheilen kann.
Bisweilen zeigt sich auch bei Gewölben, die mit schwachen
Mörtelfugen ausgeführt sind, nach dem Ausrüsten das plötz-
liche Abbröckeln einer Steinschale an der Stelle der Berüh-
rung zweier Wölbsteine auf der inneren Wölbfläche und es
ist dies ein sicheres Merkmal dafür, daß hier ein besonders
starker Druck stattfindet. Uebrigens ist hinzuzufügen, daß
selbst bei Stichbogengewölben bei sorgfältiger Ausführung,
welche guten, homogenen und festen Mörtel, dünne Lager-
fugen und die Anwendung eines Hilfsmittels zur Aufhebung
des unmittelbaren Contactes auf der inneren Widerlagerfläche

voraussetzt, sich der Effect der Drehung des Gewölbes wesentlich abschwächen läßt.

Um ferner zu begreifen, wie auch bei Stichbogengewölben das Factum eines so bedeutenden Aufklaffens der Widerlagerfuge, daß die Widerlagsfläche auf ein Drittel und weniger reducirt wird, als etwas gewissermaßen Neues erscheinen konnte, muß man sich erinnern, daß in der Regel die Ausführung einer Brücke, deren Project vom Ingenieur entworfen worden ist, durch Unternehmer oder durch Accordarbeiter bewirkt wird. Diese, welche die Erscheinung lediglich auf falsche Construction schieben, haben alles Interesse an der Verheimlichung der Thatsache und verbergen sie dem Ingenieur, indem sie die bis zur Ausrüstung und nachher entstandenen Risse sorgfältig ausfüllen. Wie wahr diese Bemerkung sei, kann ich dadurch beweisen, daß der Unternehmer der Lonabrücke Bedenken trug, mir die durch Herrn Ingenieur Nani erbetenen Data zu überlassen, und erst darüber beruhigt sein wollte, daß diese Nachfrage bloß in theoretischem Interesse geschehe.

10) Im Nachstehenden will ich nun einen Versuch beschreiben, der im Jahre 1871 bei Gelegenheit der Mailänder Ausstellung abgeführt worden ist. Die Vergamascher Cement-Gesellschaft hatte nämlich dort einen Bogenmonolith aus Cement von folgenden Dimensionen ausgestellt:

Sehne des Bogens	8,08 m
Pfeil der inneren Wölblinie	1,95
Stärke im Scheitel	0,095
„ im Widerlager	0,28
„ der Widerlagspfeiler	2,00
Höhe der „ bis zum Bogenanfang	0,65
Länge des Bauwerkes zwischen den Stirnen	0,50.

Dieser außerordentlich dünne Gewölbebogen, welcher eine Sehenswürdigkeit der Ausstellung bildete, war aus Cement von Val Seriana (der nach Art des Portlandcementes bereitet war), Kies und Sand hergestellt und wurde nach Schluß der Ausstellung auf meine Vermittelung dem königlichen höheren Institute überlassen, damit er einer Probe unterworfen würde, deren Kosten die Gesellschaft mit übernahm. Um diesen Bogen in die Verhältnisse einer Brücke zu versetzen, wünschte ich, daß derselbe ungefähr 1 m hoch übermauert und dann noch durch darübergefahrte Gewichte belastet werden möge; da er aber an einem öffentlichen Platze stand, so war es unmöglich, damit so langwierige und soviel Vorbereitungen erfordernde Experimente anzustellen, zumal dieselben viel Kosten verursacht haben würden; ich beschloß daher, mich mit einer gleichförmig aufgetragenen Belastung zu begnügen und bloß eine Ziegelmauer ohne Mörtel darauf aufzuführen zu lassen, die Probe aber bis zum Bruch zu treiben, um die Bruchfuge aufzunehmen und alle sonst für das Gleichgewicht der Gewölbe interessanten Data sammeln zu können. Es wurde in halber Bogenhöhe eine solide hölzerne Bühne

errichtet, um die Belastung zu effectuiren, und diese rings mit einer genügenden Platz lassenden Bretterwand umgeben, um die Vorübergehenden vor Beschädigungen beim Einsturze des Bogens und letzteren vor zufälligen Verletzungen zu schützen. Die Vorkehrung zur Belastung zeigte sich unzureichend und ich mußte deshalb zu einem Laufstraß (scala-porta?) greifen, vorher aber erschien es nöthig, unter dem Bogen neuerdings die Rüstung aufzustellen, wobei 5 Centimeter Zwischenraum gegen die innere Wölblinie gelassen und drei feste gemauerte Säulen zum Tragen des Gerüsts aufgeführt wurden. Als dann die Belastungsmauer bereits einige Meter Höhe erlangt hatte, was nicht erwartet worden war, so schienen diese Vorkehrungen noch nicht genügend und es wurden noch auf jeder Stirnseite des Bogens zwei Holzstämme eingegraben und paarweise unter sich durch Querstübe verbunden, welche durch ausgesparte Oeffnungen in der Belastungsmauer hindurchgingen.

Um die Senkung des Bogens im Scheitel in jedem Augenblick beobachten zu können, hing ich mittelst eines Drahtes im Scheitel eine eiserne Tafel auf, welche zwischen zwei auf einer Kette stehenden Leitungen glitt und allen Bewegungen des Bogens folgte. Endlich wurde, um die Lage der Bruchfugen leicht und schnell aufnehmen zu können, auf der einen Stirnseite des Bogens mittelst schwarzer verticaler Linien eine Einteilung hergestellt, welche mit einer auf der inneren Kaibung vom Scheitel angetragenen und numerirten Theilung nach halben Metern correspondirte.

Die am 17. November begonnenen Belastungsproben endigten am 2. December mit dem Einsturz, waren jedoch nur mit zahlreichen Unterbrechungen vorgenommen worden. Es ist hier noch eines Umstandes Erwähnung zu thun, der sicher einigen Einfluß auf den Bruch und manche dabei vorgekommenen Erscheinungen gehabt hat, nämlich des Umstandes, daß der Bogen, wenn man denselben parallel zur Stirnseite betrachtete, nicht genau vertical erschien, sondern eine gewisse transversale Biegung zeigte, die wahrscheinlich die Folge ungleicher Austrocknung des Materiales war.

Die aufgetragene Belastung in Ziegeln wog 228,8^k pro hundert Ziegel und da zur Herstellung von 1 Cubikmeter trockner Mauer 680 Stück erforderlich waren, so betrug die Last pro Cubikmeter 1553,8^k. Nachdem am 17. Nov. die Curve der innern Kaibung aufgenommen worden war, begann man mit dem Aufbringen der Last über den Widerlagern mit vier Ziegelschichten auf dem Rücken des Gewölbes. Man ahnte damals noch nicht, daß diese ersten Materialschichten selbst ein Gewölbe bilden und einen Theil des Druckes der aufgetragenen Belastung aufnehmen könnten, mußte aber bald eine Unterbrechung darin von 4 bis 5 cm Weite herstellen, um die Spannung aufzuheben und mußte diese Oeffnung später noch etliche Male erweitern, je mehr die Last den Bogen zusammendrückte.

Am 29. November erreichte die Belastung im Scheitel 8 übereinanderliegende Ziegelschichten oder $2,9^m$ Höhe. An diesem Tage mußte die Belastung zwei Mal unterbrochen werden, um die Bogenrüstung niederzurücken, welche in mehreren Punkten die innere Laibung berührte, was eine schwierige und gefährliche Operation war, da die Ziegel aus den die Rüstung tragenden Pfeilern gleichzeitig und unter dem Druck des Gerüstes herausgenommen werden mußten. Als an diesem Tage die Arbeit eingestellt wurde, fand sich, daß der Gewölbebogen sich im Scheitel um 18^{mm} gesenkt hatte. Am Morgen des nächsten Tages fand sich, daß der Bogen während der Nacht nachgegeben und den Messingdraht zerprengt hatte, welcher den Einschnitt trug, welcher letztere sich zwischen den durch den Regen angeschwollenen hölzernen Führungen eingeklemmt befand. Die Bogenrüstung wurde abermals gesenkt und eine Mehrbelastung mit 5 Ziegelschichten aufgebracht, endlich die Curve des Gewölbes möglichst genau aufgenommen, wobei sich eine gesammte Senkung des Scheitels um 5^{cm} herausstellte, welche hauptsächlich in der Nacht erfolgt sein mußte. Sogleich nach dieser Aufnahme bemerkte ich die ersten Spuren des Bruches und zwar bestanden dieselben:

1. in einem Rißchen genau im Scheitel in nahezu verticaler Stellung, welcher ein wenig in der innern Gewölblinie aufklaffte, bis in die Mitte der Fuge reichte und 3^{cm} lang war. Derselbe ging nicht von einer Stirn bis zur andern, sondern dehnte sich horizontal bloß auf 10^{cm} Länge aus, was wohl auf den bereits erwähnten Fehler des Gewölbes zu schieben ist, nämlich auf die geringe Verdrehung desselben, welche sich namentlich an der aufgetragenen Belastungsmauer erkennen ließ.

2. in einem geraden Spalte in entgegengesetzter Richtung, nämlich einem von der äußern Wölblinie ausgehenden Risse in der Nähe des linken Widerlagers (Fig. 17) mitten zwischen den Theilpunkten 3,5 und 4. Dieser außen normal verlaufende Spalt von 7^{cm} Länge krümmte sich gegen unten ab und war in seinem oberen Theile von einer Stirn bis zur andern zu verfolgen, auf der hintern Seite aber wenig sichtbar.

3. in den ersten Indicien des Bruches in der Nähe des rechten Widerlagers bei Punkt 3,5, die jedoch wenig hervortraten. Die Verschiebenheit in der Tiefe der Spalten an den beiden Widerlagern rührt jedenfalls von dem mehrerwähnten Umstande ab.

Der Bogen zeigte also an drei Stellen Bruchfugen, im Scheitel und tiefer zwischen den Theilpunkten 3,5 und 4 in der inneren Wölblinie, und der Bruch war sichtlich durch die Belastung entstanden.

Man setzte die Belastung fort und als am 2. December 2 Ziegelschichten auf den Scheitel aufgebracht waren, nahm der Ingenieur Mileji, der mich bei den Versuchen persönlich unterstützt hatte, eine Photographie des Bogens auf.

Stollingenieur XX.

Als die aufgetragene Belastung 107 Ziegelschichten, welche eine $5,4^m$ hohe Mauer über dem Scheitel bildeten, erreicht hatte, constatirte ich selbst Folgendes:

1. daß der Spalt im Scheitel sich von der innern zur äußern Wölbfläche so vergrößert hatte, daß nur 5^{cm} unverseht blieben und derselbe sich gleichmäßig von einer Stirn zur andern fortsetzte;

2. daß sich auch der Spalt am linken Widerlager immer mehr ausgedehnt hatte, in einer krummen unregelmäßigen Linie nach Fig. 7 aufwärts gerichtet, und daß der unversehte Theil in der normalen Fuge, bis zu welcher der Spalt sich ausdehnte, ungefähr 6^{cm} betrug;

3. daß der Spalt in der Nähe des rechten Widerlagers sich ausgedehnt und nach oben gebogen hatte, wie auf der andern Seite, und daß der unversehte Theil auf ein Drittel der normalen Fuge, bis zu welcher der Spalt reichte, reducirt war. Uebrigens war es nicht möglich, die wahre Ausdehnung des unversehten Theiles genau anzugeben, da die am Gewölbrücken nur ein Paar Millimeter weiten Rißchen am Ende fast unmerklich wurden, so daß ihr Ende nicht genau zu fixiren war.

Wenige Stunden nach dieser letzten Aufnahme, in der Nacht vom 2. zum 3. December erfolgte der Einsturz, was ein Glück genannt werden kann, da eine weitere Belastung mit größten Schwierigkeiten und Gefahren verbunden gewesen sein würde. Letzteres wird einleuchten, wenn man sich die $5,4^m$ hohe Mauer auf dem Scheitel eines nur einen halben Meter breiten Gewölbebogens vergegenwärtigt, die nur aus trocken aufgebauten aber vom Regen durchnässten Ziegeln bestand und in Folge des mehrerwähnten Mangels eine Verdrehung besaß, zumal wegen der Ungleichförmigkeit unserer Ziegel äußerst schwer geradlinige Schichten hergestellt werden konnten. Am Morgen des 3. December wurde nur eine Ruine vorgefunden, das Gewölbe, die Bühne und die tragenden Pfeiler waren zusammengestürzt, die Säulen auseinandergerissen und das Ganze in einen Haufen zerbrochener Ziegel und zerrissener Hölzer verwandelt. Es ergab sich jedoch aus der Lage der am Boden aufgeschauften Massen, daß der oft erwähnte Fehler in der Construction des Gewölbes auch hierbei von Einfluß gewesen ist, da die Ziegel in der Mitte und auf der linken Seite gerade heruntergestürzt waren, während sie auf der andern Seite bis über die Holzschranke, welche das ganze umgab, hinausgeschleudert waren.

Die Distanz zwischen den Widerlagspfeilern wurde genau so groß, wie vor der Belastung gefunden, was ohne Zweifel neben der Güte des Materiales zu dem außerordentlichen Erfolge dieser Probe beigetragen hat. Man kann also bei genügend starken und unbeweglichen Widerlagern die Gewölbe bedeutend kühner construiren, als gewöhnlich zu geschehen pflegt.

Um letztere Behauptung zu bekräftigen, brauche ich nur

den in den Brücken von Souppes in Frankreich aus Kalkstein ausgeführten Versuchsbogen zu citiren, welcher dazu bestimmt war, zu versuchen, ob sich ein Bogen von 37,886^m Spannweite bei 2,125^m Pfeilhöhe (also $\frac{1}{18}$ der Sehne) mit 0,8^m Stärke im Scheitel und 1,10^m Stärke am Widerlager ausführen lasse. Hier bildete das Gestein selbst das eine Widerlager, während das andere durch eine sorgfältig ausgeführte Pfeilermauer von gleicher Breite mit dem Bogen (3,5^m), 8,19^m Höhe und 15,1^m Stärke an der Basis, 14,86^m oben getragen wurde. Dieser Bogen hat 1655^k Last pro Quadratmeter und eine darüber bewegte Last von 5510^k getragen, hat hierunter wie ein eiserner Bogen völlig elastische Bewegungen gezeigt und seine stärkste Einsenkung betrug im Scheitel ungefähr 2^{cm}, ohne daß sich ein Spalt gebildet hat. *) Wenn dieses Ergebnis mit anderweiten Erfahrungen in Widerstreit zu stehen scheint, so ist zu beachten, daß die Ausführung eine vorzügliche gewesen ist, da zur Vermeidung jedes Druckes auf die innere Wölbfläche die Widerlagfugen auf 5^{cm} Höhe mittelst provisorischer Keile von Fichtenholz nicht mit Mörtel versehen wurden, die Resultante des Druckes also nach dem Innern des Widerlagers und der den Druck aufnehmende Theil nach der Außenseite hin gewiesen wurde.

11) Unser Versuchsbogen unterschied sich von den andern betrachteten Gewölbebögen, sowohl der Form, als der Substanz nach; der Form nach, insofern die Drehanten nicht im Widerlager, sondern in einem höheren Punkte lagen, wie bei einem Gewölbe mit vollem Zirkel, obschon das Widerlager nur um 53° 8' gegen die Verticale geneigt war; der Substanz nach, da er nicht aus keilförmig zusammengestellten und durch Mörtel unter sich verbundenen Ziegeln oder Wölbsteinen gefertigt, sondern aus einem Gusse hergestellt, also mit einem Bogen aus Metall vergleichbar war. Die in der Scheitelfuge und an den Gewölbschenkeln entstandenen Risse sind durch Ausdehnung veranlaßt worden und das Experiment hat gezeigt, daß der Widerstand des Mörtels gegen Zug bedeutend geringer ist, als derjenige gegen Druck. Es mußten auch, um den Einsturz herbeizuführen, noch 108 — 63 = 45 Ziegelschichten oder eine Mauer von 2,35^m Höhe aufgebracht werden auf die Belastung, welche die ersten Risse erzeugt hatte. Bemerkenswerth ist ferner der krumme Verlauf der Bruchlinie an beiden Schenkeln (Fig. 7), da er an die Erscheinungen bei elastischen Trägern, erinnert, wenn sie einer transversalen Biegung unterworfen werden. Betrachtet man z. B. einen Balken a b c d (Fig. 16), welcher so stark in der Mitte belastet ist, daß die Cohäsion der Fasern zerstört wird, so erfolgt der Bruch im ersten Augenblick in

einer Ebene normal zur Aze und reicht bis zu einer gewissen Tiefe hinein; dauert die Kraft an, so erfolgt eine Trennung der Fasern längs der zur innern Krümmung concentrischen Fläche, welche an die Bruchstelle anstößt, und der Bruch nimmt die Form m n p an. Die Lage der Fuge, in welcher die Cohäsion zerstört wird, ist in der Regel nicht g p, sondern eine Ebene m n und es ergibt sich hieraus, daß die größte Compression pro Einheit nicht in dem Querschnitt des Bruches durch Dehnung erfolgt, was sich etwa so erklären läßt, daß in Folge des Nachgebens oder der Verfürzung der Fasern in h eine Drehung um g stattfinden sollte, daß aber, weil bereits in m eine Trennung der Fasern erfolgt ist, der Theil m n p sich hebt und dem Bestreben der Drehung um h gehorchend, die dargestellte Form des Bruchquerschnittes erzeugt.

Bei den gewöhnlichen Festigkeitsformeln wird diejenige Factum nicht Rechnung getragen, da dasselbe erst nach dem Beginne des Bruches, auf welchen sich die Stabilitätsuntersuchungen beziehen, zur Geltung kommt. Obige Betrachtungen erklären die bei dem Versuchsbogen beobachteten Erscheinungen, wir werden aber sehen, daß nach Eintritt des ersten Druckes sich nicht die stärkste Compression in c' (Fig. 7), sondern in einem um 30^{cm} darüber liegenden Punkte c bildete. Die auf die Widerstandsfähigkeit des Materiales bezüglichen Annahmen und was sich sonst auf meine Erörterungen bezieht, findet sich in No. 16, ich will aber immer hier bemerken, daß nach Eintritt des Zerreißen die Spaltung in der Scheitelfuge sich nur um 3^{cm} verlängerte, indem sie im untern Querschnitte bei 7^{cm} von der inneren Wölbfläche aufhörte, und daß im Stande der höchsten Belastung der unversehrte Theil der Scheitelfuge noch 5^{cm} lang war, an den Schenkeln aber 6,5^{cm}.

Die gesammelten Beobachtungen zeigen, daß das Princip in der Bruchfuge dahin wirkt, das Gleichgewicht in einem selbst überlassenen Gewölbe nach der Ausrüstung herzustellen, und daß selbst im definitiven Gleichgewichtszustande der Druck nicht nur in der Schlußfuge auf der Seite der inneren Wölbfläche und in den Bruchfugen an den Schenkeln auf der Seite der äußern Wölbfläche Null ist, sondern daß auch in diesen Fugen der Druck nur auf einen Theil der Fläche vertheilt ist, während der Rest Nichts zur Festigkeit beiträgt und gar keine Kraft aufnimmt. Dieses bei den Stiehbogengewölben deutlich hervortretende Phänomen wird auch, aber in geringerem Grade, bei den halbkreisförmigen Gewölben sichtbar, indem sich hier die beiden aneinanderstoßenden Keile, welche durch die Bruchfuge geschieden werden, gleichsam in der inneren Raibung berühren, wo die Dicke der Mörtelfuge fast verschwindet, während sie außen unvermindert ist. Die beiden Lagerflächen, welche anfangs parallel oder nahezu parallel waren, zeigen sich nach dem Ausrüsten gegeneinander mehr oder weniger geneigt.

*) Notices sur les modèles, cartes et dessins relatifs aux travaux publics, recueillis des Ministères d'Agriculture, du Commerce et des Trav. publ. pour l'Exposition à Paris de 1867.

artige Thatfachen müssen eine Modification der zeitlichen Annahme über die Vertheilung der Pressungen Gewölben und über die wirkliche Lage der Curve der zur Folge haben, sie zeigen aber auch, daß der den und aufnehmende Theil der Bruchfugen keineswegs bis 4^m herabsinkt, wie Dupuit annimmt. Es finden erdings Gewölbe, bei denen die Prüfung der Stabilität die Annahme führen müßte, daß der Druck in einzigen Punkte concentrirt sei und dieserhalb die zu Belastung weit überschreite, ohne daß dieselben sich in einigen, es ist dies indessen nur ein scheinbares Paradoxon, welches auf einer ungenügenden Beachtung aller die das eines Gewölbes beeinflussenden Umstände beruht. Es darzuthun, wollen wir auf die in No. 5 gemachte Festsetzung zurückgreifen, wonach in der äußern Wölb-ober der Bruchfuge eine eiserne Klammer befestigt sein muß, die Drehung zu verhindern und den Schub nahezu zu verhindern. Denkt man sich nun ein solches Gewölbe mit einer Stärke und so ausgeführt, daß ohne Rücksicht auf die Klammer eine einzige Mittellinie des Druckes möglich ist, so wird diese nothwendig in irgend einem Punkte der Wölblinie tangiren, und wenn wir dann hiernach die Lage des Druckes in diesem Punkte ermitteln, so werden wir finden, daß sie bedeutend höher ausfällt, als die Festigkeit des Materials, obgleich das Gewölbe vollkommen stabil sein kann, da der wirkliche Gewölbeschub und somit der betrachtete Schub viel geringer sein würde, als nach der Rechnung. Aber nicht die Anker, welche so häufig in die gemauerten eingelassen werden, um die Drehung zu hindern, eine solche Wirkung, als die eben besprochene Klammer? Wir geben ein Beispiel an einem ausgeführten Bauwerke nämlich von dem Viaduct bei Desenzano in der Provinz von Mailand nach Venedig, welcher aus Spitzbögen von 5^m Spannweite und 15,00^m Höhe besteht, deren Stärke im unteren Theile 1,25^m, dann 1,15^m und in der Mitte 0,95^m beträgt. Untersucht man nun die Stabilität dieser Bögen, so findet man, daß Gleichgewicht nur in einer Weise möglich ist, da die einzige Mittellinie des Druckes die innere Wölblinie in der untern Bruchfuge durch den Schlußstein ist aus Granit, das übrige Gewölbe aus Ziegeln und der Schub beträgt 24354^k pro laufenden Meter Gewölbe oder 243,54^k für eine 1^m breite Gewölbe. Daß der Schlußstein diesem Gewölbeschube zu widerstehen vermag, ist nicht zu bezweifeln, aber können auch die in den andern Fugen demselben widerstehen? Sicherlich und trotzdem steht nicht nur dieser Viaduct noch, sondern draußen auch täglich Eisenbahnzüge darüber hin. — Wunder erklärt sich aber dadurch, daß jeder Bogen einer eiserne Anker verstärkt ist, welche die Bedingungen des Gleichgewichts in ganz anderer Weise gestalten, als bei der Rechnung vorausgesetzt wurde.

Bei Brücken treten noch ganz andere Widerstandselemente ins Spiel, welche ebenfalls nicht berechnet werden. Wenn die Ausfüllung zwischen zwei aneinanderstoßenden Bögen mittelst dünner Mauern und Gewölbe, wie beim Viaduct von Desenzano, bewirkt wird, und noch mehr, wenn an den Gewölbeschenkeln auf eine gewisse Höhe eine massive Ausfüllung mit untereinander verschränkten Werkstücken hergestellt wird, so spannen sich die Gewölbe gegeneinander, das Streben nach Drehung wird verhindert und der Gewölbeschub aufgehoben. Unter solchen Verhältnissen können die Pressungen ohne Nachtheil auf einen Punkt concentrirt werden, da sie weit geringer ausfallen als nach der Rechnung, ja es werden die Pressungen zum Theil von den accessorischen Constructionen aufgenommen.

Ein anderes durch den Namen des berühmten Erbauers, Perronet, bekanntes Beispiel bietet die Brücke von Neuilly, deren innere Wölblinie ein Oval mit 39^m Spannweite, 9,75^m Pfeilhöhe und 1,62^m Stärke im Schlußstein ist. Während der Erbauung des Bogens, welche auf einem polygonalen Gerüste erfolgte, senkte sich der Scheitel um 0,61^m, während des Ausrüstens um 0,19^m und den Tag darauf um 0,03^m, endlich nach Aufbringung der Fahrbahn noch um 0,08^m, also zusammen um 0,91^m. Scheffler findet bei der Prüfung dieses Bauwerkes, daß der Bogen keine ganze Mittellinie des Druckes enthalten könne; die Curve, welche durch den Scheitel geht (Fig. 8) und die innere Laibung in c tangirt, geht gegen das Widerlager hin aus dem Bogen hinaus, das Gewölbe müßte also durch Drehung und Zerdrückung der Steine zusammenstürzen und dennoch ist dies nicht geschehen. Dies beweist, daß der Druck gegen das Widerlager hin von der Uebermauerung der Bogenschenkel aufgenommen wird und daß die wirkliche Curve nicht n c ist. Weil der unter der Bruchfuge c d liegende Theil des Bogens durch die Uebermauerung gegen Umsturz gehindert ist, so gehört derselbe in der That zum Widerlager und das eigentliche Gewölbe beginnt erst bei c d. Wollte man unter diesen Umständen in der Scheitelfuge einen Punkt n unter m annehmen und einen passenden Gewölbeschub einführen, so könnte man eine Curve n q r erhalten, welche ganz im Innern des Bogens läge. Es ist also eine Mittellinie des Druckes möglich, welche der vollkommenen Stabilität entspricht. Die Form der innern Wölbfläche ist unzweifelhaft fehlerhaft, aber die Ausfüllung der Gewölbewinkel hilft in diesem, wie in vielen andern Fällen dem Fehler ab.

Man sieht also, daß es Beispiele genug von stabilen Bauwerken giebt, deren Berechnung nach der zeitlichen Methode darauf führen würde, daß der Druck irgendwo in einem Punkte concentrirt sei. Dieses Ergebniß rührt davon her, daß bei der Berechnung einige für das Gleichgewicht der Construction wichtige Elemente nicht mit berücksichtigt werden, wie eiserne Anker, Uebermauerungen und dergl. Andererseits

ist es aber klar, daß der Bruch unvermeidlich erfolgen muß, wenn der in einem Punkte stattfindende Druck nahe an der Festigkeitsgrenze steht. Die bei derartigen Bauwerken verwendeten Materialien sind compressibel und besitzen eine beschränkte Festigkeit; überschreitet der auf ihnen lastende Druck ein gewisses Maas, so geben sie nach, indem sie etwas comprimirt werden; liegt dieser Druck innerhalb einer gewissen Grenze, so ist die Zusammenrückung keine bleibende und hört auf, wenn die Last aufhört; ist der Druck aber stärker, so wird die Zusammenrückung eine bleibende. Wenn überdies bei Beginn der Action eine gewisse Kraft nöthig ist, um eine permanente Zusammenrückung zu erzeugen, so ist schon eine geringere Last dazu hinreichend, wenn sie längere Zeit andauert, und muthmaßlich ist bei sehr langer Zeit, z. B. im Laufe der Jahrhunderte, schon eine geringe Kraft, vielleicht sogar das eigene Gewicht, hinreichend, um permanente Deformationen hervorzurufen. Hieraus erklärt sich der Ruin so vieler alter hervorragender Monumente, welche sonst keinen zerstörenden Einflüssen ausgesetzt waren, als der Witterung, den Wucherpflanzen und den inneren Reactionen. Die Witterungseinflüsse, wie Kälte und Feuchtigkeit, wirken nämlich theils chemisch, theils mechanisch ein, aber hauptsächlich nur auf die äußere Oberfläche, und dasselbe läßt sich von den Pflanzen, den Moosen und Parasiten sagen, deren Einfluß kaum bis auf die Lager der Steine reicht, in denen bloß die inneren Kräfte thätig sind. Das bekannte Sprichwort gutta cavat lapidem ist vielleicht mit gleichem Rechte auf die unausgesetzte Wirkung der in einem Bauwerke thätigen inneren Kräfte anzuwenden.

Um noch einmal zu unsern Beispielen zurückzukehren, so zeigen die in den Nummern 6, 7, 8 und 10 vorgestellten Fälle, daß der unversehrte Theil der Bruchfugen bedeutend größer ist, als Dupuit annimmt; er betrug bei der Brücke zu Nemours 33, bei der Monabrücke 29 bis 34 und bei dem Cementbogen 6,5 cm.

13) Ueberblicken wir nun die bezüglich des Ausrüstens gemachten Bemerkungen, um zu versuchen, ob nicht die Compressibilität und Elasticität der Materialien, vereint mit dem Princip der Bruchfuge benutzt werden können, um eine den Thatsachen besser entsprechende Lösung der Frage über das definitive Gleichgewicht zu finden.

Es wurde bemerkt, wie im ersten Augenblick, wo das Gewölbe sich selbst überlassen ist, die beiden Hälften aufeinander drücken und den Gewölbeschub erzeugen, und wie diese Kraft davon herrührt, daß jede Bogenhälfte das Bestreben hat, sich um einen Punkt der inneren Laibung zu drehen. Sobald der Schub so stark geworden ist, daß Gleichgewicht eintritt, so kann er nicht weiter wachsen und die Pressungen in jeder Fuge haben dann auch einen definitiven Werth angenommen, der weder zu- noch abnehmen kann. In diesem Momente wird die Mittellinie des Druckes bei halbkreisförmigen Gewölben die innere Wölblinie in einem Punkt

rühren, bei Stichbögen durch die innere Kante des Lageres hindurchgehen, und der Schub wird in demselben Punkte der Scheitelfuge angreifen, welcher durch die Dupuit'sche Formel (3) bestimmt wird. Es findet dann in dem Punkte c (Fig. 1) eine Zusammenrückung der Mörtelecken $c c d d$ statt (Fig. 14) und ebenso in den nächst oberen Punkten, wodurch die Drehungskante in eine kleine Fläche übergeht, die mit dem Fortschreiten des Druckes nach weiter von der inneren Wölblinie absteigenden Punkten immer größer wird. Indem sich der Punkt c senkt, erfährt die Fuge eine Verschiebung, in Folge deren sie verschiedene Lagen wie $c'd'$ annimmt, zuletzt eine definitive Lage annimmt. In Uebereinstimmung mit dieser Bewegung öffnet sich die Fuge mehr oder weniger nach oben und tritt ein gleichzeitiges Sinken der Scheitel ein, welches allmählig den Druck in der äußeren Wölblinie, nämlich bei n verstärkt oder den Punkt p hinaufrückt, so wie der der Curve $p c$ entsprechende Gewölbeschub der Fuge ist und weder zu- noch abnehmen kann, so muß auch scheinlich für jede Lage $p'c'$, welche die Mittellinie des Druckes definitiv annehmen mag, diese parallel zur ursprünglichen Lage $p c$ sein. Es steigt also bei der betrachteten Bewegung die Curve der Drucke im Gewölbe in die Höhe, wodurch der Druck in c allmählig ab- und derjenige in n allmählig zunimmt, wo wird sie nun aber zuletzt stehen bleiben, und welcher Werth wird der Druck in c oder n annehmen?

Nehmen wir an, daß in einem Gewölbe der Bruch gleich in drei Fugen erfolge, was der Erfahrung entspricht, wie der von mir probirte. Wenn der Bruch durch Zug erfolgt, so wird dies ein Zeichen sein, daß der Zug pro Einheit in den Enden der drei Fugen der Festigkeit gleich gewesen ist. Denken wir uns nun das Gewölbe zum Zerdrücken belastet, so wird im Augenblick des Einsturzes der größte Druck pro Einheit in drei Punkten gleich sein. Wenn das Gewölbe also in zwei verschiedenen Zuständen dieselbe höchste Inanspruchnahme in drei Punkten zeigt, so können wir dann nicht annehmen, daß auch in jedem dazwischenliegenden Zustande dasselbe stattfinden werde?

Das Nachgeben eines progressiv immer mehr belasteten Gewölbes muß in allen Punkten progressiv und continuirlich stattfinden, also auch in den Bruchfugen. Wenn somit der größte Druck pro Einheit im Augenblick des Einsturzes ist, so wird dies auch im vorausgehenden Zustande der Fall sein, und wenn der Druck vielleicht nicht ganz genau der gleiche wäre, so kann er doch nur wenig verschieden sein. Ich will man z. B. an, daß derselbe in c größer wäre als in n , daß er in n bedeutend geringer wäre, wenn er in c die Festigkeitsgrenze erreicht hätte, dann müßte der Druck in n plötzlich wachsen, wenn das Gewölbe einstürzte, dies spricht aber jeder rationellen Hypothese; denn wie soll

n in n sprungweise geschehen, wenn es doch in c all- vor sich geht. Ueberdies müßte dem plötzlichen Wachsen ruckes im Scheitel eine Hebung des Mittelpunktes des s entsprechen. Nun wird aber der Gewölbschub gleich, oder kleiner als im vorigen Zustande sein; ist er gleich ringer, so muß der Druck in c (Fig. 1) abnehmen, en Falle, weil die Curve sich von c entfernen würde, iten Falle, weil dem eine Resultante von geringerer ität entspräche, was absurd ist. Wäre dagegen der größer, so würde sich die Curve noch mehr von c en, der Druck in c würde abnehmen und das Gewölbe usammenstürzen.

denn also der Flächenndruck an den Ranten der drei ugen im Augenblick vor dem Einsturze ein abweichender lte, so kann der Unterschied nur gering sein, und so s in jedem vorausgehenden Zustande sein. Es erscheint rationell, anzunehmen, daß die definitive Lage der Mit-

des Druckes diejenige ist, für welche der Druck auf icheneinheit in den Ranten der drei Bruchfugen gleich usfällt.

diese Annahme setzt voraus, daß die Materialien com- l und in den Bruchfugen von gleicher Beschaffenheit a sonst die bezeichnete Bedingung nicht erfüllt werden , auch muß der Mörtel in den drei Fugen gleich be- sein.

Sir werden nun sehen, daß unter allen Lagen, welche rve p c bei ihrer Verschiebung einnehmen kann, die- wo der Druck in n und c gleich ist, dem größten eschube, der bei dieser Curve möglich ist, entspricht. hat, wenn R der Druck pro Einheit in c und R' ze in n ist und $R > R'$, R aber nahe gleich dem itsmodul wäre, und man legte noch etwas Gewicht auf, de in c die Festigkeitsgrenze erreicht werden und der Ein- folgen. Wäre dagegen $R < R'$, so würde diese Grenze rreicht werden, als im Scheitel; ist endlich $R = R'$, n man das Gewölbe noch weiter belasten, ehe die des Zerdrückens eintritt, und es wird dies die größte e Kraft sein, weil jede weitere Mehrbelastung unfehl- 1 Einsturz bewirken würde.

twas Ähnliches findet bei dem in vier Punkten A, B, D gestützten Balken (Fig. 9) statt. Bekanntlich bietet n Balken den größten Widerstand dar, wenn das Ver- zwischen den Weiten AB und BC so genommen daß der Bruch gleichzeitig in den drei Mittelpunkten ind p erfolgt. Die Bedingung, welche dieses größte andsmoment bewirkt, ist Gleichheit des Querschnittes lens in den drei Bruchfugen. Betrachten wir nun ein ie, so ist es klar, daß der größte Druck in den Ranten i Bruchfugen nicht gleich sein könnte, wenn nicht der Druck in denselben unabhängig von ihrer effectiven wäre; denn wenn man die Stärke einer der Fugen

nur um wenig vergrößerte, so müßte die Resultante eine Vermehrung oder Abnahme an Intensivität erfahren und der angegebenen Bedingung könnte nicht Genüge geschehen.

Wenden wir uns nun zu einem Gewölbe, welches in Folge der Güte des angewandten Cementes einen gewissen Widerstand gegen Zug zu leisten vermag, so sehen wir, daß im normalen Zustande und so lange die Cohäsion noch nicht zerstört ist, der Druck pro Einheit in jeder Fuge von ihrer Stärke abhängig ist, da sie im Ganzen Widerstand leistet, daher kann die Bedingung der Gleichheit der specifischen Drücke in drei Punkten im Allgemeinen nur für den Augen- blick des Bruches durch Zug wahr sein. Von diesem Augen- blicke an leisten aber die Bruchfugen nur theilweise Wider- stand und daher ist der Druck auf dieselben unabhängig von der Länge der Fuge und es läßt sich daher die Bedingung der Gleichheit der Drücke realisiren.

Wenn das Gewölbe nicht oder nur in sehr geringem Grade einem Zuge Widerstand leisten kann, wie es gewöhn- lich der Fall ist, so functioniren die Bruchfugen unmittelbar nach dem Ausrüsten nur theilweise und ihre Fläche ist ohne Einfluß auf die Intensität des Maximaldruckes und auf die Länge der Widerstand leistenden Fläche. Auch ist die Stärke des Aufklaffens in der äußeren Wölblfläche dem Abstände der Fuge proportional, woraus man erkennt, daß große Abstände den Fugen mehr nachtheilig, als nützlich sind. Man beachte Beispielsweise, daß bei der Brücke von Remours, wo die Bruchfuge 2,1^m lang war, der widerstehende Theil nur 33^{cm} betrug, während bei der Brücke von Olona, wo diese Fuge 1,1^m lang war, der widerstehende Theil 29 bis 34^{cm} maß. Hierin liegt auch ein anderweites Argument zu Gunsten der Substitution von verticalen Fugen an Stelle der gewöhnlich bei der Rechnung angenommenen. Der wichtigste Einwand, den man dagegen machen kann, ist der, daß dabei die Mittellinie des Druckes von der Form der äußern Wölblinie unabhängig erscheint, allein dies zeigt sich ja eben in den Bruchfugen bestätigt, folglich modificirt diese Substitution die Gleichge- wichtsbedingungen des Gewölbes nicht.

14) Sehen wir nun, wie sich bei als bekannt voraus- gesetzter Bruchfuge die definitive Lage der Mittellinie des Druckes nach Maafgabe der vorstehend auseinandergesetzten Bedingung bestimmen läßt. Sei p q' q (Fig. 10) eine belie- bige Mittellinie des Druckes und c' d' eine Fuge, welche den Winkel α mit der Verticalen bildet. Sei p' r' die durch den Schwerpunkt des Bogens c' d' n m gehende Verticale, welche in o die Richtung des Gewölbschubes trifft, und stelle p' o das Gewicht des Gewölbestückes dar. Zieht man die Hori- zontale p' s', so giebt o s' die Resultante N in der Fuge c' d' nach Richtung und Größe. Seien ferner Q und P der Schub und das Gewicht des Gewölbestückes c' d' n m, so hat man:

$$N = \sqrt{P^2 + Q^2}, \dots (4)$$

$$P = Q \operatorname{tg} \beta, \quad \dots \quad (5)$$

$$N = \frac{Q}{\cos \beta}, \quad \dots \quad (6)$$

Wird nun durch o eine Parallele zur Fuge c'd' gezogen und der Punkt s' darauf projectirt in g, so hat man:

$$\angle g s' o = \alpha - \beta,$$

und wenn T die zur Fuge normale Componente von N bedeutet, welche durch g s' repräsentirt wird,

$$T = N \cos(\alpha - \beta) = \frac{Q}{\cos \beta} \cos(\alpha - \beta). \quad \dots \quad (7)$$

Sind nun ferner d und d' die Abstände des Angriffspunktes dieser Resultante in der Scheitelfuge und in der Fuge c'd' von n und c', so werden nach der gewöhnlichen Hypothese über die Vertheilung der einfachen Pressungen 3 d und 3 d' die Widerstand leistenden Theile der Fugen m n und c'd' sein und die größte Pressung pro Einheit in diesen Fugen wird das Doppelte des mittleren Werthes, also $\frac{2Q}{3d}$ und $\frac{2T}{3d'}$ betragen, oder wenn man mit r und r' diese auf die Einheit bezogenen Drücke bezeichnet,

$$r = \frac{2Q}{3d} \quad \text{und} \quad r' = \frac{2T}{3d'} = \frac{2Q}{\cos \beta} \frac{\cos(\beta - \alpha)}{3d'} \quad \dots \quad (8)$$

Der größere Werth von r' entspricht derjenigen Bruchfuge, in welcher die Curve der Drücke der inneren Wölblinie näher liegt, als in jeder andern Fuge zwischen Scheitel und Widerlager. In dem Punkte aber, wo die Curve normal zum Radius der inneren Wölbung steht, hat sie den geringsten Abstand von ihr, denn, wenn man sich die Curve parallel zu sich selbst längs des Radius verschoben denkt, so muß sie die innere Wölblinie in einem einzigen Punkte tangiren. Die Tangente an die Mittellinie des Druckes ist in diesem Punkte normal zu demselben, also $\alpha = \beta$, und die Curve ist normal zur Bruchfuge. Sei c_0, d_0 diese Fuge, α_0 der Winkel, den sie mit der Verticalen macht, und r_0 die größte Pressung pro Flächeneinheit in c_0 , endlich $q c_0 = d_0$, so wird nach (8)

$$r_0 = \frac{2}{3} \frac{Q}{d_0} \frac{1}{\cos \alpha_0} = \frac{2Q}{3 d_0 \cos \beta_0}$$

und nach dem Princip der Gleichheit der Drücke muß $r = r_0$, also

$$d = d_0 \cos \alpha_0 \quad \dots \quad (9)$$

sein, d. h. wenn die Verticalprojection des widerstehenden Theiles der Bruchfuge an den Schenkeln gleich ist dem widerstehenden Theile der Scheitelfuge, so hat das Gewölbe in 3 Punkten denselben größten Druck pro Flächeneinheit.

Man beachte ferner, daß in jeder Lage der Curve

$$c + m = b + s, \quad \dots \quad (10)$$

wenn m die Pfeilhöhe bedeutet. Da aber in der ursprüng-

lichen Lage die Curve zum Radius $c_0 o$ (Fig. 11) normal ist, so wird sie dies auch bleiben während ihrer verticalen Verschiebung. Sind q_0 und q die definitiven Mittelpunkte des Druckes auf die Fuge $o c_0$ und die Scheitelfuge, so müssen die Durchgangspunkte $h h'$ der in c_0 und q_0 auf dem Radius errichteten Normalen mit den Horizontalen in p und q sich auf einer Verticalen befinden, welche durch den Schwerpunkt der über der Bruchfuge liegenden Bogenhälfte geht. Errichtet man nun noch in c_0 eine Verticale, welche die Gerade $q_0 h'$ in u schneidet, so wird:

$$q_0 u = h h' = p p' = c - d.$$

Es ist aber

$$q_0 u = \frac{q_0 c_0}{\cos \alpha_0}, \quad \text{daher}$$

$$c - d = \frac{d_0}{\cos \alpha_0} \quad \dots \quad (11)$$

und da nach (9)

$$d_0 = \frac{d}{\cos \alpha_0} \quad \text{ist,}$$

$$c - d = \frac{d}{\cos \alpha_0^2}, \quad \text{oder}$$

$$d \left[\frac{1}{\cos \alpha_0^2} + 1 \right] = d [2 + \operatorname{tg} \alpha_0^2] = c \quad \text{und}$$

$$d = \frac{c}{2 + \operatorname{tg} \alpha_0^2},$$

woraus durch Substitution des bekannten Werthes von c folgt:

$$d = \frac{1}{2 + \operatorname{tg} \alpha_0^2} \cdot \frac{3b + s}{2b + s} \cdot \frac{s}{3} \quad \dots \quad (12)$$

Dies im Verein mit $d = \frac{d_0}{\cos \alpha_0}$ bestimmt die Lage

der Curve vollständig.

Wenn das Gewölbe stichbogenförmig ist, so liegt die Bruchfuge im Widerlager und wenn man mit α_0 und β den Winkel der Fuge gegen die Wölblinie, sowie den Winkel der Resultante mit der Horizontalen, und mit d_0 wie vorhanden den Abstand des Mittelpunktes des Druckes von der inneren Kante bezeichnet, so ergibt sich der größte Druck im Widerlager:

$$r_0 = \frac{2}{3} \frac{Q_0}{d_0} \frac{\cos(\beta_0 - \alpha_0)}{\cos \beta_0},$$

während derjenige im Scheitel ist

$$r = \frac{2}{3} \frac{Q}{d}.$$

Aus der Gleichsetzung dieser Drücke folgt:

$$\frac{1}{d} = \frac{1}{d_0} \frac{\cos(\beta_0 - \alpha_0)}{\cos \beta_0} \quad \text{oder} \quad d_0 = d \frac{\cos(\beta_0 - \alpha_0)}{\cos \beta_0} \quad \dots \quad (13)$$

und wenn dieser Werth in (10) eingesetzt wird

$$c - d = \frac{d_0}{\cos \alpha_0} \frac{\cos(\beta_0 - \alpha_0)}{\cos \beta_0} \text{ und}$$

$$d \left[\frac{\cos(\beta_0 - \alpha_0)}{\cos \alpha_0 \cos \beta_0} + 1 \right] = d [2 + \operatorname{tg} \alpha_0 \operatorname{tg} \beta_0] = c = \frac{s}{3} \frac{3b + s}{2b + s},$$

hier endlich

$$d = \left(\frac{1}{2 + \operatorname{tg} \alpha_0 \operatorname{tg} \beta_0} \right) \frac{s}{3} \frac{3b + s}{2b + s}, \quad (14)$$

es in Verbindung mit (13) die neue Lage der Curve vollständig bestimmt. Uebrigens ergibt sich aus (14) für $\alpha_0 = \beta_0$ die Gleichung (13).

Die erste Bedingung des Gleichgewichts eines Gewölbes ist also bei halbkreisförmigen Gewölben auf die Auffuchung der Bruchfuge hinaus, welche durch Probiren auf verschiedene Weise gefunden werden kann, während sie bei Stichbogen-Gewölben von vornherein bekannt ist.

15) Wir wollen diese Formeln auf die Brücke über den Lona (No. 7) anwenden, für welche

$$a = 5,0^m, \quad b = 1^m \text{ und } s = 0,6^m$$

ist. Man erhält aus (3)

$$c = 0,2768^m.$$

Die auf dem Gewölbe liegende Belastung betrug 1320^k pro Quadratmeter und dieselbe war über die mittlere Partie des Gewölbes auf $5,6^m$ Länge vertheilt (Fig. 12). Das Eigengewicht ist mit 2200^k pro Cubikmeter anzusetzen und es ist sich also die Uebermauerung durch eine Masse r stn von

$$A = \frac{1}{3} \cdot 5,00 \cdot 0,6 \cdot 5,00 + 0,6 \cdot 2,80 - \frac{1}{3} \cdot 0,4 \cdot 5,00 = 5,68^m,$$

ist das Moment aber

$$M = \frac{5}{4} \cdot 1,666 + 2,5 \cdot 3,00 - \frac{5}{4} \cdot 0,666 + 3,60 \cdot 1,68 = 14,798,$$

und hieraus für den Hebelsarm in Bezug auf c

$$p = \frac{M}{A} = \frac{14,798}{5,68} = 2,605^m.$$

Aus (10) ergibt sich

$$0,2768 + m = 1,90 + 0,8,$$

hier ist die Bogenhöhe der Mittellinie des Druckes

$$m = 1,3232^m.$$

Zieht man nun durch p im Abstände $c = 0,2768^m$ in Scheitel eine Horizontale und im Abstände $p = 2,605^m$ von c die Verticale rs , so erhält man den Schnittpunkt o wo co giebt die Richtung der Resultante N , deren Neigung gegen den Horizont β_0 gefunden wird durch

$$\operatorname{tg} \beta_0 = \frac{m}{p} = \frac{1,3232}{2,605} = 0,5582.$$

so ist $\beta_0 = 26^\circ 57'$, $\cos \beta_0 = 0,8914$, $\cos(\beta_0 - \alpha_0) = 0,997$ und es folgt nun nach (14) und (13)

$$d = 0,125 \text{ und } d_0 = 0,1375.$$

gleicher Dichtigkeit mit dem Gewölbe ersetzen, begrenzt durch einen zu rn parallelen Bogen st , dessen Abstand tn gegeben wird durch:

$$tn = \frac{1320}{2200} = 0,6^m.$$

Wenn a die halbe Sehnenlänge,

b die Pfeilhöhe und

r den Radius

bedeutet, so berechnet sich

$$r = \frac{a^2 + b^2}{2b} = \frac{25 + 1}{2} = 13^m$$

und

$$\left. \begin{aligned} \sin \alpha_0 &= \frac{5}{13} = 0,3846 \\ \cos \alpha_0 &= \frac{12}{13} = 0,923 \\ \operatorname{tg} \alpha_0 &= 0,4166 \end{aligned} \right\} \alpha_0 = 22^\circ 37'.$$

Denken wir uns das Gewölbe in der durch c gehenden Verticalen aufhörend und sehen wir der Kürze halber sowohl die innere als die äußere Wölblinie für Parabeln an, so erhalten wir für die Fläche des Bogens

Die Widerstand leistende Länge der Schlussfuge ist also $3d = 0,375$ anstatt $0,60^m$ und diejenige des Widerlagers $3d_0 = 0,412$, auch berechnet sich der größte Druck im Scheitel

$$r = \frac{2Q}{3d} = 5,333 Q$$

und in der Widerlagsfuge

$$r_0 = \frac{2Q \cos(\beta_0 - \alpha_0)}{3d_0 \cos \beta_0} = 5,339 Q$$

und da der Horizontalschub Q sich aus der Gleichung $Qm = M \cdot 2200$ auf $Q = 24574^k$ berechnet, so folgt

$$r = r_0 = 13,09^k \text{ pro Quadratcentimeter.}$$

Der Versuchsbogen von Souppes war aus Kalkstein von einer Dichtigkeit von 1845^k pro Cubikmeter und 400^k Festigkeit pro Quadratcentimeter gefertigt. Stellt man für diesen dieselben Rechnungen auf unter Annahme einer gleichförmig auf den Rücken vertheilten Belastung mit 1656^k pro Quadratmeter, so erhält man:

$$\begin{aligned}
 A &= 34,09, \\
 M &= 305,3835, \\
 \frac{M}{A} &= p = 8,958, \\
 c &= 0,3778, \\
 m &= 1,5422, \\
 r &= 85,66, \\
 \sin \alpha_0 &= 0,2211, \quad \alpha_0 = 12^\circ 47', \\
 \tan \beta_0 &= 1,7215, \quad \beta_0 = 59^\circ 51', \\
 \beta_0 - \alpha_0 &= 47^\circ 4', \\
 d &= 0,158, \\
 d_0 &= 0,214,
 \end{aligned}$$

Hiernach besaß der Widerstand leistende Theil der Scheitelfuge $3d = 0,474$ anstatt $0,8^m$ und derjenige im Widerlager, wo die Fuge auf 5^m leer blieb, $3d_0 + 0,05 = 0,692$ anstatt $1,10^m$ Länge.

Diese Ergebnisse scheinen mir hinlänglich zu erklären, warum die Auflagerfuge sich nicht sichtlich geöffnet hat. Begreiflicherweise wird bei sehr sorgfältiger Construction, bei Anwendung dünner Mörtelfugen und guten Mörtels sich nur eine unmerkliche Drehbewegung einstellen. Andererseits konnte in der äußern Wölblinie bei der Widerlagerfuge sehr wohl die Cohäsion existiren, weil unter der Voraussetzung, daß der Mittelpunkt des Druckes um 5^m von der äußern Kante abstehe, die größte Zugkraft nicht 5^k pro Quadratcentimeter überschritten haben würde.

16) Auch bezüglich des in No. 10 beschriebenen Cementgewölbes wollen wir die Rechnung aufstellen, wobei ich den Bogen nach einander in seinen drei verschiedenen Zuständen, d. h. im normalen Zustande kurz vor Entstehung des Bruches durch Zug, dann in dem unmittelbar darauf folgenden Zustande und endlich im Zustande der stärksten Belastung betrachte.

Ueber das erste Stadium läßt sich aus den Versuchsergebnissen Nachstehendes folgern. Ist $O'B''$ (Fig. 13) eine Fuge von der Länge s , in welcher die einer normal dazu gerichteten Kraft Q' entsprechende Pressung im Abstände u von der Mitte o der Fuge angreift, so repräsentirt die Gerade $O''B'$ die Vertheilung des Druckes auf jeden Punkt, d. h. ihre Ordinaten von s aus geben die Intensität des Druckes von A'' bis B'' und diejenige des Zuges von O' bis A'' , und es findet sich der Abstand t zwischen der Kante, in welcher der Druck am größten ist (R), und derjenigen, wo er Null ist, aus

$$t = \frac{s}{12u} (s + 6u), \quad u = \frac{s}{6} \frac{1}{2t - s}. \quad (16)$$

Für $u = \frac{s}{6}$ wird $t = s$.

In dem auf den Druck folgenden Augenblicke schloß sich

die Scheitelfuge bei 3^m Abstand von der inneren Wölbfläche doch war dieselbe in Folge der bereits erwähnten geringen Verdrehung des Bogens auf der andern Stirn noch wahrzunehmen, woraus zu folgern ist, daß der Gewölbeschnitt nicht genau in der Mittelebene des Bogens wirksam gewesen ist, und daß die Pressungen pro Einheit auf der einen Seite größer waren, als auf der andern, zumal auch in der untern Bruchfuge zu bemerken war, daß sie auf einer tieferen Seite als auf der andern. Beim weitem Fortschreiten der Belastungsprobe verbreitete sich der Spalt auch auf der andern Seite und im Zustande der höchsten Belastung nahezu identische Erscheinungen vorhanden. Die Scheitelfuge betrug $9,5^m$, also der Widerstand leistende Theil $9,5 - 3,0 = 6,5^m = t$ und es folgt aus (16)

$$u = -4,297^m,$$

wo das negative Zeichen bedeutet, daß u in der entgegengesetzten Richtung zu o zu nehmen ist, als t . Der Spalt

also in der Scheitelfuge im Abstände $\frac{s}{2} - u = 0,48^m$

der Außenfläche an. In der durch Zug gebildeten Spaltfläche an den Gewölbschenkeln zwischen den Theilpunkten 1 und 4 ist

$$s_1 = 20^m, \quad \cos \alpha = 0,76848, \quad \alpha = 49^\circ 57'$$

daher folgt aus (2) der größte Zug r oder geringste Druck r' im Scheitel

$$r = \frac{Q}{s} \left(1 - \frac{6u}{s}\right) \quad \text{und} \quad r' = \frac{Q}{s' \cos \alpha} \left(1 - \frac{6u'}{s'}\right)$$

und da diese im Moment des Bruches gleich sein muß, so wird

$$u' = 12,53^m$$

und der Widerstand leistende Theil der Fuge nach (16)

$$t = 12,66^m.$$

Da die neutrale Ase diese Lage hatte, so mußte der Spalt bei $20 - 12,66 = 7,34^m$ Abstand von der Kante aufhören, was der wirklich beobachteten Thatfache nahe entspricht. Die Mittellinie des Druckes ging durch den Bruch durch die innere Wölblinie bei der unteren Kante aus dem Bogen heraus, weil der Mittelpunkt des Druckes $\frac{s'}{2} - u' = -2,53^m$ unter der inneren Wölbfläche lag.

Das Nachgeben des Scheitels betrug damals 5^m , kurz vor dem Bruche nur $1,8^m$, und wenn man diesen Abstand berücksichtigt, so findet sich der Abstand zwischen der Innenfläche der Bruchfläche und der Horizontalen, welche die Innenfläche des Scheitels gelegt werden kann, gleich $1,8^m$, also die Bogenhöhe der Mittellinie des Druckes (in Figur 13 sind die Gewölbstärken übertrieben gezeichnet)

$$m = 1,2 + 0,0253 \cos \alpha + \frac{1}{2} \cdot 0,095 + 0,04297 = 1,306^m$$

Die Fläche des über der Bruchfuge liegenden Gewölbes

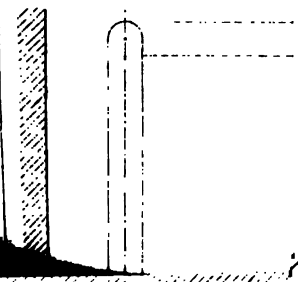
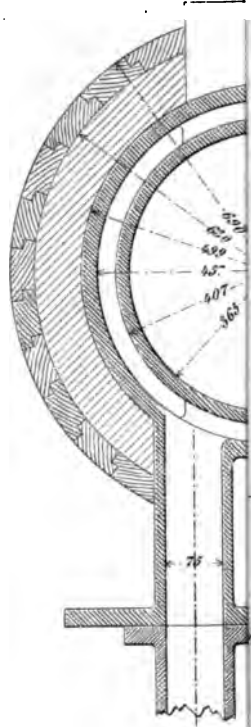
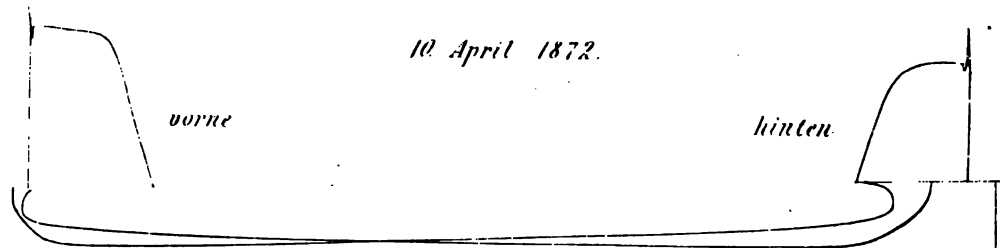


Fig. 3. Φ



hinten



10 April 1872.

vorne

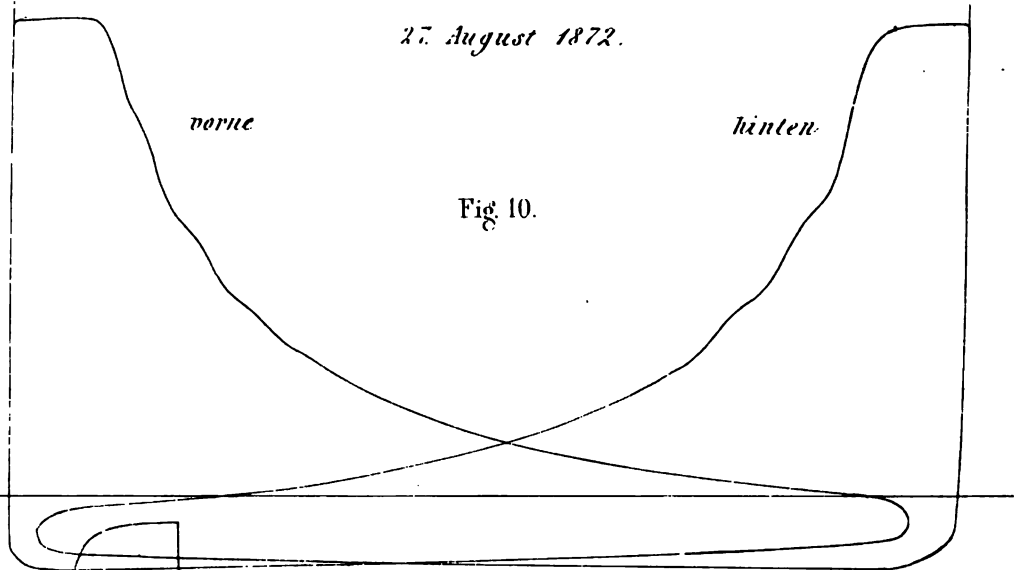
hinten

27 August 1872.

vorne

hinten

Fig. 10.



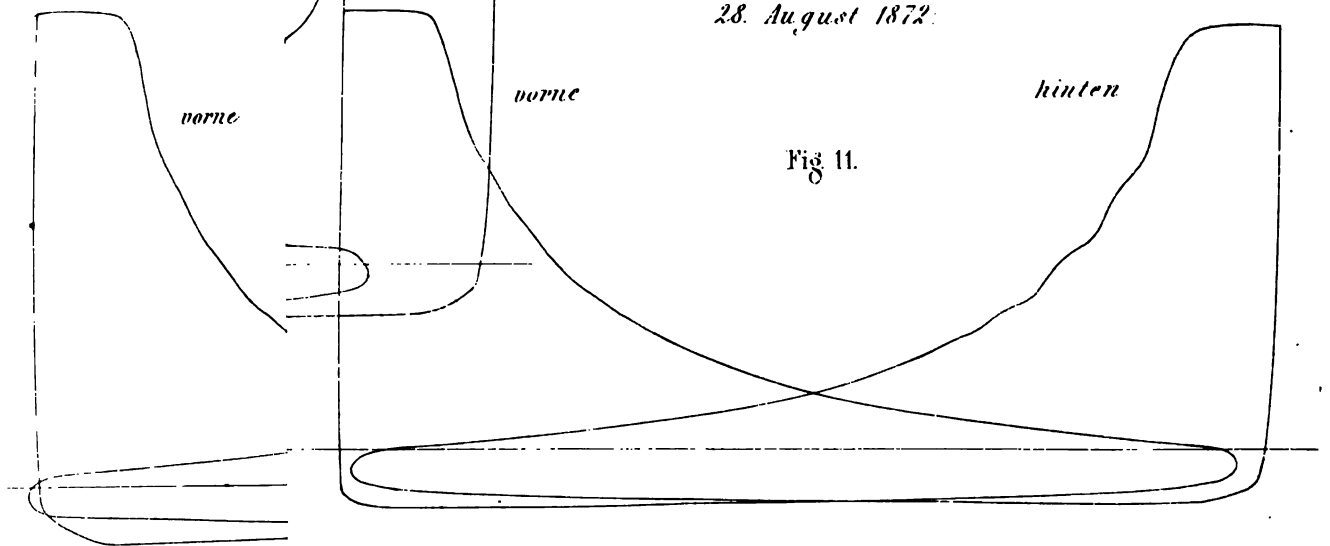
28 August 1872.

vorne

vorne

hinten

Fig. 11.



THE NEW YORK
PUBLIC LIBRARY
ASTOR LENOX AND
TILDEN FOUNDATIONS

THE NEW YORK
PUBLIC LIBRARY
ASTOR LENOX AND
TILDEN FOUNDATIONS

THE NEW YORK
PUBLIC LIBRARY
ASTOR LENOX AND
TILDEN FOUNDATIONS

THE NEW YORK
PUBLIC LIBRARY
ASTOR LENOX AND
TILDEN FOUNDATIONS

$$R = \frac{2T}{420} = 72,04^k,$$

während im Scheitel $75,28^k$ oder nur 3^k mehr gefunden wurde. Es fand also in den drei Punkten fast genau der gleiche Druck statt.

Wenn wir jetzt die Mittellinie des Druckes hinabzuschieben versuchen wollten, so daß sie in c_0 tangirte, so müßte

$$rs = c_0 s - c_0 r = b + s - d - d_0 \cos \alpha_0 = 1 + 0,095 - \frac{0,065}{3} - 0,028 \cdot 0,80928 = 1,05^m,$$

während sie für die durch p gehende Curve

$$b + s - c = 1,0482^m$$

beträgt, was beweist, daß die wirkliche Mittellinie nahe bei derjenigen lag, welche in c_0 die innere Gewölblinie tangirt und in dem durch (α) gegebenen Punkte durch die Scheitelfuge ging, aber in solcher Weise vertical aufwärts geschoben war, daß die Drücke pro Einheit in den Bruchfugen gleich wurden.

Betrachten wir nun den Gewölbbogen noch in seinem letzten Stadium kurz vor dem Einsturze. Die Fläche des Bogens sammt Uebermauerung betrug $A = 16,75$, also das Gewicht

$$P = 16,75 \cdot 0,5 \cdot 1554 = 13014,75^k,$$

woraus sich nach (5) berechnet:

$$Q = \frac{P}{\operatorname{tg} \beta_0} = \frac{13014,75}{0,7167} = 18170,72^k.$$

Der Widerstand leistende Theil im Scheitel besaß $5.50 = 250$ Quadr.-Centim., so daß sich ein Maximaldruck von

$$\frac{2 \cdot 18170}{250} = 145,36^k \text{ pro Quadr.-Centim.}$$

mit der Differenz von 1^{cm} . d und d_0 differiren bloß um $0,09^{\text{cm}}$. Vor dem Ausrücken betrug die Länge des Widerstand leistenden Theiles im Scheitel 5^{cm} , nach Formel (12) erhält man aber $d = 1,8$, also $3d = 5,4^{\text{cm}}$ und für die Bruchfuge giebt Formel (9) $d_0 = 2,2^{\text{cm}}$, also wird $3d_0 = 6,6^{\text{cm}}$ anstatt $0,5^{\text{cm}}$.

17) Der Werth der vorgeführten Resultate liegt mehr im Verhältniß der Ziffern, als in ihrem absoluten Werthe. Trägt man aber den Irrthümern Rechnung, welche durch die Ungenauigkeit in der Abschätzung der Größe der Widerstand leistenden Fläche entstehen können, die aber sicher keinen bemerkenswerthen Einfluß haben werden, so kann man jedenfalls Folgendes als experimentell erwiesen ansehen.

1. Im Augenblick der Zerstörung der Cohäsion des Bogens war die stärkste Spannung in drei Punkten fast gleich, kurz darauf besaß die Mittellinie des Druckes den geringsten Abstand von der innern Leibung in einem Punkte, welcher ungefähr 50^{cm} über demjenigen lag, in welchem der

sie nahe bei dem durch die Dupuit'sche Formel (3) gegebenen Punkte durch die Scheitelfuge hindurchgehen. Für c_0 ist $b = 1^m$, $s = 0,095$, daher

$$c = \frac{s}{3} \cdot \frac{3b + s}{2b + s} = 0,0468. \quad . \quad . \quad (a)$$

Die Bogenhöhe in Bezug auf den Mittelpunkt des Druckes v ergibt sich

berechnet. Im Schnitt $c_0 d_0$ war die Widerstand leistende Fläche $6,5 \cdot 50 = 325$ Quadr.-Centim. und da die Resultante

$$\frac{Q}{\cos \alpha_0} = \frac{18170,72}{0,80928} = 22452,94^k$$

betrug, so berechnet sich als Maximaldruck pro Qu.-Centim.

$$\frac{2 \cdot 22452,94}{325} = 138,18^k,$$

anstatt $145,00$.

Die Dupuit'sche Formel (α) berücksichtigt nicht die Uebermauerung; Letztere scheint, wenn sie bedeutend ist, die Wirkung zu haben, daß der Mittelpunkt des Druckes im Scheitel nach der äußern Wölbfläche hinaufgerückt werden muß, wir sehen jedoch an diesem Beispiele, daß dieser Einfluß selbst bei sehr starken Belastungen nur gering ist. Denn die Bogenhöhe betrug nach dem Bruche $m = 1,05^m$. Im Zustande der stärksten Belastung stand der Mittelpunkt des Druckes im Scheitel um $1,66^{\text{cm}}$ von der äußern Wölbfläche ab und derjenige in der Schenkelfuge um $2,166^{\text{cm}}$, die Bogenhöhe der Curve betrug daher

$$b + s - d - d_0 \cos \alpha_0 = 1 + 0,095 - 0,0166 - 0,02166 \cdot 0,80928 = 1,06^m$$

Bruch durch Zug erfolgt war, und hierdurch erklärt sich der krummlinig von unten nach oben aufsteigende Verlauf der Sprünge.

2. Der Maximaldruck war sowohl gleich nach der Zerstörung der Cohäsion, als auch kurz vor dem Einsturz in drei Punkten gleich und diese durch Rechnung sich ergebende Uebereinstimmung hat mich besonders veranlaßt, das Princip von der Gleichheit des Maximaldruckes in drei Punkten des Gewölbes aufzustellen.

3. Das Princip des größten Widerstandes von Moseley und dasjenige des permanenten Drehpunktes von Dupuit hat sich nicht bestätigt und kann nicht nachgewiesen werden. Nimmt man nämlich an, der Druck im Scheitel und in der innern Wölblinie der Schenkel sei in einem Punkte oder auf eine 3^{cm} breite Fläche concentrirt, so würde der Schuß etwas geringer sein, als der von mir gefundene, weil die Bogenhöhe der Curve etwas größer wäre; seine Intensität beträgt aber im Scheitel 17928 , in der Bruchfuge 22153^k und

rhält man als Maximaldrücke im Scheitel 239, in der Fuge 285,4^k, diese sind Ziffern, welche für einen bogen unmöglich sind.

Es ergibt sich, daß die zeitlichen Annahmen über die Vertheilung der Pressungen in den Gewölben falsch sind. Es giebt Punkte, in denen der Druck auf die Einheit größer ist, als derjenige, welcher auf Grund der zeitlichen Hypothese berechnet wird, und die Theorie des Gleichgewichtes der Gewölbe muß von einem andern Gesichtspunkte behandelt werden. Dupuit hat das Verdienst, die Lage des Drehpunktes aufgestellt zu haben, welche sich im Augenblick des Ausrüstens bewährt, da sich die Fugen in der That mehr oder weniger öffnen, oder wenigstens leichte Sprünge zeigen, welche die Zerstörung des Gewölbes und eine nur theilweise Verbreiterung des Druckes über die Fuge beweisen. Es folgt jedoch aus den von mir citirten Beobachtungen und angestellten Versuchen, daß der bleibend Widerstand leistende Theil der Gewölbe größer ist, als Dupuit annimmt.

Um die definitive Lage der Mittellinie des Druckes zu finden, habe ich daher unter Benutzung des Principes des Drehpunktes und der Dupuit'schen Formel für den Druck des Gewölbes durch den Scheitel ein neues

Princip eingeführt, nämlich dasjenige der Gleichheit des Maximaldruckes pro Einheit in drei Punkten. Die vorgeschlagene Lösung hat keinen metaphysischen Charakter, noch kann sie als allgemeines Gesetz aufgeführt werden; sie ist in Folge meiner Studien über die während des Ausrüstens eines Gewölbes sich zeigenden Erscheinungen, sowie über die Zusammenrückung der Mörtelfugen zwischen den Wölsteinen in mir entstanden; wenn man aber auch zugestehet, daß die vorgedachten Beobachtungen und Untersuchungen noch nicht hinreichend sind, um die Wahrheit des Principes darzutun, daß dieses vielmehr eine bloße Annäherung darstellt, so ist doch gewiß, daß diese Lösung der Wahrheit näher kommt, als jede andere Hypothese, welche zeitlich bei der Berechnung der Gewölbe zu Grunde gelegt worden ist. Ueberdies sind die darauf basirten Formeln von leichter Handhabung und führen rasch zum Ziele; bei Stichbogengewölben findet man rasch den Gewölbeschub und die stärkste Inanspruchnahme des Materials, ohne die Fuge zur Zeichnung greifen zu müssen, lediglich auf Grund der bekannten Hauptdimensionen, und bei halbkreisförmigen Gewölben besteht die einzige Schwierigkeit in der Auffindung der Bruchfuge.

(Il Politecnico. Anno XXI, num. 8, 9, 10.)

Ueber die graphische Bestimmung der Kugel- und Hüllengewichte an Centrifugalregulatoren.

Von

Dr. Dino Badelletti aus Florenz.

(Hierzu Tafel 29.)

§. I. Vorbemerkungen.

In einem sehr interessanten Aufsatze: „Ueber die Mechanik der Centrifugalregulatoren und ihre pseudo-statische Aufhängung“*) hat Herr Dr. Pröll gezeigt, die Einführung des augenblicklichen Rotationsmittelpunktes in die Regulatoretheorie derselben eine große Klar-

heit und Allgemeinheit giebt. Der Zweck folgender Untersuchung wird sein, die Grundformeln für Regulatoren nicht aus den Sätzen der kinematischen Geometrie, sondern auf eine elementare Weise abzuleiten, und dieselben in einfache graphische Construction zu übersezen.

Abgesehen von der gemeinschaftlichen Rotationsbewegung, ist der Punkt A des Regulators ABC, Fig. 1, gezwungen, sich auf einer verticalen Geraden, und der Punkt C sich auf einem Kreise vom Halbmesser CB und dem Mittelpunkte B zu bewegen. Es wirken im Kugelmittelpunkte zwei Kräfte, das Kugelgewicht K und die Centrifugalkraft C, welche von

der Rotationsbewegung herrührt. Bekanntlich ist $C = \frac{K}{g} \omega^2 \xi$, wobei ω die Winkelgeschwindigkeit des Regulators und ξ die Entfernung des Kugelmittelpunktes von der Axe bedeutet. In A wirken ebenfalls zwei Kräfte: 1) das halbe Hülfsengewicht P vertical abwärts, 2) der halbe Widerstand R, welcher aus der Reibung der Uebertragungsvorrichtung und des Stellszeuges herrührt: R wirkt immer der Bewegung des Regulators entgegen, und hat dasselbe Zeichen von P oder das entgegengesetzte Zeichen, je nachdem die Schwungkugel das Bestreben hat, sich von der Rotationsaxe zu entfernen oder d. sich derselben zu nähern. Wenn die Schwungkraft und das Gewicht der Regulatorarme vernachlässigt werden, so muß das System im Gleichgewichte sein, wenn die Kraft C den Kräften K und $P + r$ das Gleichgewicht hält, wobei r eine Größe bedeutet, welche alle Werthe zwischen $+R$ und $-R$ annehmen kann.

Aus dem Regulator ABC kann man zwei verschiedene Gattungen von Regulatoren herleiten. Man erhält die erste, wenn der Kugelmittelpunkt in M auf der Verlängerung des Armes BC genommen wird; die zweite, wenn derselbe in M_1 auf der Verlängerung des Armes AC sich befindet, oder mit dem Punkte C durch einen besonderen Arm CM_2 verbunden ist. Ich will die Regulatoren der ersten Gattung Regulatoren mit directer Aufhängung, diejenigen der zweiten Regulatoren mit umgekehrter Aufhängung nennen.*)

Man kann das Problem noch verallgemeinern, indem man den Punkt C vom Punkte B löst und denselben durch irgend eine specielle Vorrichtung nöthigt, nicht mehr einen Kreis, sondern eine beliebige Leitcurve zu beschreiben. In diesem Falle fällt gewöhnlich der Kugelmittelpunkt mit dem Punkte C zusammen.

Man erhält demnach eine Einteilung der Centrifugalregulatoren in drei Classen.

1. Regulatoren mit kreisförmiger Leitcurve und directer Aufhängung.

*) Die erste Idee eines Regulators mit umgekehrter Aufhängung rührt meines Wissens von dem berühmten Physiker B. Foucault her, welcher merkwürdigerweise der Pariser Academie eine falsche Formel darüber vorlegte, die er selbst später corrigirte (Comptes rendus de l'Academie des Sciences. V. 61. p. 278. 430 — auch Annales du génie civil 1865. p. 620. 683). Die von Foucault vorgeschlagenen Regulatoren kann man ellipsoidische nennen, denn, wenn $AB = BC$ ist, so ist die Bahn jedes mit A C festverbundenen Punktes eine Ellipse. Ein ellipsoidischer Regulator wurde einige Jahre darauf von Herrn Widmarl (Engineering 1869. V. 7. p. 73) construirt, welcher die Kugel in der Mitte des Armes AC befestigte. Die Regulatoren mit umgekehrter Aufhängung sind von Dr. Präll ausführlich behandelt worden, und werden deshalb auch Präll'sche genannt. Die Radialregulatoren von Foucault und Kunze (Zeitschr. des österr. Ing.-Ver. 1868. S. 105) gehören derselben Gattung an.

2. Regulatoren mit kreisförmiger Leitcurve und umgekehrter Aufhängung.

3. Regulatoren mit nicht kreisförmiger Leitcurve.

Bei den letzten beiden Classen bleibt die Entfernung zwischen dem Punkte A und dem Kugelmittelpunkte constant, was bei den Regulatoren der 1. Classe nicht der Fall ist. Man kann aber den Regulator ABCM, Fig. 2, durch den Regulator ABC ersetzen, welcher sowohl der 1. als der 2. Classe angehört. Der Regulator ABCM mit dem Kugelgewicht K und der Centrifugalkraft $G = \frac{K}{g} \omega^2 \xi$ ist offenbar mit dem Regulator ABC mit dem Kugelgewichte $K' = K \frac{1}{b}$, und der Centrifugalkraft $C' = \frac{K'}{g} \omega^2 \xi = C \frac{1}{b}$ vollständig äquivalent; wenn man daher die Formeln für diesen letzteren aufgestellt hat, so braucht man nur K' und C' durch ihre Werthe $K \frac{1}{b}$ und $C \frac{1}{b}$ zu ersetzen.

§. II. Gleichgewichtsgleichung.

Um einen allgemeinen Fall ins Auge zu fassen, betrachte man den Regulator ACM, Fig. 3, wobei der Kugelmittelpunkt M auf irgend eine Weise mit den Punkten A und C fest verbunden, und die vorgeschriebene Bahn des Punktes C eine beliebige Curve (s) ist (Leitcurve). Dann wird M sich auf einer bestimmten Curve (λ) bewegen, deren Gleichung in Bezug auf die Axen OX, OAY, $y = f(x)$ sein möge.

Man setze

$$\begin{aligned} \overline{AM} &= m, \quad \overline{AC} = a, \quad \overline{OA} = y_0, \quad \overline{ME} = y, \\ \overline{OE} &= \overline{AD} = x. \quad \angle MAY = \mu. \quad \angle CAY = \alpha, \\ \angle CAM &= \alpha - \mu = \theta, \end{aligned}$$

wobei m, a, θ constant sind, y_0, y, x, μ, α dagegen mit der Regulatorlage sich verändern. Man ziehe die Tangente und die Normale an die Bahn (λ) im Punkte M und verlängere diese letztere, bis sie die durch A gelegte Horizontale im Punkte P (Pol) schneidet. Es bezeichne φ den Winkel, welchen die Tangente mit der Verticalen einschließt, c, k, p die Abstände des Pols P von den Richtungen der Kräfte C, K, $P + r$.

Wenn man $P + r$ in eine Horizontalcomponente \overline{AT} und in eine Componente \overline{AR} nach der Richtung AM zerlegt, so bleibt die erstere

$$\overline{AT} = (P + r) \operatorname{tg} \mu$$

ohne Einfluß auf die Bewegung des Systems, während die zweite

$$\overline{AR} = \frac{P + r}{\cos \mu}$$

transportirt werden kann. Man wird dann Gleich-
haben, wenn die drei in M wirkenden Kräfte C, K,
eine Componente = 0 in der Richtung der Tan-
die Bahn (λ) geben, d. h. wenn

$$C \sin \varphi = K \cos \varphi + \frac{P+r}{\cos \mu} \cos(\varphi - \mu),$$

$$C \cos \varphi = K \sin \varphi + [P+r] [\cos \varphi + \sin \varphi \operatorname{tg} \mu].$$

der Figur ergibt sich aber, da $\angle APM = \varphi$

$$c = \overline{MD} = \overline{MP} \sin \varphi,$$

$$k = \overline{PD} = \overline{MP} \cos \varphi,$$

$$p = \overline{PD} + \overline{AD} = \overline{PD} + \overline{MD} \operatorname{tg} \mu \\ = \overline{MP} [\cos \varphi + \sin \varphi \operatorname{tg} \mu].$$

Gleichgewichtsgleichung nimmt also, wenn man alle
mit \overline{MP} multiplicirt, die höchst einfache Form an:

$$Cc = Kk + [P+r]p \quad \dots \quad (I)$$

die Regulatoren der 1. Classe

$$C \frac{1}{b} c = K \frac{1}{b} c + [P+r]p \quad \dots \quad (II)$$

den Punkt P zu ermitteln, braucht man nicht den
der Curve (λ) zu kennen, man kann denselben auf
einfache Weise construiren, indem man in C die
zu der Zeitcurve (ϵ), welche jederzeit bekannt ist,
sie die durch A gelegte Horizontale trifft.

dies zu beweisen, will ich für die Polarabszisse
p einen einfachen analytischen Ausdruck geben. Es

$$(y - y_0)^2 + x^2 = m^2,$$

$$(y - y_0) \frac{dy}{dx} + x = (y - y_0) \frac{dy_0}{dx},$$

$$x = m \sin \mu,$$

$$y - y_0 = m \cos \mu,$$

$$dx = m \cos \mu d\mu = (y - y_0) d\mu,$$

$$(y - y_0) \frac{dy}{dx} + x = \frac{dy_0}{d\mu}.$$

rechte Glied ist Nichts anderes als die Polarabszisse

$$\cot MPA = \cotg \varphi = \frac{dy}{dx}$$

er

$$p = \frac{dy_0}{d\mu}.$$

Polarabszisse für den Punkt C wird analog sein

$$p' = \frac{dy_0}{d\alpha},$$

und da der Winkel $\theta = \alpha - \mu$ einen constanten Werth
hat, sieht man, daß

$$d\alpha = d\mu,$$

oder

$$p = p'.$$

Die Normalen an die Bahn (λ) und an die Zeitcurve
(ϵ) treffen folglich die durch A gelegte Horizontale in einem
und demselben Punkte P.

§. III. Regel- und Hüllengewicht-Verhältniß.

Wenn man in Gl. (I) für C den Werth $\frac{K}{g} \omega^2 \xi$ sub-
stituit, so erhält man

$$K \frac{\omega^2}{g} c \xi = Kk + [P+r]p.$$

Jedem Werthe von r entspricht ein Werth von ω : es
sei für

$$r = 0 \quad \omega = \omega_0,$$

$$r = -R \quad \omega = \omega_1,$$

$$r = +R \quad \omega = \omega_2,$$

dann sind ω_2, ω_1 diejenigen Geschwindigkeiten, für welche der
Regulator anfängt sich auf-, resp. abwärts zu bewegen, und
 ω_0 diejenige Geschwindigkeit, für welche in der Stange AC
weder Zug noch Druck herrscht. Man hat

$$K \frac{\omega_0^2}{g} c \xi = Kk + Pp,$$

oder

$$\frac{\omega_0^2}{g} = \frac{K}{c\xi} + \frac{P}{K} \frac{p}{c\xi} \quad \dots \quad (III)$$

$$K \frac{\omega_2^2}{g} c \xi = Kk + [P+R]p.$$

$$K \frac{\omega_1^2}{g} c \xi = Kk + [P-R]p.$$

Man setzt gewöhnlich

$$\omega_2 = \omega_m \left(1 + \frac{\epsilon}{2}\right)$$

$$\omega_1 = \omega_m \left(1 - \frac{\epsilon}{2}\right),$$

wobei $\omega_m = \frac{\omega_2 + \omega_1}{2}$ die mittlere Geschwindigkeit,

$\epsilon = \frac{\omega_2 - \omega_1}{\omega_m}$ der Unempfindlichkeitsgrad genannt
wird.

Zwischen ω_0 und ω_m findet die Beziehung statt:

$$\omega_0^2 = \omega_m^2 \left(1 + \frac{\epsilon^2}{4}\right),$$

da aber ϵ immer einen kleinen Werth hat, nimmt man ge-
wöhnlich $\omega_m = \omega_0$.

Durch Substitution dieser Werthe folgt

$$K \frac{\omega_m^2}{g} \left(1 + \frac{\epsilon}{2}\right)^2 c \xi = Kk + (P + R)p,$$

$$K \frac{\omega_m^2}{g} \left(1 - \frac{\epsilon}{2}\right)^2 c \xi = Kk + (P - R)p.$$

Subtrahirt man diese beiden Gleichungen von einander, so ergibt sich

$$K = \frac{R}{\epsilon} \frac{g}{\omega_m^2} \frac{P}{c \xi} \dots \dots \dots (IV)$$

Addirt man sie und substituirt den Werth von K, indem gleichzeitig die Glieder vernachlässigt werden, welche $\frac{\epsilon^2}{4}$ als Factor haben, so bekommt man

$$P = \frac{R}{\epsilon} - \frac{R}{\epsilon} \frac{g}{\omega_m^2} \frac{K}{c \xi} \dots \dots \dots (V)$$

$$\frac{R}{\epsilon} = P + K \frac{k}{p} \dots \dots \dots (VI)$$

Die vier Formeln (III), (IV), (V), (VI) enthalten die ganze statische Theorie der Centrifugalregulatoren: (III), (IV), (V) dienen dazu, das Kugel- und Hülfsengewicht zu bestimmen, wenn ω_m , R, ϵ gegeben sind; (III) und (VI) dazu, für einen schon vorhandenen Regulator die Winkelgeschwindigkeit und das Verhältniß $\frac{R}{\epsilon}$ zu berechnen. R und ϵ

kommen in diesen Formeln immer in der Form $\frac{R}{\epsilon}$ vor:

$\frac{1}{\epsilon}$ stellt die Empfindlichkeit des Regulators und R den Widerstand dar, welchen er im Stande ist zu überwinden, d. h. seine Energie: $\frac{R}{\epsilon}$ ist also das Produkt der Empfindlichkeit mit der Energie und kann demnach als statisches Güteverhältniß des Regulators bezeichnet werden. Es ist klar, daß man die Energie eines gegebenen Regulators beliebig ändern kann: nur wird die Empfindlichkeit dem entsprechend eine andere.

Für die Regulatoren der 1. Classe erhält man die vier Formeln

$$\frac{\omega_0^2}{g} = \frac{K}{c \xi} + \frac{b}{l} \frac{P}{K} \frac{p}{c \xi}, \dots \dots (VII)$$

$$K = \frac{b}{l} \frac{R}{\epsilon} \frac{g}{\omega_m^2} \frac{P}{c \xi}, \dots \dots (VIII)$$

$$P = \frac{R}{\epsilon} - \frac{R}{\epsilon} \frac{g}{\omega_m^2} \frac{k}{c \xi}, \dots \dots (IX)$$

$$\frac{R}{\epsilon} = P + K \frac{l}{b} \frac{k}{p} \dots \dots (X)$$

Man kann diese letzten als die allgemeinsten betrachten, aus welchen (III), (VI), (V), (VI) hervorgehen, wenn man $l = b$ setzt, in den Ausdrücken von c, k, p, ξ

bleiben aber l und b von einander unabhängige Größen. In (III), (IV), (V), (VI) beziehen sich c, k, p, ξ auf den Kugelmittelpunkt M in (VII), (VIII), (IX), (X) bezieht sich ξ noch auf den Kugelmittelpunkt, c und k dagegen auf den Punkt C, wo die Regulatorarme miteinander verbunden sind. l und b sind die Entfernungen des Kugelmittelpunktes und des Punktes C vom Aufhängepunkt.

Wenn man die Umdrehungszahl n einführen will, so nehmen die vier Formeln folgende Gestalt an:

$$\frac{n_0^2}{g} = \frac{(30)^2}{\pi^2} \left(\frac{k}{c \xi} + \frac{b}{l} \frac{P}{K} \frac{p}{c \xi} \right), \dots (VII')$$

$$K = \frac{b}{l} \frac{R}{\epsilon} \frac{(30)^2}{n^2} \frac{g}{\pi^2} \frac{P}{c \xi}, \dots \dots (VIII')$$

$$P = \frac{R}{\epsilon} - \frac{R}{\epsilon} \frac{(30)^2}{n^2} \frac{g}{\pi^2} \frac{k}{c \xi}, \dots \dots (IX')$$

$$\frac{R}{\epsilon} = P + K \frac{l}{b} \frac{k}{p} \dots \dots \dots (X')$$

§. IV. Folgerungen.

An die vorigen Formeln lassen sich mehrere interessante Betrachtungen knüpfen.

Man verlangt gewöhnlich, daß die Geschwindigkeit von der tiefsten bis zu der höchsten Lage des Regulators stetig wächst, damit keine labile Gleichgewichtslage eintreten kann, d. h. es muß

$$d\omega > 0,$$

oder aus (VII)

$$d\left(\frac{k}{c \xi}\right) + \frac{b}{l} \frac{P}{K} d\left(-\frac{p}{c \xi}\right) > 0.$$

Man kann auf zwei Arten dieser Forderung entsprechen, entweder durch passende Wahl des Verhältnisses $\frac{P}{K}$, oder durch passende Wahl der Regulatordimensionen. Wenn $P = 0$, muß

$$d\left(\frac{k}{c \xi}\right) > 0$$

sein, und es bleibt nur die zweite Methode übrig. Wendet man diese Formel im Falle eines Regulators mit getrennten Armen an, so bekommt man die bekannte Regel für den Grenzwert des Winkels α . Man hat in diesem Falle (Fig. 4)

$$c = \overline{CD} = a \cos \alpha,$$

$$k = \overline{PD} = a \sin \alpha,$$

$$\xi = \overline{MM'} = l \sin \alpha - e,$$

$$P = 0,$$

daraus

$$\frac{d}{d\alpha} \left(\frac{\sin \alpha}{\cos \alpha (l \sin \alpha - e)} \right) > 0.$$

$$\frac{d}{d\alpha} (1 \cos \alpha - e \frac{\cos \alpha}{\sin \alpha}) < 0,$$

$$\sin \alpha > \sqrt[3]{\frac{e}{1}}.$$

der Winkel α_1 , welcher der tiefsten Regulatorlage entspricht so gewählt werden, daß

$$\sin \alpha_1 > \sqrt[3]{\frac{e}{1}}.$$

Die Formel

$$\frac{R}{\varepsilon} = P + K \frac{1}{b} \frac{k}{p} \dots (X)$$

daß das beste Mittel, um das Güteverhältniß zu 1, die Anbringung eines schweren Hülfsengewichtes ist. Differenz zwischen den Güteverhältnissen, welche einem Motor mit belasteter Hülse (Porter'schen) und demselben Motor aber mit unbelasteter Hülse (Watt'schen) entsprechen, gerade P.

in Grenzwert von $\frac{R}{\varepsilon}$, welcher aber nie erreicht werden, ist $P + K \frac{1}{b}$ (für Regulatoren der 2. und 3.

$P + K$) für $k = p$, und wenn k , wie es gewöhnlich, positiv bleibt, so ist P ein zweiter Grenzwert für $k = 0$, welchen Werth ein Regulator der 2. erreichen kann, nie aber ein Regulator der 1. Classe. Einfluß der Regulatorabmessungen ist in dem Gliede $\frac{k}{p}$, resp. $K \frac{k}{p}$ enthalten.

ie Umdrehungszahl n oder die Winkelgeschwindigkeit ω beliebig gewählt werden. Aus (VIII) und (IX) sieht man, daß wenn ω wächst, K kleiner, P dagegen größer wird, daß daher den Einfluß von ω auf das gesammte Gewicht suchen. Es ist

$$= P + K = \frac{R}{\varepsilon} + \frac{R}{\varepsilon} \frac{g}{\omega^2} \frac{p}{c\xi} \left(\frac{b}{1} - \frac{k}{p} \right),$$

man erkennt gleich daraus, daß eine große Geschwindigkeit

$$\text{vorteilhaft ist, wenn } \frac{b}{1} > \frac{k}{p},$$

$$\text{gleichgültig " " } \frac{b}{1} = \frac{k}{p},$$

$$\text{nachtheilig " " } \frac{b}{1} < \frac{k}{p}$$

die Regulatoren der 2. Classe

$$\text{vorteilhaft, wenn } p > k,$$

$$\text{gleichgültig, " } p = k,$$

$$\text{nachtheilig, " } p < k.$$

da p immer größer ist als k , so ist eine große Geschwindigkeit für die Regulatoren der 2. Classe immer vorteilhaft.

Für $\frac{b}{1} = \frac{k}{p}$ hat man die einfache Formel

$$\frac{R}{\varepsilon} = P + K.$$

Die Beziehung zwischen $\frac{b}{1}$ und $\frac{k}{p}$ giebt Aufschluß auch über eine andere Frage. Man nehme an, daß die Umdrehungszahl und das gesammte Gewicht $U = K + P$ gegeben sei, und suche ob es vorteilhafter ist, den größeren Theil von U in den Kugeln oder in dem Hülfsengewicht anzuhäufen.

Aus (X) erhält man

$$\frac{R}{\varepsilon} = U + K \frac{1}{b} \left(\frac{k}{p} - \frac{b}{1} \right)$$

und man erkennt gleich, daß ein großes Kugelgewicht

$$\text{vorteilhaft wird, wenn } \frac{b}{1} < \frac{k}{p},$$

$$\text{gleichgültig " " } \frac{b}{1} = \frac{k}{p},$$

$$\text{nachtheilig " " } \frac{b}{1} > \frac{k}{p}$$

und für Regulatoren der 2. Classe

$$\text{vorteilhaft, wenn } p < k,$$

$$\text{gleichgültig, " } p = k,$$

$$\text{nachtheilig, " } p > k.$$

Da $p > k$ ist, muß man einem Regulator der 2. Classe immer leichte Kugeln geben.

§. V. Vergleich zwischen den Regulatoren mit directer und denjenigen mit indirecter Aufhängung.

Die Regulatoren der 2. Classe haben über diejenigen der 1. Classe den Vortheil, weniger statisch zu sein, was aber Energie und Empfindlichkeit betrifft, so stehen sie denselben nach.

Man vergleiche die beiden Regulatoren ABCM, A'B'C'M', Fig. 5. Für den ersten hat man

$$\overline{ME} = \xi, \quad \overline{PD} = k, \quad \overline{PA} = p, \quad \overline{CD} = c,$$

für den zweiten

$$\overline{M'E'} = \xi', \quad \overline{P'D'} = k', \quad \overline{P'A'} = p', \quad \overline{M'D'} = c'.$$

Wenn man $AC = BC = a = b$ und

$$\overline{BC} = \overline{B'C'}, \quad \overline{AC} = \overline{A'C'}, \quad \overline{BM} = \overline{A'M'},$$

$$\overline{BB_1} = \overline{AA_1} = \overline{B'B_1'} = \overline{A'A_1'} \text{ wählt, so ist}$$

$$\xi = \xi', \quad p = p', \quad k > k' \text{ und } c < c'.$$

Seien $P, K, \frac{R}{\varepsilon}$ das halbe Hülfsengewicht, das Kugelgewicht und das Güteverhältniß für den ersten Regulator, $P', K', \left(\frac{R}{\varepsilon}\right)'$ die entsprechenden Größen für den zweiten.

Wenn $K = K'$ und $P = P'$ hat man

$$\left(\frac{R}{\varepsilon}\right)' = P + K \frac{k'}{p}, \quad \dots \quad (VI)$$

$$\frac{R}{\varepsilon} = P + K \frac{l}{b} \frac{k}{p} \quad \dots \quad (X)$$

und da $l > b$, $k > k'$ ist, so erhält man

$$\frac{R}{\varepsilon} > \left(\frac{R}{\varepsilon}\right)'$$

Wenn dagegen $\frac{R}{\varepsilon} = \left(\frac{R}{\varepsilon}\right)'$ gegeben ist und P , K bestimmt werden sollen, so ist

$$P' = \frac{R}{\varepsilon} - \frac{R}{\varepsilon} \frac{g}{\omega_m^2} \frac{k'}{c' \xi'}, \quad \dots \quad (V)$$

$$P = \frac{R}{\varepsilon} - \frac{R}{\varepsilon} \frac{g}{\omega_m^2} \frac{k}{c \xi} \quad \dots \quad (VI)$$

und da $k > k'$, $c < c'$ ist, hat man auch

$$P < P'.$$

Ferner ist

$$K' = \frac{R}{\varepsilon} \frac{g}{\omega_m^2} \frac{p}{c' \xi'}, \quad \dots \quad (IV)$$

$$K = \frac{R}{\varepsilon} \frac{b}{l} \frac{g}{\omega_m^2} \frac{p}{c \xi}, \quad \dots \quad (VIII)$$

$$\frac{K}{K'} = \frac{c'}{c} \frac{b}{l}$$

und da $c' = a \cos \alpha$, $c = l \cos \alpha$,

$$\frac{K}{K'} = \frac{b}{a}.$$

Untersucht man die Sache näher, so findet man, daß es für die Regulatoren der 1. Classe immer zweckmäßig ist, für ein gegebenes b zu nehmen $a > b$; am häufigsten nimmt man $b = a$; daraus folgt

$$K \leq K'.$$

Man kann allgemein beweisen, daß jedenfalls für ein gegebenes Güteverhältniß $\frac{R}{\varepsilon}$ die Gesamtsumme $P' + K'$ größer als $P + K$ ist.

Die Bedingung $(P' + K') > (P + K)$ kommt auf die Bedingung

$$\frac{p}{c' \xi} - \frac{K'}{c' \xi} > \frac{b}{l} \frac{p}{c \xi} - \frac{K}{c \xi}$$

zurück, oder wenn man für c und c' die Werthe $a \cos \alpha$ und $l \cos \alpha$ substituirt, auf:

$$\frac{p}{l} - \frac{K'}{l} > \frac{b}{\alpha l} p - \frac{K}{a}.$$

Nun ist aber

$$K = p - a \sin \alpha \text{ und } K' = p - l \sin \alpha,$$

daßer geht obige Bedingung über in:

$$l > b,$$

eine Bedingung, die für den Regulator der Figur, und haupt für jeden in der Praxis vorkommenden Regulator erfüllt ist.

Aus diesen einfachen Betrachtungen ergibt sich

1) daß für einen Regulator mit directer hängung das Güteverhältniß größer ist als für Regulator mit umgekehrter Aufhängung, wenn Regulatoren dieselben Dimensionen und dasselbe R und Hülfsengewicht haben;

2) daß man, um ein bestimmtes Güteverhältniß erhalten, an einem Regulator mit umgekehrter hängung ein schwereres Hülfsengewicht und schw (oder gleichgroße) Kugeln anbringen muß.

Wenn die Kugel nicht auf der Stange AC ange sondern mit dem Punkte C durch einen besonderen Arm verbunden ist, Fig. 6, so wird der Regulator nicht b verbessert. Ein solcher Regulator $BACM$ ist offenbar dem Regulator $BAC'M$ vollständig äquivalent, weil p ihre Werthe nicht geändert haben, und dieser letzte schlechter als der gewöhnliche Regulator $ABC'M'$, $BM' = AM$ genommen worden ist.

Das Umgekehrte würde stattfinden, wenn die Sch kugel bei dem Regulator der 1. Classe zwischen B u bei demjenigen der 2. Classe zwischen A' und C' ange wäre. Diese Einrichtung kommt aber fast niemals vor

Man muß nicht vergessen, daß der vorige Vergleich für die statischen Eigenschaften der beiden Regulator tungen gilt: wir sind nämlich bis jetzt sehr im Unklaren die Wirkungsweise eines Regulators während seiner Bew und nur vergleichende im ausgedehnten Maßstabe ang Versuche mit verschiedenen Regulatoren an verschiedenen schinen könnten hierüber genaueren Aufschluß geben.

§. VI. Graphische Bestimmung von K , P , $\frac{R}{\varepsilon}$,

Wenn man die Dimensionen des Regulators in M mißt, muß man in den Formeln VII^a — X^a, $g =$ setzen; dieser Werth unterscheidet sich nur wenig von Werthe von π^2 und man kann demnach mit genü Annäherung schreiben (für $g = \pi^2$).

$$n_0^2 = (30)^2 \frac{k}{c \xi} + \frac{b}{l} \frac{K}{P} (30^2) \frac{p}{c \xi}, \quad ($$

$$K = \frac{b}{l} \frac{R}{\varepsilon} \frac{(30)^2}{n^2} \frac{p}{c \xi}, \quad \dots \quad ($$

$$P = \frac{R}{\varepsilon} - \frac{R}{\varepsilon} \frac{(30)^2}{n^2} \frac{k}{c \xi}, \quad \dots \quad$$

$$\frac{R}{\varepsilon} = P + K \frac{l}{b} \frac{k}{p}. \quad \dots \quad$$

Der Werth von K läßt sich folgendermaßen construiren. Durch den Kugelmittelpunkt M (Fig. 7) ziehe man eine Horizontale, bis sie die Rotationsachse in M' schneidet, dann von M' eine Parallele $M'E$ zum Regulatorarme BC bis nach E . Nachdem der Punkt C' durch die Horizontale in C und die Verticale durch den Pol P bestimmt worden ist, verbinde man A mit C' und ziehe $EF \parallel AC'$; trage $\overline{PG} = \overline{PG'} = 30^{\text{mm}}$ auf und ziehe FG' , und durch G $GH \parallel FG'$ bis nach H . Die Strecke \overline{PH} stellt $(30)^2 \frac{P}{c\xi}$ dar; in der That folgt aus den ähnlichen Dreiecken APC' , EPF

$$\frac{\overline{PF}}{\overline{PA}} = \frac{\overline{PC'} \cdot \overline{PE}}{\overline{PA}} = \frac{c\xi}{P}$$

und aus den ähnlichen Dreiecken $PF G'$, $P G H$

$$\overline{PH} = \frac{\overline{PG} \cdot \overline{PG'}}{\overline{PF}} = (30)^2 \frac{P}{c\xi}.$$

Ferner trage man $\overline{PR} = \frac{R}{\varepsilon}$ in einem beliebigen Maß-

stabe auf und $\overline{PN} = \frac{\mu}{1000} n^2$ Millim., wobei $1:\mu$ den Längenmaßstab bedeutet, ziehe NH und $RK \parallel NH$, so ist

$$\overline{PK} = \frac{R}{\varepsilon} \cdot \frac{(30)^2}{n^2} \frac{P}{c\xi} = K \frac{1}{b}. *)$$

$K \frac{1}{b}$ erscheint hier unabhängig vom Längenmaßstabe und in demselben Kräftemaßstabe, wie $\frac{R}{\varepsilon}$. Man kann selbstverständlich eine der Längen \overline{PR} , \overline{PN} beliebig ändern, nur muß die andere in demselben Verhältniß geändert werden.

Um K zu bestimmen, ist noch die Strecke \overline{PK} mit $\frac{b}{1}$ zu multipliciren, was entweder auf graphischem Wege oder durch eine einfache Multiplication geschieht.

Wenn der Regulator der 2. oder 3. Classe angehört, so ist der Punkt C' der Schnittpunkt der Verticalen durch den Pol mit der Horizontalen durch den Kugelmittelpunkt; in diesem Falle stellt die Strecke \overline{PK} ohne Weiteres K dar.

In der Figur ist auch schon alles enthalten, was zur Bestimmung von P nöthig ist; man macht $\overline{PK'} = \overline{PK}$, zieht AK' und $DS \parallel AK'$, alsdann ist $P = \overline{RS}$; in der That hat man

$$PS = \overline{PK'} \cdot \frac{\overline{PD}}{\overline{PA}} = K \frac{1}{b} \frac{k}{p},$$

$$RS = \overline{PR} - PS = \frac{R}{\varepsilon} - K \frac{1}{b} \frac{k}{p} = P.$$

*) In der Figur ist

$\frac{R}{\varepsilon} = 55 \text{ Kgr.} \cdot \text{Mm.}, n = 100, \mu = 5, 1^{\text{mm}} = 1 \text{ Kgr.}$

Es ist noch bemerkenswerth, daß, wenn man $RC' \parallel AC'$ zieht, die Strecke $\overline{PC'}$ die Centrifugalkraft der Kugel darstellt.

Es kann nun das umgekehrte Problem zu lösen sein, d. h. wenn P und $K \frac{1}{b}$ von vornherein gegeben, oder für eine specielle Regulatorlage construirt worden sind, $\frac{R}{\varepsilon}$ und n^2 zu bestimmen sein.

Um $\frac{R}{\varepsilon}$ zu ermitteln, trägt man (Fig. 8) $\overline{PE} = P$, $\overline{PK'} = K \frac{1}{b}$ auf, zieht AK' und von D aus $DR \parallel AK'$. \overline{RE} stellt das Güteverhältniß $\frac{R}{\varepsilon}$ für die gegebene Regulatorlage dar.

Aus der Formel (VII^b) kann mit Leichtigkeit n_0^2 graphisch bestimmen. Man construirt $(30)^2 \frac{P}{c\xi}$, wie vorhin, $(30)^2 \frac{k}{c\xi}$ auf eine ganz ähnliche Weise, und erhält n_0^2 , indem man die erste Strecke mit dem Verhältnisse $\frac{P}{K \frac{1}{b}}$ multiplicirt und das Produkt mit der zweiten Strecke abbirt.

§. VIII. Wahl von $\frac{R}{\varepsilon}$.

Für einen schon vorhandenen Regulator kann R mit Leichtigkeit bestimmt werden; man braucht bloß die Regulatorhülse mit einem Ende eines Hebels zu verbinden und das andere Ende zu belasten bis die Hülse anfängt sich zu bewegen.

Wenn der Regulator auf die Drosselklappe wirkt, so kann man

$$R = \alpha + \beta p D^2$$

setzen, wobei p der Dampfdruck, D der Kolbendurchmesser, α und β zwei Constanten sind. Für Dampfmaschinen mittlerer Größe ist gewöhnlich

$$R = 0,5 \text{ kg} - 0,75 \text{ kg} - 1 \text{ kg}.$$

Bei den Expansionsregulatoren ist R von p und D unabhängig und in den neuen Maschinen der Systeme Corliss und Sulzer hat R einen kleinen Werth.

Was $\frac{1}{\varepsilon}$ betrifft, so kann man zwei Grenzen angeben, welche es nicht überschreiten darf, nämlich den Gleichförmigkeitsgrad der Arbeitsmaschinen $\frac{1}{\delta}$ und den Gleichförmigkeitsgrad des Schwungrades $\frac{1}{\eta}$. Zwischen den Größen η , ε , δ muß offenbar die Beziehung stattfinden

$$\eta < \varepsilon < \delta.$$

THE NEW YORK
PUBLIC LIBRARY
ASTOR LENOX AND
TILDEN FOUNDATIONS

THE NEW YORK
PUBLIC LIBRARY
ASTOR LENOX AND
TILDEN FOUNDATIONS

theiles beträgt $A = 12,02^{\text{cm}}$ und der Abstand des Schwerpunktes dieser Fläche vom Mittelpunkt des Druckes in der Fuge $1,61^{\text{m}}$, also das Moment

$$M = 12,02 \cdot 1,61 = 19,3522.$$

Trägt man also der 50^{cm} betragenden Gewölbefstärke und der Dichtigkeit des Materiales (1554^{k} pro Cubikmeter) Rechnung, so folgt

$$Q = \frac{19,3522}{1,30983} \cdot 0,5 \cdot 1554 = 11433,33^{\text{k}}$$

und aus der allgemeinen Formel für die größte Druck- und Zugspannung

$$R = \frac{Q}{s} \left(1 \pm \frac{6u}{s} \right),$$

im Scheitel $\left\{ \begin{array}{l} \text{der größte Druck } 89,40^{\text{k}} \text{ pro Quadratcentim.} \\ \text{" " Zug } 41,25^{\text{k}} \text{ " " " "} \end{array} \right.$

$$Q = \frac{x}{y} P = \frac{1,585}{y} \cdot 12,02 \cdot 1554 \cdot 0,50 = \frac{1,585 \cdot 9339,54}{y}.$$

Es ist aber

$$y = 1,20 - (0,05 - 0,018) + s - \frac{0,065}{3} + \frac{0,1266}{3} \cos \alpha = 1,21,$$

daher

$$Q = 12233,08^{\text{k}},$$

während vor dem Bruch $11434,33^{\text{k}}$ erhalten wurde. Hier nach hat die Cohäsion bewirkt, daß der Wogen mit einem um 800^{k} niedrigeren Horizontalschube im Gleichgewicht bleiben konnte. Ist β der Winkel der Resultante N in der Fuge cd mit der Horizontalen, so hat man $\tan \beta = \frac{1,21}{1,585} = 0,7634$, $\beta = 37^{\circ} 22'$ und $\cos \beta = 0,7947$, also aus (6)

$$N = \frac{7,872}{0,7947} \cdot 1554 = 9,905 \cdot 1554 = 15392,37^{\text{k}}.$$

Die auf der Fuge normale Componente T folgt nach (7), da $\alpha - \beta = 49^{\circ} 57' - 37^{\circ} 22' = 12^{\circ} 35'$ und $\cos(\alpha - \beta) = 0,976$ ist,

$$T = 9,905 \cdot 1554 \cdot 0,976 = 15022,51^{\text{k}},$$

und da der Widerstand leistende Querschnitt $12,66 \cdot 50 = 633$ Quadr.-Centim. beträgt, so findet sich der größte Druck in c

$$R' = \frac{2T}{633} = 49,36^{\text{k}},$$

während im Schlussstein, wo der Widerstand leistende Querschnitt $6,5 \cdot 50 = 325$ Quadr.-Centimeter beträgt, dieser größte Druck sich auf

$$R = \frac{2Q}{325} = 75,28^{\text{k}} \text{ pro Quadr.-Centimeter}$$

berechnet. Die Curve der Drücke steht aber nicht normal auf der Fuge cd , weil β nicht $= \alpha$ ist, und daher wird eine über dem Schnitt cd liegende Fuge, welche von der Curve senkrecht geschnitten wird, diejenige sein, in welcher der

Civilingenieur XX.

am Scheitel $\left\{ \begin{array}{l} \text{der größte Druck } 71,08^{\text{k}} \text{ pro Quadratcentim.} \\ \text{" " Zug } 41,21^{\text{k}} \text{ " " " "} \end{array} \right.$

Der größte Zug, den das Gewölbe auszuhalten hatte, betrug somit ungefähr 40^{k} pro Quadratcentimeter.

In Folge des Druckes fand eine merkliche Senkung des Scheitels statt, dessen Fuge sich bis auf 5^{cm} schloß; zu der Zeit, wo die Spalten bemerkt wurden, betrug der Widerstand leistende Theil der Scheitelfuge $t = 6,5^{\text{cm}}$, der Schenkeifuge $t' = 12,66^{\text{cm}}$, wonach sich die Lage der Mittellinie des Druckes nach der Zerstörung der Cohäsion bestimmen läßt.

Wenn $cdnm$, Fig. 14, den über der durch Zug bewirkten Bruchfuge liegenden Gewölbetheil darstellt und a der Mittelpunkt des Druckes im Scheitel, a' derjenige in der Fuge cd , P das Gewicht des Gewölbes sammt Uebermauerung bis zur Verticalen in d und x den Hebelarm von P , y denjenigen von Q in Bezug auf a' bedeutet, so ist:

Bruch durch Zerbrücken erfolgt und die größte Pressung pro Einheit stattfindet. Um diesen Punkt zu bestimmen, braucht man nur die Curve aa' vertical aufwärts zu schieben und den Punkt zu markiren, wo sie tangirt oder eine graphische Methode zu benutzen. Man findet denselben $0,32$ höher als den Punkt, wo der Bruch durch Zug erfolgt, und dieser Umstand erklärt die Krümmung nach oben bei den Spalten am Gewölbschenkel, von welcher bereits die Rede war. Der Winkel α_0 dieser Fuge mit der Verticalen ergibt sich

$$\cos \alpha_0 = 0,80928, \quad \alpha_0 = 35^{\circ} 59'.$$

Die Fläche des darüber liegenden Gewölbetheiles beträgt $A = 11,2851$ und daher das Gewicht sammt der Uebermauerung $P = 11,2851 \cdot 1554 \cdot 0,5 = 8768,44^{\text{k}}$.

Zur Prüfung wollen wir sehen, ob der Winkel der Resultante in dieser Fuge wirklich 90° beträgt. Wäre dies der Fall, so müßte

$$\tan \beta = \frac{P}{Q} = \frac{5,64}{7,872} = 0,7167$$

und $\beta_0 = 35^{\circ} 22'$ sein anstatt $35^{\circ} 59'$, indessen erklärt sich die Differenz lediglich durch die Ungenauigkeit des graphischen Verfahrens.

Die Resultante in der Fuge $c_0 d_0$ wird sein

$$T = \frac{Q}{\cos \beta_0} = \frac{12233,08}{0,8152} = 15128,80^{\text{k}}$$

Sie begegnet der Fuge im Abstände von $2,8^{\text{cm}}$ von c_0 , der Widerstand leistende Theil ist $3d_0 = 8,4^{\text{cm}}$ und die entsprechende Fläche $50 \cdot 8,4 = 420$ Quadr.-Centim., also der Druck pro \square Centim.

$$R = \frac{2T}{420} = 72,04^k,$$

während im Scheitel $75,28^k$ oder nur 3^k mehr gefunden wurde. Es fand also in den drei Punkten fast genau der gleiche Druck statt.

Wenn wir jetzt die Mittellinie des Druckes hinabzuschieben versuchen wollten, so daß sie in c_0 tangirte, so müßte

$$rs = c_0 s - c_0 r = b + s - d - d_0 \cos \alpha_0 = 1 + 0,095 - \frac{0,065}{3} - 0,028 \cdot 0,80928 = 1,06^m,$$

während sie für die durch p gehende Curve

$$b + s - c = 1,0482^m$$

beträgt, was beweist, daß die wirkliche Mittellinie nahe bei derjenigen lag, welche in c_0 die innere Gewölblinie tangirt und in dem durch (a) gegebenen Punkte durch die Scheitelfuge ging, aber in solcher Weise vertical aufwärts geschoben war, daß die Drücke pro Einheit in den Bruchfugen gleich wurden.

Betrachten wir nun den Gewölbbogen noch in seinem letzten Stadium kurz vor dem Einsturze. Die Fläche des Bogens sammt Uebermauerung betrug $A = 16,75$, also das Gewicht

$$P = 16,75 \cdot 0,5 \cdot 1554 = 13014,75^k,$$

woraus sich nach (5) berechnet:

$$Q = \frac{P}{\operatorname{tg} \beta_0} = \frac{13014,75}{0,7167} = 18170,72^k.$$

Der Widerstand leistende Theil im Scheitel besaß $5.50 = 250$ Quadr.-Centim., so daß sich ein Maximaldruck von

$$\frac{2 \cdot 18170}{250} = 145,36^k \text{ pro Quadr.-Centim.}$$

mit der Differenz von 1^{cm} . d und d_0 differiren bloß um $0,09^{\text{cm}}$. Vor dem Ausrüsten betrug die Länge des Widerstand leistenden Theiles im Scheitel 5^{cm} , nach Formel (12) erhält man aber $d = 1,8$, also $3d = 5,4^{\text{cm}}$ und für die Bruchfuge giebt Formel (9) $d_0 = 2,2^{\text{cm}}$, also wird $3d_0 = 6,6^{\text{cm}}$ anstatt $0,5^{\text{cm}}$.

17) Der Werth der vorgeführten Resultate liegt mehr im Verhältniß der Ziffern, als in ihrem absoluten Werthe. Trägt man aber den Irrthümern Rechnung, welche durch die Ungenauigkeit in der Abschätzung der Größe der Widerstand leistenden Fläche entstehen können, die aber sicher keinen bemerkenswerthen Einfluß haben werden, so kann man jedenfalls Folgendes als experimentell erwiesen ansehen.

1. Im Augenblick der Zerstörung der Cohäsion des Bogens war die stärkste Spannung in drei Punkten fast gleich, kurz darauf besaß die Mittellinie des Druckes den geringsten Abstand von der innern Leibung in einem Punkte, welcher ungefähr 50^{cm} über demjenigen lag, in welchem der

sie nahe bei dem durch die Dupuit'sche Formel (3) gegebenen Punkte durch die Scheitelfuge hindurchgehen. Für c_0 ist $b = 1^m$, $s = 0,095$, daher

$$c = \frac{s}{3} \frac{3b + s}{2b + s} = 0,0468. \quad (a)$$

Die Bogenhöhe in Bezug auf den Mittelpunkt des Druckes v ergibt sich

berechnet. Im Schnitt $c_0 d_0$ war die Widerstand leistende Fläche $6,5 \cdot 50 = 325$ Quadr.-Centim. und da die Resultate

$$\frac{Q}{\cos \alpha_0} = \frac{18170,72}{0,80928} = 22452,94^k$$

betrug, so berechnet sich als Maximaldruck pro Qu.-Centim.

$$\frac{2 \cdot 22452,94}{325} = 138,18^k,$$

anstatt $145,00$.

Die Dupuit'sche Formel (a) berücksichtigt nicht die Uebermauerung; Letztere scheint, wenn sie bedeutend ist, die Wirkung zu haben, daß der Mittelpunkt des Druckes im Scheitel nach der äußern Wölbfläche hinaufgerückt werden muß, wir sehen jedoch an diesem Beispiele, daß dieser Einfluß selbst bei sehr starken Belastungen nur gering ist. Denn die Bogenhöhe betrug nach dem Bruche $m = 1,06^m$. Im Zustande der stärksten Belastung stand der Mittelpunkt des Druckes im Scheitel um $1,66^{\text{cm}}$ von der äußern Wölbfläche ab und derjenige in der Schenkelfuge um $2,166^{\text{cm}}$, die Bogenhöhe der Curve betrug daher

$$b + s - d - d_0 \cos \alpha_0 = 1 + 0,095 - 0,0166 - 0,02166 \cdot 0,80928 = 1,06^m$$

Bruch durch Zug erfolgt war, und hierdurch erklärt sich der krummlinig von unten nach oben aufsteigende Verlauf der Sprünge.

2. Der Maximaldruck war sowohl gleich nach der Zerstörung der Cohäsion, als auch kurz vor dem Einsturz in drei Punkten gleich und diese durch Rechnung sich ergebende Uebereinstimmung hat mich besonders veranlaßt, das Princip von der Gleichheit des Maximaldruckes in drei Punkten des Gewölbes aufzustellen.

3. Das Princip des größten Widerstandes von Moseley und dasjenige des permanenten Drehpunktes von Dupuit hat sich nicht bestätigt und kann nicht nachgewiesen werden. Nimmt man nämlich an, der Druck im Scheitel und in der innern Wölblinie der Schenkel sei in einem Punkte oder auf eine 3^{cm} breite Fläche concentrirt, so würde der Schub etwas geringer sein, als der von mir gefundene, weil die Bogenhöhe der Curve etwas größer wäre; seine Intensität beträgt aber im Scheitel 17928 , in der Bruchfuge 22153^k und

hält man als Maximaldrücke im Scheitel 239, in der Fuge 285,4^k, diese sind Ziffern, welche für einen Wogen unmöglich sind.

Es Obigem ergibt sich, daß die zeitlichen Annahmen der Vertheilung der Pressungen in den Gewölben falsch giebt Punkte, in denen der Druck auf die Einheit größer ist, als derjenige, welcher auf Grund der zeitlichen Hypothese berechnet wird, und die Theorie des Gleichgewichts der Gewölbe muß von einem andern Gesichtspunkte behandelt werden. Dupuit hat das Verdienst, die Lage des Drehpunktes aufgestellt zu haben, welche sich schon im Augenblick des Ausrüstens bewährt, da sich die Fugen in der That mehr oder weniger öffnen, oder meistens leichte Sprünge zeigen, welche die Zerstörung des Gewölbes und eine nur theilweise Verbreiterung des Druckes über die Fuge beweisen. Es folgt jedoch aus den von mir citirten Beobachtungen und angestellten Versuchen, daß der bleibend Widerstand leistende Theil der Gewölbe größer ist, als Dupuit annimmt.

Um die definitive Lage der Mittellinie des Druckes zu finden, habe ich daher unter Benutzung des Principes des Drehpunktes und der Dupuit'schen Formel für den Druck des Gewölbes durch den Scheitel ein neues

Princip eingeführt, nämlich dasjenige der Gleichheit des Maximaldruckes pro Einheit in drei Punkten. Die vorgeschlagene Lösung hat keinen metaphysischen Charakter, noch kann sie als allgemeines Gesetz aufgeführt werden; sie ist in Folge meiner Studien über die während des Ausrüstens eines Gewölbes sich zeigenden Erscheinungen, sowie über die Zusammenbrüche der Mörtelfugen zwischen den Wölsteinen in mir entstanden; wenn man aber auch zugestehet, daß die vorgedachten Beobachtungen und Untersuchungen noch nicht hinreichend sind, um die Wahrheit des Principes darzuthun, daß dieses vielmehr eine bloße Annäherung darstellt, so ist doch gewiß, daß diese Lösung der Wahrheit näher kommt, als jede andere Hypothese, welche zeitlich bei der Berechnung der Gewölbe zu Grunde gelegt worden ist. Ueberdies sind die darauf basirten Formeln von leichter Handhabung und führen rasch zum Ziele; bei Stichbogengewölben findet man rasch den Gewölbeschub und die stärkste Inanspruchnahme des Materiales, ohne die Zeichnung greifen zu müssen, lediglich auf Grund der bekannten Hauptdimensionen, und bei halbkreisförmigen Gewölben besteht die einzige Schwierigkeit in der Auffindung der Bruchfuge.

(Il Politecnico. Anno XXI, num. 8, 9, 10.)

Ueber die graphische Bestimmung der Kugel- und Hülfsengewichte an Centrifugalregulatoren.

Von

Dr. Dino Badelletti aus Florenz.

(Hierzu Tafel 29.)

§. I. Vorbemerkungen.

Einem sehr interessanten Aufsatze: „Ueber die Mechanik der Centrifugalregulatoren und ihre pseudo-statische Aufhängung“*) hat Herr Dr. Pröhl gezeigt, Einführung des augenblicklichen Rotationsmittelpunktes in die Regulatortheorie derselben eine große Klar-

heit und Allgemeinheit giebt. Der Zweck folgender Untersuchung wird sein, die Grundformeln für Regulatoren nicht aus den Sätzen der kinematischen Geometrie, sondern auf eine elementare Weise abzuleiten, und dieselben in einfache graphische Construction zu überlegen.

Abgesehen von der gemeinschaftlichen Rotationsbewegung, ist der Punkt A des Regulators ABC, Fig. 1, gezwungen, sich auf einer verticalen Geraden, und der Punkt C sich auf einem Kreise vom Halbmesser CB und dem Mittelpunkte B zu bewegen. Es wirken im Kugelmittelpunkte zwei Kräfte, das Kugelgewicht K und die Centrifugalkraft C, welche von

obersten Kante zu berechnen. (Siehe den Abschnitt: Eintauchung der Oberkante").

Die Größen K und v (Druckhöhe und Geschwindigkeit) stehen bekanntlich in der Beziehung zu einander, daß

$$K = \frac{v^2}{2g} \text{ ist.}$$

Der auf die vordere Seite des Streifens $A_1 A A_2$ ausgeübte hydrostatische Ueberdruck ist

$$dP'' = b dr K \cdot \gamma,$$

oder mit Einführung des obigen Werthes für K

$$dP'' = b dr \frac{\gamma}{2g} v^2.$$

Diesen in seine zwei Componenten zerlegt, giebt die gesuchten Kräfte:

$$\left. \begin{aligned} dX'' &= \frac{\gamma}{2g} b dr \cos \alpha v^2 \\ dY'' &= \frac{\gamma}{2g} b dr \sin \alpha v^2 \end{aligned} \right\} \dots (8)$$

Diese beiden Gleichungen lassen sich noch in einer anderen Form schreiben, wenn wir aus Gl. 7 den Werth M einführen, jedoch vorläufig dabei den Coefficienten μ weglassen. Im Schlusresultat bei Bestimmung der gesamten Triebkräfte dX und dY werden wir μ wieder einführen. Das geschieht aus dem einfachen Grunde, weil der Werth dieses Coefficienten für jede Componente der Triebkraft wahrscheinlich verschieden ist; aus Versuchen können wir aber μ nicht für jede einzelne Componente finden, sondern müssen es für die gesamten Triebkräfte dY und dX bestimmen. Deshalb ist es das Richtige, μ erst in die Endgleichungen einzuführen.

$$\left. \begin{aligned} dX'' &= \frac{M}{2} v \cos \alpha \\ dY'' &= \frac{M}{2} v \sin \alpha \end{aligned} \right\} \dots (9)$$

Durch Addition der Gleichungen (4) und (9) ergibt sich

$$\left. \begin{aligned} dX &= \mu \frac{M}{2} \{ 2(c_1 \sin \alpha_2 - u) + v \cos \alpha \} \\ dY &= \mu \frac{M}{2} \{ 2(c - c_1 \cos \alpha_2) + v \sin \alpha \} \end{aligned} \right\} \dots (10)$$

Die eben entwickelten complicirten Gleichungen vereinfachen sich bedeutend, wenn wir sie auf jene beiden Specialfälle anwenden, welche in der Praxis allein Werth haben.

Diese sind:

1. Fall. Die abgewinkelte Leitlinie der Schraube ist eine Gerade, somit sind die Steigungswinkel in allen Punkten derselben gleich. In diesem Falle sagt man die Schraube habe constante Neigung.

2. Fall. Die abgewinkelte Leitlinie ist so geformt, daß die Tangente am Eintritt (bei A_1) mit der Richtung der absoluten Geschwindigkeit des Elementes zusammenfällt, daß

also die vordere Kante des Propellers ohne Stoß ins Wasser einschneidet. Da in diesem Falle, wie schon früher bemerkt wurde, $\alpha_2 > \alpha_1$ ist, so sagt man, die Schraube habe zunehmende Neigung.

1. Fall: Die Schraube hat constante Neigung. Fig. 2. Dann ist:

$$\begin{aligned} \alpha_2 &= \alpha_1 = \alpha, \\ c_1 &= u \sin \alpha + c \cos \alpha, \\ c_1 \sin \alpha_2 - u &= u \sin^2 \alpha + c \sin \alpha \cos \alpha - u \\ &= c \sin \alpha \cos \alpha - u \cos^2 \alpha \\ &= \cos \alpha (c \sin \alpha - u \cos \alpha) \\ &= v \cos \alpha. \end{aligned}$$

Ebenso wird

$$c - c_1 \cos \alpha_2 = v \sin \alpha.$$

Setzt man diese Werthe in die Gleichungen (10) ein und beachtet, daß nach Gleichung (7)

$$M = \frac{\gamma}{g} b dr v,$$

so ergibt sich

$$\left. \begin{aligned} dX &= \frac{3}{2} \mu \frac{\gamma}{g} b dr v^2 \cos \alpha \\ dY &= \frac{3}{2} \mu \frac{\gamma}{g} b dr v^2 \sin \alpha \end{aligned} \right\} \dots (11)$$

Wobei

$$v = c \sin \alpha - u \cos \alpha.$$

2. Fall. Die Schraube hat zunehmende Steigung, Fig. 3. Dann hat die Eintrittssteigung ihren günstigsten Werth, es ist nämlich

$$\operatorname{tg} \alpha_1 = \frac{u}{c}.$$

Unter dieser Voraussetzung ist

$$\begin{aligned} c &= c_1 \cos \alpha_1, \\ u &= c_1 \sin \alpha_1. \end{aligned}$$

Da früher nachgewiesen wurde, daß die Form der Leitlinie auf die Größe der Triebkraft ohne Einfluß ist, so können wir, unbeschadet der Allgemeinheit, die Annahme machen, daß die abgewinkelte Leitlinie nach einem Kreisbogen gekrümmt ist. Dann ist die Gerade b Sehne dieses Bogens und zwischen den Winkeln findet die Beziehung statt, daß

$$\alpha = \frac{\alpha_1 + \alpha_2}{2}.$$

Dabei ist α wie früher der Steigungswinkel der Geraden b . Unter dieser Voraussetzung wird

$$\begin{aligned} \sin \alpha_2 &= \sin 2\alpha \cos \alpha_1 - \cos 2\alpha \sin \alpha_1, \\ c_1 \sin \alpha_2 &= 2 \sin \alpha \cos \alpha c_1 \cos \alpha_1 - (2 \cos^2 \alpha - 1) c_1 \sin \alpha, \\ c_1 \sin \alpha_2 - u &= 2 \sin \alpha \cos \alpha c - (2 \cos^2 \alpha - 1) u - u \\ &= 2 \cos \alpha (c \sin \alpha - u \cos \alpha) \\ &= 2 \cos \alpha \cdot v. \end{aligned}$$

Auf dieselbe Weise findet man

$$c - c_1 \cos \alpha_2 = 2 \sin \alpha v.$$

Setzt man diese Werthe in die Gleichung (10) ein, so giebt sich

$$\begin{aligned} dX &= \frac{5}{2} \mu \frac{\gamma}{g} b dr v^2 \cos \alpha \\ dY &= \frac{5}{2} \mu \frac{\gamma}{g} b dr v^2 \sin \alpha \end{aligned} \quad (12)$$

Hierbei ist $\alpha = \frac{\alpha_1 + \alpha_2}{2}$ gleich dem arithmetischen

Mittel zwischen den Steigungswinkeln am Ein- und Austritt.

Vergleicht man die eben gewonnenen Formeln mit jenen, welche wir bei Betrachtung der Schraube von constanter Steigung erhalten haben, so ergiebt sich eine vollkommene Uebereinstimmung des Baues derselben. Die Formeln unterscheiden sich nur durch den Coefficienten, der in einem alle $\frac{3}{2}$, im anderen $\frac{5}{2}$ beträgt. Diese Beziehung gilt für das Element der Schraubenfläche und wir gelangen deshalb zum Schlusse, daß eine richtig construirte Schraubenfläche mit zunehmender Steigung ungefähr $\frac{5}{3}$ mal so viel Kraft entwickeln kann, als eine solche von gleich großen Dimensionen, aber constanter Steigung.

Wir sagen, ungefähr $\frac{5}{3}$ mal so viel Kraft, weil möglicherweise der Coefficient μ für beide Arten von Schrauben nicht denselben Werth hat und deshalb das Verhältniß ein wenig alterirt. Immerhin ist aber der große Vorzug der Schraube mit zunehmender Steigung nachgewiesen. Er wird besonders dann fühlbar, wenn große Geschwindigkeit des Schiffes bei geringer Tauchung desselben, d. h. bei geringem Durchmesser der Schraube verlangt wird.

Ueber den Wirkungsgrad.

Wir haben in den bisherigen Untersuchungen ganz von der Wasserreibung, der Cohäsion des Wassers an den Propellerflächen und von anderen zu Verlusten Ursache gebenden Umständen abgesehen. Wenn wir nun, auf Grund der erhaltenen Gleichungen, den Wirkungsgrad eines Elementarstreifens der Propellerfläche berechnen, so werden wir nicht den gesammten Wirkungsgrad finden, sondern nur jenen Theil desselben, welcher von den oben erwähnten Verlusten abhängig ist und einzig und allein von jenem Arbeitsverthe beeinflusst wird, den wir in der Einleitung mit L bezeichnet haben. Diesen Wirkungsgrad wollen wir deshalb den theilweisen Wirkungsgrad nennen und mit η bezeichnen, den Unterschied von jenem, bei welchem wir auch alle an-

deren Verluste mitberücksichtigen werden und der deshalb Gesamtwirkungsgrad heißen möge. Den letzteren werden wir mit η_0 bezeichnen.

Die von dem Elementarstreifen $A_1 A A_2$ während einer Sekunde auf das Schiff übertragene, also nutzbar gemachte Arbeit ist dXu , während die von der Maschine in das Element hineingelegte Arbeit dYc ist. Das Verhältniß beider giebt den theilweisen Wirkungsgrad

$$\eta = \frac{dXu}{dYc}$$

Setzt man aus den Gleichungen (11) und (12) für dX und dY ihre Werthe ein, so findet man für beide Arten von Schrauben (constante und zunehmende Steigung) denselben Wirkungsgrad

$$\begin{aligned} \eta &= \frac{u \cos \alpha}{c \sin \alpha}, \\ \eta &= \frac{u}{c \operatorname{ctg} \alpha} \quad \text{gerade Leitlinie} \\ \eta &= \frac{u}{c \operatorname{ctg} \frac{\alpha_1 + \alpha_2}{2}} \quad \text{gekrümmte Leitlinie} \end{aligned} \quad \left. \vphantom{\begin{aligned} \eta &= \frac{u \cos \alpha}{c \sin \alpha}, \\ \eta &= \frac{u}{c \operatorname{ctg} \alpha} \end{aligned}} \right\} \quad (13)$$

Diese Gleichungen können dazu dienen, die geometrische Form der Triebfläche zu finden. Wir haben dieselbe zwar bis jetzt immer schlechtweg „Schraube“ genannt, ohne jedoch bewiesen zu haben, daß die Schraube auch wirklich die richtige Fläche für Propeller ist. Diesen Beweis können wir nachträglich beibringen.

Wir fordern von der gesuchten Triebfläche, daß jeder ihrer Elementarstreifen mit dem gleichen Wirkungsgrad arbeite, mithin η längs der ganzen Fläche constant sei. Diese Bedingung wird nur erfüllt, wenn $c \operatorname{ctg} \alpha$ constant ist.

Bezeichnen wir mit n die Anzahl Umdrehungen des Propellers pro Sekunde, so ist

$$c = 2\pi r n \text{ und}$$

$$\eta = \frac{u}{2\pi r n \operatorname{ctg} \alpha},$$

$$\begin{aligned} 2\pi r \operatorname{ctg} \alpha &= \frac{u}{n \eta} = \text{Constante} \\ 2\pi r \operatorname{ctg} \alpha &= h \end{aligned} \quad (14)$$

Wie man sofort übersieht, ist diese Bedingung bei einem cylindrischen Conoid von der Steigung h erfüllt. Es ist also die gewöhnliche flachgängige Schraube von constanter Steigung eine richtig geformte Triebfläche.

Auch für den Fall der gekrümmten Leitlinie (zunehmende Steigung) läßt sich die geometrische Form der Triebfläche auf ähnliche Weise finden. Es wurde früher gezeigt, daß der Winkel α , so gewählt sein muß, daß die vordere Kante des Flügels ohne Stoß ins Wasser einschneidet. Mithin muß sein:

$$\operatorname{tg} \alpha_1 = \frac{u}{c},$$

oder

$$2\pi r \operatorname{tg} \alpha_1 = \frac{u}{n} = \text{Constante.} \quad (15)$$

Setzen wir $\frac{u}{n} = h_1$ so haben wir zur Ermittlung der fraglichen Triebfläche folgende Gleichungen:

$$2\pi r \operatorname{tg} \alpha_1 = h_1 \text{ Eintrittssteigung,}$$

$$2\pi r \operatorname{tg} \frac{\alpha_1 + \alpha_2}{2} = h \text{ mittlere Steigung,}$$

$$2\pi r \operatorname{tg}(2\alpha - \alpha_1) = h_2 \text{ Austrittssteigung.}$$

Die beiden ersten, nämlich Eintrittssteigung und mittlere Steigung, sind längs der ganzen Fläche constant; nicht so die Austrittssteigung. Diese wächst gegen das Centrum hin. Von diesem Verhalten kann man sich am besten überzeugen, wenn man einen concreten Fall annimmt und für denselben die Steigung wirklich berechnet.

$\eta = 0,8$	$\alpha =$	0	10	20	30	40	50	60	70	80	90°
	$\frac{h_2}{h_1} =$	0	1,454,	1,505,	1,525,	1,538,	1,574,	1,608,	1,640,	1,652,	∞ .
	$\frac{h_2}{h_1} =$	0	1,454,	1,505,	1,525,	1,538,	1,574,	1,608,	1,640,	1,652,	∞ .

Aus dieser Tabelle ist ersichtlich, daß der Quotient $\frac{h_2}{h_1}$ gleichzeitig mit α wächst. Hätten wir η kleiner als 0,8 gewählt, so wäre diese Zunahme bedeutender, hätten wir es größer als 0,8 gewählt, so wäre sie etwas geringer ausgefallen, als im vorliegenden Falle. Eine Zunahme dieses Quotienten findet aber immer statt. Da nun die Eintrittssteigung für die ganze Fläche constant ist, so muß die Austrittssteigung bei wachsendem α , also gegen das Centrum hin, größer werden.

In der Praxis wird dieser Bedingung gewöhnlich nicht entsprochen; man macht die Austrittssteigung auch constant. Das ist ein Fehler, der um so fühlbarer wird, je kleiner der Nutzeffect der Schraube an und für sich schon ist. Ist η jedoch groß und verwendet man von der Schraubenfläche nur jene Portionen, innerhalb welcher der Winkel α höchstens um 50 Grade variirt (in der Regel ist der Steigungswinkel am Umfang der Schraube größer als 20° und an der Nabe kleiner als 70°), so wird dieser Fehler auch ziemlich unbedeutend und man kann immerhin mit Rücksicht auf die leichtere Herstellung der Propellerfläche für die Austrittssteigung einen mittleren constanten Werth annehmen. So würde unter Beibehaltung des obigen Beispiels, wo $\eta = 0,8$ angenommen ist, aus der Tabelle für die Austrittssteigung der mittlere constante Werth

$$h_2 = 1,540 h_1$$

gewählt werden.

In der Folge wollen wir jedoch voraussetzen, wir hätten

Sei beispielsweise $\eta = 0,8$, so ist zu Folge der Formeln (14) und (15)

$$h_1 = 0,8 h,$$

oder

$$\operatorname{tg} \alpha_1 = 0,8 \operatorname{tg} \frac{\alpha_1 + \alpha_2}{2}.$$

Setzt man nun für $\alpha = \frac{\alpha_1 + \alpha_2}{2}$ die Werthe 20 u. s. f. bis 90° ein und berechnet daraus $\operatorname{tg} \alpha_1$, so kann man mit Hilfe der Gleichung

$$\alpha_2 = 2\alpha - \alpha_1$$

zu jedem α_1 das zugehörige α_2 finden.

Ist das geschehen, so bildet man den Ausdruck

$$\frac{\operatorname{tg} \alpha_2}{\operatorname{tg} \alpha_1} = \frac{h_2}{h_1}$$

und erhält so für jeden Winkel α das entsprechende Verhältniß der Austritts- zur Eintrittssteigung.

Die folgende Tabelle ist auf diese Weise berechnet

es mit einer richtig geformten Triebfläche von zunehmender Steigung zu thun.

Dann ist η längs derselben constant und wird ausgedrückt durch die Formel

$$\eta = \frac{u}{n h}.$$

Dabei ist h jene mittlere Steigung, welche dem Winkel $\alpha = \frac{\alpha_1 + \alpha_2}{2}$ entspricht.

Genau denselben Ausdruck für den Wirkungsgrad η wir bei der gewöhnlichen Schraube mit constanter Steigung h nur daß dabei h eben ihre wirkliche Steigung bezeichne. Wir können deshalb die Formel

$$\eta = \frac{u}{n h} \dots \dots \dots$$

gleichmäßig für beide Arten von Schrauben anwenden.

Der Ausdruck $n h$ bezeichnet den Weg, den eine Schraube von der Steigung h bei n Umdrehungen pro Sekunde dieser Zeit in einem festen Mittel machen würde; u ist der Weg, den sie effectiv im Wasser macht. Der Quotient $\frac{u}{n h}$ giebt somit ein Maß für die Vorwärtsbewegung der Schraube an und könnte demnach auch Fortschrittscoefficient genannt werden.

Die Differenz $n h - u$ ist der während einer Umdrehung stattfindende Wegverlust in Folge dessen, daß das Wasser zurückweicht. Das Verhältniß des Verlustes zum theore-

Beg nh wird bekanntlich Rücklauf (Slip) genannt. Nennen wir den Rücklauf q , so ist

$$q = \frac{nh - u}{nh}, \quad (17)$$

$$q = 1 - \eta. \quad (18)$$

Es liegt in der Natur der Sache, daß η immer kleiner als 1, also q immer größer als 0 sein muß. Trotzdem wird von mancher Seite behauptet, es könne bei besonders günstigen Constructionen der Rücklauf null, oder sogar negativ werden. Diese Ansicht findet besonders in englischen und französischen Werken über die Schiffschraube eifrige Vertretung. Bevor wir dieselbe einer näheren Betrachtung unterziehen, müssen wir eine Unterscheidung vornehmen zwischen dem Rücklauf, welchen die Schraube wirklich hat, und jenem, welcher bei Probefahrten gewöhnlich berechnet wird.

Ueber den scheinbaren und wirklichen Rücklauf.

Die experimentelle Bestimmung des Rücklaufes geschieht mittelst einer Probefahrt. Man mißt die während einer bestimmten Zeit vom Schiff zurückgelegte Strecke*), berechnet aus der Zahl der Umdrehungen, welche die Schraube in derselben Zeit gemacht hat, und aus ihrer Steigung ihren theoretischen Weg und erhält durch Abzug beider Größen den Wegverlust. Das Verhältniß desselben zum theoretischen Wege wird nun gewöhnlich als Rücklauf betrachtet.

Diese Art und Weise der Bestimmung des Rücklaufes ist unrichtig und zwar deshalb, weil sie voraussetzt, daß Schiff und Schraube relativ zum Wasser die gleiche Geschwindigkeit haben, das heißt, daß die Schraube in vollkommen ruhigem (totem) Kielwasser arbeitet. In Wirklichkeit ist jedoch das Kielwasser eines fahrenden Schiffes nie in vollkommener Ruhe, sondern strömt mit größerer oder kleinerer Geschwindigkeit dem Schiffe nach, um den von ihm durchstrichenen Raum wieder auszufüllen. Die Größe der Geschwindigkeit, mit welcher das Kielwasser dem Schiffe nachzieht, hängt von dessen Bauart und eigener Geschwindigkeit ab. Je schärfer das Hinterschiff geformt ist, desto leichter kann das umgebende Wasser den durchstrichenen Raum ausfüllen, ohne selbst viel in Bewegung zu gerathen. Deshalb ziehen auch scharfgebaute Schiffe ihr Kielwasser mit geringerer Geschwindigkeit nach, als volle Schiffe. Mehr oder weniger findet aber ein Nachziehen von Kielwasser immer statt und deshalb ist die Voraussetzung, daß Schiff und Schraube relativ zum Wasser die gleiche Geschwindigkeit haben, unzulässig. In Wirklichkeit ist

die Geschwindigkeit des Schiffes immer größer, als die der Schraube.

Bezeichnen wir mit U die Schiffsgeschwindigkeit, mit ξ einen Coefficienten*), welcher angiebt, wie stark das Schiff im Verhältniß zu seiner eigenen Fahrt Kielwasser nachzieht, so ist die absolute Geschwindigkeit des Kielwassers dargestellt durch das Product ξU .

Wir machen nun die ziemlich wahrscheinliche Voraussetzung, daß ξ nur von der Form des Schiffes, nicht aber von dessen Geschwindigkeit abhängt, daß also für ein und dasselbe Schiff die Geschwindigkeit des nachziehenden Kielwassers immer proportional zu seiner Eigengeschwindigkeit sei.

Dann gilt die Gleichung

$$u = (1 - \xi) U. \quad (19)$$

für alle Schiffsgeschwindigkeiten.

Wenn man nun nach der oben angegebenen, in der Praxis üblichen Methode den Rücklauf berechnet, so bekommt man, da U immer größer als u , nicht den eigentlichen Rücklauf der Schraube, sondern einen kleineren Werth. Wir wollen diesen den scheinbaren Rücklauf nennen und mit q' bezeichnen.

$$q' = \frac{nh - U}{nh}. \quad (20)$$

Um den wirklichen Rücklauf zu bestimmen, muß auf das nachziehende Kielwasser Rücksicht genommen werden. Mit Einführung des Coefficienten ξ aus Gl. (19) hat man

$$q = \frac{nh - (1 - \xi) U}{nh}. \quad (21)$$

Das Verhältniß zwischen wirklichem und scheinbarem Rücklauf ist

$$q = q'(1 - \xi) + \xi. \quad (21)$$

Um mithin aus den Resultaten einer Probefahrt den wirklichen Slip zu berechnen, muß man den Coefficienten ξ kennen. Dieser läßt sich nicht auf theoretischem Wege bestimmen, sondern wird durch Versuche ermittelt. Weiter unten wird auf diese Versuche noch näher eingegangen werden. Vorläufig nehmen wir jedoch an, es sei ξ für ein bestimmtes Schiff bekannt.

Um den Einfluß dieses Coefficienten beurtheilen zu können, nehmen wir ein Beispiel an.

Es sei $\xi = 0,1$ und der scheinbare Rücklauf, aus den Resultaten einer Probefahrt berechnet, sei

$$q' = 0,20.$$

So ist

$$q = 0,2 \cdot 0,9 + 0,1,$$

$$q = 0,28.$$

*) Der Einfachheit halber setzen wir voraus, daß Wasser habe keine eigene Bewegung. Sollte das aber doch der Fall sein, so muß die Messung mit Rücksicht darauf gemacht werden, so daß man den relativ zum ruhend gedachten Wasser vom Schiff zurückgelegten Weg erhält.

*) Grasshof berechnet aus Versuchen für einen bestimmten Fall $\xi = 0,45$. Dieser Werth ist jedenfalls zu groß.

Bei dieser bedeutenden Differenz zwischen q und q' könnte man vielleicht zu glauben geneigt sein, daß der Fall eines negativen scheinbaren Rücklaufes möglich sei, wenn nur der wirkliche Rücklauf einen genügend kleinen positiven Werth hat. Auf diese Weise wird auch in den meisten Werken über die Schiffschraube der bei manchen Versuchen*) beobachtete negative Rücklauf erklärt. Es wird gewöhnlich darauf hingewiesen, daß ebenso, wie das Wasser hinter einem Brückenpfeiler trotz starker Strömung des Flusses in absoluter Ruhe bleibt, auch das Wasser knapp hinter einem schnellfahrenden Schiffe relativ zu demselben in Ruhe ist, das heißt, seine Fahrt mitmacht. Arbeitet nun die Schraube in diesem bewegten Wasser, so summirt sich ihre Geschwindigkeit mit der des Wassers und es kann in besonders günstigen Fällen so weit kommen, daß das Schiff mehr Weg macht als der Drehgeschwindigkeit der Schraube bei Voraussetzung einer festen Mutter entspricht.

Eine besondere Widerlegung dieser Beweisführung ist wohl bei der großen Ähnlichkeit, welche dieselbe mit den verschiedenen Erklärungsarten des perpetuum mobile hat, eigentlich nicht nöthig. Da aber trotzdem noch immer von mancher Seite an die Möglichkeit eines negativen Rücklaufes geglaubt wird, auch über die Vor- oder Nachtheile, welche durch starkes Nachziehen von Kielwasser entstehen, die Meinungen verschieden sind, so dürfte eine nähere Betrachtung des Gegenstandes doch nicht ganz überflüssig sein.

Nehmen wir also für einen Augenblick an, es würde der unmögliche Fall, daß der scheinbare Rücklauf $= 0$ ist, doch eintreten.

Dann muß zu Folge der Gleichungen (20) und (21)

$$\begin{aligned} nh &= U, \\ q &= \xi \text{ sein.} \end{aligned}$$

Das Wasser, in welchem die Schraube wirkt, hat also in der Richtung des Schiffes die absolute Geschwindigkeit

$$\xi U = q U.$$

Dieses Wasser wird durch die Kraft der Schraube in der entgegengesetzten Richtung mit der Geschwindigkeit $nh = u = qnh = qU$ zurückgeschleudert, befindet sich also nach Verlassen der Schraube in vollkommener Ruhe.

Der Fall liegt jetzt folgendermaßen.

Durch die Bewegung des Schiffes wird pro Sekunde eine gewisse Wassermenge aus der Ruhe in die Geschwindigkeit qU versetzt, während die Schraube diese gleiche Wassermenge oder einen Theil derselben wieder zur Ruhe bringt.

Um aber der Masse M die Geschwindigkeit qU zu theilen, ist von allen durch Reibung und Wirbelbildung her-

vorgebrachten Verlusten abgesehen, gerade so viel stetig wirkende Kraft nöthig, als beim umgekehrten Prozesse wieder gewonnen wird.

Es würde also selbst in dem günstigsten Falle, wo sämmtliches vom Schiff bewegte Wasser auch wieder von der Schraube consumirt wird, für die Fortschiebung des Schiffes keine Kraft übrig bleiben. Aus dieser Betrachtung geht hervor, daß das Nachziehen von Kielwasser in allen Fällen eine Quelle von Kraft und Arbeitsverlust bildet, und daß zur Erzielung eines guten Wirkungsgrades das Hinterschiff möglichst scharf gebaut sein soll.

Arbeitsverlust durch Wasserreibung und Gesamtwirkungsgrad.

Außer dem durch den Rücklauf hervorgebrachten Arbeitsverlust, treten noch andere Verluste auf, deren bedeutendster jener ist, welcher durch Cohäsion und Reibung des Wassers an den Propellerflächen entsteht. Die Natur dieser Verluste ist derart, daß sie sich nicht auf theoretischem Wege ermitteln lassen; für die Wasserreibung könnte allerdings, ähnlich wie bei der Reibung fester Körper, ein Coefficient aufgestellt und mittelst desselben der Reibungswiderstand berechnet werden, was auch von manchen Ingenieuren schon geschehen ist.*)

Doch bleibt zu bezweifeln, daß diese Anschauungsweise der Natur des Gegenstandes entspricht und richtige Resultate liefert. Durch ihre Aufnahme in unsere bisherigen Betrachtungen würden übrigens die bis jetzt erhaltenen Formeln so complicirt werden, daß man zu einer großen Zahl von Vernachlässigungen gezwungen wäre, um die neuen Gleichungen in einer brauchbaren, durchsichtigen Form zu erhalten. Deshalb scheint es vorthellhaft, gleich von vorn herein auf eine genaue Theorie der Wasserreibung zu verzichten, und dieselbe

*) M. Bourgeois nimmt an, der Reibungscoefficient sei von dem Drucke unabhängig, aber wachse proportional mit dem Quadrat der Geschwindigkeit. Bezeichnet φ diesen Coefficienten, so sei für Metermaß $\varphi = 0,25 c_1^2$.

Die Größe des Reibungswiderstandes einer Fläche F sei in Kilogrammen

$$R = 1,25 c_1^2 F.$$

Zur ungefähren Schätzung des Arbeitsverlustes, welcher durch den Widerstand der einschneidenden Kante, durch Reibung und durch Cohäsion entsteht, kann ein von Herrn Brunel in Bristol gemachter Versuch dienen. Eine halbkreisförmige Metallscheibe wurde ganz unter Wasser in Rotation versetzt; bei 100 Umdrehungen in der Minute waren zur Ueberwindung der Widerstände 3 Pferdekkräfte nothwendig. Der Durchmesser des Halbkreises betrug 1,75 Meter.

Wenn man aus diesen Daten mit Zugrundelegung der Bourgeois'schen Auffassung über den Reibungscoefficienten und unter Voraussetzung, daß der Widerstand der einschneidenden Kante 20 Proc. von dem Gesamtwiderstand ausmacht, den Reibungscoefficienten berechnet, so findet man $\varphi = 0,28$.

*) Die Resultate solcher Versuche finden sich in den Werken von A. Leblond: „Traité élémentaire des appareils à vapeur de navigation“ und von John Bourne: „A treatise on the screw-propeller.“

nur in solcher Weise in die Formeln einzuführen, daß diese übersichtlich bleiben und betreffs ihrer Richtigkeit eine Controlle durch Versuche leicht zulassen. Bezeichnet η_1 einen Coefficienten, welcher den durch Reibung, Cohäsion, Widerstand der einschneidenden Kante u. s. w. hervorgerufenen Effectverlust angiebt, so ist der Gesamtwirkungsgrad der Schraube

$$\eta_0 = \eta - \eta_1.$$

Diese Gleichung kann durch eine Curve dargestellt werden, deren Abscissen die Werthe von η , deren Ordinaten die Werthe von η_0 sind. Zur genauen Verzeichnung dieser Curve wäre es nun nöthig, zu jedem η den entsprechenden Werth von η_1 zu kennen. Dies ist jedoch nicht der Fall und wir müssen uns damit begnügen, die ungefähre Form der Curve zu zeichnen, oder über dieselbe eine möglichst wahrscheinliche Annahme zu machen.

Anhaltspunkte zur Bestimmung der Curve sind folgende:

Die gesuchte Function η_0 muß so beschaffen sein, daß sie an den Grenzen $\eta = 0$ und $\eta = 1$ ebenfalls gleich 0 wird; denn es muß, wenn der theilweise Wirkungsgrad 0 ist, auch der Gesamtwirkungsgrad 0 sein, und wenn ersterer gleich 1 ist, also die Triebkraft $dX = 0$ ist, auch wieder letzterer 0 sein. Zwischen diesen extremen Werthen von η giebt es jedenfalls solche, für welche η_0 positiv und von 0 verschieden ist; unter diesen muß es wenigstens einen Maximalwerth geben und es handelt sich darum, denselben zu finden.

Es ist selbstverständlich, daß η_0 immer kleiner als η sein muß; da überdies $\eta_1 < 1$, so liegt die gesuchte Curve des Gesamtnutzeffectes ganz unterhalb der zur Axe unter 45° gezogenen Geraden $O,2$ (Fig. 4), sie ist aller Wahrscheinlichkeit nach stetig. Da sie durch die Punkte 0 und 1 gehen, und zwischen diesen beiden Punkten ein Maximum haben muß, so können wir ihre ungefähre Form schon zeichnen. Wir erhalten eine hyperbelähnliche Curve.

Würde man sich die Annahme erlauben, daß die Curve eine genaue Hyperbel sei, so würde η_1 ausgedrückt werden durch eine Function von der Form

$$\eta_1 = \eta \frac{C}{C + 1 - \eta}.$$

Dabei bedeutet C eine von den übrigen Verhältnissen des Schiffes und der Schraube (vornehmlich Durchmesser, System und Material derselben) abhängige Constante.

Mit Einführung dieser Größe ergibt sich nun der Gesamteffect:

$$\eta_0 = \eta_1 \frac{1 - \eta_1}{C + 1 - \eta_1},$$

oder

$$\eta_0 = (1 - e) \frac{e}{C + e}.$$

Damit η_0 ein Maximum werde, muß

$$\frac{d\eta_0}{d\eta} = 0,$$

$$1 - \eta - \frac{C\eta}{C + 1 - \eta} = 0,$$

woraus der fragliche Werth von η resultirt

$$\eta = 1 + C \pm \sqrt{C^2 + C}.$$

Wie aus der Natur der Curve vorauszusehen war, giebt es für η zwei ausgezeichnete Werthe, von denen wir jedoch nur den benutzen dürfen, welcher zwischen den Grenzen 0 und 1 liegt. Das ist

$$\eta = 1 + C - \sqrt{C^2 + C},$$

$$e = \sqrt{C^2 + C} - C.$$

Durch diese Betrachtungsweise wird die Aufgabe, einen Propeller von günstigstem Wirkungsgrad zu construiren, etwas modificirt. Wir bestimmen nicht direct seine Größenverhältnisse, sondern jenen Rücklauf, welchen man sich gefallen lassen muß, damit der Gesamteffect ein Maximum werde. Aus diesem Rücklauf und den übrigen Constructionsdaten (Schiffswiderstand, Schnelligkeit u. s. w.) werden erst die Dimensionen des Propellers berechnet. Der unter diesen Umständen überhaupt erreichbare Maximaleffect ist

$$\eta_0 = (1 + C - \sqrt{C^2 + C}) \left(\frac{\sqrt{C^2 + C} - C}{\sqrt{C^2 + C}} \right).$$

Die jetzt abgeleiteten Gleichungen sind selbstredend nur unter der Voraussetzung richtig, daß man, ohne große Fehler zu begehen, für die oben erwähnte Curve eine wirkliche Hyperbel setzen darf. Ob das zulässig ist, oder ob vielleicht eine andere geometrische Curve der Natur der Sache besser entspricht, als gerade die Hyperbel, das ist eine Frage, welche nur durch Versuche beantwortet werden kann.

Diese Versuche wären folgendermaßen durchzuführen:

Man macht mit ein und demselben Schiffe verschiedene Probefahrten, jede bei einem anderen Schiffswiderstande. Der Schiffswiderstand läßt sich auf künstliche Weise leicht verändern; durch Beisetzen von Segeln wird er verringert, durch Schleppen anderer Schiffe, oder durch Fahren gegen den Wind, vergrößert.

In Folge des verschiedenen Widerstandes wird jede Fahrt einen anderen Rücklauf ergeben; berechnet man nun durch dynamometrische Messungen den Gesamteffect für jede Fahrt, so findet man eine gewisse Anzahl Werthe η_0 , welche, mit den entsprechenden Werthen η combinirt, Punkte der gesuchten Curve geben. Diese werden mit möglichster Genauigkeit aufgetragen und nun sieht man zu, durch was für eine Curve sie sich bei geringsten Fehlern verbinden lassen.

Selbst in dem Falle, daß sich für die Curve keine Gleichung aufstellen ließe, kann man noch immer aus ihrer Zeichnung das Maximum des Gesamteffectes und den dazu gehörigen Werth des günstigsten Rücklaufes einfach ablesen.

Eine hinreichende Anzahl so durchgeführter Versuche würde uns in den Stand setzen, für jede Schiffsklasse in ziemlich engen Grenzen den vortheilhaftesten Rücklauf anzugeben.

Bis jetzt wurden aber ähnliche Versuche noch nicht durchgeführt und wir sind deshalb außer Stande, die Frage in der eben angedeuteten Weise zu lösen. Durch Praxis und Gewöhnheit ist sie aber zum Theil schon gelöst worden, indem man für die gewöhnlich vorkommenden Schiffstypen den Werth des günstigsten scheinbaren Rücklaufes wenigstens in weiten Grenzen anzugeben vermag.

Die folgende Tabelle enthält diese Erfahrungswerthe.

Schiffsklasse.	scheinbarer Slip.
Boote und Sloop	0,25 bis 0,35
Kanonenboote und Niederbordcorvetten	0,18 bis 0,25
Hochbordcorvetten und Fregatten .	0,14 bis 0,18
Schwere Schlachtschiffe	0,12 bis 0,16

Ueber die Contur der Propellerflügel.

Da wir die drückende Fläche des Propellers so geformt haben, daß jeder ihrer Punkte den gleichen Rücklauf ergibt, so kann derselbe nicht unmittelbar von der Contur der Flügel beeinflusst werden. Mittelbar wird er es allerdings und zwar insofern, als von der Größe der Triebfläche und von deren Begrenzungslinie die entwickelte Triebkraft und von dieser wieder der Rücklauf abhängt. Von unmittelbarem Einfluß ist jedoch die Form des Propellers auf den Gesamtwirkungsgrad. Die einzelnen Propellersysteme unterscheiden sich hauptsächlich durch die Begrenzungslinien ihrer Flügel und muß die große Verschiedenheit der damit erzielten Resultate den mehr oder minder glücklich gewählten Formen zugeschrieben werden.

Wollte man die günstigste Form der Propellerflügel auf experimentellem Wege bestimmen, so müßten Schrauben von übrigens gleichen Verhältnissen, doch verschiedenen äußeren Conturen in Bezug auf ihren Gesamt- und theilweisen Wirkungsgrad mit einander verglichen werden. Diejenige, bei welcher sich der kleinste Werth von

$$\eta_1 = \eta - \eta_0$$

herausstellt, bei welcher also der durch Reibung und Cohäsion α hervorbrachte Effectverlust ein Minimum ist, wäre als Typus bester Flügelform zu betrachten.

Es ist jedoch nicht nöthig, diese Bestimmung durch Experimente vorzunehmen; wir können die fragliche Form, in ihren allgemeinen Umrissen wenigstens, ganz leicht auf theoretischem Wege ermitteln. Dabei nehmen wir als leitenden Grundsatz an, daß es vortheilhaft sei, die Flügel an jener Stelle am breitesten zu machen, wo der durch die Wasserreibung herbeigeführte Verlust ein Minimum ist, und daß die Flügelbreite dort am kleinsten, wenn möglich gleich Null sein soll, wo dieser Verlust ein Maximum ist.

Der Reibungsverlust ist nun um so fühlbarer, unter je schärferem Winkel das Wasser die Fläche trifft, d. h. je kleiner der Winkel β ist. In dem Falle, wo $\beta = 0$, also auch $dX = 0$ ist, wird die ganze Kraft der Maschine zur Ueberwindung der Reibung verwendet, ist also der durch dieselbe erzeugte Verlust am größten. Das findet in zwei Punkten statt; an der Propelleraxe selbst und in ∞ Entfernung davon. Demnach muß die Flügelbreite an der Axe gleich Null sein und es müssen sich die Begrenzungslinien des Flügels nach Außen zu asymptotisch nähern.

Zwischen diesen ausgezeichneten Werthen $r = 0$ und $r = \infty$ liegt ein Punkt, in welchem der Einfallswinkel β ein Maximum wird; in der Gegend dieses Punktes muß die Triebfläche ihre größte Breite haben.

Um den Radius r_m dieser breitesten Stelle zu finden, suchen wir den Maximalwerth von β .

Es ist

$$\operatorname{tg} \beta = \operatorname{tg}(\alpha - \delta) \quad \text{Fig. 2.}$$

Mit Berücksichtigung, daß

$$\operatorname{tg} \alpha = \frac{u}{c\eta},$$

$$\operatorname{tg} \delta = \frac{u}{c},$$

ist auch

$$\operatorname{tg} \beta = \frac{cu(1 - \eta)}{c^2\eta + u^2}.$$

Bildet man nun den Ausdruck

$$\frac{d}{dc} \operatorname{tg} \beta = 0,$$

so findet man jenen Werth der Umfangsgeschwindigkeit c , für welche $\operatorname{tg} \beta$, mithin auch β ein Maximum wird. Nennen wir diese C_m , so ist

$$C_m = \sqrt{\frac{u^2}{\eta}},$$

$$C_m = \sqrt{u \operatorname{ctg} \alpha}.$$

Der Geschwindigkeit C_m entspricht der gesuchte Radius

$$r_m = \frac{1}{\omega} \sqrt{u \operatorname{ctg} \alpha} \quad \dots \quad (23)$$

Dieser wird am einfachsten graphisch gefunden. In Fig. 5 ist OA die abgewickelte Leitlinie der Schraubenfläche; wir setzen dabei constante Steigung voraus; wäre die Stei-

zunehmend, so wäre OA nicht die Leitlinie selbst, sondern ihre Sehne. Im Uebrigen ändert sich nichts an der oben vorstehende Construction gilt gleichmäßig für beide von Schrauben.

$$AC = c \operatorname{tg} \alpha,$$

$$BC = u.$$

1 ist C_m die mittlere geometrische Proportionale zwischen AC und BC; diese wird bekanntlich mit Hilfe eines Schnitts vom Durchmesser AC erhalten

$$C_m = CD.$$

Nach man $OM = CD$, zieht MN senkrecht auf OM, bestimmt deren Schnittpunkt N mit der durch A gezogenen Horizontalen, so ist die Gerade ON die Abwicklung der Schraubenlinie, längs welcher β ein Maximum ist

$$\beta_{\max} = NOP.$$

Der zugehörige Steigungswinkel ist

$$\alpha_m = NOM.$$

Wie man aus der Figur sieht, ist derselbe immer größer als 30° .*)

Setzt man

$$\frac{1}{\omega} = \operatorname{tg} \varphi,$$

$$r_m = C_m \operatorname{tg} \varphi,$$

$$r_m = OM'.$$

Der Propellerflügel muß so geformt sein, daß er bei M' größte Breite hat und von da nach Außen und Innen mäler wird, ungefähr so wie es in Fig. 5 dargestellt ist. Mit diesen Folgerungen sind wir zur Contur des Griffith-Propellers gelangt; dieser ist also der gesuchte Typus Flügelform.

Außer durch die eigenthümlichen Begrenzungslinien in sich die Flügel dieses Propellers noch dadurch aus, ihre Enden leicht dem Schiffe zugekrümmt sind. Als Begrenzung der Fläche wird nämlich eine Linie verwendet, aus einem geraden Stück OA und daran gesetztem Bögen AB besteht. (Fig. 9.) Um den Zweck dieser Krümmung zu erklären, müssen wir erst die allgemeine Wirkungsweise des Propellers einer kurzen Betrachtung unterwerfen. Es wurde schon in der Einleitung erwähnt, daß die Schraube als ein Apparat zur Bewegung des Wassers,

d. h. als eine Kreiselpumpe angesehen werden muß. Denken wir uns dieselbe festgelagert und in Drehung versetzt, so wird durch die von ihren Flügeln bestrichene Kreisfläche ein Wasserstrom ziehen. Würden wir die Schraube mit einem cylindrischen Rohr von ihrem Durchmesser umhüllen, so würde eben nur das im Rohr befindliche Wasser in Bewegung kommen und zwar würden die einzelnen Wasserfäden nur in axialer Richtung der Schraube zugeführt.

Arbeitet jedoch die Schraube im unbegrenzten Mittel, so kann der Zufluß von allen Seiten her stattfinden und es wird nicht nur jenes Wasser, welches früher innerhalb des Rohres lag, sondern auch, auf eine gewisse Entfernung hin, das umgebende Wasser angesaugt. Ebenso wie bei jedem Ausfluß durch die von der Seite herkommenden Wasserpartien eine Contraction des Strahles hervorgerufen wird, so zieht auch die Schraube ihr Wasser nicht nur von vorn, sondern auch von der Seite heran und es macht sich in der Bewegung desselben eine centripetale Tendenz geltend.

Denken wir uns nun die Schraube nicht mehr festgelagert, sondern neben ihrer Drehung auch gleichzeitig vorwärtsschreitend, so ändert sich die Wirkungsweise nicht. Das durch ihren Kreis nach rückwärts gejagte Wasser muß gerade um den Betrag des Rücklaufes von Außen her ergänzt werden, woraus wie früher ein Einstürmen in centripetaler Richtung resultirt.

An und für sich betrachtet, hat das weiter keine üblen Folgen; es werden eben die einzelnen Wasserelemente während ihres Vorbeistreichens an den Flügeln der Axe genähert, d. h. auf Partien von größerem Steigungswinkel gebracht, und es wirkt deshalb selbst die Schraube von constanter Steigung so, als ob sie zunehmende Steigung hätte. Ist nun die Erzeugende der Schraube eine gerade Linie, so ist die centripetale Bewegung des Wassers parallel zu den Flügelflächen und es steht ihr nichts im Wege. Die im Wasser enthaltene lebendige Kraft wird deshalb nicht durch die Flügel aufgefangen und weiter geleitet, sondern muß sich durch Stöße und Wirbelbildung in der Nähe der Axe abtöden. Außer dem dabei stattfindenden Arbeitsverlust hat das noch sehr unangenehme und schädliche Erschütterungen des Hinterschiffes zur Folge.

Ist jedoch, wie bei dem Griffith-Propeller, die Erzeugende gegen das Schiff zu abgebogen, so kann das Wasser von der Peripherie aus nicht ungehindert dem Centrum zufließen, sondern streift an den gekrümmten Flügelenden hin, giebt durch den darauf hervorgebrachten Normaldruck eine Componente zur Triebkraft in axialer Richtung ab und verliert so nach und nach seine centripetale Geschwindigkeit. Da das durch den Rücklauf abgeführte Wasser von Außen her nicht so schnell ergänzt wird, als im vorigen Falle, so muß diese Ergänzung zum Theil durch das zwischen den Flügeln liegende und von ihnen nicht direct bestrichene Wasser erfolgen,

*) Erlaubt man sich die Annäherung $AC = BC$ zu setzen, also den Rücklauf zu vernachlässigen, so ist $C_m = AC$ und $\alpha_m = 45^\circ$. Ist also jene Partie der Schraubenfläche am vorteilhaftesten, deren Steigungswinkel 45° ist. Derselbe Schluß findet sich weiteren Beweis als Urtheil a priori in dem Werke von Laugel: „Des propulseurs sous-marins“ angeführt. Wir sehen, daß es streng richtig ist, sondern nur gilt, wenn man den Rücklauf vernachlässigt.

woraus eine bessere Ausnützung des durch den Schraubenkreis ziehenden Wasserstromes, mithin eine Vermehrung der Triebkraft und Verminderung des Rücklaufes resultirt.

Aus der vorstehenden Erläuterung folgt aber auch, wie verkehrt und nachtheilig jene Propellerconstructionen sind, bei welchen, in der Absicht, ein centrifugales Zerstreuen des Wassers zu verhindern, die Flügelenden nach hinten, also vom Schiffe weg, gekrümmt sind. Bei diesen Constructionen trifft das eintretende Wasser nicht auf die active oder Stirnfläche der Schraube, sondern auf ihre Hinterfläche und wirkt so geradezu als Hinderniß der Bewegung.

Ueber die Eintauchung der Oberkante.

Es wurde schon mehrfach erwähnt, daß zur Erzielung einer großen Triebkraft die Schraube einen möglichst großen Durchmesser haben soll. Nun ist man aber in dieser Beziehung durch die Tauchung des Schiffes beschränkt, indem der von den Schraubenflügeln durchstrichene Kreis nicht tiefer reichen soll, als der Kiel. Andererseits darf dieser Kreis auch nicht über die Wasseroberfläche hervorragen, sondern es muß dessen höchster Punkt noch in einer gewissen Tiefe liegen, wenn die Schraube ruhig arbeiten soll. Diese Tiefe nennt man „Eintauchung der Oberkante“.

Ist sie zu gering, so findet ein Herausschleudern des Wassers, Wirbelbildungen, Einsaugen von Luft, mit einem Worte jene Erscheinung statt, welche der Techniker mit dem Ausdruck „Zagen der Schraube“ bezeichnet; ist sie zu groß, so wird dadurch der verfügbare Raum unnötiger Weise verringert und in Folge dessen weniger active Triebfläche und weniger Triebkraft erhalten, als bei richtiger Wahl der Eintauchung möglich wäre.

Es handelt sich nun darum, jene Grenze derselben zu finden, bei welcher ein Zagen der Schraube nicht mehr zu befürchten ist.

Bei der Berechnung der Componenten des Vacuums wurde darauf hingewiesen, daß jene Druckhöhe k , welche der senkrecht zum Flügelement gerichteten Geschwindigkeitscomponente entspricht, nicht größer als die Eintauchung des betrachteten Elementes sein darf. Ist diese dynamische Druckhöhe größer als die hydrostatische, so findet an der activen Fläche der Schraube ein gewaltsames Emporschleudern, an der Rückfläche derselben eine vollständige Trennung des Wassers statt.

Nennen wir wie früher v die senkrecht zum Element gerichtete Componente seiner absoluten Geschwindigkeit, so ist

$$v = c \sin \alpha - u \cos \alpha,$$

$$v = u \cos \alpha \left(\frac{1 - \eta}{\eta} \right).$$

v wird um so größer, je kleiner bei constanten Werthen von

u und η der Steigungswinkel α ; dieser nimmt aber gegen den Rand der Schraube hin ab. Deshalb haben wir nun nöthig, die Flügelenden in Bezug auf das Zagen zu untersuchen. Tritt es an jenen Stellen nicht auf, so kann es an anderen Punkten der Fläche natürlich noch weniger leicht vorkommen.

Bezeichnen wir die Eintauchung der Oberkante mit e , so muß also zur Erzielung einer stetigen und ruhigen Bewegung

$$e \geq \frac{v^2}{2g},$$

$$e \geq \frac{u^2}{2g} \cos^2 \alpha \left(\frac{1 - \eta}{\eta} \right)^2.$$

Hierbei ist unter α der Randsteigungswinkel der Schraube zu verstehen; dieser Winkel ist meistens 20 bis 24°. Nehmen wir als Mittelwerth 22° und setzen voraus, daß alle Schrauben diesen Randsteigungswinkel haben, so ist der dabei begangene Fehler ein sehr geringer. Dann wird

$$\cos \alpha = 0,927,$$

$$\frac{\cos^2 \alpha}{2g} = 0,0438,$$

$$e \geq 0,0438 u^2 \left(\frac{1 - \eta}{\eta} \right)^2. \quad (24)$$

Hierbei ist u in Metern pro Sekunde einzusetzen; e erhält man dann ebenfalls in Metern.

Bei großen Seeschiffen ist die durch Gl. 24 ausgesprochene Bedingung immer erfüllt; man ist schon mit Rücksicht auf Wellenschlag und das damit verbundene zeitweilige Entblößtwerden der Schraube gezwungen, dieselbe etwas tiefer zu legen. Auch gestattet der verhältnismäßig große Tiefgang leicht eine größere Eintauchung der Oberkante, so daß man als Grenzen für e in den meisten Fällen die Werthe 0,2^m bis 0,6^m ansehen kann.

Anders ist es bei leicht gehenden Fluß- und Binnensee-Dampfern. Hier muß man mit Rücksicht auf den geringen Tiefgang die Eintauchung der Oberkante so klein als möglich machen, um nicht zu viel am Schraubendurchmesser zu verlieren.

In diesen Fällen muß die Eintauchung der Oberkante gerechnet werden und zwar ist das 1,2- bis 1,5 fache des durch Gl. 24 gegebenen Werthes zu nehmen.

Um den Einfluß zu veranschaulichen, welchen Schiffsgeschwindigkeit und Rücklauf auf die Eintauchung der Oberkante ausüben, können folgende zwei Tabellen dienen. Da es hierbei nur auf eine ungefähre Bestimmung von e ankommt, so wurde $\xi = 0$ angenommen, also vorausgesetzt, daß das Schiff kein Kielwasser nachziehe.

Für eine Schiffsgeschwindigkeit von 5 Met. pro Sekunde, d. i. nicht ganz 10 Seemeilen in der Stunde, ist

für $q =$	10,	15,	20,	25,	30,	35 Proc.,
$\left(\frac{1-\eta}{\eta}\right)^2 =$	0,0123,	0,0311,	0,0625,	0,111,	0,1836,	0,2894,
und $e \geq$	0,013,	0,034,	0,068,	0,121,	0,201,	0,316 Met.,

Während für eine Schiffsgeschwindigkeit von 7^m pro Sekunde die Eintauchung schon doppelt so groß sein müßte, d. i.

$$e \geq 0,036, \quad 0,068, \quad 0,136, \quad 0,242, \quad 0,402, \quad 0,632 \text{ Met.}$$

Aus vorstehender Tabelle ist ersichtlich, daß mit wachsendem Slip und wachsender Schiffsgeschwindigkeit die Eintauchung der Oberkante rapid zunimmt. Daraus folgt auch, daß man bei leicht gehenden Booten so viel als möglich einen solchen Rücklauf vermeiden soll; als obere Grenze kann der Wert

$$q = 25 \text{ Proc. dienen.}$$

Ueber die gesammte von einem Propellerflügel ausgeübte Triebkraft.

Wir haben in den Gleichungen (11) und (12) gefunden, daß die von einem Elementarstreifen der Propellerfläche ausgeübte Triebkraft ist:

$$X = \frac{3}{2} \mu \frac{\gamma}{g} b d r v^2 \cos \alpha \text{ bei constanter Steigung,}$$

$$X = \frac{5}{2} \mu \frac{\gamma}{g} b d r v^2 \cos \alpha \text{ bei zunehmender Steigung.}$$

Die beiden Ausdrücke unterscheiden sich bloß durch den Coefficienten; wir wollen deshalb zur Vereinfachung die Schreibweise für dieselben einen einzigen Ausdruck wählen und für beide Arten von Schrauben die Triebkraft nach der Formel

$$dX = \mu \frac{\gamma}{g} b d r v^2 \cos \alpha \quad . . . (25)$$

stimmen.

Da wir μ doch auf experimentellem Wege finden, so enträchtigt diese Schreibweise die Allgemeinheit der Untersuchungen nicht und wir können uns in Folgendem, ebenso wie wir es bei Betrachtung des Rücklaufes gemacht haben, auf die Schraube von constanter Steigung beschränken.

Es war

$$\eta = \frac{u}{c \operatorname{tg} \alpha}$$

und

$$v = c \sin \alpha - u \cos \alpha.$$

Diese beiden Ausdrücke in Gl. 25 eingeführt, giebt

$$\begin{aligned} dX &= \mu \frac{\gamma}{g} b d r \left(1 - \frac{u \cos \alpha}{c \sin \alpha}\right)^2 c^2 \sin^2 \alpha \cos \alpha, \\ &= \mu \frac{\gamma}{g} b d r \left(1 - \frac{u \cos \alpha}{c \sin \alpha}\right)^2 \frac{u^2 \cos^2 \alpha}{\eta^2} \cos \alpha \\ &= \mu \frac{\gamma}{g} u^2 \left(\frac{1-\eta}{\eta}\right)^2 b \cos^3 \alpha d r. \quad . . . (26) \end{aligned}$$

In dieser Gleichung ist bloß b , α und r variabel; alles Uebrige ist für die ganze Fläche constant.

Man findet demnach durch Integration zwischen den Grenzen

$$r = i \text{ innerer Halbmesser des Flügels,}$$

$$r = a \text{ äußerer " " "}$$

die gesammte von den Flügeln entwickelte Triebkraft

$$X = \mu \frac{\gamma}{g} u^2 \left(\frac{1-\eta}{\eta}\right)^2 \int_i^a b \cos^3 \alpha d r. \quad . . (27)$$

Das in Gl. 27 vorkommende Integral läßt sich in den seltensten Fällen durch Rechnung lösen; einmal, weil der darin vorkommende Ausdruck

$$\cos \alpha = \frac{1}{\sqrt{1 + \left(\frac{h}{2\pi r}\right)^2}}$$

eine complicirte Form hat, dann aber hauptsächlich auch darum, weil sich die Flügelbreite b in den meisten Fällen gar nicht in mathematischer Form als Function des Radius ausdrücken läßt. Wir wollen deshalb gleich von vorn herein auf eine wirkliche Berechnung des Integrales verzichten und dasselbe lieber construiren.

Denkt man sich über dem Radius des Flügels eine Curve gezeichnet, deren Ordinaten durch die entsprechenden Werthe von $b \cos^3 \alpha$ gebildet werden, so ist der zwischen Radius und Curve eingeschlossene Flächeninhalt der Werth des fraglichen Integrales. Nennen wir diesen F' , den Inhalt des Flügels selbst F , so ist

$$F = \int_i^a b d r,$$

$$F' = \int_i^a b \cos^3 \alpha d r, \quad . . . (28)$$

$$F' < F.$$

Mit Einführung dieser activen Triebfläche in Gleichung (27) wird

$$X = \mu \frac{\gamma}{g} u^2 \left(\frac{1-\eta}{\eta}\right)^2 F' \quad . . . (29)$$

oder

$$X = \mu \frac{\gamma}{g} u^2 \left(\frac{q}{1-q}\right)^2 F'$$

Die Fläche F' kann, wenn die Dimensionen der Schraube

durch ein Modell oder durch eine Zeichnung gegeben sind, leicht gefunden werden.

In den Figuren 6, 7 und 8 ist die Construction vom F' durchgeführt.

Es stellt OJADEBK die abgewinkelte Fläche eines Propellerflügels dar. Da die Schraubenfläche nicht zu den sogenannten developpablen Flächen gehört, so muß man sich die Abwicklung so vorgenommen denken, daß man zuerst die ganze Fläche durch Cylinderschnitte in Elementarstreifen zerlegt, jeden Streifen für sich ausbreitet und dann alle aneinanderreißt. Dies gilt für eine Schraube von constanter Steigung; hätten wir es mit einer Schraube von zunehmender Steigung zu thun, so wickeln wir nicht diese selbst, sondern die ihr äquivalente Schraube von mittlerer constanter Steigung ab. Unter Flügelbreite an irgend einer Stelle verstehen wir die Länge des betreffenden Elementarstreifens.

So ist z. B. $b = AB$ die Flügelbreite in der Entfernung $r = OC$ von der Ase.

Es handelt sich nun darum, die Gleichung

$$b' = b \cos^3 \alpha$$

zu construiren.

In Fig. 6 ist OC_a der äußere Schraubenhalbmesser a , α_a der entsprechende Randsteigungswinkel, so daß

$$a \operatorname{tg} \alpha_a = \frac{h}{2\pi},$$

$$a \operatorname{tg} \alpha_a = OH.$$

Ebenso ist für irgend einen Radius $r = OC$ und den dazugehörigen Steigungswinkel α

$$r \operatorname{tg} \alpha = OH.$$

Es gehen somit alle Leitlinien durch den Punkt H. Trägt man von C aus auf CH die entsprechende Flügelbreite $b = AB$ auf und projecirt sie auf den Radius, so ist die Projection $= b \cos \alpha$; diese Strecke wieder auf CH aufgetragen und projecirt, giebt $b \cos^2 \alpha$, und das Verfahren nochmals wiederholt giebt

$$b' = b \cos^3 \alpha.$$

Denkt man sich diese Construction für eine genügend große Anzahl verschiedener Radien und Flügelbreiten durchgeführt, die resultirenden Längen b' in den entsprechenden Distanzen von einander senkrecht zu einer Geraden ($O'D'$, Fig. 8) aufgetragen und ihre zweiten Endpunkte durch eine Curve verbunden, so schließt diese mit der Geraden die gesuchte Fläche F' ein.

Ist $i = O'J'$ der Halbmesser der Nabe oder Kugel, in welcher die Flügel befestigt sind, so ist die active Fläche durch die Figur

$$F' = J'A'D'E'B'K'$$

dargestellt.

Diese Figur giebt auch ein recht anschauliches Bild über die Vertheilung der Triebkraft auf die einzelnen Flügelpar-

tien. Im vorliegenden Falle, wo ein Griffiths-Pr als Beispiel gewählt wurde, liegt die größte Kraftentw in der Mitte des Flügels, während die Enden etwas w die centralen Partien jedoch sehr wenig zur Triebkra tragen.

Trotz der großen Flügelbreite an dieser Stelle Kraftentwicklung gering; da überdies die Fleischstärk Flügels nach der Ase hin wegen seiner abnehmenden unverbhältnißmäßig zunehmen müßte und der dadurch ei Widerstand die geringe Triebkraft aufwiegen würde, scheint die Anwendung einer verhältnißmäßig großen ganz gerechtfertigt. Nach Griffith soll der Durch derselben wenigstens $\frac{1}{4}$ von dem der Schraube betra

Der vom Propeller auf das Schiff ausgeübte muß im Beharrungszustande, also bei constanter Fahrge digkeit dem Schiffswiderstand gleich sein. Bezeichnen w A das Areal des eingetauchten Hauptpantes, mit Schiffsgeschwindigkeit und mit ζ einen Coefficienten zu stimmung des Schiffswiderstandes, so wird derselbe beka durch den Ausdruck

$$\zeta \frac{\gamma}{g} A U^2$$

dargestellt.

Unter Voraussetzung einer mflügeligen Schraube also für den Beharrungszustand die Gleichung gelten

$$T = \zeta \frac{\gamma}{g} A U^2 = m \cdot \mu \frac{\gamma}{\eta} u^2 \left(\frac{e}{1 - e} \right)^2 F'.$$

Wir vernachlässigen dabei die durch Wasserreibung bäsion u. s. w. entstehenden Verluste an der Triebkraft, genauer ausgedrückt, wir setzen voraus, daß der Einfluß Widerstände mit im Coefficienten μ enthalten ist. Annahme ist auch deshalb gerechtfertigt, weil wir μ n Versuchen, die wir an wirklichen Schiffschrauben an bestimmen. Da aber auch die bei den Versuchen be deten Schrauben verhältnißmäßig dieselben Widerstände k als wie alle andern, so erhalten wir in μ schon ein Verhältniß zu diesen Widerständen reducirt Coeffici den wir nun direct zur Bestimmung der Triebkraft veru können. Zur Berechnung des Widerstandscoefficienten nicht constant ist, sondern von der Bauart des Schiffes Geschwindigkeit U desselben und der Breite des Fahrw abhängt, existiren eine ganze Reihe von Formeln, den kanntesten jene von Bourgeois und jene von Rankin. Ohne auf diese näher einzugehen, nehmen wir an, für ein vorliegendes Schiff ζ nach einer oder der ar Methode berechnet worden und nunmehr bekannt. Da auch die zur Fortbewegung des Schiffes nöthige Trieb bekannt.

$$T = \zeta \frac{\gamma}{g} U^2 A.$$

Setzen wir nun in Formel 30 für u seinen Werth

$$U(1 - \xi),$$

so kann mit U gekürzt werden und wir erhalten eine Gleichung, in welcher bloß mehr q unbekannt ist. Aus dieser Gleichung kann also der bei einem vorliegenden Schiff und einer vorliegenden Schraube zu erwartende Rücklauf berechnet werden. Es ist

$$q = \frac{1}{1 + (1 - \xi) \sqrt{\frac{\mu m F'}{\xi A}}} \quad (31)$$

Da z mit der Schiffsgeschwindigkeit wächst, so muß auch bei größerer Schiffsgeschwindigkeit ein größerer Rücklauf eintreten, ein Resultat, welches durch die Erfahrung vielfach bestätigt wird.

Soll der Rücklauf klein ausfallen, so muß also ξ , ζ und A klein, dagegen μ und $m F'$ groß sein. Zur Erzielung eines geringen Rücklaufes soll daher

1. das Schiff scharf gebaut sein, damit sein Widerstandscoefficient klein ausfalle, und damit es möglichst wenig Kielwasser nachziehe,

2. das Verhältniß des eingetauchten Hauptspantes zur activen Triebfläche der Schraube soll möglichst groß sein.

Bei practischen Ausführungen schwankt dieses Verhältniß $\frac{m F'}{A}$ bei Griffith-Schrauben zwischen 0,04 bis 0,05,

„ Smith'schen „ „ 0,045 „ 0,06,

Erlaubt man sich die Annäherung, die active Triebfläche $m F'$ der Projection sämtlicher Flügel auf die Rotations-ebene proportional zu setzen, so kommt man auf die gewöhnlich in der Praxis übliche Methode zur Bestimmung der Größe der Triebfläche. Es soll der Flächeninhalt sämtlicher Flügelprojectionen zusammengekommen $\frac{1}{12}$ bis $\frac{1}{20}$ von der Fläche des eingetauchten Hauptspantes betragen.

Führen wir in Gleichung (30) statt des wirklichen den scheinbaren Rücklauf ein.

Wir haben dann zu setzen

$$q = q'(1 - \xi) + \xi,$$

$$\eta' = 1 - q',$$

$$\eta = \eta'(1 - \xi),$$

$$(1 - \xi)^2 \left(\frac{1 - \eta'(1 - \xi)}{\eta'(1 - \xi)} \right)^2 = (1 - \xi)^2 \left(\frac{q}{1 - q} \right)^2.$$

Setzen wir

$$\frac{1 - \eta'(1 - \xi)}{\eta'} = \lambda,$$

so ist nach Gl. (30)

$$\zeta \frac{\gamma}{g} A U^2 = m \mu \frac{\gamma}{g} U^2 \lambda^2 F',$$

woraus

$$\frac{\zeta}{\mu} = \lambda^2 \frac{m F'}{A} \quad (32)$$

Den Werth $\frac{\zeta}{\mu}$ wollen wir Güteverhältniß nen-

nen; je kleiner ζ , desto besser läuft das Schiff, je größer μ , desto energischer wirkt die Schraube. Der Quotient $\frac{\zeta}{\mu}$ giebt also gleichzeitig ein Maß für die Schneidigkeit des Schiffes und den Widerstand der Schraube.

Da F' und A sich einfach durch Abmessung ergeben, λ aus den Größen q' und ξ berechnet wird, so genügt für jedes Schiff eine einzige Probefahrt, um dessen Güteverhältniß zu finden.

Die folgende Tabelle enthält für eine Reihe von verschiedenen Schiffen diese aus Probefahrten gewonnenen Resultate. Der Vollständigkeit halber sind außer dem Güteverhältniß noch folgende Daten darin aufgenommen:

D = Durchmesser der Schraube in Fuß,

h = Steigung der Schraube in Fuß; es sei hier bemerkt, daß durchweg Schrauben von constanter Steigung angewendet wurden. Die Schiffe haben durchweg Griffith-Propeller; die einzige Ausnahme bildet die unter VIII angeführte Holzcorvette, welche einen Propeller nach System Smith hat. Diesem Umstande ist auch das geringe Güteverhältniß dieses Schiffes zuzuschreiben,

A = Areal des eingetauchten Hauptspantes in Quadratfuß,

$m F'$ = active Triebfläche in Quadratfuß,

$\frac{m F'}{A}$ = dem Verhältniß beider,

q' ist der bei der Probefahrt scheinbare Rücklauf in Proc.,

$$\lambda^2 = \left[\frac{1 - \eta'(1 - \xi)}{\eta'} \right]^2.$$

U = die Schiffsgeschwindigkeit in Seemeilen pro Stunde.

Da für keines der Schiffe der Coefficient ξ , welcher das Nachziehen von Kielwasser angiebt, bekannt war, so wurde durchwegs für alle $\xi = 0,05$ angenommen. Die Tabelle ist nach den Geschwindigkeiten geordnet. Die Aufnahme dieser in die Tabelle ist aus dem Grunde wichtig, weil der Widerstandscoefficient eines Schiffes auch von dessen Geschwindigkeit abhängt, also zu einer richtigen Schätzung des Güteverhältnisses auch die Geschwindigkeit gleichzeitig in Betracht gezogen werden muß.

So ist zum Beispiel für das mit I bezeichnete Schiff das Güteverhältniß $\frac{\zeta}{\mu} = 0,00231$ bei einer Geschwindigkeit von 13,37 Meilen. Eine zweite mit demselben Schiff bei einer Geschwindigkeit von 10,85 Meilen ausgeführte Probefahrt ergab einen scheinbaren Rücklauf von 12,7 Proc. Das daraus resultirende Güteverhältniß ist

$$\frac{\zeta}{\mu} = 0,00157.$$

Da wir μ als constant ansehen, so ist diese bedeutende zuzuschreiben, welcher im zweiten Fall nur 0,8 mal so groß ist, als im ersten.

Tabelle über das Güteverhältniß.

Bezeichnung des Schiffes.	D	h	A	mF'	$\frac{mF'}{A}$	e'	λ^2	$\frac{\xi}{\mu}$	U
I. Eisene Fregatte von sehr scharfen Formen; sehr ranf.	13,00	21,00	765	31,34	0,04098	15,8	0,0564	0,00231	13,37
II. Casemattschiff von scharfen Formen; sehr stabil.	21,50	26,50	1050	48,60	0,04628	15,0	0,0515	0,00238	12,90
III. Casemattschiff von vollen Formen; rollt stark.	19,00	22,00	958	36,50	0,03810	20,0	0,0900	0,00343	11,55
IV. Casemattschiff von vollen Formen; noch nicht ausgerüstet.	20,75	22,50	910	43,20	0,04700	18,2	0,0740	0,00347	11,25
V. Eisene Corvette neuerer Bauart; etwas ranf.	13,50	16,50	378	16,72	0,04420	18,0	0,0724	0,00320	11,90
VI. Hölzerne Corvette neuerer Bauart; ziemlich ranf.	15,00	18,00	410	19,70	0,04800	17,5	0,0687	0,00330	10,48
VII. Hölzerner Schooner; ziemlich stabil.	9,75	10,50	210	10,23	0,04870	19,0	0,0808	0,00390	9,50
VIII. Hölzerne Corvette alter Bauart; sehr stabil.	12,50	17,50	437	20,00	0,04570	22,0	0,1110	0,00507	8,70
IX. Schooner.	9,75	10,50	210	10,23	0,04870	15,0	0,0515	0,00301	7,30

Bestimmung der Coefficienten ξ , ζ und μ .

Im Verlaufe der vorigen Untersuchungen haben wir eine Reihe von Coefficienten einführen müssen, welche für jedes Propeller-System verschiedene Werthe haben. Da sich dieselben durch Rechnung nicht ermitteln lassen, so müssen sie mittelst Versuchen gefunden werden. Diese Versuche sind folgendermaßen anzustellen.

Man macht mit den betreffenden Schiffen Probefahrten und bestimmt bei jeder Fahrt folgende Größen.

1. Die Schiffsgeschwindigkeit U.
2. Die Umdrehungsgeschwindigkeit der Schraube n.
3. Den von derselben auf das Trußlager ausgeübten Druck T. Die letztere Bestimmung geschieht gewöhnlich mittelst eines automatisch wirkenden Apparates, der die Größe des Axendruckes durch die Ordinaten einer Curve darstellt, deren Abscissen zur Umdrehungszahl der Schraubenaxe in entsprechendem Verhältniß stehen. Ohne auf die nähere Beschreibung dieses Kraftmessers einzugehen, möge nur erwähnt

werden, daß die Druckcurve eine wellenförmige Gestalt hat, und zwar entsprechen die Maxima jenen Stellungen der Schraube, bei welchen ein oder zwei Flügel senkrecht stehen, weil die Flügel beim Passiren des Achterstevens auf ein Wasser treffen, welches stärker als das übrige seitwärts befindliche Wasser dem Schiffe nachzieht und mithin eine plötzliche Vermehrung der Triebkraft, einen Stoß, bewirkt.

Natürlicher Weise ist unter T der aus dem Diagramme construirte mittlere Druck zu verstehen.

Bestimmung von ξ .

Dazu sind zwei mit verschiedenen Geschwindigkeiten ausgeführte Probefahrten nöthig.

Die Resultate des

1. Versuches seien U_1 n_1 T_1 ,
- die des 2. " " U_2 n_2 T_2 .

Nun ist nach Gl. (30)

$$T_1 = m\mu \frac{\gamma}{g} u_1^2 \left(\frac{e_1}{1-e_1} \right)^2 F'$$

$$T_2 = m\mu \frac{\gamma}{g} u_2^2 \left(\frac{e_2}{1-e_2} \right)^2 F'$$

verwendet, muß die Eintrittsteigung und die mittlere Steigung constant sein, die Austrittsteigung jedoch gegen das Centrum hin zunehmen. Solche Schrauben entwickeln $\frac{5}{3}$ mal so viel Triebkraft, als die von constanter Steigung. Der Rücklauf derselben wird nicht nach ihrer Austritts-, sondern nach ihrer mittleren Steigung berechnet.

Für beide Arten von Schrauben gelten übrigens die gleichen Formeln:

Der wirkliche Rücklauf

$$e = \frac{nh - U(1 - \xi)}{nh}$$

Die Triebkraft

$$T = m\mu \frac{\gamma}{g} \lambda^2 U^2 F',$$

wobei

$$\lambda = \frac{e'(1 - \xi) + \xi}{1 - e'}$$

und

$$e' = \frac{nh - U}{nh}$$

der scheinbare Rücklauf.

Der bei einer vorliegenden Construction zu erwartende wirkliche Rücklauf

$$e = \frac{1}{1 + (1 - \xi) \sqrt{\frac{\mu m F'}{\xi A}}}$$

Daraus der scheinbare Rücklauf

$$e' = \frac{e - \xi}{1 - \xi}$$

Das Güteverhältniß

$$\frac{\xi}{\mu} = \lambda^2 \frac{m F'}{A}$$

Die Eintauchung der Oberkante

$$e \geq 0,0438 \lambda^2 U^2.$$

Die Aufgabe, für ein bestimmtes Schiff jene Schraube zu construiren, welche am vortheilhaftesten arbeitet, wird einfach durch Anwendung obiger Formeln gelöst.

Als gegeben, beziehungsweise gewählt, nehmen wir dabei an:

- 1) Den Schiffswiderstand T ,
- 2) Die Schiffsgeschwindigkeit U ,
- 3) Die Tauchung der Schraube,
- 4) Den günstigsten scheinbaren Rücklauf; derselbe wird in den durch ähnliche Constructionen gegebenen Grenzen gewählt,
- 5) Die Coefficienten ξ und μ .

Zu berechnen ist nun:

I. Der wirkliche Rücklauf nach der Formel

$$e = e'(1 - \xi) + \xi.$$

II. Die Größe λ nach der Formel

$$\lambda = \frac{e}{1 - e'}.$$

III. Die Grenze für die Eintauchung der Oberkante

$$e \geq 0,0438 \lambda^2 U^2.$$

Bei Schiffen, welche in ruhigem Wasser laufen, nehme man für e das 1,2 bis 1,5 fache des berechneten Wertes. Bei Schiffen, welche starke See auszuhalten haben, mache man jedoch $e = 0,2$ bis $0,6$ je nach der Größe des Schiffes.

IV. Die active Triebfläche

$$m F' = \frac{g}{\gamma} \frac{T}{\mu U^2 \lambda^2}.$$

Im Falle, daß man μ nicht kennt, kann auch mit Zuhilfenahme der oben angeführten Tabelle das Güteverhältniß zur Berechnung von $m F'$ verwendet werden; es ist:

$$m F' = \left(\frac{\xi}{\mu} \right) \frac{A}{\lambda^2}.$$

Nun wähle man die Flügelzahl; in der Regel erhalten große Schrauben 2, kleinere 3 bis 4 Flügel.

Die weitere Bestimmung der fraglichen Triebfläche geschieht zum Theil auf graphischem Wege.

Aus der Tauchung der Schraube und der Eintauchung ihrer Oberkante ergibt sich ihr äußerer Halbmesser a ; nun zeichne man versuchsweise über demselben eine der Figuren $O'J'A'D'E'B'K'$ ähnliche Figur, so daß der eingeschlossene Inhalt ungefähr gleich F' ist. Wir setzen dabei voraus, daß wir eine zweiflügelige Griffiths-Schraube construiren wollen.

Unter vorläufiger Annahme eines Randsteigungswinkels von 22° bestimme man durch Construction der Gleichung

$$b = \frac{b'}{\cos^3 \alpha}$$

zur Fläche F' die zugehörige abgewinkelte Propellerfläche F .

Diese wird in der Regel keine normalen Formen haben und es muß deshalb die Contur von F' und die Steigung der Schraube so lange verändert werden, bis man eine Flügelform von richtigen und schönen Verhältnissen erhält.

Zur leichteren Beurtheilung dieser durch die Praxis als zweckmäßig befundenen Verhältnisse können folgende Zahlen dienen.

Bei zweiflügeligen Griffiths-Propellern, deren Halbmesser

$$a = 2,5 \text{ bis } 3,5 \text{ m und } a = 1,2 \text{ bis } 2,5 \text{ m.}$$

find, betrage die Steigung	2,2 a	2,5 a
der Halbmesser der Kugel	0,26 a	0,26 a
die Breite der Flügelenden	0,26 a	0,26 a
die größte Flügelbreite	0,60 a	0,62 a
der Radius an der breitesten Stelle	0,50 a	0,45 a
die Pfeilhöhe der Flügelkrümmung	0,072 a	0,082 a

in Fig. 9 mit f bezeichnet.

In dieser Figur ist eine Griffith-Schraube von drei Meter Durchmesser gezeichnet; so weit es der kleine Maßstab erlaubte, sind auch die constructiven Details der Befestigung der Flügel in der Kugel eingetragen. Die Erzeugende der Triebfläche besteht aus einem geraden Stück OA und einem Kreisbogen AB; in der Regel ist das gerade Stück so lang als der Kreisbogen.

Weitere Anhaltspunkte kann die folgende, der Zeitschrift „Archiv für Seewesen“ entnommene Tabelle bieten.

Durchmesser	Steigung Durchmesser	Summe der Längen Steigung
2 ^m	1,68	0,27
3	1,55	0,29
5	1,26	0,31
7	1,05	0,33

Unter Summe der Längen versteht man die Summe der in der Axenrichtung gemessenen größten Flügeldimensionen.

Es bleibt natürlich dem Ermessen des Constructeurs überlassen, in wie weit er sich an diese Verhältniszahlen halten will. Immerhin muß aber die Sache so eingerichtet werden, daß die Fläche F' ihren durch die Rechnung bedingten Inhalt beibehält.

Hat man nun die Steigung des Propellers gefunden, so ergibt sich die Umdrehungszahl

$$n = \frac{U}{h(1 - e')}$$

Sollte diese einen Werth erhalten, der mit Rücksicht auf das anzuwendende Dampfmaschinensystem nicht zulässig ist, so muß durch eine andere Wahl der Steigung oder des schein-

baren Rücklaufes diesem Uebelstande abgeholfen werden. In diesem Falle ist dann die ganze Construction der Triebfläche unter den veränderten Bedingungen nochmals durchzuführen.

Diese Methode zur Bestimmung des Propellers hat zwar den Uebelstand, daß sie viel Mühe und Genauigkeit erfordert, aber sie ist die einzige, welche sich anwenden läßt. Wo so viele Factoren zusammen Einfluß nehmen, ist es nicht möglich, alle gleichzeitig durch die Rechnung zu berücksichtigen und mit einem Schlag ein endgültiges Resultat zu erhalten, sondern man muß sich begnügen durch Probiren nach und nach die Aufgabe zu lösen.

Der Vollständigkeit halber möge hier noch die Bestimmung der Leistung der Maschine angeführt werden.

Die von der Schraube an das Schiff abgegebene mechanische Arbeit ist

$$L = Tu,$$

$$L = TU(1 - \xi).$$

Bezeichnet man das Verhältniß dieser Arbeit zur indicirten Arbeit der Maschine L_1 mit ϵ , so ist ϵ der Wirkungsgrad der ganzen Anlage. Erfahrungsgemäß beträgt ϵ bei

Booten und Sloops . . . 35 bis 40 Proc.

Corvetten und Schoonern 40 „ 45 „

Fregatten 45 „ 50 „

Großen Panzern . . . 50 „ 55 „

Die Leistung der Maschine ist nun

$$L_1 = \frac{1}{\epsilon} TU(1 - \xi).$$

Die durch den Rücklauf verlorene Arbeit ist

$$L_r = e \cdot n h T.$$

Tabelle für gesättigte Wasserdämpfe,

mit 1 Atmosphäre = 10000 Kilogr. auf den Quadratmeter berechnet

von

Albert Fliegner,

Professor der Maschinenlehre am eidgen. Polytechnikum in Zürich.

Unter einer Atmosphäre verstand man bekanntlich ¹ Spiegel, entsprechend einer Quecksilbersäule von 760^{mm}, oder, ² bei dem specifischen Gewichte des Quecksilbers von 13596

Kilogr. pro Cub.-Met., einem Drucke von 10333 Kilogr. auf den Quadratmeter. In die technischen Rechnungen ist der Druck in dieser letzteren Einheit einzuführen, die Angaben des Druckes werden dagegen immer, um kleinere Zahlen zu erhalten, in Atmosphären gemacht, so daß stets Multiplicationen oder Divisionen mit dem unbequemen Factor 10333 nöthig sind. Es ist daher für angenäherte Rechnungen an manchen Orten schon längst in Gebrauch gewesen, die Atmosphäre rund zu 10000 Kilogr. zu nehmen. Die am 29. Mai 1871 publicirten „Allgemeinen polizeilichen Bestimmungen über die Anlegung von Dampfkesseln“ (Reichsgesetzblatt S. 122 ff.) führen nun diese Normirung für Deutschland gesetzlich ein (§. 11. „Unter Atmosphärendruck wird ein Druck von einem Kilogramm auf den Quadratcentimeter verstanden“). Es entspricht dieser Druck einem Barometerstande von 735,51^{mm}, ist also ein mindestens ebenso rationeller Mittelwerth, als der nur am Meeresspiegel geltende von 760^{mm}.

Der baldigen Einführung der neuen Einheit in die rechnende Praxis steht namentlich im Wege der Mangel einer danach berechneten Hilfstabelle für gesättigte Wasserdämpfe. Ich habe demnach die Mühe für nicht verloren gehalten, die in den „Grundzügen der mechanischen Wärmetheorie“ von Hrn. Prof. Zeuner*) am Schlusse enthaltene Haupttabelle in dieser Richtung umzurechnen. Dabei habe ich nur diese einzige Einheit geändert, alle übrigen physikalischen Maßeinheiten dagegen unverändert lassen zu müssen geglaubt. So entspricht z. B. nach wie vor der Siedepunkt des Celsius'schen Thermometers der Temperatur des bei 760^{mm} kochenden Wassers. Würde man diesen Punkt auf das Sieden bei der neuen Atmosphäre von 735,51^{mm} bezogen haben, so wären sämtliche Thermometer zu ändern, die Calorie würde einen anderen Werth annehmen, fast sämtliche Constanten aus der Wärmelehre und manche aus anderen Zweigen der Physik würden umgerechnet werden müssen, kurz, es gäbe eine Umwälzung, an welcher die Einbürgerung der neuen Atmosphäre einfach scheitern würde. Da aber die Physik selten nach Atmosphären rechnet, ihren Druck vielmehr ausschließlich in Millimetern Quecksilbersäule angiebt, so kann die Aenderung der Einheit der Atmosphäre für die technische Praxis vorgenommen werden, ohne die physikalischen Constanten irgendwie zu beeinflussen. Es ist dann nur die Siedetemperatur des Wassers bei dem Drucke von 1 Atm. 99,088° Cels., anstatt 100° nach der alten Rechnung.

Die Tabelle enthält zunächst sämtliche in der schon erwähnten Zeuner'schen Haupttabelle angegebenen Größen, nur mit Ausnahme der Differenzen von $\frac{e}{u}$, Werthen,

*) Weiterhin wird dieses Buch der Einfachheit wegen kurz als „Grundzüge“ citirt werden.

die bei praktischen Rechnungen kaum je gebraucht werden. Auch konnte der Druck in Kilogrammen pro Quadratmeter fortgelassen werden, da man, um ihn zu erhalten, nur den Druck in Atmosphären mit 10000 zu multipliciren braucht. Dagegen sind die bei der genauen Berechnung der adiabatischen Curve nöthigen Werthe von τ und $\frac{r}{T}$ hinzugefügt worden.

Der Gang der Berechnung war folgender: Zunächst interpolirte ich nach der in den „Abhandlungen aus der mech. Wärmetheorie“ von Hrn. Prof. Clausius (I. Theil, S. 230) enthaltenen Tabelle, welche den Druck für jeden Temperaturgrad angiebt*), die dem angenommenen Druck entsprechende Temperatur in Graden Celsius (T_c). Dann wurden diese Werthe nach der in den „Grundzügen“ S. 253 enthaltenen Regnault'schen Formel, die den Druck in Function der Temperatur giebt, durch Probiren corrigirt. Es war dabei höchstens eine Vergrößerung der dritten Decimale um 4 Einheiten nöthig. Nun war es leicht, nach den bekannten empirischen Formeln von Regnault zu berechnen: die Flüssigkeitswärme

$$q = T_c + 0,00002 T_c^2 + 0,0000003 T_c^3,$$

und die Gesamtwärme

$$\lambda = 606,50 + 0,305 T_c.$$

Dann ergibt sich die Verdampfungswärme

$$r = \lambda - q.$$

Ferner mußte $\frac{dp}{p dT}$ nach den Formeln auf S. 259 der „Grundzüge“ berechnet werden, dann konnte aus Gleichung 215 auf S. 280 die äußere latente Wärme

$$Apu = \frac{r}{T \frac{dp}{p dT}},$$

und damit auch die innere latente Wärme

$$e = r - Apu$$

berechnet werden.

Von diesen Wärmemengen sind auch nur q, e und Apu in die Tabelle aufgenommen, die übrigen, λ , r und die Dampfwärme, $J = q + e$, ergeben sich einfach durch Addition aus jenen.

Das Wärmeäquivalent der Arbeitseinheit, A, ist nach den neuesten Regnault'schen Beobachtungen*) eingeführt. Derselbe findet aus Versuchen über Schallgeschwin-

*) Die in Weissbach's „Ingen. und Masch.-Mechanik“ II. Th., S. 871, enthaltene Tabelle ist zwischen 1° und 99° Cels. nicht nach der von Moritz corrigirten Formel berechnet. Man sieht das sofort durch Vergleichung der Differenzen des Druckes.

**) Mémoires de l'Académie des sciences, t. XXXII.

1. Druck in Atm. und Milgr. pr. □ Centim.	2. Druck in Millimeter Quecksilber- säule.	3. Temperatur T. (Celsius).	4. Flüssigkeits- wärme. q.	5. Innere latente Wärme. q.	6. Äußere latente Wärme. A p u.	7. u.	8. q u	9. Specifi- sches Gewicht. γ.	10. τ.
0,1	73,55	45,579	45,649	539,834	35,119	15,31184	35,24	0,0653	0,15463
0,2	147,10	59,755	59,890	528,347	36,488	7,95430	66,42	0,1257	0,19836
0,25	183,88	64,633	64,798	524,455	36,960	6,44586	81,36	0,1551	0,21300
0,3	220,65	68,742	68,934	521,175	37,357	5,42919	95,99	0,1842	0,22518
0,4	294,20	75,467	75,710	515,808	37,999	4,14193	124,53	0,2414	0,24482
0,5	367,76	80,899	81,189	511,476	38,509	3,35798	152,32	0,2977	0,26042
0,6	441,31	85,484	85,818	507,826	38,929	2,82887	179,52	0,3534	0,27341
0,7	514,86	89,469	89,844	504,659	39,285	2,44691	206,24	0,4085	0,28458
0,75	551,63	91,285	91,680	503,218	39,444	2,29302	219,46	0,4359	0,28964
0,8	588,41	93,003	93,427	501,847	39,592	2,15776	232,58	0,4632	0,29439
0,9	661,96	96,187	96,639	499,337	39,861	1,93105	258,58	0,5176	0,30816
1,0	735,51	99,088	99,576	497,048	40,098	1,74828	284,31	0,5717	0,31108
1,1	809,06	101,758	102,281	494,899	40,356	1,59956	309,40	0,6248	0,31833
1,2	882,61	104,235	104,792	492,934	40,566	1,47390	334,44	0,6780	0,32500
1,25	919,39	105,410	105,984	492,001	40,665	1,41940	346,87	0,7046	0,32816
1,3	956,16	106,548	107,138	491,098	40,761	1,36705	359,24	0,7310	0,33120
1,4	1029,71	108,717	109,339	489,378	40,942	1,27505	383,81	0,7887	0,33699
1,5	1103,27	110,763	111,416	487,756	41,111	1,19497	408,17	0,8361	0,34241
1,6	1176,82	112,699	113,382	486,221	41,270	1,12461	432,35	0,8884	0,34752
1,7	1250,37	114,539	115,252	484,762	41,420	1,06230	456,33	0,9405	0,35236
1,75	1287,14	115,425	116,153	484,060	41,492	1,03374	468,26	0,9664	0,35468
1,8	1323,92	116,990	117,032	483,375	41,561	1,00671	480,15	0,9923	0,35694
1,9	1397,47	117,966	118,837	481,955	41,688	0,95663	503,81	1,0442	0,36131
2,0	1471,02	119,570	120,369	480,776	41,824	0,91177	527,30	1,0956	0,36548
2,1	1544,57	121,109	121,935	479,557	41,946	0,87087	550,66	1,1470	0,36946
2,2	1618,12	122,590	123,443	478,385	42,062	0,83360	573,88	1,1982	0,37328
2,25	1654,90	123,310	124,177	477,814	42,119	0,81617	585,43	1,2237	0,37513
2,3	1691,67	124,017	124,897	477,254	42,174	0,79947	596,96	1,2493	0,37695
2,4	1765,22	125,395	126,301	476,163	42,281	0,76811	619,92	1,3002	0,38048
2,5	1838,78	126,726	127,658	475,109	42,384	0,73918	642,75	1,3510	0,38398
2,6	1912,33	128,015	128,972	474,090	42,483	0,71241	665,47	1,4017	0,38716
2,7	1985,88	129,264	130,246	473,101	42,579	0,68757	688,08	1,4523	0,39033
2,75	2022,65	129,874	130,869	472,618	42,625	0,67580	699,35	1,4775	0,39188
2,8	2059,43	130,476	131,483	472,141	42,671	0,66444	710,58	1,5028	0,39340
2,9	2132,98	131,653	132,684	471,210	42,760	0,64287	732,98	1,5531	0,39638
3,0	2206,53	132,798	133,853	470,304	42,846	0,62269	755,28	1,6034	0,39926

1. Druck in Atm. und Rilgr. pr. □ Centim.	2. Druck in Millimetern Quecksilber- säule.	3. Temperatur T. (Celsius).	4. Flüssigkeits- wärme. q.	5. Innere latente Wärme. e.	6. Äußere latente Wärme. A p u.	7. u.	8. $\frac{e}{u}$.	9. Specifi- sches Gewicht. γ .	10. τ .	11. $\frac{r}{T}$.
3,0	2206,53	132,798	133,853	470,304	42,846	0,62269	755,28	1,6034	0,39926	1,2645
3,1	2280,08	133,913	134,992	469,422	42,929	0,60378	777,47	1,6535	0,40206	1,2591
3,2	2353,63	134,999	136,102	468,563	43,010	0,58601	799,58	1,7035	0,40479	1,2539
3,25	2390,41	135,531	136,645	468,142	43,050	0,57753	810,59	1,7285	0,40612	1,2513
3,3	2427,18	136,057	137,183	467,726	43,088	0,56929	821,60	1,7535	0,40743	1,2488
3,4	2500,73	137,090	138,239	466,908	43,165	0,55352	843,53	1,8034	0,41001	1,2438
3,5	2574,29	138,099	139,271	466,111	43,238	0,53863	865,36	1,8531	0,41252	1,2390
3,6	2647,84	139,085	140,279	465,331	43,311	0,52454	887,12	1,9028	0,41497	1,2343
3,7	2721,39	140,049	141,265	464,569	43,381	0,51119	908,80	1,9524	0,41737	1,2298
3,75	2758,16	140,523	141,750	464,195	43,415	0,50477	919,62	1,9772	0,41854	1,2275
3,8	2794,94	140,992	142,230	463,824	43,449	0,49852	930,40	2,0019	0,41970	1,2253
3,9	2868,49	141,915	143,175	463,093	43,516	0,48648	951,93	2,0514	0,42198	1,2210
4,0	2942,04	142,820	144,102	462,377	43,581	0,47503	973,36	2,1007	0,42421	1,2168
4,1	3015,59	143,707	145,010	461,677	43,644	0,46412	994,74	2,1500	0,42639	1,2127
4,2	3089,14	144,576	145,901	460,989	43,706	0,45371	1016,0	2,1992	0,42853	1,2086
4,25	3125,92	145,004	146,339	460,651	43,736	0,44868	1026,7	2,2238	0,42958	1,2067
4,3	3162,69	145,429	146,775	460,315	43,766	0,44377	1037,3	2,2484	0,43062	1,2047
4,4	3236,24	146,266	147,633	459,653	43,825	0,43427	1058,4	2,2974	0,43267	1,2009
4,5	3309,80	147,088	148,475	459,004	43,883	0,42518	1079,6	2,3464	0,43467	1,1971
4,6	3383,35	147,895	149,303	458,365	43,940	0,41647	1100,6	2,3954	0,43664	1,1934
4,7	3456,90	148,689	150,117	457,738	43,995	0,40812	1121,6	2,4443	0,43858	1,1898
4,75	3493,67	149,080	150,518	457,429	44,022	0,40408	1132,0	2,4686	0,43953	1,1880
4,8	3530,45	149,469	150,918	457,121	44,049	0,40011	1142,5	2,4931	0,44047	1,1863
4,9	3604,00	150,236	151,705	456,514	44,103	0,39242	1163,3	2,5418	0,44233	1,1828
5,0	3677,55	150,991	152,480	455,917	44,155	0,38503	1184,1	2,5905	0,44416	1,1794
5,1	3751,10	151,734	153,242	455,331	44,206	0,37792	1204,8	2,6391	0,44596	1,1761
5,2	3824,65	152,465	153,993	454,753	44,256	0,37107	1225,5	2,6877	0,44773	1,1729
5,25	3861,43	152,827	154,365	454,467	44,280	0,36774	1235,8	2,7119	0,44860	1,1712
5,3	3898,20	153,185	154,733	454,183	44,305	0,36447	1246,1	2,7362	0,44946	1,1697
5,4	3971,75	153,895	155,462	453,623	44,353	0,35811	1266,7	2,7847	0,45117	1,1665
5,5	4045,31	154,594	156,180	453,071	44,400	0,35197	1287,2	2,8331	0,45285	1,1634
5,6	4118,86	155,282	156,888	452,526	44,447	0,34605	1307,7	2,8814	0,45451	1,1604
5,7	4192,41	155,961	157,586	451,989	44,493	0,34033	1328,1	2,9297	0,45613	1,1574
5,75	4229,18	156,298	157,932	451,724	44,515	0,33754	1338,3	2,9539	0,45694	1,1559
5,8	4265,96	156,631	158,274	451,460	44,538	0,33480	1348,4	2,9780	0,45774	1,1545
5,9	4339,51	157,292	158,954	450,938	44,582	0,32945	1368,8	3,0262	0,45932	1,1516
6,0	4413,06	157,944	159,625	450,423	44,625	0,32428	1389,0	3,0743	0,46088	1,1488

1. Druck in Atm. und Kilgr. pr. □ Centim.	2. Druck in Millimetern Quecksilber- säule.	3. Temperatur T. (Celsius).	4. Flüssigkeits- wärme. q.	5. Innere latente Wärme. e.	6. Äußere latente Wärme. A p u.	7. u.	8. $\frac{e}{u}$.	9. Specifi- sches Gewicht. γ .	10. τ .	11. $\frac{r}{T}$.
6,0	4413,06	157,944	159,625	450,423	44,625	0,32428	1389,0	3,0743	0,46088	1,14-
6,1	4486,61	158,587	160,287	449,914	44,668	0,31927	1409,2	3,1224	0,46241	1,14-
6,2	4560,16	159,222	160,940	449,413	44,710	0,31441	1429,4	3,1705	0,46392	1,14-
6,25	4596,94	159,586	161,263	449,164	44,731	0,31204	1439,4	3,1945	0,46467	1,14-
6,3	4633,71	159,849	161,585	448,918	44,751	0,30971	1449,5	3,2184	0,46542	1,14-
6,4	4707,26	160,467	162,222	448,428	44,792	0,30514	1469,6	3,2665	0,46689	1,14-
6,5	4780,82	161,079	162,852	447,945	44,832	0,30072	1489,6	3,3143	0,46834	1,14-
6,6	4854,37	161,683	163,474	447,468	44,871	0,29642	1509,6	3,3622	0,46977	1,14-
6,7	4927,92	162,279	164,088	446,997	44,910	0,29225	1529,5	3,4101	0,47118	1,14-
6,75	4964,69	162,575	164,398	446,762	44,930	0,29021	1539,4	3,4339	0,47188	1,141
6,8	5001,47	162,869	164,696	446,530	44,949	0,28820	1549,4	3,4578	0,47258	1,142
6,9	5075,02	163,452	165,296	446,070	44,987	0,28426	1569,2	3,5056	0,47395	1,1425
7,0	5148,57	164,028	165,890	445,615	45,024	0,28043	1589,0	3,5533	0,47531	1,1422
7,1	5222,12	164,598	166,478	445,163	45,061	0,27671	1608,8	3,6009	0,47666	1,1403
7,2	5295,67	165,161	167,058	444,719	45,097	0,27309	1628,5	3,6484	0,47798	1,1419
7,25	5332,45	165,441	167,347	444,498	45,115	0,27131	1638,3	3,6728	0,47864	1,1467
7,3	5369,22	165,718	167,633	444,279	45,132	0,26956	1648,2	3,6960	0,47929	1,145-
7,4	5442,77	166,270	168,202	443,843	45,167	0,26612	1667,8	3,7436	0,48059	1,143-
7,5	5516,33	166,815	168,764	443,413	45,202	0,26278	1687,4	3,7910	0,48187	1,1414
7,6	5589,88	167,355	169,321	442,985	45,237	0,25952	1706,9	3,8385	0,48314	1,1408
7,7	5663,43	167,889	169,872	442,564	45,270	0,25634	1726,5	3,8859	0,48439	1,1406-
7,75	5700,20	168,154	170,146	442,354	45,287	0,25478	1736,2	3,9096	0,48501	1,1405-
7,8	5736,98	168,418	170,418	442,145	45,304	0,25324	1746,0	3,9333	0,48562	1,1404
7,9	5810,53	168,941	170,958	441,732	45,337	0,25021	1765,4	3,9807	0,48685	1,14021
8,0	5884,08	169,459	171,493	441,323	45,369	0,24726	1784,9	4,0280	0,48806	1,14004
8,1	5957,63	169,972	172,023	440,917	45,401	0,24438	1804,2	4,0753	0,48925	1,13971
8,2	6031,18	170,480	172,548	440,515	45,433	0,24157	1823,5	4,1225	0,49044	1,1395
8,25	6067,96	170,732	172,808	440,316	45,449	0,24019	1833,2	4,1461	0,49102	1,1394-
8,3	6104,73	170,983	173,067	440,119	45,464	0,23883	1842,8	4,1696	0,49161	1,1393
8,4	6178,28	171,482	173,583	439,723	45,496	0,23614	1862,1	4,2169	0,49277	1,1391
8,5	6251,84	171,976	174,093	439,334	45,526	0,23352	1881,4	4,2640	0,49392	1,1389
8,6	6325,39	172,465	174,599	438,947	45,556	0,23096	1900,5	4,3111	0,49505	1,1387
8,7	6398,94	172,950	175,100	438,564	45,586	0,22846	1919,7	4,3581	0,49618	1,1385
8,75	6435,71	173,191	175,349	438,373	45,601	0,22722	1929,3	4,3817	0,49673	1,1384
8,8	6472,49	173,430	175,596	438,184	45,616	0,22600	1938,9	4,4053	0,49729	1,1383
8,9	6546,04	173,906	176,089	437,807	45,645	0,22361	1957,9	4,4522	0,49839	1,13815
9,0	6619,59	174,379	176,578	437,434	45,674	0,22127	1976,9	4,4990	0,49948	1,13799

compressirt werde, d. h. auf p_2 und x_2 . Eine so starke Compression kommt zwar, obwohl sie principiell besser wäre, praktisch nur ausnahmsweise vor; es vereinfacht aber diese Annahme die Formel bedeutend, und das Rechnungsergebnis wird sicherer, weil sich die indicirte Arbeit in Wirklichkeit etwas größer herausstellen wird, als die Berechnung ergibt. Uebrigens ist damit auch der Abrundung des Indicatorgrammes beim Beginne der Expansion und namentlich vor und nach dem Kolbenwechsel einigermaßen Rechnung getragen.

$$L_1 = F s \left[\varepsilon p_2 - \varepsilon_1 p_1 + \frac{\varepsilon(q_2 - q' + x_2 e_2 - x' e') - \varepsilon_0(q' - q_1 + x' e' - x_1 e_1)}{A(x_2 u_2 + \sigma)} \right] \dots$$

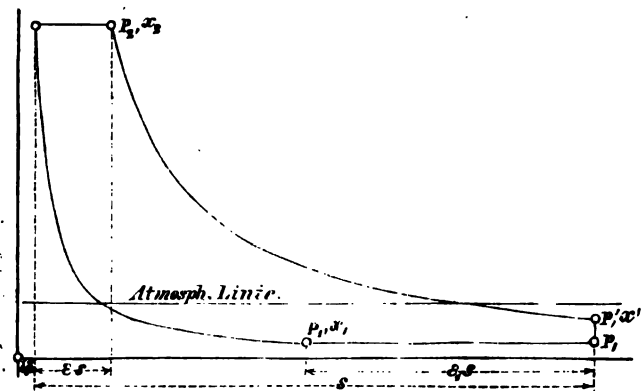
Bezeichnet man die eckige Klammer, den mittleren constanten Dampfüberdruck, einfach mit p_m , so kann man dafür auch schreiben:

$$L_1 = F s p_m \dots (5^a)$$

Die indicirte Leistung in Pferdestärken ergibt sich dann bei n Umdrehungen pro Minute zu:

$$N_1 = \frac{F s n}{30} \frac{p_m}{75} \dots (6)$$

Der Uebergang zur effectiven Leistung geschieht nun, wie gewöhnlich, entweder durch Multiplication mit einem



Coefficienten, oder besser, nach Pamhour, unter Trennung der constanten und variablen Widerstände.

$$6) \quad p_m = \varepsilon p_2 - \varepsilon_1 p_1 + \frac{\varepsilon(q_2 - q' + x_2 e_2 - x' e') - \varepsilon_0(q' - q_1 + x' e' - x_1 e_1)}{A(x_2 u_2 + \sigma)}$$

Die weitere Rechnung ist nun einfach und soll daher hier nicht mit angeführt werden.

Der Holzschnitt giebt ein Diagramm für $p_2 = 6$ Atm., $p_1 = 0,25$ Atm., $x_2 = 0,9$, $\varepsilon_0 = 0,03$. Es ist gewählt

- 1) $p' = 0,75$ Atm. und berechnet:
- 2) $x' = 0,8090$,
- 3) $x_1 = 0,7709$,
- 4) $\varepsilon = 0,1325$,
- 5) $\varepsilon_1 = 0,5219$,
- 6) $p_m = 18384$ Kilgr. pr. \square Met. = $1,8384$ Atm.

Da man die Compression auch nach der adiabatischen Curve voraussetzt, so wird die Compressionsarbeit

$$L_4 = \frac{F s \varepsilon_0}{A(x_2 u_2 + \sigma)} (q_2 - q_1 + x_2 e_2 - x_1 e_1) \dots$$

Die indicirte Arbeit pro Kolbenhub folgt da

$$L_1 = L_1 + L_2 - L_3 - L_4,$$

oder, indem man die Werthe der L einsetzt und reducirt

Bei Berechnung einer neuen Maschine nun in folgender Art vorzugehen sein.

Als gegeben ist anzusehen p_2 , p_1 , x_2 , ε_0 .

1) Wähle p' so, daß weder durch zu starke Expansion die Maschine zu groß und theuer, noch durch zu geringe Ausnutzung des Brennmaterials zu ungenügend wird.

Dann berechnet sich nach der Gleichung der adiabatischen Curve:

$$2) \quad x' = \frac{T'}{r'} \left(\frac{x_2 r_2}{T_2} + \tau_2 - \tau' \right) \text{ und}$$

$$3) \quad x_1 = \frac{T_1}{r_1} \left(\frac{x_2 r_2}{T_2} + \tau_2 - \tau_1 \right).$$

Da ferner während der Expansion das Dampfsg im Cylinder constant bleibt, so ist:

$$\frac{F s (\varepsilon + \varepsilon_0)}{x_2 u_2 + \sigma} = \frac{F s (1 + \varepsilon_0)}{x' u' + \sigma}, \text{ folglich}$$

$$4) \quad \varepsilon = (1 + \varepsilon_0) \frac{x_2 u_2 + \sigma}{x' u' + \sigma} - \varepsilon_0.$$

Ebenso ist während der Compression

$$\frac{F s \varepsilon_0}{x_2 u_2 + \sigma} = \frac{F s (1 - \varepsilon_1 + \varepsilon_0)}{x_1 u_1 + \sigma},$$

und daraus

$$5) \quad \varepsilon_1 = 1 - \varepsilon_0 \left(\frac{x_1 u_1 + \sigma}{x_2 u_2 + \sigma} - 1 \right).$$

Dann wird der mittlere constante Dampfüberdruck

Der Vorzug, den diese Berechnungsmethode vor sonst gebräuchlichen hat, ist ein dreifacher. Erstlich ist die genaue Gleichung der adiabatischen Curve sofern die Expansion und Compression wirklich nach Curve erfolgt. Das scheint nun allerdings nicht der zu sein, wahrscheinlich wegen Wärmeaustausch an den Cylinderwänden, vielleicht auch wegen ungenügend dichten Schlusses der Steuerung und des Kolbens.

Ferner kann man in diese Formel jeden beliebigen Grad des Dampfes einführen. Die in den Grundzügen haltene empirische Formel für die adiabatische Curve gilt

$$\frac{dP}{dq} = \frac{1}{i} - \frac{8}{i} \frac{i-q}{(3i-4q)^2} + \frac{2}{i} \frac{1}{3i-4q} = 0.$$

Mit $i(3i-4q)^2$ multiplicirt erhält man endlich

$$16q^2 - 24iq + 9i^2 - 2i = 0$$

und daraus die Expansion im kleinen Cylinder zu

$$q = \frac{1}{4} (3i \pm \sqrt{2i}).$$

Das Verhältniß

$$\frac{q}{i} = \frac{1}{4} (3 \pm \sqrt{\frac{2}{i}})$$

erscheint sonach, wie es nicht anders zu erwarten war, abhängig von der gesammten Expansion i , während Herr E. constant für alle Maschinen $\frac{q}{i} = 0,317$ findet. Das ist gleichzeitig das Verhältniß des Volumens vom kleinen Cylinder gegenüber demjenigen des großen. Dieses Verhältniß wird übrigens auch beim unteren Vorzeichen der Wurzel viel größer, als es Herr E. findet, z. B. für 8fache Expansion im Ganzen, d. h. $i = 8$

$$\frac{q}{i} = \frac{1}{4} (3 \pm \sqrt{\frac{1}{4}}) = \begin{cases} \frac{3,5}{4} = 0,875 \text{ oder} \\ \frac{2,5}{4} = 0,625. \end{cases}$$

Für diesen Fall ist $q = 7$ oder 5 , also hätte man im kleinen Cylinder schon sehr starke Expansion.

Die Größe des Reservoirs im Verhältnisse zum kleinen Cylinder (m) ist abhängig von $\frac{q}{i}$ und zwar findet sich dafür

auf E. 433 der Werth

$$m = \frac{1}{4} \frac{1}{1 - 2 \frac{q}{i}}.$$

Herr E. findet mit seinem Werthe von $\frac{q}{i}$ dafür $m = 1$, constant für alle Fälle und angenähert practischen Ausrichtungen entsprechend.

Der genaue Werth ergibt dagegen

$$m = \frac{1}{2 - 3 \pm \sqrt{\frac{2}{i}}}$$

Danach könnte nur das untere Vorzeichen der Wurzel Bedeutung haben, was

$$m = \frac{1}{\sqrt{\frac{2}{i}} - 1}$$

ergäbe. Da aber i stets eine Zahl größer als 2 ist (eine nur doppelte Expansion kommt natürlich bei Woolf'schen Maschinen nicht vor), so ist stets $\sqrt{\frac{2}{i}} < 1$ und somit

m negativ,

ein Resultat, welches natürlich keinen Sinn hat.

Es müssen sonach bei der Berechnung solcher Maschinen jedenfalls andere Bedingungen gestellt werden, als Herr E. thut.

Zürich, den 5. November 1874.

Graphische Berechnung des Parallelträgers.

Von

Otto Spieß, Ingenieur in Basel.

(Hierzu Tafel 31 bis 35.)

Einleitung.

In vorliegender Arbeit wurde der Versuch gemacht, den Parallelträger auf eine einfache Weise, so darzustellen, daß der Verlauf einer oder mehrerer Kräfte gleichsam mit dem Auge verfolgt werden kann und daß die Kenntniß von der Beanspruchung sämtlicher Constructionstheile nicht als Re-

sultat richtig durchgeführter Rechnungen erscheint, sondern auf directer Anschauung beruht. Ferner hat die Arbeit den Zweck, einige Hauptmethoden aus der graphischen Statik von Hrn. Prof. Culmann in Zürich auf elementarem Wege zu erklären, so daß man sich, ohne tiefer gehende Studien gemacht zu haben, derselben bedienen kann. In Folge der angewandten Erklärungsweise erscheint dann allerdings der vor-

Um die Wirkungsweise einer Last kennen zu lernen, zerlegt man diesen Träger in seine Elementarbestandtheile, wie Figur 6 auf Tafel 32 zeigt, und erhält ein System von ineinander gehängten Trapezen. An dem innersten Trapeze (resp. Dreieck) greift eine Last P_1 an und ist deren Verlauf ohne Weiteres sichtbar, sowie auch der Verlauf der übrigen gleich großen und symmetrisch angeordneten Lasten. Wenn der Träger nicht symmetrisch gebaut ist und die Kräfte ganz beliebig groß und beliebig angeordnet sind, so reicht man mit obiger Vorstellungsweise nicht mehr aus und führt eine andere allgemeinere, auf Taf. 31 verzeichnete Methode, zum Ziel.

§. 2. Der angelehnte Träger.

Construction des angelehnten Trägers.

Auf Tafel 31, Figur 1, stellt A das linke Auflager und W die Verticalwand eines angelehnten Trägers vor. Auf den Punkt A stellt man den linken Schenkel AA_1 eines Gelenkes AA_1A_2 , lehnt dessen rechten Schenkel A_1A_2 an die Verticalwand an und hindert den Punkt A am Ausrutschen mit Hilfe des Seiles AA_2 , welches in A_2 befestigt ist. Alsdann nimmt man ein Seil A_1BB_1 und stellt in dieses ein zweites Gelenk BB_1B_2 , in dieses kommt wieder ein neues Seil B_1CC_1 u. ff., und erhält man hierdurch den vorliegenden Träger, welcher der Kürze halber der „angelehnte Träger“ genannt wird, im Gegensatz zu dem oben erwähnten doppelt aufliegenden Träger.

Es werden, von links anfangend, die Streben und Seile mit den Buchstaben a b c u. f. f., und die in denselben auftretenden Kräfte mit den gleichen Buchstaben und einem Indexe bezeichnet, in der Art z. B., daß die von der Last P_n erzeugte Kraft in der Strebe c durch C_n bezeichnet wird.

§. 3. Belastung des angelehnten Trägers.

Im Knotenpunkte E_1 bringt man eine Last P_1 an; diese zerlegt sich in die beiden Druckkräfte i' und s_6 ; letztere wird von der Verticalwand aufgenommen, erstere spannt das Seilstück D_1ED_2 und erzeugt darin die Zugkräfte h_1 und t_6 , letztere wird von der Verticalwand aufgenommen, die erstere erzeugt im Knotenpunkte D_1 die Druckkräfte s_4 und g_1 , wovon s_4 wieder an die Wand geleitet wird, während g_1 auf das Seil C_1DD_2 wirkt u. f. f., bis endlich die letzte Seilspannung h_1 die Kräfte a_1 und s_1 erzeugt, wovon a_1 am Auflager den Verticaldruck A_1 und die Seilspannung t_1 erzeugt.

Die Zerlegung geht einfach jedesmal nach dem Parallelogramm der Kräfte vor sich und sind somit die Kräfte sämtlicher Constructionstheile bekannt.

§. 4. Discussion der Kräfte nach ihrer Art.

Da die zwischen der Last und der Wand liegenden Seile und Streben, also k und l, keinen Antheil von der Last übernehmen können, herrscht in denselben die Kraft Null.

In allen von dem Angriffspunkt der Last nach dem Auflager hin geneigten Streben, wie a, c, e, g und i herrscht Druck, in den entgegengesetzt geneigten Zug, wie in b, d, f, h und k. In allen oberen Gurtungen herrscht Druck, in allen unteren Gurtungen herrscht Zug. Am Auflager herrscht eine Verticalkraft, an der Verticalwand hingegen sind zwei Systeme von Horizontalkräften, die nach entgegengesetzten Richtungen wirken; und zwar ist, wie später nachgewiesen wird, die Summe der oberen Kräfte gleich der Summe der unteren Horizontalkräfte, und bilden demnach dieselben ein Kräftepaar, welches die Wand zwar nicht verschieben, wohl aber drehen kann, und ist demnach die Wand durch ein äußeres Kräftepaar R und R_1 gegen Umlanten zu schützen.

Da die Last allein durch das linke Auflager getragen wird, so muß auch der Auflagerdruck A_1 gleich der Last P_1 sein, was auch die Zerlegung ergibt.

Würde in einem andern Knotenpunkte, z. B. in B_1 , eine neue Last, z. B. P_2 , angebracht, so ginge dieselbe direct durch die Strebe C_1 weiter nach dem Auflager als A_2 , und würden sämtliche rechtsliegende Streben und Seile, wie d, e, f und ff. nicht von ihr beansprucht, so daß man zu dem Resultate gelangt, daß eine Last nur auf die zwischen ihr und demjenigen Auflager liegenden Streben wirkt, auf welches die Kraft selbst übertragen wird, daß hingegen sämtliche horizontalen Constructionsglieder durch jede neu hinzukommende Last angestrengt werden.

§. 5. Größe der Kräfte.

Denkt man sich die Lamellen sehr nahe zusammengedrückt und dann unter sich vernietet, wie in Fig. 5, so vereinigen sich mit den Lamellen auch die in denselben herrschenden Kräfte, und ergibt sich dann in Stück A'B' die Kraft s_1 , in B_1C_1 die Kraft $s_1 + s_2$, in E'F' die Kräfte summe $s_1 + s_2$ bis s_6 , welches nun bekannte Größen sind und welche auch graphisch dargestellt werden können, wie etwa in Figur 3, welche nichts anderes ist, als eine Zusammenstellung der in Fig. 5 gemachten Zerlegungen. Selbstverständlich wird in der Praxis die Fig. 3 direct erstellt, indem man $AA_1 = P_1$ macht und zwischen den Parallelen AF und A'F' den Kräftezug a', b' bis i' zeichnet, indem man i parallel der Strebe i, dann h' parallel der Strebe h macht u. f. f. Es stellt dann CF in Fig. 3 der Lage und Größe nach die Kraft $s_1 + s_2 + s_3$ dar, welche in der Strecke C_1D_1 (Fig. 5) herrscht.

Um mit bestimmten Maßen zu arbeiten, sei die Last $P_1' = 10$ Tons und werden diese dargestellt durch AA' gleich 10^{mm} in Fig. 3 (also für jede Tonne Kraft einen Millimeter Länge) und wird dann die Zerlegung vorgenommen. Man findet dann $A'B = i' = 10,5^{\text{mm}}$, d. h. die Strebenkraft i' gleich 10,5 Tons. Ferner CF (Fig. 3) = $18,4^{\text{mm}}$, d. h. die Horizontalkraft $s_1 + s_2 + s_3 = 18,4$ Tns.

Indem nun auf diese Weise Kraft für Kraft bestimmt wird, erhält man die in dem linken Stück des Trägers (Fig. 7) eingeschriebenen Zahlenwerthe.

Werden die einzelnen Strecken des Balkens in Fig. 5 verfolgt, so findet man, daß in den Strecken zwischen der Last und der Verticalwand, also in $E'G'$ oben und EG unten, die gleich großen Kräfte $s_1 + s_2 + \dots s_5 = t_1 + t_2 + \dots t_5$ herrschen, während sonst in allen übrigen verticalen Schnitten ungleiche Kräfte herrschen. Führt man z. B. durch die Strecke CD zwei verticale Schnitte, wovon der eine $Y'Y'$ die obere Strecke $B'C'$ und der andere $Y''Y''$ die obere Strecke $C'D'$ trifft, so ergibt sich, daß die Kraft $t_1 + t_2 + t_3$ größer ist als $s_1 + s_2$, aber kleiner als $s_1 + s_2 + s_3$, aus Betrachtung der Zerlegung in Fig. 3.

Es sind die einzelnen Kräfte auch durch Rechnung leicht zu bestimmen. Die Kraft $s_1 + s_2 + s_3 + s_4$ wird in Fig. 3 dargestellt durch BF . Da nun die Fig. $BFB'F'$ in Fig. 3 ähnlich ist dem Stücke $AA'D'E$ des Balkens in Fig. 5, so folgt:

$$\frac{s_1 + s_2 + s_3 + s_4}{P_1'} = \frac{\beta_4}{h},$$

oder

$$s_1 + s_2 + s_3 + s_4 = \frac{P_1' \beta_4}{h} = \frac{A_1' \beta_4}{h},$$

wobei β_4 den Abstand des Knotenpunktes E vom Auflager bezeichnet und h die Brückenhöhe, und man findet demnach die in einer Strecke $D'E'$ herrschende Kraft, wenn die Last P_1 resp. der ihr gleiche Auflagerdruck A_1 mit dem Abstände $AE = \beta_4$ des Knotenpunktes, welcher der Strecke gegenüber liegt, multiplicirt und das Product durch die Brückenhöhe h dividirt wird. Das Product $A_1 \beta_4 = P_1' \beta_4$ nennt man das statische Moment des Auflagerdruckes in Bezug auf den Punkt E .

Setzt man in dem Ausdruck für die horizontale Kraft

$$s_1 + s_2 \dots s_4 = \frac{A_1 \beta_4}{h}$$

die Brückenhöhe $h = 1$, so entsteht:

$$s_1 + s_2 + \dots s_4 = A_1 \beta_4$$

und bedeutet demnach das Product $A_1 \beta_4$ die Horizontalkraft bei einer Brücke von der Höhe Eins; oder allgemein stellt das statische Moment einer beliebigen Anzahl von Kräften die Reduction derselben auf den Hebelsarm Eins vor.

In diesem speciellen Falle ist $P_1 = 10$ Tons, ferner $AE = 63^{\text{mm}}$ und $h = 25^{\text{mm}}$, woraus folgt

Civilingenieur XX.

$$s_1 + s_2 + s_3 + s_4 = \frac{63 \times 10}{25} = 25,2 \text{ Tons},$$

währendem in Fig. 3 die Länge BF nur 25 Tons ergibt, eine Differenz, die von dem kleinen Maßstabe der Zerlegung herrührt.

(NB. Die Länge $AE = 63^{\text{mm}}$ darf nicht in der immer noch verzerrt gezeichneten Fig. 5 abgemessen werden, sondern in AE , Fig. 7).

Für eine andere Strecke, z. B. CD , wird auf gleiche Weise

$$t_1 + t_2 + t_3 = \frac{A_1 \alpha_3}{h}.$$

In allen rechts von der Last P_1 liegenden Strecken herrschen oben und unten in allen Streben die gleich großen Kräfte summen $AF = A_1 F_1$ in Fig. 3 und werden dieselben ausgedrückt durch

$$s_1 + s_2 + \dots s_5 = t_1 + t_2 + \dots t_5 = \frac{P_1 \alpha_5}{h} = \frac{A_1 \alpha_5}{h} = R_1.$$

Nachdem es nun festgestellt ist, daß die Streckenkräfte proportional sind den Abständen der gegenüberliegenden Knotenpunkte vom Auflager, so können dieselben auf eine leichte Art nochmals graphisch dargestellt werden.

Man zieht eine Linie AF' , Fig. 6, trägt darauf eine Länge $AE_1 = \alpha_5$ ab und macht die Ordinate $E_1 E_2 = \frac{P_1 \alpha_5}{h}$, dann wird die Ordinate $D'D''$, welche der Abscisse $AD = \beta_3$ entspricht, $= \frac{P_1 \beta_3}{h}$;

oder man trägt in der Entfernung Eins von A die Länge $\frac{P_1}{h}$ als Ordinate auf, z. B. für $AA_1 = 1$ sei $A_1 A_2 = \frac{P_1}{h}$, construirt den Winkel $A'AA_2$ und erhält in der Entfernung $\beta_3 = AD$ die Ordinate $D_1 D_2 = \frac{P_1}{h} \times \beta_3$ als Horizontalkraft der dem Knotenpunkte D gegenüber liegenden Strecke $C_1 D_1$.

Ebenso stellt p_3 die Kraft in der Strecke BC vor.

Diese graphische Methode hat gegenüber der in Fig. 3 dargestellten den Vortheil, daß sich mit ihr die von einer beliebigen Anzahl von Lasten herrührenden Kräfte summiren lassen, und bildet solche das Element aller folgenden Betrachtungen.

§. 6. Der doppelt aufliegende Träger.

In Fig. 2 auf Taf. 31 ist wiederum ein angelehnter Träger aufgezichnet und derselbe mit P_1'' belastet, und sind in Fig. 4 dessen Kräfte dargestellt. Derselbe sucht seine Verticalwand mit Hilfe eines Kräftepaares $S_1 S$ zu drehen, wobei nach dem Früheren

$$S_1 = S_2 = P_1'' \times \frac{\gamma_3}{h} \text{ ist.}$$

Wenn man nun P_1'' so wählt, daß die Verticalwand $v_1 v_2$ ebenso stark nach links gedreht wird, als die Wand $w_1 w_2$ nach rechts, so werden beide Wände entbehrlich. Die beiden Träger können aneinander gerückt werden und bilden einen doppelt aufliegenden Träger (Fig. 7). Im vorliegenden Falle wurde das Stück $E'F'$ in Fig. 1 überdies noch abgeschnitten.

Die Gleichgewichtsbedingung lautet also:

$$R = R_1 = S = S_1,$$

oder

$$P_1' \times \frac{\alpha_5}{h} = \frac{P_1'' \times \gamma_3}{h},$$

oder

$$P_1' \alpha_5 = P_1'' \gamma_3.$$

Da nun P_1' und P_1'' zusammen die Last P bilden und α_5 und γ_3 die Gesamtlänge l , so geht hieraus hervor

$$P_1' l = P \gamma_3 \text{ oder } P_1' = \frac{P \gamma_3}{l}$$

$$P_1'' l = P \alpha_5 \text{ und } P_1'' = P \times \frac{\alpha_5}{l},$$

aus welchen Gleichungen man rückwärts die Partiallasten P_1' und P_1'' bestimmen kann, wenn man nur deren Summe P und ihren Angriffspunkt E_1 kennt.

Nach dieser Anschauungsweise besteht demnach der mit einer Last $P = 28$ Tons belastete Träger in Fig. 7 aus zwei angelehnten Trägern, von welchen der linke Theil die Last $P_1' = 10$ Tons nach dem linken Auflager und das rechte Trägerstück die Last $P_1'' = 18$ Tons nach dem rechten Auflager überträgt, genau auf die in den Fig. 1 und 2 angegebene Weise.

Da nun in den Fig. 1 und 2 die Zerlegungen für die Lasten $P_1' = 10$ Tons und $P_1'' = 18$ Tons durchgeführt wurden, so gelten die daselbst gefundenen Kräfte somit auch für Fig. 7. In ähnlicher Weise, wie Fig. 6, wurde auch für das rechte Balkenende ein Schema erstellt und mit Fig. 6 vereinigt zu Fig. 8. So stellt die Ordinate GG_2 in Fig. 8 die Kraft vor in der Strecke FG , in vorliegendem Falle 11,4 Tons.

In Fig. 7 sind nun die Kräfte sowohl ihrer absoluten Größe als auch ihrer Art nach eingeschrieben, und man sieht, daß im linken Trägertheil alle mit i parallelen Streben Druck und die mit h parallelen Streben Zug haben, während im rechten Trägertheile alle mit k parallelen Streben auf Druck, alle mit l parallelen Streben auf Zug beansprucht sind. Der Deutlichkeit wegen hat man alle mit Druck beanspruchten Streben dick, die mit Zug beanspruchten Streben dünn ausgezogen und überdies den Zahlenwerthen noch die Zeichen $+$ und $-$ für Druck und Zug vorgelegt.

Um das Verhalten mehrerer Lasten darzustellen, wurde in Fig. 9 ein dem obigen congruenter Träger in seinem

zweiten Knotenpunkte mit einer Last $P_2 = 42$ Tons belastet. davon werden $P_2' = A_2 = 33$ Tons nach dem linken und $P_2'' = B_2 = 9$ Tons nach dem rechten Auflager übertragen; für $A_2 = 33$ wurde die Zerlegung, Fig. 10, und für $B_2 = 9$ die Zerlegung, Fig. 11, gemacht, gleichzeitig auch noch auf die zweite Art, die in Fig. 9 hinein punktiert ist.

In den Zerlegungen wurden die Kräfte abgemessen und in Fig. 9 eingeschrieben, wobei ebenfalls wieder die Unterscheidung zwischen Druck und Zug gemacht wurde.

Dieses Mal haben die Streben c und d Druck, folglich auch a , und im rechten Theile f , h , k , m und o , und ist zu bemerken, daß mehrere Streben d , f und h dieses Mal Druck haben, während sie in Fig. 7 auf Zug in Anspruch genommen waren, und man sieht, daß je nach der Stellung der Last eine Strebe bald auf Zug und bald auf Druck beansprucht sein kann, mit Ausnahme der Anfangs- und Endstreben, welche nur Kräfte einer Art aufnehmen können.

Bringt man nun die beiden Träger, Fig. 7 und Fig. 9, zur Deckung und vereinigt die sich deckenden Theile, so vereinigen sich auch alle in denselben enthaltenen Kräfte und man erhält in Fig. 12 einen von zwei Lasten P_1 und P_2 angegriffenen Träger. In den Gurtungen, sowie in den Streben a , b , c und k , l , m , n und o summiren sich die Kräfte, währenddem in den Streben d , e , f , g , h und i Differenzen entstehen. So herrscht z. B. in der Strebe c die Druckkraft $C' + C'' = + 10,5 + 34,6 = 45,1$ Tons, in der Strebe g hingegen ein Druck von 10,5 Tons und ein Zug von 9,45 Tons, folglich deren Differenz oder ein Druck von 1,05 Tons.

Auf dem linken Auflager herrscht ein Druck von $A_1 + A_2 = 10 + 33 = 43$ Tons, auf dem rechten hingegen $B_1 + B_2 = 27$ Tons. Anstatt nun anzunehmen, daß der linke Auflagerdruck $A = 43$ Tons aus der Summe $A_1 + A_2 = 10 + 33$ zusammengesetzt sei, kann man sich auch vorstellen, daß er aus den Theilen $42 + 1$, d. h. aus der ganzen ersten Last von 42 Tons und einem Anttheil 1 von der zweiten bestehe, und daß der rechte Auflagerdruck $B = 27$ direct von der zweiten Last P_2 herrühre.

Trennt man den Balken, Figur 12, demnach in Angriffspunkte der Kraft P_1 in zwei anlehende Träger und trennt die Kraft P_1 in $27 + 1$, so wird die Kraft von einer Tonne nach links übertragen und erzeugt in den Streben d bis i die Kräfte 1,05, indem i , g und e auf Druck, h , f und d auf Zug in Anspruch genommen werden. Im Angriffspunkte der Kraft $P_2 = 42$ vereinigen sich dann beide Verticalkräfte und werden als Auflagerdruck $A = 43$ Tons durch die Streben a , b , c fortgepflanzt, indem derselbe in den Streben a , b und c die Kraft 45,1 Tons erzeugt, wie auch die Zerlegung, Fig. 13, andeutet. Der Rest der Last P_2 verläuft nach dem rechten Auflager als $P_2'' = 27$.

und ferner zu jeder dieser Linien noch eine Parallele in der Entfernung Eins, wie z. B. $a'a''$, $b'b''$ u. s. f. Nun macht man $a'a''$ gleich der Last P_1 und zieht den Strahl $A_2 a'' H_1$; dann macht man $b'b'' =$ der Kraft P_2 , zieht den Strahl $B_2 b'' H_2$, macht $c'c''' =$ der Kraft P_3 , zieht den Strahl $C_2 c''' H_3$ u. s. f., wodurch man die gebrochene Linie $A_0 A_2 B_2 C_2 D_2 E_2 F_2 G_2 H_7$ erhält.

Aus der Art des Auftragens geht nun hervor:

$$HH' = z_1 \times a'a'' = z_1 \times P_1,$$

$$H'H_2 = z_2 \times b'b'' = P_2 z_2,$$

$$H_2 H_3 = z_3 \times c'c''' = P_3 z_3,$$

oder

$$HH_7 = P_1 z_1 + P_2 z_2 + P_3 z_3 + \dots P_7 z_7;$$

zieht man nun noch $A_0 H_7$ und errichtet in der Entfernung Eins von A_0 eine Senkrechte, z. B. $A_3 A_5$, so hat diese den Werth

$$A_3 A_5 = \frac{P_1 z_1 + P_2 z_2 + \dots P_7 z_7}{1}$$

und stellt somit den Auflagerdruck am linken Auflager vor.

Ferner hat eine beliebige Ordinate $F_3 F_5$ den Werth:

$$F_3 F_5 = \frac{HH_7}{1} \times x = \frac{P_1 z_1 + P_2 z_2 + \dots P_7 \times z_7}{1} x$$

und stellt somit die Ordinate $F_3 F_5$ das Moment des linken Auflagerdruckes vor an einer beliebigen Stelle in der Entfernung x .

Da nun

$$F_3 F_7 = a'a'' \times y_1 = P_1 y_1,$$

$$F_7 F_8 = b'b'' \times y_2 = P_2 y_2,$$

so ist deren Summe

$$F_3 F_4 = P_1 y_1 + P_2 y_2 + P_3 y_3 + \dots \text{u. s. f.}$$

Da nun $F_3 F_4$ das Moment der Lasten auf denselben Querschnitt vorstellt, so repräsentirt die Differenz

$$F_3 F_5 - F_3 F_4 = F_4 F_5 =$$

$$= (P_1 z_1 + P_2 z_2 + \dots) \frac{x}{1} - (P_1 y_1 + P_2 y_2 + \dots)$$

das Moment der äußern Kräfte in Bezug auf den Querschnitt x .

Wenn man für jede Lasteneinheit eine Längeneinheit, also z. B. einen Millimeter auftragen wollte, so würden die Werthe $a'a''$, $b'b''$ verhältnißmäßig groß und die ganze Figur erhielte unpraktische Dimensionen. Dieses zu vermeiden, trägt man die Kräfte in einem verjüngten Maßstabe auf. Wenn man daher von jeder Last nur den b. Theil aufträgt, also $a'a'' = \frac{P_1}{b}$ oder $b'b'' = \frac{P_2}{b}$, so müssen die erhaltenen Werthe noch mit der Basis b multiplicirt werden, und es ist in diesem Falle

$$HH_7 = \frac{P_1 z_1 + P_2 z_2 + P_3 z_3 + \dots}{b}$$

und

$$F_4 F_5 = \frac{1}{b} \left\{ \frac{(P_1 z_1 + P_2 z_2 + \dots)}{1} x - (P_1 y_1 + P_2 y_2 + \dots) \right\}$$

und $F_4 F_5 = \frac{1}{b} \times$ Moment der äußern Kräfte, woraus hervorgeht, daß man die Ordinaten, wie $F_4 F_5$, noch mit b multipliciren muß, um das Moment zu erhalten.

In vorliegender Zeichnung wurde jede Tonne Last durch $\frac{1}{14}$ Millimeter oder 14 Tons durch einen Millimeter gestellt. Da nun $F_4 F_5$ gleich $12,5^{mm}$, so herrscht an dieser Stelle das Moment $12,5 \times 14 = 175$ Tons, d. h. einem Brückenbalken von der Höhe $h = 1$ beträgt die Streckenkraft S in $F_1 G_1 = 175$ Tons, folglich in dem vorliegenden Balken von der Höhe $h = 3^m$ die Kraft

$$S = \frac{175}{3} = 58,37 \text{ Tons}$$

und wurde dieselbe oben eingeschrieben.

Ebenso stellt $A_3 A_5$ ein Moment vor, dessen Zahlenwerth 5×14 Tons und daher die Kraft in der Strecke

$$AB = \frac{70}{3} = 23,33 \text{ Tons.}$$

In Fig. 1 wurden alle Horizontalkräfte bestimmt und eingeschrieben; die Multiplicationen mit den Quotienten $\frac{14}{3}$ hingegen graphisch vorgenommen in Fig. 9, indem man $AJ = \frac{14}{3} JQ$ machte und dann auf JQ die einzelnen Ordinaten aus Fig. 2 eintrug.

Um nun die Querschnitte des Materiales zu bestimmen, hat man die gefundenen Zahlenwerthe nur noch durch die Spannung zu dividiren. Angenommen, der Quadracentim. soll mit $r = 0,700$ Tons beansprucht werden, so muß man der Strecke FG einen Querschnitt von $\frac{58,37}{0,7} = 83,4^{cm^2}$ geben und man erhält auch unmittelbar die Querschnitte, wenn man die Ordinaten, wie z. B. $F_4 F_5$ mit $\frac{14}{3} \times \frac{1}{0,7} = 6,66$ multiplicirt, was natürlich auch wieder auf graphische Weise gemacht werden kann.

§. 9. Praktische Methode zum Auftragen.

Um die Lasten auf eine bequeme Art zu verjüngen, trägt man dieselben auf einer Geraden auf und macht $AB = P_1$, siehe Fig. 3, $BC = P_2$ u. s. f., bestimmt einen Punkt O , dessen senkrechter Abstand gleich b ist, und zieht die Strahlen AO , BO , CO u. s. f. Auf der Linie xy , deren Abstand von O gleich Eins ist, erhält man die Werthe $ab = \frac{P_1}{b}$, $bc = \frac{P_2}{b}$, oder $af = \frac{P_1 + P_2 + P_3 + \dots P_7}{b}$.

eser reducirten Werthe aus Fig. 3 bedient man sich zur Erstellung der Fig. 2, indem man $a'a'' = ab$, $= bc$ macht, entweder durch Abgreifen mit dem Zirkel die Parallellinien. Wenn man nämlich die Linie OA parallel macht mit A_0H in Fig. 2, so hat man, "aufzutragen, nur A_2B_2 parallel mit OB zu ziehen, " $b'b''$ aufzutragen, nur B_4C_4 parallel OC zu u. i. f. Ebenso ist der letzte Strahl $D_5G_4H_7$, parallel OG und folgt daraus, daß $d^3d^4 = uf = \frac{P_2 + \dots P_7}{b}$.

§ Verjüngungsbasis kann man jede beliebige Länge auch die Brückenlänge selbst. Wenn man die Länge Fig. 3 gleich der Brückenlänge A_0H macht und das ungschema zeichnet und dieses Schema in die Fig. 2 einstellt, nur um Platz zu gewinnen, so erhält man liegende Zeichnung. Es ist nämlich A_0H unsere HL oder H_1 gleich der ersten Last $P_1 = 20^{mm}$, $= 20$ Tons, ferner LM oder $1-2$ gleich der Last . f.; und wurden der Reihe nach alle sieben Lasten gen; dann wurden, wie in Fig. 3, die Strahlen gen A_2B_2 parallel dem ersten Strahle A_{01} , ferner parallel dem zweiten Strahle A_{07} , endlich G_4H_7 parallel dem Strahle A_{07} gemacht, und wurden schließlich die ungsstrahlen wieder weggenommen, nur der Deutlichkeit.

er Professor Culmann in Zürich, von welchem ganze Methode herrührt, nennt die gebrochene Linie $A_0 \dots H_7$ das „Seilpolygon“, die Linie A_0H_7 die Linie, die Fläche $A_0A_2B_2 \dots H_7A_0$ die Momentenfläche und endlich die Fig. 3 „das Kräftepolygon“ unden, die sich aus seiner Entwicklungsweise ergeben, auf hier nicht näher eingetreten wird.

§. 10. Eigenschaften des Seilpolygons.

Wenn das Seilpolygon mit der Basis $b = 1$ ge- wird, so hat der Abschnitt über dem rechten Auflager

$$HH_7 = \frac{P_1 z_1 + P_2 z_2 + \dots P_7 z_7}{1}$$

ist man in HH_7 unmittelbar den Auflagerdruck über Fig. 2 ist $HH_7 = 70^{mm}$, demnach ist für die vor- Stellung der Lasten der linke Auflagerdruck gleich s (stimmt auch $\frac{7 \times 20}{2}$).

Wenn die Lasten sämtlich um eine Strecke a nach erschoben werden, oder, was das gleiche heißt: wenn Lasten im Raume stehen läßt, die ganze Brücke aber Stück a nach links verschiebt, so stellt dann S_4K_3 Brücke vor. Wenn man für die neue Lastenstellung

wieder ein Seilpolygon zeichnet, so wird man bemerken, daß man wiederum das gleiche bereits vorhandene Seilpolygon $S_4A_2B_2C_4 \dots F_4K_4$ erhält, nur mit einer neuen Schluß- linie S_4K_4 , und stellt demnach der Abschnitt des rechten Auflagers, d. h. K_3K_4 den linken Auflagerdruck für die neue Stellung vor; in vorliegendem Falle ist $K_3K_4 = 42\frac{1}{2}^{mm}$ und bedeutet $42\frac{1}{2}$ Tons Auflagerdruck links.

Während also für die Anfangsstellung der Lasten HH_7 den linken Auflagerdruck darstellt, so geben die Ordinaten K_3K_4 oder D_3D_4 den linken Auflagerdruck an, wenn der ganze Lastenzug um $K_3H = a$ oder um D_3H verschoben wird, und man erhält den Satz:

Im Seilpolygon, welches mit der Basis l gezeichnet wurde, stellen sämtliche Ordinaten Auflagerdrücke vor.

Der leichtesten Uebersicht wegen wurde $A_2A_6 = HH_7$; $B_2B_6 = K_3K_4$, $C_2C_6 = E_3E_4$ gemacht und es bedeutet: A_2A_6 den linken Auflagerdruck, wenn der Zug von A' bis G' , B_2B_6 " " " " " " " " B' " G' , D_2D_6 " " " " " " " " D' " G' reicht.

Diese Ordinaten dienen, wie später gezeigt wird, zur Bestimmung der Maximalstrebenkräfte in den Streben.

Wenn die erste Last in ihrer Anfangsstellung über dem linken Auflager ruht, was hier nicht der Fall ist, so bildet dann die Verbindungslinie der Punkte $A_2B_2C_6$ u. i. f. eine dem Seilpolygone congruente Linie.

3) Eine beliebige Ordinate der Momentenfläche, z. B. F_4F_6 , hat den Werth:

$$F_4F_6 = \frac{Ax - (P_1 y_1 + P_2 y_2 \dots)}{1}$$

und stellt den l^{ten} Theil des im Querschnitte x herrschenden Momentes vor. Folglich geben die Ordinaten der Momentenfläche, multiplicirt mit der Verjüngungsbasis, die Zahlenwerthe der Momente.

Beim Vollbalken hat jede Ordinate eine reelle Bedeutung, beim Fachwerke nur die unter die Knotenpunkte fallende Ordinate und bedeutet die dem Knotenpunkte F_1 entsprechende Ordinate F_4F_6 den $\frac{1}{1}$ Theil des in diesem Querschnitte herrschenden Drehungsmomentes.

4) Das Maximum der Momente einer gegebenen Belastung wird gefunden, wenn man an das Seilpolygon eine zur Schlußlinie parallele Tangente zieht; dieselbe kann in eine Seite des Polygons fallen.

Hier fällt die zur Schlußlinie parallele Tangente in den Angriffspunkt der Last P_4 , also in das Eck D_4 ; folglich ist in D_1 Maximalmoment.

Von früher her ist bekannt, daß das Maximalmoment in derjenigen Last liegt, in welcher die Verticalkraft durch Null hindurchgeht, oder gleich Null wird, und daß diese Eigenschaft als Methode dient, das Maximalmoment aufzufinden.

In vorliegender Figur hat der Auflagerdruck HH_7 eine Größe von $HH_7 = 70^m = 70$ Tons, und wurde derselbe hervorgerufen durch die Lasten $HL + LM + MN + NH_7$, d. h. aus den Lasten $P_1 + P_2 + P_3$ + einem aliquoten Theile von P_4 , woraus hervorgeht, daß in der Kraft P_4 der Trennungspunkt, resp. das Maximalmoment, liegt, also im Punkte D' oder D_4 und man sieht, daß die Last P_4 sich in zwei Theile auflöst.

5) Der Schnittpunkt D_3 des ersten Strahles A_0H mit dem letzten Strahle G_4H_7 liegt in der Schwerlinie der Kräfte, welche diese Strahlen erzeugt haben, d. h. in der Schwerlinie der Kräfte $P_1 + P_2 + \dots P_7$.

Beweis: Die Linie HH_7 stellt das Moment vor der Kräfte P_1 bis P_7 in Bezug auf die Linie HH_7 . Es kann aber HH_7 auch das Moment sein, einer einzigen Kraft von der Größe $d^{III}d^{IV}$, welche in D_3 angreift. Da nun $d^{III}d^{IV} = a'a'' + b'b'' + \dots g'g''$, oder gleich af in Fig. 3, so ist auch die in D_3 angreifende Kraft $= P_1 + P_2 + \dots P_7$, und folglich D_3 ein in der Schwerlinie liegender Punkt.

6) Verlängert man einen beliebigen Strahl, z. B. B_4C_4 nach rückwärts bis zu seinem Schnittpunkte S mit der Schlußlinie A_0H_7 , so kann man sich denken, die Fläche $B_4H_2H_7B_5$ rühre von einer einzelnen Kraft her, die in S ihren Angriffspunkt hat, und deren Größe $s's''$ ist; und es ist demnach S der Angriffspunkt einer Kraft, welche für sich allein den Auflagerdruck A und die beiden Lasten P_1 und P_2 erzeugen kann, denn von diesen her rührt ja die Fläche $B_4H_2H_7B_5$. Man nennt die in S gedachte Kraft: die außerhalb wirkende Kraft von A und P_1 und P_2 , und ist dieselbe der Größe nach gleich $A - (P_1 + P_2)$. Beweis: HH_7 ist der Auflagerdruck $= A$, folglich $A_3A_5 = \frac{A}{1}$ unter der Voraussetzung, daß $A_0A_3 =$ Eins sei. Denkt man sich durch A_0 zwei Strahlen gezogen parallel zu A_3B_4 und B_4C_4 , so wird man finden, daß

$$A_3A_5 = a'a'' + b'b'' + s's'',$$

oder daß

$$s's'' = \frac{A - (P_1 + P_2)}{1},$$

woraus eben folgt, daß in S die Kraft $A - (P_1 + P_2)$ angreift. Das gleiche läßt sich auch zeigen, wenn man im Kräftepolygon, Fig. 3, eine Parallele (die Punktirte) zur Schlußlinie A_0H_7 zieht.

Hiermit sind die für uns wichtigsten Eigenschaften des Seilpolygons erklärt und werden dieselben in der Folge ohne Weiteres angewendet werden.

§. 11. Die Kräfte in den Gurten.

Wie auf Taf. 31 in Fig. 12 zu ersehen ist, vergrößert jede Last die Kräfte in den Gurten und leitet man daraus

ab, daß bei totaler Belastung in sämtlichen Strecken der Gurten das Maximum der Beanspruchung eintritt, und folglich diese Glieder für Totalbelastung zu construiren.

Auf Taf. 32 ist in Fig. 1 ein in jedem Knotenpunkt belasteter Balken dargestellt. In Fig. 2 wurden die Lasten $P_1 P_2$ u. s. w. als $HL = P_1$, $LM = P_2$ aufgetragen und zwar 1^m für jede Tonne, dann das Seilpolygon mit Hilfe der Basis $b = 1$ ausgeführt, und sind demnach die Ordinaten F_4F_5 der Momentenfläche noch mit der Basis $l = 14^m$ zu multipliciren, um die Momente, und mit $h = 3^m$ zu dividiren, um die Kräfte in der Strecke $F'G'$ zu erhalten, welche dem Knotenpunkte F' gegenüber liegt.

Die Multiplication mit dem Quotienten $\frac{1}{h}$ wurde in Fig. 9

graphisch ausgeführt, und sind in Fig. 1 sämtliche Horizontalkräfte eingeschrieben. Die Kraft in CD wird demnach gefunden, wenn man die Ordinate $C_4C_5 = 16,8$ mit der Länge $l = 14$ multiplicirt und mit der Höhe $h = 3$ dividirt, wodurch $16,8 \times \frac{14}{3} = 78,5$ Tons entsteht, welcher Werth auch in die Zeichnung eingeschrieben ist. Denkt man sich das Eigengewicht einer Brücke in den einzelnen Knotenpunkten concentrirt, so kann man nach der eben erklärten Methode auch die Gurtenkräfte des Eigengewichtes finden.

§. 12. Die Strebenkräfte.

Nach der Anschauungsweise auf Taf. 31 erzeugt eine Einzellast, z. B. P_2 in Fig. g in den ihr zunächst liegenden Streben c und d Druckkräfte, und haben demzufolge auch a Druck und im rechten Balkenstück alle mit d parallelen Theile, wie f , h und k u. s. w. Bringt man rechts von P_2 in einem beliebigen Knotenpunkte, z. B. in E_1 , Fig. 7, eine neue Last P_1 an, so erzeugt dieselbe in der Strebe c ebenfalls Druck und in b einen Zug, vermehrt folglich die Wirkungsweise von P_2 , wie aus Fig. 12 zu erkennen ist, welche durch Deckung der Figuren 7 und 9 entstanden. Wenn man auf diese Weise jeden Knotenpunkt für sich untersucht, so wird man finden, daß jede rechts vom Strebenpaare b und c ruhende Last in c Druck und in b Zug hervorruft, daß hingegen das Umgekehrte eintritt, wenn man den ersten Knotenpunkt belastet. Eine in A_1 angreifende Last erzeugt in b Druck, in c hingegen Zug. Es wird demnach in c das Maximum des Druckes eintreten, wenn man nur solche Lasten anbringt, die in c Druck und keine, welche Zug erzeugen, d. h., wenn man sämtliche von c rechts liegenden Knotenpunkte belastet, d. h., wenn die Last vom 2. Knotenpunkte B_1 bis zum letzten G_1 reicht. Hierbei tritt gleichzeitig für die Strebe b das Maximum des Zuges auf.

Ferner wird in der Strebe c die größte Zugkraft auftreten, wenn man nur solche Knotenpunkte belastet, die in c

g erzeugen, und keine, welche Druck hervorrufen; das ist der Fall, wenn man den ersten Knotenpunkt links für sich allein belastet, und erreicht hiermit auch die Strebe b ihren größten Druck.

Da ferner alle Lasten von C_1 bis G_1 in der Strebe e Druck erzeugen, hingegen die links liegenden, also in A_1 und c in ihr Zug hervorrufen, so erfolgt die Maximaldruckkraft e, also E_{\max} , wenn die Brücke von C_1 bis G_1 und das Maximum, wenn nur A_1 und B_1 belastet sind. Bei totaler Belastung hat man demnach in e die Differenz des Druck- und Zugmaximums.

Bei der Strebe f tritt das Maximum von Zug auf, wenn man von D' bis G' , und das Maximum von Druck, wenn man von A bis C_1 belastet.

Es geht hieraus hervor, daß die größten Kräfte in den Streben nicht bei Totalbelastung auftreten, sondern bei einseitiger Belastung der Brücke und ferner, daß für jede Strebe speciell die ungünstigste Belastungsart aufzusuchen ist, und es für die hieraus hervorgehenden Kräfte die Querschnitte berechnen sind.

Nachdem man erkannt hat, bei welcher Vertheilung der Lasten die ungünstigsten Kräfte auftreten, ist es nun leicht, dieselben ihrer Größe nach zu bestimmen, sobald man sich innert aus den Elementar-Figuren 1 und 5, Taf. 31, daß die Strebenkraft eine Componente derjenigen Verticalkraft ist, welche durch die Strebe nach dem Auflager übertragen wird.

Geht man daher wieder zu Fig. 1 auf Taf. 32. In der Strebe a tritt Maximaldruck ein bei totaler Belastung, d. h., wenn sämtliche Knotenpunkte belastet sind, dann ist nach dem Früheren $A_3 A_6$ der linke Auflagerdruck; derselbe geht durch a hindurch, folglich ist $A_3 A_7 = 74$ Tons die größte Druckkraft.

Wenn sämtliche Knotenpunkte von B_1 bis G_1 belastet werden, so tritt in c der größte Druck, in b der größte Zug auf. Dieser neuen Belastungsweise entspricht der Auflagerdruck $B_3 B_6$, folglich ist die größte Kraft in c $= B_3 B_7 = 16,5$ Tonnen und in b die größte Kraft $= B_3 B_8$.

Ebenso sind bei rechts abfahrendem Zuge $D_3 D_7 = \pm 24,5$ Tons die größten Kräfte für die Streben f und g.

Auf diese Weise wurden für jede Strebe die Kräfte bestimmt und für den nach rechts abfahrenden Zug oben in Fig. 1 eingeschrieben. Macht man die gleiche Operation mit dem nach links abfahrenden Zug, so erhält man die umkehrten Maxima, welche in der unteren Reihe eingeschrieben sind, und man sieht, daß in der Strebe c, je nach der Stellung der Lasten, ein Druck bis zu 54,5 und ein Zug bis zu 8 Tons auftreten können.

Bei totaler Belastung rufen die rechts von der Strebe ruhenden Lasten einen Druck von 37,5 Tons, die links hängenden eine Zugkraft von 6,2 Tons hervor, mithin herrscht im Zusammenwirken, das ist bei der Totalbelastung, deren

Differenz, oder $37,5 - 6,2 = 31,3$ Tons. In der mittleren Reihe sind die Werthe für totale Belastung eingeschrieben und bilden diese die algebraischen Summen der Maximalkräfte. In Fig. 2 ist dieses auch graphisch für das Strebenpaar d und e durchgeführt. Es ist $CC_7 = C_3 C_7 - F_3 F_{11} = 31,3$ Tons.

Die Strebenkräfte bei Totalbelastung können auch direct gefunden werden. Für Totalbelastung ist HH_7 der linke Auflagerdruck. Dieser entsteht, wie schon einmal nachgewiesen, aus den Kräften $P_1 + P_2 + P_3 +$ einem aliquoten Theile NH_7 von der Last P_4 ; folglich liegt der Trennungspunkt im Angriffspunkte von P_4 , das ist in D_1 . Schneidet man den Balken in D_1 durch und bildet zwei angelehnte Träger, so wird die Verticalkraft NH_7 durch f und g geleitet und ist $NH_8 = 11$ Tons die Strebenkraft. Ferner wird MH_7 durch e und d geleitet, als $MH_8 = 31,3$ u. s. w., und ist endlich $HH_{11} = A_3 A_7 = 74$ die Strebenkraft von a.

Nimmt man wieder Fig. 6 auf Taf. 32 und belastet sie gleichmäßig auf allen Knotenpunkten, so liegt der Trennungspunkt der Brücke in der Mitte, die Lasten P_1 bis $\frac{P_4}{2}$ gehen nach dem linken Auflager, indem $\frac{P_4}{2}$ als Verticalkraft durch DD' , ferner $P_3 + \frac{P_4}{2}$ als Verticalkraft durch CC' u. s. w. übertragen werden, und sind somit die Strebenkräfte für Totalbelastung direct ersichtlich.

§. 13. Einfluß des Eigengewichtes.

Wenn man zwei an sich gewichtlose congruente Balken, Fig. 1 und Fig. 4 auf Taf. 32, auf eine beliebige Weise belastet, bei jedem Balken die Kräfte bestimmt, darauf die Balken nebeneinander stellt und vernietet, so daß sie nur einen Balken bilden, so vereinigen sich auch die in den einzelnen Gliedern herrschenden Kräfte, und man hat hier eine Methode, um einen Balken zu untersuchen, bei welchem ein Theil der Lasten ruht, währenddem ein anderer Theil sich bewegt.

In Fig. 1 ist ein Balken dargestellt, welcher in jedem Knotenpunkte mit $P = 20$ Tons belastet ist, und es sind für den Fall der Totalbelastung die Kräfte eingeschrieben.

In Fig. 4 ist ein dem obigen congruenter Balken dargestellt, der in jedem Knotenpunkte mit $p' = 10$ Tons belastet ist, wobei man sich unter p , das Eigengewicht der Brücke per Knotenpunkt vorzustellen hat. In Fig. 7 ist die graphische Zerlegung gemacht, und sind in Fig. 4 die gefundenen Kräfte eingeschrieben; dieselben sind halb so groß, wie die soeben in Fig. 1 erwähnten Kräfte, und stellen somit die durch das Eigengewicht hervorgebrachten Kräfte vor. Bei jedem der Balken ist in den Gurtungen das Maximum eingetreten (in den Streben hingegen nicht, mit Ausnahme der

(Endstreben). Werden beide Balken vereinigt, so bilden dieselben einen einzigen Balken, welcher in jedem Knotenpunkte mit $P + p$ belastet ist (Fig. 5) und es herrschen sowohl in den Gurtungen, wie auch in den Endstreben a und o die größten Kräfte, die überhaupt darin auftreten können, und sind für diese Kräfte die Querschnitte zu bestimmen.

In $B_1 C_1$, Fig. 5, herrscht die Kraft

$$68 + 34 = 102 \text{ Tons.}$$

In Fig. 8 ist diese Summation auch graphisch vollzogen worden, indem man die beiden Momentenflächen aus Fig. 2 und Fig. 7 summirte.

Die Kraft von 117,9 Tons in CD , Fig. 5, ist die Summe von 78,5 Tons aus 39,3 Tons aus den Figuren 1 und 4.

Nun ist aber $78,5 \text{ Tons} = \frac{1}{h} \times C_4 C_5$ in Figur 2 und $39,3 \text{ Tons} = \frac{1}{h} \times C_4' C_5'$ in Figur 7, mithin entstand deren Summe $(78,5 + 39,3) \text{ Tons}$ aus $\frac{1}{h} \cdot (C_4 C_5 + C_4' C_5')$, welche Größe man in Fig. 8 direct abgreifen kann als $C_5 C_5$. Durch Deckung der beiden total belasteten Gitter erhält man sämtliche Gurtenträfte nebst den Kräften der Endstreben. Um für die übrigen Streben die Maximalkräfte zu erhalten, läßt man die Lasten der Fig. 4 unverändert, rückt hingegen sämtliche Lasten von Fig. 1 um einen Knotenpunkt nach rechts, d. h. man belastet alle Knotenpunkte von B_1 bis G_1 und weiß dann, daß im Strebenpaare b und c die Maximalkräfte $-54,5$ und $+54,5$ auftreten.

Man vereinigt wieder beide Balken und erhält in den Streben b und c die Kräfte $-26,35 + (-54,5) = -80,85$ und $+80,85$ als die größten Kräfte, welche darin vorkommen können.

Man läßt wieder die Lasten in Fig. 4 ruhen und verschiebt in Fig. 1, so daß alle Punkte von C_1 bis G_1 belastet sind; dann treten in den Streben d und e max. auf, und zwar $-37,5 \text{ Tons}$ und $+37,5 \text{ Tons}$. Nach Vereinigung beider Balken zu Fig. 5 herrschen in den Streben c und d die Maximalkräfte $-37,5 + (-15,65) = -53,15$ und $+53,15$.

Indem man nach und nach in Fig. 1 die Lasten abfahren läßt, erhält man die Maximalstrebenkräfte in Fig. 5, und sind dieselben oben an jeder Strebe eingeschrieben.

Man stellt sich nun vor, daß eine jede Brücke, wie Fig. 5, aus zwei congruenten gewichtlosen Theilen besteht, und daß der eine Theil, Fig. 4, die ruhende Last und der andere Theil, Fig. 1, die bewegliche Last nach den Auflagern zu übertragen hat.

Ähnlich wie man von einem Eigengewicht der Brücke spricht und einer zufälligen Last, so kann man auch die durchs

Eigengewicht hervorgerufenen Kräfte die Eigenkräfte im Gegensatz zu den zufälligen Kräften. Vergleicht man die Fig. 4 und 5, so sieht man, daß die Eigenkraft der C von 26,35 gesteigert wird bis auf 80,85, daß ferner Eigenkraft der Strebe h aus einem Drucke von $+5$, in eine Zugkraft von -8 Tons umgewandelt wird gleichzeitig $+5,5$ und $-13,5$ darin auftreten, daß in den Streben k, l, m und n die Eigenkräfte kleinert werden, so daß aus 15,65 Tons in Fig. 4 9,45 werden u. s. f. und entnimmt man daraus, daß Streben $a - g$ die Eigenkräfte durch die zufälligen ver und von h bis n die Eigenkräfte durch die zufälligen kleinert werden, und daß diese Verkleinerung so weit kann bei einigen Streben, daß Zug und Druck in und Zug umgewandelt werden können, wie dieses in Streben h und i der Fall ist, in Fig. 5.

Vergleicht man ferner die Kräfte beider Figuren ihrer Art, so findet sich, daß in allen Streben der F in welchen vermöge des Eigengewichtes Druck und Zug sind, auch nach Eintreten der zufälligen Last nach Druck Zug herrschen, mit Ausnahme des Strebenpaares h in welchem der Eigendruck und Eigenzug in Zug und umgewandelt werden.

Währenddem man also in Fig. 4 die Streben b, i, l und n aus Seilen erstellen kann, muß man in das EE , auch steif, d. h. als Stab construiren, weil Druck und Zug wechseln.

Wenn man mit den gleichen Versuchen nochmals beginnt, nur mit der Abänderung, daß die zufällige Last mal nach links abfährt, so erhält man natürlich die Erscheinungen, nur in umgekehrter Reihenfolge, und die auftretenden Maximalkräfte ebenfalls eingeschrieben, um am Fuße einer jeden Strebe; diesmal wird der Kraft in dem Strebenpaare f und g auftreten, so daß über die Streben f, g, h und i für Druck und Zug kommen werden müssen, und werden dieses Mal die Eigenkräfte rechts liegenden Streben durch die zufälligen Kräfte ver währenddem die Eigenkräfte der links liegenden Streben Veränderung erleiden. In einer beliebigen Strebe, z in welcher die Eigenkraft Druck 15,65 Tons herrscht derselbe bis auf 9,45 Tons abnehmen und bis auf 10 Tons zunehmen, und finden demnach in derselben Differenzen bis zu $53,15 - 9,45 = 43,70 \text{ Tons}$ statt.

Faßt man Alles noch einmal zusammen, so findet man, daß beim gewichtlosen belasteten Balken (z. B. Fig. 5) jeder Strebe (mit Ausnahme der Endstreben) sowohl als auch Zug eintreten kann, je nach Stellung der Last und demnach jede Strebe als Stab construirt werden kann, wenn eine Last über die Brücke soll fahren können, dagegen bei einem Balken, welcher ein eigenes Gewicht hat, der Zug- und Druckwechsel nur noch in einzelnen

Mitte stattfindet, während die übrigen Streben nur id nur Zug auszuhalten haben.

in das Eigengewicht sehr groß ist im Verhältniß zur Last, so kann der Fall eintreten, daß in gar keiner mehr ein Wechsel der Kräfte-richtung stattfindet, während im umgekehrten Falle bei verhältnißmäßig kleinem nicht sich die Richtungsänderung der Kraft auf viele erstrecken wird.

n kann nun direct die vier interessanten Kräfte für e, z. B. e, bestimmen:

anspruchung durch Eigengewicht = + 15,65,
ste Druckkraft + 15,65 + 37,5 = + 53,15. Zug
reicht von C' bis G',

inste Druckkraft 15,65 - 6,2 = 9,45. Zug reicht
von A' bis B',

talbelastung 15,65 + 37,5 - 6,2 = + 46,95.

8 hier mit Zahlen herausgefunden wurde, kann man
t graphisch erzielen, und zwar wie folgt:

Maximalkraft der Strebe e besteht aus den Theilen
Fig. 2, und aus 2p in Fig. 7; beide Größen sind

Componenten der Verticalkräfte C₃ C₆ in Fig. 2
in Fig. 7; wenn man daher die Verticalkräfte
zu C₆ C₇ in Fig. 8, so muß C₇ C₈ auch die Summe
benkräfte vorstellen.

beträgt die Länge C₇ C₈ = 53,15 Millimeter und
diese Länge einer Kraft von 53,15 Tons; somit
man nun endlich zur vollständigen graphischen Kräfte-
ng für eine auf zwei Punkten aufliegende Brücke.

Erklärung der Figur 8.

der Linie A₀ H gleich der Brückenlänge l errichtet
: Senkrechte H H₃, trägt auf dieser die Lasten auf
struirt das Seilpolygon A₀ A₃ B₄ ... H₃ nebst der
ie A₀ H₃, wodurch man die Momentenfläche der
Last erhält. Zu dieser addirt man die besonders
Momentenfläche des eigenen Gewichtes, Fig. 7, wo-
3. A₀ A₃ B₄ C₃ ... H₃ A₀ entsteht, und erhält hier-
Totalmomentenfläche, aus welcher die Gurtungskräfte
hmen sind. Ferner trägt man die Ordinaten A₃ A₆,
B₃ E₆, G₃ G₆ auf und addirt, resp. subtrahirt die
ngewichte entsprechenden Verticalkräfte A₃ A₇, B₃ B₇,
C₃ C₇, G₃ G₇, wodurch man deren algebraische Summen
C₆ C₇, E₆ E₇, G₆ G₇ erhält, aus welchen dann die
strebekräfte A₇ A₈, D₇ D₈, G₆ G₈ abzuleiten sind.

Kräfte eines beliebig belasteten Trägers.

n hat bisher die Maximalkräfte eines Trägers be-
wie dieselbe in jedem einzelnen Theile nach einander
enieur XX.

auftreten und welche maßgebend sind zur Bestimmung der
Dimensionen.

Untersucht man nun einmal, welche Kräfte gleichzeitig
auftreten, wenn man einen Balken auf ganz beliebige Weise
belastet. Es sei der Balken, Fig. 1 auf Tafel 33, mit den
Lasten P₁ bis P₄ belastet und sei sein Eigengewicht gleich
dem des Balkens, Fig. 4 auf Taf. 32.

Man construirt in der bekannten Weise das Seilpolygon,
Fig. 2, Taf. 33, für die zufälligen Lasten und reducirt die
unter die Knotenpunkte fallenden Ordinaten, wie p₂ mit
 $\frac{1}{h}$, mit Benutzung der Fig. 3, mißt die erhaltene Gurtungs-
kraft AE = 37 Millimeter = 37 Tons, schreibt diese
ein in die Strecke BC und addirt noch die Eigenkraft 29,2
Tons auf Fig. 4, Taf. 32, hinzu, um die wirkliche Kraft
66,2 Tons zu erhalten.

Zur Bestimmung der Strebekräfte sucht man den Punkt,
in welchem der Balken in zwei anlehende Träger aufgelöst
werden kann. — Dieser Punkt kann auf zwei verschiedene
Arten gefunden werden. Erstens als Maximalmomenten-
punkt mit Hilfe der Linie YY parallel zur Schlußlinie
A₀ H₃, welche durch den Angriffspunkt C₄ der Kraft P₃
hindurchgeht; zweitens mit seiner Eigenschaft als Punkt, in
welchem die Verticalkraft durch Null hindurchgeht. Der
Auflagerdruck links hat die Größe H₀ H₃ und entsteht aus
den Lasten H₀ 1, 1 - 2, und einem aliquoten Theile 2 H₃
der Last P₃ = 20 Tons.

Es liegt demnach der Trennungspunkt in C₁ in dem
Angriffspunkte der Last P₃, und wird H₀ H₃ = A₀ H₄ nach
links und der Rest H₃ 4 = H₄ 4 nach rechts übertragen
und zwar so, daß 2 H₃ = 12,0 Tons durch die Strebe CC₁
und 1 H₃ = 33,0 Tons durch BB₁ und A'B und endlich
A₀ H₇ = 54,0 Tons durch AA' geleitet werden.

Ebenso geht H₄ K₀ = 9,0 Tons durch sämtliche
Streben von C'D bis FF', und H₄ J₀ = 30 Tons durch
die der letzten Streben.

Da der Trennungspunkt in C₁ ist und die Last ober-
halb angreift, haben die zunächst liegenden Streben Druck,
die nächsten Zug, die folgenden wieder Druck u. s. f. Die
Strebekräfte der zufälligen Last sind am oberen Ende der
Streben eingeschrieben. Zu diesen Lasten ist der Einfluß des
Eigengewichtes, aus Fig. 4, Taf. 32, addirt, in der Mitte
jeder Strebe eingeschrieben und sind somit sämtliche Kräfte,
wie dieselben gleichzeitig auftreten, hiermit bestimmt.

§. 15. Einfluß der Querträger.

Die bisher gefundenen Resultate sind vollkommen richtig
für die zu Grunde gelegte Belastungsweise, welche darin be-
steht, daß erstens die Entfernung der Lasten gleich der Ent-
fernung der Knotenpunkte ist, und daß zweitens eine jede

Last sich direct über einem Knotenpunkte befindet, Bedingungen, welche höchstens bei Constructionen mit ruhenden Lasten erfüllt sein können.

In der Wirklichkeit aber werden diese Bedingungen gar nicht erfüllt. Die relativen Entfernungen der Lasten stehen in gar keinen Beziehungen zu der Maschenweite der Brücke und befinden sich ferner die Lasten nicht nur über, sondern auch zwischen den Knotenpunkten.

Um sich an eine gewisse Vorstellungsweise zu binden, sei Fig. 4, Taf. 33, ein Träger, welcher auf seinen Knotenpunkten ein System von Längsträgern trägt, über welche dann erst die bewegliche Last P geleitet wird. Die Wirkungsweise eines Längsträgers erhellt aus folgender Betrachtung:

Wenn eine Last P über einem Knotenpunkte C_1 steht, so nimmt sie derselbe vollständig auf; in dem Momente, in welchem die Last P den Längsträger T_4 betritt, wird dieselbe auf die beiden Knotenpunkte C_1 und D_1 übertragen; die Last P löst sich in zwei Auflagerdrücke (a_1 und b_1) auf, welche auf die beiden Knotenpunkte C_1 und D_1 wirken, und es ist geradezu so, als ob die Last P gar nicht vorhanden wäre, sondern zwei Lasten, a_1 und b_1 , welche in den Punkten C_1 und D_1 der Brücke aufrufen. In dem Maße nun, als P von links nach rechts fortschreitet, nimmt a_1 beständig ab und b_1 beständig zu, bis zuletzt P vollkommen über dem Knotenpunkte D_1 ruht.

Tritt die Last auf den folgenden Träger T_5 , so löst sie sich von Neuem in zwei Auflagerdrücke auf, von welchen der linke Druck a_2 stets abnehmen und der rechte Druck b_2 stets zunehmen wird, bei rechts fortschreitender Last.

Indem also eine Last die Strecke $C_1 D_1 E_1$ zurücklegt, übt sie auf den Knotenpunkt D_1 einen Druck aus, der mit Null beginnt, dann allmähig zunimmt bis zur Größe P , und dann wieder allmähig abnimmt bis auf Null; gleichzeitig ist damit ein periodisches Auflösen der Last in zwei Theile und Wiederconcentriren der Theile zu einer einzigen Last verbunden.

Bisher hat man nur den Einfluß einer Last bestimmt, wenn sie sich direct über den Knotenpunkten befindet; ein Fall, der eintritt, wenn ein Fußgänger derart über die Brücke sich bewegt, daß er mit jedem einzelnen Schritte stets einen Knotenpunkt zurücklegt, und es sollen nun auch die Kräfte der Zwischenstufen untersucht werden, und zwar sowohl für die Gurtungen, als auch für die Streben.

§. 16. Bestimmung der Gurtungskräfte bei Brücken mit Längsträgern.

Man belastet eine Brücke vollständig mit den Lasten P_1 bis P_n , so daß kein Rad mehr darauf kommen kann, bestimmt den Druck auf jeden Knotenpunkt und zeichnet für die so erhaltenen neuen Lasten das Seilpolygon.

Sollte es sich treffen, daß der Zug noch etwas ver werden kann, ohne daß ein neues Rad hinzu kommt, daß ein vorhandenes die Brücke verläßt, so verschieben den Zug ein wenig, bestimmt von Neuem die Drücke Knotenpunkten und construirt ein neues Seilpolygon. man so innerhalb der Grenzen der möglichen Verschiebung mehrere solche Seilpolygone construirt und deren Umhüllung aufsucht, so erhält man die größten Momente, welche hauptsächlich auftreten können; es ist hier nur die Methode angedeutet, ohne ein Beispiel zu zeichnen.

§. 17. Einfluß der Querträger auf die Streben.

In Fig. 4 auf Taf. 33 ist ein mit Quer- und Längsträgern versehener Balken gezeichnet; derselbe ist mit 10 Tons gleichmäßig belastet, resp. mit 10 Tons per laufenden Meter, und dabei angenommen, daß die Last eine einzeln zusammenhängende Masse bilde. Beim Austragen des Seilpolygons wurde die Belastung betrachtet, als ob es 14 gleich vertheilte Einzellasten à 10 Tons seien, und entspricht die angenäherte Momentenfläche sehr genau der wirklichen und können aus ihr ebenfalls die Auflagerdrücke für verschiedene Verschiebungen der Last abgeleitet werden.

So bedeutet $A_0 A_{14}$ den Auflagerdruck bei totaler Belastung, ebenso $C_7 C_{14}$ den linken Auflagerdruck, wenn der Zug von C_7 bis ans rechte Widerlager reicht, d. h. er die Lage γ einnimmt. (Fig. 4^a).

Für eine beliebige Stellung des Zuges, z. B. von dem Knotenpunkte D_1 bis ans rechte Ende ist $D_3 D_4 = HD$ der linke Auflagerdruck, mithin $HD_{12} = 18,5$ Tons die Kraft in $C_1 D$ und DD' , und sind für sämtliche Kräfte auf diese Weise bestimmt und in Fig. 10 oben Reihe eingeschrieben worden, und zwar jedesmal unter der bestimmten Voraussetzung, daß die Lasten von dem Knotenpunkte bis ans andere Ende reichen. Nun auch die Zwischenstufen zu untersuchen, giebt man den Zug die Lage δ , Fig. 4^a, bei welcher die vordersten Lasten sich zwischen den Knotenpunkten C_1 und D_1 befinden, dem Längsträger T_4 ruht alsdann eine Last von der Größe $E_1 D_1$ (siehe Fig. 6). Dieser Längsträger bildet wieder einen Balken, der die darauf liegende Last nach links und rechts vertheilt; ist dieser Balken vollständig belastet, ist $C_2 D_2$ seine Momentenfläche (siehe Fig. 7) und $C_2 D_2 D_3$ der linke Auflagerdruck. Nimmt ferner die Last die Stellung $E_1 D_1$ ein, so stellt $a\beta$ den linken Auflagerdruck vor. Dieses Miniaturseilpolygon wurde auf einer Basis $b = C_1 D_1$ gezeichnet, die Lasten mit einem Gewicht von 10 Tons aufgetragen und bedeutet demnach die Linie $a\beta = 4,5^{\text{mm}}$ einen Druck von 4,5 Tons, welche der Längsträger T_4 auf sein linkes Auflager, d. h. auf den Knotenpunkt C_1 äußert, wenn er auf die Länge $E_1 D_1$ be-

Für die eben betrachtete Zugstellung δ , Fig. 4^a, bedeutet $D_7 D_{14}$ den Auflagerdruck am linken Widerlager und b derselbe durch die Streben in der bekannten Weise tragen.

Da nun die Verticalkraft $\alpha\beta$ aus Fig. 7 direct auf dem Knotenpunkt C_1 ruht (in Fig. 4) und von da nach dem linken Auflager verläuft, so übertragen die Streben $C'D$ und DD' nur noch die Differenz $D_7 D_{14} - D_6 D_{14} = D_7$, wobei $D_6 D_{14} = \alpha\beta$; macht man nun $A_0 D_9 = D_7$, so stellt $A_0 D_{10}$ die Strebenkraft in $C'D$ und DD' für die bereits besprochene Zugstellung.

Auf diese Art fährt man nun weiter fort; man verleiht den Zug ein beliebiges Stück, bestimmt seine neue Lage auf dem Längsträger, ermittelt den linken Auflagerdruck des Längsträgers mit Hilfe von Fig. 7, zieht den gefundenen Werth vom Gesamtauflagerdruck ab und bestimmt die Curve $D_4 D_6 D_{15}$. Mit Hilfe einer Tangente ermittelt man dann die größte Ordinate $D_6 D_7$, aus dieser findet man in die größte Strebenkraft in $C_1 D$ und DD' , sowie die Zugstellung δ , Fig. 4^a, bei welcher das Maximum in dem betreffenden Strebenpaare eintritt, und man sieht, daß bei einer continuirlichen Last und auf einer Brücke mit Quergittern in einem beliebigen Strebenpaare das Maximum dann erreicht wird, wenn die Last sich zwischen den entsprechenden Knotenpunkten, zu welchen die Streben gehören, befindet.

Auf diese Weise ergeben sich die Verticalkräfte $A_0 A_6$, B_6 , $C_7 C_6$, $E_7 E_6$ und $F_7 F_6$ als größte Verticalkräfte die Streben a , b und c , für d und e und f , oder $A_{10} = 68$ Tons, $A_0 B_{10} = 53,5$ Tons, $A_0 C_{10} = 37$ Tons als größte Kräfte in den Streben a , b und c , und e . Um demnach die Strebenkräfte für die zufällige Last zu bestimmen, hat man diejenigen Ordinaten zu zerlegen, welche zwischen der Linie $A_0 H$ und der Treppenlinie mit den gehöhrten Stufen $A_6 A_4$, $B_6 B_4$, $C_6 C_4$ u. s. f. liegen.

In Fig. 10 sind nun die Strebenkräfte eines rechts abfahrenden Zuges numerisch zusammengestellt, und zwar in der oberen Reihe für den Fall, daß der Zug je von einem Knotenpunkte bis ans rechte Ende reicht, und in der unteren Reihe für den Fall einer Ueberschreitung des Knotenpunktes zur ungünstigsten Lage, welche in Fig. 4^a für jedes Strebenpaar schematisch angedeutet ist.

Wenn man nun zu diesen Kräften der zufälligen Last b die Kräfte des Eigengewichtes addirt, so ist die Aufgabe vollständig gelöst zu betrachten. Da der Balken der Zug ist, wie Fig. 4 auf Taf. 32, so kann man dessen Werthe fürs Eigengewicht direct verwenden und erhält die Fig. 4, Taf. 33, oben und unten an den Streben eingezeichneten Werthe. In Fig. 10 ist der größte Druck in $\gamma = 36$ Tons; hierzu die Eigengewichtskraft von 15,6 Tons macht 51,6 Tons.

Man macht auch hier wieder die gleiche Beobachtung,

daß in einzelnen Streben Zug und Druck wechseln können, und zwar tritt dieses ein bei den Streben h und i bei Rechtsabfahrt der Lasten.

Da der erste und der letzte Längsträger direct Lasten auf die Widerlager abgeben können, von denen folglich die Brücke nichts spürt, so sind die gefundenen Werthe für die Auflagerdrücke nicht absolut richtig. Das Gleiche gilt auch von den algebraisch aufgestellten Werthen, welche unter der gleichen Voraussetzung aufgestellt wurden und später nachfolgen.

Anstatt die Eigenkräfte besonders auszurechnen und dann zu den zufälligen Kräften zu addiren, können beide Operationen gleichzeitig, und zwar graphisch gelöst werden. Das Eigengewicht der Brücke beträgt per Knotenpunkt 10 Tons, folglich beträgt der Verticaldruck für die Endstreben a und c 35 Tons, für die Streben b und e und m und n 25 Tons, für d und f und k und $l = 15$ Tons, und endlich für die Streben g und i , sowie h und j nur 5 Tons.

Bei rechts abfahrendem Zuge verstärken die zufälligen Lasten die Wirkungen des Eigengewichtes für die gesammte linke Trägerhälfte und vermindern dessen Einfluß für die rechte Trägerhälfte. Demzufolge hat man zu den Ordinaten der Fläche $A_0 A_3 A_4 A_6$, welche die verschiedenen Verticalkräfte der Strebe a vorstellen, je eine Ordinate addirt, welche den Einfluß des Eigengewichtes repräsentirt, und erhielt die Fläche $A_0 A_3 A_6 A_8$, wobei $A_0 A_8 = 35$ mm.

Die Maximalkraft in der Strebe a , das ist $A_8 A_{13}$, setzt sich demnach zusammen aus der Kraft $A_0 A_{10} = 68$ Tons, welche von der zufälligen Last herrührt, und aus $A_8 A_{14} = 37$ Tons, welche vom Eigengewicht herrühren, und wird überhaupt dargestellt $A_8 A_{13} = 105$ Tons. Ebenso stellt $C_8 C_{13} = 52,5$ Tons die Maximalkraft im Strebenpaare d und e vor. Die Strebenkräfte für Eigengewicht und zufällige Last findet man demnach durch Zerlegung der Ordinaten der ganzen Fläche, welche zwischen die beiden Treppenlinien fällt.

Zur Bestimmung der Maximalkräfte in den Streben dienen demnach die Ordinaten:

Namen der Strebe.	Für die zufällige Last.	Fürs Eigengewicht.	Für zufällige Last und Eigengewicht.
$A A'$ oder a .	$A_0 A_6$	$A_0 A_8$	$A_8 A_6$
$A'B$ und BB' oder b und c	$B_6 B_7$	$B_7 B_8$	$B_8 B_6$
$B'C$ und CC' oder d und e	$C_6 C_7$	$C_7 C_8$	$C_8 C_6$
$C'D$ und DD' oder f und g	$D_6 D_7$	$D_7 D_8$	$D_8 D_6$
$D'E$ und EE' oder h und i	$E_6 E_7$	$-E_7 E_8$	$E_8 E_6$
$E'F$ und FF' oder k und l	$F_6 F_7$	$-F_7 F_8$	$-F_8 F_6$
$F'G$ und GG' oder m und n	$G_6 G_7$	$-G_7 G_8$	$-G_8 G_6$

Dabei sind in Fig. 4^a für jedes einzelne Strebenpaar die ungünstigsten Stellungen der Last angegeben. Für die Endstrebe a muß die ganze Brücke belastet sein; für das Strebenpaar b und c muß die Last die Länge β haben, für die Streben c und d die Länge γ in Fig. 4^a. Wie die Rechnung später zeigen wird, muß für die Streben b und c der Träger T_2 bis auf $\frac{11}{12}$ seiner Länge belastet sein; für die Streben d und e muß der Träger T_3 auf $\frac{9}{12}$ seiner Länge belastet sein; bei T_4 findet dieses statt bei $\frac{7}{12}$ Ueberdeckung u. s. f.

Zur Erklärung der in vorliegender Figur auftretenden negativen Flächen, sei in Kürze noch Folgendes wiederholt:

Nach der im Eingang dieser Abhandlung erörterten Anschauungsweise läßt sich jeder Balken als eine Zusammenstellung von zwei angelehnten Trägern betrachten. Der Trennungspunkt des Balkens liegt im Angriffspunkte derjenigen Kraft, in welcher der Auflagerdruck Null wird, oder durch Null hindurchgeht: in diesem Punkte herrscht das Maximalmoment für die jeweilige Belastungsart, und hat der Punkt die Eigenschaft, daß alle links von ihm liegenden Lasten nach dem linken, alle rechts von ihm liegenden Lasten nach dem rechten Auflager übertragen werden.

Es werde die Brücke nur vom Knotenpunkte B_1 bis ans rechte Ende belastet, dann ist $B_3 B_4$ der linke Auflagerdruck, da $B_3 B_4$ größer ist, als die Last auf dem Knotenpunkte $B_1 = B_4 C_{15}$, so muß auch der Maximalmomentenpunkt mehr im Innern des Balkens liegen.

Die Last des Knotenpunktes B_1 , das ist $B_4 C_{15}$, liegt demnach links vom Trennungspunkte und geht direct durch die Streben a, b und c nach dem linken Auflager, mithin ist $B_3 B_4$ die Verticalkraft für die Streben a, b und c, und $B_3 C_{15}$ die Verticalkraft für die Streben d und e; und zwar haben die nach rechts ansteigenden Streben a, c und e Druck, während b und d Zug haben. Führt der Zug etwas nach rechts, z. B. in die Lage γ , Fig. 4^a, so ist wiederum $C_7 C_{14}$ die Verticalkraft für die Streben a, b und c und $C_6 C_7$ für d und e. Da auch das Eigengewicht der linken Brückenhälfte nach dem linken Auflager übertragen wird, so verstärken sich folglich die Wirkungen von Eigengewicht und zufälliger Last. Die gleichen Betrachtungen gelten auch für die Streben d und e und f und g. Wenn die Brückenlast vom Knotenpunkte D_1 bis ans rechte Auflager reicht, so ist $D_3 D_4$ der linke Auflagerdruck und $D_4 E_{15}$ die Last auf dem Knotenpunkte D_1 ; für die Streben f und g ist $D_3 D_4$ die Verticalkraft, oder $D_4 D_5$ unter Berücksichtigung des Eigengewichtes; für die Streben h und i ist $D_3 E_{15}$ die Verticalkraft, welche durch das Eigengewicht, das von der Mitte der Brücke aus jetzt nach dem rechten Auflager übertragen wird, auf die Länge $D_{15} E_{15}$ reducirt wird. Diese Kraft nimmt bei weiter fahrender Last wieder zu, bis zum Maximum $E_6 E_8$, und von da wieder ab, bis auf $E_6 E_4$.

Beständig hat aber die rechts ansteigende Strebe Druck, die links ansteigende Zug. Im nächsten Felde, wenn die Belastung vom Knotenpunkte E_1 bis G reicht, ist der linke Auflagerdruck $E_3 E_4$ kleiner, als die Last $E_4 F_{15}$, welche auf dem Knotenpunkte E_1 ruht; folglich entsteht der linke Auflagerdruck einzig und allein aus einem Bruchtheile der Knotenpunkte E_1 ruhenden Last und geht ein Theil der Last $E_4 E_{15}$, nämlich der Antheil $E_3 E_4$, nach dem linken Auflager und der Rest, nämlich $E_3 F_{15}$, nach dem rechten Auflager, mithin haben die beiden Streben i und k Druck und l und h Zug. Also jetzt hat zum ersten Mal die rechtsansteigende Strebe Zug, nämlich die Strebe l. Hier sind $E_3 E_4$ und $E_3 F_{15}$ die Verticalkräfte für h und i und k und l. Unter Berücksichtigung des Eigengewichtes ist $E_4 E_5$ die Verticalkraft für die Streben h und i und $F_{15} F_{16}$ für die Streben k und l, aber wie schon bemerkt, so, daß k Druck und s Zug erhält. Rücken die Lasten ein wenig nach rechts in die Stellung $H F_{16}$, Fig. 5, so ist der linke Auflagerdruck $E_4 F_{16}$ ebenso groß, wie die Knotenpunktlast auf E_1 . Folglich geht dieselbe ganz nach dem linken Auflager, die Lasten vom nächsten Knotenpunkte F_1 gehen ganz nach dem rechten Auflager und die Streben k und l sind vollständig entlastet.

Mit dem Eigengewichte vereinigt ist $F_{16} F_{17}$ die Verticalkraft für die Streben k und l, wobei k Druck und l Zug hat. Schreiten die Lasten weiter vor, etwa in die Stellung $F_{19} H$, so wird der linke Auflagerdruck $F_{19} F_{21}$ wieder größer als die Knotenpunktlast $F_{20} F_{21}$, und liegt der Maximalmomentenpunkt erst im nächsten Knotenpunkte, entweder in F' oder gar in G' — es gehen also wieder Lasten nach dem linken Auflager und erhält die rechtsansteigende Strebe wieder Druck und die links ansteigende wieder Zug. Da das Eigengewicht $F_{19} F_{22}$ nach rechts die Ordinate, $F_{19} F_{20}$ nach links die Streben durchläuft, so bleibt als Resultat $F_{20} F_{22}$ nach rechts. Wenn man also die Strebenkräfte in k und l betrachtet ohne Eigengewicht, so findet man, daß bei denselben ein Zeichenwechsel stattfindet, wenn die äußerste Last links den Träger T_6 durchfährt; der Zeichenwechsel selbst findet bei der Stellung i in Fig. 4^a statt. Im nächsten Felde der Streben m und n findet ebenfalls ein solcher Zeichenwechsel statt für die Stellung l der beweglichen Last.

Wenn eine zusammenhängende gleichmäßige Last, die von einem Ende der Brücke bis zum anderen reicht, nach einer Seite hin, z. B. nach rechts abfährt, so haben bei den frei liegenden Streben, an denen also die Last schon vorübergefahren ist, die von links nach rechts aufsteigenden Streben stets Druck, die anderen stets Zug, wenn man den Einfluß der zufälligen Last allein betrachtet. Das Maximum der Beanspruchung in dem Strebenpaare eines beliebigen Längsträgers tritt dann ein, wenn derselbe auf eine bestimmte Länge von der Last selbst bedeckt ist. In einigen Feldern

in es sich nun ereignen, daß die Streben bei einer gewissen Umlagerung der Last sogar ganz entlastet werden, nachdem eine Änderung in der Krafttrichtung vorausgegangen ist. Die der zufälligen Last entsprechenden Kräfte in den Streben werden in Fig. 5 auf Taf. 33 aus den Ordinaten abgeleitet, welche zwischen der Geraden A_0H und der bogenförmigen Treppennlinie liegen. An denjenigen Stellen, an welchen die bogenförmigen Treppenstufen die Gerade A_0H überschreiten, herrschen die Kräfte mit umgekehrter Richtung.

An den Schnittpunkten der gebogenen Treppenstufen mit der Linie A_0H sind die Streben ganz entlastet. Bei dem gleichmäßig belasteten Balken, wie es beim Eigengewichte des Balkens vorkommt, haben bei der linken Balkenhälfte rechts ansteigenden Streben Druck, die links ansteigenden Streben Zug. Beim rechten Balkenende haben umgekehrt die rechts ansteigenden Streben Zug, die links ansteigenden Druck; es ist diese Art von Aufeinanderfolge von Druck und Zug der halbe natürliche Anordnung genannt, und wurden bereits früher die durchs Eigengewicht der Brücke hervorgerufenen Kräfte — die Eigenkräfte genannt. Wenn diejenige Kraft einer Strebe durch Hinzutreten einer zufälligen Last verändert, auf Null gebracht, oder in eine Kraft von gegengesetzter Richtung umgewandelt wird, so heißt dieses: „Richtungswechsel“.

Die Strebenkräfte des eigenen Gewichtes, also die Eigenkräfte, werden in Fig. 5 aus den Ordinaten abgeleitet, welche zwischen der Geraden A_0H und der geradlinigen Treppennlinie liegen.

Das verschiedene Verhalten der Streben in beiden Hälften wird dadurch ausgedrückt, daß ein Theil der Treppennlinie oberhalb, der andere unterhalb der Linie A_0H liegt.

Bereinigt man Eigengewicht mit zufälliger Last, so interessieren sich dieselben. Bei rechts abfahrender Last summieren sich in der linken Balkenhälfte die Kräfte, in der anderen Balkenhälfte bilden sich Differenzen; die Eigenkräfte können auf Null werden und ins Entgegengesetzte umschlagen.

Die Strebenkräfte von zufälliger Last und Eigengewicht werden aus den Ordinaten abgeleitet, welche zwischen den beiden Treppennlinien liegen. Bei rechtsabfahrendem Zuge werden in den Feldern der rechten Balkenhälfte die Eigenkräfte bald verstärkt, bald verkleinert durch die zufällige Last, nachdem die bogenförmigen Stufen über oder unter die Linie A_0H fallen. In gewissen Feldern wird sogar die Eigenkraft vollständig vernichtet, und werden die diesen Feldern angehörigen Streben bald auf Zug und bald auf Druck beansprucht.

§. 18. Mathematische Berechnung der Maximalstrebenkraft.

Um das Gesetz der ungünstigsten Lastenvertheilung kennen zu lernen, sei in Fig. 5, Taf. 33, z der Abstand eines beliebigen Knotenpunktes vom linken Auflager, ferner y der Abstand von diesem Knotenpunkte bis zum nächsten Node, und reiche von da aus der Zug, der als gleichmäßig vertheilte Last angenommen wird, bis zum rechten Auflager: es habe also die Last die in Fig. 4^a mit δ bezeichnete Lage. Es fragt sich nun, wie weit muß die Last auf dem Längsträger T_4 , Fig. 4, vorrücken, daß in dem unter ihm liegenden Strebenpaare f und g Maximalkräfte auftreten. Bei der in der Figur aufgezeichneten Lage beträgt der linke Auflagerdruck, wenn p das Gewicht der Last per Längeneinheit bedeutet

$$A = \frac{(1 - z - y)^2 p}{2l}.$$

Dieser wird in Fig. 5 dargestellt durch D_7, D_{14} . Dieser Druck wird vollständig durch die Streben a, b, c, d und e nach dem linken Auflager übertragen, für die Streben f und g muß aber noch der linke Auflagerdruck des Längsträgers T_4 auf den Knotenpunkt C_1 abgezogen werden; derselbe beträgt:

$$a = \frac{(a - y)^2 p}{2a}$$

und wird dargestellt in Fig. 5 durch die Länge D_6, D_{14} . Folglich bleibt der Verticaldruck, welcher durch die Streben f und g übertragen wird, als

$$V = A - a = \frac{(1 - z - y)^2 p}{2l} - \frac{(a - y)^2 p}{2a},$$

und hat derselbe so lange Gültigkeit als

$$\frac{(1 - z - y)^2 p}{2l} \geq \frac{(a - y)^2 p}{2a}.$$

Im Falle der Gleichheit tritt eine vollständige Entlastung des Strebenpaares ein, wie z. B. im Strebenpaar m und n bei der Ordinate G_{14}, G_{15} , ein specieller Fall, der weiter unten noch näher erörtert werden wird.

Die Verticalkraft

$$V = \frac{(1 - z - y)^2 p}{2l} - \frac{(a - y)^2 p}{2a}$$

wird für ein constantes z und ein variables y zum Maximum für

$$y = \frac{a}{1 - a} z$$

und heißt solches, wenn man den Werth für y einsetzt:

$$V_{1 \max} = \frac{1}{2} p \times \frac{(1 - a - z)^2}{1 - a}.$$

Giebt man dem z nach einander die Werthe $\frac{a}{2}, \frac{3}{2}a$, oder

für den x^{ten} Knotenpunkt den Werth $\frac{(2x - 1)a}{2}$ und setzt

für l den Werth na , wobei n die Anzahl der Knotenpunkte bedeutet, so entsteht:

$$y_{\max} = \frac{2x - 1}{2(n - 1)} \cdot a$$

und man sieht, daß die Abstände der Last vom Knotenpunkt in einer arithmetischen Progression zunehmen. Die vorliegende Brücke hat 7 Knotenpunkte, folglich ist $n = 7$ und es tritt die Maximalverticalkraft des Strebenpaares b und c ein für $x = 1$ bei

$$y_1 = A_3 B_7 = \frac{1}{12} a;$$

für das Strebenpaar hinter dem zweiten Knotenpunkte, also für c und d , wird für $x = 2$

$$y_2 = B_3 C_7 = \frac{3}{12} a,$$

für das Strebenpaar f und g

$$y_3 = C_3 D_7 = \frac{5}{12} a \text{ u. f. f.}$$

welche Werthe bereits auch auf graphischem Wege bestimmt wurden.

Betrachtet man den Werth

$$V_1 \max = \frac{1}{2} p \frac{(1 - a - z)^2}{1 - a},$$

so erkennt man gleich, daß er dem linken Auflagerdruck einer Last von der Länge $1 - a - z$ entspricht, welche auf einer Brücke von der Länge $1 - a$ liegt und vom linken Auflager um z entfernt ist. Anstatt also auf mühsame Weise die ungünstigsten Lastenstellungen zu ermitteln, wie in Fig. 5 auf Taf. 33 geschehen ist, hat man nur das Seilpolygon für eine Brücke von der Länge $1 - a$ zu construiren — dann durch Umkehrung die Auflagerdrucklinie zu erstellen und die Ordinate in der Entfernung z abzumessen. Auf diese Weise wird man die Ordinaten $A_0 A_6$, $B_7 B_6$, $C_7 C_6$ u. f. w. auf directem Wege erhalten.

Man kann auch noch auf andere Weise diese Perpendikel direct erhalten. Wenn man, wie es in frühern Kapiteln geschehen ist, zur Berechnung der Strebenkräfte in f und g die Last nur bis an den Knotenpunkt D_1 vorsehen läßt, so erhält man

$$V_2 = \frac{(1 - z - a)^2 p}{2l},$$

mithin aus dem Verhältniß

$$\frac{V_1 \max}{V_2} = \frac{1}{1 - a}$$

den Werth

$$V_1 \max = V_2 \times \frac{1}{1 - a},$$

oder wenn man die Figur betrachtet

$$D_7 D_6 = \frac{1}{1 - a} \times D_3 D_4.$$

Da nach dem Vorhergehenden $l = na$, so erhält man:

$$V_1 \max = \frac{n}{n - 1} V_2,$$

im vorliegenden Falle, wobei $n = 7$

$$V_1 \max = \frac{7}{6} V_2,$$

d. h. die Strebenkräfte, welche man bei Berücksichtigung des Längsträgers erhält, sind $\frac{n}{n - 1}$ mal größer, als diejenigen,

die sich bei Vernachlässigung desselben ergeben. Im vorliegenden Falle beträgt der Fehler 13 Proc. Um also auf einfache Weise die Maximalstrebenkräfte zu erhalten, bestimmt man dieselben so, als ob keine Querträger vorhanden wären und multiplicirt die erhaltenen Werthe mit dem Verhältniß $\frac{n}{n - 1}$.

Demnach ist in vorliegender Figur

$$D_6 D_7 = \frac{7}{6} \cdot D_3 D_4.$$

Vergleicht man in Fig. 10, Taf. 33, die oberen Werthe mit den unteren, so wird man obiges Gesetz bestätigt finden: wenn man von den Ungenauigkeiten der in kleinem Maßstabe ausgeführten graphischen Berechnung abstrahirt. Wenn der linke Auflagerdruck eines Längsträgers gleich oder größer wird, als der linke Auflagerdruck der ganzen Brücke, so tritt entweder eine absolute Entlastung oder ein Zeichenwechsel ein bei den unter dem Längsträger befindlichen Streben, wie z. B. in Fig. 5 für das Strebenpaar m und n , wo selbst $F_{15} F_4$ größer ist, als der linke Auflagerdruck $F_3 F_4$. Dieser Fall kann zuerst eintreten, wenn es für den größten Längsträgerauflagerdruck, das ist für $\frac{ap}{2}$, einen Abstand z giebt, bei welchem

$$\frac{(1 - z)^2 p}{2l} \leq \frac{ap}{2} \text{ ist.}$$

Diese Gleichung aufgelöst ergibt:

$$z \geq 1 \mp \sqrt{a} = a \quad \left\{ \begin{array}{l} n \mp \sqrt{n} \end{array} \right\}.$$

Wenn der Zahlenwerth dieser Gleichung einen wirklichen Werth von z giebt, welches bekanntlich nur $\frac{1}{2}a$, $\frac{3}{2}a$, oder $\frac{2x - 1}{2}a$ sein kann, so wird der Zeichenwechsel über einem Knotenpunkte eintreffen, wenn nicht in dem darauffolgenden Felde.

Im vorliegenden Falle erhält man für $n = 7$:

$$z \geq a(7 \mp \sqrt{7}), \text{ oder}$$

$$z' \geq 4,35 a,$$

$$z'' \geq 9,645 a.$$

Da z , wie schon bemerkt, die Abstände der Knotenpunkte vom linken Auflager vorstellt, so gelten die gefundenen Werthe erst für

$$z' = 4,5 \cdot a = \frac{9}{2} a.$$

Der Werth z'' hat keine volle Gültigkeit, da die ganze Brücke nur $7a$ lang ist. Wenn aber $z > 4,35a$, so ist auch $\frac{p}{2}$ größer, als der linke Auflagerdruck. Setzt man $z = 4,5a$, entsteht:

$$\frac{(1-z)^2 p}{2l} = \frac{(na - 4,5a)^2 p}{2na} = \frac{a(7-4,5)^2 p}{2 \times 7} = 0,44 pa,$$

ist also der linke Auflagerdruck $E_3 E_4 = 0,44 pa$ kleiner
 $E_4 F_{15} = \frac{ap}{2}.$

Um nun den Abstand zu finden, in welchem ein kleiner Werth des Druckes im Knotenpunkt E_1 gleich dem linken Auflagerdruck werden kann, hat man in der Formel

$$\frac{(1-z-y)^2 p}{2l} = \frac{(a-y)^2 p}{2a}$$

in z den Werth $4,5$ einzusetzen und y herauszurechnen.
 Es ist

$$y = \frac{a \sqrt{\frac{1}{a} + z - 1}}{\sqrt{\frac{1}{a} - 1}} = \frac{a \sqrt{n + z - 1}}{\sqrt{n - 1}}.$$

Setzt man $n = 7$, $z = 4,5a$ und $l = 7a$, so entsteht

$$y = 0,09a = 0,09 \times 20 \text{ mm} = 1,8 \text{ mm}$$

was entspricht dieses dem Abstände $E_3 F_{16}$. — Setzt man
 blick für das folgende Feld

$$z = 5,5a$$

entsteht:

$$y = 0,69a = 0,69 \times 20 \text{ mm} = 13,8 \text{ mm}$$

was entspricht diesem die Abscisse $F_3 G_{15}$.

19. Maximalstrebenkraft bei concentrirten Lasten.

Auf Tafel 34 ist in Fig. 1 die Brücke von vorn wie dargestellt und mit concentrirten Lasten belastet und zwar mit einem Locomotivzuge.

Die Triebwagen sind zu 13 Tons, die Tenderwagen zu 20 Tons angenommen und sind sowohl die Belastungen, als die Entfernungen der Axen einer wirklichen Locomotive entnommen. In der schematischen Darstellung, Fig. 2, ist auf der Linie $a_0 b_0$ die Anfangsstellung der Axen angegeben. Wird der ganze Zug nach rechts verschoben, so daß er nur die Länge $a_3 b_3$ besitzt, so ist auch auf dieser Linie die neue Stellung einer jeden Axe sichtbar gemacht durch ein System von Parallellinien, und man sieht, daß in dieser Lage des Zuges nur noch die Axen 1 bis 9 auf der Brücke stehen, während die andern Axen die Brücke bereits verlassen haben.

Mit Hilfe dieses Schemas ist man im Stande, besondere Zugstellungen zu untersuchen, z. B. wenn eine Axe gerade einen Längsträger verläßt und, wenn eine Axe aus der Brücke tritt, wie z. B. die Axe 12 bei der Zugstellung $a_2 b_2$.

In Fig. 3 ist mit der Basis l gleich der Brückenlänge und mit dem Kräftemaßstab 1 Millimeter per Ton das Seilpolygon und dessen umgekehrte Gestalt, die Curve der Auflagerbrücke, aufgezeichnet worden.

Ferner wurden für die beiden Sorten von Längsträgern in Fig. 4 und Fig. 5, die Seilpolygone und die Curve der Auflagerbrücke gezeichnet und dann die Fläche $AD'D''D'''A$ von $C_3 D_3 D_4 C_4$ abgezogen. Indem man nun für jede Strecke diese Flächen Differenz bildet und an die gebrochenen Linien die Tangenten zieht, z. B. die Tangente $B_6 B_{10}$, ergibt sich die Ordinate $B_{15} B_6$ und aus dieser $B_{15} B_6$ als größte Kraft in dem Strebenpaare b und c .

Die ungünstigste Belastung im Strebenpaare b und c tritt demnach bei der Zugstellung $a_2 b_2$, Fig. 2, ein, bei welcher gerade das 2. Locomotivrad den Längsträger verläßt, wie Fig. 2 deutlich zeigt.

Im Strebenpaare d und e tritt die größte Kraft bei der Zugstellung $a_3 b_3$ ein und auch wieder im Augenblick, wo das zweite Rad den Längsträger verläßt.

In sämtlichen übrigen Feldern tritt die Maximalanstrengung der Streben bei totaler Entlastung des zugehörigen Längsträgers ein und hat man hierin einen Unterschied der concentrirten Lasten gegenüber einer zusammenhängenden gleichmäßig vertheilten Last, bei welcher für jeden Längsträger eine specielle ungünstigste Belastung derselben existirt.

Gingegen hat man wiederum die bereits gefundene Erscheinung, daß in gewissen Feldern die Strebenkräfte Null werden können, verbunden mit einem Zeichenwechsel, wie hier bei den Streben h und i , k und l und m und n für die Zugstellungen $E_{10} H_3$, $F_3 H_3$ und $G_6 H_3$ in Figur 3.

Wenn man das Eigengewicht wieder in Verbindung bringt mit den zufälligen Lasten, so findet der wirkliche Zeichenwechsel im Strebenpaare h und i bei der Rechtsabfahrt, und im Strebenpaare f und g bei der Linksabfahrt statt.

In Fig. 1 sind die Maximalkräfte der Streben eingezeichnet und dürfte somit die Aufgabe gelöst sein.

Die Zugstellung, bei welcher der wirkliche Zeichenwechsel im Strebenpaare h und i stattfindet, ist $E_3 H_3$, in welcher Stellung h und i vollständig entlastet sind, unter Berücksichtigung des Eigengewichts und bei $E_{10} H_3$ ohne Berücksichtigung desselben.

§. 20. Anwendung von Gegenstreben.

Bei allen bis jetzt betrachteten Fällen finden sich eine Partie Streben vor, in welchen nur Druck und nur Zug

herrscht, und eine Anzahl Mittelstreben, in welchen Druck und Zug wechselt und die deshalb auf Druck construirt werden müssen.

Man kann es dahin bringen, daß sämtliche Streben nur je nach einem Sinne beansprucht werden, wenn man in den Feldern, wo Zeichenwechsel stattfindet, „Doppeltstreben“ anbringt, von welchen, wenn sie als Zugstangen behandelt werden, stets diejenigen außer Function treten, auf welche Druck fallen würde; siehe hierzu die Fig. 1 und 2 auf Taf. 35.

§. 29. Ueber Maximalmomente.

Es wurde bereits gezeigt, daß eine jede Last die Momente eines Balkens vergrößert, und daß bei totaler Belastung einer Brücke bei allen Strecken gleichzeitig das Maximalmoment eintritt. Bei concentrirten Lasten kann sich der Fall ereignen, daß man bei totaler Belastung einen Zug von Locomotiven auf einer Brücke noch hin- und herschieben kann, ohne daß ein neues Rad hinzukommt, oder ein vorhandenes aus der Brücke austritt, wie z. B. bei der Belastungsweise der Fig. 2 auf Taf. 34; und es fragt sich nun, wie die Lasten vertheilt sein müssen, damit in jedem Querschnitte das Maximum eintrete.

Wenn es sich nur darum handelt, den größten Werth des Momentes für einen beliebigen Querschnitt numerisch zu bestimmen, so hat man nur innerhalb dem Bereiche der noch möglichen Verschiebung einige Momentenflächen aufzutragen und deren Umhüllende zu construiren.

Um hingegen das Gesetz des Wachsthumes zu verfolgen, mag etwa folgender Weg dienen:

In Fig. 7 auf Taf. 34 ist ein Balken mit den Lasten P_1 bis P_6 belastet und in Fig. 8 dessen Momentenfläche dargestellt, und es soll nun untersucht werden, welche Lage

$$m_2 - m_1 = \Delta = u \left\{ \frac{P_1 + P_2 + \dots + P_6}{1} - \frac{P_1 + P_2 + \dots + P_6}{1} \times \frac{x}{1} \right\}.$$

Je nachdem nun die Differenz Δ positiv, negativ oder Null ausfällt, findet noch ein Wachsthum, oder ein Abnehmen, oder ein Stillstand statt, und man kann anschreiben:

$$\left. \begin{array}{l} \text{Zunahme des Momentes} \\ \text{Stillstand „ „} \\ \text{Abnahme „ „} \end{array} \right\} \text{ wenn } \frac{P_1 + P_2 + \dots + P_6}{x} \geq \frac{P_1 + P_2 + \dots + P_6}{1}$$

Es ist nun $P_1 + P_2 + \dots + P_6$ die Summe aller links vom Querschnitte liegenden Lasten, folglich:

$$\frac{P_1 + P_2 + \dots + P_6}{x}$$

die mittlere Belastung des linken Balkentheiles per Längeneinheit; ebenso stellt der Ausdruck

$$\frac{P_1 + P_2 + \dots + P_6}{1}$$

der ganze Zug annehmen muß, d. h. um wie viel er nach rechts verschoben werden muß, damit in einem beliebigen Querschnitte, z. B. bei $E_3 E_4$ Maximalmoment eintrete.

Wenn sich der ganze Zug um ein Stück u verschiebt, so wird der Strahl $E_1 E_3$ in die neue Lage $E_1 E_5$ kommen. Ferner wird der Punkt G_2 im Strahle $F G_4$ bei der Verschiebung um u in die Auflagerverticale eintreten an Stelle G_3 und wird $A_0 G_3$ die neue Schlußlinie werden und somit $E_5 E_6 = m_2$ das neue Moment an der betrachtenden Stelle.

Das neue Moment $E_5 E_6 = m_2$ entstand aus dem alten Momente $E_3 E_4 = m_1$, indem $E_3 E_6$ hinzu und $E_3 E_4$ davon kam. Man kann demnach anschreiben:

$$E_5 E_6 = E_3 E_4 + E_3 E_6 - E_4 E_6,$$

oder:

$$m_2 = m_1 + u \operatorname{tg} \beta_1 - u \operatorname{tg} \beta_2 \times \frac{x}{1},$$

oder

$$m_2 - m_1 = u \left\{ \operatorname{tg} \beta_1 - \frac{x}{1} \times \operatorname{tg} \beta_2 \right\},$$

da $E_4 E_6 = \frac{x}{1} G_3 G_4 = \frac{x}{1} \times u \operatorname{tg} \beta_2$ ist.

Der Strahl $E_1 F$, welcher mit der Basis den Winkel β_1 bildet, gehört der Kraft P_6 an und ist parallel zum Strahle $A_0 5$, ebenso ist der Strahl $F G_4$, welcher der Kraft P_6 angehört, parallel zum Strahle $A_0 6$; folglich sind die Tangenten der Winkel β_1 und β_2 bekannt, als:

$$\operatorname{tg} \beta_1 = \frac{P_1 + P_2 + \dots + P_6}{1}$$

und

$$\operatorname{tg} \beta_2 = \frac{P_1 + P_2 + \dots + P_6}{1}$$

woraus hervorgeht:

die mittlere Belastung der ganzen Brücke vor und man kann somit sagen, daß bei einem rechts abfahrenden Zuge das Moment eines beliebigen Querschnittes im Abstände x so lange im Zunehmen begriffen ist, als die mittlere Belastung der Strecke x größer ist, als die mittlere Belastung der ganzen Brücke, und daß ein Abnehmen der Momente im umgekehrten Falle stattfindet.

§. 22. Bahn des Maximalmomentenpunktes einer zufälligen Last.

In Fig. 7 auf Taf. 34 ist eine Brücke dargestellt, die mit P_1 bis P_6 belastet ist. In Fig. 8 wurde die Momentenfläche bestimmt und die Auflagerdruckcurve erstellt. Fig. 7 ist ein Schema der Radstellungen, wie solches bereits bei Anlaß der Fig. 2 erklärt wurde.

Der größte Auflagerdruck $A_0 B_0$ ergänzt sich aus den Lasten P_1 bis P_4 und einem Theile $4 B_0$ der Last P_5 , folglich liegt das Maximalmoment im Angriffspunkte der Last P_5 , und bleibt so lange in demselben, als der linke Auflagerdruck größer ist, als die Summe der Lasten P_1 bis P_4 , legt somit den Weg $P_5 a_5$ zurück.

Im Momente, in welchem der Auflagerdruck $A_2 A_1 = A_0/4$ gleich der Summe der Lasten $P_1 + P_2 + P_3 + P_4$ war, springt der Maximalmomentenpunkt in den Angriffspunkt des Rades P_4 , folgt diesem wiederum so lange, bis der Auflagerdruck nur noch so groß ist, wie die Summe $P_1 + P_2 + P_3$ und legt dabei den Weg $a_4 b_4$ zurück. Wenn man so für jede Stellung den Weg des Maximalmomentenpunktes verfolgt, so findet man, daß er, mit der Last P_3 beginnend, dieser folgt, auf dem Wege $P_3 a_3$, dann sich einen Augenblick lang längs der ganzen Strecke $a_4 a_5$ verbreitet, hierauf der Last P_4 folgt von a_4 bis b_4 , sich dann über $b_3 b_4$ verbreitet, dann dem Rade P_3 folgt auf dem Wege $b_3 c_3$, und sich schließlich auf dem Wege $c_3 c_2 d_2 d_1 e_1$ aus der Brücke entfernt. Denkt man sich die nebeneinandergestellten Zugstellungen α, β, γ wieder in die Lage $A_0 \alpha$ gerückt, so hat man das eigentliche Bild von den Zuckungen des Maximalmomentenpunktes.

Dieser Vorgang ist nur richtig bei einem Vollbalken, bei einem Gatterbalken fallen die Eckpunkte des vorgezeichneten Zickzacks immer in Knotenpunkte, wie bereits schon einmal gezeigt wurde.

Schneidet man die vorliegende Zickacklinie an einer Stelle $x y$, so erhält man eine Stelle, an welcher bei rechts abfahrendem Zuge siebenmal hintereinander das Maximalmoment auftritt.

§. 23. Bahn des Maximalmomentenpunktes von Eigengewicht und zufälliger Last.

Um den Einfluß des Eigengewichtes zu berücksichtigen, wurde in Fig. 3 auf Taf. 35 eine Brücke dargestellt, auf welcher ein Locomotivzug steht. In Fig. 5 wurde das Schema der Radstellungen gezeichnet, so wie in Fig. 4 die Curve der Auflagerdrücke in Verbindung mit dem Eigengewichte. Das Eigengewicht der halben Brücke wird durch die Linie $A_0 A_2$, $C_0 C_2$ u. s. f. vorgestellt.

Es stellt demnach $A_2 H$ den totalen Auflagerdruck vor. Die Tenderaxen haben ein Gewicht von 8 Tons, die Triebaxen ein Gewicht von 13 Tons. Die Brücke ist 28^m lang und wiegt 70 Tons (das Gewicht wurde absichtlich beliebig hoch gegriffen). Das Seilpolygon wurde mit der Basis gezeichnet und für jede Tonne ein Millimeter Länge angenommen. Da $A_2 A_0$ das Gewicht des Brückentheiles A_0 vorstellt, so ist $G_1 = B_1 B_4$ das Gewicht eines Brückentheiles von der Länge $B_0 B_1$, d. h. gleich dem Gewicht der Brücke zwischen der Last P_1 und P_2 . Ebenso stellen $B_3 B_6 = 0$ und $B_2 B_5 = G_6$ die Gewichte von den Brückentheilen zwischen den Lasten P_3 und P_4 und P_6 und P_7 dar. Bei den Punkten A_2 aus wurde eine Scala aufgetragen, wobei $A_2 1 = P_1$; ferner $1 - g_1$ gleich $B_1 B_4$, gleich dem Brückengewicht zwischen Last P_1 und P_2 ; ferner ist $g_1 - 2 g_1$ gleich Last P_2 , hierauf $2 g_2$ gleich dem nächsten Brückengewicht, hierauf $G_2 3$ gleich Last P_3 u. s. f.; und wurde ferner eine Scala $A_2 B_0 B_1$ gezogen, wobei $A_0 A_1 = B_0 B_1$ ist.

Mit Hilfe dieser Scala ergibt sich, daß $A_2 H_1$ aus den Lasten P_1 bis P_7 und aus den Gewichten $g_1 + g_2 + \dots$ der zwischenliegenden Brückentheile und einem aliquoten Theile des Brückengewichtes g_7 besteht, folglich liegt der Maximalmomentenpunkt zwischen Last P_7 und P_8 und bestimmt sich die genaue Lage desselben, wenn das Gewicht $7 - H_1$ wieder rückwärts in Länge verwandelt wird.

Für eine beliebige Stellung $a_3 b_3$ des Zuges ist $C_2 C_1$ der totale Auflagerdruck, welcher sich zusammensetzt aus dem Gewichte $C_2 C_3$ des nun unbelasteten Brückendes $A_2 c_2$ und dem Stücke $c_3 c_1$, welches besteht aus den Lasten P_1 bis P_5 nebst den dazwischen liegenden Streckengewichten, wie die Kräftescala zeigt. Folglich tritt in diesem Momente der Maximalmomentenpunkt gerade in den Angriffspunkt der Last P_5 , das ist in den Punkt f_2 , Fig. 5.

In einer andern Stellung der Last, z. B. $a_{14} b_{14}$ ist $E_2 E_1$ der totale Auflagerdruck und wird dieser dargestellt einzig und allein aus dem Gewichte des entlasteten Brückendes. Bei weiter fortschreitender Last ist wiederum in einer andern Lage $D_2 D_1$ der linke Auflagerdruck, und ist derselbe so groß, wie das Brückengewicht der Strecke $A_0 D_4$ und ist folglich der Maximalmomentenpunkt wieder zurückgeschritten nach a_{15} , bis er endlich bei total entlasteter Brücke nach der Brückenmitte zurückkehrt. Wenn also von rechts ein Zug auf die Brücke einfährt, so läuft ihm der Maximalmomentenpunkt auf dem Wege $a_{17} - a_{16} - a_m$ entgegen, tritt bei a_{14} unter das Rad P_1 , folgt demselben bis a_{13} , verweilt eine Zeit lang in der Strecke zwischen Rad P_1 und P_2 , geht dann unter das Rad P_2 , bis er endlich bei total belasteter Brücke sich in der Nähe des Rades P_8 befindet. Der Kreuzungspunkt E_1 giebt die äußerste Lage des Zuges an, für welche noch ein aliquoter Theil der zufälligen Last nach dem linken Auflager übertragen wird, und stellt somit den Punkt

Druckfehlerverzeichnis.

- Seite 87, Zeile 6 v. o. lies y^{n+1} statt x^{n+1} .
 „ 87 u. 88, 4. Vollzeile v. o. lies k^n statt k_n .
 „ 88, Zeile 4 v. u. lies y^n statt x^n .
 „ 93, „ 3 v. u. lies dr statt $d\varphi$.
 „ 94, „ 10 v. o. lies y statt g .
 „ 94, „ 2 v. u. lies y statt y .
 „ 97 u. 98, Zeile 2 v. u. fehlt in der Gleichung auf der linken
 Seite das Glied $\pm c^2 \cdot \frac{y}{k}$.
 „ 99, Zeile 18 v. o. lies $\alpha^2 y^2$ statt αy^2 .
 „ 99, „ 21 v. o. lies $\left(y \pm \frac{r^2}{2k}\right)^2 + x^2 - \frac{r^4}{4k^2} = 0$ statt
 $\left(y \pm \frac{r^2}{2}\right)^2 + x^2 - \frac{r^2}{4} = 0$.
 „ 131, Zeile 2 v. o. lies $\frac{N}{2}$ statt $\frac{N}{3}$.
 „ 134, „ 5 v. u. lies $-\frac{L}{\omega}$ statt $+\frac{L}{\omega}$.
 „ 380, „ 11 v. o. lies $c_0 u$ statt $q_0 u$.
 „ 380, „ 13 v. o. lies $c_0 u$ statt $q_0 u$.
 „ 380, „ 16 v. u. lies $d_0 = \frac{d}{\cos \alpha_0}$ statt $d = \frac{d_0}{\cos \alpha_0}$.
 „ 387, „ 17 v. u. lies Brüche statt Ausdrücken.

Literatur- und Notizblatt.

Register zum Literatur- und Notizblatt des zwanzigsten Bandes des Civilingenieur.

I. Sachregister.

(Die Nummern bedeuten die Seitenzahlen.)

- Abfallstoffe, Entfernung 96.
Abteuspumpen 97.
Ammonialverfahren 75.
Arbeiterwohnungen 25. 100. 102.
Ausfluß der Gase 37.
Ausrüstung von Brückengewölben 49.
Ausstellungsberichte 9. 12. 23. 39. 40. 49. 53. 65. 93. 94. 96. 98. 100. 102.
Arlagerkäfen 102.
Bahnhofsanlagen 10. 51. 81.
Bahnschwellen, eiserne 25.
Bausteine 38. 96.
Betriebskosten und Tariffäge 12.
Bewässerungsanlagen 8. 29.
Bewegung des Wassers in Flüssen 9. 50. 52.
Bierbrauereien 51.
Bildung der Maschinentechniker 97.
Bliesöhren 63.
Bogenbrücken, eiserne 5. 64. 85.
Braunkohlenindustrie 27.
Brennstoff, künstlicher 79.
Brückenaufstellung 80.
Brückenbau 62. 65. 93.
Brückenbausysteme 12. 39. 62.
Brückenbauten 79. 80. 81. 99.
Brunnenfundierung 79.
Calorische Maschinen 38.
Canäle 8. 25. 81.
Cementmörtel zum Dichten 21.
Centralheizungen 21.
Centrifugalpumpen 5. 23. 100.
Centrifugalregulatoren 86.
Chausseedampfmaschinen 22.
Closetanlagen 96.
Comprimierte Luft 10.
Corlismaschinen 7.
Correspondenzen 54.
Crampton'scher Puddelofen 40.
Curvenwiderstand 20. 48.
Dachconstructionen 98.
Dämme, hohe 53.
Dammrutschungen 9. 86.
Dämpfe, Theoretische 31. 82.
Dampfschinder 45.
Dampfseilarmatur 4.
Dampfseilaufhängung 39.
Dampfseilconstruction 44.
Dampfschliffe 52.
Dampfmaschinen 13. 53. 40. 98.
Dampfmaschinenbau 77.
Dampfmotor von Siemens 96.
Dampfpflug 38.
Dampfstrahlcondensator 45.
Dampfverlust durch Abflüßung 80.
Danls'scher Puddelofen 24.
Depechenbeförderung, pneumatische 65.
Desinfectionsmittel 77.
Dolomitcemente 14.
Drathlehre 75.
Drathseilbrücken 26.
Drehseiben 47.
Dreicylinderdampfmaschinen 13. 53.
Druckpumpen 70.
Durchlässe, schiefe 50.
Dynamit 69.
Dynamometer 61.
Eisenbahnbetrieb, Sicherheitsmaasregeln 83.
Eisenbahnen, billige 45. 59. einschiene 100.
Eisenbahnoberbau 25. 86.
Eisenbahnschienen 31. 37. 59. 83.
Eisenbahnsysteme 45. 100.
Eisenfabrikation und Industrie 67. 77. 93.
Entwässerungsanlagen 85. 96.
Erdbtransport 82.
Exavatoren 69.
Expansionscurve 48.
Fachwerkbrücken 46. 48. 50.
Fahrbrücken 30.
Festigkeitsversuche 38. 102.
Feuchtigkeit, Schutz gegen 22.
Feuerungsanlagen 39.
Filter 51.
Flammenanzünder 14.
Flußregulirungen 65.
Förderung, maschinelle 60.
Gasbeleuchtungsapparate 14.
Gasbeleuchtung für Züge 24. 99.
Gasheizung für Locomotiven 59.
Gaskraftmaschinen 97.
Gebirgsbahnen 15. 51. 62.
Geleisregulirung 47.
Gerüste 98.
Gefängnisüberwacht 52.
Gesteinsbohrmaschinen 15. 32.
Getreide-Reinigungsmaschinen 25.
Girardturbinen 70. 76.
Gottthardbahn 15.
Graphische Darstellungen 77. 79.
Graphische Methoden 22.
Graphische Statik 37.
Grubenventilationsmethoden 70.
Gründungsarbeiten 49. 63. 64. 79.
Hängebrücken 26.
Härtmittel 69.
Harmonielehre, architektonische 50.
Hebeltrahne 11.
Heficalpumpe 15.
Henschel-Jouvalturbinen 76.
Hohöfen 79.
Hohofenschladen, Verwendung 97.
Holzimpregnirung 32.
Inanspruchnahme, zulässige 13.
Kesselfein 78.
Kettenziegel 96.
Kohlenabladevorrichtungen 22.
Kohlenschrämmaschinen 63.
Körperberechnung 40.
Kraftbedarf beim Walzen 28.
Krankenhäuser 20. 21.
Krankentassen 25.
Kugeldrehseiben 47.
Kurbeldynamograph 61.
Käuteverle 98.
Localbahnen 5. 101.
Locomotive 16.
Locomotiven 49. 61. 66.
Locomotiven, feuerlose 102.
Locomotivenheizung 26. 59.
Locomotivkessel 39.
Locomotivkesselreinigung 52.
Locomotivsysteme 45. 61. 102.
Luft, comprimerte 10. 61.
Luftdampflocomotive 61.
Luftschiffahrt 95.
Luftschleusen 49.
Marinewesen 40.
Maschinenfabriken 80.
Maschinen-Ausstellungsbericht 93.
Metrisches Maasssystem 63. 76.
Mont-Cenis-Tunnel 16.
Oberbau, eiserner 25. 86.
Parabelträgerbrücken 20. 30. 48.
Paragonmaschine 13. 53.
Parallelträgerbrücken 46. 99.
Partialturbinen 70.
Patente, amerikanische 64.
Patentfrage 6.
Patentschutzcongreß 61.
Pfeilersform 81.
Planimeter 46.
Porcellanfabriken 20.
Prismatoidformel 40.
Puddelöfen, rotirende 24. 40.
Puddelofenbetrieb 24. 40. 97.
Pumpen 5. 15. 23. 97. 100.
Pyrometer 26. 69. 78.
Radialbohrapparate 23.
Regulatoren 86.
Reparaturbauten 38.
Röhren, rotirende 40.
Röhrenpreise 77.
Rollenlager für Brücken 93.
Rutschungen bei Eisenbahndämmen 9. 85.
Schleusenräder 94.
Schiebersteuerungen 97.
Schienenbiegeapparat 53.
Schieß- und Sprengpulver 12. 69.
Schiffsbau 23.
Schiffsmaschinen 25.
Schladen, Verwendung 97.
Schleusenbauten 21. 30.
Schmalspurbahnen 5. 11. 101.
Schmiededampfhammer 23.
Schneeschuhvorrichtungen 101.
Schneelhammer 23.
Schraubenscala 100.
Schwebler'sche Träger 22. 48.
Schwellen, eiserne 25.
Seilebene 60.
Seilscheibengerüste 6.
Sodafabrikation 75.
Speisewasserprobe 94.
Spinnereimaschinen 77.
Spirituscontrolapparate 76.
Spiritusfabriken 21.
Sprengarbeiten 69. 79.
Stahlsessel 39.
Stahlschienen 37. 59.
Steigungen und Curven, Einfluß 20. 48.
Stromgeschwindigkeit 9.
Stromregulirungen 11.
Superficialsystem 45.
Trajectschiffe 46.
Tramways mit Dampf 45.
Trinkwasseranalysen 58.
Tunnelbau 14. 15. 16. 22.
Tunnelbohrmaschinen 15. 32.
Turbinen 70. 76.
Ueberbrückungen, schiefe 50.
Unterrichtswesen, technisches 65. 94.
Verdampfungsmesser 79.
Viaducte 46.
Virtuelle Bahnlänge 48.
Voreilungssplattenschieber 97.
Wärmetheorie 38.
Wärmeverluste bei Dampfseilen 69.
Walzwerke 28.
Wasserdampf, Verhalten 31.
Wasserglas 70.
Wasserhaltungsmaschinen, einfach wirkende 52.
Wasserhaltungsmaschinen, unterirdische 7.
Wassermessen 29. 37.
Wassermesser 78.
Wassermobulus 29.
Wasserfäulenmaschinen 15.
Wasserflationen 51.
Wasserturm 96.
Wegunterführungen 9.
Weichen 10.
Weltausstellung 9. 12. 23. 39. 40. 49. 62. 65. 66. 77. 86. 93. 94. 96. 98. 100. 102.
Winderhigungsapparate 75.
Ziegelfabrikation 70. 96.
Zugwiderstand in Curven 20. 48.

III. Verzeichniß der Zeitschriften, über welche Referate gegeben worden sind.

Allgemeine Bauzeitung. XXXVIII. Jahrg., 1873, Heft 2—6	45	Zeitschrift des Vereins deutscher Ingenieure.	
XXXIX. „ 1874, „ 1—4	85	Band XVII, 1873, Heft 5—7	4
Zeitschrift des Architekten- und Ingenieur-Vereins zu Hannover.		„ 8—10	23
Band XIX, 1873, Heft 2	8	„ 11—12	39. 44
„ 3	29	„ XVIII, 1874, „ 1—3	65. 75
„ 4	48	„ 4—6	93
„ XX, 1874, „ 1	79	Zeitschrift für Bauwesen.	
Zeitschrift des österreichischen Ingenieur- und Architekten-Vereins.		Jahrg. XXIII, 1873, Heft 6—12	20
XXV. Jahrg., 1873, Heft 9—12	10. 32	„ XXIV, 1874, „ 1—2	31. 37
„ 13—15	37	„ 3—6	81
„ 16—18	52. 58		
XXVI. „ 1874, „ 1—5	60		
„ 6—12	98		

IV. Verzeichniß der besprochenen Werke.

Andrée, der Weltverkehr und seine Mittel. 2. Aufl.	43	Rothes, dictionnaire technologique français-allemand-anglais.	92
Bardenwerper, Bau- und Gewerbskalender	87	Rothes, illustrirtes Baulexicon. 3. Aufl. 11—21. Heft	58
Birnbaum u. s. w., das neue Buch der Erfindungen, Gewerbe und Industrien. 6. Band. 6. Aufl.	42	v. Ott, der logarithmische Rechenschieber	17
Brosius und Koch, die Schule des Locomotivführers. 2. Abth.	55	Pinzger, die geometrische Construction von Weichenanlagen	33
Buff, Lehrbuch der physikalischen Mechanik. 2. Theil. 2. Abth.	91	Polytechnischer Verein zu Karlsruhe. Diplom-Examen	40
Eger, selection from the new technical Literature of England	88	Preßler und Kunze, die Holzmehlkunst in ihrem ganzen Umfange	18
Fabrik-Gesetzgebung	3	Pröll, Versuch einer graphischen Dynamik	43
Fasbender, Verhandlungen der internationalen Brauer-Versammlung	2	Quersfurth-Weissbach, Ingenieur. 1. Abth.	55
Fegebeutel, die Canalwasser-Bewässerung in Deutschland	88	v. Reiche, die Dampfstessel der Wiener Weltausstellung	42
Flattich-Wilhelm, der Eisenbahn-Hochbau. 1., 2. Heft	2	Rheinhard & Schlobach, deutscher Ingenieur-Kalender	2
Fränkel und Heyn, Atlas des Bauwesens	42	Röntgen, die Grundlehren der mechanischen Wärmetheorie. 2. Theil	34
Fromme's österreichischer Ingenieur-Kalender	93	Rühlmann-Verdet, Handbuch der mechanischen Wärmetheorie. 1. Pief.	41
Geroold & Comp., die Literatur der letzten fünf Jahre	39	Rühlmann, allgemeine Maschinenlehre. 4. Band, 2. Abth.	57
Gottgetren, physische und chemische Beschaffenheit der Baumaterialien. 2. Aufl. 1. Band	39	Schölmich, Grundzüge einer wissenschaftlichen Darstellung der Geometrie des Maßes	19
Grotthe, mechanische Technologie	89	Schmidt, die Verwaltung der Eisenbahnen	19
Grotthe, Leonardo da Vinci	89	Schmitt, Signalwesen. Pief. 1 und 2	72
v. Gutdier, Hilfsbuch für den Dampfstesselbetrieb	35	Schoder, Hilfsstafeln zur barometrischen Höhenbestimmung	72
Hädicke, Tabellen und Formeln zur Berechnung der Dampfmaschine	3	Schön, der Tunnelbau	89
Hartig, Versuche über Leistung und Arbeitsverbrauch der Werkzeugmaschinen	35	Schott, kurzer Bericht über die Eisenhüttenproducte	17
v. Hauer, die Fördermaschinen der Bergwerke. 2. Aufl.	90	Schrober, Schienenbiegeapparat. 2. Aufl.	56
Haushofer, Grundzüge des Eisenbahnwesens	19	Schwarz-Flemming, die Kesselabtheilung auf Dampfschiffen	1
Heinzerling, die Brücken der Gegenwart. 1. Abth. Heft 1	36	Schwedler, Wiersberg und Houffelle, Bau- und Civilingenieurwesen	74
„ 2	92	Sidcl, die Grubenzimmerung	1
Herrmann, Hartig und Rittershaus, Maschinenwesen und Transportmittel	74	Simon, Kohlen-Hau-, Fräs- oder Schräg-Maschinen	87
Heusinger von Waldegg, Kalender für Eisenbahn-Techniker	87	Stählen, Ingenieur-Kalender	4
Hirzel und Gretschel, Jahrbuch der Erfindungen und Fortschritte	90	Stück, Distanz- und Höhen-Messung	19
Grabál, gemeinnütziges mathematisch-technisches Tabellenwerk	34	v. Stummer-Traunfels, Fromme's österreichischer Ingenieur-Kalender	93
Grabál, Studien über die durch einfach wirkende Maschinen betriebigten Pumpwerke	90	Talbot, der Lichtpaus-Proceß	56
Jacobi, die Verbindlichkeit zum Schadenersatz	57	Veith, Wochenlohnstabelle	89
Keller, Berechnung und Construction der Triebwerke	40	Verdet-Rühlmann, Handbuch der mechanischen Wärmetheorie	41
Kid & Gintl, Karmarsch und Heeren's technisches Wörterbuch. Pief. 1	73	v. Weber, neue Pfade der Volkswirtschaft	40
Lauber, zur Patrinenfrage	35	Weissbach-Herrmann, Lehrbuch der Ingenieur- und Maschinen-Mechanik. 5. Aufl. 1. Th. 9. und 10. Pief.	33
Malowiczka, Bau der Kaiser Franz-Joseph-Hochquellenleitung	56	„ 11. „ 12. „ 1. Abth.	73
Müller, die constructive Zeichnungslehre	17	Berner, die Tacheometrie	4
Mossl, Raub und Reiss, die gesammten Naturwissenschaften. 3. Aufl. 1. Band, 4. bis 11. Pief.	3	Winkler, der Eisenbahn-Unterbau. 2. Aufl. 2. Pief.	41
12. „ 19. „	71	Winkler, Weichen und Kreuzungen. 2. Aufl.	71
		Zeuner, die Schiebersteuerungen. 4. Aufl.	91
		Ziebarth, Gewichtstabellen für Walzisen	18

Literatur- und Notizblatt

zu dem zwanzigsten Bande des

Civilingenieur.

N. 1.

Literatur.

Die Kesselabtheilung auf Dampfschiffen. Umschau in den Kesselräumen der Handelsflotte und Kriegsmarine von Schwarz-Flemming, Ingenieur. Mit 324 Abbildungen auf 47 Tafeln. Berlin 1873, Verlag von Rudolph Gärtner.

Bei der großen Bedeutung, welche die Dampfschiffahrt bereits für Deutschland erlangt hat, kann auch das vorliegende Werk auf ein größeres Publikum rechnen, ob es gleich nur eine Specialität aus dem Gebiete der Dampfschiffahrt behandelt. Dasselbe giebt nämlich im ersten Abschnitte einen systematischen Ueberblick über die gebräuchlicheren Constructionsarten von Schiffsdampfkesseln, deren Armatur, Aufstellung, Ueberwärmungsapparate u. s. w. und handelt dann im zweiten Abschnitte über die Kesselbedienung, während ein Anhang Notizen über die Kesselspeisung, Brennmaterial, Explosionen, Kesselstatistik und anderes mehr bringt. Unseres Wissens sind die Schiffskessel noch nirgends so ausführlich behandelt worden, so daß Schiffbauer, Marineingenieure, Schiffscapitaine, Dampfschiffahrtsdirectionen, Maschinenisten, Heizer u. s. w., dieses auch äußern schön ausgestattete Werk dankbar begrüßen und mit Nutzen studiren werden, zumal es genügend bekannt ist, wie schwierig zuverlässige Notizen über die behandelten Gegenstände zu erlangen sind.

Die Grubenzimmerung von C. A. Sidel, Auditor im Königl. Sächs. Bergamte Freiberg. Nebst einem Vorwort von M. F. Göttschmann, Bergrath und Professor der Bergbaukunst an der K. S. Bergakademie a. D., in Freiberg. Erste Abtheilung (allgemeiner Theil und Streckenimmerung) mit 6 lithographirten Tafeln. Zweite Abtheilung (Schachtzimmerung, Ausbau von Maschinenräumen und Grubenausbau in Eisen) mit 9 lithographirten Tafeln. Freiberg. J. G. Engelhardt'sche Buchhandlung (M. Hefner) 1873.

Da seit ca. 40 Jahren kein Werk über Grubenzimmerung erschienen ist, so war eine wissenschaftlich geordnete Zusammenstellung der mannichfachen Neuerungen in dieser Branche des Grubenausbauens, wie sie obiges Werk bietet, ein wahres Bedürfnis geworden, auch hat der Herr Verf. seine Aufgabe in vorzüglicher Weise gelöst, wenngleich der eiserne Gruben-

ausbau nicht ganz mit der gebührenden Ausführlichkeit behandelt sein dürfte.

Verhandlungen der internationalen Brauer-Versammlung vom 16.—21. Juni 1873 zu Wien. Mit einem alphabetischen Verzeichniß sämtlicher Teilnehmer. Nach den stenographischen Aufzeichnungen herausgegeben vom Comité, redigirt von Franz Fassbender, Redacteur der Oesterreichischen Zeitschrift für Bierbrauerei. Wien. Lehmann & Wenzel.

Vorliegende Broschur enthält interessante Abhandlungen über Eismaschinen, neue Feuerungs-, Dampf-, Malzdarr-Einrichtungen und andere neuere Fortschritte der Bierbrauerei.

Der Eisenbahn-Hochbau in seiner Durchführung auf den Linien der K. K. priv. Südbahngesellschaft. Von Wilhelm Flattich, Architect der k. k. priv. Südbahngesellschaft, unter Mitwirkung von Franz Wilhelm. 1. und 2. Heft. Bahnhof Innsbruck und Brennerbahn (I. Hälfte). Hierzu ein Atlas mit 23 Blättern in gr. Fol. Wien. Lehmann & Wenzel.

In diesem sehr schön ausgestatteten Werke beschreibt ein wohlrenommirter und erfahrener Architect die nach seinen Plänen ausgeführten hauptsächlichsten Hochbauten der Brennerbahn unter ausführlicher Darlegung des mit der Betriebsverwaltung vereinbarten Programmes und unter Beifügung der Kostenberechnungen, sowie von Formularen zu Kostenberechnungen. Das Studium desselben wird also für Eisenbahnarchitecten des Interessanten und Belehrenden genug bieten, wenn auch die dargestellten Objecte nicht leicht anderswo in derselben Weise wieder zu verwenden sein dürften.

Deutscher Ingenieur-Kalender. Kalender für Eisenbahn-, Straßen- und Wasserbau-Ingenieure herausgegeben von A. Rheinhard, Bauinspector der K. Oberfinanzkammer und W. Schlebach, Docent am K. Polytechnikum in Stuttgart. Erster Jahrgang. 1874. Nebst einer Uebersichtskarte von Deutschland. Stuttgart. Verlag von Konrad Wittwer.

Aus dem mitgetheilten Titel ist ersichtlich, für welche Klasse von Ingenieuren dieser elegant ausgestattete und handliche neue Kalender bestimmt ist, und da derselbe bezüglich der Auswahl und Abfassung des Stoffes mit großer Umsicht behandelt ist, so wird er sich gewiß auch Freunde erwerben, ob sich gleich bekanntlich schon mehrere gute Ingenieurkalender in weiteren Kreisen eingebürgert haben.

Tabellen und Formeln zur Berechnung der Leistung, des Wasser- und Kohlenverbrauches der Dampfmaschine, mit besonderer Berücksichtigung der Seedampfmaschine. Für den praktischen Gebrauch von See-Officieren, Fabrikanten, Ingenieuren und Maschinenisten zusammengestellt und berechnet von H. Hädicke, Director der Eisengießerei und Maschinenfabrik von Wöhrmann & Sohn in Riga. Kiel. K. von Weichmar, Verlagsbuchhandlung. 1873.

Dieses Büchlein enthält Tabellen und Formeln zur Berechnung des mittleren Druckes, der theoretischen Pferdestärken, des Einflusses des schädlichen Raumes, des Füllungsgrades, der Spannung von gesättigtem und überhitztem Dampfe, des Wasser- und Kohlenverbrauches, der zur Verminderung des Salzgehaltes auszublasenden Wassermenge und des entsprechenden Verlustes, endlich der nominellen Pferdekkräfte.

Die gesammten Naturwissenschaften. Für das Verständniß weiterer Kreise und auf wissenschaftlicher Grundlage bearbeitet von Dippel, Gottlieb, Gurlt, Koppe, Mäbler, Masius, Moll, Nauck, Röggerath, Quenstedt, Reclam, Reis, Romberg, Zsch. Dritte neubearbeitete und bereicherte Auflage. In drei Bänden. Mit zahlreichen in den Text gedruckten Holzschnitten und drei Sternkarten. Erster Band, 4. bis 11. Lieferung. Essen. Druck und Verlag von G. D. Bader. 1873.

In den vorliegenden Lieferungen dieses empfehlenswerthen Werkes ist in allgemein verständlicher und durchgängig fesselnder Weise und mit Hilfe von zahlreichen guten Holzschnitten und vorzüglichsten Farbentafeln die Physik (Akustik, Optik, Calorik, Magnetismus, Electricität und Galvanismus) abgehandelt und es beginnt am Schlusse die von demselben Verfasser, Herrn Dr. Reis in Mainz, bearbeitete Meteorologie. Ein von den Herren Professor Moll und Professor Dr. Nauck in Riga geschriebener Abschnitt über „Naturwissenschaft und Technologie“, in welchem Dampfmaschinen, Dampfschiffe und Locomotiven, Telegraphie, Galvanoplastik und Photographie besprochen werden sollen, wird den ersten Band schließen.

Fabrik-Gesetzgebung des deutschen Reiches und der Einzelstaaten. Rechte und Pflichten gewerblicher Arbeiter. — Die Verbindlichkeit zum Schadenersatz für die bei dem Betriebe von Eisenbahnen, Bergwerken, Fabriken u. s. w. herbeigeführten Tödtungen und Körperverletzungen. — Betrieb und Beaufsichtigung von Dampfkesseln. — Dampfkesselrevisionsbuch. Berlin 1873. Fr. Kortkamp.

Vorstehendes sind die Specialtitel der Hefte 11, 12, 42 der Deutschen Reichsgesetze und des Heftes 15 der Preussischen Gesetze (Kortkamp'sche Ausgabe), welche z. Th. schon in dritter Auflage vorliegen. Das erstgenannte Buch, welches von einem Mitgliede des Reichstages und des Hauses der Abgeordneten bearbeitet ist, giebt eine übersichtliche und sorgfältig erläuterte Sammlung der z. Th. weit zerstreuten gesetzlichen Bestimmungen und Vorschriften, welche

in näherer Beziehung zum Fabrikwesen stehen, und bietet daher für Arbeitnehmer und Arbeitgeber, wie für Beamte ein bequemes Mittel, sich mit der Fabrikgesetzgebung bekannt zu machen. Die andern Hefchen enthalten nur einzelne Hauptabschnitte aus diesem Buche und das Dampfkesselrevisionsbuch ist eine, genau im Sinne des Preuss. Gesetzes vom 3. Mai 1872, den Betrieb der Dampfkessel betr., abgefaßte Sammlung von Tabellen zum Eintragen des Revisionsbefundes, welchem überdies ein Tableau über die Allgemeinen Verhaltensmaßregeln beigegeben ist.

Die Tacheometrie und deren Anwendung bei Tracestudien. Von C. Werner, Commissär der k. k. General-Inspection der österr. Eisenbahnen. Wien, 1873. Lehmann & Wenzel, Buchhandlung für Technik und Kunst.

In diesem Werkchen begrüßen wir eine klare und kurz gehaltene Beschreibung der tacheometrischen Instrumente und Verfahrensweisen mit besonderer Berücksichtigung der für Eisenbahntracirungen geeigneten Apparate und Methoden. Der Herr Verf. ist kein einseitiger Verehrer der Porro'schen Tacheometrie, sondern benützt nur das wirklich Gute und Brauchbare derselben. Wir können nur wünschen, daß dieses Buch von den mit Tracirungsarbeiten beschäftigten Ingenieuren recht gründlich studirt werden möge.

Ingenieur-Kalender für Maschinen- und Hüttentechniker. 1874. Eine gedrängte Sammlung der wichtigsten Tabellen, Formeln und Resultate aus dem Gebiete der gesammten Technik, nebst Notizbuch. Unter gef. Mitwirkung mehrerer Bezirksvereine des Vereins deutscher Ingenieure bearbeitet von P. Stühlen, Ingenieur und Eisengießereibesitzer in Deuß. Neunter für Meter- und Fußmaaß bearbeiteter Jahrgang. Essen. Druck und Verlag von G. D. Bader.

Dieser beliebte und weit verbreitete Kalender bringt diesmal als Neuigkeit mehrfache Erweiterungen im Tabellenwert, ferner die neue deutsche Drahtlehre, die Vereinbarungen über Rohrdimensionen und die rheinische Rohrscale für Wasser- und Gasleitungen, endlich die Gesetze über die neue Reichsmünze und über die Verbindlichkeit zum Schadenersatz, sowie die neuen Bestimmungen über Eisenbahnwesen.

Referate aus technischen Zeitschriften.

Zeitschrift des Vereines deutscher Ingenieure. 1873. Band XVII, Heft 5 bis 7. (Schluß.)

Klein, über Dampfkesselarmaturen. — Zur Befestigung der Armaturen soll man nur eingewinkelte oder eingeschraubte Stützen nehmen und zwischen die Hauptleitung und die Armaturen gebogene Rohrstücken einfügen. Die Sicherheitsventile sind meist Klemmungen ausgesetzt und schwer zu

reinigen, die Absperrentile schließen oft schlecht ab und sind schwer zu öffnen und zu schließen. Speiseventile sollen stets mit einem Absperrhahn verbunden sein und müssen eine besonders gute Führung haben. Die Säue leiden vielfach an Undichtheit, die Wasserstandsgläser sind dem Zerspringen sehr ausgesetzt. Bei den Armaturen der Frankenthaler Fabrik von Klein, Schanzlin & Becker ist auf möglichste Beseitigung dieser Mängel Rücksicht genommen.

Centrifugalpumpen zur bergmännischen Wasserhaltung. — Bei der Braunkohlengrube: Luther's Linde bei Muldenstein wurde ein erschoffener Tagebau mittelst Locomobile und Centrifugalpumpe wieder gewältigt. Die Pumpe besaß 260^{mm} Durchmesser, 105^{mm} weite Saugröhren und arbeitete mit 1300 Umgängen pro Minute, wobei sie 2^{edm} Wasser pro Minute 6,5^m hoch anzusaugen und dann 8,5^m hoch zu drücken hatte. Bei normalen Zuständen hat sie täglich nur 5 Stunden zu arbeiten, hebt nach Stillständen meist von selbst wieder an und wird durch schmutziges Wasser nicht gestört.

Rübler, Theorie der eisernen Bogenbrücken. — In dieser noch nicht abgeschlossenen Behandlung soll eine allgemeine Theorie dieser Brücken vorgetragen und durch mitgetheilte Tabellen die Berechnung der Bogenträger erleichtert werden.

Bojāček, Schmalspurbahnen und Localbahnen. — Nachdem sich der Herr Verf. im Eingange seiner Abhandlung mit den Ansichten v. Weber's über Schmalspurbahnen einverstanden erklärt hat, führt derselbe eine Aeußerung des Betriebsdirectors Jacquin an, worin dieser seine Ueberzeugung dahin ausspricht, daß der Betrieb solcher Bahnen nur von kleinen, geringe Ansprüche machenden und an den betreffenden Ortschaften selbst ansässigen Gesellschaften übernommen und in der Art geführt werden könne, daß das Fahrgeld vom Schaffner selbst eingenommen werde, und daß dieselbe Locomotive, welche einen Zug gebracht hat, denselben auch sofort wieder zurückführe, um alle Signale überflüssig zu machen, und berichtet ferner nach Bergeron über den Betrieb der Thornton-Leven-Eisenbahn (jetzt Leven und East Fife-Eisenbahn in Schottland), bei welcher die Beamtenfunctionen durchaus von Gesellschaftsmitgliedern gegen geringes Entgelt verrichtet, sämtliche Züge von nur einem Locomotivführer und einem Heizer, welcher zugleich unterstützt von einem Schlosser und einem Tischler die kleinen Reparaturen versorgt, geführt werden, und nur eine einzige Zwischenstation mit einem gewöhnlichen Aufseher existirt. Bezüglich der Brühlthalbahn wird bemerkt, daß dieselbe ebenfalls in sehr billiger Weise verwaltet werde, und hauptsächlich für den abwärtsgehenden Güterverkehr der Friedrich-Wilhelmshütte bestimmt sei, zu dessen Vermittelung sehr einfache Umlade-Vorrichtungen bestehen, daß sie auch von der Regierung von fast allen sicherheitlichen Bedingungen und Einschränkungen bezüglich der Tracirung dispensirt worden sei (es befinde sich beispielsweise 80 Schritte von der Bahn eine Pulvermühle), und daß erst neuerdings vom Staate eine regelmäßige Personalbeförderung ausbedungen worden sei, nachdem der Staat der Gesellschaft eine Unterstützung von 60000 Thlr. gewährt habe. Für derartige Bahnen empfehle sich bei lebhafterem Verkehr die Einführung des Staffisystems, welches bei der Sirhowy-Eisenbahn in England in Gebrauch sei. Diese Bahn hat nämlich 5 Zwischenstationen und es existiren fünferlei verschiedene Staffs

und Billets, welche für eine Strecke zwischen zwei Stationen gelten, und von denen immer einer oder eines auf dem Zuge sein muß. Keine Maschine und kein Zug darf eine Station verlassen, wenn sich der für die zu befahrende Strecke gültige Staff nicht dort vorfindet. Diesen Staff nimmt der Zugführer an sich, wenn aber dem betreffenden Zug ein anderer folgen soll, so bekommt der Zugführer ein Billet mit der Deutung „Staff folgt nach“ und dieses wird in eine Kapsel eingeschlossen, zu welcher sich der Schlüssel am Staff befindet. Nur der Stationschef darf den Staff annehmen und herausgeben und ein Zugführer, welcher einen Staff oder ein Billet weiter als auf die bestimmte Strecke mitfährt, oder eine Station ohne diese Zeichen verläßt, hat die Entlassung verurteilt. Zur Ermittlung der zu erwartenden Brutto-Einnahmen kürzerer Seitenbahnen kann nach Schüller die Formel

$$E = \frac{S}{L} \sum (p) \left[0.04 \cdot 11,15 + \left(0,08 + \frac{0,8}{L} \right) 4,4 \right] \text{ Mark}$$

benutzt werden, wenn S die Entfernung der Anschlußstation vom Schwerpunkt der an der Bahn gelegenen Stationsorte in Kilometern, L die Länge der Bahn in Kilom. und $\sum (p)$ die Summe der Einwohner der an der Bahn gelegenen Stationsorte bedeutet. Für die Betriebskosten läßt sich die Formel $A = (0,018 p + 0,030 t + Z + 80)$ Mark aufstellen, in welcher p die Anzahl der Passagiere pro Kilometer Bahnlänge, t die Anzahl der Tonnen Fracht pro Kilom., Z die Ausgabe für Vieh, Pferde, Equipagen, Hunde und Gepäc pro Kilom. bedeutet, die Mehrkosten bei ungewöhnlichen Steigungen aber nicht berücksichtigt sind.

Erdmann, eiserne Seilscheibengerüste. — Von ganz eisernen Seilscheibengerüsten hat man theils vier-, theils zweibeinige Böcke. Erstere bilden abgestumpfte Pyramiden, zusammengesetzt aus vier gußeisernen oder gewalzten Streben, welche oben einen horizontalen Rahmen aus I-förmigen Trägern tragen und durch Andreaskreuze aus Winkel- oder U-Eisen unter sich verbunden sind. Die Streben stehen mittelst gußeiserner Schuhe auf einem quadratischen oder rechteckigen Mauerfundament und sind darin verankert. Sie dienen zugleich zur Befestigung einer hölzernen Bekleidung. Bei den zweibeinigen Böcken werden die Seilscheibenlager von zwei in einer verticalen Ebene liegenden, aber nach unten divergirenden Beinen getragen, indem diese letzteren ober- und unterhalb der Seilscheiben durch zwei horizontale kastenförmige Träger verbunden sind, während die vier Seilscheibenlager consolenartig in der Mitte von vier verticalen, zwischen den horizontalen Trägern angebrachten, I-förmigen Balken befestigt sind. Bei einer andern Art von zweibeinigem Bock stehen die Streben schief nach der Resultante des auf die Seilscheiben wirkenden Zuges und sind nach der Fördermaschine hin durch drei Flacheisenstangen und Kreuze, nach dem Schachte hin durch zwei verticale Zugstangen verstrebt.

Patentfrage. — Der erste internationale Patentcongreß hat folgende Beschlüsse gefaßt: der Schutz der Erfindungen ist unter der Bedingung der vollständigen Veröffentlichung durch die Gesetzgebung zu gewährleisten, weil das Rechtsbewußtsein den gesetzlichen Schutz der geistigen Arbeit verlangt, weil nur durch solch einen Schutz neue technische Gedanken sofort und glaubwürdig veröffentlicht werden können, weil erst dadurch die Arbeit des Erfinders lohnend werden kann, weil durch die vollständige Publication der Erfindungen

große Zeit- und Geldopfer vermieden werden, weil dadurch das Fabrikgeheimniß beseitigt wird, u. s. w. 2. Das Patentgesetz muß die Bestimmung enthalten, daß nur der Erfinder selbst oder sein Rechtsnachfolger ein Patent erlangen kann, daß das Patent auf 15 Jahre ausgedehnt werden kann, daß mit der Ertheilung eine vollständige Veröffentlichung verbunden ist, daß die Kosten der Patentertheilung mäßig, aber doch so eingerichtet sind, daß nutzlose Patente möglichst bald fallen gelassen werden, daß es Jedem leicht gemacht ist, die Specification eines Patentes zu erhalten und sich von seiner Dauer zu überzeugen, daß im öffentlichen Interesse auch eine Abtretung des Patentrechtes gegen angemessene Vergütung vermittelt werden kann, daß die bloße Nichtausübung eines Patentes nicht das Erlöschen desselben zur Folge hat, sofern die patentierte Erfindung nur überhaupt einmal ausgeführt worden ist.

Discussion über die Corlissmaschine. — Als Vorzug dieses Dampfmaschinen-systems ist anzuerkennen, daß die Regulirung nicht durch Drosselung des Dampfes, sondern durch Verstellung der Expansion erfolgt, und daß dabei besondere Eintritts- und Austrittscanäle vorhanden sind, was den bei der sonst üblichen gemeinsamen Benutzung der Canäle für Ein- und Austritt nicht zu vermeidenden Dampfverlust durch Condensation vermindert; dagegen scheint keine raschere Eröffnung und Verschließung der Canäle stattzufinden und in Bezug auf Kohlenersparniß den zweicylindrigen Dampfmaschinen der Vorzug zu gebühren.

Hilt, über unterirdische Wasserhaltungsmaschinen. — Nach den von Bluhme in der „Zeitschrift für Berg-, Hütten- und Salinenwesen“ gegebenen Mittheilungen ist es möglich, Ventile für 200 bis 400^m Druck herzustellen, sowie Dichtungen für Flanschen und Liderungen für Stopfbüchsen und Kolben zu fertigen, welche diesen Druck aushalten. Von den beiden Systemen unterirdischer Wasserhaltungsmaschinen, welche zeitlich versucht wurden, hat dasjenige mit rotirender Bewegung (Zwillingsmaschinen mit Schwungrad) der dazu erforderlichen großen Ränne und seiner größeren Kostspieligkeit wegen in Deutschland weniger Anklang gefunden, als dasjenige mit directer Wirkung (Tanghe, Gebr. Deder), obwohl das letztere keine Expansion gestattet und häufigen Betriebsstörungen ausgesetzt ist. Eine gewissermaßen vermittelnde Stellung nimmt die Construction der Firma H. und R. Lambert ein, welche sich auf geringen Hub und große Spielzahl gründet und daher nur kleine aber schwere Schwungräder anwendet. Auf Grube Langenberg steht solch eine Maschine mit einem 0,59^m weiten Dampfcylinder für 0,62^m Hub im Betrieb, welche bloß einen Raum von 10^m Länge und 2,5^m Breite beansprucht und bei 40 bis 60 Spielen mit 0,4 Füllung 1,3 bis 2,0^{cbm} Wasser pro Minute fördert, da sie zwei in der directen Fortsetzung der Kolbenstange liegende Plungerpumpen von 185^{mm} Kolbendurchmesser betreibt, welche das Wasser auf 210^m Höhe drücken. Die Steigventile haben 235^{mm} Weite und sind Doppelsitzventile, welche noch mit Spiralfedern versehen werden sollen. Von derartigen Maschinen wird man der größeren Sicherheit wegen stets noch eine Reservecumachine anschaffen, oft auch die Kessel unter Tags aufstellen können, obwohl die Condensation in den Dampfrohren nicht erheblich ist, und es wird unter Umständen dieses System für die Ventilation sehr günstig wirken.

Zeitschrift des Architekten- und Ingenieur-Vereines zu Hannover. Band XIX, 1873, Heft 2.

Heß, der Cavour-Canal. — Unter den in Europa für Landesculturzwecke angelegten Canälen ist der Cavour-Canal unbedingt der großartigste. Im Jahre 1853 von dem Ingenieur Rodé entworfen, wurde derselbe doch erst im Jahre 1862 von einer englischen Gesellschaft in Angriff genommen, welche die Ausführung wieder an einen Unternehmer übertrug. Die Gesellschaft erklärte sich aber im Jahre 1866 für insolvent und seit 1869 wird die Verwaltung durch einen Ausschuß geführt, zu welchem die Interessenten und die italienische Regierung je 4 Mitglieder stellen. Seitdem bessern sich die Verhältnisse des großartigen Unternehmens, auf welches bereits 102²/₃ Millionen Lire verwendet worden sind, die Actionäre haben aber große Verluste erlitten. Der 82,23 Kilometer lange Cavour-Canal ist bei Chivasso aus dem Po abgezweigt und durchschneidet die norditalienische Ebene in ziemlich gerader Richtung, bei Livorno, S. Germano, Biandrate und Novara vorbeigehend, bis er bei Galliate in den Ticino ausmündet. Hierbei hat er die Dora Baltea, den Ivrea-Canal, den Wildbach Elvo, den Cervo, die Roasenda, die Sesta, den Agognaga- und Tardoppiofluß zu überschreiten. Das Totalgefälle beträgt 21,73^m oder durchschnittlich 0,264^m auf 1^{km}, die Sohlenbreite bei der Einlaßschleufe 40, dann 20 und 12,5 und zuletzt 7,5^m. Die Böschungen sind einsüßig angelegt, alle Bauwerke massiv in Ziegelbau hergestellt, doch kommt auch Mauerung in Granitwerkstücken, sowie aus Geröllsteinen vor. An größeren Bauwerken sind 118 Brücken, 39 Brückencanäle, 197 Unterleitungen, 8 Ablassschleusen, Wehr und Einlaßschleufe im Po zu zählen, so daß auf 0,22 Kilometer Canallänge ein größeres Bauwerk kommt. Die Einlaßschleufe ist ein dreietagiges imposantes Bauwerk mit 40^m Lichtweite der 21 Durchlaßöffnungen. Die 0,4^m starken Granitpfeiler zwischen diesen Oeffnungen enthalten drei Reihen Falze, wovon die äußeren Dammbalken, die mittleren Falze die Schützen aufzunehmen bestimmt sind. In der untersten Etage befinden sich die Durchlaßöffnungen, die mittlere Gallerie dient zur Herausnahme der Schützen bei Reparaturen und die obere Gallerie zur Handhabung der Schützen, welche bloß mittelst durchlöcherter Stangen und Wuchtebaum gehoben werden. Neben der Einlaßschleufe befindet sich zum Ablassen von Hochwasser und zur Spülung eine Ablassschleufe mit 9 Oeffnungen von 1,65^m Lichtweite; Vor- und Abfallboden der Schleufe ist durch eine Art Pfahlrost aus 4^m langen, 1^m weit auseinanderstehenden Pfählen gebildet, dessen Zwischenräume mit Beton abgestampft sind, und welcher oben mit Granitplatten abgedeckt ist. Unter den zahlreichen Aquäducten ist der bedeutendste derjenige über die Dora Baltea, an welchen sich zwei Dämme von bedeutender Länge anschließen, so daß die Gesamtlänge 2318^m beträgt. Derselbe kann bei 20^m Weite und 3^m Wassertiefe eine Wassermenge von 100^{cbm} pro Secunde abführen und der davon gekreuzte Fluß schießt bei Hochwasser mit großer Gewalt durch 9 Bögen von 16^m Spannweite und 1,6^m Pfeil. Die Gewölbe, welche im Scheitel 0,77^m stark sind, sind aus Backstein ausgeführt und mit einer Cementdecke aus 100^k hydraulischem Mörtel von Bergamo und 0,15^{cbm} Flußsand bedeckt. Die Fundirung geschah auf eingerammten Pfählen und Beton, diejenige der Dämme auf Beton. Letztere sind auf der Innenseite mit einer 1,15^m

starken Mauer aus Kieselstein mit durchgehenden Backsteinschichten und Vormauerung verkleidet. Die Sohle ist nur mit Thonschlag über dem gewachsenen Boden hergestellt, welcher durch Eintreiben von Vieh gedichtet ist; einige vorgekommene Undichtheiten wurden vergeblich durch eingeschütteten Thon zu dichten versucht, aber durch Sand beseitigt. Kleinere Wasserläufe sind durch Canäle aus Granitplatten von 0,3^m Stärke hergestellt, welche 4^m frei liegen und auf 0,8^m starken Pfeilern getragen werden. Sehr schön ist die Unterleitung unter dem Gesiaflusse hergestellt, einem Wildbache, dessen Bett im Sommer nur einem Gerölmeere gleicht, zu Zeiten aber 4500^{cm} Wasser pro Secunde führt. Sie besitzt 264^m Länge und 32,6^m Breite und besteht aus fünf elliptischen Röhren von 4,995^m Lichtweite und 2,3^m Höhe. Da der Po nicht genügendes Wasser führt, so mußte ihm das Fehlende durch einen Speisecanal aus der Dora Baltea zugeführt werden, welcher 3153^m lang und in der Sohle 32^m breit ist (Wassertiefe 1,8^m, Geschwindigkeit 1,15^m). Das Wehr und die Ein- und Auslassschleusen sind bemerkenswerthe Bauwerke. Andererseits ist auch zur Bewässerung der Ländereien zwischen dem Agognaga- und Tessinflusse ein beträchtlicher Zweigcanal, der Pomellinacanal, angelegt worden, mit 10^m Sohlenbreite und 1,9^m Wassertiefe, dessen bedeutendes Gefälle (44^m) durch 23 eingelegte Wehre auch für die Industrie nutzbar gemacht ist. Von diesem Zweigcanal gehen wieder zwei Nebencanäle aus mit 5^m Bodenbreite. Aus diesen Canälen wird das Wasser zur Bewässerung gegen einen Wasserzins abgegeben, der nach dem italienischen Modul (d. h. 100 Liter Wasser pro Secunde) und der Entfernung bemessen wird. Der Modul kostet bei der Sommerwässerung und einer Canallänge unter 1 Kilometer 3400, bei 1 bis 5 Kilom. Canallänge 2600 und bei über 5 Kilom. Canallänge 1700 Lire, bei der Winterbewässerung aber 170 Lire. Bei der Benutzung als Aufschlagwasser kostet die Pferdekraft monatlich 5 Lire.

Häselser, Wegunterführung in der Bahn von Wittenberge nach Geseesmünde. — Unsern Kienhendorf überschreitet die bezeichnete Bahn einen Feldweg und bald darauf einen Abzugsgraben und durch die Vereinigung der Wegunterführung mit dem Durchlaß ist das hier dargestellte complicirte Bauwerk entstanden.

Sasse, die Verticalparabel bei Stromgeschwindigkeitsmessungen. — Die Frage, ob die größte Geschwindigkeit im Wasserspiegel anzunehmen sei, oder in einiger Tiefe unter demselben, wird vom Herrn Verfasser theils durch Hinweisung auf die größere Schwerflüssigkeit der Wasserschichten an der Oberfläche und am Boden, theils durch Vorführung von Beobachtungsergebnissen in 10 Profilen im Sinne der letzteren Ansicht beantwortet.

Borkhausen, die Gebäude der Wiener Weltausstellung. — Eine nach der Zeitschrift *Engineering* bearbeitete, von 2 Tafeln und mehreren Holzschnitten begleitete Beschreibung dieser Gebäude.

Osthoff, Rutschungen an Eisenbahndämmen. — An der Dux-Bodenbacher Bahn, welche ein sehr leetiges Hügelland durchschneidet und zahlreiche Dämme und Einschnitte bis zu 15^m Höhe, resp. Tiefe mit 1½ fähiger Böschung besitzt, war von den Unternehmern jede Vorsichtsmaßregel bezüglich der Entwässerung und sogar bezüglich der Verwendung des Anschüttungsmateriales vernachlässigt worden und es ent-

standen daher sehr beträchtliche Rutschungen. Dieser Calamität dadurch abgeholfen worden, daß an Stellen, wo der Letten mit Sandadern und andern wasserführenden Schichten durchzogen war, für eine möglichst rasche Abführung des Regenwassers gesorgt und durch Anlage von 1 bis 2^m tiefen, 1^m breiten, sorgfältig mit Steinen ausgebeugten Sidergräben für hinreichende Drainirung der rutschenden Einschnitte gesorgt, bei den rutschenden Dämmen aber durch 2 bis 3^m breite Schläpfe bis zu dem darin enthaltenen schlechten Material eingebracht und letzteres durch Steine ersetzt, in einigen Fällen sogar in den schlüpfrigen Untergrunde ein vollkommener unterirdischer Steinlaß mit Abzugsschleuse hergestellt, oder der Dammsfuß durch 8 bis 9^m lange eingerammte Pfähle am weiteren Rutschen gehindert wurde.

Wharton's Weichenconstruction. — Bei dieser auf einigen amerikanischen Bahnen angewandten Weichenconstruction bleiben die beiden Schienenstränge des Hauptgleises ganz unverändert und das Nebengleise endigt in gemeinschaftlich beweglichen, im Längenprofil convergen Zungen.

Bart, Einfluß höheren Luftdruckes auf den thierischen Organismus. — Bei Sperlingen bewirkt eine plötzliche Steigerung des Luftdruckes von 1 auf 10 Atmosphären keine auffallende Wirkung, eine plötzliche Abnahme des Luftdruckes ruft fast stets Paralyse hervor, so daß der Tod sehr bald erfolgt. Die Verdünnung muß um so langsamer vorgenommen werden, je höher die Verdichtung gewesen ist.

Zeitschrift des Oesterreichischen Ingenieur- und Architekten-Vereines. XXV. Jahrg. 1873. Heft 9—12.

Hohenegger, der Bahnhof der österr. Nordwestbahn in Wien. — Dieser neueste der Wiener Bahnhöfe wurde in den Jahren 1869 bis 1872 erbaut und nimmt ein Terrain von 471800^{qm} Fläche ein, welches zwischen dem Kaiserwasserarm der Donau, dem Augarten und dem bebauten Theil der Brigittenau liegt. Um die Bahnhoffläche vor Hochwasser sicher zu stellen, war eine Erhöhung des Terrains um 3 bis 4^m nöthig und da die hierzu erforderliche Erdmasse von 1½ Millionen Kubikmetern in größerer Nähe nicht zu beschaffen war, so wurde sie mittelst einer auf den Ueberschwemmungsdämmen hingelegten Locomotivbahn von der Heiligenstädter Berglehne zugeführt. In Folge der während dieser Arbeiten erst zur Feststellung gelangten Pläne für die Donauregulirung wurde eine beträchtliche Höherlegung des westlichen Bahnhofstheiles nöthig, so daß der den Personen- und Frachtverkehr vermittelnde Raum in das Niveau der Laborstraße gebracht werden konnte. Der tiefer liegende Theil der Bahnhoffläche ist in den höherliegenden durch ansteigende Ebenen von 1:430 und 1:375 übergeführt, wodurch die Rangirung sehr erleichtert wird. Uebrigens bildet dieser Bahnhof eine Kopfstation und sein Terrain ist ein Dreieck von 600^m Basis und 1780^m Höhe. Der Personenbahnhof, welcher 73000^{qm} Fläche bedeckt, enthält das eigentliche Aufnahmegebäude mit 5 Hallen- und 7 weiteren Geleisen von zusammen 8500^m Länge, und an dieses Gebäude, dessen Axe in dem mitten durch den ganzen Bahnhof laufenden Ausfahrtsgeleise liegt, schließen sich zu beiden Seiten Schuppen für Eilgut- und Postverkehr, dann links Wagenschuppen mit je vier durchgehenden Geleisen und rechts eine Equipagenrampe

an. Es liegen hier 29 einfache und 2 englische Weichen, 20 kleine Drehscheiben à 4,6^m Durchmesser und eine Schiebebühne. Der Frachtenbahnhof, dessen genauere Beschreibung bereits im vorigen Jahrgange der Zeitschrift gegeben worden ist, und welcher 130000^{qm} Fläche einnimmt, enthält zwei Abtheilungen für Kaufmannsgüter mit 5 Geleisen zwischen 4 Güterschuppen, 2 Längen- und einer Stirnverladerampe, und eine Abtheilung für Rohproducte und Rohmaterialien mit 3 Paar Geleisen. Zur Verbindung dienen vier querlaufende Drehscheibenreihen, zum Umladen ein Lauf- und ein Drehkran, sowie 4 Krane in den Güterschuppen und acht Wandkrane außen. Die Geleislänge beträgt 7760^m, die Zahl der Drehscheiben 82, der Weichen 20. Der Rangirbahnhof enthält auf 152000^{qm} Fläche drei den Güterbahnhofsabtheilungen entsprechende Gruppen à 7 Geleisen von zusammen 21640^m Länge. Die drei Hauptgeleise dieser Gruppen vereinigen sich am Ende im Signalbahnhofe und die Einrichtung ist so getroffen, daß die in letzterem abgestellten Wagen in jedes der 51 Geleise ablaufen können, wozu 74 einfache und 18 englische Weichen angebracht sind. In der halben Länge des Bahnhofes zwischen der Personen- und Güterzugabtheilung befindet sich der ebenfalls schon im vorigen Jahrgange näher beschriebene Locomotivenbahnhof mit 32000^{qm} Fläche, 4380^m Geleisen, 20 Weichen und 2 großen Drehscheiben à 12^m Durchmesser. Er enthält zwei gerade Schuppen für je 16 und einen segmentsförmigen Schuppen für 6 Maschinen, 2 Kohlenschuppen, 1 Wasserstations- und 2 Canglei- und Kasernengebäude. Der Kohlenbahnhof von 54300^{qm} Fläche enthält 2 Geleisgruppen à 5 Geleisen von zusammen 4120^m Länge mit 16 Weichen und 18 Drehscheiben. Die Länge der Kohlenrutschen beträgt 700, diejenige des Auszuggeleises 400^m. Auf dem an der Spitze des Dreiecks liegenden Signalbahnhofe befindet sich ein Signalthurm nach englischem Muster, von welchem aus 6 Hauptweichen sammt Signalen gestellt werden. Endlich ist noch ein Raum von 7000^{qm} Fläche für den Dienst der Bahnunterhaltung mit Magazingebäude und großem eingefriedigten Hofe vorhanden.

Weikum, drehbarer Hebekran. — Bei den gewöhnlichen Drehkränen verursacht der Stützapfen am obern Ende der conischen Säule große Reibung und Abnutzung, weshalb bei der vorliegenden Construction am obern und untern Ende der stehenden Säule Führungen mit Stahlkugeln, sowie an Stelle der unteren Führung mit conischen Rädern eine drehscheibenartige Auflagerung mit Stahlkugeln angebracht ist.

Bode, die Wienthalbahn. — Project zu einer im Wienthale hinzuführenden Schmalspurbahn für Wien.

d'Avigdor, über die Regulirung des Wienflusses. — Vorschlag zur Auffammlung der Hochwässer der Wien in großen Reservoirs bei Hütteldorf, damit dann das Wienbett eingeengt und der gewonnene Raum zur Anlage zweier großen Unrathscanäle und einer normalspurigen zweigeleisigen Bahn benutzt werden könne.

Winkler, Project einer unterirdischen Bahn für Wien. — Dieses Project bezweckt eine Verbindung der einzelnen Vorstädte Wiens unter sich und mit der Stadt und basirt auf der Ausführung einer Tunnelbahn, weil eine Riveaubahn unzulässig und eine Viaductbahn der theuern Grundeinlösung und bedeutenden Ruhestörung wegen unvortheilhafter

sein würde, als eine unterirdische Bahn. So weit thunlich soll der Tunnel aus Stein in offenem Einschnitt hergestellt, bei größeren Tiefen mit eiserner Zimmerung vorgetrieben und unter dem Donaucanal und der Wien durch versenkte Röhren mit comprimierter Luft hergestellt werden. Die ganze Bahn wird mit 23½ Millionen Gulden veranschlagt und eine Verzinsung zu 8 Proc. angenommen.

Fink, über Betriebskosten und Tariffäge. — Untersuchungen über den Einfluß der Verkehrs- und Tracenerhältnisse auf die Betriebskosten und die Höhe der Tariffäge bei Transporten mittelst Eisenbahnen, welche die Fortsetzung der im Jahrg. 1870 der Zeitschrift enthaltenen ähnlichen Untersuchungen bilden.

Hinträger, Gebäude der landwirthschaftlichen Ausstellung in Wien. — Nähere Angaben über die drei Hauptbauwerke in der Nähe der Kunsthalle und der Maschinenhalle, welche bei der Wiener Weltausstellung zur Aufnahme landwirthschaftlicher Producte und Maschinen dienten. Sie umfaßten zusammen 29810^{qm} bedeckte Fläche und 15246^{qm} Hofraum, also ziemlich halb soviel als der Industriepalast. Die 10418^{qm} fassende Halle für landwirthschaftliche Producte und das 11642^{qm} bedeckende Gebäude für Producte und Maschinen der Länder England, Frankreich, Dänemark, Schweden, Italien u. s. w. haben 23^m Spannweite, die Halle für landwirthschaftliche Maschinen der Länder Oesterreich-Ungarn, Deutschland und Rußland 37,5^m Spannweite erhalten. Den Vollgespärren ist der bedeutende Abstand von 10,75 und 11,25^m gegeben, die Eindeckung mit Dachpappe und Zinkblechstreifen bewirkt worden. Die Gebäude stehen auf Pfählen, sind aus unbeholtem Holze gefertigt, mit jalouseartiger Wandschalung versehen und mit Kalkfarben bemalt.

Vollmann's Schieß- und Sprengpulver. — In dem gewöhnlichen schwarzen Schießpulver sind 9 bis 19 Proc. Kohle, 9 bis 18 Proc. Schwefel und 69 bis 79 Proc. Salpeter enthalten und hiervon kann 2/3 als unnötiger Ballast bezeichnet werden, da das eigentliche wirksame Gas nur die Kohlenäure ist. Das verschiedene Mischungsverhältniß, die Schnelligkeit des Verbrennens und die Höhe der Entzündungstemperatur bewirken auch eine langsamere oder schnellere wirkende Explosivkraft, wogegen Schießbaumwolle und Dynamit eine fast momentane Zersetzung in Gase erfahren und daher weniger eine treibende, als eine brisante Wirkung äußern. Das Vollmann'sche Pulver, welches dieselben Verbrennungsproducte wie das Schwarzpulver liefert, zeichnet sich vor demselben dadurch aus, daß es Nichts enthält, was bloß Schlacke oder Rückstand bildet (?), und vor dem Dynamit dadurch, daß es eine Regulirung der Gasentwicklung gestattet. Prüfungen im k. k. Arsenal zu Wien haben eine größere Tragweite und dem Gewichte nach eine mehr als doppelt so große Kraft nachgewiesen, bei Sprengpulver die vierfache Kraft. Uebrigens verunreinigt das neue Pulver die Gewehre weniger, giebt weniger Rückstoß und verursacht weniger Rauch.

Schön, Brückenbauten in Nordamerika. — Auf 5 Tafeln Zeichnungen werden interessante Details über die Verbindungen bei den Howe'schen Holzbrücken und über die Fachwerksbrücken nach Post's System vorgeführt. Als charakteristische Eigenschaften des amerikanischen Brückenbaues werden bezeichnet: die einfache Bolzenverbindung in den Knotenpunkten, eine gleichartige Durchbildung der Gurtungen,

Ständer, Streben u. s. w., die Benutzung solcher Constructionen, deren Einzeltheile in der Fabrik fertig gemacht, leicht transportabel und mit den geringsten Kosten herstellbar und in Stand zu halten, resp. auszuwechseln sind, die Aufstellung mittelst sehr leichter Hilfsgeräthe, endlich die Ausführung durch große Brückenbaugesellschaften.

Leonhardt, Brothorhord und Hardingham's Dreicylinder-Dampfmaschine. — Bei dieser, auch auf der Wiener Weltausstellung vertretenen Dampfmaschine (sogen. Paragondampfmaschine) sind die drei Cylinder in ein dreiarbiges Gussstück vereinigt, in dessen Mitte sich die Kurbelwelle und Kurbel befindet. Die der Führung wegen etwas lang gehaltenen Kolben sind mit ihren kurzen Kolbenstangen direct an die Kurbelwarze angehängen und werden durch den in der Mitte eintretenden Dampf nach außen getrieben, so daß sie erst dann eine alternirende Bewegung mitgetheilt erhalten, wenn Dampf hinter dieselben tritt oder hinten ihnen entweicht, was durch einen auf der Kurbelwelle sitzenden und mit ihr rotirenden Kreisschieber vermittelt wird. Die in Wien arbeitende Maschine, welche eine Pelicalpumpe betrieb, besaß 228^{mm} Cylinderdurchmesser und 203^{mm} Hub, arbeitete ohne Geräusch mit 1000 bis 2000 Umdrehungen pro Minute und 2,8^k Druck pro \square^{cm} und nahm sehr wenig Raum ein. Durch Einsätze in den Schieber läßt sich auch Expansion erzielen.

Müller, zulässige Inanspruchnahme des Schmiedeeisens. — Im Allgemeinen ist man darüber einig, daß die zulässige Inanspruchnahme von der Art der Belastung abhängig ist, und da alle Theile einer Construction eine gleiche Sicherheit bieten sollen, so müssen die gedrückten Theile nach einem andern Coefficienten berechnet werden, als die gezogenen oder die abwechselnd mit Zug und Druck belasteten Theile zc. Alle Spannungen müssen selbstverständlich unter der Elasticitätsgrenze bleiben, zur Aufsuchung dieser Grenze sind aber zahlreiche Versuche erforderlich, für deren Veranstaltung die Böhler'schen Versuche als Muster dienen können. Diese Versuche haben gelehrt, daß bei Schmiedeeisen (von Phönix) eine Faserspannung von 2193^k pro \square^{cm} als Elasticitätsgrenze angenommen werden kann, da diese Spannung 100 Millionen Mal wiederholt werden kann, ehe der Bruch eintritt. Sie haben ferner gezeigt, daß Schmiedeeisen eine 4 millionenfache Belastung mit 3216^k pro \square^{cm} aushält, wenn es stets nur bis auf 1462^k entlastet wird, und daß dieses Metall abwechselnden Druck- und Zugspannungen von 1170^k pro \square^{cm} unterworfen werden kann, ohne Schaden zu leiden. Man hat also für die verschiedenen Arten der Belastung auch verschiedene Elasticitätsgrenzen erhalten, welche Functionen der im Stabe verbleibenden permanenten Spannung sind, und wenn alle Theile einer Construction gleiche Sicherheit haben sollen, so muß für dieselben die entsprechende Elasticitätsgrenze ermittelt, der Sicherheit wegen aber nur ein Theil dieser Inanspruchnahme zugelassen werden, da theils Unvollkommenheiten in der Ausführung nicht zu vermeiden, theils Stöße bei der Belastung, die Einflüsse des Temperaturwechsels, die Roßbildung u. s. w. zu berücksichtigen sind. Für Bauwerke, deren Dauer eine größte sein soll, nehme man den dritten, für minder bedeutende den 2^{1/2}ten Theil der Elasticitätsgrenze und mit Rücksicht auf Temperatureinflüsse und Roß empfiehlt es sich sogar, diese Werthe noch zu vermindern. Ist das Verhältniß zwischen der permanenten und variablen Spannung, sowie zwischen der Druck- und Zug-

spannung, ermittelt, so kann man bei Schmiedeeisen die zulässigen Belastungen aus nachstehenden Tabellen entnehmen.

Verhältniß der perman- enten zur variablen Belastung.	Zuläss. Inanspruch- nahme in Kilogr. pro $\square^{\text{Centim.}}$		Verhältniß der Druck- spannung zur Zug- spannung.	Zuläss. Inanspruch- nahme in Kilogr. pro $\square^{\text{Centim.}}$	
	3f. Sicherh.	2,5f. Sicherh.		3f. Sicherh.	2,5f. Sicherh.
0,0	533	640	0,0	530	640
0,2	579	695	0,2	543	652
0,4	618	742	0,4	551	662
0,6	652	783	0,6	558	671
0,8	678	815	0,8	564	678
1,0	704	845	1,0	570	685
1,5	752	903	1,5	585	703
2,0	789	948	2,0	596	716
3,0	842	1011			
4,0	862	1036	4,0	606	728
10,0	896	1076	10,0	612	735
∞	913	1096	∞	637	765

Hauenschild, über Dolomitcemente. — Reine Dolomitcemente besitzen eine schöne weiße Farbe und eignen sich sehr zur Flächenornamentik. Dieser Cement verträgt den 5 bis 6fachen Sandzusatz, erhärtet in ca. 24 Stunden und nimmt eine Festigkeit an, die nur von den besten Portlandcementen übertroffen wird, auch kommt dieser Cement in der Erzeugung billiger zu stehen, als andere Cemente, läßt sich indessen nicht als hydraulischer Cement verwenden. Zur Darstellung eines guten Dolomitcementes sind kieseläurereiche magnesiashaltige Mergel untauglich.

Hente und Borowski, Apparat zum selbstthätigen Anzünden und Auslöschen der Gasflammen. — In einer Versammlung des österreichischen Ingenieur-Vereins wurden Experimente mit einem zur Zeit noch geheim gehaltenen mechanischen Apparate vorgeführt, welcher gleichzeitig selbstthätig die damit versehenen öffentlichen Straßenlaternen anzündet, und nach Verlauf einer bestimmten Zeit wieder auslöscht. Das Anzünden soll durch den höheren Druck bewirkt werden, welcher Abends in den Gasanstalten gegeben wird, das Auslöschen eines Theiles der Gasflammen durch die Verminderung des Druckes, welcher um Mitternacht in den Gasanstalten bewirkt wird, und das Auslöschen des Restes der Flammen durch noch größere Druckverminderung.

Scheidtenberger, der Bau des Homberg-Tunnels. — In der Bahnstrecke Klagenfurt-Marburg ist bei Bleiburg ein 330,88^m langer eingleisiger Tunnel durch den Homberg ausgeführt worden, dessen Betrieb wegen des bedeutenden und ungleichartigen Gebirgsdruckes (das Gebirge bestand aus Kalk, Letten, feinem Sand und blauem Thon) mancherlei Schwierigkeiten bot. Es mußte eine Baumethode gewählt werden, welche das Vordringen mit kurzen Ausbruchlängen und mit dicht dahinter folgender Mauerung gestattete, und da der hauseleitende Ingenieur bereits den Tunnel No. 4 am Karst nach der österreichischen Methode ausgeführt hatte, so wurde letztere Bauweise gewählt, deren Beschreibung der Gegenstand dieser Abhandlung ist. Die Kosten betrugen 1407,7 fl. ö. W. pro lauf. Meter.

Leonhardt, Brotherhood & Hardingham's Helicalpumpe. — Bei dieser Centrifugalpumpe ist das Gehäuse ein voller Schraubengang der auf der einen Seite in das Saug-, auf der andern in das Steigrohr endigt, und in welchem ein rechtwinkelig zur Axe stehendes Rad mit rectangulären Radialschaufeln rotirt. Das Wasser findet durchgängig einen gleichen Querschnitt und verfolgt seinen Weg ohne alle Ablenkungen und Krümmungen. Die Helicalpumpen machen weniger Umgänge, als gewöhnliche Centrifugalpumpen, sind aber ebenfalls besonders für geringere Förderhöhen geeignet.

Schmid's oscillirender hydraulischer Motor. — Auf der Wiener Weltausstellung war diese Maschine, deren in diesen Blättern schon wiederholt gedacht worden ist, in einer neuen Anordnung zu sehen, welche verschiedene Verwendungen derselben gestattet, nämlich 1. als gekuppelte rotirende Wasserfäulenmaschine, 2. als Dampfmaschine, indem die eine Maschine als Dampfmaschine, die andre als getriebene doppelwirkende Pumpe arbeitet, 3. als gekuppeltes Pumpwerk mittelst Riemen oder Zahnradvorgelege getrieben, 4. als Luftcompressionspumpe, indem die eine Maschine durch Wasser oder Dampf getrieben wird, während die andere als Luftpumpe fungirt. Die ausgestellte Pumpe hatte 140 mm Kolbendurchmesser und 160 mm Hub und leistete bei 200 Touren pro Minute 800 Liter. Als Motor kann sie 50 bis 300 Touren machen, braucht also meistens kein Vorgelege. Bei 30 m Wasserdruck leisten die Maschinen mit 60, 80 und 100 mm Kolbendurchmesser resp. $\frac{1}{4}$ bis $\frac{1}{3}$, $\frac{1}{2}$ bis $\frac{3}{4}$ und 1 bis $1\frac{1}{2}$ Pferdekraft. Die Canalquerschnitte werden jetzt halb so groß genommen, als die Kolbenquerschnitte und die Kolbengeschwindigkeiten gleich 0,5 m.

Ranter, die Sct. Gotthardbahn. — Der Herr Vortragende schildert zunächst im allgemeinen Umriss die Haupttrasse dieser Bahn, über welche die speciellen Terrainstudien noch nicht geschlossen sind, und geht dann näher auf den Bau des Gotthardtunnels ein. Dieser 14960 m lange, von Göschenen aus auf 7457 m Länge unter 0,00582 ansteigende und dann von dem 1152,4 m über der See liegenden Scheitelpunkt nach Airolo hin unter 0,001 abfallende Tunnel soll vom Unternehmer in 8 Jahren vollendet werden, war aber im Juni d. J. (1873) erst auf 450 m aufgeföhren, da die Herstellung der Wasserleitungen, Arbeitsplätze, Materialschuppen, Maschinen und Maschinenhäuser, Logishäuser u. s. w. in dem engen Felsenthale bei Göschenen, dessen Boden größtentheils von der reißenden Neuf eingekommen wird, viel Zeit in Anspruch genommen hat. Beim Ausbrechen des Tunnels bedient man sich der belgischen Methode, indem zuerst mit einem Firnistolln vorgegangen und dann, wenn dieser auf eine Strecke vollendet ist, mit dem Fußstolln begonnen wird. Für die feste Gebirgsmasse bei Göschenen ist dieser Betrieb vortheilhaft, wogegen sich für die Seite von Airolo, wo der Tunnel in Kalkstein steht und sehr starker Wasserzudrang stattfindet, das Vorgehen mit einem Sohlenstolln besser geeignet haben würde. Für die Gesteinsarbeiten bedient man sich der Gesteinsbohrmaschinen von François & Dubois, wovon auf einem Gestell 4 bis 6 Maschinen arrangirt und zugleich in Gang gesetzt werden. Jede Maschine bohrt in 2 bis $2\frac{1}{2}$ Stunden ein 0,9 bis 1 m tiefes Loch, so daß in 49 Schichten à 7 bis 8 Stunden 1336 Bohrlöcher mit 1290 m Lochtiefe hergestellt worden sind, wobei 6680 Stück Meißelbohrer ver-

schlagen wurden. Das Bohrmaschinengestell läuft mit Rädern auf dem Eisenbahngleis, welches der Förderung wegen bis vor Ort gelegt ist, und es ist demselben noch eine Art Power beigegeben, welche vorräthige Bohrer und Werkzeuge führt. Wegen häufiger Reparaturen an den Bohrmaschinen muß von diesen stets die doppelte Anzahl in Reserve gehalten werden. Zum Betrieb dieser Maschinen wird comprimirt Luft verwendet, welche mittelst der bekannten Commeiller'schen Luftcompressionspumpen mit Wasserverschluß erzeugt wird, und als Motoren für diese Pumpen dienen vorläufig Dampfmaschinen, an deren Stelle aber bald Turbinen in Gang gesetzt werden sollen. Für die Förderung im Tunnel ist eine mit Luft getriebene Locomotive in Aussicht genommen.

Leistung englischer Locomobilen. — Bericht über Bremsversuche, welche bei der landwirthschaftlichen Ausstellung zu Cardiff mit verschiedenen concurrirenden Locomobilen abgeführt worden sind. Der geringste beobachtete Brennmaterialverbrauch pro Pferdekraft und Stunde betrug 2,79 Pfd.

Mont-Cenis-Tunnel. — Nach dem Engineer vom 28. März 1873 ist der Durchschlag der beiden Tunnelörter ohne nennenswerthe Niveau- und Richtungsdifferenzen erfolgt. Die Länge beträgt genau 12232,55 m, oder mit Einrechnung der gekrümmten Eingänge 12846,92 m, die Seehöhe von Modena 1159, von Bardonnèche 1292 und diejenige der höchsten Tunnelsohle 1295 m, die Höhe des Gebirges über dem Tunnel aber 2906 m. Von Gesteinschichten wurden Kohlenschiefer auf 2906,5, Quarz auf 388,5, Kalk- und Dolomit auf 355,6, Kalkschiefer auf 9392,95 m Länge durchfahren. Der größte monatliche Fortschritt in der Auffahrung betrug 120, der geringste 11 m (in Quarz) und es wurden seit 1868 nur Gesteinsbohrmaschinen, sowohl zur Herstellung des Riststollns, als zum Erweitern desselben angewendet, welche bei 250 Hüben 0,358^{cm} comprimirt Luft verbrauchten. In 24 Stunden wurden drei Schichten verfahren, indem man zuletzt mit großer Schnelligkeit zu arbeiten gelernt hatte. Zur Reserve für 20 stets in Arbeit begriffene Maschinen dienen 80 Stück vorräthige Bohrmaschinen, zur Erzeugung der erforderlichen comprimirt Luft am Nordende diverse hydraulische Motoren mit 860 Pferdekraften. Auch gegenwärtig sind zur Ventilation noch Maschinen erforderlich; es ist nämlich zwischen den Schienen ein 20^{cm} weiter, mit comprimirt Luft gefüllter Röhrenstrang gelegt, welcher in kurzen Entfernungen Föhne zum Auslassen der Luft besitzt, auch sind abwechselnd zu beiden Seiten in der Tunnelmauerung Nischen und Leuchtthürnen angebracht, erstere in 25 bis 50, letztere in 1000 m Abstand von einander. Die Temperatur des Gesteins beträgt in der Mitte des Tunnels 28,8° C. und die Fahrzeit zur Zurücklegung des Tunnels 25 Minuten.

(Schluß folgt.)

Literatur- und Notizblatt

zu dem zwanzigsten Bande des
Civilingenieur.

N. 2.

Literatur.

Die constructive Zeichnungslehre oder die Lehre vom Grund- und Aufriß, der Parallelperspective, der malerischen Perspective und der Schattenconstruction. Für technische Lehranstalten und für den Selbstunterricht bearbeitet von Dr. Joh. Müller, Professor zu Freiburg im Breisgau. Erster Theil mit einem Atlas von 35 Kupfertafeln, zweiter Theil mit einem Atlas von 37 Kupfertafeln. Zweite Auflage. Braunschweig. Druck und Verlag von Friedrich Vieweg und Sohn. 1874.

Indem wir hier ein Werk eines auf einem ganz andern Theile der Wissenschaft rühmlichst bekannten Autors ankündigen, lassen wir hervorheben, daß der Herr Verf. vor dem auf dem Gebiete des geometrischen Zeichnens als Lehrer längere Zeit thätig gewesen ist und Erfahrungen zu sammeln Gelegenheit gehabt hat. Eine Frucht der letzteren ist das vorliegende bereits in zweiter Auflage erscheinende und prachtvoll ausgestattete Werk, welches vorzüglich für Real- und Gewerbschulen bestimmt ist und daher abweichend von den meisten ähnlichen Werken seinen Gegenstand nicht im Sinne der darstellenden Geometrie, sondern möglichst allgemein verständlich behandelt. Ist die Parallelperspective in diesem Werke wissenschaftlich dargestellt und die malerische Perspective darin eingehender als in vielen andern Werken über Projectionslehre behandelt, so macht dasselbe auch für die Studirenden an polytechnischen Schulen und Banakademien höchst werthvoll, auch ist dasselbe in klaren allgemein verständlichen Verträgen halber zur Nachlese und zum Selbststudium sehr geeignet.

Der logarithmische Rechenchieber. Theorie und Gebrauch desselben von Karl von Ott, Professor an der k. k. deutschen Oberrealschule und h. Dozent für Baumechanik am k. deutschen Landes-Polytechnikum in Prag. Prag, 1874. J. G. Calve'sche k. k. Univ.-Buchhandlung. Ottomar Bayer.

Eine allgemein verständliche Erklärung des Princips des Rechenchiebers nebst ausführlicher Gebrauchsanweisung, wohlgeordnet zum Selbststudium.

Kurzer Bericht über die bei der Wiener Weltausstellung 1873 zur Anschauung gebrachten Eisenhütten-Pro-

ducte, Eisen- und Stahlarbeiten vom hüttenmännischen und gewerblichen Standpunkte aus und besonders unter Berücksichtigung der deutschen Zustände. Von Eduard Schott, Oberinspector in Ilfenburg a. Harz, Juror in der VII. Gruppe und Delegirter zur I. Gruppe. Leipzig, Verlag von Arthur Felix. 1873.

Dieser Bericht giebt trotz seines sehr beschränkten Umfanges einen so vorzüglichen Ueberblick über die bei der letzten Weltausstellung vorgeführten eisenhüttenmännischen Producte, wie ihn nur ein so erfahrener und gebildeter Fachmann zu liefern vermag, und ist daher auch noch jetzt, wo schon soviel über diese Ausstellung zu lesen gewesen ist, allen Fachleuten zur genauen Durchsicht zu empfehlen.

Gewichtstabellen für Walzeisen. Zum Gebrauch für Eisen-Producenten und Consumenten auf Grund der metrischen Dimensions-Scala des Zollvereinsländischen Eisenhüttenvereines berechnet von R. Ziebarth, Civilingenieur in Berlin. Berlin, 1874. Verlag von Rudolph Gärtnner.

Vorliegende Tabelle ist die erste, welche nur bestimmte Dimensionen und zwar diejenigen der vom Zollvereinsländischen Eisenhüttenverein aufgestellten Scala für Stab- und Band-eisen berücksichtigt, sie giebt aber für die darin vorkommenden Abmessungen die Gewichte sofort. Uebrigens umfassen diese Tabellen die Band-eisen-, Flacheisen-, Dreikant-, Quadrat-, Sechskant-, Achtekant- und Rund-eisen-Sorten, sowie Rund- und Quadratblech, gelochte Rundbleche, endlich gezogene schmiedeeiserne und genietete Röhren.

Die Holzmesskunst in ihrem ganzen Umfange. Für Forst- und Landwirthschaft, Holzhandel, Fabrik- und Bauwesen bearbeitet von M. R. Preßler, k. S. Hofrath und Professor und Max Kunze, k. S. Oberförster und Professor an der k. S. Forstakademie Tharand. Separatabdruck der ersten und dritten Abtheilung des I. Bandes: Holzwirthschaftliche Tafeln von M. R. Preßler. Berlin, Verlag von Wiegandt, Hempel und Parey. 1873.

Außer sehr ausführlichen Massentafeln für Klöcher und Stämme nach Mittel- und Oberstärke, für Stangen nach Unterstärke und für Kastenholz und Keißig nebst eingehenden Erläuterungen und Instructionen enthält dieses hauptsächlich für Forstleute bestimmte Buch auch Anleitungen und Tabellen zur Bestimmung der Stamm- und Astmasse nach Preßler's Richtpunktlehre, zur Kubirung des Stehenden nach desselben

Autors System der Formzahlen, zur Schätzung des Stocholzertrages, zur Sortirung des Oberirdischen u. s. w., erfüllt also in vollstem Maße, was der Titel verspricht.

Grundzüge des Eisenbahnwesens in seinen ökonomischen, politischen und rechtlichen Beziehungen von Dr. Max Hausshofer, Professor an der polytechnischen Hochschule zu München. Stuttgart. Verlag von Julius Meier.

Während die technische Literatur gegenwärtig keinen Mangel mehr leidet an guten Werken über Eisenbahntechnik, so fehlte bisher entschieden ein Werk über Eisenbahn-Ökonomie und Politik und die angehenden Eisenbahnbeamten waren in dieser Beziehung auf das Studium einzelner Abschnitte in anderen Werken und zerstreuter Abhandlungen in technischen Zeitschriften gewiesen. Obiges Werk ist daher eine nothwendige Ergänzung zu den meisten Handbüchern über Eisenbahnwesen und wird gewiß von allen, dieser Branche sich zuwendenden jungen Technikern mit Dank begrüßt werden. Dasselbe handelt über die bezüglich der Gründung, des Baues, des Betriebes, des Ertrages, der Kosten und Tarife der Eisenbahnen vorkommenden ökonomischen, politischen und juristischen Fragen und sein Studium wird daher auch manchem Verwaltungsbeamten noch von Nutzen sein.

Die Verwaltung der Eisenbahnen und die Buchführung im Eisenbahnbetrieb. Vollständig dargestellt von Louis Schmidt. Stuttgart. Verlag von Julius Meier.

Nach einer allgemeinen Einleitung über kaufmännische, industrielle und kameralistische Buchführung und einem kurzen Ueberblick über die Verwaltung der Eisenbahnen legt dieses Werkchen als Beispiel einer zweckmäßigen Eisenbahn-Buchführung ausführlich diejenige der Taunuseisenbahn auf die Jahre 1860 bis 1866 vor. Angehende Eisenbahnbeamte werden den allgemeinen Theil mit Nutzen studiren und auch der zweite Theil wird ihnen den Vortheil bieten, einmal das gesammte Rechnungswert einer Eisenbahn überblicken zu können.

Distanz- und Höhen-Messung. Formeln und Tabellen behufs Aufnahme und Höhenbestimmung. Von H. Stück, Ober-Geometer. Hamburg. Verlag von Otto Meißner. 1873.

Es sind in neuester Zeit mehrere Werke über Schnellmesskunst erschienen, in denen zur Vereinfachung der mit der Distanz- und Höhenmessung verbundenen Rechnungen meist besondere Instrumente, Rechenschieber u. dergl. mehr empfohlen werden, — das vorliegende Werkchen behandelt aber das Verfahren mit dem gewöhnlichen Theodolit und theilt zur Erleichterung der Rechnung sehr ausführliche Tabellen mit, welche von 5 zu 5 Minuten bis zu 30° fortschreiten und bei den Lattenabschnitten um 0,01 m wachsend bis 2 m reichen, also für den gewöhnlichen Bedarf völlig ausreichend zu erachten sind.

Grundzüge einer wissenschaftlichen Darstellung der Geometrie des Maßes. Ein Lehrbuch von Dr. Oscar Schlömilch, Kgl. Sächs. Geh. Hofrath und Professor am Kgl. Sächs. Polytechnikum. Erster Theil: Planimetrie und Trigonometrie. Fünfte

Auflage. Zweiter Theil: Geometrie des Raumes. Dritte Auflage. Mit in den Text gedruckten Holzschnitten. Eisenach. Verlag von J. Bacmeister, Hofbuchhändler.

Wenn ein Werk bereits seine fünfte Auflage erlebt hat, so bedarf es sicher einer Empfehlung nicht mehr und wir können uns in dieser Zeitschrift, welche eigentlich nur den angewandten Wissenschaften gewidmet ist, um so mehr darauf beschränken, das Erscheinen einer neuen Auflage dieses geistreichen und zur Vorbildung für Ingenieure vorzugsweise geeigneten Lehrbuches zu constatiren und unsern Wünschen für dessen immer weitere Verbreitung und Anerkennung Ausdruck zu geben.

Referate aus technischen Zeitschriften.

Zeitschrift für Bauwesen. Jahrgang XXIII, 1873, Heft 6 bis 12.

Möller, die Verlegung der f. Berliner Porzellan-Manufactur. — Diese von 7 Tafeln begleitete Abhandlung ist für Fachmänner sehr interessant, indem sie den Neubau der Fabrik schildert und vielfache Erfahrungen mittheilt, welche bezüglich der Brennöfen gemacht worden sind.

Plage, Studien über Krankenhäuser. — Architekten, welche Krankenhäuser zu entwerfen haben, finden in dieser verdienstvollen Abhandlung eine kritische Beleuchtung der in der neueren Literatur über diesen Gegenstand veröffentlichten Ausführungen und Vorschläge, was sie vieler zeitraubenden und mühevollen Studien überhebt. Im Anhang folgt sodann als Anwendung das Programm für ein Krankenhaus in Wiesbaden nebst Skizzen.

Bänsch, der eiserne Ueberbau der Eisenbahnbrücke über die Ruhr bei Alstaden. — Eine im Zuge der Mühlheim-Duisburger Eisenbahn liegende Brücke mit Parabelträgern von 33,268 m Spannweite und 3,75 m Trägerhöhe, welche insofern eigenthümlich construirt ist, als die obere Gurtung mit Hilfe von Z-Eisen röhrenförmig, die untere Gurtung — förmig gebildet ist, was theils eine größere Widerstandsfähigkeit gegen seitliche Ausbiegung, theils große Bequemlichkeit für die Verbindung gewährt. Zur Zeit der Erbauung dieser Brücke (1862) bereitete die Beschaffung der Z-Eisen nicht geringe Schwierigkeiten.

Bödeker, über die Bewegung vierrädriger Eisenbahnwagen in Curven. — Aus dieser gründlichen Untersuchung ergeben sich mancherlei beachtenswerthe Resultate. Sie zeigt u. A., daß sich die Wagen in Curven stets so zu stellen suchen, daß ihre Hinterachse radial steht, daß die zwischen Rädern und Schienen entstehenden Arbeitsverluste erst dann wesentlich von einander verschieden werden, wenn die Radachsen in ihrer Verlängerung auf derselben Seite des Mittelpunktes vorbeigehen, daß in stark überhöhten Curven von

kleinen Radien gewöhnlich Eden eintritt und um so nachtheiliger ist, je kleiner der Radstand und je größer der Radius ist, daß für jede Ueberhöhung und Curve eine Minimalgeschwindigkeit giebt, welche nicht überschritten werden darf, wenn eine Verschiebung der Hinterachse nicht eintreten soll, daß Spielraum und Ueberhöhung in gewissen Beziehungen zu einander stehen müssen, daß die Verschiebung der Vorderachse bei radial gerichteter Hinterachse nur durch das Aufsteigen der Räder zu ihren Hohlkehlen auf die Schienen möglich ist und Seilspannungen voraussetzt, welche je nach der Größe des Radius, der Spurerweiterung, Fahrgeschwindigkeit u. s. w. sehr verschieden ausfallen, und in derselben Weise wie die rollende Reibung auf den Zugwiderstand wirken u. s. w. Formeln und Tabellen zeigen die Größe der Arbeitsverluste für verschiedene Verhältnisse des Spielraumes zum Radstande, Radius, Conicität u. s. w.

Cramer, Dichtung der Sandschleufe in Breslau durch Cementmörtel. — Bei der Schiffschleufe auf der sogen. Sandinsel in Breslau zeigten sich seit längerer Zeit an der Schleufenkammer beim Entleeren Quellen, deren Entstehung nicht anders zu erklären war, als durch Undichtigkeit der Querspundwände unter dem Thorkammerboden. Man versuchte die entstandenen Hohlräume durch Eingießen von Cementmörtel aus 2 Th. Cement und 3 Th. Sand auszufüllen und mußte diese Arbeit der Schifffahrt wegen im Januar vor. Jahr. vornehmen. Zunächst wurden vor den beiden Spundwänden je vier 0,1^m weite Löcher senkrecht durch die Hauptermauer, den Thorkammerboden und den Abfallboden gebohrt, wozu man sich nach einem misslungenen Versuche mit Reisselbohrern eines eigenthümlichen Hohlbohrers bediente. Es wurde nämlich der untere Rand einer 9^m weiten und 1,5^m langen schmiedeeisernen Röhre verfläht und sägensförmig gehäut und dieses Instrument durch 2 Arbeiter rückwärts geführt, während ein dritter Arbeiter mit einem Hammer oben auf das Bohrgefänge schlug. Dieser Bohrer nahm zugleich in seiner Hohlung das Bohrmehl auf, was die Arbeit erleichterte. Bei den gegen 6^m tiefen Löchern kam das Meter Loch auf durchschnittlich 4 Thlr. zu stehen. Als die Löcher vollendet waren, wurde durch wiederholtes rasches Eingießen von Wasser in dieselben eine gehörig weite offene Verbindung nach den Hohlräumen hin hergestellt und dann der Mörtel in der Weise eingegossen, daß währenddem durch zwei Arbeiter umgeben mit einer die halbe Weite des Bohrloches ausfüllenden Holzstange gestampft wurde. Da die Schleufenkammer während dieser Arbeit nicht entleert werden durfte, so erfolgte das Eingießen durch ca. 2^m lange Röhren. Es wurden durch 1 Arbeiter stündlich 6^{cbm} Mörtel bereitet und versenkt und in den 8 Löchern überhaupt 9 bis 10^{cbm} Mörtel verbraucht.

Engel, Spiritusfabrik in Mikulstschütz. — Eine mit 5 Taf. Zeichnungen versehene Beschreibung einer auf durchschnittliche Verschmelzung von 26600 Liter Maische pro Tag eingerichteten Brenneret, welche im Jahre 1871 für den Grafen Guido Fentel von Donnersmarkt in Oberschlesien errichtet worden ist und ca. 72700 Thlr. gekostet hat.

Walbhauer, das Stadt-Krankenhaus in Riga. — Obwohl die klimatischen Verhältnisse die Anwendung des Paradenstystems bedenklich erscheinen ließen, so ist das Rigaer Krankenhaus doch nach dem Plane der Berliner Paraden errichtet worden, man hat es aber mit besonderen Heiz- und Ventilationsapparaten versehen, deren Beschreibung den Haupt-

gegenstand dieses Artikels bildet. Es ist nämlich mit einer Niederdruck-Warmwasserheizung und zugleich mit Luftheizung ausgestattet und außer der Ventilation durch den Dachreiter sind noch besondere durch den Warmwasserbereitungssofen geheizte Ventilationschlotten angebracht. Das Resultat wird als ein völliig befriedigendes geschildert.

Pichler, der Tunnel bei Aachen. — In der Verbindungsbahn zwischen der Bergisch-Märkischen und der Belgischen Staatsbahn war die Durchbrechung des Aachener Höhenzuges mittelst eines 870^m langen Tunnels und Voreinschnitten von 130 bis 150^m Länge nöthig, dessen Herstellung nicht besondere Schwierigkeiten geboten hat, aber auch in sehr kurzer Zeit bewirkt worden ist. Der Sohlenstolln ist nämlich bei ca. 1250^m Gesamtlänge von 10 Angriffspunkten aus in 6 bis 7 Monaten hergestellt worden und bei dem eigentlichen Tunnel sind pro Tag 2,5^m fertig geworden. Die Auszimmerung, welche in unserer Quelle in allen Stadien dargestellt ist, erfolgte mit Holz, die Ausmauerung, welche unmittelbar nachfolgte, mit Ziegeln. Man ging mit einem 1,88^m breiten, 2,2 bis 2,5^m hohen Firnstolln auf kurze Strecken voraus, zog dann die Kronbalken ein und holzte sie gegen provisorische Schwellen ab, nahm hierauf die seitliche Verkleidung des Firnstolln weg und legte noch 8 Kronbalken, welche gegen die ersten und die Sohle verbolzt wurden, und begann nunmehr auf der einen Seite mit dem Herunterbrechen und dem Verlegen der eichenen Hauptschwellen, welche vom Stolln aus fundirt wurden und dann zur Abstempelung der Kronbalken dienten.

Ueber die Leistung einer Chausseedampfwalze. — Nach Versuchen auf verschiedenen Chausseen bei Berlin kostete durchschnittlich die Befestigung von 100^{qm} Decklage 2 Thlr. 5 Sgr. 7 Pf. und von 1^{cbm} Steinschlag 7 Sgr. 7 Pf., indem pro Stunde 34,41^{qm} Steinbahn oder 2,96^{cbm} Steinschlag festgewalzt wurde. Bei Anwendung von Pferde- walzen, mit denen pro Stunde 22^{qm} Decklage und 1,73^{cbm} Steinschlag festgewalzt werden, kosten dagegen durchschnittlich 100^{qm} Decklage 5 Thlr 15 Sgr. und 1^{cbm} Steinschlag 21 Sgr. In beiden Fällen treten noch die Kosten für die Wasseranfuhr mit 2 bis 4 Thlr. pro Tag hinzu. Die Leistung der Dampfwalzen ist also fast doppelt so hoch, der Kostenaufwand um 25 Proc. geringer als beim Walzen mit Pferden, und überdies ist die hergestellte Oberfläche glatter.

Hausser, graphische Ermittlung der Ordinaten der Schwebler'schen Träger. — Brückenbauingenieure mögen nicht verfehlen, sich die vorgeführten einfachen Constructionen anzueignen.

Fauterburg, Mittel gegen Feuchtigkeit und Fäulniß. — Die Firmen Hausmann & Co. in Bern und Rebmann und Nägeli in Zürich sollen eine Anstrichmasse liefern, welche als ein vorzügliches Schutzmittel gegen den Zubrang der Feuchtigkeit zu bezeichnen sei.

Schwabe, über zweckmäßige Entladungsvorrichtungen für Kohlenlawen. — Auf den englischen Bahnen und der Nassauischen Eisenbahn verwendet man Wagen mit zwei Bodenkappen und zwei Klappen an jeder Langseite, welche auf einem besonderen, auf gemauerten Pfeilern über dem Bahnplanum gelagerten Geleise mit dem geringsten Zeit- und Kostenaufwande entleert werden können.

Zeitschrift des Vereines deutscher Ingenieure. 1873.

Band XVII, Heft 8 bis 10.

Fink, Centrifugalpumpen für größere Förderhöhen. — Bei den gewöhnlichen Centrifugalpumpen muß die Umdrehungsgeschwindigkeit im Verhältniß $\sqrt{h} : \sqrt{h_1}$ erhöht werden, wenn sie, anstatt auf die Höhe h zu heben, auf die Höhe h_1 heben sollen, und wenn ein gleiches Wassergewicht gehoben werden soll, so müssen auch die Rohrquerschnitte im Verhältniß von $\sqrt{h_1} : \sqrt{h}$ variiert werden, so daß die Umdrehungszahlen im Verhältniß $h^{3/4} : h_1^{3/4}$ zunehmen müssen. Die Reibungswiderstände wachsen hierbei in demselben Verhältniß und da mit der Wassergeschwindigkeit in den Röhren auch die Eintrittsgeschwindigkeit zunimmt, so muß es für eine gegebene Saughöhe eine Grenze der Förderhöhe geben. Nun wächst aber die erreichbare Förderhöhe nicht bloß mit der Umdrehungsgeschwindigkeit, sondern auch mit der Differenz $(r^2 - r_1^2)$ der Quadrate des äußeren und inneren Durchmesser, es wird also durch die passende Wahl des Verhältnisses $\frac{r}{r_1}$ möglich sein, die Centrifugalpumpen auch für größere Förderhöhen einzurichten. Die Saug- und Druckröhren sollen für 1 bis 1,5 m Wassergeschwindigkeit dimensioniert, der kleine innere Schaufelraddurchmesser um 20 Proc. größer als der Rohrdurchmesser genommen, die Radschaukeln nach Anleitung der in Band XIV der Zeitschrift gegebenen Regeln spiralförmig gekrümmt werden. Für das zu Erreichung der Förderhöhe h erforderliche Halbmesserverhältniß erhält der Herr Verf. $\frac{r}{r_1} = \sqrt{\frac{2gh}{27,2v^2} + 1}$, wenn v die Geschwindigkeit des Wassers in den Röhren bedeutet.

Käpfer, über Radialbohrapparate und Radialbohrmaschinen. — Allgemeine Erörterungen und spezielle Beschreibungen der Radialbohrapparate von C. van Haagen & Co. in Philadelphia, Spencer & J. Consterdine in Manchester, James E. Hunter in North-Adams, Mass., und der Radialbohrmaschinen von Karst in Nancy, Shanks in London, Robey & Co. in Lincoln, Whitworth und Hulke in Manchester, Mazeline in Havre, Fairbairn & Co. in Leeds, Hartmann in Chemnitz, Dingler und Co. in Zweibrücken u. s. w.

Ache, selbststeuernde Schmiededampfhammer. — Der Herr Verf. sucht nachzuweisen, daß bei der Berechnung der Arbeit der Schnellhammer die Arbeit des Vollraddampfes nicht vorkommt, die Nußarbeit vielmehr nur aus der Differenz der Expansionsarbeit des Ober- und Unterampfes und der Compressionsarbeit des Ober- und Unterampfes vermindert um die Reibungen besteht.

Popper, Verbesserung im Schiffsbau. — Um den Schiffswiderstand zu beseitigen, wird der Vorschlag gemacht, den Schiffskörper auf hohle theilweise in das Wasser eintauchende Räder zu setzen, also ganz über das Wasser hinauszuhoben.

Ziebarth, Mittheilungen von der Wiener Weltausstellung. — Dieselben betreffen die Dampfmaschine von Field & Cotton, bei welcher der Hochdruckcylinder den Kolben des Niederdruckcylinders bildet und der Hochdruck-

kolben mit dem Niederdruckcylinder fest verbunden ist, ferner die Centrifugalregulatoren von Gairnell & Guthrie, sowie von Friedrich, welche durch Veränderung des Verteilungswinkels eine Veränderung der Expansion bewirken, endlich die Wasserstopfbüchse von Massing, bei welcher die Kolbenstange durch Wasser gekühlt und geschmiert wird.

Gasbeleuchtung für Eisenbahnwagen. — Auf der Niederschlesisch-Märkischen Eisenbahn hat man mit gutem Erfolg eine Gasbeleuchtung der Wagen in folgender Art hergestellt. Unter den Wagen befindet sich ein oder mehrere cylindrische Recipienten aus verzinnem Eisenblech, welche Gas von 6 Atmosphären Spannung aufnehmen. Aus diesen führt ein 5 mm weites Röhrchen nach dem Regulator, d. h. einem 250 mm weiten, 160 mm hohen gußeisernen Cylinder, dessen eine Endfläche mit einer Membran überspannt ist, und welcher das Gasabführungsventil umschließt, dessen Stange derartig mit der Membran verbunden ist, daß das Ventil den Gasaustritt verschließt, sobald die Membran zu hoch gespannt wird. Aus diesem Regulator gelangt das Gas durch 10 mm weite schmiedeeiserne Röhren nach den mit Zweilochbrennern aus Speckstein versehenen Laternen, deren Form von den jetzt gewöhnlichen nicht wesentlich abweicht, und die so eingerichtet sind, daß das Gas nicht in den Wagen ausströmen kann. Die Röhren enthalten Hähne, so daß jede Laterne für sich, aber auch sämtliche Flammen eines Wagens auf einmal abgesperrt werden können. Zur Bereitung des Gases aus schwerem Erdöl hat man in Berlin einen kleinen provisorischen Apparat eingerichtet, und zur Füllung der Recipienten unter den Wagen dient ein Pumpwerk, welches Gas aus dem Gasometer saugt und in zwei große Sammelrecipienten drückt. Aus letzteren, welche Gas von 10 Atmosphären Spannung enthalten, strömt dasselbe dann rasch in die Recipienten unter den Wagen. Zur Zeit kosten 10 cbm Gas aus Braunkohlentheeröl 2 Thlr. 5 Sgr. 6 Pf. und daher eine Flamme, welche stündlich 21,7 Liter Gas verbrennt, 1,71 Pf. pro Stunde, wogegen bei Oelbeleuchtung eine Flamme auf 5,75 Pf. zu stehen kommt und nur 0,4 so viel Licht giebt. Eine Wageneinrichtung mit 5 Flammen kostet 295 Thlr., was mehr als viermal so theuer ist, als die Einrichtung zur Oelbeleuchtung macht sich aber durch die spätere Ersparnis und die Bequemlichkeit bald bezahlt.

Lürmann, über den Danks'schen Puddelofenbetrieb. — Zu einer Anlage mit zwölf Danks'schen Ofen gehören drei Cupolöfen, welche einschließend eines Roost'schen Gebläses und Aufzuges ca. 23350 Thlr. kosten und ein Fundament von 7,65 x 2,45 Meter bei 1,25 m Tiefe beanspruchen. Jeder Danks'sche Ofen kostet loco Middleborough 3766 2/3 Thlr. und erfordert einen Raum von 3,66 m Länge und Breite. Den dazu gehörigen stehenden Dampfkessel mit 8 Galloway-Röhren und 45 qm Heizfläche hat man auf ca. 1670 Thlr., die Luppenquetsche auf 11330 Thlr. zu veranschlagen. An Stelle des Auschmiedens und Zertheilens der aus den Luppenquetschen hervorgehenden Kolben unter dem Dampfhammer ist jetzt auf manchen Hütten die Herstellung von Rohschienen in einem Kirk'schen Triowalzwerk getreten. Das aus den Cupolöfen abgestochene Roheisen wird mittelst einer fahrbaren Krabnpfanne und Rinne in den Danks'schen Ofen eingetragen und dieser nun mit 1 bis 2 Umdrehungen pro Minute in Gang gesetzt, nach Beginn der Schlackenabscheidung werden aber 5 bis 6 Umgänge gemacht. Während

dieses Vorganges wird die heruntergehende Wand des Ofens durch einen darauf gerichteten Wasserstrahl gekühlt. Wenn das aus besten wasserfreien und reinen Erzen mit Schweißschlacke bestehende Futter auf das Metallbad zu wirken beginnt und aufkocht, läßt man den Ofen 8 Umgänge machen, dann aber langsamer umlaufen, wenn das gefrischte Eisen gebildet ist und zusammengewalzt werden soll. Endlich wird die gebildete Luppe mittelst einer Gabel an einem Krähne herausgehoben und zum Squeezer geführt. Die Charge dauert in einem Danks-Ofen fast ebenso lange, als in einem gewöhnlichen Puddelofen (80 bis 100 Minuten), liefert aber eine dreimal so schwere Luppe und es ist demnach die Leistung von 12 rotirenden Ofen gleich derjenigen von 40 gewöhnlichen Puddelöfen zu schätzen. Eine derartige Anlage, welche (excl. Walzwerk) einen Raum von 69 bei 25^m erfordert und ca. 80000 Lthr. kostet, kann jährlich 72 Millionen Pfd. Eisen produciren und braucht 72 Arbeiter, also noch nicht halbsoviel, als bei gewöhnlichen Puddelöfen, auch sind, wenn vom Umschmelzen des Roheisens abgesehen wird, nur halb soviel Kohlen erforderlich, nämlich 50 Pfd. Kohle auf 100 Pfd. fertiges Eisen. — Im Gegensatz zu vorstehenden Schilderungen sieht Herr Helmholtz den Danks'schen Ofen als ein zweifelhaftes Geschenk an, so lange man nur ein Futter mit 3 bis 4 Proc. Kieselsäuregehalt anwenden könne.

Schaltenbrand, über eiserne Bahnschwellen. — Bei dem hier vorgeschlagenen Oberbau sind an Stelle der gewöhnlichen hölzernen Querschwellen solche von Walzeisen angewendet, deren Form derjenigen der Bautherinschwelle sehr ähnlich ist, sich aber von Letzterer dadurch unterscheidet, daß die Fäße durch eine umgetrepte Platte zusammengehalten werden. Diese hohlen Schwellen sollen übrigens mit Sand, Lehm oder dergl. ausgefüllt werden, um mehr Gewicht und Widerstandsfähigkeit zu erhalten. Sie würden ca. 2 Mal so theuer als eichene Schwellen sein, lassen aber auch eine mindestens 2½ Mal so lange Dauer erwarten und versprechen mancherlei anderweite Vortheile.

Theis, Schiffs- Hoch- und Niederdruckmaschinen. — Für die Dampfer „Etna“ und „Lampidoglia“ hat der Herr Verf. die hier auf mehreren Blättern dargestellten mit allerhand Verbesserungen ausgestatteten und doch möglichst einfach construirten zweicylindrigen Hochdruckmaschinen entworfen, welche bei 140 Pferden Nominalkräfte 560 indirecte Pferdekkräfte leisten und pro stündliche Pferdekraft nur 1¹/₂ Steinkohle verbrauchen sollen.

Maiersti, der Uchusumacanal. — Kurze Schilderung dieses nahezu vollendeten 47 Kilometer langen peruanischen Canales, welcher bestimmt ist, Wasser aus dem Uchusumacflusse nach der Küstenstadt Tacna zu leiten, und welcher, da er sich stets an den steilen Abhängen der verschiedenen Abzweigungen der Cordillere hinzuschlängeln hat, für die Ausführung sehr große Schwierigkeiten bietet.

Dittmar, über Arbeiterwohnungen. — Vortrag über die industrielle, wirtschaftliche und sociale Bedeutung der Arbeiterwohnungen.

Philippi, über gewerbliche Kranken- und Pensionshilfscassen.

Wolterstorff, über Wegmann's Getreide-Reinigungsmaschine. — Bei diesem Apparate erfolgt die Aussonderung der kleinen Steinchen durch das specifische Gewicht

und zugleich wird durch die Verührung mit Wasser der Schmutz in der Kerbe und im Härtchen der Getreidekörner gelöst und entfernt. Für brandiges Getreide ist diese Behandlung besonders vortheilhaft.

Weinhold, Versuche mit Pyrometern. — Die auf der ungleichen Ausdehnung zweier Metalle beruhenden Pyrometer von Gauntlett, von Bod und von Dechste sind mangelhaft, weil die Metalle nach der Erhitzung nicht wieder ihre ursprüngliche Größe annehmen, Calorimeter und Luftpyrometer sind ihrer complicirten Construction und unständlichen Behandlung wegen für technische Zwecke wenig geeignet, Lamp's Dissociationspyrometer zeigte sich der dem kohlen sauren Kalk eigenthümlichen Unregelmäßigkeiten halber als ganz unrichtig, das Siemens'sche Widerstandspyrometer, bei welchem die Temperatur aus der Verminderung der Leitungsfähigkeit eines galvanischen Stromes erkannt wird, bewährte sich dagegen als hinreichend genau und bequem in der Anwendung.

Braunkohle zur Locomotivenheizung. — Auf der böhmischen Nordbahn wurden beim Locomotivbetrieb die Braunkohlen von Kladno, Dux, Karbitz und Mariaschein bezüglich ihrer Verdampfungsfähigkeit (welche von 2,18 bis 4,21 variierte) und bezüglich des Verbrauches auf 1000 Etr.-Meilen untersucht. Letzterer betrug im Durchschnitt 2,52 à 15,17 Kreuzer, während im Jahre vorher an Steinkohle 1,43 Etr. à 41,24 Kr. gebraucht worden waren.

Die Castriverbrücke bei Newyork. — Diese für Eisenbahn-, Pferdebahn-, Fuhrwerks- und Fußgängerverkehr eingerichtete 1827^m lange Brücke besitzt eine Mittelföffnung von 486^m Spannweite und zwei Seitendöffnungen von 284^m Weite, welche nur mit halber Kette überspannt sind, sowie zwei 296 und 476^m weite, mit Fachwerkträgern überspannte und zum Theil auf eisernen Pfeilern ruhende Anfahrbrücken. Sie liegt bei den Thürmen mit der Fahrbahn 36^m hoch über dem Fuße der Thürme, so daß Schiffe von 1000 Tonnen Last ohne Abnehmen der Masten darunter wegfahren können, ist zwischen dem eisernen Rahmwerk, welches an vier Hauptteilen aufgehängt ist, 26^m breit und durch sechs Scheidewände in fünf Brücken abgetheilt, nämlich in zwei äußere Brücken à 5,5^m Lichtweite mit doppelten Pferdebahngleisen und einer Straße für Fuhrwerk, zwei daran stoßende Eisenbahnbrücken von 4^m Lichtweite und eine 4,6^m breite Fußgängerbrücke in der Mitte, welche 1,5^m höher liegt als die Fahrbahn. Die aus galvanisirtem harten Gußstahlbraht gebildeten Kabel haben 40^{mm} Durchmesser und sind durch 104 Absteifungen in jedem Kettenzweige verstärkt. Sie gehen in 24^m Höhe über der Fahrbahn über die aus drei Pfeilern gebildeten und durch gothische Bogen unter sich verbundenen Thürme hinweg und endigen in Anfermauern von ca. 40000^{cbm} Inhalt, indem sie daselbst in Gußstahlfetten ausgehen, deren kastenförmige Ankerplatten an der Basis des Mauerwerks liegen. Die Anfermauer auf der Seite von Brooklyn ruht auf einem Koste, diejenige auf der Seite von New-York auf Pfählen; sie ragen bis 27^m über den Wasserspiegel empor und zerfallen in mehrere Etagen, von denen die oberen als Lagerräume, die unteren für eine Untergrundbahn benutzt werden. Bei Untersuchung des Grundes für den Kettenthurm auf der New-Yorker Seite, welcher 120^m vom Ufer steht, fand man 4^m dick schwarzen Schlamm, darunter zwei 1,8^m starke Lagen Grobsand und Kies, dann eine 4,5 bis 6^m dicke Trieb sand-

lage mit sehr großen Blöcken und bei 25 bis 28^m Tiefe Gneissfelsen. Die Gründung erfolgte mittelst hölzerner Caissons von 25^m Länge und 31^m Breite an der Basis, deren Decke aus vier Lagen von Nichtenbalken à 32^m Seitenlänge gebildet war, und deren 2,9^m hohe geneigte Wände in einen gußeisernen Schuh ausliefen. Die ebenfalls aus Holz construirte, aber innerlich mit Kesselblech bekleidete Luftkammer war 3^m hoch und durch fünf Scheidewände in sechs Kammern abgetheilt. Zum Einlassen der Arbeiter waren zwei Reihen Doppelluftschleusen von 2^m Durchmesser und 2,4^m Höhe vorhanden, welche 30 Mann fassen konnten, und zur Entfernung der gewonnenen Masse diente ein 2,4^m weiter offener Wasser-schacht mit Vagger, zur Austreibung des feinen Sandes aber 58 Röhren von ca. 10^m Weite. Zur Beleuchtung wurden 60 Doppelgasbrenner verwandt, die aus zwei in einer der Kammern stehenden Cylindern mit Sauerstoff und Wasserstoff gespeist wurden. (Schluß folgt.)

Albrecht, die Braunkohlenindustrie von Halle und Umgegend. — In der Umgegend von Halle wurden im J. 1872 8165785 Hektol., und im ganzen Regierungsbezirk Merseburg von 7884 Bergleuten 49568269 Hektol. Braunkohle im Gesamtwerthe von 3383948 Thlr. gefördert. Ein Theil dieser Kohle wird lediglich als Brennmaterial verwandt und zwar theils als sogen. klare Kohle im Zustande der Förderung für technische Feuerungen aller Art, theils in ausgesuchten großen Stücken zur Stubenheizung, theils in Form von Presssteinen zu demselben Zwecke. Von letzteren unterscheidet man Naß- und Trocken-Presssteine, wovon erstere noch theilweise per Hand fabricirt worden, indem die klare Kohle mit Wasser angegossen, mit den Füßen geknetet und dann geformt wird. Beim Formen mit der Hertel'schen Presse ist die Zubereitung ganz ähnlich, auch das Produkt ebenso wasserreich, indem die Ziegel in frischem Zustande 50 bis 60, im lufttrockenen 30 Proc. Wasser halten. Beim Trockenpressen muß die Kohle zunächst getrocknet werden, indem man sie staffelförmig abfallende Bleche hinabrutschen und dabei von einem heißen Luftstrome bestreichen läßt; zum Pressen dienen hierauf Stempelpressen, welche ovale Briquettes kleineren Formates erzeugen (1000 Stück aus 4 Tonnen frischer Kohle), und das Produkt enthält nur 10 bis 15 Proc. chemisch gebundenes Wasser. Eine zweite wichtige Verwendung der Braunkohle der Halle'schen Umgegend ist die Verschwelung auf Theer und die Erzeugung von Mineralölen und Paraffin aus diesem Theer. Zu dieser Fabrication eignen sich aber nur gewisse Braunkohlensorten, die sich durch lehmgelbe bis rostbraune Farbe, durch schmierige Beschaffenheit im frischgeförderten und erdige Beschaffenheit im lufttrockenen Zustande, sowie durch geringes Gewicht auszeichnen. Die reinsten Sorten der Schweißkohlen geben 11 bis 13^k, die mittleren 6,8 bis 8,5, noch geringere 4,5 bis 6,5^k Theerausbeute pro Hektoliter. Lagern die Kohlen unter oder in Thon, so wird daraus ein schwererer und minder guter, weil creosotreicher Theer gewonnen, der nur noch auf Paraffin verarbeitet werden kann. Bei der Erzeugung des Theeres bedient man sich theils liegender Retorten, theils eines continuirlichen Schweißprocesses, bei welchem an Feuerkohle gespart, auch ein leichter Theer gewonnen wird, wogegen die Destillation in Retorten etwas mehr Theer und bei der weiteren Verarbeitung desselben mehr Paraffinausbeute giebt. Die zu 12 bis 24 Stück in einem Ofen mit Querfeuer liegenden und am hintern Ende mit einem knieförmigen Abgangrohr versehenen

Retorten sind 730 bis 890^{mm} breit, 235 bis 340^{mm} hoch und 2,5 bis 3^m lang, werden etwa 50^{mm} hoch mit Kohle gefüllt und sind vorn durch einen Dedel geschlossen. Die hinten abziehenden Gase treten in ein gemeinsames Sammelrohr und passieren dann ein System von Röhren, in welchem sie sich zu Theer condensiren. Jede Retorte verarbeitet in 24 Stunden ca. 5 Hektoliter Kohlen, wobei zur Feuerung ebenfalls 3¹/₄ bis 5 Hektol. Kohle erforderlich sind. Bei den Rolle'schen Schweißapparat fällt die Kohle in einem vor-außen geheizten, 3,75 bis 5^m hohen, 0,94 bis 1,88^m weiten Cylinders hinab, in dessen Achse ein System von glodenförmigen Ringen übereinander aufgestellt ist, welches den Querschnitt bis auf 50 bis 90^{mm} Zwischenraum ausfüllt. Die sich entwickelnden Gase entweichen unter die Gloden, aus denen sie durch einen Exhaustor ausgezogen werden, der abgeschweelte Gase fällt aber in einen am Fuße des Cylinders angebrachten Conus und wird nach 1 bis 2 Stunden durch Oeffnen eines Schiebers ausgezogen. Ein 5^m hoher Cylinders von 1,88^m Durchmesser leistet in 24 Stunden ca. 44 Hektol. und braucht zur Feuerung nur 22 bis 33 Hektol. Kohle, kann auch 1¹/₂ bis 3 Monate ununterbrochen fortarbeiten. Ist nun der erzeugte Theer wasserfrei gemacht, so wird er in 35 bis 50 Ctr. haltenden Blasen nach Vorlagen mit Wasserkühlung abdestillirt, wobei Kohöle und Kohparaffinmasse erhalten werden. Letztere wird einem 4 bis 6 Proc. englische Schwefelsäure führenden Luftstrome ausgesetzt, um die Brandharze auszuscheiden, ehe die Paraffinmasse in die Krystallisationsgefäße abgelassen wird. Die auskrystallisirten Paraffinschuppen werden sodann durch zweimaliges Pressen von anhängendem schweren Del gereinigt, hierauf zweimal mit Photogen eingeschmolzen und einer Pressung mit 200 bis 300 Atmosphären ausgesetzt, ferner mit gespannten Wasserdämpfen behandelt, endlich mit Theerkohle zusammengeführt, und durch Papier filtrirt, ehe Blöcke oder Kerzen gegossen werden können. Die Kohöle und Abfälle der Paraffinfabrication werden andererseits mit Natronlauge behandelt, um das Creosot zu beseitigen, dann mit Schwefelsäure ihrer Harze befreit und rectificirt, was wiederholt werden muß, um Photogen und Solaröl daraus zu gewinnen. Der Theer liefert 15 bis 17 Proc. Paraffin und 30 bis 36 Proc. gute helle Mineralöle, woneben noch 10 bis 15 Proc. schwere, nur zur Schmierfabrication taugliche Paraffinöle gewonnen werden. Außerdem fallen als Nebenprodukte: Asphalt oder Goudron, Creosot und Creosotöl. Im Jahre 1871 erzeugten 41 Theerschweißereien mit 1844 liegenden und 610 stehenden Retorten aus 2639676 Tonnen Schweißkohle 676477 Ctr. Theer und brauchten hierzu 2353551 Tonnen Feuerkohle.

Böck's Versuche über den Kraftaufwand beim Walzen von Blech. — Nach dem „Berg- und hüttenmännischen Jahrbuch der k. k. Bergakademien zu Leoben und Tribram, XXI. Band“ hat Hr. Decent Böck den zum Walzen eiserner Bleche erforderlichen Kraftaufwand aus der vom Schwungrade abgegebenen lebendigen Kraft ($L = J \cdot \frac{\omega^2}{2}$, wenn J das Trägheitsmoment des Schwungrades und ω die Winkelgeschwindigkeit bedeutet) zu bestimmen versucht und zu dem Ende die Umgänge der Schwungradwelle mittelst eines Telegraphenapparates verzeichnen lassen, während gleichzeitig Indicatorgramme an der das Walzwerk treibenden 300 pferdigen Dampfmaschine mit Meyer'scher Expansionssteuerung abgenommen wurden. Die Diagramme beim Leer gange der Maschine zeigten bei 48 Spielen 56,5 Pferdekkräfte an (die

jenden Walzenstraßen inbegriffen), während der Arbeit vom 10. bis 20. Durchgange des Bleches durch die 1 die auf die Walzenstraße übertragene Arbeit von 69,4 13,8 Pferdekkräfte, die vom Schwungrade abgegebene von 116 auf 816 Pferdekkräfte und der auf das Walzenbete totale Effect pro Secunde von 177 auf 319 räfte, und es veränderten sich inzwischen die Dimen- des 2213^{mm} langen, 1159^{mm} breiten und 36^{mm} dicken auf 6058^{mm} Länge, 1185^{mm} Breite und 13^{mm} Dicke.

Prisft des Architekten- und Ingenieur-Vereines zu
münster. Band XIX, 1873, Heft 3.

äh, die Bewässerungsanlagen Oberitaliens. veritalien ist durch seine vortrefflichen Bewässerungsan- in einen blühenden Zustand versetzt worden, besitzt aber 000 Kilometer an größeren und kleineren Canälen, deren Ausführung die großartigsten Planungsarbeiten ommen worden sind. In den bewässerten Gegenden auptsächlich Reis- und Wiesen-cultur betrieben, sowie eträchtliche Milch- und Rassewirthschaft bei Stallfüt-

Zur Verwaltung der Bewässerungsanlagen bestehen Genossenschaften, von denen diejenige westlich der Sesia r bedeutendsten ist, indem sie im J. 1871 42 Special- nschaften und 9000 Interessenten auf 60000 Hektaren umfaßte und 1285531 Lire Einnahmen aus Wasser- ziele, wovon jedoch nach Abzug aller Kosten nur 37000 eberschuß verblieben. Indem wir bezüglich der Details iese Anlagen auf unsere Quelle verweisen, entlehnen erselben noch einige Notizen über die Wassermessung. theilung des Wassers erfolgt nach sogen. Moduli und ist der älteste Piemontesische Modulus, die Rota ober on Michelotti, eine Seitenöffnung von 1 Fuß (0,31^m) iadrat, deren Oberkante im Niveau des Oberwasserpie- egt, so daß sie pro Secunde 0,33^{cbm} Wasser austreten. In der Lombardei gelten besonders die Moduli von Bavia, Verona und Mantua und hiervon ist der erste Seitenöffnung von 0,3415^m Breite bei 0,0379^m Höhe 0,0991^m Druckhöhe, der zweite eine Mündung von ^m Breite und 0,1572^m Höhe unter 0,0786^m Druckhöhe, itte eine quadratische Mündung von 0,343^m Seitenlänge 0,0571^m Druckhöhe und der letzte eine ebensolche Mün- von 0,4668^m Seitenlänge unter 0,0778^m Druckhöhe. efern also sehr verschiedene Wassermengen pro Secunde re Einrichtung ist überdies so unvollkommen, daß weder leichtförmige Wasserabgabe, noch die Verhütung von äuchen möglich ist. Vollkommener ist der Mailänder , dessen Einheit (der Wasserzoll) in einer Oeffnung von ^m Breite und 0,1983^m Höhe unter 0,0991^m Druckhöhe

Diese Oeffnung ist in einer 0,15^m dicken Granit- larmorplatte ausgeschnitten, welche am Ende einer 5,4^m bedeckten Kammer mit um 0,15^m einspringenden Wän- gebracht ist. Am obern Ende dieser Kammer befindet n Stellschüge zur Regulirung der Druckhöhe über dem , oft ist sogar in der Kammer in der Höhe des nor- Wasserstandes ein Blindboden angebracht. Der Boden immer steigt allmählig bis zur Oeffnung an und die nte der Letzteren liegt in einer festbestimmten Höhe em Boden der Auslaßschleufe. Wenn mehr als 1 Was- abgegeben werden sollen, so wird die Lichtweite der ng einfach in demselben Verhältniß erweitert. Seit

1865 ist gesetzlich für neue Concessionen ein Modulus von 100 Litern in der Secunde vorgeschrieben, welcher mit Hilfe von Ueberfällen abgegeben wird. Unsere Quelle enthält auch Angaben über den Wasserbedarf für Reis- und Wiesen-cultur, sowie über die Handhabung der Bewässerung.

Frühling, der Neubau der Weserschleufe bei Hameln. — Bei Hameln wird die Weser durch eine Insel in zwei Arme getheilt, welche durch hölzerne Wehre gesperrt sind. Um nun die Schifffahrt zu ermöglichen, bestand seit 1733 eine Schleufe von 51,4^m Länge und 6^m Breite mit einem Paar Thore; dieselbe war aber in der Nähe der Um- läufe so undicht geworden, daß eine Erneuerung nicht länger beanstandet werden konnte, und dieser Bau ist der Gegenstand obigen interessanten Aufsatze. Die neue Schleufe mißt zwis- chen den Drempeispizen 56,86^m, ist 11,1^m weit zwischen den geböschten Kammernauern und in den Seitenmauern bis zu 0,5^m über den höchsten Wasserstand der Weser aufgeführt. Der Vorhafen vor den Oberhaupten bietet für 6 Mastschiffe von 35 bis 47^m Länge und 6 bis 7,5^m Breite und für ein Dampfschiff von 52^m Länge und 10,8^m Breite Raum, der Vorhafen beim Unterhaupten aber für ein Dampfschiff und 2 Mastschiffe Platz und die ganze Länge des Bauwerkes incl. Vorhäfen beträgt 288,3^m. Die Schleufe ist auf Beton fundirt und in Bruchstein mit Sandsteinbekleidung ausgeführt. Zur Wasserhaltung dienten zwei Wasserschnecken von 9,64^m Länge und 0,875^m innerem Durchmesser, welche durch eine zwölfpferdige Dampfmaschine getrieben wurden. Wassermes- sungen mittelst Schützen ergaben bei 27 Umdrehungen und 24^o Neigung der Schneckenachse eine Subwassermenge von 0,082^{cbm} und ein gleichzeitig vorgenommener Dremssversuch führte auf einen Ruheffect von 63,7 bis 71,3 Procent. Der Beton wurde aus 2 Th. gut gestebtem Steinschlag und 1 Th. hydraulischen Mörtel (bestehend aus 1 Th. Traß, 1 Th. Kalk und 1 Th. Sand = 2¹/₄ Th. Mörtel) hergestellt und es wurden zu 1^{cbm} Beton 0,95^{cbm} Steinschlag verbraucht. Während wir bezüglich der Fortschritte, Gesehungskosten, besonderen Erleb- nisse des Baues u. s. w. auf unsere Quelle verweisen müssen, können wir in Betreff der Schleufenthore referiren, daß die- selben aus einer gebogenen Blechwand bestehen, welche sich gegen die Wendenischen als Widerlager stützt, daß also hier die Blechbede nicht bloß als Bekleidung des eisernen Gerippes benutzt ist. Auch die Drehbrücke, deren Lichtweite 11,63^m und deren Breite 2,92^m beträgt, ist in Eisen als Fachwerks- träger von I-Eisen construirt; sie ist ungleicharmig, auf dem kürzeren Arme aber mit Gegengewichten belastet und wird mit Hilfe eines festliegenden Zahnkranzes auf dem Widerlager bewegt.

Red, eiserne Fußgänger- und Fahrbrücke. — Diese für Japan bestimmte Brücke wurde von der Firma Balke, Runge & Comp. in Oberhausen an der Ruhr ausgeführt und mußte mit Rücksicht auf Transport und auf die Schwierigkeit der Vernietung an Ort und Stelle so con- struirt werden, daß sie aus einzelnen, nicht über 4,39^m langen Stücken bestand, welche mittelst conischer Schraubenbolzen unten verbunden werden konnten; auch war ein parabolischer Oberbau vorgeschrieben. Die 36,09^m langen Hauptträger haben eine gerade Untergurtung und eine parabolische obere Gurtung erhalten, sind in 10 Felder von je 3,609^m Länge getheilt und in der Mitte 4,39^m hoch. Die einzelnen Gur- tungsstücke sind so lang, wie der Abstand von einem Knoten-

punkte zum anderen und fertig vernietet abgeliefert worden. Die Gurtungen bestehen aus vier Winkleisen, welche in der obern Gurtung kastenartig zusammengestellt sind, ebenso sind die Verticalen der Hauptträger aus je 4 Winkleisen gebildet, die Diagonalen aber aus Zugbändern. Die Brückenbahn wird von 8 Längsbalken, welche auf den Querträgern ruhen getragen; Letztere bestehen aus Blechbalken. Die Geländer, welche in kurzen von einem Querträger zum andern reichenden Stücken gefertigt sind, sind leichte Gitterträger. Die statische Berechnung ist beigelegt und es ist hierbei auf 1700^k permanente Last pro lauf. Meter und auf 380^k fremde Last pro □^m Brückenbahn gerechnet. Zu dieser 6,9^m breiten Brücke sind 38750^k Schmiedeeisen, 6786^k Gußeisen und 19860^k Holz verwendet worden.

Zeitschrift für Bauwesen. Jahrg. XXIV, 1874, Heft 1 bis 2.

Wiebe, über das Verhalten des Wasserdampfes bei seiner Wirkung in den Dampfmaschinen. — In dieser noch nicht abgeschlossenen Abhandlung sucht der Herr Verf. aus den Arbeiten von Clausius, Zeuner, Grasshof etc. über mechanische Wärmetheorie bequeme Näherungsformeln abzuleiten. Für den Zusammenhang zwischen Temperatur, Spannung und Dichtigkeit des gesättigten Wasserdampfes wird z. B. die Formel

$$\frac{\gamma}{A} (424 + t) = 317,5 = \frac{424 + t}{B \cdot A}$$

$$t = \frac{317,5}{\frac{\gamma}{A}} - 424 = 317,5 \frac{B \cdot A}{\gamma} - 424$$

aufgestellt, in welcher B das Volumen der Gewichtseinheit, A die Spannung in Atmosphären, γ die Dichtigkeit und t die Temperatur bedeutet und welche innerhalb der Spannung von 0,6 und 10 Atmosphären sehr gut paßt. Für überhitzten Wasserdampf wird gefunden

$$t = 373 A^{0,2248} - 273 = 431,33 \left(\frac{1}{B}\right)^{0,29} - 273 \\ = 431,33 \gamma^{0,29} - 273,$$

für gesättigten Wasserdampf aber

$$t = 524 A^{0,06041} - 424 = 541,2 \left(\frac{1}{B}\right)^{0,0643} - 424 \\ = 541,2 \gamma^{0,0643} - 424 \text{ und} \\ \frac{1}{B} = \gamma = \left(\frac{A}{1,7045}\right)^{\frac{1}{0,0643}} = 0,6059 A^{0,9396}.$$

Diese einfache Formel liefert innerhalb der angegebenen Grenzen hinreichend genaue Werthe.

Garcke, Material, Fabrikation und Verschleiß der Eisenbahnschienen. — Bei aufmerksamer Beobachtung des Schienengefüges läßt sich eine gewisse Mannichfaltigkeit des Verschleißes, sowie der Umstand, daß einzelnen Werken hierin besondere Eigenthümlichkeiten angehören, nicht verkennen, obwohl andrerseits gewisse Fehler allen Schienen gemeinsam sind. Es liegt dies darin, daß zwar die Fabrikationsmethode

im allgemeinen dieselbe ist, daß aber dabei die Verschiedenheit des Materials, der Packtirung und sonstigen Behandlung entsprechende Unterschiede erzeugt. Der Hauptübelstand bei der Schienenfabrication liegt darin, daß die verschiedenen Materialien, aus denen eine Schiene gebildet wird, nie vollkommen zusammengeschweißt werden können, weil jedes eine verschiedene Schweißhärte besitzt, und daß ferner durch die Verschiedenheit der Längenausdehnung bereits bei der Fabrication die Ueberanstrengung und theilweise innere Zerstörung eines oder andern Materiales hervorgerufen wird. Solche mangelhafte Schienen müssen namentlich durch Umwalzen ver- schleißener Schienen hervorgehen, da in diesem Falle die verschiedenen Eisensorten planlos untereinander zu liegen kommen; aber auch dann, wenn die Schienen aus frisch gepudelmten Luppeneisen erzeugt werden, muß die Zusammenstellung mit großer Vorsicht geschehen. In den Kopf ist es nicht zweckmäßig, sehniges Eisen zu nehmen, da dieses in Folge häufig vorkommender Schweißfehler sich unter wiederholten, vertical gegen die Fasern gerichteten Schlägen leicht in einzelne Fäden theilt. Kaltbrucheseisen eignet sich hierzu viel besser, da es einen sehr glatten, harten, sich regelmäßig abnutzenden Kopf giebt und eine große Schweißfähigkeit besitzt; es wird aber aus dem Grunde vermieden, weil es in kaltem Zustande leichter als andere Eisensorten bricht. Feintorneisen und Puddelstahl, welche nur durch die Härteprobe zu unterscheiden sind, geben sehr gute Köpfe, sind aber der Blasenbildung beim Puddeln unterworfen, in deren Folge später die sogenannten Druckflecke entstehen, sind auch nur schwierig gut mit sehnigem Eisen zusammenzuschweißen. (Schluß folgt.)

Zeitschrift des Oesterreichischen Ingenieur- und Architekten-Vereines. XXV. Jahrg. 1873. Heft 9–12. (Schluß.)

Ueber die Gesteinsbohrmaschinen von Burleigh und Sachs. — Nach vergleichenden Versuchen, welche in Freibram beim Ausbrechen des Sturzraumes eines Füllortes angestellt wurden, und über welche im Jahrbuche der k. k. Bergakademie zu Leoben und Freibram Bd. XXI eingehender Bericht erstattet wird, scheint die Burleigh'sche Gesteinsbohrmaschine eine bedeutend größere Leistung zu geben, als die Sachs'sche, doch sind die Versuche wohl kaum hinreichend lange fortgesetzt worden, um entscheidend genannt werden zu können. Die Burleigh'sche Maschine hat in 1 Minute effectiver Bohrzeit (wobei aber die Zeit für Bohrerwechsel und Fixirung der Maschine mit inbegriffen ist) in festem Diorit 24^{mm} Loch geschlagen oder 2 1/4 mal soviel als die Sachs'sche Maschine und dieser Mehrerfolg soll darin begründet sein, daß die Aufstellung der ersteren rascher und sicherer, das Einwechseln der Bohrer minder umständlich und seltener nöthig und der Bau der Maschine solider und weniger Reparaturen unterworfen ist.

Sassfeld's Holzimprägnationsmethode. — Auf Grund der Beobachtung, daß sich das gerbsäurereiche Eichenholz sehr gut gegen Fäulniß hält, macht Sassfeld den Vorschlag, das Holz mit Gerbsäure und darauf mit holzessigsaurem Eisenoxyd zu imprägniren.

Literatur- und Notizblatt

zu dem zwanzigsten Bande des
Civilingenieur.

N. 3.

Literatur.

Die geometrische Construction von Weichenanlagen für Eisenbahngleise mit zahlreichen Tabellen und Rechnungsbeispielen für den praktischen Gebrauch bearbeitet von L. Pinzger, Professor an der Königl. Rheinisch-Westphälischen polytechnischen Schule zu Aachen. Mit 73 Figuren auf 12 lithographischen Tafeln. Aachen. J. A. Mayer. 1873.

Während die Berechnung von Weichen und Geleisverbindungen zeither mit Anwendung der Kreisfunctionen durchgeführt zu werden pflegte, hat der Herr Verfasser obigen Werkes dabei die Parabeltheorie zu Grunde gelegt, wodurch ein einfachere und übersichtlichere Endresultate erzielt worden sind, welche trotzdem der erforderlichen Genauigkeit nicht erangeln. Zur weiteren Erleichterung sind überdies noch zahlreiche Tabellen beigegeben, welche für die in der Praxis am häufigsten vorkommenden Fälle berechnet sind. Die Figuren sind kräftig und in zweckmäßigem Maaßstabe gezeichnet, auch ist der correcte und deutliche Druck zu loben. Wir sind überzeugt, daß die hier vorgetragene Berechnungsweise von Weichen und Geleisen sich bald einbürgern und die zeitherige weitverbreitete Methode verdrängen werde.

Lehrbuch der Ingenieur- und Maschinen-Mechanik von Dr. Julius Weissbach, weil. Königl. sächs. Ober-Bergrath und Professor an der sächs. Bergakademie zu Freiberg. Fünfte verbesserte und vervollständigte Auflage bearbeitet von Gustav Herrmann, Professor an der Königl. polytechnischen Schule zu Aachen. In drei Theilen. Erster Theil: Theoretische Mechanik. Mit gegen 1000 in den Text eingedruckten Holzschnitten. Neunte und zehnte Lieferung. Braunschweig, Druck und Verlag von Friedrich Vieweg und Sohn. 1873.

Auch in diesem Doppelhefte der fünften Auflage der Weissbach'schen Ingenieur- und Maschinen-Mechanik hat der Herr Bearbeiter eine Menge von Zusätzen und Verbesserungen eingebracht, um dieses Werk auf dem neuesten Standpunkte der Wissenschaft zu erhalten. Dieselben betreffen namentlich die Lehren vom Pendel, vom Stoß, vom Gleichgewicht und vom Aufsteigen des Wassers und der Luft und endlich vom Ausflusse des Wassers, auch sind die Beispiele auf das metrische System umgerechnet und vermehrt worden.

Gemeinnütziges mathematisch-technisches Tabellenwerk. Eine möglichst vollständige Sammlung von Hilfstabellen für Rechnungen mit und ohne Logarithmen. Nebst zeitentsprechenden Maaß-, Gewichts- und Geldrechnungstabellen insbesondere für das metrische und englische, österreichische und preussische Maaß- und Gewichtssystem. Von Josef Prábal, Professor der Maschinenkunde an der Bergakademie in Příbram. Stereotypausgabe. Leipzig. Druck und Verlag von V. G. Teubner. 1873.

In diesem Tabellenwerke sind Tabellen der reciproken Werthe aller vierziffrigen Zahlen, der häufigst vorkommenden Potenzen, Wurzeln, Kreisfunctionen, der gemeinen Logarithmen und der wirklichen Längen der trigonometrischen Linien, der Fallgeschwindigkeiten, der statischen Momente und Wellenstärken, der einfachen Factoren, Umwandlungstabellen für Duodecimaltheile in Decimalbrüche, für gemeine Brüche in Decimalbrüche und umgekehrt, ausführliche Maaß- und Gewichtsberechnungstabellen, Reductionstabellen für metrisches, österreichisches, preussisches und englisches Maaß und Gewicht, sowie für Formeln in diesen Maaßsystemen, Tabellen der Dichte und Gewichte der Körper, ausführliche Gewichtstabellen für Eisen, endlich Tabellen für Zinseszins- und Renten-Rechnungen enthalten. Dasselbe umfaßt daher alle für die gewöhnlichen Rechnungen der Techniker erforderlichen Hilfstabellen und ist dabei durch schöne Ausstattung, deutlichen Druck und zweckmäßiges Arrangement ausgezeichnet.

Die Grundlehren der mechanischen Wärmetheorie nebst einer Beschreibung der wichtigeren Heißluft-, Gas- und Dampfmaschinen und Anwendung jener Lehren zur Berechnung der Leistungsfähigkeit dieser Maschinen. Für Ingenieure, Maschinenbauer und Industrielle, sowie für die Zöglinge höherer gewerblicher oder technischer Anstalten gemeinschaftlich bearbeitet von Robert Röntgen, Lehrer an der städtischen Realschule zu Remscheid. Zweiter Theil: Theorie der Dämpfe und ihre Anwendung auf die Berechnung der Condensatoren, des Giffard'schen Injectors und der Dampfmaschinen. Nebst einem Anhang zum ersten Theile. Mit 43 eingedruckten Holzschnitten. Jena, Hermann Costenoble. 1874.

Bei Abfassung des vorliegenden Werkes hat der Herr Verf. hauptsächlich den Zweck verfolgt, die Wärmetheorie für weitere Kreise zugänglich zu machen und sie daher so faßlich

und klar vorzutragen, daß sie auch dem minder Gebildeten verständlich werde. Man darf also darin weniger nach Erweiterungen der Wissenschaft suchen, sondern muß die Methode des Vortrages als die Hauptsache ansehen. In dieser Beziehung ist besonders auf den Anhang des vorliegenden Bandes hinzuweisen. Von der auf dem Titel versprochenen Beschreibung der wichtigeren Dampfmaschinenysteme hat übrigens der Herr Verf. abgesehen und dafür die Berechnung dieser Maschinen eingehender behandelt, was jedenfalls nur zu billigen ist.

Hilfsbuch für den Dampfkesselbetrieb, die Gewichts- und Druckvergleichen. In zahlreichen mathematischen und technischen Anwendungen. Berechnet und zusammengestellt von Friedrich von Gutbier, Techniker in Dresden. Mit 4 Holzschnitten im Text. Kiel und Leipzig. R. von Weichmar. Verlagsbuchhandlung. 1874.

Obiges Werkchen enthält eine vollständige Sammlung der im deutschen Reiche, in Sachsen, Preußen und Oesterreich geltenden Dampfkesselgesetze, Auszüge aus der Eisenbahngesetzgebung, ausführliche Tabellen über die Belastung der Sicherheitsventile, vergleichende Tabellen über Atmosphärendruck und Druck pro Quadrat Zoll (englisch, rheinisch, österreichisch, sächsisch), sowie über Längenbelastungen, endlich vergleichende Gewichtstabellen (Tonnen, Centner, Pfunde). Gleich ausführliche Tabellen sind unsers Wissens noch nicht vorhanden, auch die vollständige Sammlung der genannten verschiedenen Dampfkesselgesetze wird namentlich für Maschinenbauanstalten von Werth sein, welche mit den betreffenden Ländern arbeiten.

Zur Latrinenfrage. Eine Studie mit Beziehung auf die Verhältnisse Stuttgarts. Von A. Lauber, städtischer Ingenieur in Stuttgart. Mit Holzschnitten. Stuttgart, 1873. Schichardt & Ebner.

Die Latrinenfrage ist schon für mittlere Städte eine höchst schwierige und aus diesem Grunde ist eine umsichtige, vorurtheilsfreie und populär geschriebene Prüfung der verschiedenen Systeme, wie sie vorliegendes Schriftchen bietet, nicht bloß von rein localem Interesse, sondern einer allgemeinen Beachtung werth. Begreiflicherweise gelangt der Herr Verf. zum Tonnensystem als dem natürlichsten Auswege, empfiehlt aber für dasselbe einige wesentliche Verbesserungen.

Mittheilungen der Königl. Säch. Polytechnischen Schule zu Dresden. Heft 3. Versuche über Leistung und Arbeits-Verbrauch der Werkzeugmaschinen, ausgeführt unter Mitwirkung der Studierenden der mechanischen Abtheilung des R. S. Polytechnicum zu Dresden von Dr. E. Hartig, Professor der mechanischen Technologie. Mit 24 lithographirten Tafeln. Leipzig, Druck und Verlag von B. G. Teubner. 1873.

Wer die von dem Herrn Verf. obigen Werkes schon früher veröffentlichten Versuche über den Kraftbedarf von Spinnerei- und Tuchfabrikationsmaschinen kennt, der wird auch dieses neueste Werk mit großen Erwartungen in die Hand nehmen, aber er wird dieselben über Erwarten befriedigt finden, sowohl bezüglich der Vollständigkeit in der Auswahl der ge-

prüften Maschinen (69 verschiedene Scheeren, Durchschnitte, Sägen, Hobelmaschinen, Bohr-, Fraiss-, Schraubenschneid-, Schleif-Maschinen, Drehbänke, Krahne, Ventilatoren u. s. w.), als auch bezüglich der musterhaften Anordnung und Durchführung der Versuche und endlich auch bezüglich der geistvollen Ableitung und lichtvollen Darlegung der gewonnenen Resultate. Gehört einerseits zur Durchführung derartiger Versuche außer im Allgemeinen günstigen Verhältnissen eine seltene Energie, große Beobachtungskunst und außerordentlicher Forschungsseifer, so ist andererseits zur Ableitung brauchbarer Resultate aus denselben eine unermüdlige Arbeitskraft, ein echt wissenschaftlicher Sinn und ein gebildetes praktisches Gefühl erforderlich, wie sie äußerst selten in einer Person vereinigt gefunden werden dürften. Aus der Combination dieser Eigenschaften ist aber auch ein Werk entstanden, das im Maschinenbau epochemachend dasteht und nicht nur der deutschen Literatur zur höchsten Ehre gereicht, sondern ohne Zweifel auch dem deutschen Maschinenbau zur Förderung gereichen wird.

Die Brücken der Gegenwart. Systematisch geordnete Sammlung der geläufigsten neueren Brückenconstructionen, gezeichnet von Studirenden des Brückenbaus an der Kgl. rheinisch-westphälischen polytechnischen Schule zu Aachen. Zum Gebrauch bei Vorlesungen und Privatstudien über Brückenbau, sowie bei dem Berechnen, Entwerfen und Veranschlagen von Brücken zusammengestellt und mit Text begleitet von Dr. F. Heinzerling, Kgl. Baurath und Professor an der Kgl. rheinisch-westphälischen polytechnischen Schule zu Aachen. Erste Abtheilung. Eiserne Brücken. Heft 1. Eiserne Balkenbrücken mit vollen Wandungen. Mit 6 lithographirten Tafeln in groß Doppelfolio und 7 Bogen Text mit 11 Holzschnitten. Aachen, Verlag von J. A. Mayer. 1873.

Die „Brücken der Gegenwart“ sind kein Handbuch der Brückenbaukunde, sondern eine systematische Beispielsammlung von neueren Brückenconstructionen, wie sie jeder Studirende des Brückenbaues sich zu verschaffen trachten muß, begleitet von einem Texte, welcher außer historischen Notizen die erforderlichen Angaben und Formeln für die statisch-numerische Berechnung und für die Construction im Allgemeinen und im Detail, sowie die Beschreibung der dargestellten Brücken sammt Angaben über Gewicht, Kosten u. s. w. enthält. Jedes Heft bildet eine Art abgeschlossene Monographie über die darin dargestellte Gattung von Brücken und zwar enthält das 1. Heft die eisernen Balkenbrücken mit vollen Wandungen, während das 2. die Fachwerk- und Gitterbrücken mit parallelen Gurtungen, das 3. diejenigen mit polygonalen Gurtungen, das 4. die eisernen Stütz- und das 5. die eisernen Hängebrücken behandeln wird. Die 2. Abtheilung soll dann die steinernen und die dritte Abtheilung die hölzernen Brücken tractiren, auch wird ein Heft die beweglichen Brücken in Eisen und Holz darstellen. Die Ausführung der Tafeln ist eine vorzügliche zu nennen und ebenso ist von dem begleitenden Texte zu rühmen, daß er in gebrängter Kürze alles das zusammenfaßt, was bei der Construction einer Brücke zu bedenken und zur numerischen Berechnung erforderlich ist. Vorliegendes Brückenwerk darf also namentlich auch des Beifalles der Constructeurs sicher sein.

Referate aus technischen Zeitschriften.

Zeitschrift für Bauwesen. Jahrg. XXIV, 1874, Heft 1 bis 2. (Schluß.)

Casse, die Geschwindigkeitsformel des Woltmann'schen Flügels. — Bei der Auffuchung der Abhängigkeit zwischen der Geschwindigkeit des Wassers (v) und der Umdrehungszahl des Flügels (n) bedient man sich vorzugsweise der einfachen Formel $v = \alpha + \beta n$, wo α und β Constante sind, die mit Hilfe der Methode der kleinsten Quadrate aus einer größeren Zahl von Versuchen abzuleiten sind. Trägt man aber die Versuche graphisch auf, indem man die Zeiten t als Abscissen, die Umdrehungszahlen n als Ordinaten verzeichnet und die Enden der letzteren durch eine gebrochene Linie verbindet, so sieht man bisweilen, daß sich dieser gebrochenen Linie eine Curve besser anschließt, als eine Gerade und man hat dann die Formeln $t = \alpha - \beta n^2$, $t = \alpha - \beta \sqrt{n}$ oder $t^2 = \alpha - \beta n$ zu versuchen, je nachdem die Curve zur Abscissenachse concav, oder dazu convex, oder concav und so gekrümmt ist, daß sie für $t = 0$ den höchsten Werth giebt. Der Herr Verfasser führt als Beispiel die Bestimmung der Formel für einen Flügel durch und es zeigt sich in diesem Falle, daß die Gleichung der geraden Linie eine nahezu ebenso gute Uebereinstimmung giebt, als die letzte Gleichung, während die beiden andern Formeln unbrauchbar sind.

Zeitschrift des Oesterreichischen Ingenieur- und Architekten-Vereines. XXV. Jahrg. 1873. Heft 13—15.

Schmidt, über den Ausfluß der Gase durch ein cylindrisches Ausflußrohr. — Es nicht möglich, über diese Abhandlung ausführlich zu referiren; wir wollen jedoch hier bemerken, daß sie auf die Schlussfolgerung führt, daß die Geschwindigkeit im contrahirten Querschnitt eines cylindrischen Ausflußrohres im Beharrungszustande niemals größer werden könne, als die Schallgeschwindigkeit.

Rigotti, über Cremona's Behandlung der graphischen Statik mit Hilfe der reciproken Figuren. — In dieser interessanten Abhandlung wird dargethan, daß sich das Kräfte- und Seilpolygon auf zwei reciproke Diagramme zurückführen lassen, auch werden mehrere complicirtere Beispiele vorgeführt.

Winkler, die Stahlschienen der französischen Eisenbahnen. — Auf der Ostbahn hat man in den am meisten beanspruchten Strecken nebeneinander Eisenschienen von 35 und Bessmerstahlschienen von 30^k Gewicht pro lauf. Meter verlegt und gefunden, daß letztere eine weit größere Dauer geben und eine sehr regelmäßige Abnutzung von 1^{mm} für 26 Millionen Tonnen darüber geführte Last zeigen. Die Stahlschienen besitzen einen 1 $\frac{1}{2}$ mal so großen Grenzkoeffizienten (Spannung an der Elasticitätsgrenze) und ihre Widerstandsfähigkeit gegen Rost ist noch günstiger. Auf der Linie der Nordbahn hat man bei den Stahlschienen eine gleichförmige

Abnutzung von 1^{mm} pro 20 Mill. Tonnen Verkehr und eine gegen Eisenschienen mehr als 2 mal so große Spannung an der Elasticitätsgrenze beobachtet. Auch auf der Paris-lyoner Mittelmeerbahn sind Erfahrungen über Stahlschienen gesammelt worden, welche eine fünfmal so große Dauer versprechen, als bei Eisenschienen.

Druckfestigkeit der Bausteine. — Nach den großartigen Versuchen, welche vom französischen Institute für statistische Untersuchungen mit den verschiedensten Baumaterialien Frankreichs abgeführt worden sind, hat sich gezeigt, daß die Festigkeit der harten Bausteine der Querschnittsfläche proportional und auch meist nicht wesentlich von der Lage der gedrückten Fläche gegen die natürliche Lagerfläche abhängig ist, daß sie durch Sättigen mit Wasser vermindert wird und mit dem specifischen Gewicht wächst, aber vom Zustande der Homogenität, der Textur u. s. w. sehr modificirt wird. Kalksteine von 1,4 bis 2,2 spec. Gewicht zeigten 20 bis 320^k Druckfestigkeit pro \square^{cm} , solche von 2,2 bis 2,8 spec. Gewicht aber 220 bis 1200^k Festigkeit. Sandsteine von 1,9 bis 2,1 spec. Gewicht widerstehen mit 80 bis 300, solche von 2,1 bis 2,5 spec. Gewicht mit 350 bis 780^k pro \square^{cm} , die harten, politurfähigen Granite mit 700 bis 1500, die minder harten mit 400 bis 800^k, die Trachyte von 2,18 bis 2,80 specifischem Gewicht mit 360 bis 900, die Laven von Bolvic von 2 bis 2,18 spec. Gew. mit 300 bis 500, sehr harte Ziegel von 1,8 bis 1,9 spec. Gewicht mit 200 bis 400, gewöhnliche Ziegel von 1,5 bis 1,6 spec. Gew. mit 40 bis 60^k pro \square^{cm} .

Reitlinger, über Kreisproceße mit zwei isothermischen Curven. — Nach den Untersuchungen Zeuner's können die Regeneratoren für calorische Maschinen keinen Nutzen bringen, der Herr Verf. der vorliegenden Abhandlung untersucht aber den Fall genauer, wo beim Kreisproceße an Stelle der adiabatischen zwei isothermische Curven mit zwei Curven vom Gesetze $p^m v^n = \text{Const.}$ combinirt sind, und findet hierbei, daß die Regeneratoren doch nicht so unbedingt zu verwerfen seien. Die Kreisproceße der Stirling'schen und der älteren Ericson'schen calorischen Maschine können nämlich, wie schon Verdet und St. Robert gethan haben, auch durch je zwei Curven gleichen Volumens oder gleichen Druckes und zwei isothermische Curven dargestellt werden, was nach Ansicht des Verfassers der Wahrheit näher kommt, als die Zeuner'sche Auffassung.

Eyth, der Dampfpflug im Jahre 1873. — Ein sehr interessanter im österreichischen Ingenieur- und Architekten-Verein gehaltener Vortrag über die allmähliche Entwicklung des Dampfpfluges.

Scheidtenberger, Reconstruction des Eisenbahnviaductes bei Plankenstein. — Genannter in der Strecke Bölschach-Bonigl der k. k. priv. Südbahn liegende Viaduct besaß 19 Oeffnungen von 7,588^m Lichtweite und übersehte den Drannfluß in 13,275^m über Mittelwasser, wozu zwei Oeffnungen bestimmt waren, während eine dritte zur Unterführung der Bezirksstraße von Bölschach nach Gonobitz und eine vierte zur Ueberbrückung des Braunsbachs und eines Gemeindegeweges diente. Die Brückengewölbe waren halbkreisförmige Ziegelgewölbe von 0,682^m Stärke und hatten sämtlich 1,58^m einwärts von beiden Stirnflächen, Längsrisse erhalten, welche den Viaduct der Breite nach gewissermaßen in 3 Theile theilten, auch fanden sich in den Stirnen mehrer

Pfeiler verticale Risse, so daß eine Reconstruction nicht zu vermeiden war. Für diese wurde bestimmt, daß nur 5 Bögen erhalten bleiben, alle übrigen aber verschüttet werden sollten. Die offen bleibenden Oeffnungen wurden durch eine Bogenstellung ersetzt, welche auf neu aufgeführten Pfeilern ruht. Letztere lehnen sich gegen die alten Pfeiler, stehen aber auf einer neuen Pilotirung. Das Nähere über diesen, wegen des schlechten Zustandes des Bauwerkes und wegen der Vermeidung aller Betriebsstörungen ziemlich schwierigen Bau kann nur mit Bezugnahme auf Abbildungen verständlich werden.

Head's Kesselauf Lagerung. — Die Mehrzahl der Dampfkessel besteht aus horizontalen Cylinderkesseln und da sich bei diesen der Boden in Folge der stärkeren Erwärmung viel stärker ausdehnt, als die Decke, so tritt oft eine Dehnung und zuletzt Reißen ein. Um dies zu vermeiden, soll nach Head ein 24^m langer Kessel an 5 Stellen gestützt werden, aber so, daß die mittlere und die beiden äußeren Stützen beweglich sind, indem die Tragbalken an den Enden von Balanciers befestigt werden, welche zur Ausgleichung Gengewichte von $\frac{1}{10}$ des Wassergewichtes besitzen. Die beiden übrigen Träger liegen fest in der Einmauerung und über denselben sind die Dampf- und Speiseröhren u. s. w. zu befestigen.

Webb's stählerner Locomotivenkessel — besitzt eine Feuerbox, welche aus einem Stück gefertigt ist, so daß bloß die Decke und die Rohrwand mittelst Umbördelung eingesezt sind; auch der Dommantel besteht aus einem Stück. Der Kessel enthält 178 Stück 47^{mm} starke, stählerne Rohre und einen im Gesenk geschmiedeten kugelhaubenartigen stählernen Domboden.

Zeitschrift des Vereines deutscher Ingenieure. 1873. Band XVII, Heft 11 bis 12.

Ziebarth, Feuerungsanlagen von der Wiener Weltausstellung. — Dieser interessante Bericht beschäftigt sich zunächst mit den Oefen für metallurgische Zwecke, unter denen die Modificationen des Danks'schen rotirenden Puddelofens hauptsächlich Beachtung verdienen. Es sind Beschreibungen und Skizzen der Constructionen von Sellers, Siemens und J. v. Ehrenwerth mitgetheilt, ferner wird der Regenerator von Ponsard, der Löffverkohlungsöfen von Pottmann und eine ganze Reihe von Oefen für die keramische Industrie besprochen, z. B. der continuirliche Glasöfen mit Wanne von Siemens, der Löff'sche Ziegelöfen, der Brennofen der Berliner Porcellanmanufaktur, endlich sind einige Kesselfeuerungen beschrieben.

Bender, Vergleichung der amerikanischen und europäischen Balkenbrücken. — In diesem eines gründlichen Studiums werthen Artikel empfiehlt der für Amerika sehr eingennommene Herr Verfasser besonders den Pratt- oder Whipple-Träger und die verbesserten Neville- oder Warren-Träger, beides Träger mit parallelen Gurtungen, ersterer aber mit senkrecht-, letzterer mit geneigt-stehenden Streben. Die amerikanische Constructionsweise unterscheidet sich bekanntlich von der europäischen besonders dadurch, daß die Vernietungen vermieden und dafür kürzere sich um den Schnittpunkt

der Mittellinien drehende Diagonalen verwendet werden, ferner dadurch, daß man in den Vereinigten Staaten den Trägern mehr Höhe im Verhältniß zur Spannweite giebt, und endlich darin, daß man dort für die gedrückten Glieder vielfach Gußeisen verwendet. Man legt übrigens in Amerika der Berechnung eine größere Belastung zu Grunde als bei uns, gestatt gegen Zugspannungen eine Inanspruchnahme von 644^{kg} p^{cm} und ist sehr vorsichtig bezüglich der Verbindungen.

Schwarz-Flemming, technische Revue des Marinewesens auf der Wiener Weltausstellung. — Aufzählung der vorzüglicheren auf das Marinewesen bezüglichen Ausstellungsgegenstände.

Ziebarth, drei Dampfmaschinen von der Wiener Ausstellung. — Eingehendere Beschreibungen von dreien der originellsten Maschinen der Ausstellung, nämlich von der Corlissmaschine von Böde & Co. in Berviers, von der Ventilsteuermaschine von Gebr. Sulzer in Winterthur und von der zweicylindrigen Dampfmaschine von Dingler in Zweibrücken, begleitet von drei schönen Tafeln.

Teichmann, über Körperberechnung. — In diesem kurzen Aufsatze wird nachgewiesen, welche allgemeine Anwendung die Wittstein'sche Prismatoidformel gestattet, und wieviel genauere Resultate sie giebt, als die gewöhnlichen Näherungsrechnungen. Diese Formel, welche aus der untern und obern Grundfläche (F_u und F_o) und einer in halber Höhe parallel zu den beiden Endflächen geführten mittleren Schnittfläche F_m den Inhalt giebt durch Multiplication der Summe aus den beiden Endflächen und dem Vierfachen der mittleren Schnittfläche mit dem sechsten Theile der Höhe, $V = \frac{h}{6} (F_o + F_u + 4F_m)$, gilt nicht nur für Prisma, Pyramide, Keil, abgestumpfte Pyramide, Tetraeder, sondern auch für die Kugel und Kugelabschnitte, sowie für alle Körper, die begrenzt sind von zwei parallelen Grundflächen und irgend einer Fläche zweiter Ordnung, endlich empfiehlt sie sich zur Berechnung von Aufträgen und Abträgen.

Crampton's rotirender Puddelofen. — So wie der Siemens'sche rotirende Puddelofen eine Combination des Danks'schen Puddelofens mit der Siemens'schen Regeneratorfeuerung ist, so besteht Crampton's Erfindung in der Uebertragung seiner Heizung mit pulverbörmigem Brennmaterial auf das Danks'sche Puddelofenprincip. Fein gepulverte Kohle wird durch eine injectorartige Vorrichtung mittelst Gebläsewind in den Verbrennungscylinder getrieben und die hier entwickelte Flamme tritt dann durch die cylindrische Feuerbrücke in den rotirenden Puddelofen ein. Ein in Woolwich arbeitender Ofen dieser Construction mit 3,66^m langem, 2,13^m starkem Cylinder, verpuddelt in 12 Stunden in acht Chargen 40 Ctr. kalt eingefestetes Roheisen mit 5 bis 10 Proc. Mehrausbringen.

Gibb & Gelfthorp's rotirender Röstofen. — Beschreibung aus Dingler's polyt. Journal, Bd. 204, entlehnt.

(Schluß folgt.)

Literatur- und Notizblatt

zu dem zwanzigsten Bande des

Civilingenieur.

№ 4.

Literatur.

Physische und chemische Beschaffenheit der Baumaterialien. Deren Wahl, Verhalten und zweckmäßige Verwendung. Ein Handbuch für den Unterricht und das Selbststudium bearbeitet von Rudolph Gottgetreu, Architect und ordentl. Professor an der polytechnischen Schule zu München. Zweite vermehrte und verbesserte Auflage. In zwei Bänden. Erster Band. Mit 104 in den Text gedruckten Holzschnitten und 3 lithographirten Tafeln. Berlin 1874. Verlag von Julius Springer.

Wurde dieses Werk sogleich bei seinem Erscheinen allgemein als die beste Baumaterialienlehre bezeichnet, welche die technische Literatur aufzuweisen hatte, so kann die neue Auflage sicher sein, eine ebenso beifällige Aufnahme zu finden, da der Herr Verfasser auf das Gewissenhafteste für deren Verbesserung bemüht gewesen ist. Besonders viele und bedeutende Zusätze befinden sich im Abschnitt A, in welchem auf die geognostischen Verhältnisse der Gesteine, auf deren Festigkeit und Festigkeitsprüfung, auf die neueren Verbesserungen der zu ihrer Gewinnung angewendeten Sprengmittel, Maschinen und Methoden gründlicher eingegangen wird, als in der ersten Auflage, aber auch der Abschnitt B über die künstlichen Steine hat mannichfache Bereicherungen erfahren und giebt ein getreues Bild von dem gegenwärtigen Standpunkte der Technik auf diesem Gebiete. Bei Abschnitt C (die Hölzer) sind interessante geschichtliche Notizen beigelegt, und die Kapitel über Eintheilung, Conservirung, physische Eigenschaften und Festigkeit fast ganz neu bearbeitet worden. Es ist demgemäß auch der Umfang des Werkes um ein Viertel vergrößert worden, und es wird manchen Lesern angenehm sein, daß die neue Auflage in lateinischen Lettern gedruckt und im Ganzen noch eleganter ausgestattet ist, als die erste Auflage.

Die Literatur der letzten fünf Jahre (1865 bis 1870) auf dem gesammten Gebiete des Bau- und Ingenieurwesens, mit Einschluß des Kunstgewerbes in deutscher, französischer und englischer Sprache. Herausgegeben von der Buchhandlung Gerold & Comp. in Wien. Wien, Verlag von Gerold & Comp.

Welchen Werth derartige Literaturübersichten haben, braucht an dieser Stelle nicht erst erläutert zu werden, es genügt viel-

mehr anzuführen, daß dieser Katalog die in den Jahren 1865 bis 1870 erschienenen Werke, Zeitschriften, Kalender u. dergl. über Hochbau, Wasser-, Brücken-, Straßen-, Eisenbahnbau, Bergbau und Hüttenkunde, Mechanik und Maschinenwesen, Telegraphenwesen, technische Chemie, Gasbeleuchtung, Heizung und Ventilation, städtische Wasserversorgungen und Canalisationen, Geodäsie, descriptive Geometrie und Zeichnen, Ornamentik und Kunstgewerbe, technisches Unterrichts- und Ausstellungswesen u. a. m. systematisch und alphabetisch geordnet aufführt und sich durch große Vollständigkeit und Correctheit auszeichnet.

Berechnung und Construction der Triebwerke bearbeitet von Karl Keller, Professor des Maschinenbaues an der Großherzogl. polytechnischen Schule zu Karlsruhe. Mit 236 in den Text gedruckten Holzschnitten und 8 lithographirten Tafeln. Heidelberg. Verlag von Fr. Viewegmann. 1874.

Vorliegende Monographie, welche eigentlich nur einen Abschnitt eines von dem Herrn Verf. in Aussicht gestellten Handbuches über die Elemente des Maschinenbaues und der Maschinenlehre bildet, umfaßt, nach Vorausscheidung theoretischer Betrachtungen über die rotirende Bewegung und deren Fortpflanzung, die Berechnung und Construction der Axen und Wellen sammt Kuppelungen, der Zahnräder- und der Riementransmissionen sammt Schnuren-, Seil- und Kettentrieben, endlich der Bewegungsumkehrungen. Die Behandlung ist eine ungleich wissenschaftlichere, als in den meisten ähnlichen Werken, was dieses Werk zu Schulzwecken besonders geeignet erscheinen läßt, doch ist dasselbe, obschon darin auf elegante Abbildungen weniger Werth gelegt ist, auch dem Constructeur als Rathgeber für solche Fälle zu empfehlen, wo er von der Straße der gewöhnlichen Empirie abzuweichen und sich mit Hilfe der Theorie neue Wege zu suchen genöthigt ist.

Denkschrift des Polytechnischen Vereins in Karlsruhe, betreffend die Einführung eines allgemeinen Diplom-Examens auf allen deutschen technischen Hochschulen. Karlsruhe. Druck von Friedrich Gutsch. 1874.

Das Streben nach Einheit, welches sich jetzt in allen Verhältnissen kund giebt, hat auch obige Denkschrift hervorgerufen, für die sich unser Leserkreis warm interessiren wird, und der wir nur die weiteste Verbreitung und den besten Erfolg wünschen können.

Neue Pfade der Volkswirtschaft. Die Secundärbahnen mit normaler Spurweite und langsamer Fahr-

bewegung. Denkschrift von M. M. Freiherrn von Weber, Ingenieur, k. k. Hofrath und technischer Consul des k. k. Handelsministeriums in Wien. Weimar, 1874. Bernhard Friedrich Voigt.

Während Herr v. Weber in seiner, auch in diesen Blättern besprochenen vorzüglichen Schrift über die Praxis des Baues und Betriebes der Secundärbahnen durchaus kein günstiges Urtheil über die so vielfach empfohlenen Secundärbahnen mit schmaler Spur und Fairlielocomotiven zu fällen im Stande ist, verwendet er sich in vorliegender Broschur warm für das System der Secundärbahnen mit normaler Spur und langsamer Fahrbewegung, durch welches abseits liegende Gegenden in eine lucrative Verbindung mit den Hauptarterien des Verkehrs gebracht werden können, wenn die Staatsverwaltungen liberale Concessionen machen und die Eisenbahngesellschaften sich guter Deconomie befleißigen.

Handbuch der mechanischen Wärmetheorie. Nach E. Verdet's *théorie mécanique de la chaleur* bearbeitet von Dr. Richard Rühlmann, erstem Lehrer der Mathematik und Physik am königlichen Gymnasium zu Chemnitz. Mit in den Text eingedruckten Holzschnitten. Erste Lieferung. Braunschweig, Druck und Verlag von Friedrich Vieweg und Sohn. 1873.

So ausgezeichnete Werke unsere deutsche Literatur über einzelne Abschnitte der mechanischen Wärmetheorie aufzuweisen hat, so fehlte es doch noch an einem umfassenden Werke über diese für Physik, Chemie, Mechanik, Astronomie und Physiologie so wichtig gewordene Wissenschaft. Auch die obigen Werke zu Grunde gelegten Vorlesungen des verdienstvollen französischen Physikers Verdet konnten diese Lücke nicht ausfüllen, da seit ihrer Bearbeitung (1864) außerordentlich viel Neues hinzugekommen ist. Der Herr Herausgeber hat daher damit eine eingehende Umarbeitung vornehmen müssen, bei welcher zwar möglichste Vollständigkeit angestrebt, aber andererseits auch ein tieferes Eingehen auf die bereits in vorzüglichen Specialwerken behandelten Anwendungen der mechanischen Wärmetheorie in der Maschinenlehre vermieden worden ist. Im vorliegenden ersten Hefte sind zunächst zwei höchst interessante populäre Vorlesungen Verdet's wiedergegeben, welche das Werk in würdigster Weise einleiten; hierauf folgt ein Abschnitt, welcher die hauptsächlichsten Vorbegriffe erläutert, dann wird der erste Hauptsatz unter Auführung der bezüglichen Experimente abgehandelt, während der letzte Abschnitt die Anwendungen des ersten Hauptsatzes auf das Studium der Gase enthält. Diesem Hefte werden noch drei weitere Hefte nachfolgen.

Vorträge über Eisenbahnbau, gehalten an verschiedenen deutschen polytechnischen Schulen, begonnen von Dr. E. Winkler. Fünftes Hefte. Der Eisenbahn-Unterbau (geometrische Vorarbeiten und Construction der Erdbauten). Von Dr. E. Winkler, o. Professor des Eisenbahn- und Brückenbaues an der k. k. technischen Hochschule in Wien. Zweite verbesserte Auflage. Lieferung 2. Mit 145 Holzschnitten und 3 Farbendruck-Tafeln. Prag 1874. Verlag von J. Dominicus.

Mit dieser Lieferung wird das 5. Hefte der Vorträge

abgeschlossen, das den Unterbau mit Ausschluß des Tracirens, der Kunstbauten und des eigentlichen Erdbaus behandelt. Es ist eine vorzügliche Arbeit, welche in theoretischer, wie praktischer Beziehung Nichts zu wünschen übrig läßt. Das vorliegende Hefte enthält zunächst die Theorie der Böschungen, und handelt dann von der Construction und Gründung der Dämme und Einschnitte, sowie von den Entwässerungen, und bringt zum Schluß eine ausführliche Literaturübersicht. Auch die Ausstattung ist eine vorzügliche zu nennen.

Die Dampfessel der Wiener Weltausstellung 1873, mit Berücksichtigung überhaupt der neueren Fortschritte und Richtungen in Dampfesselanlagen. Bericht an Ingenieure und Rathgeber für Industrielle. Zugleich zweiter Band zur Anlage und Betrieb der Dampfessel. Von H. v. Reiche, Ingenieur des Sächsisch-Anhaltischen Vereins zur Prüfung und Ueberwachung von Dampfesseln. Mit 6 lithographirten Tafeln und vielen Holzschnitten. Leipzig. Verlag von Arthur Felix. 1874. 2 1/3 Thlr.

In diesem von zahlreichen guten Tafeln und Holzschnitten begleiteten Berichte spricht der schon durch seine früheren Werke als ein vorzüglicher Beobachter, wissenschaftlich und practisch gebildeter Ingenieur und selbstständiger Character bekannte Herr Verfasser sein unbefangenes Urtheil aus über die in Wien aufgestellten neuen Dampfesselconstructionen und verschiedene dahin gehörige neue Erfindungen. Derartige Werke sind so selten und doch so lehrreich und anregend, daß ihr Studium nicht genug empfohlen werden kann; wir möchten aber nicht bloß die eigentlichen Ingenieure darauf aufmerksam machen, sondern auch die Industriellen, denen, gegenüber von so vielen marktstreuerischen Empfehlungen, solch ein Rathgeber besonders erwünscht sein muß. Schließlich dürfen wir nicht unerwähnt lassen, daß diesem Buche ein auch separat zu beziehendes Tableau „Dienstvorschriften für Kesselwärter“ beigegeben ist, welches die allgemeinste Beachtung und Verbreitung verdient.

Atlas des Bauwesens. Von Dr. Wilhelm Fränkel und Rudolf Heyn, Professoren am königl. Polytechnicum zu Dresden. 19 Tafeln in Stahlstich nebst erläuterndem Texte. Separat-Ausgabe aus der zweiten Auflage des Bilder-Atlas. Leipzig. J. A. Brockhaus. 1874.

Obwohl dieses Werk nur für Laien bestimmt ist, so darf desselben doch in diesen Blättern Erwähnung gethan werden, da es von gründlichen Sachverständigen verfaßt und so schön ausgestattet ist, daß es auch von angehenden Technikern mit Nutzen gelesen werden wird. Die erste Abtheilung (das Bau-Ingenieurwesen) mit 9 Tafeln behandelt Straßen-, Eisenbahn-, Brücken- und Wasserbau, sowie die Telegraphie, die zweite aber (das Hochbauwesen) die Hochbauconstructionen in Stein, Holz und Eisen, den Ausbau, die Feuerungs- und Ventilationsanlagen und die modernen Ruhbauten.

Das neue Buch der Erfindungen, Gewerbe und Industrien. Rundschau auf allen Gebieten der gewerblichen Arbeit. Herausgegeben in Verbindung mit Professor Dr. E. Birnbaum, Professor E. Böttger,

Professor R. Gayer, Ministerialrath Dr. W. v. Hamm, Prof. Fr. Kobl, R. Ludwig, Baurath Dr. Oskar Mothes, W. v. Plönnies, Th. Schwarze, R. de Roth, Herm. Wagner, Julius Zöllner und A. Sechster Band. Die mechanische Bearbeitung der Rohstoffe. Sechste umgearbeitete und verbesserte Auflage. Mit fünf Ton- und einem Titelbilde, sowie 500 in den Text gedruckten Illustrationen. Leipzig und Berlin. Verlagsbuchhandlung von Otto Spamer. 1874.

Mit diesem Bande wird die sechste Auflage des „Buches der Erfindungen, Gewerbe und Industrien“ beendet und es dieser Band, als dessen Verfasser die Herren E. v. Hert, Prof. Fr. Kobl, Fr. Ludenbacher, Th. Schwarze und Julius Zöllner genannt sind, sowohl seinem Inhalte, seiner vorzüglichen Ausstattung nach ein würdiger Schluss für das gesammte Werk. Derselbe kann als eine äußerst vorzügliche mechanische Technologie bezeichnet werden, die wohl geeignet ist, bei dem größeren Publicum Interesse für die Kunst und Verständnis für ihre Aufgaben zu wecken. Im Inhalte bringt dieser Band eine alphabetisch-chronologische Übersicht der bedeutendsten Erfindungen und Fortschritte aller Zeiten, sowie ein Sachregister zu allen sechs Bänden des Buches der Erfindungen, Beigaben, welche den Werth des Buches erhöhen und seine Benutzung sehr erleichtern. Zur weiteren Ergänzung dieser großen Rundschau über die gesammte menschliche Thätigkeit ist bereits wieder ein siebenter Band erschienen mit dem Titel:

Der Weltverkehr und seine Mittel. Rundschau über Schifffahrt und Welthandel. Herausgegeben von Dr. Richard Andree, Dr. Julius Engelmann, M. Lange, Fr. Ludenbacher, Kapitän Schück, Jul. Zöllner. Illustriert mit gegen 450—500 Text-, einem Titel-, acht Ton- und Buntdruckbildern, einer Welttelegraphie-, sowie einer Flaggenkarte, vergleichenden Tabellen u. s. w. Zweite vermehrte und verbesserte Auflage.

Die ersten beiden Hefte dieses Werkes sind hauptsächlich inhaltlich und besprechen die allmähliche Entwicklung des Großverkehrs und die großen Verkehrswege, die späteren Lieferungen werden dann eingehender vom Postwesen, den Eisenbahnen, Wasserstraßen, Seepostkursen, der Schifffahrt, Welttelegraphie u. s. w. handeln.

Versuch einer graphischen Dynamik. Von Dr. R. Pröhl, Ingenieur der Niederschlesischen Maschinenbau-Gesellschaft in Görlitz, vorm. Assistent für Kinematik und Maschinenlehre an der Königl. polytechnischen Schule in Aachen, Mitarbeiter des Civilingenieur. Mit einem Atlas von 10 lithographirten Tafeln. Leipzig, Verlag von Arthur Felix. 1874. 2^{2/3} Thlr.

Wenn auch in diesem Werke nichts wesentlich anderes boten wird, als was der vorige Jahrgang dieser Zeitschrift unter einem etwas anderen Titel bereits gebracht hat, weshalb wir kaum nöthig haben, auf den bedeutungsvollen Inhalt dieses Werkes näher einzugehen, so wollen wir doch nicht unterlassen, auf das Erscheinen dieses höchst elegant ausge-

statteten und mit Rücksicht auf das Ausland in lateinischen Lettern gedruckten Separatabdruckes aufmerksam zu machen, da dieser Versuch, die graphischen Methoden auch in der Behandlung dynamischer Aufgaben einzuführen, schon zu sehr anerkanntenswerthen Erfolgen geführt hat und gewiß noch einer weiteren Ausbildung fähig ist. Die graphische Methode, welche in der Behandlung statischer Probleme bereits die weiteste Verbreitung gefunden hat, führt, wie vorliegendes Werk zeigt, bei der Bewegung eines materiellen Punktes in krummer Bahn, ja sogar bei der Planetenbewegung, ferner bei der Ermittlung der Wirkungen äußerer Kräfte auf ein frei bewegliches unveränderliches System von Massen und endlich bei der Untersuchung der Wirkungen äußerer Kräfte in Mechanismen auf überraschend übersichtliche und für die Praxis unmittelbar anwendbare Resultate, so daß das Studium dieser Methoden dem Practiker ebenso zu empfehlen ist, als das Studium der Graphostatik.

Referate aus technischen Zeitschriften.

Zeitschrift des Vereines deutscher Ingenieure. 1873. Band XVII, Heft 11 bis 12. (Schluß.)

Chateau, Constructionsfehler an Dampfkesseln.

— An Cylinderkesseln wird oft die Feuerplatte zu kurz genommen; sollen die Nietreihen gegen die Stichflamme geschützt sein, so muß die Platte 2^m lang und der Blechstoß am vordern Kopfe des Kessels gegen das Feuer geschützt sein. Oft fehlt auch ein Wasserablaßhahn, so daß Abblasen durch die Speisewasserleitung eintritt. Bei Kesseln mit Vorwärmern sitzt häufig der Verbindungsstutzen nicht an der höchsten Stelle, was das Durchbrennen der Bleche hinter dem Stutzen veranlaßt. Solche Rohre und Unterkessel müssen mehr ansteigen, als die Summe der Blechstücke beträgt, und werden hinter dem Stutzen am besten conisch geformt. Es ist unzweckmäßig, Mannloch, Speise- und Ablasshahn unter dem Aschenfall anzubringen, weil dies die Reinigung erschwert, auch ist zu empfehlen, den Unterkessel hinten mit einem theilweise in der Mauer liegenden vorspringenden Gucklopf zu versehen, an dessen höchster Stelle das Uebergangsrohr angeschraubt wird, welches mit dem hintern Stutzen des Oberkessels zu verbinden ist. Liegen Vorwärmer zu beiden Seiten eines Kessels, so sind die Stutzen ebenfalls an der höchsten Stelle anzubringen, damit sich in diesen Rohren nicht Dampf von höherer Spannung als im Hauptkessel bilden und das Wasser aus den Rohren nach Letzterem drücken könne. Horizontal liegende Blechstutzen sind ganz zu vermeiden. Cornwellkessel sollten bei weniger als 1,6^m Durchmesser nie angewendet werden, da bei geringerer Weite keine Reinigung des Raumes unter dem Feuerrohre möglich ist. An solchen Kesseln sind alle verticalen Blechstücke möglichst zu umbördeln und durch einen Flacheisenring zu verstärken. Verstärkungsringe dürfen nicht fest aufsitzen, sondern das Wasser muß zwischen diesen und dem Kessel circuliren können. Die Feuerrohre müssen mit Pufföffnungen versehen und öfters von Flugasche gereinigt werden.

Bei Fiedelsesseln dürfen die Röhren nicht eingeschraubt, sondern nur mittelst angebrehtem Conus befestigt werden, damit man sie leicht reinigen kann.

Wittmann, über Tramways mit Dampftrieb. — Man hat in Portugal zwei derartige Bahnen in Bau, nämlich die 17,6^{km} lange Bahn nach Cintra und die 97,5^{km} lange Bahn Torres-Vedras. Zwischen den in 1,27^m Abstand von einander liegenden Längsschwellen ist in der Mitte eine eiserne Leitschiene befestigt. Auf ersteren laufen die 356^{mm} und resp. 124^{mm} breiten Seitenräder der Maschine und Wagen, während auf der Mittelschiene Leiträder mit doppelten Spurräuren laufen, welche an den Enden der Fahrzeuge in beweglichen Radgestellen befestigt sind.

Glomsda, über Rörting's Dampfstrahlapparat. — Mit einem solchen Condensator wurde ein Vacuum von 73^{cm} erzeugt, doch ist nicht angegeben, wieviel Wasser dazu erforderlich war. Der Apparat bestand aus einem Kasten mit fünf ineinandergreifenden Trichtern; das Wasser floss aus einem 4^m höher stehenden Reservoir zu und der Dampf trat durch eine Seitenöffnung ein.

Briegleb, Abnutzung der Dampfzylinder. — Bei einer Corlissmaschine trat mit der Zeit ein starkes Schlagen im Cylinder ein, als dessen Ursache bei der Untersuchung eine starke Abnutzung des Cylinders an beiden Enden unmittelbar hinter dem ersten Kolbenringe erkannt wurde. Der Kolben enthielt zwischen zwei festen Scheiben zwei mittelst einer Spiralfeder gespannte Ringe, ließ aber Dampf eintreten. Der Uebelstand wurde durch Anwendung eines Kolbens mit Keilspannung beseitigt.

Allgemeine Bauzeitung. XXXVIII. Jahrg. 1873. Heft. 2 bis 6.

Köflin und Lebrecht, Vorschläge zur Beschaffung billiger Eisenbahnen. — Diese Vorschläge betreffen zunächst ein Locomotivsystem, welches durch Hinzufügung eines während der Fahrt mit einer mehr Abhäsion gebenden Nebenbahn in Contact tretenden niedrigen Triebäderpaars die Ueberwindung von Steigungen von 1 auf 18 bis 12 ermöglichen soll. Bei diesem sogen. Superficialsystem wird die Tracirung nicht mehr Schwierigkeiten bieten, als diejenige der gewöhnlichen Landstraßen, die Ueberwindung starker Rampen geschieht aber nicht mittelst besondrer Maschinen, sondern die für die ganze Linie benutzte Maschine hat nur die Einrichtung, daß die Triebachse auf der Außenseite der Räder noch niedrigere Rollen oder Räder trägt, welche bei steilen Rampen in Function treten, indem an solchen Stellen neben den gewöhnlichen Schienen noch eine Holz- oder Steinbahn vorgerichtet ist, auf welcher sich dann die Maschine mittelst der niedrigeren Räder und geringer Geschwindigkeit in die Höhe arbeitet. Wenn eine 25 Tonnen schwere Maschine von 150 bis 170 Pferdekraften auf einer Steigung von 1:100 noch 50 Tonnen Last mit 10^m Geschwindigkeit fortschleppt, so soll sie durch die beschriebene Vorrichtung in Stand gesetzt werden, diese Last mit 3^m Geschwindigkeit auf einer Steigung von 1:18 aufwärts zu ziehen, da die Abhäsion auf der Holzbahn 4 bis 5 mal so groß ist, als auf der Eisenschiene. Eine Hauptschwierigkeit dieses Systems besteht in dem Uebergange von der gewöhnlichen auf die Hilfsbahn, indem hierbei durch das

Beharrungsvermögen des Zuges ein Gleiten der niedrigen Räder herbeigeführt werden würde, wenn dieser Uebergang nicht vorsichtig vermittelt wird. Ein zweiter Vorschlag beruht auf der Anwendung einer bei starken Steigungen zwischen den Schienen liegenden gespannten Kette, an welcher sich die Locomotive nach Art der Kettenschleppschiffe in die Höhe arbeiten soll. An der Triebachse (oder wenn deren zwei nöthig sind, an beiden) ist zwischen den Triebädern eine Trommel mit Einkerbungen für die Kettenglieder aufgesteckt und die am oberen Ende der Rampe befestigte Kette so darüber geschlungen, daß die Trommeln sich an der Kette aufwinden. Beträgt das Gewicht des Zuges 170, dasjenige der Maschine 35 Tonnen, die Steigung 75 auf 1000, die Fahrgeschwindigkeit 1,5^m, so berechnet sich bei fünfmaliger Umwindung der Kette und Annahme eines Reibungscoefficienten = 0,18 eine höchste Kettenspannung von 175 Tonnen.

Geiger und Lebrecht, Studien über Eisenbahnen in Bosnien und der Herzegovina. —

Favaro, Beiträge zur Geschichte der Planimetrie. — Diese für Alle, welche sich näher mit der Planimetrie beschäftigen, sehr interessante Abhandlung weist nach, daß die Planimeter mit Scheibe und Rolle zuerst (im Jahre 1824) von Professor Titus Bonella in Florenz erfunden und practisch angewendet worden sind, giebt aber überhaupt eine sehr lehrreiche geschichtliche Darstellung der allmähigen Fortschritte auf diesem Gebiete und eine sehr vollständige Bibliographie der mechanischen Planimetrie.

Der Thaya-Biaduct bei Znaim. — Dieser Viaduct, mittelst dessen die österreichische Nordwestbahn das schöne Thayathal bei Znaim geradlinig in 45^m Höhe überseht, besteht aus vier Oeffnungen, zwei zu 50 und zwei zu 60^m Weite, welche mit einer schmiedeeisernen Fachwerkconstruction überspannt sind. Die drei 43,5 bis 48,3^m hohen Mittelpfeiler sind am obern Ende parallel zur Brücke 3,7^m stark, senkrecht dazu 6,2^m breit und mit $\frac{1}{25}$ Geläuft aus Granitquadern mit Bruchsteinmauerwerk ausgeführt. Der eiserne Oberbau besteht aus zwei continuirlichen Trägern mit parallelen Gurten, verbunden durch ein einfaches System von Kreuzstreben und Verticalen. Diese Träger sind 220^m lang und 5^m hoch, liegen in 4^m Entfernung von einander und sind in Fächer von 5^m Länge eingetheilt. Bei der Berechnung wurde ein Eigengewicht von 2700^k und eine zufällige Last von 4600^k pro lauf. Meter zu Grunde gelegt und eine Inanspruchnahme von 650 bis 700^k pro \square^{cm} zugelassen. Die Hauptträger sind außer den in den Knotenpunkten angeordneten Querträgern noch durch besondere diagonale Querverbindungen und Windkreuze unter sich verbunden und tragen die Fahrbahn über sich. Zum Montiren der Eisenconstruction bediente man sich bemerkenswerth einfacher Stagengerüste, auch sind die übrigen Versey- und Aufzuggerüste sehr practisch constructirt. Bei der Probelaftung betrug das Maximum der elastischen Einsenkung $\frac{1}{2632}$ bis $\frac{1}{2160}$ der Stützweite und es beliefen sich die Kosten des Mauerwerkes auf 440000, diejenigen der Eisenconstruction auf 185000 Fl.

Fein, die internationale Verbindung zwischen England und Frankreich. — Unter den Vorkehrungen, welche die Verbindung zwischen diesen Ländern erleichtern und die Beschwerden der Seereise möglichst vermindern sollen,

e meiste Aussicht auf Realisirung das Project von Bessmer und E. J. Reed, welches darauf hinft, daß die Verbindung durch sehr lange und breite, sehr stabile und mit sehr starken Maschinen versehene vermittelt werden soll, welche vorn und hinten ganz gebaut und mit Stener versehen, überdies aber noch bewegungslosen Kajüte ausgerüstet werden sollen.

olliger, Egalisator und stellbare Absehschei-ur Erhaltung des Niveaus der Eisenbahn. — Die Vorrichtungen zur Hebung gesunkener Stellen hngeleise sind in der That noch größtentheils sehr primitive Natur, obgleich die auf die gehörige Instandhaltung ideoaus der Bahngelaise zu verwendenden Kosten als erhebliche bezeichnet werden müssen. Aus diesem verdienen die hier dargestellten und beschriebenen ite möglichste Beachtung und Prüfung. Die stellbaren heiben beseitigen die beim Halten der gewöhnlichen en vorhandene Unsicherheit, gewähren Ersparniß an beitem und lassen die Größe der eingetretenen Sen-direct ablesen. Sie bestehen aus einem gußeisernen tell, in welchem sich eine kurze Latte mit Eintheilung en horizontalen Zapfen drehen kann. An dieser Latte e zweite oben mit Absehscheibe und einem Loth zur chstellung versehene Latte verschiebbar angebracht, an anterem Ende ein um ein Charnier umklippbares Lineal ch ist, welches in umgekippter Lage rechtwinkelig zur itte, also parallel zur Kante der Absehscheibe steht. derartige Absehscheiben werden in 0,75^m Entfernung r Schiene außerhalb des Gleises so aufgestellt, daß deren Ranten in einer zur Oberkante des Gleises pa-Ebene liegen. Wird nun an einer eingesunkenen telle eine dritte Scheibe aufgestellt und deren verschieb-atte so lange gehoben, bis die daran befestigte Scheibe s in die Visurebene einspielt, so ergiebt dann nach optem Lineal die Ablesung an der Scala, um wieviel leiz zu heben ist. Der zweite Apparat, Egalisator, ist it, die Arbeit des Unterstopfens der gehobenen Schwellen ichtern. Es ist dies eine gleichzeitig von beiden Seiten ide Stopfzange, welche mittelst Schraube und Knieewegt wird, deren nähere Construction sich aber ohne ng nicht wohl erläutern läßt. Mit diesem Apparate er einer correcteren Ausführung der Arbeit eine Ro-arniß von 30 Procent verbunden sein.

eidum's patentirte Kugel-Drehfscheiben. — ungen und specielle Beschreibung dieser eigenthümlichen eibenconstruction, welche sich nach mitgetheilten Attesten ohl bewährt hat. Vergl. diese Bl. S. 11. Jede solche eibe besitzt einen Laufstranz am äußeren Umfange und olchen bei ca. 0,4 des Radius Abstand vom Mittel. aus Eisenbahnschienen gebildeten Ringe sind mit dem ach unten gewendet und es stehen ihnen als Funda-leich große und ebenso construirte festliegende Laufstränge er. Die Schienenköpfe der beweglichen und der festen nge sind etwas ausgeholt und in diesen Rinnen laufen starke Stahlkugeln in 0,832^m Abstand voneinander, ch Führingsringe gegen unregelmäßige Verschiebung ind. Derartige Drehfscheiben bedürfen nur einer tiefen Grube, sind um 35 bis 40 Proc. leichter und als die gewöhnlichen Drehfscheiben, gehen leichter und sich daher auch minder stark ab und erfahren bei Frost örörungen.

Mengel, über den Einfluß der Steigungen und Curven. — In dieser gründlichen Abhandlung stellt sich der Herr Verf. die Aufgabe, den Einfluß der Steigungen und Curven auf die Kosten und Erschwernisse des Betriebes allgemein zu entwickeln, also die virtuelle Bahnlänge zu bestimmen. Hierbei werden zunächst die Bewegungswiderstände zwei- und mehraxiger Eisenbahnwagen auf der geraden horizontalen Bahn entwickelt, dann wird die Bewegung auf geneigter aber gerader Bahn bei der Befz- und Thalfahrt untersucht, wobei sich interessante Ergebnisse über die ungleiche Inanspruchnahme der Axen herausstellen. Hieran schließen sich Erörterungen über den Zusammenhang der Inanspruchnahme der Axen mit den Abbrüchen auf Grund der statistischen Nachrichten von den preussischen Eisenbahnen, während die Untersuchung des Curvenwiderstandes dem zweiten Theile vorbehalten bleibt. Ist α die Neigung der Bahn und s die Länge derjenigen horizontalen Bahnstrecke, welche dieselbe mechanische Arbeit verlangt als die geneigte Strecke s_1 , so folgt aus den bisherigen Erörterungen $s = s_1 (\cos \alpha \pm 197,74 \sin \alpha)$.

Zeitschrift des Architekten- und Ingenieur-Vereines zu Hannover. Band XIX, Jahrg. 1873, Heft 4.

Weiß, die ideale und die reale Expansions-curve unserer Dampfmaschinen. — Schon von verschiedenen Seiten ist darauf hingewiesen worden, daß die vom Indicator aufgezeichnete Expansionscurve weder mit der dem Mariotte'schen Geseze entsprechenden Curve harmonirt, noch durch die Principien der mechanischen Wärmetheorie vollständig erklärt werden kann. In obiger Abhandlung werden verschiedene dieser Aeußerungen zusammengestellt und an zahlreichen Indicator-diagrammen von Bölders, Baufinger, Niehn, Linde, Schneider, Hartig u. s. w. bezügliche Untersuchungen vorgenommen, deren Ergebniß sich dahin aussprechen läßt, daß bei gut ausgeführten Maschinen und mit äußerster Vorsicht angestellten Versuchen die Abweichungen der realen Expansionscurve von der adiabatischen Linie nicht so bedeutend sind, als von vielen Schriftstellern behauptet worden ist, daß aber die weitere Verfolgung der Ursachen dieser Abweichungen, welche der Herr Verf. in einem späteren Artikel durchführen wird, bezüglich der zur Verbesserung der Dampfmaschinen einzuschlagenden Wege höchst wichtige Fingerzeige zu geben geeignet ist.

Blauel, Oberbrücken der Breslau-Schweidnitz-Freiburger-Eisenbahn. — Für die drei Oberübergänge der genannten Bahn bei Dyhernfurth, Steinau und Deutsch-Nettlow sind eingleisige Fachwerkträgerbrücken Schwebler'schen Systems von 36,45^m Stützweite, 5^m Höhe und 4,028^m Lichtweite angewendet worden, welche in 9 Felder eingetheilt und mit als Blechballen construirten Quers- und Schwellenträgern versehen sind. Das Gesamtgewicht der Eisenconstruction für eine Deffnung beträgt 43000^k, incl. 1500^k Gußeisen, und läßt sich durch die Formel $Q = (22,51 + 360)l$ ausdrücken, wenn die Stützweite l in Metern gegeben ist. Bei der Berechnung ist die Belastung mit drei Locomotiven à 40000^k und drei Tendern à 28200^k, sowie ein Eigengewicht von 900^k pro laufendes Meter zu Grunde gelegt und die Spannungen betragen in der oberen Gurtung 628 bis 715, in der unteren 736 bis 750, in den Diagonalen 735 bis 747^k pro \square^{cm} . Die Belastung der Drehzapfen beträgt

264^k pro □^{cm} Projectionssähe, diejenige der Pendel 284^k pro Centimeter Länge.

Mehrten, über Ausrüstung größerer Brückengewölbe. — Systematische Darlegung der verschiedenen Methoden, deren man sich beim Ausrüsten bedienen kann, mit Bezugnahme auf wirkliche Anwendungen derselben. Das Ausrüsten mit Klögern von Tannenholz, welche über den Stützpfeilern zwischen die Schwellen placirt und beim Ausrüsten scharf zugespitzt werden, bis sie durch den Druck des Gewölbes eingebrückt werden, ist nur bei Gewölben von geringer Spannweite zulässig, weil damit ein stoßweises Sinken verbunden ist. Die Anwendung von Keilen aus Eichenholz, welche noch jetzt in England sehr üblich ist, verlangt theils sehr große Anstrengungen bei der Entfernung der Keile, theils kann ein plötzliches Lösen derselben für die Gewölbe sehr nachtheilig werden. Sind dieselben in Form verzahnter Träger verwendet, so ist diese Methode der Ausrüstung minder gefährlich. Bei der Beaumontin'schen Anwendung von Sandsäcken mit gleichzeitiger Benutzung von Klögern sind ziemlich merkliche Stöße nicht zu vermeiden und die Beifügung von in die Sandsäcke eingelegten, mit Wasser gefüllten Kautschuckschläuchen durch Pagrens kann nichts als eine wesentliche Verbesserung dieser Methode angesehen werden. Die Dupuit'schen Schrauben ermöglichen eine ganz allmähliche Senkung des Gerüstes, sind indessen bei mangelhafter Ausführung und Handhabung leicht Brücken ausgesetzt und stets kostspielig. Nicht minder bedenklich und kostspielig erscheinen Bluyette's Scheiben mit Schraubenflächen. Zweckmäßiger ist die beim Bau der Ilmenau-Brücke nächst Lüneburg angewendete Construction von Schrauben, welche nicht das ganze Lehrgerüst trägt, sondern nur die Bogenrippe gegen den Kiegel absperrt, da dasselbe mit einer beschränkten Zahl von Arbeitern eine sehr gleichmäßige Ausrüstung und vorher schon bei der Aufstellung die Justirung des Lehrgerüstes ermöglicht. Die Methode der Ausrüstung mittelst Sandcylindern, welche im Jahre 1854 von Beaumontin angegeben ist, gewährt eine sehr einfache Senkung des Gerüstes, läßt aber beträchtliche Senkungen nicht zu und verlangt einige Vorsicht in Bezug auf Trodenerhaltung des Sandes. Noch zweckmäßiger ist die Guyot'sche Vorrichtung, bei welcher Sandcylinder und Schraube combinirt sind.

Ked, die Locomotiven auf der Wiener Weltausstellung. — Nach den Berichten im Engineer, Engineering und Heusinger's Organ für Fortschritte im Eisenbahnwesen bearbeitet, aber nicht von Zeichnungen begleitet.

Favre, verbesserte Luftschleuse für pneumatische Gründungen. — Zweck der neuen Construction ist die Erleichterung der Bodenaussförderung. Die Schleuse besteht aus einem 1,77^m weiten, 1,83^m hohen Blechcylinder, welcher bis zu 1,06^m unter der Decke des Caissons in Letzteren eingelassen und mit einer nach innen aufschlagenden Bodenklappe von 0,64^m Weite versehen ist. Die mit Material gefüllten Kibel, welche durch diese Schleuse zu befördern sind, werden in einen Blechcylinder gesetzt, der durch eine einfache Vorrichtung unter die Bodenöffnung der Luftschleuse gebracht und gegen den Boden derselben luftdicht angedrückt werden kann. Ist Letzteres geschehen, so öffnet der Arbeiter in der Luftschleuse die Bodenklappe, nimmt den vollen Kibel heraus, ersetzt ihn durch einen leeren und schließt dann die Klappe wieder, worauf die Arbeiter im Caisson den unter-

geschobenen Cylinder mit dem leeren Kibel zur Seite schieben und durch einen Cylinder mit vollem Kibel ersetzen.

Allgemeine Bauzeitung. XXXIII. Jahrg., 1873, 7 bis 12 Heft.

Valdermann, die Eisenbahnbrücke über die Donau bei Maria-Ort. — Beschreibung und Abbildungen einer Fachwerksträgerbrücke mit unter der Fahrbahn liegenden Hauptträgern nebst statischer Berechnung der Eisenconstruction und Angaben über die Probebelastung. Diese Brücke, mittelst welcher die Bahn von Regensburg nach Nürnberg den Donaustrom unweit Regensburg überschreitet, enthält drei Stromöffnungen von 63^m und sechs Fluthöffnungen von 24^m Lichtweite, wovon letztere massiv überwölbt sind. Das Gewicht der Eisenconstruction beträgt für eine Oeffnung an Walzeisen 154,97, an Gußeisen 4,08, an Stahl 0,57 Tonnen und es ergibt sich pro laufendes Meter ein Gewicht von 1,797 Tonne in den Hauptträgern, 0,659 Tonne in den Querträgern und 0,077 Tonne in den Lagern. Zur Aufstellung dienten hölzerne Gerüstbocke, welche leicht zerlegbare eiserne Parallel-Gitterträger trugen. Bei der Belastungsprobe wurde zuerst eine ruhende Last aufgebracht, welche das 1½fache der Verkehrslast betrug, und es ergab sich hierbei keine bleibende, sondern bloß eine vorübergehende Durchbiegung von 46, resp. 55^{mm} für die flufaufwärts und resp. flufabwärts gelegene Tragwand. Bei der Befahrung mit 5 Locomotiven sammt Tendern à 58800^k Gewicht wurden vorübergehende Senkungen von 45 bis 49^{mm} beobachtet und Seitenschwankungen von 6^{mm}.

Wulff, architektonische Harmonielehre. —

Hanhart, über schiefe Durchlässe, Durchfahrten und Ueberbrückungen. — Bis zu 10^m Spannweite wird meist nicht zur Anlage von schiefen Gewölben geschritten, sondern die Anlage mit verlorenen Widerlagern, oder die Bedeckung des inneren normalen Gewölbes durch nach besonderen Chablons gearbeitete Haussteinfirnen, auch wohl besondere aus der Dammböschung hervortretende Stirnmauerabdeckungen, endlich die Aneinanderreihung von schmalen geraden Gurtgewölben verwendet, worüber hier einige Beispiele mitgetheilt sind.

Kutter, Störungen der gleichförmigen Bewegung des Wassers. — Bazin's Versuche mit kleinen Experimentircanälen, deren Wände in glatten Brettern, Cement, Mauerwerk und dergl. hergestellt und daher von verschiedener Glätte waren, haben dargethan, daß die Beschaffenheit dieser Wände von größtem Einflusse auf die Bewegung des Wassers ist und daß daher die üblichen einfachen Formeln $av^2 = RJ$ und $av^2 + bv = RJ$, in welchen v die mittlere Geschwindigkeit, R den mittleren Radius, d. h. den Quotienten $\frac{Q}{P}$ aus dem Querschnitt Q dividirt durch den benetzten Umfang, J das Gefälle auf die Längeneinheit und a und b zwei Constanten bedeuten, nicht das wahre Gesetz dieser Bewegung enthalten, wenn auch anzunehmen ist, daß bei großen Canälen und Flüssen der Einfluß der Rauigkeit des Bettes weniger hervortreten wird. Der Herr Verf. leitet ferner aus den Bazin'schen Versuchen die Folgerung ab,

Einfluß der Rauigkeit des Bettes mit der Geschwindigkeit, was indessen nicht genügend dargethan scheint. Besonders großem Einflusse ist gewiß auch die Geschwindigkeit in Canälen und Flüssen, nur ist diesem Umstande beizukommen, weil die Geschwindigkeit am Boden selten ist. Bazin hat zwar aus seinen Versuchen Formeln abgeleitet, welche die Berechnung der mittleren und der Geschwindigkeit aus der Oberflächengeschwindigkeit gestatten, aber experimentell noch nicht nachgewiesen, daß diese in auch für größere Wasserläufe Gültigkeit haben, und dürften die von dem Herrn Verf. aus einigen Wasserläufen des Herrn Grebenau im Rhein abgeleiteten, als außerordentlich complicirten Formeln kaum allgemeine Gültigkeit haben.

Kopper, Typus der neueren Bierbrauereianlagen in Böhmen. —

Reiger, Wasserstationsanlage mit Sammelbehälter. — Als in Folge der Erweiterung des oberösterreichischen Eisenbahnnetzes die Station Aulendorf der Ulm-Friedrichshafen-Bahn zu einem Trennungsbahnhof wurde, ergab sich die Nothwendigkeit, daselbst ein Speisewasserquantum von 1000 Liter pro Secunde zu beschaffen, um den Bedarf von 1000 halben Stunden daselbst ankommenden Locomotiven zu decken. Zu diesem Zwecke wurde in dem vorbeischießenden Bache ein 1 m hoher, 1,32 m langer und breiter Fassungsbau mit Schlammsäcken hergestellt, aus welchem das Wasser eine Röhrenleitung nach dem Filtrirbassin geführt wird. Die Höhe des letzteren ist so bemessen, daß auf 1,5 cbm reines Wasser pro Tag 1 qm Filterfläche gegeben ist, und das Filter aus einer 0,36 m hohen Schicht Findlinge, einer 0,15 m Lage grober Kies, einer 0,2 m starken Schicht feiner Sand und einer 0,57 m starken Lage grober und feiner Sand 0,8 m Wasserbedeckung. Das gereinigte Wasser gelangt in ein Reservoir von 150 cbm Fassungsraum, welches wie das Filtrirbassin in Beton (1 Th. Ulmer Cement bis 6 Th. Sand und Kies) ausgeführt und mit einem starken Portlandcementüberzug gepußt, übrigens aber dem Schieferdach bedeckt ist. Zum Reinigen des Filters wird ein Spülstrom von unten eingelassen, während dieses Processes die oberste Sandlage mittelst Wasser durchströmt. Wenn das Bachwasser genügend rein ist, wird dasselbe nicht erst filtrirt, sondern sofort zum Bahnhof geleitet. Für die Leitung nach den Wassertrahnen war ein Gefälle von 2,878 m vorhanden und die Weite derselben ist nach der Prony'schen Formel so berechnet, daß der letzte 700 m entfernte Wassertrahn in ca. 5 Minuten Wasser (eine Locomotivfüllung) liefert.

Korlof, Gebäude der Station Schrozberg. — Der württembergischen Eisenbahnlinie Ulm-Wangen-Mertingen sind die Eisenbahnstationsgebäude dem Architectur-Entwurf der Stadt Rottenburg an der Tauber (Frührenaissance) angepaßt.

Tooth, statistische Daten über den Bau der österreichischen Nordbahnstrecke Salgó-Tátrján-Rutka. — Genannte Eisenbahnstrecke umfaßt drei Berg- und Thalbahnen mit vielen Curven und Steigungen bis zu 1:100. Obiger Aufsatz bringt nun ausführliche Notizen und Zusammenstellungen über Erd- und Felsbewegung, und Futtermauern, Tunnel, Brücken und Durchlässe,

Straßenbauten, Fluß- und Uferschuttbauten, Beschotterung, Hochbauten, Einfriedigungen und dergl., welche für die Beurtheilung und Veranschlagung ähnlicher Bahnen von großem Nutzen sein werden.

Zeitschrift des Oesterreichischen Ingenieur- und Architekten-Vereines. XXV. Jahrg. 1873. Heft 16—18.

Illied, über einfach wirkende Wasserhaltungsmaschinen. — In dieser sehr instructiven Abhandlung zeigt der Herr Verfasser, daß die Ueberwucht des Gestänges bei Dampfkräften sehr zweckmäßig durch hydraulische Balancier ausgeglichen werden kann, wenn nämlich das Steigrohr der Druckfäße am oberen Ende vom Niveau des Saugventiles des oberen Druckfäßes an entsprechend verengt und verlängert wird. Auch die Theorie des sogenannten Voith'schen Kraftgenerators und eines ähnlichen unterhalb des Balanciers anzubringenden Pendelgewichtes wird aufgestellt und das Verhältniß zwischen der Maximal- und der mittleren Geschwindigkeit abgeleitet.

Kayl, Reinigung der Locomotivenkessel von Kesselstein. — Nach Versuchen, welche auf der Kaiser Ferdinand-Nordbahn abgeführt worden sind, ist das Verfahren des Ausblasens unter Dampf (30 bis 20 Pfd. Druck) viel wirksamer zur Entfernung des Kesselsteins, als das Ablassen des Wassers nach Abkühlung des Kessels, indem durch das Ausblasen 52 Proc. des anhaftenden Kesselsteins entfernt werden. Auch hat dieses Verfahren, während der zehnmonatlichen Versuchszeit keine Art von nachtheiligen Einfluß auf die Kessel ausgeübt, so daß es seit 1869 bei sämtlichen Locomotiven der Bahn eingeführt ist.

Stevenson, über die Bewegung des Wassers in Flüssen. — Durch die Vergleichung zahlreicher unmittelbarer Messungsergebnisse mit den Ergebnissen der hauptsächlichsten in England gebräuchlichen Formeln von Leslie, Du Buat, Robison, Beadmore, Downing, Elliot etc. wird gefunden, daß Downing's Formel $V = 100 \sqrt{R/J}$, worin R den mittleren Radius, J das Gefälle pro Längeneinheit, V die Geschwindigkeit pro Secunde in Cubicmetern bedeutet, nur für große Flüsse paßt, im allgemeinen aber mit einem Coefficienten c behaftet werden muß, der folgende Werthe hat:

für große Flüsse à 480 cbm p. S.	c = 1,00
„ gewöhnl. „ à 75 „ „	= 0,95
„ „ „ à 60 „ „	= 0,93
„ kleine „ à 30 „ „	= 0,85
„ „ „ à 3 „ „	= 0,75

Bei gut gehaltenem Flußbett ist zu setzen:

bei mehr als 0,9 m Geschwindigkeit p. S.	c = 1,00
„ „ „ 0,46 „ „	= 0,94
„ „ „ 0,076 „ „	= 0,72

Bei Canälen, Gräben, Dohlen in guter Mauerung c = 1,00

„ „ „ in Erde gut gehalten „ = 0,94

„ „ „ „ weniger „ = 0,90

„ Auch für Rohrleitungen ist dieselbe Formel anwendbar,

geht aber für $R = \frac{d}{4}$ über in $V = c \cdot 50 \sqrt{J \cdot d}$, oder bei

Einführung der Wassermenge Q p. S. in $d = 0,25 \sqrt[5]{\frac{Q^2}{J \cdot c^2}}$.

Hier soll nun
 bei großer Geschwindigkeit p. S. c = 1,10 bis 1,00
 " 0,45 " = 0,96
 " 0,30 " = 0,95
 " geringer " = 0,93
 genommen werden. Ausführlich im Engineering vom 4. Juli 1873.

Heinrich, über die Paragon-Maschine von Brotherhood & Hardingham. — Obwohl von dieser Maschine noch keine eingehenden Beschreibungen existiren, so läßt sich doch aus der allgemeinen Einrichtung dieser dreicylindrigen Maschinen, bei denen der Dampf stets auf die der Centralkammer zugekehrte Seite der drei Kolben drückt, nachweisen, daß ein ganz gleichförmiger, ein Schwungrad unnöthig machender Gang derselben nicht möglich ist. Es findet von 30 zu 30° ein abwechselndes Arbeiten von zwei und von nur einem Kolben statt. Ebenso wenig ist bei dieser Maschine eine öconomische Expansion durch Einsetzen von Segmentstücken in den Schieber zu bewirken möglich.

Schrabeg, Schienenbiegeapparat. — Das Biegen der an beiden Enden festgehaltenen Schiene erfolgt mit Hilfe von zwei Kniehebelpressen, welche in $\frac{2}{13}$ der Schienenlänge vom Ende angreifen. Von den Pressen hat die eine eine rechts-, die andre eine linksgängige dreigängige Schraubenspindel. Die daran sitzenden Schraubenmutter bilden die Kniee der Hebel und die Drehung der Schraubenspindel erfolgt durch einen Ratschhebel. Eine Scala zeigt die Größe der Ausbiegung. Die Zeit zum Biegen einer Schiene beträgt sammt allen Nebenarbeiten bei 4 Mann Arbeitern 4 bis 5 Minuten, das Gewicht des Apparates 75 Pfund und dasjenige einer completeen Garnitur ca. 2 Ctr.

Scheidtenberger, Damm und Durchlaß einer 45,51^m hohen Schluchtübersehung. — Auf der Karstbahn war bei Oberlesee eine tiefe Schlucht zu überschreiten und hierzu ein Viaduct projectirt. Da jedoch während des Ausbisses zu den Pfeilern größere Erdrutsche stattfanden, so wurde beschlossen, dafür einen 139,07^m langen, 45,51^m hohen Damm mit Durchlaß zu construiren. Der Durchlaß hat ein tunnelartiges Profil mit Sohlengewölbe und Hintermauerung erhalten, folgt der Richtung und dem Gefälle des Wasserlaufes, mündet auf beiden Seiten schief gegen die Facaden der Dammfüße aus und ist aus Bruchsteinquadern der Sandsteinformation mit 0,95^m Stärke hergestellt. Da die Schlucht nur eine geringe Sohlenbreite besitz, so sind für die Dammfüße gewölbartig eingespannte Stützmauern mit 56,9^m Radius und 1,896^m oberer Stärke ausgeführt, auf denen zweifüßig geböschte, unten 3,793, oben 2,845^m starke Fußmauern, die auf der rückwärts ausgeführten Steinschüttung aufliegen, fußen. Der Cubicinhalt der Dammschüttung beträgt 215950^{cbm} und diese Schüttung konnte nicht mit besonderer Sorgfalt ausgeführt werden. Nachdem der Damm im Rohen vollendet war mit 2,529^m Ueberhöhung und einer Böschung von 1:1,422 (die Breite an der Sohle beträgt 138,76^m) zeigten sich in Folge eines 5 bis 6 tägigen Regens in der Nähe der Bruchfugen des gewölbten Durchlasses abgebrockelte und herausfallende Steine, so daß dieses Gewölbe durch eine 0,95^m starke innere Bekleidung aus Werkstücken und das Sohlengewölbe durch eine solche Bekleidung mit 0,634^m Stärke verwahrt und gesichert werden mußte. Der Dammkörper ist von der Krone

bis zu den Fußmauern mit einer 1,896^m starken Steindecke belegt. Die Kosten dieser Schluchtübersehung betrugen 1690 fl. pro laufendes Meter.

(Schluß folgt.)

Correspondenz.

New-York, 25. April 1874.
 (15 Dey Street. P. B. 4001.)

An die löbl. Redaction des „Civil-Ingenieur“.

Darf ich Sie um die Gefälligkeit bitten, den folgenden Zeilen, welche viele Ihrer Leser vor Nachtheil schützen dürften, einen Platz in Ihrem geschätzten Journale zu gewähren.

Während der vielen Jahre, die ich schon hier lebe, bin ich sehr häufig von drüben her um Rath wegen Erwerbung von amerikanischen Patenten angegangen worden, habe aber fast in allen solchen Fällen gefunden, daß die Erfinder aus Mangel an Kenntniß der hiesigen Geseze sich von vornherein in erheblichen Nachtheil gebracht haben, und ein erst vor ein paar Tagen mir wieder vorgekommener Fall dieser Art veranlaßt mich zu diesen Zeilen.

Alle amerikanischen Patente, gleichviel ob für Vereinigte Staaten Bürger oder Ausländer, werden für die Dauer von sieben Jahren ertheilt, doch müssen Ausländer, wenn sie sich diese lange Dauer des Schutzes für die Ver. Staaten sichern wollen, das amerikanische Patent früher als das ihres eigenen Landes erwerben, weil, wenn das für eine kürzere Dauer geltende europäische Patent früher erworben worden ist, als das amerikanische, das letztere gleichzeitig mit dem europäischen abläuft. Da nun in Deutschland Patente auf nicht so lange Dauer ertheilt werden, wie in den Vereinigten Staaten, — in Preußen z. B. nur auf 5 Jahre — so liegt es auf der Hand, daß Jemand, der in Preußen ein Patent erhalten hat, und erst später ein Amerikanisches erwirbt, seine Erfindung für wenigstens 12 Jahre weniger in den Ver. Staaten geschützt sieht, als wenn er das amerikanische Patent früher als das preussische erworben hätte. Patente aber, welche nur auf die kurze Frist von vier oder fünf Jahren geschützt sind, sind hier nur äußerst schwer und nur in sehr seltenen Fällen unterzubringen, oder wenn es dennoch gelingt, dann doch nur für einen geringen Preis, während solche Patente, welche werthvoll und auf die Dauer von 17 Jahren geschützt sind, hier in der Regel recht gut, und in den meisten Fällen wohl besser als in Deutschland verwerthet werden können. Deshalb sollte jeder deutsche Erfinder, der auch auf Amerika speculirt, zuerst das Ver. Staaten-Patent erwerben. Uebrigens bin ich stets gerne bereit, Landsleuten, welche hier Patente erwerben oder verwerthen wollen, auch mit weiterem Rath an die Hand zu gehen, wenn sie sich an mich wenden wollen.

Achtungsvoll

Frdr. Gerhard, German Publisher.

Literatur- und Notizblatt

zu dem zwanzigsten Bande des

Civilingenieur.

N. 5.

Literatur.

Weissbach's Ingenieur. Sammlung von Tafeln, Formeln und Regeln der Arithmetik, der theoretischen und praktischen Geometrie, sowie der Mechanik und des Ingenieurwesens. Sechste, völlig umgearbeitete Auflage, unter Mitwirkung von F. Reuleaux, Professor, Director der Königl. Gewerbe-Akademie in Berlin, herausgegeben von G. Quersfurth, Ingenieur und Professor am Polytechnicum zu Braunschweig. Mit zahlreichen Holzschnitten im Text. Erste Abtheilung. Braunschweig, Druck und Verlag von Friedrich Vieweg und Sohn. 1874.

Mit dem bekannten Weissbach'schen Ingenieur ist in der 6. Auflage desselben, wovon uns das erste Heft vorliegt, insofern eine wesentliche Veränderung vorgenommen worden, als die Tabellen allgemeinen Inhalts sämmtlich aneinander gereiht und in ein Heft zusammengestellt, hierbei aber auch gedrängter arrangirt und wesentlich bereichert worden sind. Als neue Tabellen heben wir hervor eine Factoren- und Primzahlentafel, die Tabellen für Zinssatz- und Rentenrechnungen, Tabellen zur Verwandlung der Centesimal- in Sexagesimalbogen u. s. w. Auch der in dieser Ausgabe angewendete klarere und deutlichere Druck zeichnet dieselbe vor ihren Vorgängern aus.

Die Schule des Locomotivführers. Handbuch für Eisenbahnbeamte und Studierende technischer Anstalten. Gemeinverständlich bearbeitet von J. Brosius, Königl. Maschinenmeister, und R. Koch, Maschineningenieur. Mit einem Vorwort von Edmund Heusinger von Waldegg, Redacteur des „Organs für Eisenbahnwesen“. Zweite Abtheilung: Die Maschine und der Wagen. Mit 361 Holzschnitten, 1 lith. Tafel und 1 Tabelle. Wiesbaden. C. W. Kreidel's Verlag. 1874.

In der zweiten, 18 Bogen starken Abtheilung der obigen vortrefflichen „Schule des Locomotivführers“ werden eingehend die verschiedenen Locomotivsteuerungen und dann die einzelnen Theile des Wagens und der Maschine abgehandelt. Selbstverständlich ist überall der practische Gesichtspunkt vorwiegend im Auge behalten und jede Rechnung vermieden, es sind aber selbst die Steuerungen so eingehend und verständlich behandelt, daß sich jeder aufmerksame Leser ein Urtheil

über dieselben bilden kann. Demgemäß bildet dieses Buch eine nothwendige Ergänzung zu vielen, mehr die Theorie der Locomotive und der Coulißsteuerungen behandelnden Werken und kann in einer Ingenieur-Bibliothek ebenso wenig fehlen, als Scholl's „Führer des Maschinisten“.

Der Lichtpaus-Proceß. Verfahren zum rein mechanischen mühelosen Copiren von Zeichnungen jeder Art und Größe mittelst lichtempfindlichen Papiers. Für Baubehörden, Bergwerke, Maschinenfabriken, Eisenbahnen, Architekten, Ingenieure, Geometer, Zeichner u. s. w. Von Romain Talbot. Nebst einer Lichtpauze als Beilage. Berlin. C. Lichtwerck.

Ausführliche Anweisung zur Ausführung einer photographischen Copirmethode, welche für viele Techniker ungemeine Erleichterungen bieten wird und bereits von verschiedenen Eisenbahnbüreaux, Maschinenfabriken, Baugesellschaften und dergl. adoptirt worden sein soll.

Die Mitwirkung der K. K. Genietruppe beim Bau der Kaiser Franz Joseph-Hochquellenleitung von Alphons Makowiczka, Oberlieutenant im 2. Genie-Regimente. Mit 4 lithographirten Tafeln. (Separatabdruck aus den Mittheilungen über Gegenstände des Artillerie- und Geniewesens.) Wien 1874. Selbstverlag des K. K. Techn. und Administ.-Militär-Comité. Druck von R. v. Waldheim.

Vorliegende Monographie enthält eine eingehende Beschreibung der von einer wohl organisirten und intelligent geleiteten Truppe ausgeführten schwierigen Stollenbetriebsarbeiten an der Wiener Hochquellenleitung nächst Kaiserbrunn nebst Mittheilung der dabei gemachten Erfahrungen bezüglich der zweckmäßigsten Betriebsmethode, Arbeitsleistung, Sprengmethode u. s. w. und ist daher allen Ingenieuren und besonders Eisenbahnunternehmern, Bergbeamten, Steinbruchbesitzern u. s. w. angelegentlichst zum Studium zu empfehlen, zumal es an zuverlässigen Angaben über derartige Arbeiten im Allgemeinen gar sehr fehlt.

Neuer patentirter Schienenbiege-Apparat von Emil Schrabetz, Ingenieur. Mit einer Tafel in Quart. Zweite Auflage. Wien 1874. Lehmann & Wenzel. Buchhandlung für Technik und Kunst.

Wer von diesem zweckmäßigen Apparate nicht bereits aus der Journalliteratur nähere Notiz genommen hat, möge sich mit demselben durch die Lecture obiger kleinen Broschur bekannt machen.

Die Verbindlichkeit zum Schadenersatz für die bei dem Betriebe von Eisenbahnen, Bergwerken, Fabriken u. herbeigeführten Tödtungen und Körperverletzungen. Gesetz vom 7. Juni 1871. Mit Erläuterungen von L. Jacobi, Geh. Regierungsrath, Mitglied des Reichstages und des Hauses der Abgeordneten. Zweite Auflage. Berlin 1874. Fr. Kortkamp.

Eine nähere Darlegung des Haftpflicht-Gesetzes und sachverständige Erläuterungen zu demselben, wie sie vorgenanntes Werkchen liefert, müssen Jedem, der mit diesem Gesetz in Conflict zu gerathen befürchten muß, höchst willkommen sein. Der vorliegende Commentar giebt überdies über die bisherigen Erfolge dieses Gesetzes Auskunft, indem er die Entwicklung und die Erfahrungen der Unfall-Versicherungsgesellschaften vor Augen stellt.

Allgemeine Maschinenlehre. Ein Leitfaden für Vorträge, sowie zum Selbststudium des heutigen Maschinenwesens, mit besonderer Berücksichtigung seiner Entwicklung. Für angehende Techniker, Cameralisten, Landwirthe und Gebildete jeden Standes. Von Dr. Moritz Rühlmann, Professor an der königl. preuß. polytechnischen Schule in Hannover, Ritter des hannover'schen Guelphenordens dritter Classe und des Ordens der französischen Ehrenlegion, Officier des öffentl. Unterrichts in Frankreich, Ehrenbürger der Residenzstadt Hannover, Ehrenmitglied des sächs. Ingenieur- und Architekten-Vereins, des polyt. Ver. f. d. Königr. Bayern u. s. w. Vierten Bandes zweite Abtheilung. Mit zahlreichen Holzschnitten aus dem lithographischen Atelier von A. Probst. Braunschweig. E. A. Schwetschke u. Sohn. (M. Bruhn.) 1874.

In dieser Abtheilung des vierten Bandes der in d. Bl. wiederholt rühmend hervorgehobenen „Allgemeinen Maschinenlehre“ werden zunächst die Schiffsdampfmaschinen behandelt, sodann die Schiffsdampfessel besprochen, Formeln über den Schiffswiderstand und die Berechnung der Bewegungsarbeit von Dampfschiffen mitgetheilt, endlich der Bau eiserner Dampfschiffe abgehandelt. Hierauf werden im vierten Capitel nach einer interessanten geschichtlichen Einleitung die Maschinen zum Heben und Senken fester Körper vorgeführt, als Hebeladen, Flaschenzüge, hydraulische Hebevorrichtungen, Winden und Krähne, Excavatoren, Gichtaufzüge, Winden mit Schraube, Ketten und Riemen, Kohlenabladevorrichtungen, Fahrbühnen, Bremsberge, Fördermaschinen, Fahrkünste, Seilebenen, Zahnstangenbahnen und dergl., sämmtlich durch deutliche Beschreibungen und gute Holzschnitte erläutert und mit zahlreichen Literaturnachweisungen versehen. In einer dritten Abtheilung, deren Erscheinen in baldige Aussicht gestellt ist, werden die Ramm- und Bagger-Maschinen, die Maschinen zum Wasserfördern, zum Blasen und Saugen von Luft u. s. w. abgehandelt werden. Auch das vorliegende Heft legt wieder rühmliches Zeugniß für die große Belesenheit und genaue Sachkenntniß des Herrn Verfassers ab und ist eine wahre Fundgrube der werthvollsten technischen Notizen.

Illustrirtes Baulexicon. Praktisches Hilfs- und Nachschlagebuch im Gebiete des Hoch- und Flachbaues, Land- und Wasserbaues, Mühlen- und Bergbaues, der Schiff- und Kriegsbaukunst, sowie der mit dem Bauwesen in Verbindung stehenden Gewerbe, Künste und Wissenschaften. Für Architekten und Ingenieure, Baugewerker und Bauherren, Baubeflissene und Polytechniker, sowie für Archäologen, Kunstliebhaber und Sammler. Unter Mitwirkung bewährter Fachmänner herausgegeben von Baurath Dr. Oscar Mothes, Architect, Inhaber der k. k. österr. gold. Medaille für Kunst und Wissenschaft, corresp. Ehrenmitglied der Sociedad scientifica in Murcia u. s. w. Dritte gänzlich umgearbeitete und vermehrte Auflage. 11. bis 21. Heft. Leipzig und Berlin. Verlagsbuchhandlung von Otto Spamer. 1874.

Obiges nützliche Nachschlagebuch schreitet in seiner dritten Auflage rüstig vorwärts und zeigt in jedem neu erscheinenden Hefte wesentliche Verbesserungen gegen die vorige Auflage, welche theils im Wegfall minder wichtiger Artikel der früheren Auflage und in der Aufnahme neuer Artikel, theils in der Umarbeitung solcher Artikel durch neugewonnene sachverständige Mitarbeiter, theils in der Vermehrung der Holzschnitte bestehen, deren Aufzählung hier aber zu weit führen würde. Eine total neue Bearbeitung hat u. A. der Artikel „Brücke“ erfahren, überhaupt zählt der erste Band, welcher die Buchstaben A und B umfaßt, 72 Bogen gegen 63 in der früheren Auflage.

Referate aus technischen Zeitschriften.

Zeitschrift des Oesterreichischen Ingenieur- und Architekten-Vereines. XXV. Jahrg. 1873. Heft 16—18. (Schluß.)

Habermann und Weidel, Analyse des neuen Trinkwassers der Stadt Wien. — Das Wasser der beiden Quellen, welche Wien versorgen, und von denen die Stizensteiner Quelle täglich 634100, der Kaiserbrunnen täglich 625536 Eimer liefert, ist bereits früher von Prof. Schneider analysirt worden. Die Herren Dr. Habermann und Dr. Weidel haben nun auch das Wasser aus dem Reservoir am Rosenhügel analysirt und vergleichen die Resultate mit denen der Quellenanalyse, wobei sich Folgendes herausstellt:

	Quellen.	Reservoir.
Kieselsäure	0,021	0,022
Kalk	0,829	0,748
Magnesia	0,130	0,115
Kali und Natron	0,064	0,064
Schwefelsäure	0,123	0,124
Chlor	0,014	0,012
gesammte Kohlensäure	1,659	1,881
freie	0,182	0,013

	Quellen.	Reservoir.
organische Substanz	0,053	0,129
Glührückstand	1,943	1,767
Härtegrade (Fehling)	10,1	8,6

In Folge der Abnahme der freien Kohlensäure auf dem Wege von den Quellen bis ins Hochreservoir hat das Wasser auch an festen Bestandtheilen (Kalk und Magnesia) etwas abgenommen, wogegen der Gehalt an organischen Substanzen gewachsen ist. Wenn von einem guten Trinkwasser verlangt wird, daß in 10000 Theilen an

Glührückstand (a)	nicht mehr als 5,0
organ. Substanz (b)	" " 0,50
Salpetersäure (c)	" " 0,04
Chlor (d)	" " 0,08
Schwefelsäure (e)	" " 0,63
Härte (f)	" " 18°

vorhanden sein sollen, so erfüllt das Wiener Trinkwasser diese Ansprüche vollkommen, indessen wäre dann das Donauwasser auch bereits zu den ganz annehmbaren zu rechnen, denn es enthält

	a	b	c	d	e	f
das Trinkwasser	1,767	0,129	0,000	0,013	0,124	8,6
das Donauwasser	1,827	0,208	0,004	0,023	0,235	9,0.

Locomotiven mit Gasheizung. — Für die in Paris beabsichtigte unterirdische Bahn hat Charpentier Locomotiven vorgeschlagen, welche durch 20 an Stelle des Kofies in die Feuerbüchse eintretende Gasflammen geheizt, und deren Verbrennungsproducte und ausblasenden Dämpfe durch Wasser condensirt werden sollen. Gas und Luft sollen unter einem Druck von 0,21^m Wassersäule zugeführt werden.

Pontzen, Vorschläge zur Förderung des Eisenbahnbaues. — Nach Ansicht des Herrn Verf. kann an der Kronenbreite der Bahnen gespart werden, da in Amerika vor den Schwellenenden meist kein Bettungsmaterial gegeben wird, auch sei man bei uns zu wäherlich mit dem Bettungsmaterial. Bei der Wahl der Trace könnte viel erspart werden, wenn große Bauobjecte mehr vermieden, oder durch Holzbauten provisorisch ersetzt würden, und wenn den Bahnen mehr Freiheit bei Veränderungen der Trace gegeben wäre, würde mancher exorbitanten Forderung der Grundbesitzer ausgewichen werden können. Große Ersparnisse seien bei den Hochbauten möglich und unter Zugrundelegung geringerer Fahrgeschwindigkeiten dürften Wächterhäuser, Wegschranten, Signalvorrichtungen u. dergl. wesentlich zu reduciren, auch leichtere Schienen zulässig sein. Endlich wird als ein Haupthemmnis die allzugroße Einmischung der Regierung und der militärischen Rücksichten in den Eisenbahnbau bezeichnet.

Weiß, über die Stahlschienen der französischen Nordbahn. — Mittheilung von Versuchen und des in Folge davon gewählten neuen Schienenprofils, welches bei 97^{mm} Fuß-, 56^{mm} Kopfbreite, 125^{mm} Höhe und 12^{mm} Stegdicke bloß 30,3^k pro laufendes Meter wiegt, aber eine größere Widerstandsfähigkeit besitzt, als die früher angewandte Eisenschiene von 37^k Gewicht. Der Oberbau kommt mit diesen Stahlschienen pro Kilometer Gleislänge um 5,4 Proc. billiger zu stehen, als bei Eisenschienen.

Zeitschrift des Oesterreichischen Ingenieur- und Architekten-Vereines. XXVI. Jahrg. 1874. Heft 1—5.

Nizha, maschinelle Förderung aus dem Voreinschnitte des Bistaberg-Tunnels bei Prag. — Für den Anschluß der Theilstrecke Prag-Bisocan der Turnau-Kralup-Prager Eisenbahn an die Kaiser Franz Josephsbahn blieb kein anderer Weg als entlang des Liebener Thales übrig, und da bereits die Bahn am Bistaberge hingeführt ist, die neue Linie also oberhalb dieser Bahn zu legen gewesen wäre und überdies zum Theil in Kutschterrain gekommen sein würde, so entschied man sich dafür, die Bahn am Südbahange des Berges längs der Vorstadt Bistov herumzuführen, obwohl bei dieser Trace eine starke Steigung und ein S-förmig gekrümmter Tunnel nicht zu vermeiden waren, auch vor letzterem ein ca. 400^m langer, 10^m tiefer Voreinschnitt nöthig wurde und die Unterbringung der bei diesem Einschnitt gewonnenen Massen (112000^{cbm}) besondere Schwierigkeiten verursachte. In letzterer Beziehung mußte man sich für die Hebung der Massen auf die Plateauhöhe des Bistaberges (34^m über der Sohle des Einschnittes) entscheiden, und da die Vollenbung des Werkes im Laufe eines Sommers zu bewirken war, so wurde auf dem Berge eine kräftige Dampfmaschine zum Betrieb einer Seilebene mit zwei Gleisen aufgestellt. Das Längenprofil der Letzteren zeigt ein durchschnittliches Steigungsverhältniß von 22½, eine Maximalsteigung von 34,4 Procent. Bei jeder Tour sollten vier 55 Ctr. schwere Wagen mit 1,58^m Geschwindigkeit angeholt werden, so daß eine Maschine von ca. 87 Pferdekraften nöthig wurde. Wegen des provisorischen Characters der ganzen Anlage wurde eine alte Locomotive benutzt, welche mittelst doppeltem Vorgelege die Seilförbe bewegte und ohne alle Ueberdachung in einer tiefen Grube auf einem Holzgestelle ruhte. Der Oberbau wurde aus neuen Schienen mit größter Sorgfalt dargestellt. Abstand der Geleise 1,896^m von Mitte zu Mitte. Spurweite 0,71^m. Die Anschlußgeleise, welche Curven von 7,5^m Radius erhielten, wurden aus leichteren Schienen gefertigt. Als Förderwagen dienten zweckmäßig construirte Wagen mit Seitenkippung, deren Räder genau 0,685^m Spurweite und 0,790^m Distanz besaßen; das Drahtseil erhielt 33^{mm} Durchmesser und wickelte sich auf Trommeln von 2,37^m Durchmesser derartig auf, daß die Gänge nur nebeneinander zu liegen kamen. Zum Tragen des Seiles dienten in Abständen von 6,32^m concav gebrochene eichene Walzen von 0,158^m kleinstem Durchmesser mit vorspringenden Blechscheiben an den Stirnflächen und oben am Endpunkte der Seilebene zwei kräftige Seilräder. Zur Ertheilung von Signalen war ein einfacher Telegraph hergestellt. Da auf dem Berge das Speisewasser mangelte, so wurde dieses mittelst einer Deder'schen Dampfmaschine beschafft, welche mittelst einer in einem Graben liegenden und mit Stroh umwickelten, 195^m langen und 4^{cm} weiten Leitung von Gasröhren aus dem Kessel der Maschine gespeist wurde und das Wasser in einer 186^m langen Röhrentour 53,1^m hoch hob. Bei 5,65^k Druck pro □^{cm} und 110 bis 130 Fuß pro Minute lieferte diese Pumpe 63 bis 84 Liter Wasser und beschaffte in 1½ Stunden Zeit den ganzen Wasserbedarf der Fördermaschine. Wenn ein Zug Wagen im Einschnitt geladen und aufgestellt war, wurden abwechselnd rechts und links vier beladene Wagen gegen leere ausgetauscht, was unter Leitung eines besonderen Aufsehers geschah. Für jede Manipulation

waren besondere Arbeiterpartieen organisiert, welche die Arbeiten im Accord ausführten. Binnen einer zehnstündigen Arbeitszeit wurden 100 Züge = 20000 Etr. befördert und es berechnen sich die Kosten pro Cubicmeter auf 56 Kr., pro Centner auf 1,1 Kr. Der horizontale Transport betrug hierbei 151,7^m, der verticale 34,1^m und der durchschnittliche Rangirtransport 76^m.

Engerth, Patentschutzcongreß in Wien. — Der gelegentlich der Weltausstellung vom 4. bis 8. August 1873 in Wien tagende Patentschutzcongreß hatte die Nothwendigkeit des Patentschutzes anerkannt und beschlossen, daß das Gesetz als Bestimmung enthalten müsse, daß nur der Erfinder oder dessen Rechtsnachfolger ein Patent erlangen könne, daß ein solches einem Ausländer nicht versagt werden dürfe, daß dieserhalb eine vorläufige Prüfung geboten sei, daß Patente auf 15 Jahre zu erteilen seien, daß mit der Ertheilung eines Patentess eine vollständige, zur technischen Anwendung der Erfindung befähigende Publication verbunden sein müsse, daß die Kosten der Patenterlangung gering, aber die Abgabescala eine steigende sein solle, um die Erfinder zu veranlassen, nutzlose Patente bald fallen zu lassen, daß durch gute Organisation die Kenntnißnahme der Specificationen und die Nachforschung über noch in Kraft stehende Patente möglichst erleichtert werden müsse, und daß nach einmaliger Ausführung einer patentirten Erfindung die Nichtausübung derselben nicht das Erlöschen des Patentess zur Folge haben dürfe, die Erwerbung und Anwendung desselben vielmehr den Landesangehörigen möglich sein solle. Schließlich wurde eine Art permanentes Comité zur weiteren Verfolgung der Angelegenheit eingesetzt und zu dessen Präsidenten Baron Schwarz-Senborn in Wien ernannt.

Warsop's Locomotive mit eingepumpter Luft. — Durch eine am Frame angebrachte und durch den Kreuzkopf der Maschine getriebene Luftpumpe wird Luft nach einem in der Rauchbox befindlichen Röhrenstrange und von da in den Kessel gedrückt, wodurch die Dampferzeugung gesteigert und der Kesselsteinabsatz vermindert, auch eine Dampfersparniß von 16²/₃ Proc. erzeugt werden soll. Nach Reynolds werden die besten Resultate erzielt, wenn pro Pfund Dampf 2 Cubicfuß Luft eingeblasen werden.

Fuchs, Kurbeldynamograph. — Der Herr Verf. tabelliert an dem Morin-Clair'schen Kurbeldynamometer, daß der Registrirapparat in der Anwendung zu umständlich und heftlich, sowie zu schwer sei, um häufiger benutzt werden zu können, und hat dieserhalb eine andere einfachere Construction gesucht. Bei dieser wird an die Stelle der gewöhnlichen Kurbel ein Nuss aufgesteckt, welcher einen festen und einen beweglichen Arm trägt. Der Letztere ist mit der Kurbel versehen und mit dem Ende einer am Nuss befestigten Blattfeder derart verbunden, daß bei der Arbeit an der Kurbel die Feder gebogen und durch deren Verbiegung die auf die Kurbel ausgeübte Kraft gemessen wird. An dem Ende der Feder ist ferner eine mit Papier überzogene Tafel befestigt, auf welcher ein in einem Schlige des festen Armes stehender Bleistift beim Drehen der Kurbel eine Curve beschreibt, da der Schlitten mit dem Bleistift durch Räder- und Schnurenüberführung gleichförmig und langsam nach der Welle hinbewegt wird. Verfertiger dieses Dynamometers ist die Firma: Kraft & Sohn, Wien, Wieden.

Winkler, über den Brückenbau auf der Wiener Weltausstellung. — Als wesentliche Unterschiede des amerikanischen und europäischen Brückenbaues fallen in die Augen: die größere Leichtigkeit, die Verwendung von Gußeisen und Holz zu den gedrückten Theilen, die gelenkartige Construction der Knotenverbindungen, die Vorliebe für combinirte Systeme, die größere Maschinenweite und Höhe der Gitterträger, der Wegfall der Endständer, die Anwendung schmalen Flach- oder Rundeseisens zu gezogenen Theilen und der Ketten zum Untergurt der Gitterbrücken, die allgemeinere Verbreitung der Kettenbrücken. Was die gegebene geringere Sicherheit anlangt, so scheint eine Verminderung des bei uns üblichen Sicherheitsgrades zulässig. Gelenkartige Knotenverbindungen dürften bei Anwendung von Gußeisen nicht zu umgehen sein, unterstützen die Aufstellung und gestatten eine exactere Berechnung der Spannungen, setzen aber eine kaum zu erreichende Genauigkeit der Arbeit voraus. Größere Trägerhöhe gewährt Materialersparniß. Die Bevorzugung der combinirten Systeme ist nicht zu rechtfertigen, da diese keine exacte Berechnung zulassen. Bei den combinirten Hängwerksträgern nach Fink's System läßt sich zwar theoretische Klarheit nicht vermissen, aber Materialverbrauch und Stabilität sind mangelhaft. Werden, wie bei den Warrenträgern, Entfernungen der Knotenpunkte bis zu 17^m angewendet, so sind zur Aufhängung der Querträger Hilfsconstruktionen erforderlich, welche ebensoviele Material beanspruchen, als bei mehrfachen Systemen erforderlich ist. Dasselbe gilt von den Brücken nach Pettit's System. England wendet ebenfalls gern den Warren-Träger an. Die in Wien in Zeichnung ausgestellte Taybrücke war eine Gitterbrücke mit 12,5^m Abstand der Knoten und besonders interessant durch die Methode der Pfeilergründung in 24^m Tiefe bei 5,2^m Fluthwechsel. Die Strompfeiler bestehen aus zwei 2,6^m weiten gußeisernen Cylindern in 3,8^m Abstand mit einer gemeinschaftlichen Glocke. Dieses Röhrenpaar wurde durch eine nach Art der hydraulischen Pressen eingerichtete, fernrohrartig verlängerbare, röhrenförmige Stütze gegen einen festen Pfeiler abgespreizt, um seine senkrechte Stellung zu sichern.

Die südamerikanische Eisenbahn über die Andes — steigt von Callao sanft bis Lima, folgt von hier dem Rimacthale bis Santa Clara und tritt bald nachher in die gigantischste Gebirgslandschaft ein. Bei La Chofica erreicht sie die stärkste Steigung von 1:20,5, zieht sich dann als Zickzackbahn bis San Bartolome und läuft von hier aus längs eines senkrechten Abhanges bis zu der 175^m langen, auf Pfeilern von 44, 77 und 57^m Höhe liegenden Brücke bei Agua da Berrugas, welche als ein Meisterwerk amerikanischer Ingenieurkunst angesehen wird. Von den drei Oeffnungen dieser Brücke besitzt die mittlere 36,6^m Spannweite; sie wurde im Ganzen 76^m hoch gehoben. Die eisernen Pfeiler bestehen aus zwölf 0,3^m starken, durch zusammengeschraubtes Sextant-eisen gebildeten Röhren und haben am obern Ende 4,6^m Breite bei 15,2^m Länge. Hinter diesem Viaducte ist die Bahn längs des Gebirges an Felsen und schäumenden Wasserfällen hin bis nach Lurco geführt, biegt dann in einer großen Curve um einen Felsenvorsprung herum und steigt in immer höhere Regionen. Das Challappethal wird auf einem 36,5^m hohen Viaduct überschritten, dann folgt ein langer und tiefer Felseneinschnitt und nun tritt die Bahn in das schluchtenartige Matucanathal ein, das sie mit vielen Tunneln, Brücken und Curven zurücklegt. Hinter San Mateo folgt

in unzugängliche Kimaethal, worauf mit einem 1097^m Tunnel die Höhe von 4769^m erreicht wird; hierauf ist die Bahn in Windungen am östlichen Cordilleren nach La Droza hinab. Von Callao bis zum Summit beträgt die Länge 168,1 Kilometer, die Steigung, von hier bis Droza die Länge 50,7 Kilometer und 11057^m. Ein Erdsturz, welcher in einer engen Thaleinen natürlichen Damm von 457^m Länge und 90^m Höhe und einen Fluß zu einem großen See andämmte, machte beim Bau große Unfälle und Kosten. Diese dem Peru gehörige Bahn soll in Jahresfrist vollendet sein.

oehlenschrämmaschine von Firth. — Bei diesen Jahren mit Erfolg in Betrieb gesetzten Maschine ist das einer großen Keilhaue ähnliche Werkzeug in horizontaler Richtung durch einen Hebel in schwingende Bewegung, welcher selbst durch den Kolben einer Luftmaschine getrieben wird. Das Ganze liegt auf einem vierrädrigen, auf Eisenbahngleise am Stöße hinrückenben Wagen. Die Maschine steuert sich selbst und rückt auch selbstthätig vor; aber das Vorrücken zu stark ausfallen sollte, so muß der Wagen vom Wärter etwas zurückgeschoben werden. Die Maschine arbeitenden Instrumentes über dem Boden kann aufgestellt werden. Bei 1,22^m Länge, 0,66^m Höhe und bis 0,600^m Gleisweite beträgt das Gewicht des Apparates 0,84 Tonne. Die Luftspannung beträgt 3 Atmosphären bei der über Tage aufgestellten Luftpresse. Zum Benutzen des Schachtes mit derartigen Maschinen ist ein Capital 10000 Thlr. erforderlich, nämlich für 2 Dampfessel 1000 Thlr., für die Luftcompressionsmaschine 7500 Thlr., für oehlenschrämmaschinen 9000 Thlr. und für Leitung, Drucker, Montage u. s. w. 7500 Thlr. Die tägliche Leistung beträgt bei der Maschine 60 Tons in einem 2,2^m mächtigen Schachte und die Kosten incl. Amortisation und Instandhaltung 52 1/2 Thlr. Bei Handarbeit sind zu gleicher Leistung 100 Mann, bei der Maschine nur 17 Mann erforderlich. Zur Bedienung einer Maschine ist ein Wärter und zwei Gehilfen nöthig.

die Brooklyn-Fundirung. — Beschreibung dieser Fundirung nach dem Engineering, Jahrg. 1873.

Leiröhren zu Wasserleitungen. — E. de Laval hat in einem Schreiben an den Gemeinderath der Stadt Paris sehr energisch auf die Gefahren aufmerksam gemacht, die Anwendung von Bleiröhren für Trink- und Brauchwasserleitungen habe, da Orfila, Chevallier, Pelouze u. s. w. andere Chemiker und Aerzte entschieden die Möglichkeit der Aufnahme von Blei durch das Wasser und die Gefahr derartigen Wassers behauptet hätten. Wenn dagegen angewendet werde, daß das Wasser das Blei nur in Gefäßen angreife, und daß das Pariser Wasser gar nicht reagire, so müsse entgegnet werden, daß alles Wasser sauer sei und demnach auf Blei oxydirend wirken und auflösen müsse. Man könne sich leicht davon überzeugen, wenn man granulirtes Blei mit etwas Quecksilber in ein Glas giebt und mit Wasser schüttelt, indem sich schon in kurzer Zeit eine weißliche opalisirende Färbung zeigt. Tropfen Schwefelammonium einen schwarzen Niederschlag.

Entscheid der vereinigten Comités über Einführung der neuen Maaß- und Gewichts-Ordnung in

die Praxis. — Es wird vorgeschlagen, den Zeichnungsmaassstäben folgende Verjüngungsverhältnisse zu geben: für Baupläne 0,01, für Situationspläne 0,004 oder 0,002, für Höhenmaassstäbe 0,02. Für Ziegel soll das Normalformat 29^{cm} Länge, 14^{cm} Breite und 6,5^{cm} Dicke, die Stoßfuge 1^{cm}, die Lagerfuge 1,2^{cm} Stärke erhalten. Sand soll nach Cubikmetern, Kalk nach Kilogrammen verkauft werden. Bei Schnittbälzern sind die Längen in Metern, die Breiten und Dicken in Millimetern, die Inhalte nach Cubikmetern anzugeben, bei Baubälzern sind solche von 9 × 12, 12 × 16, 15 × 20, 18 × 24 und 21 × 28^{cm} einzuführen. Für Schrauben soll das Whitworth'sche System angenommen werden. Bei Rund- und Quadrateisen will man bei 7 bis 12^{mm} Durchmesser oder Seite ein Wachsthum um 1/2^{mm}, bei 13 bis 35^{mm} ein Wachsthum um 1^{mm}, bei 36 bis 50^{mm} ein Wachsthum um 2^{mm} einführen, bei Flach- und Bandeseisen soll die Minimal-Stärke und Breite 3 1/2 und 10^{mm} betragen und bei 10 bis 13^{mm} Breite eine Zunahme der Dicke um 1/2^{mm}, bei 14 bis 105^{mm} eine Zunahme um 1^{mm}, bei mehr als 10^{mm} Dicke eine Zunahme um 2^{mm} und bei mehr als 40^{mm} Stärke eine Zunahme um 5^{mm} stattfinden, die Breite aber von 10 bis 14^{mm} um 1^{mm}, von 14 bis 32 um 2, von 32 bis 60 um 3 und von 60 bis 105 um 5^{mm} zunehmen. Für Schulen, Gefängnisse, Spitäler, Kirchen und Casernen werden ebenfalls gewisse Normalmaasse vorgeschlagen, nicht minder für Straßen- und Wasserbauten.

v. Felbinger, die Illinois und St. Louisbrücke über den Mississippi. — Diese von Capitain Eads und Colonel Flad erbaute Brücke besitzt drei Spannweiten von 152,4, 152,4 und 158,5^m, trägt zwei Eisenbahngleise und darüber eine Fahrbrücke mit Pferdebahngleisen und Trottoirs und ist eine Bogenbrücke mit röhrenförmigen Gurtungen. Die Bahngleise haben 1:67 Gefälle, die Breite der Brücke beträgt 16,46^m, die Pfeilhöhe der Bögen 14^m, die Höhe des Bogenscheitels über dem niedersten Wasserstande 30,5, über dem höchsten 18,8^m. Der Widerlagspfeiler am westlichen Ufer misst, bei 28,7^m Länge und 19,2^m Breite, 35^m Höhe, derjenige am östlichen Ufer aber 59,7^m Höhe. Zur Gründung der Pfeiler wurde die pneumatische Methode benutzt. Wenn ein Caïsson mit der unteren Kante auf dem Felsen aufsaß, wurde am Rande eine 1,2^m breite Betonlage geschüttet, dann die Luft ausgelassen und Sand eingebracht. Durch mehrmalige Wiederholung dieser Operation gelang die dichte Ausfüllung mit Sand bis nahe unter die Decke und der übrige Raum wurde mit Beton ausgestampft. Der Druck auf die Basis beträgt 100 Tonnen pro qm. Der eiserne Oberbau besteht aus vier Bogenträgern, wovon jeder zwei röhrenförmige Gurtungen besitzt. Hierzu sind 1036 Stück 3,96^m lange und 0,457^m weite Röhren im Totalgewicht von 2000 Tonnen verbraucht worden. Jede Röhre besteht aus sechs, faßdaubenähnlich aneinandergestellten und durch heiß aufgezugene Ringe, eine stählerne Blechhülle und Stehbolzen zusammengehaltenen Lamellen. Zweitheilige stählerne Ruppelungsmüfien bewirken die Verbindung der Röhrenden und tragen starke Stahlbolzen, auf welchen die Augen der schmiedeeisernen Diagonalstreben sitzen, durch welche die beiden Gurtungen jedes Bogenträgers gegen einander abgesteift sind. Die Gleise der Eisenbahn liegen etwas über dem Scheitel der untern Gurtung. Unsere Quelle giebt Näheres über die Dimensionen der einzelnen Theile und über das Bedingungsheft, wonach verlangt wurde, daß die gußstählernen Lamellen der Röhren

an der Elasticitätsgrenze 4220^k Druck und 2800^k Zug pro \square^{cm} und einen Elasticitätsmodulus von 1,8 Mill. Kilogramm nachweisen mußten, für die schmiedeeisernen Diagonalstangen aber eine absolute Festigkeit von 4220^k , für Stangen, Bolzen, Nieten eine solche von 7030^k vorgeschrieben war, während die Inanspruchnahme für Stahl auf 2100^k , für Schmiedeeisen auf 700^k pro \square^{cm} normirt war. An Stelle des Gußstahls wurde später fast ausschließlich Chromstahl zugelassen, da dieser leichter gleichförmig zu beschaffen war und eine höhere als die ausbedungene Festigkeit besaß. Ein sinnreicher Spiegelapparat an der Probirmaschine gestattete die Beobachtung der Ausdehnung bis auf $\frac{1}{8000}^{mm}$.

Ponzen, eine schnellgebaute Eisenbahnbrücke über den Mississippi. — Ungefähr 23 Meilen oberhalb St. Louis ist eine 623^m lange Eisenbahnbrücke mit einem $135,3^m$ langen drehbaren Felde und gemauerten Pfeilern und Widerlagern bei ca. 5^m Wassertiefe in 150 Tagen vollkommen fertig gestellt worden, obwohl allein zu den Pfeilern 6500^m Pfähle, 30000^{cbm} Bruchsteine und 4370^m Haussteine, zur Herstellung der 1500^m langen Zufahrten 108000^{cbm} Anschüttung und zum eisernen Oberbau 20000 Ctr. Eisen erforderlich waren. Die Brückenprobe fiel sehr günstig aus, indem sich das längste Brückenfeld ($77,7^m$) unter 5 Locomotiven à 50 Tonnen Gewicht ohne permanente Durchbiegung nur um 38^{mm} senkte.

Morawiz, Bericht des Delegirten zur Enquête der Donau-Regulirungs-Commission.

Pneumatische Depeschbeförderung. — Zur Aufnahme der Depeschentapeln genügen Röhren von 57^{mm} Lichtweite und da Röhren von $76,2^{mm}$ Weite an Geschwindigkeit bloß einen Gewinn von 16 Proc. geben, während sie mehr als noch einmal soviel Betriebskraft verlangen, andererseits aber durch Verdoppelung des Druckes (von $0,349$ auf $0,698^k$) bei einer Steigerung der Betriebskraft um das Dreifache 30 Procent an Geschwindigkeit gewonnen werden können, so ist es zweckmäßiger, den Druck zu steigern, als die Röhrenweite. Durch Beobachtungen ist constatirt, daß die Geschwindigkeiten mit großer Sicherheit berechnet werden können, daß aber die berechnete mechanische Leistung wegen der Röhrenwiderstände um 20 bis 30 Procent zu niedrig ausfiel.

Zeitschrift des Vereines deutscher Ingenieure. 1874. Band XVIII, Heft 1 bis 3.

Ludewig, das technische Unterrichtswesen auf der Weltausstellung in Wien. — Bei einer Unterrichtsausstellung fällt der sonstige Zweck der Industrieausstellungen, nämlich der Absatz der Fabrikate und die Auffindung neuer Bezugsquellen, größtentheils, wenn nicht ganz weg und es kann damit nur der Nutzen verbunden sein, daß die nicht unmittelbar an Kauf und Verkauf beteiligten Besucher und besonders Fachmänner ihr Wissen bereichern und nebenbei einigermaßen den Lehrgang und die Leistungen der verschiedenen ausstellenden Anstalten kennen lernen. Nun läßt sich aber die geistige Arbeit des Unterrichts nicht nach allen Richtungen durch ausgestellte Objecte repräsentiren und es bleiben für technische Anstalten eigentlich nur Lehrmittel, Schülerarbeiten

und allgemeine Schulmittheilungen übrig. Was die Lehrmittel anlangt, so ist ihre Ausstellung meist sehr umständlich und die Auswahl so schwierig, daß in dieser Richtung die Wiener Ausstellung nicht recht befriedigte, theils wegen Unvollständigkeit, theils wegen unzureichender Ausführung. Bezüglich der Unterrichtsarbeiten sollten eigentlich nur die zur Illustration der Lehrmethoden geeigneten ausgestellt werden, also solche, die in systematischer Stufenfolge den Unterrichtsgang erkennen lassen. Hierbei fand in Wien eine völlige Ueberschwemmung an Freihandzeichnungen statt, indem öfters mehrere ganz gleichartige Schulen eines Landes ihre im Allgemeinen nicht sehr differirenden Leistungen ausgestellt hatten. Bei planmäßigerer Auswahl und übersichtlicherem Arrangement würde der Zweck ungleich besser erreicht worden sein. Auch waren mehrere eigenthümliche Unterrichtsmethoden nicht vertreten. In Bezug auf allgemeine Schulnachrichten war nur Unvollständiges geleistet, doch ließen einzelne Ausnahmen erkennen, wieviel in dieser Beziehung geboten werden könnte. Was nun specieller die ausgestellten Lehrmittel anlangt, so sind darunter besonders zu nennen: Vorlegeblätter, Modelle, Instrumente und Versuchapparate, allgemeine Sammlungsgegenstände, indirecte praktische Hilfsmittel, wie Wandtafeln, Zeicheninstrumente, Apparate zu Experimenten u. s. w., endlich Zeichnungen von Hörsälen, Laboratorien, Arbeitstischen für Werkstätten und dergl. Unter den Vorlagen für das Maschinenzeichnen waren viele wegen ihrer schreienden Farbentöne und grellen Schlagfatten zu tadeln, namentlich die französischen, welche überdies häufig nicht einmal Musterconstructions darstellten. Deutschland und Oesterreich hatten in diesem Genre nicht Bedeutendes ausgestellt, Frankreich zeigte höchst elegant ausgestattete Tafeln von F. Delarue & Fils in Paris und von Wormser. Die Wandtafeln des technologischen Cabinets der Universität Würzburg sind zu klein und zu dunkel colorirt, um empfohlen werden zu können, diejenigen von Ludwig Hestermann, von der Hamburger Gewerbeschule, erreichten die französischen Muster nicht, die Wettstein'schen Wandtafeln für den Unterricht in der Naturkunde, welche in biden schwarzen Strichen auf hellgrauem Grunde geometrische und perspectivische Ansichten von Maschinen darstellen, ersetzen trefflich die Kreidezeichnung an der Wandtafel. Von technologischen Modellen waren viele vortrefflich ausgeführte und glänzend ausgestattete Modelle vorhanden. Besonders reichhaltig war die Ausstellung des polytechnischen Arbeitsinstituts von J. Schröder in Darmstadt, hierunter Durchschnittemodelle von Wasserradeinläufen und Wasserrädern, Turbinen, Dampfmaschinen, Locomotiven, Schiebebühnen, Geleisestangen, Weichen, metallurgischen Ofen, Dachgespärren, Treppen, Gewölben u. s. w., die Maschinenmodelle stellten aber nur ältere Constructionen dar. Die bescheidenen Holz- und Pappmodelle von Ludwig Hestermann in Hamburg eignen sich nur für Volksschulen; hervorragende Modelle von Brücken (leider meist in Holz) hatten Carl Grund und Söhne in Wien geliefert, von metallurgischen Ofen die Bergakademie in Freiberg, von Seilbohrern und Hüttenmaschinen die Akademie in Schenitz, Schiffsmodelle in großem Maasstabe die Marineschulen in Fiume und Triest. Großartig waren die Modelle der russischen maritimen Ausstellung, jedoch nicht eigentlich für Schulzwecke bestimmt. (Schluß folgt.)

Schaltenbrand, die Locomotiven der Weltausstellung in Wien 1873. — Ueber diesen gründlichen, mit Tabellen, Tafeln und Holzschnitten ausgestatteten Bericht läßt

Referat nicht geben, sie ist aber Maschinen- und Ingenieur-angelegentlichst zum Studium zu empfehlen.

Fornebusch, die Eisensfabrikation Schwedens. — Schwedens Eisenindustrie ist in Ermangelung geeigneter und gelegener Steinkohlenfelder auf die Verwendung von Holz angewiesen. Die Waldungen in der Nähe der Erze liefern pro Hektare durchschnittlich 2,7^{cbm} Holzmasse und jede Tonne Roheisen braucht zur Darstellung 1 Holz. Es kommt aber selbst auf den nicht ungünstigsten Hütten 1 Tonne Holzkohlen auf 1 Thlr. 25 Sgr. zu stehen, so daß der Brennmaterialbedarf pro Tonne sich auf 14 Thlr. 16 Sgr. 5 Pf. berechnet, mit-über auch wohl doppelt so hoch ansfällt. Die haupt-sächlichen Eisenerze sind Magneteisenstein, Eisenglanz und Knasenstein, sowie Sumpfs- und Raseneisenstein. Sie kommen theils in regulären, theils in aufgerichteten und durchgeschobenen Lagern von verschiedener großer Ausdehnung meist mit steilem Einfallen. Die Rotheisensteine sind mit Augit, Hornblende, Granat, Kalkstein verunreinigt, Magneteisensteine mit noch mehr Beimengungen. Bei einigen, z. B. Dannemora, finden sich hinreichende Flußmittel die Erze anderer Gruben bedürfen mehr als 30 Proc. Schlacke, wieder andere Erze, die manganreichen, dienen zur Verhüttung mit andern Sorten. Der Eisengehalt der besten Erze beträgt meist 45 bis 50 Proc., kalkige fallen auf bis 20 Proc., andere steigen bis 70 Proc. Der Phosphorgehalt variiert durchschnittlich zwischen 0,005 und 0,05 geht aber auch bis 0,1 Proc. Wegen des Gehaltes an Schwefelverbindungen wird meist eine Röstung in Defen lindrischer Form nöthig. Auch Titan ist eine häufige Begleitung der Erze. Im J. 1871 waren gegen 5000 in den Eisenerzgruben beschäftigt, welche 13½ Sgr. Thlr. 3 Sgr. 10 Pf. pro Tag verdienen und großen Gehalt an Erze arbeiteten. Die Mannschaften mit niedrigen Löhnen erhalten freies Holz und Wohnung. Die Arbeit wird einmännig betrieben und man rechnet, daß ein Arbeiter in der zehnstündigen Schicht 1,5 bis 2^{cbm} Holz von der Seite schlägt und dadurch 1¼^{cbm} Masse gewinnt. Endet Sprengpulver oder Dynamit an und rechnet auf 1 b Sprengpulver 3, auf ein Pfund Dynamit 5 bis 6 Mineral. Die Gewinnung und Förderung kostet pro Tonne Erz 22 Sgr. 10 Pf. bis 4 Thlr. 6 Sgr. 10 Pf. Bergwerksmaschinerie ist wohl gepflegt; man bedient sich theils der Wasserkraft, mitunter unter Anwendung von Transmissionsen, doch findet sich auch bereits eine Anzahl innerer Dampfmaschinen. Sumpfs- und Rasenerze werden besonders in den Provinzen Jönköping und Kronoberg an den Ufern der Seen und Moräste gewonnen. Die schwedischen Hoheöfen fallen durch ihre geringe Höhe, 9 bis 15 m, bis 1,4 m Durchmesser zwischen den Formen auf. Man hat man auch Defen mit 3 und 4 Formen und 85^{cbm} Rauminhalt, 2 bis 3 m Durchmesser im Rohbau 1,5 bis 1,8 m Weite, deren Rauhgemäuer häufig aus Ziegeln gefertigt ist. Mit den Gichtgasen werden die Röstöfen geheizt, welche als cylindrische Schachöfen con-struirt sind. Die gerösteten Erze werden in Walzwerken oder zu Stücken von 60 bis 90^{kg} schwere zerklüftet, mit Wasser geschlagen und den Kohlen sorgfältig gemüllt und so, daß die Erze dichter am Rande der Gicht liegen. In der Gichtung des Fichten- und Kiefernholzes wendet man meist

niedrige stehende Meiler an, welche 125^k Kohle pro Kubikmeter Holz liefern. Auch eine Mischung der Holzkohle mit Steinkohle, im Verhältniß von 100 Th. trockenes Eichenholz an Stelle von 78 Th. Kohle (dem Raume nach) ist mit gutem Erfolg versucht worden. Bei dem Hoheofen zu Skövde wird das obere Fünftel des 18 m hohen Hoheofens mit Holz beschickt und ungefähr 1/3 der Holzkohle durch Holz ersetzt. Der Verbrauch an Holzkohle beträgt pro Tonne Roheisen 760 bis 860^k, bei titanreichen Erzen aber bis zu 2280^k. Den Gebläsewind erhitzt man bei 40^{mm} Quecksilbersäule Pressung nur auf 220° C.; die Pressung beträgt 22 bis 80, bei Zusatz von Holz oder Cokes auch bis 110^{mm} Quecksilber. Größere Hoheöfen geben wöchentlich 120 bis 130 Tonnen Roheisen, die kleineren aber, in denen der Brennmaterialverbrauch ungünstiger ist, und wo der Ofen täglich 2 bis 3 Mal niedergeschmolzen wird, kaum ein Viertel soviel. Die Gicht ist meist offen und mit einem Blechcylinder zum Auffangen der Gase versehen. Der Betrieb steht gänzlich unter der Oberleitung der Behörden und diese geht systematisch damit vor, die Zahl der Defen zu vermindern, gleichzeitig aber die Production zu steigern. Wegen der Strenge des Klimas und der Mangelhaftigkeit der Verkehrswege findet fast durchgängig nur im Winter und Frühjahr Hoheofenbetrieb statt, auch sind die Hoheöfen dieserhalb meist nur isolirt gebaut. Auch auf den Hütten erhalten die Arbeiter nur geringe Löhne, 16½ Sgr. bis 1 Thlr. 10½ Sgr. für die Schmelzer und Aufseher, 13¼ bis 22 Sgr. für die gew. Arbeiter, welche deshalb freie Wohnung mit kleinem Garten genießen, um eine Ruhe halten zu können. Die gesammten Löhne pro Tonne Roheisen berechnen sich auf 1 Thlr. 10 Sgr. 6 Pf. bis 1 Thlr. 21 Sgr. 6 Pf. Das erzeugte Roheisen wird meist auf Schmiedeeisen, das graue siliciumreichere auf Stahl verarbeitet. Erstere darf gar kein bis 0,4 Proc. Silicium enthalten, letzteres 0,7 bis 1 Proc. Beim Frischen bedient man sich der Lancashire-Methode in Cupolöfen mit Holzkohlenfeuer, in welche Chargen von 68 und 127^k eingelegt werden. 3 Männer, 2 Frischer und 1 Handlanger, bei Tag und ebensoviel bei Nacht, sind hierbei zur Bedienung während 6 Tage der Woche beschäftigt. Schlackenzusatz findet nicht statt. Gewöhnlich wird durch 2 Düsen von 2^{cm} Weite Wind von 100 bis 200° C. unter 8^{cm} Quecksilbersäule Pressung eingeblasen. Die wöchentliche Production eines Ofens beträgt 8 bis 13 Tonnen Schirbleisen, der Verlust 15 Proc. vom eingelegten Roheisen, der Holzkohlenverbrauch 580 bis 840^k pro Tonne Schirbleisen. Nach der älteren Methode wird dieses Eisen unter Hämmer gepreßt, dann wieder erhitzt und unter einem Redhammer weiter bearbeitet. Neuerdings läßt man das gehämmerte Eisen durch Walzen gehen, sortirt die Platten, packtirt sie für den Glühofen und walzt dann zu Stabeisen aus. Die schwedischen Schweißöfen sind lang und es werden in dieselben ununterbrochen kalte Platten eingelegt, sobald am anderen Ende glühende herausgenommen werden. Als Brennmaterial dient Holzkohle gemischt mit Holz, Steinkohle oder Torf; auch Gasgenerativöfen für Torf, Holz oder Sägemehl werden angewandt. Wenn nur Schirbleisen in den Schweißöfen genommen wird, so werden durchschnittlich 40 Tonnen pro Woche verarbeitet, bei Platten aber 68 Tonnen; im letztern Falle werden 240 bis 470^k Holzkohle pro Tonne Stabeisen verbraucht. Beim Auswalzen der Platten findet 9 Proc., beim Anwärmen und Ausreden des Schirbleisens 12 Proc. Abbrand statt. Für Schweden ist die Erfindung des Bes-

femerprocesses epochemachend gewesen, da die dortigen Erze sich durch Reinheit auszeichnen und für diesen Proceß bedeutend weniger Brennmaterial erfordert wird. Auf den Bessmerhütten wird das vom Hochofen abgestochene Eisen direct in Chargen von 2,3 bis 3,9 Tonnen in die Converter gebracht, in welche mittelst 6 bis 7 Düsen von 10 bis 18 mm Weite gepreßter Wind von 0,84 bis 1,24^k Pressung pro □ cm eingeblasen wird. Gegen Ende der nur 4 bis 10 Minuten andauernden Periode werden auf einigen Werken, welche kein manganreiches Eisen verarbeiten, 1 bis 1½ Proc. Spiegel-eisen zugefügt. Das Ausbringen an Stahl beträgt 85 bis 89 Proc. Auch das Martin'sche Verfahren und die Ucha-tiusmethode werden auf einzelnen Werken betrieben; ersteres bietet den Vortheil, daß in demselben Apparate auch Schmiede-eisen zu Rund- oder Nagelisen erzeugt werden kann, während letzterer Proceß Stahl von großer Festigkeit neben mäßiger Härte liefert.

Both, über Excavatoren. — Vergleichung der Excavatoren von Morris & Cumming, von Curtis, Forbes & Co. und von Symonds und Auffuchung einer wirk-sameren Construction, bei welcher das Zusammengehen der Schneiden erleichtert ist, und eine flachere Schicht abgeschnitten wird.

Das Siemens'sche Pyrometer — welches auf dem Princip beruht, daß sich der Leitungswiderstand eines und desselben Körpers mit der Temperatur ändert, ist für die Handhabung sehr bequem, indem sich der Beobachter weit von dem Raum befinden kann, dessen Temperatur bestimmt werden soll, zeigt aber selbstverständlich plötzliche Temperaturschwankungen nicht an und läßt insofern noch einige Ungewißheit zurück, als man nicht weiß, ob die Leitungsfähigkeit des die Wärme aufnehmenden Körpers durch längeren Gebrauch nicht verändert wird.

Härten von Werkzeugstahl und weichem Gußeisen. — Zur Wiederherstellung verbrannten Stahles bewährt sich das von Kulicke angegebene Mittel, welches aus 180^g Weinsäure, 900^g Leberthran, 60^g Kohlenpulver, 240^g Weinschwarz, 300^g Rindstalg, 150^g Kaliumcyanür und 90^g gebranntem Hirschhorn besteht. Wird verdorbener Stahl kirch-roth in die aus diesen Ingredienzien zusammengemischte teigige Masse getaucht und dann in Wasser abgelöscht, so wird er wieder brauchbar. Weicher oder weichgewordener Stahl kann auf dieselbe Weise gehärtet werden. Zum Härten von weichem Gußeisen dient das Eintauchen des rothglühenden Stückes in eine aus 10 Eimer Urin, 2,5^k Schlammkreide und 2^k Kochsalz bestehende Flüssigkeit.

Wärmeverluste eingemauerter Dampfkessel. — Nach der Revue universelle 1873, S. 439, gehen 20,52 Proc. der bei der Verbrennung der Steinkohle entwickelten Wärme durch Ausstrahlung des Mauerwerks verloren, während durch die mit 150° Wärme abziehenden Schornsteingase 5,43, durch unvollständige Verbrennung 5,07, durch unverbrannte Kohlentheilchen 9,10 Proc. Wärme verloren gehen und nur 59,5 Proc. nützlich zur Verdampfung verwendet werden.

Leistung von Dynamit und Schießpulver. — Nach der Mining Gazette wurden bei gewöhnlichem Schießpulver und zweimännischem Bohren von 6 Häuern pro Monat

6,4^m, bei Dynamit und einmännischem Bohren aber 12^m Ort aufgeföhren, wobei sich die Kosten auf 491,20 Doll. resp. 573,25 Dollar stellten.

Billing's Grubenventilationsmethode — besteht darin, daß die durch eine Anzahl von Luftcompressionsma-schinen erzeugte comprimirt Luft zunächst in einer Kammer aufgespeichert und von da mittelst Leitungsröhren nach belie-bigen Punkten abgeführt wird.

Prinzhorn, das Wasserglas und seine Anwen-dung. — Soda- oder Kalwasserglas wird durch Zusammen-schmelzen von 2 Th. Sand und 1 Th. calcinirter Soda oder Potasche in einem Flammofen erzeugt. Das Schmelzproduct wird zerkleinert und unter 4 bis 5 Atmosphären Druck in Wasser gelöst, abgekühlt und auf 35 bis 40° B. eingedampft. Man hat dasselbe als feuerfesteren Anstrich, als Ersatz des Delfarbeanstrichs und zur Vertiefelung von Steinen angewandt. Mansome fertigt aus Kieselguhr, Wasserglas, kalkhaltigen Substanzen und Sand künstliche Steine von großer Festigkeit. Wasserglas wird ferner statt Seife bei der Wäsche verwandt, ebenso bedient man sich desselben in der Färberei und Druckerei, sowie zur Stereochromie.

Kühlmann, Girard's Turbinen für das Marine-Wasserwerk in Paris. — Für das genannte Wasserwerk hat Girard Partialturbinen an horizontaler Welle mit innerer Beaufschlagung angewandt. Diese Räder, welche paar-weise auf derselben Welle sitzen, haben 11,6^m Durchmesser und benutzen 3 bis 4^m Gefälle. Sie machen 7 Umgänge pro Minute, so daß die Pumpen direct durch die an den Enden der Wellen aufgesteckten Kurbeln getrieben werden.

Badelberg, Ziegelfabrikation. — In England findet man den Thon erdfeucht an, läßt ihn zwei Malen passiren, ehe er in die Misch- und Knetmaschine gelangt, und preßt die Ziegel mit 3000^k Druck. Derartige Ziegel können sogleich 3^m hoch aufgestapelt und am 2. Tage in den Ofen gebracht werden, so daß leichter Frost die Fabrication nicht stört und keine Trockenschuppen nöthig sind. Dagegen braucht man viel stärkere Betriebsmaschinen, eine Pollo d'sche Maschine zur Erzeugung von 2000 Steinen pro Stunde verlangt z. B. eine 24pferdige Dampfmaschine. Auch fallen die Anlagskosten hoch aus, indem z. B. eine Anlage mit 2 Pollo d'schen Ziegelpressen auf 60000 Thlr. zu stehen kommt. Als Ofen werden meist Kammeröfen mit sieben Abtheilungen à 10000 Stück verwendet.

Thomezel, Druckpumpe für Wasserwerke. — Bei dem dargestellten Druckwerk ist die Pumpe eine doppelt-wirkende liegende Mönchskolbenpumpe mit doppelsitzigen Gloden-ventilen, kurzem Saugrohr und unmittelbar über den Steig-ventilen angebrachtem Windkessel. Kolbengeschwindigkeit 1^m. Durchgangsquerschnitt der Ventile gleich 1,33 Kolbenquerschnitt. Saugrohrquerschnitt gleich 1,47 Kolbenquerschnitt. Druckhöhe 62^m. Wasserlieferung 4,87 cbm pro Minute.

(Schluß folgt.)

Literatur- und Notizblatt

zu dem zwanzigsten Bande des

Civilingenieur.

N. 6.

Literatur.

ie gesammten Naturwissenschaften. Für das Verständniß weiterer Kreise und auf wissenschaftlicher Grundlage bearbeitet von Dippel, Gottlieb, Gurlt, Koppe, Mädler, Masius, Moll, Raud, Röggerath, Quenstedt, Reclam, Reis, Romberg, Zech. Eingeleitet von Hermann Masius. Dritte, neu bearbeitete und bereicherte Auflage. Erster Band. 1. bis 19. Lieferung. Essen. Druck und Verlag von G. D. Wädeler. 1874.

Mit diesen Lieferungen wird der erste Band des oben genannten Werkes abgeschlossen und dieselben bringen die Meteorologie von Dr. P. Reis in Mainz, die Dampfmaschine, das Dampfschiff und die Locomotive von Prof. E. P. Moll in Riga, endlich die elektrische Telegraphie, Galvanoplastik und Photographie von Prof. Dr. E. Raud in Riga, wie ein ausführliches Sachregister für den ersten Band. Auch bei diesen Abschnitten des vorliegenden verdienstvollen Werkes tritt neben dem wissenschaftlichen Geiste der ganzen Auffassung als nicht geringer Vorzug das besondere Geschick der populären Darstellung hervor, womit sie abgefaßt sind, so daß es kann daher der nunmehr abgeschlossene erste Band als ein ganz vorzügliches Handbuch zum Studium der Anwendungsgründe in der Mechanik, Physik und Meteorologie, sowie den verschiedenen obengenannten Anwendungen der Naturwissenschaft auf Technologie bezeichnet werden, das besonders in Realschulen, Gymnasien und niedere technische Bildungsanstalten, sowie zum Selbststudium geeignet sein dürfte.

Vorträge über Eisenbahnbau, gehalten an verschiedenen deutschen polytechnischen Schulen, begonnen von Dr. E. Winkler. Zweites Heft. Weichen und Kreuzungen von Dr. E. Winkler, ord. Professor des Eisenbahn- und Brückenbaues an der k. k. technischen Hochschule in Wien. Zweite verbesserte Auflage. Lieferung 2. Prag 1874. Verlag von F. Dominicus.

Vorliegende zweite Lieferung des zweiten Heftes der Vorträge über Eisenbahnbau, welche die Anordnung der Ausweich- und der Verbindungs-Geleise, sowie die Kreuzungen enthält, bildet den etwas verzögerten Schluß des Heftes und trägt gegen die erste Auflage namentlich darin einen Zuwachs, daß die Geleise mit Kreuzungen speciell behandelt sind. Bei den Berechnungen der Weichen sind durchgängig goniometrische

Funktionen benutzt, doch sind viele Tabellen zur Erleichterung der Rechnung beigelegt. Besonders zu rühmen sind noch die zahlreichen Holzschnitte und die schöne Ausstattung der zweiten Auflage dieses anerkannt vorzüglichen Werkes.

Vorträge über Eisenbahnbau, gehalten an verschiedenen deutschen polytechnischen Schulen, begonnen von Dr. E. Winkler. Erstes Heft. Signalwesen. Von Dr. Eduard Schmitt, ord. Professor der Bau- und Ingenieurwissenschaften an der Universität zu Gießen. Lieferung 1 und 2. Mit 50 zum Theil colorirten Holzschnitt-Tabellen und 1 lithographirten Tafel. Prag 1874. Verlag von F. Dominicus.

Der Herr Verfasser obigen Werkes, der sich in der Eisenbahnliteratur bereits durch sein Werk über Bahnhöfe und Eisenbahn-Hochbauten einen Namen gemacht hat, behandelt hier das Signalwesen zunächst im Allgemeinen, indem er die Beschreibung der Signalvorrichtungen einer dritten Lieferung vorbehält. Die vorliegende Lieferung enthält daher nach einer kurzen Darlegung der leitenden Grundsätze beim Signalisiren die auf den Stationen nöthigen Signale, die von den Stationen zu gebenden Signale und einen Theil der Signale auf der Strecke. Selbstverständlich sind die Vereinbarungen des Vereins deutscher Eisenbahnverwaltungen hierbei in erster Linie mit berücksichtigt, doch werden auch alle sonstigen wichtigeren Signalordnungen vorgeführt und kritisch beleuchtet. Die systematische Anordnung und die zahlreichen, z. Th. colorirten Abbildungen bieten große Erleichterung für das Verständniß und die gehörige Orientirung unter der Masse der vorgetragenen Signale.

Hilfstafern zur barometrischen Höhenbestimmung, nebst einer Anleitung zur Untersuchung und zum Gebrauch der Federbarometer. Mit einem Anhang, enthaltend die Höhen der württembergischen Eisenbahnstationen. Von Dr. F. Schöber, Professor der Geodäsie am k. Polytechnikum zu Stuttgart. Zweite verbesserte Auflage. Stuttgart. E. Schweizerbart'sche Verlags-Handlung (E. Koch). 1874.

Unter den Schriften, welche sich mit dem Barometermessen und mit den Aneroiden beschäftigen, zeichnet sich die vorliegende durch größere Wissenschaftlichkeit sehr vorthellhaft aus. Sie entwickelt zunächst eine abgekürzte Barometerformel, erklärt dann die Höhenberechnung mittelst der mitgetheilten Hilfstafern, lehrt die Bestimmung der Constanten der Federbarometer, zeigt den Einfluß der Beobachtungsfehler und die Art, wie am richtigsten mit diesem Instrumente zu arbeiten ist, und handelt zuletzt von der Genauigkeit derartiger Höhen-

messungen. Ein Anhang mit Höhenangaben über viele Punkte der württembergischen Eisenbahnen wird Denen willkommen sein, welche in dortiger Gegend Uebungen im barometrischen Höhenmessen anstellen wollen.

Karmarsch und Heeren's technisches Wörterbuch.

Dritte Auflage ergänzt und bearbeitet von **Rid und Gintl**, Professoren an der deutschen technischen Hochschule in Prag, unter Mitwirkung der Herren: **Brennerei-Ingenieur E. Alter**, **Oberhüttenverwalter E. Walzing**, **Professor Joh. Brück**, **Ingenieur F. Benedikt**, **Ober-Bergrath Prof. B. Cotta**, **Inspector Otto Gebauer**, **Prof. H. Gollner**, **Brauerei-Ingenieur E. Grenznier**, **Assistent H. Grohmann**, **Professor A. R. Harlacher**, **Prof. Dr. Ernst Hartig**, **Hofrath Professor Dr. Plasiewicz**, **Assistent J. Janowski**, **Prof. A. Jhl**, **Ingenieur L. Kohnfürst**, **Prof. Dr. Gust. Laube**, **Prof. Ferd. Lippich**, **Ingenieur Cam. Ludwik**, **Docent E. Preis**, **Prof. Joh. Radinger**, **Prof. Em. Ringhoffer**, **Regierungsrath Prof. Dr. Fr. Rochleder**, **Ober-Ingenieur F. Rziha**, **Docent Sablik**, **Prof. E. Schorlemmer**, **Prof. Gustav Schmidt**, **Berghauptmann Dr. Alb. Serlo**, **Assistent Jd. Skraup**, **Prof. Dr. A. v. Waltenhofen**, **kais. Rath, Prof. Karl Wersin**, **Prof. Dr. E. Willigt** u. A. Mit etwa 2000 in den Text gedruckten Abbildungen. Lieferung 1. Prag, 1874. Verlag der Bohemia, Actiengesellsch. f. Papier und Druckindustrie.

Das Werk, dessen erste Lieferung wir hier mit großen Erwartungen begrüßen, verspricht nicht nur eine Lücke in unserer technischen Literatur auszufüllen, welche schon lange gefühlt worden ist, sondern läßt auch wegen der großen Zahl tüchtiger Mitarbeiter, welche sich zur Bearbeitung desselben verbunden haben, hoffen, daß es vollkommen gelingen und nicht zu lange auf seine Vollendung warten lassen werde. Sein Umfang muß natürlich ein bedeutenderer werden, als derjenige der vor 20 Jahren erschienenen zweiten Auflage, indem eine fast viermal so große Zahl von Artikeln aufgenommen ist; auch wird die Zahl der Figuren bedeutend vermehrt, die englische und französische Bezeichnung der einzelnen Schlagworte hinzugefügt und die einschlagende Fachliteratur citirt werden; dagegen wird die Einbeziehung rein wissenschaftlicher oder minder wichtiger technischer Begriffe vermieden werden, um den Umfang des Werkes nicht über 40 Lieferungen à 5 Bogen auszudehnen. Die vorliegende erste Lieferung beginnt mit „Abbeizen“ und reicht bis „Albumin“.

Lehrbuch der Ingenieur- und Maschinen-Mechanik

von **Dr. phil. Julius Weissbach**, weil. königl. säch. Ober-Bergrath und Professor an der sächsischen Bergakademie zu Freiberg. Fünfte verbesserte und vervollständigte Auflage, bearbeitet von **Gustav Herrmann**, Professor an der königl. polytechnischen Schule zu Aachen. In drei Theilen. Erster Theil: Theoretische Mechanik. Mit gegen 1000 in den Text eingedruckten Holzschnitten. Ersten Theiles eilfte und

zwölfte Lieferung. Braunschweig, Druck und Verlag von **Friedrich Vieweg und Sohn**. 1874.

Diese Doppellieferung behandelt das zweite bis achte Capitel der Hydraulik und ist möglicherweise aus Pietät für den verstorbenen Verfasser gegen die frühere Auflage fast gänzlich unverändert geblieben, so daß nicht einmal der neueren Literatur gedacht worden ist. Die nächste Lieferung wird endlich den Schluß des Bandes bringen.

Maschinenwesen und Transportmittel. Von **Professor Herrmann** in Aachen, **Prof. Dr. Hartig** in Dresden, **Assistent, Ingenieur L. Rittershaus** in Berlin, **Director A. Wähler** in Berlin. Mit in den Text eingedruckten Holzschnitten. Autorisirter Abdruck aus dem „Amtlichen Berichte über die Wiener Weltausstellung im Jahre 1873.“ Band II. Heft 1. Braunschweig, Druck und Verlag von **Friedrich Vieweg und Sohn**. 1874.

Vorliegender Bericht über das Maschinenwesen und die Transportmittel von der Wiener Weltausstellung bietet nicht nur Denen, welche diese Ausstellung selbst besucht haben, eine Sammlung von werthvollen Notizen und Adressen, sondern ist auch Solchen zu empfehlen, welche am Besuche der Ausstellung verhindert waren, da er ein zwar sehr gedrängtes, aber anschauliches Bild über die gegenwärtigen Bestrebungen und Erfolge in obigen Zweigen der Technik liefert. Der erste Abschnitt, aus der Feder des Herrn Rittershaus, behandelt die Motoren, Kraftübertragungsmaschinen und Maschinenbestandtheile, der zweite von Herrn Hartig bearbeitete Abschnitt die Werkzeugmaschine incl. Stein- und Thonbearbeitungsmaschinen und Mühlen, der dritte Abschnitt (Berichterstatte Herr Herrmann) die Maschinen für Faserstoffindustrie incl. Nähmaschinen, Leder- und Papierfabrikations-, sowie Druckmaschinen und der vierte Abschnitt endlich die Eisenbahn- und Straßentransportmittel.

Bau- und Civilingenieurwesen. Vom **Geh. Oberbaurath Schwebler** in Berlin, **Oberbaurath H. Sternberg** in Carlsruhe, **Geh. Baurath Giersberg** in Berlin, **Baumeister Houffelle** in Berlin. Autorisirter Abdruck aus dem „Amtlichen Berichte über die Wiener Weltausstellung im Jahre 1873.“ Band II, Heft 2. Braunschweig, Druck und Verlag von **Friedrich Vieweg und Sohn**. 1874.

Auch dieser Bericht erfüllt seinen Zweck aufs Vorzüglichste. In der ersten Section bespricht Herr Giersberg die auf dem Ausstellungsterrain ausgeführten Gebäude, die ausgestellten Baupläne und Modelle, Defen, Centralheizungen, Ventilationsvorrichtungen, Gas-, Wasser- und Telegraphenleitungen, Baumaterialien und Geräthe, im zweiten Abschnitt Herr Sternberg die Objecte des Wasserbaues incl. Wasserleitungen, Abzugsanäle und Entwässerungsanlagen, im dritten Abschnitte Herr Schwebler und Houffelle den Straßen-, Brücken- und Eisenbahnbau nebst den dahin gehörigen geodätischen Arbeiten und Plänen. Da diesem Berichte keine Art von bildlichen Darstellungen beigegeben ist, so kann derselbe allerdings nur kurze Referate geben und muß oft auf anderweite Quellen verweisen.

Referate aus technischen Zeitschriften.

Zeitschrift des Vereines deutscher Ingenieure. 1874. Band XVIII, Heft 1 bis 3. (Schluß.)

List, das sogenannte Ammoniakverfahren der Sodafabrikation. — Dieses Verfahren besteht darin, daß eine concentrirte Lösung von Chlornatrium mit Ammoniakgas und Kohlensäure gesättigt wird, wobei sich Salmiak und doppelt kohlensaures Natron bildet. Letzteres wird abfiltrirt, die Flüssigkeit abgedampft und mit Kalk oder Magnesia versetzt, um Ammoniak wiederzugewinnen, das Bicarbonat aber wird durch Erhitzen in einfach kohlensaures Natron verwandelt. Begreiflicherweise wird nicht alles Ammoniak wiedergewonnen, doch sollen nach Honigmann bei einer täglichen Sodaproduction von 100 Etr. nur 5 Etr. Salmiak zu erneuern nöthig sein. In vorliegender Abhandlung werden die Solway'schen Patente über dieses Verfahren mitgetheilt, sowie einige Notizen über die in Deutschland gemachten Erfahrungen. — M. Honigmann in Aachen, welcher mit M. Gerstenhöfer in Freiberg die Einführung dieses Processes betreibt, giebt an, daß zu 100 Etr. Soda 200 Etr. Steinsalz, 200 Etr. Kohle, 150 Etr. Kalkstein, 10 Etr. Schwefelsäure und 5 Etr. Salmiak erforderlich seien, wonach das deutsche Verfahren vom englischen abzuweichen scheint. Es ist indessen anzunehmen, daß die angegebenen Ziffern etwas zu hoch gegriffen sind, da die Ingenieure, welche das neue Verfahren einzuführen suchen, Garantie für Einhaltung derselben leisten.

Gmelin, Verbesserung an Windwärmeapparaten. — Whitwell's Apparate sind als die besten Winderhigungsapparate anzusehen, verbrauchen aber mehr Gas als Röhrenapparate, was nach Ansicht des Herrn Verf. nur in der großen äußeren Abkühlungsfläche zu suchen sein kann. Derselbe schlägt daher vor, dieselbe mit einem äußeren Mantel von 40^{cm} Stärke zu umgeben und den Zwischenraum von 20^{cm} Weite mit loderen feuerfesten Steinbroden auszufüllen, und zeigt durch eine Rechnung unter Zugrundelegung der Peclet'schen Formeln, daß solch ein Mantel in 24 Stunden eine Steinkohlenerparnis von 1450^k gewähren würde.

Neue deutsche Drahtlehre. — Aus Anlaß der von österreichischen Drahtfabrikanten aufgestellten Millimeterlehre wurde auch in Westfalen eine Commission hierüber niedergesetzt, welche sich im Allgemeinen der österreichischen Vorlage angeschlossen, aber die Berufung einer allgemeinen Deutschen Versammlung beschloß. Bei dieser am 11. December 1873 in Hagen abgehaltenen Versammlung wurde, da in Oesterreich bereits viele Fabrikanten die Millimeterlehre angenommen hatten, ebenfalls der österreichischen Scala beigetreten und es soll in gleicher Weise ein Drahtstift-Normalfortiment vereinbart werden. Nachstehend folgt ein Auszug aus einer in unserer Quelle mitgetheilten vollständigen vergleichenden Tabelle.

Dicke in Millim.	Millimeter Drahtlehre	Birmingham wire gauge	Jauge de Paris	Westfälische Lehre
10	100	—	30	
8,8	88	0	28	

Dicke in Millim.	Millimeter Drahtlehre	Birmingham wire gauge	Jauge de Paris	Westfälische Lehre
7,6	76	1	26	Ketten.
6,0	60	4	23	Grob Rinken.
4,6	46	7	—	Malgen.
3,4	34	10	18	Fein Wemel.
1,6	16	16	11	2 Band.
1,2	12	18	7	3 "
0,9	9	20	4	6 "
0,5	5	25	P	1 Hol oder 4 Blei.
0,34	$\frac{3}{4}$	29	—	5 " " 8 "
0,2	2	33	—	11 " " 17 "

Spiritus-Controllapparat von Siemens und Halske. — Wie bei den Gasmessern bildet bei diesem Apparat eine in Kammern getheilte drehbare Trommel, die durch den hindurchfließenden Spiritus in Bewegung gesetzt wird und mit einem Zählapparat versehen ist, die Grundlage der Messung, zugleich ist aber ein Aräometer angebracht, welches die Drehung der Trommel beeinflusst, indem es nur die Uebertragung eines dem Gehalt an absolutem Alkohol entsprechenden Theiles der Umdrehung auf das Zählwerk gestattet, so daß dieser Controllapparat nicht bloß die Menge der hindurchgegangenen Flüssigkeit, sondern vielmehr die Quantität des durchgeflossenen Alkohols mißt.

Bezeichnung der neuen Maaße und Gewichte. — Nach Beschluß des Vereines Deutscher Ingenieure ist an den Bundesrath eine Petition um Einführung übereinstimmender Bezeichnungen der metrischen Maaße und Gewichte gerichtet worden, welche sich dahin ausspricht, daß besondere Bezeichnungen für Dekameter, Decimeter, Quadratdecimeter, Cubitmillimeter, Dekagramm, Decigramm und Centigramm entbehrlich seien, wogegen für die Größen: Meterkilogramm, Pferdekraft, Atmosphäre, Wärmeeinheit, 1000^k und 100^k besondere Bezeichnungen wünschenswerth seien. Die Vorschläge des Vereines gehen dahin, daß die Bezeichnungen mit exponentenartig beigefügten, bei Decimalbrüchen über das Komma zu setzenden kleinen lateinischen Buchstaben bewirkt werden müge und zwar: 1 Kilometer = 1^{km}, 1 Meter = 1^m, 1 Centimeter = 1^{cm}, 1 Millimeter = 1^{mm}, 1 Hektar = 1^{ha}, 1 Ar = 1^a, 1 Quadratmeter = 1^{qm}, 1 Quadratcentimeter = 1^{qc}, 1 Quadratmillimeter = 1^{qmm}, 1 Cubitmeter = 1^{cbm}, 1 Hektoliter = 1^{hl}, 1 Liter = 1^l, 1 Cubitcentimeter = 1^{cc}, 1 Tonne = 1^t, 1 Hektokilo = 1^{hk}, 1 Kilogramm = 1^k, 1 Gramm = 1^g, 1 Milligramm = 1^{mg}, 1 Meterkilogramm = 1^{mk}, 1 Pferdekraft = 1^p, 1 Atmosphäre = 1^{at}, 1 Wärmeeinheit = 1^c.

Bartl, über Henschel-Jonval- und Girard-Turbinen. — Beide Arten von Turbinen sind nicht wesentlich verschieden. Sie gehören zu den Druckturbinen, bei denen das Wasser beim Uebertritt aus dem Leitschaufelapparat in das Rad einen dem äußeren Atmosphärendruck gleichen Druck besitzt, können also nicht ganz gefüllte Schaufeln haben. Bei den Henschel-Jonvalturbinen sind die Schaufeln in der halben Höhe des Rades verstärkt, um Canäle von constantem Querschnitt zu erlangen und das Rad ins Unterwasser legen zu können, ohne das Eintreten von Wasser an Stelle der verdrängten Luft befürchten zu müssen; bei den Girardturbinen sind dafür in den Kränzen an der convergen Seite der Schaufeln Luftlöcher angebracht, damit sich die leeren Räume der Canäle mit Luft füllen können, was aber andererseits die

Möglichkeit des Arbeitens im Unterwasser ausschließt. Ob die Canäle, wie bei der ersten Turbinenart, bloß nach außen, oder auch noch nach innen verbreitert sind, wie bei den Girardturbinen ist gleichgültig. Für beide Arten von Rädern gilt bezüglich der Winkel dieselbe Bedingungsgleichung $\beta = 180 - 2\alpha$, während sich $\gamma = 20$ bis 25° nehmen läßt, wenn man die untere Breite des Rades entsprechend bestimmt. Die Radweite ist passend $\frac{1}{6}$ bis $\frac{3}{10}$ des Halbmessers zu nehmen.

Richard, über Spinnereimaschinen. — Hauptmomente der allmählichen Entwicklung dieser Maschinen.

v. Hutten, Desinfectionsmittel. — Theilt man die Desinfectionsmittel nach Hofmann in fixirende, oxydirende und antiseptische, so gehören zur ersten Classe Eisenvitriol, Manganchlorür und andere Metallsalze, welche dadurch wirksam werden, daß sie die bei der Zersetzung der Fäcalstoffe sich bildenden Gase binden. Das neuerdings viel empfohlene Chloralum, welches nach Fied aus 14 Proc. Chloraluminium und 80 Proc. Wasser mit geringen Mengen schädlicher Metalle besteht, kann kaum günstige Wirkungen haben. Wegler und Pettenkofer haben Alkalien und Kalk zu gleichem Zweck empfohlen, da sie die Kohlsäure, die Valerian- und Buttersäure u. s. w. zu binden geeignet seien; die Alkalien können auch dadurch günstig wirken, daß sie das Entstehen des Ammoniacs verhindern und die Bildung von Salpetersäure hervorrufen. Als oxydirende Mittel wendet man Chlorkalk und übermanganfaures Kali an; von letzterem ist viel nothwendig, doch hat es nicht den übeln Geruch des Chlorkalks. Von antiseptischen Mitteln wird hauptsächlich Carboläure und Kreosot angewandt und die Carboläurepräparate sind als sehr wirksam anerkannt worden. Das Sülvern'sche Pulver aus 100 Th. Kalk, 15 Th. Theer und 15 Th. Chlormagnesium hat sich nach Virchow ebenfalls gut bewährt.

Kugel, Statistisches über die Eisenindustrie des Zollvereins in den Jahren 1860 bis 1872.

Schuchart, graphische Darstellung der schottischen Roheisenpreise von October 1871 bis Ende 1872.

Werner, der Dampfmaschinenbau auf der Wiener Weltausstellung. — Im Gegensatz zu früheren Weltausstellungen zeigte die letzte eine fast allgemeine Bevorzugung der liegenden Dampfmaschinen nach dem Corlißsystem, jedoch mit vereinfachtem Gestell, indem an Stelle einer großen Fundamentplatte oder des hohlen gußeisernen Balkens ein auf das Stopfbüchsenende des Cylinders aufgeschraubtes zur Aufnahme der Geradsführung muldenartig geformtes und am andern Ende in ein Kurbellager übergehendes Gußstück angewendet wird, während die Maschine bloß mit 2 Füßen das Fundament berührt. Eine elegantere und sowohl den Bedingungen der Festigkeit, als der Darstellbarkeit besser entsprechende Formgebung war ebenfalls allgemein zu bemerken. An Stelle der stehenden Luftpumpen hat man meist doppeltwirkende liegende, durch die rückwärts verlängerte Kolbenstange getriebene Pumpen in Gebrauch, auch wird dafür der Körting'sche Dampfstrahlcondensator angewandt. Die Expansionsmechanismen stellen sich zur Aufgabe, ohne Veränderung der Anfangspannung lediglich durch Veränderung des Füllungsgrades eine dem Kraftbedarf entsprechende Regulirung zu bewirken. Die Corlißsteuerung mit dem Porter'schen Regulator ist sehr

beliebt, ob sie gleich $\frac{3}{8}$ Füllung nicht zu überschreiten vermag und so statisch ist, daß sie sehr beträchtliche Schwankungen der Umdrehungszahl zuläßt. Von Meyer'schen Steuerungen war eine bemerkenswerth, bei welcher der Expansionschieber eine oscillirende Bewegung um seine Aze mitgetheilt erhielt. Auch viele Coulissensteuerungen kamen vor, obwohl dieselben sehr viel Reibungsarbeit verursachen, bei geringen Füllungsgraden eine Drosselung des Dampfes bewirken und ein einer geringen Belastung der Maschine entsprechendes Minimum der Füllung nicht zulassen. (Schluß folgt.)

Rosentrauz, über Wassermesser. — Man kann diese Apparate in zwei Klassen einteilen, nämlich in solche, welche das ihnen unter Druck zufließende Wasser wieder mit Druck abgeben, und in solche, bei welchen der Druck verloren geht. Letztere Klasse umfaßt die Apparate, bei denen ein Einlaßhahn durch einen Schwimmer bewegt wird, ferner die Vorrichtungen mit oscillirenden zweikammerigen Gefäßen, endlich solche mit rotirenden Meßtrommeln. Derartige Apparate können aber nur beschränkte Anwendung finden, weil sie nicht in eine Druckleitung eingeschaltet werden können. Zu letzterem Zwecke hat man Kolbenapparate mit geradlinig hin- und hergehender, wie mit rotirender Bewegung construirt, wovon erstere ein sehr genaues Resultat zu geben im Stande sind, aber ziemlich complicirt und voluminös, sowie entsprechend kostspielig ausfallen, auch viel Reibung haben, während die rotirenden Apparate, welche nach Art der Rotationspumpen eingerichtet sind, schwer in gutem Stande zu erhalten und wenig empfindlich sind. Auch die nach Art der Priesterspumpe eingerichteten Diaphragmaapparate haben sich wegen zu geringer Dauer der Membran nicht bewährt. Große Verbreitung genießen die auf dem Princip der Turbinen beruhenden Wassermesser, obwohl sie keine eigentliche Cubicirung, also auch nur geringe Genauigkeit geben, besonders bei wechselndem Drucke, für geringe Wassermengen nicht tauglich sind und sehr leicht Unterschleife zulassen. Der vom Herrn Verfasser angegebene Wassermesser besteht aus einem turbinenartigen Apparate, dessen Schaufel wie ein Kolben in einem geschlossenen Metallgehäuse rotirt, aber nicht so dicht abschließt, daß der Druck hinter der Schaufel sehr von demjenigen vor derselben verschieden sein könnte. Er ist demgemäß für große und kleine Wassermengen, sowie für schwachen und starken Druck anwendbar und zeigt bis auf 2 Proc. genau an.

Weinhold, über das Siemens'sche Pyrometer. — Dasselbe hat sich innerhalb 0 bis 470° C. vollständig bewährt, bei höheren Temperaturen zeigten sich nur unerhebliche Abweichungen, und da in der Praxis mehr das Festhalten einer bestimmten Temperatur, als die Vergleichung verschiedener Wärmegrade angestrebt wird, so sind diese Abweichungen gleichgültig. Eine chemische Veränderung des Platindrahtes ist nicht zu befürchten, das Siemens'sche Pyrometer ist daher zur Zeit das vollkommenste derartige Instrument.

Biesing über Kesselstein. — An der Mündung des Speiserohres eines mit Wasser von 70° C. gespeisten Dampfkessels bildet sich regelmäßig eine Verstopfung von neßartiger Form, welche die Oeffnung bis auf 2 mm verkleinert und dann durch die Pumpe abgestoßen wird. Vor der Erhitzung des Speisewassers fand kein derartiger Kesselsteinabsatz statt. Auch anderwärts sollen sich die durch den Dampfraum gehenden Speiserohre in der Höhe des Wasserspiegels durch Kesselsteinabsatz verengt zeigen.

Rey, künstlicher Brennstoff. — Ein Gemisch von 80 Pfund Gartenerde, 20 Pfd. Kleinkohle und 1 Pfd. in Wasser gelöster Soda oder Kochsalz soll recht gut und außerordentlich langsam verbrennen. Manche Erden sind übrigens selbst reich an brennbaren Bestandtheilen, der Stolberger Straßenschmuck enthält z. B. 20 bis 21 Proc. davon.

Ludwig, Sprengung in einem tiefen Bohrloche. — Um ein in einem 220^m tiefen Bohrloche steden gebliebenes Bohrgestänge von 18,8^m Länge zu sprengen, versuchte man Patronen von Lithofracteur, welche mittelst der Abegg'schen Zündmaschine entzündet wurden, erzielte aber kein Resultat, weil die Holzstäbchen, mit denen die beiden Drähte isolirt werden sollten, sich bei dem hohen Wasserdrucke mit Wasser imprägnirten, und mußte daher den Lithofracteur mit Pulver entzünden.

Graß, neue Bestimmung der verdampften Wassermenge. — Da fast jedes Speisewasser Chlorverbindungen enthält und beim Erhitzen derselben keine Verflüchtigung von Chlor stattfindet, so wird vorgeschlagen, die Menge des in einem Dampfkessel verdampften Wassers aus der Zunahme des Chlorgehaltes des Wassers zu bestimmen, was leicht mit Hilfe der Maassanalyse oder Titrimethode geschehen kann.

Dürre, über die graphische Darstellung von Hüttenprocessen. — Die graphischen Darstellungen sind meist nur zur übersichtlichen Vorführung statistischer Angaben benutzt worden, doch eignen sie sich auch sehr gut zur Darstellung technischer Vorgänge, wie z. B. der Productionsverluste, des Brennstoffverbrauchs, der Streckung beim Walzproceß, u. s. w. Der Herr Verf. macht hier Vorschläge über die graphische Darstellung der Wärmeüberführung bei Winderhitzungsapparaten und Flammöfen und deutet an, welchen Nutzen derartige Untersuchungen schaffen könnten. Ferner giebt er Fingerzeige für die Behandlung chemischer Prozesse, z. B. über die Darstellung des Gehaltes an schwefeliger Säure und an Schwefelsäure in den Bleikammern, des Chargenabbrandes beim Puddelproceß, der wichtigeren Wandlungen beim Bessemerproceß u. s. w.

Lürmann, über Ferrie's selbstcofenden Hohen. — Auf den Montland-Eisenwerken hat sich ein Hohen bewährt, welcher an der Gicht ein viertammeriges Cokesofensystem trägt, dessen Wände durch die Ofengase noch erwärmt werden, ehe diese nach dem Gasabzuge gelangen. Diese Einrichtung scheint bei nicht gut cofenden rohen Steinkohlen, welche aber in der Verührung mit den Erzgichten in Folge eines gewissen Sinters Unbequemlichkeiten verursachen, sehr beachtenswerth, liefert übrigens auch für Schottland eine ansehnliche Kohlenersparniß.

Zeitschrift des Architekten- und Ingenieur-Vereines zu Hannover. Band XX, Jahrg. 1874, Heft 1.

Buresch, über den Bau der Huntebrücke im Zuge der Hude-Draker Eisenbahn. — Genannte Bahn überschreitet bei Elsfleth die Hunte mittelst einer Brücke mit drei Oeffnungen à 31,5^m Weite und einer Drehbrücke von 12^m Weite. Die Pfeiler sind mittelst Brunnen gegründet, welche von Pontons aus versenkt wurden. Bei Pfeiler Nr. 3, dessen beide Brunnen auf den an Schrauben hängenden Schlingen bis zu einer solchen Höhe zwischen den Pontons

schwebend aufgemauert worden waren, daß sie nach der Versenkung bis über den Fluthspiegel heraufragten, fand nach Beginn der Ausbaggerung eine einseitige Senkung statt, wobei sich der obere bloß mit Tragsmörtel gemauerte Theil der Brunnen von dem unteren in Portlandcement ausgeführten Theile ablöste und von der Strömung fortgerissen wurde, doch ließ sich der untere Theil wieder in die lothrechte Stellung bringen. Bei Pfeiler No. 4 führte man dieserhalb statt zweier kleinerer Brunnen einen größeren, 4^m im oberen Durchmesser haltenden Brunnen auf einem 5^m großen aus vier 5^{cm} starken Bohlenlagen gebildeten Schlinge 3^m hoch auf, machte aber auch mit diesem ungünstige Erfahrungen, indem er nach anhaltendem stürmischen Wetter stromabwärts geneigt und zum dritten Theil frei über dem Bette schwebend vorgefunden und beim Wiederaufheben so beschädigt wurde, daß ein neuer Brunnen dafür versenkt werden mußte. Letzterer erhielt im Schling eine Bohlenlage mehr und dieser wurde überhaupt so construirt, daß er den untern Theil des Brunnens mantelförmig umfaßte. Der eiserne Oberbau der Brücke ist eingeleisig und besteht aus zwei Fachwerkträgern mit horizontalen Gurten. Diese wurden mit Benutzung von Ebbe und Fluth auf Pontons mit hohen Gestellen aufgeladen, dann zur Fluthzeit zwischen die Pfeiler gefahren und bei der Ebbe auf diese abgeladen. Die Drehbrücke, deren langer Arm 14,2, und deren kurzer Arm bloß 3,8^m Länge besitzt, ruht lediglich auf einem zuderhutförmigen Drehzapfen und wird durch Handrad mit Vorgelege und Zahnkranz gedreht.

Weiß, Einfluß der Cylinderwandungen auf den Dampfverbrauch. — Diese umfänglichere und jedenfalls sehr beachtenswerthe Abhandlung sucht auf Grund der von Professor Linde an zwei Sulzer'schen Dampfmaschinen angestellten Versuche aus der im Dampfmantel aufgefangenen Wassermenge und der Temperatur des arbeitenden Dampfes die in die Cylinderwandung übergegangene Wärmemenge zu berechnen und vergleicht damit diejenige Wärmemenge, welche nach der mechanischen Wärmetheorie zu erwarten gewesen wäre. Der Herr Verf. gelangt unter Anderem zu dem Schlusse, daß der Einfluß des Dampfmantels eher schädlich, als nützlich sein müsse, und daß die bei der Sulzer'schen Maschine beobachtete Erhebung der realen Expansionscurve über die adiabatische Linie nicht durch den Einfluß der Erwärmung des Mantels, sondern durch Undichtigkeit der Steuerventile zu erklären sei, wodurch der Herr Verf. freilich in scharfen Widerspruch zu andern Autoritäten tritt.

Richard, die Maschinen- und Locomotivenfabrik der Hannover'schen Maschinenbau-Actiengesellschaft zu Linden. — Ausführliche Beschreibung der großartigen und vortrefflich eingerichteten Locomotivenfabrik zu Linden vor Hannover (vormals Georg Egestorff) sammt Heizungs-, Wasserversorgungs-, Entwässerungs-, Beleuchtungs-Anlagen und Arbeiterhäusern.

Benutzung des Temperatureinflusses bei Aufstellung von Brücken. — Einer der großen Träger der Ruilenburger Brücke, welcher um 25^{mm} zu weit auf dem einen Pfeiler auflag, wurde dadurch in die richtige Lage gebracht, daß man des Morgens das zu weit vorgerückte Trägerende durch Schrauben am Mauerwerk befestigte, des Abends aber löste und dafür das andere Ende, welches in Folge der Ausdehnung etwas vorgeückt war, festmachte.

Durand-Clape, Versuche über die Form der Pfeilerköpfe. — In einem künstlich gespeisten 0,745^m breiten, 0,4^m tiefen regelmäßigen Canale mit 0,0014 Gefälle wurden in der Ase glatt verputzte, 0,81 bis 0,89^m lange und 0,28 bis 0,315^m breite Brückenpfeilermodelle von verschiedener Form aufgestellt, während der Boden 4^{cm} dick mit gestebtem Sand bedeckt wurde, um den Einfluß der Form der Vorköpfe der Brückenpfeiler auf die Veränderung der Sohle studiren zu können. Es ergab sich, daß die rechteckige Form stromaufwärts und seitwärts die stärksten Auskolkungen erzeugte, während dreieckige Pfeilerköpfe vor der Spitze keine Auskolkungen verursachen, aber zu ziemlich bedeutenden Auswaschungen an den Stellen führen, wo die Vorköpfe in die Pfeilerschäfte übergehen. Halbkreisförmige Vorköpfe halten die Mitte zwischen den erwähnten beiden Formen und es dürfte demnach ein aus einer scharfen Schneide mit anschließenden Kreisbögen gebildeter Vorkopf die geringsten Auswaschungen verursachen. Ausführlichere Mittheilungen in den Annales des ponts et chauss. 1873. 1.

Zeitschrift für Bauwesen. Jahrg. XXIV, 1874, Heft 3 bis 6.

Normen für die Aufstellung von Bahnhofsbauwerken. — Unter den amtlichen Bekanntmachungen der vorliegenden Lieferung ist diese die bedeutendste; sie ist auch für ausländische Ingenieure höchst beachtenswerth.

Quassowski, Umbauten und Neubauten der Berlin-Potsdam-Magdeburger Eisenbahn. — An Stelle der beiden eingelegigen Havelbrücken bei Potsdam und Werder sind in den Jahren 1866 und 1873 zweigeleisige Brücken errichtet worden, wobei die Kürze der Pfeiler und die tiefe Lage der Brücken besondere Schwierigkeiten verursachten. Aus diesem Grunde ist das System der Blechträgerbrücken gewählt worden. Um möglichst wenig Störungen im Betrieb zu verursachen, mußten die in diesen Brücken befindlichen Drehbrücken in den Wintermonaten, wo keine Schifffahrt stattfindet, umgebaut werden; im Uebrigen wurden zu diesem Umbau nur feste Klüftungen angewendet.

Schlichting, Canalisation der Mosel von Arnaville bis Metz. — Für diese Ausführung hatte die französische Regierung ein aus streckenweiser Canalisation und aus Canalhaltungen bestehendes System angenommen, welches bei der Landesoccupation ungefähr auf $\frac{2}{3}$ der Länge vollendet vorgefunden wurde. Die Mosel ist nämlich nur streckenweise durch Nadelwehre aufgestaut und zur Schifffahrt geeignet gemacht, diese Strecken sind aber untereinander durch Seitencanäle und aus dem Strome gespeiste Canalhaltungen verbunden. Die den Canalhaltungen entsprechenden Nadelwehre liegen bei Cistines, Marbache, Dieulouard und Pont à Mousson, und das Gesamtgefälle von 14,8^m wird durch 6 Kammer-schleusen überwunden, auch befindet sich am obern Eingange der Canalhaltungen eine Schutzschleuse. Die Haltungen besitzen 12^m Sohlenbreite, $1\frac{1}{2}$ fache Anlage der Innen- und Außenböschungen, einen 4^m breiten Leinpfad auf der einen und einen 3^m breiten auf der andern Seite und mindestens 2^m Wassertiefe. Zur Entwässerung des unter dem Canal-spiegel liegenden Seitenterrains sind lange Seitengräben nöthig gewesen. Oberhalb der Citadellenschleuse bei Metz wurde ein Nebencanal abgezweigt, welcher im sogenannten Eisenbahn-

hafen endigt und später in dem sogenannten Niedcanal seine Fortsetzung erhalten soll, welcher die schiffbare Verbindung der Mosel mit der Saar bezweckt. Das Terrain, in welchem die Canalhaltungen angelegt sind, besteht aus schwerem Lehm-boden auf Sand und Kies. Die hieraus gefertigten Dämme sind im mittleren Kern und an der Wasserseite nur aus Lehm und durch Feststampfen in 40^{cm} starken Lagen gebildet. Beim Transport mit Bockarren diente zur Ermittlung des Preises für ein Cubikmeter bis zu 62^m Entfernung die Formel $x = 0,002 p D$, in welcher p den Tagelohn (3 Francs), D die Distanz in Metern bedeutet, aber pro Meter Steigung 12^m Länge zugesetzt wurden, beim Transport mit Pferdekarren (von 62 bis 500^m Entfernung 1 Pferd, von 500 bis 1500^m 2 Pferde und darüber 3 Pferde) die Formel $x = \frac{2D + d}{LC}$, in welcher P den Tagelohn für Fuhrwerk mit Kutscher (resp. 7,5, 11,5, 16,5 Francs), D die Transportweite, d die dem Aufenthalte beim Auf- und Abladen entsprechende Distanz (resp. 500, 1000 und 1500^m), L die ganze pro Tag zurückzulegende Strecke (31,25 Kilometer), C den Fassungsraum des Karrens (pro Pferd 0,4^{bm}) bezeichnet. Für Auf- und Abladen, sowie Planirung wurden 0,55 Frsch. pro Cubikmeter vergütet. Die gewöhnlichen Kammer-schleusen besitzen 6^m Lichtweite und mit Ausschluß der Treppenanlagen am Ober- und Unterhaupt 49,25^m gesammte Länge, wovon 5,85^m auf's Oberhaupt und 7,50^m auf's Unterhaupt kommen. Die Wehre, von denen dasjenige zu Vaux specieller beschrieben und dargestellt ist, sind Nadelwehre, in deren Mitte sich eine sogenannte Fischleiter befindet, d. h. eine Vorkehrung, welche den Fischen das Ueberschreiten des Wehres erleichtert. Der Rücken, welcher auf Betonfundament ruht, ist aus großen Quaderblöcken construirt und greift mit seinen Flügeln tief in die Ufer ein, ist auch gegen das Unterwasser hin durch eine Spundwand und Steinschüttungen mit Senkmaschinen gesichert. Das bewegliche Wehr besteht aus den Stützklappen, deren Ueberbrückung und den Nadeln. Erstere stehen in Distanzen von 1,1^m und sind 2,4^m hohe eiserne Rahmwerke, Letztere sind aus Tannenholz gefertigt, 6,5^{cm} im Quadrat stark und 2,45^m lang. Bei Herstellung dieser Wehre bediente man sich einfacher Fangdämme, aus einem hinter den Spundwänden angeschütteten Lehmkörper bestehend, mit 1^m breiter Krone und zweimaliger Böschung. Zur Bereitung des aus 4 Th. grobem Moselkies und 3 Th. Mörtel bestehenden Betons diente ein vertical stehender, innerlich mit 60 horizontalen Stäben versehener eiserner Cylinder, in welchen der aus 1 Th. hydraulischem Kalk und 2 Th. Sand gefertigte Mörtel mittelst eines 7^m hohen Gerüsts gleichzeitig mit dem reingewaschenen Kies karrenweise eingeschüttet wurde. (Schluß folgt.)

Wiebe, Verhalten des Wasserdampfes in der Dampfmaschine. — (Schluß.) Für die Arbeit L der Gewichtseinheit Dampf stellt der Herr Verf. die Näherungsformel $L = 506,15 (424 + t_1) \left(1 - \left(\frac{V_1}{V} \right)^{0,0643} \right)$ auf, in welcher V_1 und t_1 das Anfangsvolumen und die Anfangstemperatur, V das Endvolumen bezeichnet. Dieselbe führt auf Resultate, welche bis zu $\frac{V_1}{V} = \frac{3}{4}$ in der Mitte zwischen den Werthen des Mariotte'schen Gesetzes und der Grasshof'schen Formel liegen, für größere Werthe dieses Verhältnisses aber sehr genau mit letzterer Formel stimmen,

und entspricht den thatsächlichen Verhältnissen recht gut, indem bei der Expansion des Dampfes im Cylinder die Menge des im dampfförmigen Zustande befindlichen Wassers sich nur wenig ändert.

Garde, Material, Fabrikation und Verschleiß der Eisenbahnschienen. — (Schluß.) Nach weiterer Beschreibung des Puddelprocesses und der beiden Methoden der Bildung der Padete, geht der Herr Verf. auf die Fabrikation der Gußstahlschienen, den Bessemer- und den Martin-Proceß, sowie die Darstellung der Schienen mit Bessemerstahlkopf und sehnigem Fuß und Steg über und handelt sodann vom Verschleiß der Eisenbahnschienen, dem regelmäßigen sowohl, als dem durch mangelhafte Beschaffenheit des Materials oder fehlerhafte Fabrikationsweise verursachten unregelmäßigen Verschleiß. Als Hauptresultate dieser gründlichen Erörterungen ergibt sich, daß zur Erzeugung guter Schienen nicht zusammengeschweißtes Material genommen werden darf, daß die Padete möglichst nur aus frischen Stäben gebildet, die Anwendung verschliffener Schienen vermieden, der Schienenkopf nicht aus bereits abgeschweißten Kopfstrammen hergestellt werden sollte, daß die Verwendung von Puddelstahl und Feinkorneisen, ihrer häufigen Blasen halber, ziemlich zweifelhaft, die Vereinigung von Schmiedeeisen und Stahl stets sehr unsicher, die Verwendung guten Kaltbrucheisens für den Kopf zulässig erscheint, daß aber die Verwendung homogenen Materials (Gußstahl) sich am meisten empfiehlt.

Erhöhung der Sicherheit im Eisenbahnbetriebe. — Eine dieserhalb im October vorigen Jahres (1873) unter Vorsitz des Oberbau- und Ministerialdirectors Weisshaupt in Berlin abgehaltene Konferenz von 49 Eisenbahnbeamten beschloß, für die Bettungsbreite in der Höhe der Schienenunterkante ein Minimum von 3,2 bis 3,5^m, für die Schwellen eine Minimallänge von 2,5^m, für die Befestigung der Schienen auf den Schwellen die Anwendung der Schraubennägel und der Unterlagsplatten zu empfehlen. Als bestes Material für die Schwellen wurde das Eichenholz, der Pilsener eiserne Oberbau aber als sehr beachtenswerth bezeichnet. Für die Schienen wurde von Stahlköpfen abgerathen und Bessemerstahl empfohlen, aber die Nothwendigkeit einer Fallprobe und das Wegfallen des Einklinkens des Schienenfußes betont, auch das Einstoßen der Laskenbolzenlöcher als nachtheilig getadelt. Bei Gefällwechseln soll jederzeit eine horizontale Strecke von der Länge eines Güterzuges eingelegt, der Abrundungsradius nie kleiner als 2000^m gewählt, beim Uebergang aus der geraden Linie in Curven dem äußeren Schienenstrange kein stärkerer Anlauf als von 1:250 gegeben werden. Bei Unterhaltung des Oberbaues in Accord soll nur Einzelaccord zulässig sein, den Locomotivführern die Controle des Oberbaues und die Anzeige über gefundene Ungehörigkeiten erleichtert werden. Weichen, welche keine unterschlagenden Zungen haben, wurden für betriebsgefährlich erklärt, für die Weichenzungen ein Normalprofil beschloffen, auch der Vorzug gekrümmter langer Zungen betont. Die Weichen sollten schon in der Werkstätte auf Unterlagsplatten verbunden werden, auch werden zwischen den beiderseitigen Unterlagsplatten Dreiecksverbindungen empfohlen. Zungen und Mutterbahnen werden am besten aus Stahl gefertigt, Einsattelhaken bei selbstwirkenden Weichen sind zu verwerfen, die Gegengewichte so einzurichten, daß sie einen sichern Anschluß der Zunge herbeiführen, an der Zungenwurzel Laskenverbindungen

nicht zu entbehren, mit der periodischen Controle der Weichen zuverlässige Schlosser aus der Bahnwerkstätte zu beauftragen. Bezüglich der Herzstücke werden weitere Versuche mit beweglichen Zungen in Nebengeleisen empfohlen, ferner die Fortführung der Herzstücke bis in den mathematischen Kreuzungspunkt bei Kreuzungsstellen, desgleichen die Erhöhung der Zwangsschienen über die Schienenoberkante hinaus und die Annahme eines constanten Maaßes für den Abstand der Spitze von der Kante der Zwangsschienen. Als nothwendig wird die consequente Durchführung des Principes des Rechtsfahrens bezeichnet, weshalb bei eingleisigen Bahnen auf den Stationen die Geleise so liegen müssen, daß der einfahrende Zug gerade auslaufen kann und erst beim Ausfahren durch einen gekrümmten Strang in das linksliegende parallele Geleis überzugehen braucht. Ebenso wurde für nothwendig erkannt, daß dem Stationsvorsteher eine vollkommen sichere Disposition über die Stellung der gegen die Zungen spitze zu befahrenden Weichen in den Hauptgeleisen und über die Einfahrtssignale verschafft werde. Spitz befahrene Weichen sind thunlichst zu vermeiden und zur Sicherung solche Verbindungen des Einfahrtssignals mit den Weichen und dem Stationsbureau herzustellen, daß das Signal nur bei richtiger Stellung der Weichen gegeben werden kann. Eine ausgebehntere Anwendung der Drehscheiben und Schiebebühnen ist besonders für die Güterschuppen-, Be-, Ent- und Ueberlade-Geleise zu empfehlen, ebenso die Anwendung ansteigender Rangirköpfe auf Rangirbahnhöfen, wogegen der Anschluß der Rangirköpfe an Hauptgeleise und die Verwendung der letzteren zum Rangiren thunlichst zu vermeiden ist. Mit dem Bahnhofsschlusstelegraphen ist mechanisch ein Avertissementssignal zu verbinden, welches es ermöglicht, den Zug frühzeitig genug zum Stehen zu bringen. Bezüglich der Signalordnungen ist die möglichste Uebereinstimmung anzustreben. Bezüglich der Bremsvorrichtungen spricht man sich dahin aus, daß die Bremsen mit Kurbel in der Hand zuverlässiger Beamten hinreichende Sicherheit gewährten, über andre Vorrichtungen aber erst noch weitere Erfahrungen zu sammeln seien. Als Maximalgeschwindigkeit werden 10 Meilen pro Stunde bei 1,7 bis 2^m hohen Rädern bezeichnet, bei Locomotiven mit vor der Feuerbüchse liegenden Axen und mindestens 3,45^m Radstand, sowie bei vierrädrigen Maschinen mit 2,5^m Radstand sind höchstens 7,5 Meilen Geschwindigkeit zulässig. Aus Schnell- und Personenzügen sind Wagen mit weniger als 3^m Radstand oder mit weniger als 115^{mm} Axenstärke, sowie achträdrige Wagen mit Drehgestellen und solche die keine feste Kuppelung mit den Nachbarwagen gestatten, auszuschließen. Zur Verminderung der Unfälle beim Kuppeln der Fahrzeuge sollen die Verbindungsstangen an den Weichen angemessen verdeckt, Markirzeichen statt der Markirpfähle zwischen den Geleisen angebracht und vom Einhängen der Nothketten Abstand genommen werden. Im Allgemeinen soll für die Ausbildung des Stations- und Zugpersonals, sowie des Bahnunterhaltungspersonals mehr geschehen als zeither, auch sollen Prüfungen eingeführt werden. Ebenso soll die theilweise vorhandene Ueberbürdung des Beamtenpersonals beseitigt, dem Personal für den regelmäßigen Dienstturnus die Eigenschaft von Beamten beigelegt und eine Prämierung für hervorragende Pflichterfüllung eingeführt werden. Da die fahrplanmäßige Abfertigung der Personenzüge oft durch die Beförderung der Postpäckereien Verzögerungen erfährt, so sollen die Postpäckereien anderen Zügen ohne Personenbeförderung überwiesen werden und ebenso

sollen Eilgut-, Viehtransport und dergl. von den Personenzügen ausgeschlossen werden. Die Maschinenkraft soll der Zugstärke möglichst entsprechen, das Gewicht der Züge mit Rücksicht auf die Neigungsverhältnisse und auf die Sicherheit der Kuppelungen beschränkt, die Länge der Züge thunlichst vermindert (bei Güterzügen nie über 150 Achsen) werden. Zur Verminderung des großen Zubranges des Publikums zu den Wartefallen und Perrons sollen Zutrittsbillets eingeführt werden. Endlich soll zur Vereinfachung des Dienstes die Zahl der Wagenklassen in den Zügen vermindert und das Coupiren der Billets während der Fahrt abgeschafft werden.

Allgemeine Bauzeitung. XXXIX. Jahrgang. 1874.
Heft. 1 bis 4.

Gerstel, über Entwässerungsanlagen im Lehmgebirge. — Der Herr Verfasser hat seine Studien über Rutschungen beim Bau der Linie Schäßburg-Kronstadt gemacht, wo das Gebirge aus einer 2 bis 14 Meter starken Lage gelben Lehmes auf blauem festem Tegel bestand. Derartige Terrain ist, obwohl der Lehm eigentlich nicht wasserdurchlässig genannt werden kann, doch fast nie trocken, da die durch die Sonnenhitze an der Oberfläche gebildeten Spalten das Regenwasser bis in das Innerste, ja sogar bis auf den Untergrund einbringen lassen, und in Folge hiervon entstehen die großartigsten Rutschungen. Um solchen vorzubeugen, muß natürlich das Wasser möglichst abgeleitet und ihm besonders die Versickerung bis zum Tegel verwehrt werden. Diesen Zweck kann man dadurch erreichen, daß man die zum Rutschen geneigte Bergmasse in einer verticalen Fläche der Länge nach von der Oberfläche bis auf den Tegel durchschneidet und das hier hervortretende Wasser auffängt und ableitet. Zur Aufsuchung der Richtung und Tiefenlage, in welcher derartige Stöln und Schlige am zweckmäßigsten anzulegen sind, muß man sich mit Hilfe von Bohrlöchern und Untersuchungs-schächten ein möglichst vollständiges Bild des Untergrundes, am besten richtige Schichtenpläne, zu verschaffen suchen. Die Schlige oder Stöln sind dann so anzulegen, daß sie die tiefsten Punkte auf dem kürzesten Wege verbinden und das Wasser mit dem meisten Gefälle, also am raschesten abführen. Der Herr Verf. empfiehlt nicht unter $1\frac{1}{2}$ Proc. Gefälle zu geben, die Sohle der Schlige mindestens 0,3 m tief in den blauen Tegel zu legen, den Stöln 0,9 bis 1,1 m Weite und 1,1 bis 1,5 m Höhe, den Schligen 1 m Weite und senkrechte Wände zu geben. Zur Ausfüllung der Schlige sind Steine auf mindestens 1 m Höhe zu verwenden und derartig zu verpacken, daß die kleineren gegen die Wände hingelegt werden. Auf die Steinlage bringt man zu oberst zweckmäßig eine Lage Rasen oder Gaskinen, um das Verschlammern zu verhindern. Wie in einzelnen Fällen sowohl Damm- als Einschnitt-rutschungen mit Erfolg vorgebeugt und abgeholfen worden ist, muß der Leser selbst in der von schönen Tafeln begleiteten Abhandlung nachlesen.

Steiner, Theorie der Bogenbrücken nach Prof. Winkler. — Ueber die Bogenbrücken enthielten die Mittheilungen des Architekten- und Ingenieur-Vereins für Böhmen im Jahre 1868 eine Abhandlung von Prof. E. Winkler, in welcher Formeln entwickelt werden, welche für eine Einzel-last den Horizontalschub und die Lage der Stützlinie liefern,

samt Tabellen zur Erleichterung der Rechnung, während die Ermittlung der gefährlichsten Belastung, die Construction der Stützlinie, die Gurtspannungen u. s. w. graphisch ermittelt werden. Der Verfasser der vorliegenden Abhandlung führt nun zunächst diese Theorie vor, wird aber dann auch eine graphische Methode darlegen, durch welche die Benutzung von Tabellen entbehrlich gemacht wird, wie dies mit Bogen mit zwei Gelenken von Mohr bereits im Jahrg. 1870 der Zeitschrift des Architekten- und Ingenieur-Vereins zu Hannover gezeigt worden ist.

Zeitschrift des Vereines deutscher Ingenieure. 1874.
Band XVIII, Heft 4 bis 6.

Werner, von der Wiener Weltausstellung. — Schluß des Artikels, in welchem die Federregulatoren und der Dampfentwässerungsapparat des Herrn Verfassers besprochen werden. Bei letzterem geschieht die Abscheidung des Wassers durch die Wirkung der Centrifugalkraft auf den Dampfstrom.

Ziebarth, Eisenbahnoberbau von der Wiener Weltausstellung. — Stierlin in Schaffhausen hatte an Stelle der Steinwürfel solche aus einer Mischung von Kieselsteinen und Asphalt ausgestellt. Sie sind im Grundriß kreuzförmig und stützen die Schienen auf 0,6 m Länge mittelst eines in den Block eingegossenen Trägers. Die Construction scheint sowohl in der Vorrichtung zur Erhaltung der Spurweite, als auch in der Form des Blockes mangelhaft und ist noch nicht praktisch erprobt. Von Langschwelleroberräumen war die Construction von Köstlin und Battig im Modell ausgestellt, welche ihrer Kostspieligkeit wegen und wegen der ungenügenden Vorkehrungen gegen den Temperatureinfluß wenig Aussicht auf Verbreitung hat. Von der zweitheiligen Hilfschen Construction waren zwei Modificationen ausgestellt. Bei der einen ist die Schiene mittelst Klemmplatten und Schrauben auf einer T-förmigen Langschwelle befestigt, welche mit der erforderlichen Neigung in die Bettung eingelassen und durch 25 mm starke Rundstangen mit der parallelen Langschwelle verbunden ist. Das Gewicht des completen Gleises beträgt bei 24 k schweren Schienen auf 6 m Länge 693 k. Diese Construction hat sich bis jetzt gut bewährt. Von den Querschwellsystemen war die Construction von A. Pauwart & J. Cabuy in Ixelles bei Brüssel vertreten, bei welcher ein Jords-Eisen von nur 80 mm oberer Breite als Schwelle benutzt wird, auf welcher breitbasige Schienen mittelst zweier den Schienenfuß niederhaltender Doppelhaken, Schienen ohne Fuß aber mittelst umgebogener Unterlagsplatten befestigt werden. Auch das Bautherin'sche System war ausgestellt, sowie die Schaltenbrand'sche Verbesserung desselben, welche bei 40 k schweren Schienen pro 6 m Länge 780 k wiegt.

(Schluß folgt.)

Literatur- und Notizblatt

zu dem zwanzigsten Bande des

Civilingenieur.

Nr. 7 u. 8.

Literatur.

Bau- und Gewerbskalender für das Jahr 1875. Bearbeitet von E. Vardenwerper, Oberingenieur in Berlin. Straßburg im E. Verlag von Moritz Schauenburg 1875.

Dieser hübsch ausgestattete Kalender, für dessen Brauchbarkeit schon der Umstand, daß er bereits seinen achten Jahrgang erlebt hat, günstiges Zeugniß ablegt, zeichnet sich in der neuesten Auflage besonders durch eine vollständige Kreistabelle (von 0,09 bis 99,99) und eine entsprechende Erweiterung der Tabellen der Quadrate, Cuben u. s. w. aus, läßt überhaupt durchaus das Bestreben erkennen, immer Vollkommeneres zu bieten und den praktischen Bedürfnissen immer besser zu entsprechen.

Kalender für Eisenbahn-Techniker. Bearbeitet unter Mitwirkung von Fachgenossen durch E. Heusinger von Waldegg, Oberingenieur in Hannover und Redacteur des technischen Organs des Vereins deutscher Eisenbahn-Verwaltungen. Zweiter Jahrgang 1875. Nebst 1 Eisenbahnkarte in 2 Blättern und 44 Holzschnitten, sowie verschiedenen andern Beilagen. Wiesbaden. C. W. Kreidel's Verlag.

Wie der erste Jahrgang dieses Kalenders, so ist auch der vorliegende zweite Jahrgang desselben ganz vorzüglich zusammengestellt und reich an praktischen Notizen und vielem auf Reisen wünschenswerthem Nachschlage-Materiale. Viele Tabellen haben eine zweckmäßigere Anordnung und Ausdehnung erhalten, andere sind ganz neu hinzugekommen, besonders ist aber hervorzuheben die Aufnahme der preussischen Normen für Aufstellung von Bahnhofprojecten, der österreich. Bestimmungen über Abfassung und Vorlage von Eisenbahnprojecten und eisernen Brücken, der neuen zweckmäßigen Methode des Massen-Nivellements von Prof. Launhardt, der württembergischen Belastungsnormen für Locomotiven und der Preisnotizen von Maschinenmeister G. Meyer, auch sind die Personalveränderungen nachgetragen und bei anderen Tabellen mancherlei Verichtigungen angebracht worden.

Kohlen-, Bau-, Fräs- oder Schräg-Maschinen und Kohlenbrecher. Von Heinrich Simon, Civilingenieur in Manchester. Separatabdruck aus der Zeitschrift des Berg- und hüttenmännischen Vereins

für Kärnthén 1874. Klagenfurt 1874. Verfschinger u. Heyn.

Eine kurze Broschüre mit guten Beschreibungen und ein Paar Tafeln Abbildungen der Kohlenschrämmaschinen von Gillois & Copley, Winstanley, Gleadhill, Clapp u. Firth nebst einigen, allerdings nur spärlichen Notizen über deren Leistung und Kosten.

Die Canalwasser- (Sewage) Bewässerung in Deutschland. Vorschläge zum rationellen Großbetrieb. Nach vierjährigen Erfahrungen und Beobachtungen auf der Canalwasser-Veriefelungs-Station zu Schmintsch bei Danzig. Von Ad. Fegebeutel, Civilingenieur in Danzig. Danzig, Verlag und Druck von A. W. Rasemann 1874.

Der Herr Verfasser, der durch seine im Jahre 1870 unter demselben Titel erschienene Schrift eine eingehende Kenntniß der im Auslande befindlichen Canalwasserbewässerungen documentirt hat, bietet in vorliegendem Schriftchen eine vorurtheilsfreie Darlegung der Erfahrungen, welche man bei Danzig über diese Bewässerungen gesammelt hat, und Vorschläge darüber, wo und wie solche Veriefelungen in Deutschland nutzbringend einzurichten sein dürften. Das Studium dieses Werkes möge Niemand unterlassen, der sich über diese jetzt soviel ventilirte und hochwichtige Frage ein richtiges Urtheil bilden will.

Selection from the new technical literature of England.

A reading book for the use of technical schools and private studies of technicians. With a vocabulary and 27 wood cuts. Auswahl aus der neuern technischen Literatur Englands. Ein Lesebuch für technische Lehranstalten, sowie zum Selbststudium für Techniker. Von G. Eger, Professor am Großh. Polytechnikum zu Darmstadt und beeidigtem Uebersetzer der großherzogl. Civil-Ministerien. Mit einem Vorworte von A. von Raven, Direktor der königl. polytechnischen Schule zu Aachen. Heidelberg, Carl Winters Universitäts-Buchhandlung. 1874.

Obwohl auf den technischen Bildungsanstalten und besonders auf den dazu vorbereitenden Schulen viel Fleiß auf Erlernung der englischen Sprache verwandt wird, so war doch den Schülern bisher noch wenig Gelegenheit geboten, sich mit der technisch wissenschaftlichen Sprache Englands bekannt zu machen. Vorliegende Sammlung interessanter Aufsätze verschiedener englischer Schriftsteller aus dem Gebiete

der Architektur, des Ingenieur- und Maschinenwesens, des Fabrik- und Telegraphenwesens, des Wasser- und Schiffsbaues u. s. w. kann als ein erster gelungener Versuch bezeichnet werden, diese Lücke auszufüllen, und wird sicher soviel Anklang finden, daß sie bei späteren Auflagen immer mehr vervollständigt und vervollkommenet werden wird.

Mechanische Technologie für den Unterricht an polytechnischen und Realschulen, sowie zum Selbststudium für Fabrikanten und Industrielle bearbeitet von D. Grotthe, Professor an der polytechnischen Schule in Delft. Goringhem, Verlag von J. Noorduyt u. Sohn. 1874. In Commission bei F. A. Brochhaus in Leipzig.

Wenn wir bemerken, daß der Altmeister der deutschen mechanischen Technologie, Herr Director Karmarsch in Hannover, den Verfasser obigen, ursprünglich in holländischer Sprache geschriebenen Werkes veranlaßt hat, dasselbe in die deutsche Sprache zu übersetzen, weil es die richtige Mitte zwischen großer Ausführlichkeit und ärmlischer Oberflächlichkeit halte und durch seine originelle, frische und faßliche Darstellung einer großen Mehrzahl von Wißbegierigen besser als ähnliche Werke mäßigen Umfanges entsprechen werde, so brauchen wir unsererseits Nichts weiter zur Empfehlung desselben beizufügen, wollen jedoch noch hervorheben, daß von der holländischen Ausgabe 1866 die erste und bereits 1872 die zweite Auflage erschienen ist.

Wochenlohnstabelle für Ingenieure, Architekten, Bauunternehmer, Fabrikbesitzer, Handwerker u. A. nach Stunden in Mark und Pfennigen berechnet von Bruno Veith, Maurermeister. Dels. Verlag von A. Grüneberger & Co. 1874.

Diese im Taschenformat, aber auch in größerem Format für Comptoirgebrauch erschienene Tabelle enthält das Lohn ausgerechnet für den Satz von 5 bis 44 Pfennigen und für 1 bis 90 Stunden.

Leonardo da Vinci als Ingenieur und Philosoph. Ein Beitrag zur Geschichte der Technik und der inductiven Wissenschaften von Dr. Hermann Grotthe. Mit 77 Holzschnitten und einer Facsimiletafel. Berlin. Nicolaische Verlagssbuchhandlung (Stricker). 1874.

In dieser interessanten geschichtlichen Abhandlung, welche im Verein für Gewerbleiß in Preußen vorgetragen worden ist und vielen Beifall gefunden hat, werden die Verdienste des berühmten Malers Leonardo da Vinci für die Naturwissenschaften und die Technologie nach Notizen und Skizzen aus dessen hinterlassenen Manuscripten näher dargelegt, wodurch neues überraschendes Licht auf die Geschichte seiner Zeit geworfen und nachgewiesen wird, daß dieser große Maler über viele Naturgesetze eine unserer Zeit nahestehende Kenntniß besaß und diese bei einer Reihe nützlicher Erfindungen angewandt hat, sowie daß seine Zeit durchaus viel weiter vorgeschritten war, als zeither angenommen wurde. Der Herr Verfasser hat sich durch diese mühevollen Arbeit große Verdienste um die Geschichte der inductiven Wissenschaften und der Technik erworben.

Der Tunnelbau. Vorlesungen über Tunnelbau an den k. k. technischen Hochschulen zu Wien und Brünn von

Johann Georg Schön, o. ö. Professor des Wasser-, Straßen- und Eisenbahnbaues an der k. k. technischen Hochschule zu Brünn. Zweite vermehrte Auflage. Mit 86 in den Text eingedruckten Holzschnitten nebst Atlas, enthaltend 29 lithographirte Tafeln. Wien, 1874. Alfred Hölder, Beck'sche Universitätsbuchhandlung.

Von der vorliegenden zweiten Auflage obigen Werkes kann gerühmt werden, daß sie nicht bloß in Bezug auf äußere Ausstattung des Textes und des Atlas, sondern auch bezüglich des Inhaltes sehr große Verbesserungen und Erweiterungen erfahren hat, und da schon die erste Auflage rasch vergriffen gewesen ist, so kann das Buch in seiner jetzigen Gestalt noch mehr auf eine freundliche Aufnahme rechnen.

Die Fördermaschinen der Bergwerke. Von Julius Ritter von Hauer, Professor der Berg- und Hüttenmaschinenlehre an der k. k. Bergakademie zu Leoben. Zweite vermehrte und zum Theil umgearbeitete Auflage. Mit einem Atlas von 40 lithographirten Tafeln. Leipzig. Verlag von Arthur Felix. 1874.

Obiges Werk hat so rasch Anerkennung und Aufnahme gefunden, daß nach drei Jahren bereits eine zweite Auflage nöthig geworden ist, bei welcher sich aber der Herr Verfasser nicht damit begnügt hat, etwaige Druckfehler der ersten Auflage zu beseitigen und einige Zusätze über die jüngsten Fortschritte in der Förderung beizufügen, sondern welche in mehreren Abschnitten eine ganz neue Bearbeitung erkennen läßt, so namentlich bei dem Capitel über Fördergefäße und Bahnen, bei dem Abschnitt über Steuerungen, bei demjenigen über die zur geneigten und zur Horizontalförderung dienenden Maschinen u. s. w. Der letztere bringt unseres Wissens die erste Theorie der Seileisenbahnen. Ueberdies sind alle neueren Entdeckungen und Verbesserungen, sowie die Literatur bis auf die neueste Zeit nachgetragen, auch ist durch ein gutes Register und durch deutlicheres Hervorheben der Stichwörter in Texten das Nachschlagen sehr erleichtert worden, und endlich hat der Atlas eine bedeutende Zahl neuer Tafeln erhalten.

Zum theoretisch-praktischen Studium der durch einfach wirkende Maschinen betriebenen Pumpwerke. Von Joseph Grubár, Professor an der k. k. Bergakademie in Pribram. Mit 1 Tafel. Wien 1874. Alfred Hölder, Beck'sche Universitäts-Buchhandlung.

Es ist sehr erfreulich, daß diese gediegene Abhandlung, welche zuerst im 3. Hefte des „Berg- und hüttenmännischen Jahrbuchs“ auf 1874 erschienen ist, durch diesen Separat-Abdruck auch weiteren Kreisen zugänglich gemacht wird, indem dieselbe verschiedene Fragen bezüglich der Dampfkünste behandelt, die bisher noch nicht eingehend studirt, oder falsch aufgefaßt worden waren, und namentlich den Hochkolg'schen Krafstregenerator vom theoretischen und praktischen Standpunkte aus gründlich beleuchtet.

Jahrbuch der Erfindungen und Fortschritte auf den Gebieten der Physik und Chemie, der Technologie und Mechanik, der Astronomie und Meteorologie.

Herausgegeben von Dr. S. Hirzel, Professor an der Universität Leipzig und Dr. S. Gretschel, Professor an der Bergakademie Freiberg. Zehnter Jahrgang. Mit 27 in den Text gedruckten Abbildungen. Leipzig. Verlag von Quandt & Händel. 1874.

Auch der vorliegende Jahrgang des „Jahrbuches der Erfindungen“ kann nur dazu dienen, demselben immer mehr Freunde zu gewinnen. Für viel beschäftigte Ingenieure und Techniker bietet dieses mit großer Sorgfalt und Gewissenhaftigkeit gearbeitete Jahrbuch in der That ein unschätzbares Mittel, um sich über die Fortschritte der Wissenschaft zu orientiren und auf dem Laufenden zu erhalten.

Die Schiebersteuerungen. Mit besonderer Berücksichtigung der Locomotiv-Steuerungen. Von Dr. Gustav Zeuner, Königl. Sächs. Geheimer Berg-rath, Professor der Mechanik und theoretischen Maschinenlehre, Director des Königl. Polytechnicums zu Dresden und der Königl. Bergakademie zu Freiberg, Ehrenmitglied des Vereines deutscher Ingenieure, des Sächs. Ingenieur- und Architektenvereines, der Schweiz. naturforschenden Gesellschaft u. s. w., Mitglied der Königl. Schwedischen Akademie der Wissenschaften in Stockholm, der Kaiserl. naturforschenden Gesellschaft in Moskau u. s. w. Vierte verbesserte und vermehrte Auflage. Mit 58 in den Text eingedruckten Holzschnitten und 6 lithographirten Tafeln. Leipzig. Verlag von Arthur Felix. 1874.

Obwohl „Zeuner's Schiebersteuerungen“ bereits in ihrer dritten Auflage als ein kaum noch einer Verbesserung fähiges Werk erschienen, so ist doch die vorliegende 4. Auflage nicht bloß in ihrer äußeren Ausstattung eleganter und bezüglich der zweckmäßigen Anfügung des Atlas an das Buch verbessert worden, sondern es hat auch der Inhalt dieses vorzüglichen Werkes eine wesentliche Verbesserung und Vermehrung erfahren, indem der Abschnitt über die Doppelschiebersteuerungen ganz neu bearbeitet und gegen früher um die Steuerungen von Georges, Bréval, Guinotte, Napier, Rankine und Farcot bereichert worden ist. Von sonstigen Zusätzen ist namentlich die sehr interessante allgemeine Behandlung der drei Coulissensteuerungen von Good, Stephenson und Allan hervorzuheben, auch ist die einschlägige Literatur bis auf die neueste Zeit berücksichtigt.

Lehrbuch der physikalischen Mechanik von Dr. Heinrich Buff, Professor der Physik an der Universität Gießen. Zweiter Theil, zweite Abtheilung. Braunschweig, Druck und Verlag von Friedrich Vieweg und Sohn. 1874.

In dieser Lieferung obigen Werkes, welche den Schluß desselben bildet, wird von den gasförmig flüssigen Körpern und ihrem Verhalten im Gleichgewichtszustande, sowie im Bewegungszustande und von der Bewegung tropfbar flüssiger Körper gehandelt, also von Abschnitten der Mechanik, bei denen die physikalische Auffassung ganz besonders geboten ist und namentlich bei elementarer Behandlung des Gegenstandes in den Vordergrund gestellt werden muß. Beigefügte Beispiele zeigen die Anwendung der vorgetragenen Lehren auf

die Praxis. Das nunmehr vollendete Werk erscheint als eine sehr nützliche und willkommene Ergänzung für viele Lehrbücher der Physik, aber auch der Mechanik.

Dictionnaire technologique français-allemand-anglais, contenant les termes techniques employés dans les arts et métiers, l'architecture civile, militaire et navale, les ponts et chaussées et les chemins de fer, la mécanique, la construction des machines, l'artillerie, la navigation, les mines et les usines, les mathématiques, la physique, la chimie, la minéralogie etc. Par E. Althans, L. Bach, F. C. Glaser, J. Hartmann, E. Heusinger de Waldegg, E. Hoyer, G. Leonhard, F. E. Mathiessen, O. Mothes, G. A. Oppermann, C. Rumpf, F. Sandberger, B. Schönfelder, G. Ph. Thaulow, W. Unverzagt, H. Wedding. Publié par Oscar Mothes. Précédé d'une préface par M. Charles Karmarsch, premier directeur de l'école polytechnique de Hannover. Deuxième Edition, revue, corrigée et considérablement augmentée. Wiesbaden. C. F. Kreidel, éditeur. 1874.

Ein Werk, wie das vorliegende, kann nur nach und nach zur höchsten Vollständigkeit gelangen, wenn sich aber, wie hier, eine größere Zahl gewissenhafter Fachmänner vereinigen, um dieses Ziel zu erreichen, so kann der Erfolg auch nicht ausbleiben und wir sehen bereits an dieser zweiten Auflage so vorzügliche Früchte dieses Strebens, daß wir die technische Literatur nur über den Besitz dieses Lexicons beglückwünschen können.

Die Brücken der Gegenwart. Systematisch geordnete Sammlung der geläufigsten neueren Brückenconstructionen, gezeichnet von Studirenden des Brückenbaues an der Königl. rheinisch westphälischen polytechnischen Schule zu Aachen. Zum Gebrauch bei Vorlesungen und Privatstudien über Brückenbau, sowie bei dem Berechnen, Entwerfen und Veranschlagen von Brücken zusammengestellt und mit Text begleitet von Dr. F. Heizerling, Königl. Baurath und Professor an der rheinisch westphälischen polytechnischen Schule zu Aachen. Erste Abtheilung. Eiserne Brücken. Heft 2. Eiserne Balkenbrücken mit parallelen Gurten und gegliederten Wandungen. Mit 6 lithographirten Tafeln in groß Doppelfolio und 12 Bogen Text mit 62 Holzschnitten. Aachen. Verlag von J. A. Mayer. 1874.

In gleich vorzüglicher Weise, wie im ersten Hefte der „Brücken der Gegenwart“, werden in diesem zweiten Hefte die Parallelträgerbrücken mit gegliederten Wandungen behandelt. Nach einer kurzen Uebersicht über die Entwicklung dieser Brücken wird sowohl die exacte statische Berechnung derselben, als auch die angenäherte Bestimmung der größten Angriffsmomente und Verticalschieferkräfte vorgetragen, wobei durch Einführung von Belastungsäquivalenten und tabellarischen Zusammenstellungen bequemere Rechnungsmethoden er-

möglichst werden. Dann wird die Anordnung derartiger Brücken im Allgemeinen, sowie der Gurte, Stäbe und ihrer Verbindungen im Speciellen durchgegangen und zuletzt die Beschreibung und Darstellung von sechs verschiedenen neueren Brücken nebst numerischer und Gewichtsberechnung mitgetheilt, woran sich einige Bemerkungen über Kostenberechnung, Ausführung, Prüfung und Unterhaltung von Gitter- und Fachwerksbrücken anschließen.

Fromme's Oesterreichischer Ingenieur-Kalender für das Jahr 1875. Erster Jahrgang. Redigirt von Josef von Stummer-Traunsfels, Herausgeber und Redacteur von Engineering. Deutsche Ausgabe. Wien. Druck und Verlag von Carl Fromme.

Dieses Taschenbuch enthält Mancherlei, was sonst in ähnlichen Werken nicht zu finden ist, z. B. Formeln aus der Optik, Höhenmessen, Schifffahrt, Kraftverbrauch bei Werkzeugmaschinen, Notizen aus der land- und forstwirtschaftlichen Technik, Angaben über Industriegesellschaften, Transportunternehmungen, Ziehungen u. dergl. mehr, ohne dieserhalb umständlicher oder minder übersichtlich zu sein, ist aber selbstverständlich mit besonderer Rücksicht auf österreichische Ingenieure abgefaßt.

Referate aus technischen Zeitschriften.

Zeitschrift des Vereines deutscher Ingenieure. 1874. Band XVIII, Heft 4 bis 6.

Herrmann, aus der Maschinenhalle der Wiener Weltausstellung. — Der Herr Verfasser war Mitglied der internationalen Jury für Section 2^b, Gruppe XIII, also für die Maschinen der Textilindustrie, Nähmaschinen, Papierfabrikation und Verarbeitung des Papiers, Typographie und Lithographie, Verarbeitung des Leders. In dem Berichte über diese umfangreiche Branche des Maschinenwesens wird naturgemäß nur auf die neuen und interessanten Erscheinungen eingegangen, auch sind davon nur Skizzen mitgetheilt.

Därre, das Eisenhüttenwesen auf der Wiener Weltausstellung. — Obwohl auf der Ausstellung Producte und Materialien Nichts wesentlich Neues zeigten, so waren dieselben doch qualitativ und quantitativ ausgezeichnet, als bei früheren Ausstellungen. Bezüglich der Anordnung der Ausstellung dieser Branche blieb aber sehr viel zu wünschen übrig, sodaß eine Vergleichung fast bis zur Unmöglichkeit erschwert wurde. Ebenso war der Generalcatalog sehr mangelhaft, sodaß fast nur die Landes- und Specialcataloge zu gebrauchen waren. Der Herr Verfasser bespricht zuerst kurz die bereits veröffentlichten Berichte von Kuppelwieser, Kerpely, Schott u. s. w. und geht dann auf Statistisches über, der Bericht ist aber noch nicht abgeschlossen.

Kübler, Bestimmung der Größe der Rollen oder Pendel in den Rollenaufslagern der Brücken. — Bedeutet l die beiden Cylinder gemeinsame Länge, r_1 u. r_2 die Halbmesser, E_1 u. E_2 die Elasticitätsmodulen, k die zulässige Pressung und P die Kraft, mit welcher die Cylinder

gegen einander gepreßt werden, so erhält der Herr Verfasser die Gleichung

$$\frac{1}{r_2} - \frac{1}{r_1} < \left(\frac{1}{E_1} + \frac{1}{E_2} \right) \frac{k^2 l^2}{P^2},$$

welche, wenn der eine Cylinder, wie gewöhnlich, in eine Ebene übergeht, also $r_1 = \infty$ wird, sich vereinfacht auf:

$$\frac{1}{r} < \left(\frac{1}{E_1} + \frac{1}{E_2} \right) \frac{k^2 l^2}{P^2}.$$

Heusinger von Waldegg, verbesserte schmiedeeiserne Doppelscheibenräder. — Diese Räder bestehen aus zwei convex ausgetriebenen 10^{mm} starken schmiedeeisernen Scheiben mit angeschweißten halben Raben und einer T-förmigen Bandage mit Spurkranz. Erstere Scheiben sind genau auf den inneren Durchmesser des Radkranzes abgedreht und werden zu beiden Seiten der Rippe eingesprengt, wobei die beiden Hälften der Nabe, von denen die eine mit einem vorspringenden Rande, die andre mit einer entsprechenden Ruth versehen ist, in einander greifen. Zur Verbindung der Scheiben mit dem Radkranz sowie der beiden Hälften an der Nabe dient warme Vernietung und drei eingelegte stählerne Schließkeile mit Haken. Eine Vereinfachung der Construction dieser Räder besteht noch darin, daß die Nabe ganz mit der einen Scheibe verbunden und die andere Scheibe rothglühend übergeschoben und durch einen vorgeschobenen Ring aus Flachseisen an der Nabe festgehalten ist. Derartige Räder geben dem Radreis längs der ganzen Peripherie eine feste Unterstützung, durchschneiden die Luft mit geringem Widerstande, besitzen eine große seitliche Steifigkeit und eine sehr solide Befestigung an der Nabe, sowie am Radkranz, sind frei von unnatürlichen Spannungen und aus jähem Material gefertigt, lassen endlich eine leichte Auswechselung der Bandage zu.

Fischer, Beurtheilung von Speisewässern. — Clark hat zuerst das Kaltwasser zum Füllen in Vorschlag gebracht und dieses Verfahren ist für Wasser, welches vorwiegend Calciumbicarbonat enthält, sehr empfehlenswerth, die Kaltmilch darf aber nicht in den Kessel gebracht werden. Für Wasser, welches vorwiegend schwefelsauren Kalk enthält, ist Chlorbarium anzuwenden, welches einen Niederschlag von schwefelsaurem Baryt bewirkt und leicht lösliches Chlorcalcium in der Flüssigkeit läßt. Die gleichzeitige Verwendung von Kaltmilch und Chlorbarium, in welcher das de Haen'sche Verfahren besteht, wird also als bestes Gegenmittel gegen Kesselstein zu empfehlen sein.

Ludewig, das technische Unterrichtswesen auf der Weltausstellung in Wien. — (Fortsetzung). Als beste Schulmodelle sind meist die Industrieproducte selbst zu bezeichnen und so lange hölzerne Modelle nicht zu schwer transportabel ausfallen, sollten sie nicht in verkleinertem Maasstabe ausgeführt werden. Die ausgestellten Modelle von 3. Schrädräder in Darmstadt waren meist in zu kleinem Maasstabe angefertigt. Dagegen waren die Modelle der Lehrwerkstätte der kais. technischen Schule zu Moskau sehr zu rühmen. Dieselben umfassen eine Sammlung der bei der betreffenden Arbeit angewendeten Werkzeuge, dann eine Sammlung, an welcher auf systematischem und stufenweise fortschreitendem Wege die Schüler die verschiedenen Handgriffe in der Arbeit erlernen sollen, endlich eine Sammlung, welche die verschiedenen Stadien jeder Arbeit repräsentirt. Auch die

von der Grazer Akademie für Handel und Industrie aufgestellten Modelle waren von zweckmäßiger Größe und Ausführung. Von kinematischen Modellen zeichneten sich diejenigen der Berliner Gewerbeakademie sehr aus, auch diejenigen des Schröder'schen Institutes. Erstere sind nicht sowohl Modelle zur Vorzeigung vor einem größeren Auditorium, als Experimentirapparate. Bei der Ausstellung von Schülerarbeiten sollten allgemein drehbare Fächergestelle Verwendung finden, wie dies die Hamburger Gewerbeschule gethan hatte. An graphischen Arbeiten waren Nachschriftsbeiste und Uebungsarbeiten im Maschinzeichnen, aber wenige Schülerentwürfe vorhanden und Letztere nicht ausführlich genug, um daraus den Unterrichtsengang im Construiren erkennen zu können. Vergleichen der Leistungen des deutschen technischen Schulwesens im Maschinzeichnenunterricht und der dabei befolgten Methoden waren daher nicht möglich. Uebrigens hatte Württemberg die großartigste Ausstellung geliefert.

Hänlein, lenkbares Luftschiff. — Annähernd ist zur Fortbewegung eines Körpers in der Luft $\frac{1}{800}$ von der Kraft erforderlich, welche ein congruenter Körper bei gleicher Geschwindigkeit im Wasser verlangt, und der Motor für einen Ballon beansprucht ungefähr den gleichen Procentsatz von der Tragkraft des Ballons als eine Schiffsmaschine von der Tragkraft des Schiffes, so daß ein Ballon zur Erzielung derselben Geschwindigkeit wie ein Schiff im Wasser nur $\frac{1}{800}$ soviel Kraft beansprucht als die Schiffsmaschine. Allerdings ist hierbei vorausgesetzt, daß eine Luftschraube denselben Wirkungsgrad giebt als eine Schiffsschraube, was noch nicht nachgewiesen ist, und daß ein Ballon verhältnißmäßig denselben Widerstand hat, als ein Schiff, was etwas zweifelhaft ist, allein beiden Umständen wird es möglich sein, Rechnung zu tragen. Was den Luftwiderstand anlangt, so ist derselbe bei vorn und hinten zugespitzten Ballons sehr gering und obgleich der Druck des Windes bis zu 278^k pro Quadratmeter anwachsen kann, so dürfte derselbe im Mittel nicht über 0,1 bis 0,8^k betragen. Da der Ballon in der Luft schwimmt, so ist in demselben von der Geschwindigkeit der umgebenden Luft Nichts zu bemerken, sondern nur dessen relative Geschwindigkeit wahrnehmbar und nach dieser auch nur die Kraft zur Bewegung des Ballons zu bemessen. Als motorische Kraft erscheint die Gasmaschine am geeignetsten und auf diese Combination hat der Herr Verfasser bereits im April 1865 ein Patent genommen. Ein im Jahre 1872 erbautes Luftschiff, über welches unsere Quelle Zeichnungen und Angaben enthält, besitzt einen Ballon von 2408^{cbm} Inhalt und 1565 bis 2629^k Tragkraft (je nachdem Gas von 0,5 oder 0,16 spec. Gew. verwendet wird), welcher incl. einer Gasmaschine von 233 und einer Luftmaschine von 79^k Gewicht 1406^k schwer ist, also mit schwerem Leuchtgas gefüllt noch 2 Personen sammt Ballast zu tragen im Stande ist. Das Gewicht pro Quadratmeter Oberfläche beträgt 306^g. Die Gasmaschine besaß 5,3^{cm} Kolbendurchmesser, 10^{cm} Hub und 0,07 Pferdekraft Stärke, die Luftschraube aber hatte 1,7^m Durchmesser und erzielte im Maximum 1,5^m Geschwindigkeit. Als Verbesserungen könnte man noch anwenden, 1. die Füllung

mit Wasserstoffgas anstatt Leuchtgas, 2. eine leichtere Herstellung der Gasmaschine mit Hilfe von gußstählernen Cylindern, Gradführungen u. s. w., 3. die Construction des Rahmwerkes, Ruders, der Gondel u. s. w. aus Bambusrohr, 4. die Anfertigung des Ballons sammt Netz und Schnüren aus der besten Seide.

Ziebarth, Mittheilungen von der Wiener Weltausstellung. — Bezüglich des Siemens'schen Dampfmotors wird bemerkt, daß derselbe gar nicht in eine Kategorie mit den Dampfmaschinen gehöre, da der Dampf nicht durch seine Expansivkraft, sondern durch den Unterschied zwischen seinem specifischen Gewichte und demjenigen des umgebenden Wassers wirke und die Rotation wie bei einem oberflächigen Wasserrade dadurch hervorgebracht werden, daß der Schwerpunkt des Systemes außerhalb der Verticalen durch die Drehaxe falle. Auch der calorische Motor von Siemens sei nach demselben Princip gebaut, aber ebensowenig über das Versuchsstadium hinausgebracht. — Die Kettenziegel von Bavy sind besonders zur Herstellung runder Bauwerke, Schornsteine u. dergl. bestimmt und sollen bei weit geringerer Wandstärke genügende Festigkeit geben. Noch vollkommener sind die Kettenziegel von A. J. Freund in Wien, welche nicht nur in der Längsrichtung durch schwalbenschwanzförmige Bindesteine, sondern auch mit den darunter und darüber liegenden Schichten durch Ruth und Feder verbunden sind. — Eine bemerkenswerthe Construction bot auch der nach den Plänen von Prof. Grimburg ausgeführte Wasserturm, welcher aus 8 in den Ecken eines achteckigen steinernen Sockels aufgestellten gußeisernen Säulen bestand und in 33,3^m Höhe ein Wasserbassin trug. Die Säulen waren im Lichten 350^{mm} weit, im Fleisch 25^{mm} stark und durch Flanschen und Querträger in acht Stockwerken unter einander verbunden. Das oberste Stockwerk trug auf Consolen eine äußere Galerie, welche durch eine bequeme Treppe zugänglich war. Das 7,6^m weite, 5,8^m hohe Wasserbassin mit 250^{cbm} Fassungsraum war aus 7^{mm} starkem Blech und Winkelleisen construirt und ruhte auf einem ringumlaufenden 200^{mm} hohen gußeisernen Kranze.

Die Entfernung der städtischen Abfallstoffe. — Nach den Reiseberichten Lehfeldt's herrscht auch in England bezüglich dieser Frage noch keine übereinstimmende Meinung, indem man dem Schwemmsystem vorwirft, daß es zu kostspielig sei, das Untergrundwasser vergifte, schädliche Gase austreten lasse, und hauptsächlich darin nicht befriedige, daß noch keine überall anwendbare ökonomische Verwerthung und Reinigung des Wassers gefunden sei. Die theilweise Trennung der festen Excrementalstoffe von den flüssigen verursache abermals neue Kosten und Schwierigkeiten. Zweckmäßig erscheine die Getrennthaltung des Regen-, Grund- und Gewitterwassers, weil dann mit kleineren und aus unburchdringlichem Material herstellbaren Canälen auszukommen, auch eine bessere Spülung möglich sei. Alle chemischen Reinigungsmethoden sind bis jetzt als mangelhaft erkannt worden, doch scheint der Phosphate-Sewage-Proceß eine willkommene Beihülfe für Veriefelungen zu versprechen. Die trockenen Methoden, namentlich das Moule'sche Erdcloset, dürfte sich für kleinere Städte und isolirte Localitäten empfehlen, und macht auch, da statt der Erde, die Asche von Torf und Kohlen mit Erde gemischt verwendbar ist, nicht soviel Schwierigkeiten, setzt aber ein regelmäßiges Abfuhrsystem voraus. Das einfache Tonnenabfuhrsystem verlangt

eine häufigere Abfuhr, gute Ventilation mittelst Schornstein und Desinfection bei jedesmaligem Auswechseln der Gefäße, auch müssen die flüssigen Küchenabfälle und Waschwasser von der Grube fern gehalten werden.

Elsäßer, die praktische Ausbildung junger Maschinentechniker. — Dieser wichtige Gegenstand wird mit specieller Bezugnahme auf die polytechnische Schule in Moskau abgehandelt, deren Modellsammlung auf der Wiener Weltausstellung verdientes Aufsehen erregte.

Paschen, über Ausnutzung der Hohofenschladen. — Um dem unaufhörlichen Anwachsen der Schladenhalben vorzubeugen, hat man sich besonders in Deutschland schon lange bemüht, eine praktische Verwerthung der Schladen aufzufinden. Die wichtigste Verwendung ist bis jetzt die Darstellung von Schladenkies, welche darin besteht, daß man die flüssige Schlade in Wasser fließen läßt, wobei aus jener Schlade ein himsteinartiger Kies erhalten wird. Dieser Kies giebt ein vorzügliches Bettungsmaterial für Eisenbahnschwellen, eignet sich aber besonders zur Ziegel- und Mörtelbereitung, indem die mit der Dampfpresse aus trocken gepochtem Kalk und nassem Schladenkies gefertigten Ziegel gleiche Festigkeit wie gewöhnliche Ziegel besitzen und sehr gesunde, trockene und warme Häuser geben. Zum Ausschöpfen des Kiesel aus dem Wasserbassin hat der Herr Verfasser auf der Georg Marienhütte ein durch Zeichnungen dargestelltes großes Schöpfrad aufgestellt, welches stündlich 72 Ctr. Schlade zu heben vermag, auch wird daselbst ein verbesserter Wood'scher Granulationsapparat gebaut, bei welchem das Granuliren im Schöpfgrade selbst erfolgt.

Kollmann, über den Puddelproceß. — Untersuchungen der Schladen- und Eisenproben einer oberschlesischen Hütte bei der Arbeit auf körniges Eisen und Discussion der Ergebnisse. Hiernach findet die stärkste Entkohlung des Eisens während des Umförens statt und während des Einschmelzens bleibt der Kohlenstoffgehalt des Roheisens unverändert, geht aber in den gebundenen Zustand über.

Wellner, der Voreilungsplattenschieber. — Zur Vermeidung des mit den gewöhnlichen Umsteuerungsvorrichtungen der Fördermaschinen mittelst Schiebern ohne Voreilung verbundenen Nachtheile schaltet der Herr Verfasser zwischen den Schieberspiegel und den Vertheilungsschieber eine einfache Platte mit Nasen und Schlitzen ein, welche den Canälen des Schieberspiegels entsprechen. Diese Platte wird vom Schieber um soviel mitgenommen, als die doppelte Voreilung beträgt, also erfolgen Dampfeintritt und Dampfaustritt mit Voreilung.

Bremser, über Abteufspumpen. — Für verartige Pumpen verdient sehr häufig nicht die den besten Nugeffect gebende, sondern diejenige Construction den Vorzug, welche den geringsten Zeitaufwand und die geringste Schwierigkeit beim Fortrücken und die meiste Sicherheit gegen Betriebs-

störungen bietet. Deshalb sind alle zweiarigen Pumpen weniger zweckmäßig als die einiarigen und die Plungerpumpen wieder den Kolbenpumpen, ja selbst die alten einfachen Saugsägen den neueren Hubsägen nachzustellen, sofern die zu hebenden Wassermengen nicht bedeutend sind. Andererseits haben die einiarigen Hubsägen gegenüber den zweiarigen den Nachtheil, daß das Gestänge versteckt ist, und es hängt daher die Entscheidung zwischen diesen beiden Pumpensystemen davon ab, wie rasch der Wasseraufgang im Schachte stattfindet. Für Schachtteufspumpen ist deshalb auch nicht immer mit dem gewöhnlichen Schläucher auszukommen, sondern man wendet zwei Schläucher, einen unter, den andern über dem Kolbenrohre an, am besten aber Senkzeuge. Besondere Beachtung verdient das Rittinger'sche System von einiarigen Pumpen, da dasselbe, wie hier eingehend dargestellt wird, sehr wenig Raum beansprucht, die Schachtzimmerung nicht belastet, die Ausgleichung der Bewegung ohne Gegengewichte gestattet und keines besonderen Gestänges bedarf.

Zeitschrift des Oesterreichischen Ingenieur- und Architekten-Vereines. XXVI. Jahrg. 1874. Heft 6—12.

Sauer, automatisches Pautewerk. — Bei den Zugbarrieren der österr. Nordwestbahn ist an einem in unmittelbarer Nähe des Wegüberganges stehenden Pfahle ein Flaschenzug angebracht, welcher in den Drahtzug eingeschaltet ist und aufgezogen werden muß, ehe der Zug auf die Bewegung der Barriere wirkt. Mit einer Rolle dieses Flaschenzuges ist nun das Pautewerk verbunden und dasselbe ertönt daher schon geraume Zeit vor dem Schließen der Barriere.

Kadda, die Ueberdeckung der Hofräume der französischen Ausstellung in Wien. — Die Dachconstruction besteht aus Bohlendbögen von I-förmigem Querschnitt auf welche die Pfetten direct aufgelegt sind, und ist von großer Einfachheit und Festigkeit.

Kadde, Laufgerüste vom Bau der Maschinenhalle und des Industriepalastes in Wien. — Für die Maschinenhalle war ein auf zwei Schienensträngen verstellbares 23,4^m breites, 11,4^m hohes und 8,1^m langes Laufgerüst hergestellt, welches aus einem Paar 3,9^m hoher Gitterträgern bestand, die gegen die beiden vierrädrigen Wagengestelle zu beiden Seiten durch Stiele und Streben abgesteift waren, und so hoch lagen, daß sie das Transmissionsgerüst nicht berührten. Die für die Galerien des Industriepalastes bestimmten Gerüste waren 3. Th. leicht gebaut, da sie bloß als Malergerüste zu dienen hatten, 3. Th. fest und solid. Erstere waren 14,2^m breit, 18^m hoch, 13,3 oder 6,3^m lang, bestanden aus roh gezimmertem Holze und liefen auf zwei Pferdeisenbahnschienen, die festen Gerüste waren 11,4^m breit, 10,1^m hoch und 10,1^m lang, mit treppenförmig angebrachten Dielen versehen und in Etagen abgetheilt, wurden übrigens durch Winden bewegt. Alle diese Rüstungen sind außerordentlich zweckmäßig contruirt.

Heinrich, die Viercylindermaschine. — Wie der Herr Verfasser in einem früheren Artikel nachgewiesen hat, läßt sich bei der dreicylindrigen Paragonmaschine weder ein ökonomisches Expandiren, noch eine gleichförmige Bewegung herstellen, es läßt sich aber durch Combination von

4 Cylindern dasjenige Ziel erreichen, welches dem Erfinder der Paragonmaschine vorgeschwebt zu haben scheint. Bei dieser Combination werden immer zwei um 90° verstellte Kolben zusammen arbeiten, auch läßt sich eine Expansion herstellen, wenn der Dampf nicht in die Centralkammer, sondern in die äußeren Enden der Cylinder eingeführt wird. Unsere Quelle zeigt die Skizze einer in dieser Weise construirten Maschine.

Rudolff, Gasbeleuchtung in belgischen Eisenbahnwaggons. — Das seit 10 Jahren in Belgien eingeführte Camberlain'sche Beleuchtungssystem, welches auch für den Betrieb des Mont-Cenis-Tunnels adoptirt worden ist, verwendet auf 10 Atmosphären comprimirtes Gas, welches in zwei in einem Gepäckwagen stehenden Reservoirs à 2,5 cbm Inhalt enthalten ist und durch einen Regulator austritt, welcher eine konstante Spannung von 5 cm Wassersäule erzeugt. Die Gasleitung ist auf dem Dache des Waggons angebracht und es zweigen sich von da aus enge Röhre nach den Lampen ab, für welche die Spannung durch einen eingeschalteten Moderator auf 1,5 cm Wassersäule herabgezogen wird. Gummischläuche dienen zur Verbindung der Leitungen zwischen zwei Wägen. Specielle Beschreibungen und Zeichnungen sind in unserer Quelle nachzusehen. Die rasche Füllung der Gasbehälter erfolgt mittelst anderer, am Bahnhofe aufgestellter Behälter, in denen sich Gas von 12 Atmosphären Spannung befindet. Der Regulator enthält eine durch Gewichte belastete Kautschukmembrane, welche das Eintrittsventil schließt, wenn sie angespannt wird, und dasselbe wieder öffnet, wenn durch Austritt von Gas die Spannung sinkt. Ein Manometer zeigt die Spannung im Regulator, dient also zur Erkennung etwaiger Unregelmäßigkeiten, ein Wassermanometer giebt ferner die Spannung in der Hauptleitung. In den Bremswagen befinden sich noch Reserve-Gasbehälter mit 60 Liter Inhalt, welche aus der Hauptleitung mit Gas gefüllt werden, und daher auf kurze Zeit den Zug mit Gas versorgen können, wenn derselbe von dem Gepäckwagen mit dem Hauptreservoir getrennt werden sollte. Die Belgische Staatsbahn besitzt eine eigene Gasanstalt, in welcher Gas aus den Abfällen der Stearinkerzenfabriken erzeugt wird, welches auf 0,5 Franc pro 1 cbm zu stehen kommt. Die Einrichtung eines Gepäckwagens kostet 1200, diejenige eines Personenwagens mit 3 Lampen 280 und diejenige eines Bremswagens 150 Francs. Die Flammen verbrauchen stündlich 30 bis 40 l Gas und es stellt sich der Preis der Gasbeleuchtung, auf die Lichtstärke einer Kerze pro Stunde reducirt, zu derjenigen mit gewöhnlichem Gas und mit Nuböl wie 0,1 : 0,14 : 0,30.

Elbebrücke der österr. Nordwestbahn bei Aufig. — Diese Brücke besteht aus der eigentlichen Strombrücke mit zwei Oeffnungen à 71,225 m Lichtweite und einer Oeffnung von 71,2 m Lichtweite, Mittelpfeilern von 3 m Stärke und 9,55 m Breite im Mittel und zwei Trennungspfeilern von 4,5 m Stärke und 7,5 m Breite am Schafte, und aus verschiedenen Uebersetzungen an beiden Ufern mit zusammen 80,58 m Lichtweite, von denen drei Oeffnungen à 19 m Lichtweite am linken und eine eben so weite Oeffnung am rechten Ufer liegen. Die Eisenconstruktion der Strombrücke sind continuirliche Fachwerksträger mit parallelen Gurtungen von 223 m Länge, eingetheilt in Fächer von 3,68 m Länge, 7,36 m hoch und außer zwei Schienengleisen über den Tragwänden noch eine 5 m breite Straßenbahn in der Mitte und einen 1,25 m breiten

Seitenpfad tragend. Die Geleise liegen 17,75 m, die Unterlante der Eisenconstruktion 10,3 m über dem mittleren Wasserspiegel. Die übrigen Oeffnungen sind mit Einzelträgern von 20,72 m Stützweite überdeckt, welche aus Parallelträgern mit 2,072 m Höhe und quadratischen Fächern gebildet sind und 4,5 m von einander entfernt sind. Vom Totalgewicht an 22700 Zollcentnern entfallen 20250 auf die Strombrücke, 2200 auf die Quaibrücken und 250 Ctr. auf die Geländer der Auffahrtsrampen. Bei der Probebelastung, über welche unsere Quelle ausführlich Programm und Protokoll mittheilt, wurden drei Locomotiven mit 4 Meilen Geschwindigkeit über die Brücke gefahren, wobei in den Seitenöffnungen eine Senkung von 23 mm, in der Mittelöffnung eine von 36 mm entstand.

Haddan's einschienige Eisenbahn. — Bei diesem Eisenbahnsystem dient als Unterbau eine 0,65 m hohe, 0,35 m breite Mauer, auf welcher eine 3 cm dicke, in Cement gettete und durch halbrunde Eisenbänder befestigte Bohle liegt. Locomotive und Wagen bestehen aus zwei Hälften, wovon auf jeder Seite der Mauer eine Hälfte liegt. Dazwischen befindet sich ein 0,45 m breiter Raum, in dessen oberem Theile ein einziges auf der Schiene laufendes Rad angebracht ist, während an der Unterseite der Locomotive und am hintersten Wagen des Zuges zwei Paar horizontale belebte Räder befestigt sind, welche an der Mauer laufen und durch Schraube und Hebel gegen dieselbe angepreßt werden können. Das Gewicht der Maschine beträgt 8 Ctr. pro laufendes Meter, die Länge 7,31 m. Die Wagen sind unter einander gelenkig mit langen Knippen verbunden und der ganze Zug wird nur durch die vorderen und hinteren horizontalen Räder in Balance erhalten. 24 Wagen fassen 96 Personen, und bilden einen 50 m langen Zug von 8 Ctr. Gewicht pro laufendes Meter. Zweck dieses Systems ist die gleichmäßige Vertheilung der Last auf eine große Länge, Vermeidung von Erarbeiten, Verminderung des Fahrparfes, rascher, billiger Bau, Erzielung großer Geschwindigkeiten bei rauhem Terrain.

Schraubenscala von Heilmann, Ducommun & Steinken. — Für kleine Schrauben von 3 bis 10 mm Stärke steigt der Durchmesser um 1 mm, dann hat man 12, 15, 18, 20, 23, 25, 28, 30, 32, 35, 37, 40, 42, 45, 47 und 50 mm Stärke. Die Steigung für die kleinen Durchmesser beträgt 6 Procent und sie nimmt bis 50 mm Stärke ab auf 3%, nach der Formel $h = 0,08 d + 1$. Das Gewinde hat einen Winkel von 60° und auswendig wie inwendig Abrundung, so daß die Tiefe $t = \frac{2}{3} h$ beträgt.

Centrifugalpumpen. — J. und S. Gwynne haben für die Entwässerung der Ferrarasümpfe 8 Centrifugalpumpen angewandt, die als vier von einander unabhängige Systeme, jedes Paar mit seiner Betriebsmaschine, aufgestellt sind. Die mit der Kurbelwelle der Maschine durch eine Scheibenkuppelung verbundenen Axen der Kreiselräder sind von Stahl und außerhalb der Gehäuse gelagert; die Schaufelräder haben 1,523 m Durchmesser, die Saug- und Druckröhre 1,371 m. Als Motoren dienen Woolf'sche Dampfmaschinen mit zwei Cylindern von 70,5 und 118,4 cm Durchmesser, 68,6 cm Hub und um 180° versetzten Kurbeln, welche bei 5 Atmosphären Spannung 115 Umdrehungen pro Minute machen; die Pumpen sollen 2032 cbm Wasser pro Minute auf 1,9 m mittlere und 3,648 m größte Höhe heben.

b'Arvidor, Arbeiterwohnungen in England. — Obwohl die englischen Verhältnisse sich von den unsrigen

sehr wesentlich unterscheiden, so ist doch auch diese von 2 Tafeln begleitete Abhandlung recht interessant.

Ponzen, Schneeschutzevorkehrungen auf Eisenbahnen. — Schnee, welcher direct auf die Bahn fällt, wird durch Anwendung des Schneepfluges beseitigt. Schneeverwehungen beugt man am besten dadurch vor, daß man Einschnitte thunlichst vermeidet und die Rivelette möglichst über das Terrain erhebt. Für die Herstellung von Schneeschutze ist noch keine sichere Regel gefunden, da die Configuration des Terrains und der Winkel, unter welchem der Wind bläst, hierbei von großem Einfluß sind, doch zeigen die Schneeablagerungen im Allgemeinen dieselben Erscheinungen, wie Ströme, welche Gesteine führen. Am Karst giebt man den Schneewänden nicht unter 5^m Höhe und stellt sie im 3 bis 5 mal so großen Abstände vom Einschnittsrande auf. Auf der Union-Pacific-Bahn hat man geneigte hölzerne Wände für gut befunden und wendet dieselben auch in mehrfachen Reihen, sowie zu beiden Seiten der Einschnitte an. Die bei der Mont Genis-Bahn verwendeten Schneedächer oder Schneegalerien, welche bis zu 6^m starke Schneeböden zu tragen hatten, boten keine genügende Ventilation, diejenigen der Central-Pacific-Bahn, welche nahezu noch einmal so hoch und durch jalouseartige Verschalung, sowie durch zahlreiche Luftbühnen besser für Ventilation versehen sind, haben sich gut bewährt, verlangen indessen Vorkehrungen gegen Brände. Die amerikanische Bahn ist damit über 50^{km} lang bedeckt, so weit sie in der Region des hohen Schnees läuft, und es waren dazu 123000^{cbm} Bauholz und 44660 Ctr. Eisen erforderlich. Gegen Lawinen und Schneefürze hat man am Mont Genis und anderen Alpenübergängen gemauerte Galerien mit 4^m Spannweite, deren im Scheitel nur 0,6^m starkes Gewölbe durch ein Rutschiß gesichert ist. Der Herr Verfasser betont am Schluß besonders, daß es möglich sei, sich gegen Schnee und Lawinen genügend zu schützen, und daß deshalb die Anlage übermäßig langer Tunnel da nicht rationell zu nennen sei, wo mit kürzeren Tunneln und Schneeschutze ebenso gut auszukommen ist.

Seyne, die Wienerwaldbahn. — Untersuchungen über die Nothwendigkeit und Rentabilität einer Localbahn für die Stadt Wien.

Regulativ für Gasconcessionswesen. — Entwurf eines Regulativs für die Ausführungen von Gasrohrleitungen und Gasbeleuchtungsanlagen, welches von einem Comité des österr. Ingenieur- und Architekten-Vereines ausgegangen ist, bestehend aus den Herren Veudner, Mauch, Bengough, Mihatsch, Seybel, Kurz, Jähndrich, Mettscheko und Cohn. Für unterirdische Leitungen sind gußeiserne Rohre von 40^{mm} Lichtweite aufwärts zu verwenden, schmiedeeiserne Rohre sind bloß bis 53^{mm} Weite zulässig. Alle Rohre sind vorher mittelst Wasserdruck und Anschlaglagen auf 3 Atmosphären und dann mittelst Luft unter Wasser auf 1½ Atmosphären zu prüfen und dürfen erst nachher einen Anstrich erhalten. Wo Canäle gekreuzt werden, ist das Gasrohr mit einem gußeisernen Deckrohr zu versehen und in einer solchen Weise hindurch zu führen, daß die Passage nicht gestört wird. Die Wechsel sind mit Striden und Blei, bei Flanschen mit Blei oder Pappe zu dichten und nach Vollendung einer Strecke sind mittelst eines Gebläses

unter 237^{mm} Wasserdruck Strangproben vorzunehmen. Anbohrungen dürfen nicht stärker als 53^{mm} sein bei mehr als 158^{mm} Röhrenweite, bei weniger Lichtweite nur ⅓ vom Durchmesser. Solche mit Gewinde dürfen nur bei mehr als 158^{mm} weiten Röhren angebracht werden und dürfen nur 26^{mm} bei mehr als 316^{mm} Rohrweite nicht über 40^{mm} betragen. Auch über die Leitungen über der Erde und über die Beleuchtungsgegenstände enthält das Regulativ zweckmäßige Vorschriften.

Guresch, Festigkeitsproben mit Granit Trachit, Sand- und Kalksteinen. — Granite aus Böhmen, Ober- und Nieder-Oesterreich hielten 300 bis 1223^k pro 1^{cm}, Sandsteine aus den Karpathen 137 bis 303^k, Kalksteine von dort 212 bis 242 und Trachite 61 bis 442^k Druck pro 1^{cm} aus. Steine von ein und demselben Fundorte differiren oft sehr beträchtlich.

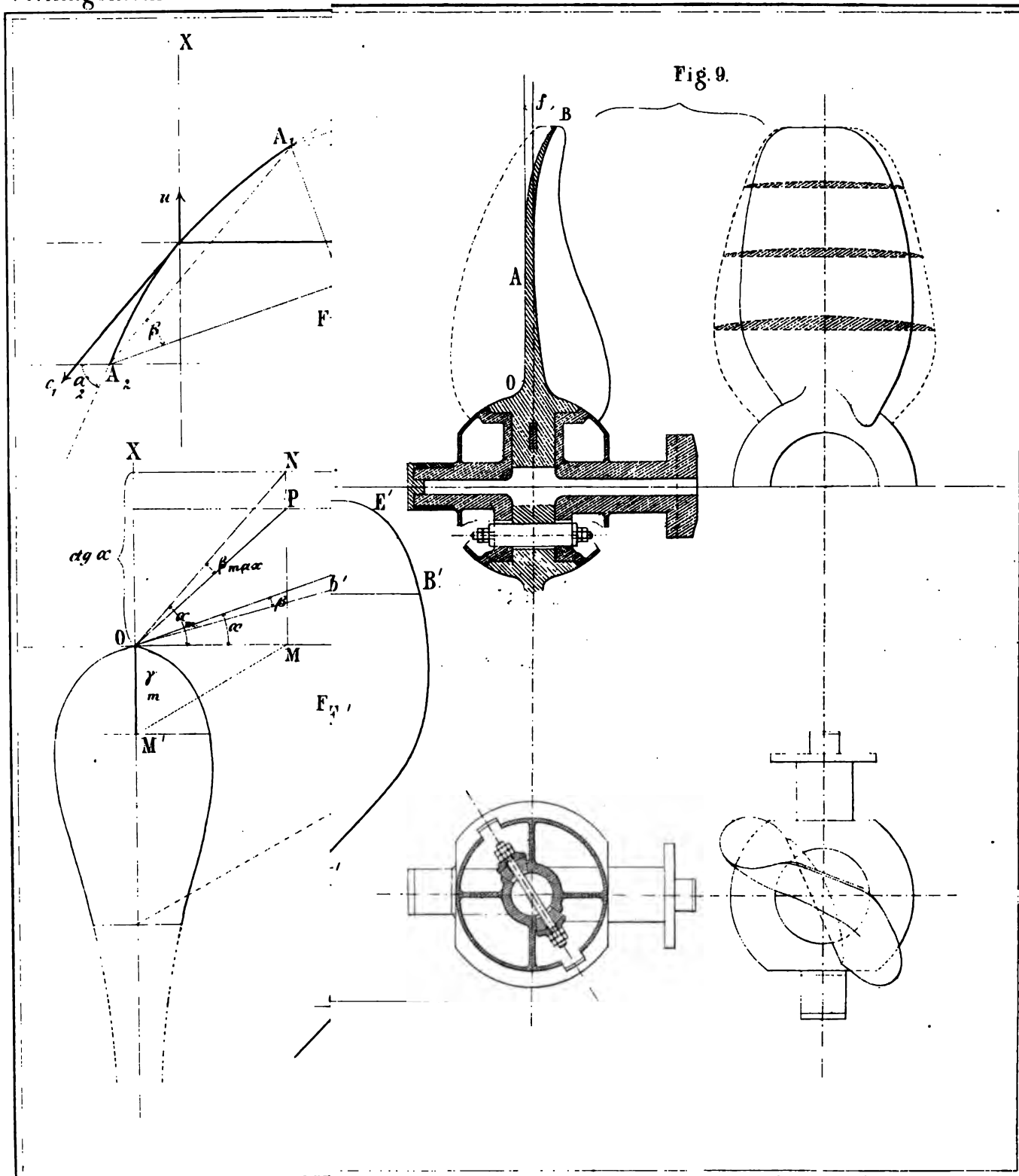
Locomotiven ohne Feuerung. — In der Nähe von New-York hat man den Versuch gemacht, Locomotiven in der Art zu betreiben, daß man vor Abgang der Maschine ihre Kessel mit hochgespanntem Dampf aus einem stationären Kessel füllt und diesen allmählig verbraucht, ohne den Kessel zu feuern. Die Locomotiven besitzen ein vierrädriges Gestell mit einem 0,94^m weiten, 2,743^m langen cylindrischen, wohlverpackten und einen Dom tragenden Kessel, aus dessen Dampftraume 2 verticale Cylinder von 127^{mm} Durchmesser und 178^{mm} Hubhöhe mit Dampf versorgt werden. Der Wassereinhalt des Kessels wird durch eine 50^{mm} weite, durchlöchernde und am Boden des Kessels hinführende Röhre geheizt, welche den Dampf aus einem stationären Kessel entnimmt. Der Kessel faßt 1,83^{cbm}, der Dampftraum 0,044^{cbm}, eine Cylinderausfüllung 0,0022, der schädliche Raum 0,000127^{cbm}. Bei einem von den Ingenieuren Buel & Bresport angestellten Versuche war der Kessel zur Hälfte mit Wasser gefüllt und der Dampfdruck betrug 9,622^k pro □ Centimeter. Nach 2, 4, 16, 29, 49 Minuten betrug der Druck nur noch 8,98, 8,43, 6,94, 4,76 und 1,50^k. Nach den Indicatorgrammen betrug der mittlere Gesamtdruck 1,57, der mittlere Gegen- druck 0,35^k. Während 35,5 Minuten Laufzeit wurden 4,4 Miles bei durchschnittlich 147,4 Umdrehungen pro Minute zurückgelegt und 3,61 Pferdekraft geleistet. Näheres im Engineer vom 20. Februar 1874.

Elbel, die Axlagerschalen der österr. Nordwestbahn. — Um dem Warmlaufen vorzubeugen wird bekanntlich oft die Breite der Lagerschalen in der Richtung der Peripherie so weit reducirt, als zulässig ist, um kein Auspringen hervorzurufen. Bei den Axlagerern der österr. Nordwestbahn bekommen die Schalen im mittleren Theile ebenfalls nur die unbedingt nothwendige Breite, erhalten aber an den Enden zur Führung sattelartig vorspringende Flanschen.

Wist, das Arbeiterwohnhaus auf der Wiener Weltausstellung. — Aus der österr. Abtheilung werden die Reichenberger, Aufziger, Rostoder, Schwadowitzer, Cosmanoser, Semiler, Lobositzer, Theresienauer, Prager, Finsinger, Marburger, Straciger Modelle vorgeführt und Angaben über deren Gestehungskosten u. s. w. mitgetheilt.

THE NEW YORK
PUBLIC LIBRARY
ASTOR LENOX AND
TILDEN FOUNDATIONS

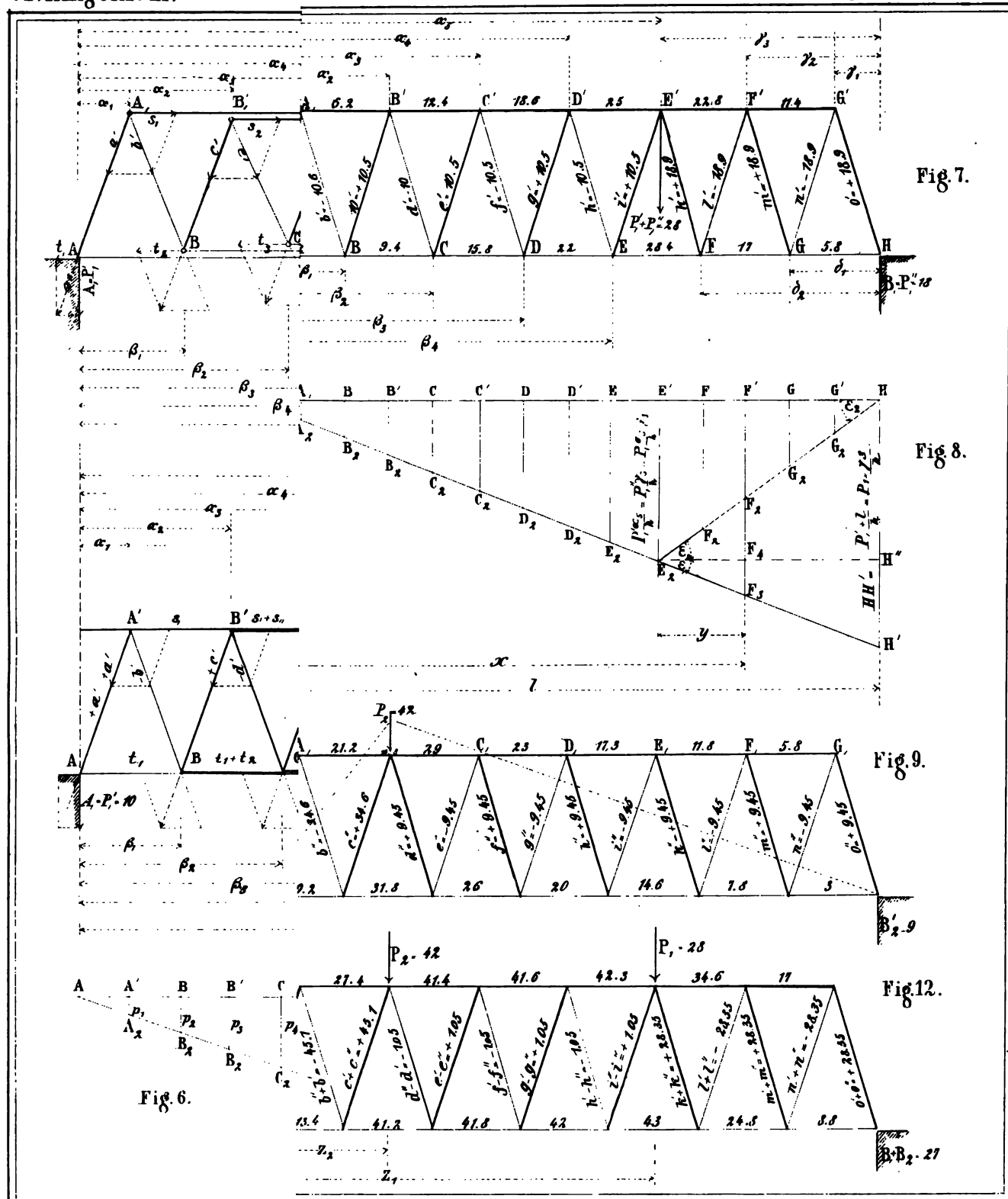
THE NEW YORK
PUBLIC LIBRARY
ASTOR LENOX AND
TILDEN FOUNDATIONS

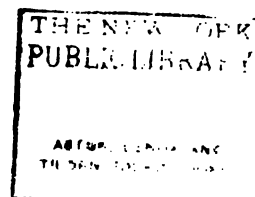
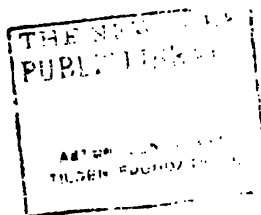


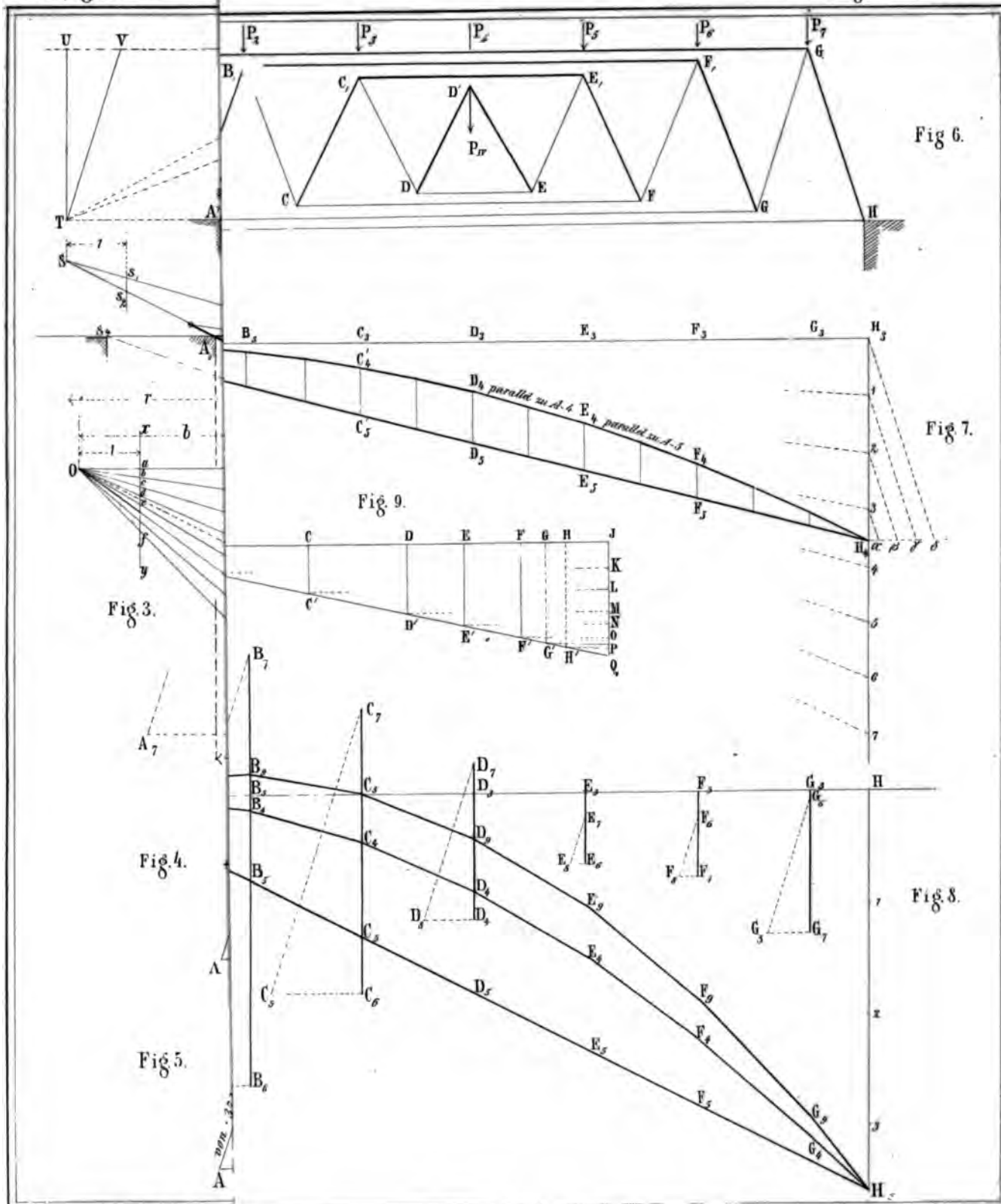


THE NEW YORK
PUBLIC LIBRARY
ASTOR, LENOX AND
TILDEN FOUNDATIONS

THE NEW YORK
PUBLIC LIBRARY
ASTOR, LENOX AND
TILDEN FOUNDATIONS

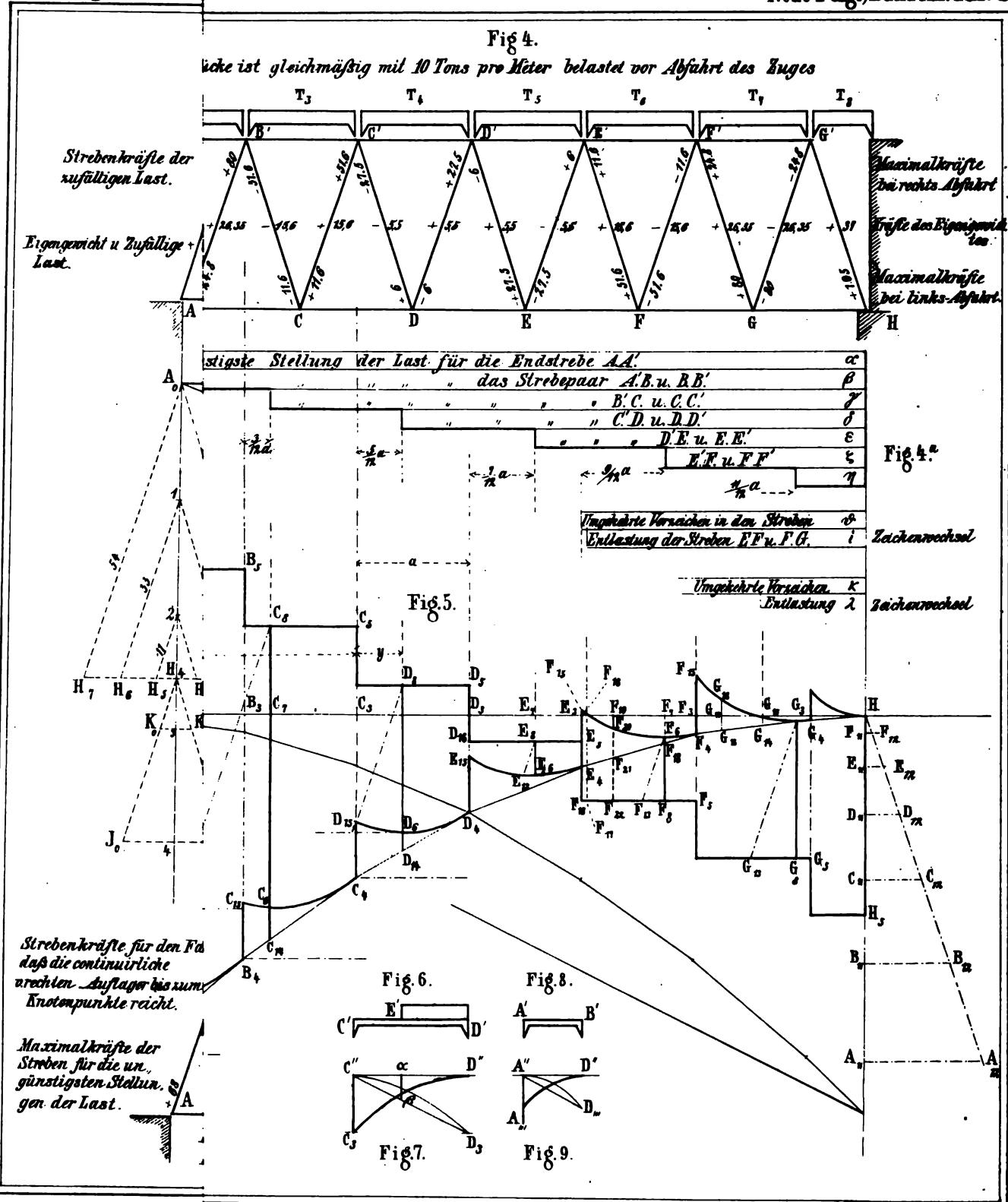






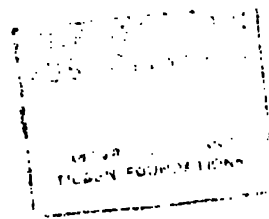
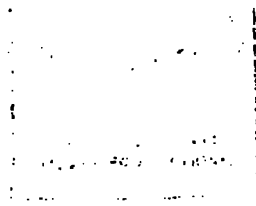
THE NEW YORK
PUBLIC LIBRARY
ASTOR LENOX AND
TILDEN FOUNDATION

THE NEW YORK
PUBLIC LIBRARY
ASTOR LENOX AND
TILDEN FOUNDATION



THE NEW YORK
PUBLIC LIBRARY
ASTOR LENOX TILDEN FOUNDATION
100 N. 4TH ST. NEW YORK 17, N.Y.

NEW YORK
PUBLIC LIBRARY
ASTOR LENOX TILDEN FOUNDATION
100 N. 4TH ST. NEW YORK 17, N.Y.



ables für Eigengewicht und zufällige Last.

Fig. 3.

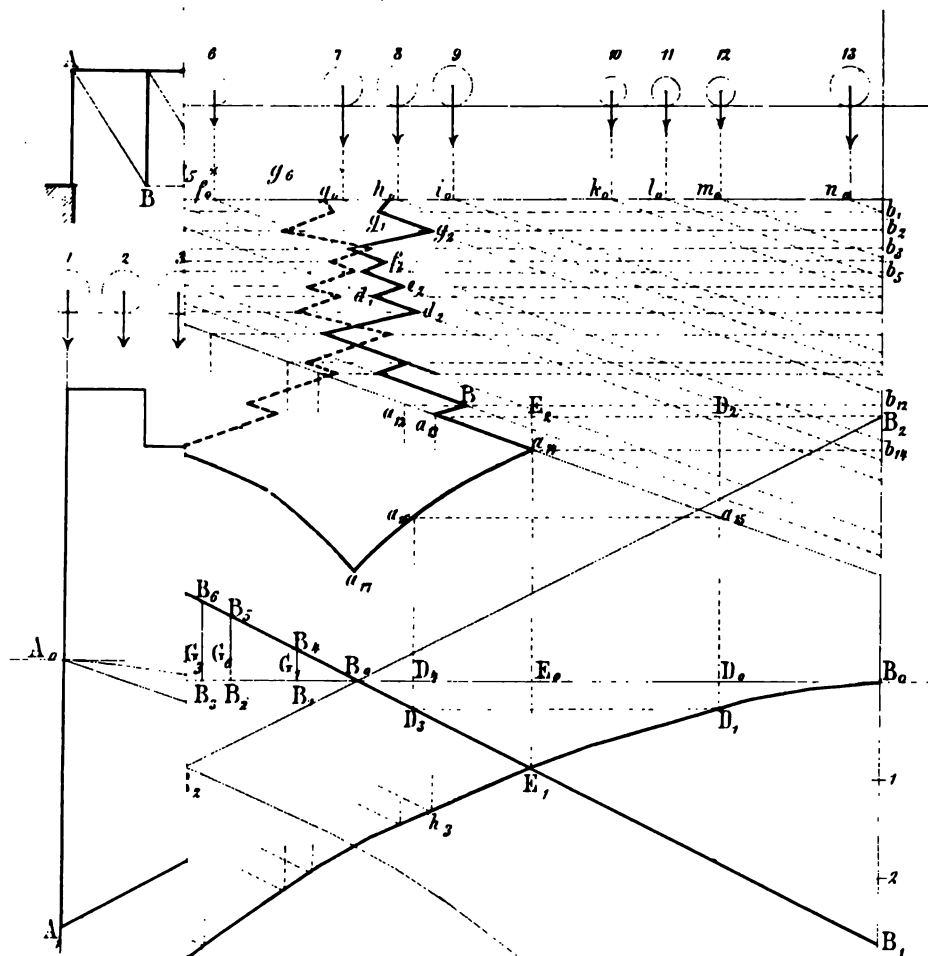
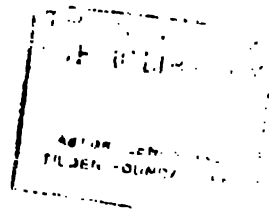
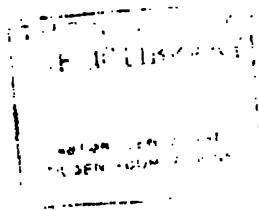
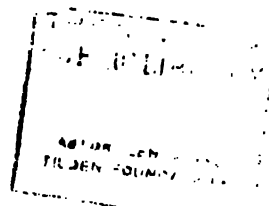
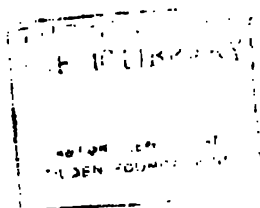


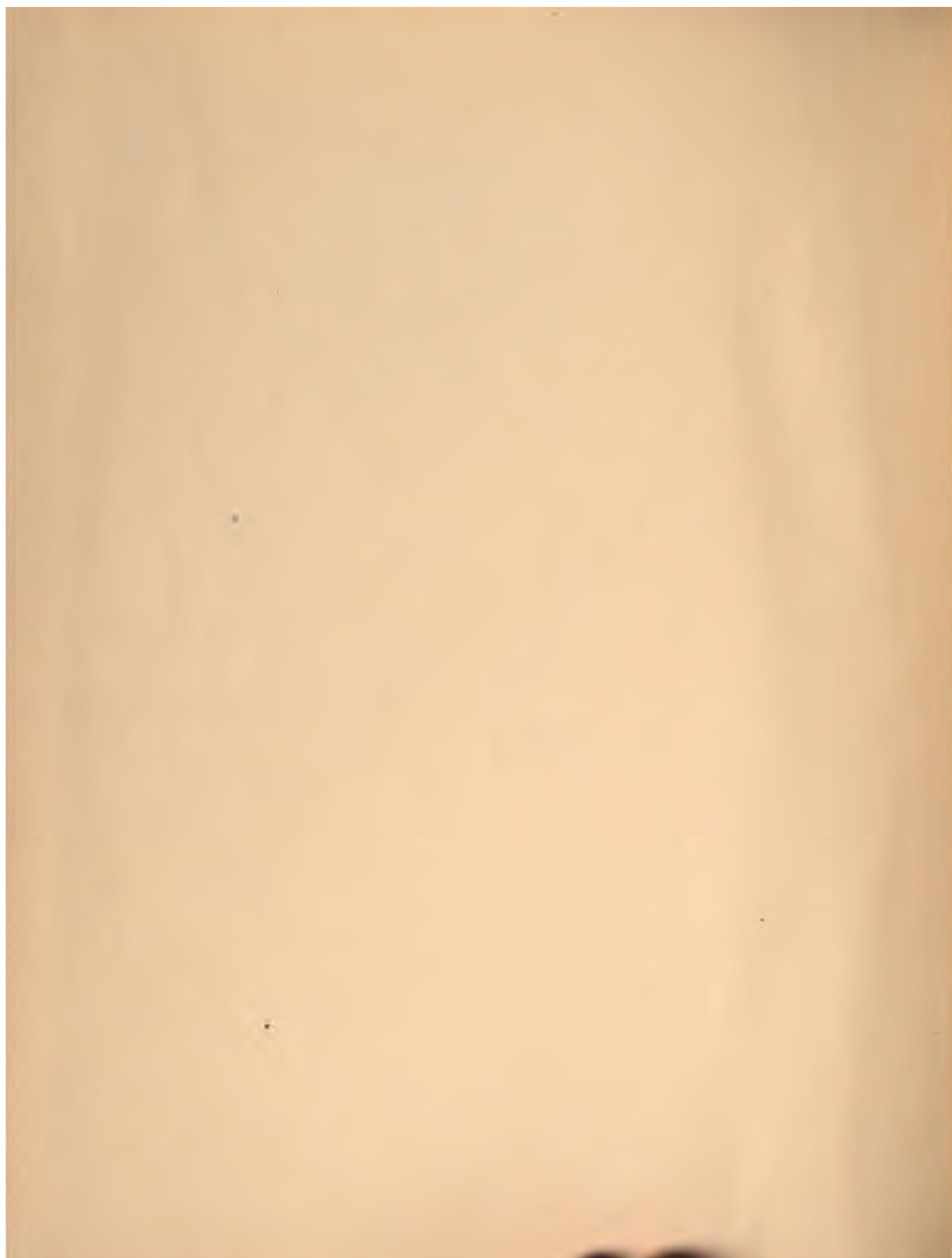
Fig. 4.















AUG 3 - 1938

